



# **Desarrollando capacidades para avanzar en el proceso del Plan Nacional de Adaptación de la República Dominicana**

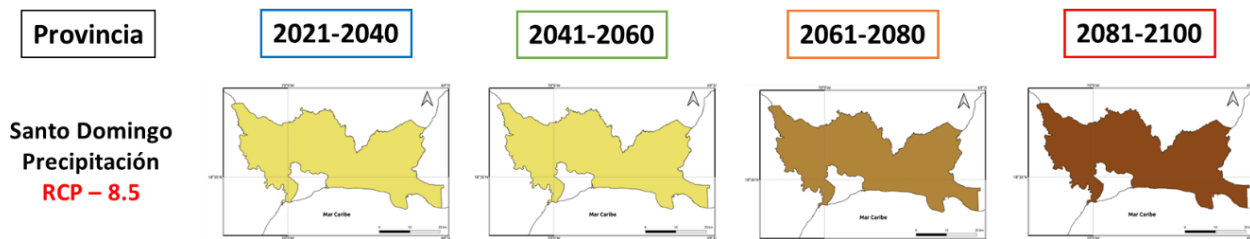
---

**Escenarios de Cambio Climático para la  
República Dominicana**

**Documento Técnico Completo**  
Resultados (Nivel Provincial)



# ESCENARIOS DE CAMBIO CLIMÁTICO PARA REPÚBLICA DOMINICANA



## DOCUMENTO TÉCNICO COMPLETO

## RESULTADOS (NIVEL PROVINCIAL)

Presentado por el Consorcio:  
Centro del Agua del Trópico Húmedo para América Latina y el Caribe –  
CATHALAC y ENERGEIA NETWORK

CONSULTORÍA PARA EL DESARROLLO DE ESCENARIOS CLIMÁTICOS  
DE PRECIPITACIÓN, TEMPERATURA Y ASCENSO DEL NIVEL DEL MAR  
PARA LOS PERÍODOS 2020-2040, 2041-2060, 2061-2080 Y 2081-2100



## Información de contexto

La elaboración de Los escenarios climáticos para República Dominicana hace parte de la información a considerarse en la Cuarta Comunicación Nacional de República Dominicana ante la Convención Marco de las Naciones Unidas sobre el Cambio Climático (CMNUCC). También, su información y resultados serán considerados para la toma de decisiones en el marco de los estudios de vulnerabilidad y adaptación en los diversos sectores del desarrollo económico del país.

Considerando que no existe un conocimiento absoluto sobre el futuro, las proyecciones de los escenarios climáticos futuros ofrecen posibles alternativas sobre el estado climático de la atmósfera para una región determinada, tomando en cuenta las diversas hipótesis de partida indicadas por el Panel Intergubernamental para el Cambio Climático (PICC).

En esta ocasión, es el Consorcio conformado por el Centro del Agua del Trópico Húmedo para América Latina y el Caribe (CATHALAC) y ENERGEIA NETWORKS, quien, por medio de una consultoría, presenta los trabajos descritos en conjunto con el Ministerio de Medio Ambiente de República Dominicana, el Programa de las Naciones Unidas para el Medio Ambiente (PNUMA) y el Fondo Verde del Clima (GCF).

## Créditos

Guillermo Eduardo Armenta Porras, Especialista en Escenarios de Clima.

Joel Pérez Fernández, Gerente de División

Freddy Picado, Director General.

CATHALAC

Omar Ramírez

Michela Izzo

ENERGEIA NETWORKS



## Índice de contenido

1. RESULTADOS	34
1.1 ANÁLISIS ESPACIAL DE LOS CAMBIOS PROYECTADOS PARA LAS VARIABLES CLIMÁTICAS	34
1.1.1 PROVINCIA AZUA	34
1.1.2 PROVINCIA BAORUCO	52
1.1.3 PROVINCIA BARAHONA	70
1.1.4 PROVINCIA DAJABÓN	88
1.1.5 DISTRITO NACIONAL	106
1.1.6 PROVINCIA DUARTE	124
1.1.7 PROVINCIA EL SEIBO	142
1.1.8 PROVINCIA ELÍAS PIÑA	160
1.1.9 PROVINCIA ESPAILLAT	178
1.1.10 PROVINCIA HATO MAYOR	196
1.1.11 PROVINCIA HERMANAS MIRABAL	214
1.1.12 PROVINCIA INDEPENDENCIA	232
1.1.13 PROVINCIA LA ALTAGRACIA	250
1.1.14 PROVINCIA LA ROMANA	268
1.1.15 PROVINCIA LA VEGA	286
1.1.16 PROVINCIA MARÍA TRINIDAD SÁNCHEZ	304
1.1.17 PROVINCIA MONSEÑOR NOUEL	322
1.1.18 PROVINCIA MONTE CRISTI	340
1.1.19 PROVINCIA MONTE PLATA	358
1.1.20 PROVINCIA PEDERNALES	376
1.1.21 PROVINCIA PERAVIA	394
1.1.22 PROVINCIA PUERTO PLATA	412
1.1.23 PROVINCIA SAMANÁ	430
1.1.24 PROVINCIA SAN CRISTÓBAL	448
1.1.25 PROVINCIA SAN JOSÉ DE OCOA	466
1.1.26 PROVINCIA SAN JUAN	484
1.1.27 PROVINCIA SAN PEDRO DE MACORÍS	502
1.1.28 PROVINCIA SÁNCHEZ RAMÍREZ	520
1.1.29 PROVINCIA SANTIAGO	538



1.1.30	PROVINCIA SANTIAGO RODRÍGUEZ	556
1.1.31	PROVINCIA SANTO DOMINGO	574
1.1.32	PROVINCIA VALVERDE	592
1.2	ANÁLISIS DE LOS CAMBIOS PROYECTADOS DEL AUMENTO DEL NIVEL DEL MAR	610
1.2.1	PROVINCIA AZUA	610
1.2.2	PROVINCIA BARAHONA	615
1.2.3	PROVINCIA EL SEIBO	620
1.2.4	PROVINCIA ESPAILLAT	625
1.2.5	PROVINCIA HATO MAYOR	630
1.2.6	PROVINCIA LA ALTAGRACIA	635
1.2.7	PROVINCIA LA ROMANA	640
1.2.8	PROVINCIA MARÍA TRINIDAD SÁNCHEZ	645
1.2.9	PROVINCIA MONTE CRISTI	650
1.2.10	PROVINCIA PEDERNALES	655
1.2.11	PROVINCIA PERAVIA	660
1.2.12	PROVINCIA PUERTO PLATA	665
1.2.13	PROVINCIA SAMANÁ	670
1.2.14	PROVINCIA SAN CRISTÓBAL	675
1.2.15	PROVINCIA SAN PEDRO DE MACORÍS	680
1.2.16	PROVINCIA SANTO DOMINGO	685

## **Lista de Figuras**

Figura 1.1.1-1. Cambios porcentuales de la precipitación (%) proyectados por el ensamble multimodelo bajo los 4 escenarios RCP en el periodo 2021-2040 para la provincia Azua.	33
Figura 1.1.1-2. Cambios porcentuales de la precipitación (%) proyectados por el ensamble multimodelo bajo los 4 escenarios RCP en el periodo 2041-2060 para la provincia Azua.	34
Figura 1.1.1-3. Cambios porcentuales de la precipitación (%) proyectados por el ensamble multimodelo bajo los 4 escenarios RCP en el periodo 2061-2080 para la provincia Azua.	35
Figura 1.1.1-4. Cambios porcentuales de la precipitación (%) proyectados por el ensamble multimodelo bajo los 4 escenarios RCP en el periodo 2081-2100 para la provincia Azua.	36
Figura 1.1.1-5. Cambios proyectados en la temperatura máxima (°C) por el ensamble multimodelo bajo los 4 escenarios RCP en el periodo 2021-2040 para la provincia Azua.	37
Figura 1.1.1-6. Cambios proyectados en la temperatura máxima (°C) por el ensamble multimodelo bajo los 4 escenarios RCP en el periodo 2041-2060 para la provincia Azua.	38

Figura 1.1.1-7. Cambios proyectados en la temperatura máxima (°C) por el ensamble multimodelo bajo los 4 escenarios RCP en el periodo 2061-2080 para la provincia Azua.	39
Figura 1.1.1-8. Cambios proyectados en la temperatura máxima (°C) por el ensamble multimodelo bajo los 4 escenarios RCP en el periodo 2081-2100 para la provincia Azua.	40
Figura 1.1.1-9. Cambios proyectados en la temperatura mínima (°C) por el ensamble multimodelo bajo los 4 escenarios RCP en el periodo 2021-2040 para la provincia Azua.	41
Figura 1.1.1-10. Cambios proyectados en la temperatura mínima (°C) por el ensamble multimodelo bajo los 4 escenarios RCP en el periodo 2041-2060 para la provincia Azua.	42
Figura 1.1.1-11. Cambios proyectados en la temperatura mínima (°C) por el ensamble multimodelo bajo los 4 escenarios RCP en el periodo 2061-2080 para la provincia Azua.	43
Figura 1.1.1-12. Cambios proyectados en la temperatura mínima (°C) por el ensamble multimodelo bajo los 4 escenarios RCP en el periodo 2081-2100 para la provincia Azua.	44
Figura 1.1.1-13. Cambios proyectados en la temperatura media (°C) por el ensamble multimodelo bajo los 4 escenarios RCP en el periodo 2021-2040 para la provincia Azua.	45
Figura 1.1.1-14. Cambios proyectados en la temperatura media (°C) por el ensamble multimodelo bajo los 4 escenarios RCP en el periodo 2041-2060 para la provincia Azua.	46
Figura 1.1.1-15. Cambios proyectados en la temperatura media (°C) por el ensamble multimodelo bajo los 4 escenarios RCP en el periodo 2061-2080 para la provincia Azua.	47
Figura 1.1.1-16. Cambios proyectados en la temperatura media (°C) por el ensamble multimodelo bajo los 4 escenarios RCP en el periodo 2081-2100 para la provincia Azua.	48
Figura 1.1.2-1. Cambios porcentuales de la precipitación (%) proyectados por el ensamble multimodelo bajo los 4 escenarios RCP en el periodo 2021-2040 para la provincia Baoruco.	51
Figura 1.1.2-2. Cambios porcentuales de la precipitación (%) proyectados por el ensamble multimodelo bajo los 4 escenarios RCP en el periodo 2041-2060 para la provincia Baoruco.	52
Figura 1.1.2-3. Cambios porcentuales de la precipitación (%) proyectados por el ensamble multimodelo bajo los 4 escenarios RCP en el periodo 2061-2080 para la provincia Baoruco.	53
Figura 1.1.2-4. Cambios porcentuales de la precipitación (%) proyectados por el ensamble multimodelo bajo los 4 escenarios RCP en el periodo 2081-2100 para la provincia Baoruco.	54
Figura 1.1.2-5. Cambios proyectados en la temperatura máxima (°C) por el ensamble multimodelo bajo los 4 escenarios RCP en el periodo 2021-2040 para la provincia Baoruco.	55
Figura 1.1.2-6. Cambios proyectados en la temperatura máxima (°C) por el ensamble multimodelo bajo los 4 escenarios RCP en el periodo 2041-2060 para la provincia Baoruco.	56
Figura 1.1.2-7. Cambios proyectados en la temperatura máxima (°C) por el ensamble multimodelo bajo los 4 escenarios RCP en el periodo 2061-2080 para la provincia Baoruco.	57
Figura 1.1.2-8. Cambios proyectados en la temperatura máxima (°C) por el ensamble multimodelo bajo los 4 escenarios RCP en el periodo 2081-2100 para la provincia Baoruco.	58
Figura 1.1.2-9. Cambios proyectados en la temperatura mínima (°C) por el ensamble multimodelo bajo los 4 escenarios RCP en el periodo 2021-2040 para la provincia Baoruco.	59
Figura 1.1.2-10. Cambios proyectados en la temperatura mínima (°C) por el ensamble multimodelo bajo los 4 escenarios RCP en el periodo 2041-2060 para la provincia Baoruco.	60
Figura 1.1.2-11. Cambios proyectados en la temperatura mínima (°C) por el ensamble multimodelo bajo los 4 escenarios RCP en el periodo 2061-2080 para la provincia Baoruco.	61
Figura 1.1.2-12. Cambios proyectados en la temperatura mínima (°C) por el ensamble multimodelo bajo los 4 escenarios RCP en el periodo 2081-2100 para la provincia Baoruco.	62
Figura 1.1.2-13. Cambios proyectados en la temperatura media (°C) por el ensamble multimodelo bajo los 4 escenarios RCP en el periodo 2021-2040 para la provincia Baoruco.	63

Figura 1.1.2-14. Cambios proyectados en la temperatura media (°C) por el ensamble multimodelo bajo los 4 escenarios RCP en el periodo 2041-2060 para la provincia Baoruco.	64
Figura 1.1.2-15. Cambios proyectados en la temperatura media (°C) por el ensamble multimodelo bajo los 4 escenarios RCP en el periodo 2061-2080 para la provincia Baoruco.	65
Figura 1.1.2-16. Cambios proyectados en la temperatura media (°C) por el ensamble multimodelo bajo los 4 escenarios RCP en el periodo 2081-2100 para la provincia Baoruco.	66
Figura 1.1.3-1. Cambios porcentuales de la precipitación (%) proyectados por el ensamble multimodelo bajo los 4 escenarios RCP en el periodo 2021-2040 para la provincia Barahona.	69
Figura 1.1.3-2. Cambios porcentuales de la precipitación (%) proyectados por el ensamble multimodelo bajo los 4 escenarios RCP en el periodo 2041-2060 para la provincia Barahona.	70
Figura 1.1.3-3. Cambios porcentuales de la precipitación (%) proyectados por el ensamble multimodelo bajo los 4 escenarios RCP en el periodo 2061-2080 para la provincia Barahona.	71
Figura 1.1.3-4. Cambios porcentuales de la precipitación (%) proyectados por el ensamble multimodelo bajo los 4 escenarios RCP en el periodo 2081-2100 para la provincia Barahona.	72
Figura 1.1.3-5. Cambios proyectados en la temperatura máxima (°C) por el ensamble multimodelo bajo los 4 escenarios RCP en el periodo 2021-2040 para la provincia Barahona.	73
Figura 1.1.3-6. Cambios proyectados en la temperatura máxima (°C) por el ensamble multimodelo bajo los 4 escenarios RCP en el periodo 2041-2060 para la provincia Barahona.	74
Figura 1.1.3-7. Cambios proyectados en la temperatura máxima (°C) por el ensamble multimodelo bajo los 4 escenarios RCP en el periodo 2061-2080 para la provincia Barahona.	75
Figura 1.1.3-8. Cambios proyectados en la temperatura máxima (°C) por el ensamble multimodelo bajo los 4 escenarios RCP en el periodo 2081-2100 para la provincia Barahona.	76
Figura 1.1.3-9. Cambios proyectados en la temperatura mínima (°C) por el ensamble multimodelo bajo los 4 escenarios RCP en el periodo 2021-2040 para la provincia Barahona.	77
Figura 1.1.3-10. Cambios proyectados en la temperatura mínima (°C) por el ensamble multimodelo bajo los 4 escenarios RCP en el periodo 2041-2060 para la provincia Barahona.	78
Figura 1.1.3-11. Cambios proyectados en la temperatura mínima (°C) por el ensamble multimodelo bajo los 4 escenarios RCP en el periodo 2061-2080 para la provincia Barahona.	79
Figura 1.1.3-12. Cambios proyectados en la temperatura mínima (°C) por el ensamble multimodelo bajo los 4 escenarios RCP en el periodo 2081-2100 para la provincia Barahona.	80
Figura 1.1.3-13. Cambios proyectados en la temperatura media (°C) por el ensamble multimodelo bajo los 4 escenarios RCP en el periodo 2021-2040 para la provincia Barahona.	81
Figura 1.1.3-14. Cambios proyectados en la temperatura media (°C) por el ensamble multimodelo bajo los 4 escenarios RCP en el periodo 2041-2060 para la provincia Barahona.	82
Figura 1.1.3-15. Cambios proyectados en la temperatura media (°C) por el ensamble multimodelo bajo los 4 escenarios RCP en el periodo 2061-2080 para la provincia Barahona.	83
Figura 1.1.3-16. Cambios proyectados en la temperatura media (°C) por el ensamble multimodelo bajo los 4 escenarios RCP en el periodo 2081-2100 para la provincia Barahona.	84
Figura 1.1.4-1. Cambios porcentuales de la precipitación (%) proyectados por el ensamble multimodelo bajo los 4 escenarios RCP en el periodo 2021-2040 para la provincia Dajabón.	87
Figura 1.1.4-2. Cambios porcentuales de la precipitación (%) proyectados por el ensamble multimodelo bajo los 4 escenarios RCP en el periodo 2041-2060 para la provincia Dajabón.	88
Figura 1.1.4-3. Cambios porcentuales de la precipitación (%) proyectados por el ensamble multimodelo bajo los 4 escenarios RCP en el periodo 2061-2080 para la provincia Dajabón.	89
Figura 1.1.4-4. Cambios porcentuales de la precipitación (%) proyectados por el ensamble multimodelo bajo los 4 escenarios RCP en el periodo 2081-2100 para la provincia Dajabón.	90

Figura 1.1.4-5. Cambios proyectados en la temperatura máxima (°C) por el ensamble multimodelo bajo los 4 escenarios RCP en el periodo 2021-2040 para la provincia Dajabón.	91
Figura 1.1.4-6. Cambios proyectados en la temperatura máxima (°C) por el ensamble multimodelo bajo los 4 escenarios RCP en el periodo 2041-2060 para la provincia Dajabón.	92
Figura 1.1.4-7. Cambios proyectados en la temperatura máxima (°C) por el ensamble multimodelo bajo los 4 escenarios RCP en el periodo 2061-2080 para la provincia Dajabón.	93
Figura 1.1.4-8. Cambios proyectados en la temperatura máxima (°C) por el ensamble multimodelo bajo los 4 escenarios RCP en el periodo 2081-2100 para la provincia Dajabón.	94
Figura 1.1.4-9. Cambios proyectados en la temperatura mínima (°C) por el ensamble multimodelo bajo los 4 escenarios RCP en el periodo 2021-2040 para la provincia Dajabón.	95
Figura 1.1.4-10. Cambios proyectados en la temperatura mínima (°C) por el ensamble multimodelo bajo los 4 escenarios RCP en el periodo 2041-2060 para la provincia Dajabón.	96
Figura 1.1.4-11. Cambios proyectados en la temperatura mínima (°C) por el ensamble multimodelo bajo los 4 escenarios RCP en el periodo 2061-2080 para la provincia Dajabón.	97
Figura 1.1.4-12. Cambios proyectados en la temperatura mínima (°C) por el ensamble multimodelo bajo los 4 escenarios RCP en el periodo 2081-2100 para la provincia Dajabón.	98
Figura 1.1.4-13. Cambios proyectados en la temperatura media (°C) por el ensamble multimodelo bajo los 4 escenarios RCP en el periodo 2021-2040 para la provincia Dajabón.	99
Figura 1.1.4-14. Cambios proyectados en la temperatura media (°C) por el ensamble multimodelo bajo los 4 escenarios RCP en el periodo 2041-2060 para la provincia Dajabón.	100
Figura 1.1.4-15. Cambios proyectados en la temperatura media (°C) por el ensamble multimodelo bajo los 4 escenarios RCP en el periodo 2061-2080 para la provincia Dajabón.	101
Figura 1.1.4-16. Cambios proyectados en la temperatura media (°C) por el ensamble multimodelo bajo los 4 escenarios RCP en el periodo 2081-2100 para la provincia Dajabón.	102
Figura 1.1.5-1. Cambios porcentuales de la precipitación (%) proyectados por el ensamble multimodelo bajo los 4 escenarios RCP en el periodo 2021-2040 para el Distrito Nacional.	105
Figura 1.1.5-2. Cambios porcentuales de la precipitación (%) proyectados por el ensamble multimodelo bajo los 4 escenarios RCP en el periodo 2041-2060 para el Distrito Nacional.	106
Figura 1.1.5-3. Cambios porcentuales de la precipitación (%) proyectados por el ensamble multimodelo bajo los 4 escenarios RCP en el periodo 2061-2080 para el Distrito Nacional.	107
Figura 1.1.5-4. Cambios porcentuales de la precipitación (%) proyectados por el ensamble multimodelo bajo los 4 escenarios RCP en el periodo 2081-2100 para el Distrito Nacional.	108
Figura 1.1.5-5. Cambios proyectados en la temperatura máxima (°C) por el ensamble multimodelo bajo los 4 escenarios RCP en el periodo 2021-2040 para el Distrito Nacional.	109
Figura 1.1.5-6. Cambios proyectados en la temperatura máxima (°C) por el ensamble multimodelo bajo los 4 escenarios RCP en el periodo 2041-2060 para el Distrito Nacional.	110
Figura 1.1.5-7. Cambios proyectados en la temperatura máxima (°C) por el ensamble multimodelo bajo los 4 escenarios RCP en el periodo 2061-2080 para el Distrito Nacional.	111
Figura 1.1.5-8. Cambios proyectados en la temperatura máxima (°C) por el ensamble multimodelo bajo los 4 escenarios RCP en el periodo 2081-2100 para el Distrito Nacional.	112
Figura 1.1.5-9. Cambios proyectados en la temperatura mínima (°C) por el ensamble multimodelo bajo los 4 escenarios RCP en el periodo 2021-2040 para el Distrito Nacional.	113
Figura 1.1.5-10. Cambios proyectados en la temperatura mínima (°C) por el ensamble multimodelo bajo los 4 escenarios RCP en el periodo 2041-2060 para el Distrito Nacional.	114
Figura 1.1.5-11. Cambios proyectados en la temperatura mínima (°C) por el ensamble multimodelo bajo los 4 escenarios RCP en el periodo 2061-2080 para el Distrito Nacional.	115

Figura 1.1.5-12. Cambios proyectados en la temperatura mínima (°C) por el ensamble multimodelo bajo los 4 escenarios RCP en el periodo 2081-2100 para el Distrito Nacional.	116
Figura 1.1.5-13. Cambios proyectados en la temperatura media (°C) por el ensamble multimodelo bajo los 4 escenarios RCP en el periodo 2021-2040 para el Distrito Nacional.	117
Figura 1.1.5-14. Cambios proyectados en la temperatura media (°C) por el ensamble multimodelo bajo los 4 escenarios RCP en el periodo 2041-2060 para el Distrito Nacional.	118
Figura 1.1.5-15. Cambios proyectados en la temperatura media (°C) por el ensamble multimodelo bajo los 4 escenarios RCP en el periodo 2061-2080 para el Distrito Nacional.	119
Figura 1.1.5-16. Cambios proyectados en la temperatura media (°C) por el ensamble multimodelo bajo los 4 escenarios RCP en el periodo 2081-2100 para el Distrito Nacional.	120
Figura 1.1.6-1. Cambios porcentuales de la precipitación (%) proyectados por el ensamble multimodelo bajo los 4 escenarios RCP en el periodo 2021-2040 para la provincia Duarte.	123
Figura 1.1.6-2. Cambios porcentuales de la precipitación (%) proyectados por el ensamble multimodelo bajo los 4 escenarios RCP en el periodo 2041-2060 para la provincia Duarte.	124
Figura 1.1.6-3. Cambios porcentuales de la precipitación (%) proyectados por el ensamble multimodelo bajo los 4 escenarios RCP en el periodo 2061-2080 para la provincia Duarte.	125
Figura 1.1.6-4. Cambios porcentuales de la precipitación (%) proyectados por el ensamble multimodelo bajo los 4 escenarios RCP en el periodo 2081-2100 para la provincia Duarte.	126
Figura 1.1.6-5. Cambios proyectados en la temperatura máxima (°C) por el ensamble multimodelo bajo los 4 escenarios RCP en el periodo 2021-2040 para la provincia Duarte.	127
Figura 1.1.6-6. Cambios proyectados en la temperatura máxima (°C) por el ensamble multimodelo bajo los 4 escenarios RCP en el periodo 2041-2060 para la provincia Duarte.	128
Figura 1.1.6-7. Cambios proyectados en la temperatura máxima (°C) por el ensamble multimodelo bajo los 4 escenarios RCP en el periodo 2061-2080 para la provincia Duarte.	129
Figura 1.1.6-8. Cambios proyectados en la temperatura máxima (°C) por el ensamble multimodelo bajo los 4 escenarios RCP en el periodo 2081-2100 para la provincia Duarte.	130
Figura 1.1.6-9. Cambios proyectados en la temperatura mínima (°C) por el ensamble multimodelo bajo los 4 escenarios RCP en el periodo 2021-2040 para la provincia Duarte.	131
Figura 1.1.6-10. Cambios proyectados en la temperatura mínima (°C) por el ensamble multimodelo bajo los 4 escenarios RCP en el periodo 2041-2060 para la provincia Duarte.	132
Figura 1.1.6-11. Cambios proyectados en la temperatura mínima (°C) por el ensamble multimodelo bajo los 4 escenarios RCP en el periodo 2061-2080 para la provincia Duarte.	133
Figura 1.1.6-12. Cambios proyectados en la temperatura mínima (°C) por el ensamble multimodelo bajo los 4 escenarios RCP en el periodo 2081-2100 para la provincia Duarte.	134
Figura 1.1.6-13. Cambios proyectados en la temperatura media (°C) por el ensamble multimodelo bajo los 4 escenarios RCP en el periodo 2021-2040 para la provincia Duarte.	135
Figura 1.1.6-14. Cambios proyectados en la temperatura media (°C) por el ensamble multimodelo bajo los 4 escenarios RCP en el periodo 2041-2060 para la provincia Duarte.	136
Figura 1.1.6-15. Cambios proyectados en la temperatura media (°C) por el ensamble multimodelo bajo los 4 escenarios RCP en el periodo 2061-2080 para la provincia Duarte.	137
Figura 1.1.6-16. Cambios proyectados en la temperatura media (°C) por el ensamble multimodelo bajo los 4 escenarios RCP en el periodo 2081-2100 para la provincia Duarte.	138
Figura 1.1.7-1. Cambios porcentuales de la precipitación (%) proyectados por el ensamble multimodelo bajo los 4 escenarios RCP en el periodo 2021-2040 para la provincia El Seibo.	141
Figura 1.1.7-2. Cambios porcentuales de la precipitación (%) proyectados por el ensamble multimodelo bajo los 4 escenarios RCP en el periodo 2041-2060 para la provincia El Seibo.	142

Figura 1.1.7-3. Cambios porcentuales de la precipitación (%) proyectados por el ensamble multimodelo bajo los 4 escenarios RCP en el periodo 2061-2080 para la provincia El Seibo.	143
Figura 1.1.7-4. Cambios porcentuales de la precipitación (%) proyectados por el ensamble multimodelo bajo los 4 escenarios RCP en el periodo 2081-2100 para la provincia El Seibo.	144
Figura 1.1.7-5. Cambios proyectados en la temperatura máxima (°C) por el ensamble multimodelo bajo los 4 escenarios RCP en el periodo 2021-2040 para la provincia El Seibo.	145
Figura 1.1.7-6. Cambios proyectados en la temperatura máxima (°C) por el ensamble multimodelo bajo los 4 escenarios RCP en el periodo 2041-2060 para la provincia El Seibo.	146
Figura 1.1.7-7. Cambios proyectados en la temperatura máxima (°C) por el ensamble multimodelo bajo los 4 escenarios RCP en el periodo 2061-2080 para la provincia El Seibo.	147
Figura 1.1.7-8. Cambios proyectados en la temperatura máxima (°C) por el ensamble multimodelo bajo los 4 escenarios RCP en el periodo 2081-2100 para la provincia El Seibo.	148
Figura 1.1.7-9. Cambios proyectados en la temperatura mínima (°C) por el ensamble multimodelo bajo los 4 escenarios RCP en el periodo 2021-2040 para la provincia El Seibo.	149
Figura 1.1.7-10. Cambios proyectados en la temperatura mínima (°C) por el ensamble multimodelo bajo los 4 escenarios RCP en el periodo 2041-2060 para la provincia El Seibo.	150
Figura 1.1.7-11. Cambios proyectados en la temperatura mínima (°C) por el ensamble multimodelo bajo los 4 escenarios RCP en el periodo 2061-2080 para la provincia El Seibo.	151
Figura 1.1.7-12. Cambios proyectados en la temperatura mínima (°C) por el ensamble multimodelo bajo los 4 escenarios RCP en el periodo 2081-2100 para la provincia El Seibo.	152
Figura 1.1.7-13. Cambios proyectados en la temperatura media (°C) por el ensamble multimodelo bajo los 4 escenarios RCP en el periodo 2021-2040 para la provincia El Seibo.	153
Figura 1.1.7-14. Cambios proyectados en la temperatura media (°C) por el ensamble multimodelo bajo los 4 escenarios RCP en el periodo 2041-2060 para la provincia El Seibo.	154
Figura 1.1.7-15. Cambios proyectados en la temperatura media (°C) por el ensamble multimodelo bajo los 4 escenarios RCP en el periodo 2061-2080 para la provincia El Seibo.	155
Figura 1.1.7-16. Cambios proyectados en la temperatura media (°C) por el ensamble multimodelo bajo los 4 escenarios RCP en el periodo 2081-2100 para la provincia El Seibo.	156
Figura 1.1.8-1. Cambios porcentuales de la precipitación (%) proyectados por el ensamble multimodelo bajo los 4 escenarios RCP en el periodo 2021-2040 para la provincia Elías Piña.	159
Figura 1.1.8-2. Cambios porcentuales de la precipitación (%) proyectados por el ensamble multimodelo bajo los 4 escenarios RCP en el periodo 2041-2060 para la provincia Elías Piña.	160
Figura 1.1.8-3. Cambios porcentuales de la precipitación (%) proyectados por el ensamble multimodelo bajo los 4 escenarios RCP en el periodo 2061-2080 para la provincia Elías Piña.	161
Figura 1.1.8-4. Cambios porcentuales de la precipitación (%) proyectados por el ensamble multimodelo bajo los 4 escenarios RCP en el periodo 2081-2100 para la provincia Elías Piña.	162
Figura 1.1.8-5. Cambios proyectados en la temperatura máxima (°C) por el ensamble multimodelo bajo los 4 escenarios RCP en el periodo 2021-2040 para la provincia Elías Piña.	163
Figura 1.1.8-6. Cambios proyectados en la temperatura máxima (°C) por el ensamble multimodelo bajo los 4 escenarios RCP en el periodo 2041-2060 para la provincia Elías Piña.	164
Figura 1.1.8-7. Cambios proyectados en la temperatura máxima (°C) por el ensamble multimodelo bajo los 4 escenarios RCP en el periodo 2061-2080 para la provincia Elías Piña.	165
Figura 1.1.8-8. Cambios proyectados en la temperatura máxima (°C) por el ensamble multimodelo bajo los 4 escenarios RCP en el periodo 2081-2100 para la provincia Elías Piña.	166
Figura 1.1.8-9. Cambios proyectados en la temperatura mínima (°C) por el ensamble multimodelo bajo los 4 escenarios RCP en el periodo 2021-2040 para la provincia Elías Piña.	167

Figura 1.1.8-10. Cambios proyectados en la temperatura mínima (°C) por el ensamble multimodelo bajo los 4 escenarios RCP en el periodo 2041-2060 para la provincia Elías Piña.	168
Figura 1.1.8-11. Cambios proyectados en la temperatura mínima (°C) por el ensamble multimodelo bajo los 4 escenarios RCP en el periodo 2061-2080 para la provincia Elías Piña.	169
Figura 1.1.8-12. Cambios proyectados en la temperatura mínima (°C) por el ensamble multimodelo bajo los 4 escenarios RCP en el periodo 2081-2100 para la provincia Elías Piña.	170
Figura 1.1.8-13. Cambios proyectados en la temperatura media (°C) por el ensamble multimodelo bajo los 4 escenarios RCP en el periodo 2021-2040 para la provincia Elías Piña.	171
Figura 1.1.8-14. Cambios proyectados en la temperatura media (°C) por el ensamble multimodelo bajo los 4 escenarios RCP en el periodo 2041-2060 para la provincia Elías Piña.	172
Figura 1.1.8-15. Cambios proyectados en la temperatura media (°C) por el ensamble multimodelo bajo los 4 escenarios RCP en el periodo 2061-2080 para la provincia Elías Piña.	173
Figura 1.1.8-16. Cambios proyectados en la temperatura media (°C) por el ensamble multimodelo bajo los 4 escenarios RCP en el periodo 2081-2100 para la provincia Elías Piña.	174
Figura 1.1.9-1. Cambios porcentuales de la precipitación (%) proyectados por el ensamble multimodelo bajo los 4 escenarios RCP en el periodo 2021-2040 para la provincia Espaillat.	177
Figura 1.1.9-2. Cambios porcentuales de la precipitación (%) proyectados por el ensamble multimodelo bajo los 4 escenarios RCP en el periodo 2041-2060 para la provincia Espaillat.	178
Figura 1.1.9-3. Cambios porcentuales de la precipitación (%) proyectados por el ensamble multimodelo bajo los 4 escenarios RCP en el periodo 2061-2080 para la provincia Espaillat.	179
Figura 1.1.9-4. Cambios porcentuales de la precipitación (%) proyectados por el ensamble multimodelo bajo los 4 escenarios RCP en el periodo 2081-2100 para la provincia Espaillat.	180
Figura 1.1.9-5. Cambios proyectados en la temperatura máxima (°C) por el ensamble multimodelo bajo los 4 escenarios RCP en el periodo 2021-2040 para la provincia Espaillat.	181
Figura 1.1.9-6. Cambios proyectados en la temperatura máxima (°C) por el ensamble multimodelo bajo los 4 escenarios RCP en el periodo 2041-2060 para la provincia Espaillat.	182
Figura 1.1.9-7. Cambios proyectados en la temperatura máxima (°C) por el ensamble multimodelo bajo los 4 escenarios RCP en el periodo 2061-2080 para la provincia Espaillat.	183
Figura 1.1.9-8. Cambios proyectados en la temperatura máxima (°C) por el ensamble multimodelo bajo los 4 escenarios RCP en el periodo 2081-2100 para la provincia Espaillat.	184
Figura 1.1.9-9. Cambios proyectados en la temperatura mínima (°C) por el ensamble multimodelo bajo los 4 escenarios RCP en el periodo 2021-2040 para la provincia Espaillat.	185
Figura 1.1.9-10. Cambios proyectados en la temperatura mínima (°C) por el ensamble multimodelo bajo los 4 escenarios RCP en el periodo 2041-2060 para la provincia Espaillat.	186
Figura 1.1.9-11. Cambios proyectados en la temperatura mínima (°C) por el ensamble multimodelo bajo los 4 escenarios RCP en el periodo 2061-2080 para la provincia Espaillat.	187
Figura 1.1.9-12. Cambios proyectados en la temperatura mínima (°C) por el ensamble multimodelo bajo los 4 escenarios RCP en el periodo 2081-2100 para la provincia Espaillat.	188
Figura 1.1.9-13. Cambios proyectados en la temperatura media (°C) por el ensamble multimodelo bajo los 4 escenarios RCP en el periodo 2021-2040 para la provincia Espaillat.	189
Figura 1.1.9-14. Cambios proyectados en la temperatura media (°C) por el ensamble multimodelo bajo los 4 escenarios RCP en el periodo 2041-2060 para la provincia Espaillat.	190
Figura 1.1.9-15. Cambios proyectados en la temperatura media (°C) por el ensamble multimodelo bajo los 4 escenarios RCP en el periodo 2061-2080 para la provincia Espaillat.	191
Figura 1.1.9-16. Cambios proyectados en la temperatura media (°C) por el ensamble multimodelo bajo los 4 escenarios RCP en el periodo 2081-2100 para la provincia Espaillat.	192

Figura 1.1.10-1. Cambios porcentuales de la precipitación (%) proyectados por el ensamble multimodelo bajo los 4 escenarios RCP en el periodo 2021-2040 para la provincia Hato Mayor.	195
Figura 1.1.10-2. Cambios porcentuales de la precipitación (%) proyectados por el ensamble multimodelo bajo los 4 escenarios RCP en el periodo 2041-2060 para la provincia Hato Mayor.	196
Figura 1.1.10-3. Cambios porcentuales de la precipitación (%) proyectados por el ensamble multimodelo bajo los 4 escenarios RCP en el periodo 2061-2080 para la provincia Hato Mayor.	197
Figura 1.1.10-4. Cambios porcentuales de la precipitación (%) proyectados por el ensamble multimodelo bajo los 4 escenarios RCP en el periodo 2081-2100 para la provincia Hato Mayor.	198
Figura 1.1.10-5. Cambios proyectados en la temperatura máxima (°C) por el ensamble multimodelo bajo los 4 escenarios RCP en el periodo 2021-2040 para la provincia Hato Mayor.	199
Figura 1.1.10-6. Cambios proyectados en la temperatura máxima (°C) por el ensamble multimodelo bajo los 4 escenarios RCP en el periodo 2041-2060 para la provincia Hato Mayor.	200
Figura 1.1.10-7. Cambios proyectados en la temperatura máxima (°C) por el ensamble multimodelo bajo los 4 escenarios RCP en el periodo 2061-2080 para la provincia Hato Mayor.	201
Figura 1.1.10-8. Cambios proyectados en la temperatura máxima (°C) por el ensamble multimodelo bajo los 4 escenarios RCP en el periodo 2081-2100 para la provincia Hato Mayor.	202
Figura 1.1.10-9. Cambios proyectados en la temperatura mínima (°C) por el ensamble multimodelo bajo los 4 escenarios RCP en el periodo 2021-2040 para la provincia Hato Mayor.	203
Figura 1.1.10-10. Cambios proyectados en la temperatura mínima (°C) por el ensamble multimodelo bajo los 4 escenarios RCP en el periodo 2041-2060 para la provincia Hato Mayor.	204
Figura 1.1.10-11. Cambios proyectados en la temperatura mínima (°C) por el ensamble multimodelo bajo los 4 escenarios RCP en el periodo 2061-2080 para la provincia Hato Mayor.	205
Figura 1.1.10-12. Cambios proyectados en la temperatura mínima (°C) por el ensamble multimodelo bajo los 4 escenarios RCP en el periodo 2081-2100 para la provincia Hato Mayor.	206
Figura 1.1.10-13. Cambios proyectados en la temperatura media (°C) por el ensamble multimodelo bajo los 4 escenarios RCP en el periodo 2021-2040 para la provincia Hato Mayor.	207
Figura 1.1.10-14. Cambios proyectados en la temperatura media (°C) por el ensamble multimodelo bajo los 4 escenarios RCP en el periodo 2041-2060 para la provincia Hato Mayor.	208
Figura 1.1.10-15. Cambios proyectados en la temperatura media (°C) por el ensamble multimodelo bajo los 4 escenarios RCP en el periodo 2061-2080 para la provincia Hato Mayor.	209
Figura 1.1.10-16. Cambios proyectados en la temperatura media (°C) por el ensamble multimodelo bajo los 4 escenarios RCP en el periodo 2081-2100 para la provincia Hato Mayor.	210
Figura 1.1.11-1. Cambios porcentuales de la precipitación (%) proyectados por el ensamble multimodelo bajo los 4 escenarios RCP en el periodo 2021-2040 para la provincia Hermanas Mirabal.	213
Figura 1.1.11-2. Cambios porcentuales de la precipitación (%) proyectados por el ensamble multimodelo bajo los 4 escenarios RCP en el periodo 2041-2060 para la provincia Hermanas Mirabal.	214
Figura 1.1.11-3. Cambios porcentuales de la precipitación (%) proyectados por el ensamble multimodelo bajo los 4 escenarios RCP en el periodo 2061-2080 para la provincia Hermanas Mirabal.	215
Figura 1.1.11-4. Cambios porcentuales de la precipitación (%) proyectados por el ensamble multimodelo bajo los 4 escenarios RCP en el periodo 2081-2100 para la provincia Hermanas Mirabal.	216
Figura 1.1.11-5. Cambios proyectados en la temperatura máxima (°C) por el ensamble multimodelo bajo los 4 escenarios RCP en el periodo 2021-2040 para la provincia Hermanas Mirabal.	217

Figura 1.1.11-6. Cambios proyectados en la temperatura máxima (°C) por el ensamble multimodelo bajo los 4 escenarios RCP en el periodo 2041-2060 para la provincia Hermanas Mirabal.	218
Figura 1.1.11-7. Cambios proyectados en la temperatura máxima (°C) por el ensamble multimodelo bajo los 4 escenarios RCP en el periodo 2061-2080 para la provincia Hermanas Mirabal.	219
Figura 1.1.11-8. Cambios proyectados en la temperatura máxima (°C) por el ensamble multimodelo bajo los 4 escenarios RCP en el periodo 2081-2100 para la provincia Hermanas Mirabal.	220
Figura 1.1.11-9. Cambios proyectados en la temperatura mínima (°C) por el ensamble multimodelo bajo los 4 escenarios RCP en el periodo 2021-2040 para la provincia Hermanas Mirabal.	221
Figura 1.1.11-10. Cambios proyectados en la temperatura mínima (°C) por el ensamble multimodelo bajo los 4 escenarios RCP en el periodo 2041-2060 para la provincia Hermanas Mirabal.	222
Figura 1.1.11-11. Cambios proyectados en la temperatura mínima (°C) por el ensamble multimodelo bajo los 4 escenarios RCP en el periodo 2061-2080 para la provincia Hermanas Mirabal.	223
Figura 1.1.11-12. Cambios proyectados en la temperatura mínima (°C) por el ensamble multimodelo bajo los 4 escenarios RCP en el periodo 2081-2100 para la provincia Hermanas Mirabal.	224
Figura 1.1.11-13. Cambios proyectados en la temperatura media (°C) por el ensamble multimodelo bajo los 4 escenarios RCP en el periodo 2021-2040 para la provincia Hermanas Mirabal.	225
Figura 1.1.11-14. Cambios proyectados en la temperatura media (°C) por el ensamble multimodelo bajo los 4 escenarios RCP en el periodo 2041-2060 para la provincia Hermanas Mirabal.	226
Figura 1.1.11-15. Cambios proyectados en la temperatura media (°C) por el ensamble multimodelo bajo los 4 escenarios RCP en el periodo 2061-2080 para la provincia Hermanas Mirabal.	227
Figura 1.1.11-16. Cambios proyectados en la temperatura media (°C) por el ensamble multimodelo bajo los 4 escenarios RCP en el periodo 2081-2100 para la provincia Hermanas Mirabal.	228
Figura 1.1.12-1. Cambios porcentuales de la precipitación (%) proyectados por el ensamble multimodelo bajo los 4 escenarios RCP en el periodo 2021-2040 para la provincia Independencia.	231
Figura 1.1.12-2. Cambios porcentuales de la precipitación (%) proyectados por el ensamble multimodelo bajo los 4 escenarios RCP en el periodo 2041-2060 para la provincia Independencia.	232
Figura 1.1.12-3. Cambios porcentuales de la precipitación (%) proyectados por el ensamble multimodelo bajo los 4 escenarios RCP en el periodo 2061-2080 para la provincia Independencia.	233
Figura 1.1.12-4. Cambios porcentuales de la precipitación (%) proyectados por el ensamble multimodelo bajo los 4 escenarios RCP en el periodo 2081-2100 para la provincia Independencia.	234
Figura 1.1.12-5. Cambios proyectados en la temperatura máxima (°C) por el ensamble multimodelo bajo los 4 escenarios RCP en el periodo 2021-2040 para la provincia Independencia.	235
Figura 1.1.12-6. Cambios proyectados en la temperatura máxima (°C) por el ensamble multimodelo bajo los 4 escenarios RCP en el periodo 2041-2060 para la provincia Independencia.	236

Figura 1.1.12-7. Cambios proyectados en la temperatura máxima (°C) por el ensamble multimodelo bajo los 4 escenarios RCP en el periodo 2061-2080 para la provincia Independencia.	237
Figura 1.1.12-8. Cambios proyectados en la temperatura máxima (°C) por el ensamble multimodelo bajo los 4 escenarios RCP en el periodo 2081-2100 para la provincia Independencia.	238
Figura 1.1.12-9. Cambios proyectados en la temperatura mínima (°C) por el ensamble multimodelo bajo los 4 escenarios RCP en el periodo 2021-2040 para la provincia Independencia.	239
Figura 1.1.12-10. Cambios proyectados en la temperatura mínima (°C) por el ensamble multimodelo bajo los 4 escenarios RCP en el periodo 2041-2060 para la provincia Independencia.	240
Figura 1.1.12-11. Cambios proyectados en la temperatura mínima (°C) por el ensamble multimodelo bajo los 4 escenarios RCP en el periodo 2061-2080 para la provincia Independencia.	241
Figura 1.1.12-12. Cambios proyectados en la temperatura mínima (°C) por el ensamble multimodelo bajo los 4 escenarios RCP en el periodo 2081-2100 para la provincia Independencia.	242
Figura 1.1.12-13. Cambios proyectados en la temperatura media (°C) por el ensamble multimodelo bajo los 4 escenarios RCP en el periodo 2021-2040 para la provincia Independencia.	243
Figura 1.1.12-14. Cambios proyectados en la temperatura media (°C) por el ensamble multimodelo bajo los 4 escenarios RCP en el periodo 2041-2060 para la provincia Independencia.	244
Figura 1.1.12-15. Cambios proyectados en la temperatura media (°C) por el ensamble multimodelo bajo los 4 escenarios RCP en el periodo 2061-2080 para la provincia Independencia.	245
Figura 1.1.12-16. Cambios proyectados en la temperatura media (°C) por el ensamble multimodelo bajo los 4 escenarios RCP en el periodo 2081-2100 para la provincia Independencia.	246
Figura 1.1.13-1. Cambios porcentuales de la precipitación (%) proyectados por el ensamble multimodelo bajo los 4 escenarios RCP en el periodo 2021-2040 para la provincia La Altagracia.	249
Figura 1.1.13-2. Cambios porcentuales de la precipitación (%) proyectados por el ensamble multimodelo bajo los 4 escenarios RCP en el periodo 2041-2060 para la provincia La Altagracia.	250
Figura 1.1.13-3. Cambios porcentuales de la precipitación (%) proyectados por el ensamble multimodelo bajo los 4 escenarios RCP en el periodo 2061-2080 para la provincia La Altagracia.	251
Figura 1.1.13-4. Cambios porcentuales de la precipitación (%) proyectados por el ensamble multimodelo bajo los 4 escenarios RCP en el periodo 2081-2100 para la provincia La Altagracia.	252
Figura 1.1.13-5. Cambios proyectados en la temperatura máxima (°C) por el ensamble multimodelo bajo los 4 escenarios RCP en el periodo 2021-2040 para la provincia La Altagracia.	253
Figura 1.1.13-6. Cambios proyectados en la temperatura máxima (°C) por el ensamble multimodelo bajo los 4 escenarios RCP en el periodo 2041-2060 para la provincia La Altagracia.	254
Figura 1.1.13-7. Cambios proyectados en la temperatura máxima (°C) por el ensamble multimodelo bajo los 4 escenarios RCP en el periodo 2061-2080 para la provincia La Altagracia.	255

Figura 1.1.13-8. Cambios proyectados en la temperatura máxima (°C) por el ensamble multimodelo bajo los 4 escenarios RCP en el periodo 2081-2100 para la provincia La Altagracia.	256
Figura 1.1.13-9. Cambios proyectados en la temperatura mínima (°C) por el ensamble multimodelo bajo los 4 escenarios RCP en el periodo 2021-2040 para la provincia La Altagracia.	257
Figura 1.1.13-10. Cambios proyectados en la temperatura mínima (°C) por el ensamble multimodelo bajo los 4 escenarios RCP en el periodo 2041-2060 para la provincia La Altagracia.	258
Figura 1.1.13-11. Cambios proyectados en la temperatura mínima (°C) por el ensamble multimodelo bajo los 4 escenarios RCP en el periodo 2061-2080 para la provincia La Altagracia.	259
Figura 1.1.13-12. Cambios proyectados en la temperatura mínima (°C) por el ensamble multimodelo bajo los 4 escenarios RCP en el periodo 2081-2100 para la provincia La Altagracia.	260
Figura 1.1.13-13. Cambios proyectados en la temperatura media (°C) por el ensamble multimodelo bajo los 4 escenarios RCP en el periodo 2021-2040 para la provincia La Altagracia.	261
Figura 1.1.13-14. Cambios proyectados en la temperatura media (°C) por el ensamble multimodelo bajo los 4 escenarios RCP en el periodo 2041-2060 para la provincia La Altagracia.	262
Figura 1.1.13-15. Cambios proyectados en la temperatura media (°C) por el ensamble multimodelo bajo los 4 escenarios RCP en el periodo 2061-2080 para la provincia La Altagracia.	263
Figura 1.1.13-16. Cambios proyectados en la temperatura media (°C) por el ensamble multimodelo bajo los 4 escenarios RCP en el periodo 2081-2100 para la provincia La Altagracia.	264
Figura 1.1.14-1. Cambios porcentuales de la precipitación (%) proyectados por el ensamble multimodelo bajo los 4 escenarios RCP en el periodo 2021-2040 para la provincia La Romana.	267
Figura 1.1.14-2. Cambios porcentuales de la precipitación (%) proyectados por el ensamble multimodelo bajo los 4 escenarios RCP en el periodo 2041-2060 para la provincia La Romana.	268
Figura 1.1.14-3. Cambios porcentuales de la precipitación (%) proyectados por el ensamble multimodelo bajo los 4 escenarios RCP en el periodo 2061-2080 para la provincia La Romana.	269
Figura 1.1.14-4. Cambios porcentuales de la precipitación (%) proyectados por el ensamble multimodelo bajo los 4 escenarios RCP en el periodo 2081-2100 para la provincia La Romana.	270
Figura 1.1.14-5. Cambios proyectados en la temperatura máxima (°C) por el ensamble multimodelo bajo los 4 escenarios RCP en el periodo 2021-2040 para la provincia La Romana.	271
Figura 1.1.14-6. Cambios proyectados en la temperatura máxima (°C) por el ensamble multimodelo bajo los 4 escenarios RCP en el periodo 2041-2060 para la provincia La Romana.	272
Figura 1.1.14-7. Cambios proyectados en la temperatura máxima (°C) por el ensamble multimodelo bajo los 4 escenarios RCP en el periodo 2061-2080 para la provincia La Romana.	273
Figura 1.1.14-8. Cambios proyectados en la temperatura máxima (°C) por el ensamble multimodelo bajo los 4 escenarios RCP en el periodo 2081-2100 para la provincia La Romana.	274
Figura 1.1.14-9. Cambios proyectados en la temperatura mínima (°C) por el ensamble multimodelo bajo los 4 escenarios RCP en el periodo 2021-2040 para la provincia La Romana.	275
Figura 1.1.14-10. Cambios proyectados en la temperatura mínima (°C) por el ensamble multimodelo bajo los 4 escenarios RCP en el periodo 2041-2060 para la provincia La Romana.	276
Figura 1.1.14-11. Cambios proyectados en la temperatura mínima (°C) por el ensamble multimodelo bajo los 4 escenarios RCP en el periodo 2061-2080 para la provincia La Romana.	277
Figura 1.1.14-12. Cambios proyectados en la temperatura mínima (°C) por el ensamble multimodelo bajo los 4 escenarios RCP en el periodo 2081-2100 para la provincia La Romana.	278

Figura 1.1.14-13. Cambios proyectados en la temperatura media (°C) por el ensamble multimodelo bajo los 4 escenarios RCP en el periodo 2021-2040 para la provincia La Romana.	279
Figura 1.1.14-14. Cambios proyectados en la temperatura media (°C) por el ensamble multimodelo bajo los 4 escenarios RCP en el periodo 2041-2060 para la provincia La Romana.	280
Figura 1.1.14-15. Cambios proyectados en la temperatura media (°C) por el ensamble multimodelo bajo los 4 escenarios RCP en el periodo 2061-2080 para la provincia La Romana.	281
Figura 1.1.14-16. Cambios proyectados en la temperatura media (°C) por el ensamble multimodelo bajo los 4 escenarios RCP en el periodo 2081-2100 para la provincia La Romana.	282
Figura 1.1.15-1. Cambios porcentuales de la precipitación (%) proyectados por el ensamble multimodelo bajo los 4 escenarios RCP en el periodo 2021-2040 para la provincia La Vega.	285
Figura 1.1.15-2. Cambios porcentuales de la precipitación (%) proyectados por el ensamble multimodelo bajo los 4 escenarios RCP en el periodo 2041-2060 para la provincia La Vega.	286
Figura 1.1.15-3. Cambios porcentuales de la precipitación (%) proyectados por el ensamble multimodelo bajo los 4 escenarios RCP en el periodo 2061-2080 para la provincia La Vega.	287
Figura 1.1.15-4. Cambios porcentuales de la precipitación (%) proyectados por el ensamble multimodelo bajo los 4 escenarios RCP en el periodo 2081-2100 para la provincia La Vega.	288
Figura 1.1.15-5. Cambios proyectados en la temperatura máxima (°C) por el ensamble multimodelo bajo los 4 escenarios RCP en el periodo 2021-2040 para la provincia La Vega.	289
Figura 1.1.15-6. Cambios proyectados en la temperatura máxima (°C) por el ensamble multimodelo bajo los 4 escenarios RCP en el periodo 2041-2060 para la provincia La Vega.	290
Figura 1.1.15-7. Cambios proyectados en la temperatura máxima (°C) por el ensamble multimodelo bajo los 4 escenarios RCP en el periodo 2061-2080 para la provincia La Vega.	291
Figura 1.1.15-8. Cambios proyectados en la temperatura máxima (°C) por el ensamble multimodelo bajo los 4 escenarios RCP en el periodo 2081-2100 para la provincia La Vega.	292
Figura 1.1.15-9. Cambios proyectados en la temperatura mínima (°C) por el ensamble multimodelo bajo los 4 escenarios RCP en el periodo 2021-2040 para la provincia La Vega.	293
Figura 1.1.15-10. Cambios proyectados en la temperatura mínima (°C) por el ensamble multimodelo bajo los 4 escenarios RCP en el periodo 2041-2060 para la provincia La Vega.	294
Figura 1.1.15-11. Cambios proyectados en la temperatura mínima (°C) por el ensamble multimodelo bajo los 4 escenarios RCP en el periodo 2061-2080 para la provincia La Vega.	295
Figura 1.1.15-12. Cambios proyectados en la temperatura mínima (°C) por el ensamble multimodelo bajo los 4 escenarios RCP en el periodo 2081-2100 para la provincia La Vega.	296
Figura 1.1.15-13. Cambios proyectados en la temperatura media (°C) por el ensamble multimodelo bajo los 4 escenarios RCP en el periodo 2021-2040 para la provincia La Vega.	297
Figura 1.1.15-14. Cambios proyectados en la temperatura media (°C) por el ensamble multimodelo bajo los 4 escenarios RCP en el periodo 2041-2060 para la provincia La Vega.	298
Figura 1.1.15-15. Cambios proyectados en la temperatura media (°C) por el ensamble multimodelo bajo los 4 escenarios RCP en el periodo 2061-2080 para la provincia La Vega.	299
Figura 1.1.15-16. Cambios proyectados en la temperatura media (°C) por el ensamble multimodelo bajo los 4 escenarios RCP en el periodo 2081-2100 para la provincia La Vega.	300
Figura 1.1.16-1. Cambios porcentuales de la precipitación (%) proyectados por el ensamble multimodelo bajo los 4 escenarios RCP en el periodo 2021-2040 para la provincia María Trinidad Sánchez.	303
Figura 1.1.16-2. Cambios porcentuales de la precipitación (%) proyectados por el ensamble multimodelo bajo los 4 escenarios RCP en el periodo 2041-2060 para la provincia María Trinidad Sánchez.	304

Figura 1.1.16-3. Cambios porcentuales de la precipitación (%) proyectados por el ensamble multimodelo bajo los 4 escenarios RCP en el periodo 2061-2080 para la provincia María Trinidad Sánchez.	305
Figura 1.1.16-4. Cambios porcentuales de la precipitación (%) proyectados por el ensamble multimodelo bajo los 4 escenarios RCP en el periodo 2081-2100 para la provincia María Trinidad Sánchez.	306
Figura 1.1.16-5. Cambios proyectados en la temperatura máxima (°C) por el ensamble multimodelo bajo los 4 escenarios RCP en el periodo 2021-2040 para la provincia María Trinidad Sánchez.	307
Figura 1.1.16-6. Cambios proyectados en la temperatura máxima (°C) por el ensamble multimodelo bajo los 4 escenarios RCP en el periodo 2041-2060 para la provincia María Trinidad Sánchez.	308
Figura 1.1.16-7. Cambios proyectados en la temperatura máxima (°C) por el ensamble multimodelo bajo los 4 escenarios RCP en el periodo 2061-2080 para la provincia María Trinidad Sánchez.	309
Figura 1.1.16-8. Cambios proyectados en la temperatura máxima (°C) por el ensamble multimodelo bajo los 4 escenarios RCP en el periodo 2081-2100 para la provincia María Trinidad Sánchez.	310
Figura 1.1.16-9. Cambios proyectados en la temperatura mínima (°C) por el ensamble multimodelo bajo los 4 escenarios RCP en el periodo 2021-2040 para la provincia María Trinidad Sánchez.	311
Figura 1.1.16-10. Cambios proyectados en la temperatura mínima (°C) por el ensamble multimodelo bajo los 4 escenarios RCP en el periodo 2041-2060 para la provincia María Trinidad Sánchez.	312
Figura 1.1.16-11. Cambios proyectados en la temperatura mínima (°C) por el ensamble multimodelo bajo los 4 escenarios RCP en el periodo 2061-2080 para la provincia María Trinidad Sánchez.	313
Figura 1.1.16-12. Cambios proyectados en la temperatura mínima (°C) por el ensamble multimodelo bajo los 4 escenarios RCP en el periodo 2081-2100 para la provincia María Trinidad Sánchez.	314
Figura 1.1.16-13. Cambios proyectados en la temperatura media (°C) por el ensamble multimodelo bajo los 4 escenarios RCP en el periodo 2021-2040 para la provincia María Trinidad Sánchez.	315
Figura 1.1.16-14. Cambios proyectados en la temperatura media (°C) por el ensamble multimodelo bajo los 4 escenarios RCP en el periodo 2041-2060 para la provincia María Trinidad Sánchez.	316
Figura 1.1.16-15. Cambios proyectados en la temperatura media (°C) por el ensamble multimodelo bajo los 4 escenarios RCP en el periodo 2061-2080 para la provincia María Trinidad Sánchez.	317
Figura 1.1.16-16. Cambios proyectados en la temperatura media (°C) por el ensamble multimodelo bajo los 4 escenarios RCP en el periodo 2081-2100 para la provincia María Trinidad Sánchez.	318
Figura 1.1.17-1. Cambios porcentuales de la precipitación (%) proyectados por el ensamble multimodelo bajo los 4 escenarios RCP en el periodo 2021-2040 para la provincia Monseñor Nouel.	321
Figura 1.1.17-2. Cambios porcentuales de la precipitación (%) proyectados por el ensamble multimodelo bajo los 4 escenarios RCP en el periodo 2041-2060 para la provincia Monseñor Nouel.	322
Figura 1.1.17-3. Cambios porcentuales de la precipitación (%) proyectados por el ensamble multimodelo bajo los 4 escenarios RCP en el periodo 2061-2080 para la provincia Monseñor Nouel.	323

Figura 1.1.17-4. Cambios porcentuales de la precipitación (%) proyectados por el ensamble multimodelo bajo los 4 escenarios RCP en el periodo 2081-2100 para la provincia Monseñor Nouel.	324
Figura 1.1.17-5. Cambios proyectados en la temperatura máxima (°C) por el ensamble multimodelo bajo los 4 escenarios RCP en el periodo 2021-2040 para la provincia Monseñor Nouel.	325
Figura 1.1.17-6. Cambios proyectados en la temperatura máxima (°C) por el ensamble multimodelo bajo los 4 escenarios RCP en el periodo 2041-2060 para la provincia Monseñor Nouel.	326
Figura 1.1.17-7. Cambios proyectados en la temperatura máxima (°C) por el ensamble multimodelo bajo los 4 escenarios RCP en el periodo 2061-2080 para la provincia Monseñor Nouel.	327
Figura 1.1.17-8. Cambios proyectados en la temperatura máxima (°C) por el ensamble multimodelo bajo los 4 escenarios RCP en el periodo 2081-2100 para la provincia Monseñor Nouel.	328
Figura 1.1.17-9. Cambios proyectados en la temperatura mínima (°C) por el ensamble multimodelo bajo los 4 escenarios RCP en el periodo 2021-2040 para la provincia Monseñor Nouel.	329
Figura 1.1.17-10. Cambios proyectados en la temperatura mínima (°C) por el ensamble multimodelo bajo los 4 escenarios RCP en el periodo 2041-2060 para la provincia Monseñor Nouel.	330
Figura 1.1.17-11. Cambios proyectados en la temperatura mínima (°C) por el ensamble multimodelo bajo los 4 escenarios RCP en el periodo 2061-2080 para la provincia Monseñor Nouel.	331
Figura 1.1.17-12. Cambios proyectados en la temperatura mínima (°C) por el ensamble multimodelo bajo los 4 escenarios RCP en el periodo 2081-2100 para la provincia Monseñor Nouel.	332
Figura 1.1.17-13. Cambios proyectados en la temperatura media (°C) por el ensamble multimodelo bajo los 4 escenarios RCP en el periodo 2021-2040 para la provincia Monseñor Nouel.	333
Figura 1.1.17-14. Cambios proyectados en la temperatura media (°C) por el ensamble multimodelo bajo los 4 escenarios RCP en el periodo 2041-2060 para la provincia Monseñor Nouel.	334
Figura 1.1.17-15. Cambios proyectados en la temperatura media (°C) por el ensamble multimodelo bajo los 4 escenarios RCP en el periodo 2061-2080 para la provincia Monseñor Nouel.	335
Figura 1.1.17-16. Cambios proyectados en la temperatura media (°C) por el ensamble multimodelo bajo los 4 escenarios RCP en el periodo 2081-2100 para la provincia Monseñor Nouel.	336
Figura 1.1.18-1. Cambios porcentuales de la precipitación (%) proyectados por el ensamble multimodelo bajo los 4 escenarios RCP en el periodo 2021-2040 para la provincia Monte Cristi.	339
Figura 1.1.18-2. Cambios porcentuales de la precipitación (%) proyectados por el ensamble multimodelo bajo los 4 escenarios RCP en el periodo 2041-2060 para la provincia Monte Cristi.	340
Figura 1.1.18-3. Cambios porcentuales de la precipitación (%) proyectados por el ensamble multimodelo bajo los 4 escenarios RCP en el periodo 2061-2080 para la provincia Monte Cristi.	341
Figura 1.1.18-4. Cambios porcentuales de la precipitación (%) proyectados por el ensamble multimodelo bajo los 4 escenarios RCP en el periodo 2081-2100 para la provincia Monte Cristi.	342
Figura 1.1.18-5. Cambios proyectados en la temperatura máxima (°C) por el ensamble multimodelo bajo los 4 escenarios RCP en el periodo 2021-2040 para la provincia Monte Cristi.	343
Figura 1.1.18-6. Cambios proyectados en la temperatura máxima (°C) por el ensamble multimodelo bajo los 4 escenarios RCP en el periodo 2041-2060 para la provincia Monte Cristi.	344

- Figura 1.1.18-7. Cambios proyectados en la temperatura máxima (°C) por el ensamble multimodelo bajo los 4 escenarios RCP en el periodo 2061-2080 para la provincia Monte Cristi.345
- Figura 1.1.18-8. Cambios proyectados en la temperatura máxima (°C) por el ensamble multimodelo bajo los 4 escenarios RCP en el periodo 2081-2100 para la provincia Monte Cristi.346
- Figura 1.1.18-9. Cambios proyectados en la temperatura mínima (°C) por el ensamble multimodelo bajo los 4 escenarios RCP en el periodo 2021-2040 para la provincia Monte Cristi. 347
- Figura 1.1.18-10. Cambios proyectados en la temperatura mínima (°C) por el ensamble multimodelo bajo los 4 escenarios RCP en el periodo 2041-2060 para la provincia Monte Cristi.348
- Figura 1.1.18-11. Cambios proyectados en la temperatura mínima (°C) por el ensamble multimodelo bajo los 4 escenarios RCP en el periodo 2061-2080 para la provincia Monte Cristi.349
- Figura 1.1.18-12. Cambios proyectados en la temperatura mínima (°C) por el ensamble multimodelo bajo los 4 escenarios RCP en el periodo 2081-2100 para la provincia Monte Cristi.350
- Figura 1.1.18-13. Cambios proyectados en la temperatura media (°C) por el ensamble multimodelo bajo los 4 escenarios RCP en el periodo 2021-2040 para la provincia Monte Cristi. 351
- Figura 1.1.18-14. Cambios proyectados en la temperatura media (°C) por el ensamble multimodelo bajo los 4 escenarios RCP en el periodo 2041-2060 para la provincia Monte Cristi. 352
- Figura 1.1.18-15. Cambios proyectados en la temperatura media (°C) por el ensamble multimodelo bajo los 4 escenarios RCP en el periodo 2061-2080 para la provincia Monte Cristi. 353
- Figura 1.1.18-16. Cambios proyectados en la temperatura media (°C) por el ensamble multimodelo bajo los 4 escenarios RCP en el periodo 2081-2100 para la provincia Monte Cristi. 354
- Figura 1.1.19-1. Cambios porcentuales de la precipitación (%) proyectados por el ensamble multimodelo bajo los 4 escenarios RCP en el periodo 2021-2040 para la provincia Monte Plata.357
- Figura 1.1.19-2. Cambios porcentuales de la precipitación (%) proyectados por el ensamble multimodelo bajo los 4 escenarios RCP en el periodo 2041-2060 para la provincia Monte Plata.358
- Figura 1.1.19-3. Cambios porcentuales de la precipitación (%) proyectados por el ensamble multimodelo bajo los 4 escenarios RCP en el periodo 2061-2080 para la provincia Monte Plata.359
- Figura 1.1.19-4. Cambios porcentuales de la precipitación (%) proyectados por el ensamble multimodelo bajo los 4 escenarios RCP en el periodo 2081-2100 para la provincia Monte Plata.360
- Figura 1.1.19-5. Cambios proyectados en la temperatura máxima (°C) por el ensamble multimodelo bajo los 4 escenarios RCP en el periodo 2021-2040 para la provincia Monte Plata.361
- Figura 1.1.19-6. Cambios proyectados en la temperatura máxima (°C) por el ensamble multimodelo bajo los 4 escenarios RCP en el periodo 2041-2060 para la provincia Monte Plata.362
- Figura 1.1.19-7. Cambios proyectados en la temperatura máxima (°C) por el ensamble multimodelo bajo los 4 escenarios RCP en el periodo 2061-2080 para la provincia Monte Plata.363
- Figura 1.1.19-8. Cambios proyectados en la temperatura máxima (°C) por el ensamble multimodelo bajo los 4 escenarios RCP en el periodo 2081-2100 para la provincia Monte Plata.364
- Figura 1.1.19-9. Cambios proyectados en la temperatura mínima (°C) por el ensamble multimodelo bajo los 4 escenarios RCP en el periodo 2021-2040 para la provincia Monte Plata. 365
- Figura 1.1.19-10. Cambios proyectados en la temperatura mínima (°C) por el ensamble multimodelo bajo los 4 escenarios RCP en el periodo 2041-2060 para la provincia Monte Plata.366
- Figura 1.1.19-11. Cambios proyectados en la temperatura mínima (°C) por el ensamble multimodelo bajo los 4 escenarios RCP en el periodo 2061-2080 para la provincia Monte Plata.367
- Figura 1.1.19-12. Cambios proyectados en la temperatura mínima (°C) por el ensamble multimodelo bajo los 4 escenarios RCP en el periodo 2081-2100 para la provincia Monte Plata.368
- Figura 1.1.19-13. Cambios proyectados en la temperatura media (°C) por el ensamble multimodelo bajo los 4 escenarios RCP en el periodo 2021-2040 para la provincia Monte Plata. 369

Figura 1.1.19-14. Cambios proyectados en la temperatura media (°C) por el ensamble multimodelo bajo los 4 escenarios RCP en el periodo 2041-2060 para la provincia Monte Plata.	370
Figura 1.1.19-15. Cambios proyectados en la temperatura media (°C) por el ensamble multimodelo bajo los 4 escenarios RCP en el periodo 2061-2080 para la provincia Monte Plata.	371
Figura 1.1.19-16. Cambios proyectados en la temperatura media (°C) por el ensamble multimodelo bajo los 4 escenarios RCP en el periodo 2081-2100 para la provincia Monte Plata.	372
Figura 1.1.20-1. Cambios porcentuales de la precipitación (%) proyectados por el ensamble multimodelo bajo los 4 escenarios RCP en el periodo 2021-2040 para la provincia Pedernales.	375
Figura 1.1.20-2. Cambios porcentuales de la precipitación (%) proyectados por el ensamble multimodelo bajo los 4 escenarios RCP en el periodo 2041-2060 para la provincia Pedernales.	376
Figura 1.1.20-3. Cambios porcentuales de la precipitación (%) proyectados por el ensamble multimodelo bajo los 4 escenarios RCP en el periodo 2061-2080 para la provincia Pedernales.	377
Figura 1.1.20-4. Cambios porcentuales de la precipitación (%) proyectados por el ensamble multimodelo bajo los 4 escenarios RCP en el periodo 2081-2100 para la provincia Pedernales.	378
Figura 1.1.20-5. Cambios proyectados en la temperatura máxima (°C) por el ensamble multimodelo bajo los 4 escenarios RCP en el periodo 2021-2040 para la provincia Pedernales.	379
Figura 1.1.20-6. Cambios proyectados en la temperatura máxima (°C) por el ensamble multimodelo bajo los 4 escenarios RCP en el periodo 2041-2060 para la provincia Pedernales.	380
Figura 1.1.20-7. Cambios proyectados en la temperatura máxima (°C) por el ensamble multimodelo bajo los 4 escenarios RCP en el periodo 2061-2080 para la provincia Pedernales.	381
Figura 1.1.20-8. Cambios proyectados en la temperatura máxima (°C) por el ensamble multimodelo bajo los 4 escenarios RCP en el periodo 2081-2100 para la provincia Pedernales.	382
Figura 1.1.20-9. Cambios proyectados en la temperatura mínima (°C) por el ensamble multimodelo bajo los 4 escenarios RCP en el periodo 2021-2040 para la provincia Pedernales.	383
Figura 1.1.20-10. Cambios proyectados en la temperatura mínima (°C) por el ensamble multimodelo bajo los 4 escenarios RCP en el periodo 2041-2060 para la provincia Pedernales.	384
Figura 1.1.20-11. Cambios proyectados en la temperatura mínima (°C) por el ensamble multimodelo bajo los 4 escenarios RCP en el periodo 2061-2080 para la provincia Pedernales.	385
Figura 1.1.20-12. Cambios proyectados en la temperatura mínima (°C) por el ensamble multimodelo bajo los 4 escenarios RCP en el periodo 2081-2100 para la provincia Pedernales.	386
Figura 1.1.20-13. Cambios proyectados en la temperatura media (°C) por el ensamble multimodelo bajo los 4 escenarios RCP en el periodo 2021-2040 para la provincia Pedernales.	387
Figura 1.1.20-14. Cambios proyectados en la temperatura media (°C) por el ensamble multimodelo bajo los 4 escenarios RCP en el periodo 2041-2060 para la provincia Pedernales.	388
Figura 1.1.20-15. Cambios proyectados en la temperatura media (°C) por el ensamble multimodelo bajo los 4 escenarios RCP en el periodo 2061-2080 para la provincia Pedernales.	389
Figura 1.1.20-16. Cambios proyectados en la temperatura media (°C) por el ensamble multimodelo bajo los 4 escenarios RCP en el periodo 2081-2100 para la provincia Pedernales.	390
Figura 1.1.21-1. Cambios porcentuales de la precipitación (%) proyectados por el ensamble multimodelo bajo los 4 escenarios RCP en el periodo 2021-2040 para la provincia Peravia.	393
Figura 1.1.21-2. Cambios porcentuales de la precipitación (%) proyectados por el ensamble multimodelo bajo los 4 escenarios RCP en el periodo 2041-2060 para la provincia Peravia.	394
Figura 1.1.21-3. Cambios porcentuales de la precipitación (%) proyectados por el ensamble multimodelo bajo los 4 escenarios RCP en el periodo 2061-2080 para la provincia Peravia.	395
Figura 1.1.21-4. Cambios porcentuales de la precipitación (%) proyectados por el ensamble multimodelo bajo los 4 escenarios RCP en el periodo 2081-2100 para la provincia Peravia.	396

Figura 1.1.21-5. Cambios proyectados en la temperatura máxima (°C) por el ensamble multimodelo bajo los 4 escenarios RCP en el periodo 2021-2040 para la provincia Peravia.	397
Figura 1.1.21-6. Cambios proyectados en la temperatura máxima (°C) por el ensamble multimodelo bajo los 4 escenarios RCP en el periodo 2041-2060 para la provincia Peravia.	398
Figura 1.1.21-7. Cambios proyectados en la temperatura máxima (°C) por el ensamble multimodelo bajo los 4 escenarios RCP en el periodo 2061-2080 para la provincia Peravia.	399
Figura 1.1.21-8. Cambios proyectados en la temperatura máxima (°C) por el ensamble multimodelo bajo los 4 escenarios RCP en el periodo 2081-2100 para la provincia Peravia.	400
Figura 1.1.21-9. Cambios proyectados en la temperatura mínima (°C) por el ensamble multimodelo bajo los 4 escenarios RCP en el periodo 2021-2040 para la provincia Peravia.	401
Figura 1.1.21-10. Cambios proyectados en la temperatura mínima (°C) por el ensamble multimodelo bajo los 4 escenarios RCP en el periodo 2041-2060 para la provincia Peravia.	402
Figura 1.1.21-11. Cambios proyectados en la temperatura mínima (°C) por el ensamble multimodelo bajo los 4 escenarios RCP en el periodo 2061-2080 para la provincia Peravia.	403
Figura 1.1.21-12. Cambios proyectados en la temperatura mínima (°C) por el ensamble multimodelo bajo los 4 escenarios RCP en el periodo 2081-2100 para la provincia Peravia.	404
Figura 1.1.21-13. Cambios proyectados en la temperatura media (°C) por el ensamble multimodelo bajo los 4 escenarios RCP en el periodo 2021-2040 para la provincia Peravia.	405
Figura 1.1.21-14. Cambios proyectados en la temperatura media (°C) por el ensamble multimodelo bajo los 4 escenarios RCP en el periodo 2041-2060 para la provincia Peravia.	406
Figura 1.1.21-15. Cambios proyectados en la temperatura media (°C) por el ensamble multimodelo bajo los 4 escenarios RCP en el periodo 2061-2080 para la provincia Peravia.	407
Figura 1.1.21-16. Cambios proyectados en la temperatura media (°C) por el ensamble multimodelo bajo los 4 escenarios RCP en el periodo 2081-2100 para la provincia Peravia.	408
Figura 1.1.22-1. Cambios porcentuales de la precipitación (%) proyectados por el ensamble multimodelo bajo los 4 escenarios RCP en el periodo 2021-2040 para la provincia Puerto Plata.	411
Figura 1.1.22-2. Cambios porcentuales de la precipitación (%) proyectados por el ensamble multimodelo bajo los 4 escenarios RCP en el periodo 2041-2060 para la provincia Puerto Plata.	412
Figura 1.1.22-3. Cambios porcentuales de la precipitación (%) proyectados por el ensamble multimodelo bajo los 4 escenarios RCP en el periodo 2061-2080 para la provincia Puerto Plata.	413
Figura 1.1.22-4. Cambios porcentuales de la precipitación (%) proyectados por el ensamble multimodelo bajo los 4 escenarios RCP en el periodo 2081-2100 para la provincia Puerto Plata.	414
Figura 1.1.22-5. Cambios proyectados en la temperatura máxima (°C) por el ensamble multimodelo bajo los 4 escenarios RCP en el periodo 2021-2040 para la provincia Puerto Plata.	415
Figura 1.1.22-6. Cambios proyectados en la temperatura máxima (°C) por el ensamble multimodelo bajo los 4 escenarios RCP en el periodo 2041-2060 para la provincia Puerto Plata.	416
Figura 1.1.22-7. Cambios proyectados en la temperatura máxima (°C) por el ensamble multimodelo bajo los 4 escenarios RCP en el periodo 2061-2080 para la provincia Puerto Plata.	417
Figura 1.1.22-8. Cambios proyectados en la temperatura máxima (°C) por el ensamble multimodelo bajo los 4 escenarios RCP en el periodo 2081-2100 para la provincia Puerto Plata.	418
Figura 1.1.22-9. Cambios proyectados en la temperatura mínima (°C) por el ensamble multimodelo bajo los 4 escenarios RCP en el periodo 2021-2040 para la provincia Puerto Plata.	419
Figura 1.1.22-10. Cambios proyectados en la temperatura mínima (°C) por el ensamble multimodelo bajo los 4 escenarios RCP en el periodo 2041-2060 para la provincia Puerto Plata.	420
Figura 1.1.22-11. Cambios proyectados en la temperatura mínima (°C) por el ensamble multimodelo bajo los 4 escenarios RCP en el periodo 2061-2080 para la provincia Puerto Plata.	421

Figura 1.1.22-12. Cambios proyectados en la temperatura mínima (°C) por el ensamble multimodelo bajo los 4 escenarios RCP en el periodo 2081-2100 para la provincia Puerto Plata.	422
Figura 1.1.22-13. Cambios proyectados en la temperatura media (°C) por el ensamble multimodelo bajo los 4 escenarios RCP en el periodo 2021-2040 para la provincia Puerto Plata.	423
Figura 1.1.22-14. Cambios proyectados en la temperatura media (°C) por el ensamble multimodelo bajo los 4 escenarios RCP en el periodo 2041-2060 para la provincia Puerto Plata.	424
Figura 1.1.22-15. Cambios proyectados en la temperatura media (°C) por el ensamble multimodelo bajo los 4 escenarios RCP en el periodo 2061-2080 para la provincia Puerto Plata.	425
Figura 1.1.22-16. Cambios proyectados en la temperatura media (°C) por el ensamble multimodelo bajo los 4 escenarios RCP en el periodo 2081-2100 para la provincia Puerto Plata.	426
Figura 1.1.23-1. Cambios porcentuales de la precipitación (%) proyectados por el ensamble multimodelo bajo los 4 escenarios RCP en el periodo 2021-2040 para la provincia Samaná.	429
Figura 1.1.23-2. Cambios porcentuales de la precipitación (%) proyectados por el ensamble multimodelo bajo los 4 escenarios RCP en el periodo 2041-2060 para la provincia Samaná.	430
Figura 1.1.23-3. Cambios porcentuales de la precipitación (%) proyectados por el ensamble multimodelo bajo los 4 escenarios RCP en el periodo 2061-2080 para la provincia Samaná.	431
Figura 1.1.23-4. Cambios porcentuales de la precipitación (%) proyectados por el ensamble multimodelo bajo los 4 escenarios RCP en el periodo 2081-2100 para la provincia Samaná.	432
Figura 1.1.23-5. Cambios proyectados en la temperatura máxima (°C) por el ensamble multimodelo bajo los 4 escenarios RCP en el periodo 2021-2040 para la provincia Samaná.	433
Figura 1.1.23-6. Cambios proyectados en la temperatura máxima (°C) por el ensamble multimodelo bajo los 4 escenarios RCP en el periodo 2041-2060 para la provincia Samaná.	434
Figura 1.1.23-7. Cambios proyectados en la temperatura máxima (°C) por el ensamble multimodelo bajo los 4 escenarios RCP en el periodo 2061-2080 para la provincia Samaná.	435
Figura 1.1.23-8. Cambios proyectados en la temperatura máxima (°C) por el ensamble multimodelo bajo los 4 escenarios RCP en el periodo 2081-2100 para la provincia Samaná.	436
Figura 1.1.23-9. Cambios proyectados en la temperatura mínima (°C) por el ensamble multimodelo bajo los 4 escenarios RCP en el periodo 2021-2040 para la provincia Samaná.	437
Figura 1.1.23-10. Cambios proyectados en la temperatura mínima (°C) por el ensamble multimodelo bajo los 4 escenarios RCP en el periodo 2041-2060 para la provincia Samaná.	438
Figura 1.1.23-11. Cambios proyectados en la temperatura mínima (°C) por el ensamble multimodelo bajo los 4 escenarios RCP en el periodo 2061-2080 para la provincia Samaná.	439
Figura 1.1.23-12. Cambios proyectados en la temperatura mínima (°C) por el ensamble multimodelo bajo los 4 escenarios RCP en el periodo 2081-2100 para la provincia Samaná.	440
Figura 1.1.23-13. Cambios proyectados en la temperatura media (°C) por el ensamble multimodelo bajo los 4 escenarios RCP en el periodo 2021-2040 para la provincia Samaná.	441
Figura 1.1.23-14. Cambios proyectados en la temperatura media (°C) por el ensamble multimodelo bajo los 4 escenarios RCP en el periodo 2041-2060 para la provincia Samaná.	442
Figura 1.1.23-15. Cambios proyectados en la temperatura media (°C) por el ensamble multimodelo bajo los 4 escenarios RCP en el periodo 2061-2080 para la provincia Samaná.	443
Figura 1.1.23-16. Cambios proyectados en la temperatura media (°C) por el ensamble multimodelo bajo los 4 escenarios RCP en el periodo 2081-2100 para la provincia Samaná.	444
Figura 1.1.24-1. Cambios porcentuales de la precipitación (%) proyectados por el ensamble multimodelo bajo los 4 escenarios RCP en el periodo 2021-2040 para la provincia San Cristóbal.	

- Figura 1.1.24-2. Cambios porcentuales de la precipitación (%) proyectados por el ensamble multimodelo bajo los 4 escenarios RCP en el periodo 2041-2060 para la provincia San Cristóbal. 448
- Figura 1.1.24-3. Cambios porcentuales de la precipitación (%) proyectados por el ensamble multimodelo bajo los 4 escenarios RCP en el periodo 2061-2080 para la provincia San Cristóbal. 449
- Figura 1.1.24-4. Cambios porcentuales de la precipitación (%) proyectados por el ensamble multimodelo bajo los 4 escenarios RCP en el periodo 2081-2100 para la provincia San Cristóbal. 450
- Figura 1.1.24-5. Cambios proyectados en la temperatura máxima (°C) por el ensamble multimodelo bajo los 4 escenarios RCP en el periodo 2021-2040 para la provincia San Cristóbal. 451
- Figura 1.1.24-6. Cambios proyectados en la temperatura máxima (°C) por el ensamble multimodelo bajo los 4 escenarios RCP en el periodo 2041-2060 para la provincia San Cristóbal. 452
- Figura 1.1.24-7. Cambios proyectados en la temperatura máxima (°C) por el ensamble multimodelo bajo los 4 escenarios RCP en el periodo 2061-2080 para la provincia San Cristóbal. 453
- Figura 1.1.24-8. Cambios proyectados en la temperatura máxima (°C) por el ensamble multimodelo bajo los 4 escenarios RCP en el periodo 2081-2100 para la provincia San Cristóbal. 454
- Figura 1.1.24-9. Cambios proyectados en la temperatura mínima (°C) por el ensamble multimodelo bajo los 4 escenarios RCP en el periodo 2021-2040 para la provincia San Cristóbal. 455
- Figura 1.1.24-10. Cambios proyectados en la temperatura mínima (°C) por el ensamble multimodelo bajo los 4 escenarios RCP en el periodo 2041-2060 para la provincia San Cristóbal. 456
- Figura 1.1.24-11. Cambios proyectados en la temperatura mínima (°C) por el ensamble multimodelo bajo los 4 escenarios RCP en el periodo 2061-2080 para la provincia San Cristóbal. 457
- Figura 1.1.24-12. Cambios proyectados en la temperatura mínima (°C) por el ensamble multimodelo bajo los 4 escenarios RCP en el periodo 2081-2100 para la provincia San Cristóbal. 458
- Figura 1.1.24-13. Cambios proyectados en la temperatura media (°C) por el ensamble multimodelo bajo los 4 escenarios RCP en el periodo 2021-2040 para la provincia San Cristóbal. 459
- Figura 1.1.24-14. Cambios proyectados en la temperatura media (°C) por el ensamble multimodelo bajo los 4 escenarios RCP en el periodo 2041-2060 para la provincia San Cristóbal. 460
- Figura 1.1.24-15. Cambios proyectados en la temperatura media (°C) por el ensamble multimodelo bajo los 4 escenarios RCP en el periodo 2061-2080 para la provincia San Cristóbal. 461
- Figura 1.1.24-16. Cambios proyectados en la temperatura media (°C) por el ensamble multimodelo bajo los 4 escenarios RCP en el periodo 2081-2100 para la provincia San Cristóbal. 462
- Figura 1.1.25-1. Cambios porcentuales de la precipitación (%) proyectados por el ensamble multimodelo bajo los 4 escenarios RCP en el periodo 2021-2040 para la provincia San José de Ocoa. 465
- Figura 1.1.25-2. Cambios porcentuales de la precipitación (%) proyectados por el ensamble multimodelo bajo los 4 escenarios RCP en el periodo 2041-2060 para la provincia San José de Ocoa. 466



Figura 1.1.25-3. Cambios porcentuales de la precipitación (%) proyectados por el ensamble multimodelo bajo los 4 escenarios RCP en el periodo 2061-2080 para la provincia San José de Ocoa.	467
Figura 1.1.25-4. Cambios porcentuales de la precipitación (%) proyectados por el ensamble multimodelo bajo los 4 escenarios RCP en el periodo 2081-2100 para la provincia San José de Ocoa.	468
Figura 1.1.25-5. Cambios proyectados en la temperatura máxima (°C) por el ensamble multimodelo bajo los 4 escenarios RCP en el periodo 2021-2040 para la provincia San José de Ocoa.	469
Figura 1.1.25-6. Cambios proyectados en la temperatura máxima (°C) por el ensamble multimodelo bajo los 4 escenarios RCP en el periodo 2041-2060 para la provincia San José de Ocoa.	470
Figura 1.1.25-7. Cambios proyectados en la temperatura máxima (°C) por el ensamble multimodelo bajo los 4 escenarios RCP en el periodo 2061-2080 para la provincia San José de Ocoa.	471
Figura 1.1.25-8. Cambios proyectados en la temperatura máxima (°C) por el ensamble multimodelo bajo los 4 escenarios RCP en el periodo 2081-2100 para la provincia San José de Ocoa.	472
Figura 1.1.25-9. Cambios proyectados en la temperatura mínima (°C) por el ensamble multimodelo bajo los 4 escenarios RCP en el periodo 2021-2040 para la provincia San José de Ocoa.	473
Figura 1.1.25-10. Cambios proyectados en la temperatura mínima (°C) por el ensamble multimodelo bajo los 4 escenarios RCP en el periodo 2041-2060 para la provincia San José de Ocoa.	474
Figura 1.1.25-11. Cambios proyectados en la temperatura mínima (°C) por el ensamble multimodelo bajo los 4 escenarios RCP en el periodo 2061-2080 para la provincia San José de Ocoa.	475
Figura 1.1.25-12. Cambios proyectados en la temperatura mínima (°C) por el ensamble multimodelo bajo los 4 escenarios RCP en el periodo 2081-2100 para la provincia San José de Ocoa.	476
Figura 1.1.25-13. Cambios proyectados en la temperatura media (°C) por el ensamble multimodelo bajo los 4 escenarios RCP en el periodo 2021-2040 para la provincia San José de Ocoa.	477
Figura 1.1.25-14. Cambios proyectados en la temperatura media (°C) por el ensamble multimodelo bajo los 4 escenarios RCP en el periodo 2041-2060 para la provincia San José de Ocoa.	478
Figura 1.1.25-15. Cambios proyectados en la temperatura media (°C) por el ensamble multimodelo bajo los 4 escenarios RCP en el periodo 2061-2080 para la provincia San José de Ocoa.	479
Figura 1.1.25-16. Cambios proyectados en la temperatura media (°C) por el ensamble multimodelo bajo los 4 escenarios RCP en el periodo 2081-2100 para la provincia San José de Ocoa.	480
Figura 1.1.26-1. Cambios porcentuales de la precipitación (%) proyectados por el ensamble multimodelo bajo los 4 escenarios RCP en el periodo 2021-2040 para la provincia San Juan.	483
Figura 1.1.26-2. Cambios porcentuales de la precipitación (%) proyectados por el ensamble multimodelo bajo los 4 escenarios RCP en el periodo 2041-2060 para la provincia San Juan.	484
Figura 1.1.26-3. Cambios porcentuales de la precipitación (%) proyectados por el ensamble multimodelo bajo los 4 escenarios RCP en el periodo 2061-2080 para la provincia San Juan.	485
Figura 1.1.26-4. Cambios porcentuales de la precipitación (%) proyectados por el ensamble multimodelo bajo los 4 escenarios RCP en el periodo 2081-2100 para la provincia San Juan.	486
Figura 1.1.26-5. Cambios proyectados en la temperatura máxima (°C) por el ensamble multimodelo bajo los 4 escenarios RCP en el periodo 2021-2040 para la provincia San Juan.	487

Figura 1.1.26-6. Cambios proyectados en la temperatura máxima (°C) por el ensamble multimodelo bajo los 4 escenarios RCP en el periodo 2041-2060 para la provincia San Juan.	488
Figura 1.1.26-7. Cambios proyectados en la temperatura máxima (°C) por el ensamble multimodelo bajo los 4 escenarios RCP en el periodo 2061-2080 para la provincia San Juan.	489
Figura 1.1.26-8. Cambios proyectados en la temperatura máxima (°C) por el ensamble multimodelo bajo los 4 escenarios RCP en el periodo 2081-2100 para la provincia San Juan.	490
Figura 1.1.26-9. Cambios proyectados en la temperatura mínima (°C) por el ensamble multimodelo bajo los 4 escenarios RCP en el periodo 2021-2040 para la provincia San Juan.	491
Figura 1.1.26-10. Cambios proyectados en la temperatura mínima (°C) por el ensamble multimodelo bajo los 4 escenarios RCP en el periodo 2041-2060 para la provincia San Juan.	492
Figura 1.1.26-11. Cambios proyectados en la temperatura mínima (°C) por el ensamble multimodelo bajo los 4 escenarios RCP en el periodo 2061-2080 para la provincia San Juan.	493
Figura 1.1.26-12. Cambios proyectados en la temperatura mínima (°C) por el ensamble multimodelo bajo los 4 escenarios RCP en el periodo 2081-2100 para la provincia San Juan.	494
Figura 1.1.26-13. Cambios proyectados en la temperatura media (°C) por el ensamble multimodelo bajo los 4 escenarios RCP en el periodo 2021-2040 para la provincia San Juan.	495
Figura 1.1.26-14. Cambios proyectados en la temperatura media (°C) por el ensamble multimodelo bajo los 4 escenarios RCP en el periodo 2041-2060 para la provincia San Juan.	496
Figura 1.1.26-15. Cambios proyectados en la temperatura media (°C) por el ensamble multimodelo bajo los 4 escenarios RCP en el periodo 2061-2080 para la provincia San Juan.	497
Figura 1.1.26-16. Cambios proyectados en la temperatura media (°C) por el ensamble multimodelo bajo los 4 escenarios RCP en el periodo 2081-2100 para la provincia San Juan.	498
Figura 1.1.27-1. Cambios porcentuales de la precipitación (%) proyectados por el ensamble multimodelo bajo los 4 escenarios RCP en el periodo 2021-2040 para la provincia San Pedro de Macorís.	501
Figura 1.1.27-2. Cambios porcentuales de la precipitación (%) proyectados por el ensamble multimodelo bajo los 4 escenarios RCP en el periodo 2041-2060 para la provincia San Pedro de Macorís.	502
Figura 1.1.27-3. Cambios porcentuales de la precipitación (%) proyectados por el ensamble multimodelo bajo los 4 escenarios RCP en el periodo 2061-2080 para la provincia San Pedro de Macorís.	503
Figura 1.1.27-4. Cambios porcentuales de la precipitación (%) proyectados por el ensamble multimodelo bajo los 4 escenarios RCP en el periodo 2081-2100 para la provincia San Pedro de Macorís.	504
Figura 1.1.27-5. Cambios proyectados en la temperatura máxima (°C) por el ensamble multimodelo bajo los 4 escenarios RCP en el periodo 2021-2040 para la provincia San Pedro de Macorís.	505
Figura 1.1.27-6. Cambios proyectados en la temperatura máxima (°C) por el ensamble multimodelo bajo los 4 escenarios RCP en el periodo 2041-2060 para la provincia San Pedro de Macorís.	506
Figura 1.1.27-7. Cambios proyectados en la temperatura máxima (°C) por el ensamble multimodelo bajo los 4 escenarios RCP en el periodo 2061-2080 para la provincia San Pedro de Macorís.	507
Figura 1.1.27-8. Cambios proyectados en la temperatura máxima (°C) por el ensamble multimodelo bajo los 4 escenarios RCP en el periodo 2081-2100 para la provincia San Pedro de Macorís.	508

Figura 1.1.27-9. Cambios proyectados en la temperatura mínima (°C) por el ensamble multimodelo bajo los 4 escenarios RCP en el periodo 2021-2040 para la provincia San Pedro de Macorís.	509
Figura 1.1.27-10. Cambios proyectados en la temperatura mínima (°C) por el ensamble multimodelo bajo los 4 escenarios RCP en el periodo 2041-2060 para la provincia San Pedro de Macorís.	510
Figura 1.1.27-11. Cambios proyectados en la temperatura mínima (°C) por el ensamble multimodelo bajo los 4 escenarios RCP en el periodo 2061-2080 para la provincia San Pedro de Macorís.	511
Figura 1.1.27-12. Cambios proyectados en la temperatura mínima (°C) por el ensamble multimodelo bajo los 4 escenarios RCP en el periodo 2081-2100 para la provincia San Pedro de Macorís.	512
Figura 1.1.27-13. Cambios proyectados en la temperatura media (°C) por el ensamble multimodelo bajo los 4 escenarios RCP en el periodo 2021-2040 para la provincia San Pedro de Macorís.	513
Figura 1.1.27-14. Cambios proyectados en la temperatura media (°C) por el ensamble multimodelo bajo los 4 escenarios RCP en el periodo 2041-2060 para la provincia San Pedro de Macorís.	514
Figura 1.1.27-15. Cambios proyectados en la temperatura media (°C) por el ensamble multimodelo bajo los 4 escenarios RCP en el periodo 2061-2080 para la provincia San Pedro de Macorís.	515
Figura 1.1.27-16. Cambios proyectados en la temperatura media (°C) por el ensamble multimodelo bajo los 4 escenarios RCP en el periodo 2081-2100 para la provincia San Pedro de Macorís.	516
Figura 1.1.28-1. Cambios porcentuales de la precipitación (%) proyectados por el ensamble multimodelo bajo los 4 escenarios RCP en el periodo 2021-2040 para la provincia Sánchez Ramírez.	519
Figura 1.1.28-2. Cambios porcentuales de la precipitación (%) proyectados por el ensamble multimodelo bajo los 4 escenarios RCP en el periodo 2041-2060 para la provincia Sánchez Ramírez.	520
Figura 1.1.28-3. Cambios porcentuales de la precipitación (%) proyectados por el ensamble multimodelo bajo los 4 escenarios RCP en el periodo 2061-2080 para la provincia Sánchez Ramírez.	521
Figura 1.1.28-4. Cambios porcentuales de la precipitación (%) proyectados por el ensamble multimodelo bajo los 4 escenarios RCP en el periodo 2081-2100 para la provincia Sánchez Ramírez.	522
Figura 1.1.28-5. Cambios proyectados en la temperatura máxima (°C) por el ensamble multimodelo bajo los 4 escenarios RCP en el periodo 2021-2040 para la provincia Sánchez Ramírez.	523
Figura 1.1.28-6. Cambios proyectados en la temperatura máxima (°C) por el ensamble multimodelo bajo los 4 escenarios RCP en el periodo 2041-2060 para la provincia Sánchez Ramírez.	524
Figura 1.1.28-7. Cambios proyectados en la temperatura máxima (°C) por el ensamble multimodelo bajo los 4 escenarios RCP en el periodo 2061-2080 para la provincia Sánchez Ramírez.	525
Figura 1.1.28-8. Cambios proyectados en la temperatura máxima (°C) por el ensamble multimodelo bajo los 4 escenarios RCP en el periodo 2081-2100 para la provincia Sánchez Ramírez.	526
Figura 1.1.28-9. Cambios proyectados en la temperatura mínima (°C) por el ensamble multimodelo bajo los 4 escenarios RCP en el periodo 2021-2040 para la provincia Sánchez Ramírez.	527

Figura 1.1.28-10. Cambios proyectados en la temperatura mínima (°C) por el ensamble multimodelo bajo los 4 escenarios RCP en el periodo 2041-2060 para la provincia Sánchez Ramírez.	528
Figura 1.1.28-11. Cambios proyectados en la temperatura mínima (°C) por el ensamble multimodelo bajo los 4 escenarios RCP en el periodo 2061-2080 para la provincia Sánchez Ramírez.	529
Figura 1.1.28-12. Cambios proyectados en la temperatura mínima (°C) por el ensamble multimodelo bajo los 4 escenarios RCP en el periodo 2081-2100 para la provincia Sánchez Ramírez.	530
Figura 1.1.28-13. Cambios proyectados en la temperatura media (°C) por el ensamble multimodelo bajo los 4 escenarios RCP en el periodo 2021-2040 para la provincia Sánchez Ramírez.	531
Figura 1.1.28-14. Cambios proyectados en la temperatura media (°C) por el ensamble multimodelo bajo los 4 escenarios RCP en el periodo 2041-2060 para la provincia Sánchez Ramírez.	532
Figura 1.1.28-15. Cambios proyectados en la temperatura media (°C) por el ensamble multimodelo bajo los 4 escenarios RCP en el periodo 2061-2080 para la provincia Sánchez Ramírez.	533
Figura 1.1.28-16. Cambios proyectados en la temperatura media (°C) por el ensamble multimodelo bajo los 4 escenarios RCP en el periodo 2081-2100 para la provincia Sánchez Ramírez.	534
Figura 1.1.29-1. Cambios porcentuales de la precipitación (%) proyectados por el ensamble multimodelo bajo los 4 escenarios RCP en el periodo 2021-2040 para la provincia Santiago.	537
Figura 1.1.29-2. Cambios porcentuales de la precipitación (%) proyectados por el ensamble multimodelo bajo los 4 escenarios RCP en el periodo 2041-2060 para la provincia Santiago.	538
Figura 1.1.29-3. Cambios porcentuales de la precipitación (%) proyectados por el ensamble multimodelo bajo los 4 escenarios RCP en el periodo 2061-2080 para la provincia Santiago.	539
Figura 1.1.29-4. Cambios porcentuales de la precipitación (%) proyectados por el ensamble multimodelo bajo los 4 escenarios RCP en el periodo 2081-2100 para la provincia Santiago.	540
Figura 1.1.29-5. Cambios proyectados en la temperatura máxima (°C) por el ensamble multimodelo bajo los 4 escenarios RCP en el periodo 2021-2040 para la provincia Santiago.	541
Figura 1.1.29-6. Cambios proyectados en la temperatura máxima (°C) por el ensamble multimodelo bajo los 4 escenarios RCP en el periodo 2041-2060 para la provincia Santiago.	542
Figura 1.1.29-7. Cambios proyectados en la temperatura máxima (°C) por el ensamble multimodelo bajo los 4 escenarios RCP en el periodo 2061-2080 para la provincia Santiago.	543
Figura 1.1.29-8. Cambios proyectados en la temperatura máxima (°C) por el ensamble multimodelo bajo los 4 escenarios RCP en el periodo 2081-2100 para la provincia Santiago.	544
Figura 1.1.29-9. Cambios proyectados en la temperatura mínima (°C) por el ensamble multimodelo bajo los 4 escenarios RCP en el periodo 2021-2040 para la provincia Santiago.	545
Figura 1.1.29-10. Cambios proyectados en la temperatura mínima (°C) por el ensamble multimodelo bajo los 4 escenarios RCP en el periodo 2041-2060 para la provincia Santiago.	546
Figura 1.1.29-11. Cambios proyectados en la temperatura mínima (°C) por el ensamble multimodelo bajo los 4 escenarios RCP en el periodo 2061-2080 para la provincia Santiago.	547
Figura 1.1.29-12. Cambios proyectados en la temperatura mínima (°C) por el ensamble multimodelo bajo los 4 escenarios RCP en el periodo 2081-2100 para la provincia Santiago.	548
Figura 1.1.29-13. Cambios proyectados en la temperatura media (°C) por el ensamble multimodelo bajo los 4 escenarios RCP en el periodo 2021-2040 para la provincia Santiago.	549
Figura 1.1.29-14. Cambios proyectados en la temperatura media (°C) por el ensamble multimodelo bajo los 4 escenarios RCP en el periodo 2041-2060 para la provincia Santiago.	550
Figura 1.1.29-15. Cambios proyectados en la temperatura media (°C) por el ensamble multimodelo bajo los 4 escenarios RCP en el periodo 2061-2080 para la provincia Santiago.	551

Figura 1.1.29-16. Cambios proyectados en la temperatura media (°C) por el ensamble multimodelo bajo los 4 escenarios RCP en el periodo 2081-2100 para la provincia Santiago.	552
Figura 1.1.30-1. Cambios porcentuales de la precipitación (%) proyectados por el ensamble multimodelo bajo los 4 escenarios RCP en el periodo 2021-2040 para la provincia Santiago Rodríguez.	555
Figura 1.1.30-2. Cambios porcentuales de la precipitación (%) proyectados por el ensamble multimodelo bajo los 4 escenarios RCP en el periodo 2041-2060 para la provincia Santiago Rodríguez.	556
Figura 1.1.30-3. Cambios porcentuales de la precipitación (%) proyectados por el ensamble multimodelo bajo los 4 escenarios RCP en el periodo 2061-2080 para la provincia Santiago Rodríguez.	557
Figura 1.1.30-4. Cambios porcentuales de la precipitación (%) proyectados por el ensamble multimodelo bajo los 4 escenarios RCP en el periodo 2081-2100 para la provincia Santiago Rodríguez.	558
Figura 1.1.30-5. Cambios proyectados en la temperatura máxima (°C) por el ensamble multimodelo bajo los 4 escenarios RCP en el periodo 2021-2040 para la provincia Santiago Rodríguez.	559
Figura 1.1.30-6. Cambios proyectados en la temperatura máxima (°C) por el ensamble multimodelo bajo los 4 escenarios RCP en el periodo 2041-2060 para la provincia Santiago Rodríguez.	560
Figura 1.1.30-7. Cambios proyectados en la temperatura máxima (°C) por el ensamble multimodelo bajo los 4 escenarios RCP en el periodo 2061-2080 para la provincia Santiago Rodríguez.	561
Figura 1.1.30-8. Cambios proyectados en la temperatura máxima (°C) por el ensamble multimodelo bajo los 4 escenarios RCP en el periodo 2081-2100 para la provincia Santiago Rodríguez.	562
Figura 1.1.30-9. Cambios proyectados en la temperatura mínima (°C) por el ensamble multimodelo bajo los 4 escenarios RCP en el periodo 2021-2040 para la provincia Santiago Rodríguez.	563
Figura 1.1.30-10. Cambios proyectados en la temperatura mínima (°C) por el ensamble multimodelo bajo los 4 escenarios RCP en el periodo 2041-2060 para la provincia Santiago Rodríguez.	564
Figura 1.1.30-11. Cambios proyectados en la temperatura mínima (°C) por el ensamble multimodelo bajo los 4 escenarios RCP en el periodo 2061-2080 para la provincia Santiago Rodríguez.	565
Figura 1.1.30-12. Cambios proyectados en la temperatura mínima (°C) por el ensamble multimodelo bajo los 4 escenarios RCP en el periodo 2081-2100 para la provincia Santiago Rodríguez.	566
Figura 1.1.30-13. Cambios proyectados en la temperatura media (°C) por el ensamble multimodelo bajo los 4 escenarios RCP en el periodo 2021-2040 para la provincia Santiago Rodríguez.	567
Figura 1.1.30-14. Cambios proyectados en la temperatura media (°C) por el ensamble multimodelo bajo los 4 escenarios RCP en el periodo 2041-2060 para la provincia Santiago Rodríguez.	568
Figura 1.1.30-15. Cambios proyectados en la temperatura media (°C) por el ensamble multimodelo bajo los 4 escenarios RCP en el periodo 2061-2080 para la provincia Santiago Rodríguez.	569
Figura 1.1.30-16. Cambios proyectados en la temperatura media (°C) por el ensamble multimodelo bajo los 4 escenarios RCP en el periodo 2081-2100 para la provincia Santiago Rodríguez.	570

Figura 1.1.31-1. Cambios porcentuales de la precipitación (%) proyectados por el ensamble multimodelo bajo los 4 escenarios RCP en el periodo 2021-2040 para la provincia Santo Domingo.	573
Figura 1.1.31-2. Cambios porcentuales de la precipitación (%) proyectados por el ensamble multimodelo bajo los 4 escenarios RCP en el periodo 2041-2060 para la provincia Santo Domingo.	574
Figura 1.1.31-3. Cambios porcentuales de la precipitación (%) proyectados por el ensamble multimodelo bajo los 4 escenarios RCP en el periodo 2061-2080 para la provincia Santo Domingo.	575
Figura 1.1.31-4. Cambios porcentuales de la precipitación (%) proyectados por el ensamble multimodelo bajo los 4 escenarios RCP en el periodo 2081-2100 para la provincia Santo Domingo.	576
Figura 1.1.31-5. Cambios proyectados en la temperatura máxima (°C) por el ensamble multimodelo bajo los 4 escenarios RCP en el periodo 2021-2040 para la provincia Santo Domingo.	577
Figura 1.1.31-6. Cambios proyectados en la temperatura máxima (°C) por el ensamble multimodelo bajo los 4 escenarios RCP en el periodo 2041-2060 para la provincia Santo Domingo.	578
Figura 1.1.31-7. Cambios proyectados en la temperatura máxima (°C) por el ensamble multimodelo bajo los 4 escenarios RCP en el periodo 2061-2080 para la provincia Santo Domingo.	579
Figura 1.1.31-8. Cambios proyectados en la temperatura máxima (°C) por el ensamble multimodelo bajo los 4 escenarios RCP en el periodo 2081-2100 para la provincia Santo Domingo.	580
Figura 1.1.31-9. Cambios proyectados en la temperatura mínima (°C) por el ensamble multimodelo bajo los 4 escenarios RCP en el periodo 2021-2040 para la provincia Santo Domingo.	581
Figura 1.1.31-10. Cambios proyectados en la temperatura mínima (°C) por el ensamble multimodelo bajo los 4 escenarios RCP en el periodo 2041-2060 para la provincia Santo Domingo.	582
Figura 1.1.31-11. Cambios proyectados en la temperatura mínima (°C) por el ensamble multimodelo bajo los 4 escenarios RCP en el periodo 2061-2080 para la provincia Santo Domingo.	583
Figura 1.1.31-12. Cambios proyectados en la temperatura mínima (°C) por el ensamble multimodelo bajo los 4 escenarios RCP en el periodo 2081-2100 para la provincia Santo Domingo.	584
Figura 1.1.31-13. Cambios proyectados en la temperatura media (°C) por el ensamble multimodelo bajo los 4 escenarios RCP en el periodo 2021-2040 para la provincia Santo Domingo.	585
Figura 1.1.31-14. Cambios proyectados en la temperatura media (°C) por el ensamble multimodelo bajo los 4 escenarios RCP en el periodo 2041-2060 para la provincia Santo Domingo.	586
Figura 1.1.31-15. Cambios proyectados en la temperatura media (°C) por el ensamble multimodelo bajo los 4 escenarios RCP en el periodo 2061-2080 para la provincia Santo Domingo.	587
Figura 1.1.31-16. Cambios proyectados en la temperatura media (°C) por el ensamble multimodelo bajo los 4 escenarios RCP en el periodo 2081-2100 para la provincia Santo Domingo.	588
Figura 1.1.32-1. Cambios porcentuales de la precipitación (%) proyectados por el ensamble multimodelo bajo los 4 escenarios RCP en el periodo 2021-2040 para la provincia Valverde.	591
Figura 1.1.32-2. Cambios porcentuales de la precipitación (%) proyectados por el ensamble multimodelo bajo los 4 escenarios RCP en el periodo 2041-2060 para la provincia Valverde.	592

Figura 1.1.32-3. Cambios porcentuales de la precipitación (%) proyectados por el ensamble multimodelo bajo los 4 escenarios RCP en el periodo 2061-2080 para la provincia Valverde.	593
Figura 1.1.32-4. Cambios porcentuales de la precipitación (%) proyectados por el ensamble multimodelo bajo los 4 escenarios RCP en el periodo 2081-2100 para la provincia Valverde.	594
Figura 1.1.32-5. Cambios proyectados en la temperatura máxima (°C) por el ensamble multimodelo bajo los 4 escenarios RCP en el periodo 2021-2040 para la provincia Valverde.	595
Figura 1.1.32-6. Cambios proyectados en la temperatura máxima (°C) por el ensamble multimodelo bajo los 4 escenarios RCP en el periodo 2041-2060 para la provincia Valverde.	596
Figura 1.1.32-7. Cambios proyectados en la temperatura máxima (°C) por el ensamble multimodelo bajo los 4 escenarios RCP en el periodo 2061-2080 para la provincia Valverde.	597
Figura 1.1.32-8. Cambios proyectados en la temperatura máxima (°C) por el ensamble multimodelo bajo los 4 escenarios RCP en el periodo 2081-2100 para la provincia Valverde.	598
Figura 1.1.32-9. Cambios proyectados en la temperatura mínima (°C) por el ensamble multimodelo bajo los 4 escenarios RCP en el periodo 2021-2040 para la provincia Valverde.	599
Figura 1.1.32-10. Cambios proyectados en la temperatura mínima (°C) por el ensamble multimodelo bajo los 4 escenarios RCP en el periodo 2041-2060 para la provincia Valverde.	600
Figura 1.1.32-11. Cambios proyectados en la temperatura mínima (°C) por el ensamble multimodelo bajo los 4 escenarios RCP en el periodo 2061-2080 para la provincia Valverde.	601
Figura 1.1.32-12. Cambios proyectados en la temperatura mínima (°C) por el ensamble multimodelo bajo los 4 escenarios RCP en el periodo 2081-2100 para la provincia Valverde.	602
Figura 1.1.32-13. Cambios proyectados en la temperatura media (°C) por el ensamble multimodelo bajo los 4 escenarios RCP en el periodo 2021-2040 para la provincia Valverde.	603
Figura 1.1.32-14. Cambios proyectados en la temperatura media (°C) por el ensamble multimodelo bajo los 4 escenarios RCP en el periodo 2041-2060 para la provincia Valverde.	604
Figura 1.1.32-15. Cambios proyectados en la temperatura media (°C) por el ensamble multimodelo bajo los 4 escenarios RCP en el periodo 2061-2080 para la provincia Valverde.	605
Figura 1.1.32-16. Cambios proyectados en la temperatura media (°C) por el ensamble multimodelo bajo los 4 escenarios RCP en el periodo 2081-2100 para la provincia Valverde.	606
Figura 1.2.1-1. Aumento del nivel del mar (cm por año) proyectado por el ensamble multimodelo bajo los 4 escenarios RCP en el periodo 2021-2040 para la provincia Azua.	608
Figura 1.2.1-2. Aumento del nivel del mar (cm por año) proyectado por el ensamble multimodelo bajo los 4 escenarios RCP en el periodo 2041-2060 para la provincia Azua.	609
Figura 1.2.1-3. Aumento del nivel del mar (cm por año) proyectado por el ensamble multimodelo bajo los 4 escenarios RCP en el periodo 2061-2080 para la provincia Azua.	610
Figura 1.2.1-4. Aumento del nivel del mar (cm por año) proyectado por el ensamble multimodelo bajo los 4 escenarios RCP en el periodo 2081-2100 para la Provincia Azua.	611
Figura 1.2.2-1. Aumento del nivel del mar (cm por año) proyectado por el ensamble multimodelo bajo los 4 escenarios RCP en el periodo 2021-2040 para la provincia Barahona.	613
Figura 1.2.2-2. Aumento del nivel del mar (cm por año) proyectado por el ensamble multimodelo bajo los 4 escenarios RCP en el periodo 2041-2060 para la provincia Barahona.	614
Figura 1.2.2-3. Aumento del nivel del mar (cm por año) proyectado por el ensamble multimodelo bajo los 4 escenarios RCP en el periodo 2061-2080 para la provincia Barahona.	615
Figura 1.2.2-4. Aumento del nivel del mar (cm por año) proyectado por el ensamble multimodelo bajo los 4 escenarios RCP en el periodo 2081-2100 para la provincia Barahona.	616
Figura 1.2.3-1. Aumento del nivel del mar (cm por año) proyectado por el ensamble multimodelo bajo los 4 escenarios RCP en el periodo 2021-2040 para la provincia El Seibo.	618

Figura 1.2.3-2. Aumento del nivel del mar (cm por año) proyectado por el ensamble multimodelo bajo los 4 escenarios RCP en el periodo 2041-2060 para la provincia El Seibo.	619
Figura 1.2.3-3. Aumento del nivel del mar (cm por año) proyectado por el ensamble multimodelo bajo los 4 escenarios RCP en el periodo 2061-2080 para la provincia El Seibo.	620
Figura 1.2.3-4. Aumento del nivel del mar (cm por año) proyectado por el ensamble multimodelo bajo los 4 escenarios RCP en el periodo 2081-2100 para la provincia El Seibo.	621
Figura 1.2.4-1. Aumento del nivel del mar (cm por año) proyectado por el ensamble multimodelo bajo los 4 escenarios RCP en el periodo 2021-2040 para la provincia Espaillat.	623
Figura 1.2.4-2. Aumento del nivel del mar (cm por año) proyectado por el ensamble multimodelo bajo los 4 escenarios RCP en el periodo 2041-2060 para la provincia Espaillat.	624
Figura 1.2.4-3. Aumento del nivel del mar (cm por año) proyectado por el ensamble multimodelo bajo los 4 escenarios RCP en el periodo 2061-2080 para la provincia Espaillat.	625
Figura 1.2.4-4. Aumento del nivel del mar (cm por año) proyectado por el ensamble multimodelo bajo los 4 escenarios RCP en el periodo 2081-2100 para la provincia Espaillat.	626
Figura 1.2.5-1. Aumento del nivel del mar (cm por año) proyectado por el ensamble multimodelo bajo los 4 escenarios RCP en el periodo 2021-2040 para la provincia Hato Mayor.	628
Figura 1.2.5-2. Aumento del nivel del mar (cm por año) proyectado por el ensamble multimodelo bajo los 4 escenarios RCP en el periodo 2041-2060 para la provincia Hato Mayor.	629
Figura 1.2.5-3. Aumento del nivel del mar (cm por año) proyectado por el ensamble multimodelo bajo los 4 escenarios RCP en el periodo 2061-2080 para la provincia Hato Mayor.	630
Figura 1.2.5-4. Aumento del nivel del mar (cm por año) proyectado por el ensamble multimodelo bajo los 4 escenarios RCP en el periodo 2081-2100 para la provincia Hato Mayor.	631
Figura 1.2.6-1. Aumento del nivel del mar (cm por año) proyectado por el ensamble multimodelo bajo los 4 escenarios RCP en el periodo 2021-2040 para la provincia La Altagracia.	633
Figura 1.2.6-2. Aumento del nivel del mar (cm por año) proyectado por el ensamble multimodelo bajo los 4 escenarios RCP en el periodo 2041-2060 para la provincia La Altagracia.	634
Figura 1.2.6-3. Aumento del nivel del mar (cm por año) proyectado por el ensamble multimodelo bajo los 4 escenarios RCP en el periodo 2061-2080 para la provincia La Altagracia.	635
Figura 1.2.6-4. Aumento del nivel del mar (cm por año) proyectado por el ensamble multimodelo bajo los 4 escenarios RCP en el periodo 2081-2100 para la provincia La Altagracia.	636
Figura 1.2.7-1. Aumento del nivel del mar (cm por año) proyectado por el ensamble multimodelo bajo los 4 escenarios RCP en el periodo 2021-2040 para la provincia La Romana.	638
Figura 1.2.7-2. Aumento del nivel del mar (cm por año) proyectado por el ensamble multimodelo bajo los 4 escenarios RCP en el periodo 2041-2060 para la provincia La Romana.	639
Figura 1.2.7-3. Aumento del nivel del mar (cm por año) proyectado por el ensamble multimodelo bajo los 4 escenarios RCP en el periodo 2061-2080 para la provincia La Romana.	640
Figura 1.2.7-4. Aumento del nivel del mar (cm por año) proyectado por el ensamble multimodelo bajo los 4 escenarios RCP en el periodo 2081-2100 para la provincia La Romana.	641
Figura 1.2.8-1. Aumento del nivel del mar (cm por año) proyectado por el ensamble multimodelo bajo los 4 escenarios RCP en el periodo 2021-2040 para la provincia María Trinidad Sánchez.	643
Figura 1.2.8-2. Aumento del nivel del mar (cm por año) proyectado por el ensamble multimodelo bajo los 4 escenarios RCP en el periodo 2041-2060 para la provincia María Trinidad Sánchez.	644
Figura 1.2.8-3. Aumento del nivel del mar (cm por año) proyectado por el ensamble multimodelo bajo los 4 escenarios RCP en el periodo 2061-2080 para la provincia María Trinidad Sánchez.	645
Figura 1.2.8-4. Aumento del nivel del mar (cm por año) proyectado por el ensamble multimodelo bajo los 4 escenarios RCP en el periodo 2081-2100 para la provincia María Trinidad Sánchez.	646

Figura 1.2.9-1. Aumento del nivel del mar (cm por año) proyectado por el ensamble multimodelo bajo los 4 escenarios RCP en el periodo 2021-2040 para la provincia Monte Cristi.	648
Figura 1.2.9-2. Aumento del nivel del mar (cm por año) proyectado por el ensamble multimodelo bajo los 4 escenarios RCP en el periodo 2041-2060 para la provincia Monte Cristi.	649
Figura 1.2.9-3. Aumento del nivel del mar (cm por año) proyectado por el ensamble multimodelo bajo los 4 escenarios RCP en el periodo 2061-2080 para la provincia Monte Cristi.	650
Figura 1.2.9-4. Aumento del nivel del mar (cm por año) proyectado por el ensamble multimodelo bajo los 4 escenarios RCP en el periodo 2081-2100 para la provincia Monte Cristi.	651
Figura 1.2.10-1. Aumento del nivel del mar (cm por año) proyectado por el ensamble multimodelo bajo los 4 escenarios RCP en el periodo 2021-2040 para la provincia Pedernales.	653
Figura 1.2.10-2. Aumento del nivel del mar (cm por año) proyectado por el ensamble multimodelo bajo los 4 escenarios RCP en el periodo 2041-2060 para la provincia Pedernales.	654
Figura 1.2.10-3. Aumento del nivel del mar (cm por año) proyectado por el ensamble multimodelo bajo los 4 escenarios RCP en el periodo 2061-2080 para la provincia Pedernales.	655
Figura 1.2.10-4. Aumento del nivel del mar (cm por año) proyectado por el ensamble multimodelo bajo los 4 escenarios RCP en el periodo 2081-2100 para la provincia Pedernales.	656
Figura 1.2.11-1. Aumento del nivel del mar (cm por año) proyectado por el ensamble multimodelo bajo los 4 escenarios RCP en el periodo 2021-2040 para la provincia Peravia.	658
Figura 1.2.11-2. Aumento del nivel del mar (cm por año) proyectado por el ensamble multimodelo bajo los 4 escenarios RCP en el periodo 2041-2060 para la provincia Peravia.	659
Figura 1.2.11-3. Aumento del nivel del mar (cm por año) proyectado por el ensamble multimodelo bajo los 4 escenarios RCP en el periodo 2061-2080 para la provincia Peravia.	660
Figura 1.2.11-4. Aumento del nivel del mar (cm por año) proyectado por el ensamble multimodelo bajo los 4 escenarios RCP en el periodo 2081-2100 para la provincia Peravia.	661
Figura 1.2.12-1. Aumento del nivel del mar (cm por año) proyectado por el ensamble multimodelo bajo los 4 escenarios RCP en el periodo 2021-2040 para la provincia Puerto Plata.	663
Figura 1.2.12-2. Aumento del nivel del mar (cm por año) proyectado por el ensamble multimodelo bajo los 4 escenarios RCP en el periodo 2041-2060 para la provincia Puerto Plata.	664
Figura 1.2.12-3. Aumento del nivel del mar (cm por año) proyectado por el ensamble multimodelo bajo los 4 escenarios RCP en el periodo 2061-2080 para la provincia Puerto Plata.	665
Figura 1.2.12-4. Aumento del nivel del mar (cm por año) proyectado por el ensamble multimodelo bajo los 4 escenarios RCP en el periodo 2081-2100 para la provincia Puerto Plata.	666
Figura 1.2.13-1. Aumento del nivel del mar (cm por año) proyectado por el ensamble multimodelo bajo los 4 escenarios RCP en el periodo 2021-2040 para la provincia Samaná.	668
Figura 1.2.13-2. Aumento del nivel del mar (cm por año) proyectado por el ensamble multimodelo bajo los 4 escenarios RCP en el periodo 2041-2060 para la provincia Samaná.	669
Figura 1.2.13-3. Aumento del nivel del mar (cm por año) proyectado por el ensamble multimodelo bajo los 4 escenarios RCP en el periodo 2061-2080 para la provincia Samaná.	670
Figura 1.2.13-4. Aumento del nivel del mar (cm por año) proyectado por el ensamble multimodelo bajo los 4 escenarios RCP en el periodo 2081-2100 para la provincia Samaná.	671
Figura 1.2.14-1. Aumento del nivel del mar (cm por año) proyectado por el ensamble multimodelo bajo los 4 escenarios RCP en el periodo 2021-2040 para la provincia San Cristóbal.	673
Figura 1.2.14-2. Aumento del nivel del mar (cm por año) proyectado por el ensamble multimodelo bajo los 4 escenarios RCP en el periodo 2041-2060 para la provincia San Cristóbal.	674
Figura 1.2.14-3. Aumento del nivel del mar (cm por año) proyectado por el ensamble multimodelo bajo los 4 escenarios RCP en el periodo 2061-2080 para la provincia San Cristóbal.	675

Figura 1.2.14-4. Aumento del nivel del mar (cm por año) proyectado por el ensamble multimodelo bajo los 4 escenarios RCP en el periodo 2081-2100 para la provincia San Cristóbal.	676
Figura 1.2.15-1. Aumento del nivel del mar (cm por año) proyectado por el ensamble multimodelo bajo los 4 escenarios RCP en el periodo 2021-2040 para la provincia San Pedro de Macorís.	678
Figura 1.2.15-2. Aumento del nivel del mar (cm por año) proyectado por el ensamble multimodelo bajo los 4 escenarios RCP en el periodo 2041-2060 para la provincia San Pedro de Macorís.	679
Figura 1.2.15-3. Aumento del nivel del mar (cm por año) proyectado por el ensamble multimodelo bajo los 4 escenarios RCP en el periodo 2061-2080 para la provincia San Pedro de Macorís.	680
Figura 1.2.15-4. Aumento del nivel del mar (cm por año) proyectado por el ensamble multimodelo bajo los 4 escenarios RCP en el periodo 2081-2100 para la provincia San Pedro de Macorís.	681
Figura 1.2.16-1. Aumento del nivel del mar (cm por año) proyectado por el ensamble multimodelo bajo los 4 escenarios RCP en el periodo 2021-2040 para la provincia Santo Domingo.	683
Figura 1.2.16-2. Aumento del nivel del mar (cm por año) proyectado por el ensamble multimodelo bajo los 4 escenarios RCP en el periodo 2041-2060 para la provincia Santo Domingo.	684
Figura 1.2.16-3. Aumento del nivel del mar (cm por año) proyectado por el ensamble multimodelo bajo los 4 escenarios RCP en el periodo 2061-2080 para la provincia Santo Domingo.	685
Figura 1.2.16-4. Aumento del nivel del mar (cm por año) proyectado por el ensamble multimodelo bajo los 4 escenarios RCP en el periodo 2081-2100 para la provincia Santo Domingo.	686

## 1. RESULTADOS

### 1.1 ANÁLISIS ESPACIAL DE LOS CAMBIOS PROYECTADOS PARA LAS VARIABLES CLIMÁTICAS

A continuación, se presenta el análisis de los resultados de las proyecciones climáticas para República Dominicana en los períodos 2021-2040, 2041-2060, 2061-2080 y 2081-2100. Estas proyecciones muestran, en general, reducciones en la precipitación e incrementos en la temperatura para todo el país. Se muestran los cambios que proyectan los escenarios para las 4 variables climáticas (precipitación y temperaturas media, máxima y mínima), para cada una de las 32 provincias de República Dominicana.

#### 1.1.1 PROVINCIA AZUA

En esta sección se presenta el análisis espacial de los cambios de las variables climáticas a nivel anual para la provincia Azua. Los cambios a nivel estacional (trimestral) se pueden consultar en el Anexo 2.

##### *Precipitación*

Para esta variable, en el periodo de corto plazo 2021-2040 se presentarían cambios dentro del rango normal de variabilidad (del orden del 5%), con aumentos de esta magnitud bajo los escenarios RCP 2.6 y 6.0 y reducciones en los escenarios RCP 4.5 y 8.5, siendo en este último del orden del 8% (Figura 1.1.1-1). Para el siguiente periodo (2041-2060), bajo el RCP 2.6 se mantiene el aumento de la precipitación del orden del 5%, con reducciones del mismo orden hacia el sur de la provincia. En los demás escenarios la tendencia sería a la reducción de la precipitación entre un 4-9% (Figura 1.1.1-2). Para el periodo 2061-2080, en el RCP 2.6 solamente se mantendrían los incrementos del 5% en el occidente de la provincia, y se presentarían reducciones de esta magnitud en el resto de la provincia. Bajo los otros escenarios se darían reducciones de la precipitación, del orden del 12-15% bajo el RCP 4.5, entre 7-10% bajo el RCP 6.0 y del 14-19% bajo el RCP 8.5 (Figura 1.1.1-3). Por último, para finales de siglo bajo los 4 escenarios se presentarían reducciones de la precipitación, siendo las de menor magnitud bajo el RCP 2.6 (entre 6-8%) y las más altas bajo el RCP 8.5, con reducciones de más del 30% en toda la provincia (Figura 1.1.1-4).

### **Temperatura Máxima**

La temperatura máxima presentaría incrementos bajo los 4 RCP en todos los periodos analizados. En el periodo de corto plazo (2021-2040) la temperatura aumentaría entre 0.7 y 1.3°C, con aumentos de más de 1°C bajo el RCP 8.5 en el sur y occidente de la provincia (Figura 1.1.1-5). Para 2041-2060, los aumentos serían de 0.7 a 1.4°C bajo los primeros 3 RCP (2.6, 4.5 y 6.0), y de 1.5 a 1.8°C bajo el RCP 8.5 (Figura 1.1.1-6). En el periodo 2061-2080 los aumentos serían de 0.7 a 2.4°C, manteniéndose el incremento de 0.7 a 1.4°C bajo el RCP 2.6, siendo de 1.4 a 1.8°C bajo los RCP 4.5 y 6.0 y de 2.6°C bajo el RCP 8.5 (Figura 1.1.1-7). Para finales de siglo, los aumentos serían de 0.7 a 0.9°C bajo el RCP 2.6, de 1.7 a 1.9°C bajo el RCP 4.5, de 1.8 a 2.4°C bajo el RCP 6.0 y de 3.2 a 3.8°C bajo el RCP 8.5 (Figura 1.1.1-8).

### **Temperatura Mínima**

En el primer periodo (2021-2040), ésta se incrementaría de 0.3 a 0.8°C en los 4 escenarios RCP (Figura 1.1.1-9). Para 2041-2060 aumentaría de 0.7 a 0.9°C en los 3 primeros escenarios, y bajo el RCP 8.5 habría aumentos de 1.3°C en la mayor parte de la provincia (Figura 1.1.1-10). En el periodo 2061-2080 la temperatura mínima se incrementaría entre 0.6 y 0.8°C bajo el RCP 2.6, entre 0.7 y 1.4°C bajo los RCP 4.5 y 6.0 (dándose los mayores aumentos en el sur y occidente de la provincia), y entre 1.6 y 2.3°C bajo el RCP 8.5, siendo los aumentos superiores a los 2°C en la mayor parte de la provincia (Figura 1.1.1-11). Por último, para finales de siglo se mantendría un aumento de 0.8°C en el RCP 2.6, entre 0.8 y 1.4°C bajo el RCP 4.5, entre 1.4 y 1.8°C bajo el RCP 6.0 y de 1.8 a 2.5°C bajo el RCP 8.5 (Figura 1.1.1-12).

### **Temperatura Media**

La temperatura media se incrementaría entre 0.6 y 0.8°C en el periodo 2021-2040 bajo los 4 escenarios RCP (Figura 1.1.1-13). En el periodo 2041-2060 se mantendría este mismo rango bajo el RCP 2.6, y en los otros escenarios aumentaría, de 0.7 a 1.3°C bajo los RCP 4.5 y 6.0 y de 1.2 a 1.4°C bajo el RCP 8.5 (Figura 1.1.1-14). Para 2061-2080 la temperatura media aumentaría de 0.7 a 0.8°C bajo el RCP 2.6, de 1.3 a 1.5°C bajo los RCP 4.5 y 6.0 y de 1.7 a 2.4°C bajo el RCP 8.5, con los incrementos más altos al sur de la provincia (Figura 1.1.1-15). Finalmente, para el periodo 2081-2100 la temperatura subiría entre 0.6 y 0.8°C bajo el RCP 2.6, entre 1.2 y 1.7°C bajo el RCP 4.5, de 1.6 a 1.9°C bajo el RCP 6.0 y de 2.4 a 2.8°C bajo el RCP 8.5 (Figura 1.1.1-16).

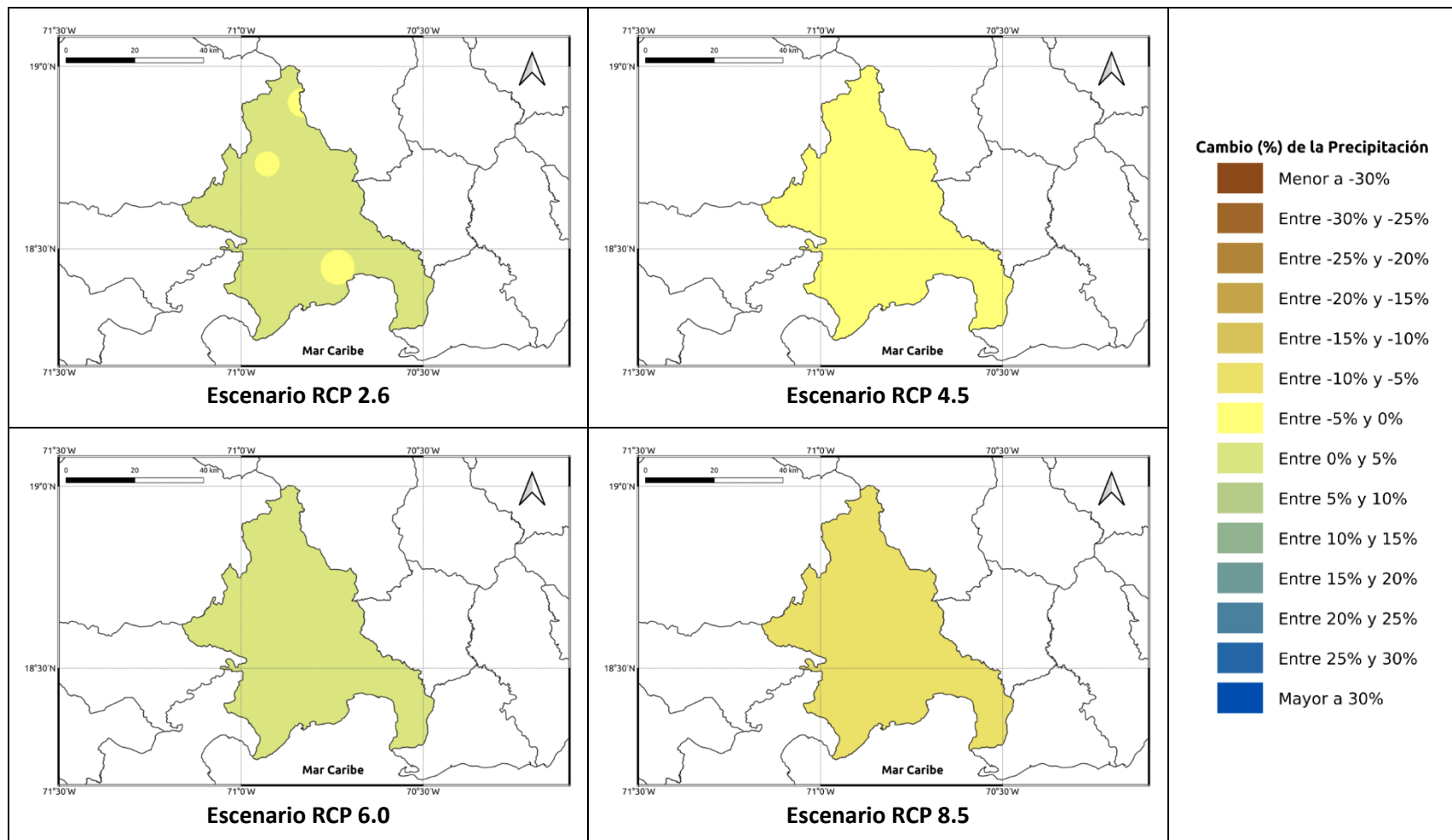
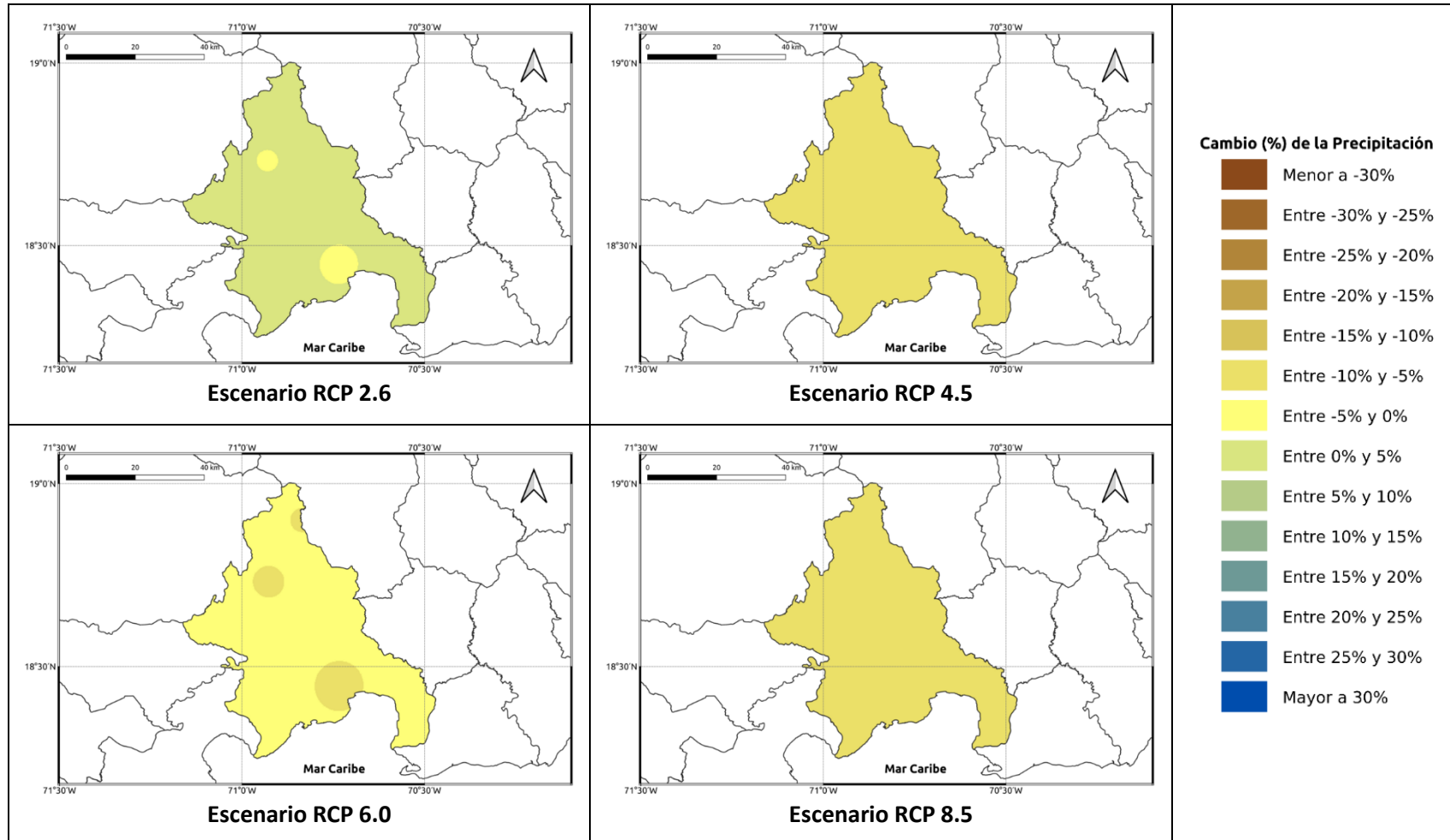
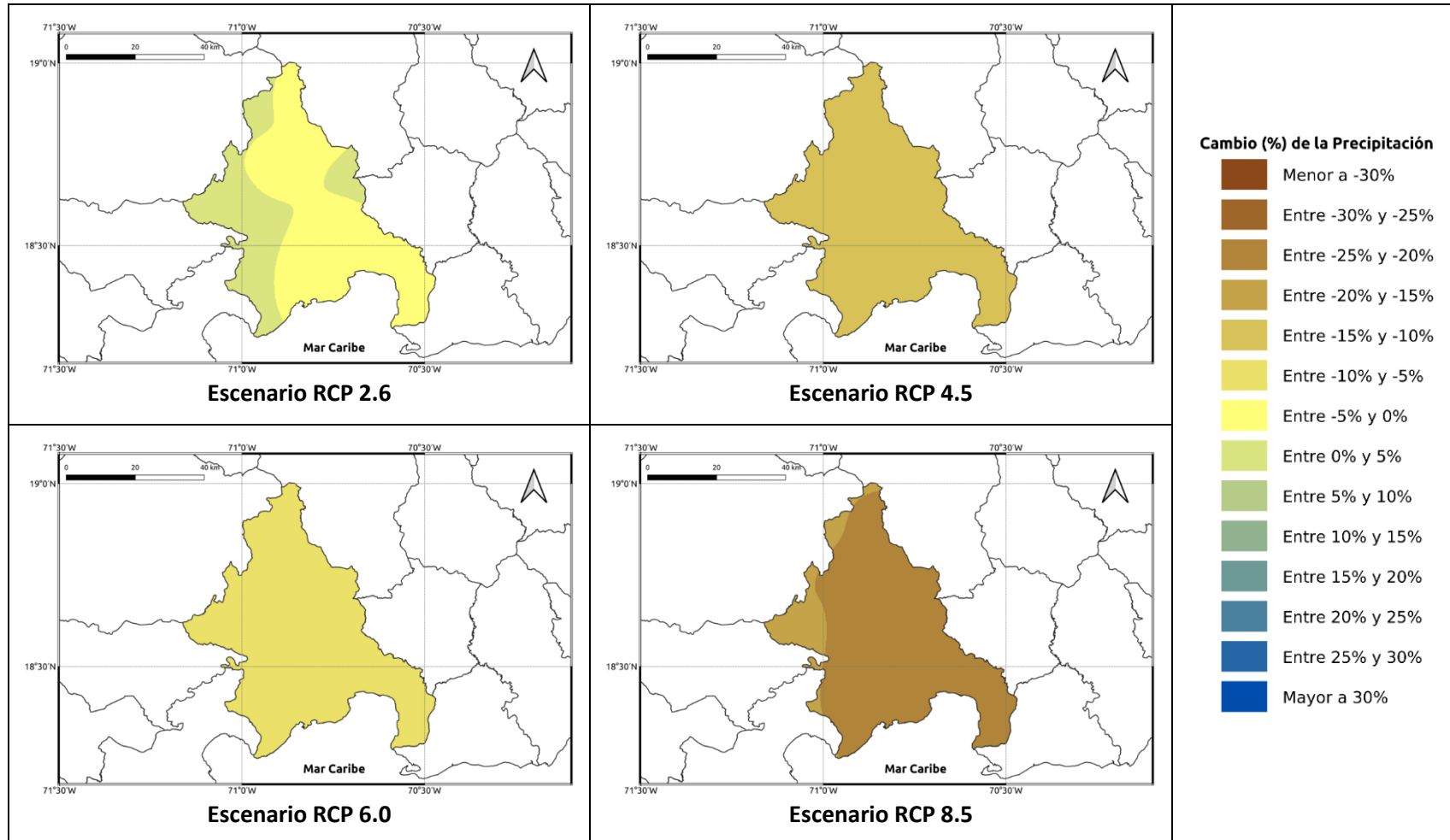


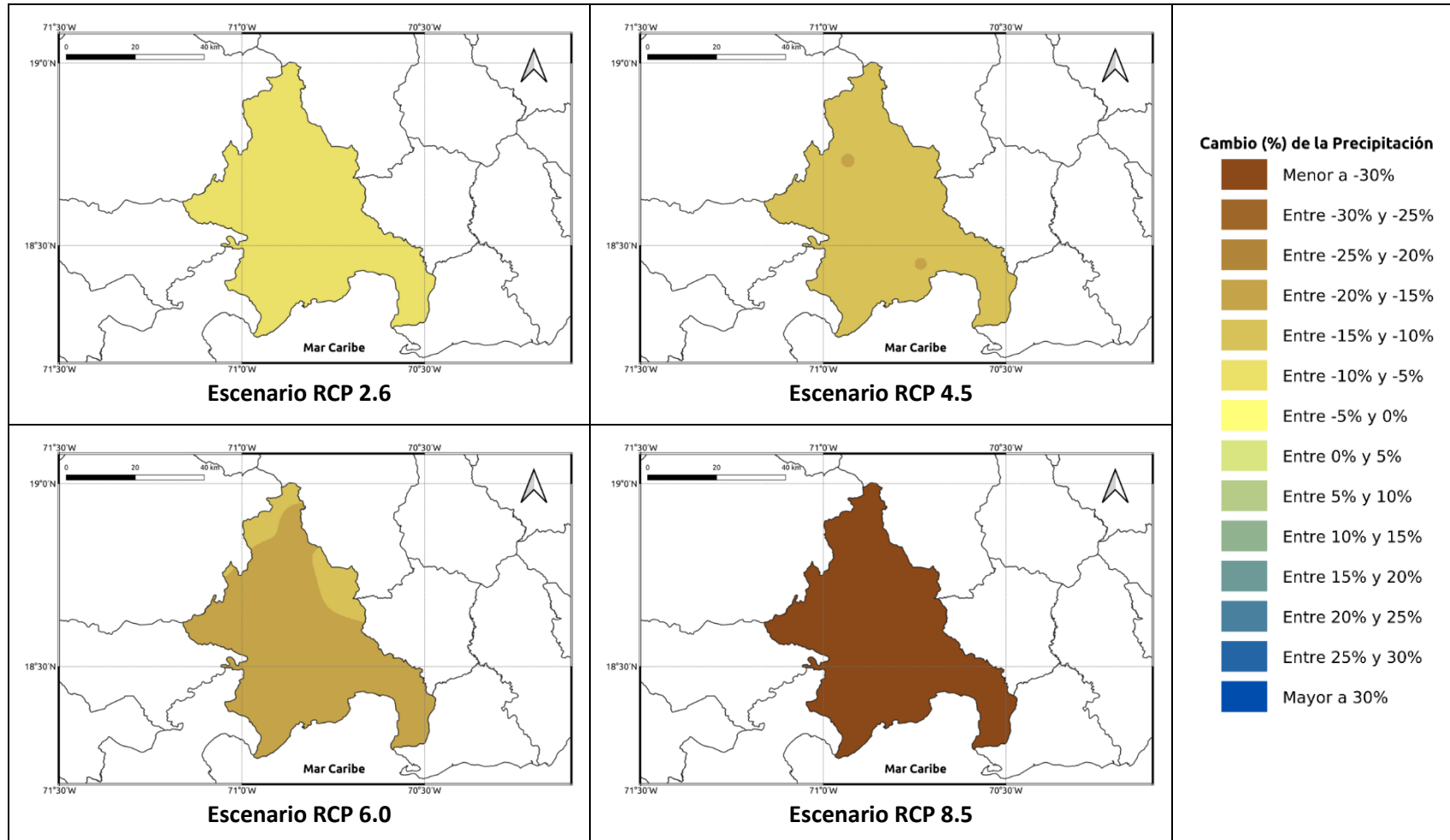
Figura 1.1.1-1. Cambios porcentuales de la precipitación (%) proyectados por el ensamble multimodelo bajo los 4 escenarios RCP en el periodo 2021-2040 para la provincia Azua.



**Figura 1.1.1-2. Cambios porcentuales de la precipitación (%) proyectados por el ensamble multimodelo bajo los 4 escenarios RCP en el periodo 2041-2060 para la provincia Azua.**



**Figura 1.1.1-3. Cambios porcentuales de la precipitación (%) proyectados por el ensamble multimodelo bajo los 4 escenarios RCP en el periodo 2061-2080 para la provincia Azua.**



**Figura 1.1.1-4. Cambios porcentuales de la precipitación (%) proyectados por el ensamble multimodelo bajo los 4 escenarios RCP en el periodo 2081-2100 para la provincia Azua.**

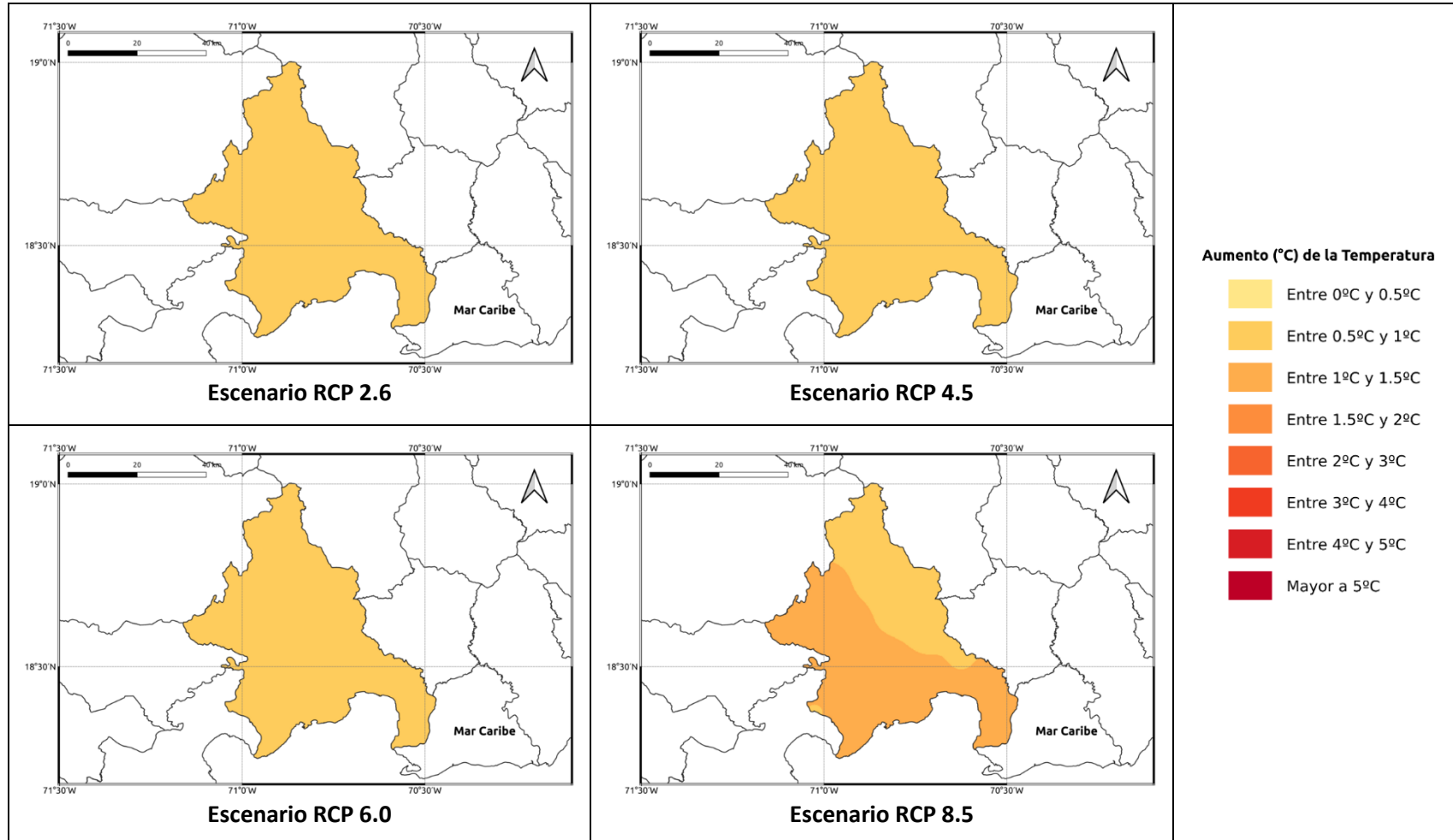


Figura 1.1.1-5. Cambios proyectados en la temperatura máxima (°C) por el ensamble multimodelo bajo los 4 escenarios RCP en el periodo 2021-2040 para la provincia Azua.

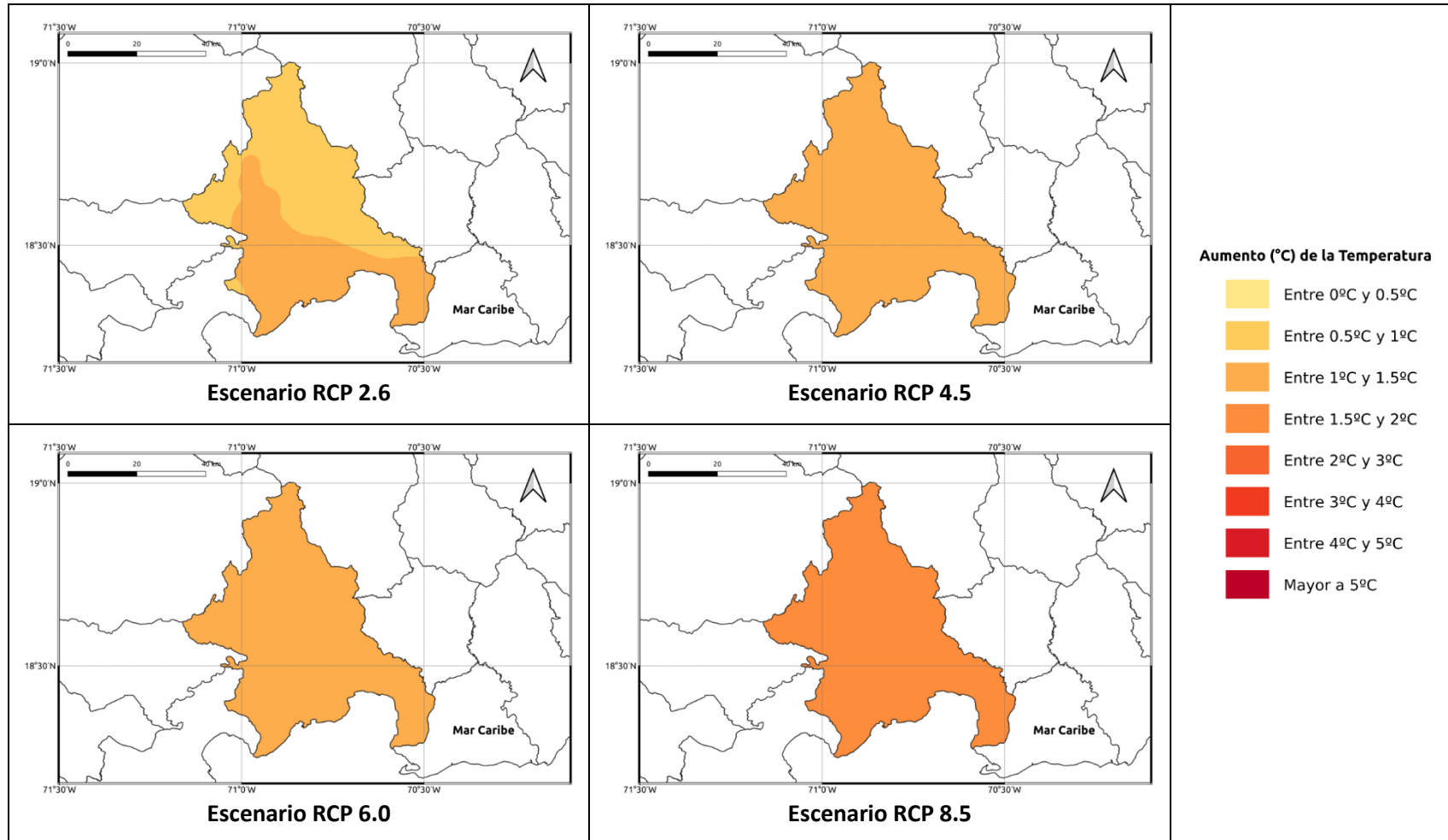


Figura 1.1.1-6. Cambios proyectados en la temperatura máxima (°C) por el ensamble multimodelo bajo los 4 escenarios RCP en el periodo 2041-2060 para la provincia Azua.

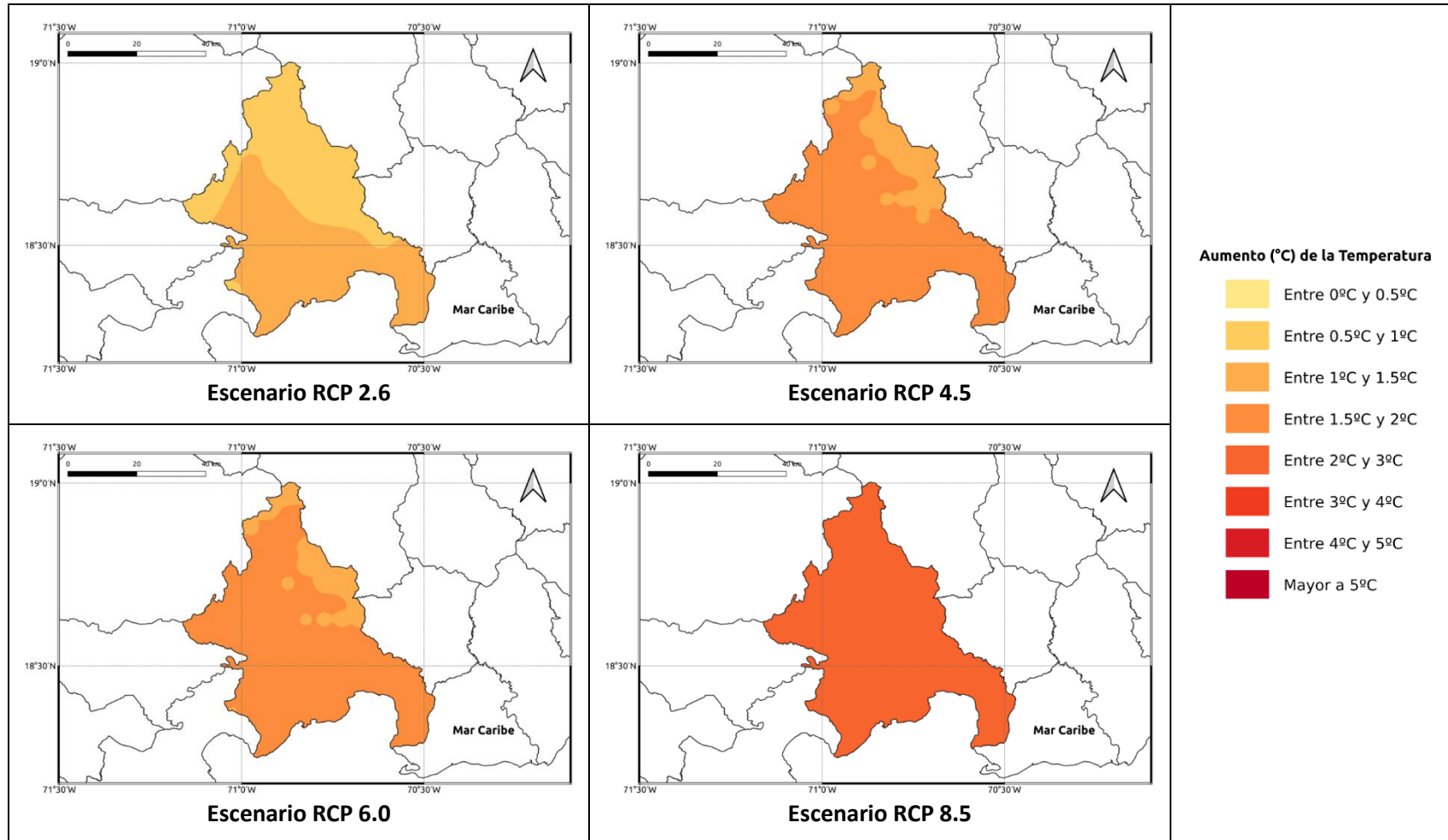


Figura 1.1.1-7. Cambios proyectados en la temperatura máxima (°C) por el ensamble multimodelo bajo los 4 escenarios RCP en el periodo 2061-2080 para la provincia Azua.

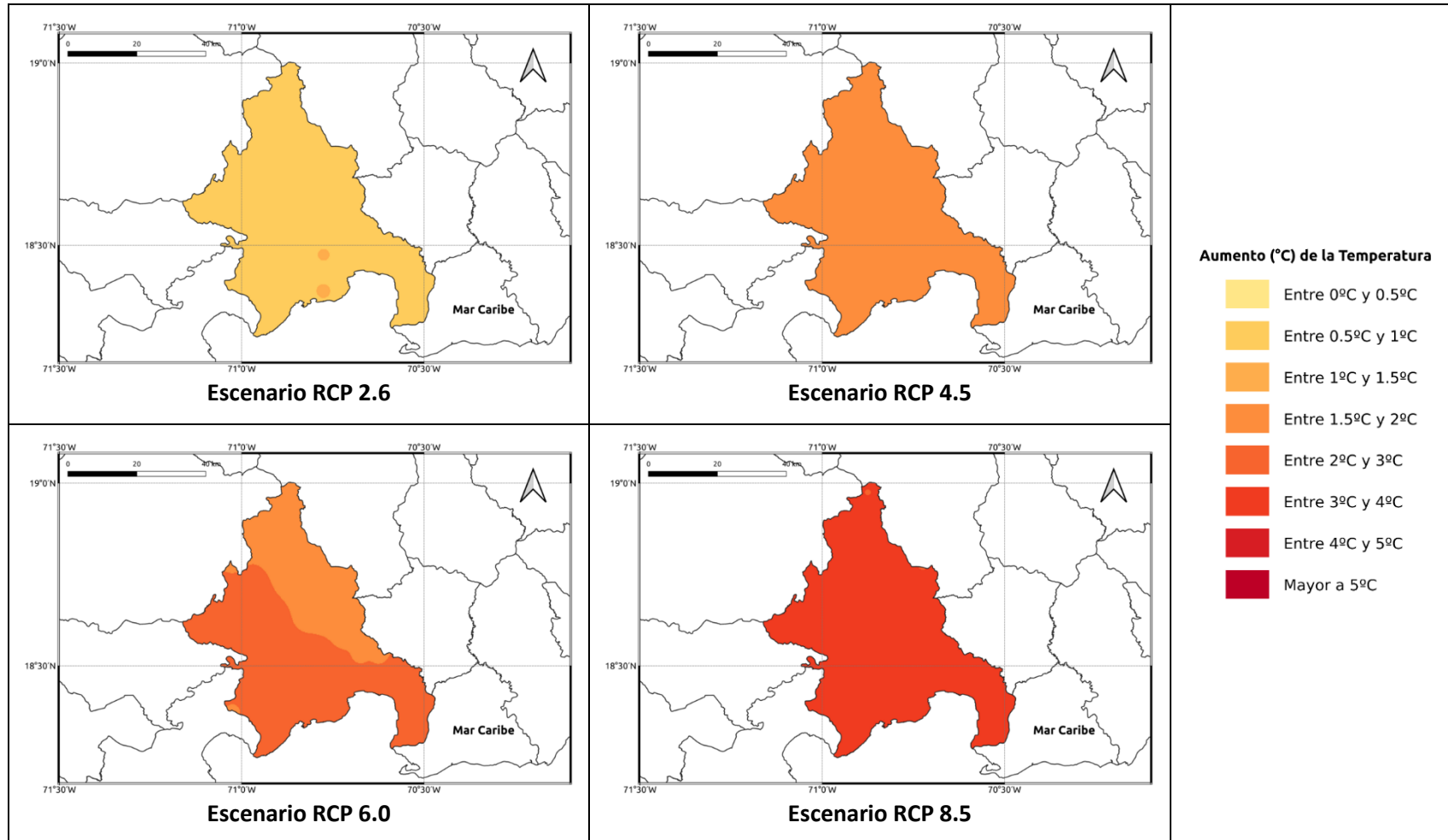
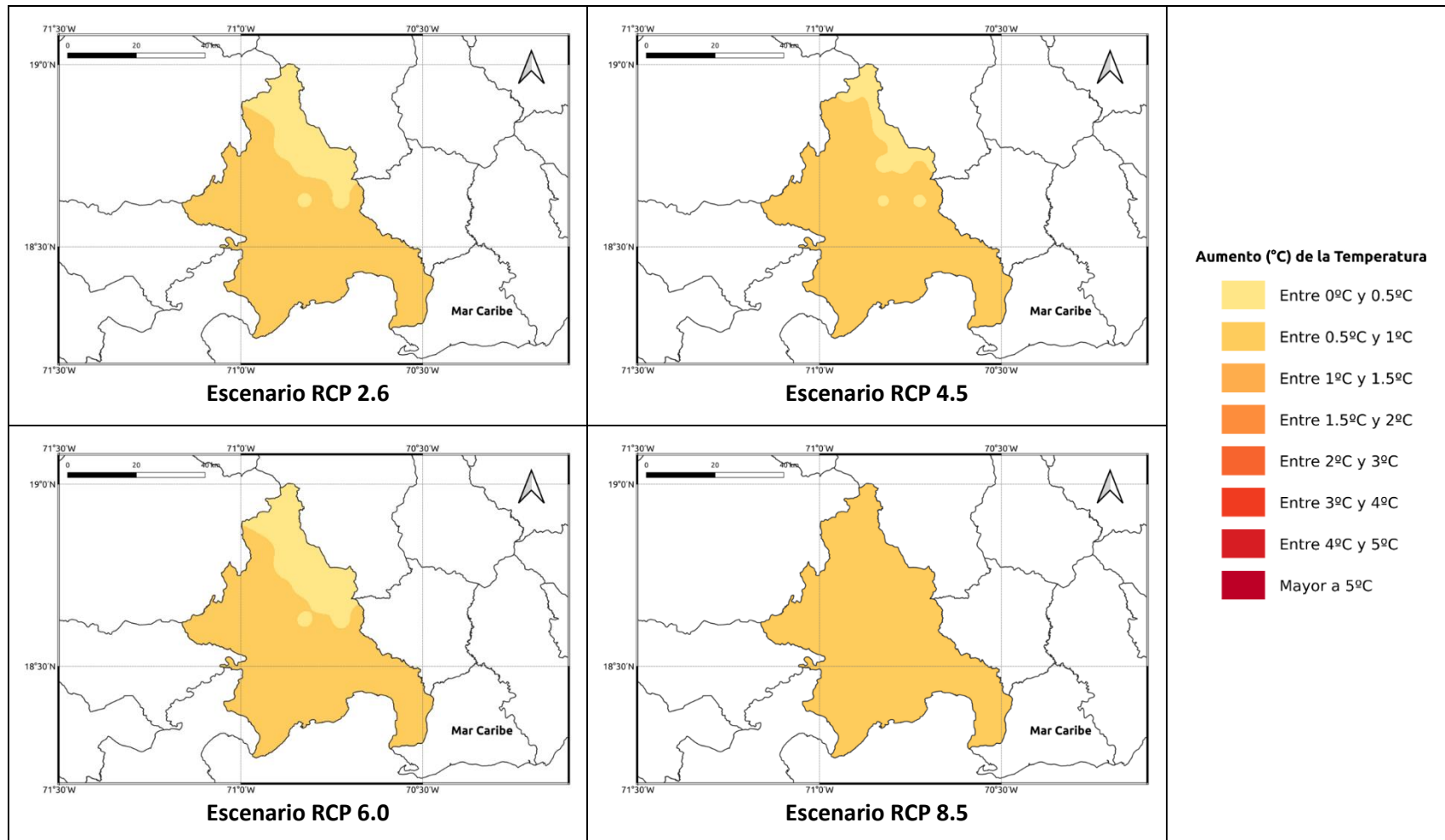
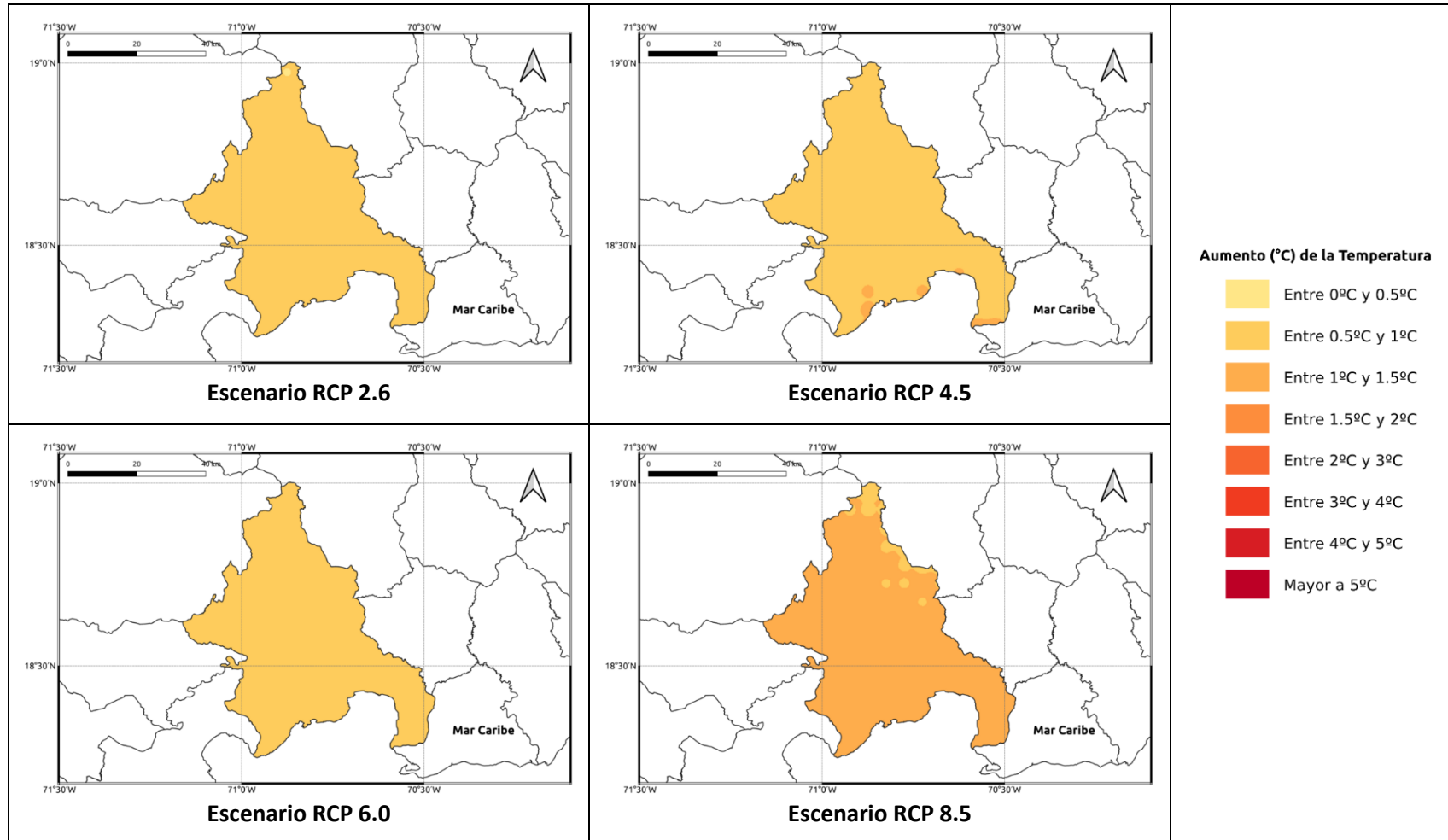


Figura 1.1.1-8. Cambios proyectados en la temperatura máxima (°C) por el ensamble multimodelo bajo los 4 escenarios RCP en el periodo 2081-2100 para la provincia Azua.



**Figura 1.1.1-9. Cambios proyectados en la temperatura mínima (°C) por el ensamble multimodelo bajo los 4 escenarios RCP en el periodo 2021-2040 para la provincia Azua.**



**Figura 1.1.1-10. Cambios proyectados en la temperatura mínima (°C) por el ensamble multimodelo bajo los 4 escenarios RCP en el periodo 2041-2060 para la provincia Azua.**

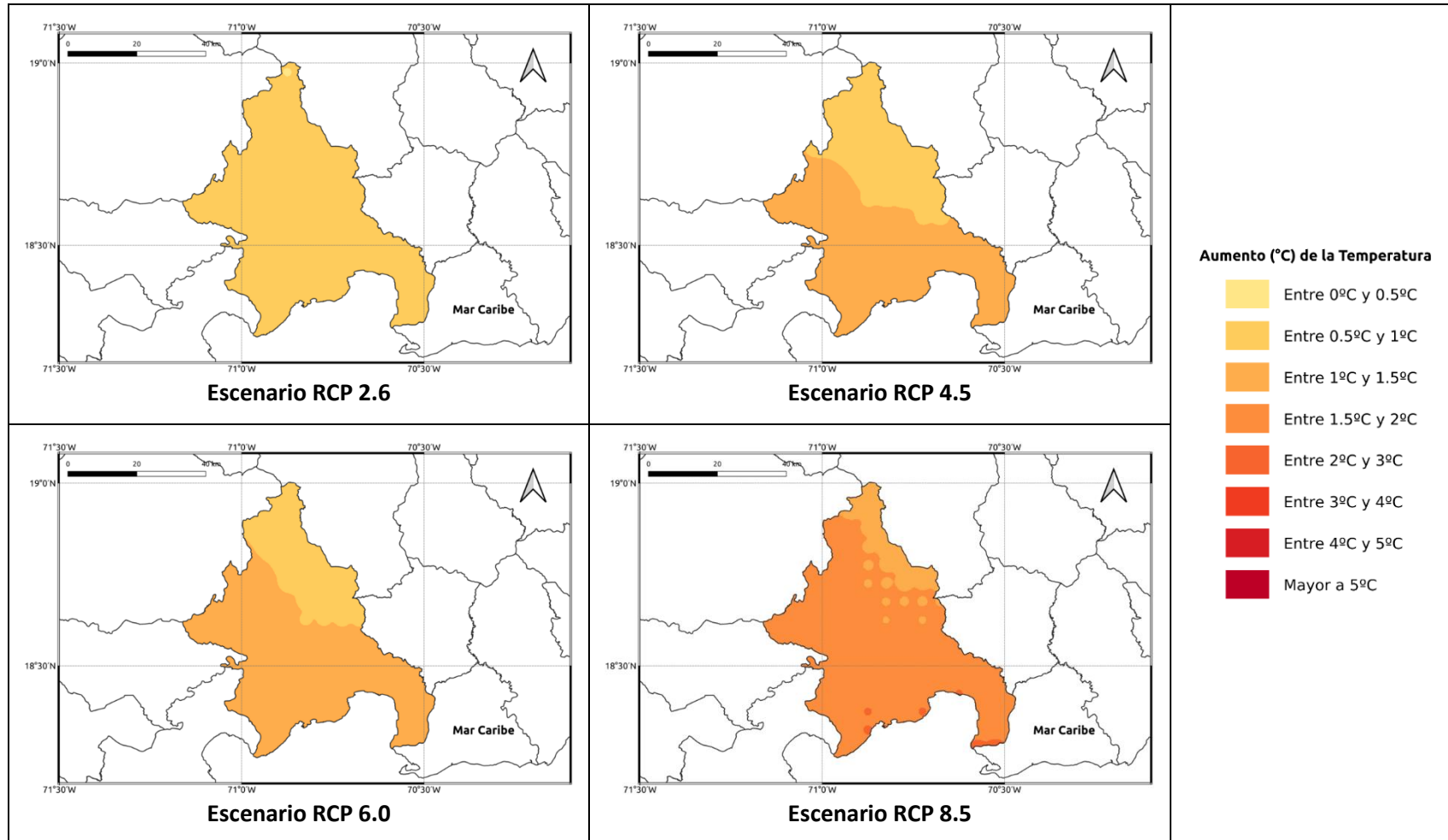


Figura 1.1.1-11. Cambios proyectados en la temperatura mínima (°C) por el ensamble multimodelo bajo los 4 escenarios RCP en el periodo 2061-2080 para la provincia Azua.

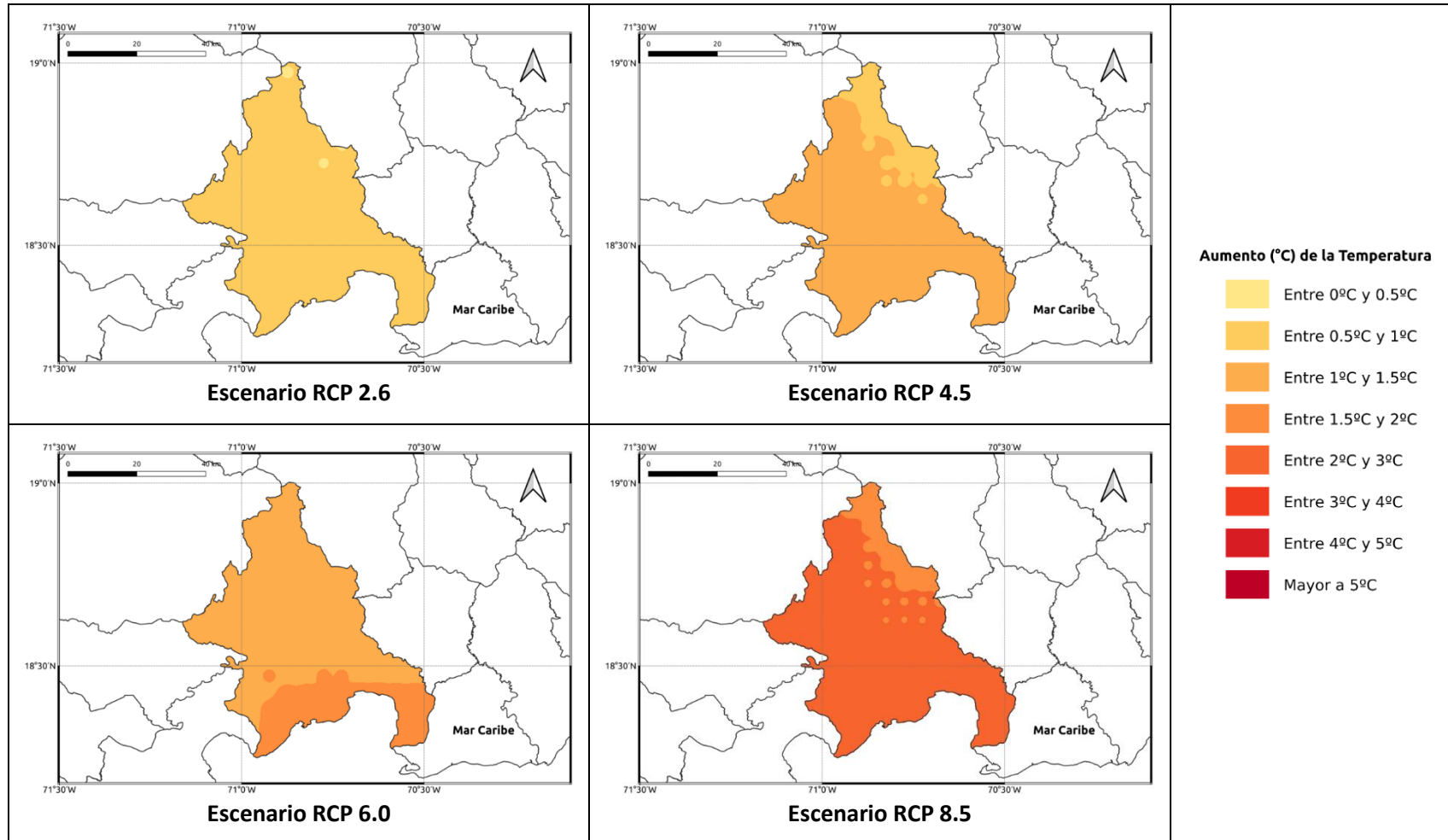
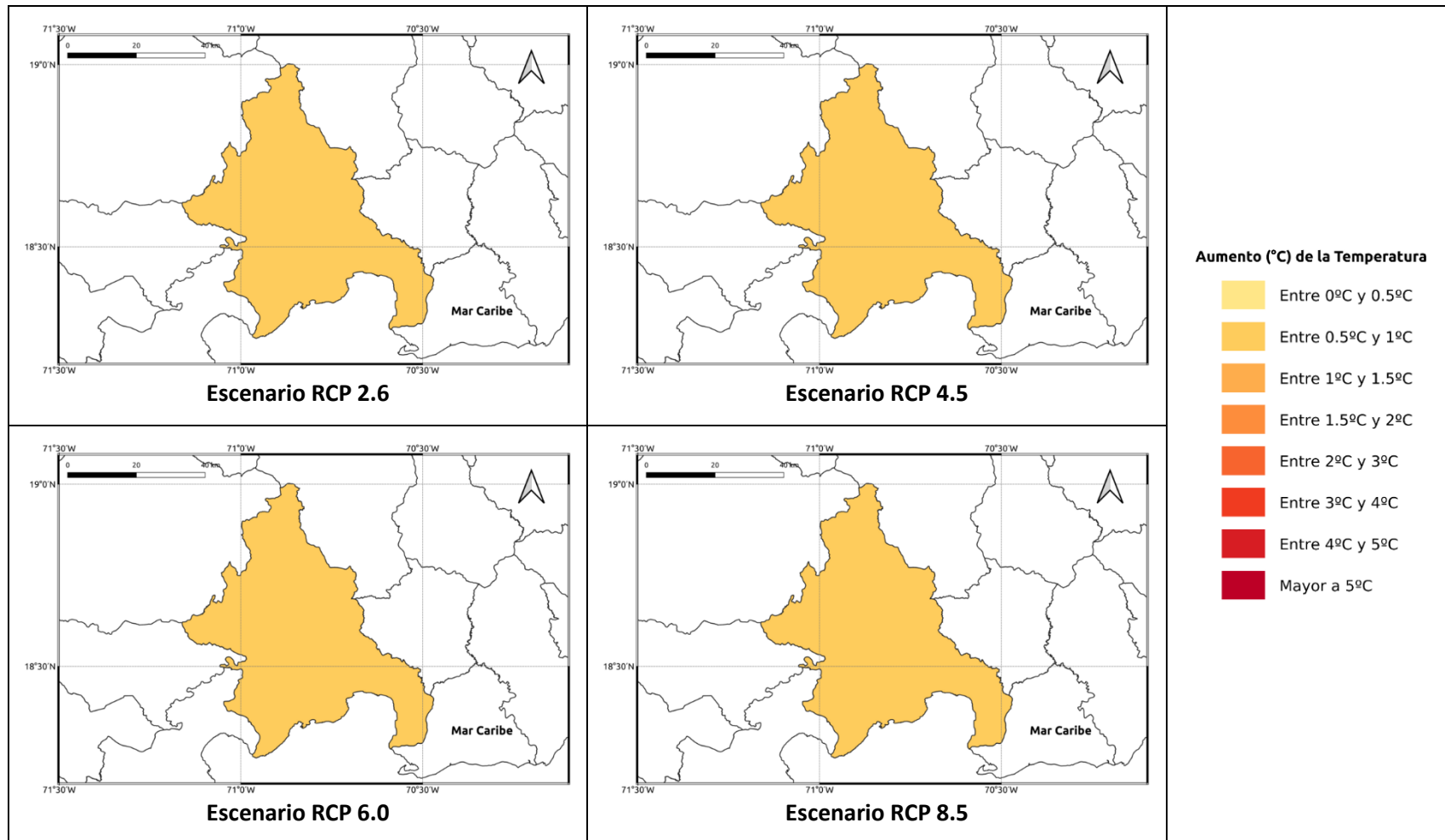
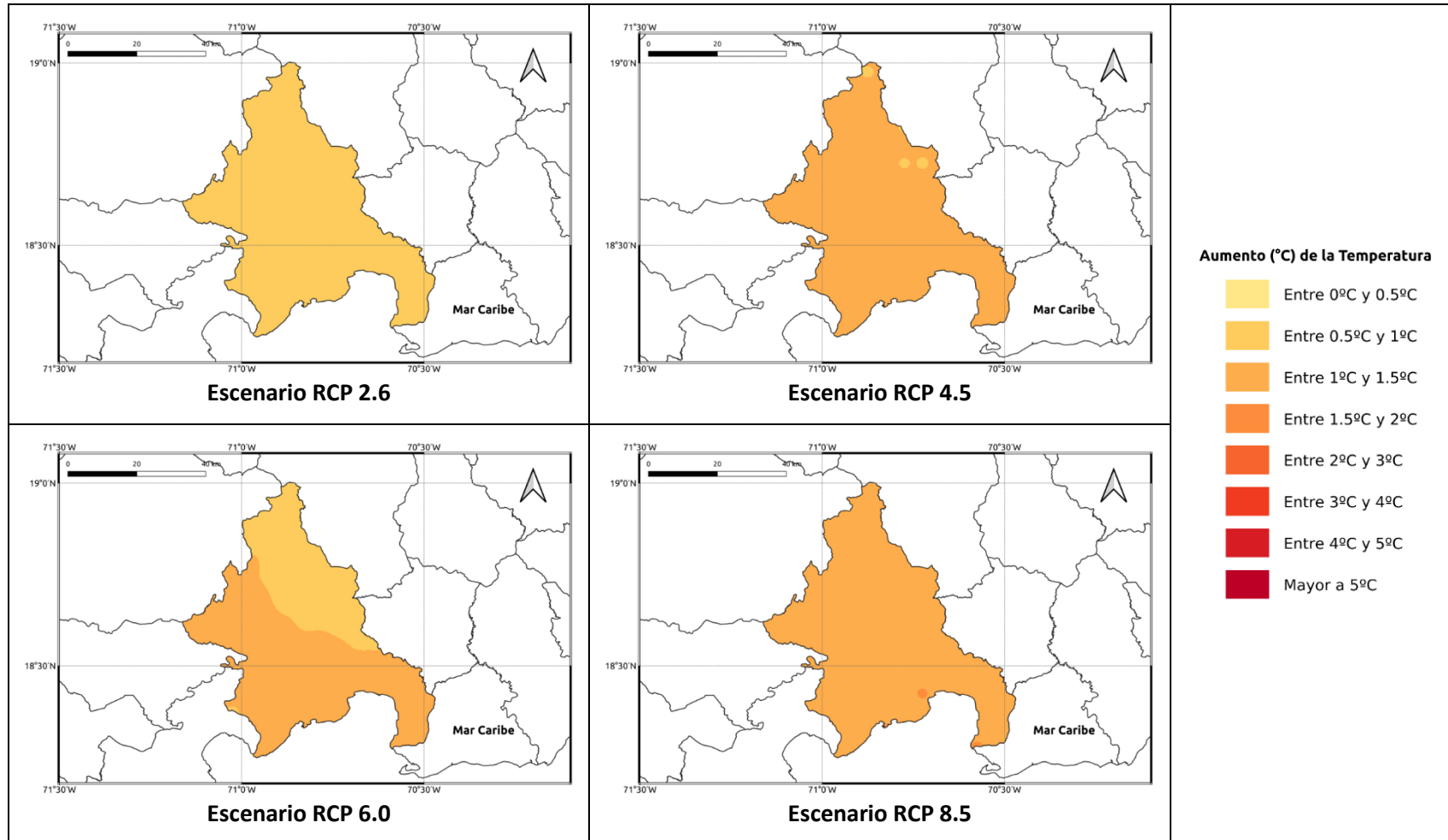


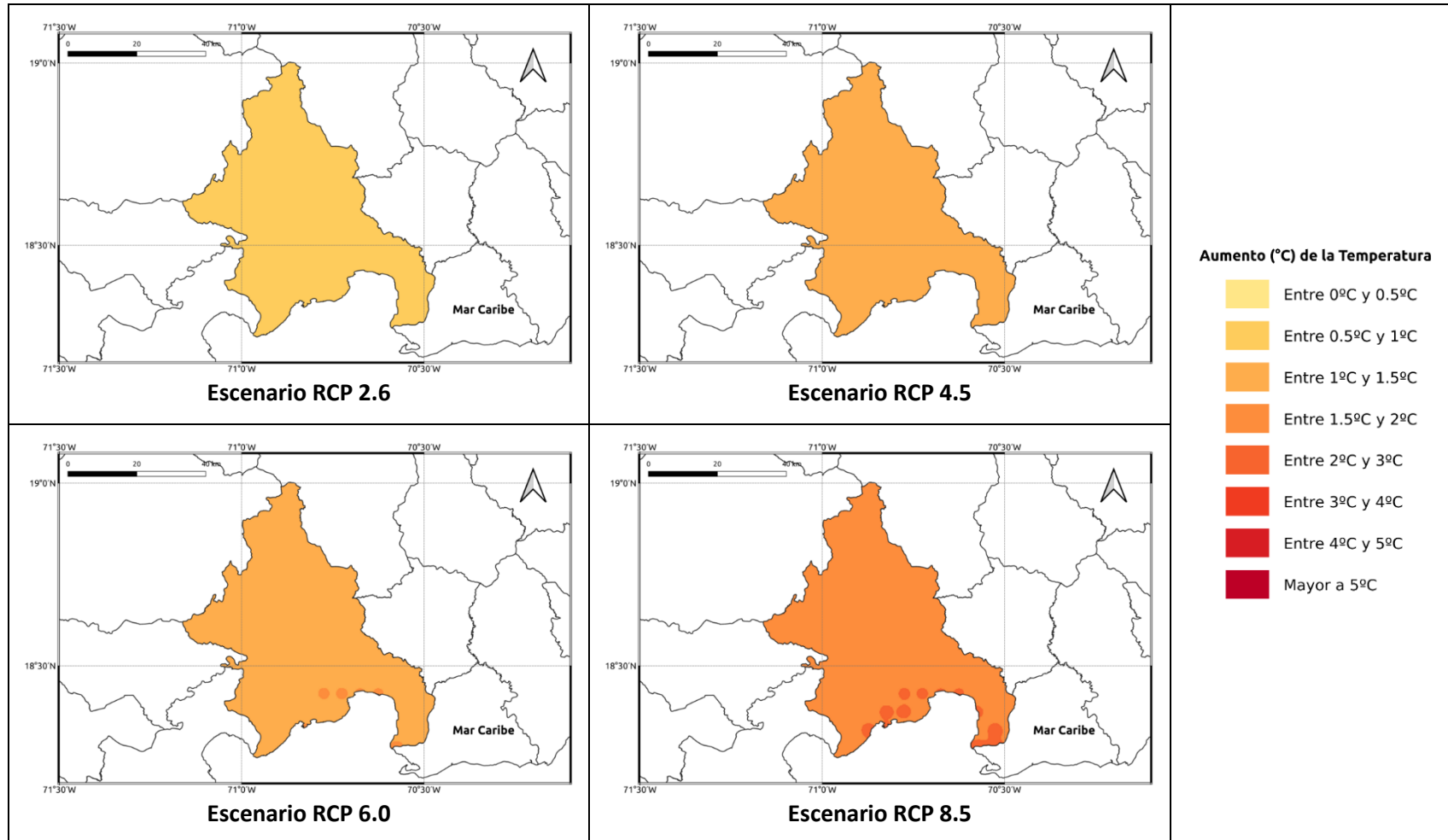
Figura 1.1.1-12. Cambios proyectados en la temperatura mínima (°C) por el ensamble multimodelo bajo los 4 escenarios RCP en el periodo 2081-2100 para la provincia Azua.



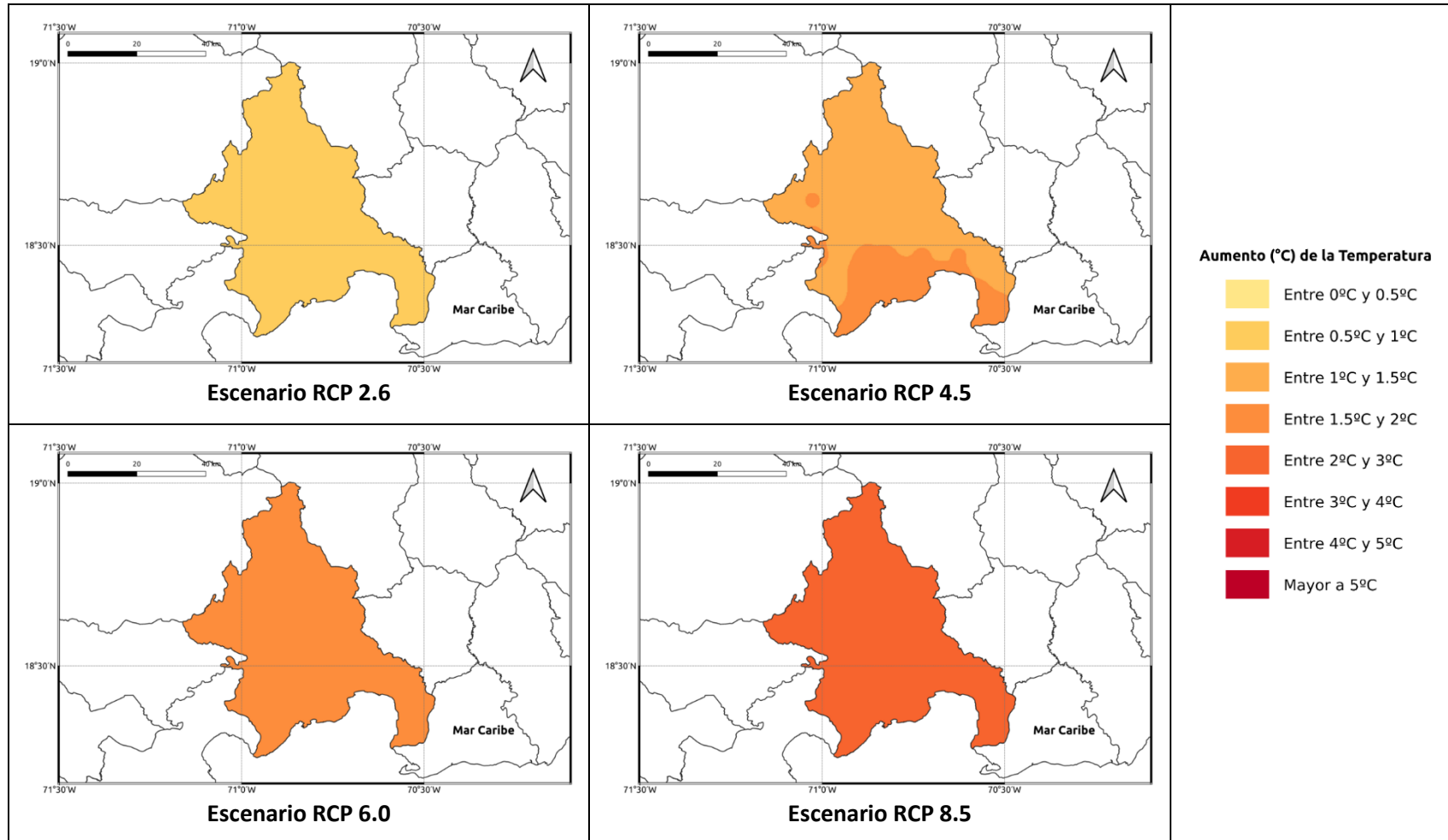
**Figura 1.1.1-13. Cambios proyectados en la temperatura media (°C) por el ensamble multimodelo bajo los 4 escenarios RCP en el periodo 2021-2040 para la provincia Azua.**



**Figura 1.1.1-14. Cambios proyectados en la temperatura media (°C) por el ensamble multimodelo bajo los 4 escenarios RCP en el periodo 2041-2060 para la provincia Azua.**



**Figura 1.1.1-15. Cambios proyectados en la temperatura media (°C) por el ensamble multimodelo bajo los 4 escenarios RCP en el periodo 2061-2080 para la provincia Azua.**



**Figura 1.1.1-16. Cambios proyectados en la temperatura media (°C) por el ensamble multimodelo bajo los 4 escenarios RCP en el periodo 2081-2100 para la provincia Azua.**

## 1.1.2 PROVINCIA BAORUCO

A continuación, se presenta el análisis espacial de los cambios de las variables climáticas a nivel anual para la provincia Baoruco. Los cambios a nivel estacional (trimestral) se pueden consultar en el Anexo 3.

### *Precipitación*

Para esta variable, en el periodo de corto plazo 2021-2040 se presentarían cambios dentro del rango normal de variabilidad (del orden del 5%), con aumentos de esta magnitud bajo los escenarios RCP 2.6 y 6.0 y reducciones en los escenarios RCP 4.5 y 8.5, siendo en este último del orden del 8% (Figura 1.1.2-2). Para el siguiente periodo (2041-2060), bajo el RCP 2.6 se mantiene el aumento de la precipitación del orden del 5%, y en los demás escenarios la tendencia sería a la reducción de la precipitación entre un 4-9% (Figura 1.1.2-3). Para el periodo 2061-2080, en el RCP 2.6 se mantendrían los incrementos del 5% en la mayor parte de la provincia, y se presentarían reducciones de esta magnitud en el occidente de la misma. Bajo los otros escenarios se darían reducciones de la precipitación, del orden del 12-15% bajo el RCP 4.5, entre 7-10% bajo el RCP 6.0 y del 14-19% bajo el RCP 8.5 (Figura 1.1.2-4). Por último, para finales de siglo bajo los 4 escenarios se presentarían reducciones de la precipitación, siendo las de menor magnitud bajo el RCP 2.6 (entre 6-8%) y las más altas bajo el RCP 8.5, con reducciones de más del 30% en toda la provincia (Figura 1.1.2-5).

### *Temperatura Máxima*

La temperatura máxima presentaría incrementos bajo los 4 RCP en todos los periodos analizados. En el periodo de corto plazo (2021-2040) la temperatura aumentaría entre 0.7 y 1.3°C, con aumentos de más de 1°C bajo el RCP 8.5 en la mayor parte de la provincia (Figura 1.1.2-5). Para 2041-2060, los aumentos serían de 0.7 a 1.4°C bajo los primeros 3 RCP (2.6, 4.5 y 6.0), y de 1.5 a 1.8°C bajo el RCP 8.5 (Figura 1.1.2-6). En el periodo 2061-2080 los aumentos serían de 0.7 a 2.4°C, manteniéndose el incremento de 0.7 a 1.4°C bajo el RCP 2.6, siendo de 1.4 a 1.8°C bajo los RCP 4.5 y 6.0 y de 2.6°C bajo el RCP 8.5 (Figura 1.1.2-7). Para finales de siglo, los aumentos serían de 0.7 a 0.9°C bajo el RCP 2.6, de 1.7 a 1.9°C bajo el RCP 4.5, de 1.8 a 2.4°C bajo el RCP 6.0 y de 3.2 a 3.8°C bajo el RCP 8.5 (Figura 1.1.2-8).

### *Temperatura Mínima*

En el primer periodo (2021-2040), ésta se incrementaría de 0.3 a 0.8°C en los 4 escenarios RCP (Figura 1.1.2-9). Para 2041-2060 aumentaría de 0.7 a 0.9°C en los 3 primeros escenarios, y bajo el RCP 8.5 habría aumentos de 1.3°C (Figura 1.1.2-10). En el periodo 2061-2080 la temperatura mínima se incrementaría entre 0.6 y 0.8°C



bajo el RCP 2.6, entre 0.7 y 1.4°C bajo los RCP 4.5 y 6.0 (dándose los menores aumentos en el noroccidente de la provincia), y entre 1.7 y 1.9°C bajo el RCP 8.5 (Figura 1.1.2-11). Por último, para finales de siglo se mantendría un aumento de 0.8°C en el RCP 2.6, entre 0.8 y 1.4°C bajo el RCP 4.5, entre 1.4 y 1.8°C bajo el RCP 6.0 y de 2.2 a 2.6°C bajo el RCP 8.5 (Figura 1.1.2-12).

#### ***Temperatura Media***

La temperatura media se incrementaría entre 0.6 y 0.8°C en el periodo 2021-2040 bajo los 4 escenarios RCP (Figura 1.1.2-13). En el periodo 2041-2060 se mantendría este mismo rango bajo el RCP 2.6, y en los otros 3 escenarios aumentaría de 0.7 a 1.4°C (Figura 1.1.2-14). Para 2061-2080 la temperatura media aumentaría de 0.7 a 0.8°C bajo el RCP 2.6, de 1.3 a 1.5°C bajo los RCP 4.5 y 6.0 y de 1.7 a 2.4°C bajo el RCP 8.5, con los incrementos más altos en zonas del centro y occidente de la provincia (Figura 1.1.2-15). Finalmente, para el periodo 2081-2100 la temperatura subiría entre 0.6 y 0.8°C bajo el RCP 2.6, entre 1.2 y 1.7°C bajo el RCP 4.5, de 1.6 a 1.9°C bajo el RCP 6.0 y de 2.4 a 2.8°C bajo el RCP 8.5 (Figura 1.1.2-16).



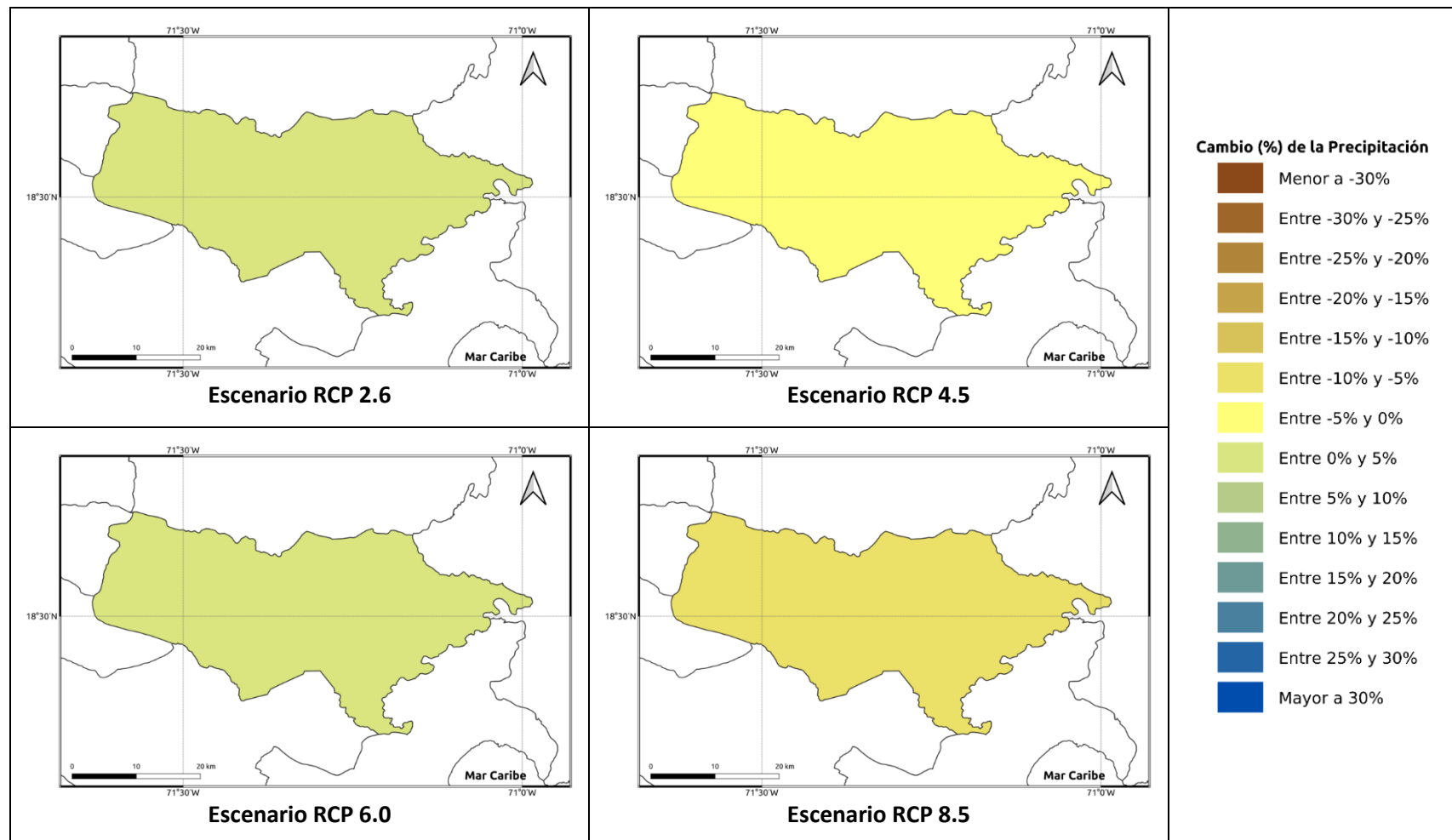


Figura 1.1.2-1. Cambios porcentuales de la precipitación (%) proyectados por el ensamble multimodelo bajo los 4 escenarios RCP en el periodo 2021-2040 para la provincia Baoruco.

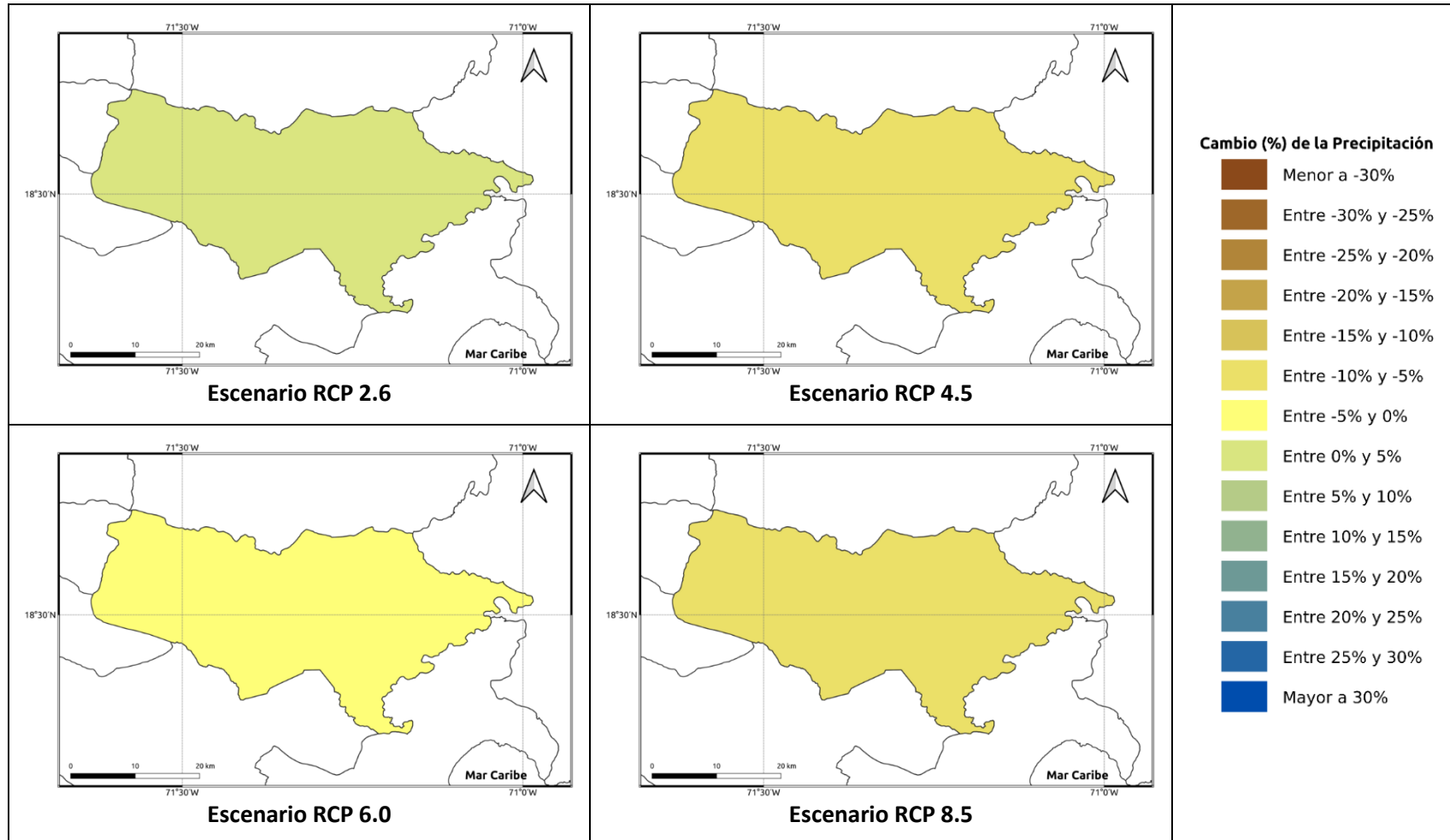


Figura 1.1.2-2. Cambios porcentuales de la precipitación (%) proyectados por el ensamble multimodelo bajo los 4 escenarios RCP en el periodo 2041-2060 para la provincia Baoruco.

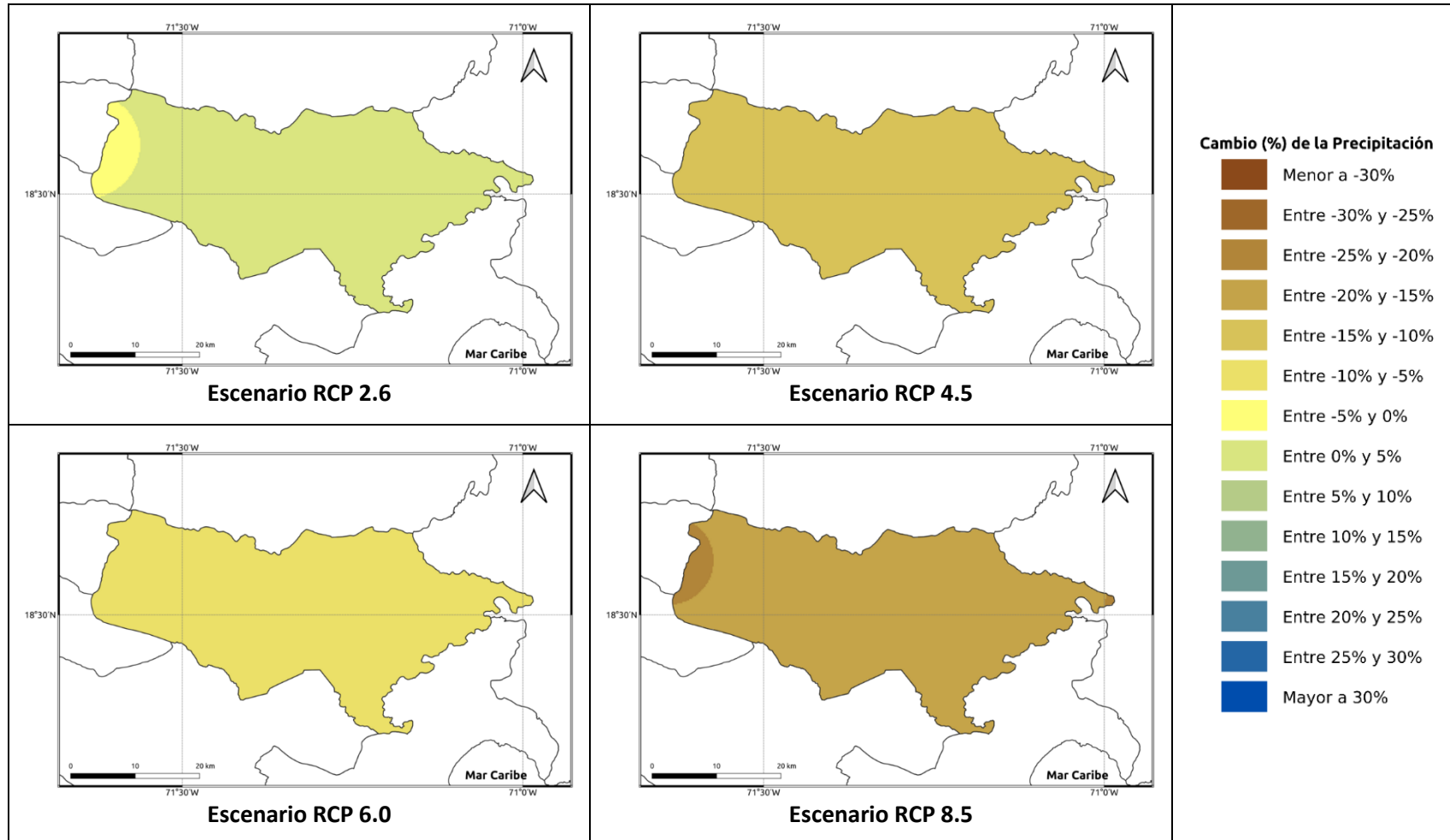


Figura 1.1.2-3. Cambios porcentuales de la precipitación (%) proyectados por el ensamble multimodelo bajo los 4 escenarios RCP en el periodo 2061-2080 para la provincia Baoruco.

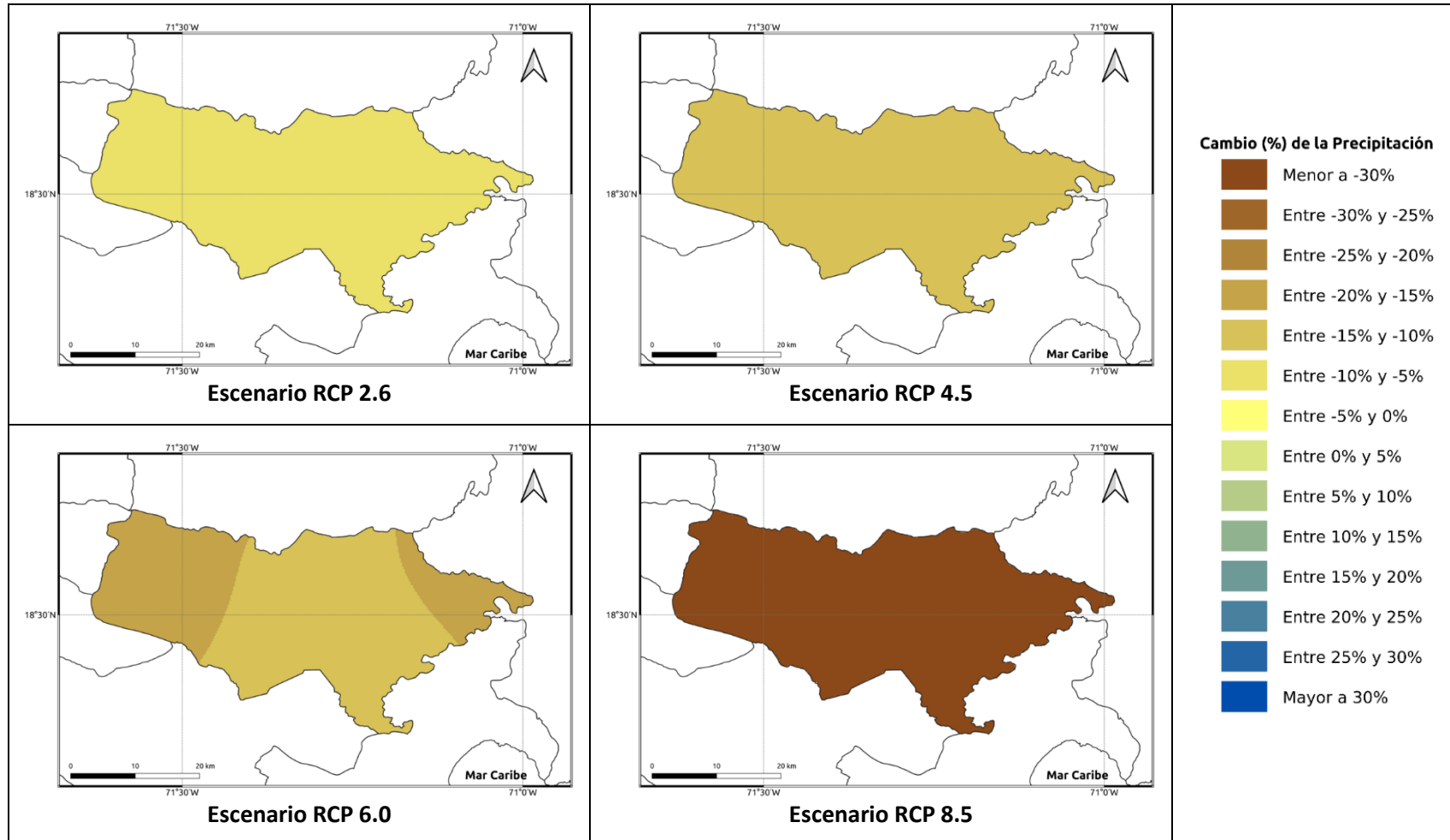


Figura 1.1.2-4. Cambios porcentuales de la precipitación (%) proyectados por el ensamble multimodelo bajo los 4 escenarios RCP en el periodo 2081-2100 para la provincia Baoruco.

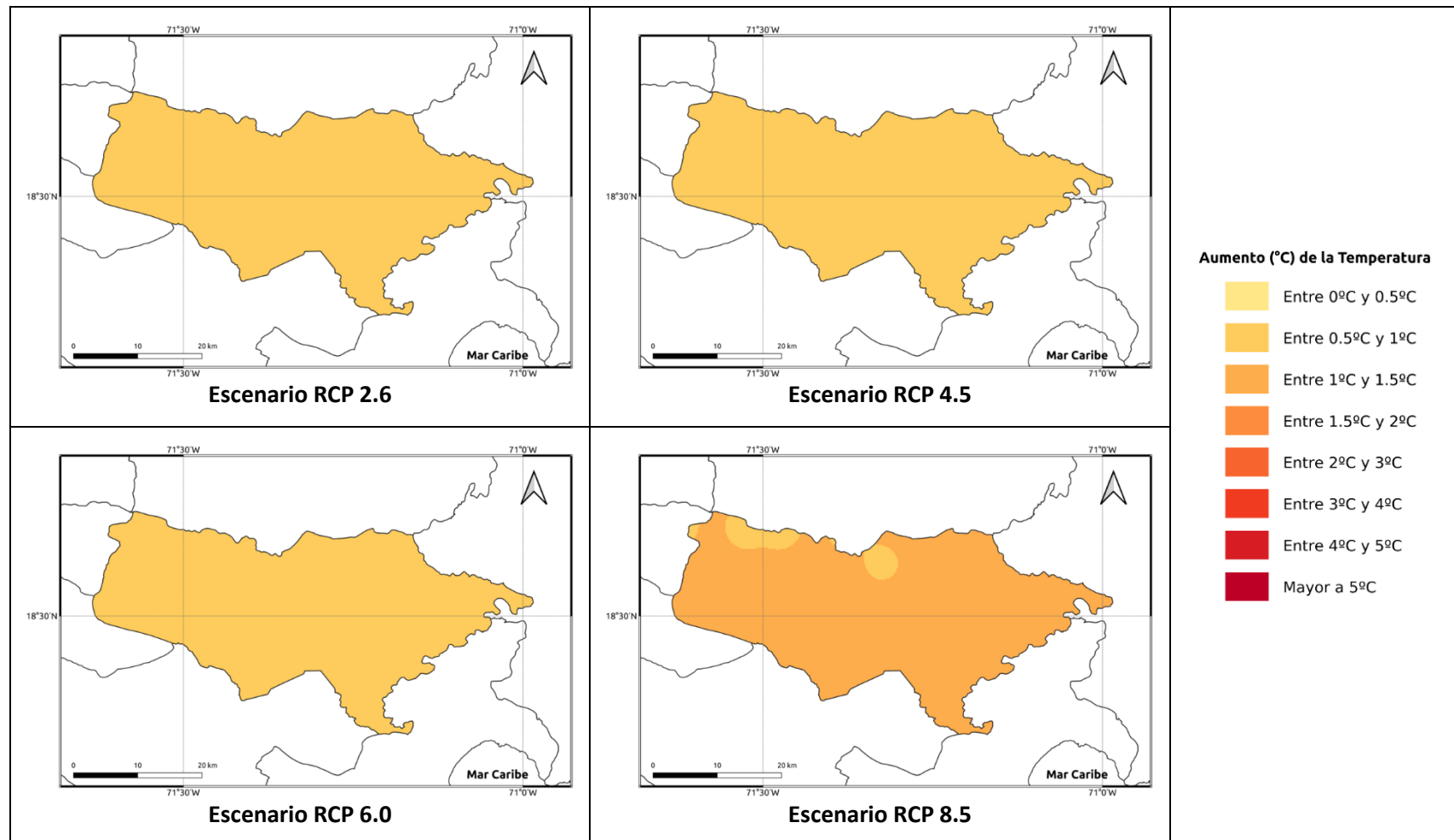


Figura 1.1.2-5. Cambios proyectados en la temperatura máxima (°C) por el ensamble multimodelo bajo los 4 escenarios RCP en el periodo 2021-2040 para la provincia Baoruco.

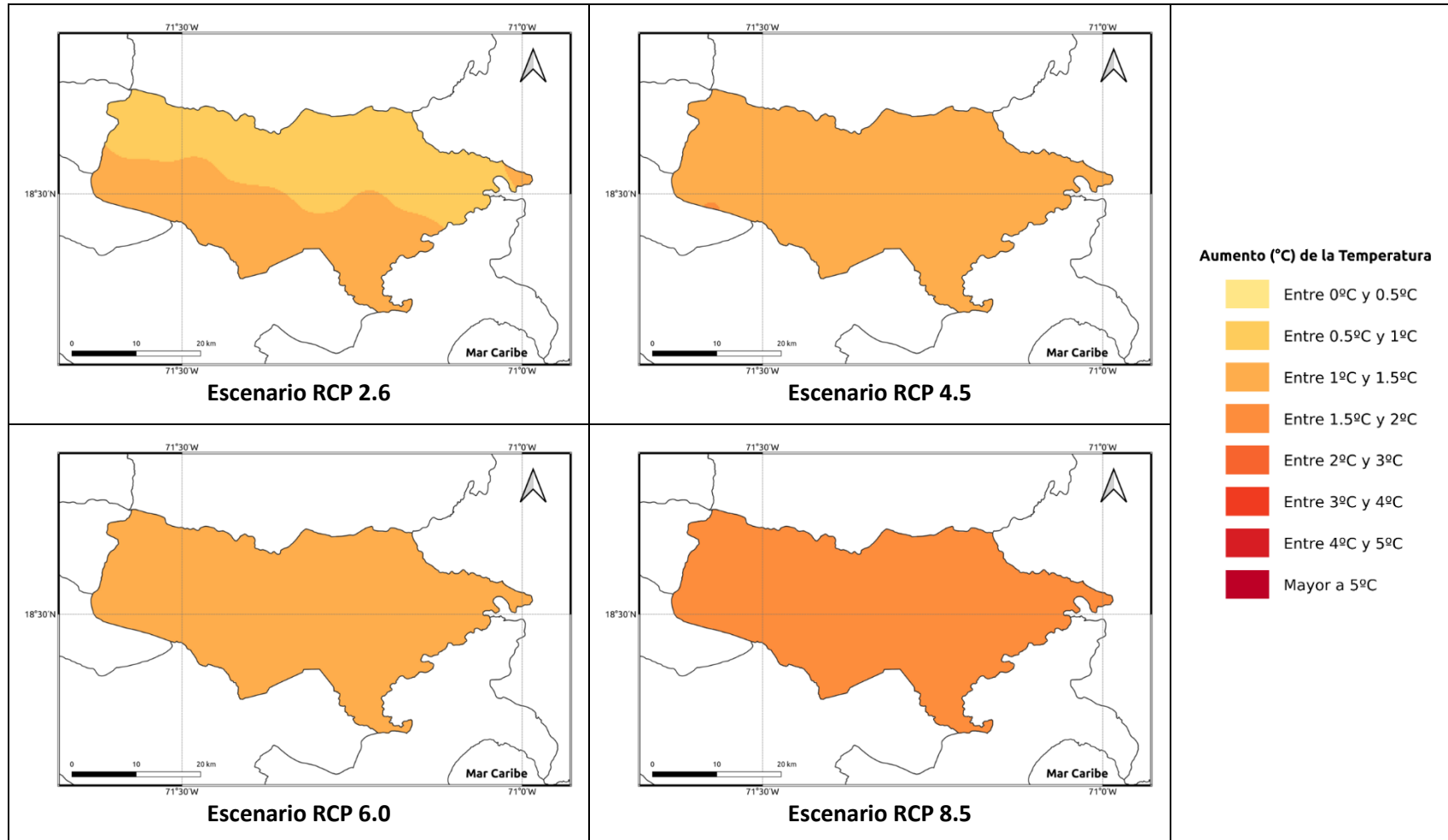


Figura 1.1.2-6. Cambios proyectados en la temperatura máxima (°C) por el ensamble multimodelo bajo los 4 escenarios RCP en el periodo 2041-2060 para la provincia Baoruco.

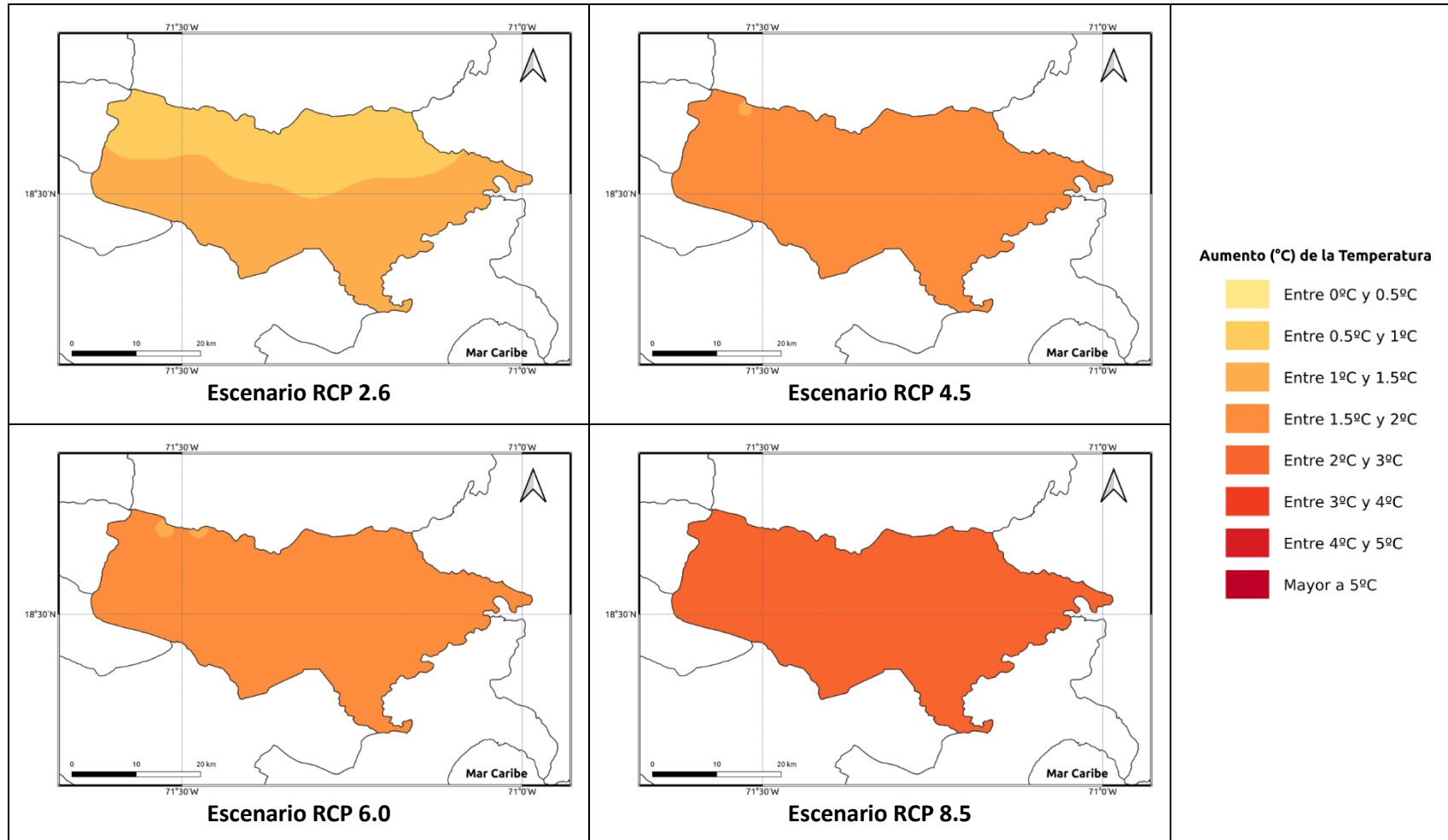
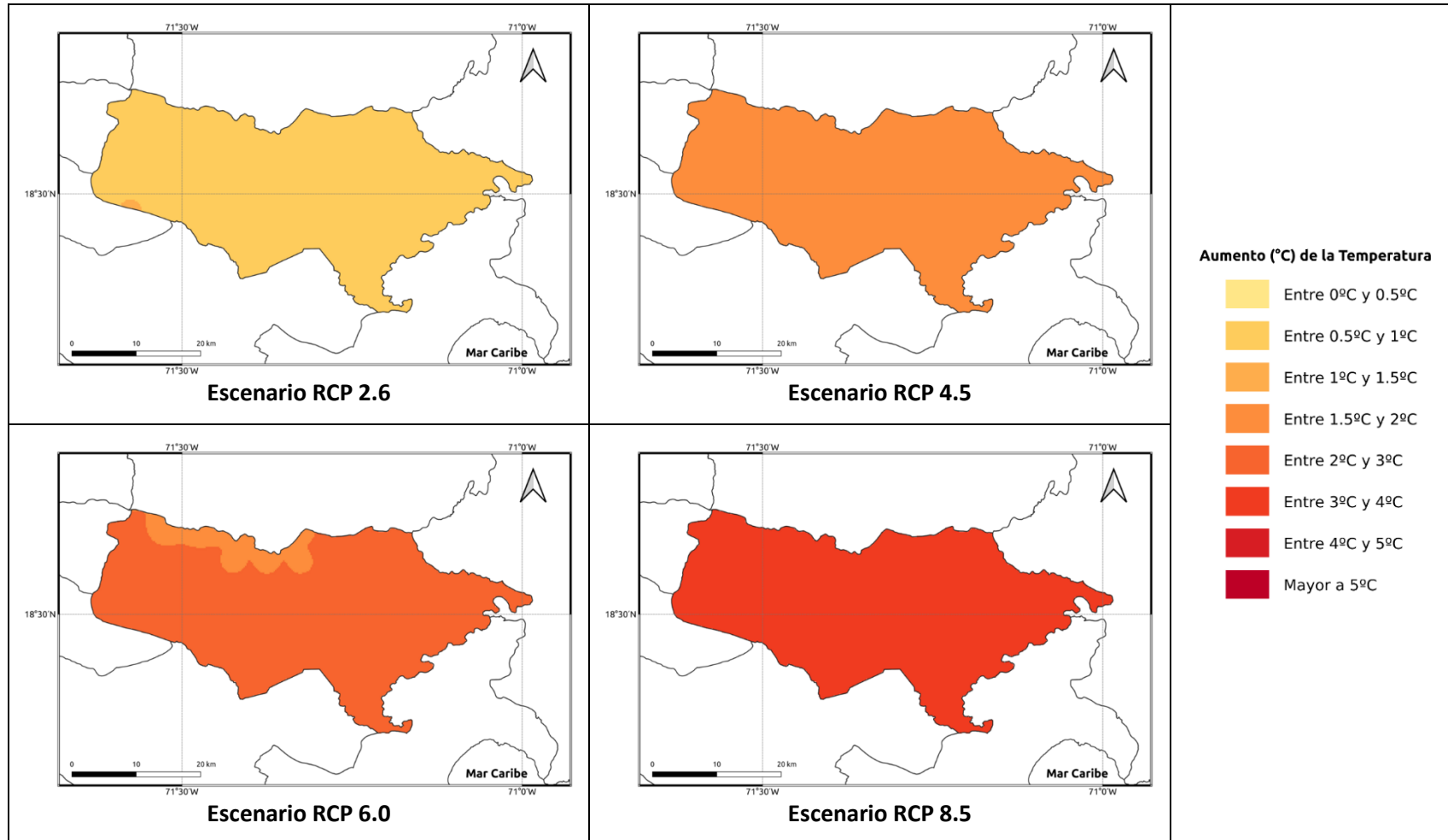


Figura 1.1.2-7. Cambios proyectados en la temperatura máxima (°C) por el ensamble multimodelo bajo los 4 escenarios RCP en el periodo 2061-2080 para la provincia Baoruco.



**Figura 1.1.2-8. Cambios proyectados en la temperatura máxima (°C) por el ensamble multimodelo bajo los 4 escenarios RCP en el periodo 2081-2100 para la provincia Baoruco.**

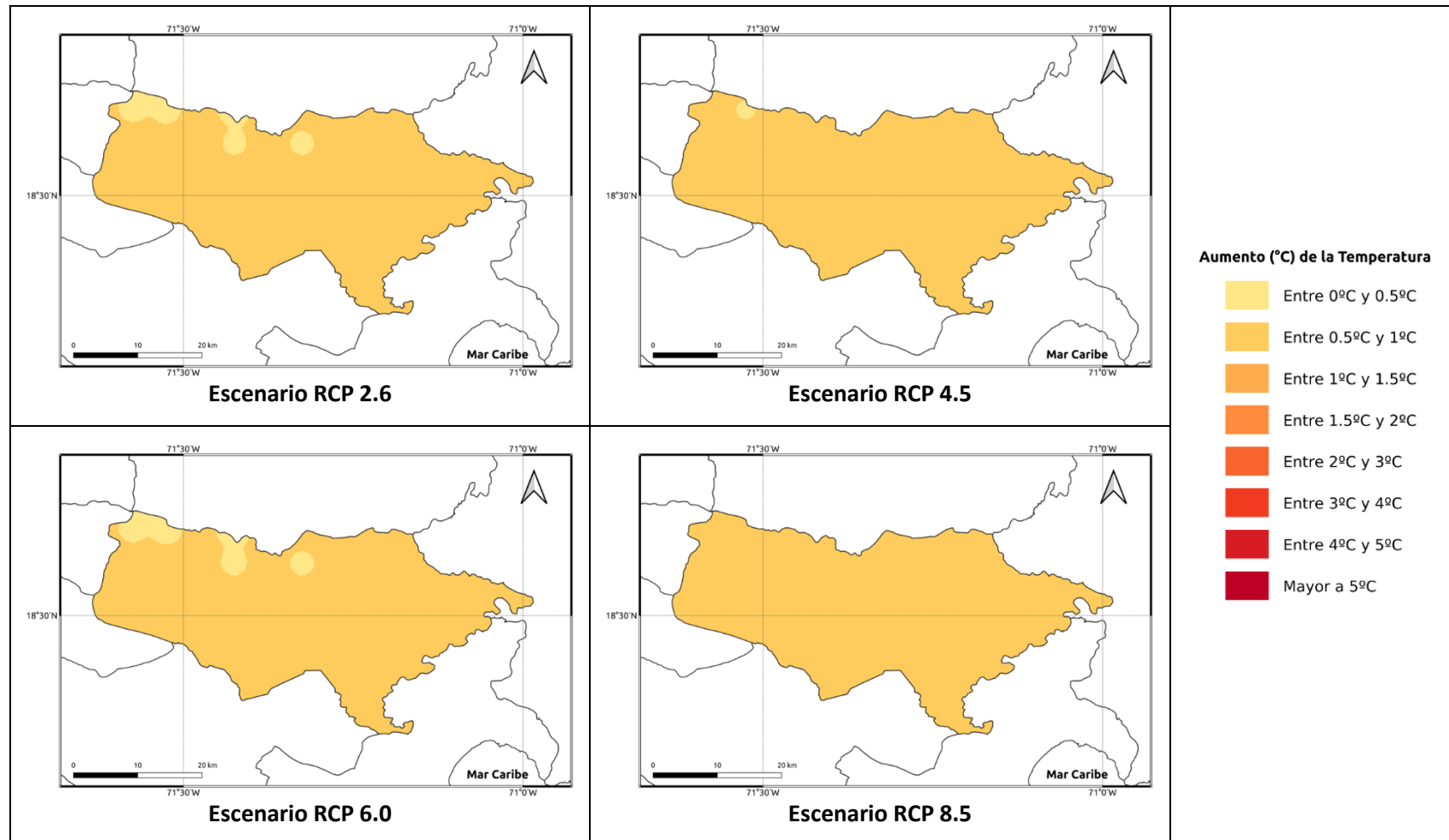


Figura 1.1.2-9. Cambios proyectados en la temperatura mínima (°C) por el ensamble multimodelo bajo los 4 escenarios RCP en el periodo 2021-2040 para la provincia Baoruco.

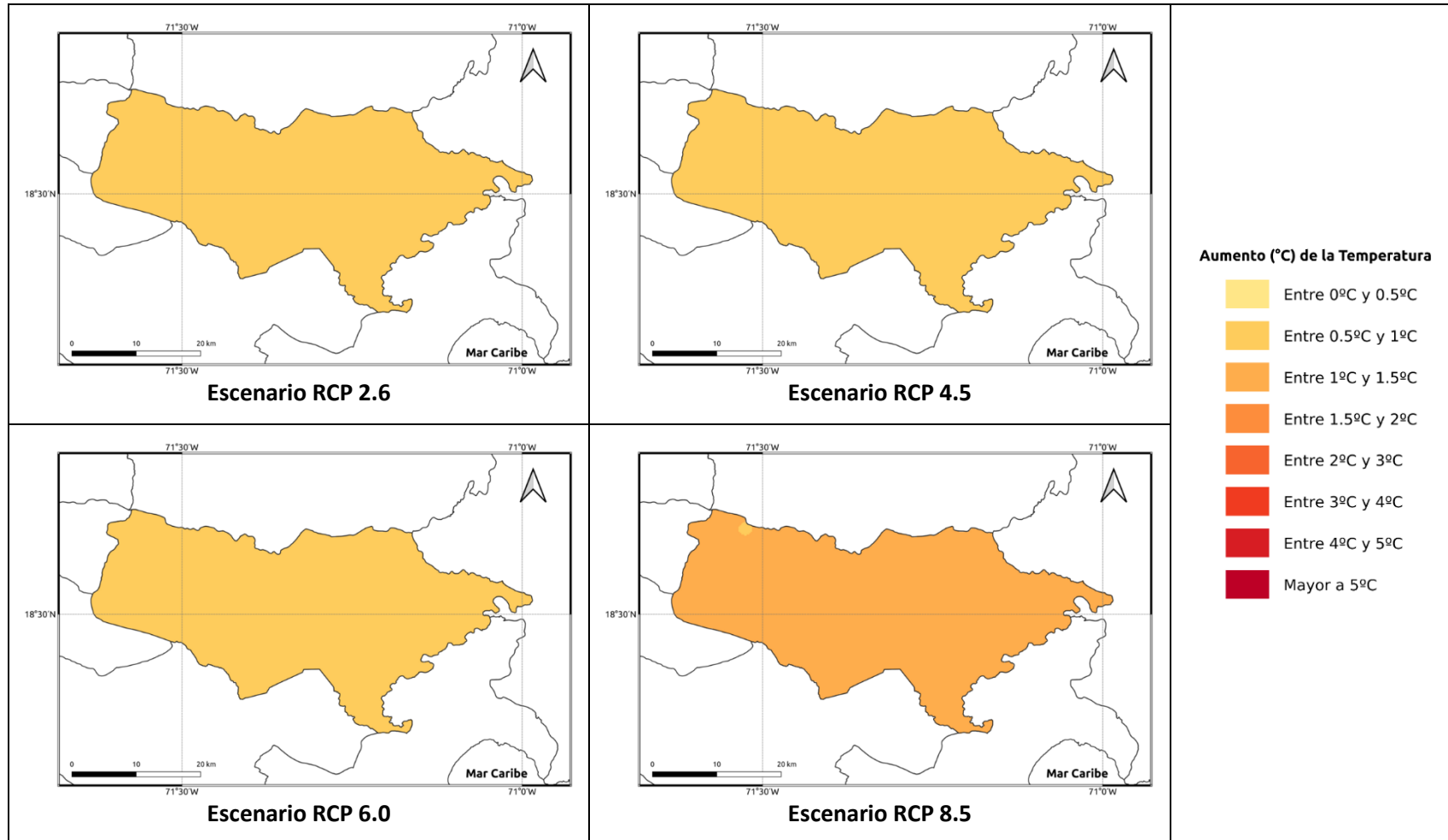
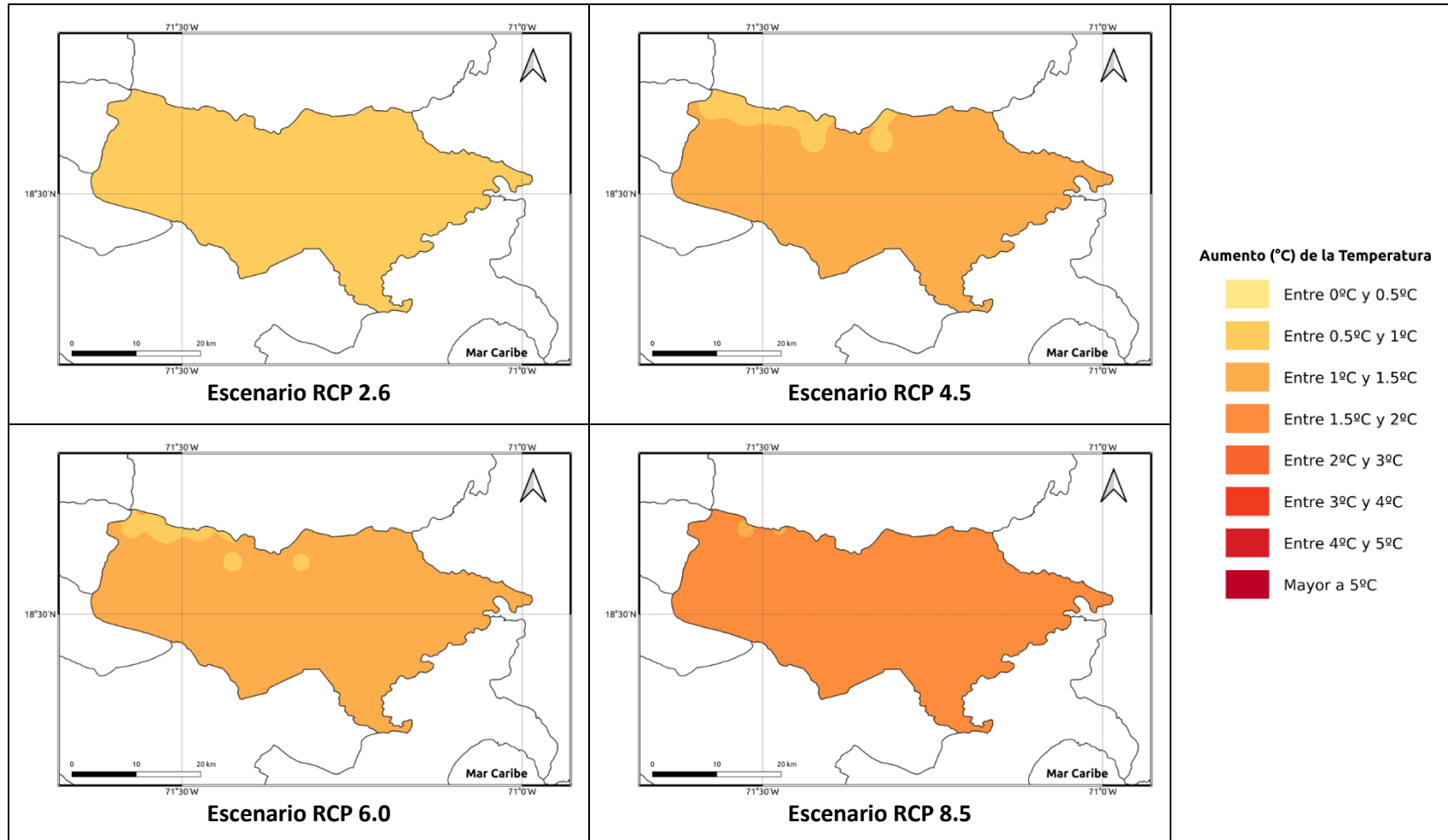
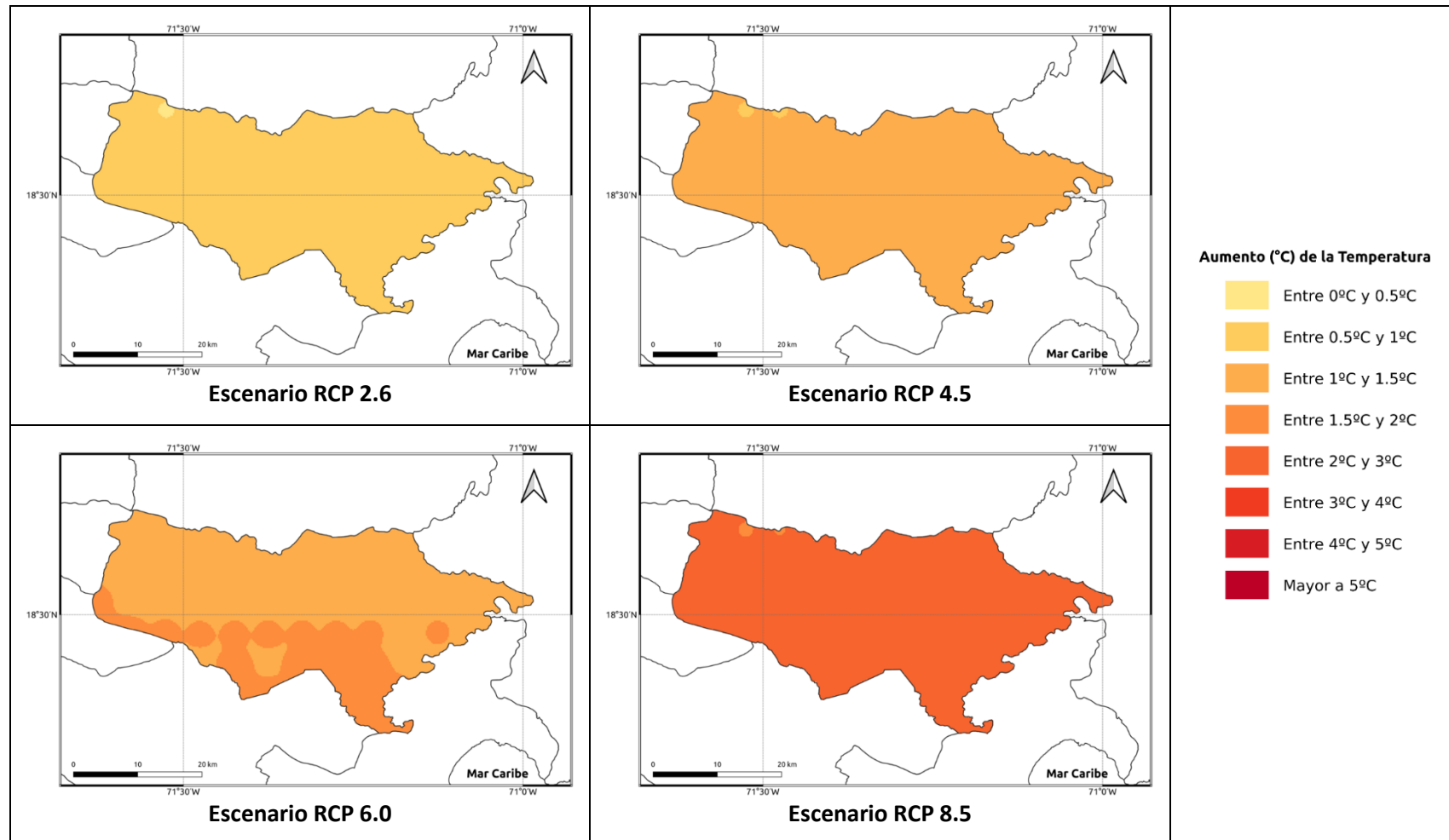


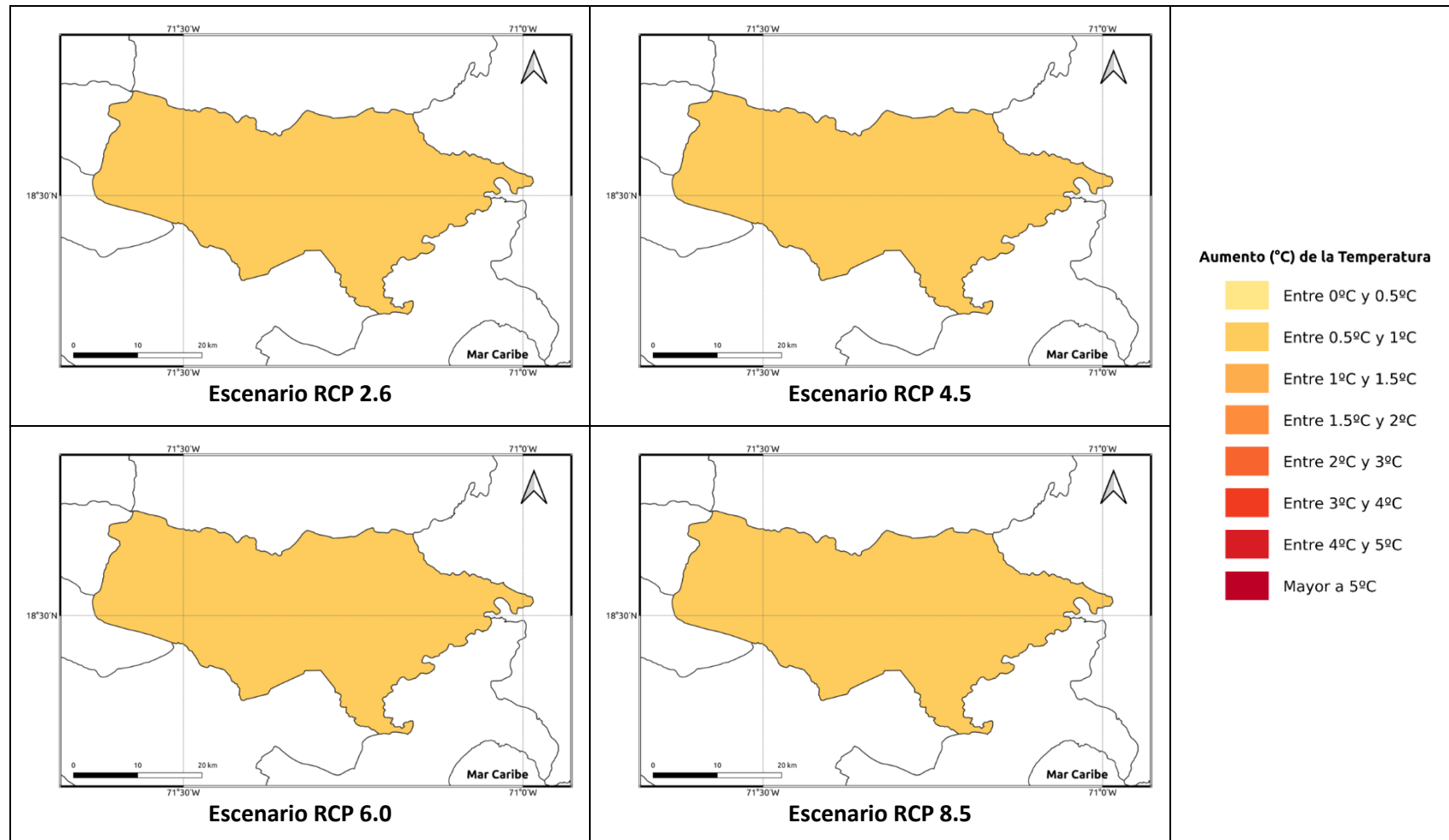
Figura 1.1.2-10. Cambios proyectados en la temperatura mínima (°C) por el ensamble multimodelo bajo los 4 escenarios RCP en el periodo 2041-2060 para la provincia Baoruco.



**Figura 1.1.2-11. Cambios proyectados en la temperatura mínima (°C) por el ensamble multimodelo bajo los 4 escenarios RCP en el periodo 2061-2080 para la provincia Baoruco.**



**Figura 1.1.2-12. Cambios proyectados en la temperatura mínima (°C) por el ensamble multimodelo bajo los 4 escenarios RCP en el periodo 2081-2100 para la provincia Baoruco.**



**Figura 1.1.2-13. Cambios proyectados en la temperatura media (°C) por el ensamble multimodelo bajo los 4 escenarios RCP en el periodo 2021-2040 para la provincia Baoruco.**

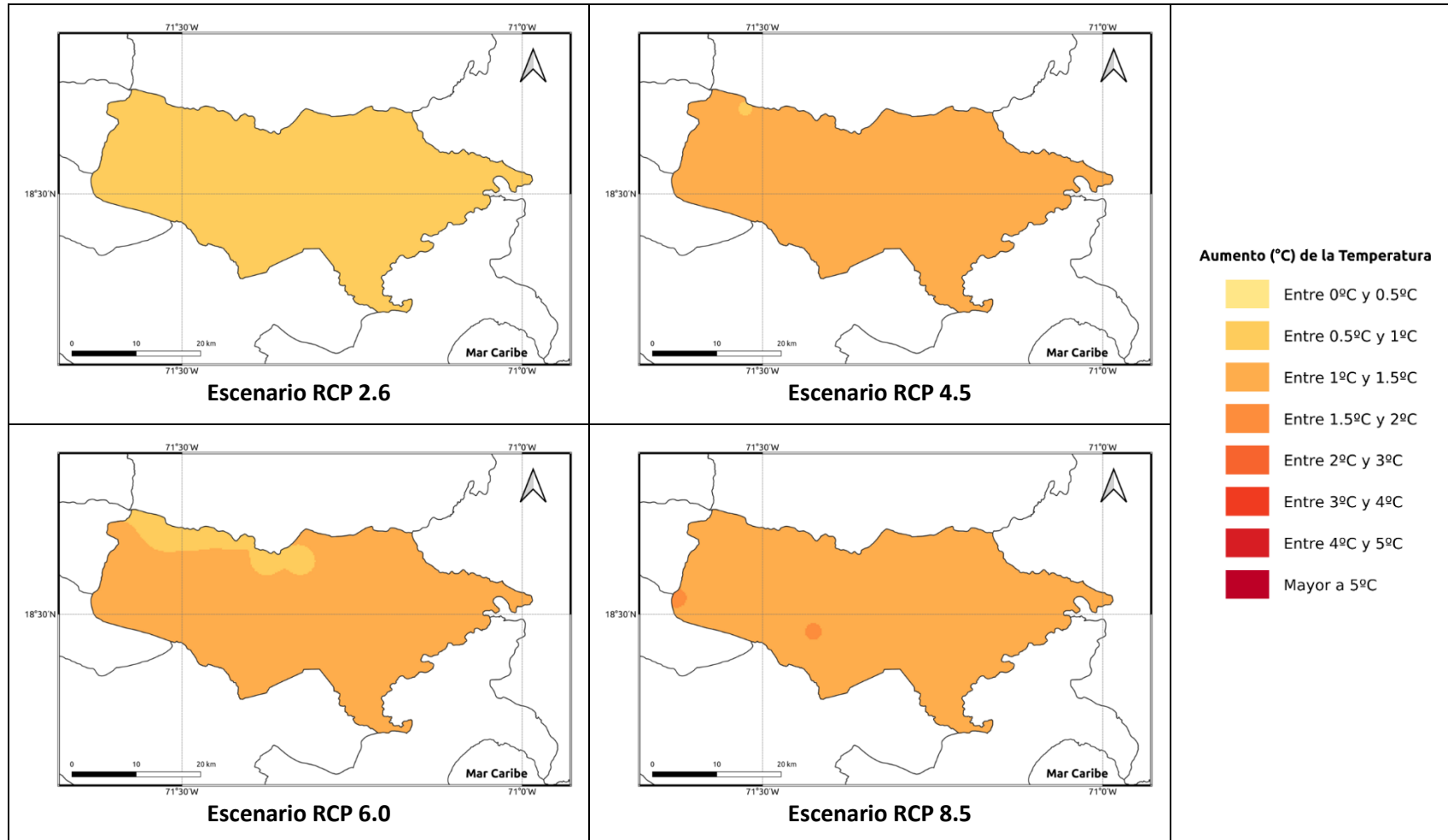
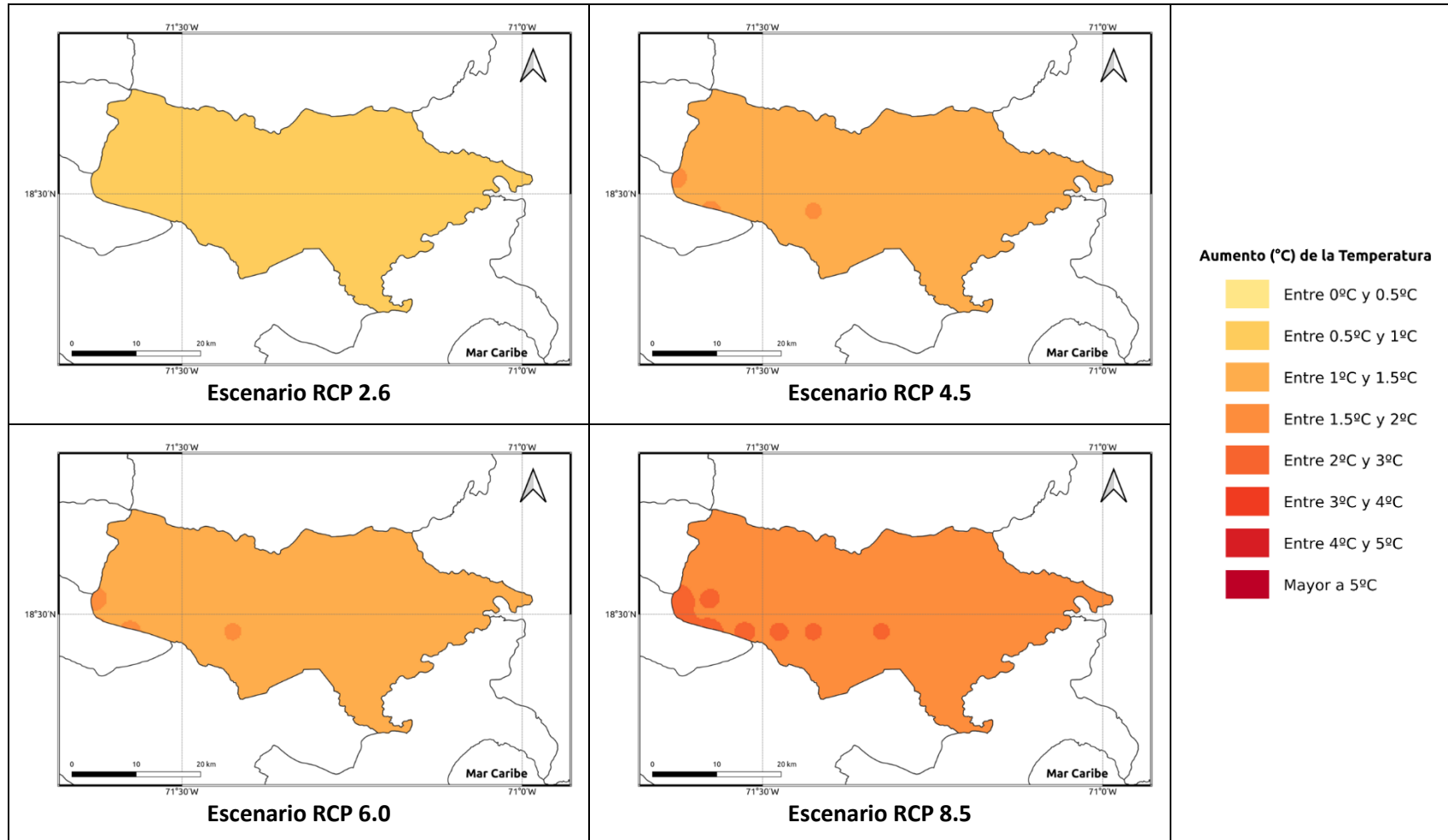
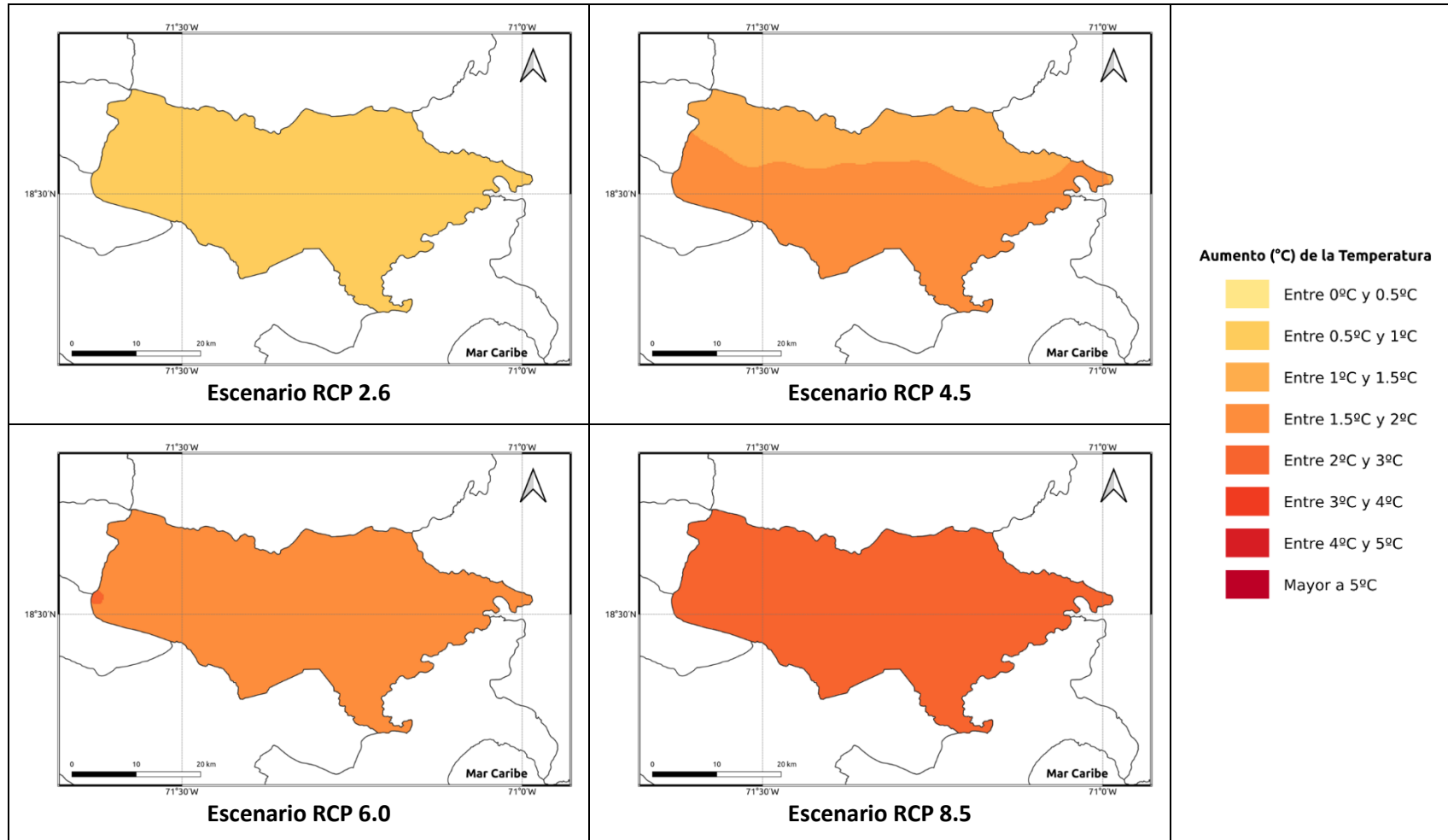


Figura 1.1.2-14. Cambios proyectados en la temperatura media (°C) por el ensamble multimodelo bajo los 4 escenarios RCP en el periodo 2041-2060 para la provincia Baoruco.



**Figura 1.1.2-15. Cambios proyectados en la temperatura media (°C) por el ensamble multimodelo bajo los 4 escenarios RCP en el periodo 2061-2080 para la provincia Baoruco.**



**Figura 1.1.2-16. Cambios proyectados en la temperatura media (°C) por el ensamble multimodelo bajo los 4 escenarios RCP en el periodo 2081-2100 para la provincia Baoruco.**

### **1.1.3 PROVINCIA BARAHONA**

A continuación, se presenta el análisis espacial de los cambios de las variables climáticas a nivel anual para la provincia Barahona. Los cambios a nivel estacional (trimestral) se pueden consultar en el Anexo 4.

#### **Precipitación**

Para esta variable, en el periodo de corto plazo 2021-2040 se presentarían cambios dentro del rango normal de variabilidad (del orden del 5%), con aumentos de esta magnitud bajo los escenarios RCP 2.6 y 6.0 y reducciones en los escenarios RCP 4.5 y 8.5, siendo en este último del orden del 8% (Figura 1.1.3-1). Para el siguiente periodo (2041-2060), bajo el RCP 2.6 se mantiene el aumento de la precipitación del orden del 5%, y en los demás escenarios la tendencia sería a la reducción de la precipitación entre un 4-9% (Figura 1.1.3-2). Para el periodo 2061-2080, en el RCP 2.6 se mantendrían los incrementos del 5% en la mayor parte de la provincia, y se presentarían reducciones de esta magnitud en una zona al oriente de la misma. Bajo los otros escenarios se darían reducciones de la precipitación, del orden del 12-15% bajo el RCP 4.5, entre 7-10% bajo el RCP 6.0 y del 14-19% bajo el RCP 8.5 (Figura 1.1.3-3). Por último, para finales de siglo bajo los 4 escenarios se esperarían reducciones de la precipitación, siendo las de menor magnitud bajo el RCP 2.6 (entre 6-8%) y las más altas bajo el RCP 8.5, con reducciones de más del 30% en toda la provincia (Figura 1.1.3-4).

#### **Temperatura Máxima**

La temperatura máxima podría presentar incrementos bajo los 4 RCP en todos los periodos analizados. En el periodo de corto plazo (2021-2040) la temperatura aumentaría entre 0.7 y 1.3°C, con aumentos de más de 1°C bajo el RCP 8.5 en la mayor parte de la provincia (Figura 1.1.3-5). Para 2041-2060, los aumentos serían de 0.7 a 1.4°C bajo los primeros 3 RCP (2.6, 4.5 y 6.0), y de 1.5 a 1.8°C bajo el RCP 8.5 (Figura 1.1.3-6). En el periodo 2061-2080 los aumentos serían de 0.7 a 2.4°C, manteniéndose el incremento de 0.7 a 1.4°C bajo el RCP 2.6, siendo de 1.4 a 1.8°C bajo los RCP 4.5 y 6.0 y de 2.6°C bajo el RCP 8.5 (Figura 1.1.3-7). Para finales de siglo, los aumentos serían de 0.7 a 0.9°C bajo el RCP 2.6, de 1.7 a 1.9°C bajo el RCP 4.5, de 1.8 a 2.4°C bajo el RCP 6.0 y de 3.2 a 3.8°C bajo el RCP 8.5 (Figura 1.1.3-8).

#### **Temperatura Mínima**

En el primer periodo (2021-2040), ésta se incrementaría de 0.3 a 0.8°C en los 4 escenarios RCP (Figura 1.1.3-9). Para 2041-2060 aumentaría de 0.7 a 0.9°C en los 3 primeros escenarios (aunque bajo el RCP 4.5 habría incrementos de 1.1°C hacia el oriente y sur de la provincia), y bajo el RCP 8.5 habría aumentos de 1.3°C (Figura



1.1.3-10). En el periodo 2061-2080 la temperatura mínima se incrementaría entre 0.6 y 0.8°C bajo el RCP 2.6, entre 1.1 y 1.4°C bajo los RCP 4.5 y 6.0 y entre 1.7 y 2.2°C bajo el RCP 8.5, dándose los mayores aumentos hacia el oriente y sur de la provincia (Figura 1.1.3-11). Por último, para finales de siglo se mantendría un aumento de 0.8°C en el RCP 2.6, entre 1.1 y 1.4°C bajo el RCP 4.5, entre 1.4 y 1.8°C bajo el RCP 6.0 y de 2.2 a 2.6°C bajo el RCP 8.5 (Figura 1.1.3-12).

#### ***Temperatura Media***

La temperatura media se incrementaría entre 0.6 y 0.8°C en el periodo 2021-2040 bajo los 4 escenarios RCP (Figura 1.1.3-13). En el periodo 2041-2060 se mantendría este mismo rango bajo el RCP 2.6, y en los otros 3 escenarios aumentaría de 1.1 a 1.4°C (Figura 1.1.3-14). Para 2061-2080 la temperatura media aumentaría de 0.7 a 0.8°C bajo el RCP 2.6, de 1.3 a 1.5°C bajo los RCP 4.5 y 6.0 y de 1.7 a 2.4°C bajo el RCP 8.5, con los incrementos más altos en zonas del sur y oriente de la provincia (Figura 1.1.3-15). Finalmente, para el periodo 2081-2100 la temperatura subiría entre 0.6 y 0.8°C bajo el RCP 2.6, entre 1.2 y 1.7°C bajo el RCP 4.5 (con los aumentos más altos hacia el norte, sur y oriente de la provincia), de 1.6 a 1.9°C bajo el RCP 6.0 y de 2.4 a 2.8°C bajo el RCP 8.5 (Figura 1.1.3-16).

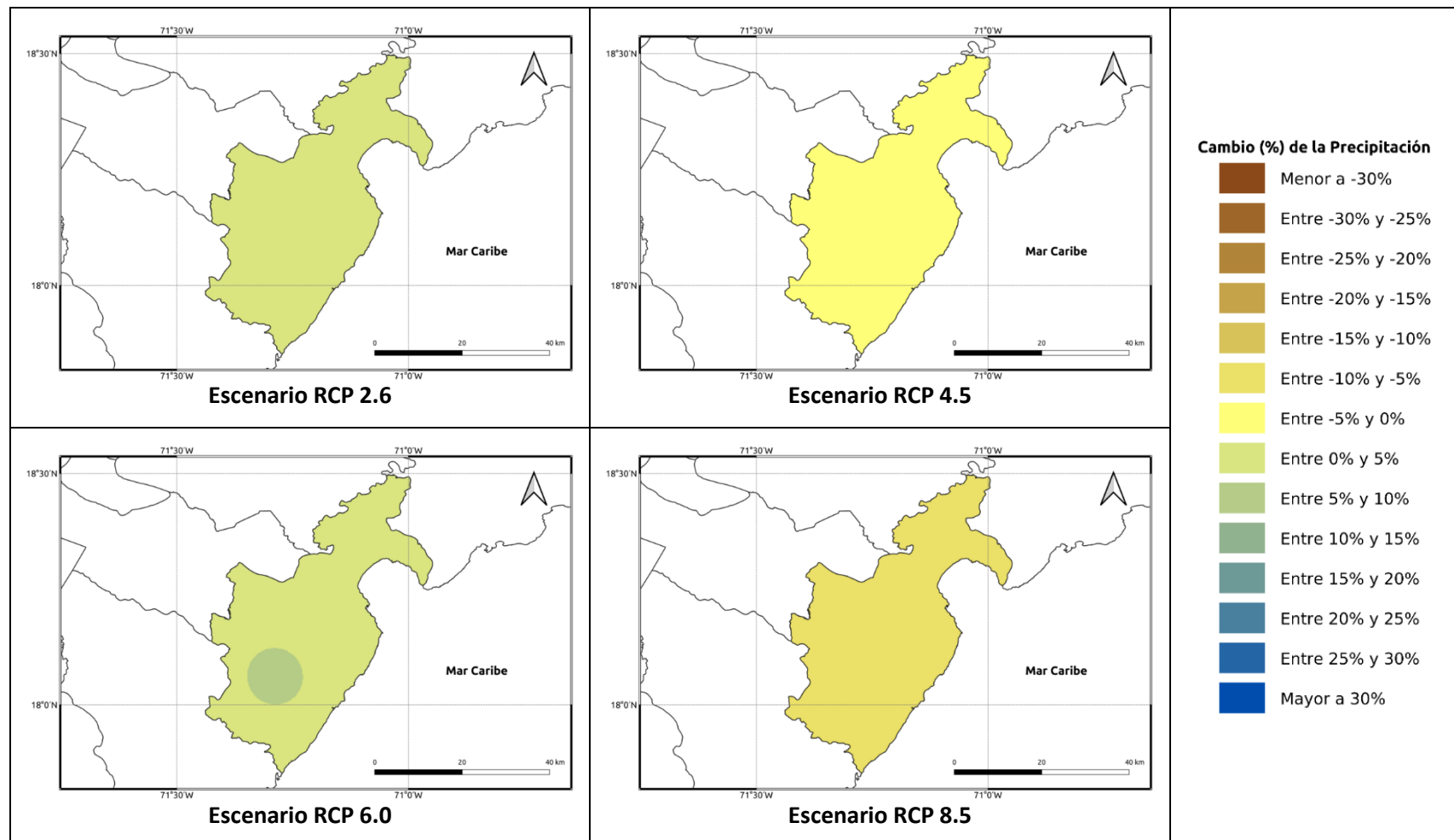
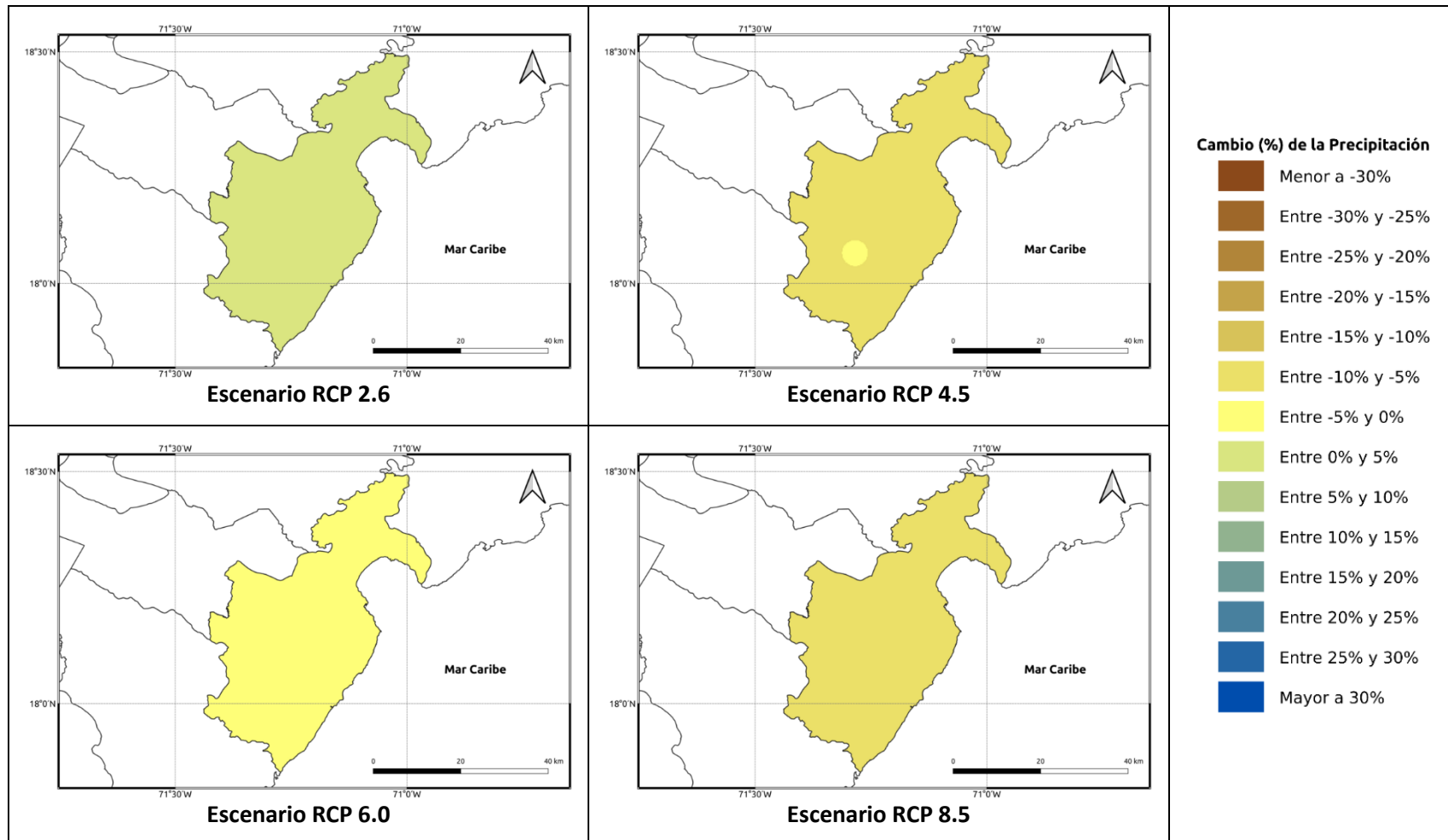


Figura 1.1.3-1. Cambios porcentuales de la precipitación (%) proyectados por el ensamble multimodelo bajo los 4 escenarios RCP en el periodo 2021-2040 para la provincia Barahona.



**Figura 1.1.3-2. Cambios porcentuales de la precipitación (%) proyectados por el ensamble multimodelo bajo los 4 escenarios RCP en el periodo 2041-2060 para la provincia Barahona.**

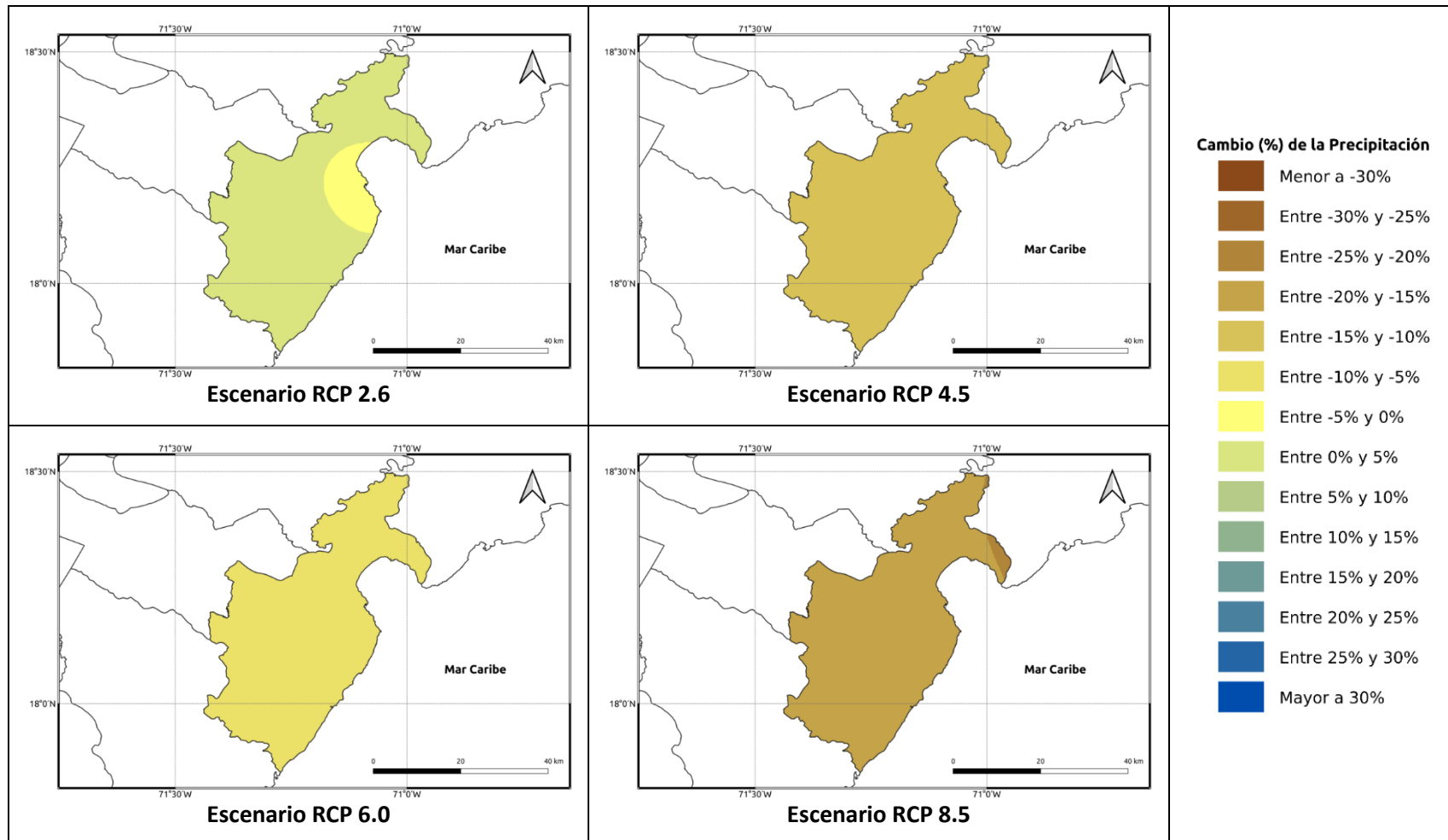
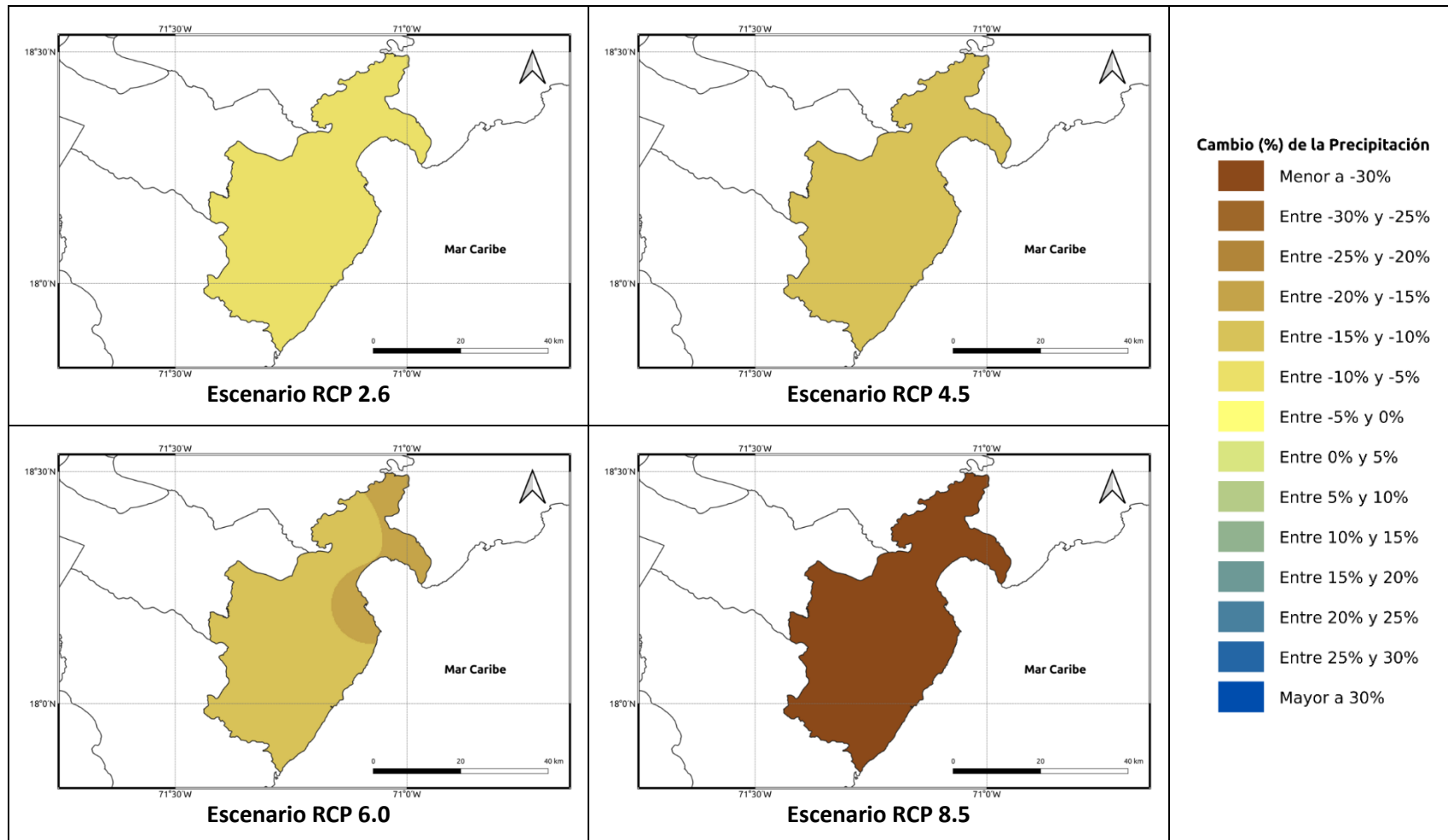


Figura 1.1.3-3. Cambios porcentuales de la precipitación (%) proyectados por el ensamble multimodelo bajo los 4 escenarios RCP en el periodo 2061-2080 para la provincia Barahona.



**Figura 1.1.3-4. Cambios porcentuales de la precipitación (%) proyectados por el ensamble multimodelo bajo los 4 escenarios RCP en el periodo 2081-2100 para la provincia Barahona.**

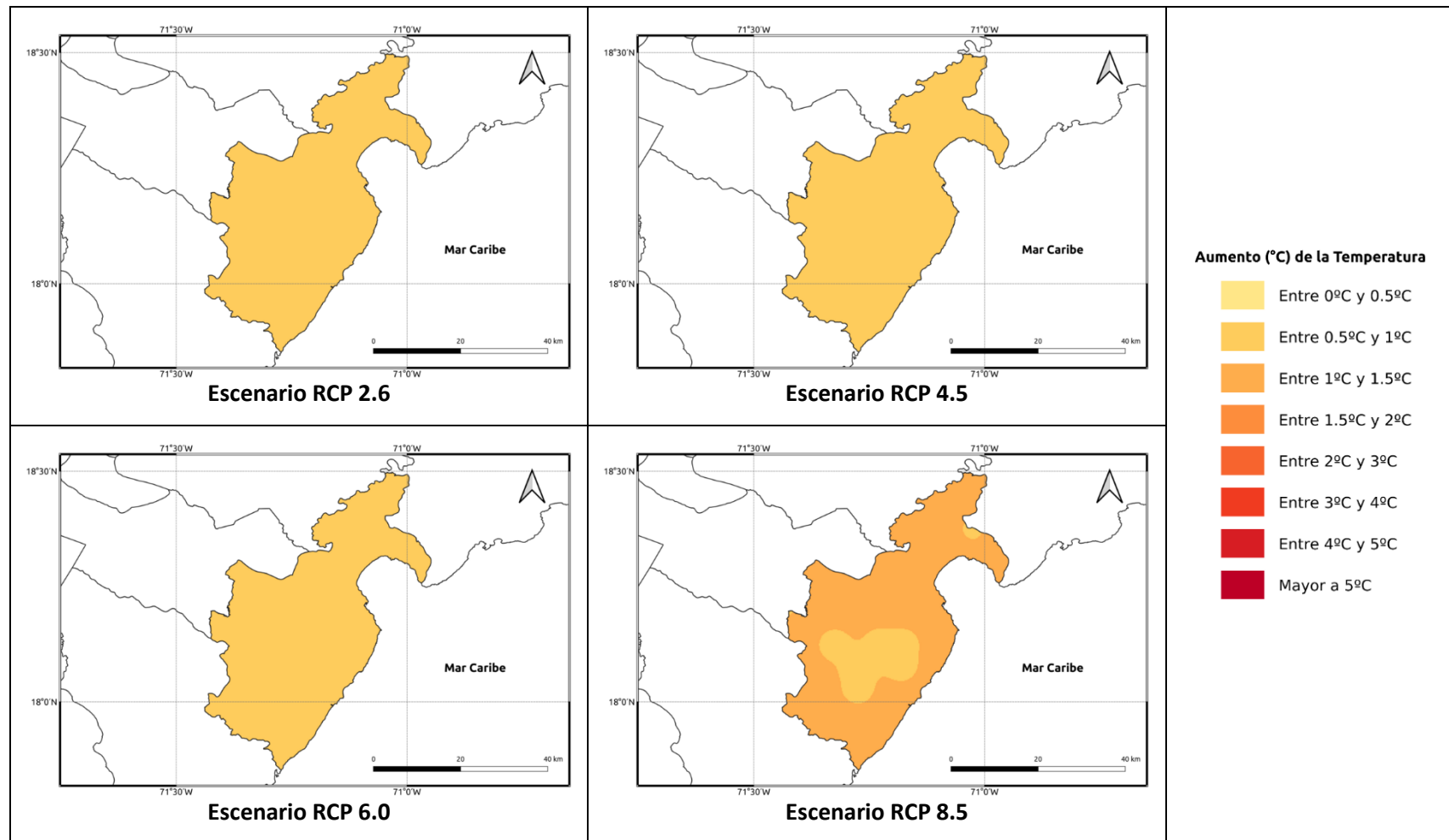
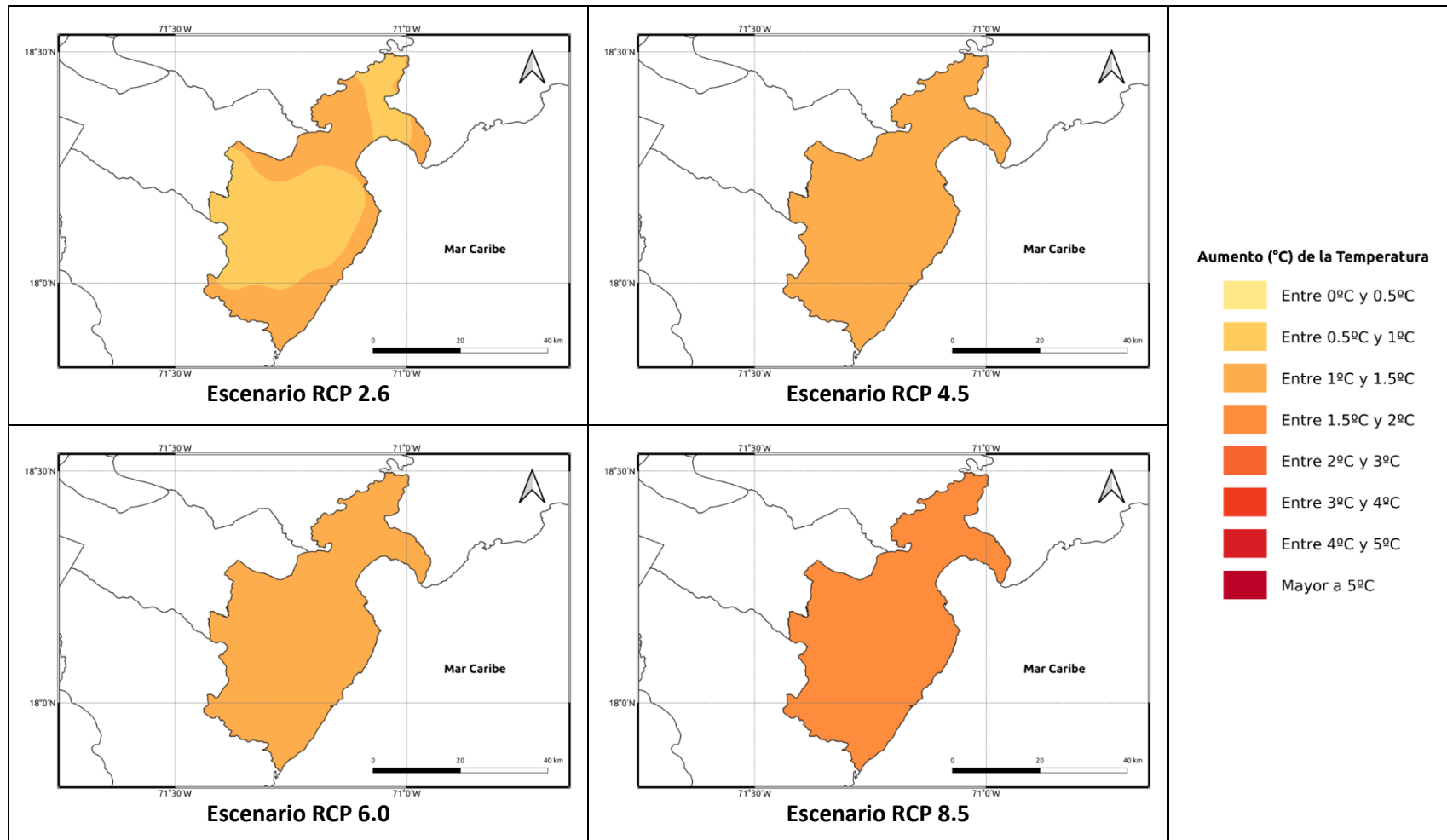


Figura 1.1.3-5. Cambios proyectados en la temperatura máxima (°C) por el ensamble multimodelo bajo los 4 escenarios RCP en el periodo 2021-2040 para la provincia Barahona.



**Figura 1.1.3-6. Cambios proyectados en la temperatura máxima (°C) por el ensamble multimodelo bajo los 4 escenarios RCP en el periodo 2041-2060 para la provincia Barahona.**

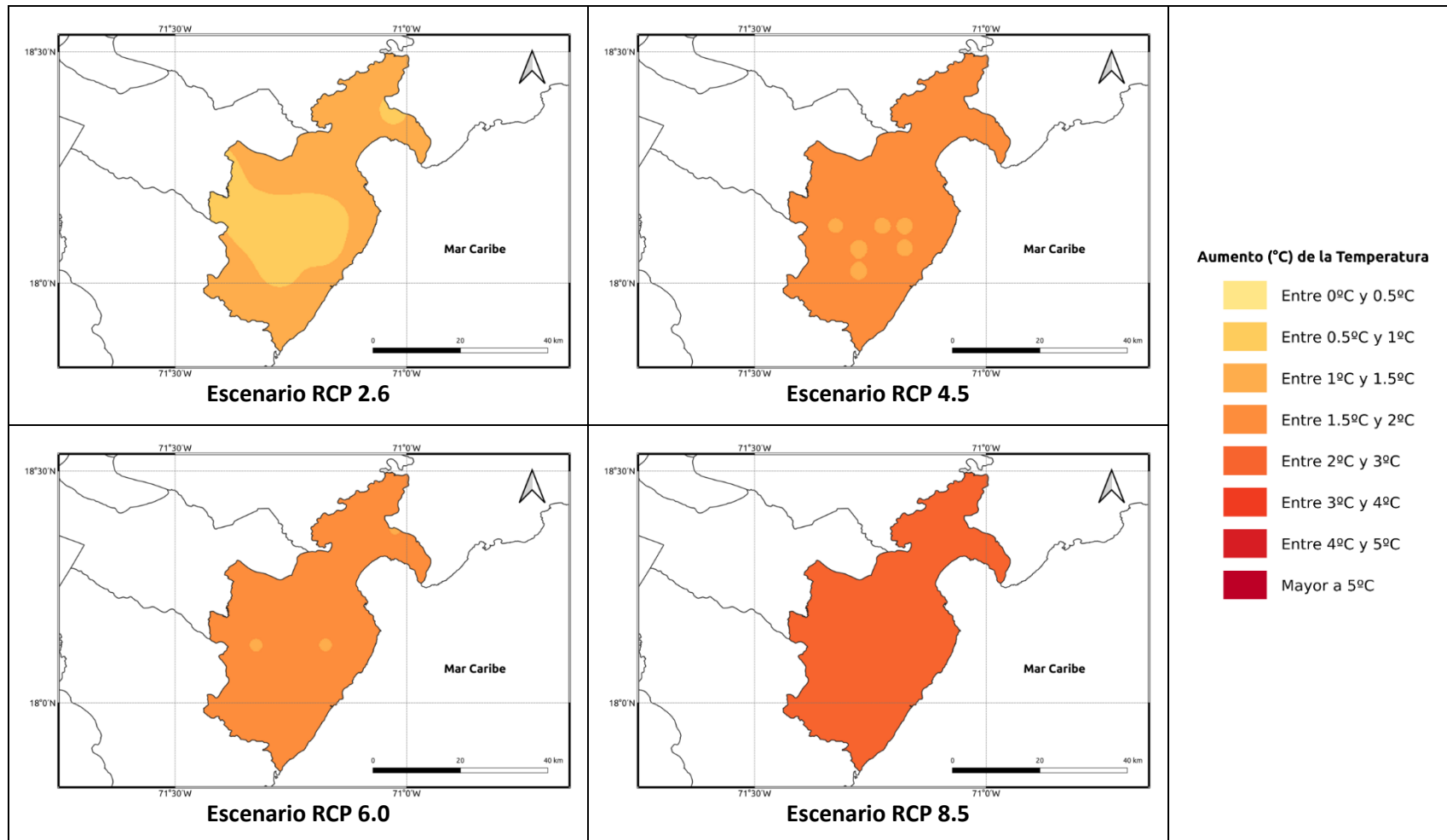
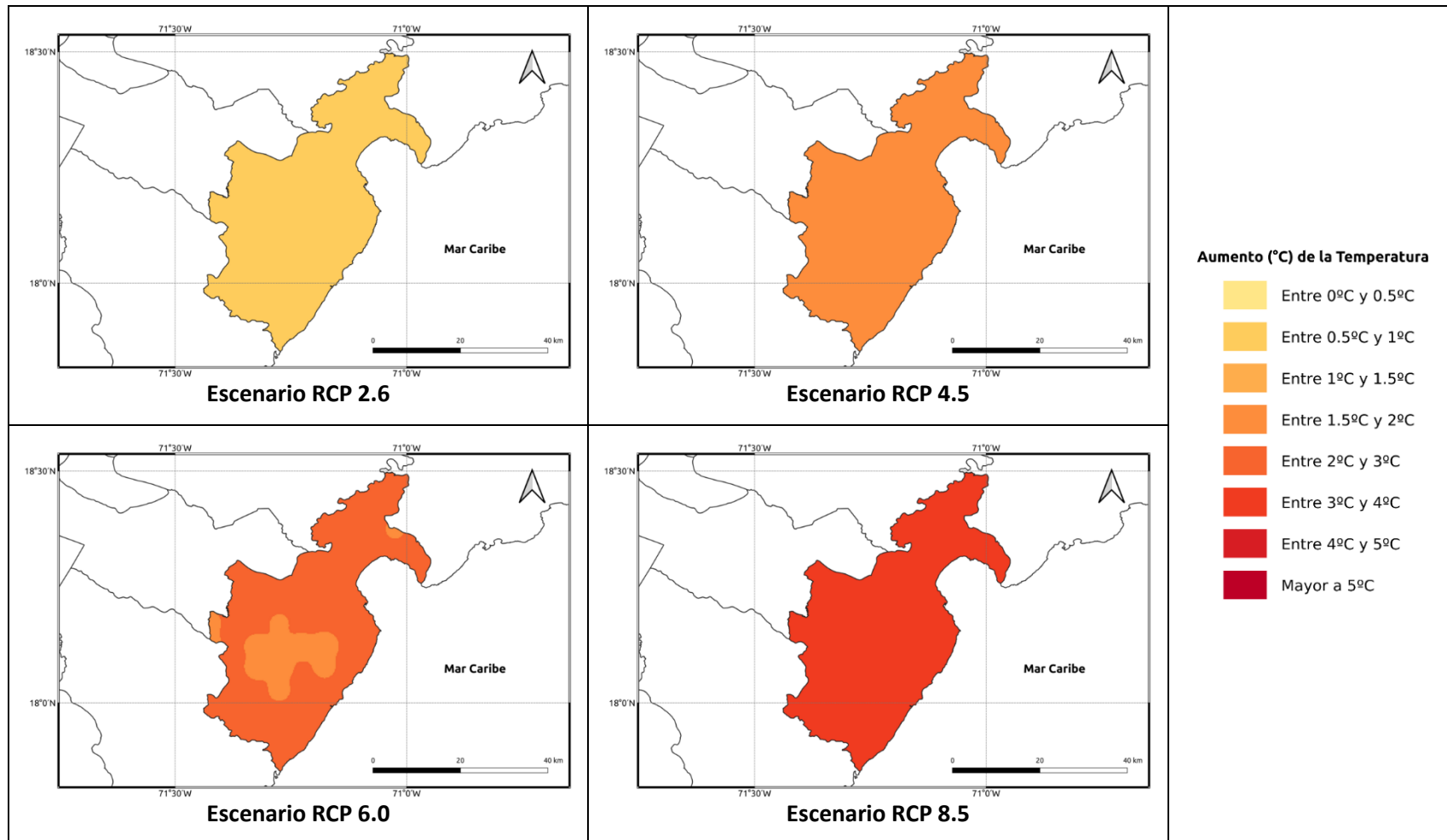


Figura 1.1.3-7. Cambios proyectados en la temperatura máxima (°C) por el ensamble multimodelo bajo los 4 escenarios RCP en el periodo 2061-2080 para la provincia Barahona.



**Figura 1.1.3-8. Cambios proyectados en la temperatura máxima (°C) por el ensamble multimodelo bajo los 4 escenarios RCP en el periodo 2081-2100 para la provincia Barahona.**

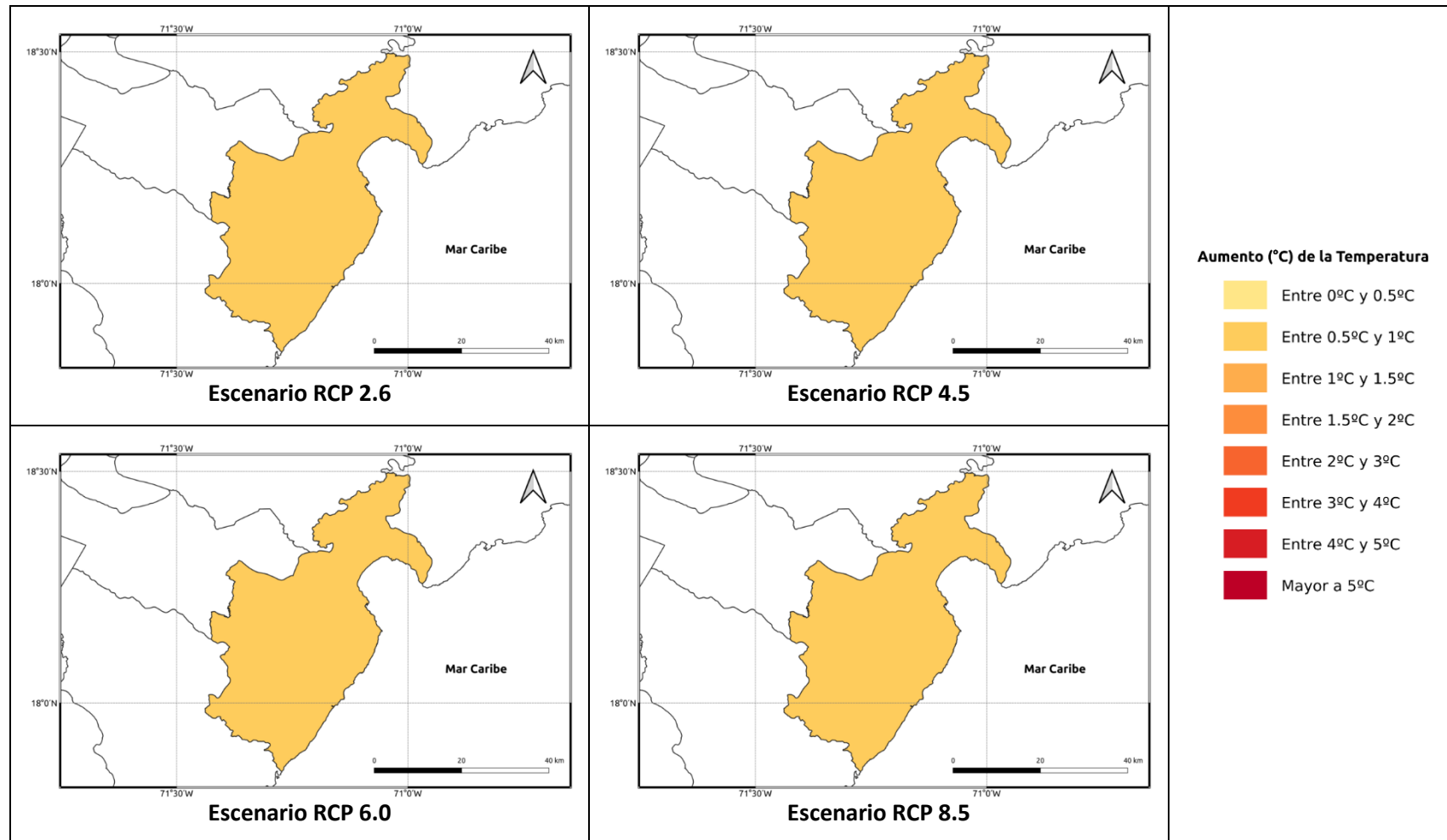
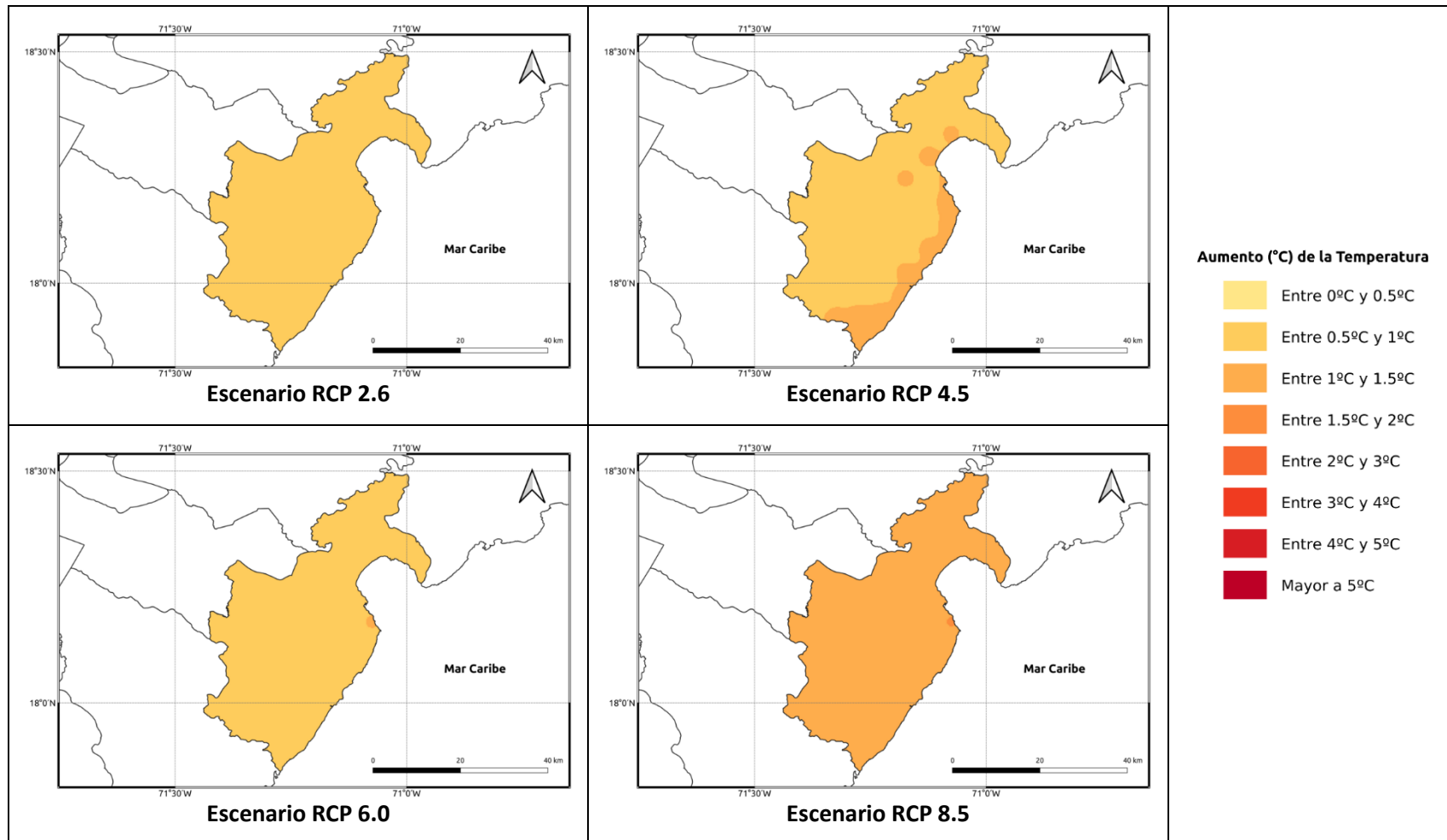
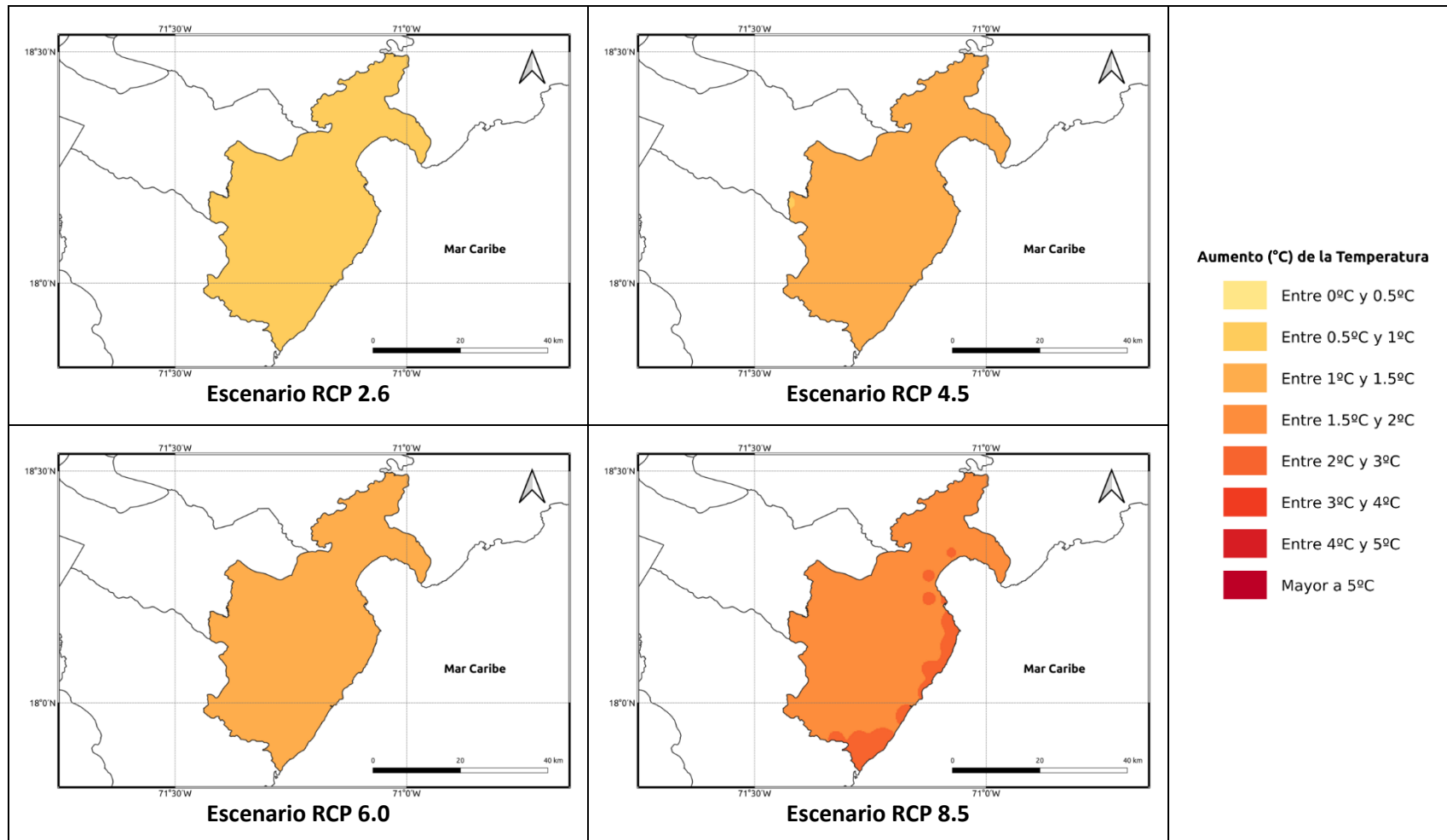


Figura 1.1.3-9. Cambios proyectados en la temperatura mínima (°C) por el ensamble multimodelo bajo los 4 escenarios RCP en el periodo 2021-2040 para la provincia Barahona.



**Figura 1.1.3-10. Cambios proyectados en la temperatura mínima (°C) por el ensamble multimodelo bajo los 4 escenarios RCP en el periodo 2041-2060 para la provincia Barahona.**



**Figura 1.1.3-11. Cambios proyectados en la temperatura mínima (°C) por el ensamble multimodelo bajo los 4 escenarios RCP en el periodo 2061-2080 para la provincia Barahona.**

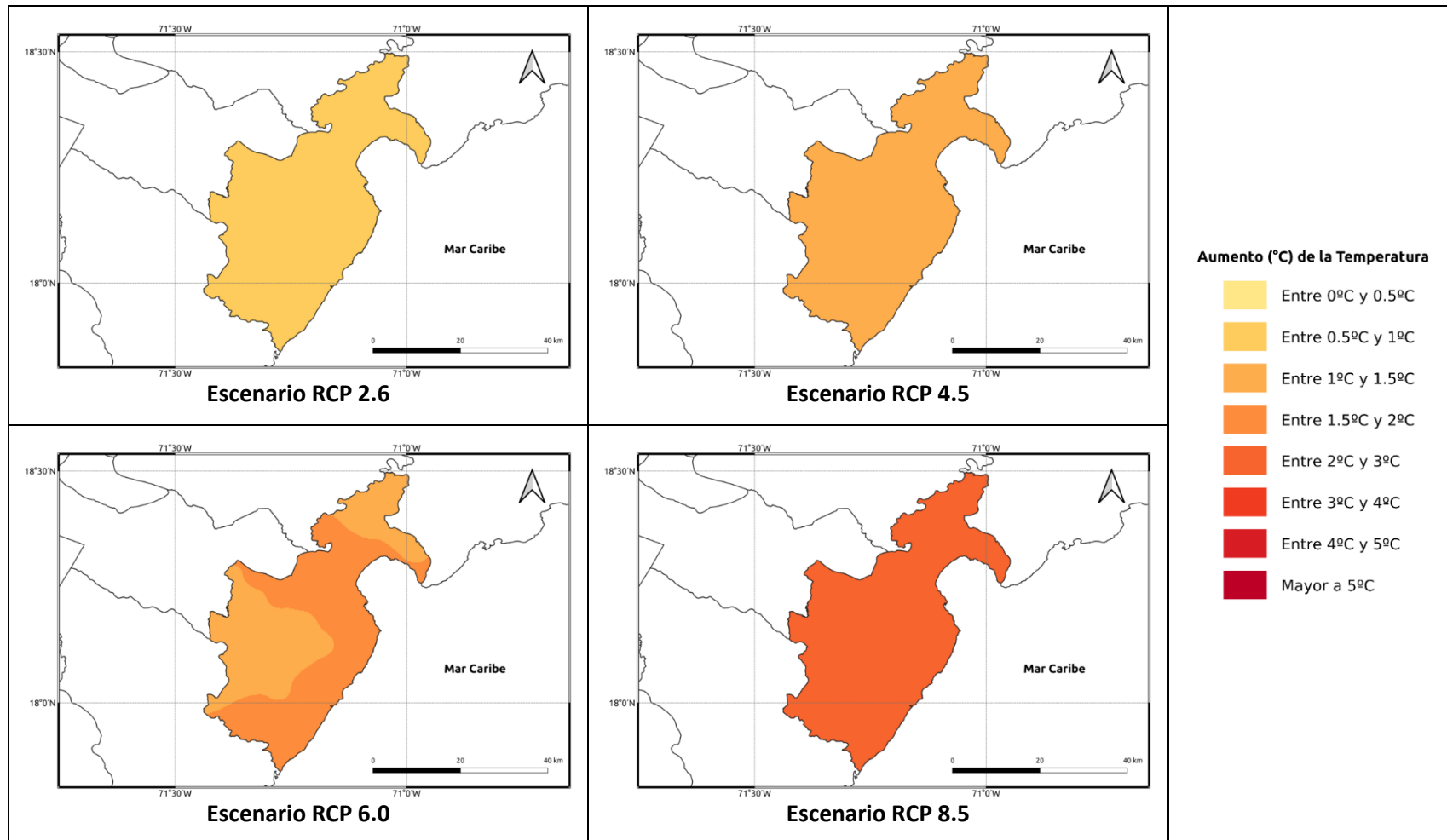


Figura 1.1.3-12. Cambios proyectados en la temperatura mínima (°C) por el ensamble multimodelo bajo los 4 escenarios RCP en el periodo 2081-2100 para la provincia Barahona.

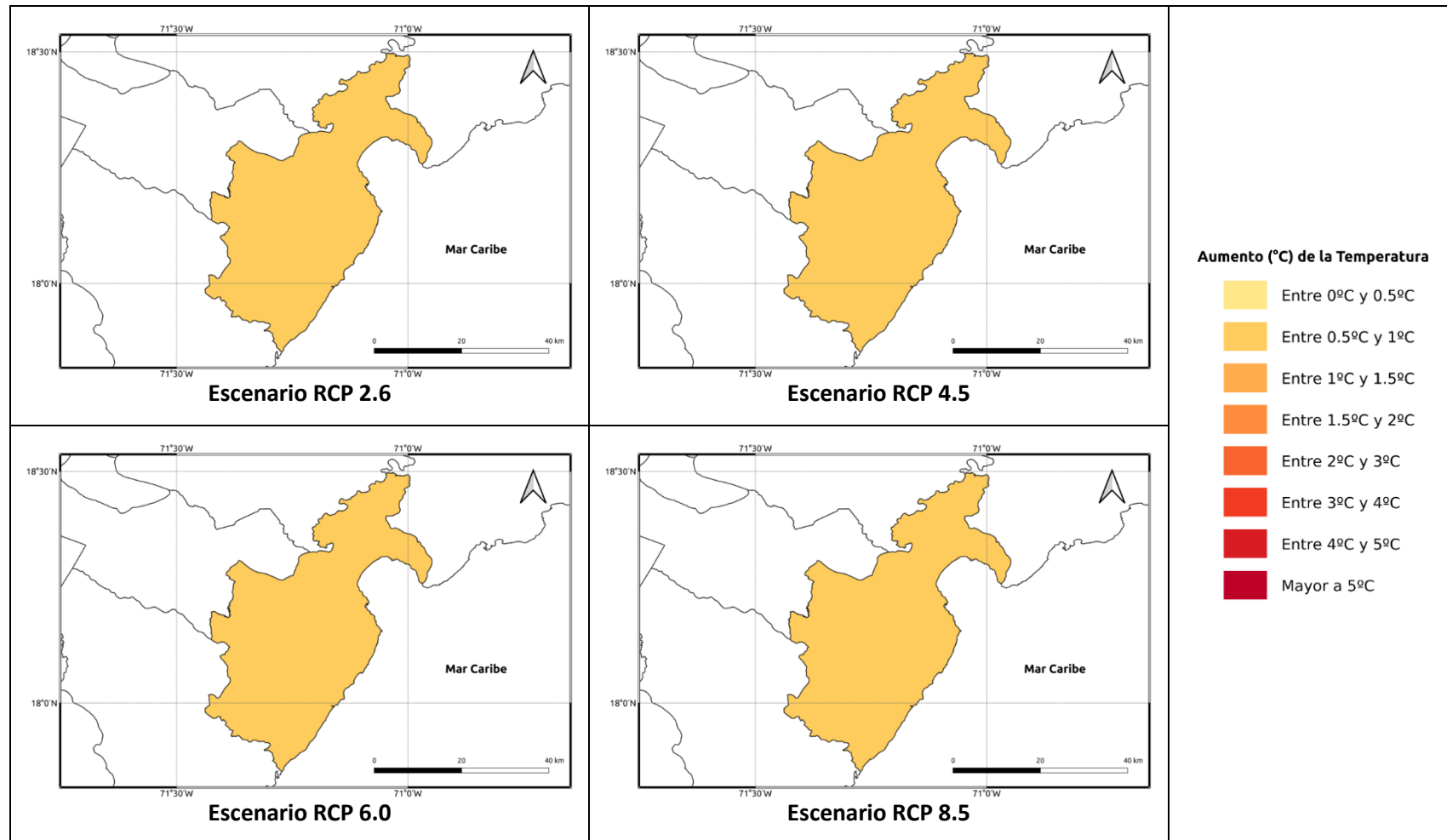


Figura 1.1.3-13. Cambios proyectados en la temperatura media (°C) por el ensamble multimodelo bajo los 4 escenarios RCP en el periodo 2021-2040 para la provincia Barahona.

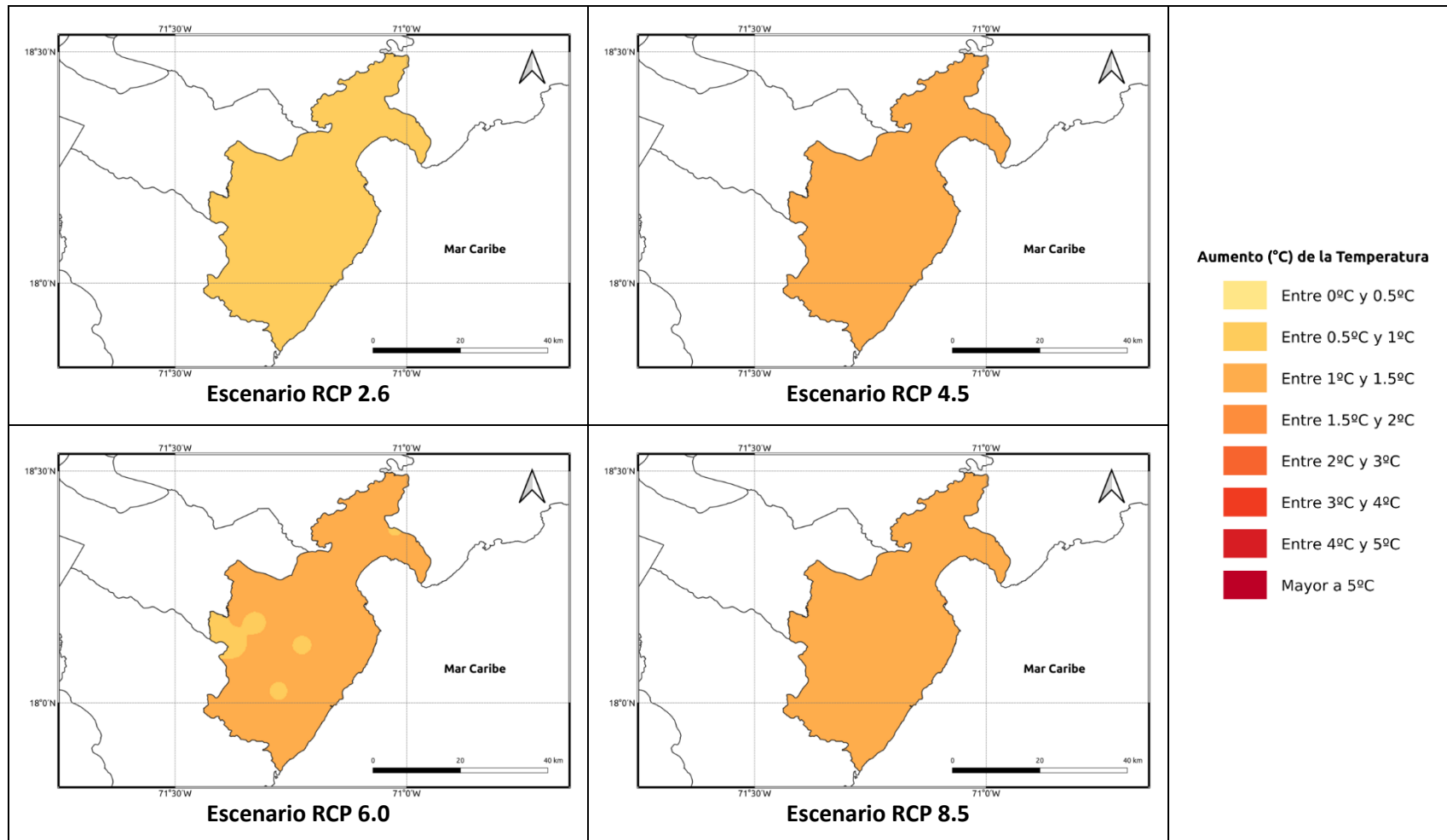
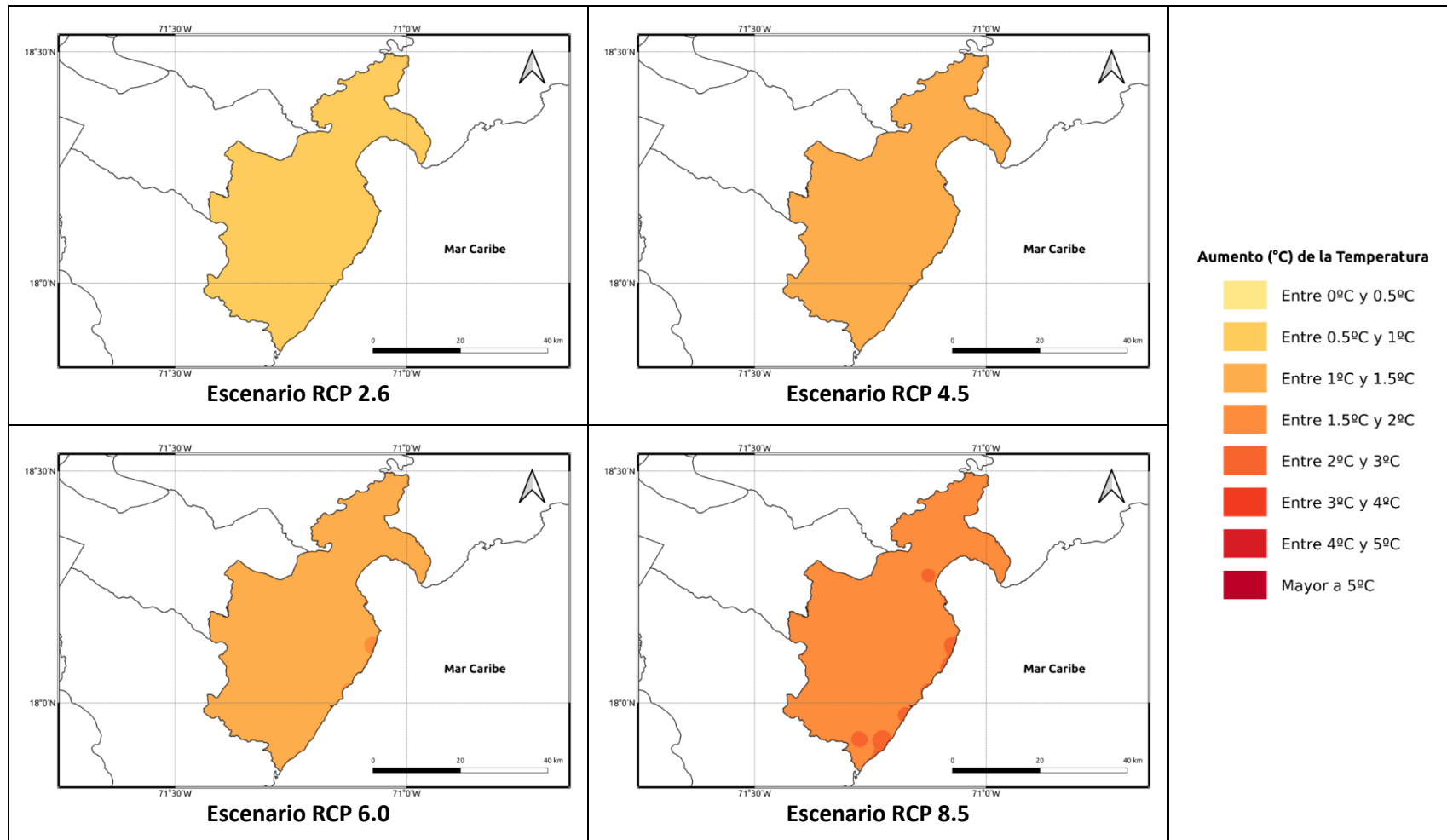
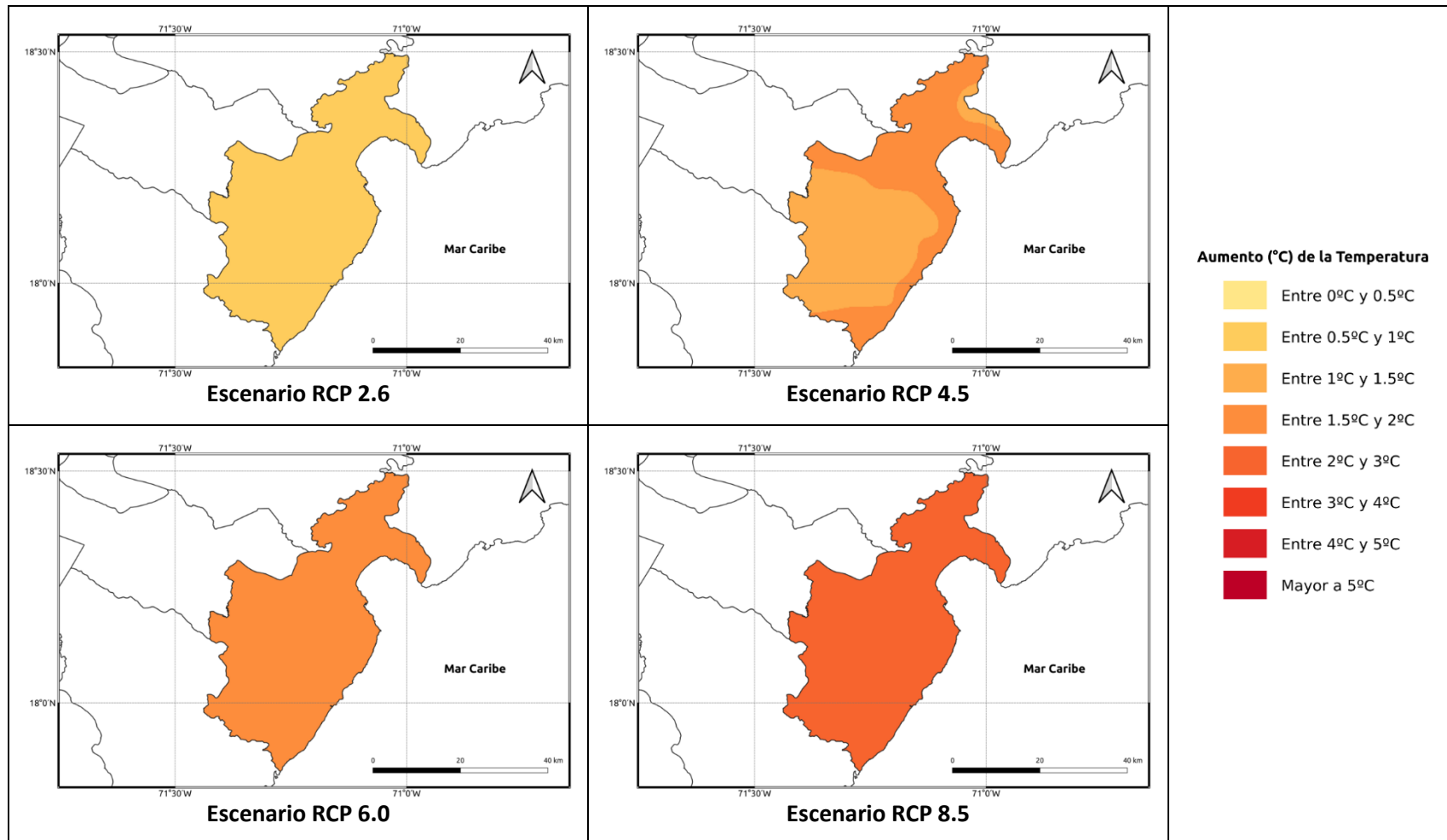


Figura 1.1.3-14. Cambios proyectados en la temperatura media (°C) por el ensamble multimodelo bajo los 4 escenarios RCP en el periodo 2041-2060 para la provincia Barahona.



**Figura 1.1.3-15. Cambios proyectados en la temperatura media (°C) por el ensamble multimodelo bajo los 4 escenarios RCP en el periodo 2061-2080 para la provincia Barahona.**



**Figura 1.1.3-16. Cambios proyectados en la temperatura media (°C) por el ensamble multimodelo bajo los 4 escenarios RCP en el periodo 2081-2100 para la provincia Barahona.**

## **1.1.4 PROVINCIA DAJABÓN**

En esta sección se presenta el análisis espacial de los cambios de las variables climáticas a nivel anual para la provincia Dajabón. Los cambios a nivel estacional (trimestral) se pueden consultar en el Anexo 5.

### **Precipitación**

Para esta variable, en el periodo de corto plazo 2021-2040 se presentarían cambios dentro del rango normal de variabilidad (del orden del 5%), con aumentos de esta magnitud bajo los escenarios RCP 2.6 y 6.0 en la mayor parte de la provincia, y reducciones en la zona central de la misma bajo los escenarios mencionados anteriormente y en los escenarios RCP 4.5 y 8.5, dándose, bajo el RCP 4.5 en la zona central de la provincia y en toda ella bajo el RCP 8.5, disminuciones del orden del 8% (Figura 1.1.4-1). Para el siguiente periodo (2041-2060), bajo el RCP 2.6 se mantiene el aumento de la precipitación del orden del 5% en la mayor parte de la provincia, y en los demás escenarios la tendencia sería a la reducción de la precipitación entre un 4-9% (Figura 1.1.4-2). Para el periodo 2061-2080, en el RCP 2.6 se mantendrían los incrementos del 5% en la mayor parte de la provincia y las reducciones de la misma magnitud hacia el centro de la misma. Bajo los otros escenarios se darían reducciones de la precipitación, del orden del 9-15% bajo el RCP 4.5, entre 4-15% bajo el RCP 6.0 y del 14-19% bajo el RCP 8.5, con las disminuciones más altas en el centro de la provincia (Figura 1.1.4-3). Por último, para finales de siglo bajo los 4 escenarios se presentarían reducciones de la precipitación, siendo las de menor magnitud bajo el RCP 2.6 (entre 6-8%) y las más altas bajo el RCP 8.5, con reducciones entre 25 y 28% en la mayor parte de la provincia, y de más del 30% en el centro de la misma (Figura 1.1.4-4).

### **Temperatura Máxima**

La temperatura máxima presentaría incrementos bajo los 4 RCP en todos los periodos analizados. En el periodo de corto plazo (2021-2040) la temperatura aumentaría entre 0.7 y 1.3°C, con aumentos de más de 1°C bajo el RCP 8.5 en la mayor parte de la provincia (Figura 1.1.4-5). Para 2041-2060, los aumentos serían de 0.7 a 1.4°C bajo los primeros 3 RCP (2.6, 4.5 y 6.0), y de 1.5 a 1.8°C bajo el RCP 8.5 (Figura 1.1.4-6). En el periodo 2061-2080 los aumentos serían de 0.7 a 2.4°C, manteniéndose el incremento de 0.7 a 1.4°C bajo el RCP 2.6, siendo de 1.4 a 1.8°C bajo los RCP 4.5 y 6.0 y de 2.6°C bajo el RCP 8.5 (Figura 1.1.4-7). Para finales de siglo, los aumentos serían de 0.7 a 0.9°C bajo el RCP 2.6, de 1.7 a 1.9°C bajo el RCP 4.5, de 2.1 a 2.4°C bajo el RCP 6.0 y de 3.2 a 3.8°C bajo el RCP 8.5 (Figura 1.1.4-8).

### **Temperatura Mínima**

En el primer periodo (2021-2040), ésta se incrementaría de 0.3 a 0.8°C en los 4 escenarios RCP (Figura 1.1.4-9). Para 2041-2060 aumentaría de 0.7 a 0.9°C en los 3 primeros escenarios (aunque bajo el RCP 4.5 habría incrementos de 1.1°C hacia el noroccidente de la provincia), y bajo el RCP 8.5 habría aumentos de 1.3°C (Figura 1.1.4-10). En el periodo 2061-2080 la temperatura mínima se incrementaría entre 0.6 y 0.8°C bajo el RCP 2.6, entre 0.9 y 1.4°C bajo los RCP 4.5 y 6.0 y entre 1.7 y 2.2°C bajo el RCP 8.5, dándose los mayores aumentos hacia el noroccidente de la provincia (Figura 1.1.4-11). Por último, para finales de siglo se mantendría un aumento de 0.8°C en el RCP 2.6, entre 1.1 y 1.4°C bajo el RCP 4.5, entre 1.4 y 1.8°C bajo el RCP 6.0 y de 2.2 a 2.6°C bajo el RCP 8.5 (Figura 1.1.4-12).

### **Temperatura Media**

La temperatura media se incrementaría entre 0.6 y 0.8°C en el periodo 2021-2040 bajo los 4 escenarios RCP (Figura 1.1.4-13). En el periodo 2041-2060 se mantendría este mismo rango bajo el RCP 2.6, y en los otros 3 escenarios aumentaría de 1.1 a 1.7°C, con los mayores incrementos hacia el noroccidente de la provincia bajo el RCP 8.5 (Figura 1.1.4-14). Para 2061-2080 la temperatura media aumentaría de 0.7 a 0.8°C bajo el RCP 2.6, de 1.3 a 1.5°C bajo los RCP 4.5 y 6.0 y de 1.7 a 2.4°C bajo el RCP 8.5, con los incrementos más altos en el noroccidente de la provincia en estos últimos 3 escenarios (Figura 1.1.4-15). Finalmente, para el periodo 2081-2100 la temperatura subiría entre 0.6 y 0.8°C bajo el RCP 2.6, entre 1.2 y 1.7°C bajo el RCP 4.5 (con los aumentos más altos hacia el centro y norte de la provincia), de 1.6 a 2.2°C bajo el RCP 6.0 y de 2.4 a 2.8°C bajo el RCP 8.5 (Figura 1.1.4-16).

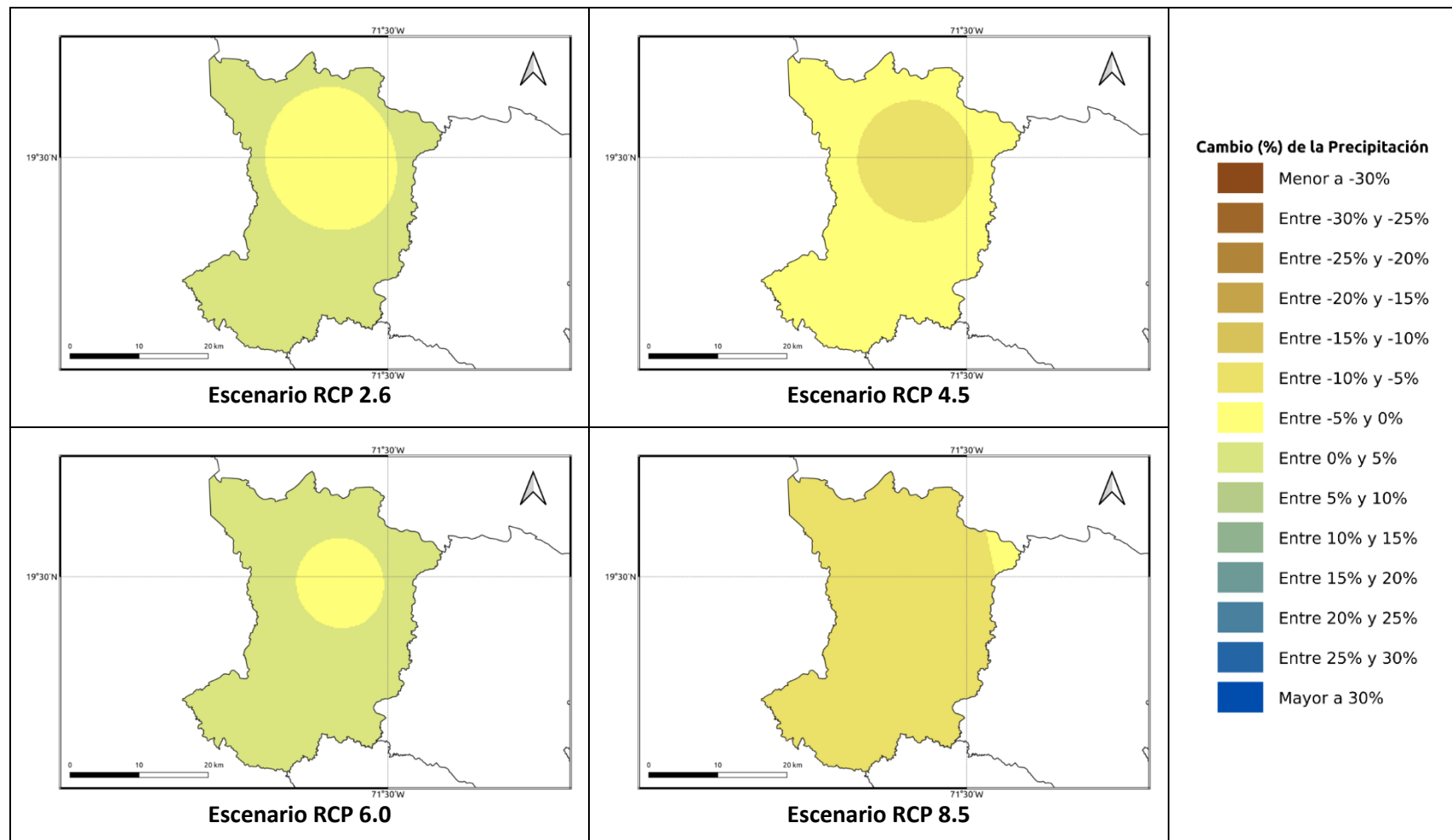


Figura 1.1.4-1. Cambios porcentuales de la precipitación (%) proyectados por el ensamble multimodelo bajo los 4 escenarios RCP en el periodo 2021-2040 para la provincia Dajabón.

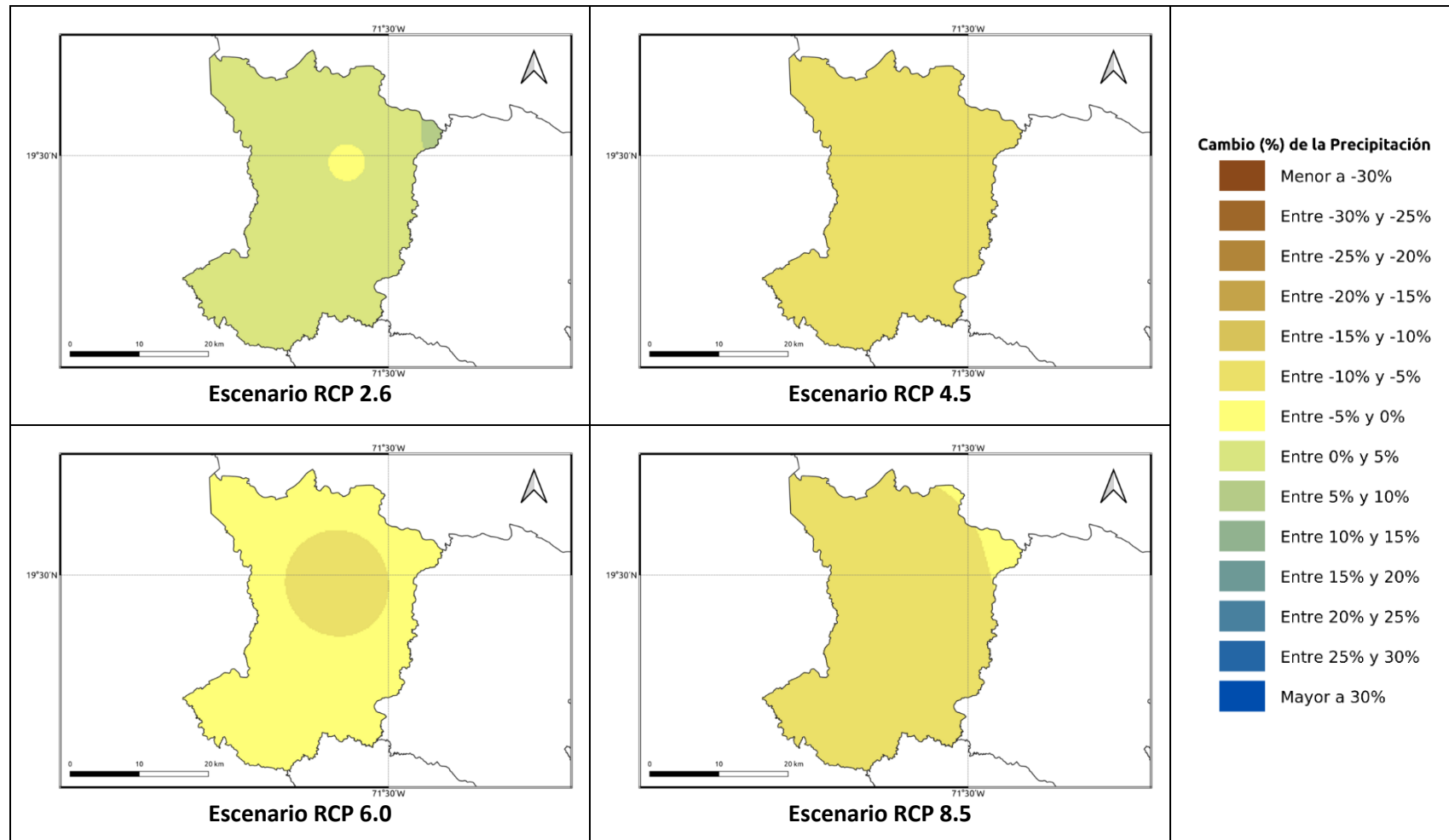


Figura 1.1.4-2. Cambios porcentuales de la precipitación (%) proyectados por el ensamble multimodelo bajo los 4 escenarios RCP en el periodo 2041-2060 para la provincia Dajabón.

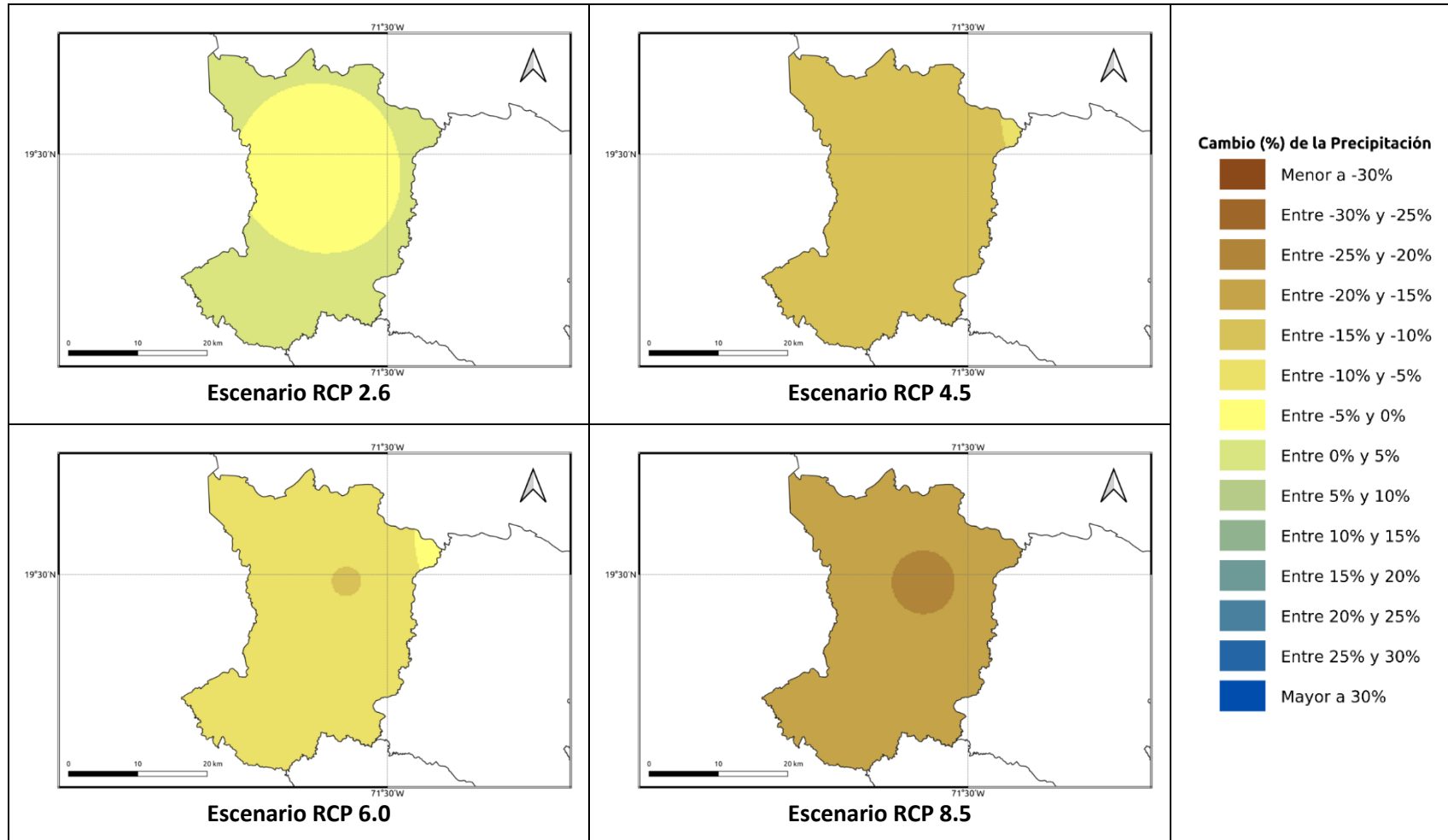


Figura 1.1.4-3. Cambios porcentuales de la precipitación (%) proyectados por el ensamble multimodelo bajo los 4 escenarios RCP en el periodo 2061-2080 para la provincia Dajabón.

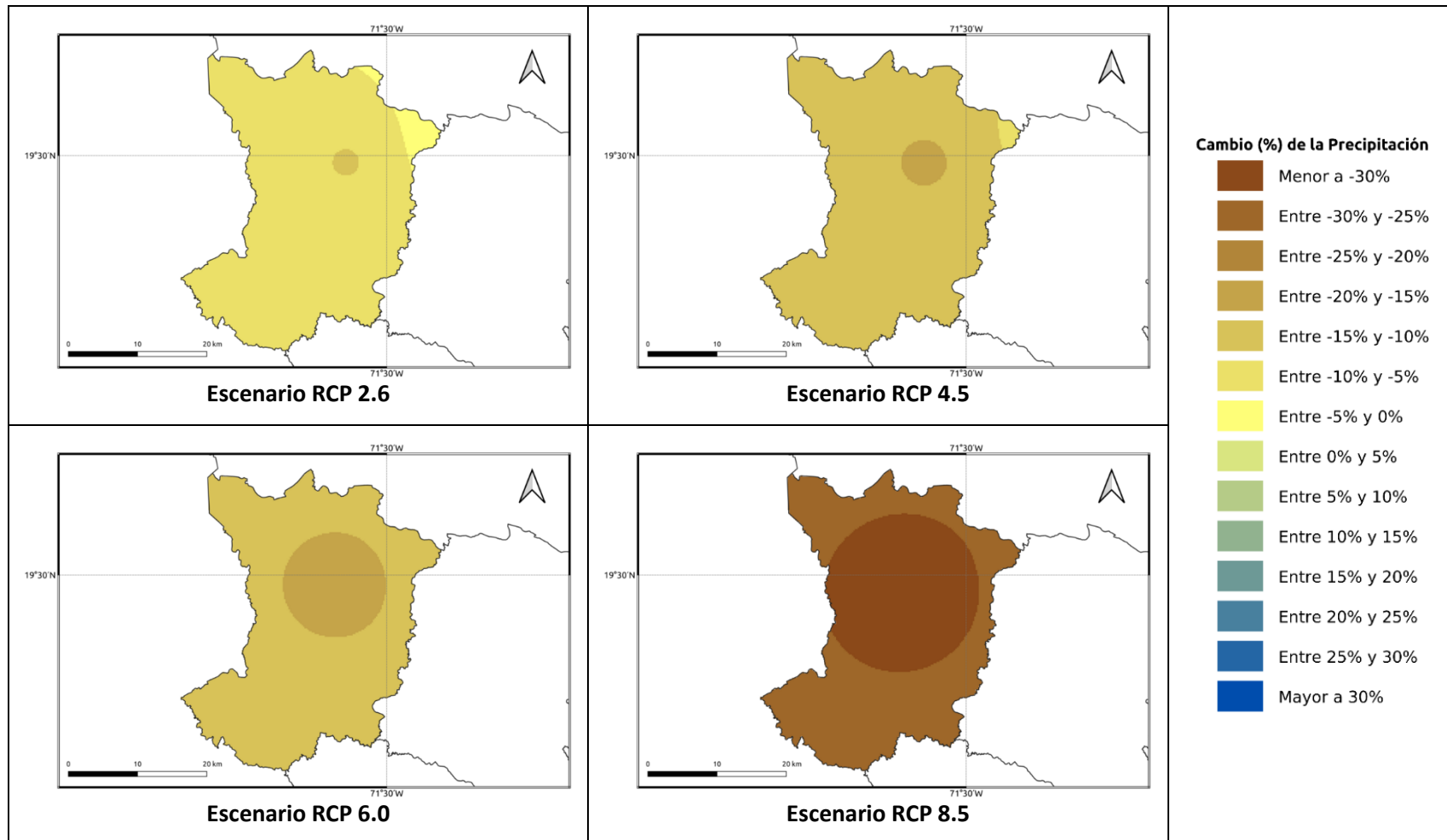


Figura 1.1.4-4. Cambios porcentuales de la precipitación (%) proyectados por el ensamble multimodelo bajo los 4 escenarios RCP en el periodo 2081-2100 para la provincia Dajabón.

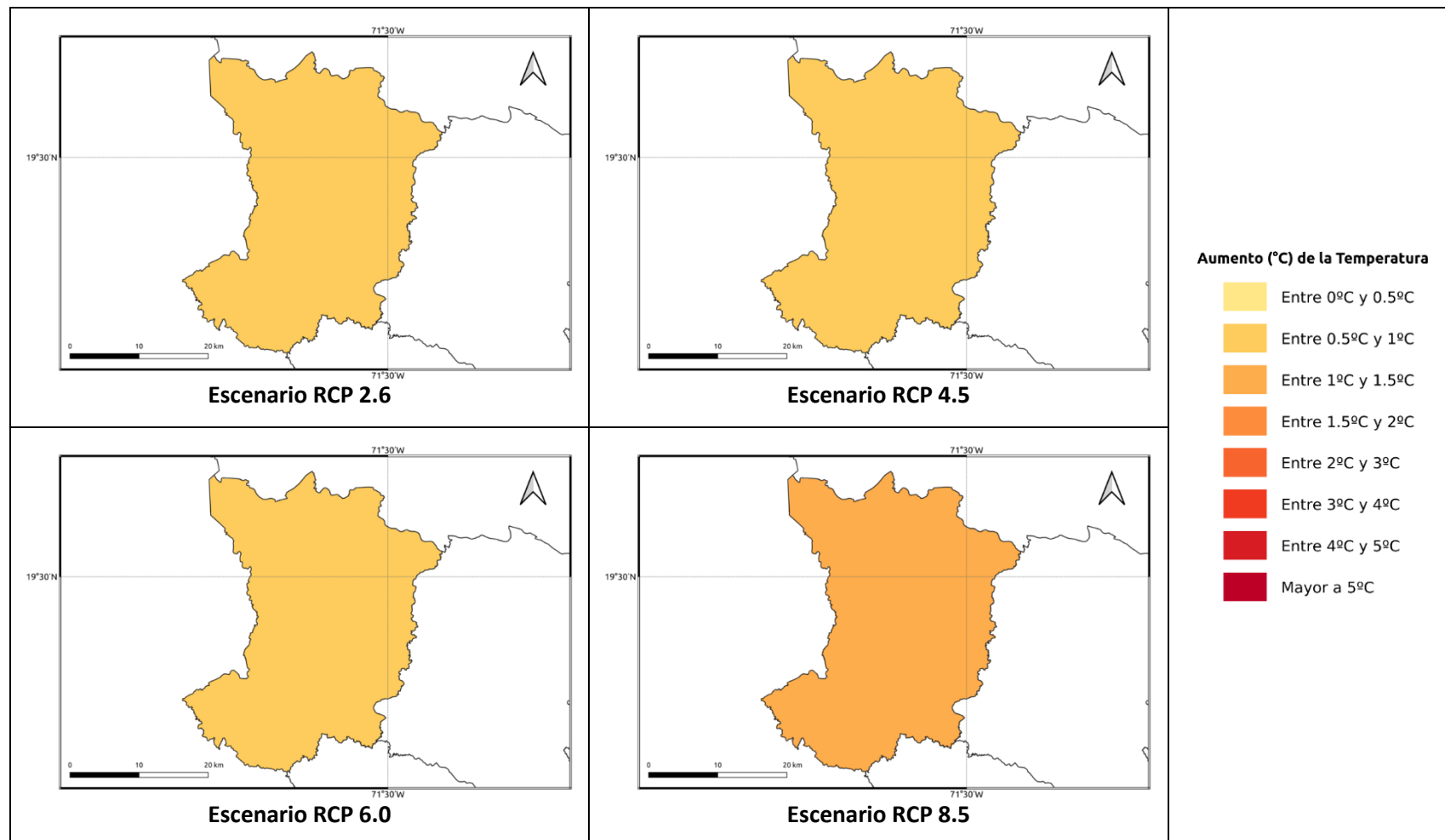


Figura 1.1.4-5. Cambios proyectados en la temperatura máxima ( $^{\circ}\text{C}$ ) por el ensamble multimodelo bajo los 4 escenarios RCP en el periodo 2021-2040 para la provincia Dajabón.

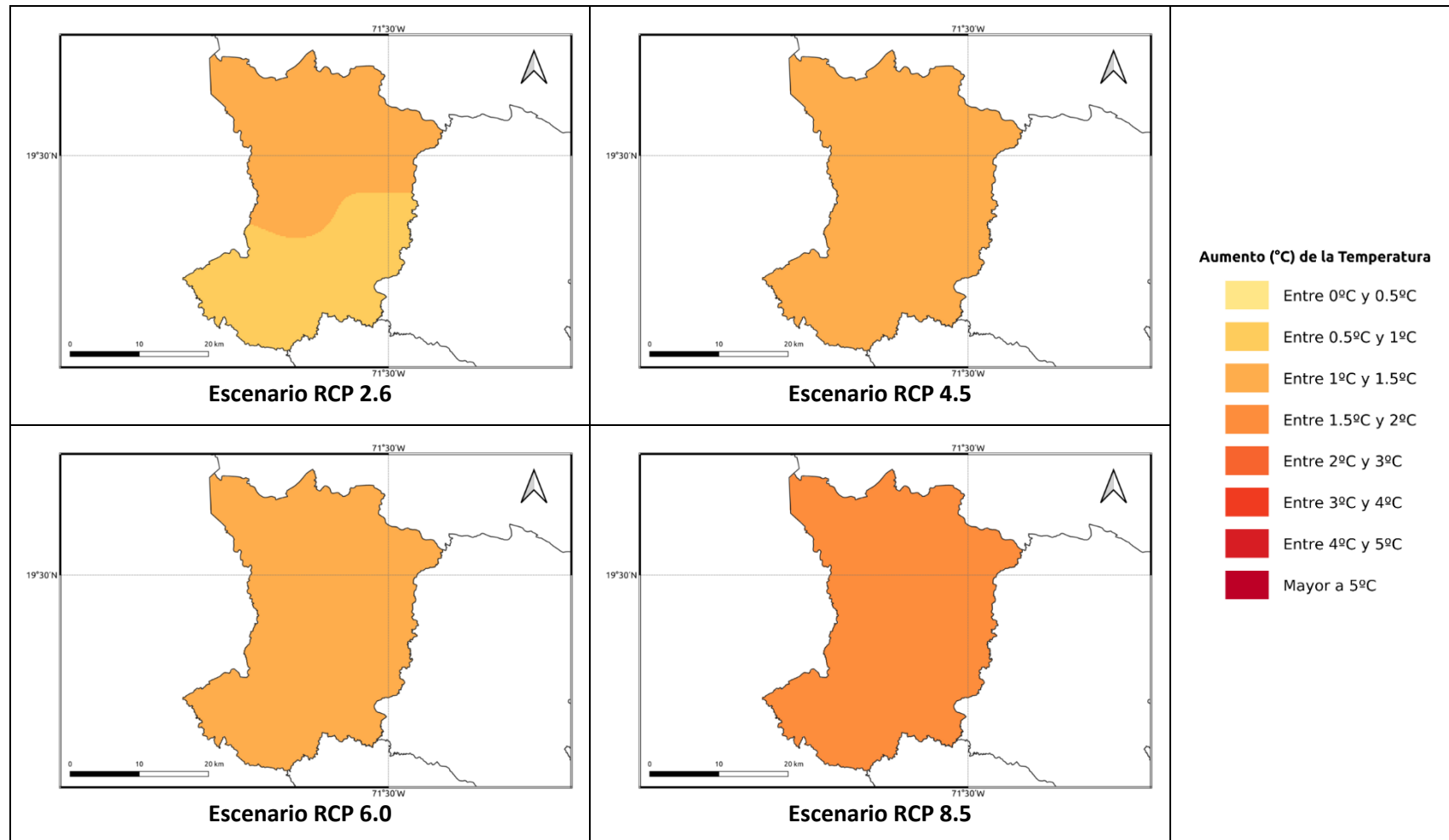


Figura 1.1.4-6. Cambios proyectados en la temperatura máxima (°C) por el ensamble multimodelo bajo los 4 escenarios RCP en el periodo 2041-2060 para la provincia Dajabón.

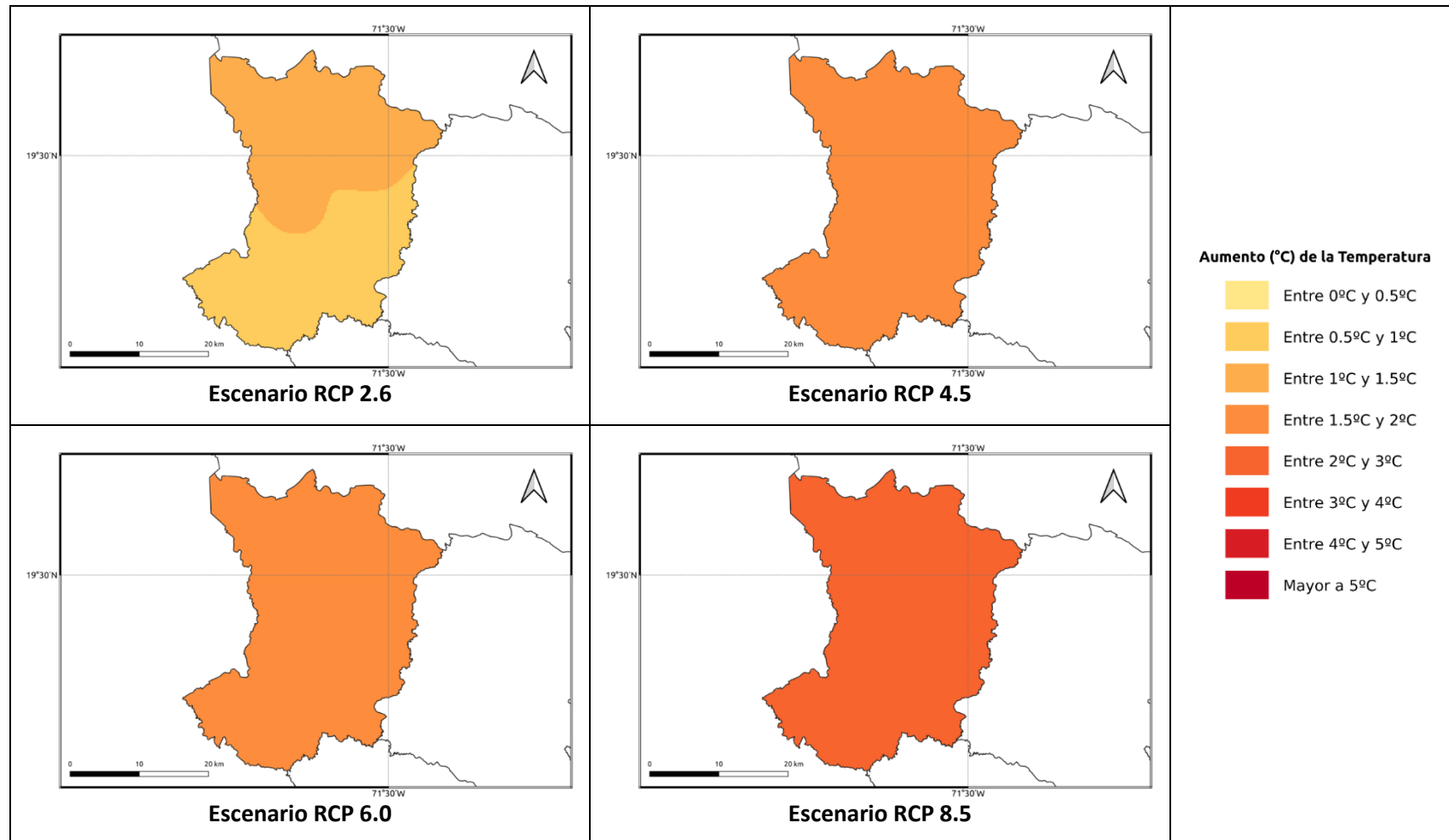
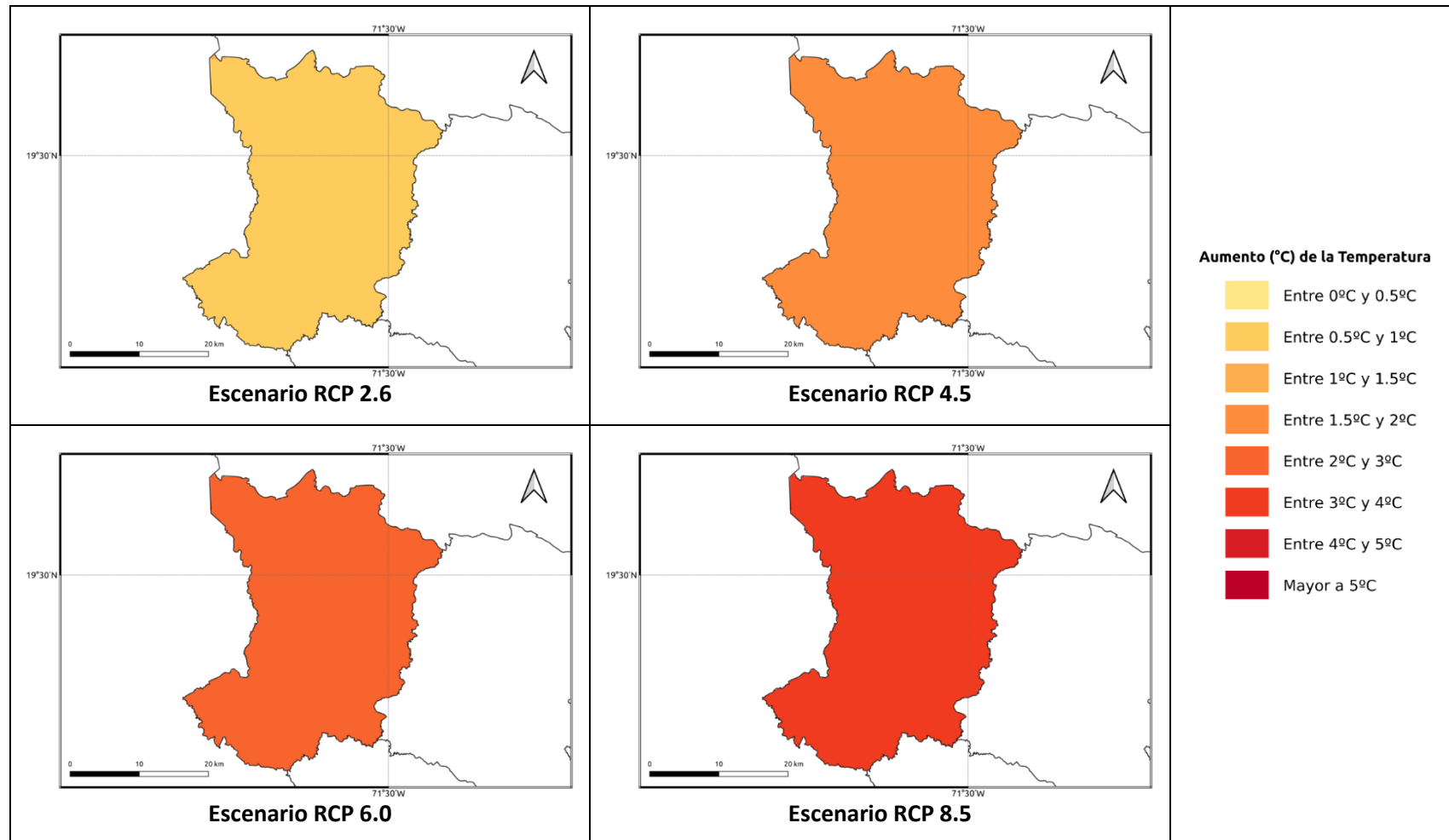


Figura 1.1.4-7. Cambios proyectados en la temperatura máxima (°C) por el ensamble multimodelo bajo los 4 escenarios RCP en el periodo 2061-2080 para la provincia Dajabón.



**Figura 1.1.4-8. Cambios proyectados en la temperatura máxima (°C) por el ensamble multimodelo bajo los 4 escenarios RCP en el periodo 2081-2100 para la provincia Dajabón.**

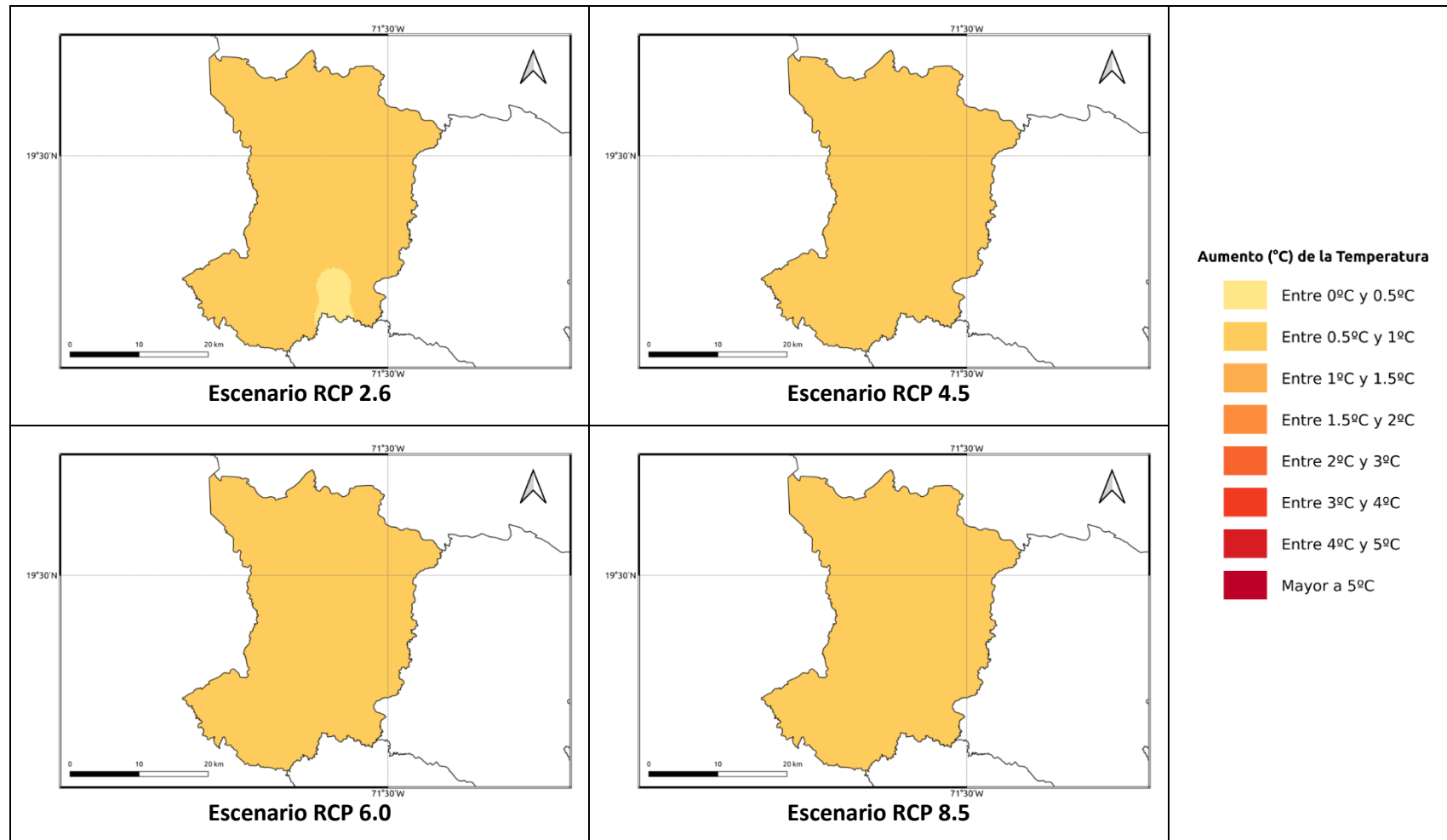


Figura 1.1.4-9. Cambios proyectados en la temperatura mínima (°C) por el ensamble multimodelo bajo los 4 escenarios RCP en el periodo 2021-2040 para la provincia Dajabón.

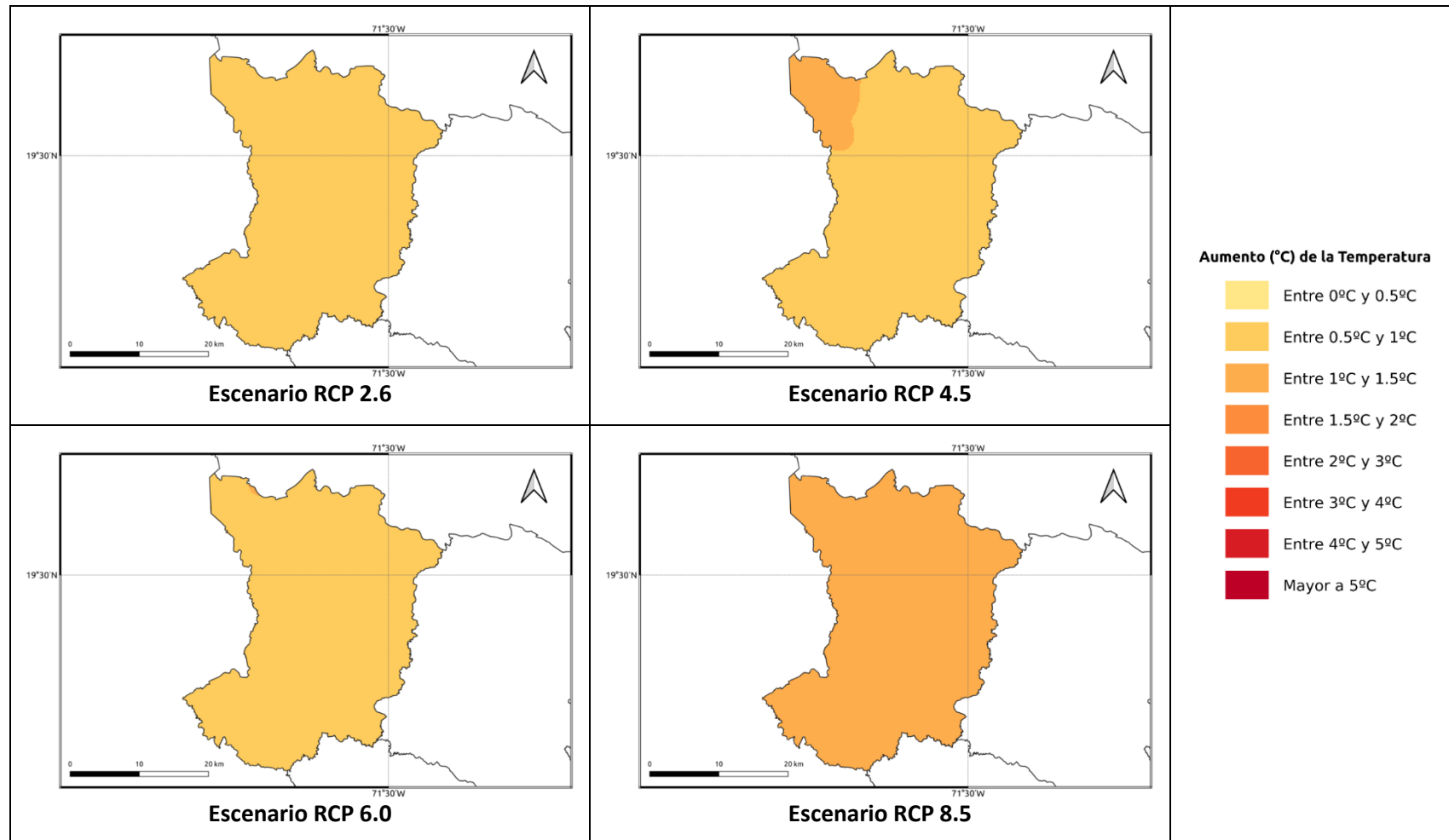
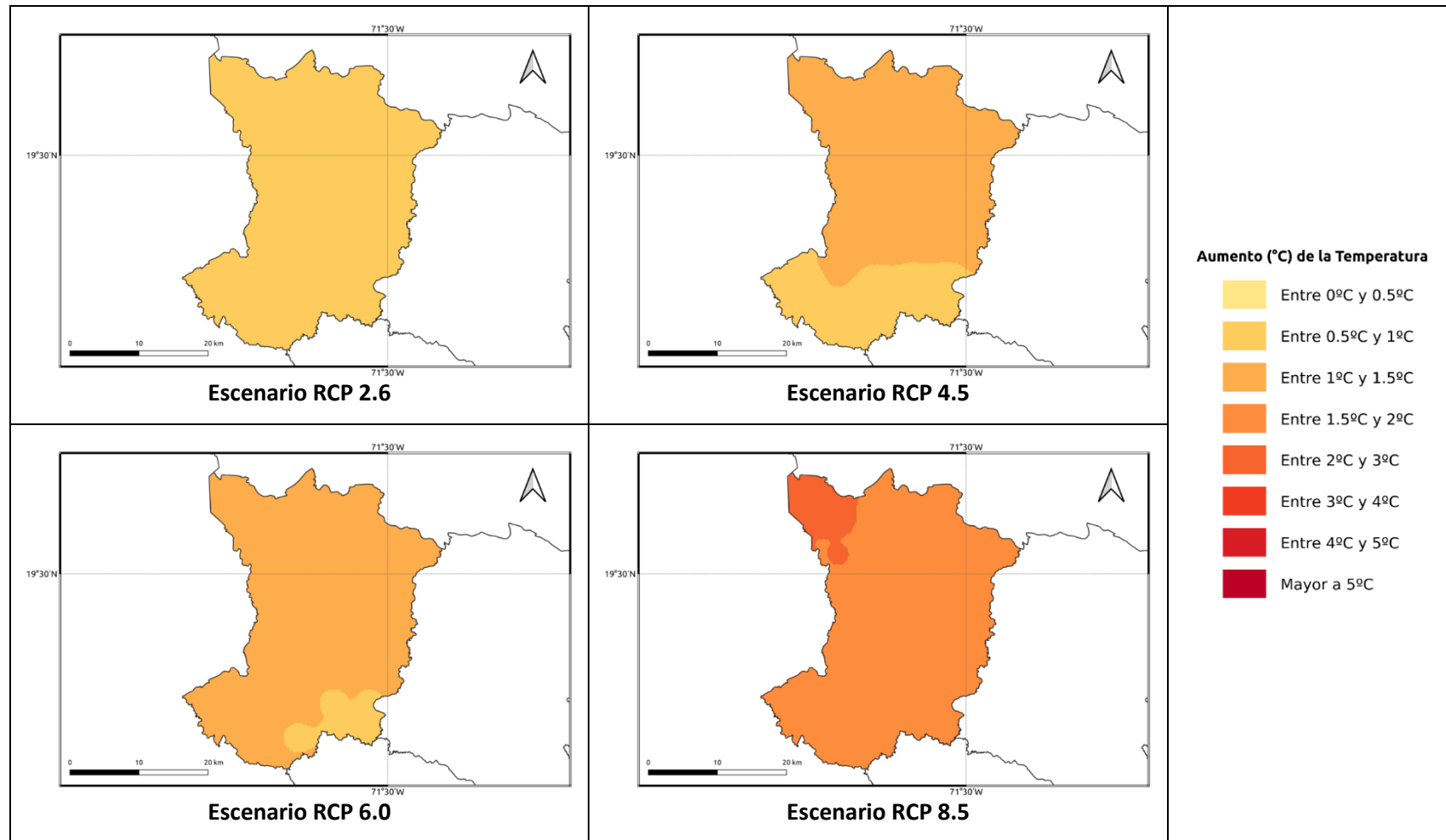
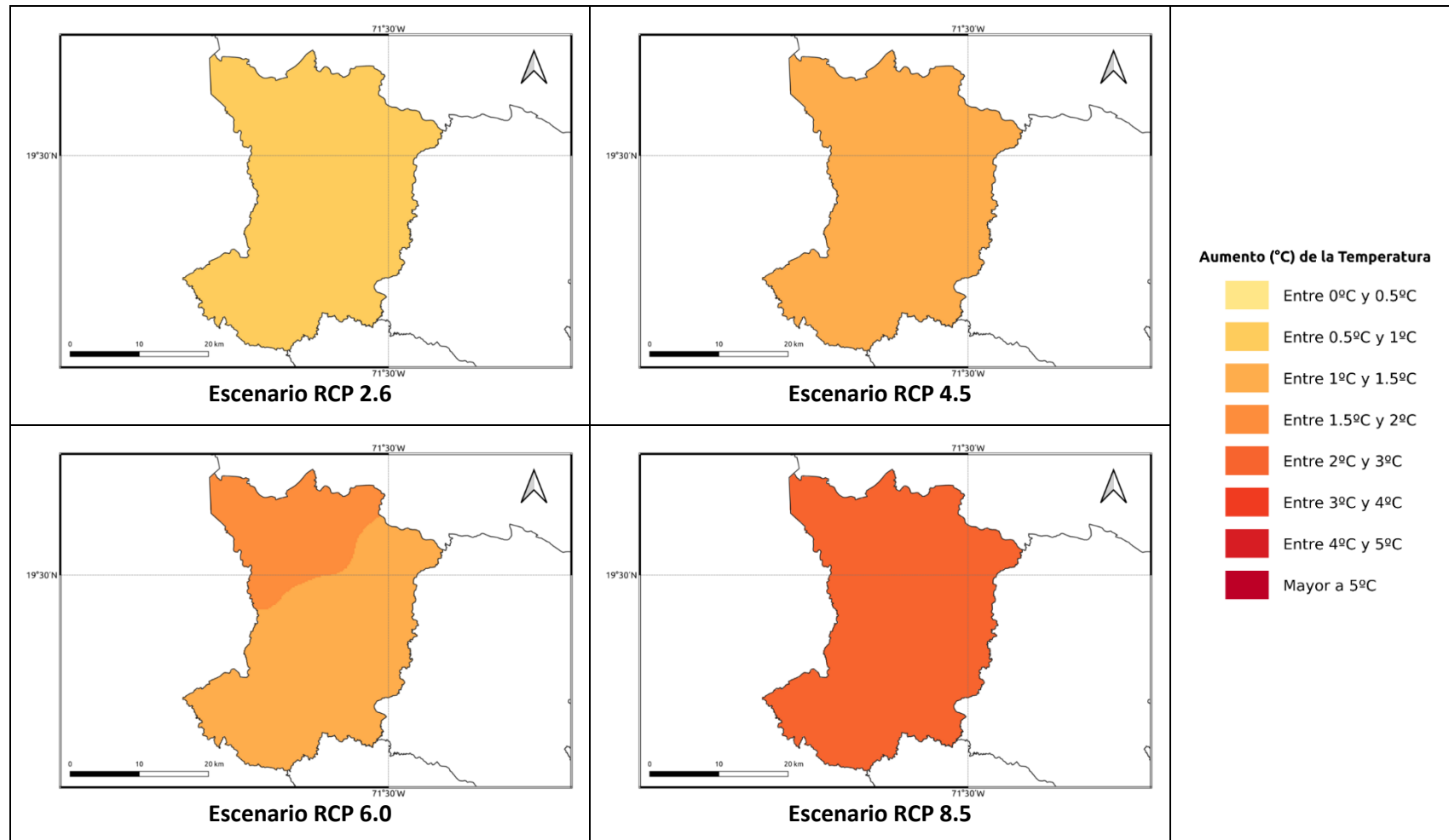


Figura 1.1.4-10. Cambios proyectados en la temperatura mínima (°C) por el ensamble multimodelo bajo los 4 escenarios RCP en el periodo 2041-2060 para la provincia Dajabón.



**Figura 1.1.4-11. Cambios proyectados en la temperatura mínima (°C) por el ensamble multimodelo bajo los 4 escenarios RCP en el periodo 2061-2080 para la provincia Dajabón.**



**Figura 1.1.4-12. Cambios proyectados en la temperatura mínima (°C) por el ensamble multimodelo bajo los 4 escenarios RCP en el periodo 2081-2100 para la provincia Dajabón.**

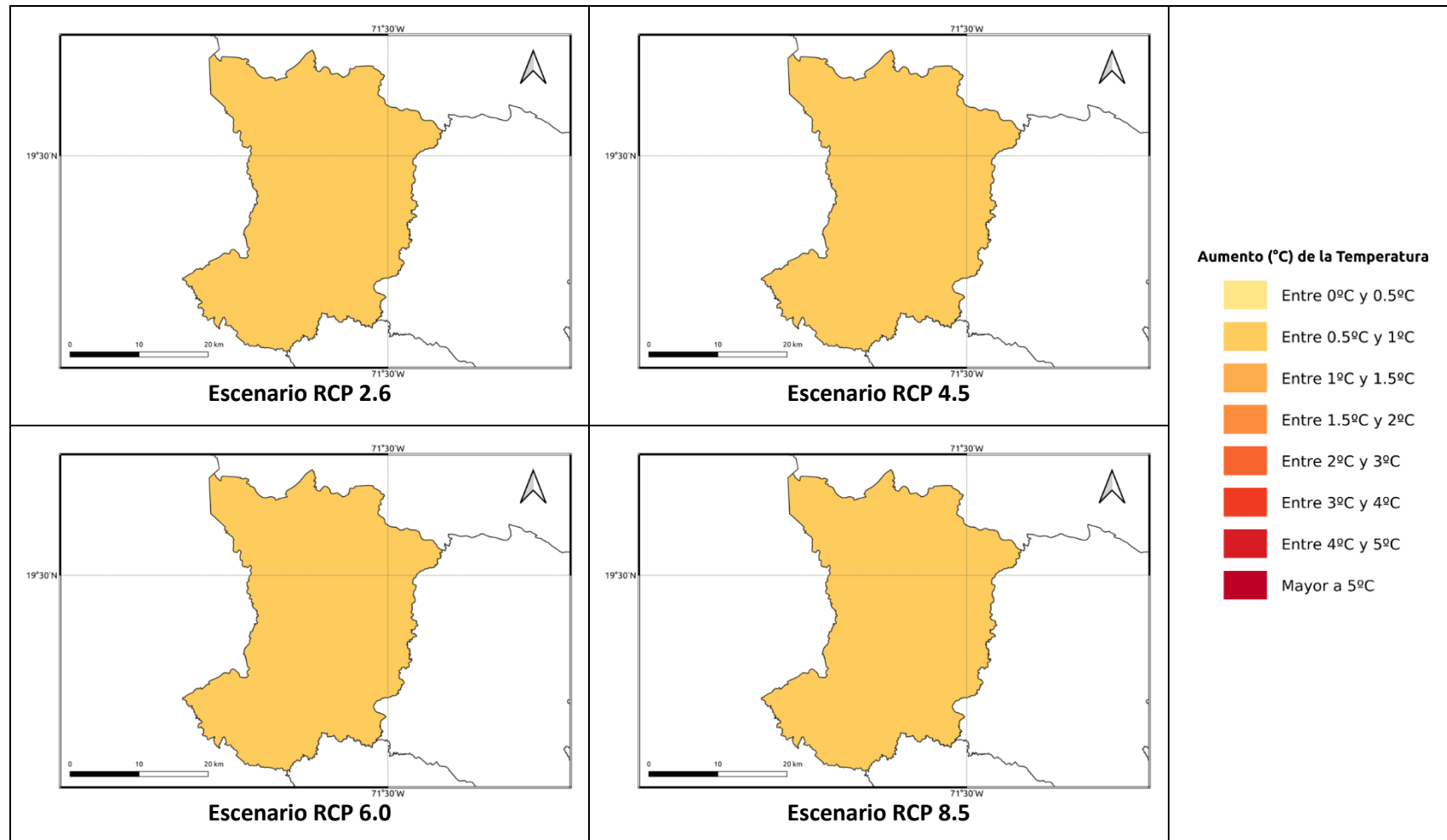


Figura 1.1.4-13. Cambios proyectados en la temperatura media (°C) por el ensamble multimodelo bajo los 4 escenarios RCP en el periodo 2021-2040 para la provincia Dajabón.

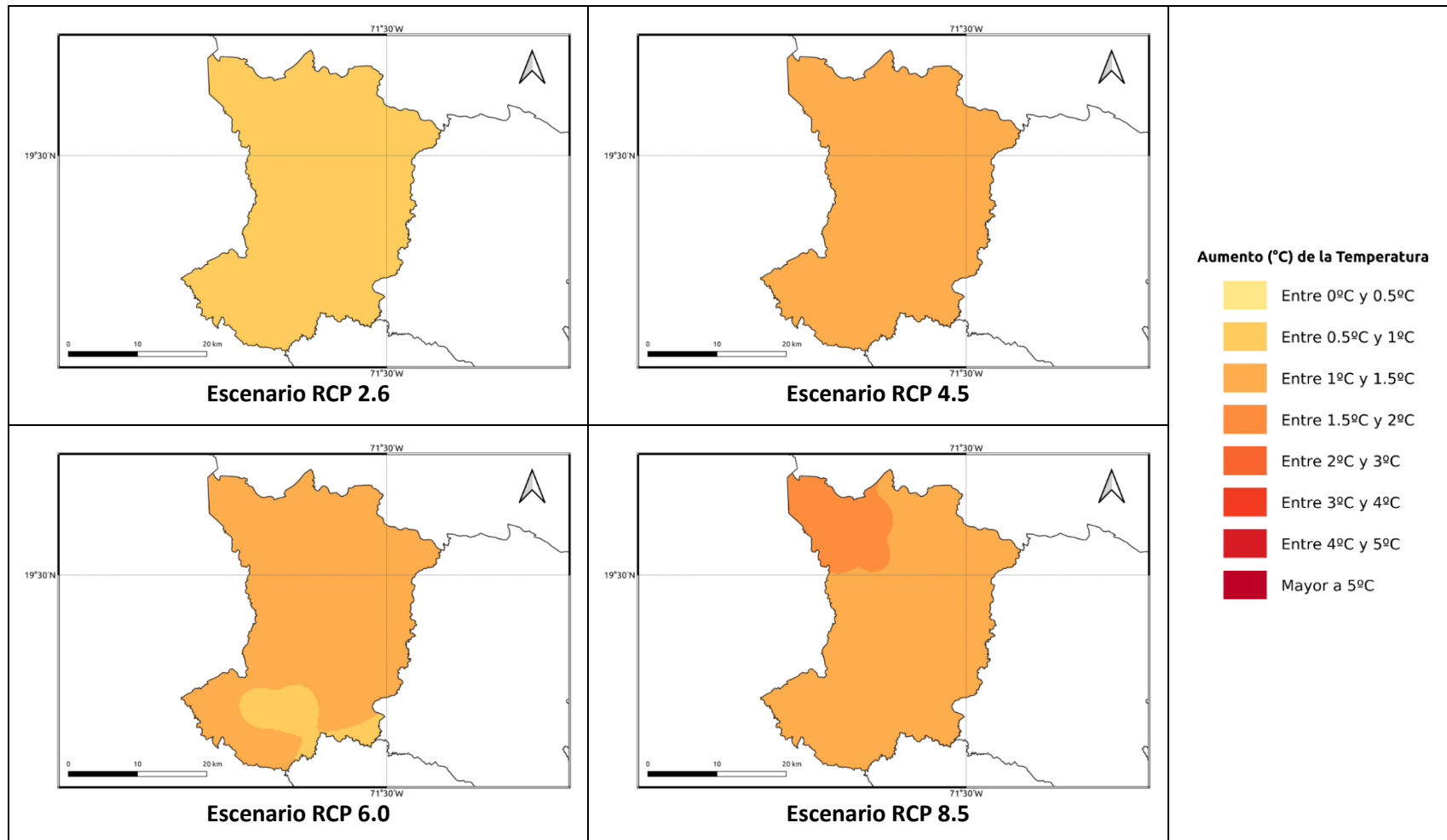


Figura 1.1.4-14. Cambios proyectados en la temperatura media (°C) por el ensamble multimodelo bajo los 4 escenarios RCP en el periodo 2041-2060 para la provincia Dajabón.

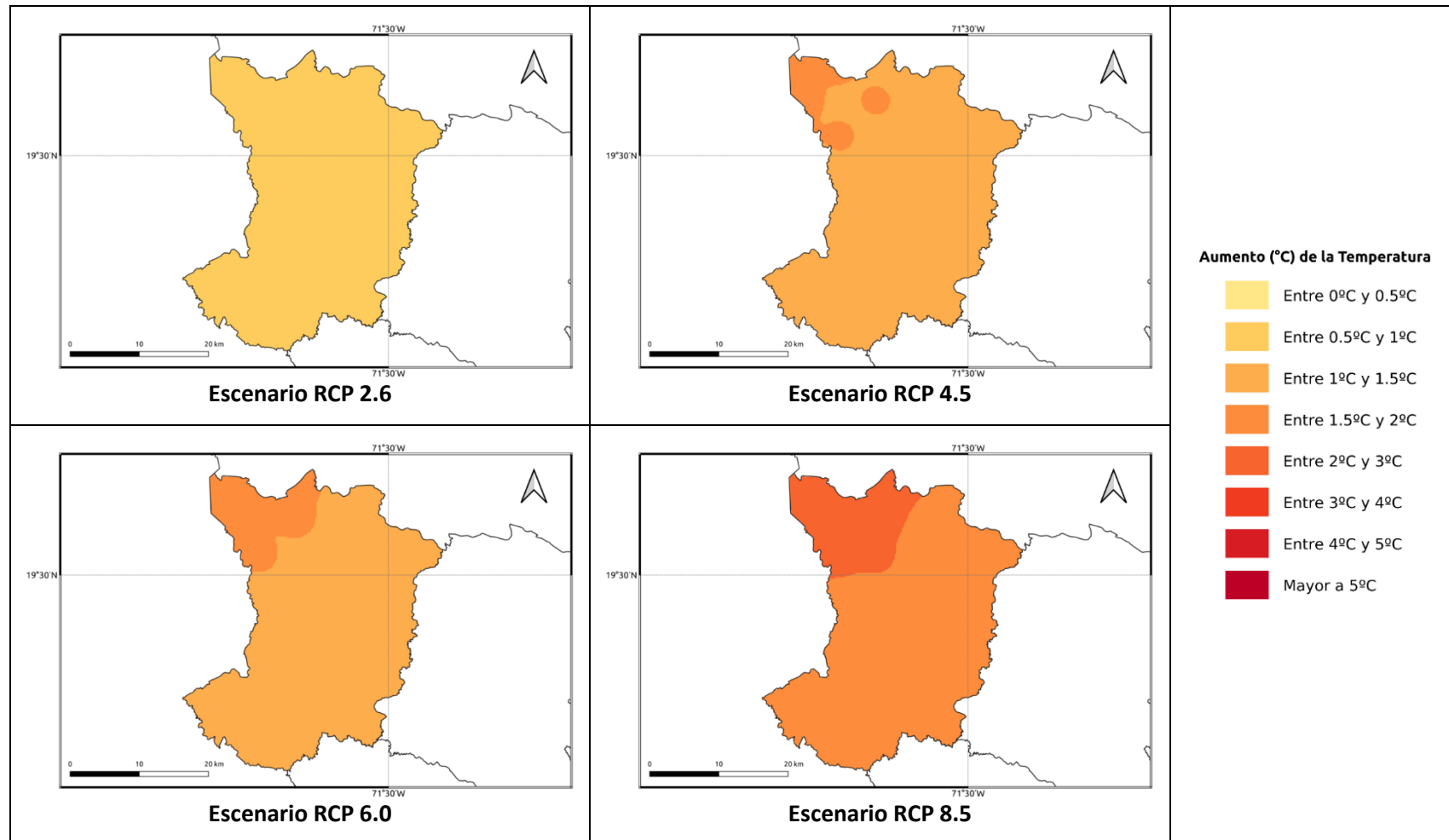
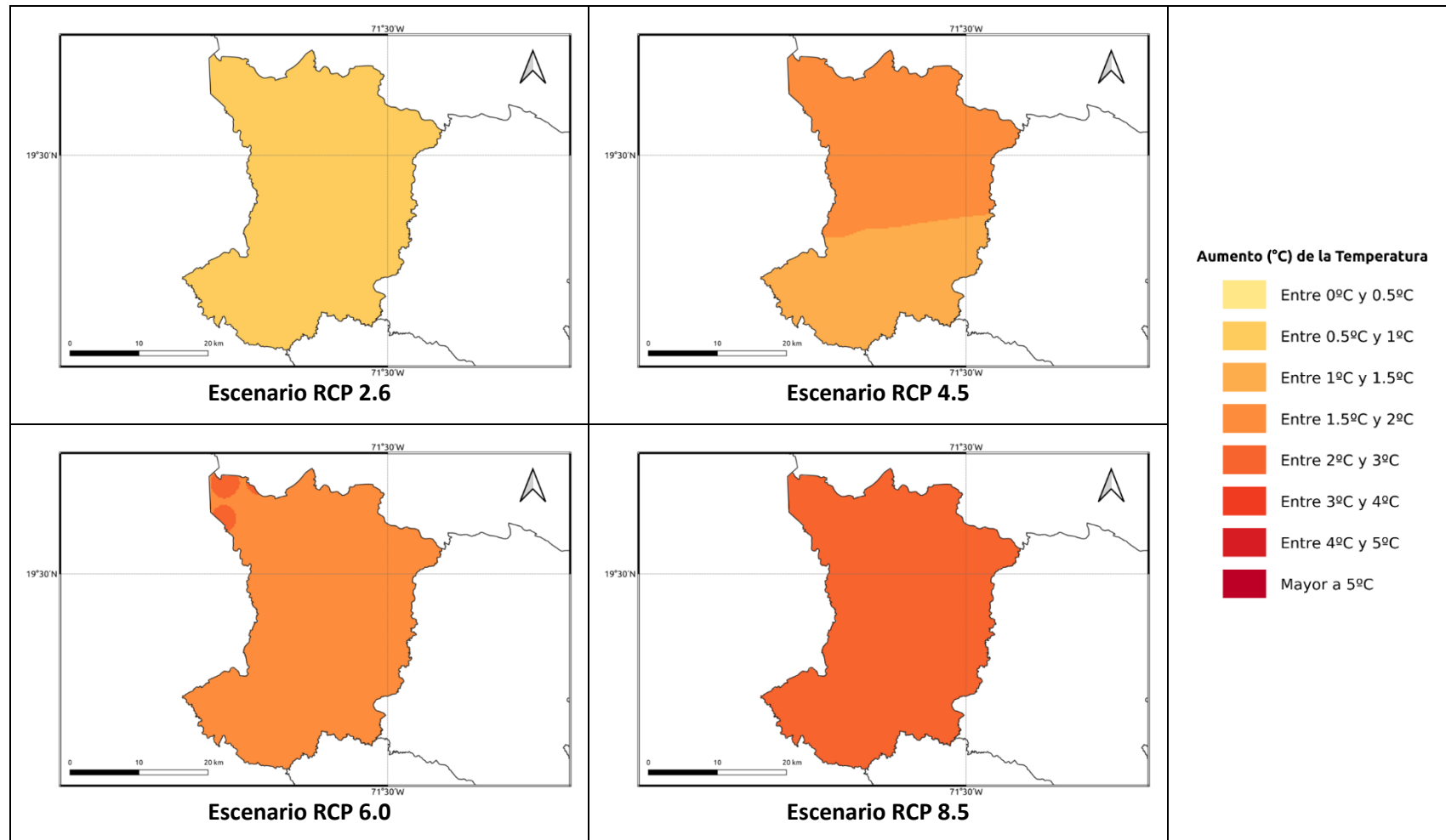


Figura 1.1.4-15. Cambios proyectados en la temperatura media (°C) por el ensamble multimodelo bajo los 4 escenarios RCP en el periodo 2061-2080 para la provincia Dajabón.



**Figura 1.1.4-16. Cambios proyectados en la temperatura media (°C) por el ensamble multimodelo bajo los 4 escenarios RCP en el periodo 2081-2100 para la provincia Dajabón.**

## 1.1.5 DISTRITO NACIONAL

A continuación, se presenta el análisis espacial de los cambios de las variables climáticas a nivel anual para el Distrito Nacional. Los cambios a nivel estacional (trimestral) se pueden consultar en el Anexo 6.

### Precipitación

Para esta variable, en el periodo de corto plazo 2021-2040 se presentarían cambios dentro del rango normal de variabilidad (del orden del 5%), con reducciones de esta magnitud bajo el escenario RCP 2.6 y aumentos bajo el RCP 6.0. Bajo los escenarios RCP 4.5 y 8.5 se darían disminuciones del orden del 8% (Figura 1.1.5-1). Para el siguiente periodo (2041-2060), ya los 4 escenarios presentarían reducciones: bajo el RCP 2.6 serían del orden del 5%, y en los demás escenarios sería entre un 7-9% (Figura 1.1.5-2). Para el periodo 2061-2080, en el RCP 2.6 se mantendrían las disminuciones del 5%, y bajo los otros escenarios serían del orden del 11-15% bajo el RCP 4.5, entre 7-9% bajo el RCP 6.0 y del 20-22% bajo el RCP 8.5 (Figura 1.1.5-3). Por último, para finales de siglo bajo los 4 escenarios se presentarían reducciones de la precipitación, siendo las de menor magnitud bajo el RCP 2.6 (entre 6-8%) y las más altas bajo el RCP 8.5, con reducciones de más del 30% (Figura 1.1.5-4).

### Temperatura Máxima

La temperatura máxima presentaría incrementos bajo los 4 RCP en todos los periodos analizados. En el periodo de corto plazo (2021-2040) la temperatura aumentaría entre 0.7 y 1.3°C, con aumentos de más de 1°C bajo el RCP 8.5 (Figura 1.1.5-5). Para 2041-2060, los aumentos serían de 1.1 a 1.4°C bajo los primeros 3 RCP (2.6, 4.5 y 6.0), y de 1.5 a 1.8°C bajo el RCP 8.5 (Figura 1.1.5-6). En el periodo 2061-2080 los aumentos serían de 1.1 a 2.4°C, manteniéndose el incremento de 1.1 a 1.4°C bajo el RCP 2.6, siendo de 1.4 a 1.8°C bajo los RCP 4.5 y 6.0 y de 2.6°C bajo el RCP 8.5 (Figura 1.1.5-7). Para finales de siglo, los aumentos serían de 0.7 a 0.9°C bajo el RCP 2.6, de 1.7 a 1.9°C bajo el RCP 4.5, de 2.1 a 2.4°C bajo el RCP 6.0 y de 3.2 a 3.8°C bajo el RCP 8.5 (Figura 1.1.5-8).

### Temperatura Mínima

En el primer periodo (2021-2040), ésta se incrementaría de 0.5 a 0.8°C en los 4 escenarios RCP (Figura 1.1.5-9). Para 2041-2060 aumentaría de 0.7 a 0.9°C en los 3 primeros escenarios (aunque bajo el RCP 4.5 habría incrementos de 1.1°C hacia el sur y oriente del Distrito), y bajo el RCP 8.5 habría aumentos de 1.3°C (Figura 1.1.5-10). En el periodo 2061-2080 la temperatura mínima se incrementaría entre 0.6 y 0.8°C bajo el RCP 2.6, entre 1.1 y 1.4°C bajo los RCP 4.5 y 6.0 y entre 1.7 y 2.2°C bajo el RCP 8.5, dándose los mayores aumentos en el suroccidente y al oriente del Distrito



(Figura 1.1.5-11). Por último, para finales de siglo se mantendría un aumento de 0.8°C en el RCP 2.6, entre 1.1 y 1.4°C bajo el RCP 4.5, entre 1.6 y 1.8°C bajo el RCP 6.0 y de 2.2 a 2.6°C bajo el RCP 8.5 (Figura 1.1.5-12).

#### ***Temperatura Media***

La temperatura media se incrementaría entre 0.6 y 0.8°C en el periodo 2021-2040 bajo los 4 escenarios RCP (Figura 1.1.5-13). En el periodo 2041-2060 se mantendría este mismo rango bajo el RCP 2.6, y en los otros 3 escenarios aumentaría de 1.1 a 1.7°C (Figura 1.1.5-14). Para 2061-2080 la temperatura media aumentaría de 0.7 a 0.8°C bajo el RCP 2.6, de 1.3 a 1.5°C bajo los RCP 4.5 y 6.0 y de 1.7 a 2.4°C bajo el RCP 8.5, con los incrementos más altos en el suroccidente del Distrito (Figura 1.1.5-15). Finalmente, para el periodo 2081-2100 la temperatura subiría entre 0.6 y 0.8°C bajo el RCP 2.6, entre 1.5 y 1.8°C bajo los RCP 4.5 y 6.0 y de 2.4 a 2.8°C bajo el RCP 8.5 (Figura 1.1.5-16).



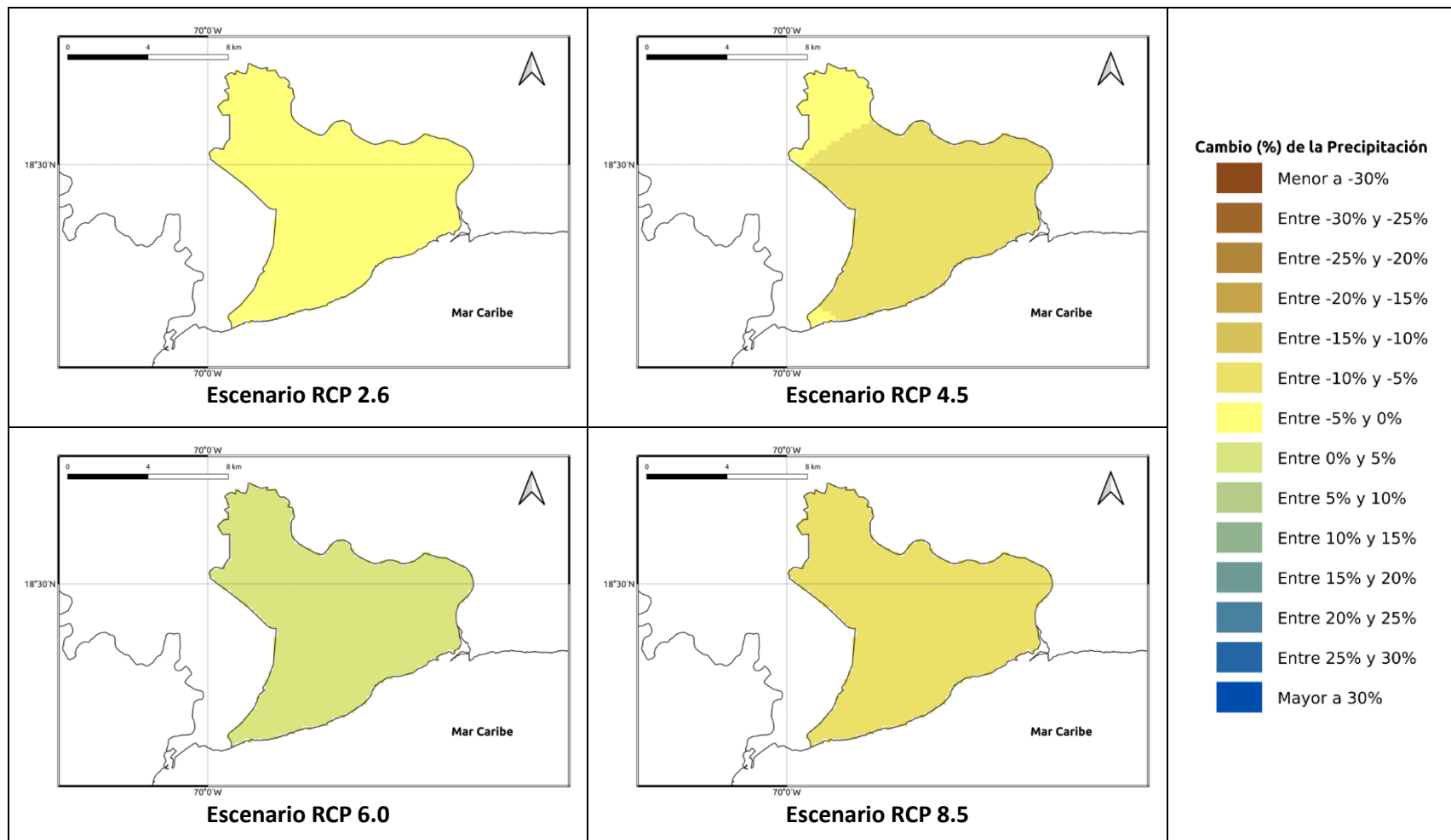
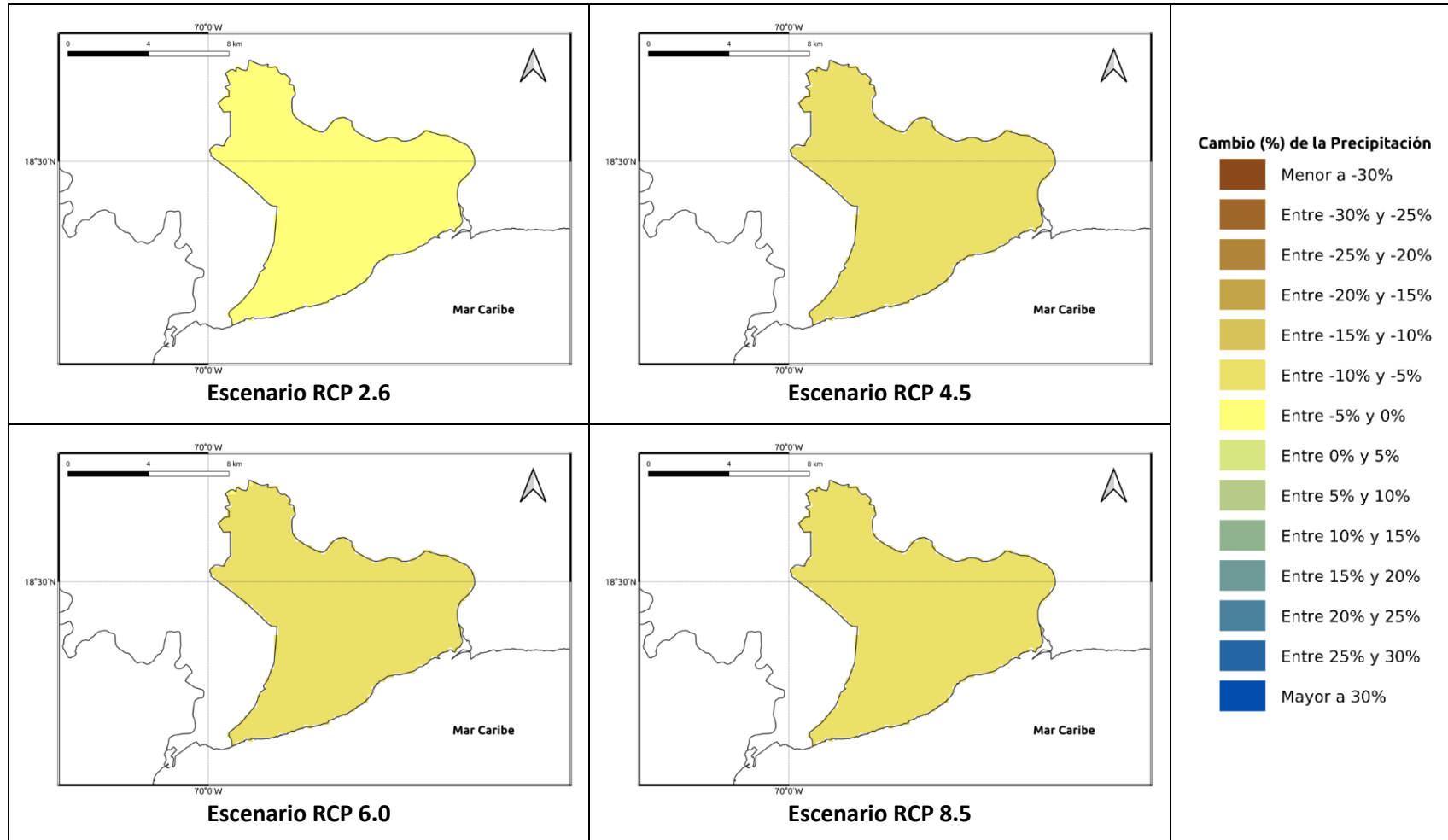
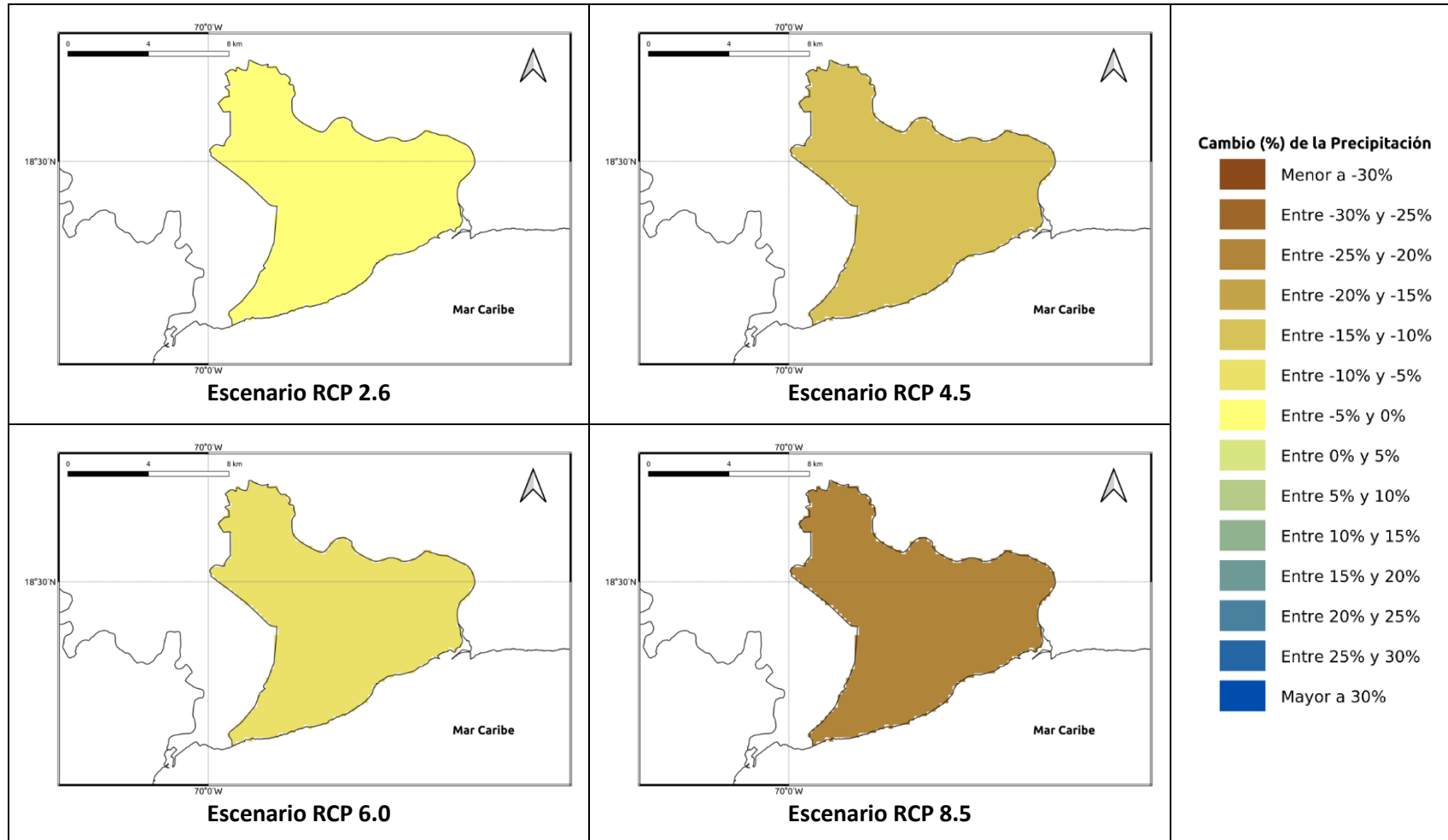


Figura 1.1.5-1. Cambios porcentuales de la precipitación (%) proyectados por el ensamblaje multimodelo bajo los 4 escenarios RCP en el periodo 2021-2040 para el Distrito Nacional.



**Figura 1.1.5-2. Cambios porcentuales de la precipitación (%) proyectados por el ensamble multimodelo bajo los 4 escenarios RCP en el periodo 2041-2060 para el Distrito Nacional.**



**Figura 1.1.5-3. Cambios porcentuales de la precipitación (%) proyectados por el ensamble multimodelo bajo los 4 escenarios RCP en el periodo 2061-2080 para el Distrito Nacional.**

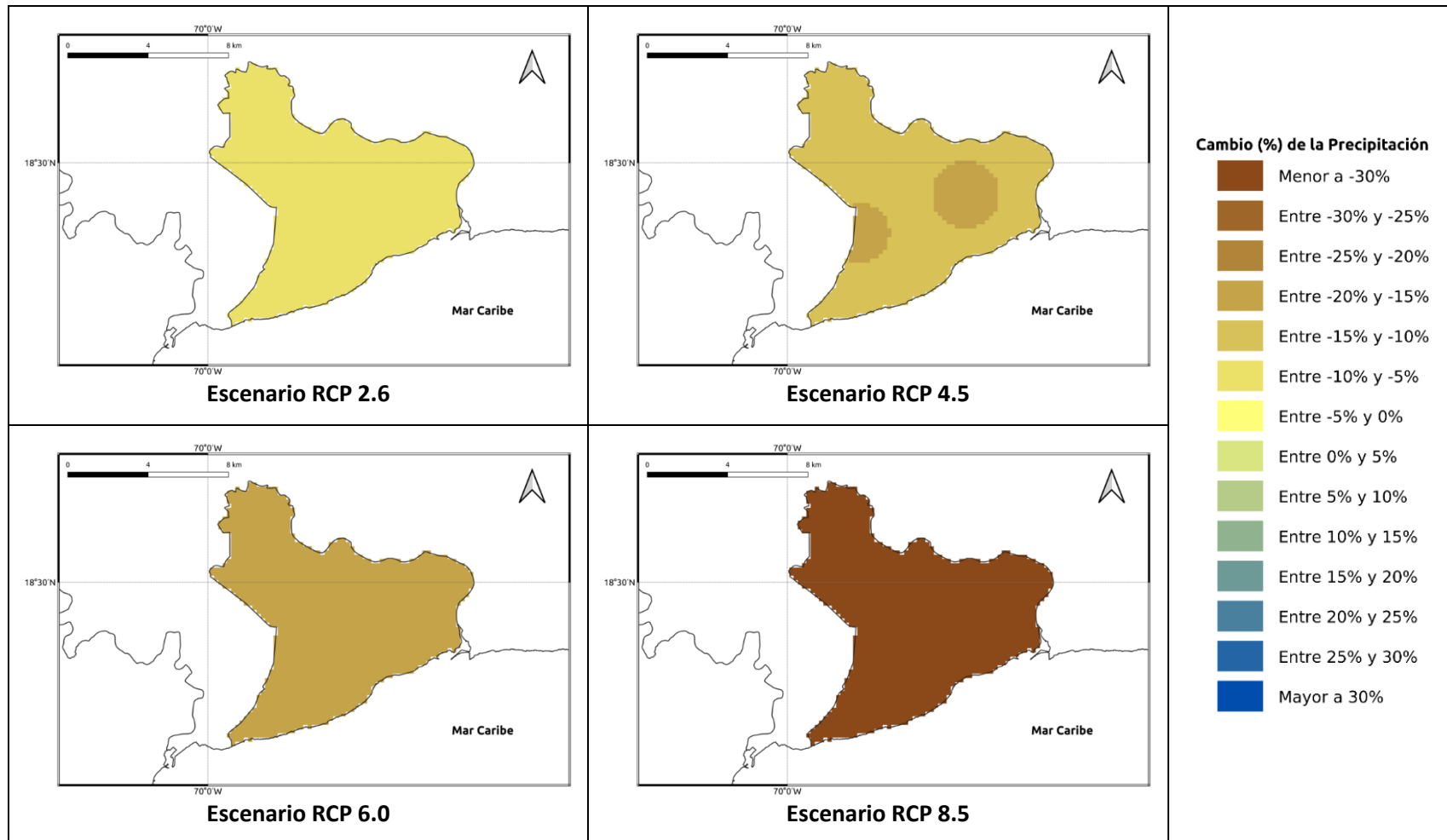


Figura 1.1.5-4. Cambios porcentuales de la precipitación (%) proyectados por el ensamble multimodelo bajo los 4 escenarios RCP en el periodo 2081-2100 para el Distrito Nacional.

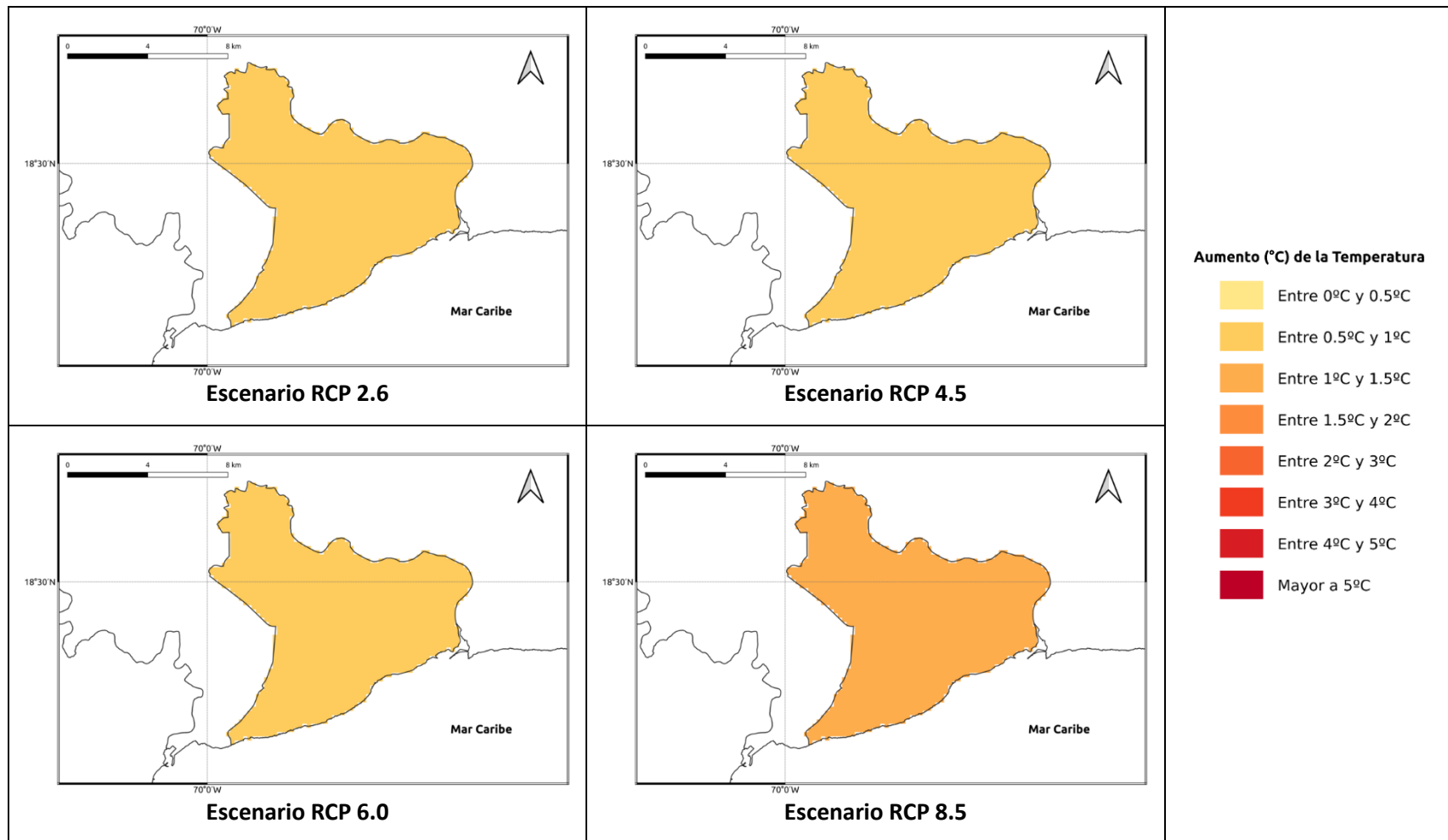


Figura 1.1.5-5. Cambios proyectados en la temperatura máxima (°C) por el ensamble multimodelo bajo los 4 escenarios RCP en el periodo 2021-2040 para el Distrito Nacional.

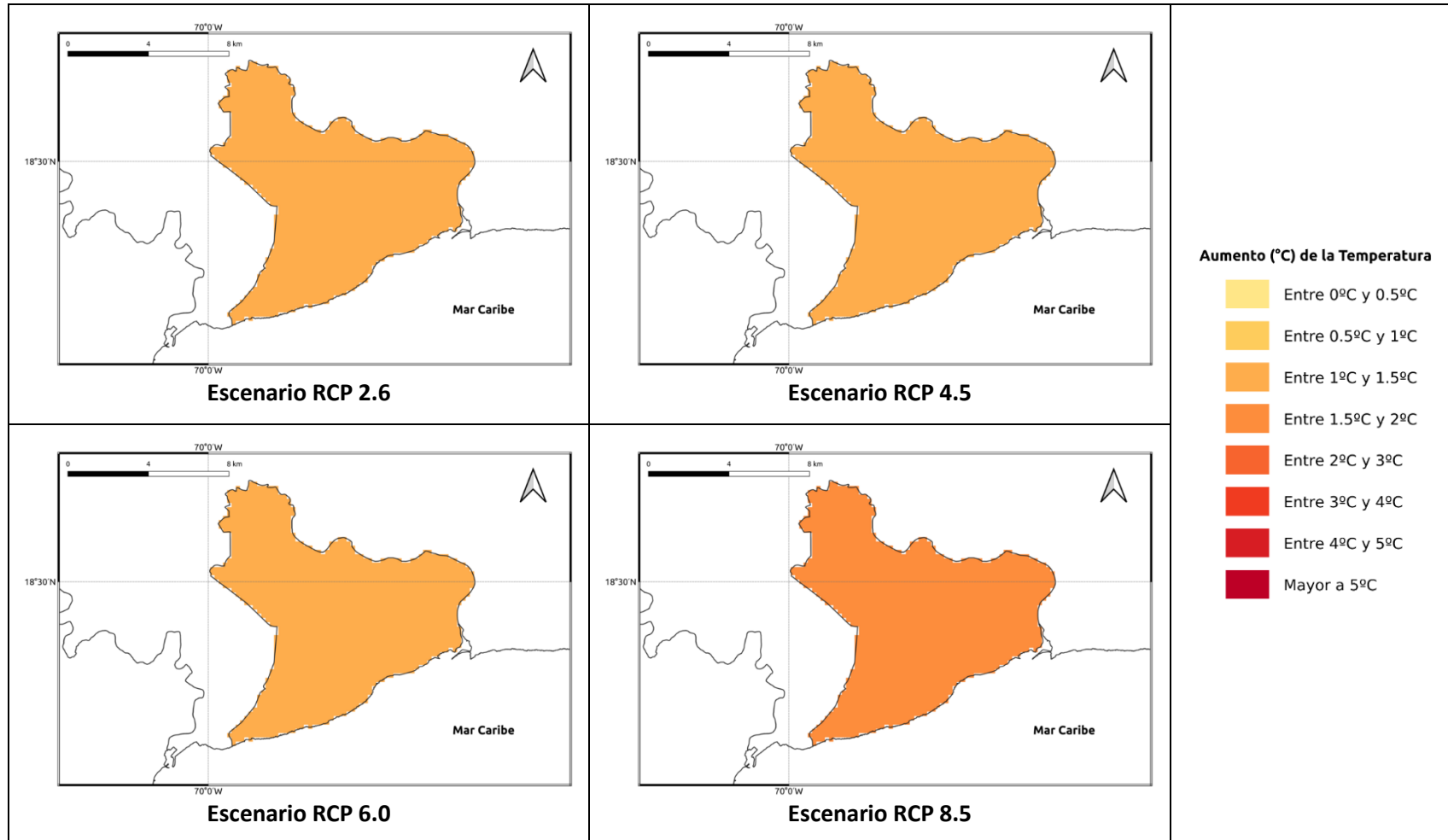


Figura 1.1.5-6. Cambios proyectados en la temperatura máxima (°C) por el ensamble multimodelo bajo los 4 escenarios RCP en el periodo 2041-2060 para el Distrito Nacional.

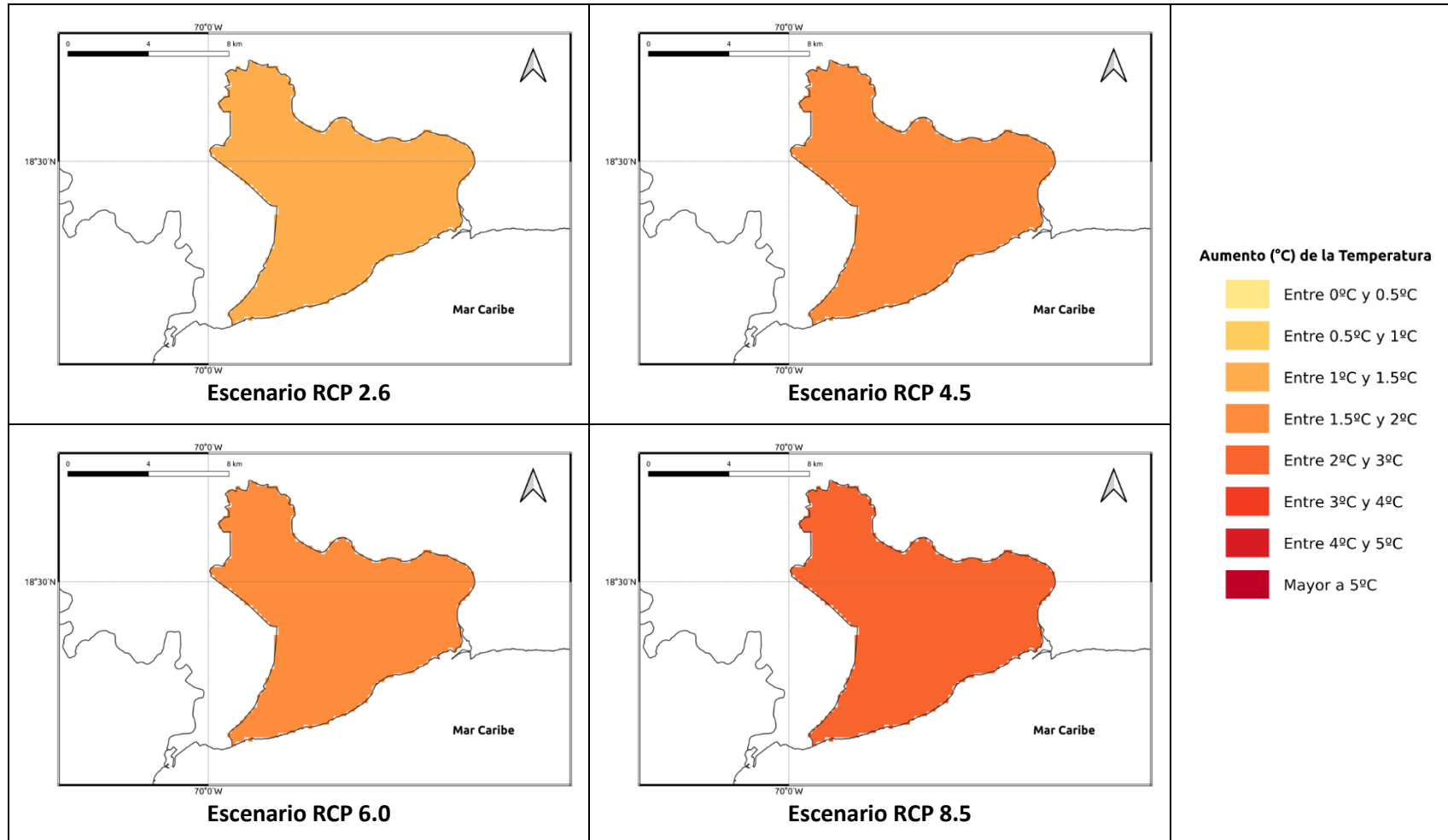
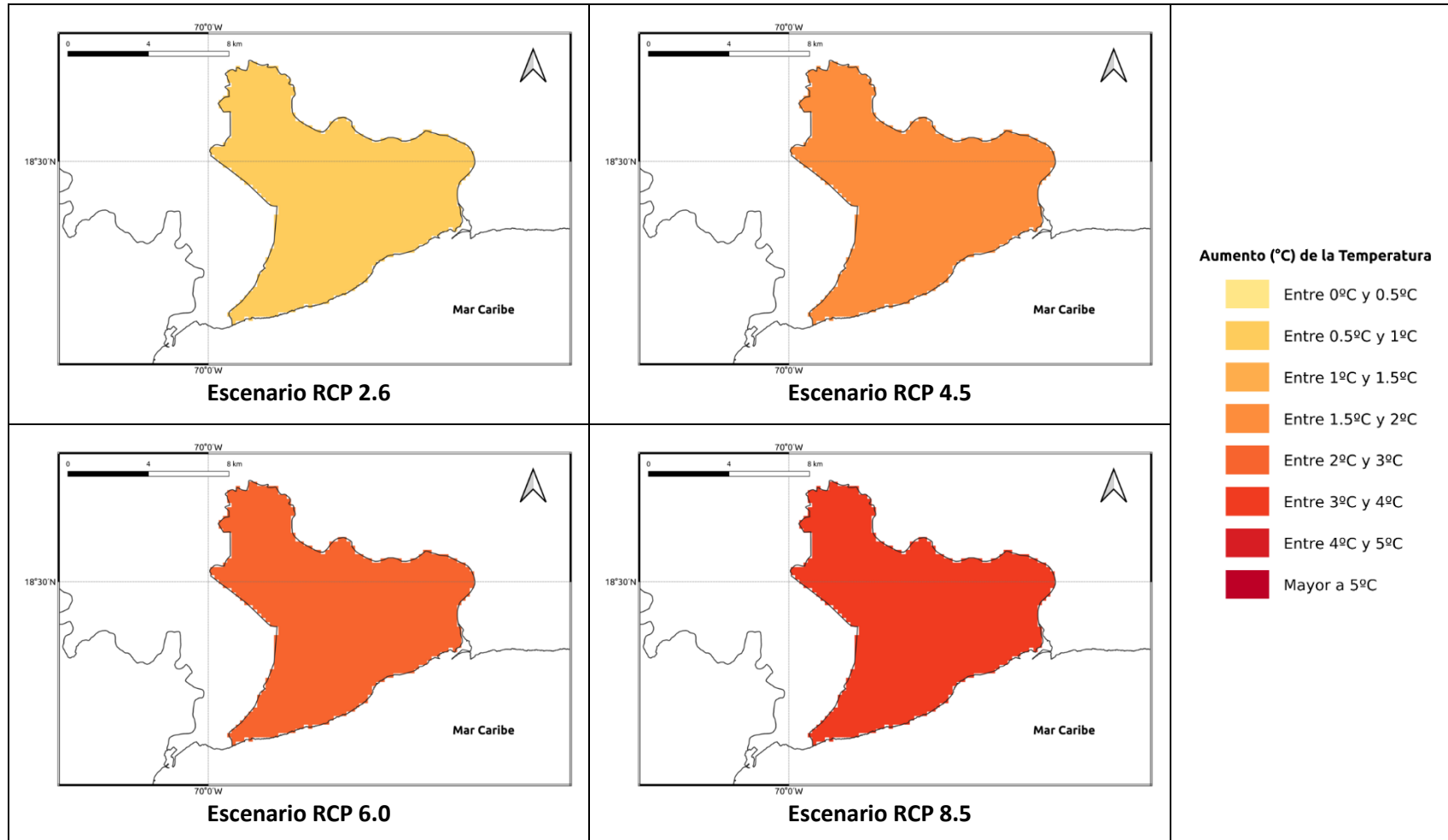


Figura 1.1.5-7. Cambios proyectados en la temperatura máxima (°C) por el ensamble multimodelo bajo los 4 escenarios RCP en el periodo 2061-2080 para el Distrito Nacional.



**Figura 1.1.5-8. Cambios proyectados en la temperatura máxima (°C) por el ensamble multimodelo bajo los 4 escenarios RCP en el periodo 2081-2100 para el Distrito Nacional.**

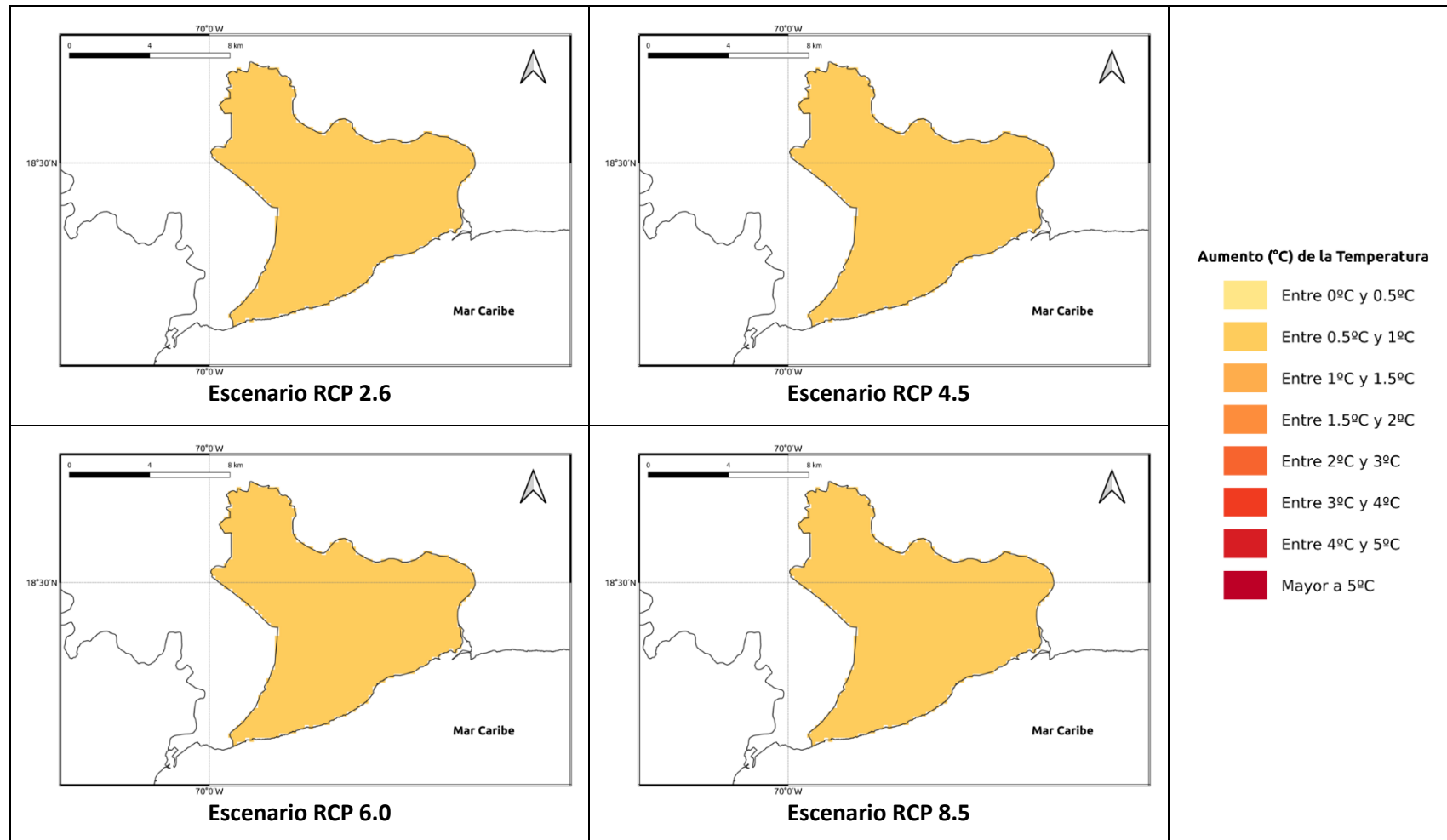


Figura 1.1.5-9. Cambios proyectados en la temperatura mínima (°C) por el ensamble multimodelo bajo los 4 escenarios RCP en el periodo 2021-2040 para el Distrito Nacional.

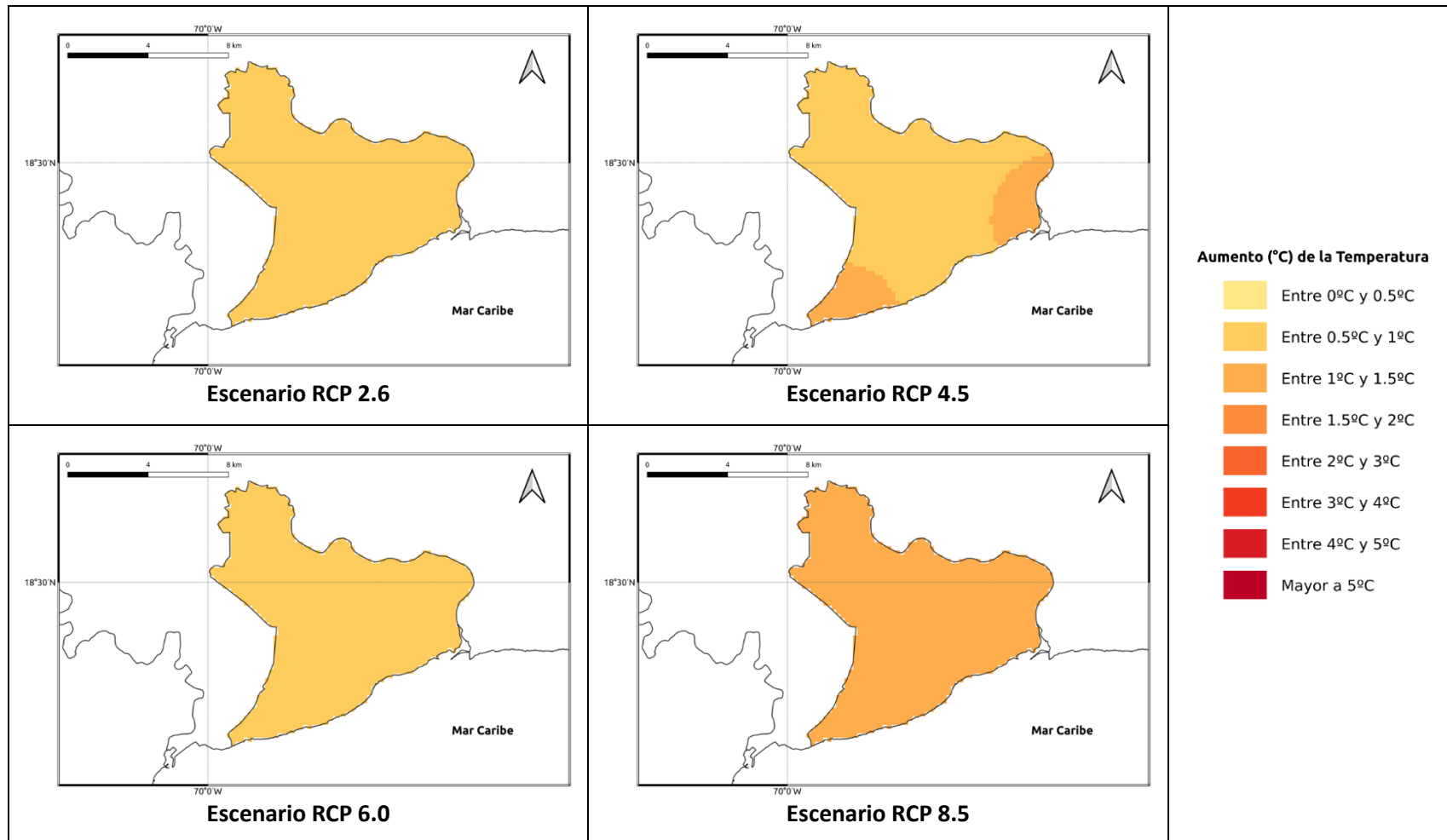


Figura 1.1.5-10. Cambios proyectados en la temperatura mínima (°C) por el ensamble multimodelo bajo los 4 escenarios RCP en el periodo 2041-2060 para el Distrito Nacional.

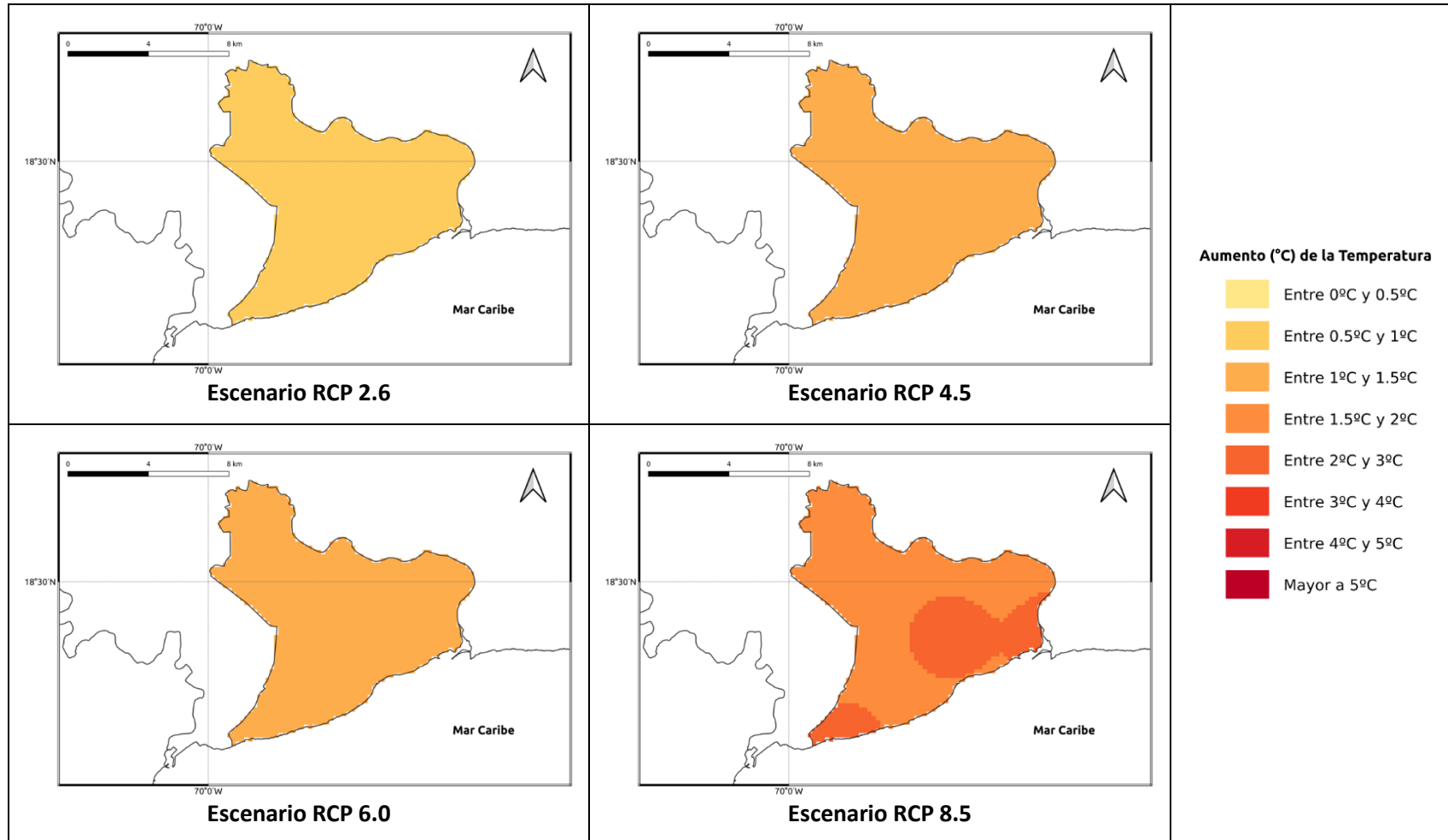


Figura 1.1.5-11. Cambios proyectados en la temperatura mínima (°C) por el ensamble multimodelo bajo los 4 escenarios RCP en el periodo 2061-2080 para el Distrito Nacional.

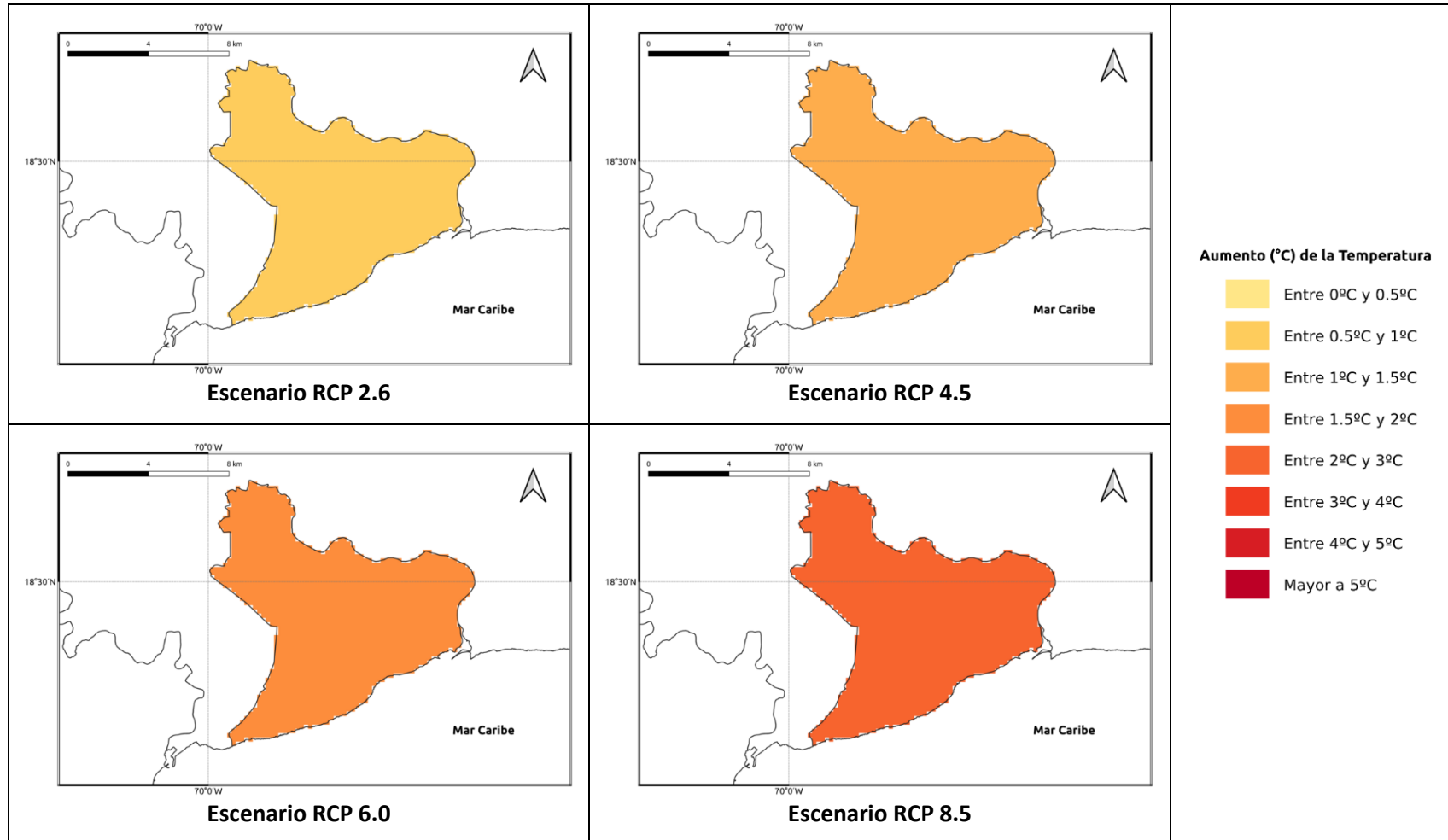


Figura 1.1.5-12. Cambios proyectados en la temperatura mínima (°C) por el ensamble multimodelo bajo los 4 escenarios RCP en el periodo 2081-2100 para el Distrito Nacional.

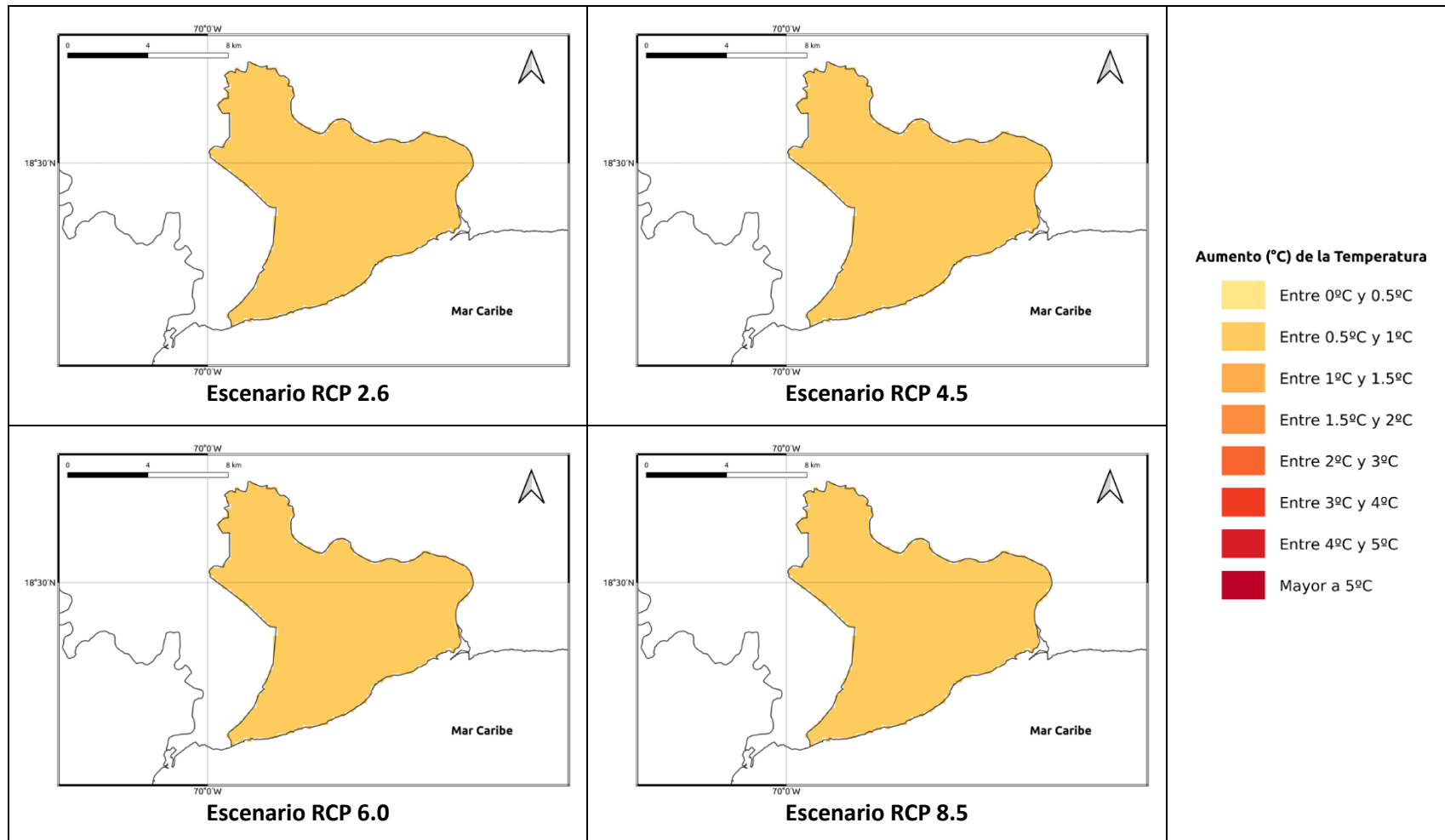
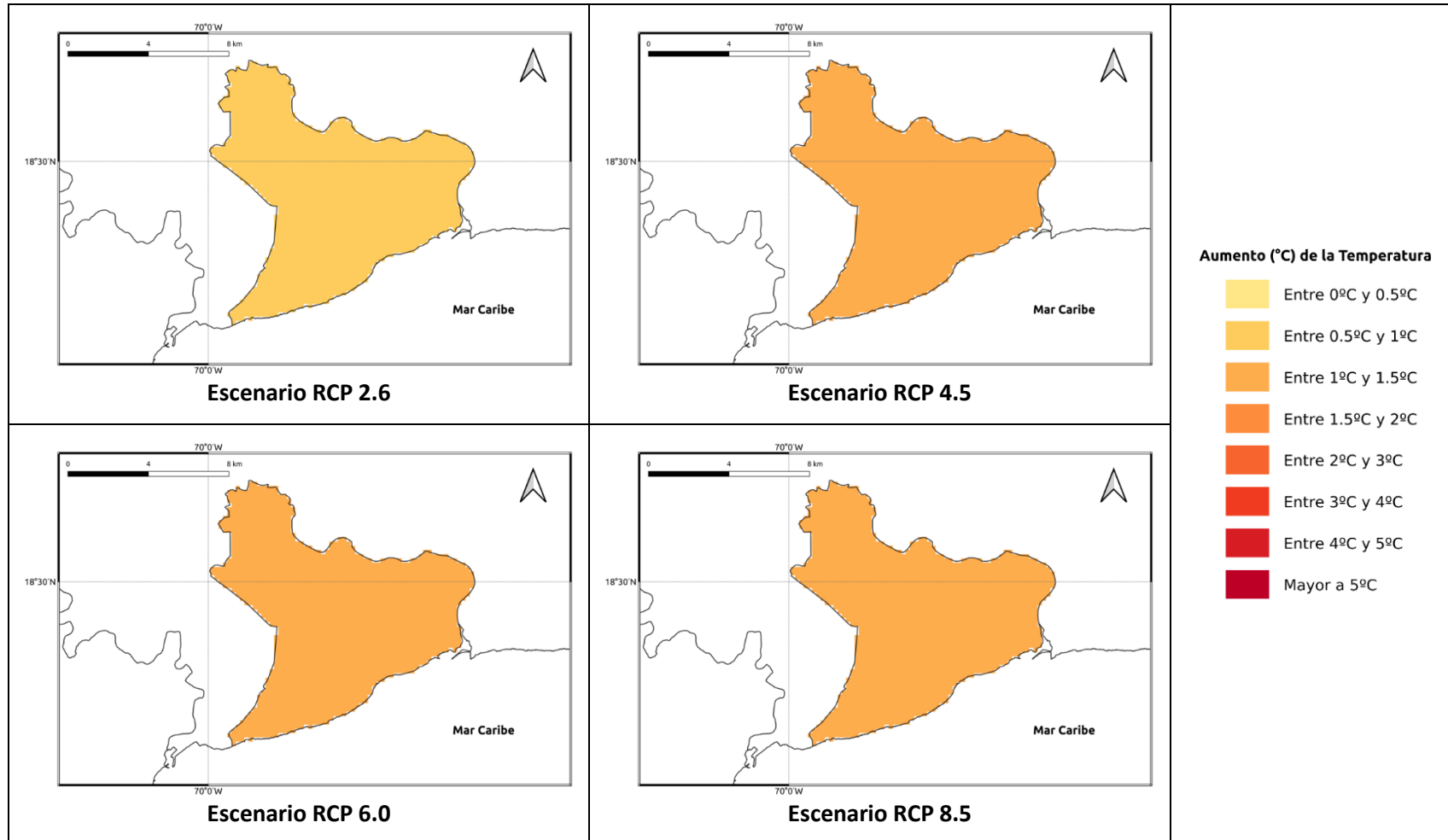
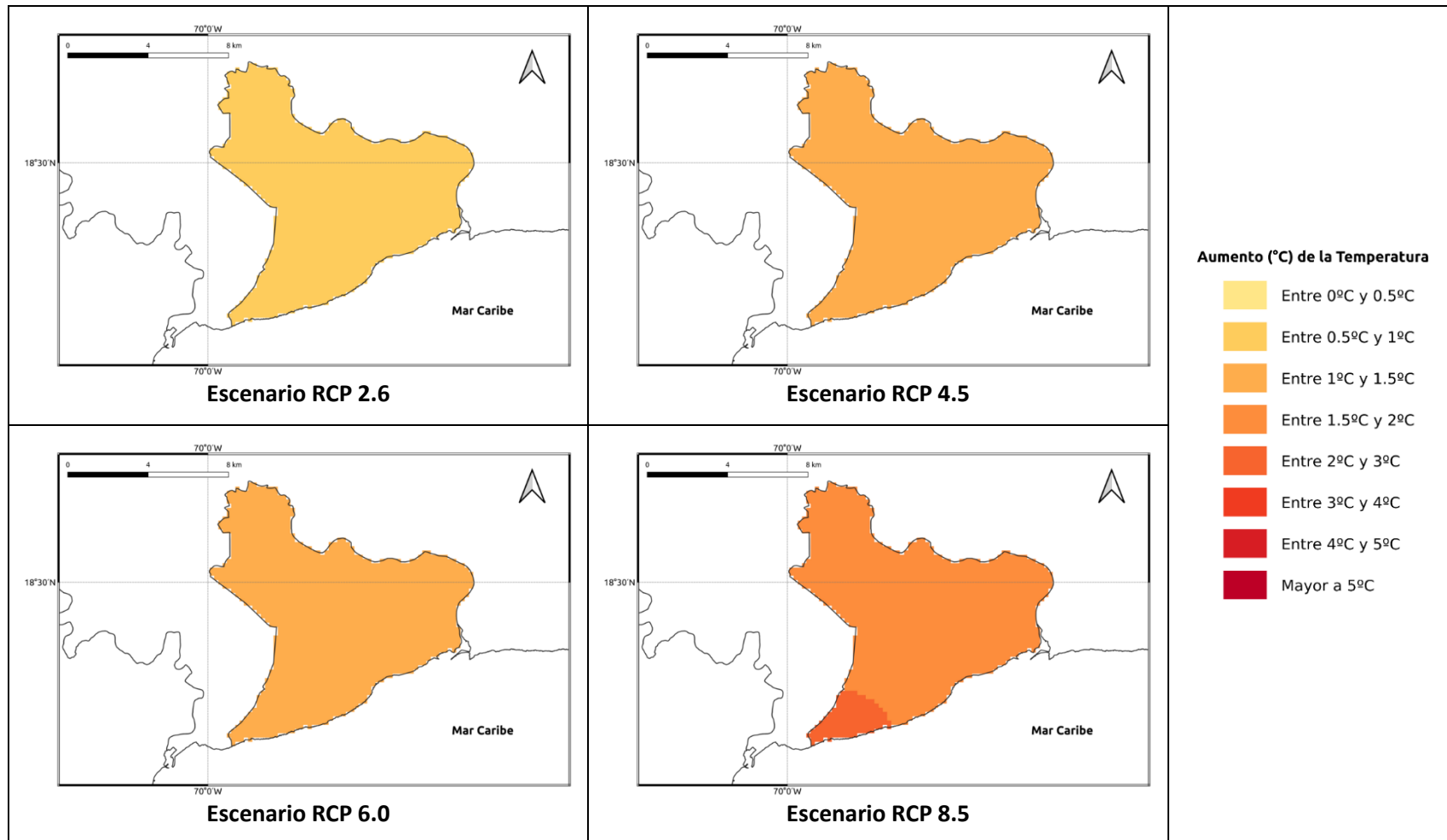


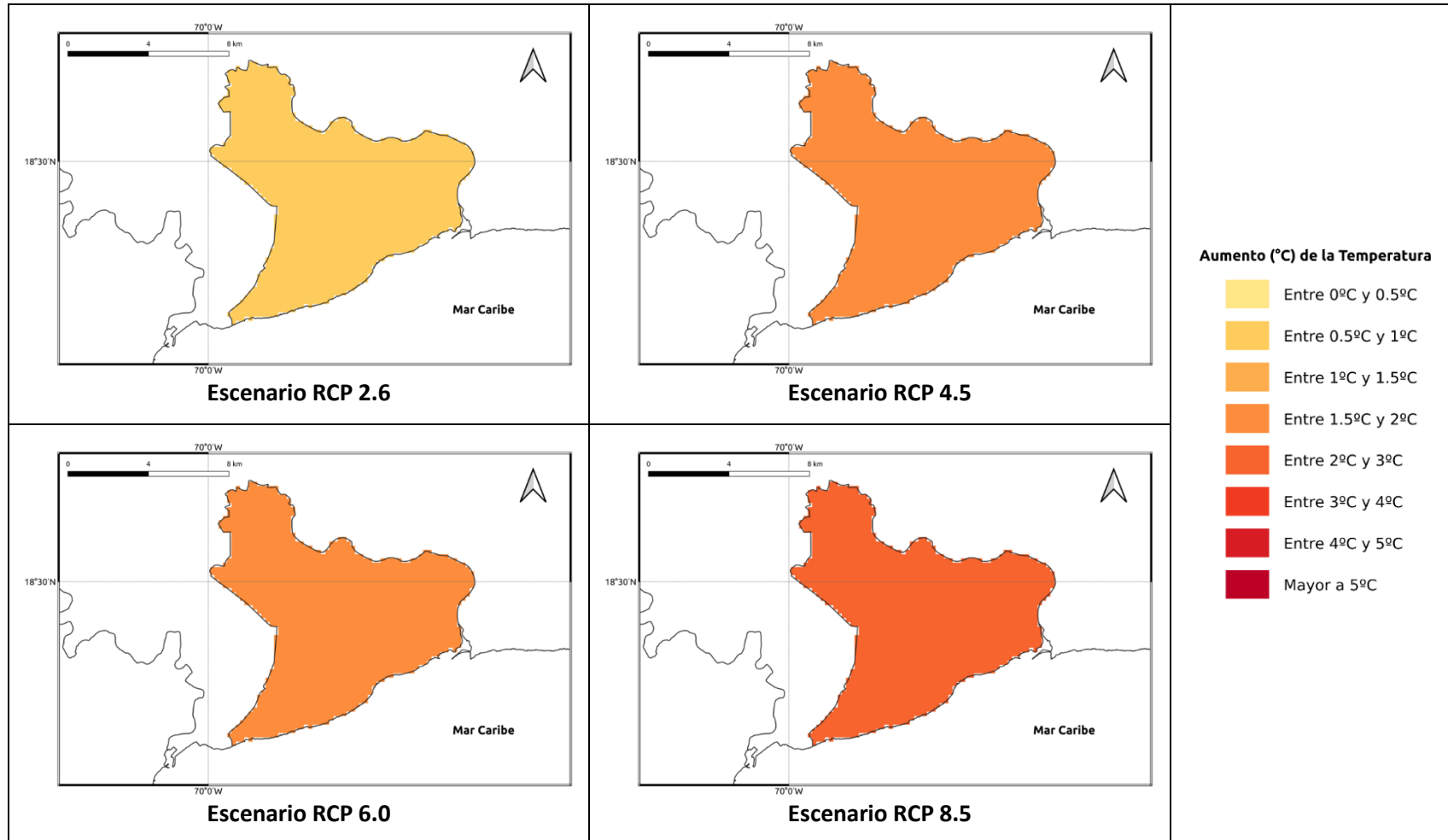
Figura 1.1.5-13. Cambios proyectados en la temperatura media (°C) por el ensamble multimodelo bajo los 4 escenarios RCP en el periodo 2021-2040 para el Distrito Nacional.



**Figura 1.1.5-14. Cambios proyectados en la temperatura media (°C) por el ensamble multimodelo bajo los 4 escenarios RCP en el periodo 2041-2060 para el Distrito Nacional.**



**Figura 1.1.5-15. Cambios proyectados en la temperatura media (°C) por el ensamble multimodelo bajo los 4 escenarios RCP en el periodo 2061-2080 para el Distrito Nacional.**



**Figura 1.1.5-16. Cambios proyectados en la temperatura media (°C) por el ensamble multimodelo bajo los 4 escenarios RCP en el periodo 2081-2100 para el Distrito Nacional.**

## 1.1.6 PROVINCIA DUARTE

Esta sección presenta el análisis espacial de los cambios de las variables climáticas a nivel anual para la provincia Duarte. Los cambios a nivel estacional (trimestral) se pueden consultar en el Anexo 7.

### Precipitación

Para esta variable, en el periodo de corto plazo 2021-2040 se presentarían cambios dentro del rango normal de variabilidad (del orden del 5%), con aumentos de esta magnitud bajo los escenarios RCP 2.6 y 6.0, y reducciones bajo los escenarios RCP 4.5 y 8.5, y dándose en la parte oriental en el RCP 8.5 disminuciones del orden del 8% (Figura 1.1.6-1). Para el siguiente periodo (2041-2060), bajo el RCP 2.6 se mantiene el aumento de la precipitación del orden del 5%, y en los demás escenarios la tendencia sería a la reducción de la precipitación entre un 4-9% (Figura 1.1.6-2). Para el periodo 2061-2080, en el RCP 2.6 se mantendrían los incrementos del 5%, y bajo los otros escenarios se darían reducciones de la precipitación, del orden del 9-15% bajo el RCP 4.5, entre 4-9% bajo el RCP 6.0 y del 16-19% bajo el RCP 8.5 (Figura 1.1.6-3). Por último, para finales de siglo bajo los 4 escenarios se presentarían reducciones de la precipitación, siendo las de menor magnitud bajo el RCP 2.6 (entre 6-8%) y las más altas bajo el RCP 8.5, con reducciones entre 25 y 28% (Figura 1.1.6-4).

### Temperatura Máxima

La temperatura máxima presentaría incrementos bajo los 4 RCP en todos los periodos analizados. En el periodo de corto plazo (2021-2040) la temperatura aumentaría entre 0.7 y 1.3°C, con aumentos de más de 1°C bajo el RCP 8.5 (Figura 1.1.6-5). Para 2041-2060, los aumentos serían de 1.1 a 1.4°C bajo los primeros 3 RCP (2.6, 4.5 y 6.0), y de 1.5 a 1.8°C bajo el RCP 8.5 (Figura 1.1.6-6). En el periodo 2061-2080 los aumentos serían de 0.7 a 2.4°C, manteniéndose el incremento de 1.1 a 1.4°C bajo el RCP 2.6, siendo de 1.4 a 1.8°C bajo los RCP 4.5 y 6.0 y de 2.6°C bajo el RCP 8.5 (Figura 1.1.6-7). Para finales de siglo, los aumentos serían de 0.7 a 1.2°C bajo el RCP 2.6, de 1.7 a 1.9°C bajo el RCP 4.5, de 2.1 a 2.4°C bajo el RCP 6.0 y de 3.2 a 3.8°C bajo el RCP 8.5 (Figura 1.1.6-8).

### Temperatura Mínima

En el primer periodo (2021-2040), ésta se incrementaría de 0.5 a 0.8°C en los 4 escenarios RCP (Figura 1.1.6-9). Para 2041-2060 aumentaría de 0.7 a 0.9°C en los 3 primeros escenarios (aunque bajo el RCP 4.5 habría incrementos de 1.1°C hacia el oriente de la provincia), y bajo el RCP 8.5 habría aumentos de 1.3°C (Figura 1.1.6-10). En el periodo 2061-2080 la temperatura mínima se incrementaría entre 0.6 y 0.8°C



bajo el RCP 2.6, entre 1.1 y 1.4°C bajo los RCP 4.5 y 6.0 y entre 1.7 y 2.2°C bajo el RCP 8.5, dándose los mayores aumentos hacia el norte y oriente de la provincia (Figura 1.1.6-11). Por último, para finales de siglo se mantendría un aumento de 0.8°C en el RCP 2.6, entre 1.1 y 1.4°C bajo el RCP 4.5, entre 1.4 y 1.8°C bajo el RCP 6.0 y de 2.2 a 2.6°C bajo el RCP 8.5 (Figura 1.1.6-12).

#### ***Temperatura Media***

La temperatura media se incrementaría entre 0.6 y 0.8°C en el periodo 2021-2040 bajo los 4 escenarios RCP (Figura 1.1.6-13). En el periodo 2041-2060 se mantendría este mismo rango bajo el RCP 2.6, y en los otros 3 escenarios aumentaría de 1.1 a 1.4°C (Figura 1.1.6-14). Para 2061-2080 la temperatura media aumentaría de 0.7 a 0.8°C bajo el RCP 2.6, de 1.3 a 1.5°C bajo los RCP 4.5 y 6.0 y de 1.7 a 2.4°C bajo el RCP 8.5, con los incrementos más altos en el oriente de la provincia (Figura 1.1.6-15). Finalmente, para el periodo 2081-2100 la temperatura subiría entre 0.6 y 0.8°C bajo el RCP 2.6, entre 1.2 y 1.7°C bajo el RCP 4.5, de 1.6 a 1.9°C bajo el RCP 6.0 y de 2.4 a 2.8°C bajo el RCP 8.5 (Figura 1.1.6-16).



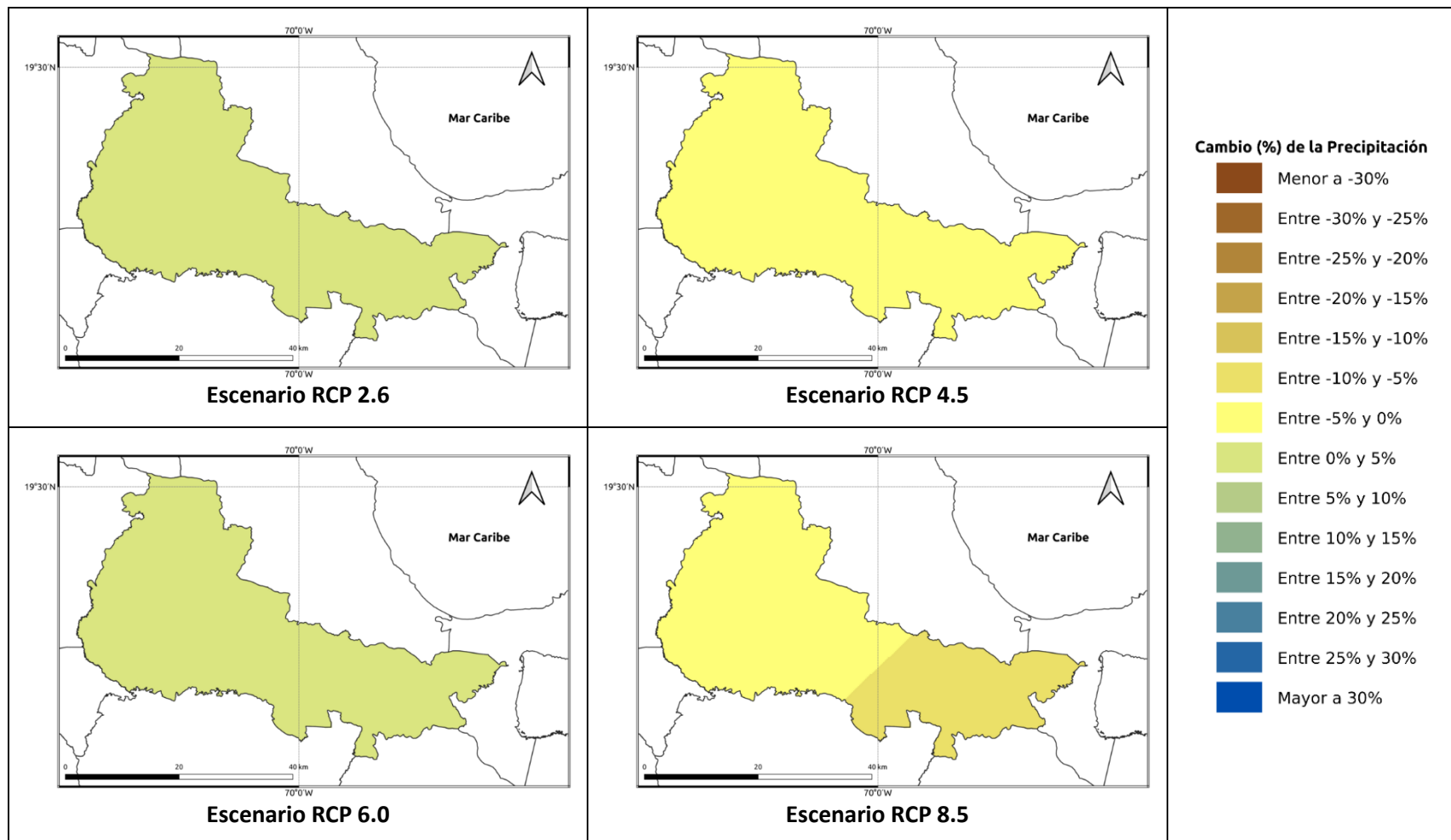


Figura 1.1.6-1. Cambios porcentuales de la precipitación (%) proyectados por el ensamble multimodelo bajo los 4 escenarios RCP en el periodo 2021-2040 para la provincia Duarte.

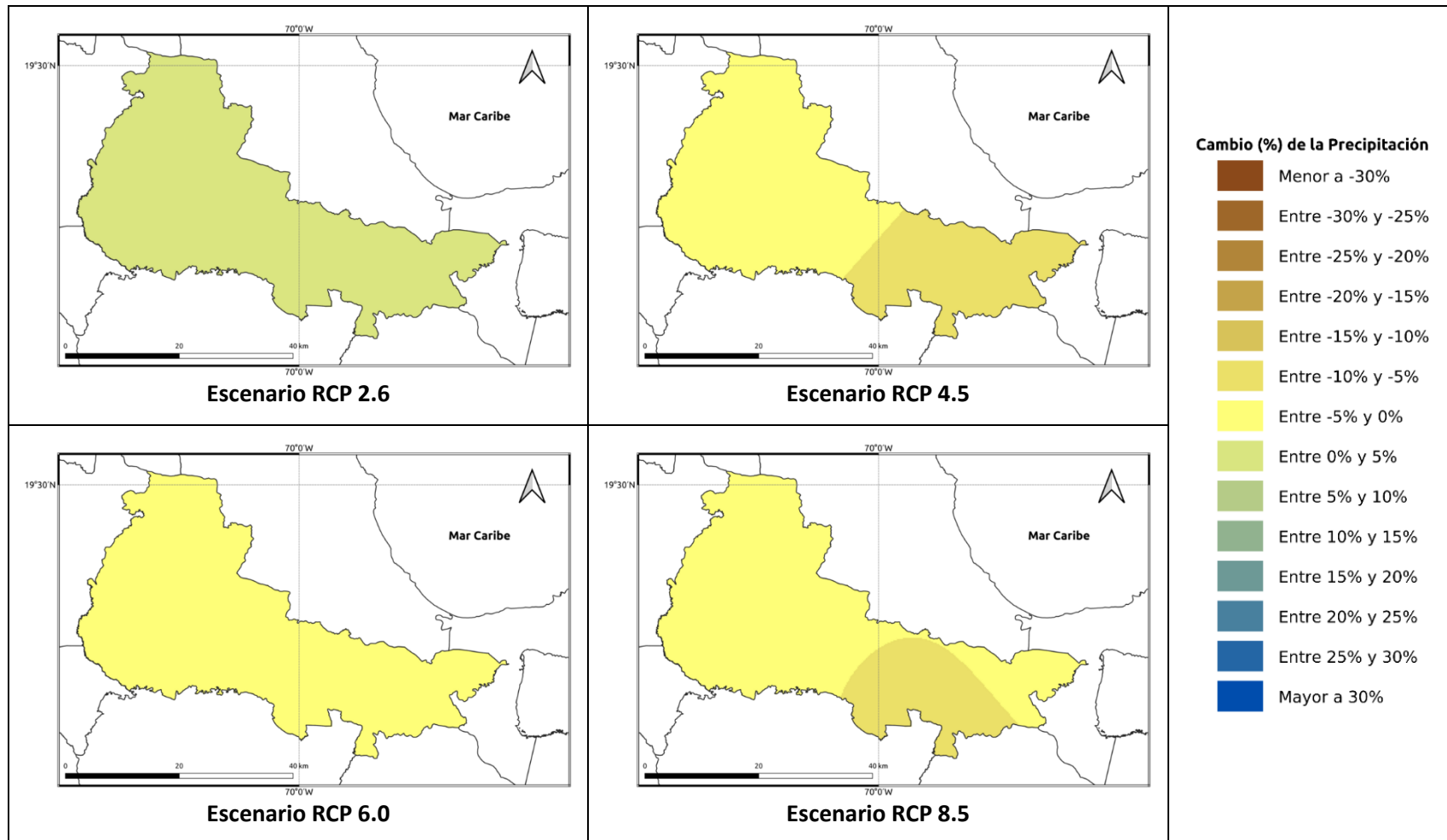


Figura 1.1.6-2. Cambios porcentuales de la precipitación (%) proyectados por el ensamble multimodelo bajo los 4 escenarios RCP en el periodo 2041-2060 para la provincia Duarte.

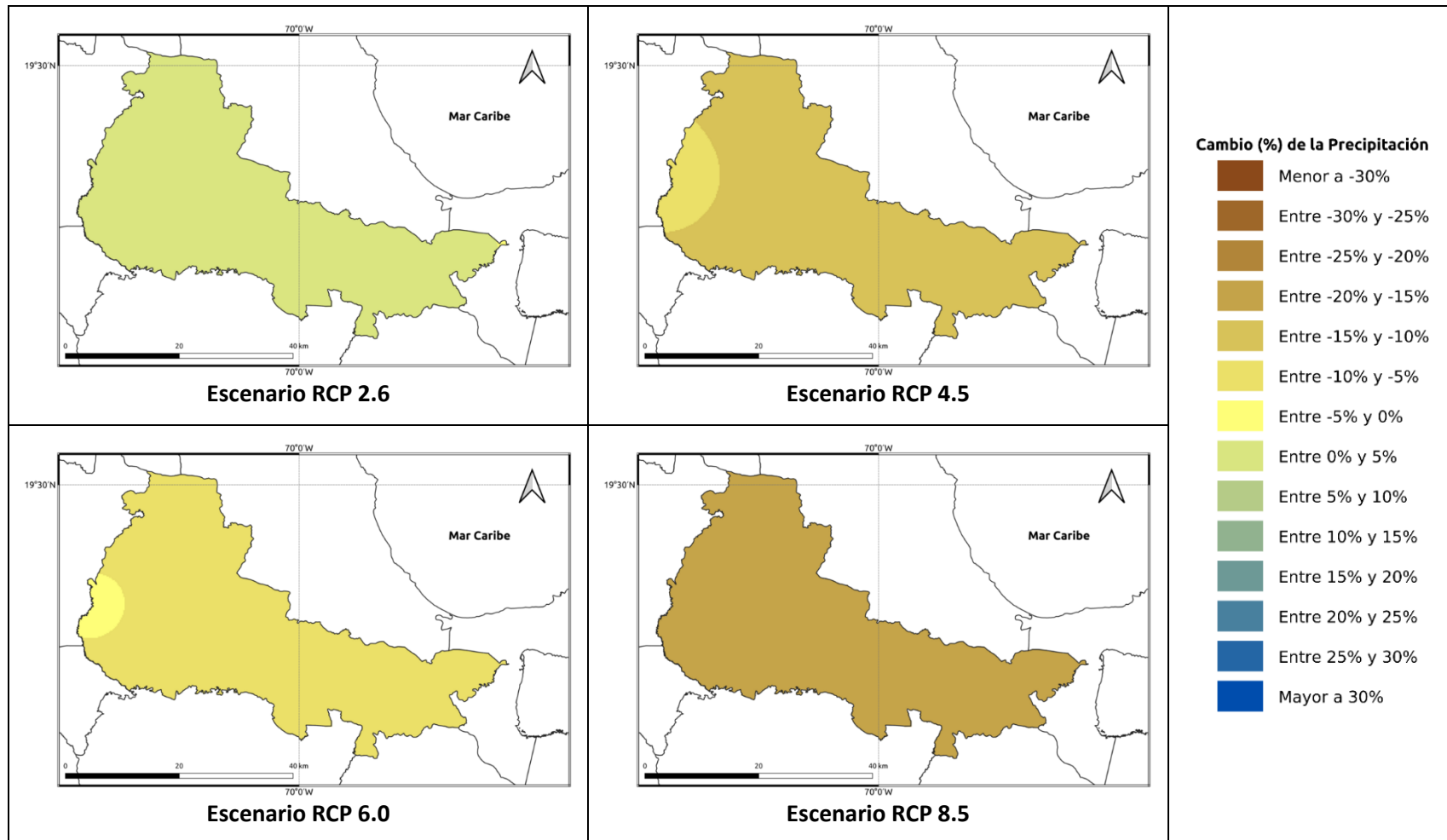


Figura 1.1.6-3. Cambios porcentuales de la precipitación (%) proyectados por el ensamble multimodelo bajo los 4 escenarios RCP en el periodo 2061-2080 para la provincia Duarte.

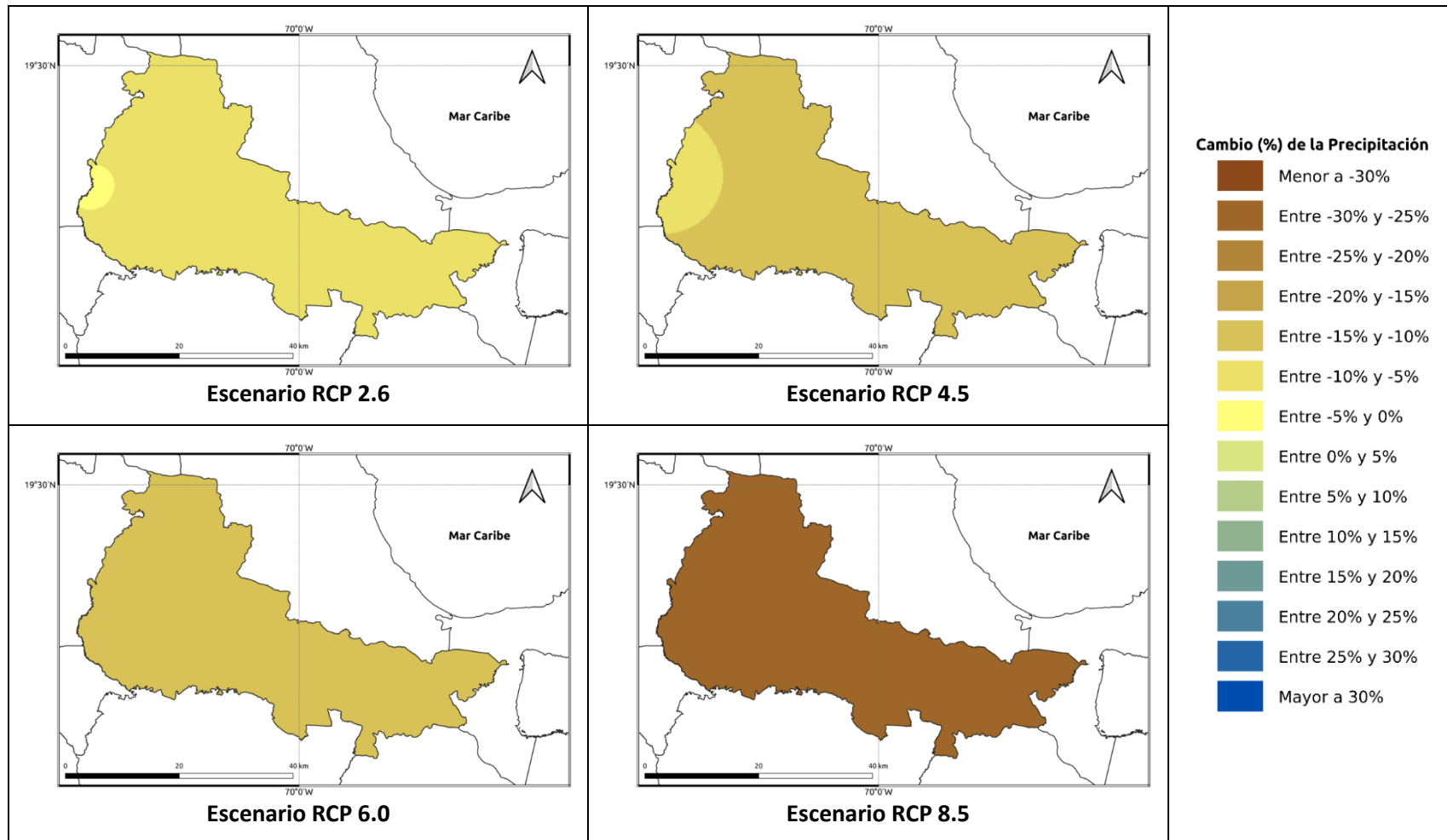


Figura 1.1.6-4. Cambios porcentuales de la precipitación (%) proyectados por el ensamble multimodelo bajo los 4 escenarios RCP en el periodo 2081-2100 para la provincia Duarte.

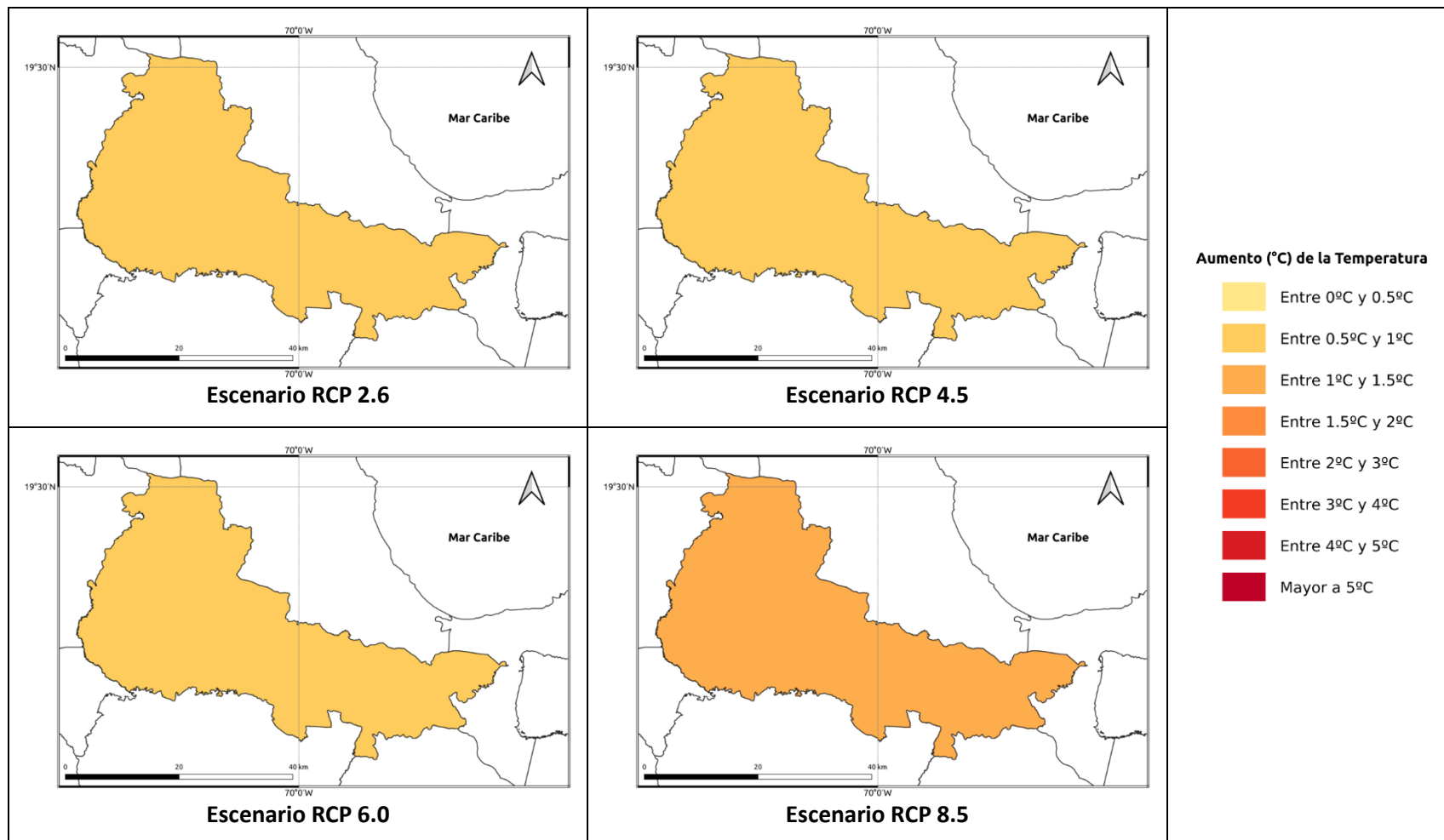


Figura 1.1.6-5. Cambios proyectados en la temperatura máxima (°C) por el ensamble multimodelo bajo los 4 escenarios RCP en el periodo 2021-2040 para la provincia Duarte.

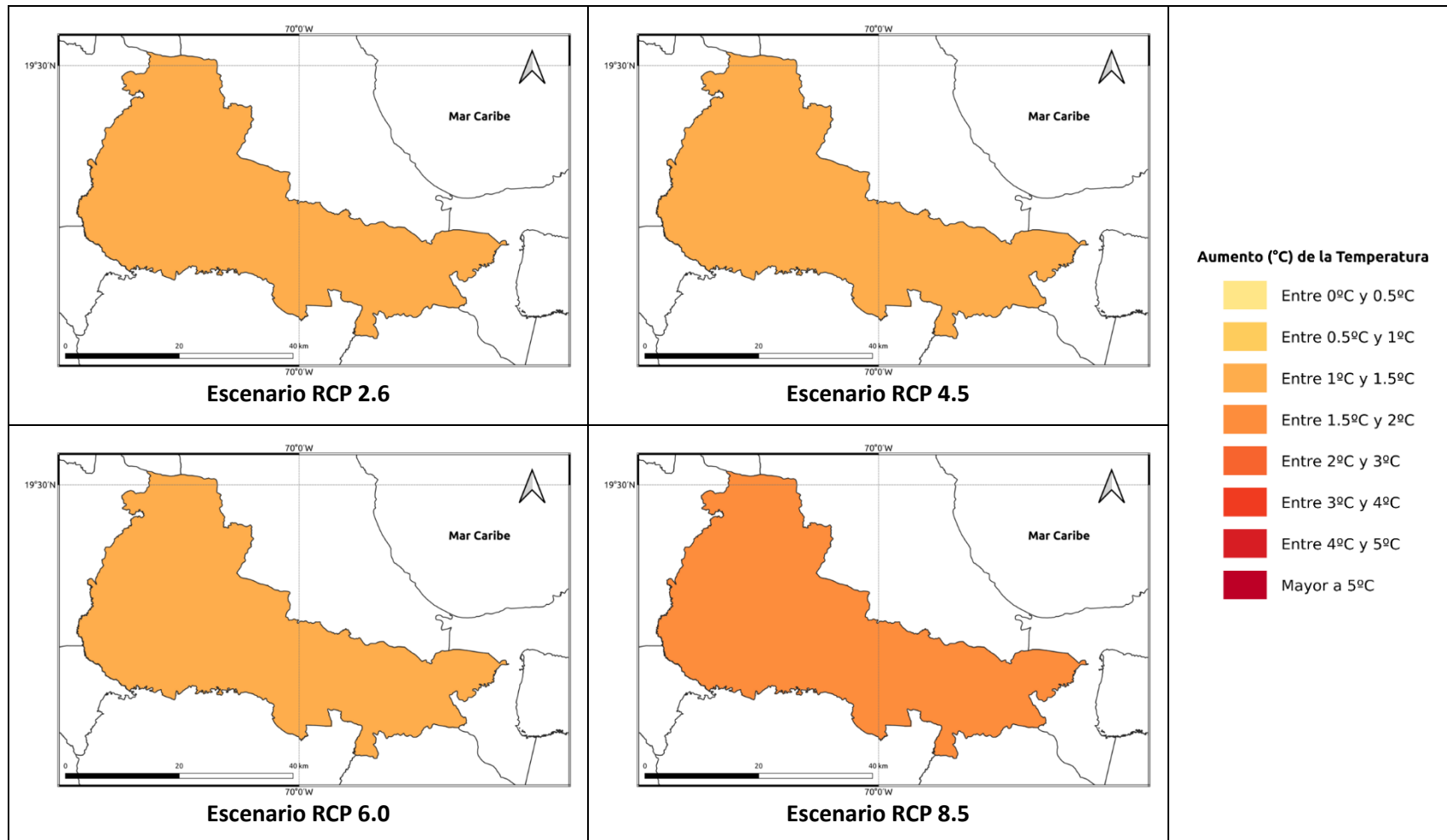


Figura 1.1.6-6. Cambios proyectados en la temperatura máxima (°C) por el ensamble multimodelo bajo los 4 escenarios RCP en el periodo 2041-2060 para la provincia Duarte.

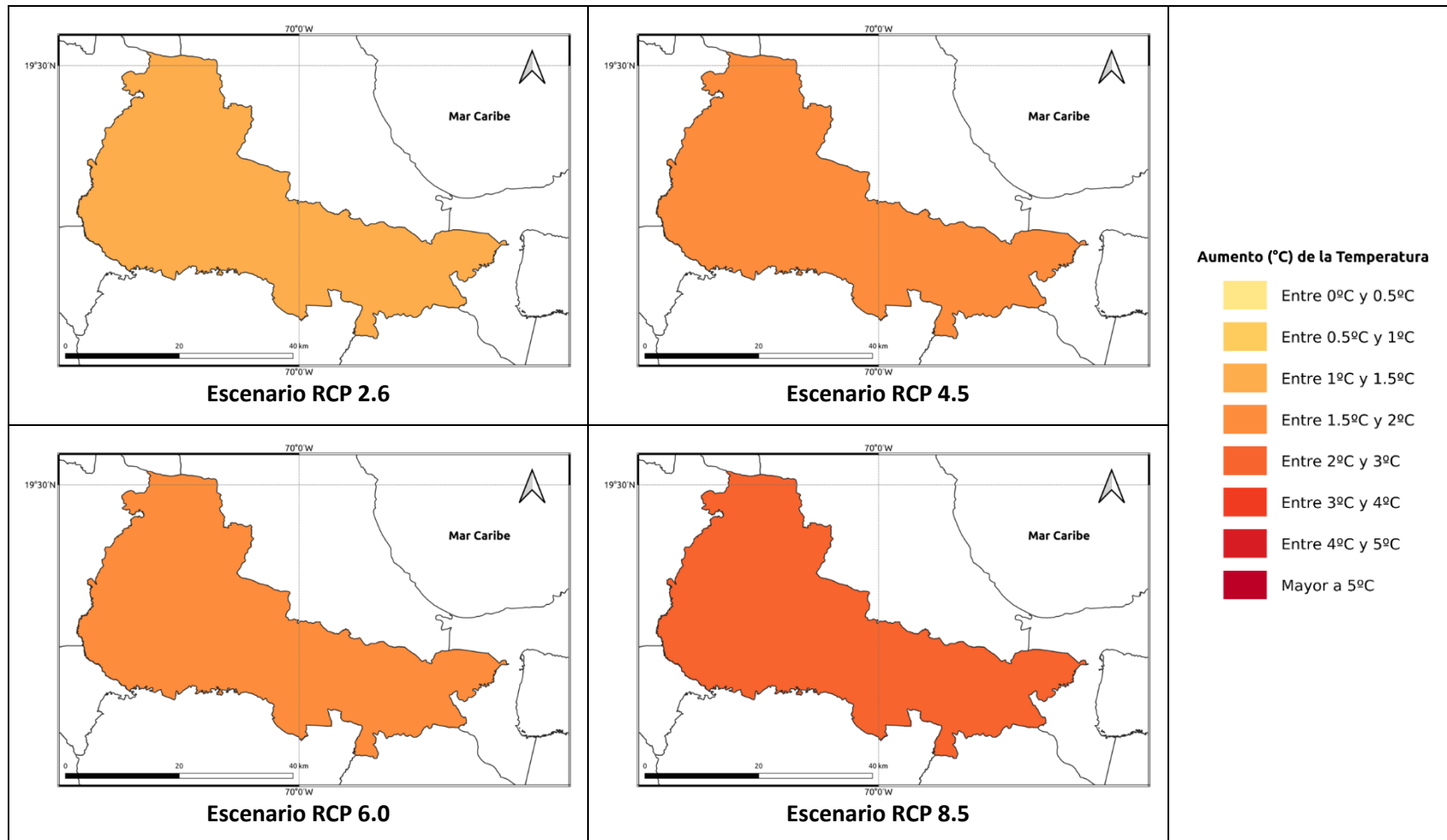


Figura 1.1.6-7. Cambios proyectados en la temperatura máxima (°C) por el ensamble multimodelo bajo los 4 escenarios RCP en el periodo 2061-2080 para la provincia Duarte.

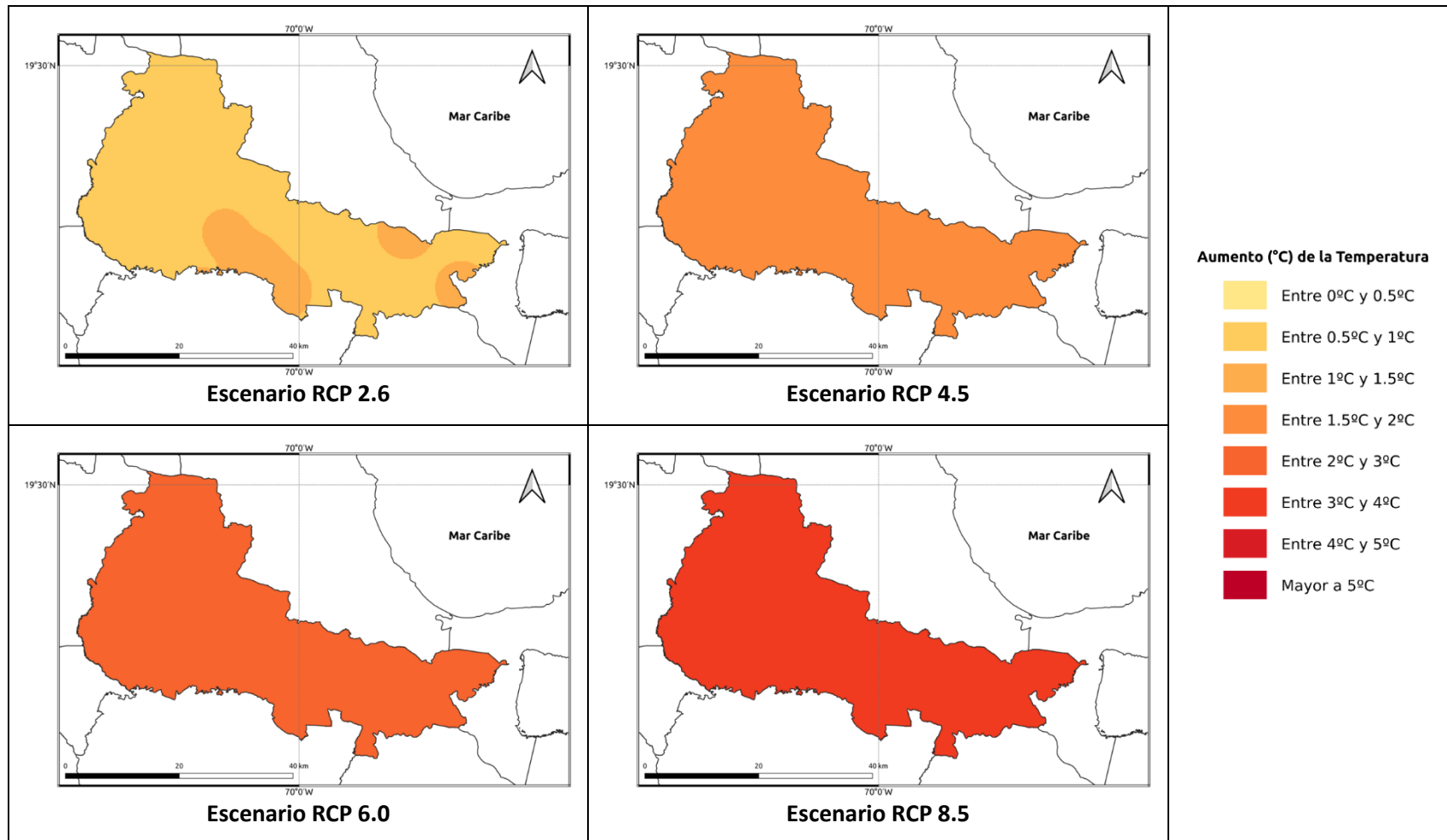


Figura 1.1.6-8. Cambios proyectados en la temperatura máxima (°C) por el ensamble multimodelo bajo los 4 escenarios RCP en el periodo 2081-2100 para la provincia Duarte.

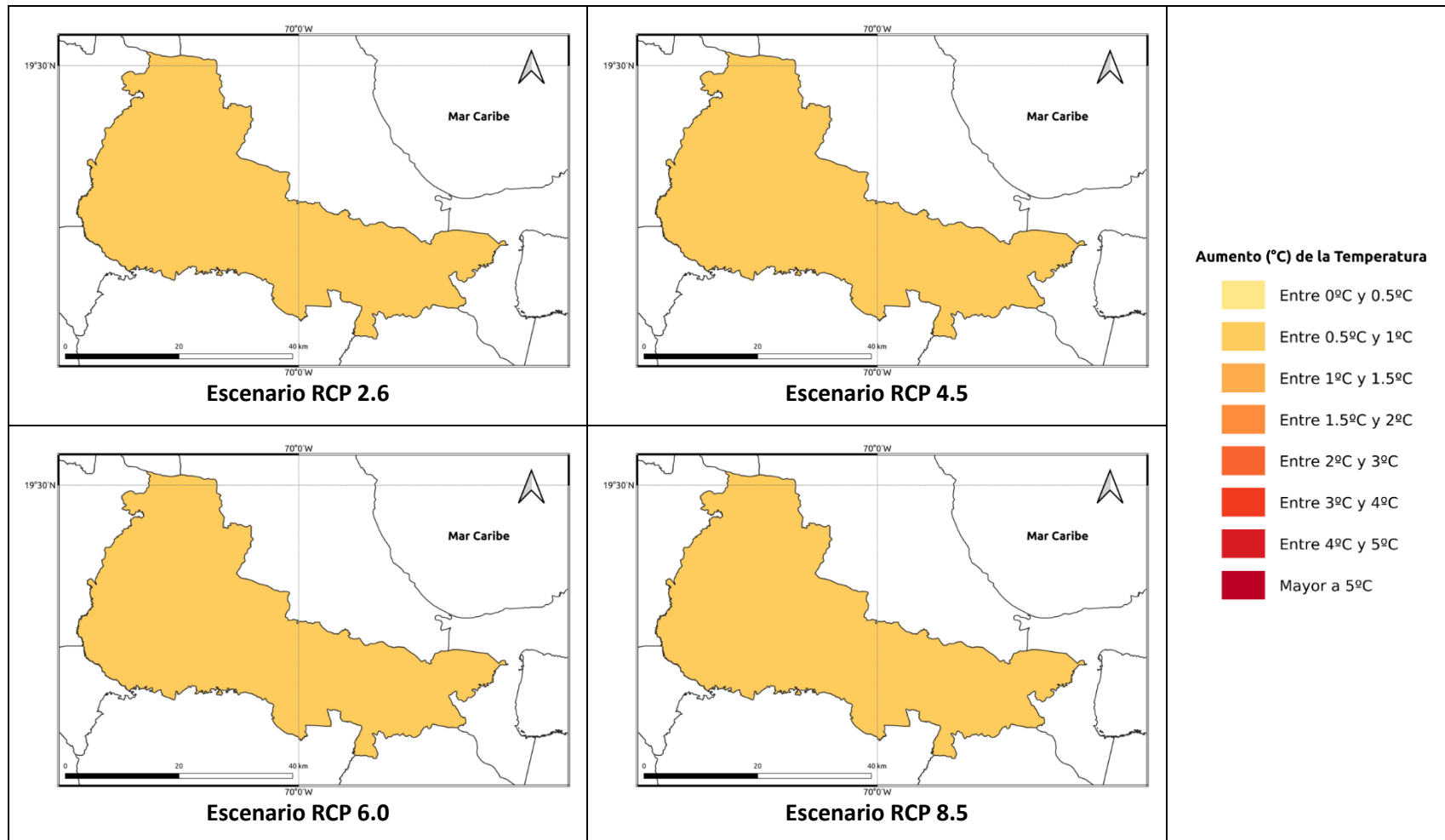


Figura 1.1.6-9. Cambios proyectados en la temperatura mínima (°C) por el ensamble multimodelo bajo los 4 escenarios RCP en el periodo 2021-2040 para la provincia Duarte.

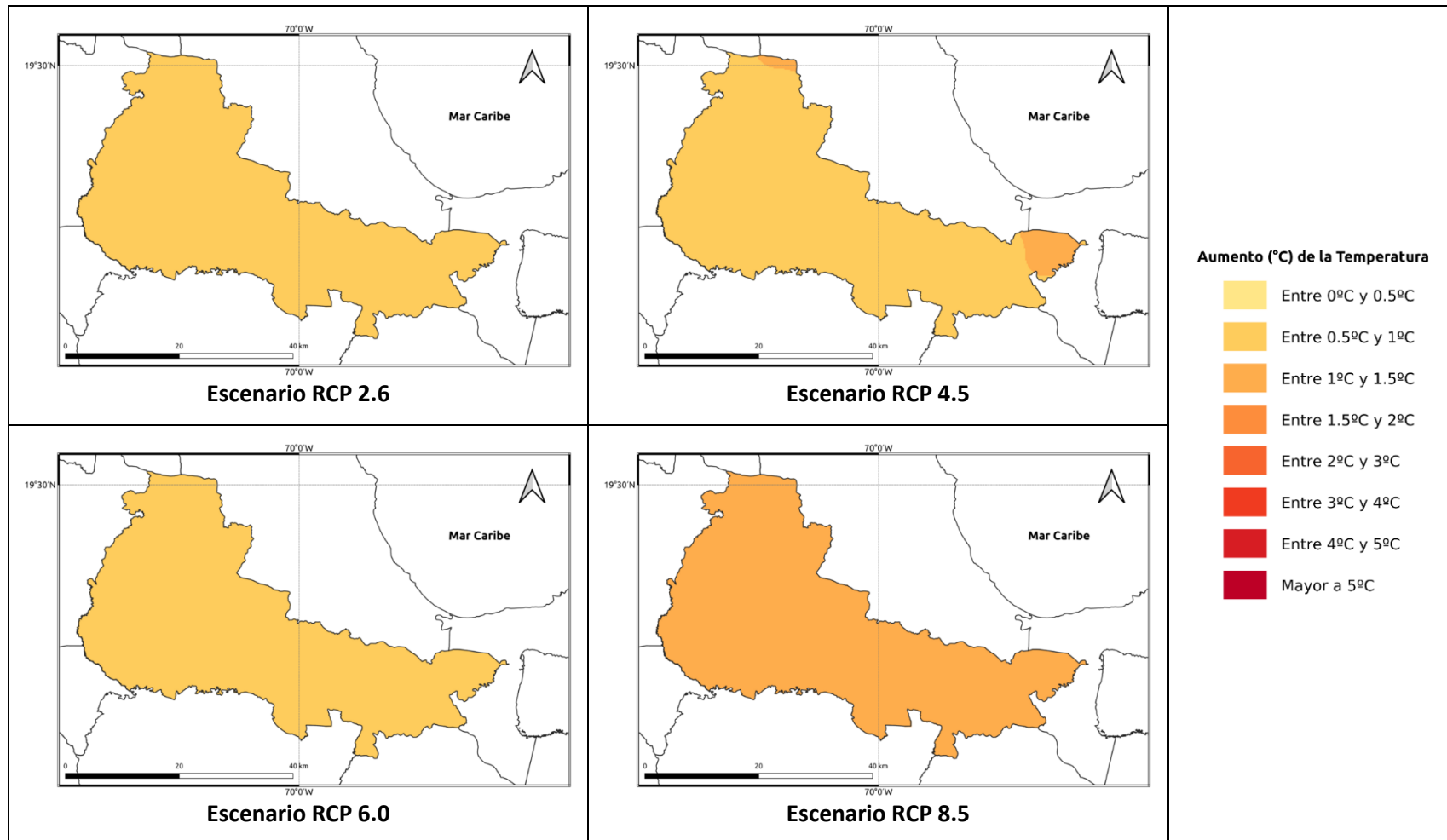


Figura 1.1.6-10. Cambios proyectados en la temperatura mínima (°C) por el ensamble multimodelo bajo los 4 escenarios RCP en el periodo 2041-2060 para la provincia Duarte.

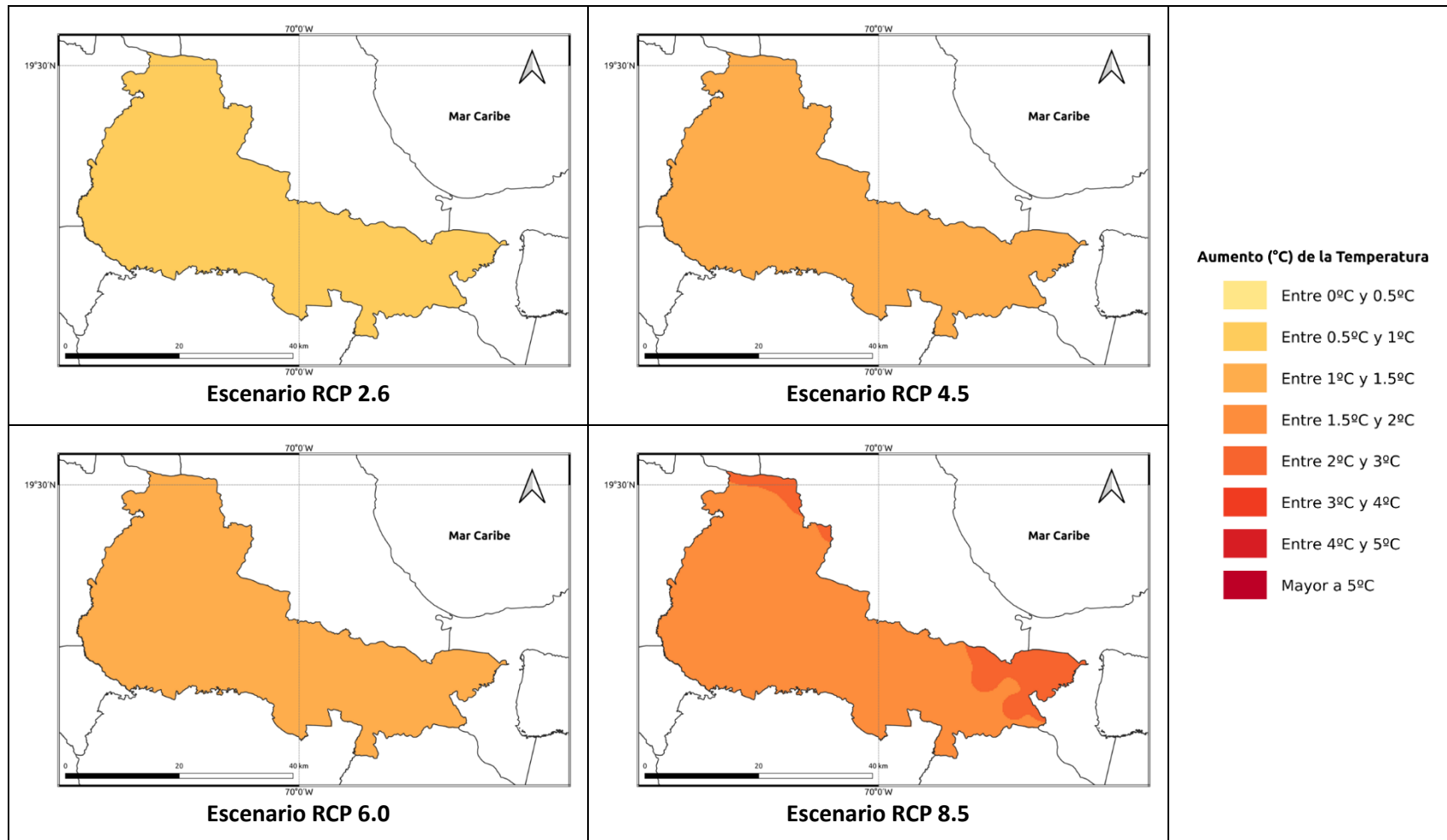


Figura 1.1.6-11. Cambios proyectados en la temperatura mínima (°C) por el ensamble multimodelo bajo los 4 escenarios RCP en el periodo 2061-2080 para la provincia Duarte.

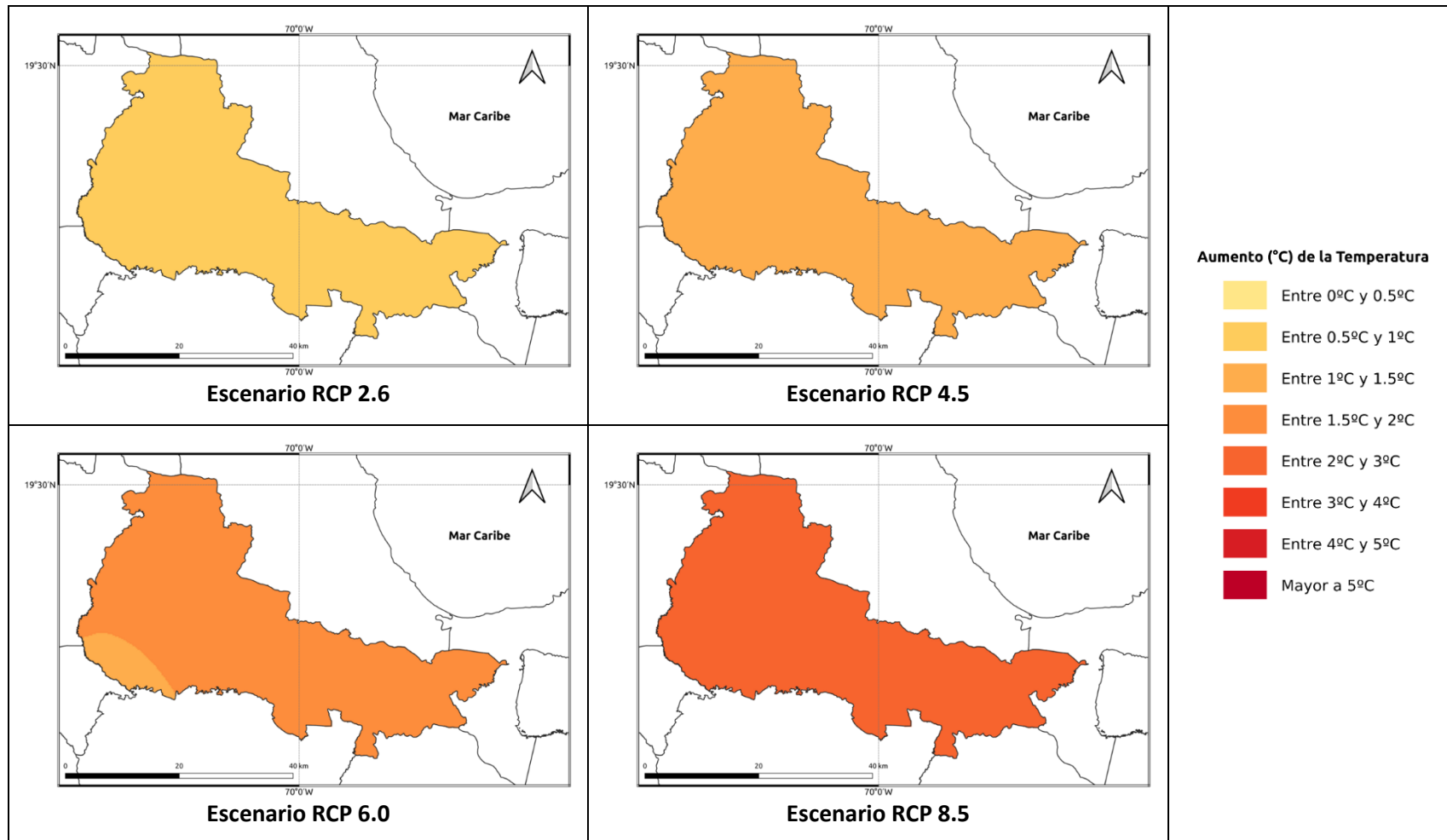


Figura 1.1.6-12. Cambios proyectados en la temperatura mínima (°C) por el ensamble multimodelo bajo los 4 escenarios RCP en el periodo 2081-2100 para la provincia Duarte.

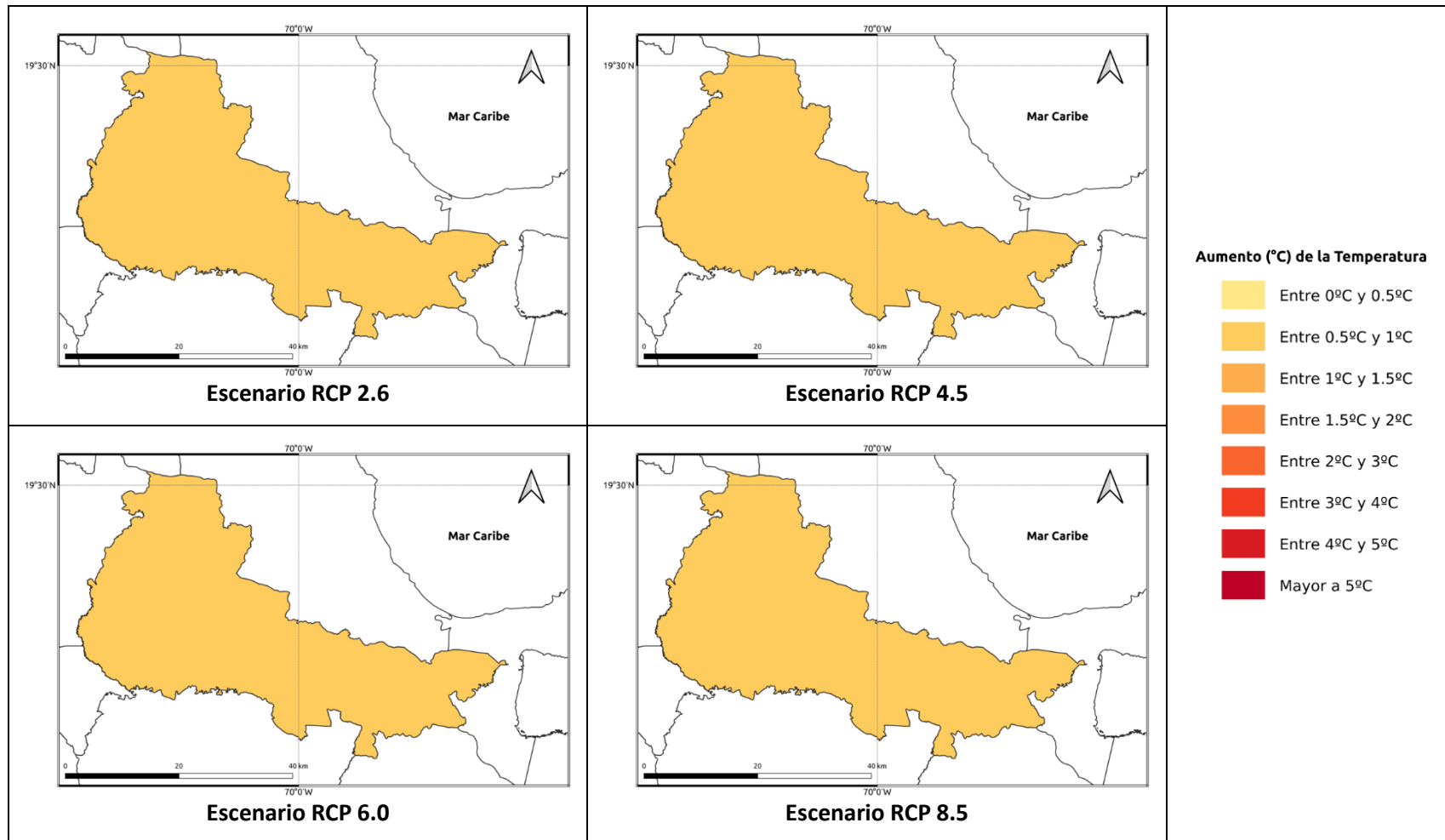


Figura 1.1.6-13. Cambios proyectados en la temperatura media (°C) por el ensamble multimodelo bajo los 4 escenarios RCP en el periodo 2021-2040 para la provincia Duarte.

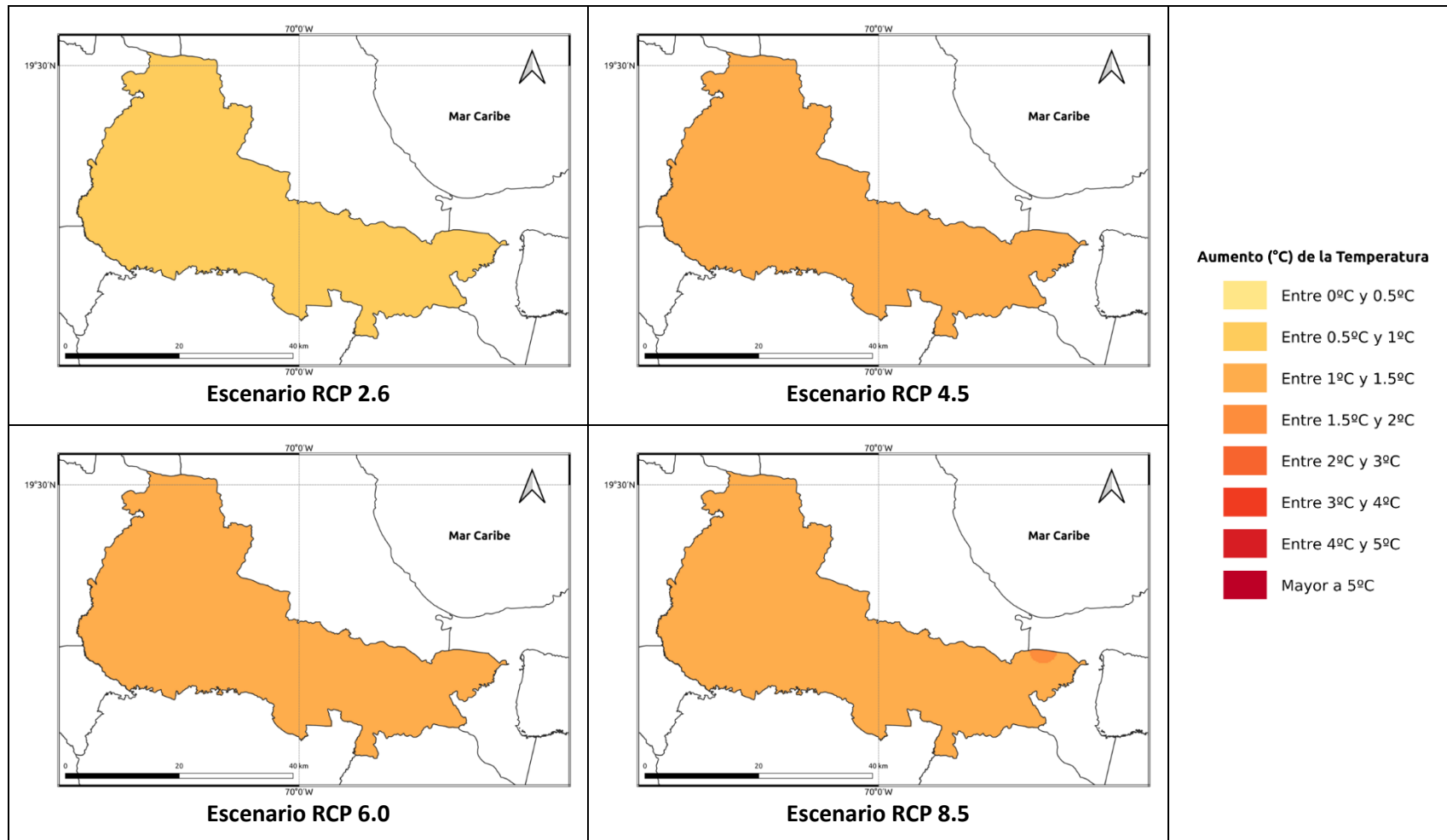
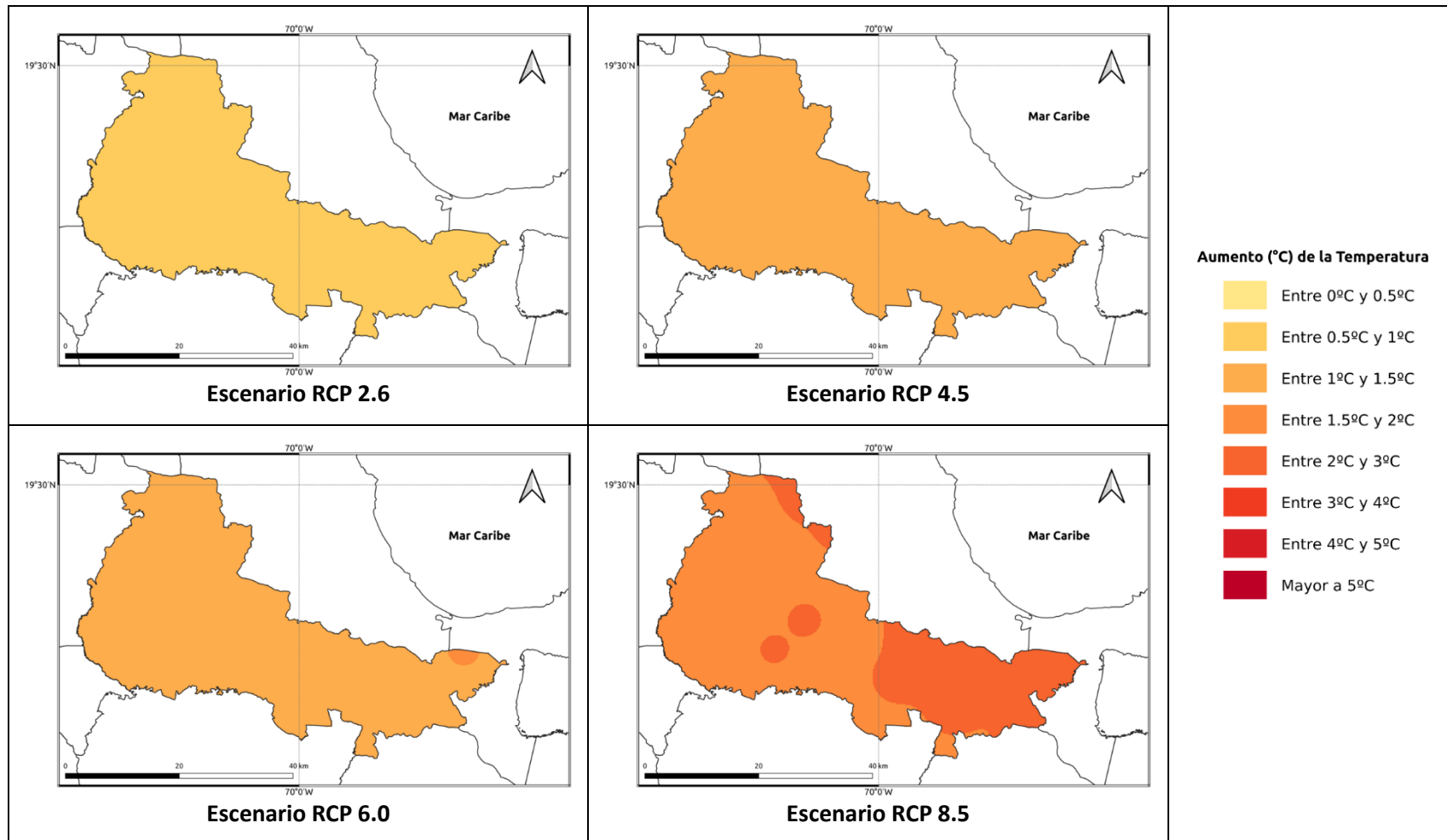
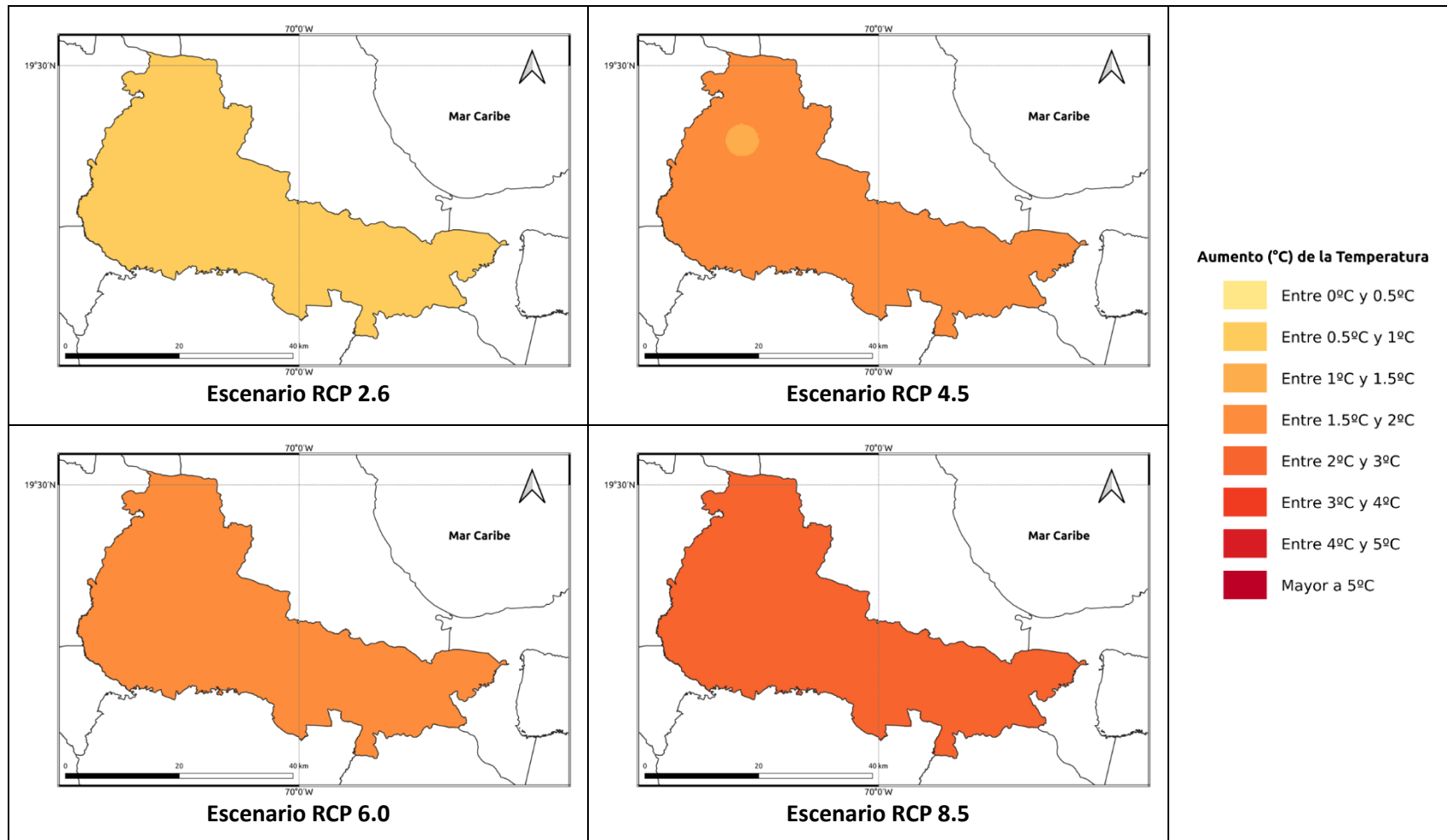


Figura 1.1.6-14. Cambios proyectados en la temperatura media (°C) por el ensamble multimodelo bajo los 4 escenarios RCP en el periodo 2041-2060 para la provincia Duarte.



**Figura 1.1.6-15. Cambios proyectados en la temperatura media (°C) por el ensamble multimodelo bajo los 4 escenarios RCP en el periodo 2061-2080 para la provincia Duarte.**



**Figura 1.1.6-16. Cambios proyectados en la temperatura media (°C) por el ensamble multimodelo bajo los 4 escenarios RCP en el periodo 2081-2100 para la provincia Duarte.**

## 1.1.7 PROVINCIA EL SEIBO

A continuación, se presenta el análisis espacial de los cambios de las variables climáticas a nivel anual para la provincia El Seibo. Los cambios a nivel estacional (trimestral) se pueden consultar en el Anexo 8.

### Precipitación

Para esta variable, en el periodo de corto plazo 2021-2040 se presentarían cambios dentro del rango normal de variabilidad (del orden del 5%), con aumentos de esta magnitud bajo los escenarios RCP 2.6 y 6.0, y reducciones bajo los escenarios RCP 4.5 y 8.5, y dándose en este último escenario disminuciones del orden del 8% (Figura 1.1.7-1). Para el siguiente periodo (2041-2060), bajo el RCP 2.6 se mantiene el aumento de la precipitación del orden del 5% (solamente el sur de la provincia presentaría disminuciones de la misma magnitud), y en los demás escenarios la tendencia sería a la reducción de la precipitación entre un 4-9% (Figura 1.1.7-2). Para el periodo 2061-2080, en el RCP 2.6 se mantendrían los incrementos del 5% (y las disminuciones hacia el sur de la provincia del mismo porcentaje), y bajo los otros escenarios se darían reducciones de la precipitación, del orden del 11-15% bajo el RCP 4.5, entre 4-9% bajo el RCP 6.0 y del 19-23% bajo el RCP 8.5 (Figura 1.1.7-3). Por último, para finales de siglo bajo los 4 escenarios se presentarían reducciones de la precipitación, siendo las de menor magnitud bajo el RCP 2.6 (entre 6-8%) y las más altas bajo el RCP 8.5, con reducciones entre 23 y 28% (Figura 1.1.7-4).

### Temperatura Máxima

La temperatura máxima presentaría incrementos bajo los 4 RCP en todos los periodos analizados. En el periodo de corto plazo (2021-2040) la temperatura aumentaría entre 0.7 y 1.3°C, con aumentos de más de 1°C bajo el RCP 8.5 (Figura 1.1.7-5). Para 2041-2060, los aumentos serían de 1.1 a 1.4°C bajo los primeros 3 RCP (2.6, 4.5 y 6.0), y de 1.5 a 1.8°C bajo el RCP 8.5 (Figura 1.1.7-6). En el periodo 2061-2080 los aumentos serían de 0.7 a 2.4°C, manteniéndose el incremento de 1.1 a 1.4°C bajo el RCP 2.6, siendo de 1.4 a 1.8°C bajo los RCP 4.5 y 6.0 y de 2.6°C bajo el RCP 8.5 (Figura 1.1.7-7). Para finales de siglo, los aumentos serían de 0.7 a 1.2°C bajo el RCP 2.6, de 1.7 a 1.9°C bajo el RCP 4.5, de 2.1 a 2.4°C bajo el RCP 6.0 y de 3.2 a 3.8°C bajo el RCP 8.5 (Figura 1.1.7-8).

### Temperatura Mínima

En el primer periodo (2021-2040), ésta se incrementaría de 0.5 a 0.8°C en los 4 escenarios RCP (Figura 1.1.7-9). Para 2041-2060 aumentaría de 0.7 a 0.9°C en los 3 primeros escenarios (aunque bajo el RCP 4.5 habría incrementos de 1.1°C hacia el nororiente de la provincia), y bajo el RCP 8.5 habría aumentos de 1.3°C (Figura 1.1.7-



10). En el periodo 2061-2080 la temperatura mínima se incrementaría entre 0.6 y 0.8°C bajo el RCP 2.6, entre 1.1 y 1.4°C bajo los RCP 4.5 y 6.0 y entre 1.7 y 2.2°C bajo el RCP 8.5, dándose los mayores aumentos hacia el nororiente de la provincia (Figura 1.1.7-11). Por último, para finales de siglo se mantendría un aumento de 0.8°C en el RCP 2.6, entre 1.1 y 1.4°C bajo el RCP 4.5, entre 1.4 y 1.8°C bajo el RCP 6.0 y de 2.2 a 2.6°C bajo el RCP 8.5 (Figura 1.1.7-12).

#### ***Temperatura Media***

La temperatura media se incrementaría entre 0.6 y 0.8°C en el periodo 2021-2040 bajo los 4 escenarios RCP (Figura 1.1.7-13). En el periodo 2041-2060 se mantendría este mismo rango bajo el RCP 2.6, y en los otros 3 escenarios aumentaría de 1.1 a 1.4°C (Figura 1.1.7-14). Para 2061-2080 la temperatura media aumentaría de 0.7 a 0.8°C bajo el RCP 2.6, de 1.3 a 1.5°C bajo los RCP 4.5 y 6.0 y de 1.7 a 1.9°C bajo el RCP 8.5 (Figura 1.1.7-15). Finalmente, para el periodo 2081-2100 la temperatura subiría entre 0.6 y 0.8°C bajo el RCP 2.6, entre 1.2 y 1.7°C bajo el RCP 4.5, de 1.6 a 1.9°C bajo el RCP 6.0 y de 2.4 a 2.8°C bajo el RCP 8.5 (Figura 1.1.7-16).

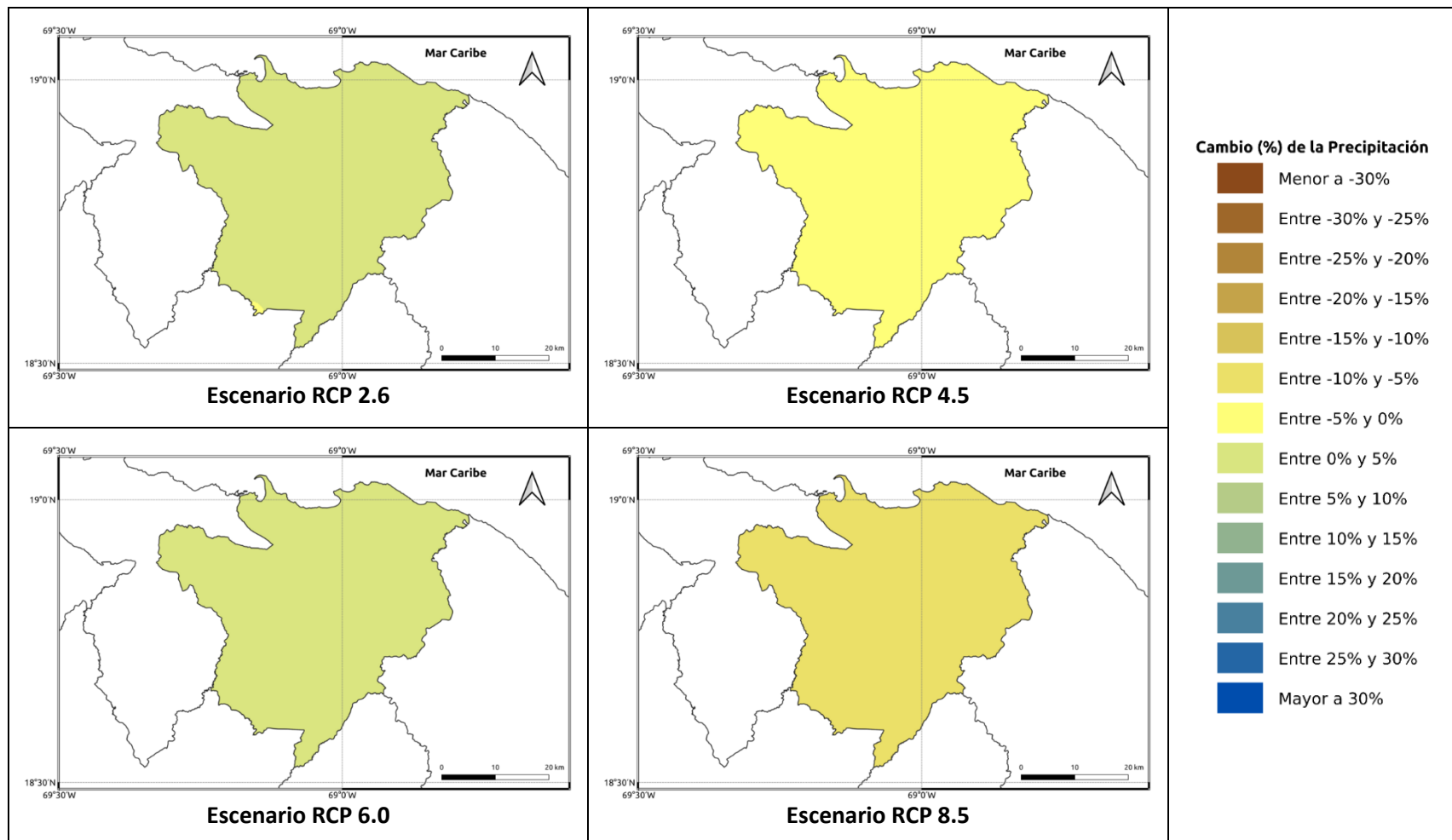


Figura 1.1.7-1. Cambios porcentuales de la precipitación (%) proyectados por el ensamble multimodelo bajo los 4 escenarios RCP en el periodo 2021-2040 para la provincia El Seibo.

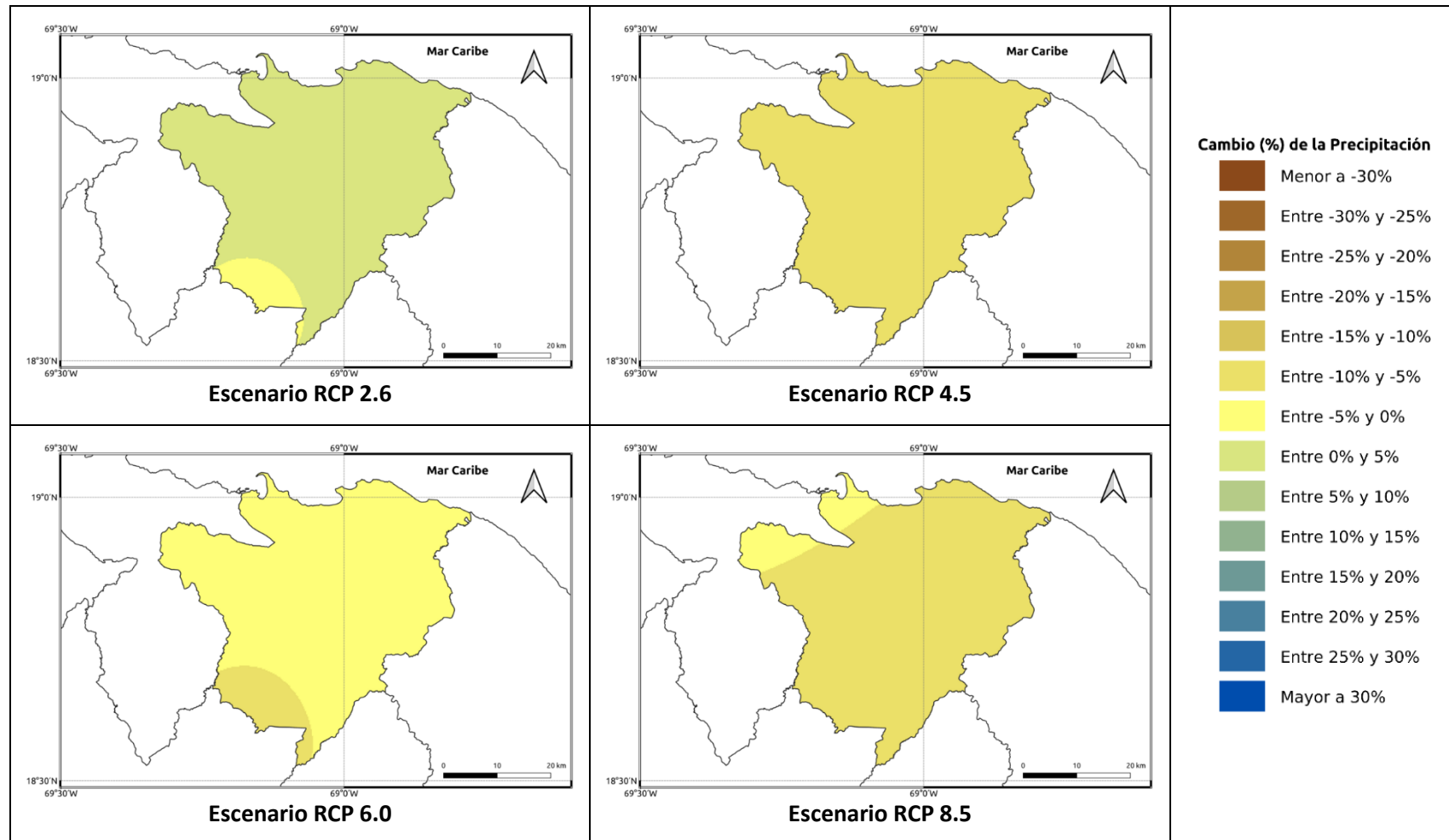
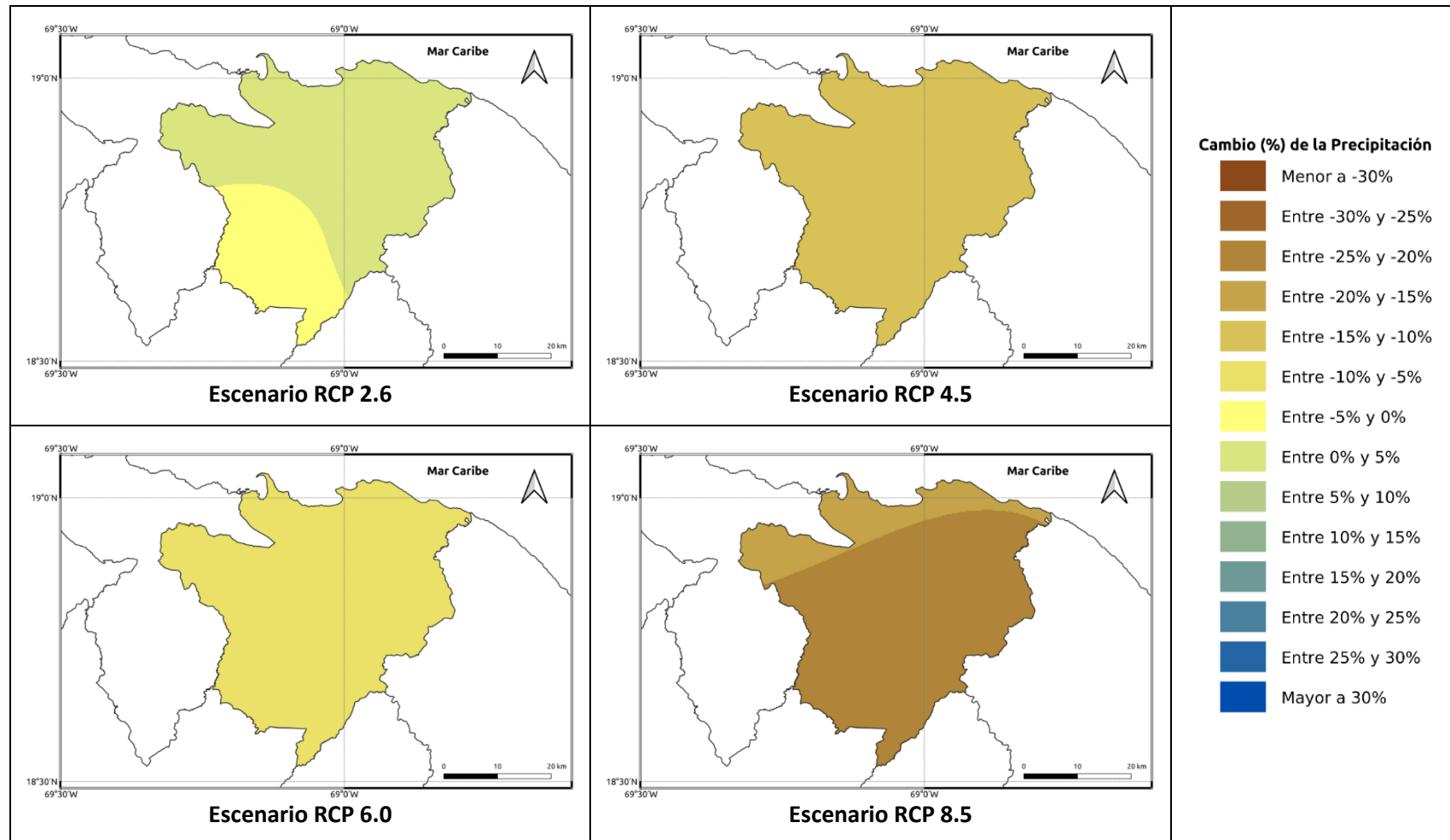
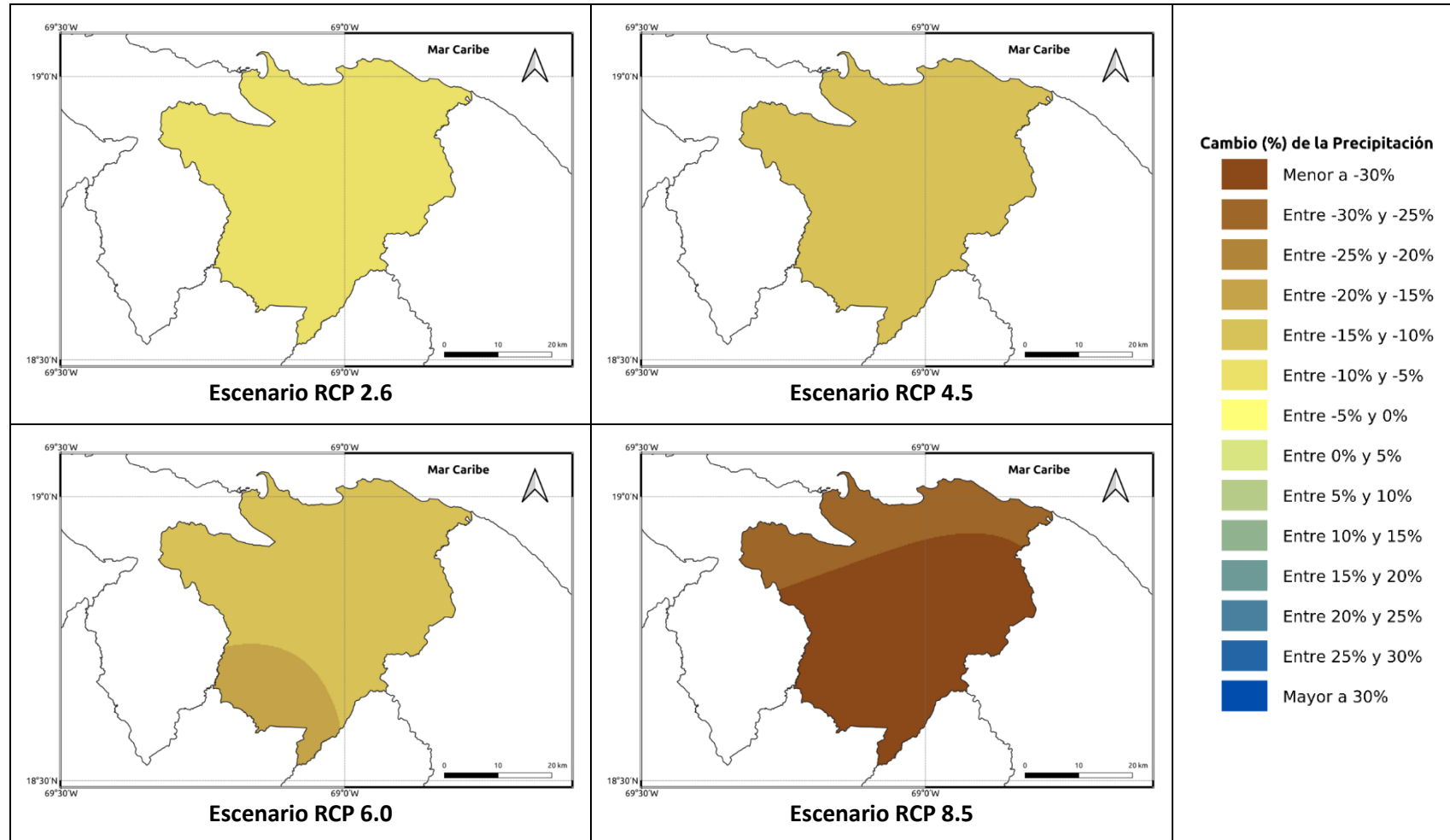


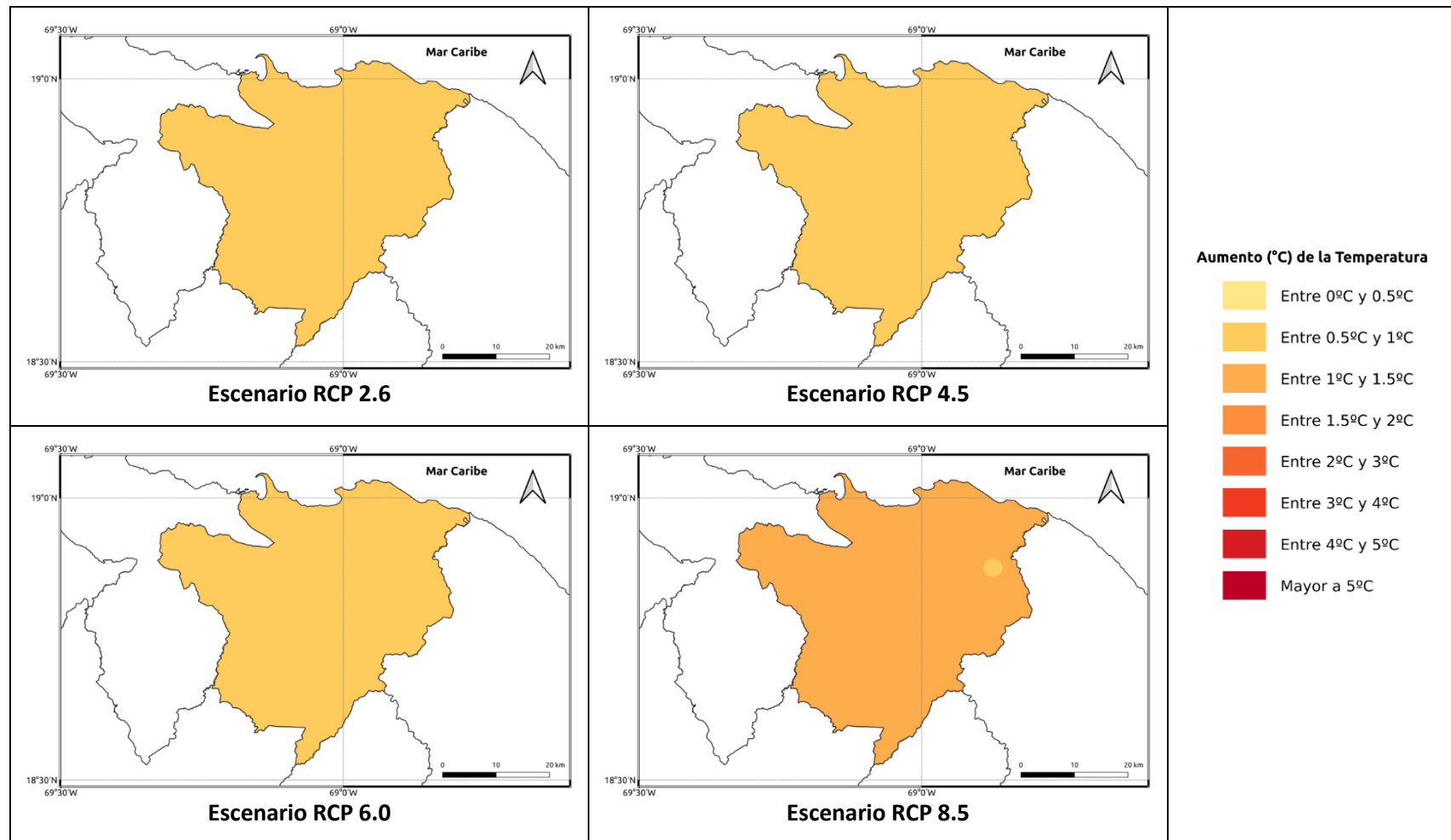
Figura 1.1.7-2. Cambios porcentuales de la precipitación (%) proyectados por el ensamble multimodelo bajo los 4 escenarios RCP en el periodo 2041-2060 para la provincia El Seibo.



**Figura 1.1.7-3. Cambios porcentuales de la precipitación (%) proyectados por el ensamble multimodelo bajo los 4 escenarios RCP en el periodo 2061-2080 para la provincia El Seibo.**



**Figura 1.1.7-4. Cambios porcentuales de la precipitación (%) proyectados por el ensamble multimodelo bajo los 4 escenarios RCP en el periodo 2081-2100 para la provincia El Seibo.**



**Figura 1.1.7-5. Cambios proyectados en la temperatura máxima (°C) por el ensamble multimodelo bajo los 4 escenarios RCP en el periodo 2021-2040 para la provincia El Seibo.**

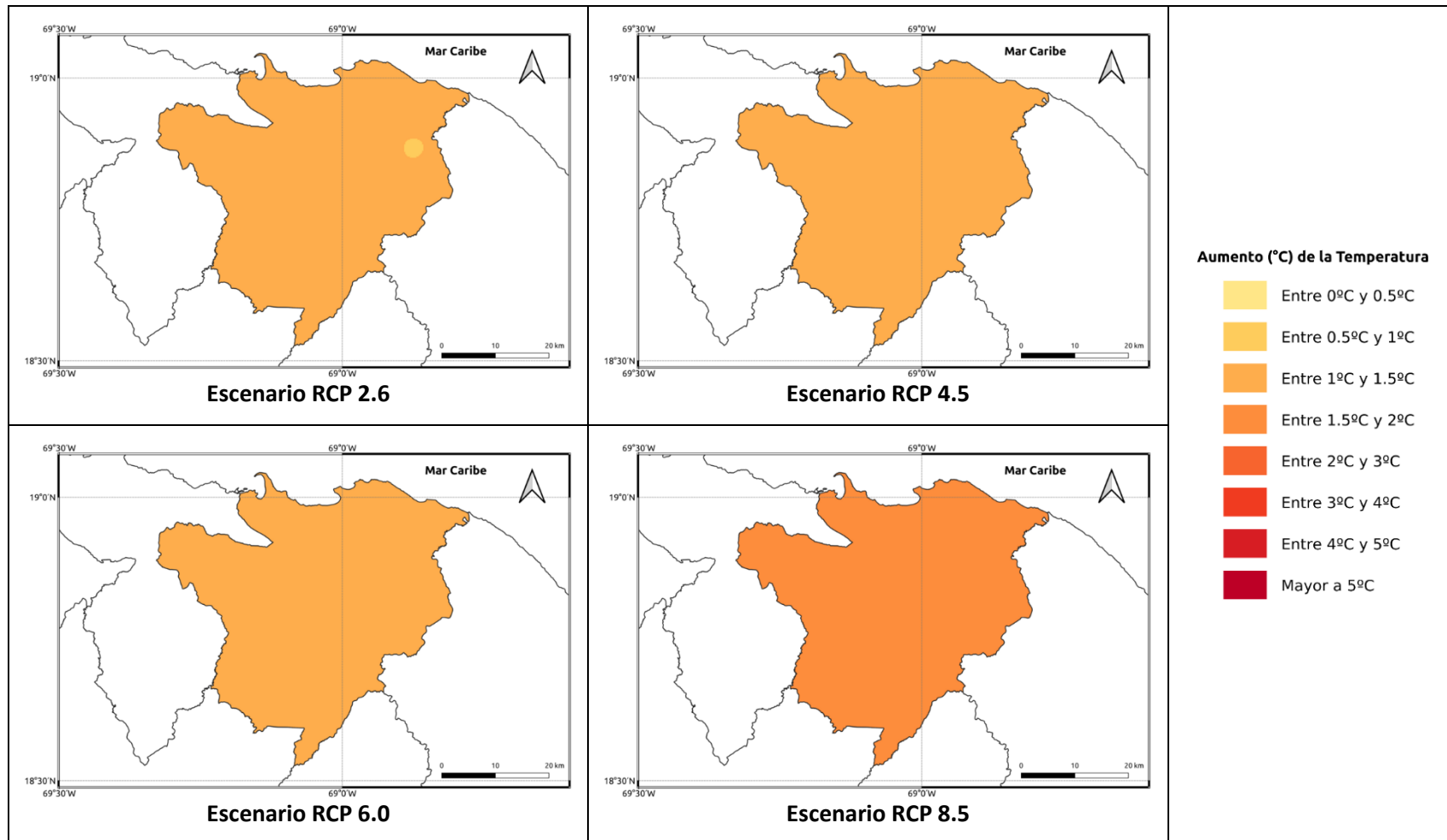


Figura 1.1.7-6. Cambios proyectados en la temperatura máxima (°C) por el ensamble multimodelo bajo los 4 escenarios RCP en el periodo 2041-2060 para la provincia El Seibo.

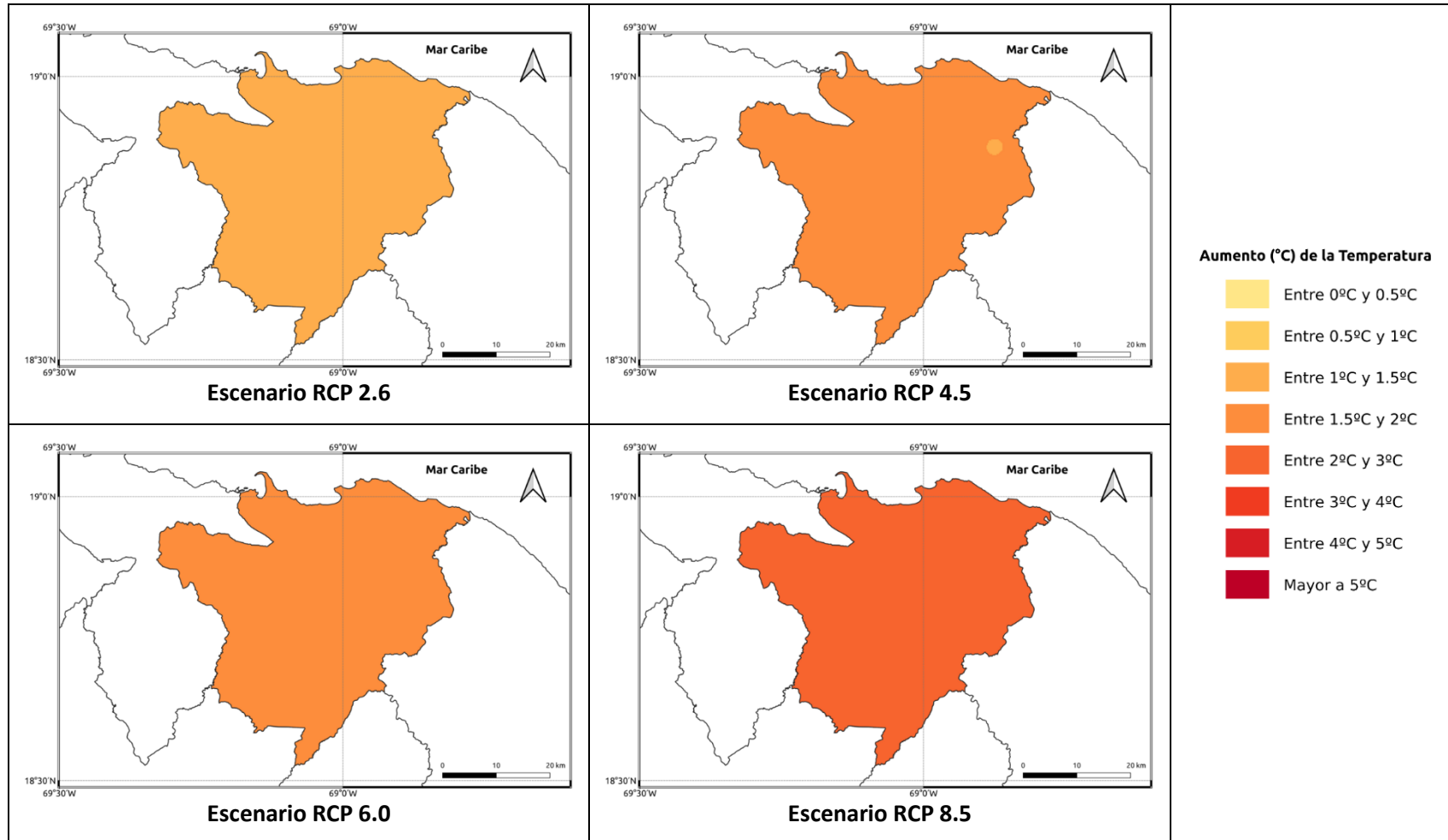


Figura 1.1.7-7. Cambios proyectados en la temperatura máxima (°C) por el ensamble multimodelo bajo los 4 escenarios RCP en el periodo 2061-2080 para la provincia El Seibo.

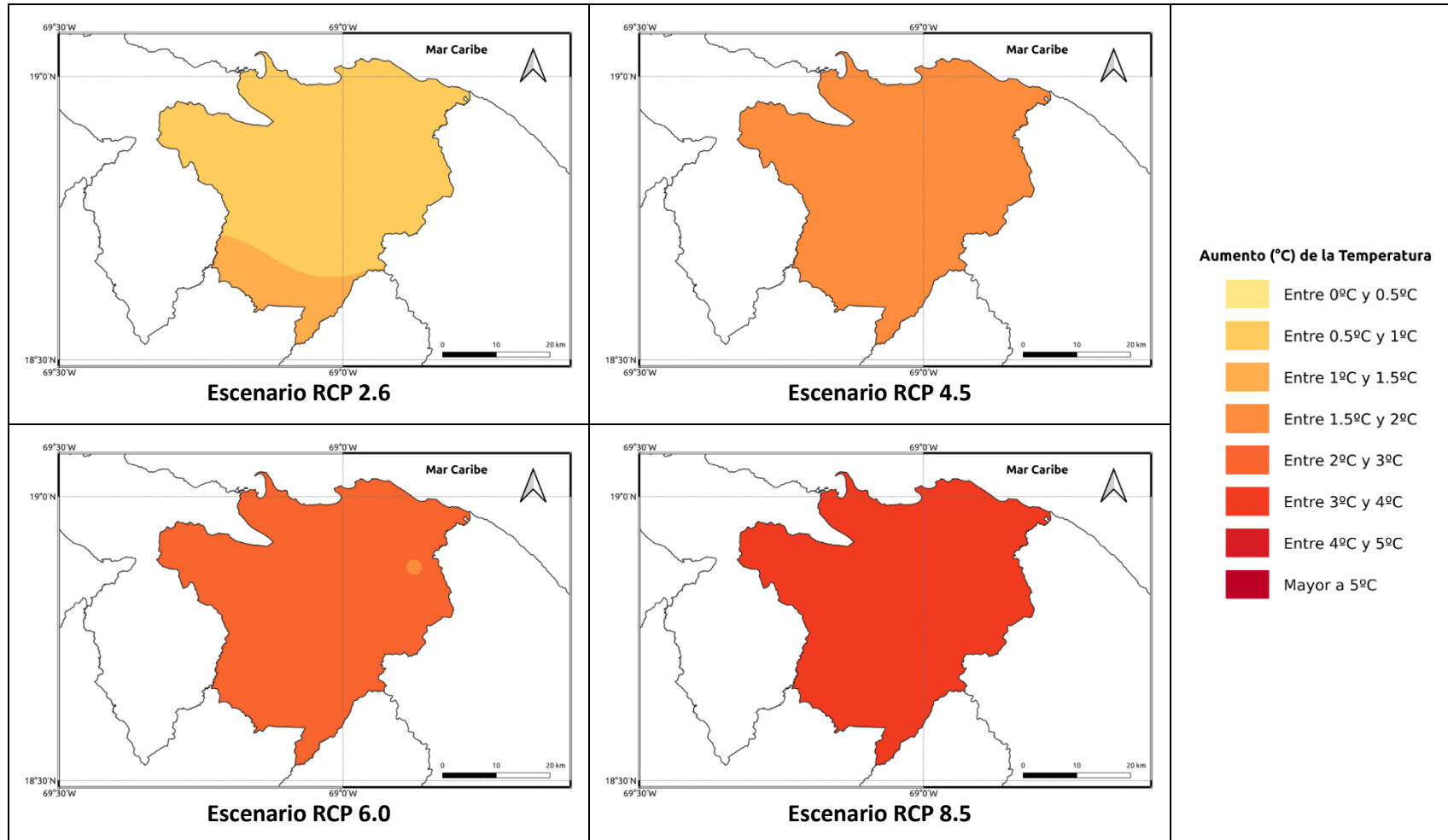


Figura 1.1.7-8. Cambios proyectados en la temperatura máxima (°C) por el ensamble multimodelo bajo los 4 escenarios RCP en el periodo 2081-2100 para la provincia El Seibo.

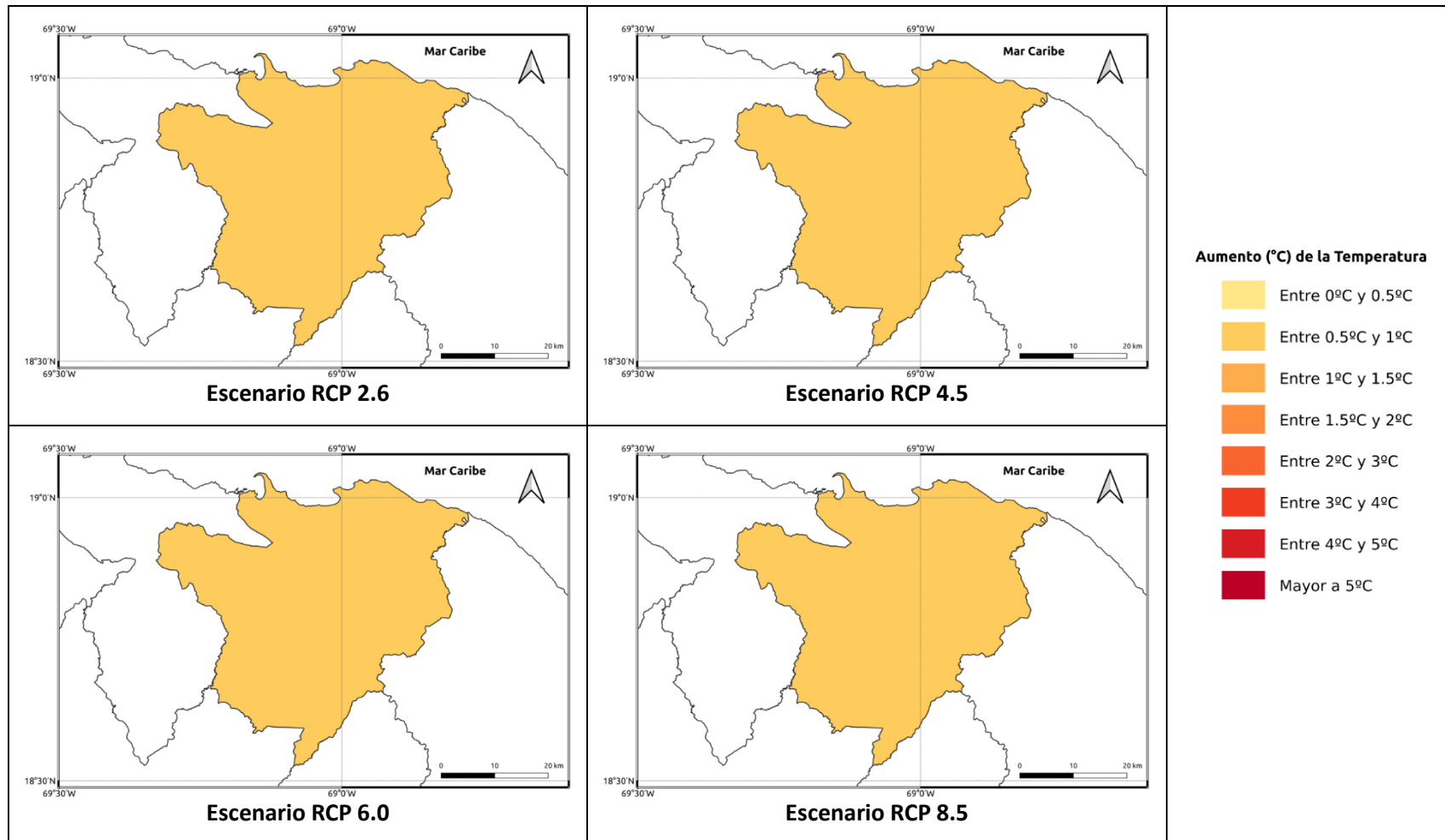


Figura 1.1.7-9. Cambios proyectados en la temperatura mínima (°C) por el ensamble multimodelo bajo los 4 escenarios RCP en el periodo 2021-2040 para la provincia El Seibo.

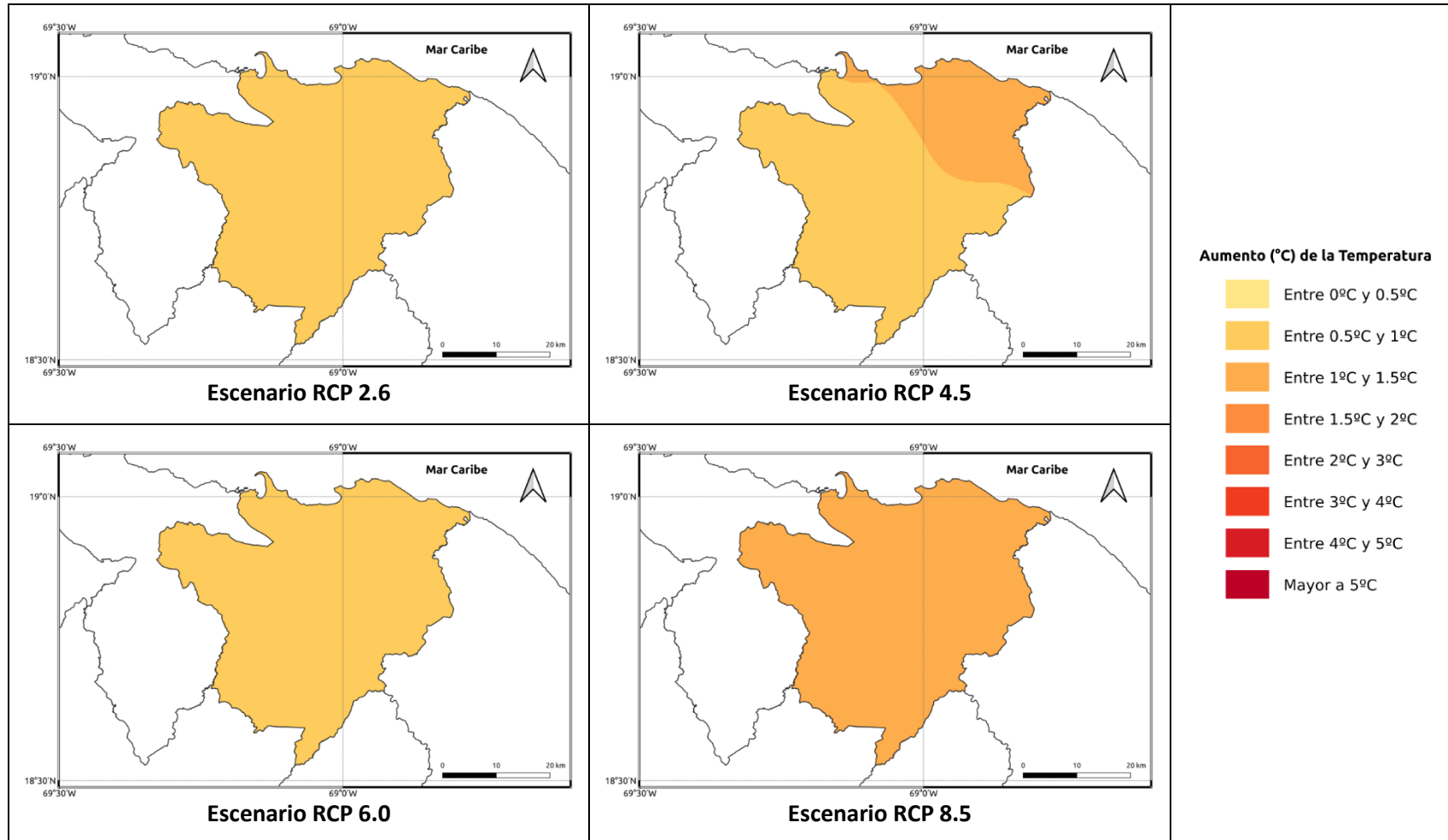


Figura 1.1.7-10. Cambios proyectados en la temperatura mínima (°C) por el ensamble multimodelo bajo los 4 escenarios RCP en el periodo 2041-2060 para la provincia El Seibo.

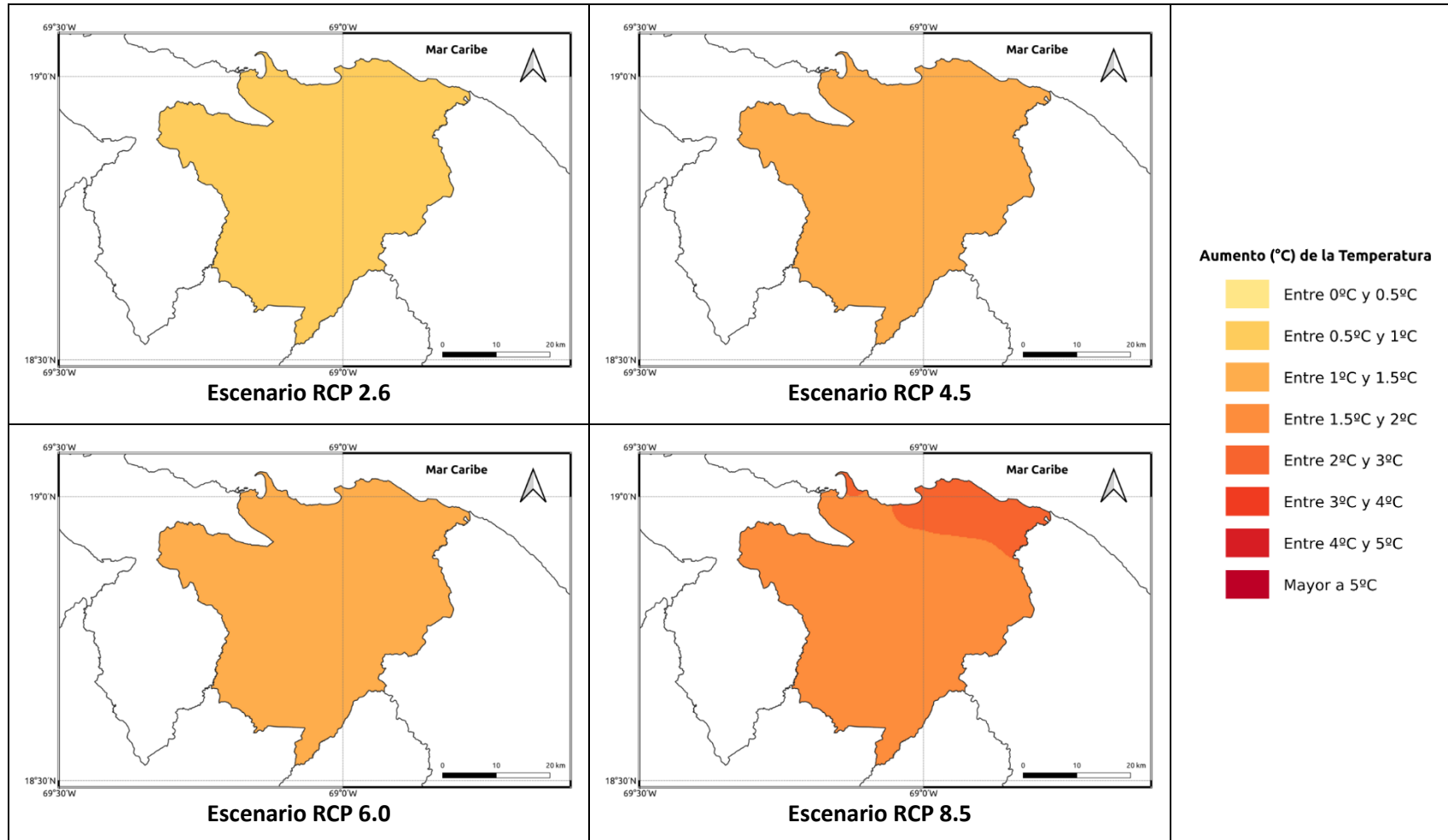
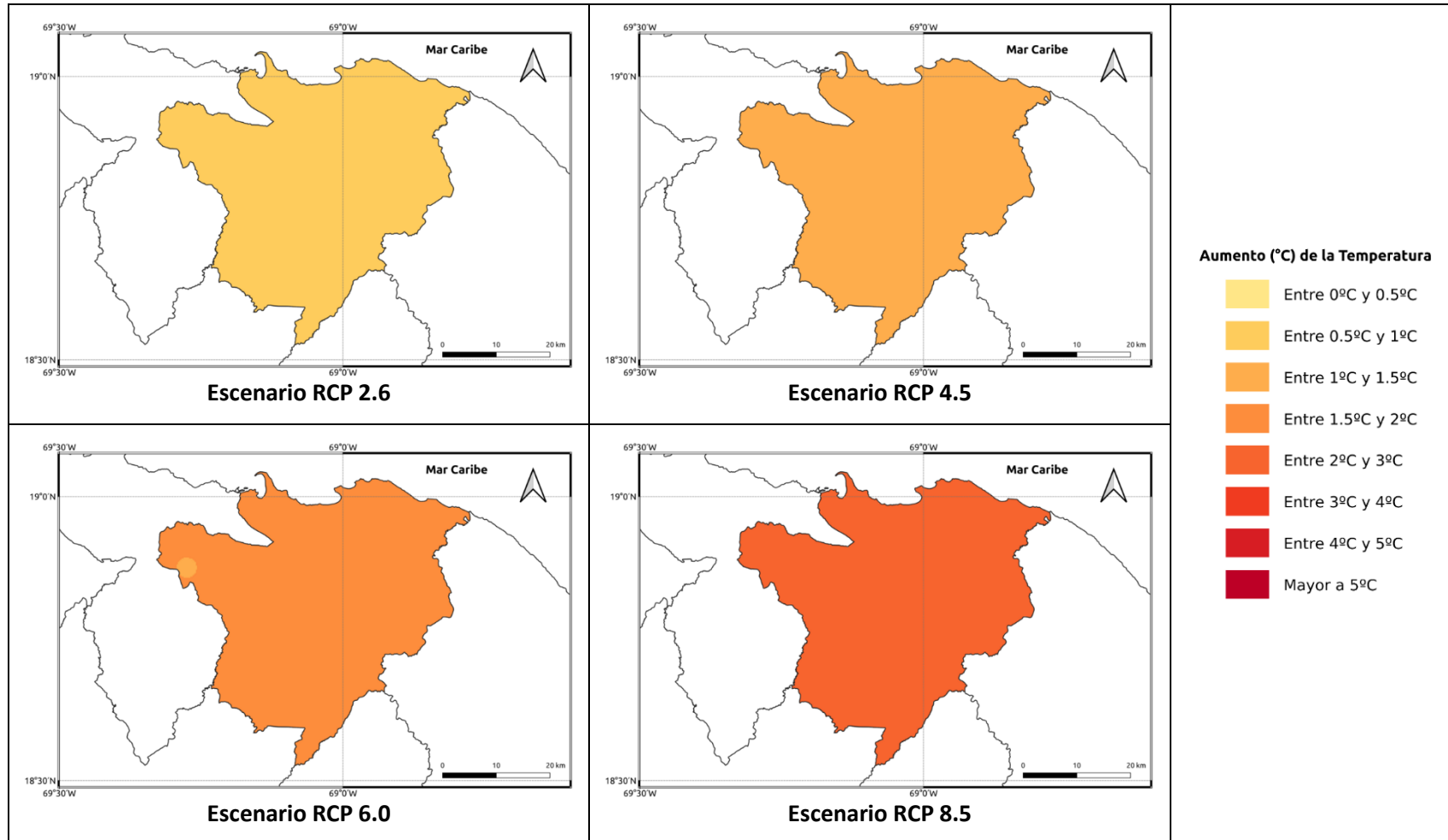


Figura 1.1.7-11. Cambios proyectados en la temperatura mínima (°C) por el ensamble multimodelo bajo los 4 escenarios RCP en el periodo 2061-2080 para la provincia El Seibo.



**Figura 1.1.7-12. Cambios proyectados en la temperatura mínima (°C) por el ensamble multimodelo bajo los 4 escenarios RCP en el periodo 2081-2100 para la provincia El Seibo.**

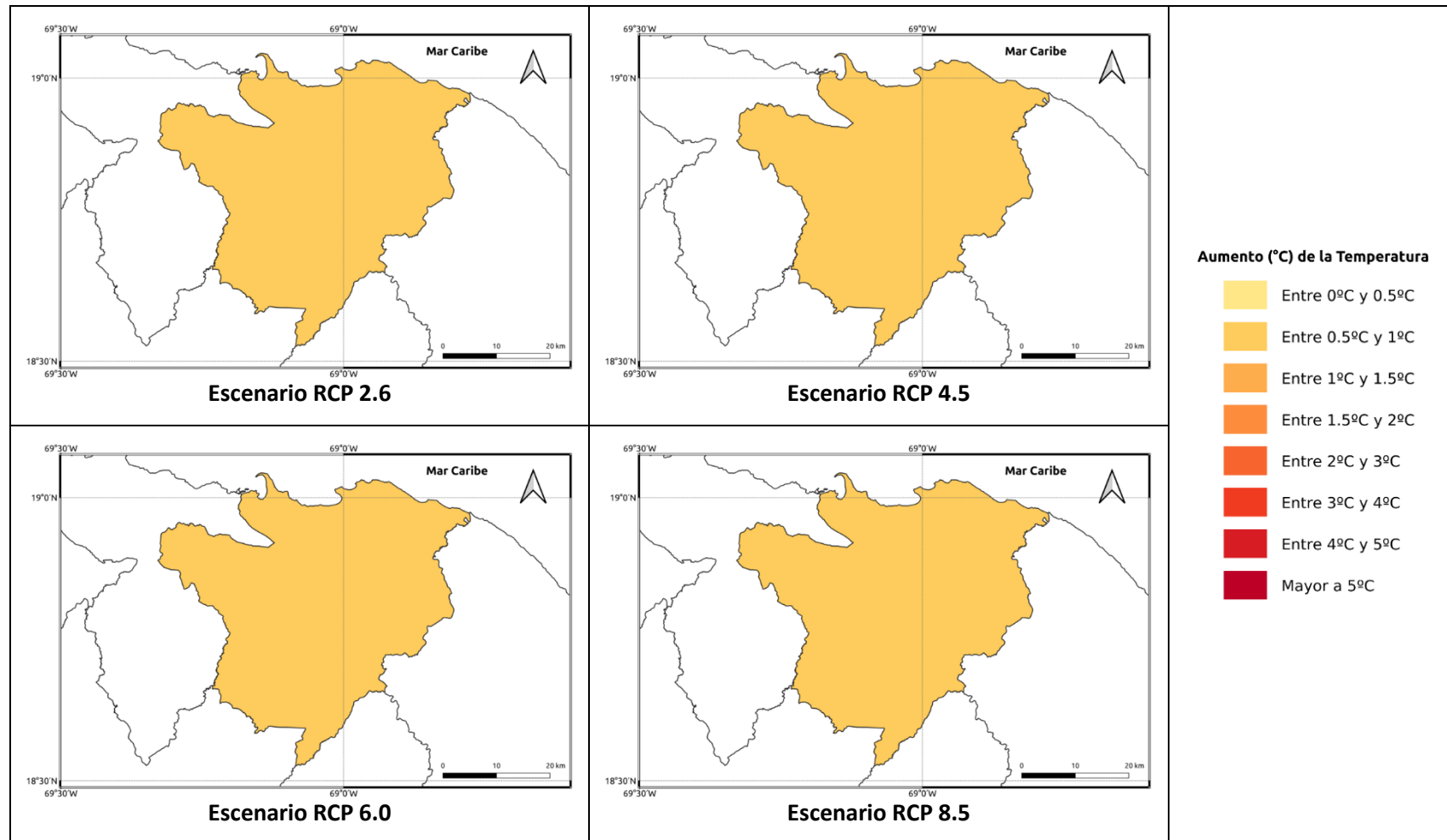
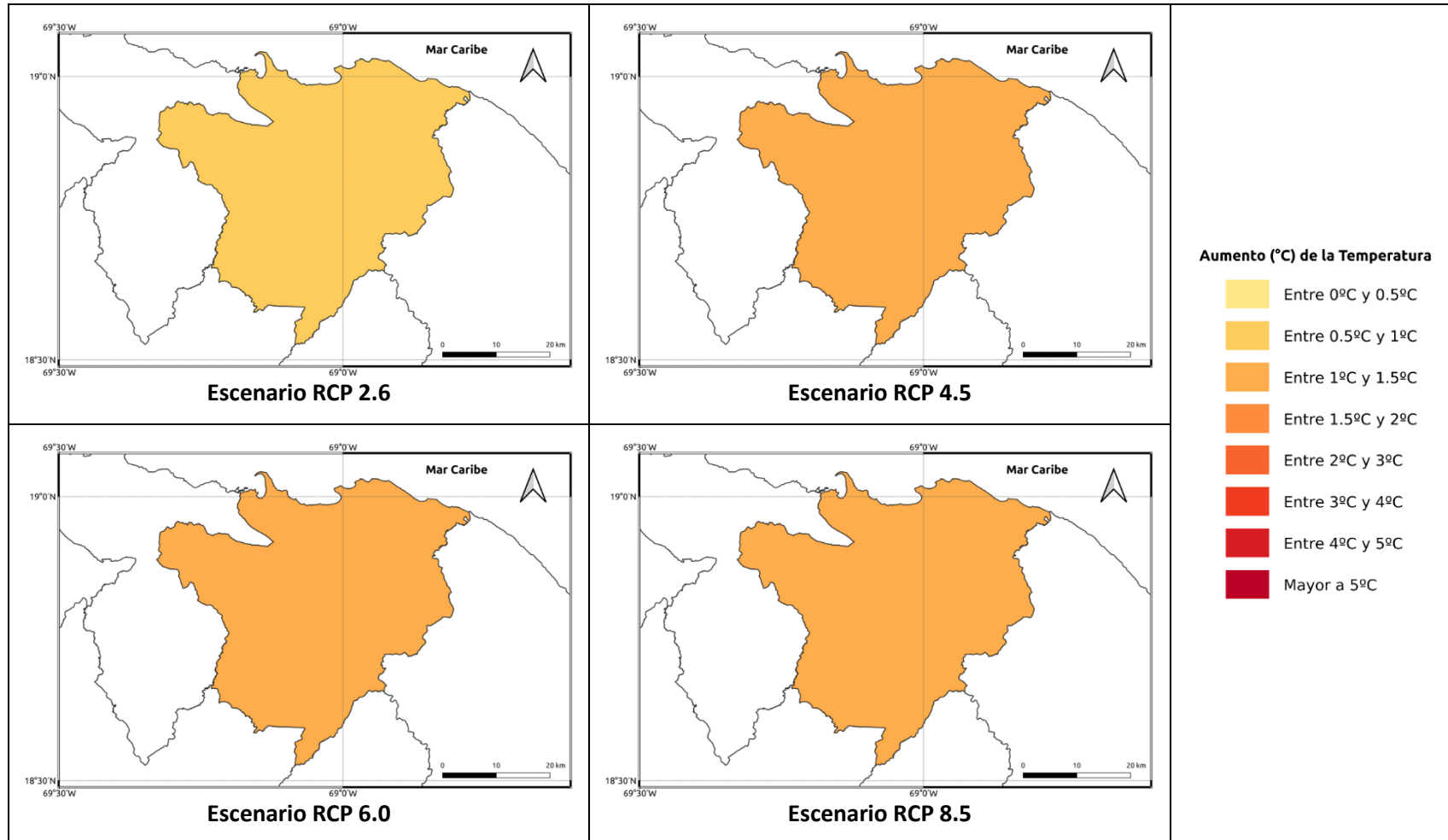
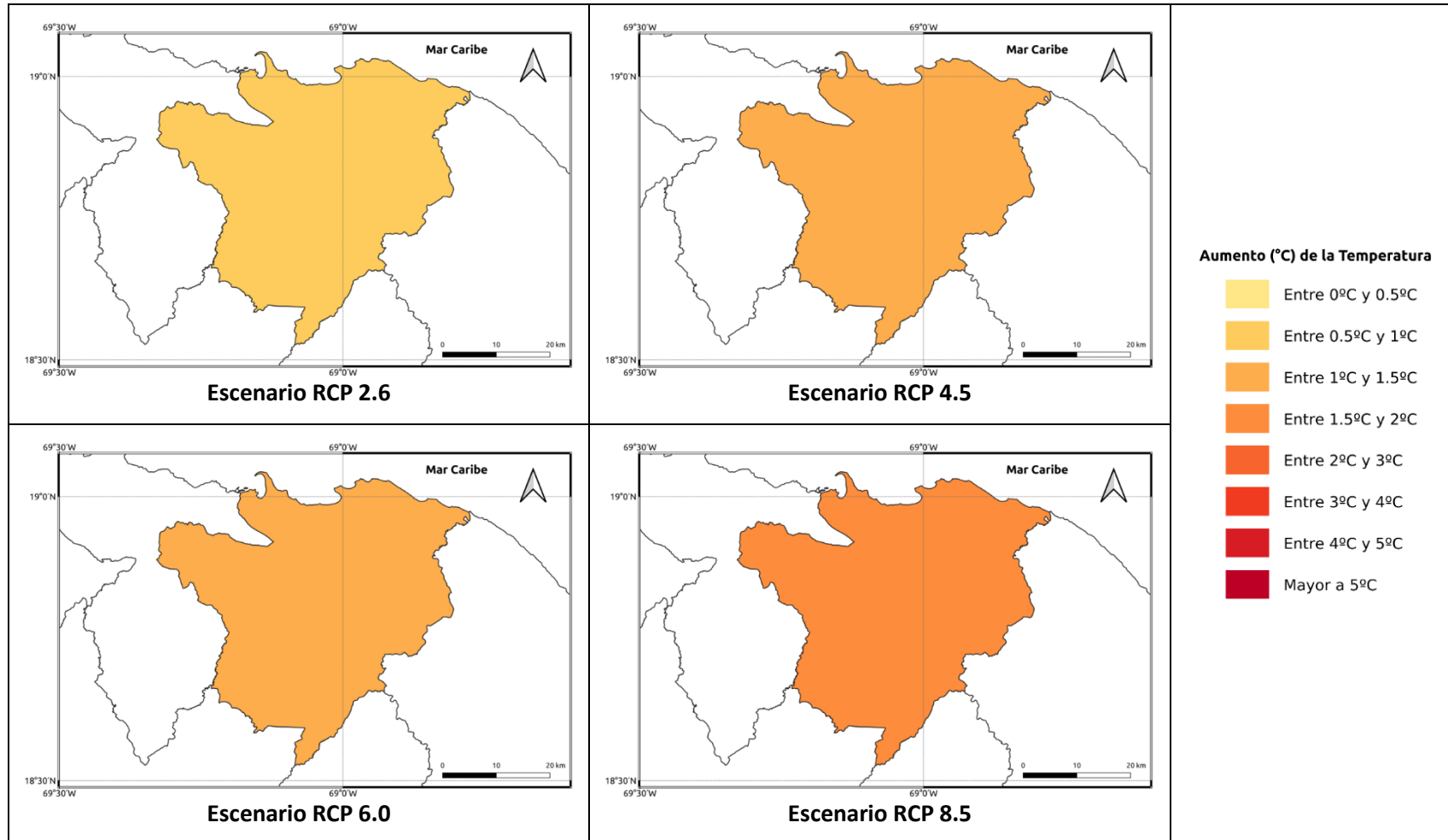


Figura 1.1.7-13. Cambios proyectados en la temperatura media (°C) por el ensamble multimodelo bajo los 4 escenarios RCP en el periodo 2021-2040 para la provincia El Seibo.



**Figura 1.1.7-14. Cambios proyectados en la temperatura media (°C) por el ensamble multimodelo bajo los 4 escenarios RCP en el periodo 2041-2060 para la provincia El Seibo.**



**Figura 1.1.7-15. Cambios proyectados en la temperatura media (°C) por el ensamble multimodelo bajo los 4 escenarios RCP en el periodo 2061-2080 para la provincia El Seibo.**

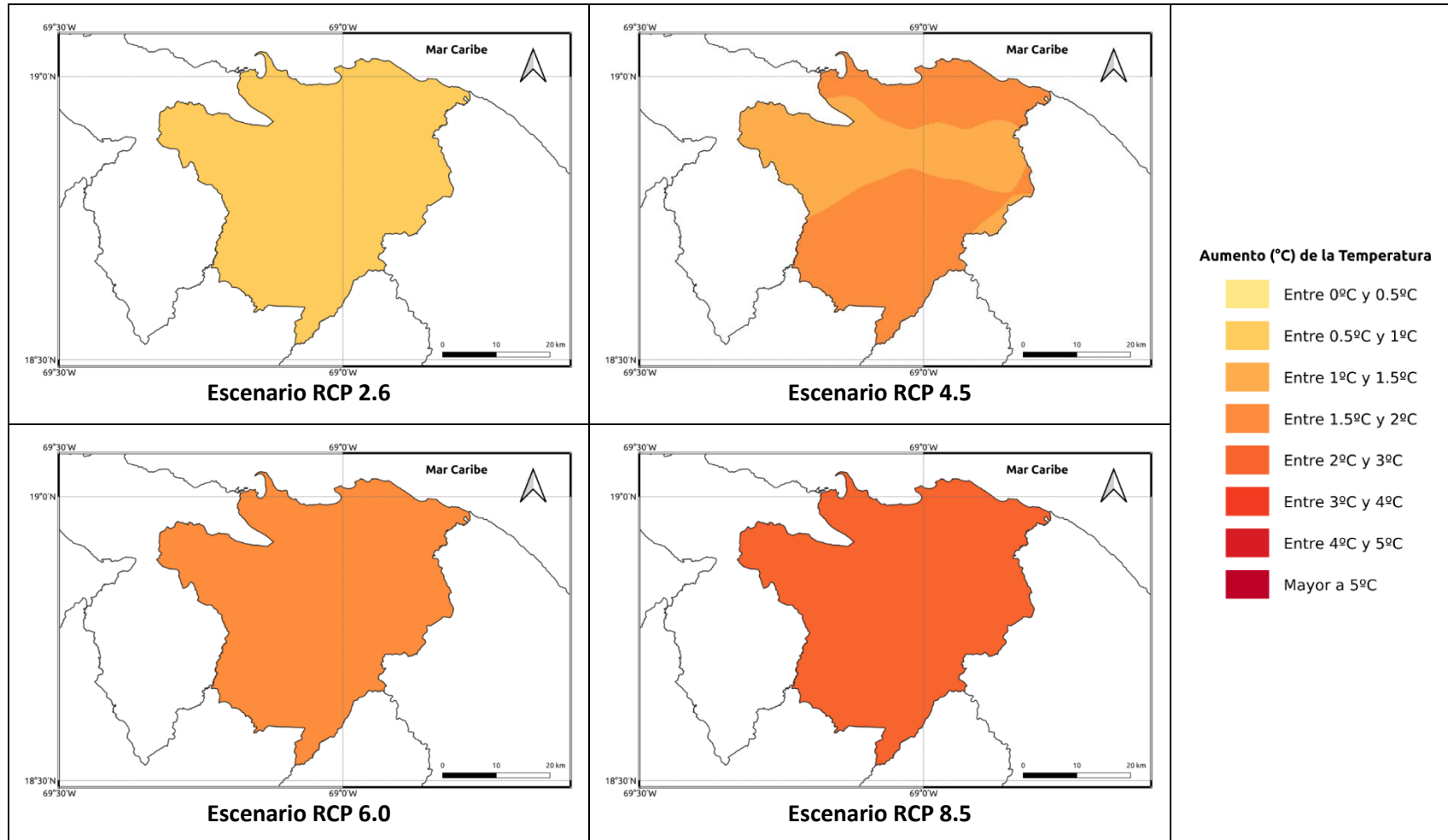


Figura 1.1.7-16. Cambios proyectados en la temperatura media (°C) por el ensamble multimodelo bajo los 4 escenarios RCP en el periodo 2081-2100 para la provincia El Seibo.

## **1.1.8 PROVINCIA ELÍAS PIÑA**

A continuación, se presenta el análisis espacial de los cambios de las variables climáticas a nivel anual para la provincia Elías Piña. Los cambios a nivel estacional (trimestral) se pueden consultar en el Anexo 9.

### **Precipitación**

Para esta variable, en el periodo de corto plazo 2021-2040 se esperarían cambios dentro del rango normal de variabilidad (del orden del 5-8%), con aumentos de esta magnitud bajo los escenarios RCP 2.6 y 6.0, y reducciones bajo los escenarios RCP 4.5 y 8.5, dándose en este último escenario disminuciones del orden del 8% (Figura 1.1.8-1). Para el siguiente periodo (2041-2060), bajo el RCP 2.6 se mantiene el aumento de la precipitación del orden del 5-7%, y en los demás escenarios la tendencia sería a la reducción de la precipitación entre un 4-9% (Figura 1.1.8-2). Para el periodo 2061-2080, en el RCP 2.6 se mantendrían los incrementos del 5%, y bajo los otros escenarios se darían reducciones de la precipitación, del orden del 11-15% bajo el RCP 4.5, entre 4-9% bajo el RCP 6.0 y del 19-23% bajo el RCP 8.5 (Figura 1.1.8-3). Por último, para finales de siglo bajo los 4 escenarios se presentarían reducciones de la precipitación, siendo las de menor magnitud bajo el RCP 2.6 (entre 4-8%) y las más altas bajo el RCP 8.5, con reducciones entre 23 y 32% (Figura 1.1.8-4).

### **Temperatura Máxima**

La temperatura máxima presentaría incrementos bajo los 4 RCP en todos los periodos analizados. En el periodo de corto plazo (2021-2040) la temperatura aumentaría entre 0.7 y 1.3°C, con aumentos de más de 1°C bajo el RCP 8.5 (Figura 1.1.8-5). Para 2041-2060, los aumentos serían de 0.7 a 1.4°C bajo los primeros 3 RCP (2.6, 4.5 y 6.0), y de 1.5 a 1.8°C bajo el RCP 8.5 (Figura 1.1.8-6). En el periodo 2061-2080 los aumentos serían de 0.7 a 2.6°C, manteniéndose el incremento de 0.7 a 1.4°C bajo el RCP 2.6, siendo de 1.4 a 1.8°C bajo los RCP 4.5 y 6.0 y de 2.6°C bajo el RCP 8.5 (Figura 1.1.8-7). Para finales de siglo, los aumentos serían de 0.7 a 1.2°C bajo el RCP 2.6, de 1.7 a 1.9°C bajo el RCP 4.5, de 1.8 a 2.4°C bajo el RCP 6.0 y de 3.2 a 3.8°C bajo el RCP 8.5 (Figura 1.1.8-8).

### **Temperatura Mínima**

En el primer periodo (2021-2040), ésta se incrementaría de 0.4 a 0.8°C en los 4 escenarios RCP (Figura 1.1.8-9). Para 2041-2060 aumentaría de 0.7 a 0.9°C en los 3 primeros escenarios, y bajo el RCP 8.5 habría aumentos de 1.3°C (Figura 1.1.8-10). En el periodo 2061-2080 la temperatura mínima se incrementaría entre 0.6 y 0.8°C bajo el RCP 2.6, entre 1.1 y 1.4°C bajo los RCP 4.5 y 6.0 (dándose los mayores aumentos hacia el centro de la provincia) y entre 1.7 y 2.2°C bajo el RCP 8.5 (Figura



1.1.8-11). Por último, para finales de siglo se mantendría un aumento de 0.8°C en el RCP 2.6, entre 1.1 y 1.4°C bajo los RCP 4.5 y 6.0 y de 1.8 a 2.6°C bajo el RCP 8.5 (Figura 1.1.8-12).

### ***Temperatura Media***

La temperatura media se incrementaría entre 0.6 y 0.8°C en el periodo 2021-2040 bajo los 4 escenarios RCP (Figura 1.1.8-13). En el periodo 2041-2060 se mantendría este mismo rango bajo el RCP 2.6, y en los otros 3 escenarios aumentaría de 0.9 a 1.4°C (Figura 1.1.8-14). Para 2061-2080 la temperatura media aumentaría de 0.7 a 0.8°C bajo el RCP 2.6, de 1.3 a 1.5°C bajo los RCP 4.5 y 6.0 y de 1.7 a 1.9°C bajo el RCP 8.5 (Figura 1.1.8-15). Finalmente, para el periodo 2081-2100 la temperatura subiría entre 0.6 y 0.8°C bajo el RCP 2.6, entre 1.2 y 1.7°C bajo el RCP 4.5, de 1.6 a 1.9°C bajo el RCP 6.0 y de 2.4 a 2.8°C bajo el RCP 8.5 (Figura 1.1.8-16).



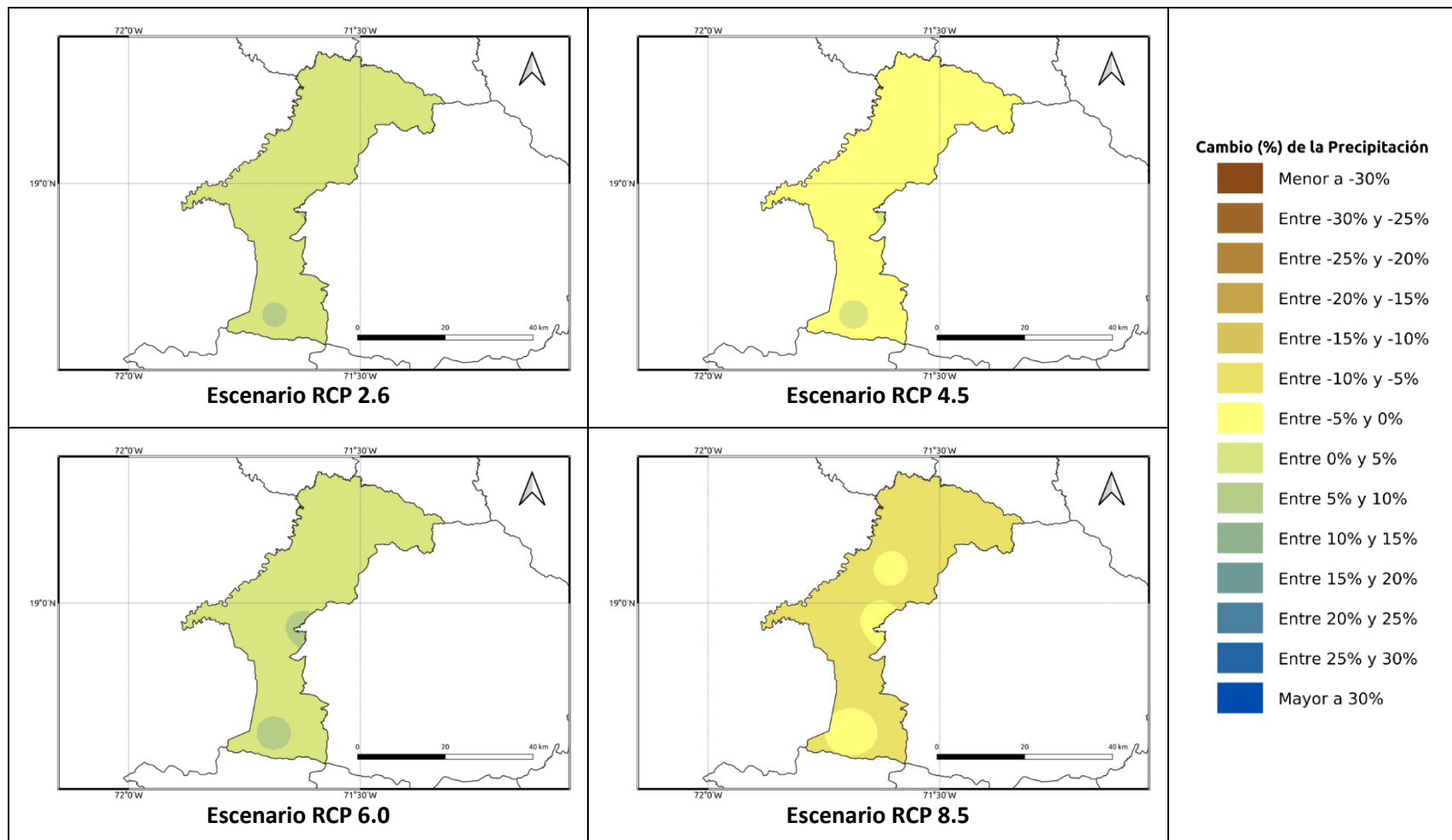


Figura 1.1.8-1. Cambios porcentuales de la precipitación (%) proyectados por el ensamble multimodelo bajo los 4 escenarios RCP en el periodo 2021-2040 para la provincia Elías Piña.

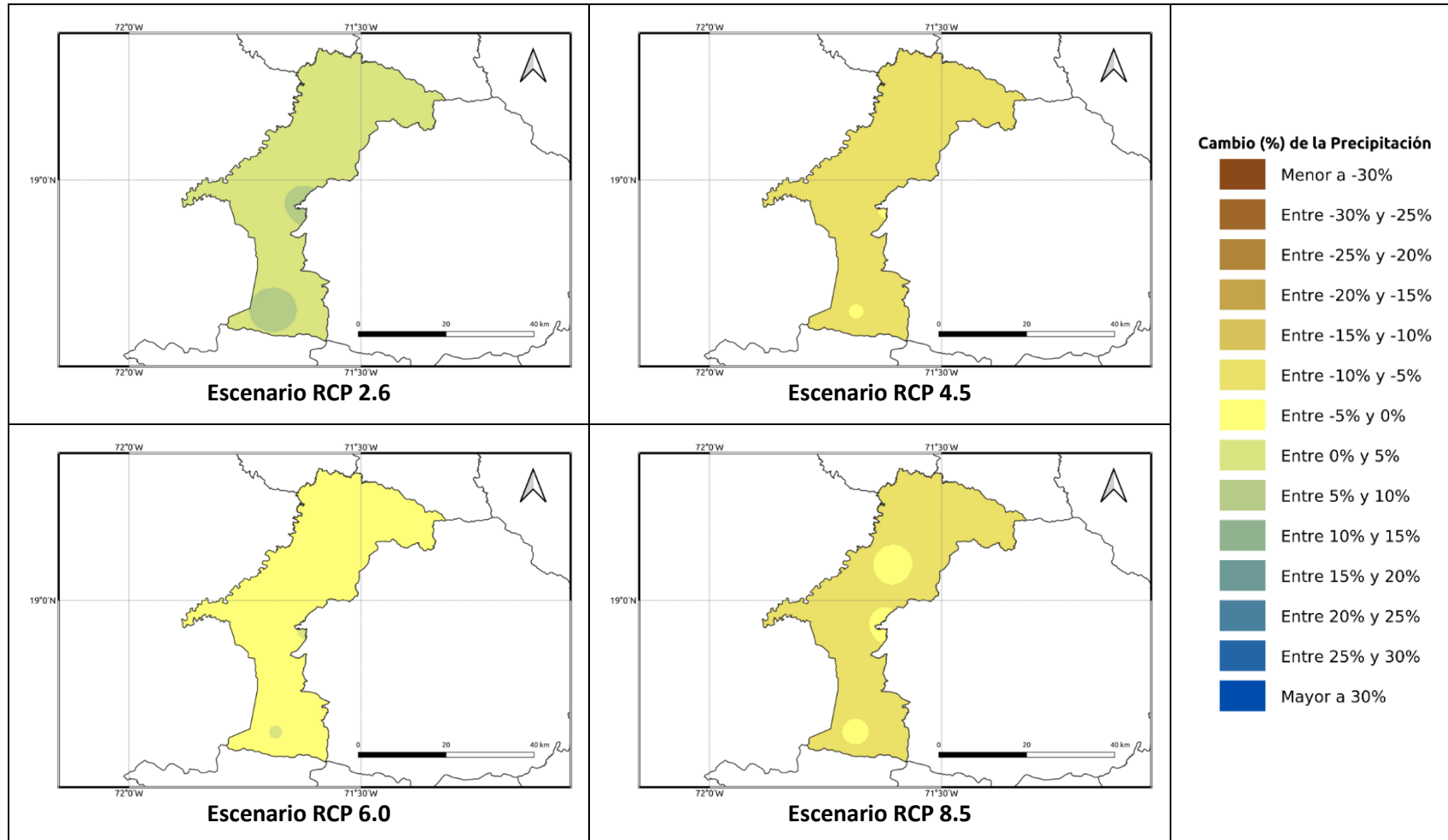


Figura 1.1.8-2. Cambios porcentuales de la precipitación (%) proyectados por el ensamble multimodelo bajo los 4 escenarios RCP en el periodo 2041-2060 para la provincia Elías Piña.

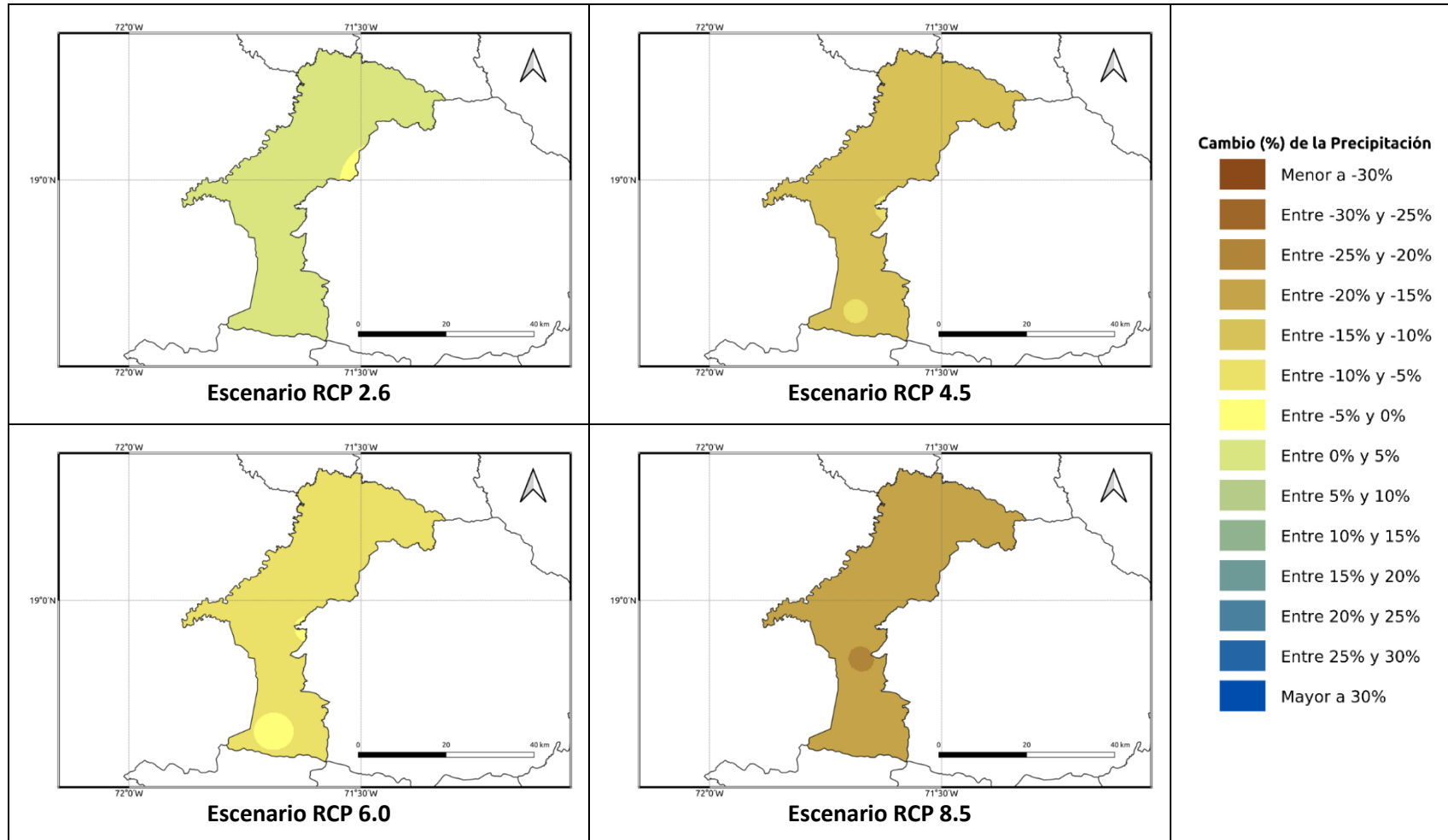


Figura 1.1.8-3. Cambios porcentuales de la precipitación (%) proyectados por el ensamble multimodelo bajo los 4 escenarios RCP en el periodo 2061-2080 para la provincia Elías Piña.

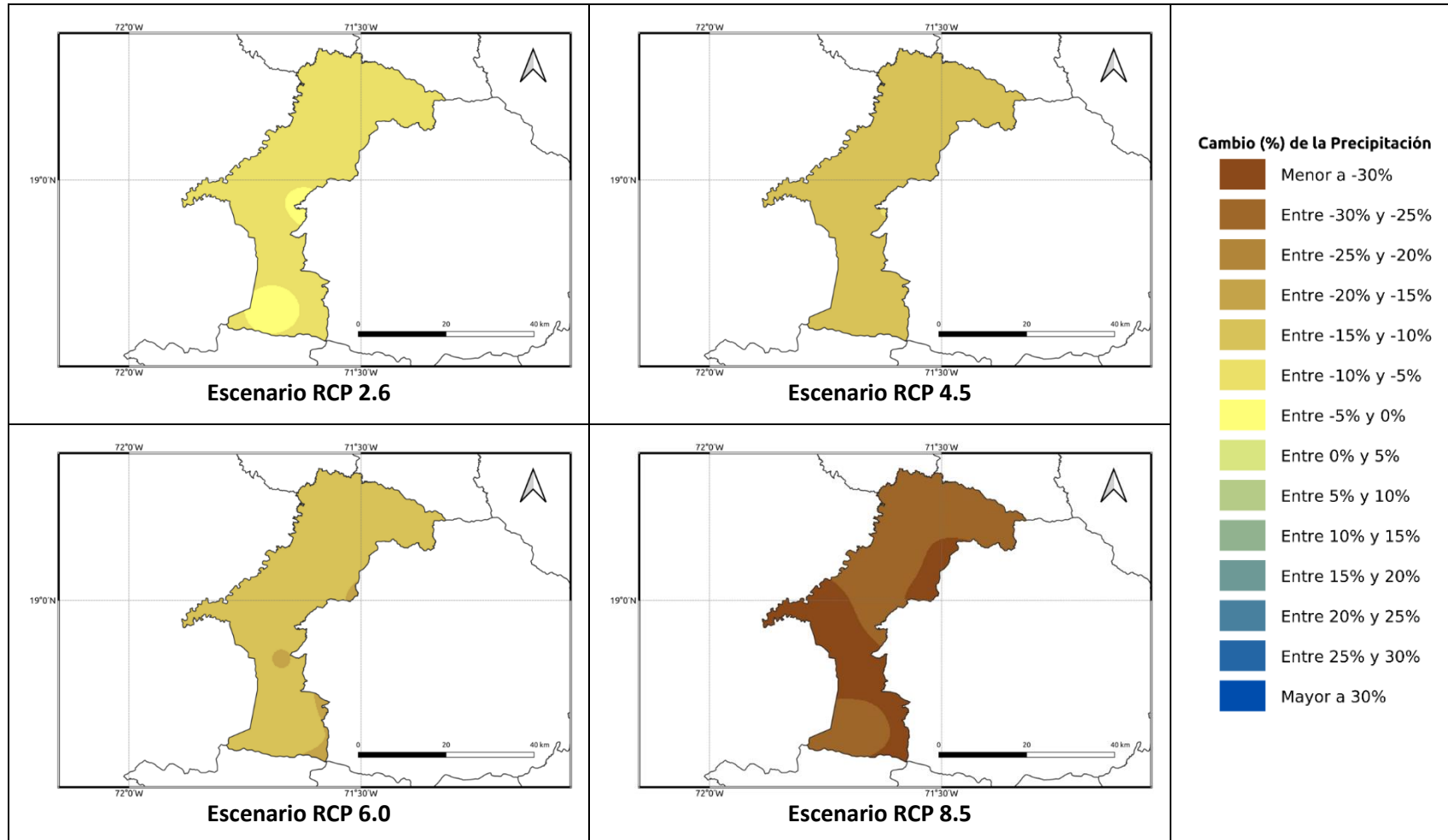


Figura 1.1.8-4. Cambios porcentuales de la precipitación (%) proyectados por el ensamble multimodelo bajo los 4 escenarios RCP en el periodo 2081-2100 para la provincia Elías Piña.

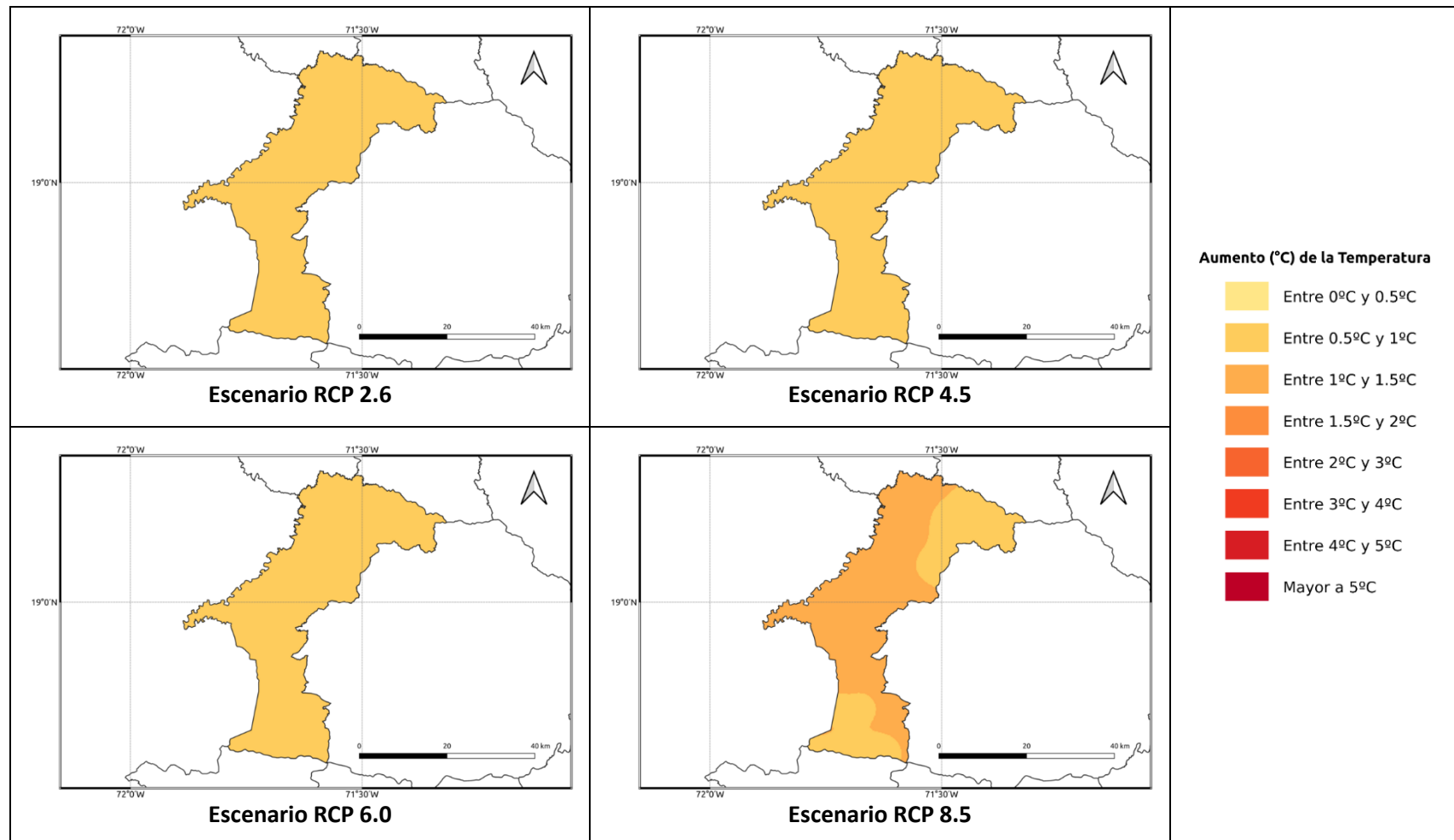


Figura 1.1.8-5. Cambios proyectados en la temperatura máxima ( $^{\circ}\text{C}$ ) por el ensamble multimodelo bajo los 4 escenarios RCP en el periodo 2021-2040 para la provincia Elías Piña.

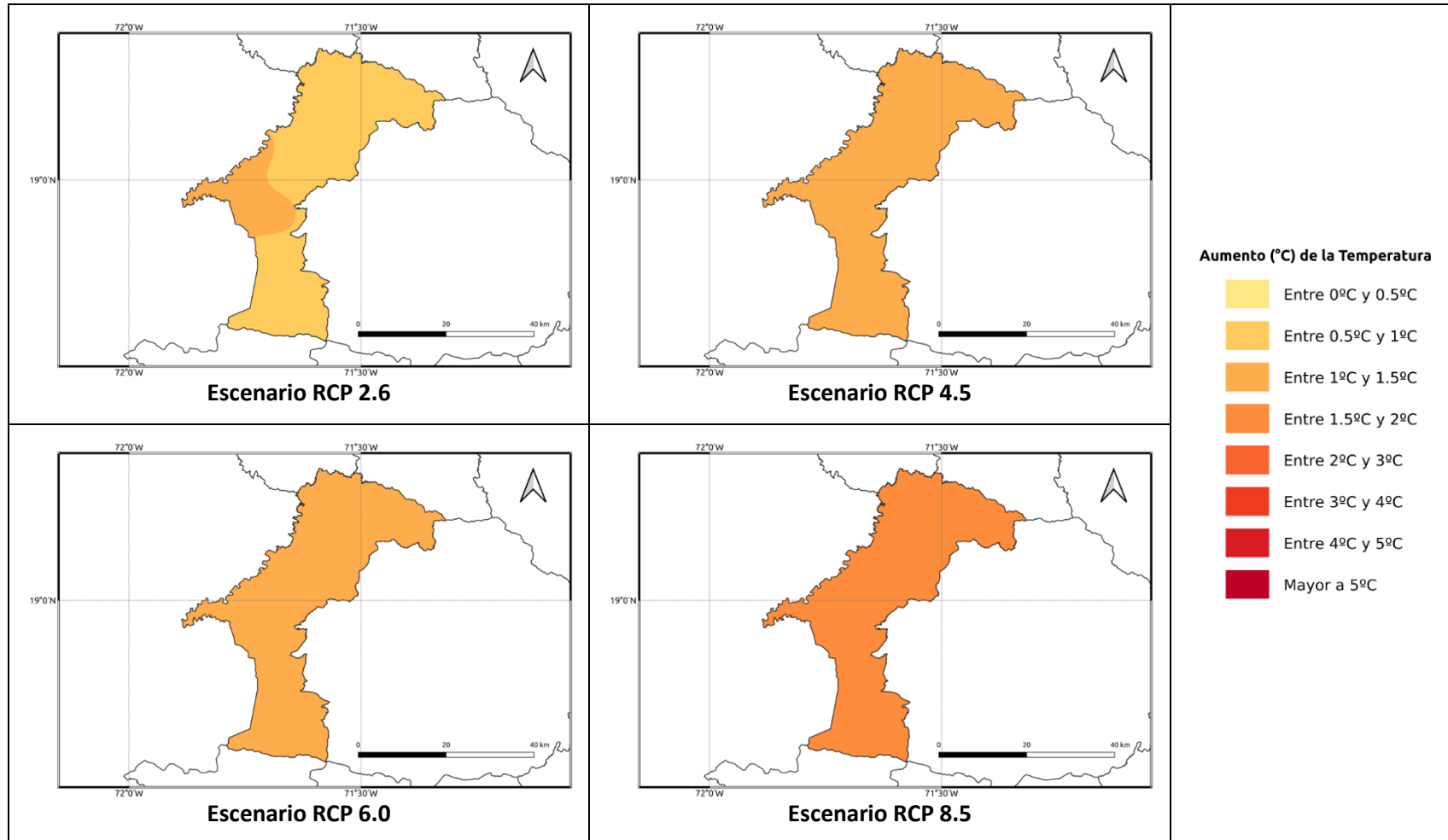


Figura 1.1.8-6. Cambios proyectados en la temperatura máxima (°C) por el ensamble multimodelo bajo los 4 escenarios RCP en el periodo 2041-2060 para la provincia Elías Piña.

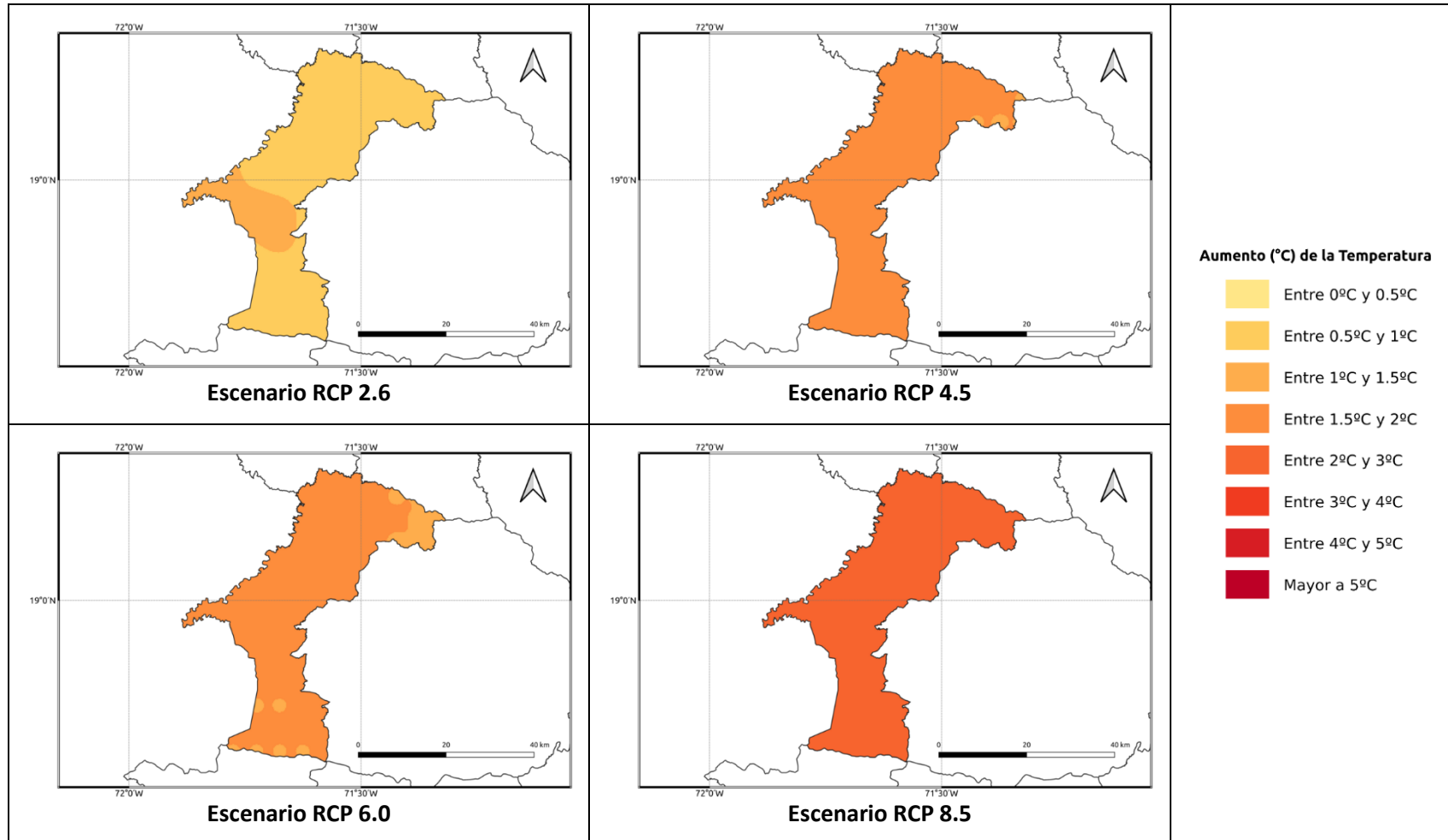


Figura 1.1.8-7. Cambios proyectados en la temperatura máxima (°C) por el ensamble multimodelo bajo los 4 escenarios RCP en el periodo 2061-2080 para la provincia Elías Piña.

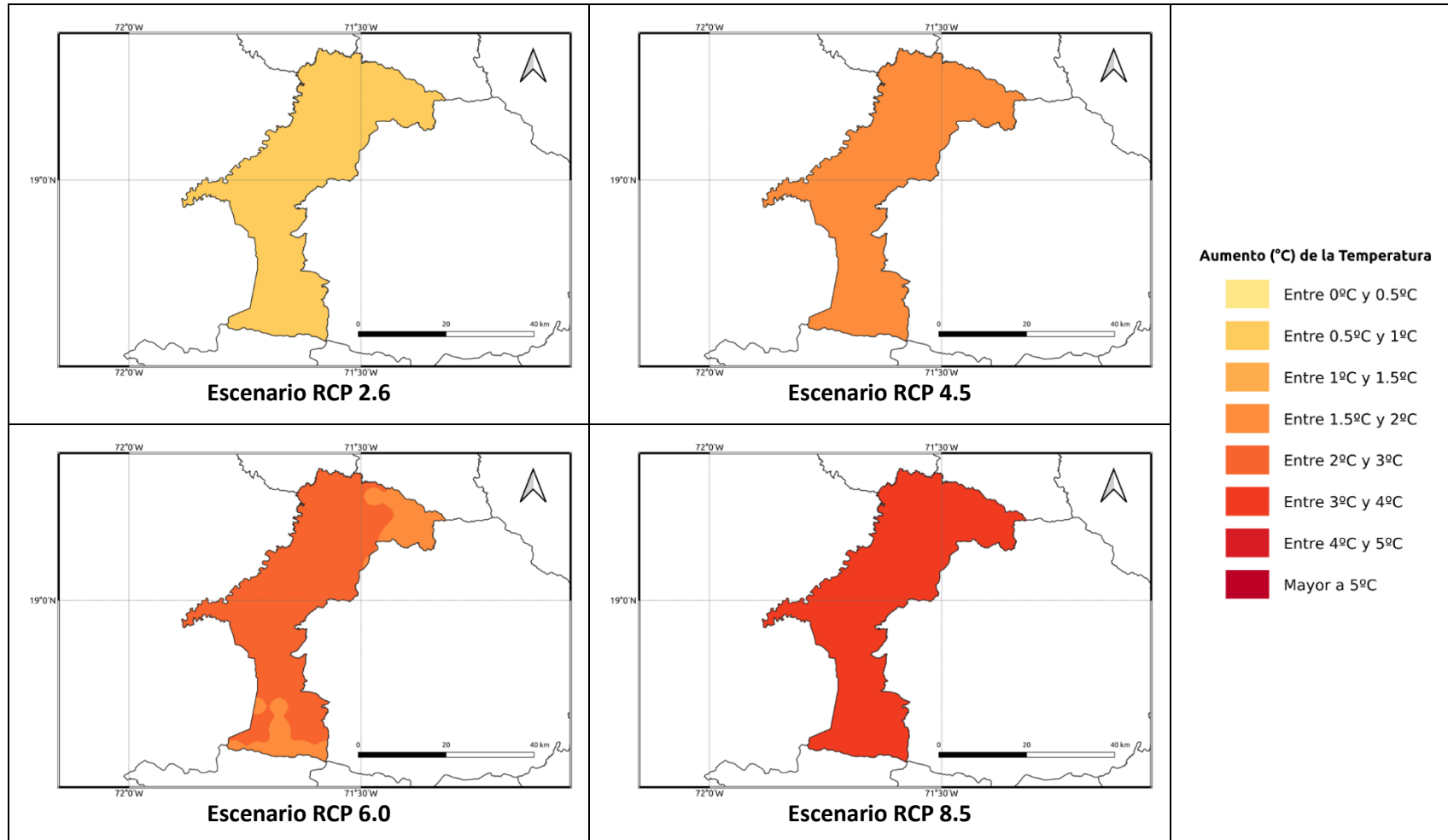


Figura 1.1.8-8. Cambios proyectados en la temperatura máxima (°C) por el ensamble multimodelo bajo los 4 escenarios RCP en el periodo 2081-2100 para la provincia Elías Piña.

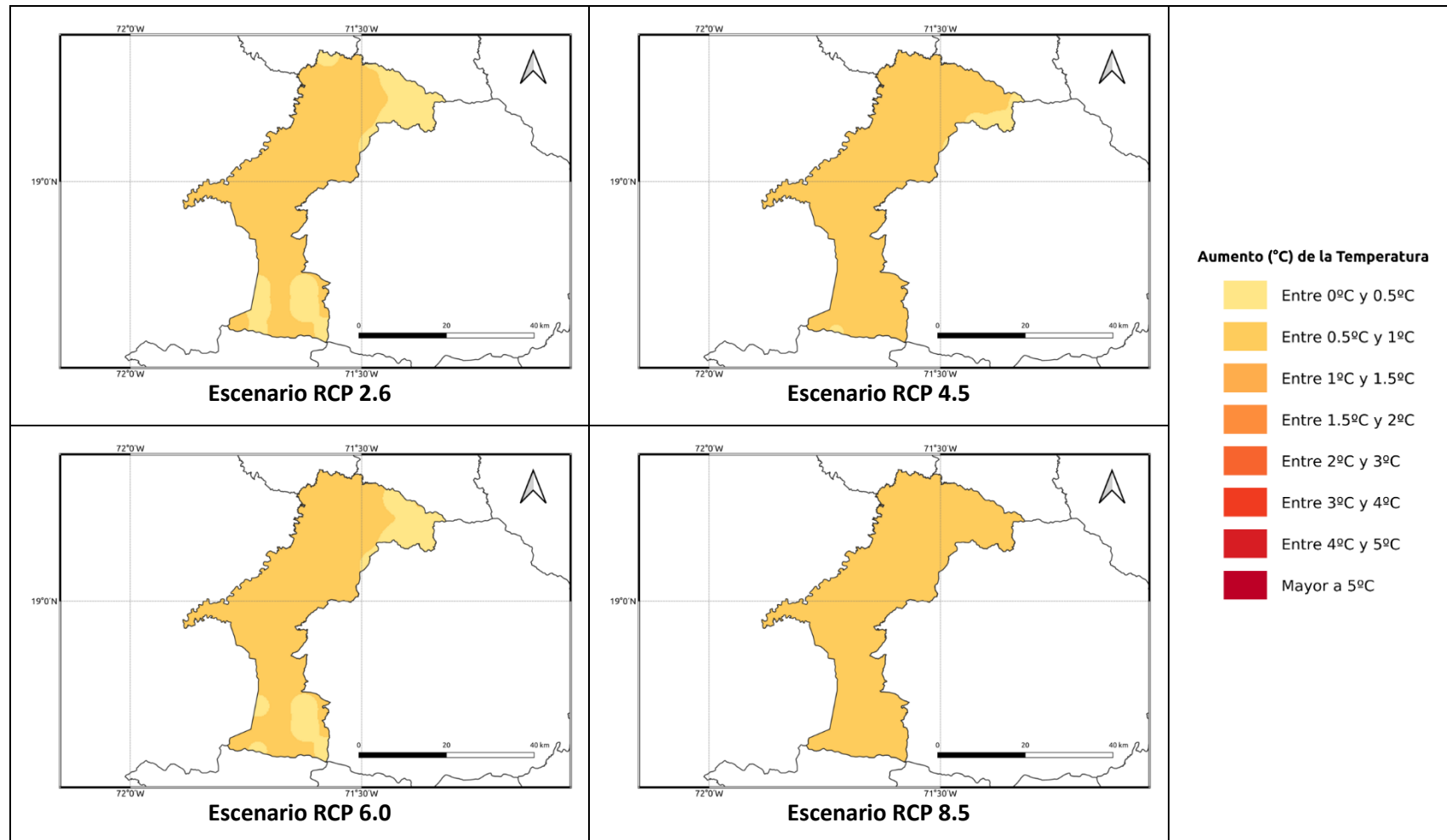
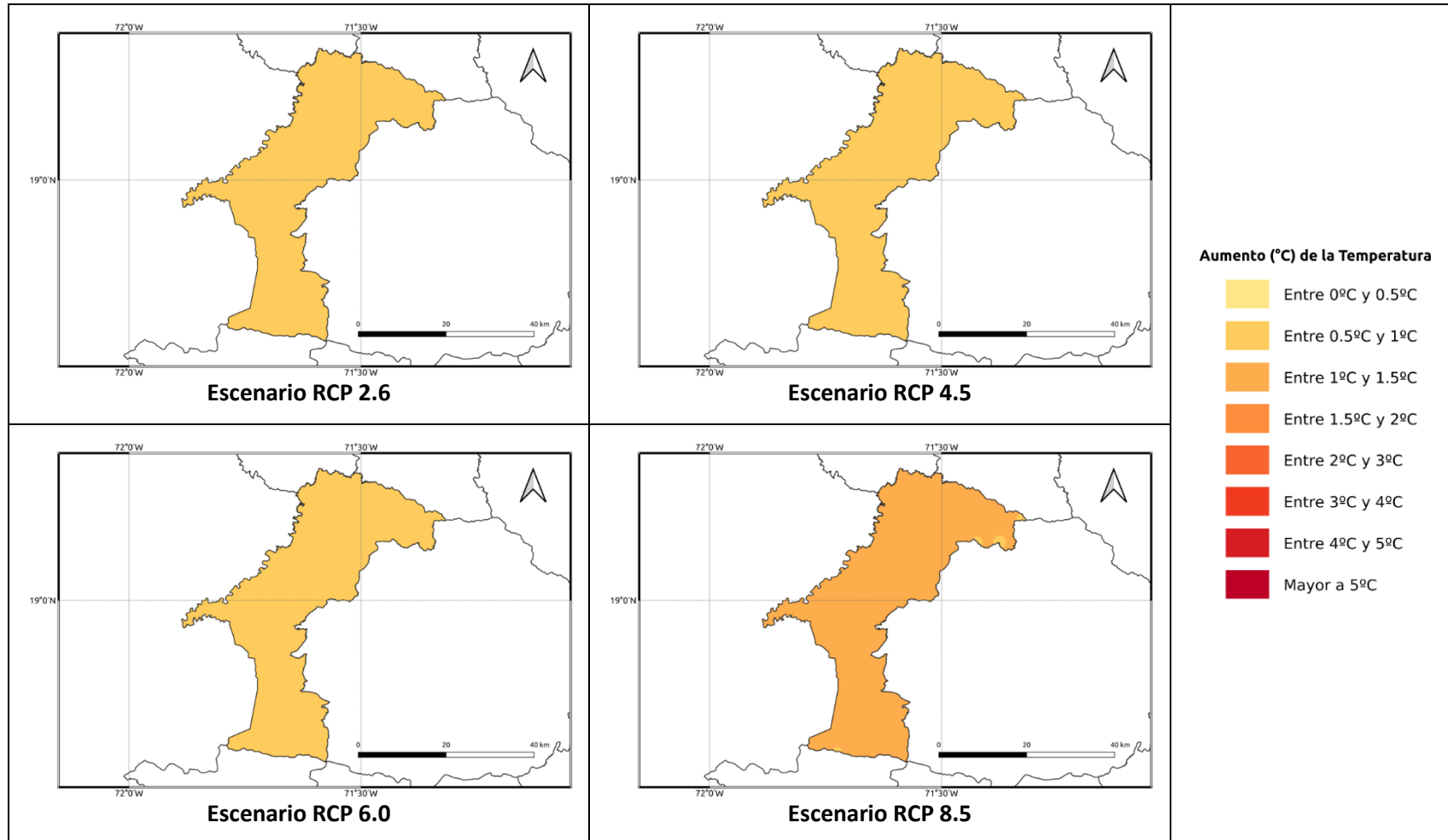
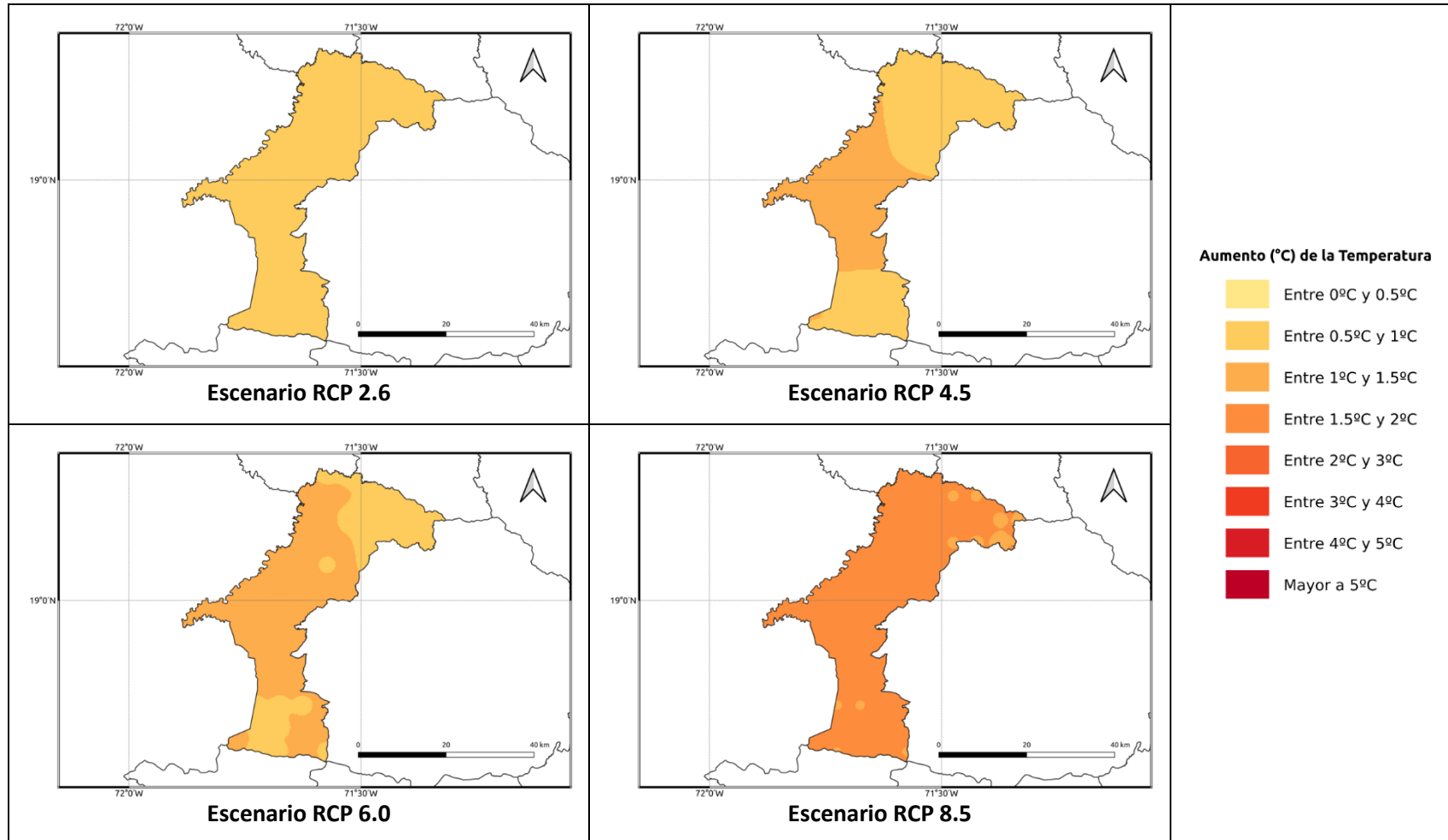


Figura 1.1.8-9. Cambios proyectados en la temperatura mínima (°C) por el ensamble multimodelo bajo los 4 escenarios RCP en el periodo 2021-2040 para la provincia Elías Piña.



**Figura 1.1.8-10. Cambios proyectados en la temperatura mínima (°C) por el ensamble multimodelo bajo los 4 escenarios RCP en el periodo 2041-2060 para la provincia Elías Piña.**



**Figura 1.1.8-11. Cambios proyectados en la temperatura mínima (°C) por el ensamble multimodelo bajo los 4 escenarios RCP en el periodo 2061-2080 para la provincia Elías Piña.**

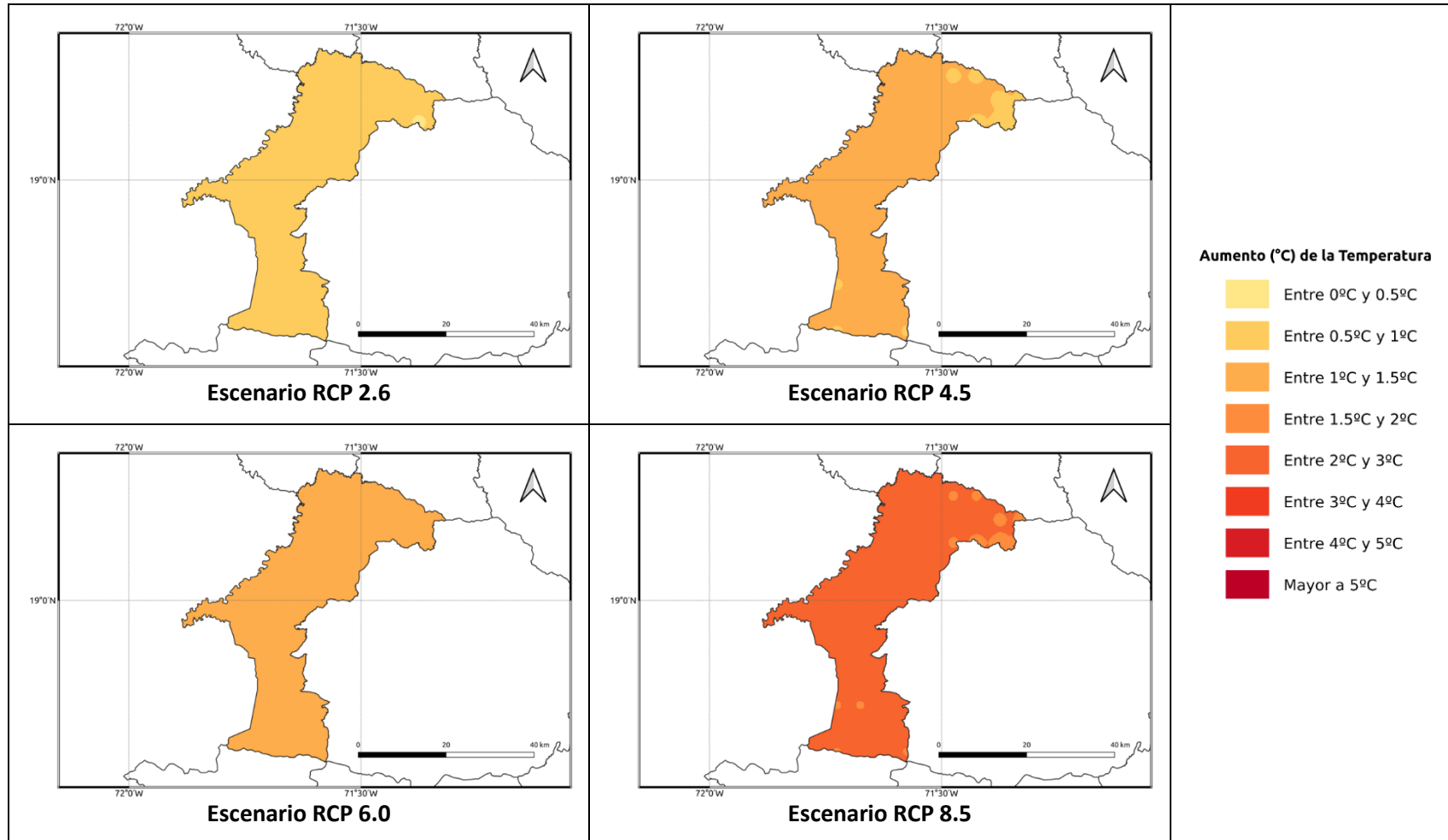


Figura 1.1.8-12. Cambios proyectados en la temperatura mínima (°C) por el ensamble multimodelo bajo los 4 escenarios RCP en el periodo 2081-2100 para la provincia Elías Piña.

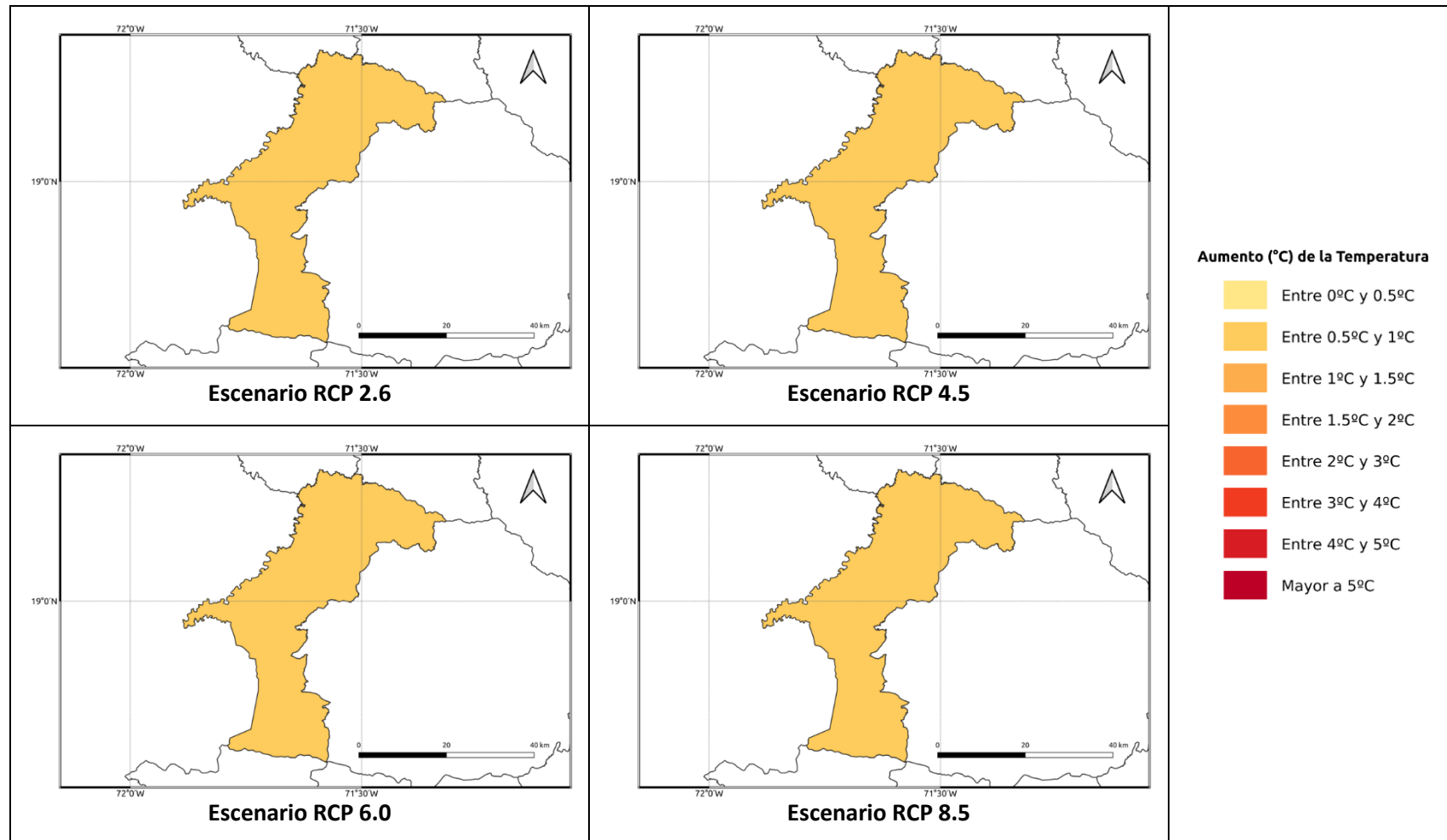
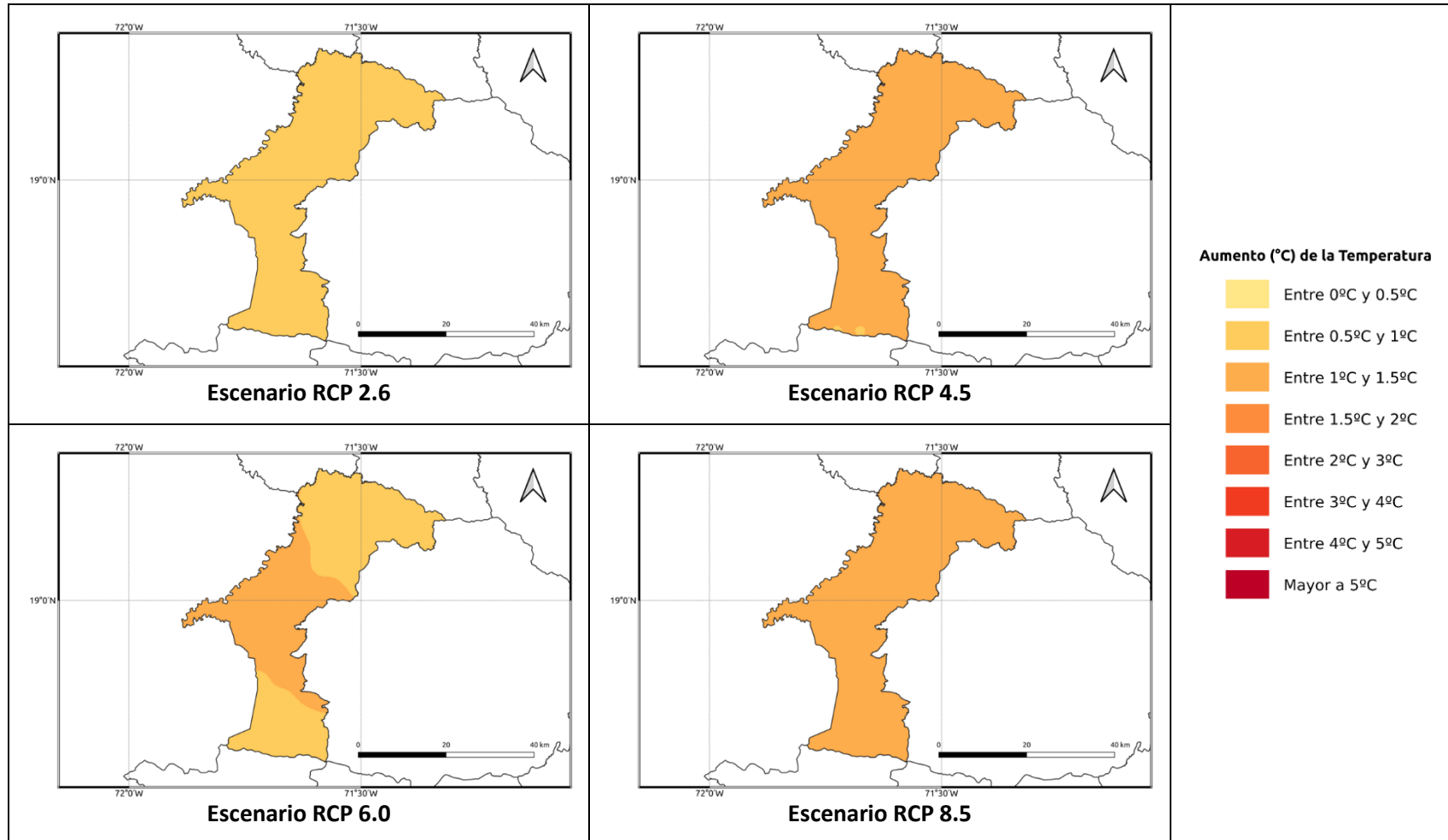


Figura 1.1.8-13. Cambios proyectados en la temperatura media (°C) por el ensamble multimodelo bajo los 4 escenarios RCP en el periodo 2021-2040 para la provincia Elías Piña.



**Figura 1.1.8-14. Cambios proyectados en la temperatura media (°C) por el ensamble multimodelo bajo los 4 escenarios RCP en el periodo 2041-2060 para la provincia Elías Piña.**

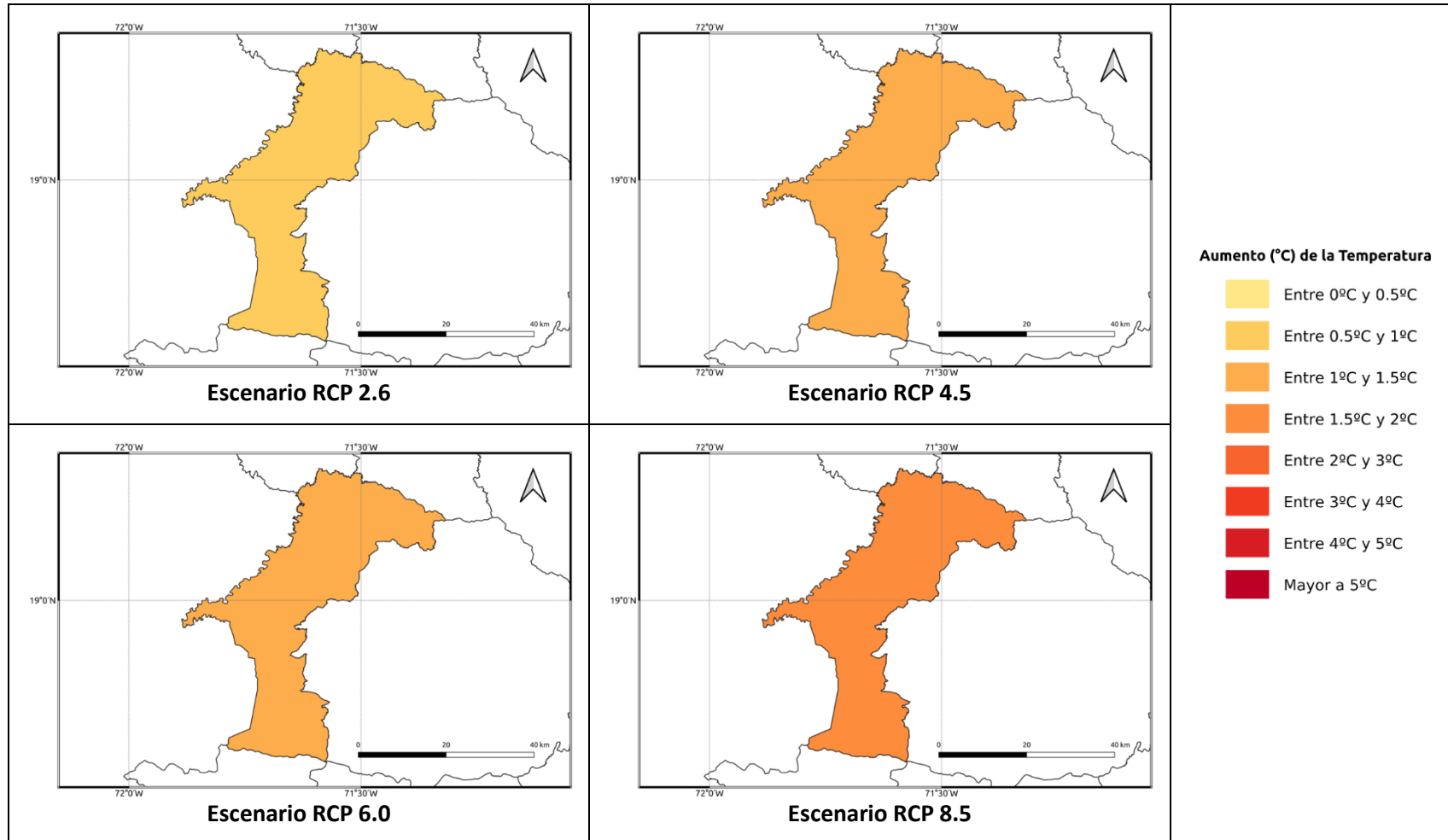
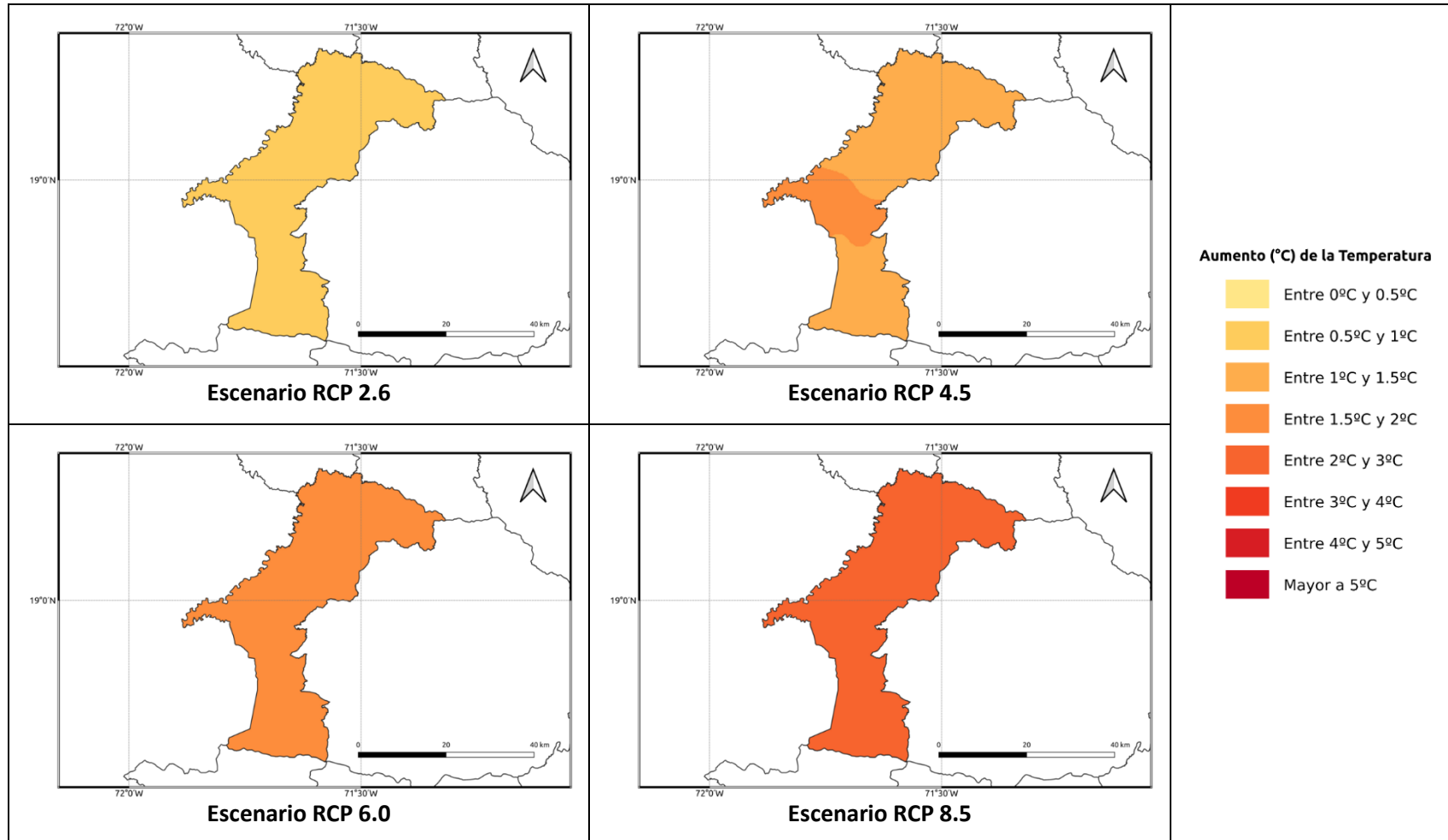


Figura 1.1.8-15. Cambios proyectados en la temperatura media (°C) por el ensamble multimodelo bajo los 4 escenarios RCP en el periodo 2061-2080 para la provincia Elías Piña.



**Figura 1.1.8-16. Cambios proyectados en la temperatura media (°C) por el ensamble multimodelo bajo los 4 escenarios RCP en el periodo 2081-2100 para la provincia Elías Piña.**

## 1.1.9 PROVINCIA ESPAILLAT

Esta sección presenta el análisis espacial de los cambios de las variables climáticas a nivel anual para la provincia Espaillat. Los cambios a nivel estacional (trimestral) se pueden consultar en el Anexo 10.

### Precipitación

Para esta variable, en el periodo de corto plazo 2021-2040 se presentarían cambios dentro del rango normal de variabilidad (del orden del 5-8%), con aumentos de esta magnitud bajo los escenarios RCP 2.6 y 6.0, y reducciones del mismo orden bajo los escenarios RCP 4.5 y 8.5 (Figura 1.1.9-1). Para el siguiente periodo (2041-2060), bajo el RCP 2.6 se mantiene el aumento de la precipitación del orden del 5-7%, y en los demás escenarios la tendencia sería a la reducción de la precipitación entre un 3-5% (Figura 1.1.9-2). Para el periodo 2061-2080, en el RCP 2.6 se mantendrían los incrementos del 5%, y bajo los otros escenarios se darían reducciones de la precipitación, del orden del 8-15% bajo el RCP 4.5, entre 4-9% bajo el RCP 6.0 y del 16-19% bajo el RCP 8.5 (Figura 1.1.9-3). Por último, para finales de siglo bajo los 4 escenarios se presentarían reducciones de la precipitación, siendo las de menor magnitud bajo el RCP 2.6 (entre 4-8%) y las más altas bajo el RCP 8.5, con reducciones entre 26 y 29% (Figura 1.1.9-4).

### Temperatura Máxima

La temperatura máxima presentaría incrementos bajo los 4 RCP en todos los periodos analizados. En el periodo de corto plazo (2021-2040) la temperatura aumentaría entre 0.7 y 1.3°C, con aumentos de más de 1°C bajo el RCP 8.5 (Figura 1.1.9-5). Para 2041-2060, los aumentos serían de 1.1 a 1.4°C bajo los primeros 3 RCP (2.6, 4.5 y 6.0), y de 1.5 a 1.8°C bajo el RCP 8.5 (Figura 1.1.9-6). En el periodo 2061-2080 los aumentos serían de 1.1 a 2.6°C, manteniéndose el incremento de 1.1 a 1.4°C bajo el RCP 2.6, siendo de 1.4 a 1.8°C bajo los RCP 4.5 y 6.0 y de 2.6°C bajo el RCP 8.5 (Figura 1.1.9-7). Para finales de siglo, los aumentos serían de 0.7 a 1°C bajo el RCP 2.6, de 1.7 a 1.9°C bajo el RCP 4.5, de 2.2 a 2.4°C bajo el RCP 6.0 y de 3.2 a 3.8°C bajo el RCP 8.5 (Figura 1.1.9-8).

### Temperatura Mínima

En el primer periodo (2021-2040), ésta se incrementaría de 0.6 a 0.8°C en los 4 escenarios RCP (Figura 1.1.9-9). Para 2041-2060 aumentaría de 0.7 a 1.1°C en los 3 primeros escenarios, y bajo el RCP 8.5 habría aumentos de 1.3°C (Figura 1.1.9-10). En el periodo 2061-2080 la temperatura mínima se incrementaría entre 0.6 y 0.8°C bajo el RCP 2.6, entre 1.1 y 1.4°C bajo los RCP 4.5 y 6.0 y entre 1.7 y 2.2°C bajo el RCP 8.5 (dándose los mayores aumentos hacia el norte de la provincia) (Figura 1.1.9-11).



Por último, para finales de siglo se mantendría un aumento de 0.8°C en el RCP 2.6, entre 1.1 y 1.4°C bajo el RCP 4.5, entre 1.4 y 1.7°C bajo el 6.0 y de 2.2 a 2.6°C bajo el RCP 8.5 (Figura 1.1.9-12).

### ***Temperatura Media***

La temperatura media se incrementaría entre 0.6 y 0.8°C en el periodo 2021-2040 bajo los 4 escenarios RCP (Figura 1.1.9-13). En el periodo 2041-2060 se mantendría este mismo rango bajo el RCP 2.6, y en los otros 3 escenarios aumentaría de 1.1 a 1.3°C (Figura 1.1.9-14). Para 2061-2080 la temperatura media aumentaría de 0.7 a 0.8°C bajo el RCP 2.6, de 1.3 a 1.7°C bajo los RCP 4.5 y 6.0 y de 1.7 a 2.4°C bajo el RCP 8.5 (dándose los mayores aumentos hacia el norte de la provincia) (Figura 1.1.9-15). Finalmente, para el periodo 2081-2100 la temperatura subiría entre 0.6 y 0.8°C bajo el RCP 2.6, entre 1.2 y 1.7°C bajo el RCP 4.5, de 1.6 a 1.9°C bajo el RCP 6.0 y de 2.4 a 2.8°C bajo el RCP 8.5 (Figura 1.1.9-16).



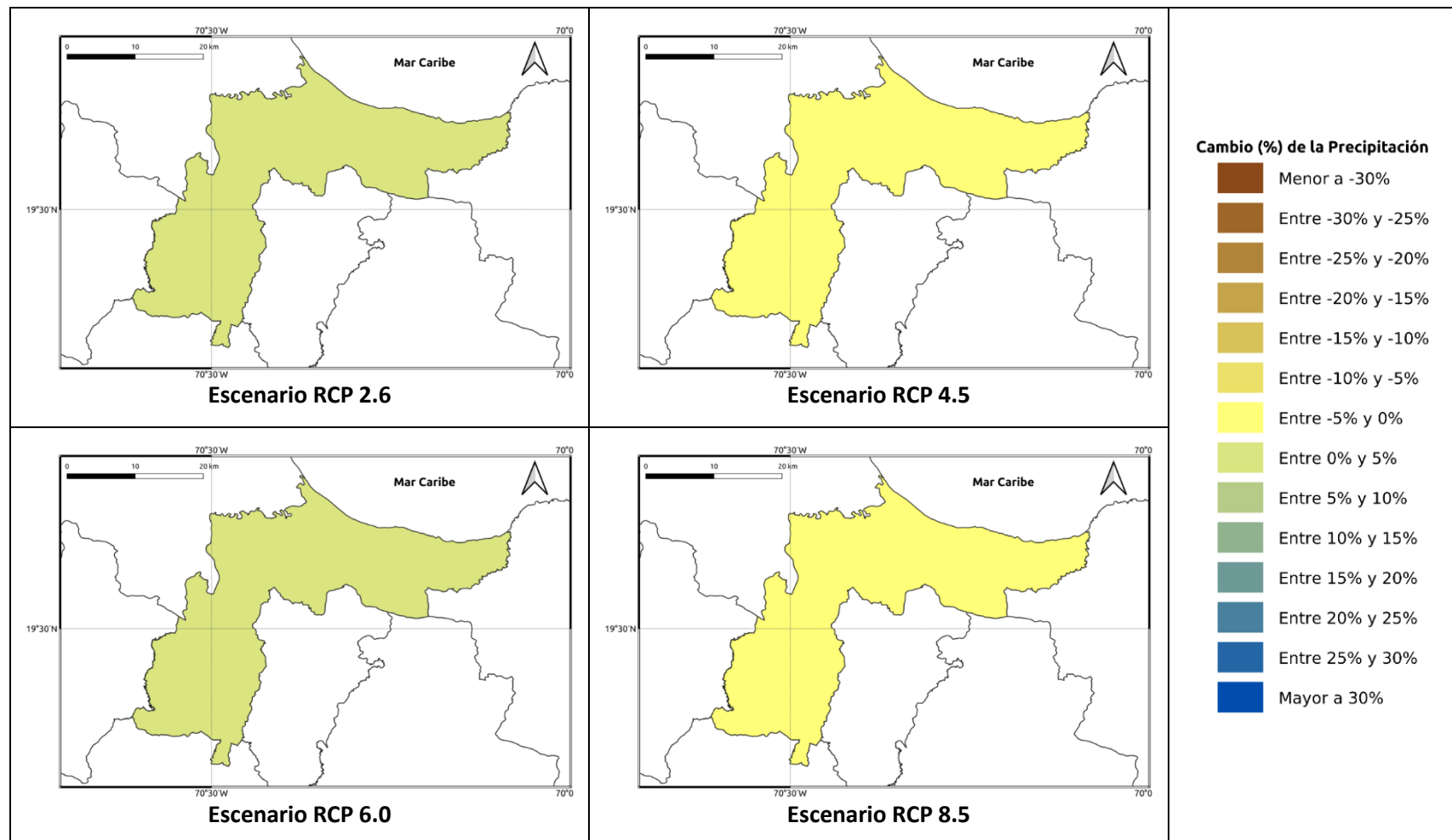


Figura 1.1.9-1. Cambios porcentuales de la precipitación (%) proyectados por el ensamble multimodelo bajo los 4 escenarios RCP en el periodo 2021-2040 para la provincia Espaillat.

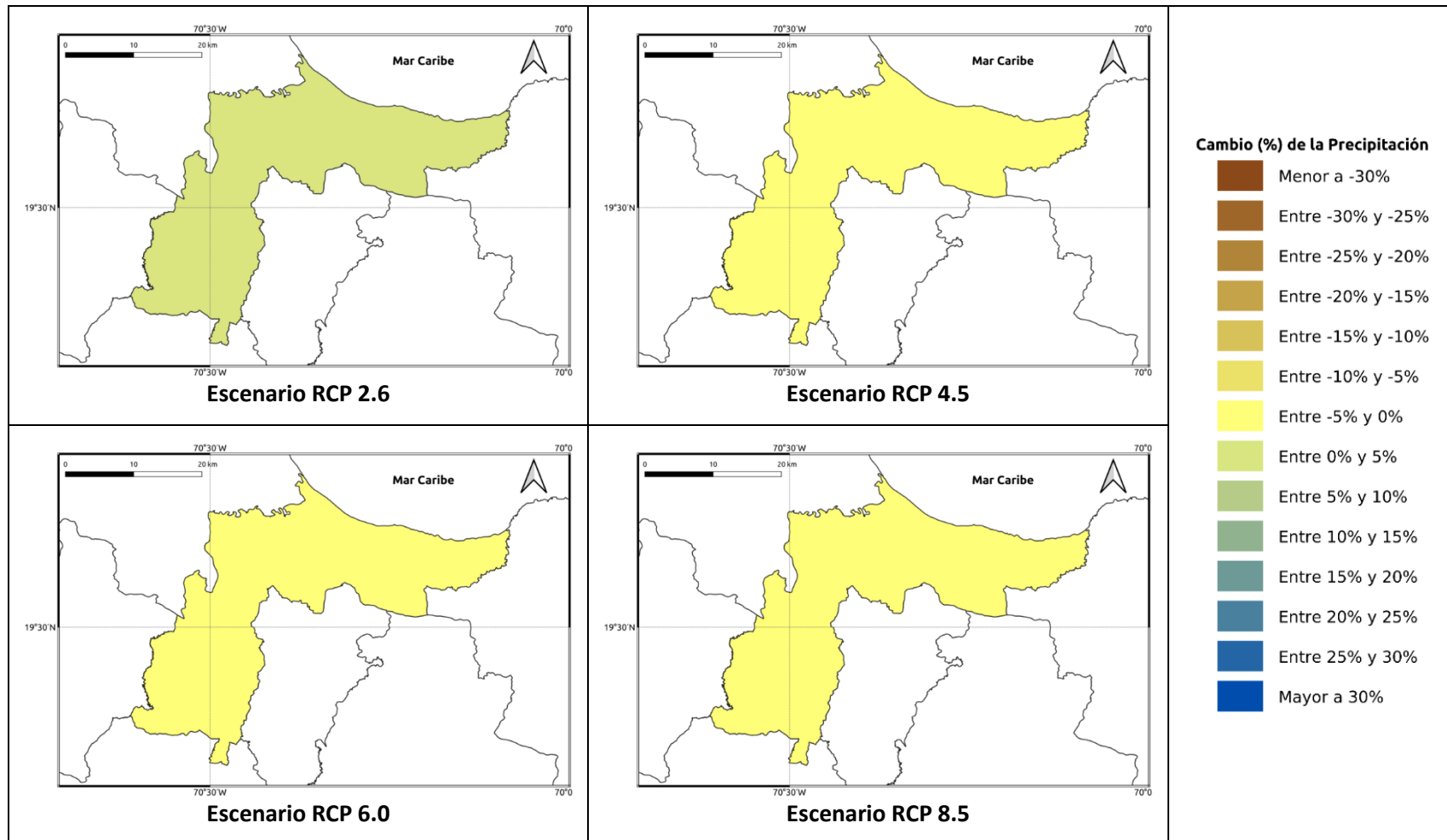


Figura 1.1.9-2. Cambios porcentuales de la precipitación (%) proyectados por el ensamble multimodelo bajo los 4 escenarios RCP en el periodo 2041-2060 para la provincia Espaillat.

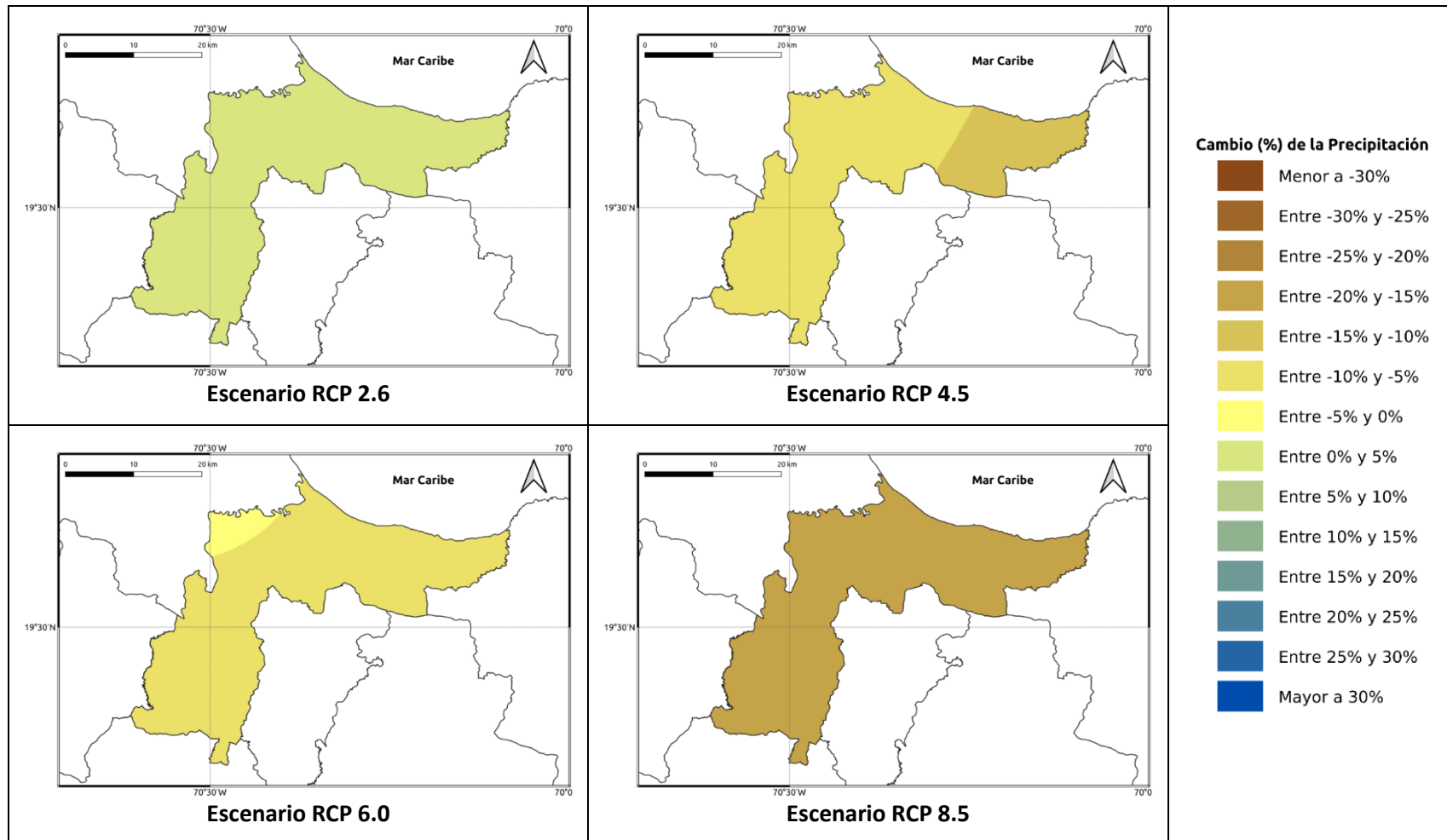
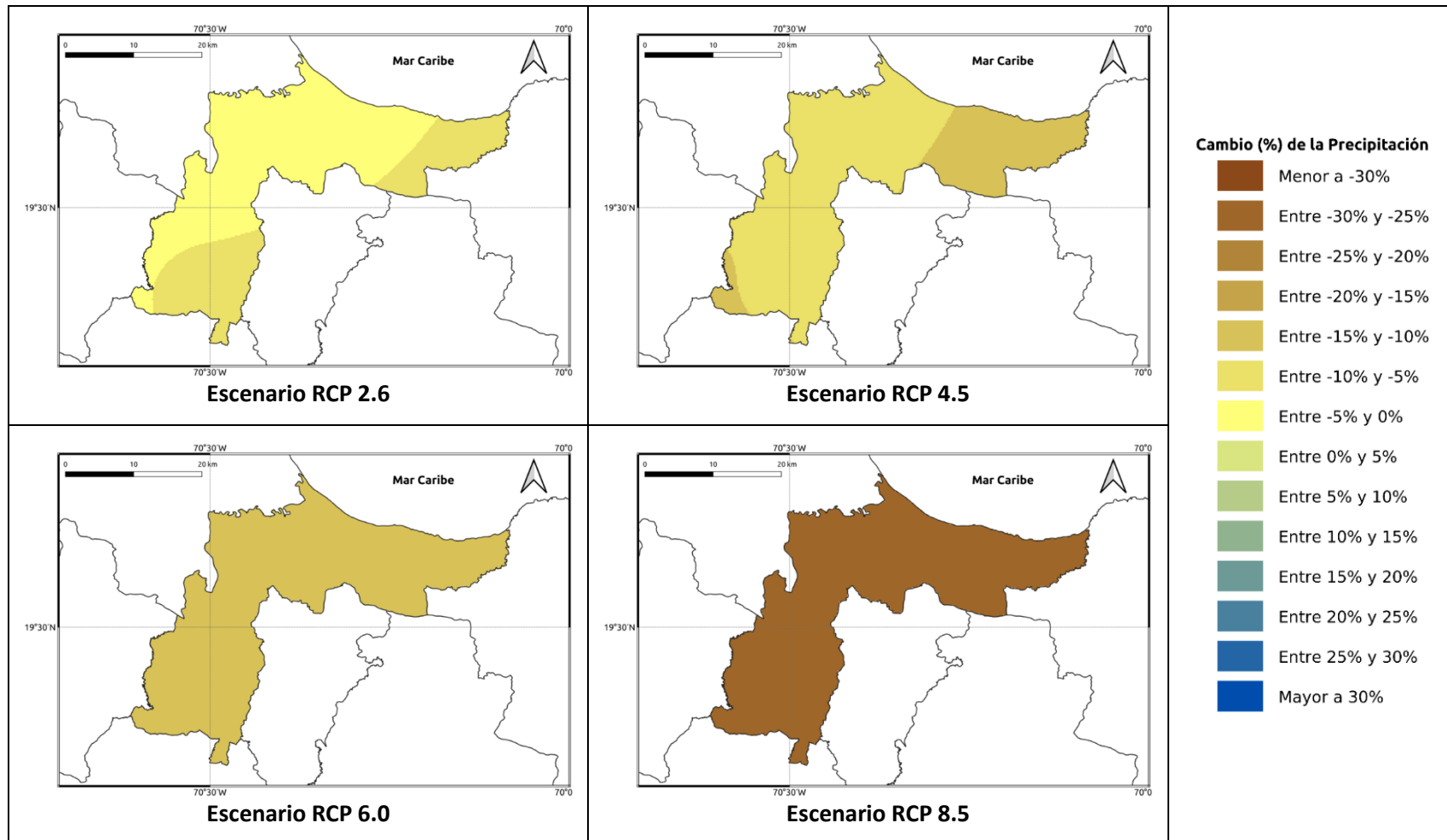
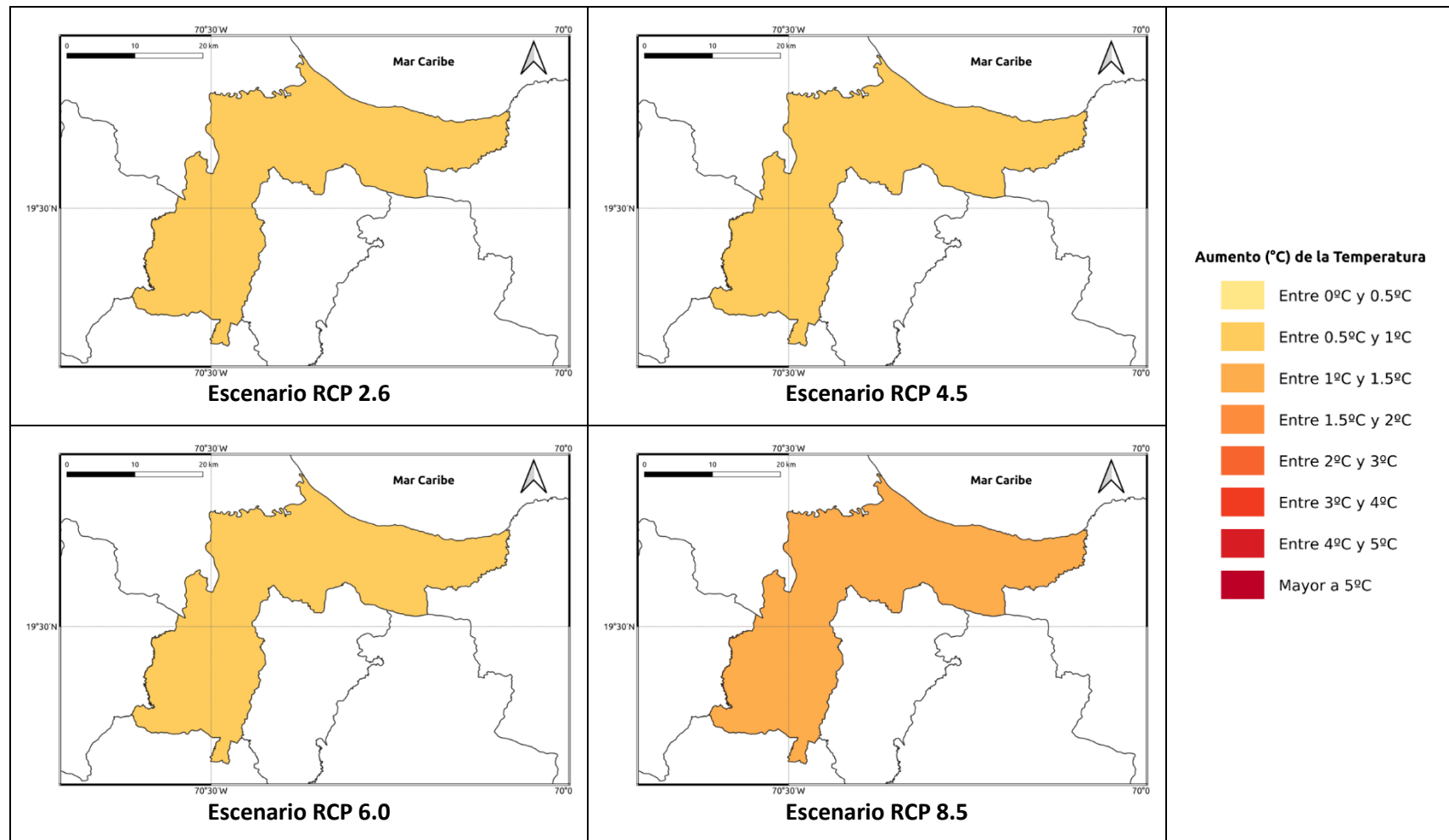


Figura 1.1.9-3. Cambios porcentuales de la precipitación (%) proyectados por el ensamble multimodelo bajo los 4 escenarios RCP en el periodo 2061-2080 para la provincia Espaillat.



**Figura 1.1.9-4. Cambios porcentuales de la precipitación (%) proyectados por el ensamble multimodelo bajo los 4 escenarios RCP en el periodo 2081-2100 para la provincia Espaillat.**



**Figura 1.1.9-5. Cambios proyectados en la temperatura máxima (°C) por el ensamble multimodelo bajo los 4 escenarios RCP en el periodo 2021-2040 para la provincia Espaillat.**

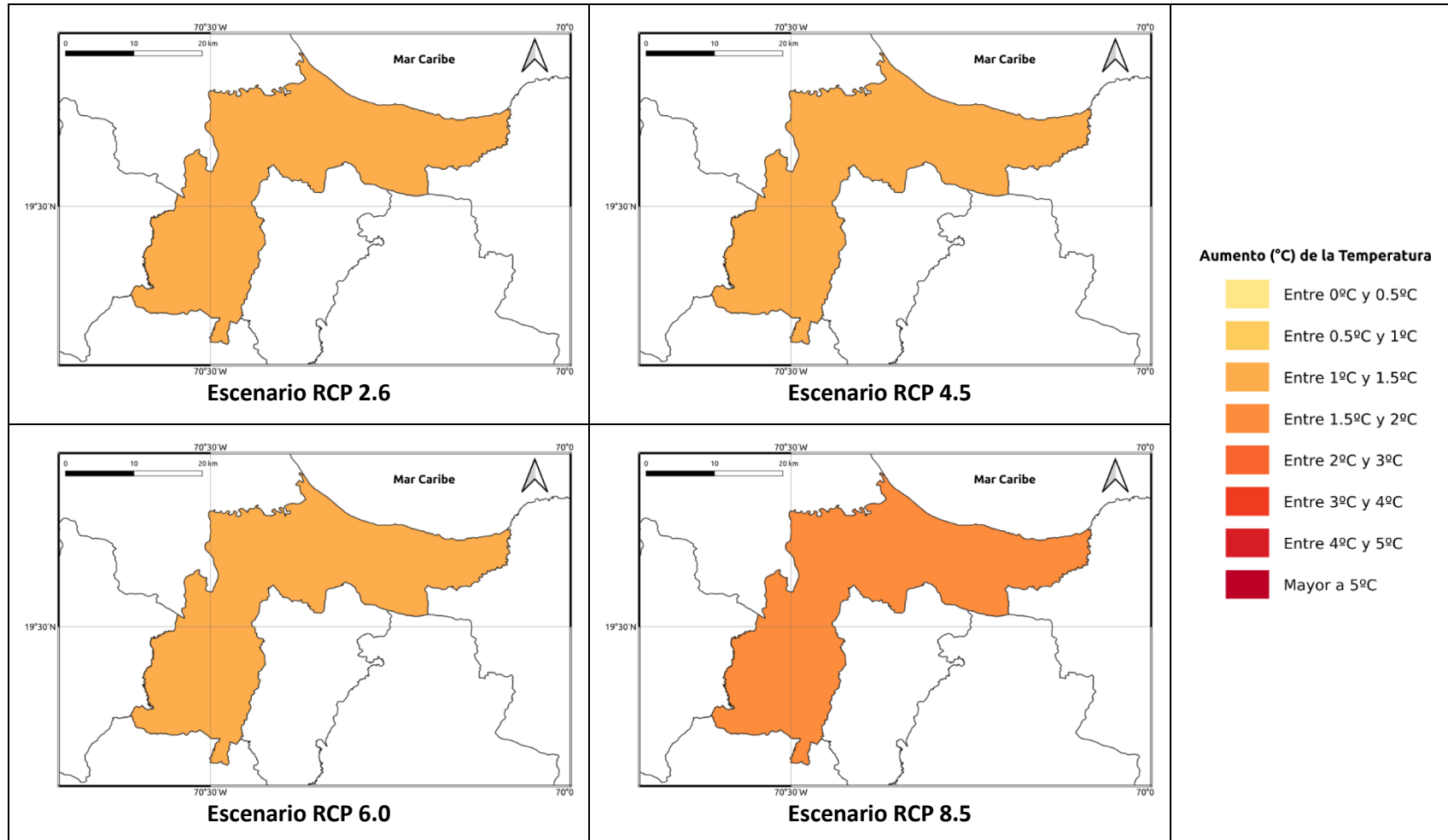
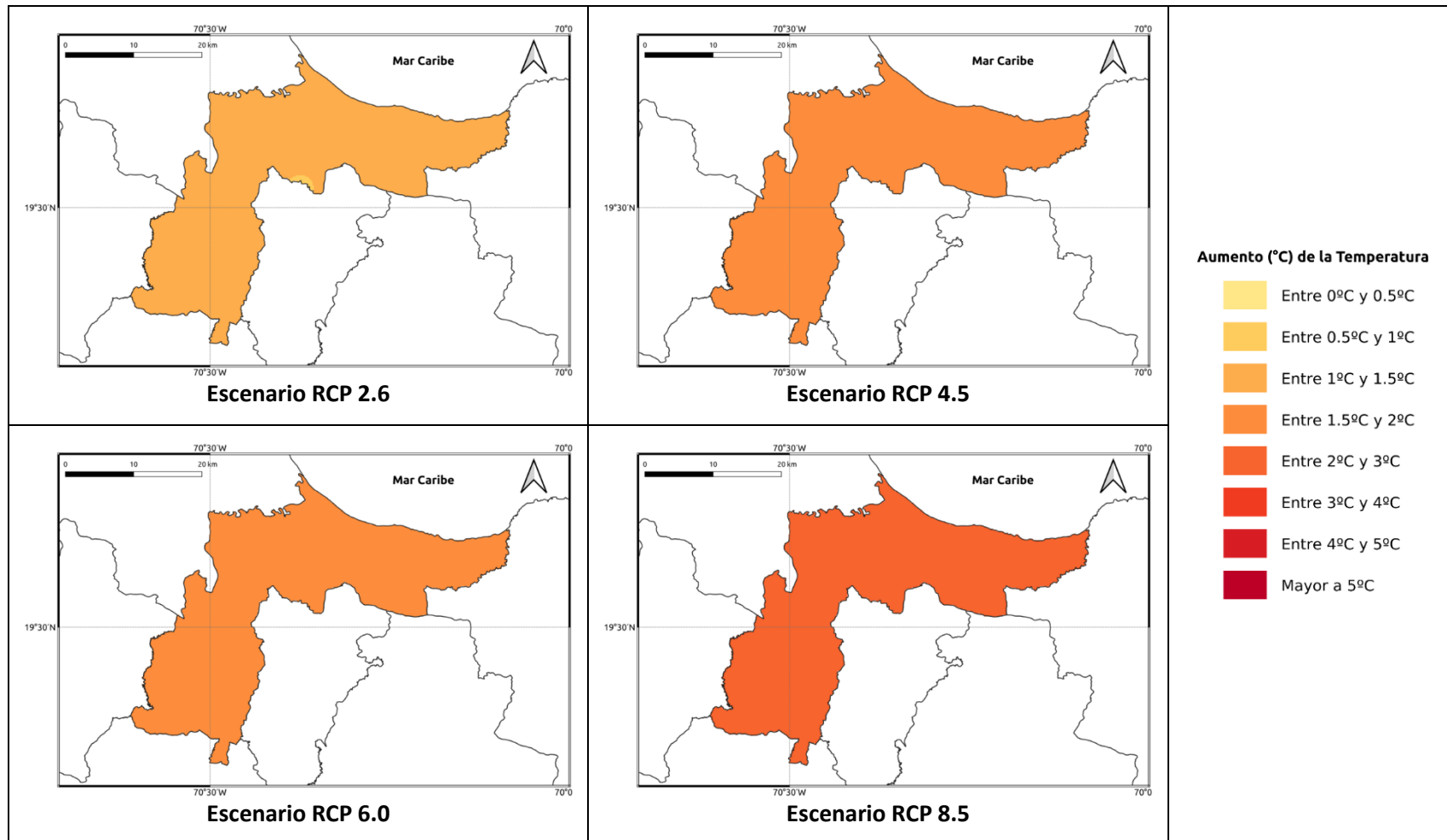


Figura 1.1.9-6. Cambios proyectados en la temperatura máxima (°C) por el ensamble multimodelo bajo los 4 escenarios RCP en el periodo 2041-2060 para la provincia Espaillat.



**Figura 1.1.9-7. Cambios proyectados en la temperatura máxima (°C) por el ensamble multimodelo bajo los 4 escenarios RCP en el periodo 2061-2080 para la provincia Espaillat.**

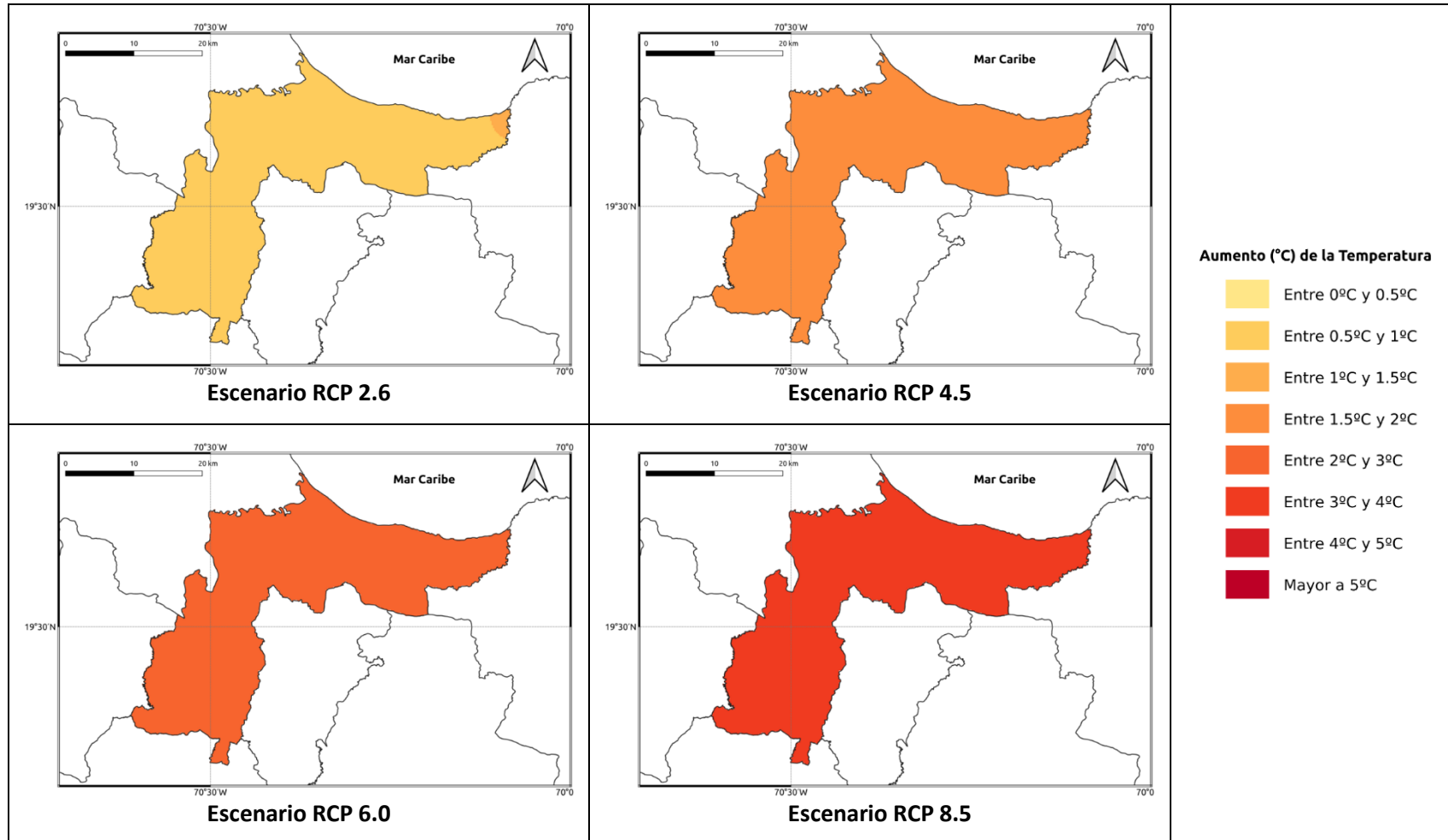


Figura 1.1.9-8. Cambios proyectados en la temperatura máxima (°C) por el ensamble multimodelo bajo los 4 escenarios RCP en el periodo 2081-2100 para la provincia Espaillat.

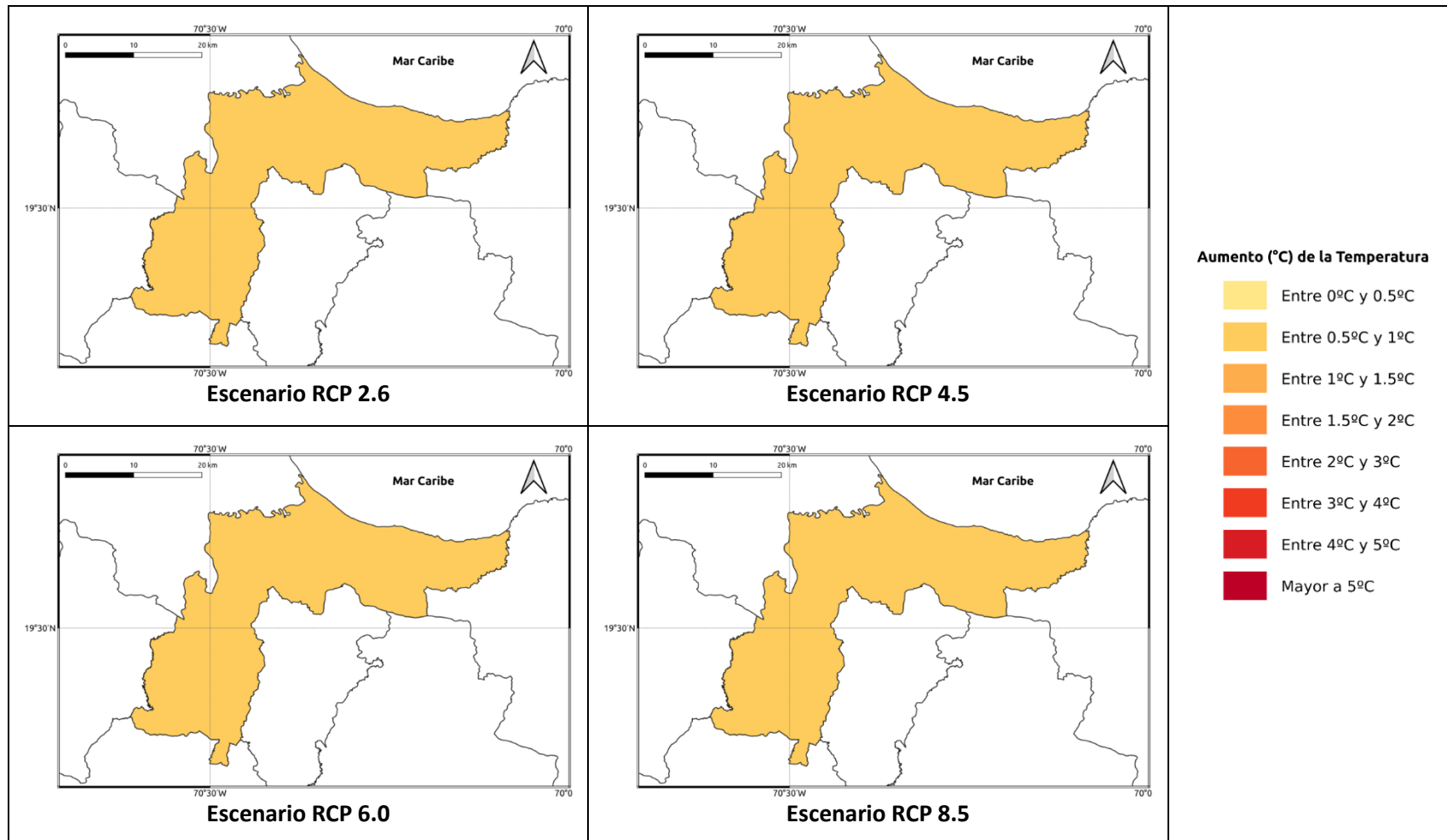
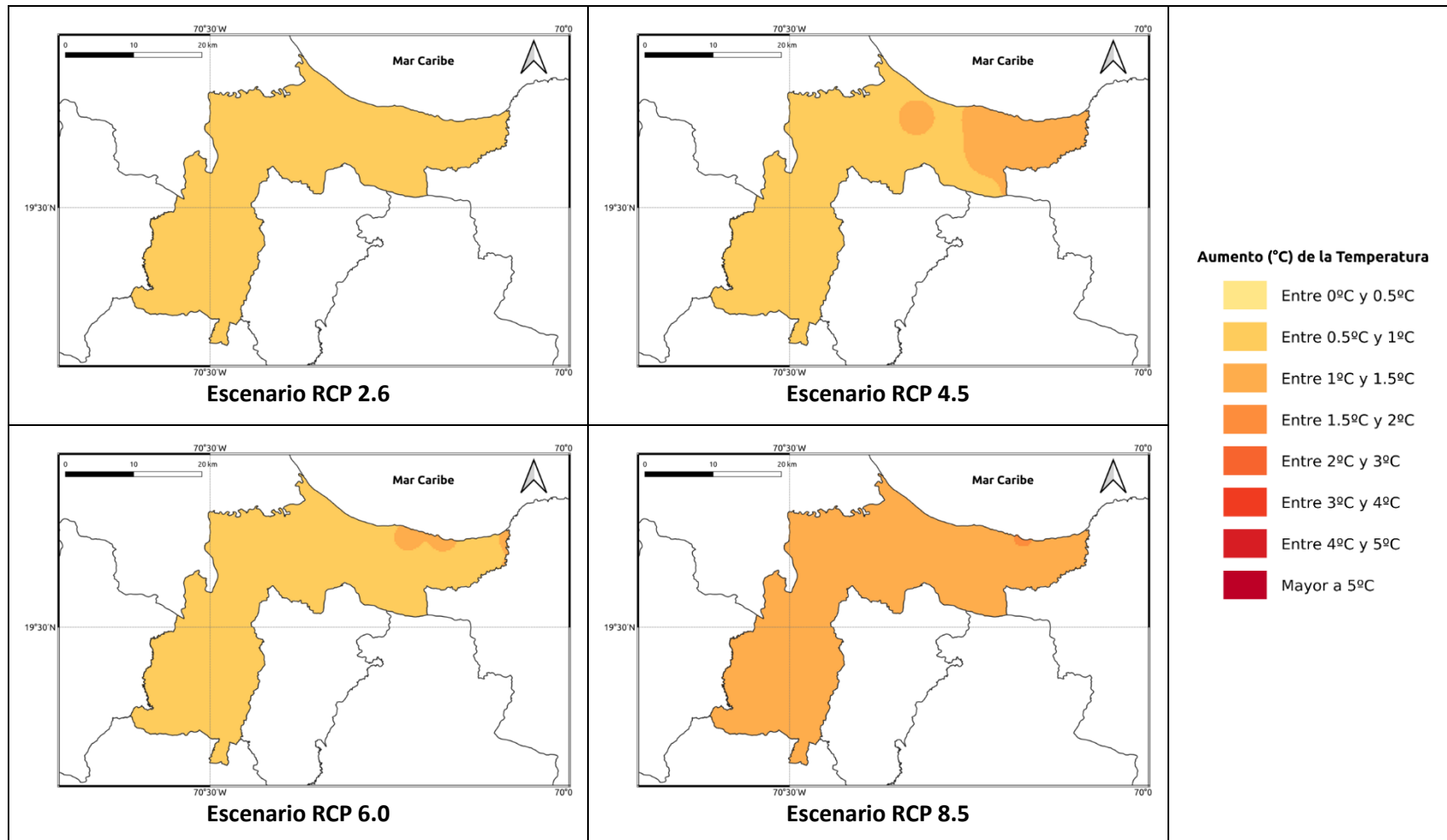
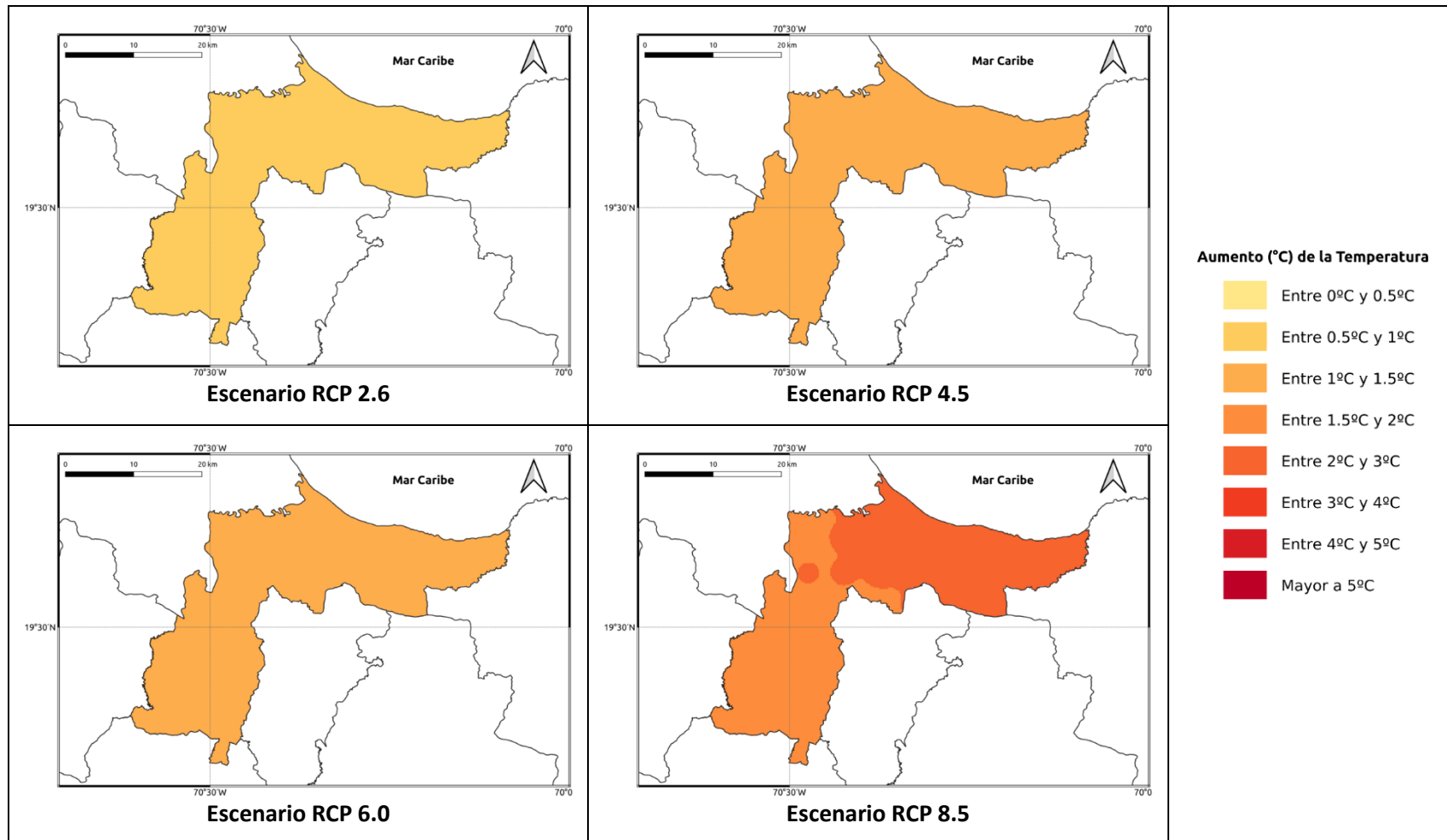


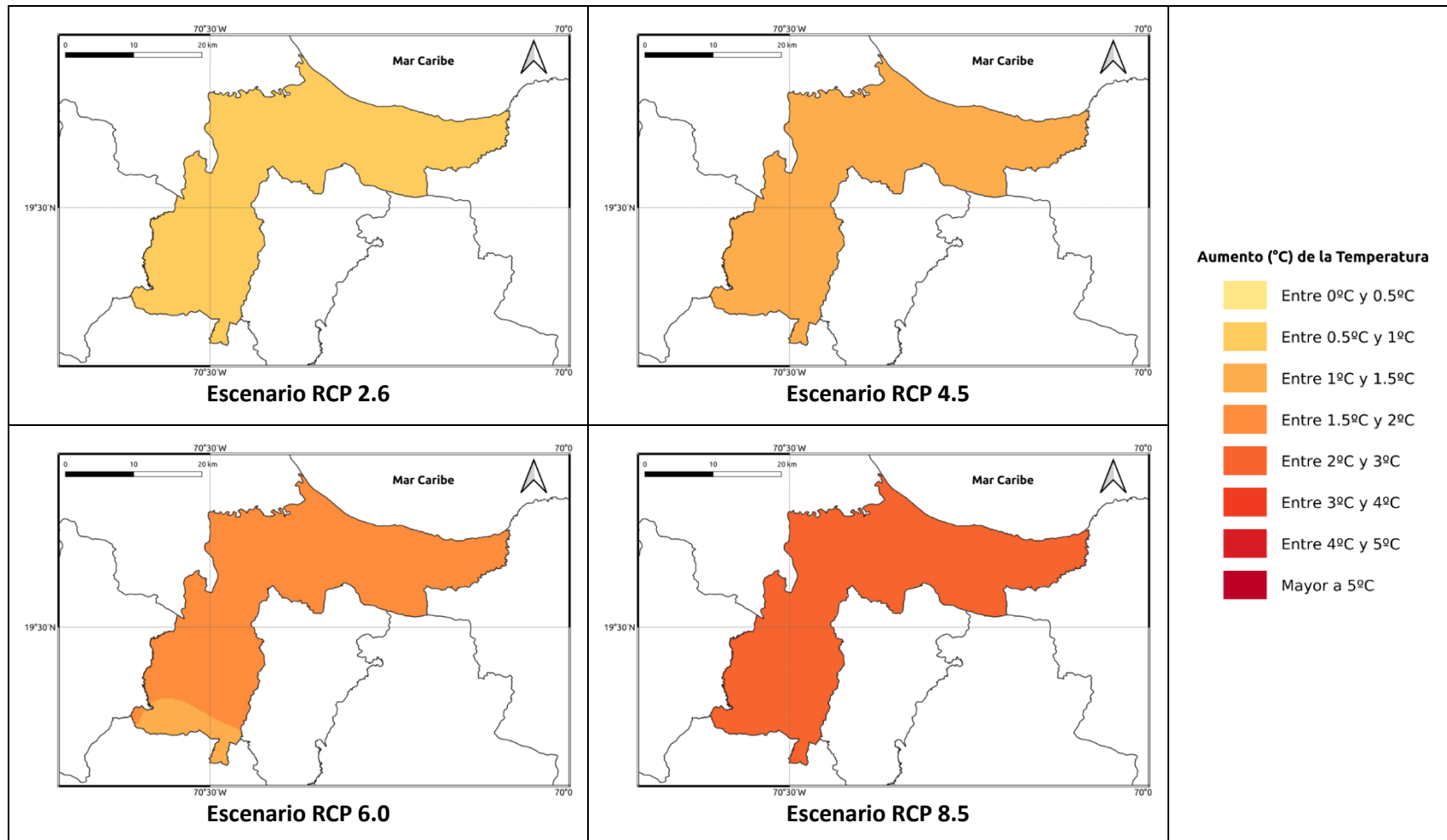
Figura 1.1.9-9. Cambios proyectados en la temperatura mínima (°C) por el ensamble multimodelo bajo los 4 escenarios RCP en el periodo 2021-2040 para la provincia Espaillat.



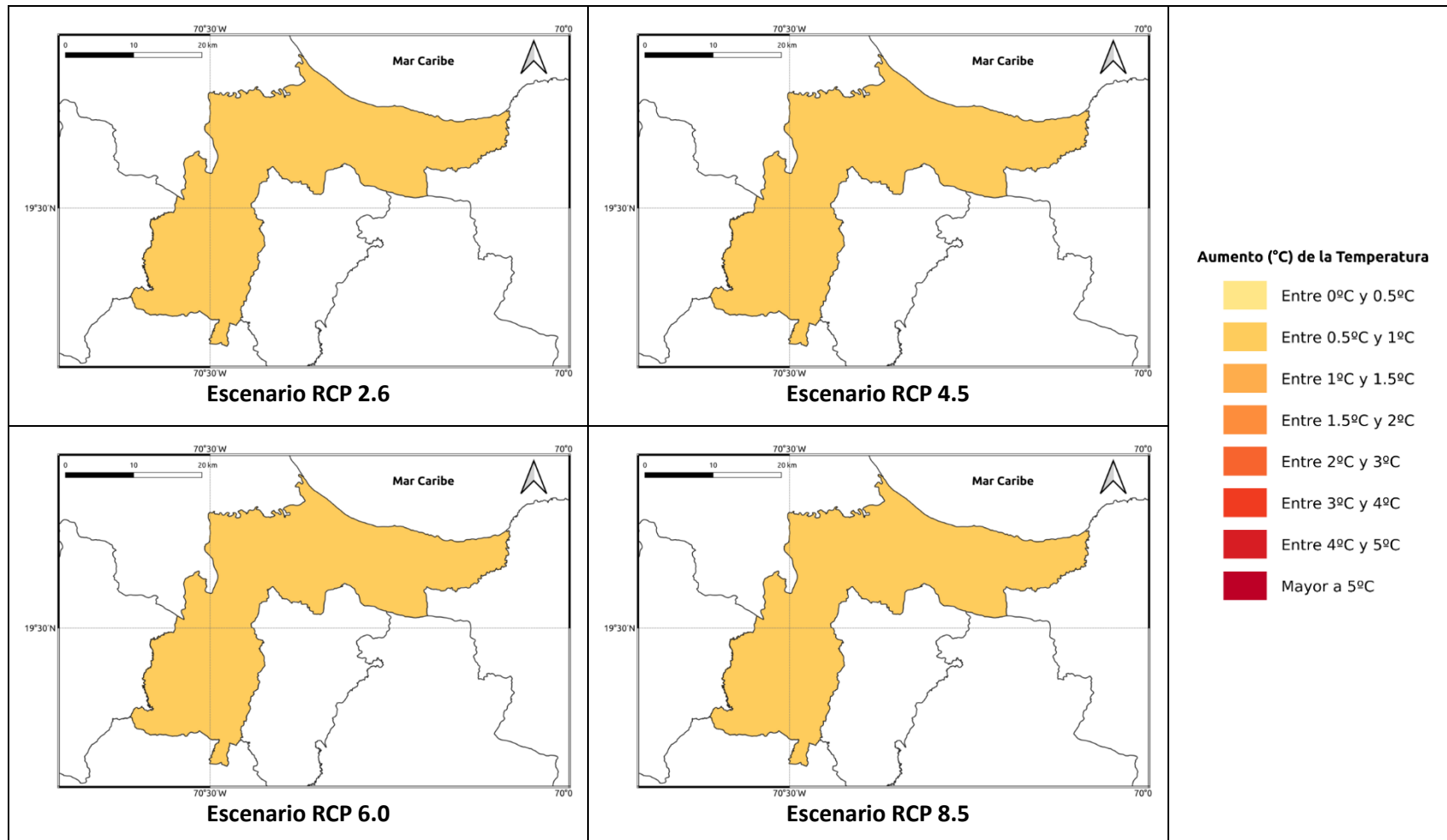
**Figura 1.1.9-10. Cambios proyectados en la temperatura mínima (°C) por el ensamble multimodelo bajo los 4 escenarios RCP en el periodo 2041-2060 para la provincia Espaillat.**



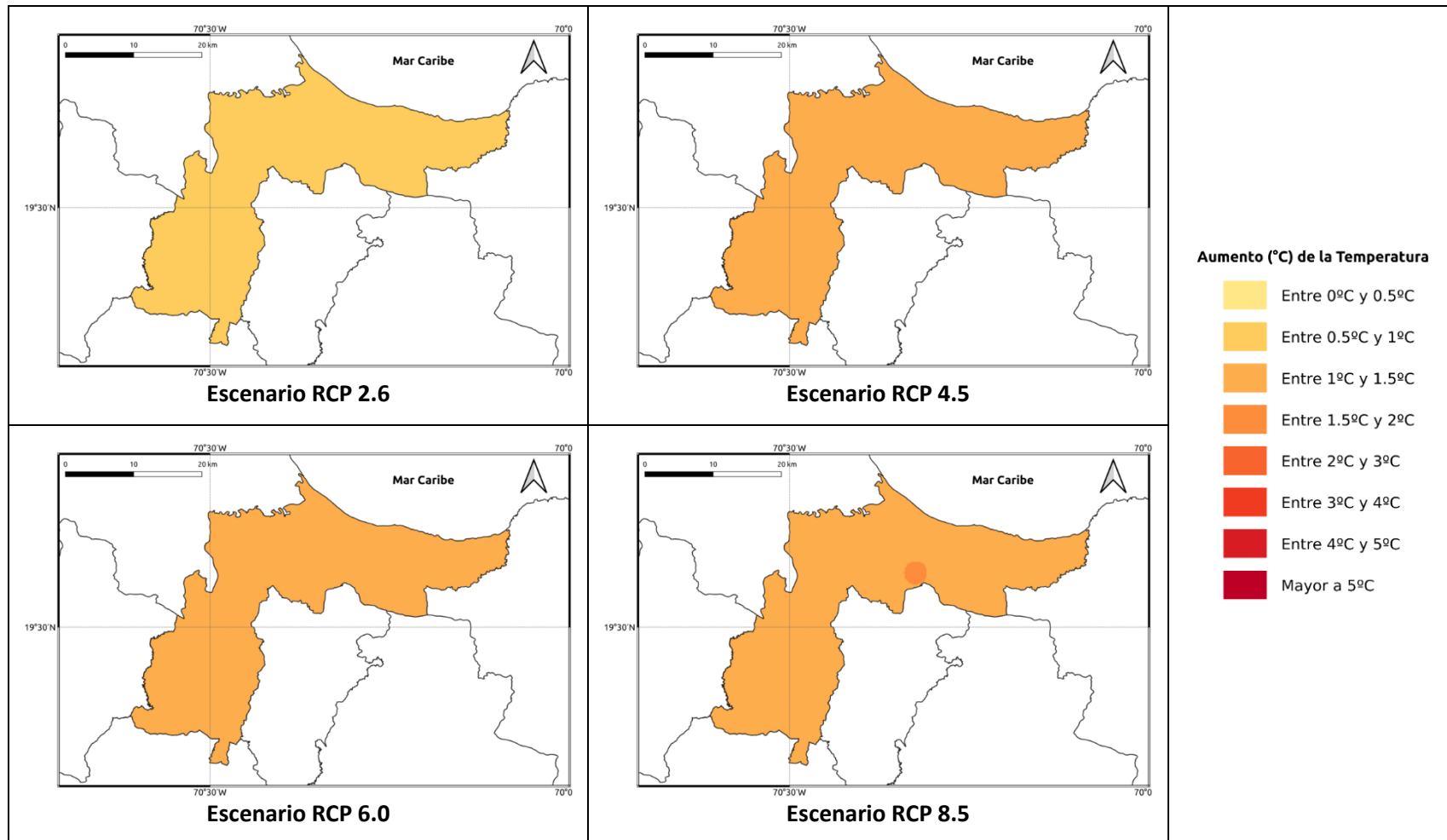
**Figura 1.1.9-11. Cambios proyectados en la temperatura mínima (°C) por el ensamble multimodelo bajo los 4 escenarios RCP en el periodo 2061-2080 para la provincia Espaillat.**



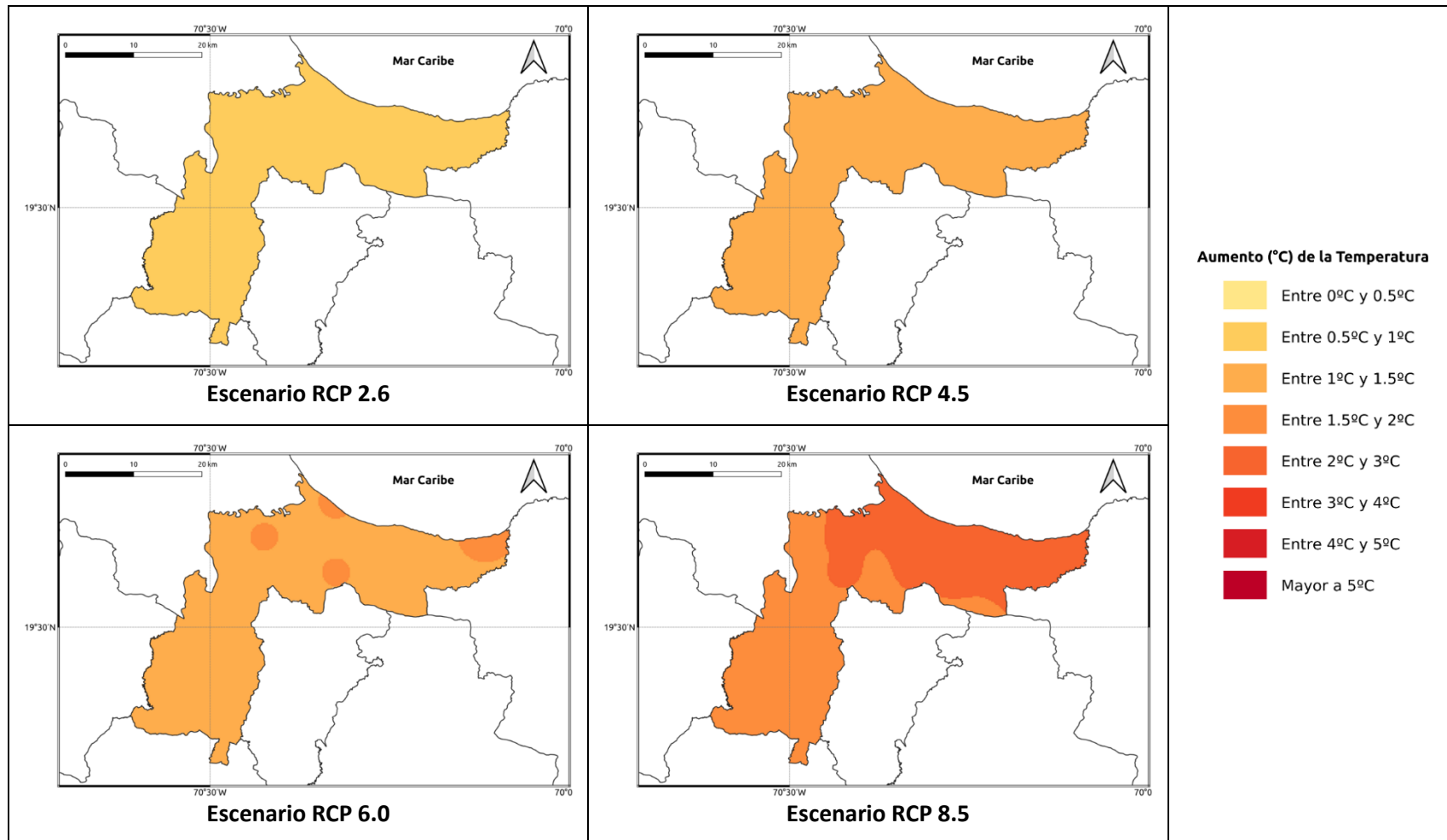
**Figura 1.1.9-12. Cambios proyectados en la temperatura mínima (°C) por el ensamble multimodelo bajo los 4 escenarios RCP en el periodo 2081-2100 para la provincia Espaillat.**



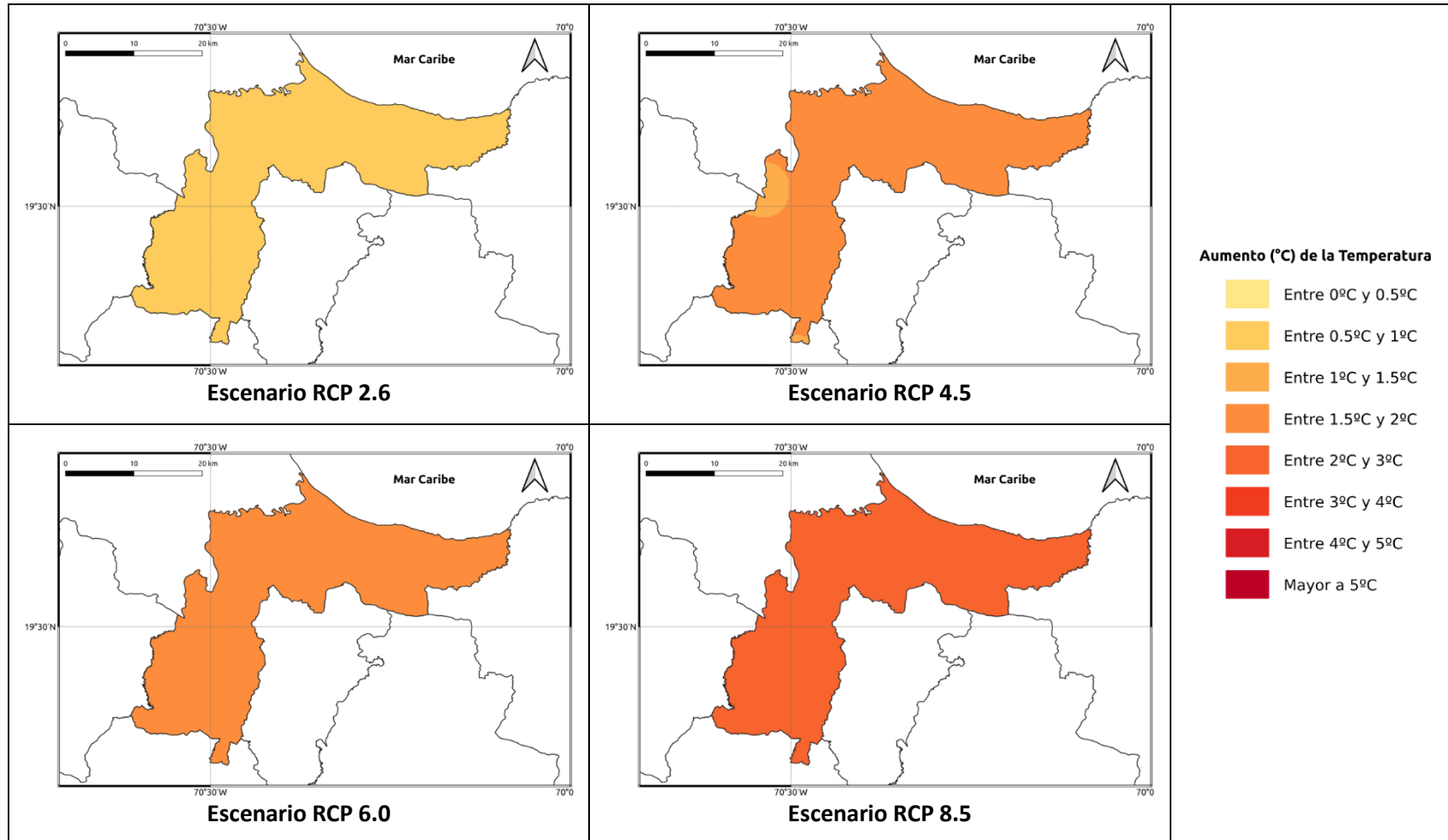
**Figura 1.1.9-13. Cambios proyectados en la temperatura media (°C) por el ensamble multimodelo bajo los 4 escenarios RCP en el periodo 2021-2040 para la provincia Espaillat.**



**Figura 1.1.9-14. Cambios proyectados en la temperatura media (°C) por el ensamble multimodelo bajo los 4 escenarios RCP en el periodo 2041-2060 para la provincia Espaillat.**



**Figura 1.1.9-15. Cambios proyectados en la temperatura media (°C) por el ensamble multimodelo bajo los 4 escenarios RCP en el periodo 2061-2080 para la provincia Espaillat.**



**Figura 1.1.9-16. Cambios proyectados en la temperatura media (°C) por el ensamble multimodelo bajo los 4 escenarios RCP en el periodo 2081-2100 para la provincia Espaillat.**

## **1.1.10 PROVINCIA HATO MAYOR**

A continuación, se presenta el análisis espacial de los cambios de las variables climáticas a nivel anual para la provincia **Hato Mayor**. Los cambios a nivel estacional (trimestral) se pueden consultar en el Anexo 11.

### **Precipitación**

Para esta variable, en el periodo de corto plazo 2021-2040 se presentarían cambios dentro del rango normal de variabilidad (del orden del 5%), con aumentos de esta magnitud bajo los escenarios RCP 2.6 y 6.0, y reducciones bajo los escenarios RCP 4.5 y 8.5, mientras en el escenario 8.5 se esperan disminuciones del orden del 8% (Figura 1.1.10-1). Para el siguiente periodo (2041-2060), bajo el RCP 2.6 se mantiene el aumento de la precipitación del orden del 5%, y en los demás escenarios la tendencia sería a la reducción de la precipitación entre un 4-9% (Figura 1.1.10-2). Para el periodo 2061-2080, en el RCP 2.6 se mantendrían los incrementos del 5% en la parte central y norte de la provincia, y reducciones del mismo orden en el resto de la misma; y bajo los otros escenarios se darían reducciones de la precipitación, del orden del 11-15% bajo el RCP 4.5, entre 4-9% bajo el RCP 6.0 y del 19-23% bajo el RCP 8.5, con las mayores reducciones al sur de la provincia (Figura 1.1.10-3). Por último, para finales de siglo bajo los 4 escenarios se presentarían reducciones de la precipitación, siendo las de menor magnitud bajo el RCP 2.6 (entre 4-8%) y las más altas bajo el RCP 8.5, con reducciones entre 27 y 32% (Figura 1.1.10-4).

### **Temperatura Máxima**

La temperatura máxima presentaría incrementos bajo los 4 RCP en todos los periodos analizados. En el periodo de corto plazo (2021-2040) la temperatura aumentaría entre 0.7 y 1.3°C, con aumentos de más de 1°C bajo el RCP 8.5 (Figura 1.1.10-5). Para 2041-2060, los aumentos serían de 1.1 a 1.4°C bajo los primeros 3 RCP (2.6, 4.5 y 6.0), y de 1.5 a 1.8°C bajo el RCP 8.5 (Figura 1.1.10-6). En el periodo 2061-2080 los aumentos serían de 1.1 a 2.6°C, manteniéndose el incremento de 1.1 a 1.4°C bajo el RCP 2.6, siendo de 1.5 a 1.8°C bajo los RCP 4.5 y 6.0 y de 2.6°C bajo el RCP 8.5 (Figura 1.1.10-7). Para finales de siglo, los aumentos serían de 0.8 a 1.2°C bajo el RCP 2.6, de 1.7 a 1.9°C bajo el RCP 4.5, de 2.2 a 2.4°C bajo el RCP 6.0 y de 3.2 a 3.8°C bajo el RCP 8.5 (Figura 1.1.10-8).

### **Temperatura Mínima**

En el primer periodo (2021-2040), ésta se incrementaría de 0.6 a 0.8°C en los 4 escenarios RCP (Figura 1.1.10-9). Para 2041-2060 aumentaría de 0.7 a 1.1°C en los 3 primeros escenarios, y bajo el RCP 8.5 habría aumentos de 1.3°C (Figura 1.1.10-10). En el periodo 2061-2080 la temperatura mínima se incrementaría entre 0.6 y 0.8°C



bajo el RCP 2.6, entre 1.1 y 1.4°C bajo los RCP 4.5 y 6.0 y entre 1.7 y 1.9°C bajo el RCP 8.5 (Figura 1.1.10-11). Por último, para finales de siglo se mantendría un aumento de 0.8°C en el RCP 2.6, entre 1.1 y 1.4°C bajo el RCP 4.5, entre 1.6 y 1.9°C bajo el 6.0 y de 2.2 a 2.6°C bajo el RCP 8.5 (Figura 1.1.10-12).

#### *Temperatura Media*

La temperatura media se incrementaría entre 0.6 y 0.8°C en el periodo 2021-2040 bajo los 4 escenarios RCP (Figura 1.1.10-13). En el periodo 2041-2060 se mantendría este mismo rango bajo el RCP 2.6, y en los otros 3 escenarios aumentaría de 1.1 a 1.3°C (Figura 1.1.10-14). Para 2061-2080 la temperatura media aumentaría de 0.7 a 0.8°C bajo el RCP 2.6, de 1.3 a 1.7°C bajo los RCP 4.5 y 6.0 y de 1.7 a 1.9°C bajo el RCP 8.5 (Figura 1.1.10-15). Finalmente, para el periodo 2081-2100 la temperatura subiría entre 0.6 y 0.8°C bajo el RCP 2.6, entre 1.2 y 1.7°C bajo el RCP 4.5, de 1.6 a 1.9°C bajo el RCP 6.0 y de 2.4 a 2.8°C bajo el RCP 8.5 (Figura 1.1.10-16).

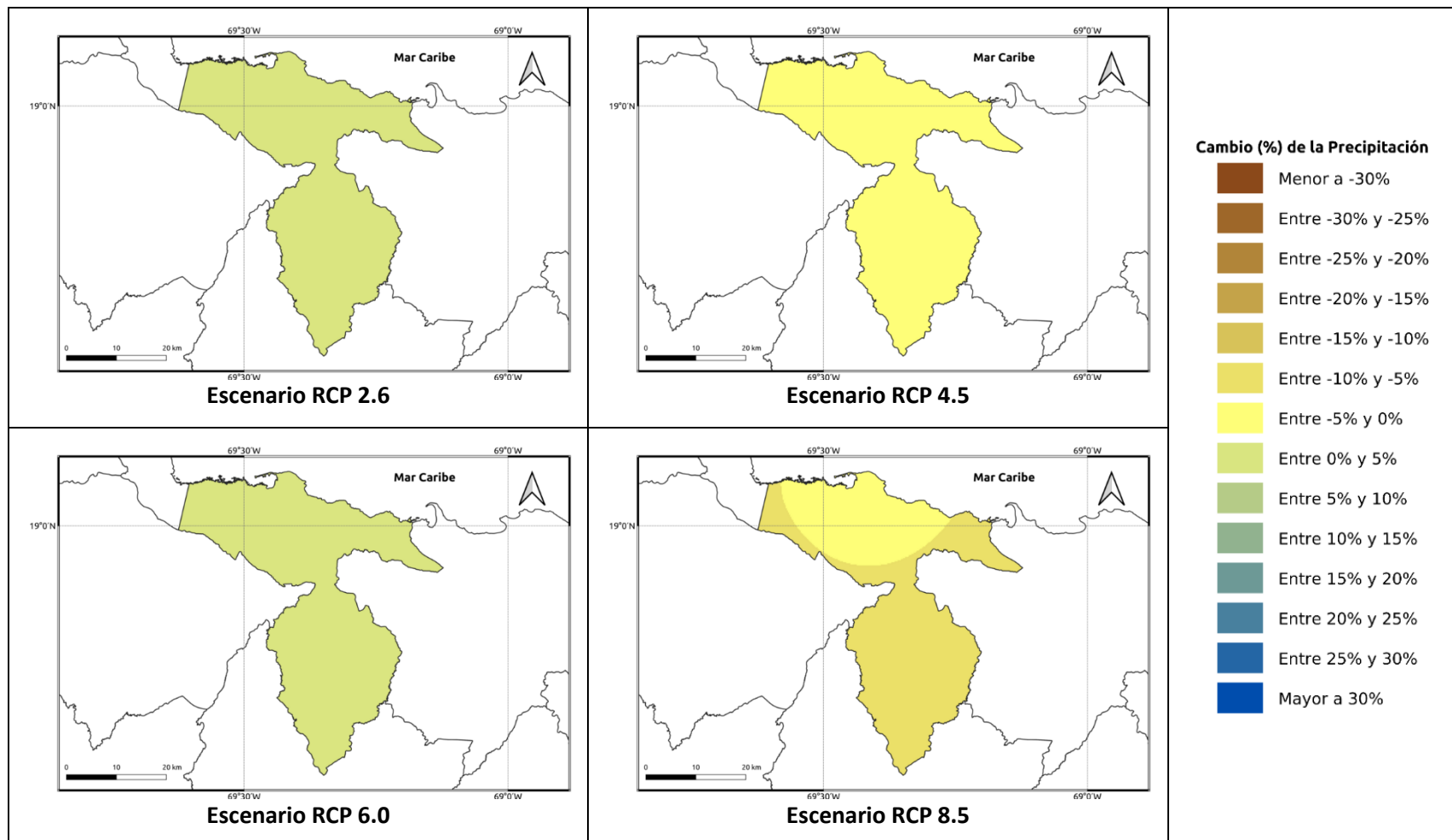
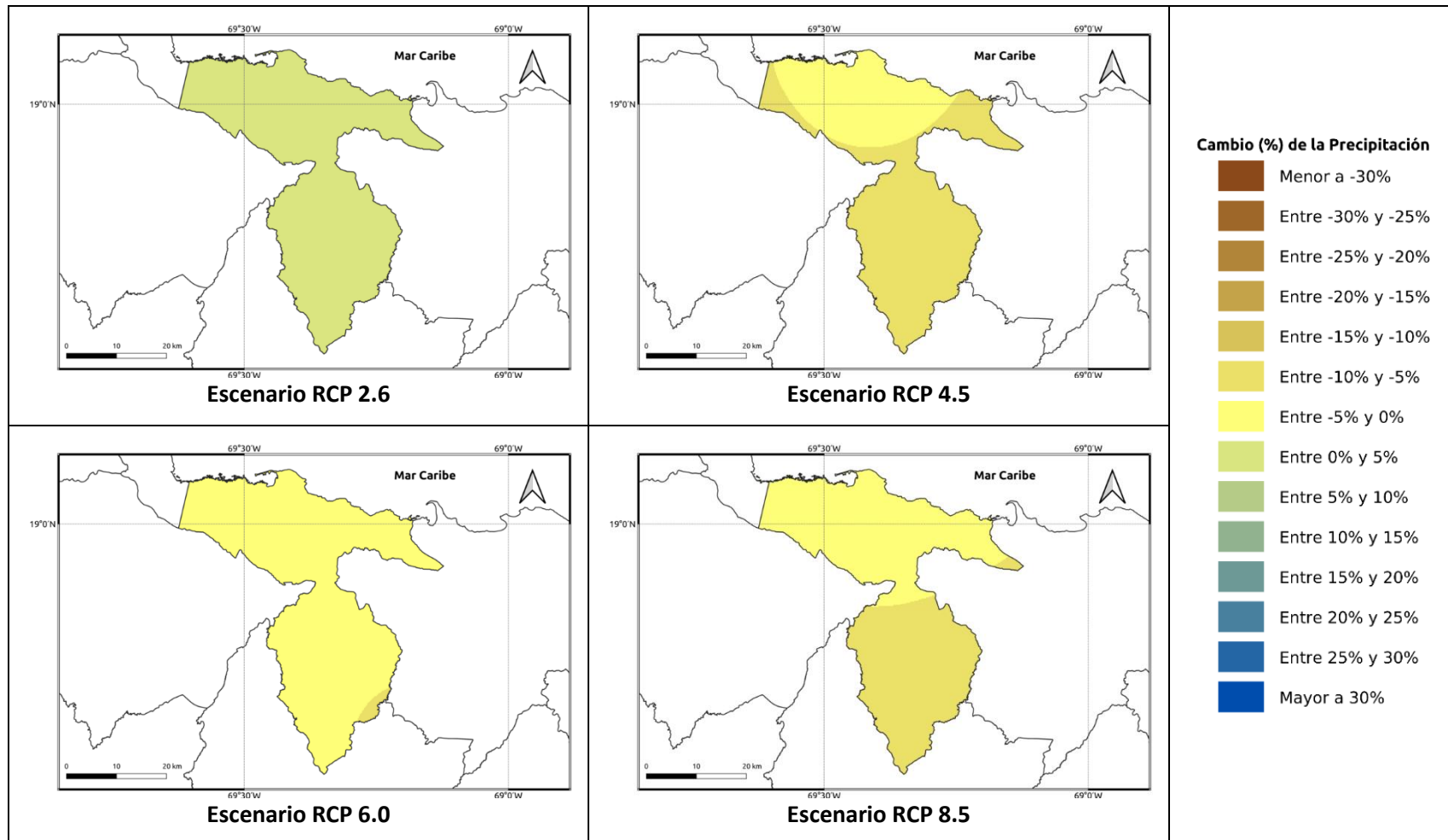


Figura 1.1.10-1. Cambios porcentuales de la precipitación (%) proyectados por el ensamble multimodelo bajo los 4 escenarios RCP en el periodo 2021-2040 para la provincia Hato Mayor.



**Figura 1.1.10-2. Cambios porcentuales de la precipitación (%) proyectados por el ensamble multimodelo bajo los 4 escenarios RCP en el periodo 2041-2060 para la provincia Hato Mayor.**

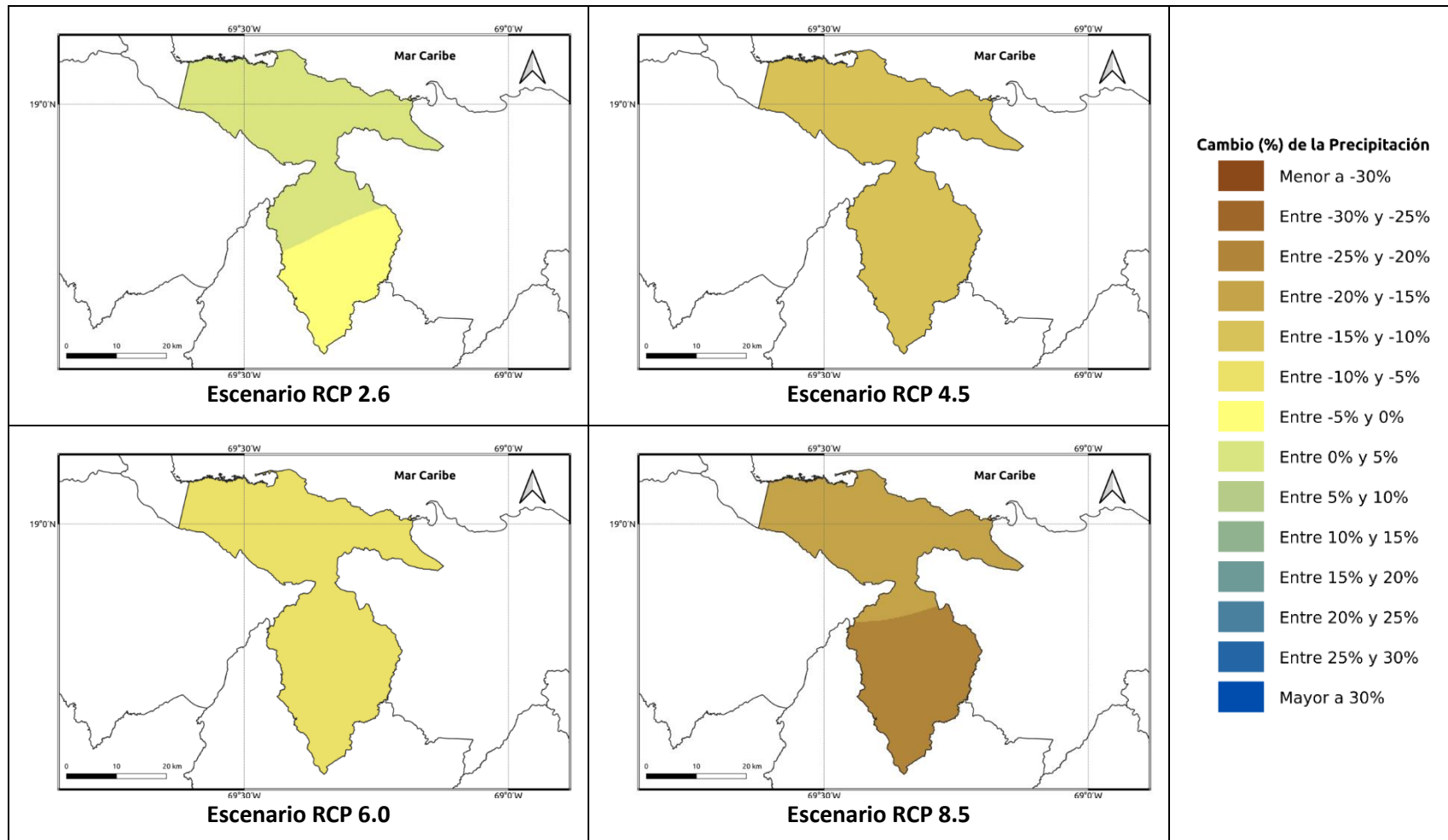
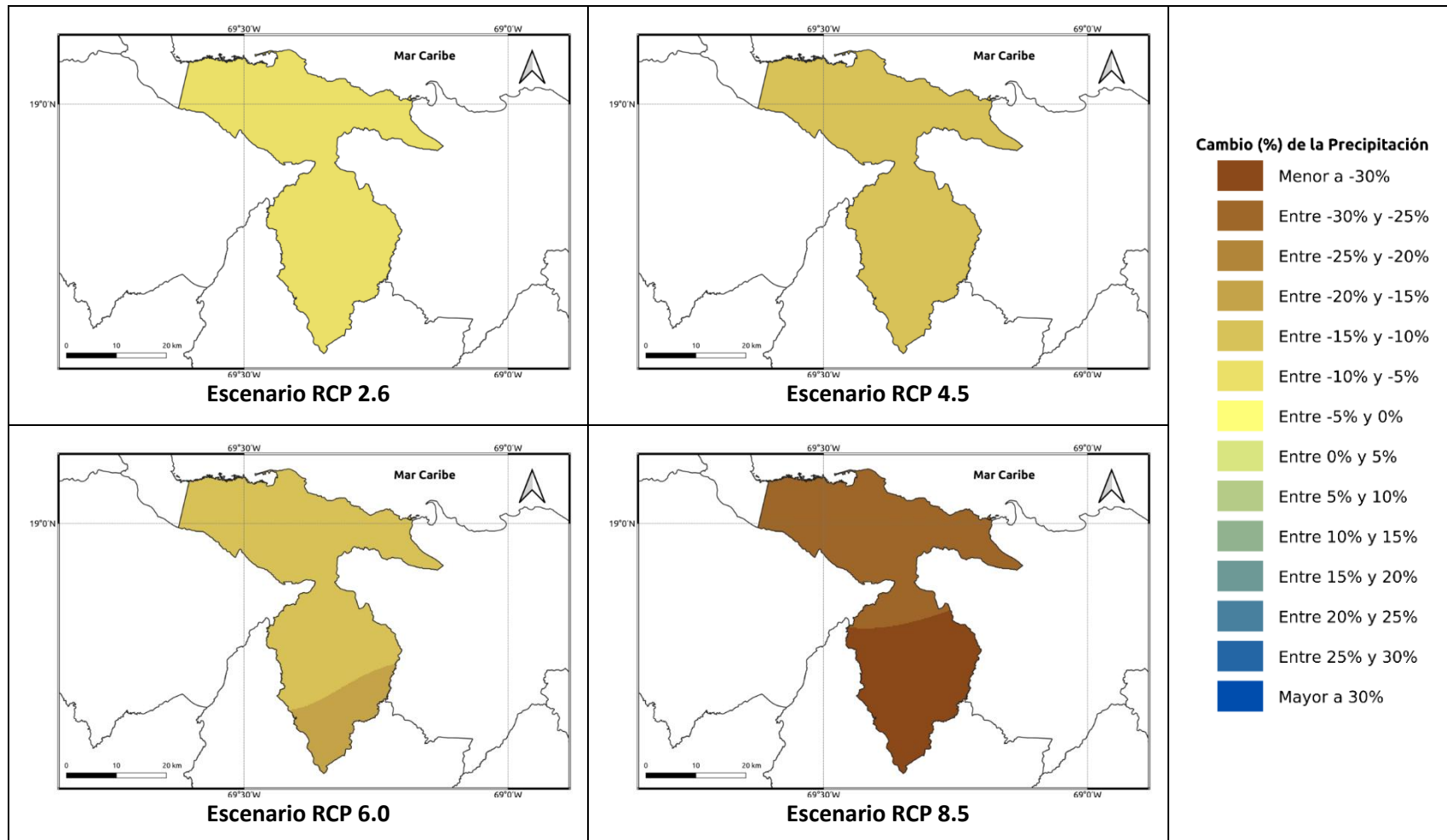


Figura 1.1.10-3. Cambios porcentuales de la precipitación (%) proyectados por el ensamble multimodelo bajo los 4 escenarios RCP en el periodo 2061-2080 para la provincia Hato Mayor.



**Figura 1.1.10-4. Cambios porcentuales de la precipitación (%) proyectados por el ensamble multimodelo bajo los 4 escenarios RCP en el periodo 2081-2100 para la provincia Hato Mayor.**

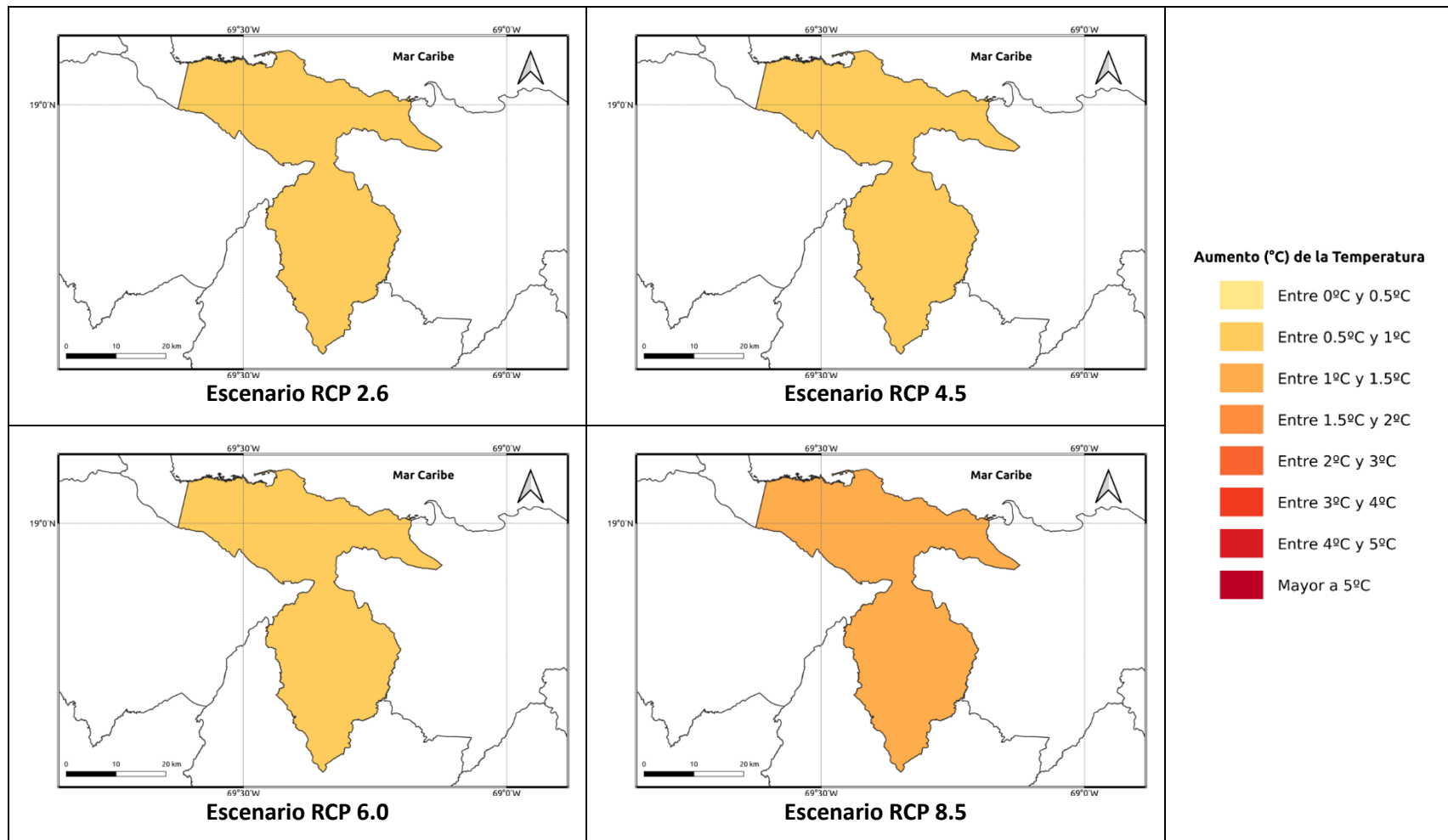
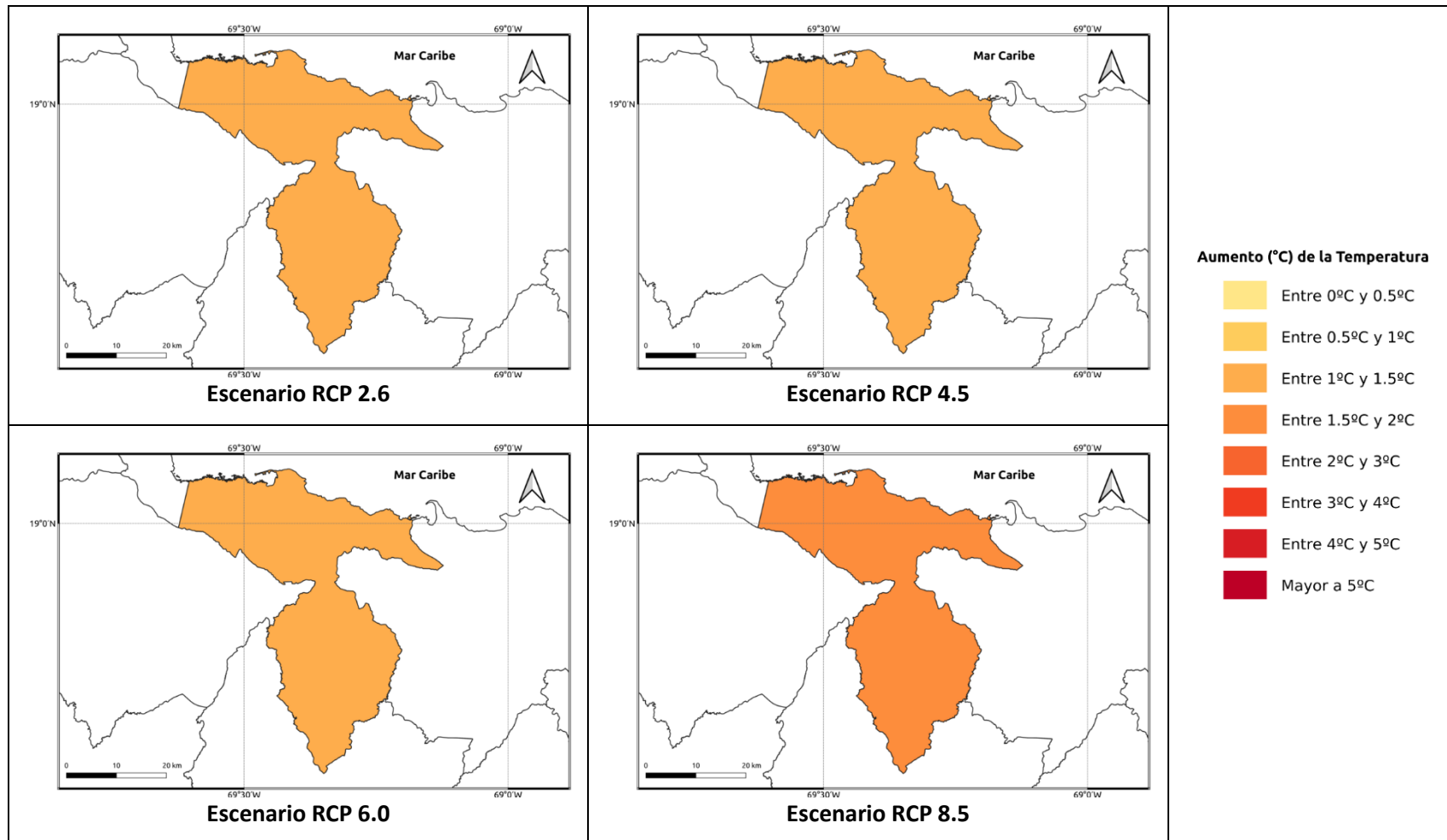
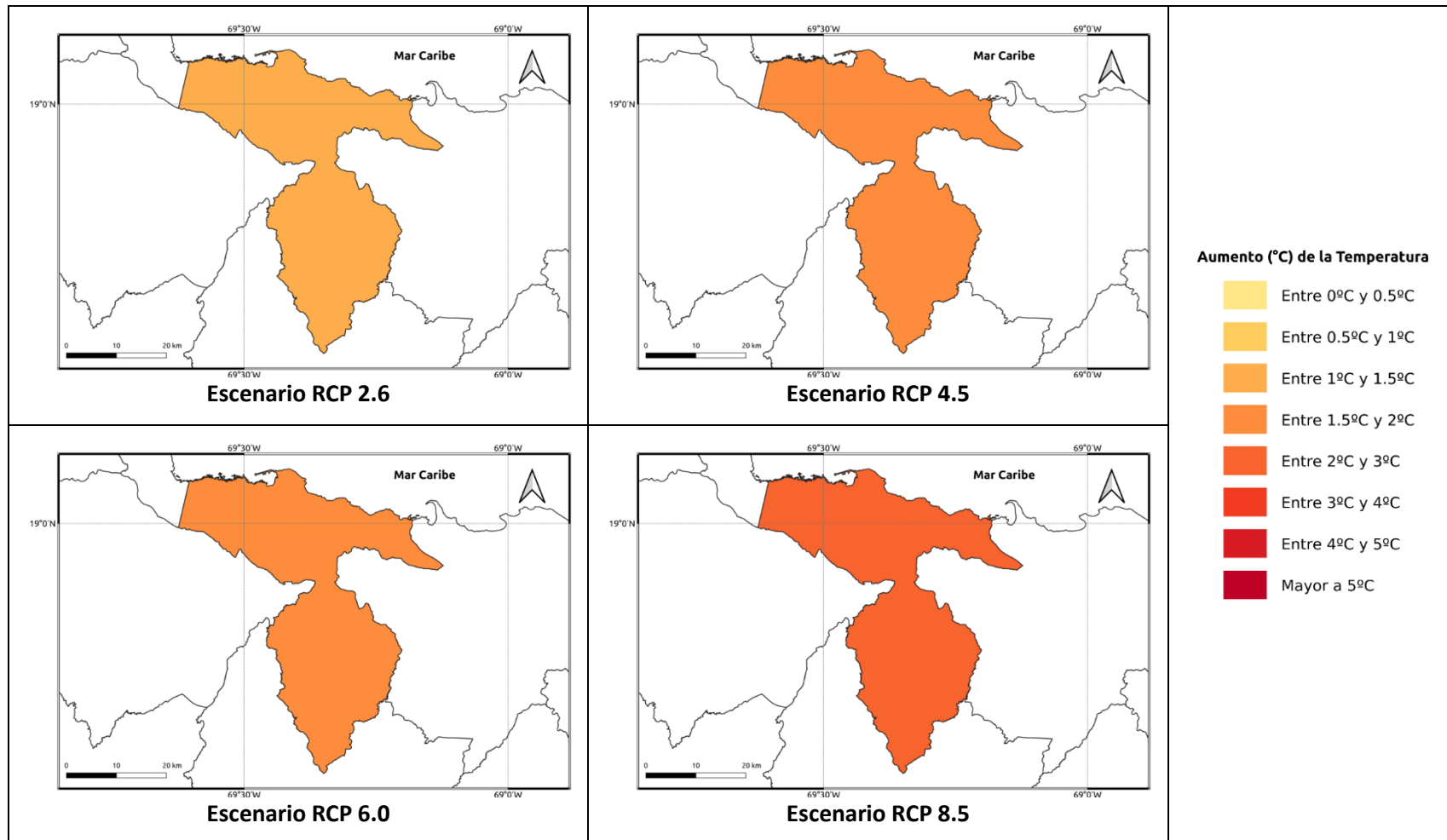


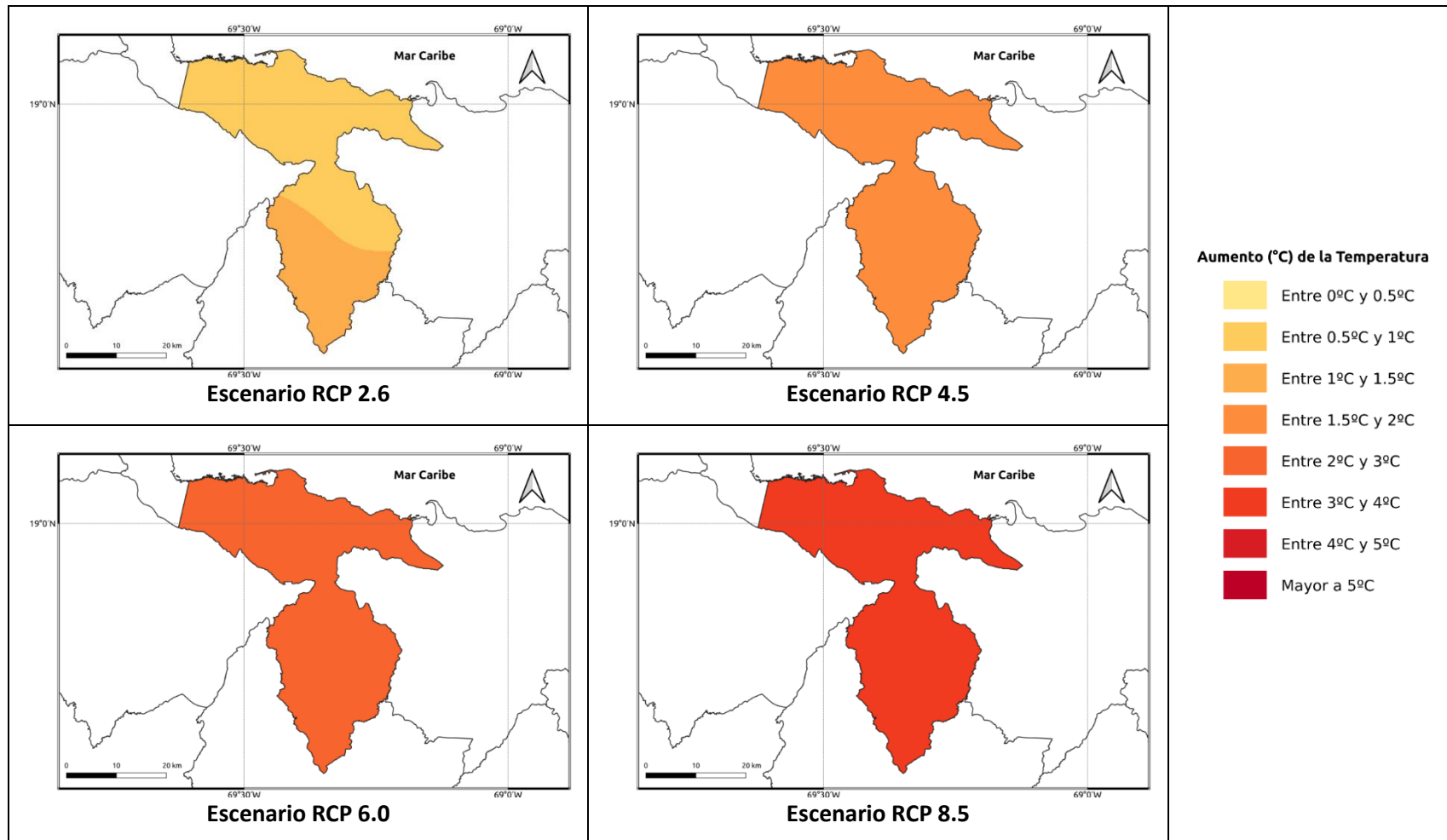
Figura 1.1.10-5. Cambios proyectados en la temperatura máxima (°C) por el ensamble multimodelo bajo los 4 escenarios RCP en el periodo 2021-2040 para la provincia Hato Mayor.



**Figura 1.1.10-6. Cambios proyectados en la temperatura máxima (°C) por el ensamble multimodelo bajo los 4 escenarios RCP en el periodo 2041-2060 para la provincia Hato Mayor.**



**Figura 1.1.10-7. Cambios proyectados en la temperatura máxima (°C) por el ensamble multimodelo bajo los 4 escenarios RCP en el periodo 2061-2080 para la provincia Hato Mayor.**



**Figura 1.1.10-8. Cambios proyectados en la temperatura máxima (°C) por el ensamble multimodelo bajo los 4 escenarios RCP en el periodo 2081-2100 para la provincia Hato Mayor.**

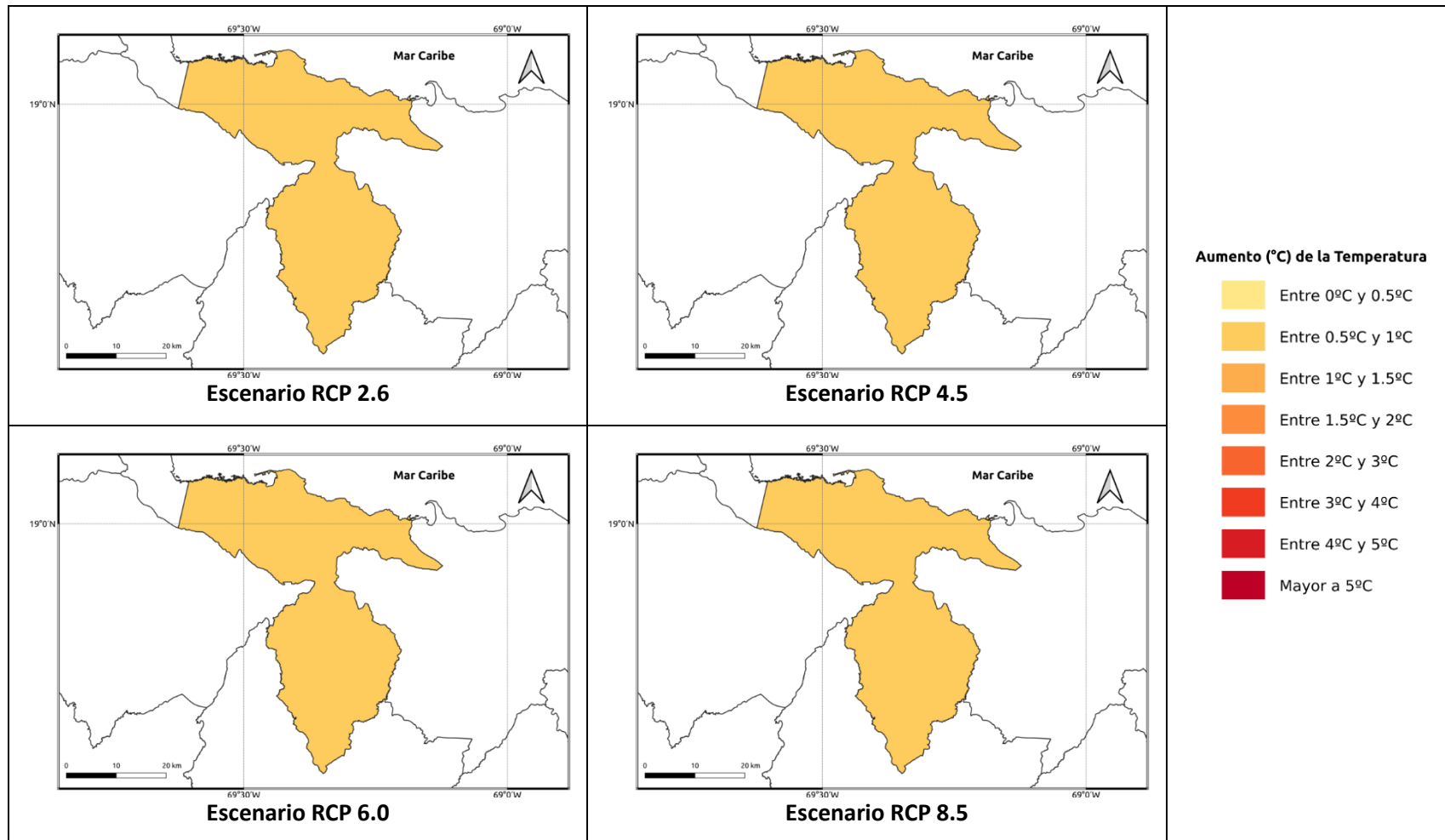


Figura 1.1.10-9. Cambios proyectados en la temperatura mínima (°C) por el ensamble multimodelo bajo los 4 escenarios RCP en el periodo 2021-2040 para la provincia Hato Mayor.

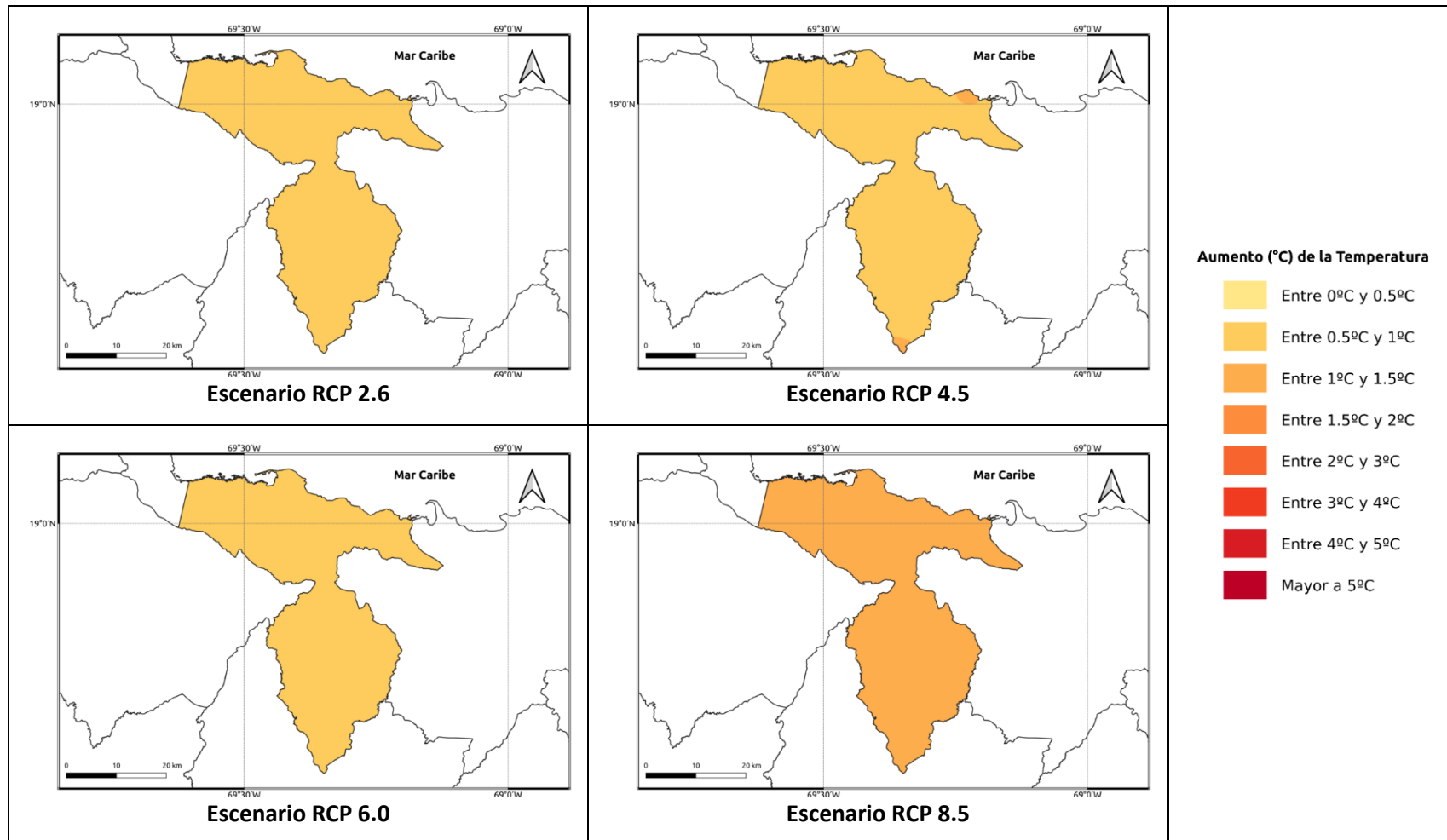


Figura 1.1.10-10. Cambios proyectados en la temperatura mínima (°C) por el ensamble multimodelo bajo los 4 escenarios RCP en el periodo 2041-2060 para la provincia Hato Mayor.

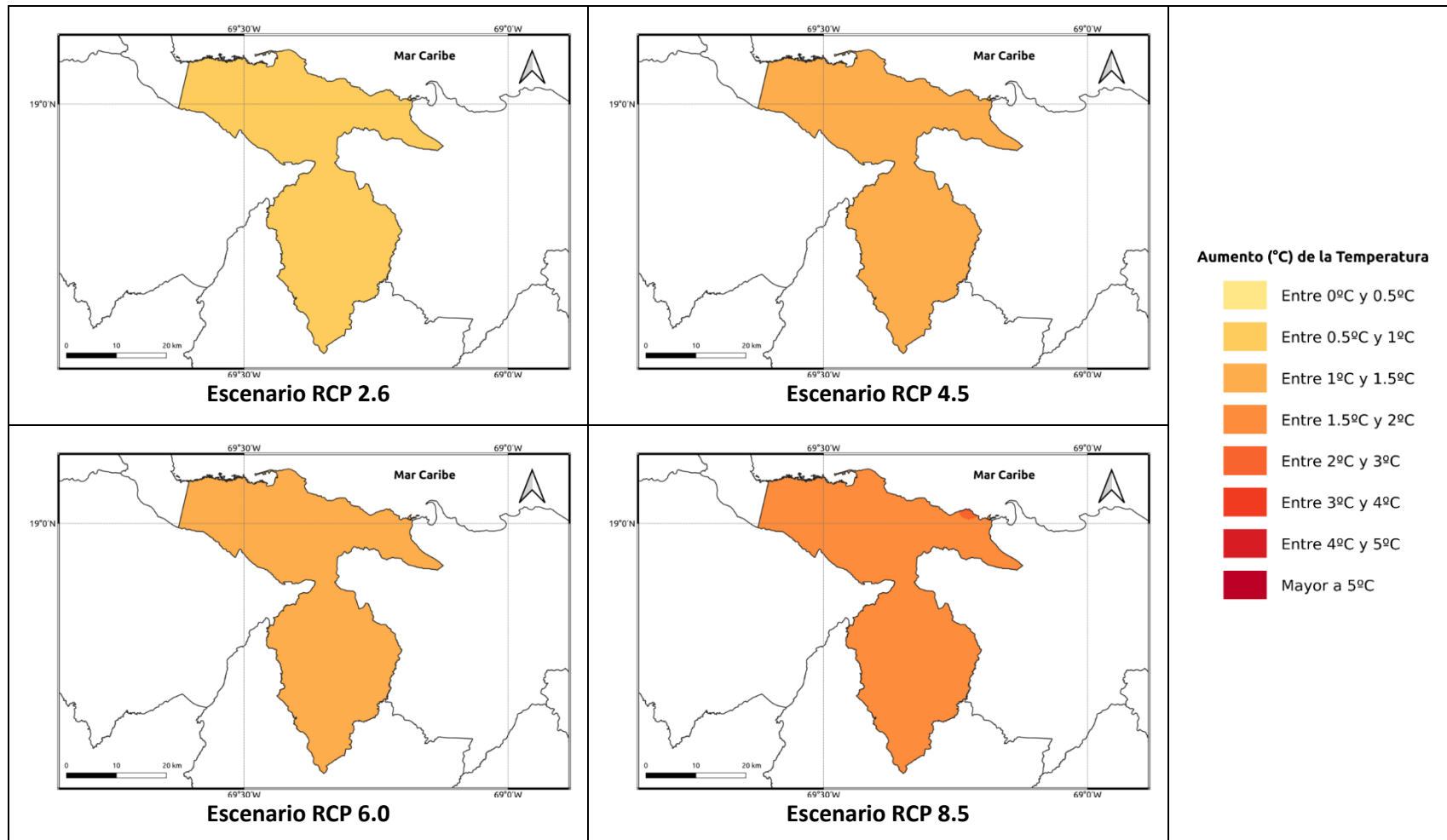
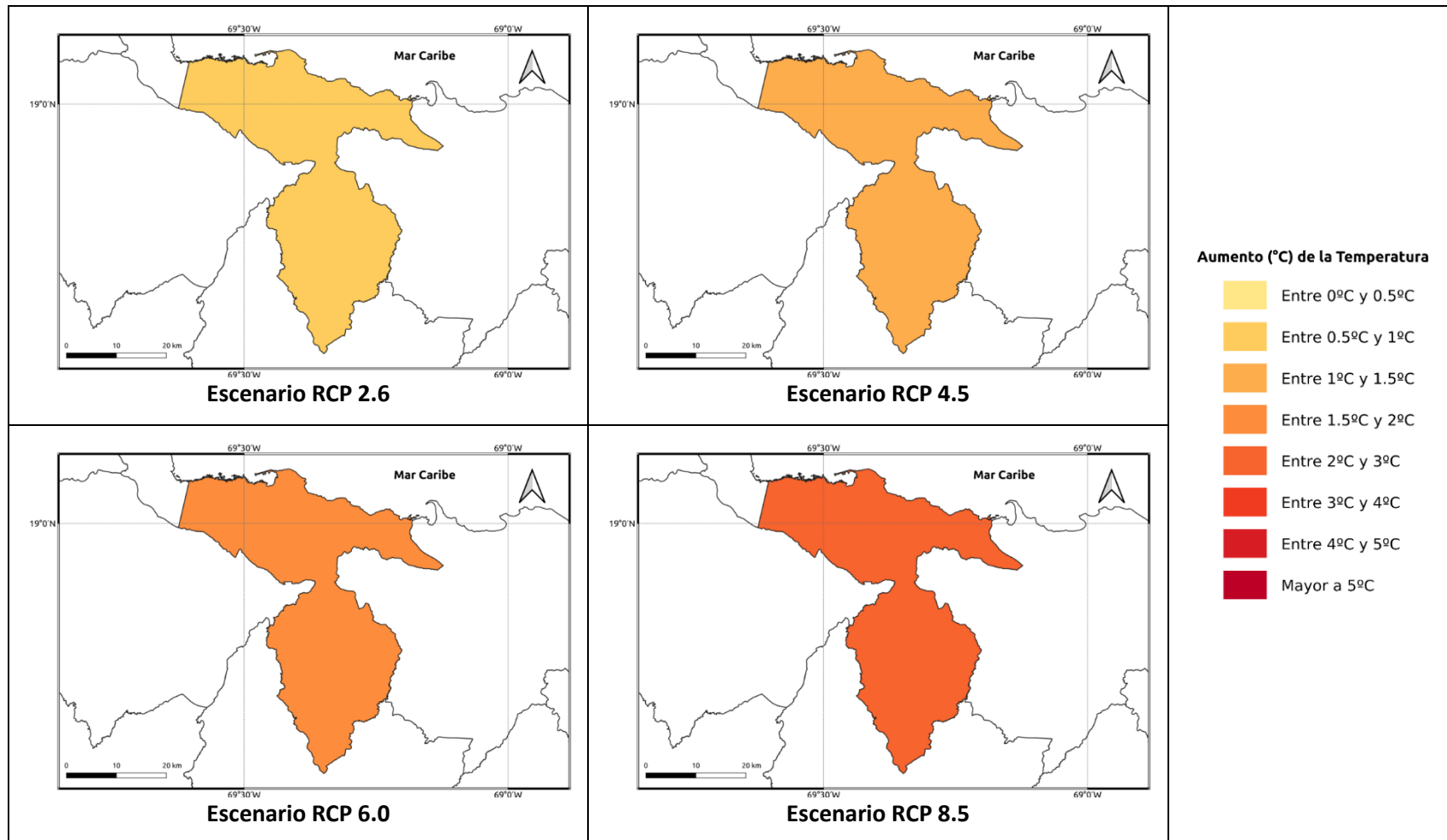


Figura 1.1.10-11. Cambios proyectados en la temperatura mínima (°C) por el ensamble multimodelo bajo los 4 escenarios RCP en el periodo 2061-2080 para la provincia Hato Mayor.



**Figura 1.1.10-12. Cambios proyectados en la temperatura mínima (°C) por el ensamble multimodelo bajo los 4 escenarios RCP en el periodo 2081-2100 para la provincia Hato Mayor.**

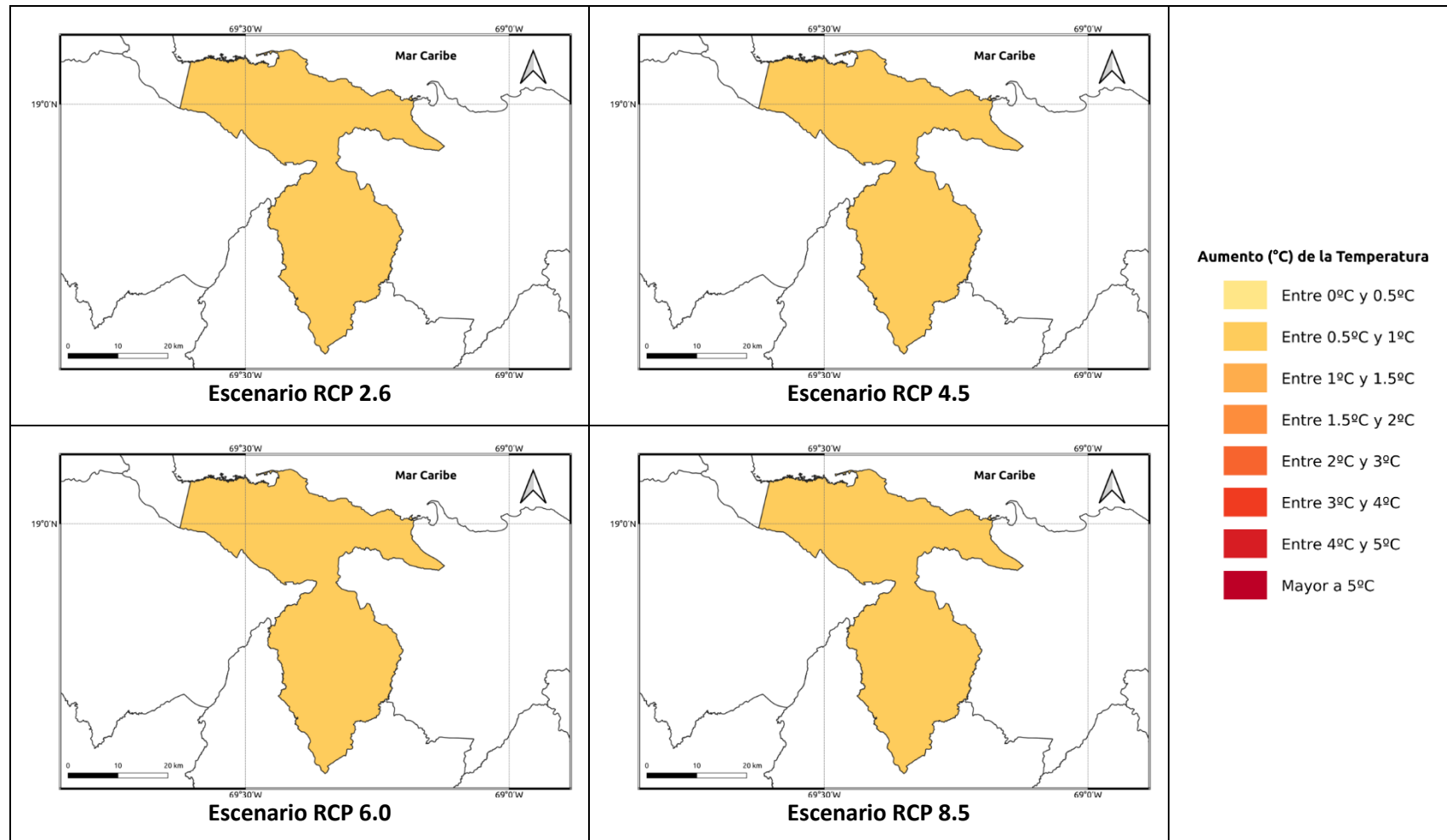
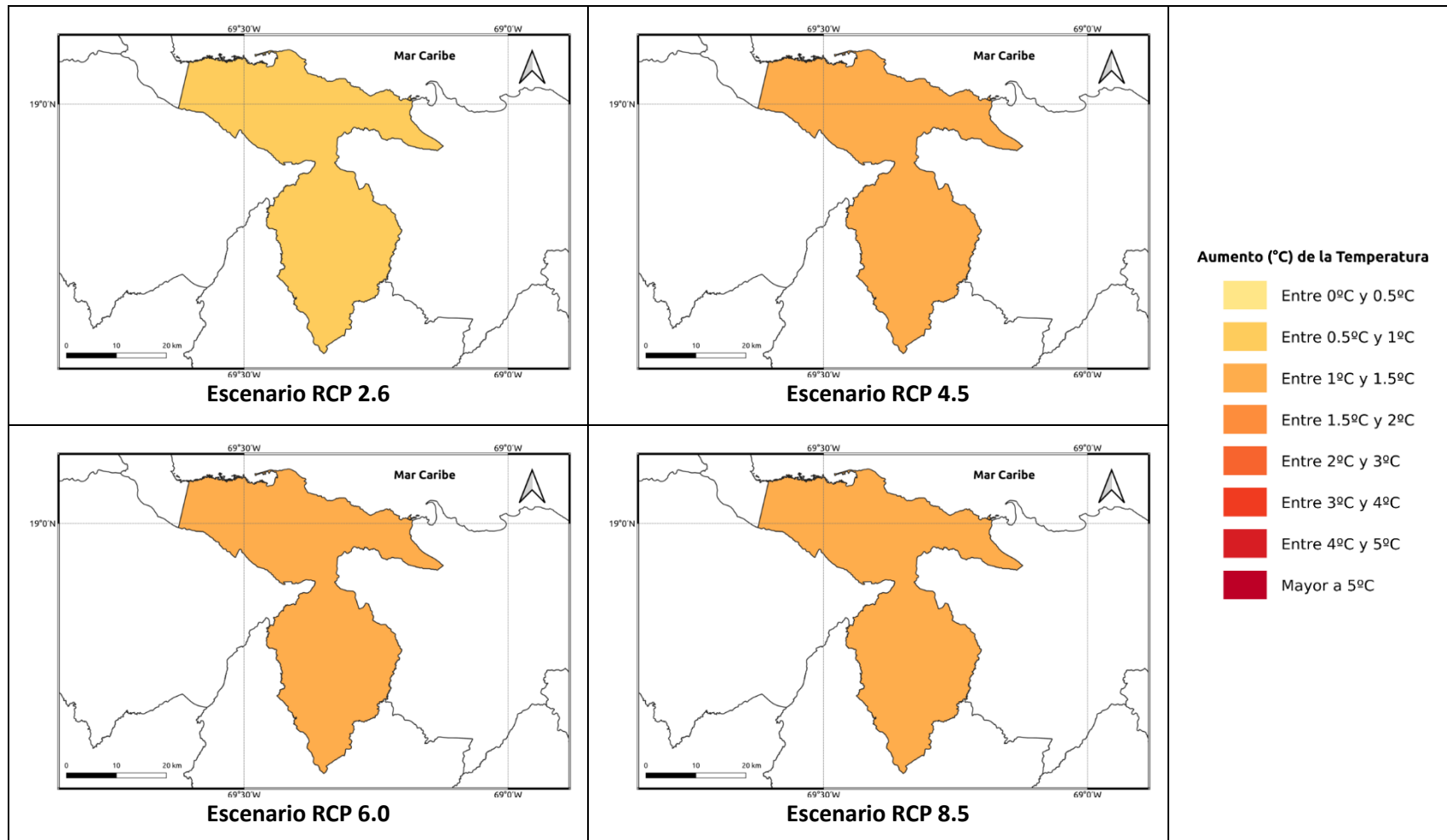
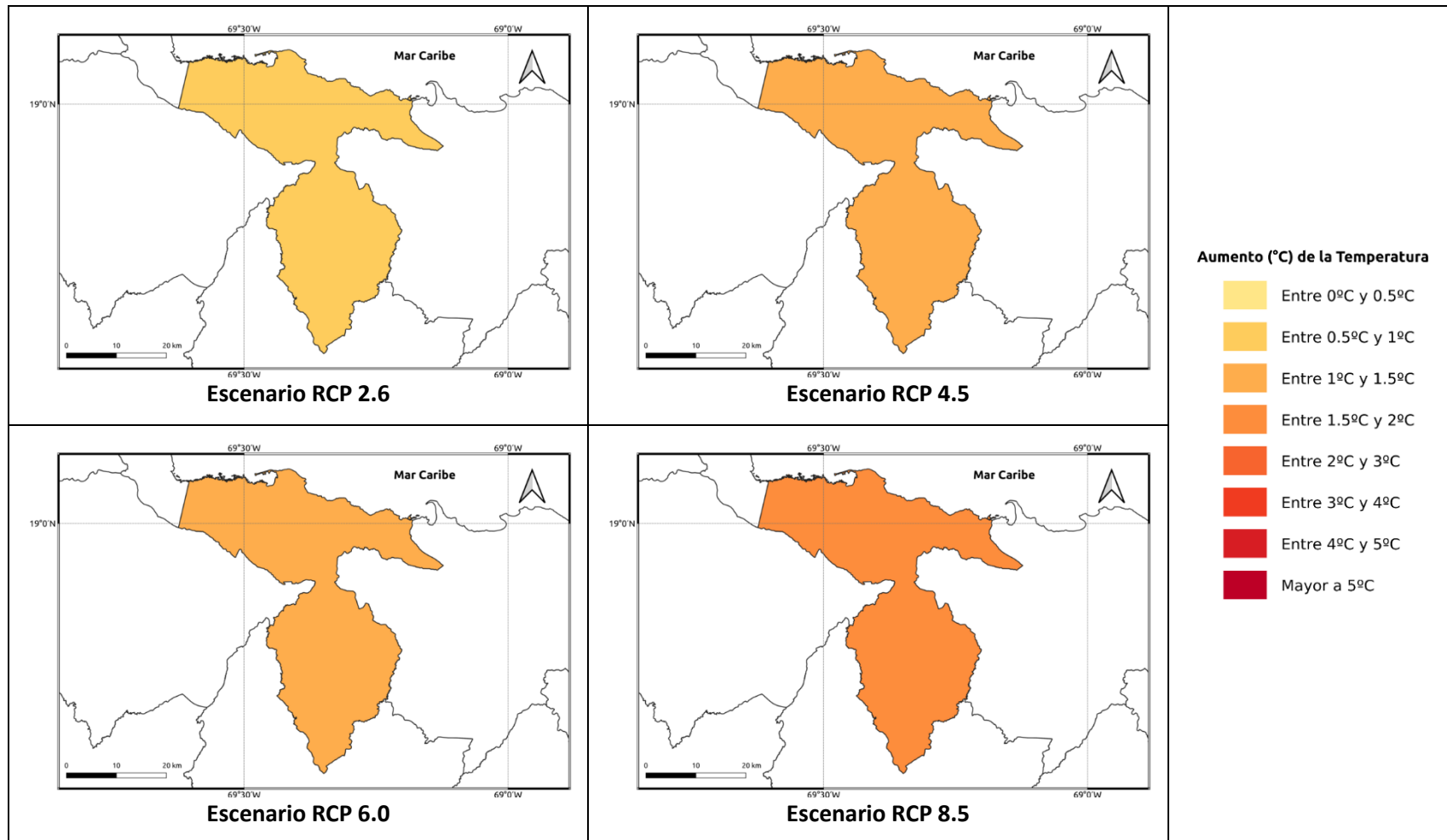


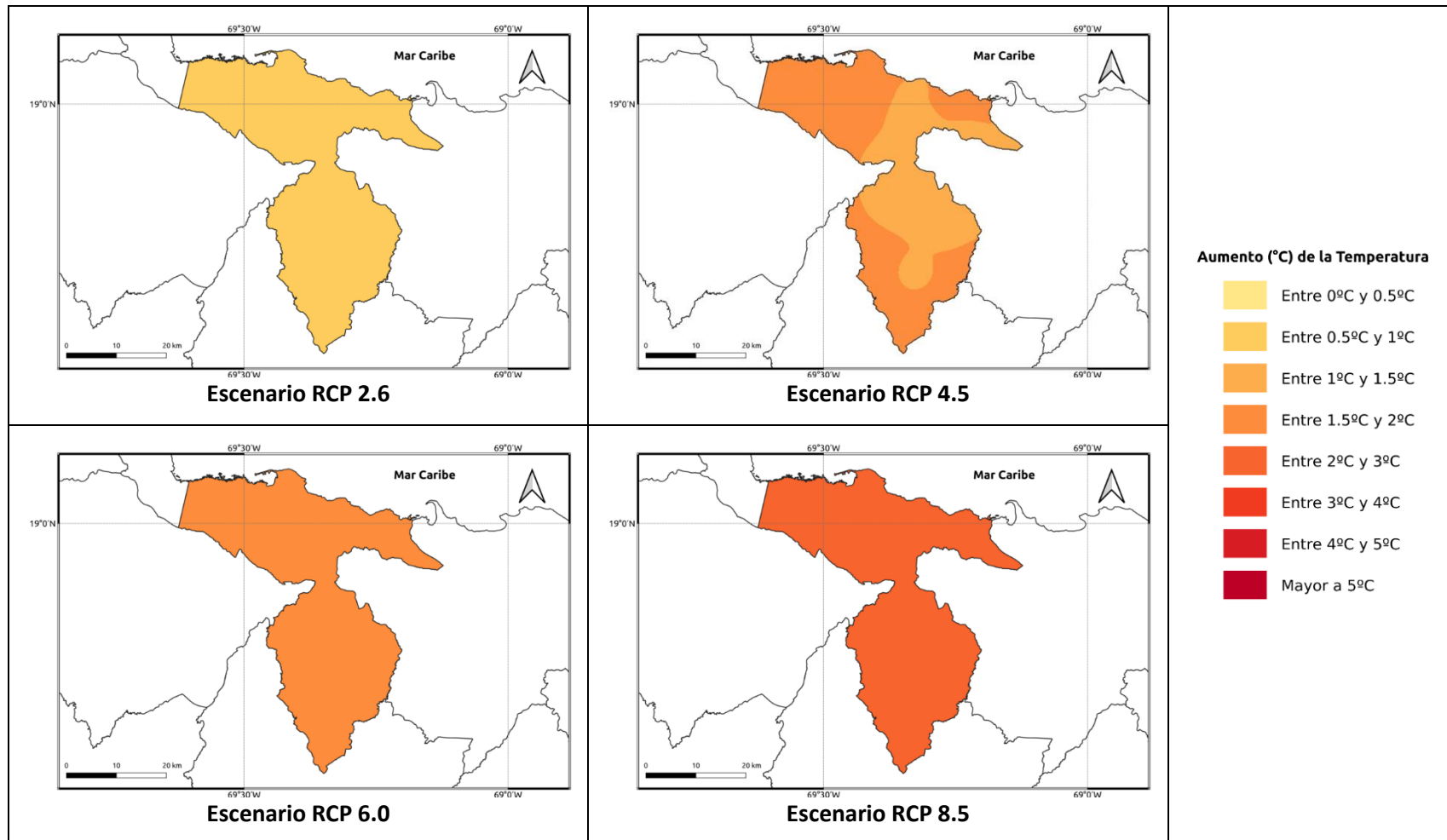
Figura 1.1.10-13. Cambios proyectados en la temperatura media (°C) por el ensamble multimodelo bajo los 4 escenarios RCP en el periodo 2021-2040 para la provincia Hato Mayor.



**Figura 1.1.10-14. Cambios proyectados en la temperatura media (°C) por el ensamble multimodelo bajo los 4 escenarios RCP en el periodo 2041-2060 para la provincia Hato Mayor.**



**Figura 1.1.10-15. Cambios proyectados en la temperatura media (°C) por el ensamble multimodelo bajo los 4 escenarios RCP en el periodo 2061-2080 para la provincia Hato Mayor.**



**Figura 1.1.10-16. Cambios proyectados en la temperatura media (°C) por el ensamble multimodelo bajo los 4 escenarios RCP en el periodo 2081-2100 para la provincia Hato Mayor.**

### **1.1.11 PROVINCIA HERMANAS MIRABAL**

A continuación, se presenta el análisis espacial de los cambios de las variables climáticas a nivel anual para la provincia **Hermanas Mirabal**. Los cambios a nivel estacional (trimestral) se pueden consultar en el Anexo 12.

#### **Precipitación**

Para esta variable, en el periodo de corto plazo 2021-2040 se presentarían cambios dentro del rango normal de variabilidad (del orden del 5%), con aumentos de esta magnitud bajo los escenarios RCP 2.6 y 6.0, y reducciones del mismo orden bajo los escenarios RCP 4.5 y 8.5 (Figura 1.1.11-1). Para el siguiente periodo (2041-2060), bajo el RCP 2.6 se mantiene el aumento de la precipitación del orden del 5%, y en los demás escenarios la tendencia sería a la reducción de la precipitación entre un 3-5% (Figura 1.1.11-2). Para el periodo 2061-2080, en el RCP 2.6 se mantendrían los incrementos del 5%, y bajo los otros escenarios se darían reducciones de la precipitación, del orden del 8-15% bajo el RCP 4.5, entre 4-9% bajo el RCP 6.0 y del 16-19% bajo el RCP 8.5 (Figura 1.1.11-3). Por último, para finales de siglo bajo los 4 escenarios se presentarían reducciones de la precipitación, siendo las de menor magnitud bajo el RCP 2.6 (entre 4-8%) y las más altas bajo el RCP 8.5, con reducciones entre 26 y 29% (Figura 1.1.11-4).

#### **Temperatura Máxima**

La temperatura máxima presentaría incrementos bajo los 4 RCP en todos los periodos analizados. En el periodo de corto plazo (2021-2040) la temperatura aumentaría entre 0.7 y 1.3°C, con aumentos de más de 1°C bajo el RCP 8.5 (Figura 1.1.11-5). Para 2041-2060, los aumentos serían de 1.1 a 1.4°C bajo los primeros 3 RCP (2.6, 4.5 y 6.0), y de 1.5 a 1.8°C bajo el RCP 8.5 (Figura 1.1.11-6). En el periodo 2061-2080 los aumentos serían de 1.1 a 2.6°C, manteniéndose el incremento de 1.1 a 1.4°C bajo el RCP 2.6, siendo de 1.4 a 1.8°C bajo los RCP 4.5 y 6.0 y de 2.6°C bajo el RCP 8.5 (Figura 1.1.11-7). Para finales de siglo, los aumentos serían de 0.7 a 1°C bajo el RCP 2.6, de 1.7 a 1.9°C bajo el RCP 4.5, de 2.2 a 2.4°C bajo el RCP 6.0 y de 3.2 a 3.8°C bajo el RCP 8.5 (Figura 1.1.11-8).

#### **Temperatura Mínima**

En el primer periodo (2021-2040), ésta se incrementaría de 0.6 a 0.8°C en los 4 escenarios RCP (Figura 1.1.11-9). Para 2041-2060 aumentaría de 0.7 a 1.1°C en los 3 primeros escenarios, y bajo el RCP 8.5 habría aumentos de 1.3°C (Figura 1.1.11-10). En el periodo 2061-2080 la temperatura mínima se incrementaría entre 0.6 y 0.8°C bajo el RCP 2.6, entre 1.1 y 1.4°C bajo los RCP 4.5 y 6.0 y entre 1.7 y 2.2°C bajo el RCP 8.5 (dándose los mayores aumentos hacia el norte de la provincia) (Figura 1.1.11-



11). Por último, para finales de siglo se mantendría un aumento de 0.8°C en el RCP 2.6, entre 1.1 y 1.4°C bajo el RCP 4.5, entre 1.4 y 1.7°C bajo el 6.0 y de 2.2 a 2.6°C bajo el RCP 8.5 (Figura 1.1.11-12).

### ***Temperatura Media***

La temperatura media se incrementaría entre 0.6 y 0.8°C en el periodo 2021-2040 bajo los 4 escenarios RCP (Figura 1.1.11-13). En el periodo 2041-2060 se mantendría este mismo rango bajo el RCP 2.6, y en los otros 3 escenarios aumentaría de 1.1 a 1.3°C (Figura 1.1.11-14). Para 2061-2080 la temperatura media aumentaría de 0.7 a 0.8°C bajo el RCP 2.6, de 1.2 a 1.4°C bajo los RCP 4.5 y 6.0 y de 1.7 a 2.2°C bajo el RCP 8.5 (dándose los mayores aumentos hacia el norte de la provincia) (Figura 1.1.11-15). Finalmente, para el periodo 2081-2100 la temperatura subiría entre 0.6 y 0.8°C bajo el RCP 2.6, entre 1.2 y 1.7°C bajo el RCP 4.5, de 1.6 a 1.9°C bajo el RCP 6.0 y de 2.4 a 2.8°C bajo el RCP 8.5 (Figura 1.1.11-16).



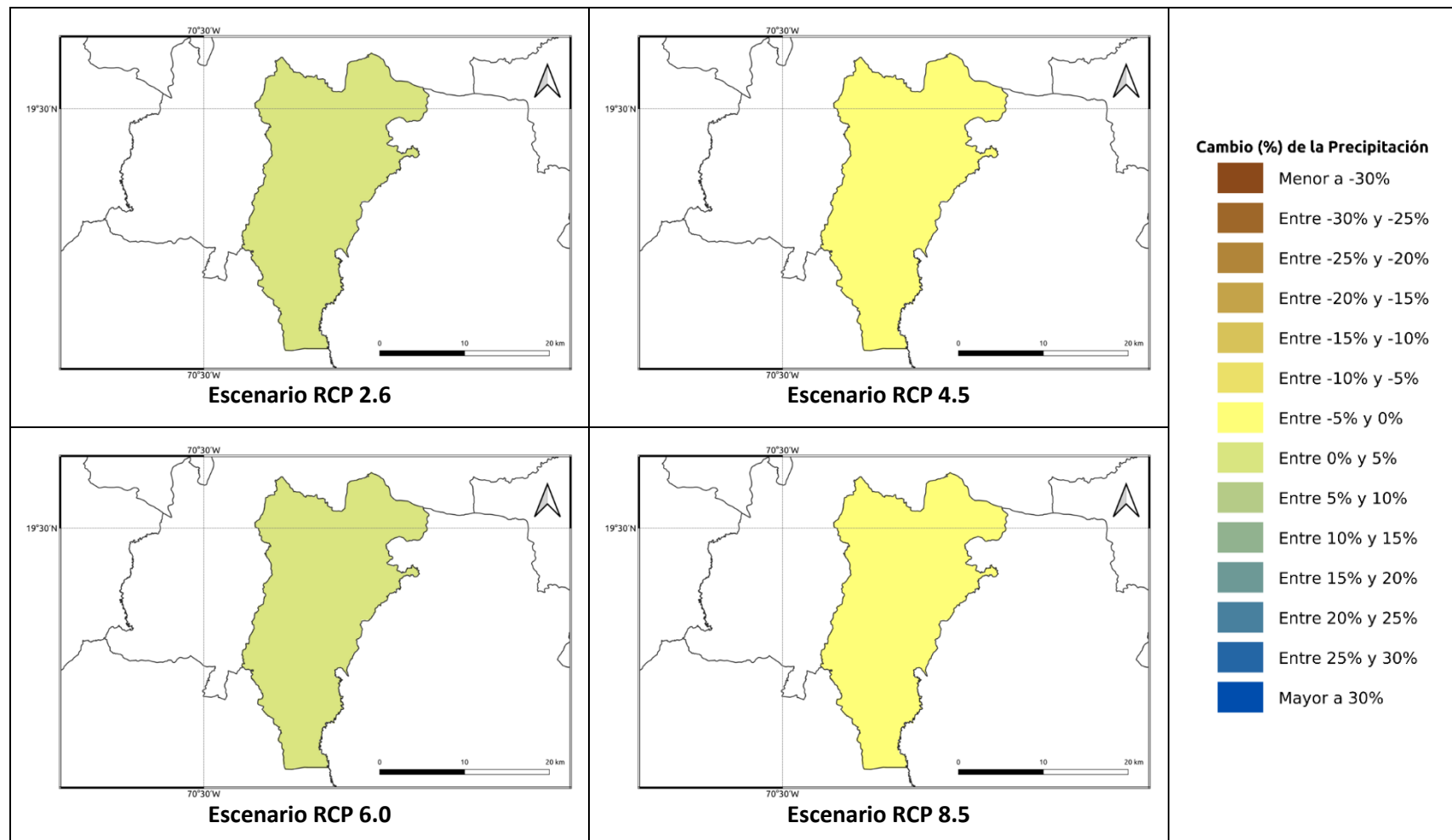
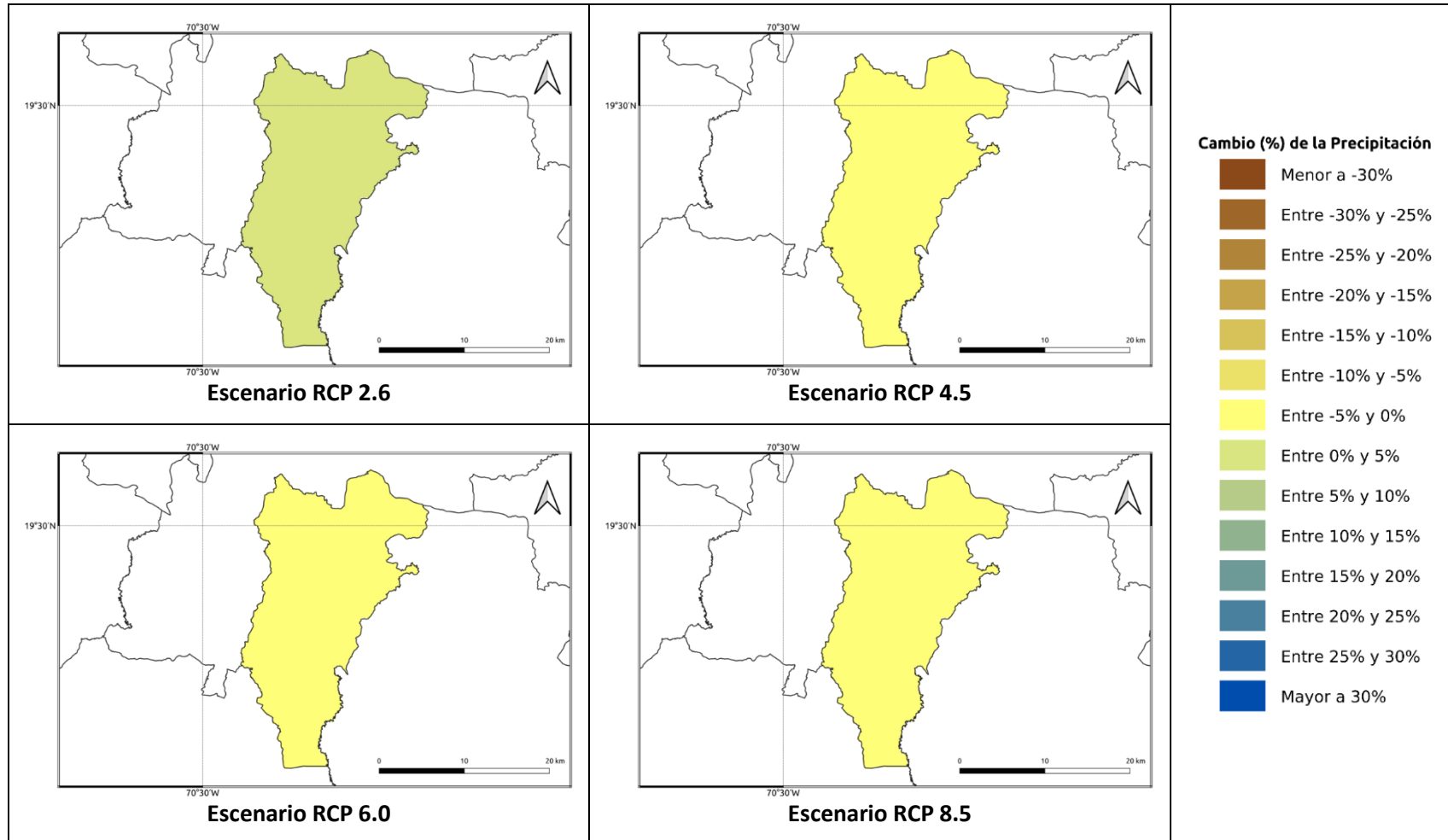
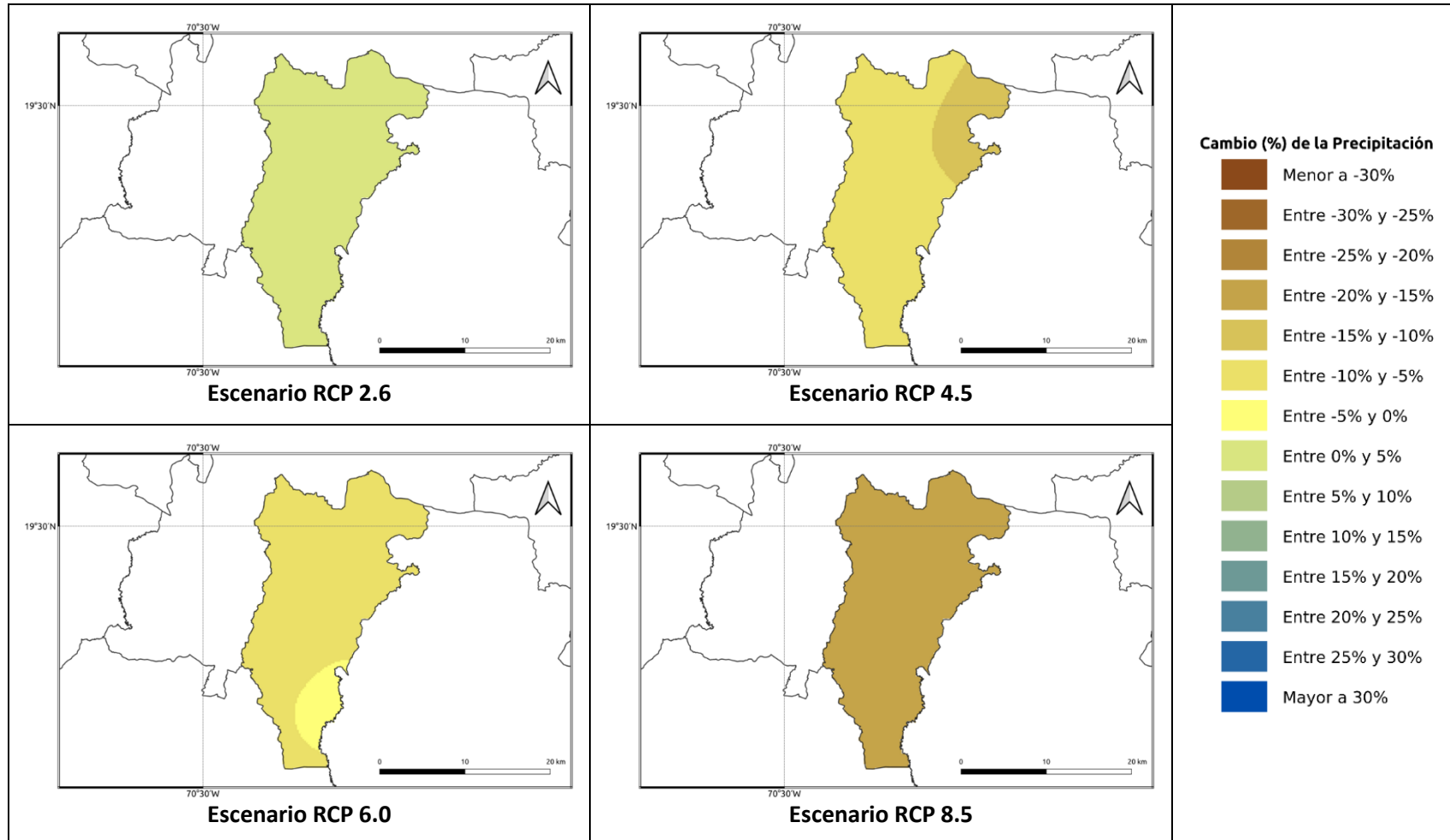


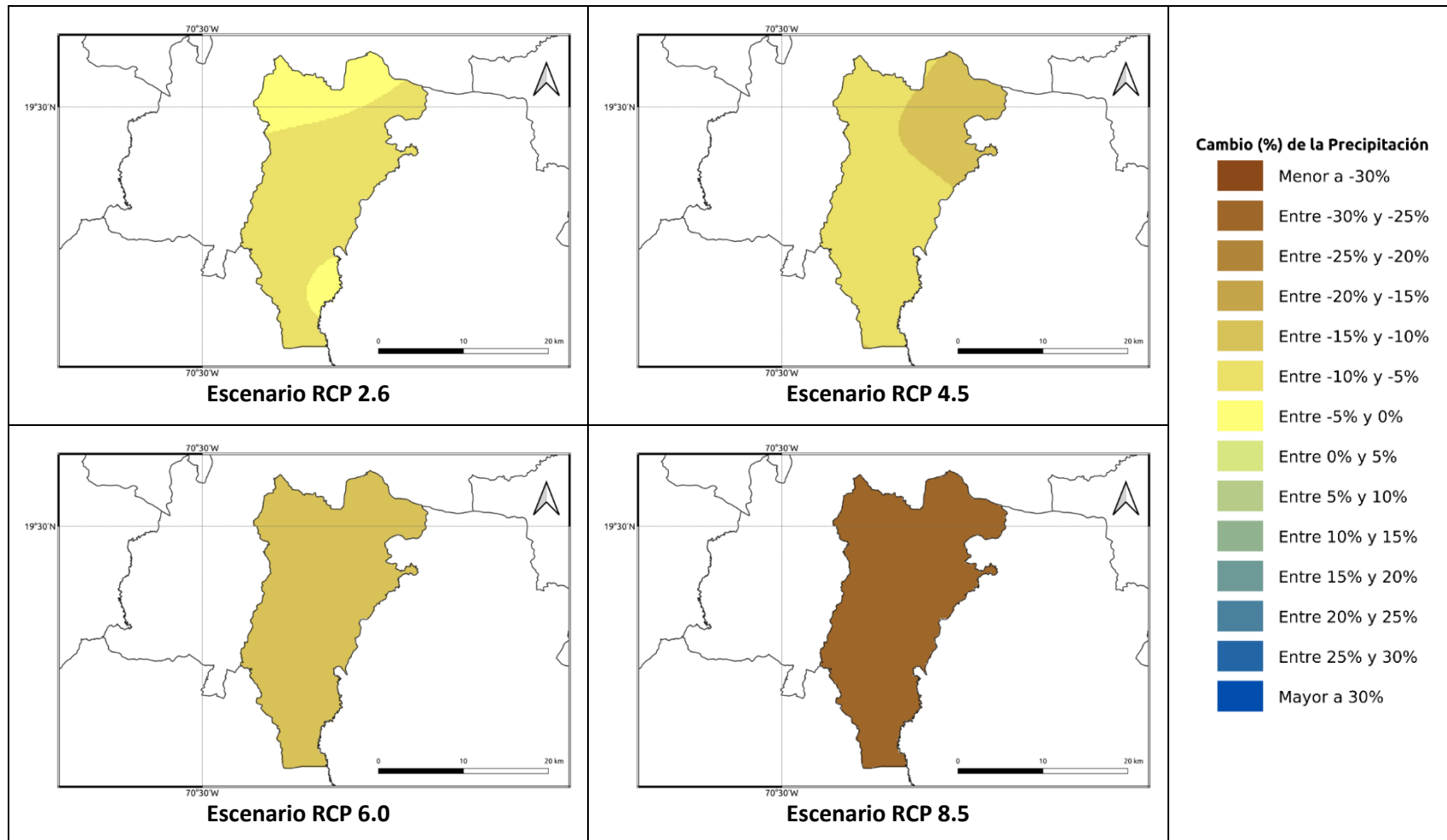
Figura 1.1.11-1. Cambios porcentuales de la precipitación (%) proyectados por el ensamble multimodelo bajo los 4 escenarios RCP en el periodo 2021-2040 para la provincia Hermanas Mirabal.



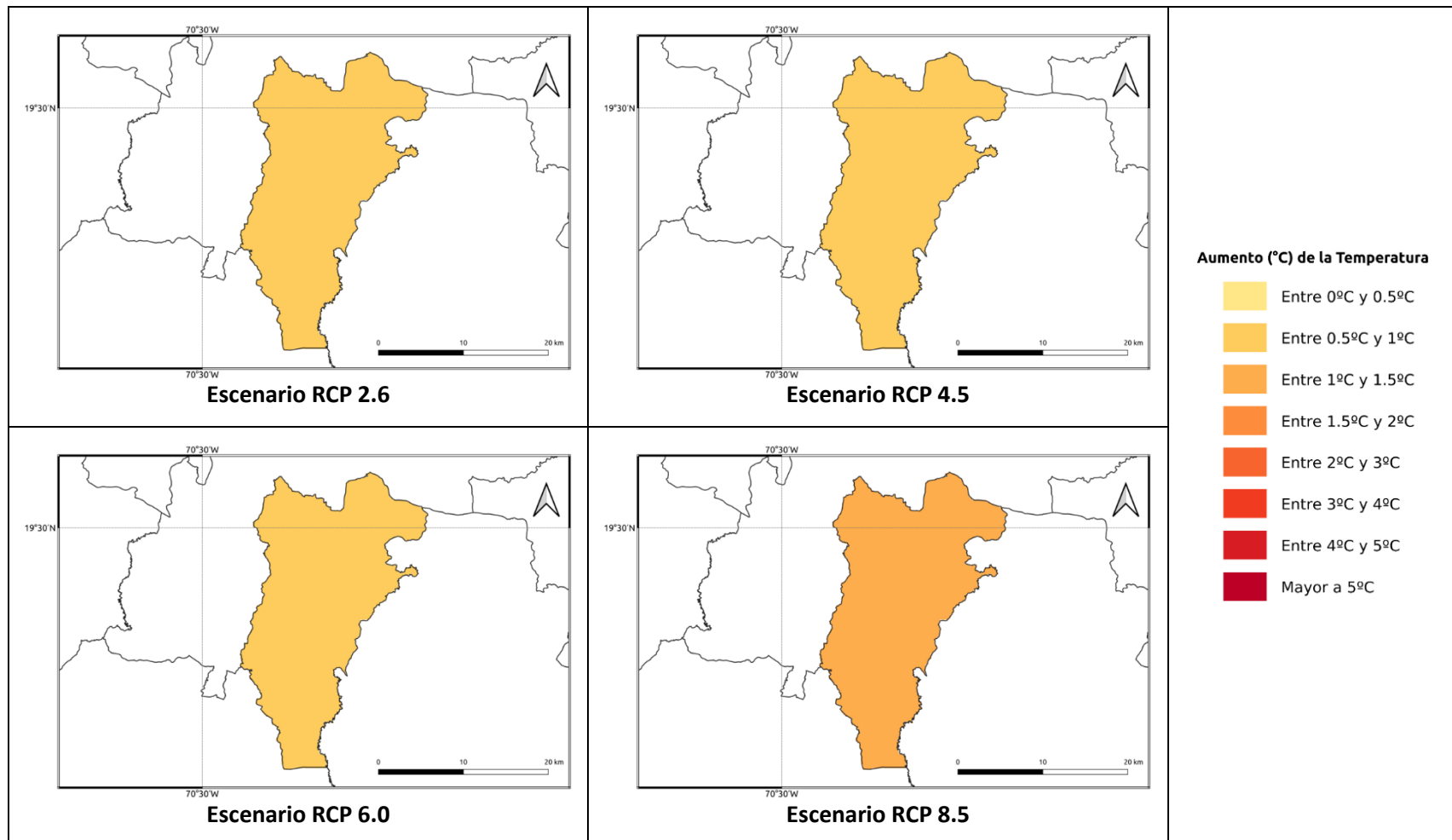
**Figura 1.1.11-2. Cambios porcentuales de la precipitación (%) proyectados por el ensamble multimodelo bajo los 4 escenarios RCP en el periodo 2041-2060 para la provincia Hermanas Mirabal.**



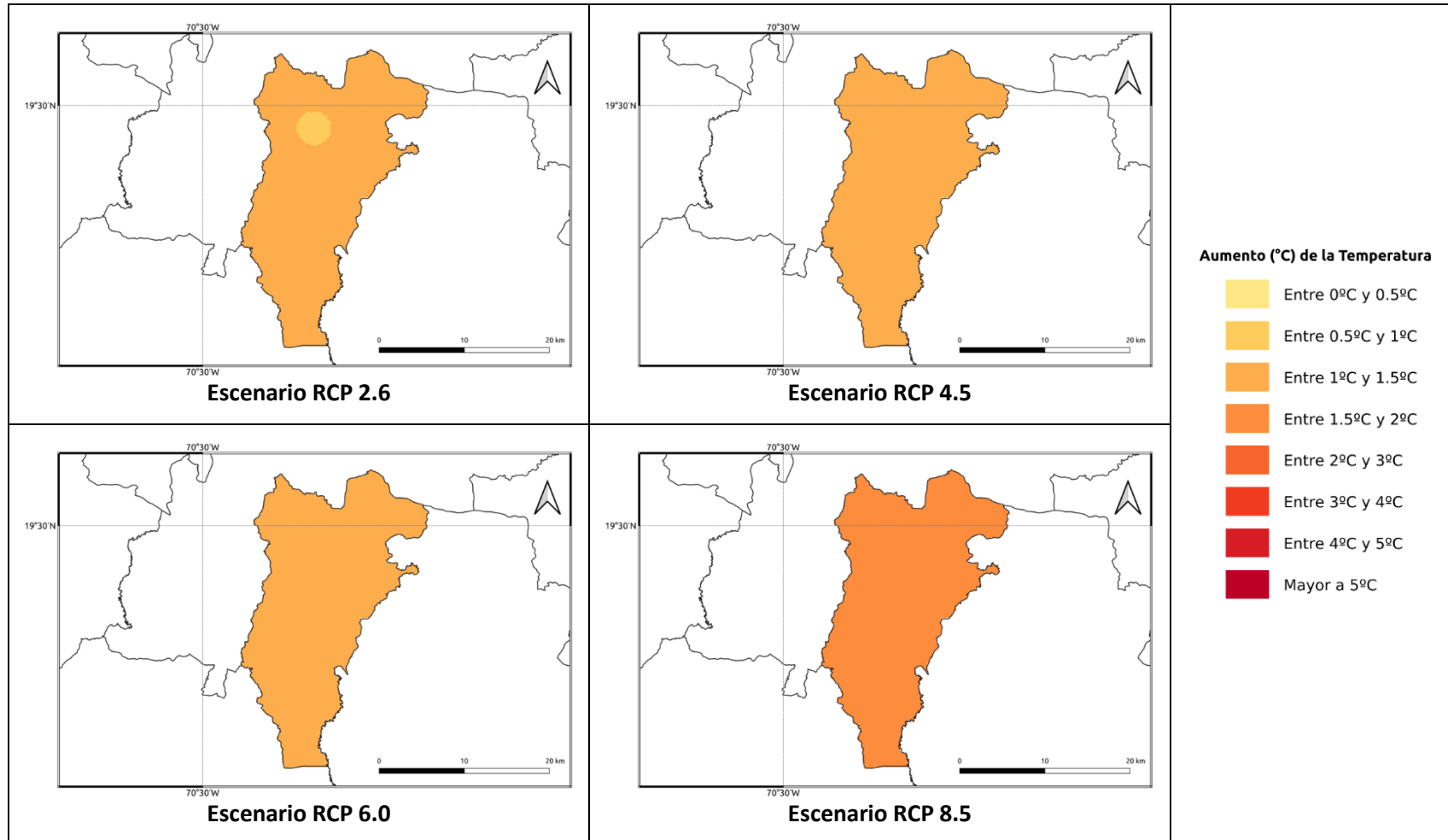
**Figura 1.1.11-3. Cambios porcentuales de la precipitación (%) proyectados por el ensamble multimodelo bajo los 4 escenarios RCP en el periodo 2061-2080 para la provincia Hermanas Mirabal.**



**Figura 1.1.11-4. Cambios porcentuales de la precipitación (%) proyectados por el ensamble multimodelo bajo los 4 escenarios RCP en el periodo 2081-2100 para la provincia Hermanas Mirabal.**



**Figura 1.1.11-5. Cambios proyectados en la temperatura máxima (°C) por el ensamble multimodelo bajo los 4 escenarios RCP en el periodo 2021-2040 para la provincia Hermanas Mirabal.**



**Figura 1.1.11-6. Cambios proyectados en la temperatura máxima (°C) por el ensamble multimodelo bajo los 4 escenarios RCP en el periodo 2041-2060 para la provincia Hermanas Mirabal.**

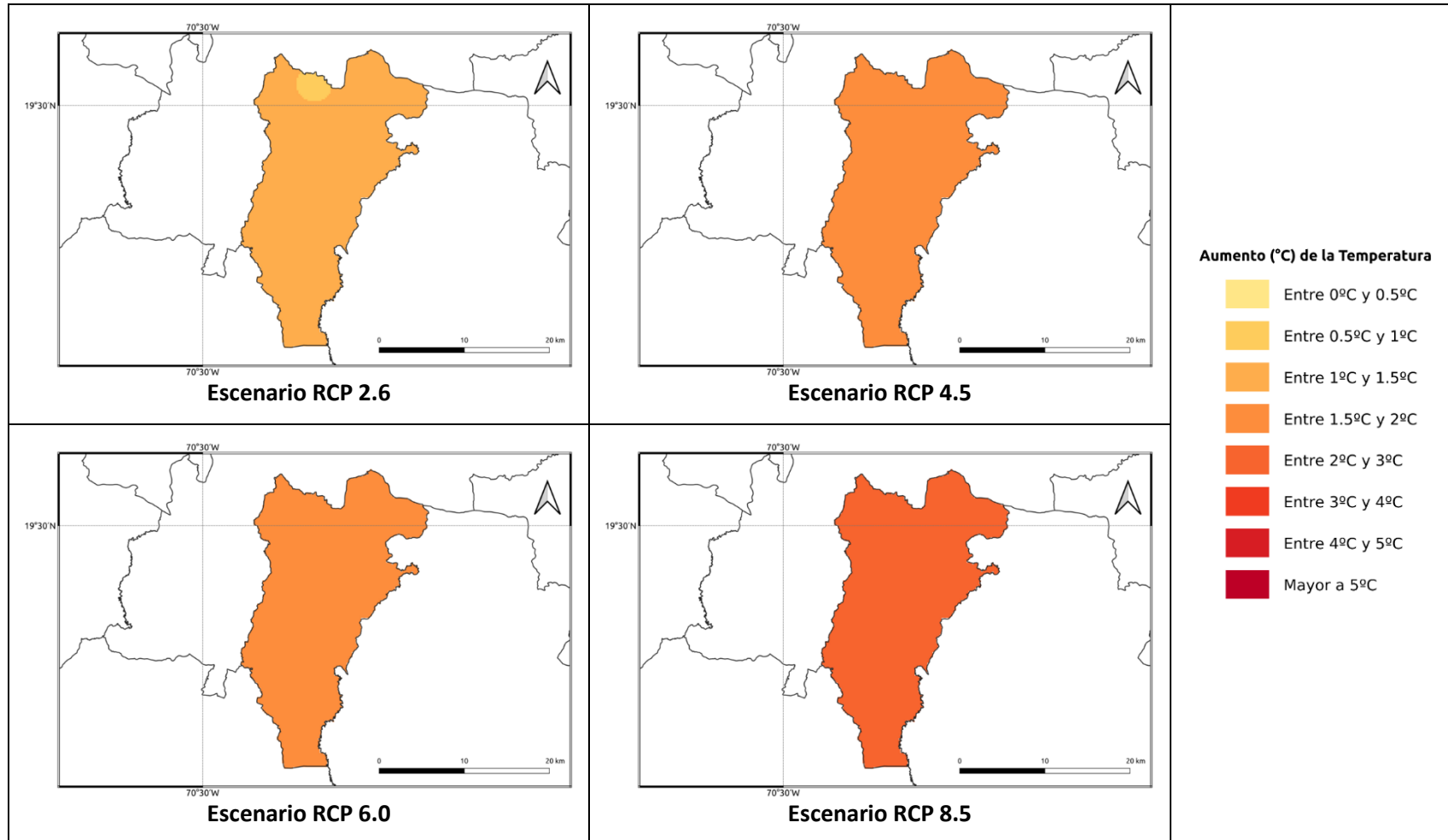


Figura 1.1.11-7. Cambios proyectados en la temperatura máxima (°C) por el ensamble multimodelo bajo los 4 escenarios RCP en el periodo 2061-2080 para la provincia Hermanas Mirabal.

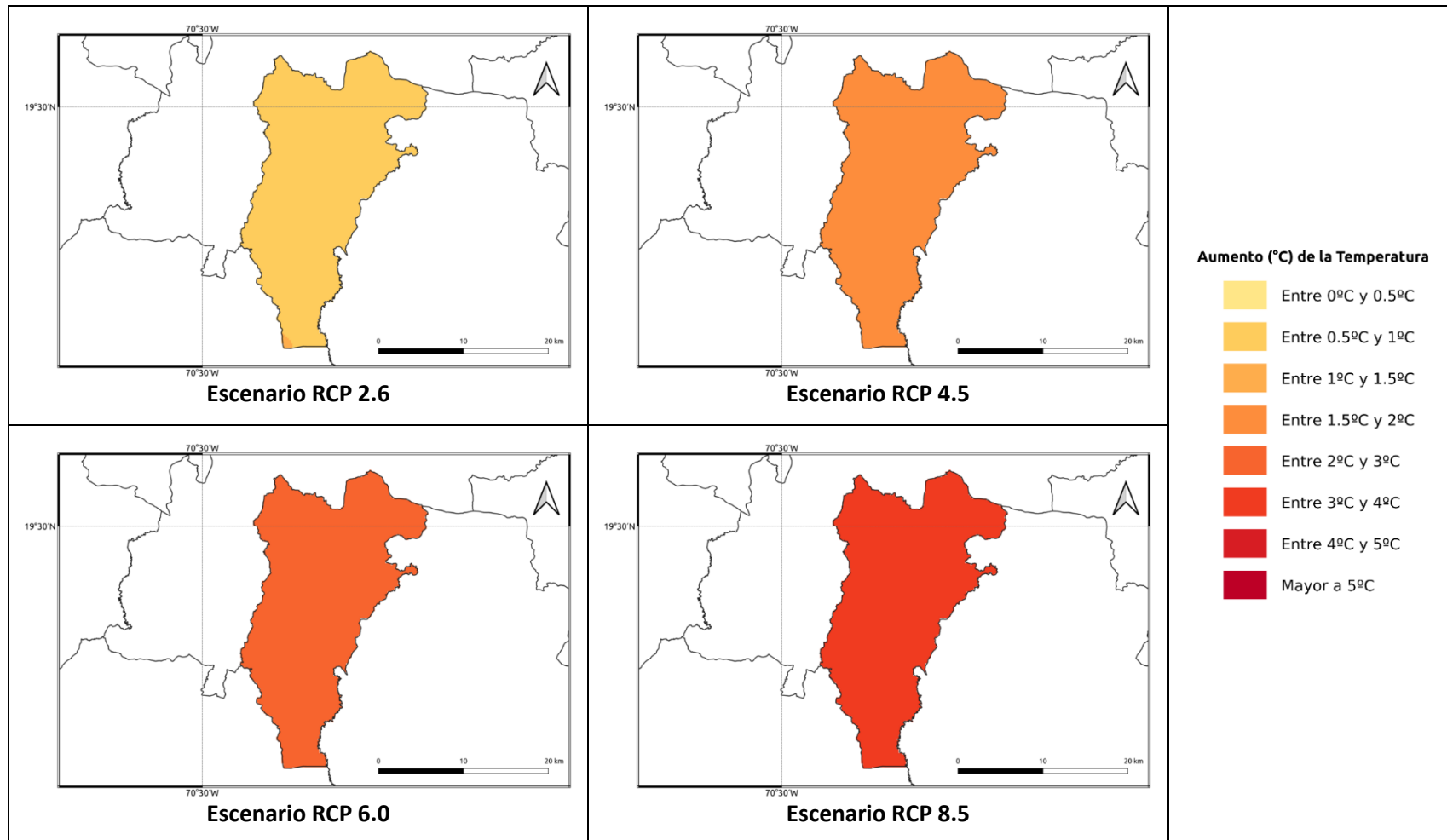


Figura 1.1.11-8. Cambios proyectados en la temperatura máxima (°C) por el ensamble multimodelo bajo los 4 escenarios RCP en el periodo 2081-2100 para la provincia Hermanas Mirabal.

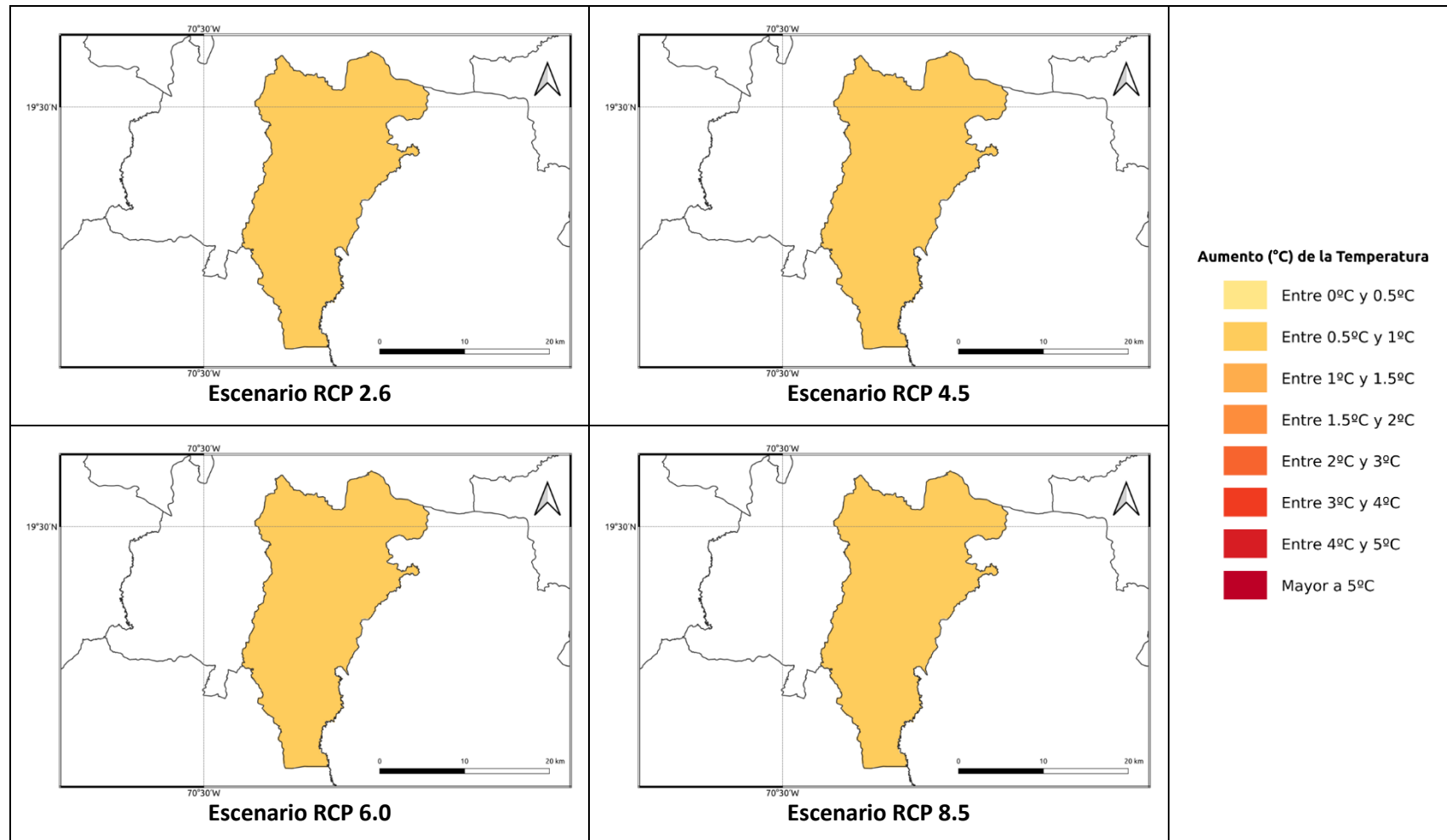


Figura 1.1.11-9. Cambios proyectados en la temperatura mínima (°C) por el ensamble multimodelo bajo los 4 escenarios RCP en el periodo 2021-2040 para la provincia Hermanas Mirabal.

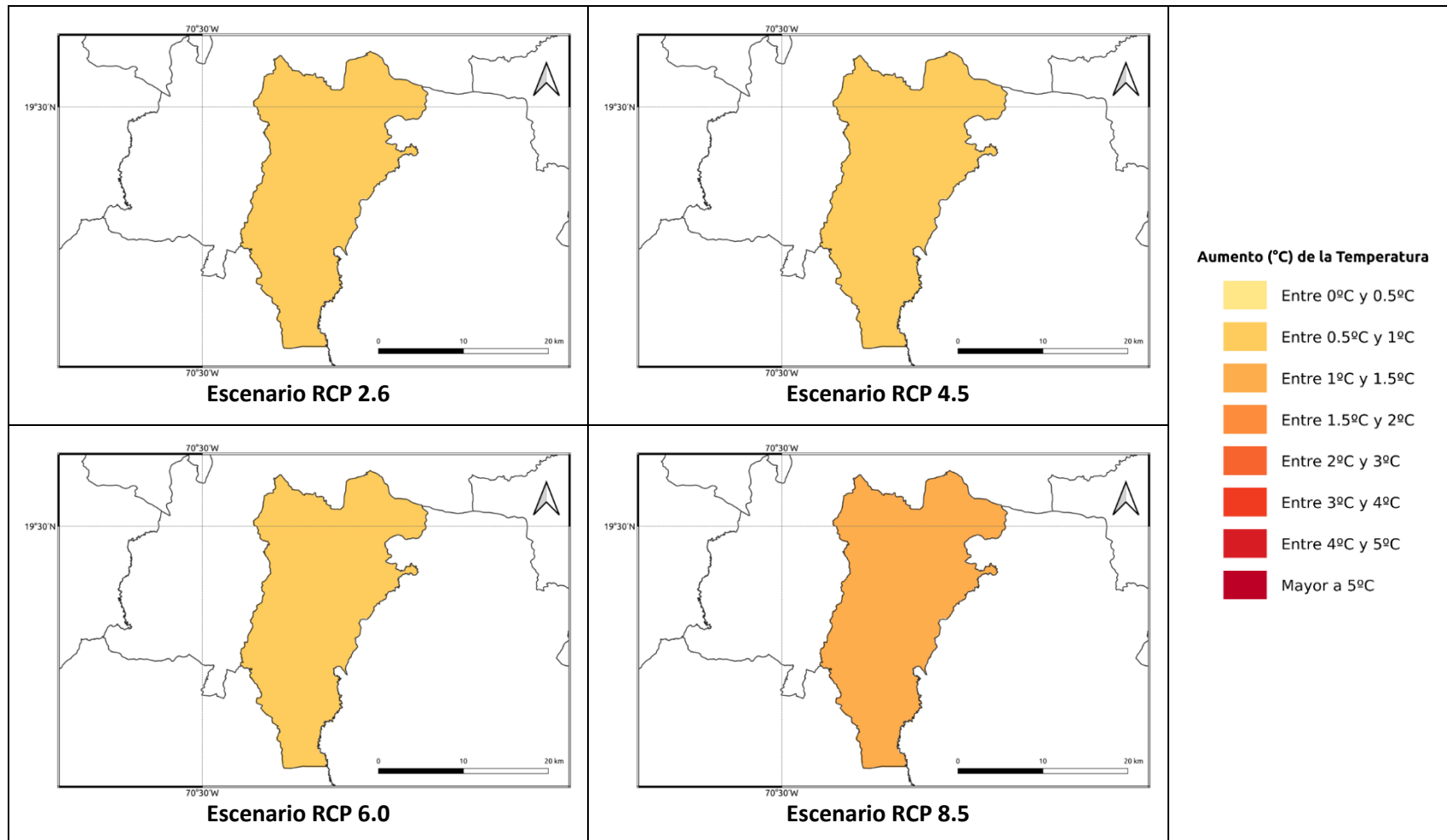


Figura 1.1.11-10. Cambios proyectados en la temperatura mínima (°C) por el ensamble multimodelo bajo los 4 escenarios RCP en el periodo 2041-2060 para la provincia Hermanas Mirabal.

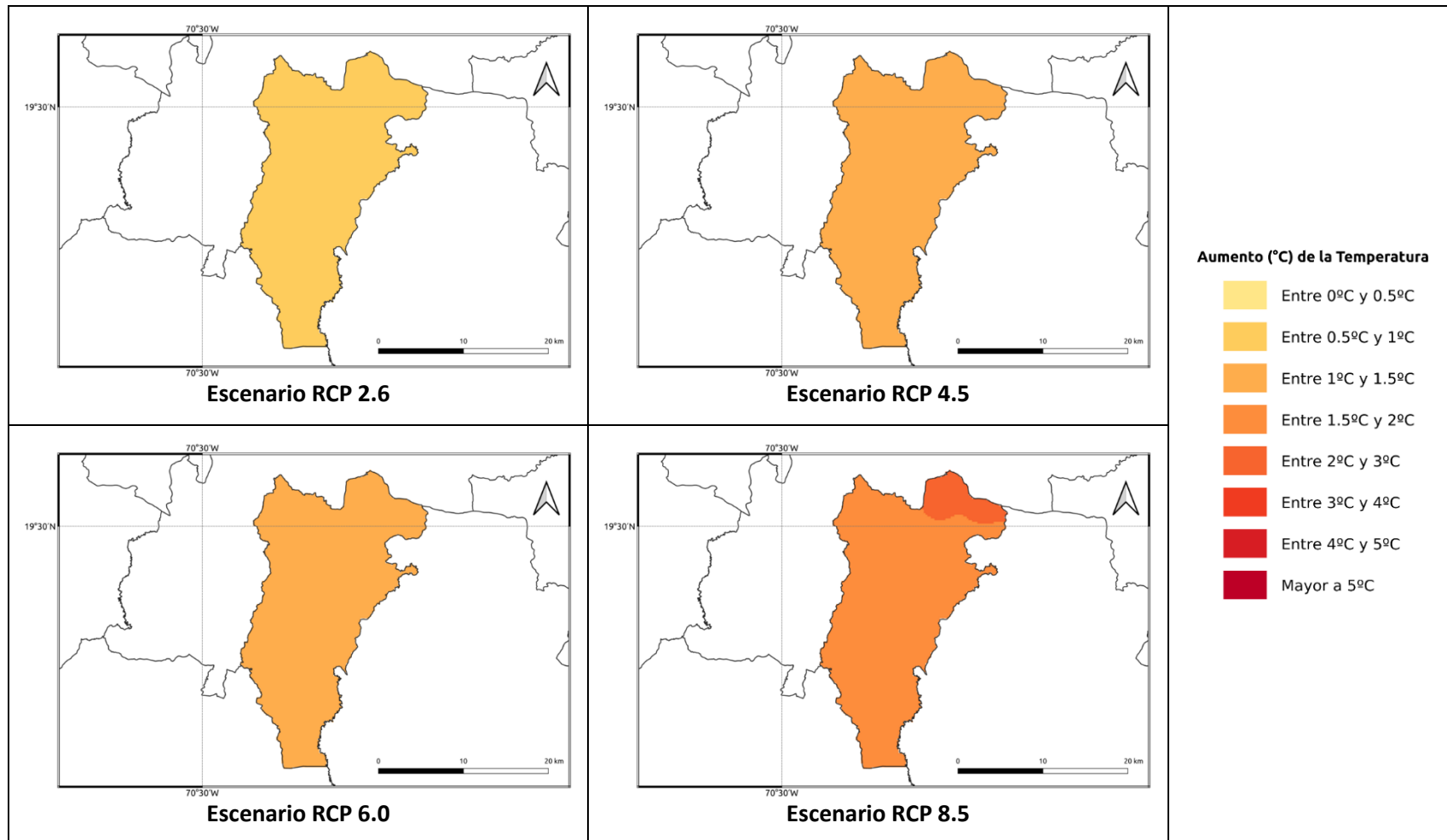


Figura 1.1.11-11. Cambios proyectados en la temperatura mínima (°C) por el ensamble multimodelo bajo los 4 escenarios RCP en el periodo 2061-2080 para la provincia Hermanas Mirabal.

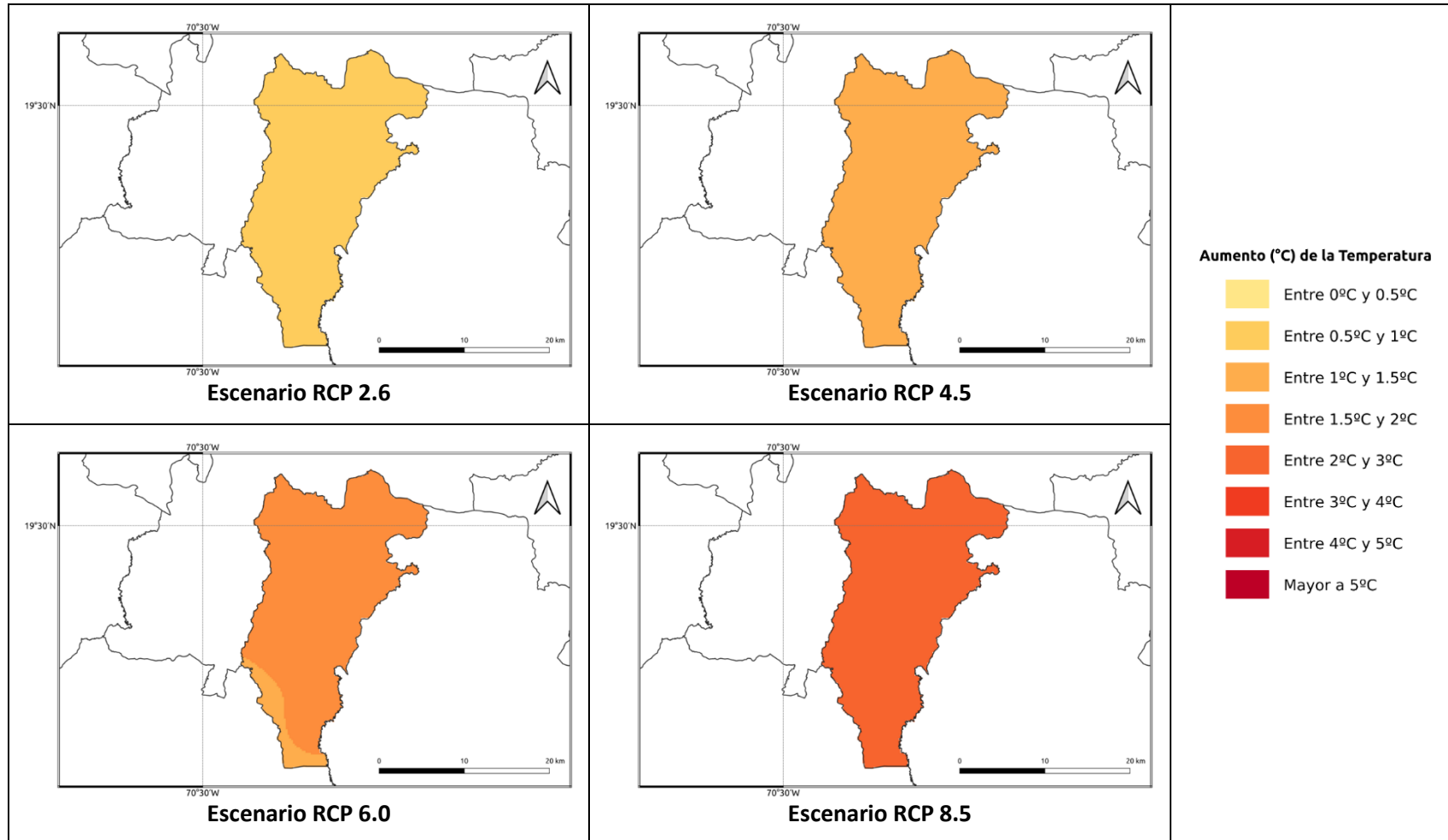


Figura 1.1.11-12. Cambios proyectados en la temperatura mínima (°C) por el ensamble multimodelo bajo los 4 escenarios RCP en el periodo 2081-2100 para la provincia Hermanas Mirabal.

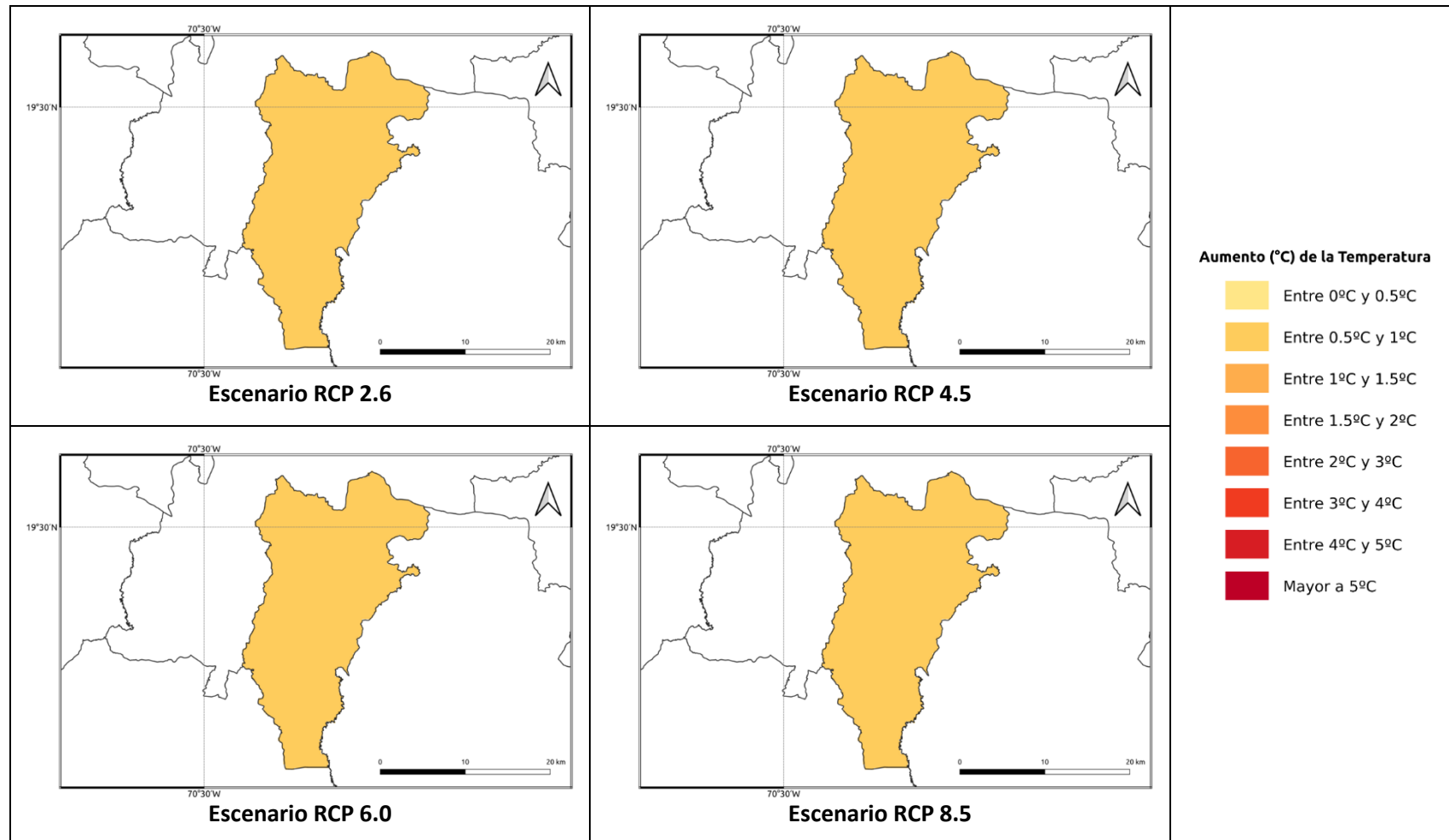


Figura 1.1.11-13. Cambios proyectados en la temperatura media (°C) por el ensamble multimodelo bajo los 4 escenarios RCP en el periodo 2021-2040 para la provincia Hermanas Mirabal.

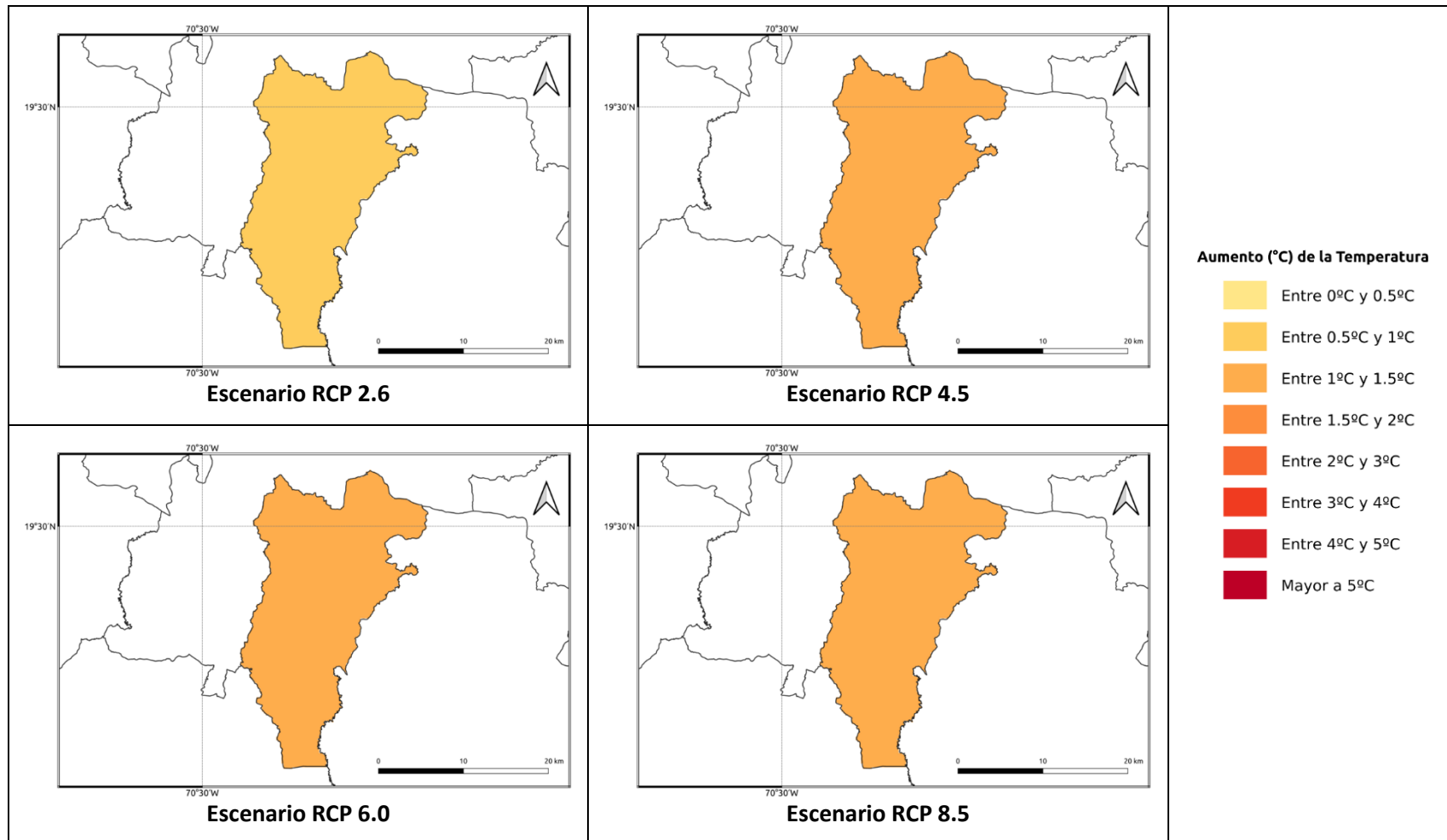


Figura 1.1.11-14. Cambios proyectados en la temperatura media (°C) por el ensamble multimodelo bajo los 4 escenarios RCP en el periodo 2041-2060 para la provincia Hermanas Mirabal.

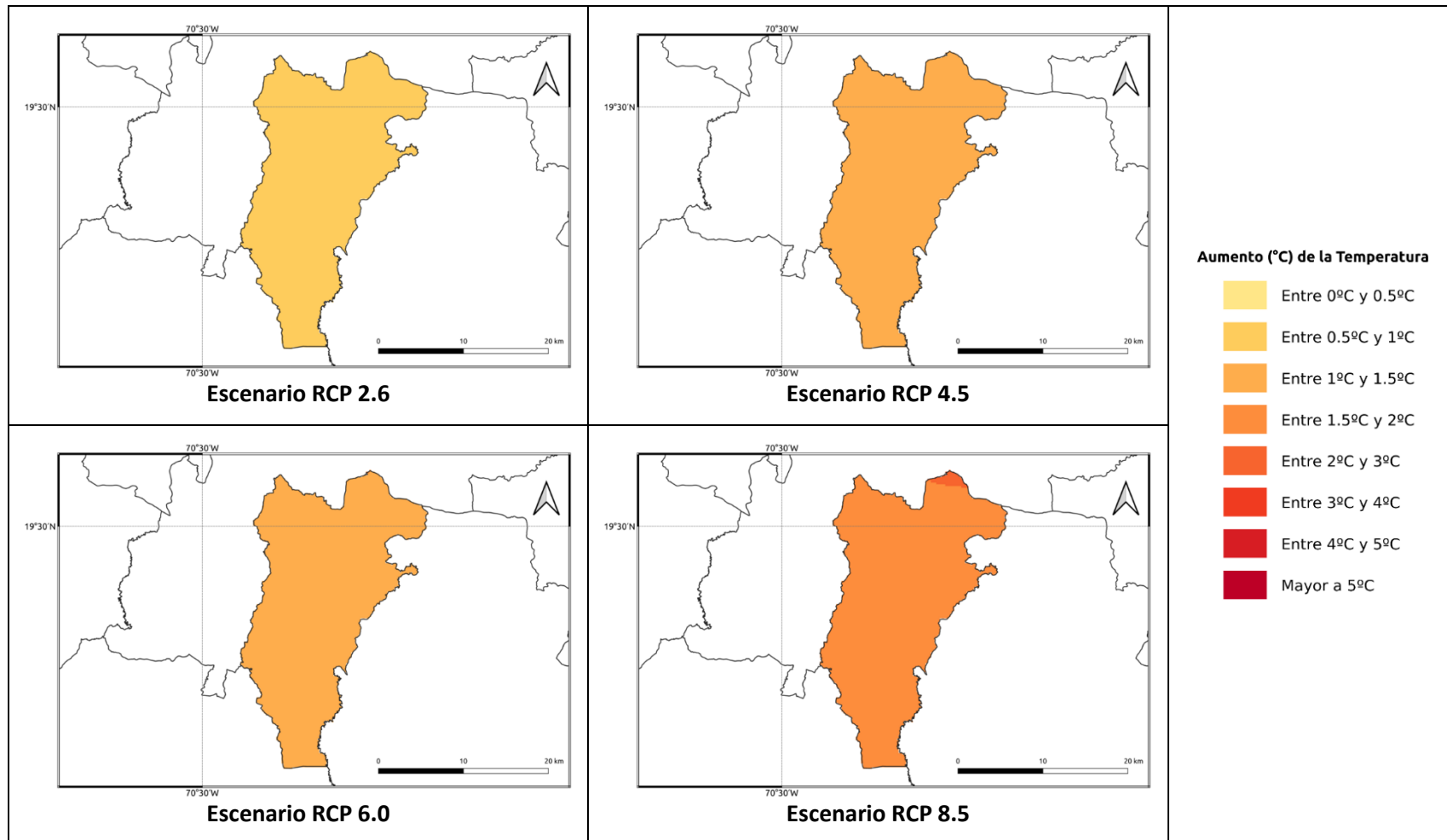


Figura 1.1.11-15. Cambios proyectados en la temperatura media (°C) por el ensamble multimodelo bajo los 4 escenarios RCP en el periodo 2061-2080 para la provincia Hermanas Mirabal.

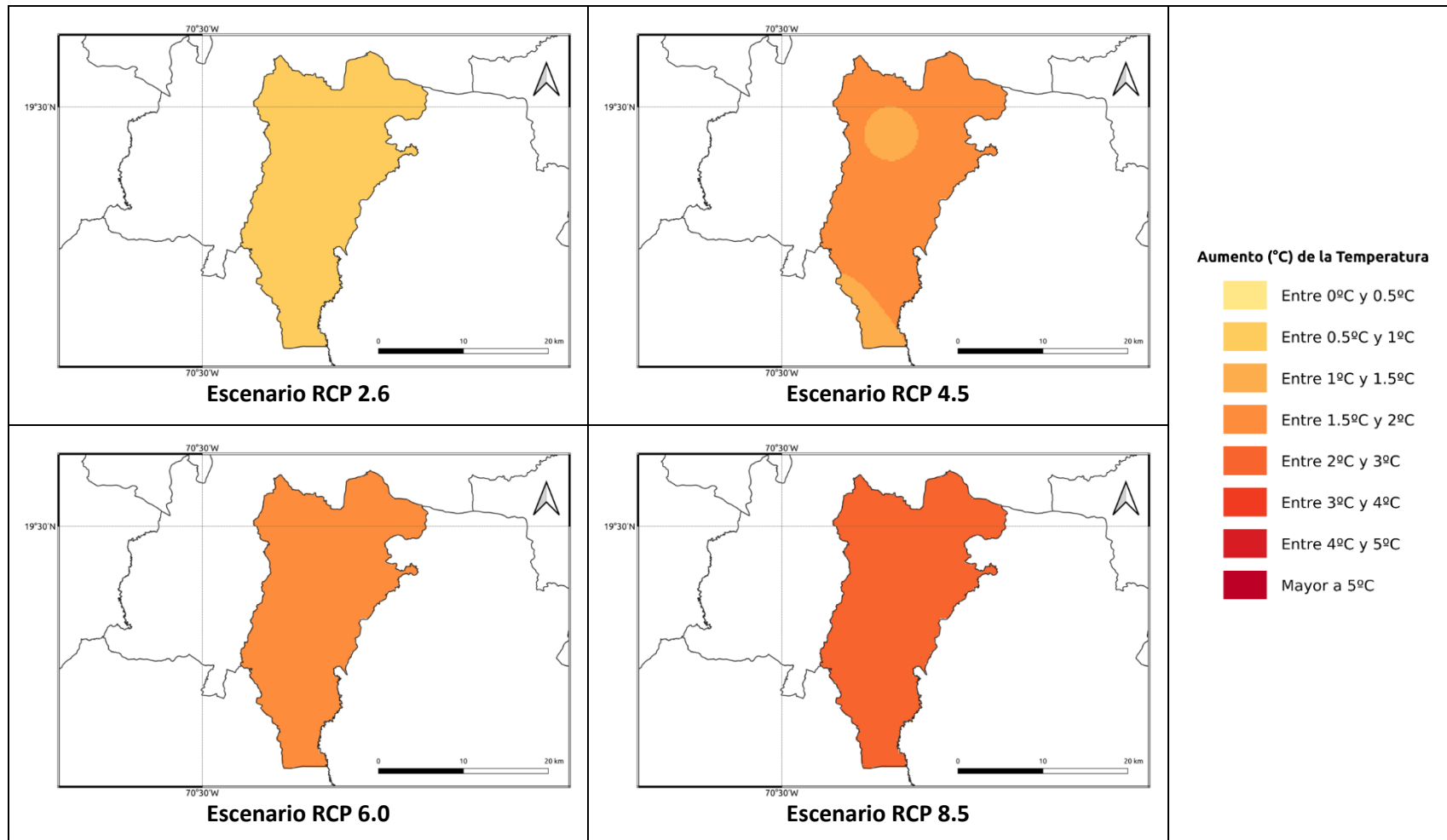


Figura 1.1.11-16. Cambios proyectados en la temperatura media (°C) por el ensamble multimodelo bajo los 4 escenarios RCP en el periodo 2081-2100 para la provincia Hermanas Mirabal.

## **1.1.12 PROVINCIA INDEPENDENCIA**

En esta sección se presenta el análisis espacial de los cambios de las variables climáticas a nivel anual para la provincia **Independencia**. Los cambios a nivel estacional (trimestral) se pueden consultar en el Anexo 13.

### **Precipitación**

Para esta variable, en el periodo de corto plazo 2021-2040 se presentarían cambios dentro del rango normal de variabilidad (del orden del 5%), con aumentos de esta magnitud bajo los escenarios RCP 2.6 y 6.0, y reducciones bajo los escenarios RCP 4.5 y 8.5, dándose en este último escenario disminuciones del orden del 8% (Figura 1.1.12-1). Para el siguiente periodo (2041-2060), bajo el RCP 2.6 se mantiene el aumento de la precipitación del orden del 5%, y en los demás escenarios la tendencia sería a la reducción de la precipitación entre un 4-9% (Figura 1.1.12-2). Para el periodo 2061-2080, en el RCP 2.6 se mantendrían los incrementos del 5% (aunque en una zona al noroccidente de la provincia la tendencia es hacia la reducción en la misma magnitud), y bajo los otros escenarios se darían reducciones de la precipitación, del orden del 11-15% bajo el RCP 4.5, entre 4-9% bajo el RCP 6.0 y del 19-23% bajo el RCP 8.5 (Figura 1.1.12-3). Por último, para finales de siglo bajo los 4 escenarios se presentarían reducciones de la precipitación, siendo las de menor magnitud bajo el RCP 2.6 (entre 4-8%) y las más altas bajo el RCP 8.5, con reducciones de más del 30% (Figura 1.1.12-4).

### **Temperatura Máxima**

La temperatura máxima presentaría incrementos bajo los 4 RCP en todos los periodos analizados. En el periodo de corto plazo (2021-2040) la temperatura aumentaría entre 0.7 y 1.3°C, con aumentos de más de 1°C bajo el RCP 8.5 (Figura 1.1.12-5). Para 2041-2060, los aumentos serían de 0.7 a 1.6°C bajo los primeros 3 RCP (2.6, 4.5 y 6.0), y de 1.5 a 1.8°C bajo el RCP 8.5 (Figura 1.1.12-6). En el periodo 2061-2080 los aumentos serían de 0.7 a 2.6°C, manteniéndose el incremento de 0.7 a 1.4°C bajo el RCP 2.6, siendo de 1.4 a 1.8°C bajo los RCP 4.5 y 6.0 y de 2.6°C bajo el RCP 8.5 (Figura 1.1.12-7). Para finales de siglo, los aumentos serían de 0.7 a 1.2°C bajo el RCP 2.6, de 1.7 a 1.9°C bajo el RCP 4.5, de 1.8 a 2.4°C bajo el RCP 6.0 y de 3.2 a 3.8°C bajo el RCP 8.5 (Figura 1.1.12-8).

### **Temperatura Mínima**

En el primer periodo (2021-2040), ésta se incrementaría de 0.4 a 0.8°C en los 4 escenarios RCP (Figura 1.1.12-9). Para 2041-2060 aumentaría de 0.7 a 1.1°C en los 3 primeros escenarios, y bajo el RCP 8.5 habría aumentos de 1.3°C (Figura 1.1.12-10). En el periodo 2061-2080 la temperatura mínima se incrementaría entre 0.6 y 0.8°C



bajo el RCP 2.6, entre 0.9 y 1.4°C bajo los RCP 4.5 y 6.0 y entre 1.7 y 2.2°C bajo el RCP 8.5 (Figura 1.1.12-11). Por último, para finales de siglo se mantendría un aumento de 0.8°C en el RCP 2.6, entre 1.1 y 1.7°C bajo los RCP 4.5 y 6.0 y de 2.2 a 2.6°C bajo el RCP 8.5 (Figura 1.1.12-12).

#### *Temperatura Media*

La temperatura media se incrementaría entre 0.6 y 0.8°C en el periodo 2021-2040 bajo los 4 escenarios RCP (Figura 1.1.12-13). En el periodo 2041-2060 se mantendría este mismo rango bajo el RCP 2.6, y en los otros 3 escenarios aumentaría de 0.9 a 1.6°C (Figura 1.1.12-14). Para 2061-2080 la temperatura media aumentaría de 0.7 a 0.8°C bajo el RCP 2.6, de 1.3 a 1.6°C bajo los RCP 4.5 y 6.0 y de 1.7 a 2.1°C bajo el RCP 8.5. En estos 3 escenarios los mayores aumentos se darían hacia el centro de la provincia (Figura 1.1.12-15). Finalmente, para el periodo 2081-2100 la temperatura subiría entre 0.6 y 0.8°C bajo el RCP 2.6, entre 1.2 y 1.7°C bajo el RCP 4.5, de 1.6 a 2.1°C bajo el RCP 6.0 y de 2.4 a 2.8°C bajo el RCP 8.5 (Figura 1.1.12-16).



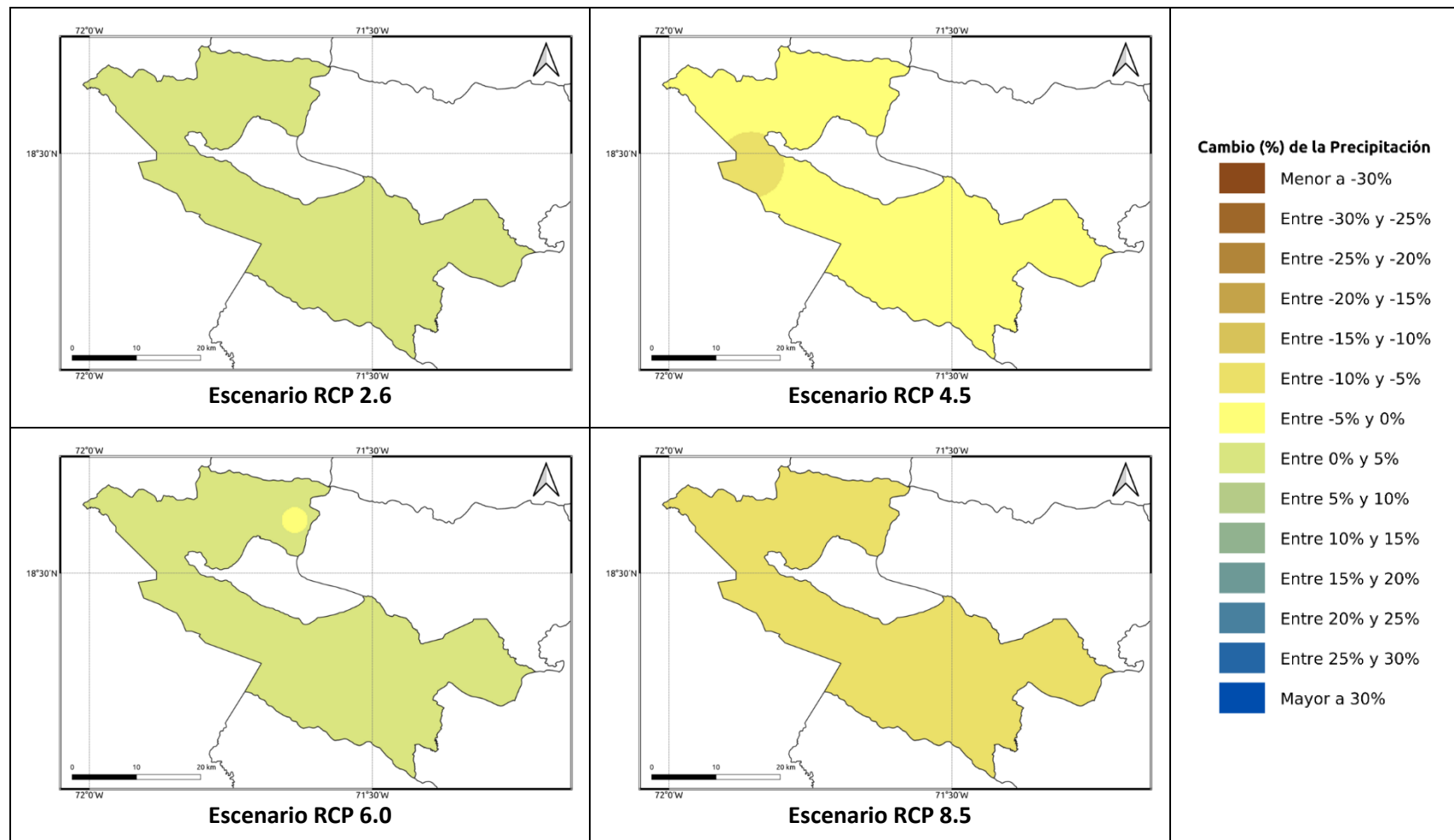
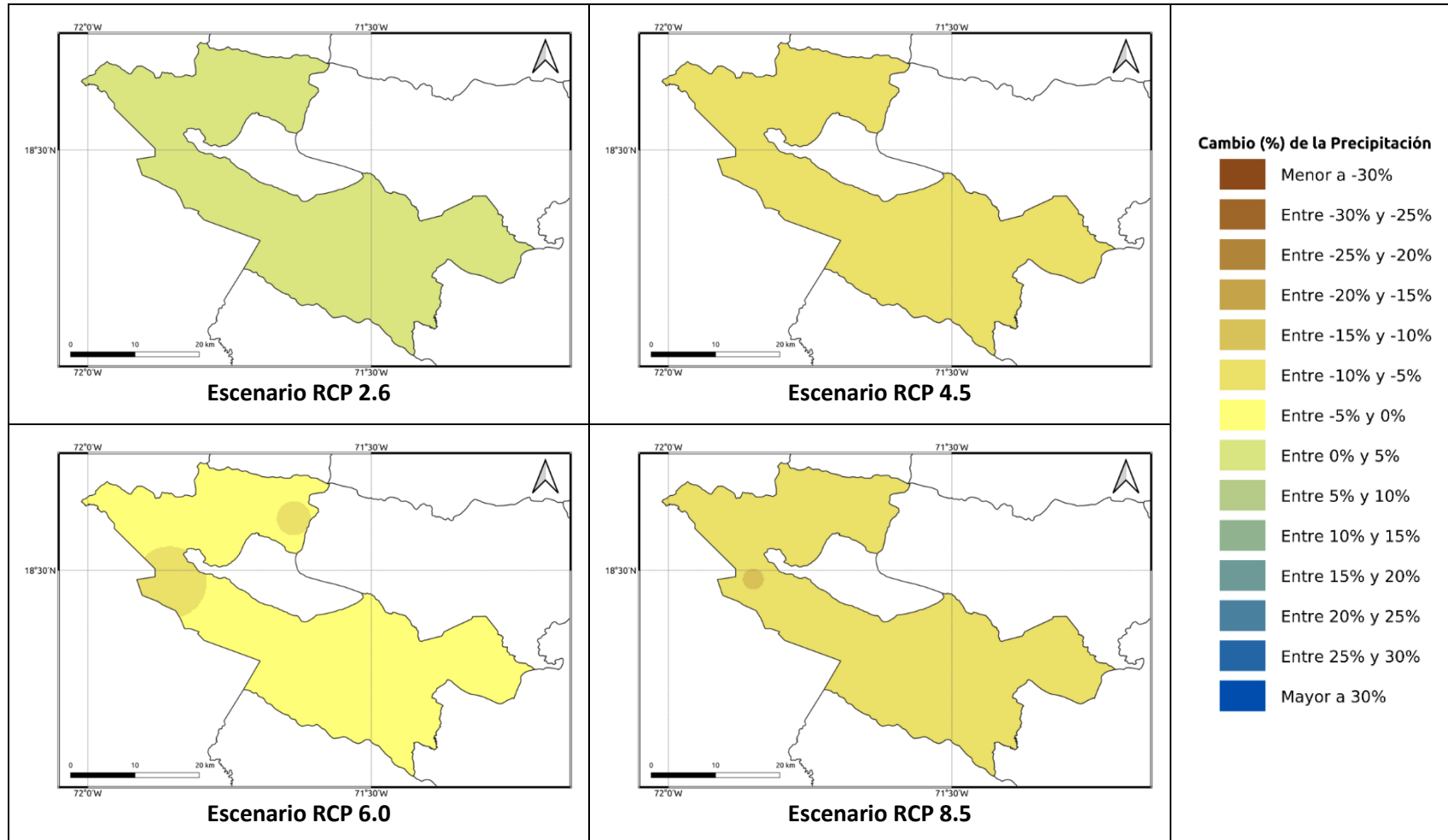
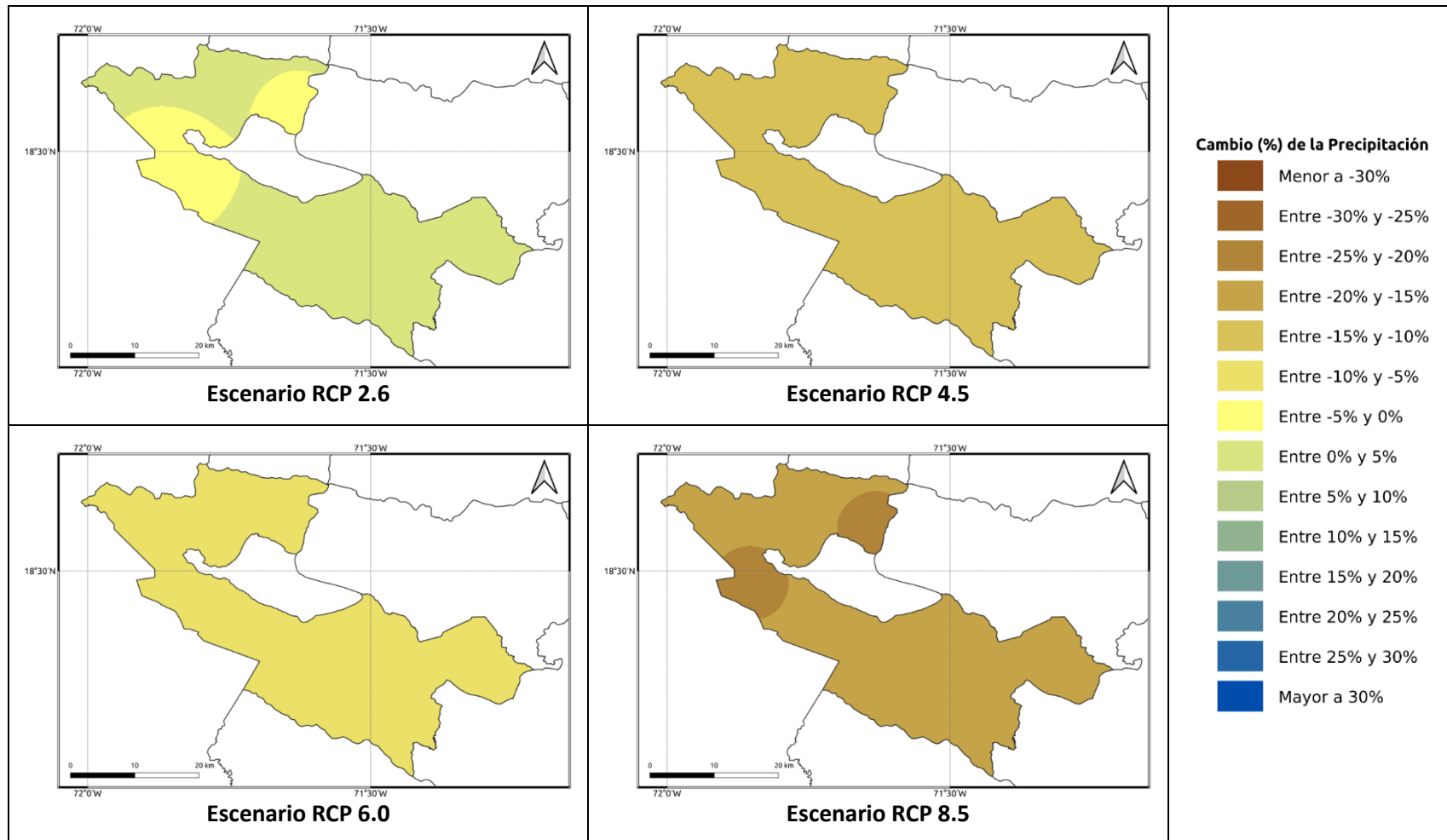


Figura 1.1.12-1. Cambios porcentuales de la precipitación (%) proyectados por el ensamble multimodelo bajo los 4 escenarios RCP en el periodo 2021-2040 para la provincia Independencia.



**Figura 1.1.12-2. Cambios porcentuales de la precipitación (%) proyectados por el ensamble multimodelo bajo los 4 escenarios RCP en el periodo 2041-2060 para la provincia Independencia.**



**Figura 1.1.12-3. Cambios porcentuales de la precipitación (%) proyectados por el ensamble multimodelo bajo los 4 escenarios RCP en el periodo 2061-2080 para la provincia Independencia.**

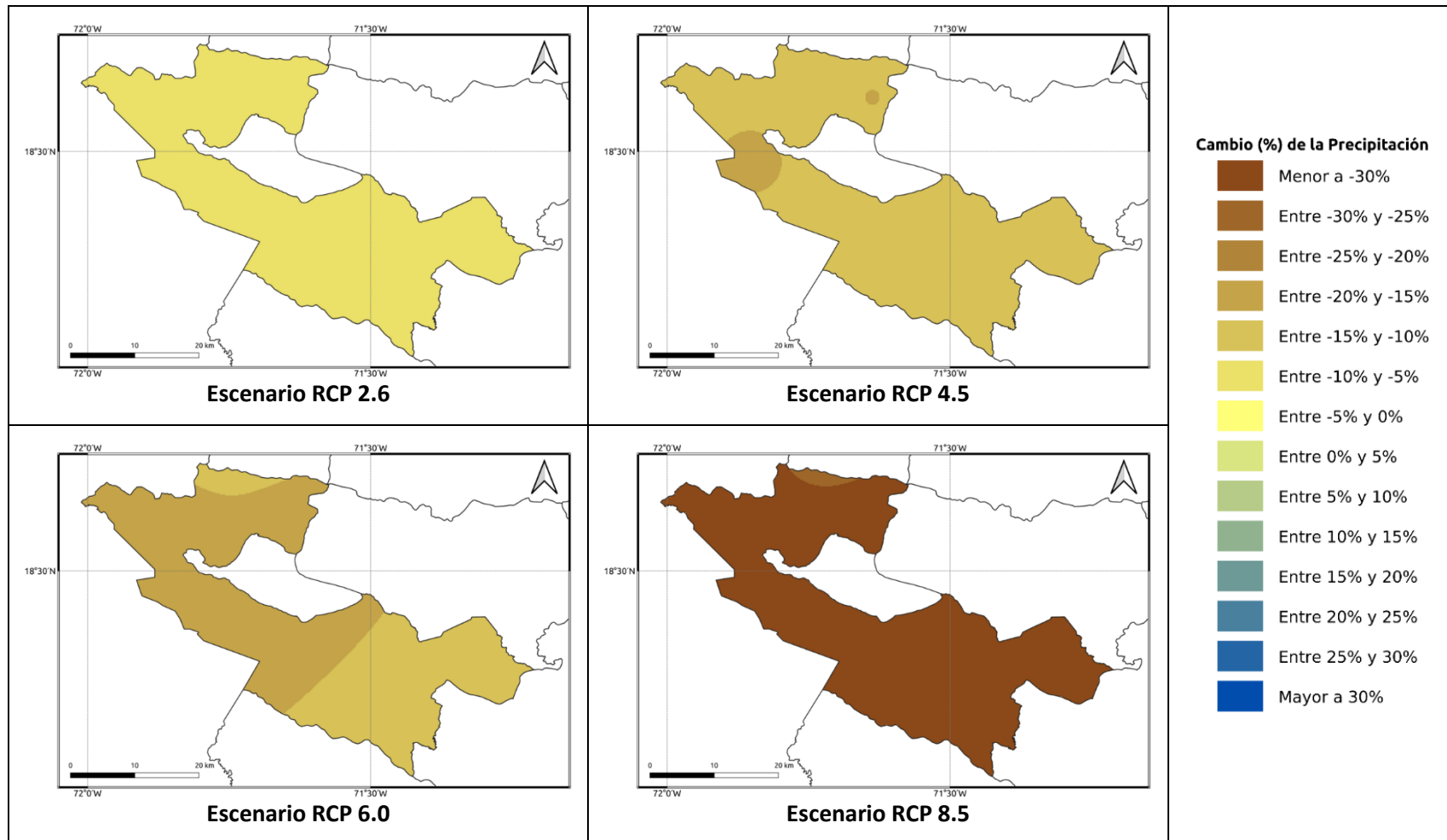
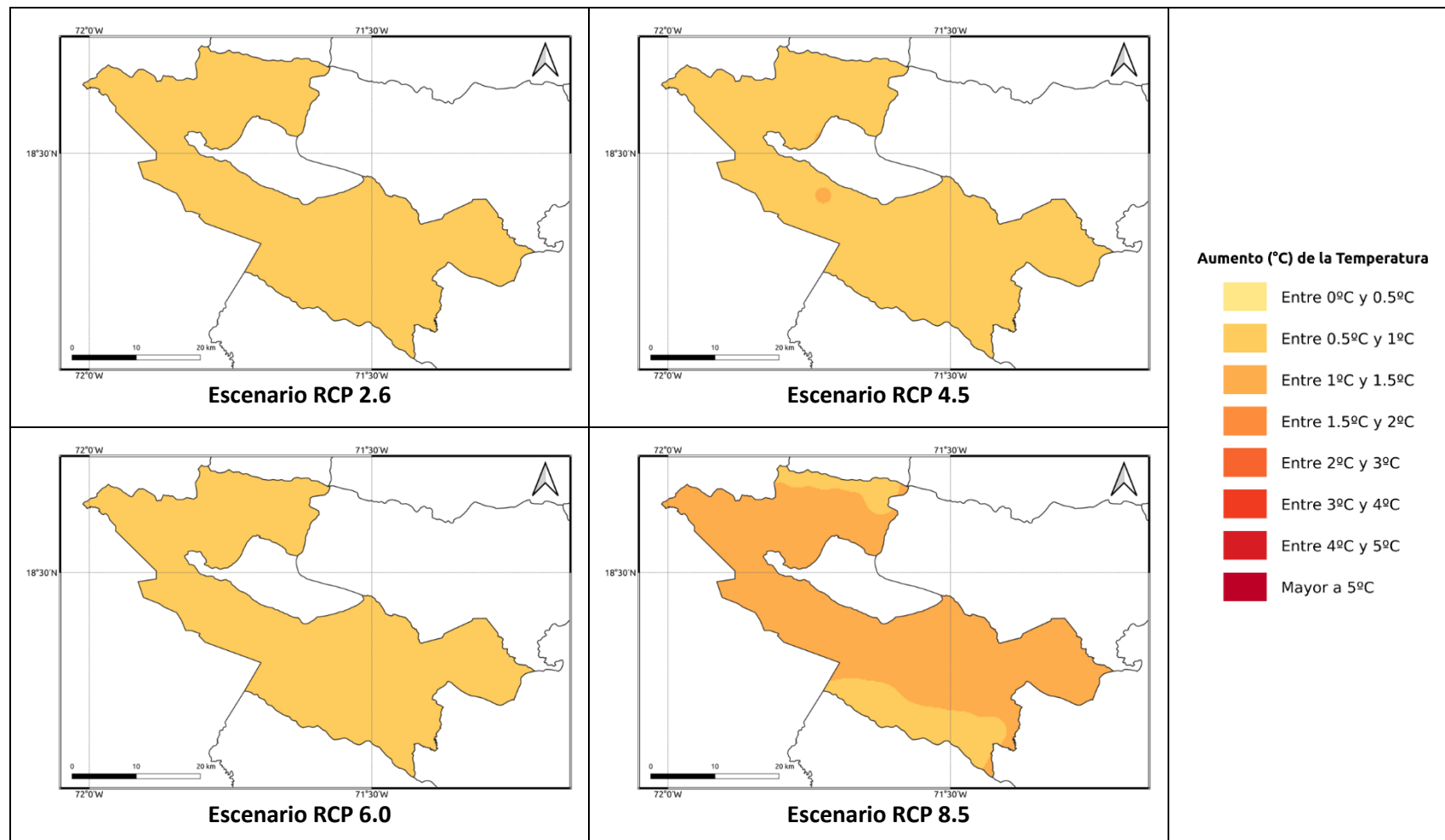
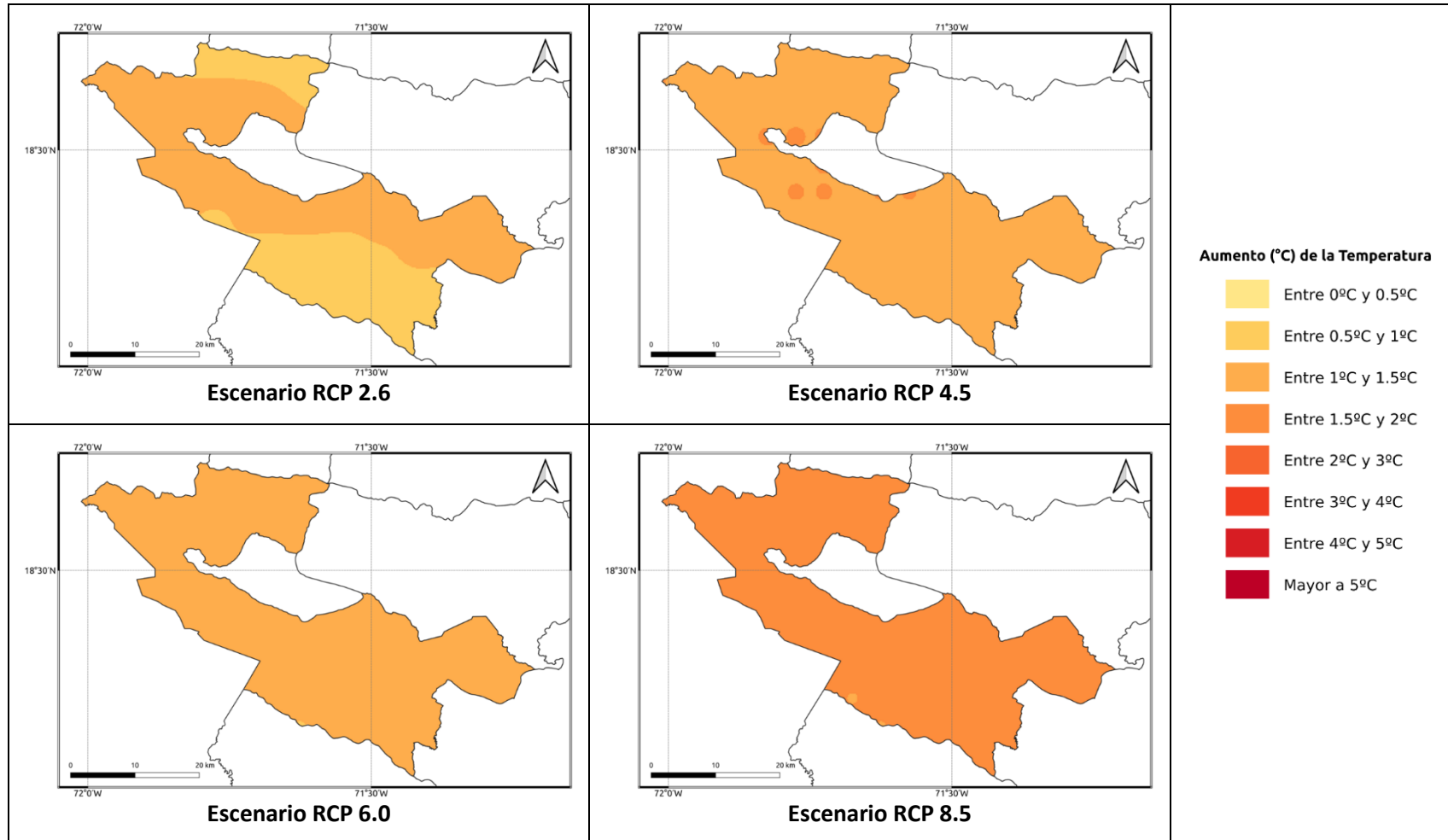


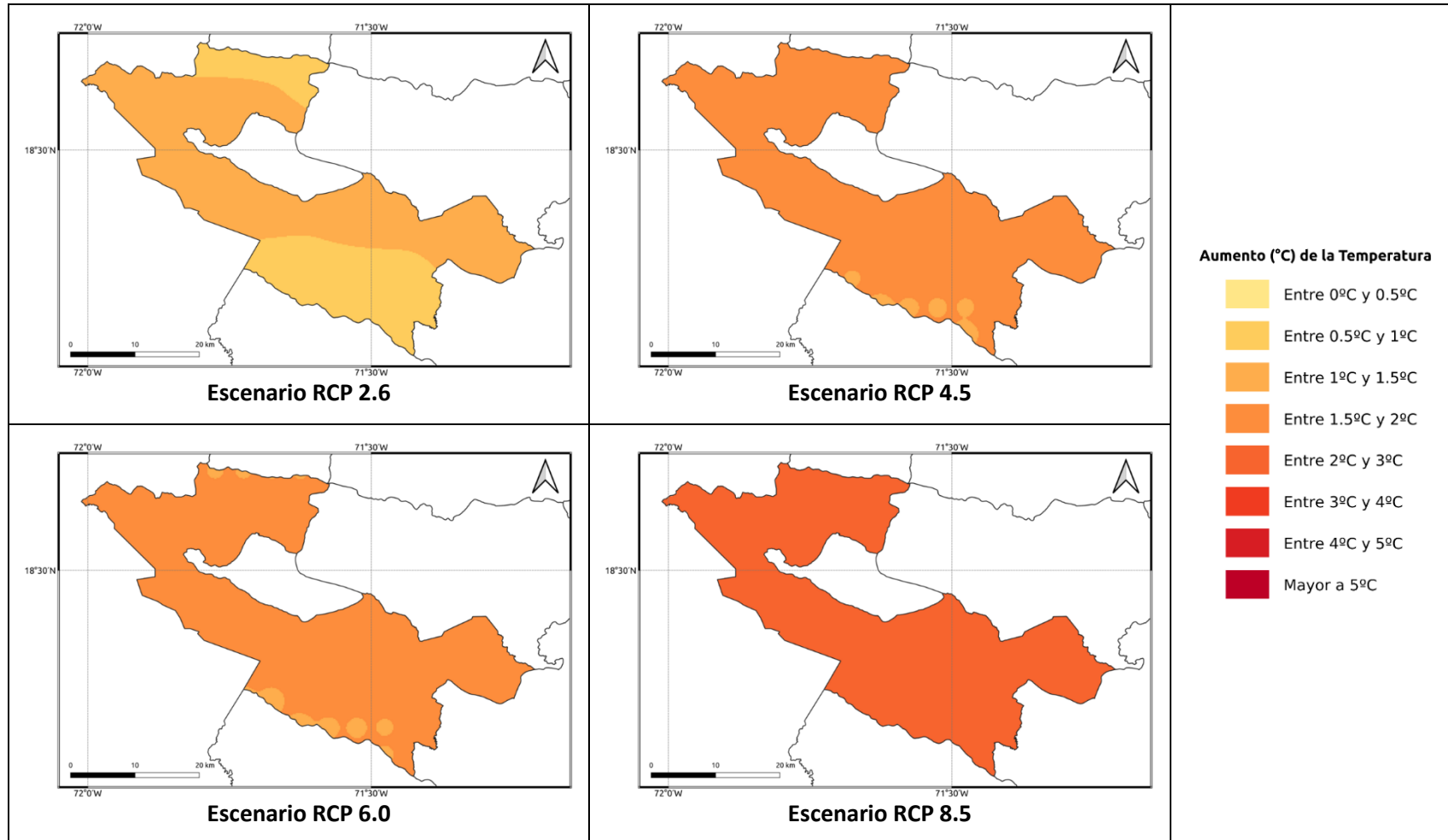
Figura 1.1.12-4. Cambios porcentuales de la precipitación (%) proyectados por el ensamble multimodelo bajo los 4 escenarios RCP en el periodo 2081-2100 para la provincia Independencia.



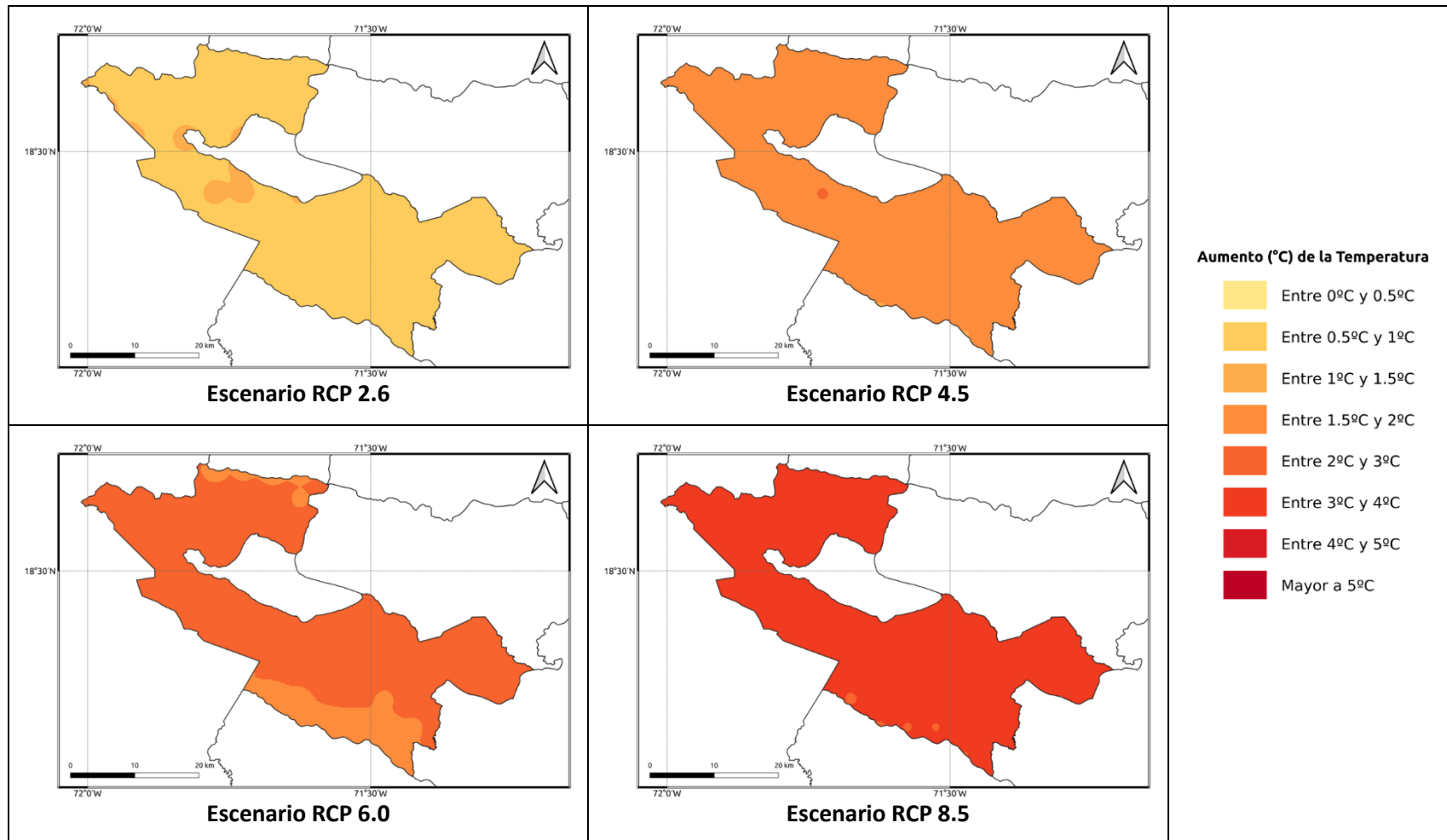
**Figura 1.1.12-5. Cambios proyectados en la temperatura máxima (°C) por el ensamble multimodelo bajo los 4 escenarios RCP en el periodo 2021-2040 para la provincia Independencia.**



**Figura 1.1.12-6. Cambios proyectados en la temperatura máxima (°C) por el ensamble multimodelo bajo los 4 escenarios RCP en el periodo 2041-2060 para la provincia Independencia.**



**Figura 1.1.12-7. Cambios proyectados en la temperatura máxima (°C) por el ensamble multimodelo bajo los 4 escenarios RCP en el periodo 2061-2080 para la provincia Independencia.**



**Figura 1.1.12-8. Cambios proyectados en la temperatura máxima (°C) por el ensamble multimodelo bajo los 4 escenarios RCP en el periodo 2081-2100 para la provincia Independencia.**

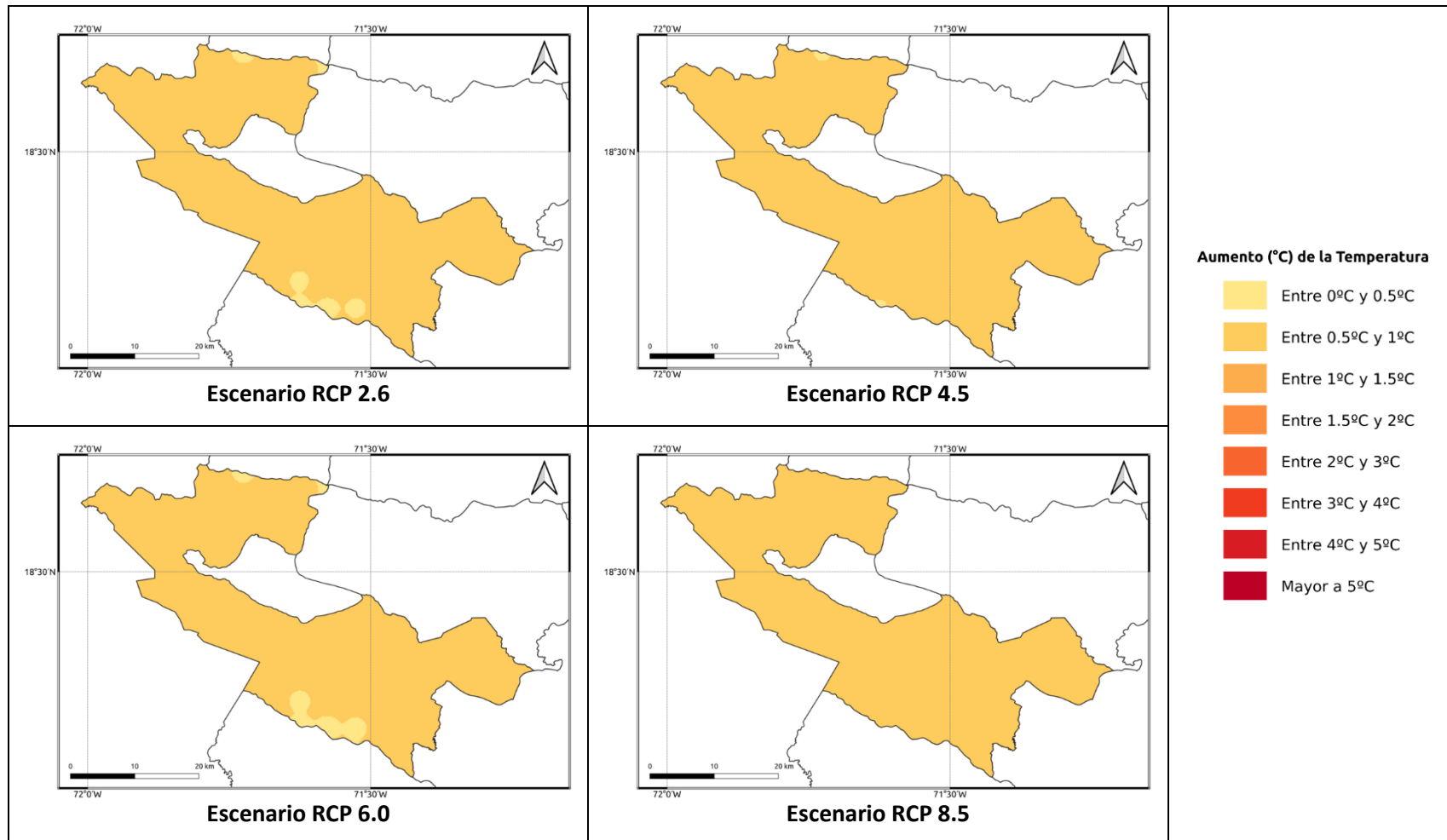


Figura 1.1.12-9. Cambios proyectados en la temperatura mínima (°C) por el ensamble multimodelo bajo los 4 escenarios RCP en el periodo 2021-2040 para la provincia Independencia.

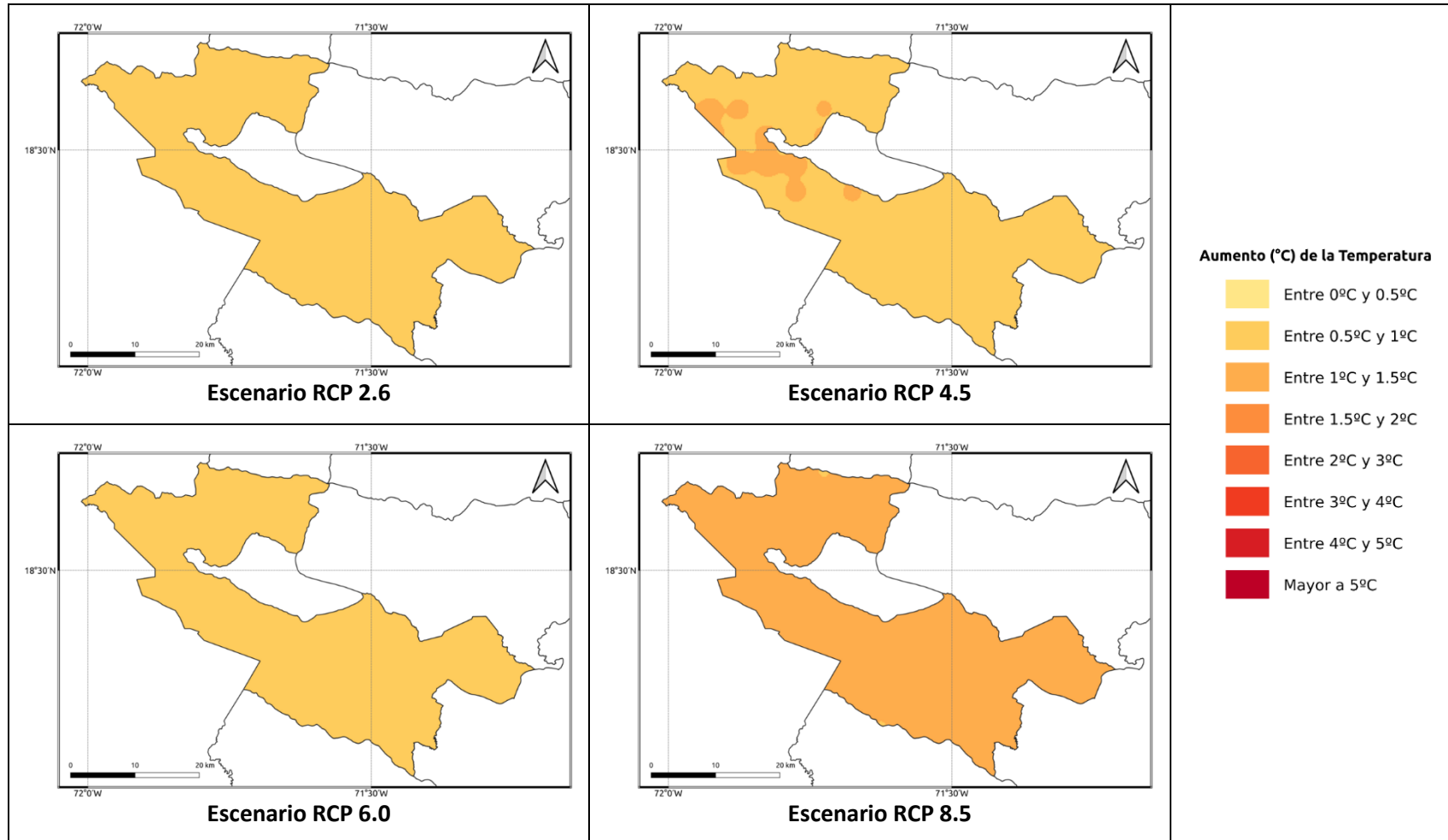
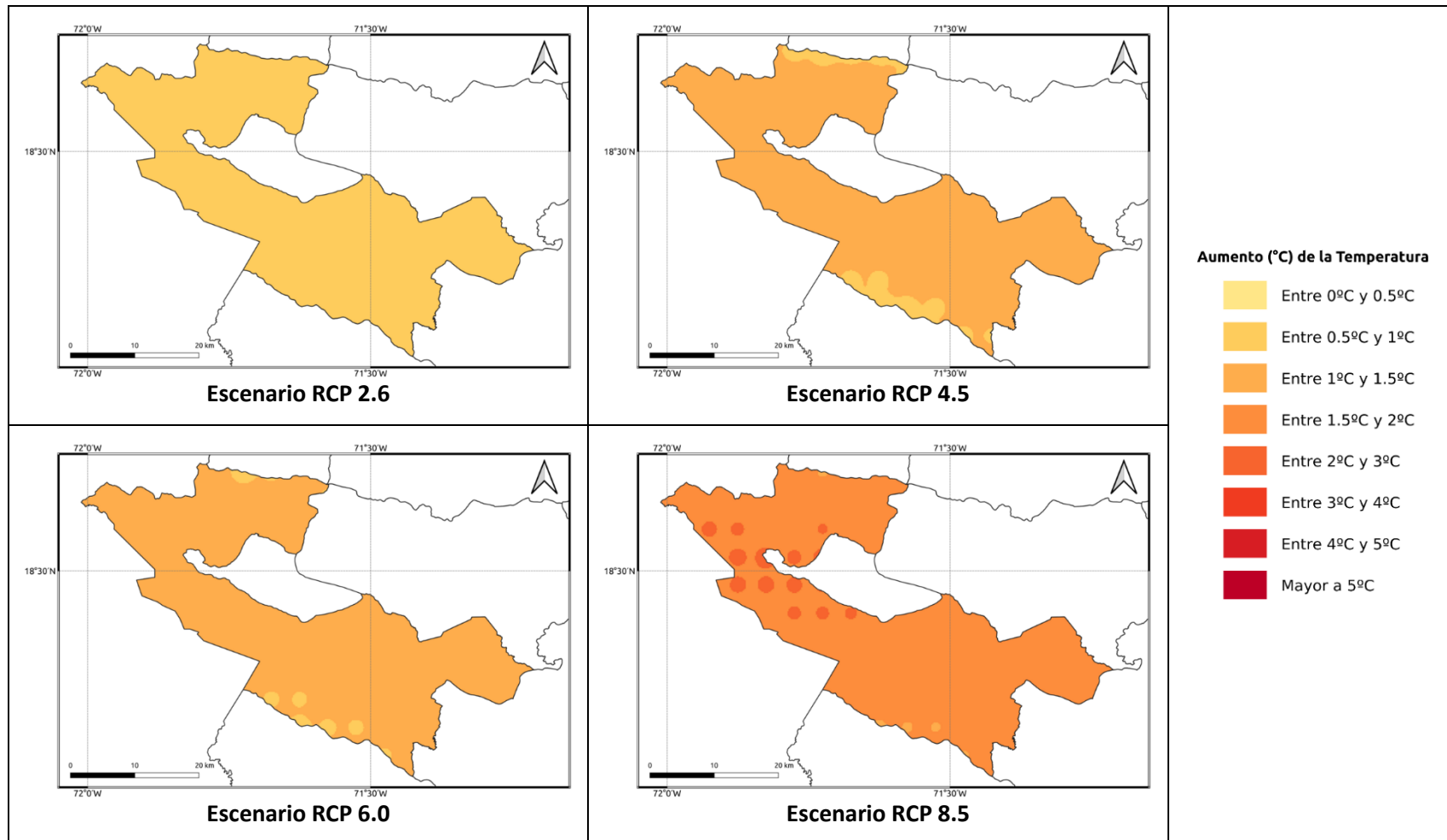


Figura 1.1.12-10. Cambios proyectados en la temperatura mínima (°C) por el ensamble multimodelo bajo los 4 escenarios RCP en el periodo 2041-2060 para la provincia Independencia.



**Figura 1.1.12-11. Cambios proyectados en la temperatura mínima (°C) por el ensamble multimodelo bajo los 4 escenarios RCP en el periodo 2061-2080 para la provincia Independencia.**

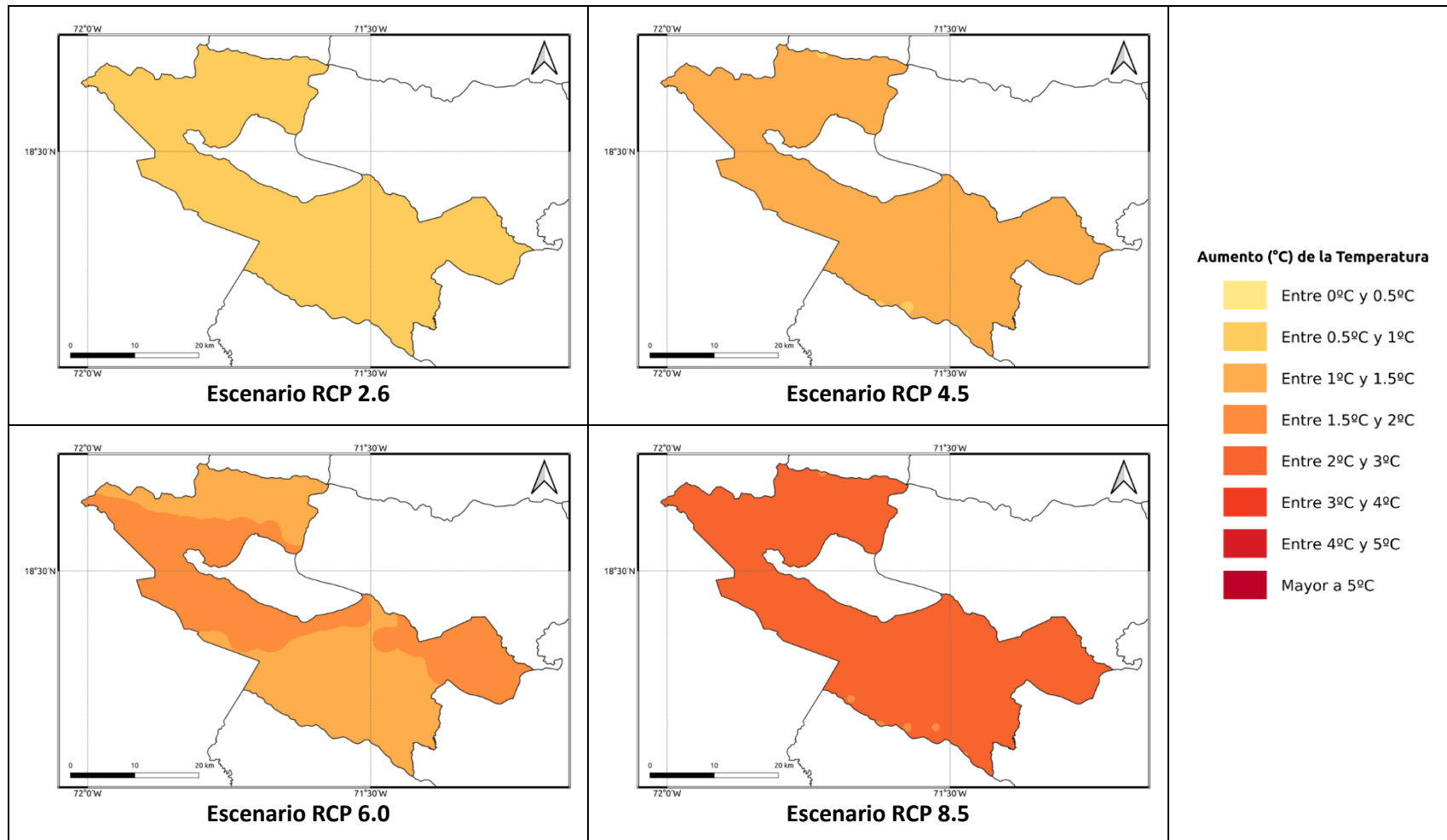
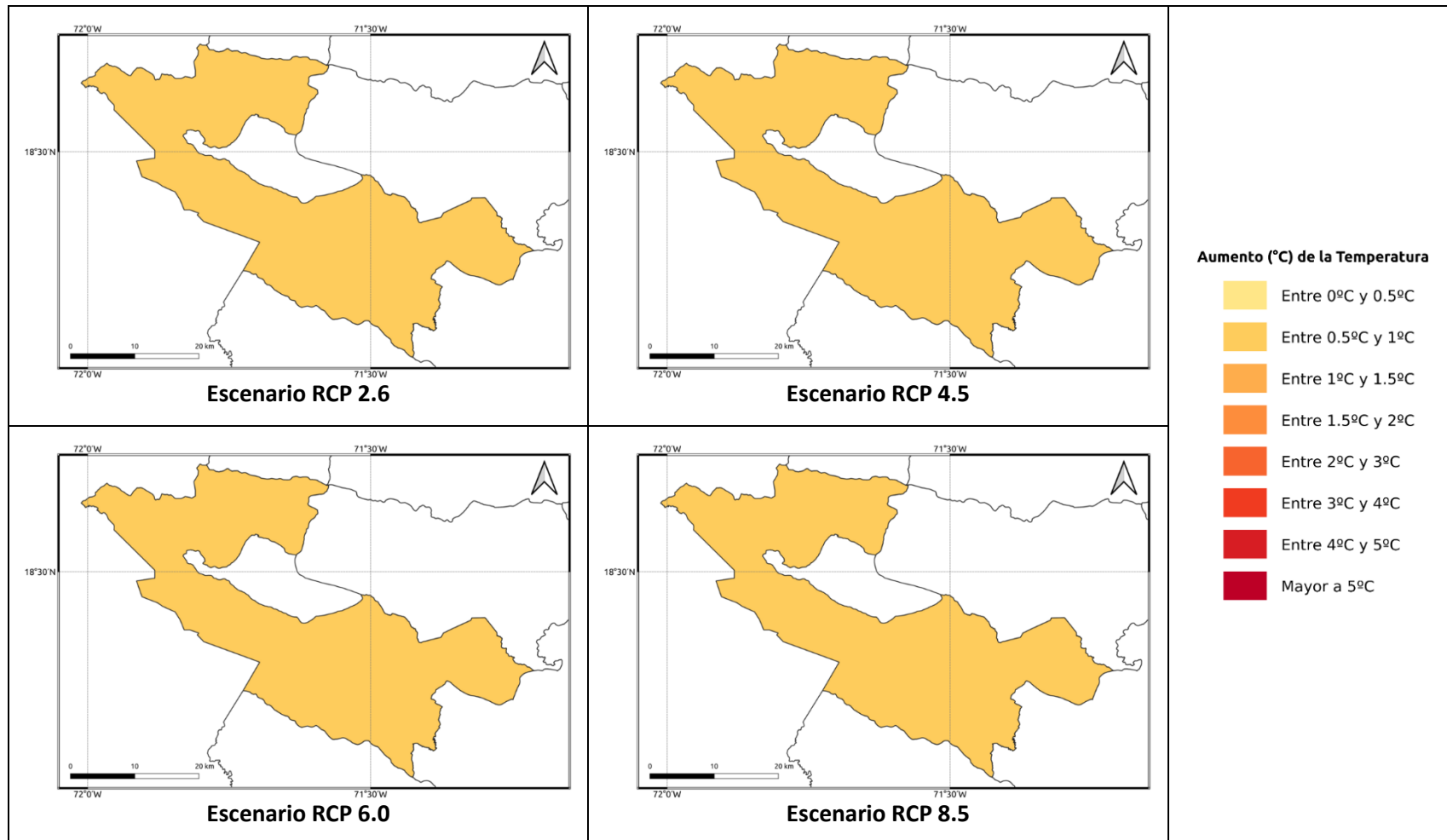
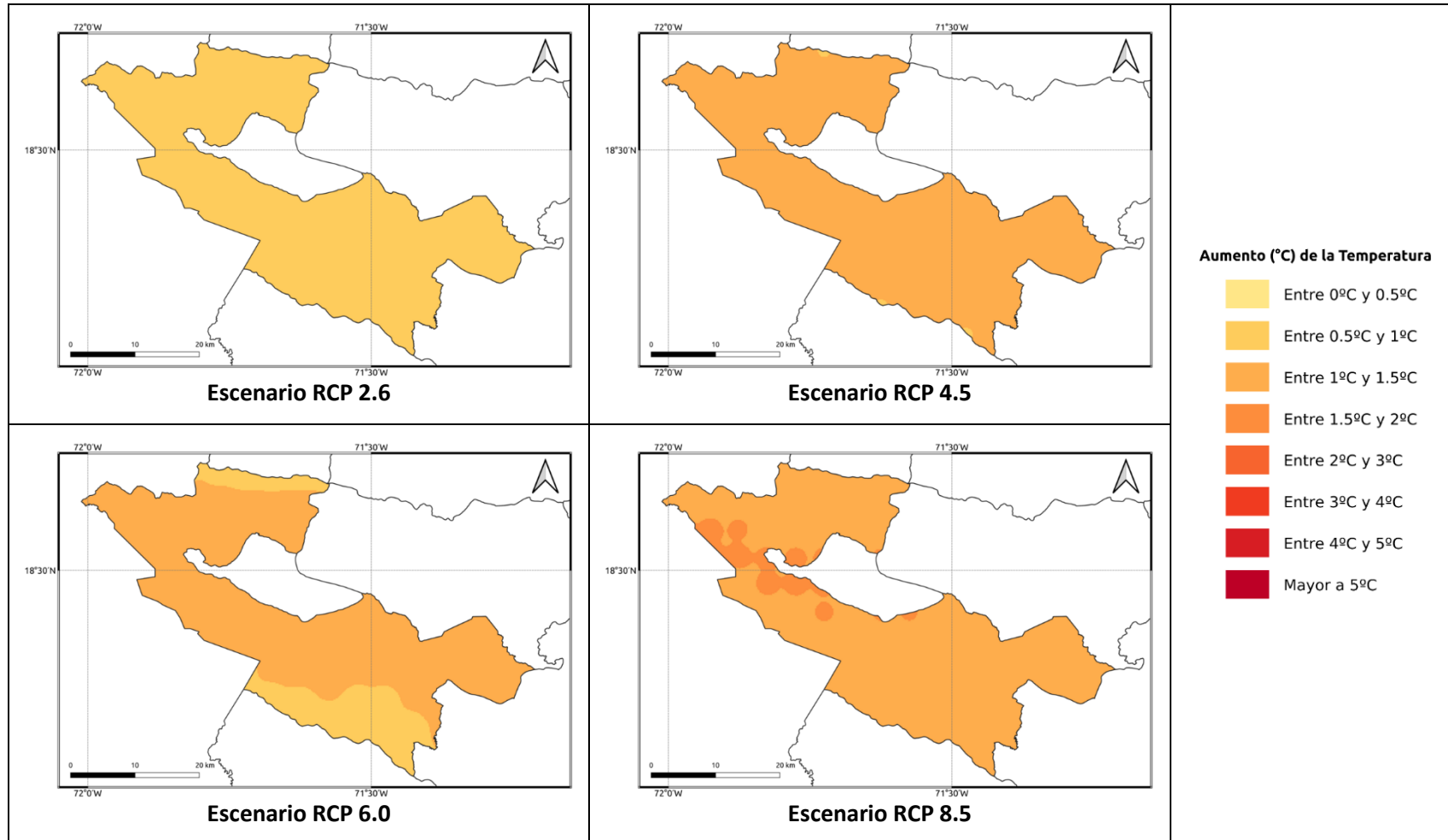


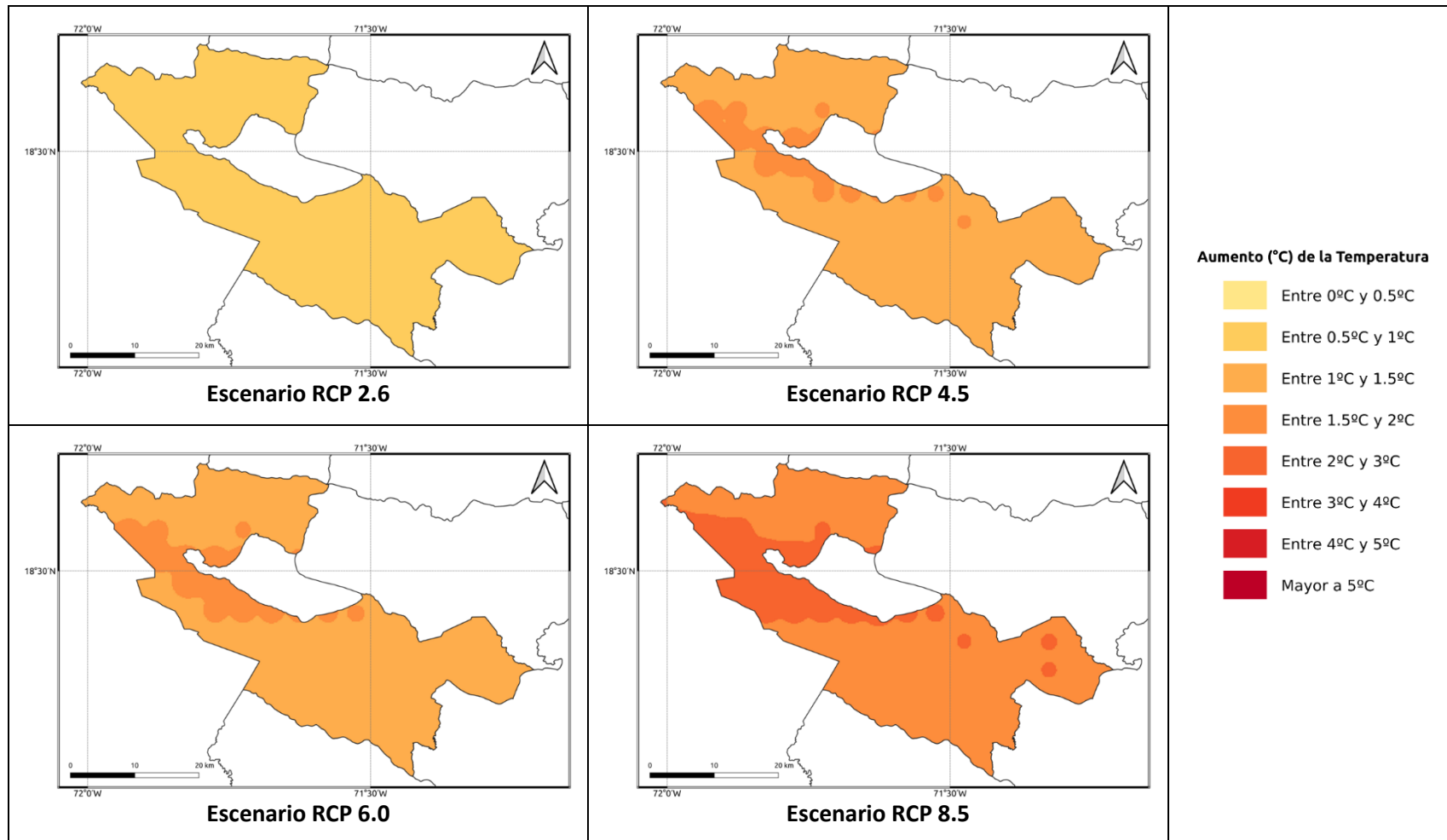
Figura 1.1.12-12. Cambios proyectados en la temperatura mínima (°C) por el ensamble multimodelo bajo los 4 escenarios RCP en el periodo 2081-2100 para la provincia Independencia.



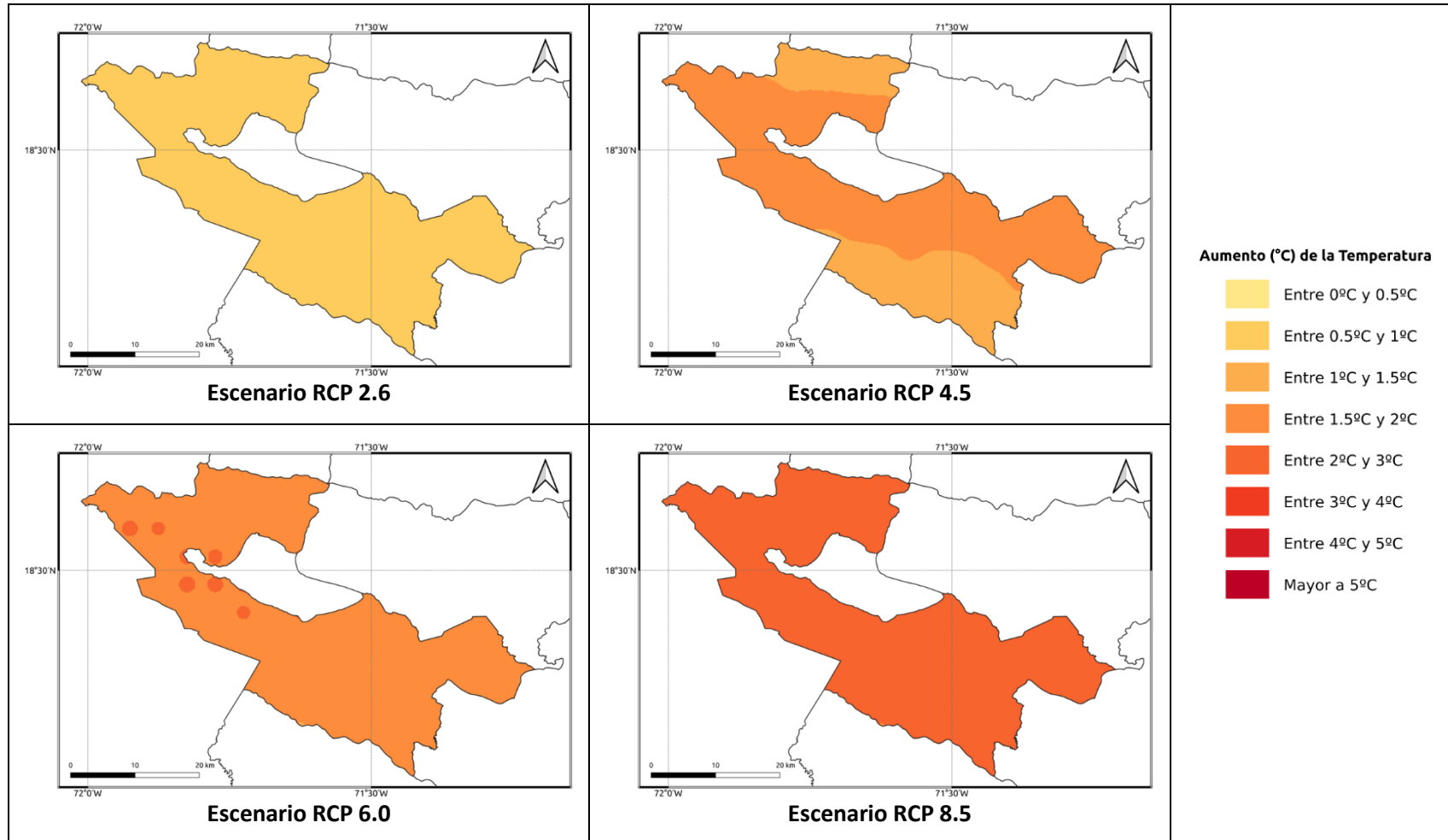
**Figura 1.1.12-13. Cambios proyectados en la temperatura media (°C) por el ensamble multimodelo bajo los 4 escenarios RCP en el periodo 2021-2040 para la provincia Independencia.**



**Figura 1.1.12-14. Cambios proyectados en la temperatura media (°C) por el ensamble multimodelo bajo los 4 escenarios RCP en el periodo 2041-2060 para la provincia Independencia.**



**Figura 1.1.12-15. Cambios proyectados en la temperatura media (°C) por el ensamble multimodelo bajo los 4 escenarios RCP en el periodo 2061-2080 para la provincia Independencia.**



**Figura 1.1.12-16. Cambios proyectados en la temperatura media (°C) por el ensamble multimodelo bajo los 4 escenarios RCP en el periodo 2081-2100 para la provincia Independencia.**

### **1.1.13 PROVINCIA LA ALTAGRACIA**

A continuación, se presenta el análisis espacial de los cambios de las variables climáticas a nivel anual para la provincia **La Altagracia**. Los cambios a nivel estacional (trimestral) se pueden consultar en el Anexo 14.

#### **Precipitación**

Para esta variable, en el periodo de corto plazo 2021-2040 se presentarían cambios dentro del rango normal de variabilidad (del orden del 5-8%), con aumentos de esta magnitud bajo los escenarios RCP 2.6 y 6.0, y reducciones bajo los escenarios RCP 4.5 y 8.5, y dándose en este último escenario disminuciones del orden del 8% en gran parte de la provincia (Figura 1.1.13-1). Para el siguiente periodo (2041-2060), bajo el RCP 2.6 se mantiene el aumento de la precipitación del orden del 5%, y en los demás escenarios la tendencia sería a la reducción de la precipitación entre un 4-9% (Figura 1.1.13-2). Para el periodo 2061-2080, en el RCP 2.6 se mantendrían los incrementos del 5%, y bajo los otros escenarios se darían reducciones de la precipitación, del orden del 9-12% bajo el RCP 4.5, entre 4-9% bajo el RCP 6.0 y del 19-23% bajo el RCP 8.5 (Figura 1.1.13-3). Por último, para finales de siglo bajo los 4 escenarios se presentarían reducciones de la precipitación, siendo las de menor magnitud bajo el RCP 2.6 (entre 4-8%) y las más altas bajo el RCP 8.5, con reducciones entre 23 y 32%, dándose las mayores reducciones hacia el oriente y occidente de la provincia (Figura 1.1.13-4).

#### **Temperatura Máxima**

La temperatura máxima presentaría incrementos bajo los 4 RCP en todos los periodos analizados. En el periodo de corto plazo (2021-2040) la temperatura aumentaría entre 0.7 y 1.3°C, con aumentos de más de 1°C bajo el RCP 8.5 (Figura 1.1.13-5). Para 2041-2060, los aumentos serían de 1.1 a 1.4°C bajo los primeros 3 RCP (2.6, 4.5 y 6.0), y de 1.6 a 1.8°C bajo el RCP 8.5 (Figura 1.1.13-6). En el periodo 2061-2080 los aumentos serían de 1.1 a 2.6°C, manteniéndose el incremento de 1.1 a 1.4°C bajo el RCP 2.6, siendo de 1.4 a 1.8°C bajo los RCP 4.5 y 6.0 y de 2.6°C bajo el RCP 8.5 (Figura 1.1.13-7). Para finales de siglo, los aumentos serían de 0.7 a 0.9°C bajo el RCP 2.6, de 1.7 a 1.9°C bajo el RCP 4.5, de 2.2 a 2.6°C bajo el RCP 6.0 y de 3.2 a 3.8°C bajo el RCP 8.5 (Figura 1.1.13-8).

#### **Temperatura Mínima**

En el primer periodo (2021-2040), ésta se incrementaría de 0.6 a 0.8°C en los 4 escenarios RCP (Figura 1.1.13-9). Para 2041-2060 aumentaría de 0.7 a 0.9°C en los RCP 2.6 y 6.0, y bajo los RCP 4.5 y 8.5 habría aumentos de 0.9 a 1.3°C (Figura 1.1.13-10). En el periodo 2061-2080 la temperatura mínima se incrementaría entre 0.6 y



0.8°C bajo el RCP 2.6, entre 1.1 y 1.4°C bajo los RCP 4.5 y 6.0 y entre 1.7 y 2.2°C bajo el RCP 8.5 (dándose los mayores aumentos hacia el centro de la provincia) (Figura 1.1.13-11). Por último, para finales de siglo se mantendría un aumento de 0.8°C en el RCP 2.6, entre 1.1 y 1.4°C bajo el RCP 4.5, entre 1.6 y 1.8°C bajo el 6.0 y de 2.2 a 2.6°C bajo el RCP 8.5 (Figura 1.1.13-12).

#### ***Temperatura Media***

La temperatura media se incrementaría entre 0.6 y 0.8°C en el periodo 2021-2040 bajo los 4 escenarios RCP (Figura 1.1.13-13). En el periodo 2041-2060 se mantendría este mismo rango bajo el RCP 2.6, y en los otros 3 escenarios aumentaría de 1.1 a 1.4°C (Figura 1.1.13-14). Para 2061-2080 la temperatura media aumentaría de 0.7 a 0.8°C bajo el RCP 2.6, de 1.3 a 1.5°C bajo los RCP 4.5 y 6.0 y de 1.7 a 1.9°C bajo el RCP 8.5 (Figura 1.1.13-15). Finalmente, para el periodo 2081-2100 la temperatura subiría entre 0.6 y 0.8°C bajo el RCP 2.6, entre 1.2 y 1.7°C bajo el RCP 4.5, de 1.6 a 1.9°C bajo el RCP 6.0 y de 2.4 a 2.8°C bajo el RCP 8.5 (Figura 1.1.13-16).



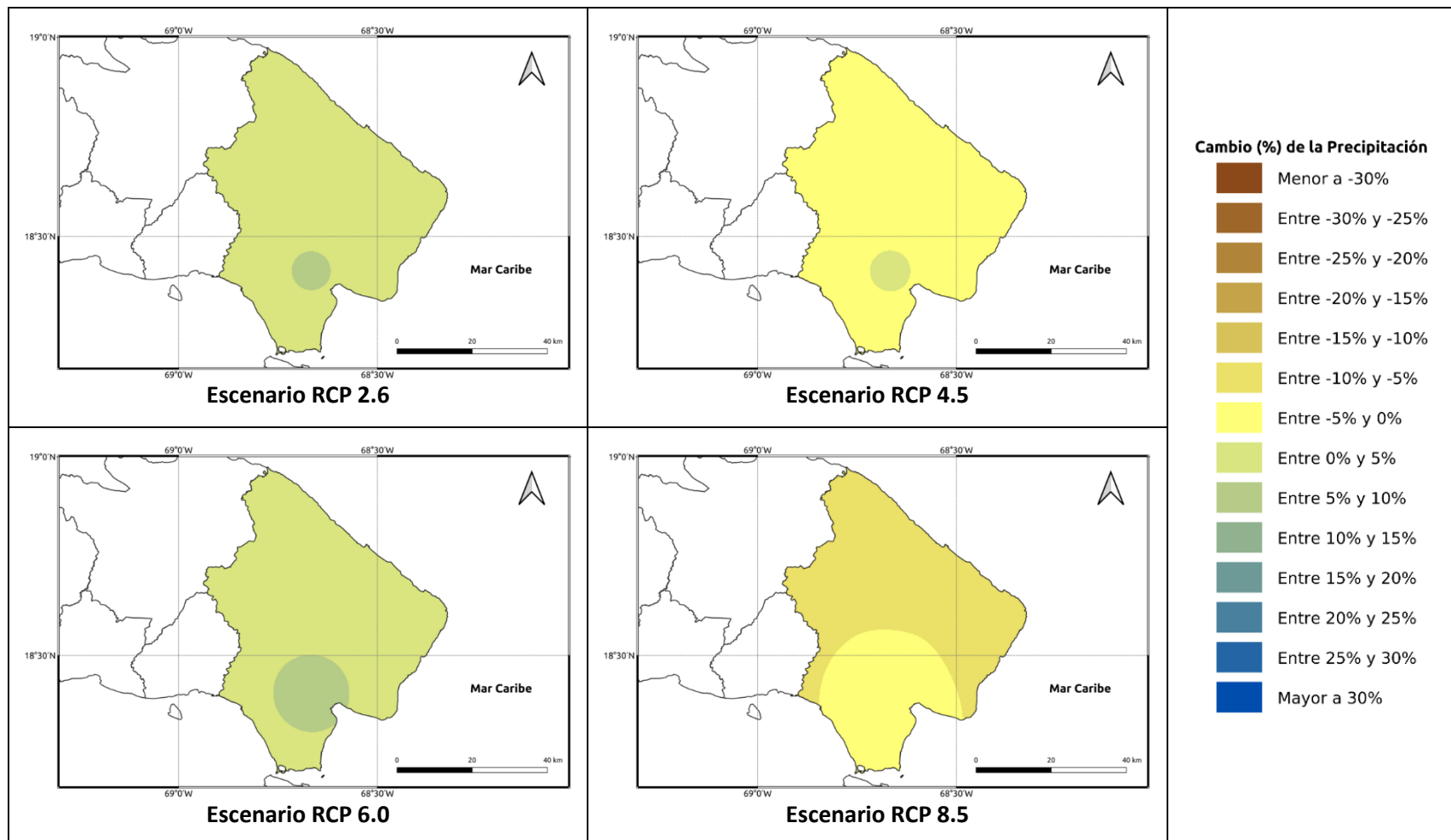


Figura 1.1.13-1. Cambios porcentuales de la precipitación (%) proyectados por el ensamble multimodelo bajo los 4 escenarios RCP en el periodo 2021-2040 para la provincia La Altagracia.

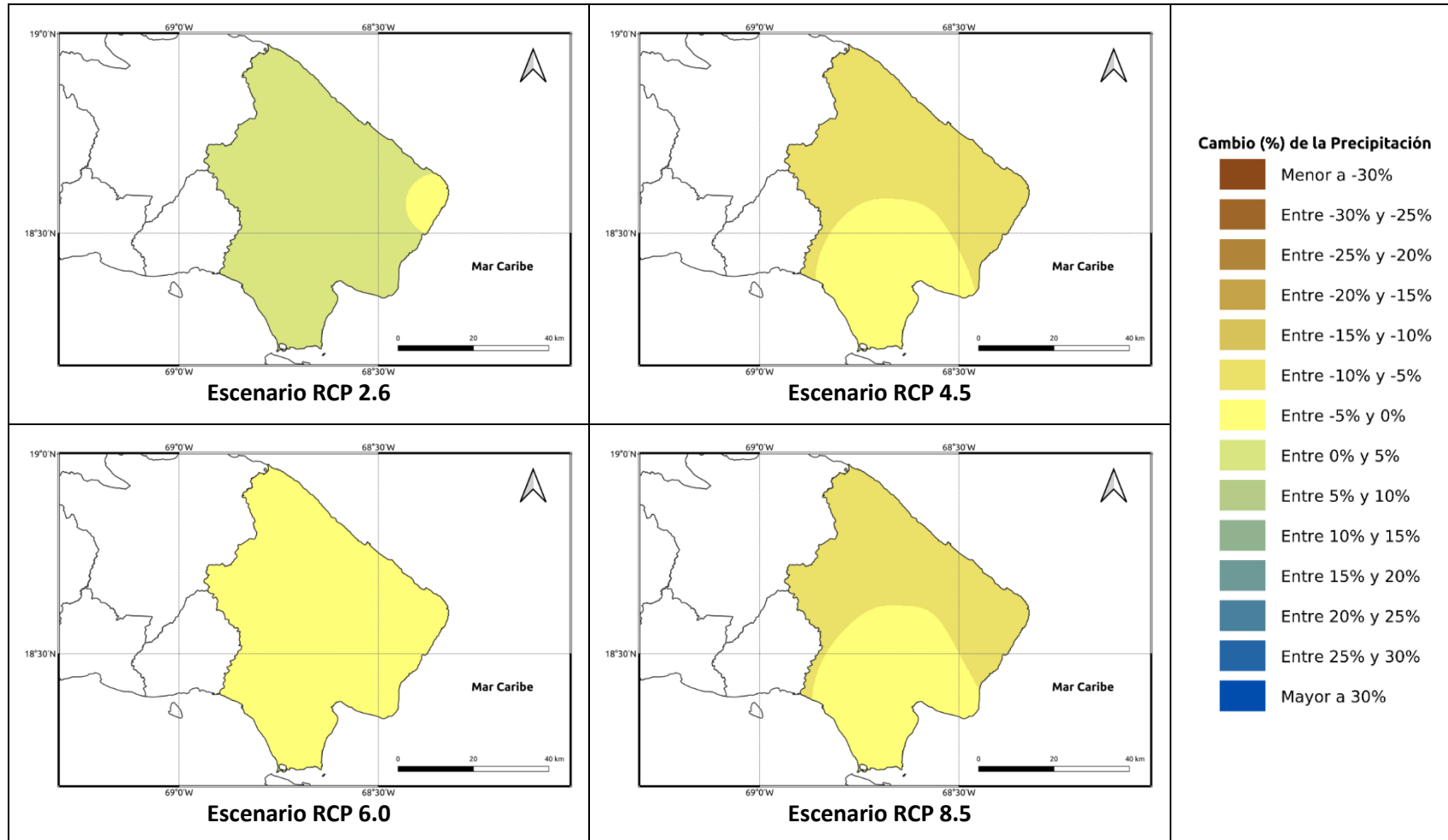


Figura 1.1.13-2. Cambios porcentuales de la precipitación (%) proyectados por el ensamble multimodelo bajo los 4 escenarios RCP en el periodo 2041-2060 para la provincia La Altagracia.

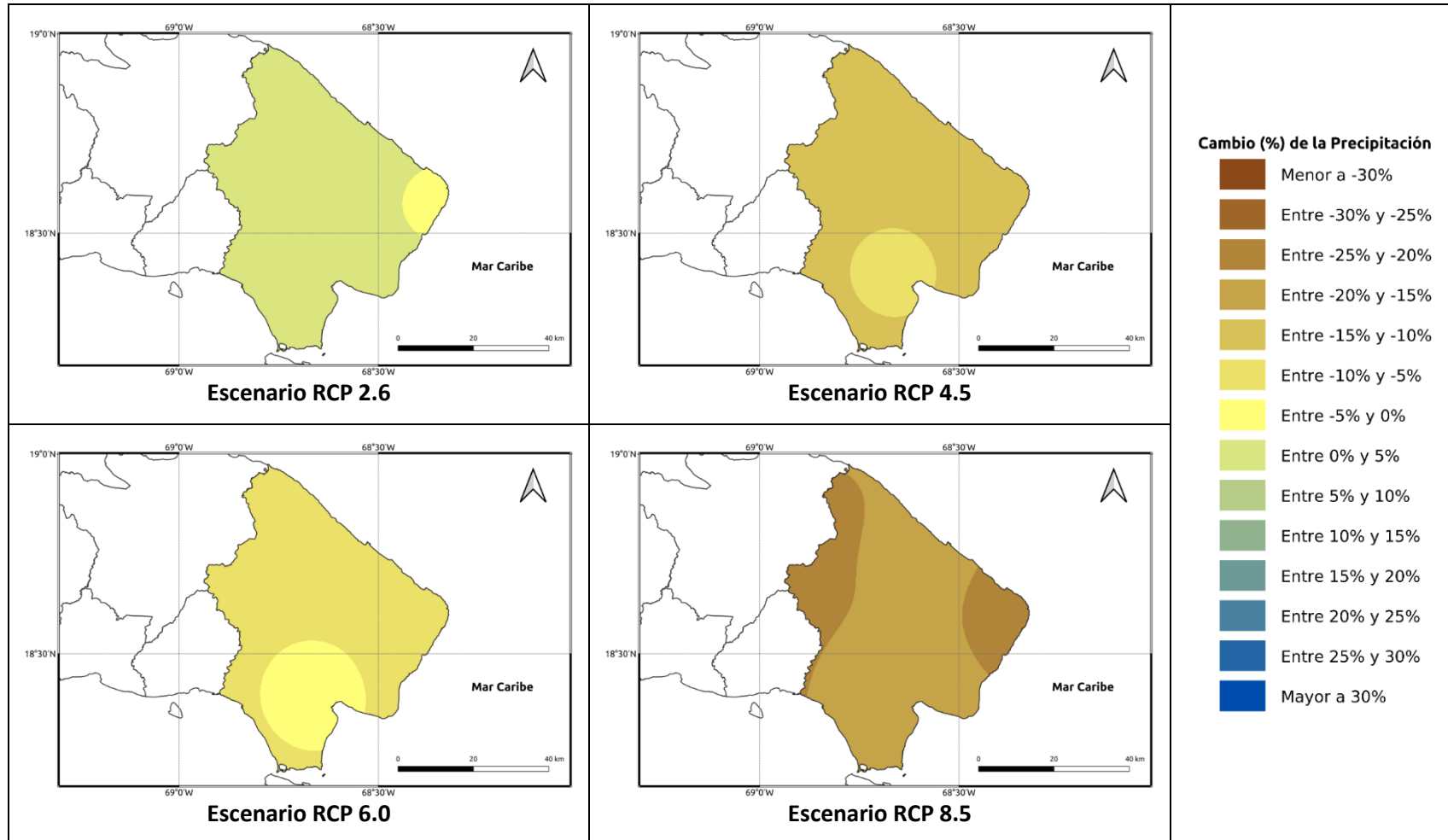


Figura 1.1.13-3. Cambios porcentuales de la precipitación (%) proyectados por el ensamble multimodelo bajo los 4 escenarios RCP en el periodo 2061-2080 para la provincia La Altagracia.

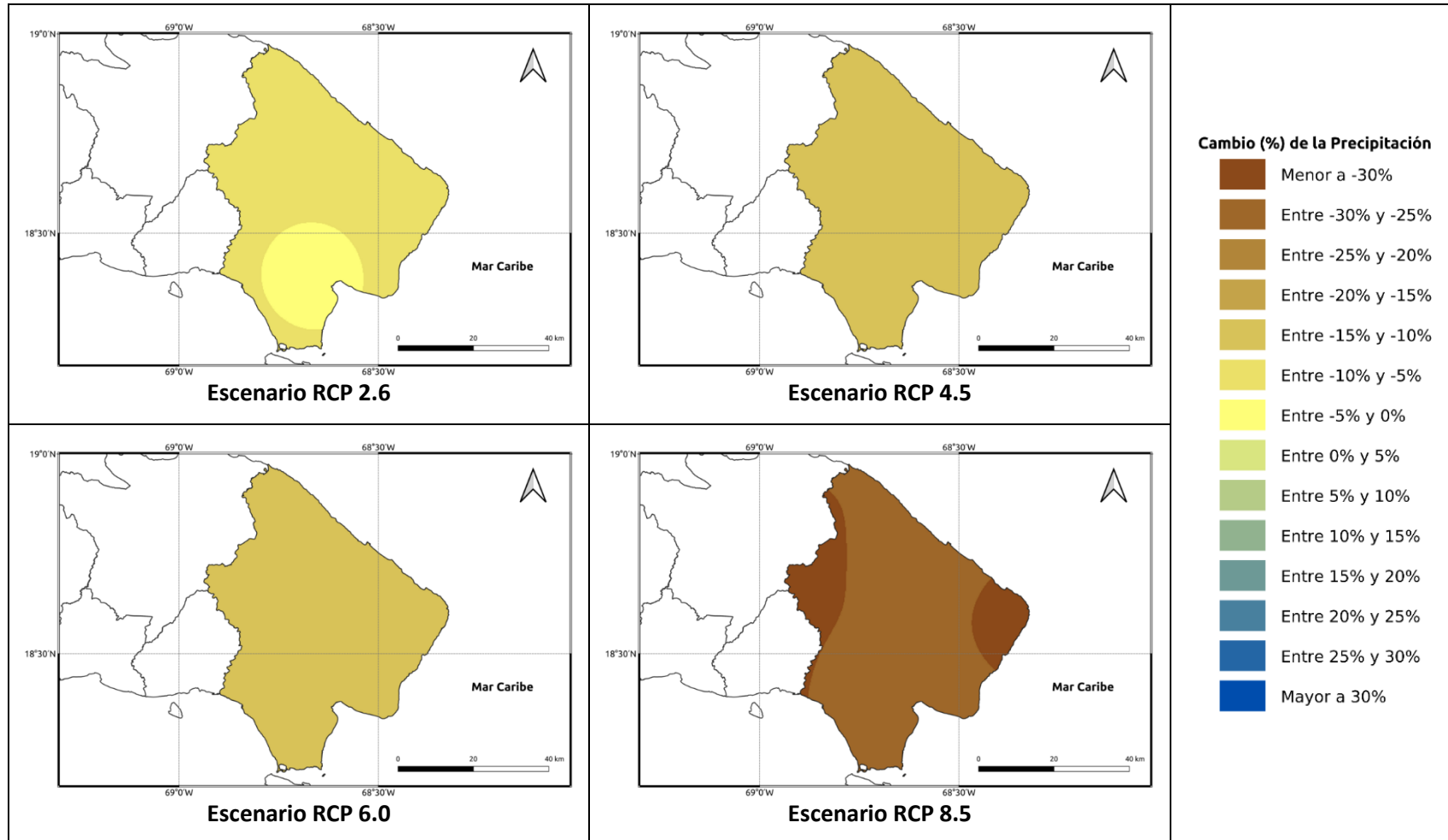


Figura 1.1.13-4. Cambios porcentuales de la precipitación (%) proyectados por el ensamble multimodelo bajo los 4 escenarios RCP en el periodo 2081-2100 para la provincia La Altagracia.

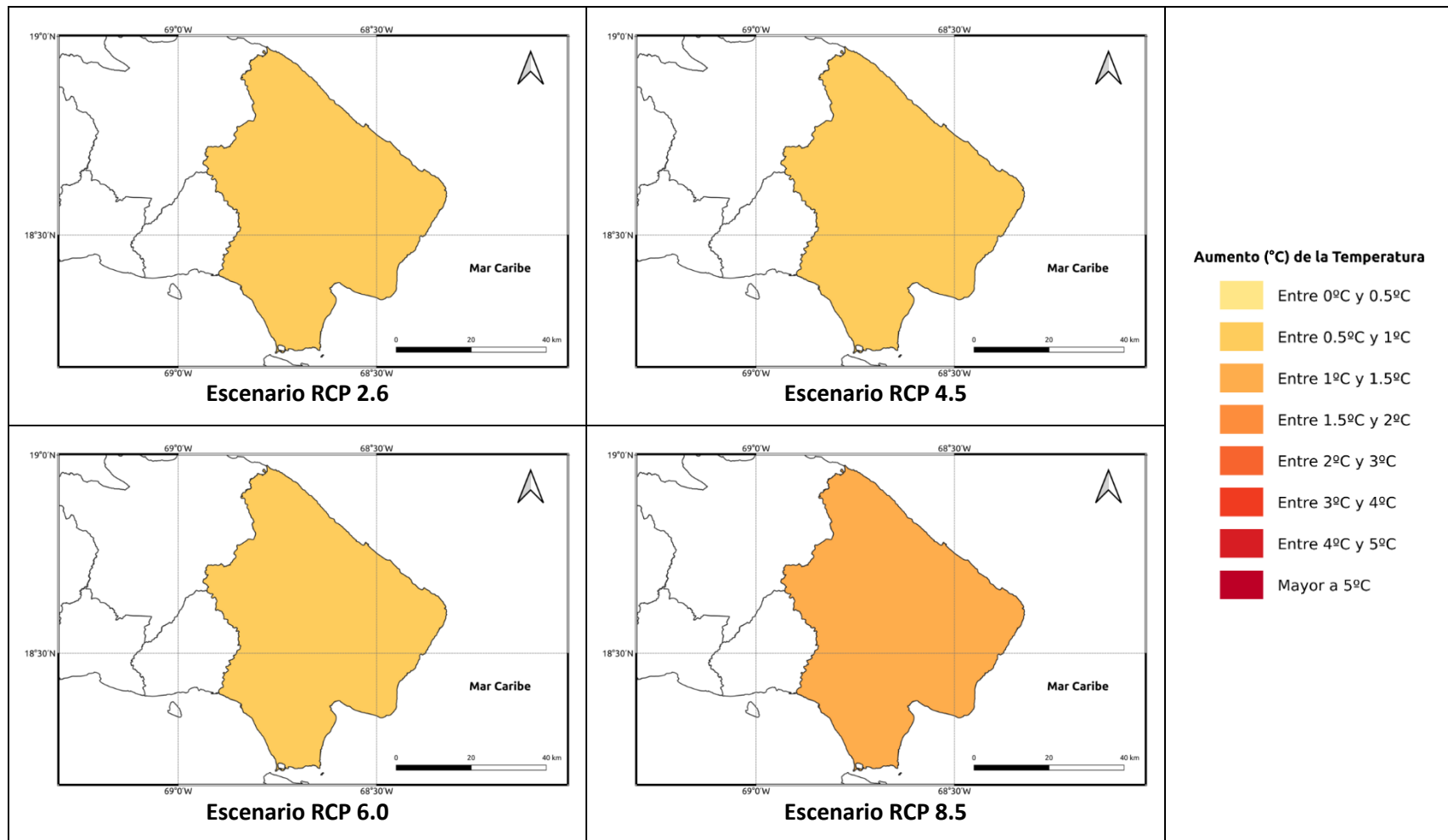


Figura 1.1.13-5. Cambios proyectados en la temperatura máxima (°C) por el ensamble multimodelo bajo los 4 escenarios RCP en el periodo 2021-2040 para la provincia La Altagracia.

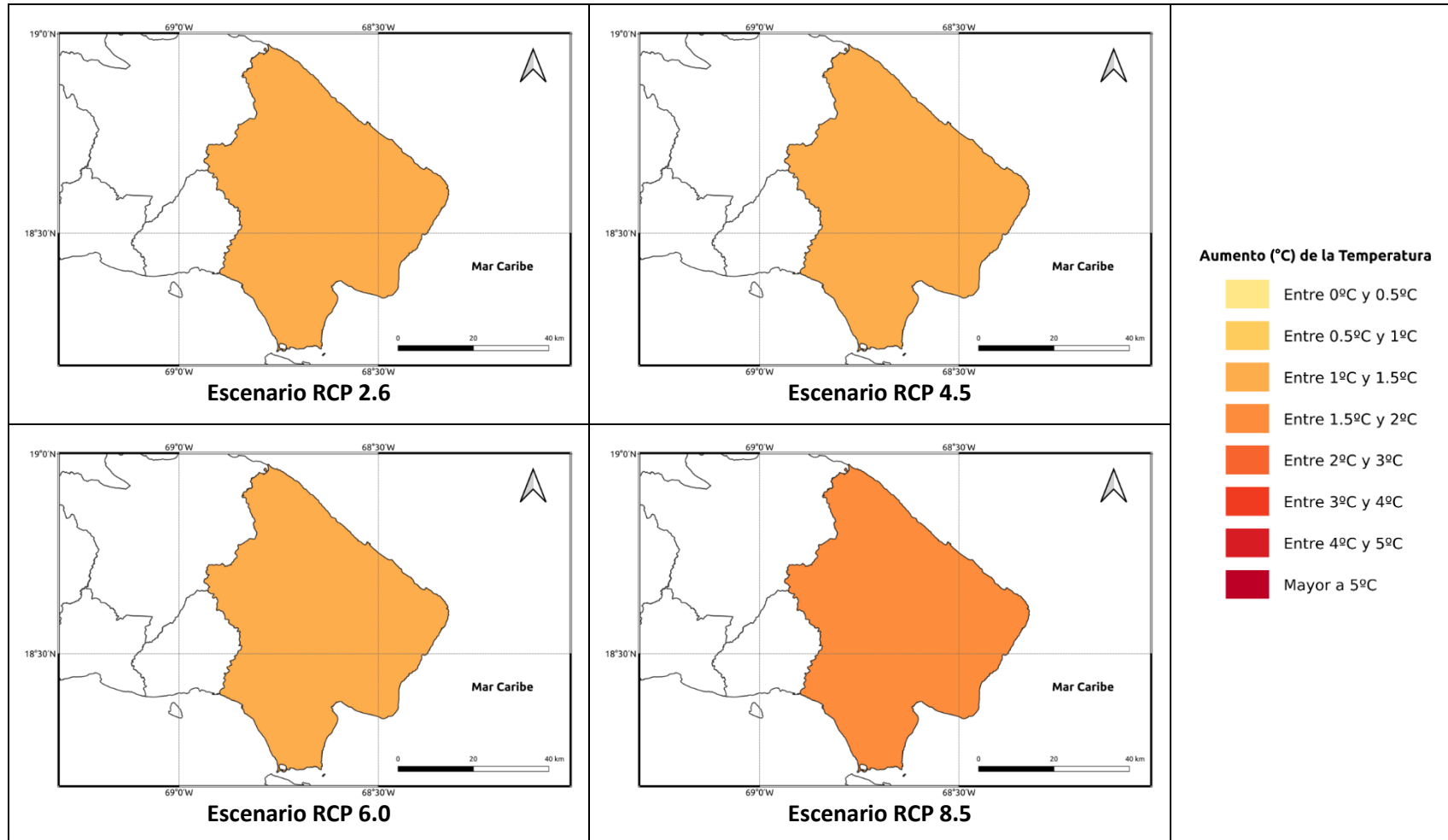


Figura 1.1.13-6. Cambios proyectados en la temperatura máxima (°C) por el ensamble multimodelo bajo los 4 escenarios RCP en el periodo 2041-2060 para la provincia La Altagracia.

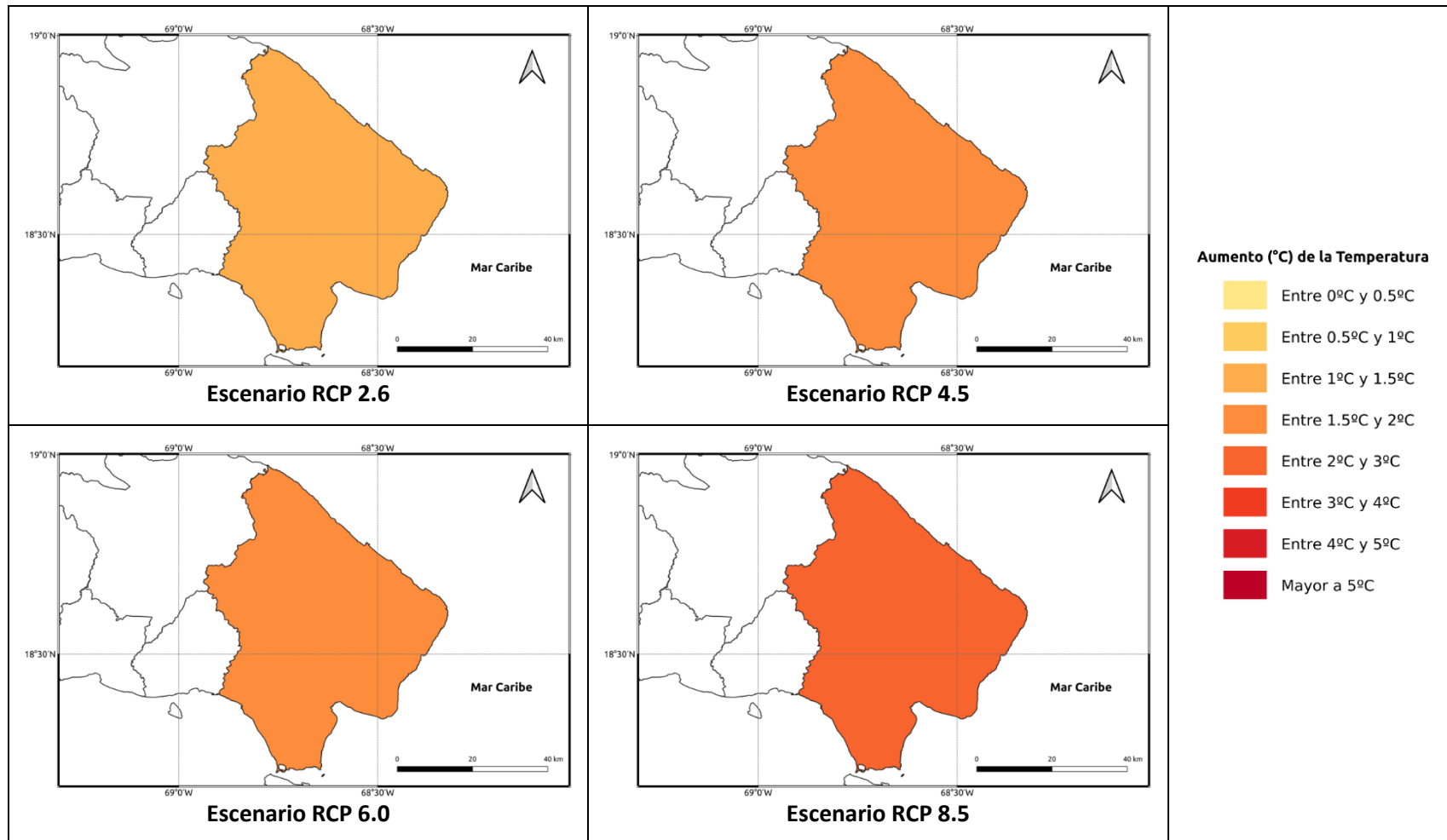


Figura 1.1.13-7. Cambios proyectados en la temperatura máxima (°C) por el ensamble multimodelo bajo los 4 escenarios RCP en el periodo 2061-2080 para la provincia La Altagracia.

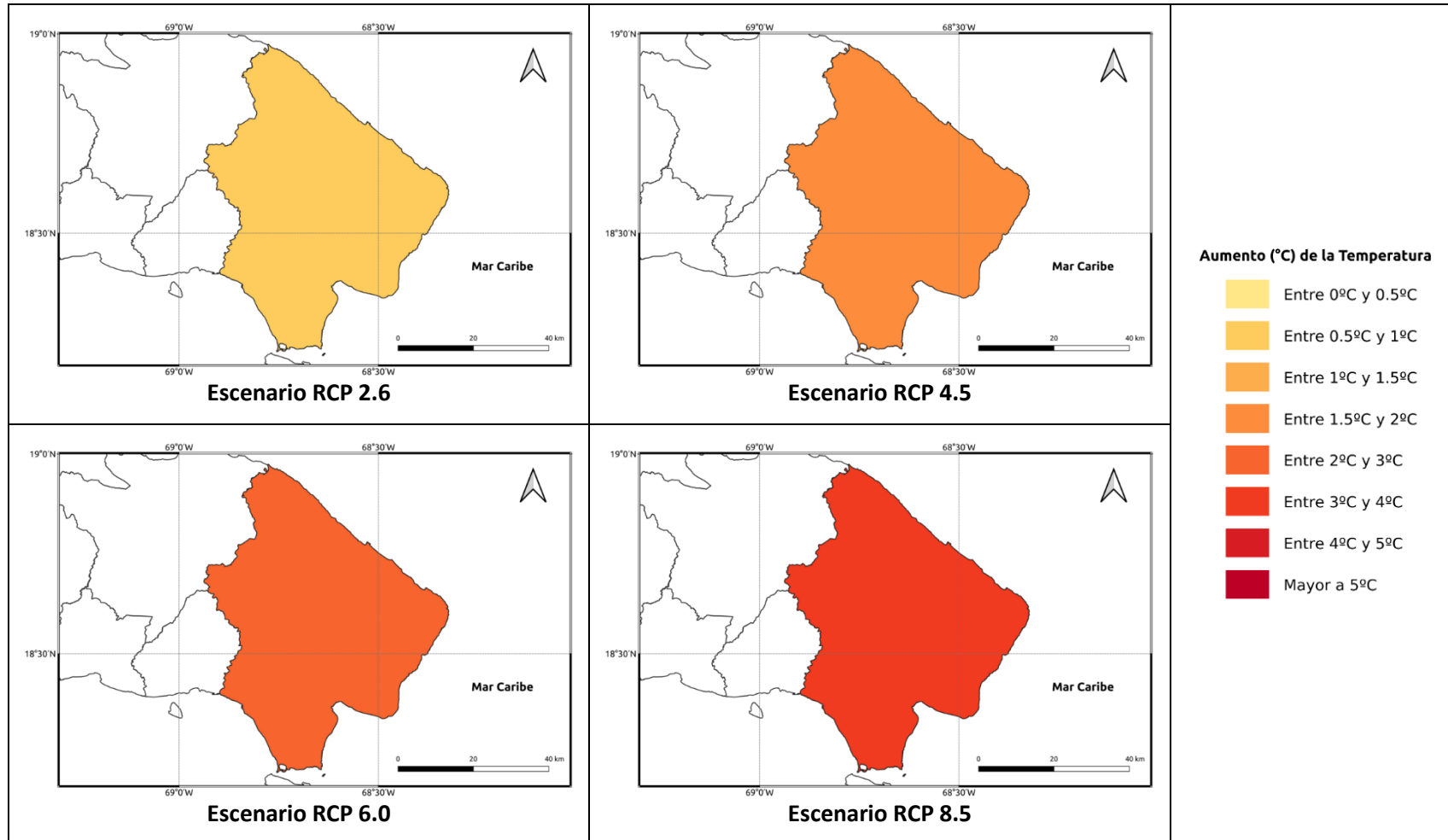


Figura 1.1.13-8. Cambios proyectados en la temperatura máxima (°C) por el ensamble multimodelo bajo los 4 escenarios RCP en el periodo 2081-2100 para la provincia La Altagracia.

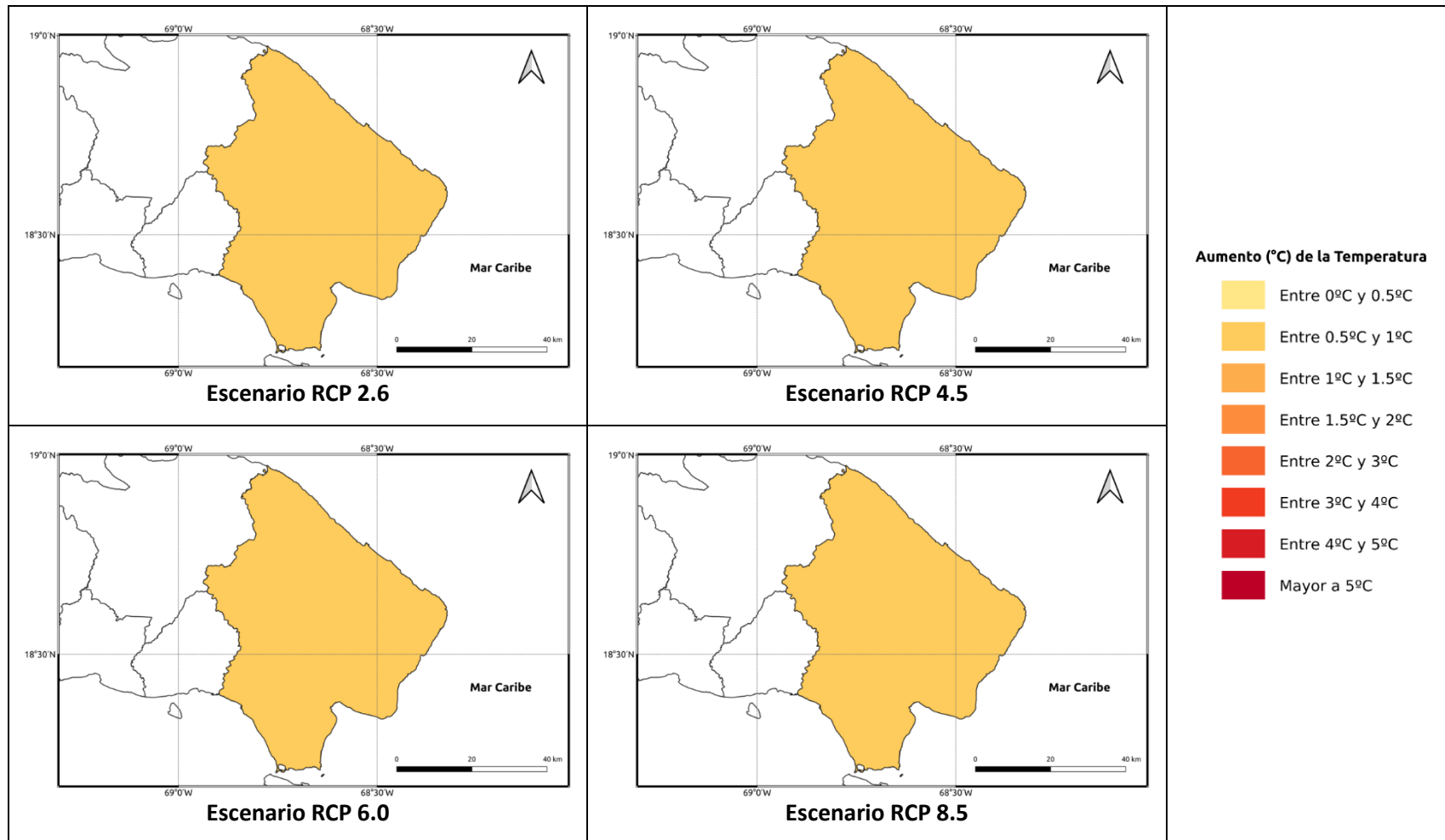


Figura 1.1.13-9. Cambios proyectados en la temperatura mínima (°C) por el ensamble multimodelo bajo los 4 escenarios RCP en el periodo 2021-2040 para la provincia La Altagracia.

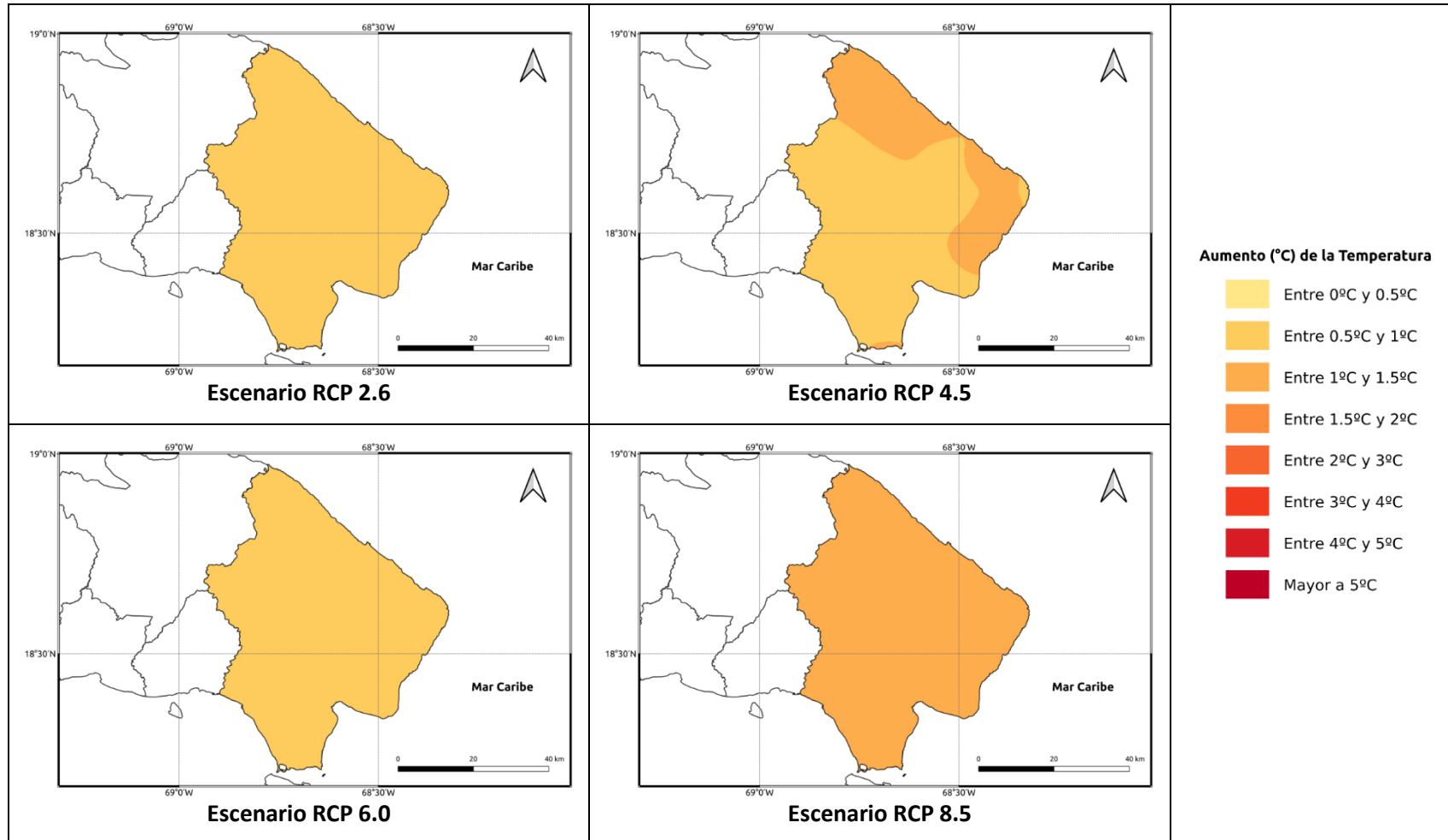


Figura 1.1.13-10. Cambios proyectados en la temperatura mínima (°C) por el ensamble multimodelo bajo los 4 escenarios RCP en el periodo 2041-2060 para la provincia La Altagracia.

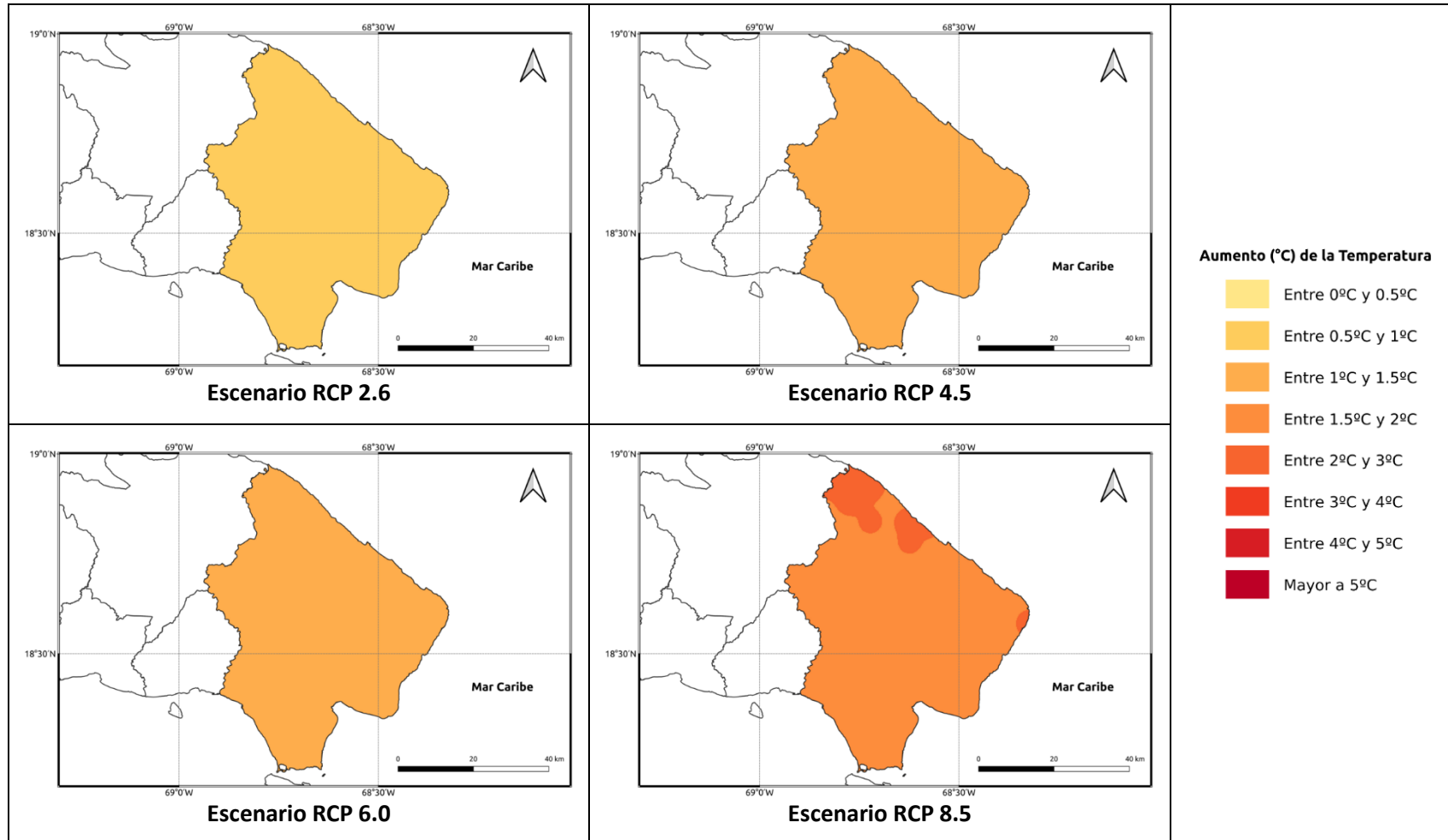


Figura 1.1.13-11. Cambios proyectados en la temperatura mínima (°C) por el ensamble multimodelo bajo los 4 escenarios RCP en el periodo 2061-2080 para la provincia La Altagracia.

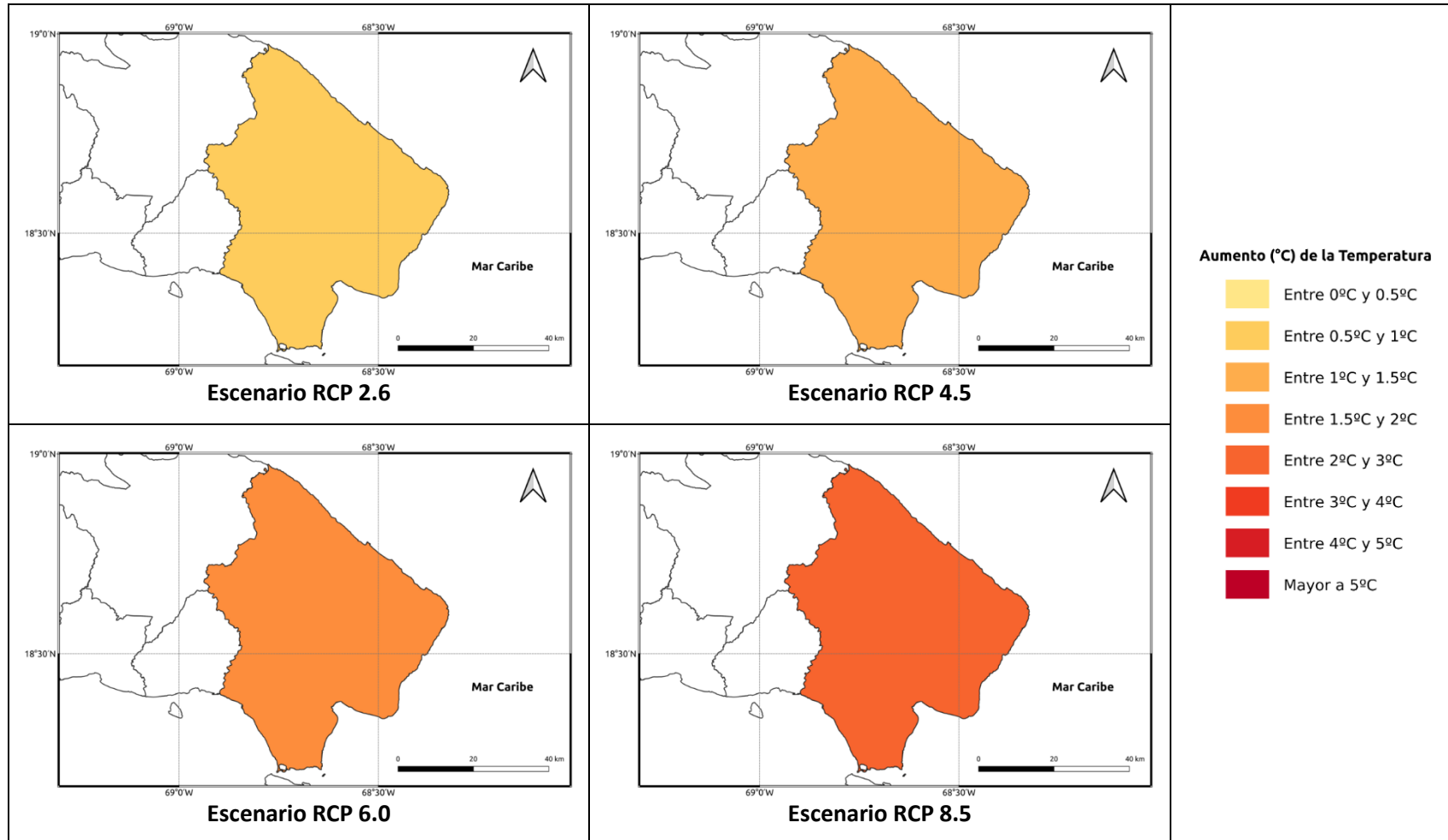


Figura 1.1.13-12. Cambios proyectados en la temperatura mínima (°C) por el ensamble multimodelo bajo los 4 escenarios RCP en el periodo 2081-2100 para la provincia La Altagracia.

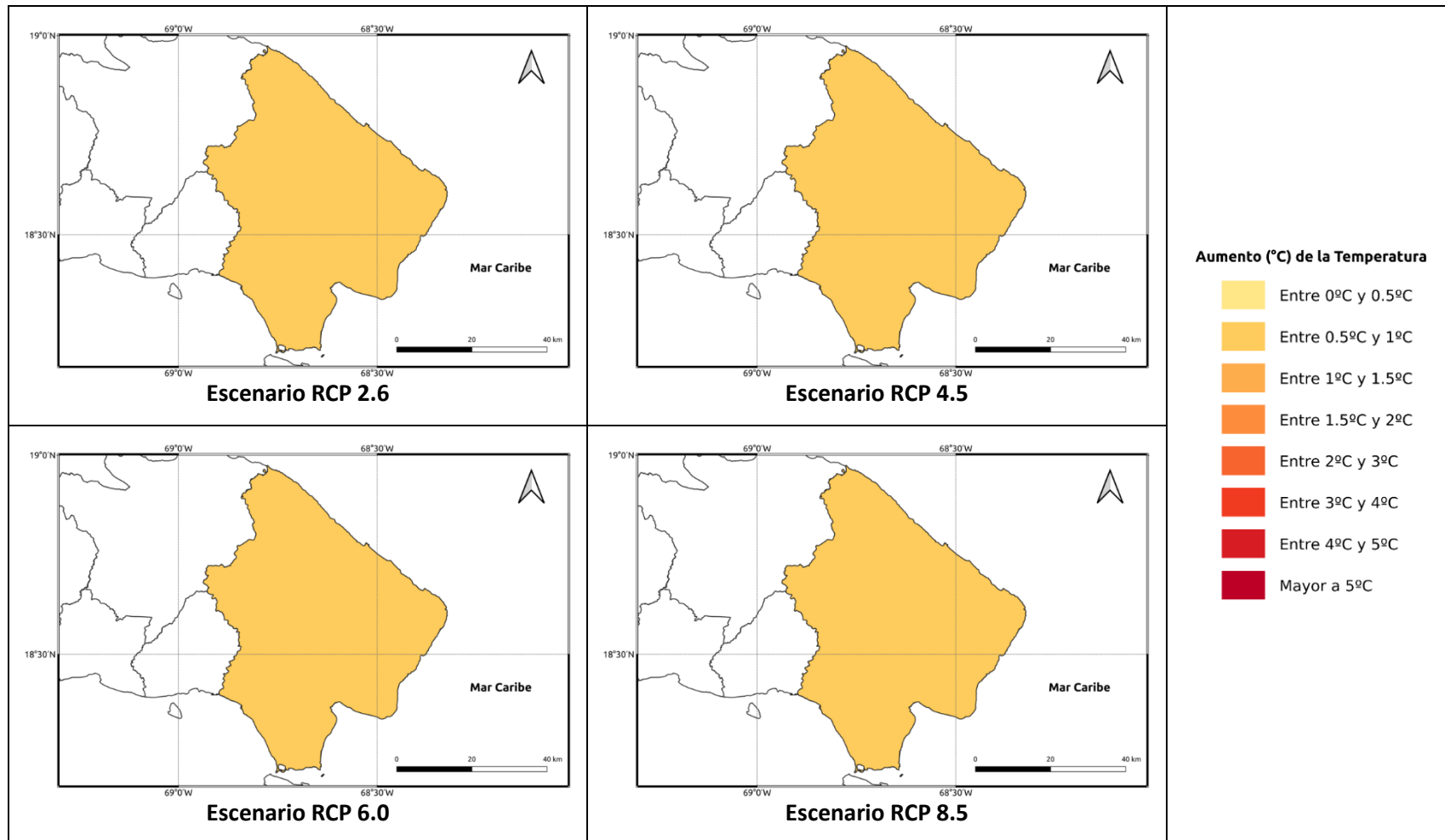


Figura 1.1.13-13. Cambios proyectados en la temperatura media (°C) por el ensamble multimodelo bajo los 4 escenarios RCP en el periodo 2021-2040 para la provincia La Altagracia.

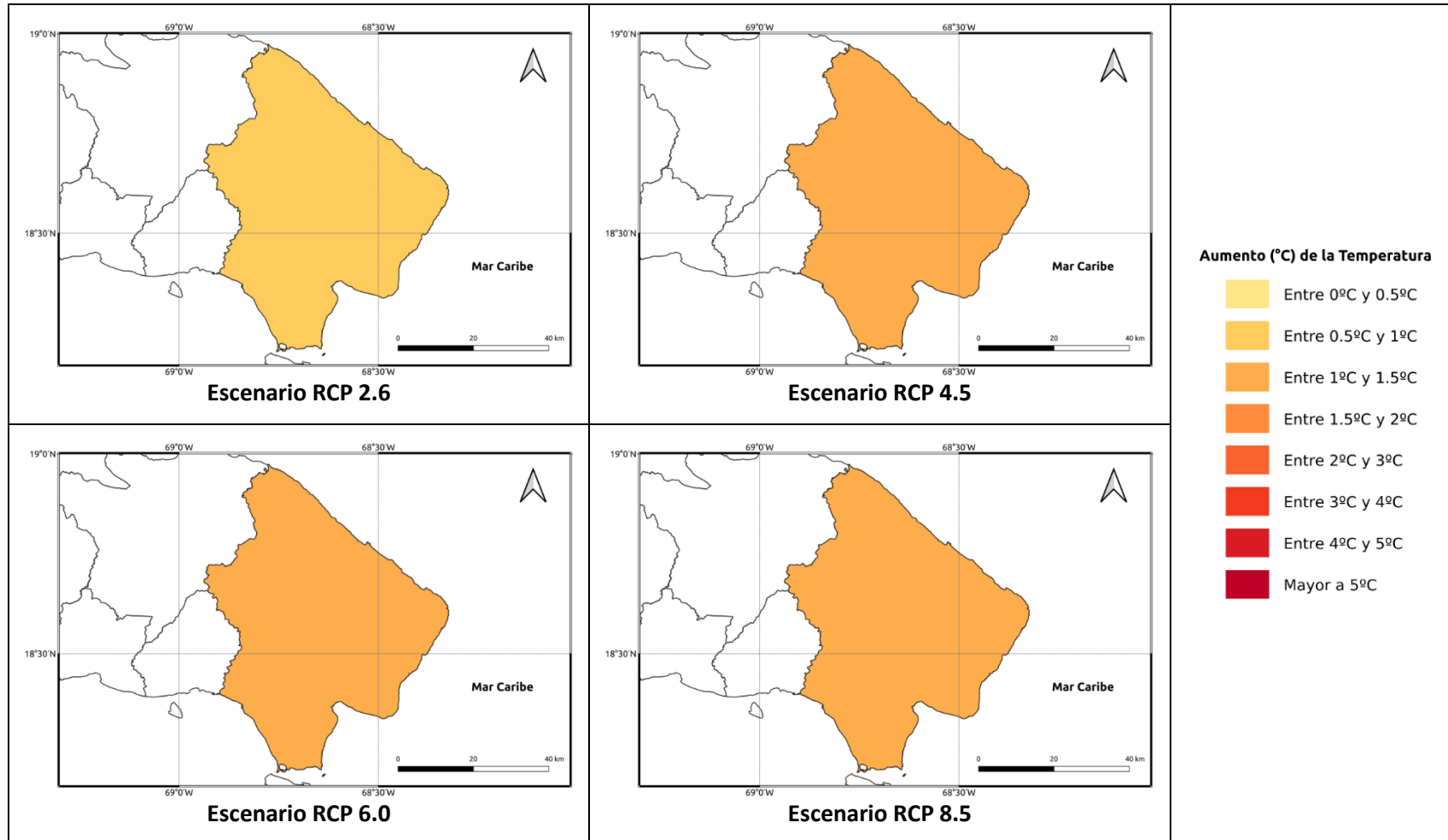


Figura 1.1.13-14. Cambios proyectados en la temperatura media (°C) por el ensamble multimodelo bajo los 4 escenarios RCP en el periodo 2041-2060 para la provincia La Altagracia.

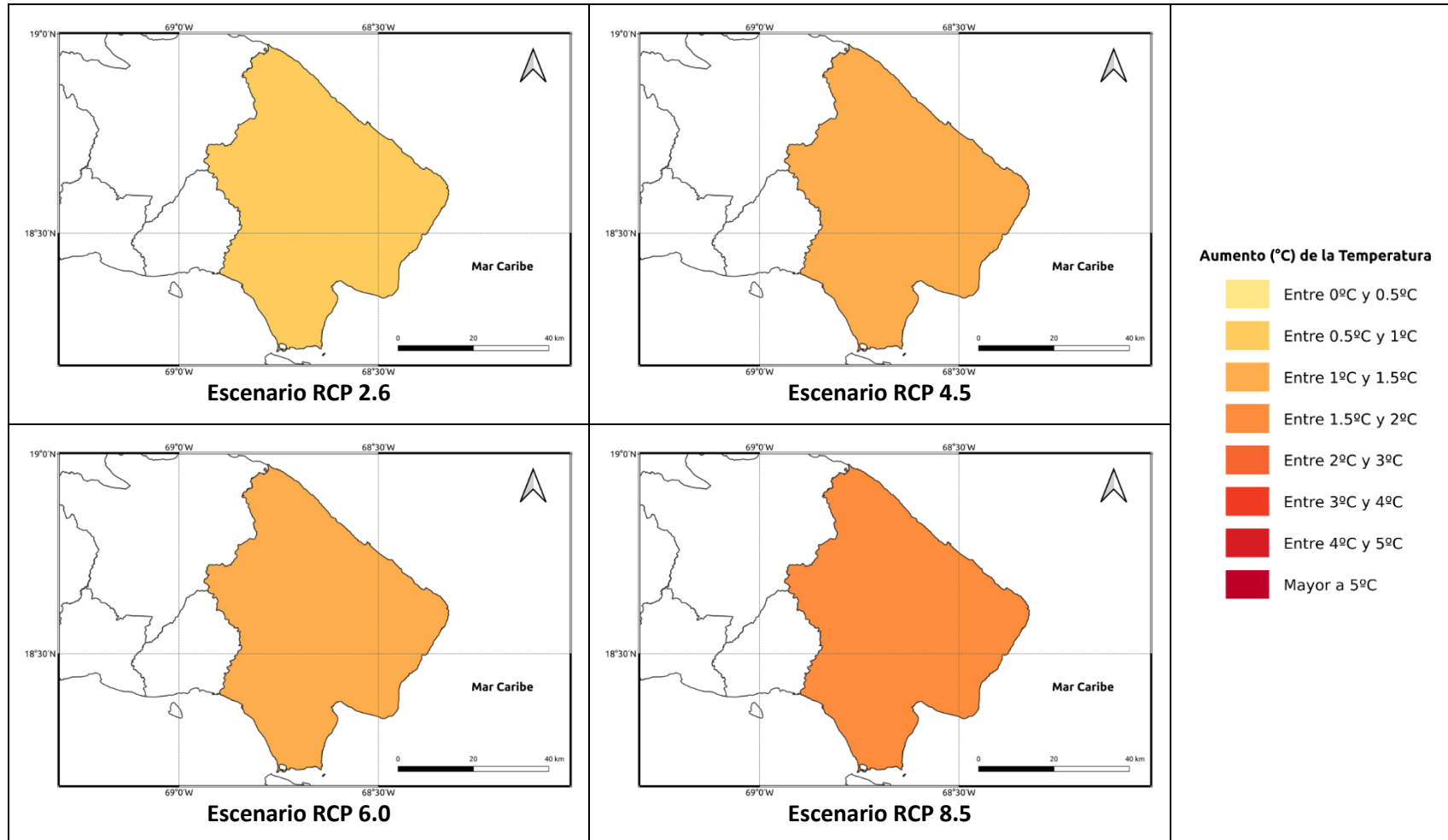


Figura 1.1.13-15. Cambios proyectados en la temperatura media (°C) por el ensamble multimodelo bajo los 4 escenarios RCP en el periodo 2061-2080 para la provincia La Altagracia.

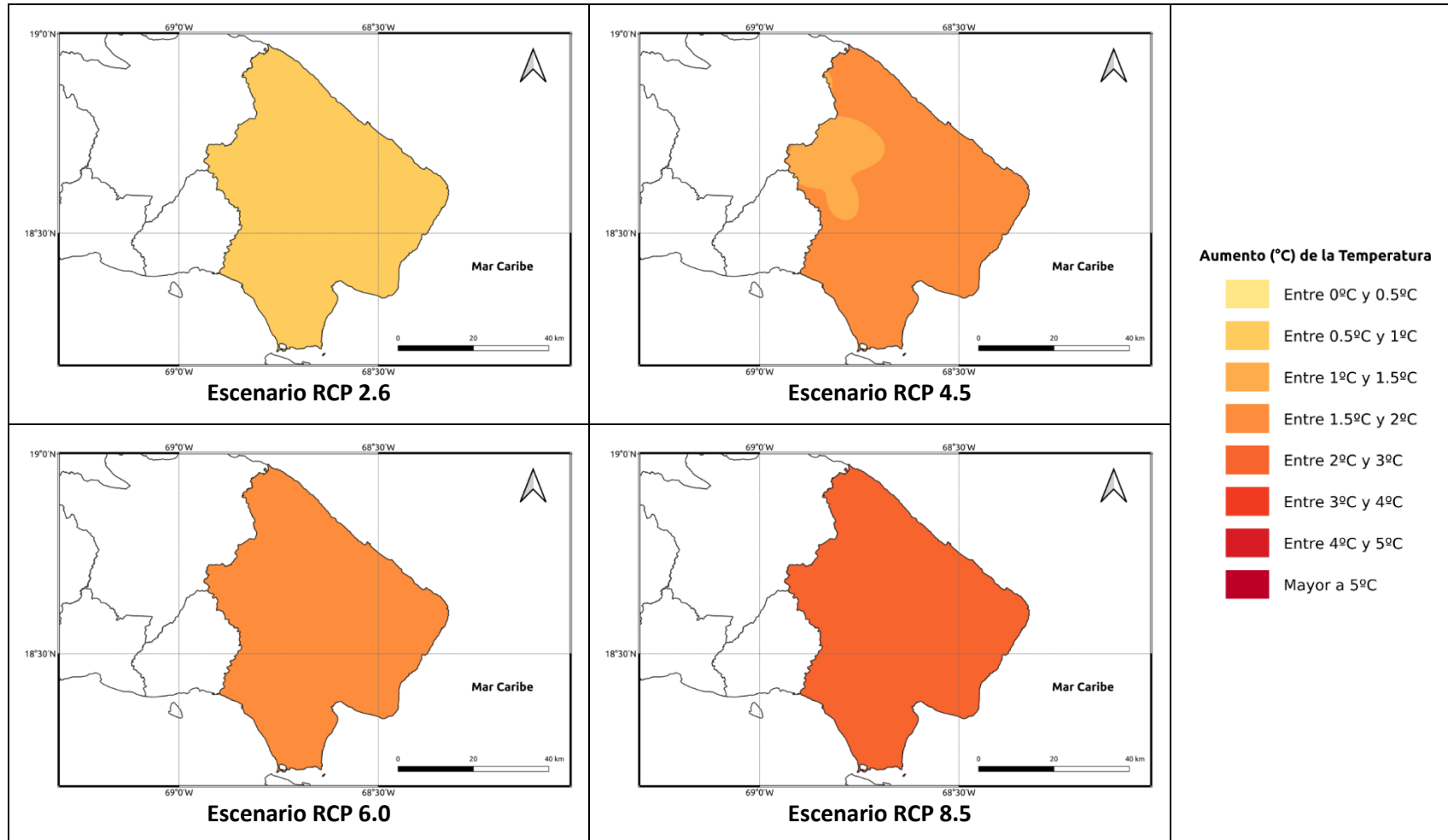


Figura 1.1.13-16. Cambios proyectados en la temperatura media (°C) por el ensamble multimodelo bajo los 4 escenarios RCP en el periodo 2081-2100 para la provincia La Altagracia.

### **1.1.14 PROVINCIA LA ROMANA**

A continuación, se presenta el análisis espacial de los cambios de las variables climáticas a nivel anual para la provincia **La Romana**. Los cambios a nivel estacional (trimestral) se pueden consultar en el Anexo 15.

#### **Precipitación**

Para esta variable, en el periodo de corto plazo 2021-2040 se presentarían cambios dentro del rango normal de variabilidad (del orden del 5%), con aumentos de esta magnitud bajo los escenarios RCP 2.6 y 6.0 y reducciones en los escenarios RCP 4.5 y 8.5, siendo en este último del orden del 8% (Figura 1.1.14-1). Para el siguiente periodo (2041-2060), bajo el RCP 2.6 se mantiene el aumento de la precipitación del orden del 5%, y en los demás escenarios la tendencia sería a la reducción de la precipitación entre un 4-9% (Figura 1.1.14-2). Para el periodo 2061-2080, en el RCP 2.6 se mantendrían los incrementos del 5% en la mayor parte de la provincia, y se presentarían reducciones de esta magnitud al occidente de la misma. Bajo los otros escenarios se darían reducciones de la precipitación, del orden del 12-15% bajo el RCP 4.5, entre 7-10% bajo el RCP 6.0 y del 22-27% bajo el RCP 8.5 (Figura 1.1.14-3). Por último, para finales de siglo bajo los 4 escenarios se presentarían reducciones de la precipitación, siendo las de menor magnitud bajo el RCP 2.6 (entre 6-8%) y las más altas bajo el RCP 8.5, con reducciones del 27% en la Isla Saona y de más del 30% en el resto de la provincia (Figura 1.1.14-4).

#### **Temperatura Máxima**

La temperatura máxima podría presentar incrementos bajo los 4 RCP en todos los periodos analizados. En el periodo de corto plazo (2021-2040) la temperatura aumentaría entre 0.7 y 1.3°C, con aumentos de más de 1°C bajo el RCP 8.5 (Figura 1.1.14-5). Para 2041-2060, los aumentos serían de 1.1 a 1.4°C bajo los primeros 3 RCP (2.6, 4.5 y 6.0), y de 1.5 a 1.8°C bajo el RCP 8.5 (Figura 1.1.14-6). En el periodo 2061-2080 los aumentos serían de 1.1 a 2.4°C, manteniéndose el incremento de 1.1 a 1.4°C bajo el RCP 2.6, siendo de 1.4 a 1.8°C bajo los RCP 4.5 y 6.0 y de 2.6°C bajo el RCP 8.5 (Figura 1.1.14-7). Para finales de siglo, los aumentos serían de 0.7 a 1.2°C bajo el RCP 2.6, de 1.7 a 1.9°C bajo el RCP 4.5, de 2.2 a 2.4°C bajo el RCP 6.0 y de 3.2 a 3.8°C bajo el RCP 8.5 (Figura 1.1.14-8).

#### **Temperatura Mínima**

En el primer periodo (2021-2040), ésta se incrementaría de 0.3 a 0.8°C en los 4 escenarios RCP (Figura 1.1.14-9). Para 2041-2060 aumentaría de 0.7 a 0.9°C en los 3 primeros escenarios (aunque bajo el RCP 4.5 habría incrementos de 1.1°C hacia el oriente de la provincia y en la Isla Saona), y bajo el RCP 8.5 habría aumentos de 1.3°C



(Figura 1.1.14-10). En el periodo 2061-2080 la temperatura mínima se incrementaría entre 0.6 y 0.8°C bajo el RCP 2.6, entre 1.1 y 1.4°C bajo los RCP 4.5 y 6.0 y entre 1.7 y 2.2°C bajo el RCP 8.5, dándose los mayores aumentos en la Isla Saona (Figura 1.1.14-11). Por último, para finales de siglo se mantendría un aumento de 0.8°C en el RCP 2.6, entre 1.1 y 1.4°C bajo el RCP 4.5, entre 1.6 y 1.8°C bajo el RCP 6.0 y de 2.2 a 2.6°C bajo el RCP 8.5 (Figura 1.1.14-12).

#### ***Temperatura Media***

La temperatura media se incrementaría entre 0.6 y 0.8°C en el periodo 2021-2040 bajo los 4 escenarios RCP (Figura 1.1.14-13). En el periodo 2041-2060 se mantendría este mismo rango bajo el RCP 2.6, y en los otros 3 escenarios aumentaría de 1.1 a 1.4°C (Figura 1.1.14-14). Para 2061-2080 la temperatura media aumentaría de 0.7 a 0.8°C bajo el RCP 2.6, de 1.3 a 1.5°C bajo los RCP 4.5 y 6.0 y de 1.7 a 2.4°C bajo el RCP 8.5 (Figura 1.1.14-15). Finalmente, para el periodo 2081-2100 la temperatura subiría entre 0.6 y 0.8°C bajo el RCP 2.6, entre 1.6 y 1.9°C bajo los RCP 4.5 y 6.0 y de 2.4 a 2.8°C bajo el RCP 8.5 (Figura 1.1.14-16).



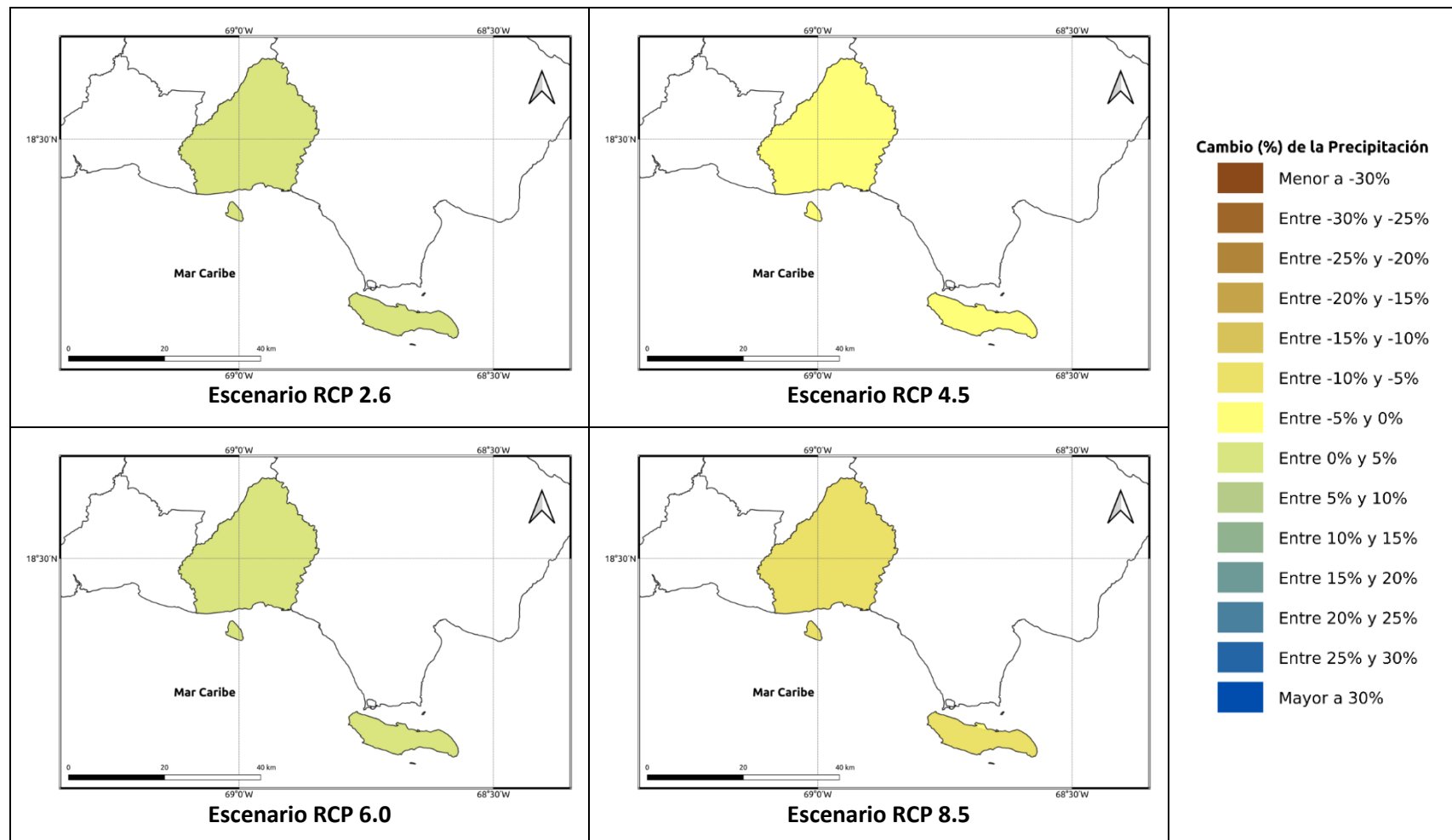


Figura 1.1.14-1. Cambios porcentuales de la precipitación (%) proyectados por el ensamble multimodelo bajo los 4 escenarios RCP en el periodo 2021-2040 para la provincia La Romana.

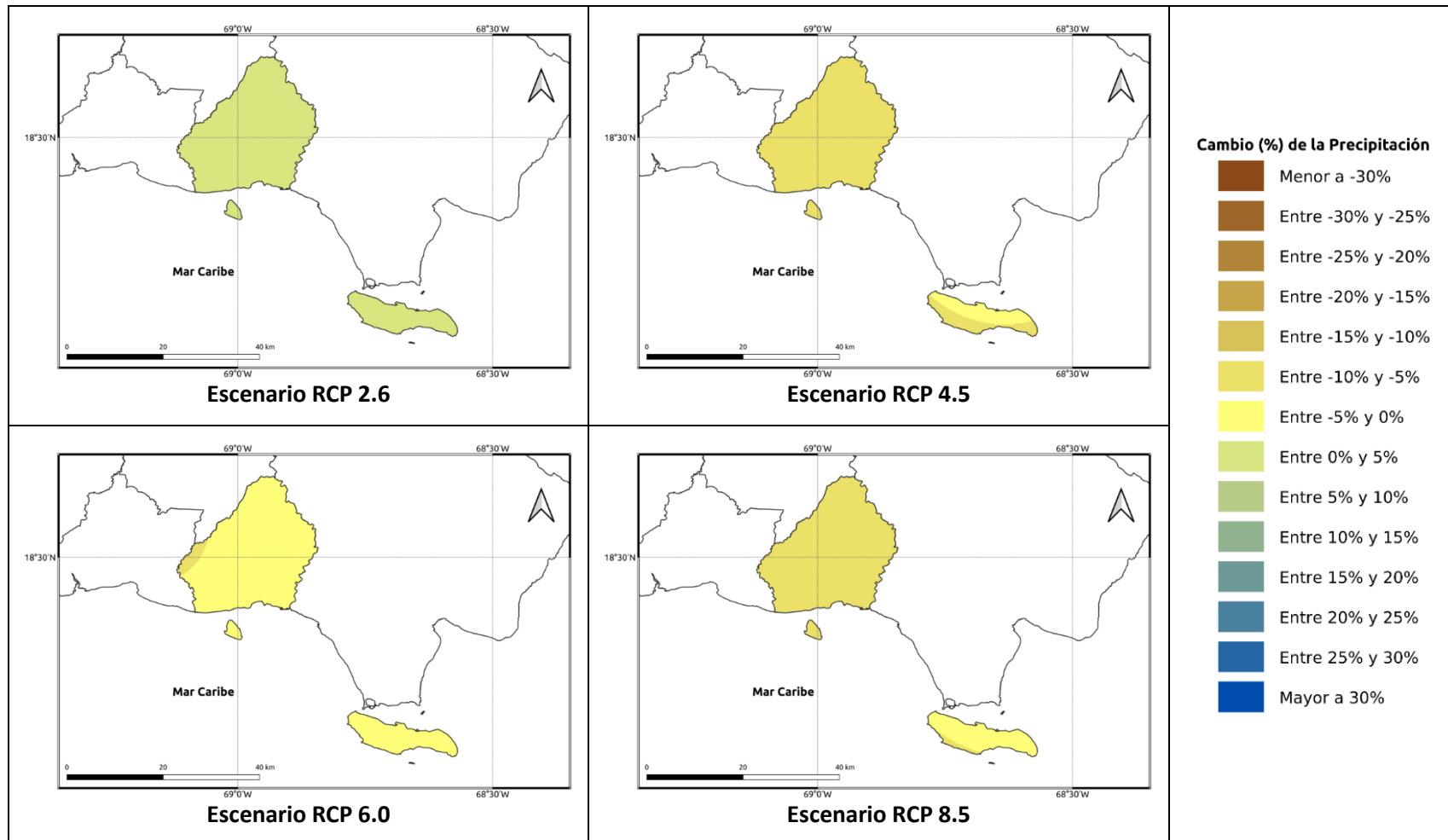


Figura 1.1.14-2. Cambios porcentuales de la precipitación (%) proyectados por el ensamble multimodelo bajo los 4 escenarios RCP en el periodo 2041-2060 para la provincia La Romana.

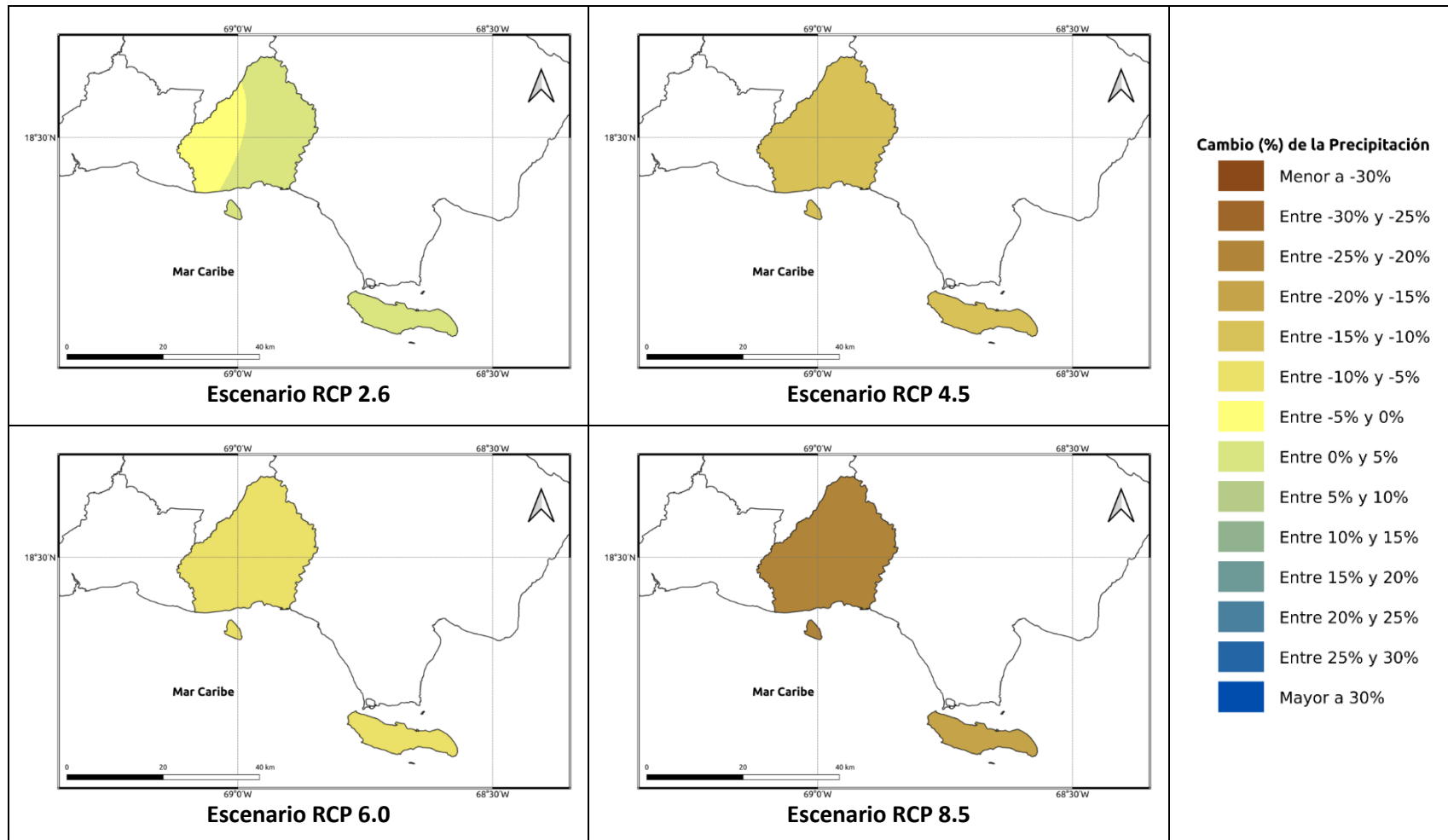
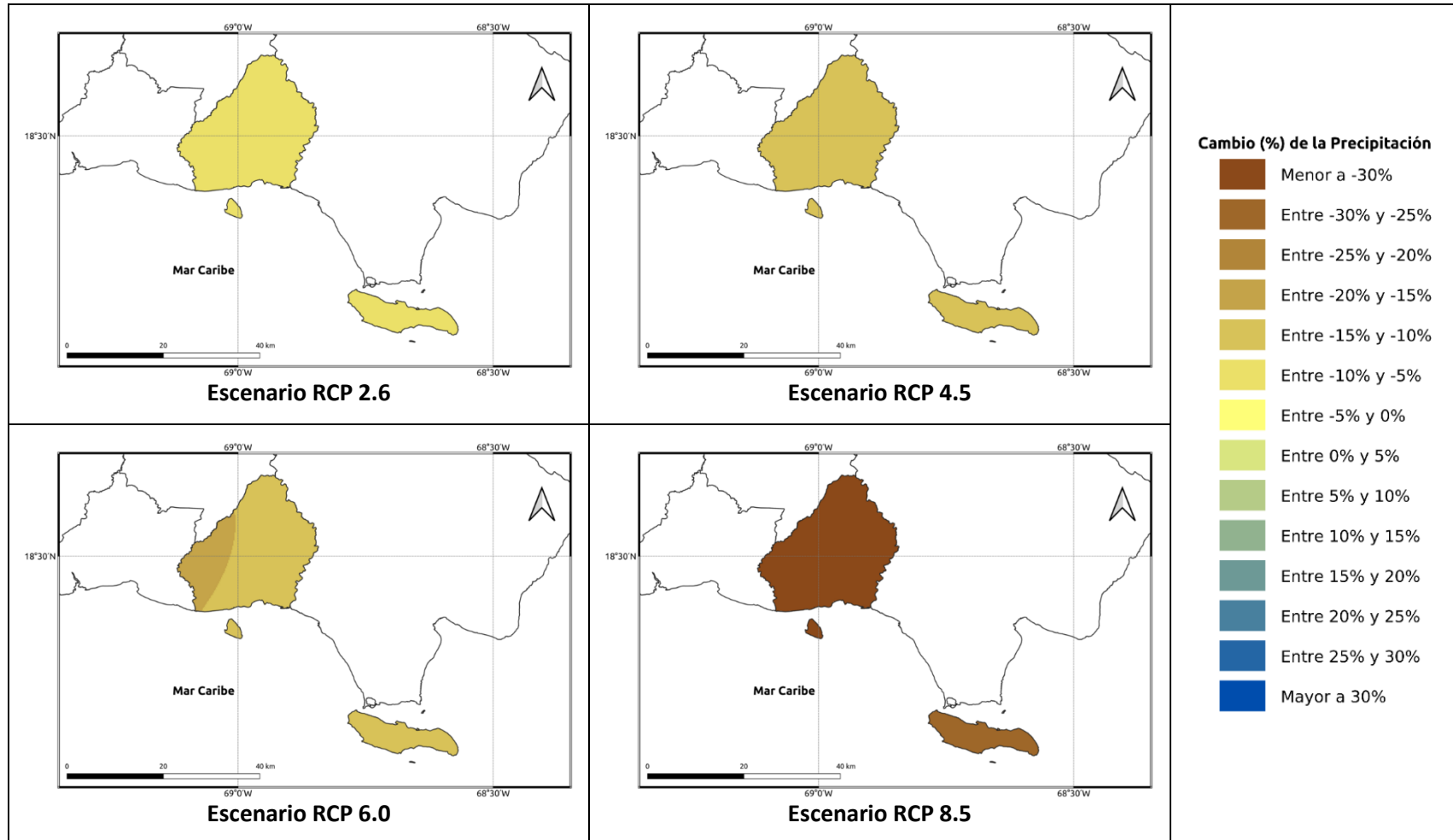


Figura 1.1.14-3. Cambios porcentuales de la precipitación (%) proyectados por el ensamble multimodelo bajo los 4 escenarios RCP en el periodo 2061-2080 para la provincia La Romana.



**Figura 1.1.14-4. Cambios porcentuales de la precipitación (%) proyectados por el ensamble multimodelo bajo los 4 escenarios RCP en el periodo 2081-2100 para la provincia La Romana.**

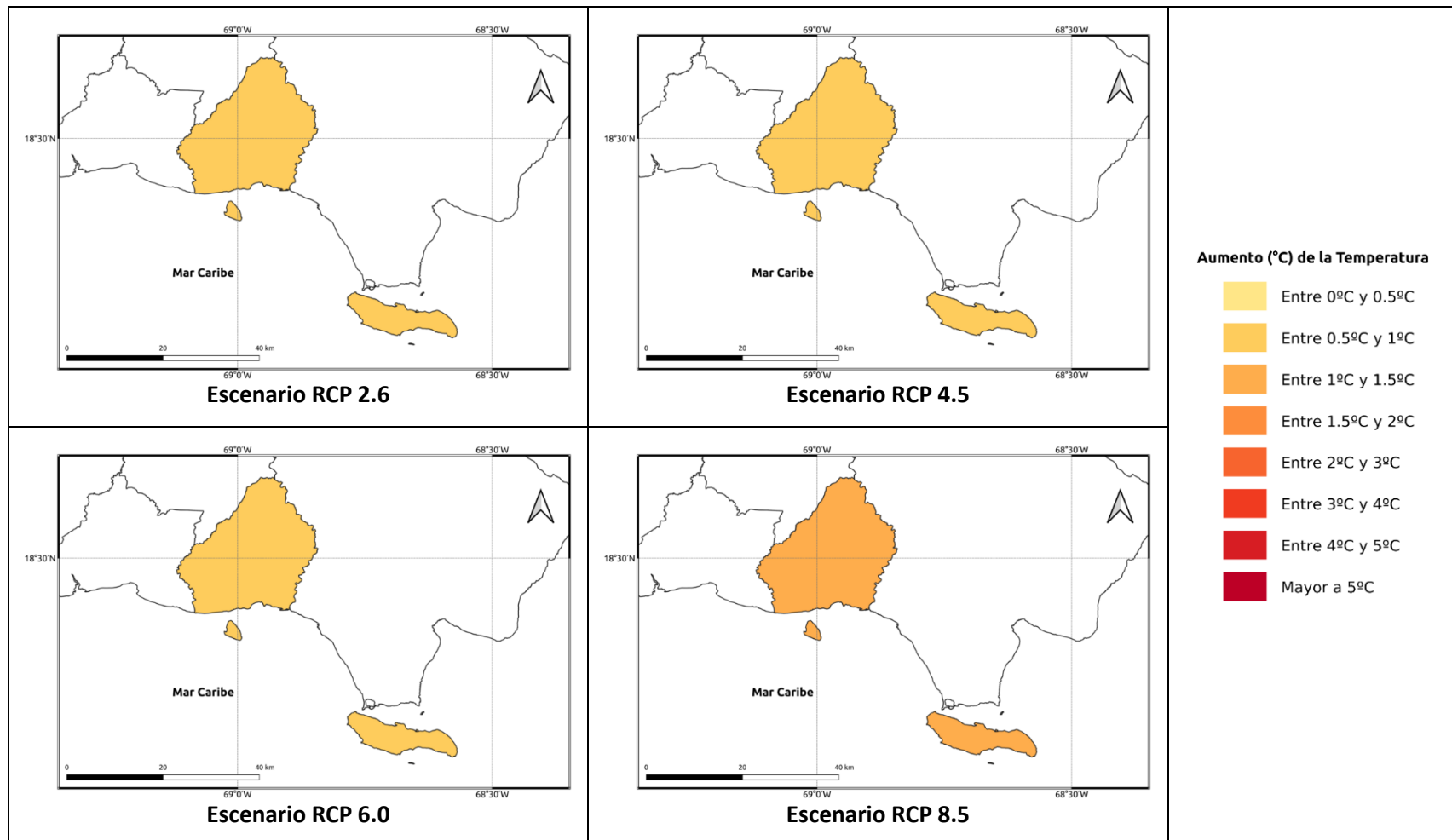
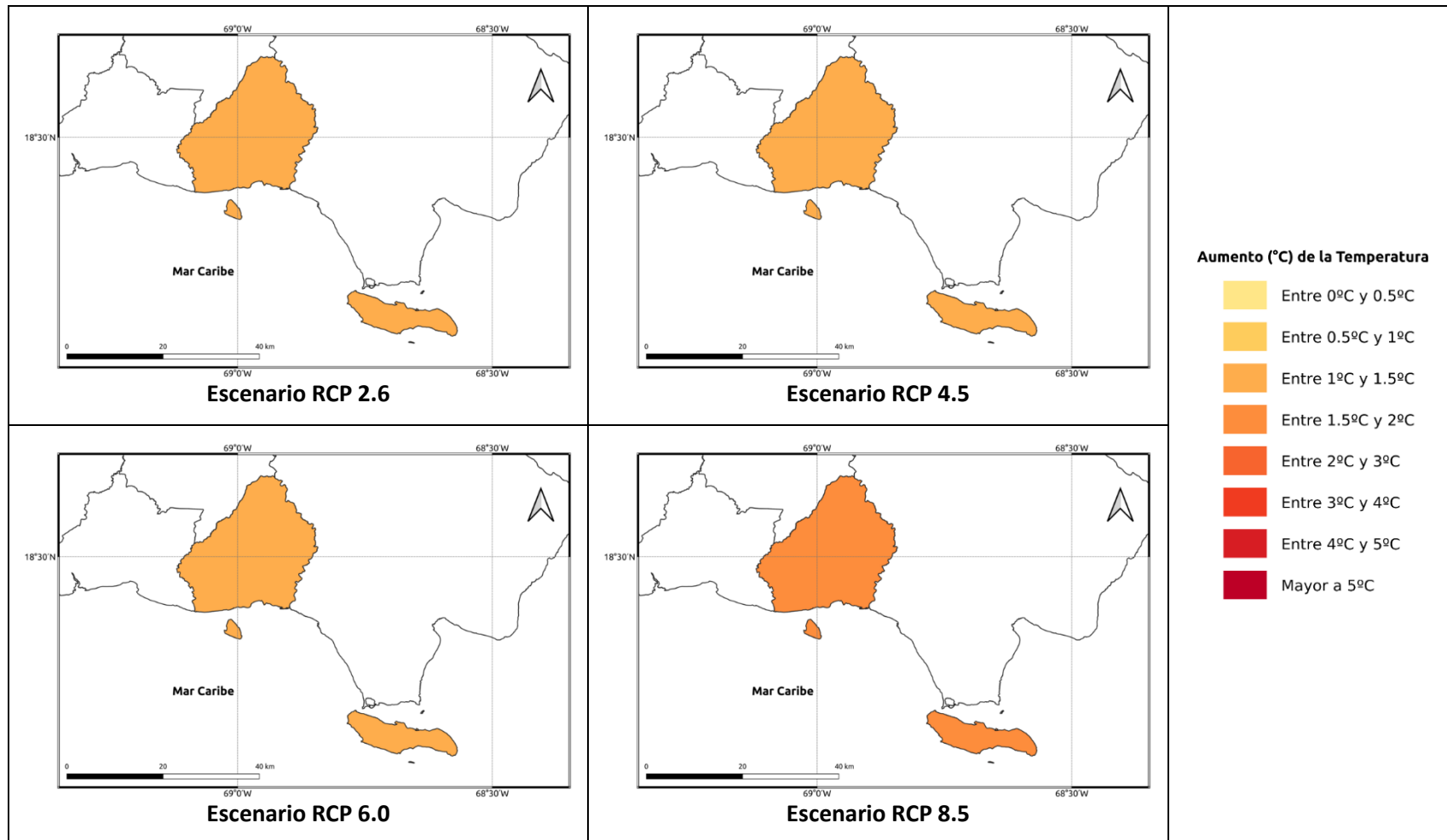


Figura 1.1.14-5. Cambios proyectados en la temperatura máxima (°C) por el ensamble multimodelo bajo los 4 escenarios RCP en el periodo 2021-2040 para la provincia La Romana.



**Figura 1.1.14-6. Cambios proyectados en la temperatura máxima (°C) por el ensamble multimodelo bajo los 4 escenarios RCP en el periodo 2041-2060 para la provincia La Romana.**

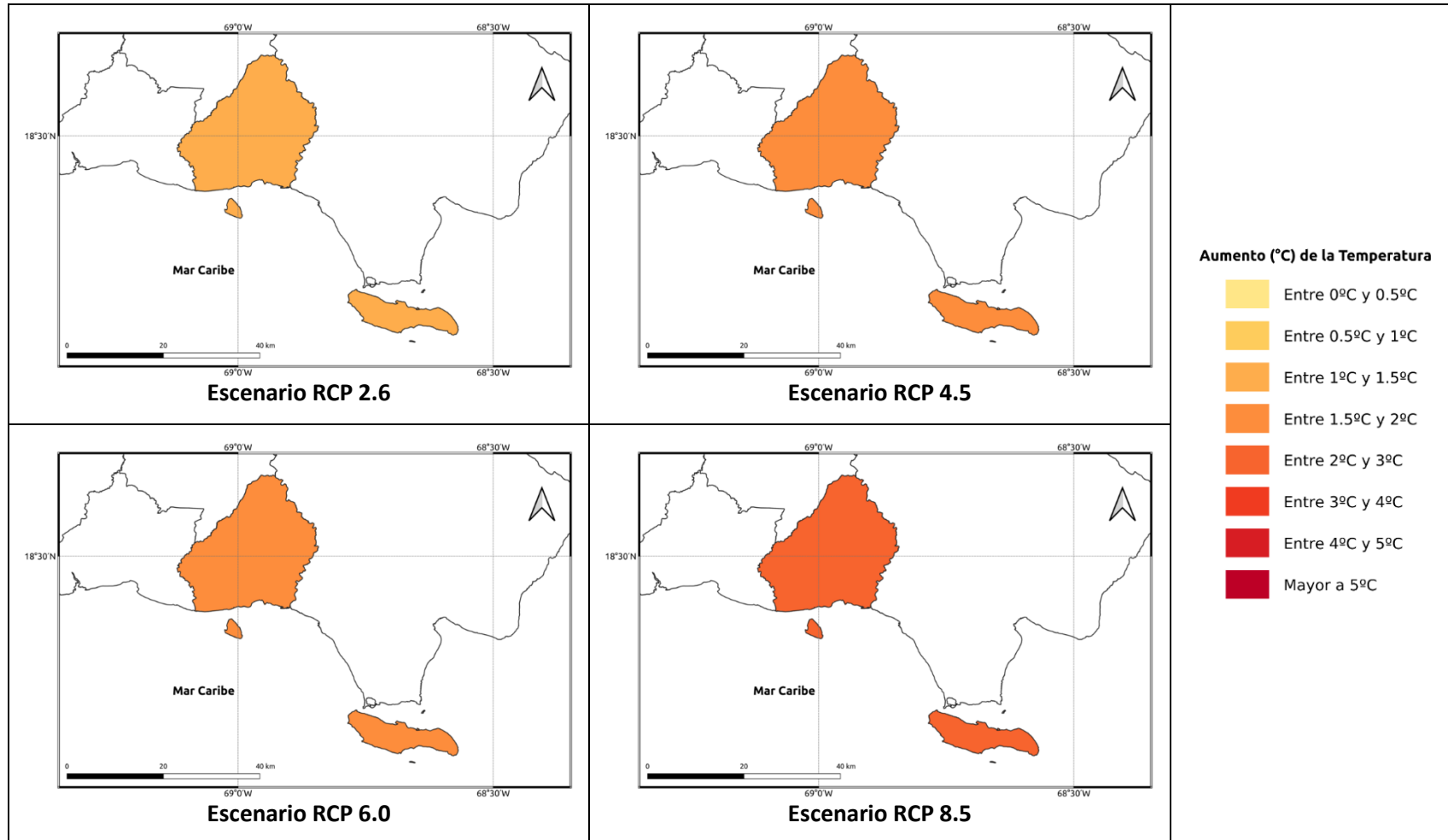
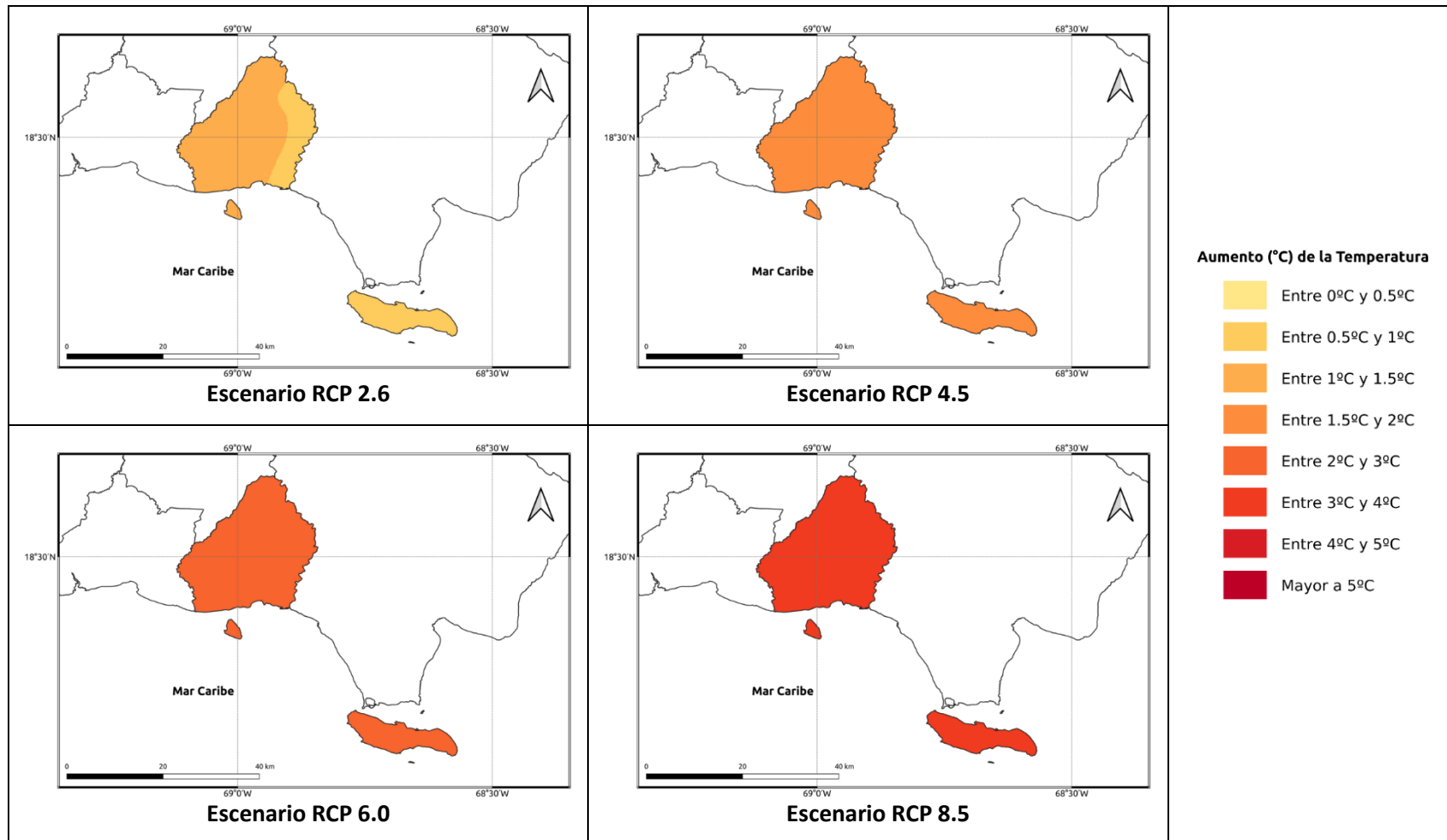


Figura 1.1.14-7. Cambios proyectados en la temperatura máxima (°C) por el ensamble multimodelo bajo los 4 escenarios RCP en el periodo 2061-2080 para la provincia La Romana.



**Figura 1.1.14-8. Cambios proyectados en la temperatura máxima (°C) por el ensamble multimodelo bajo los 4 escenarios RCP en el periodo 2081-2100 para la provincia La Romana.**

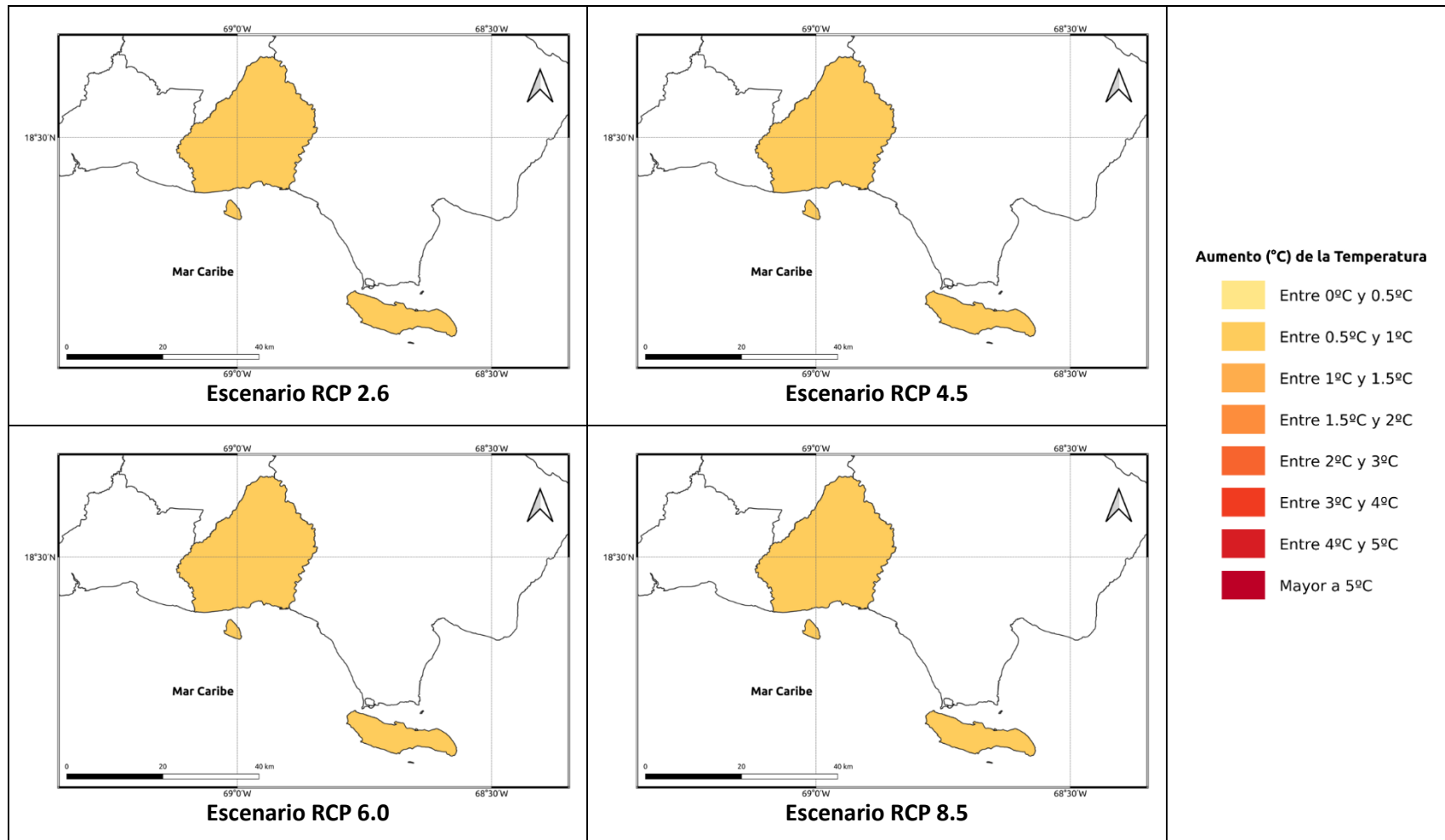


Figura 1.1.14-9. Cambios proyectados en la temperatura mínima (°C) por el ensamble multimodelo bajo los 4 escenarios RCP en el periodo 2021-2040 para la provincia La Romana.

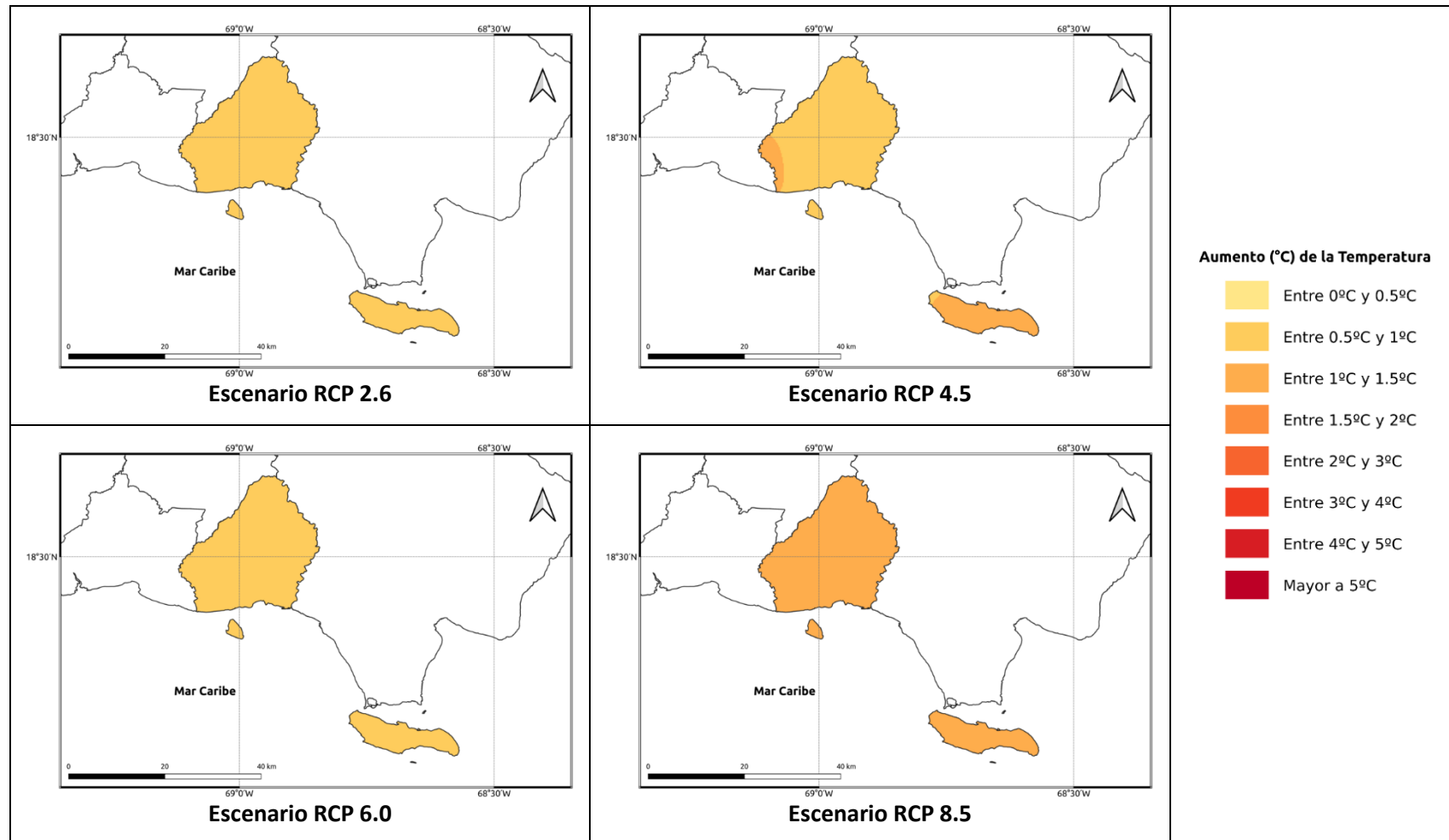


Figura 1.1.14-10. Cambios proyectados en la temperatura mínima (°C) por el ensamble multimodelo bajo los 4 escenarios RCP en el periodo 2041-2060 para la provincia La Romana.

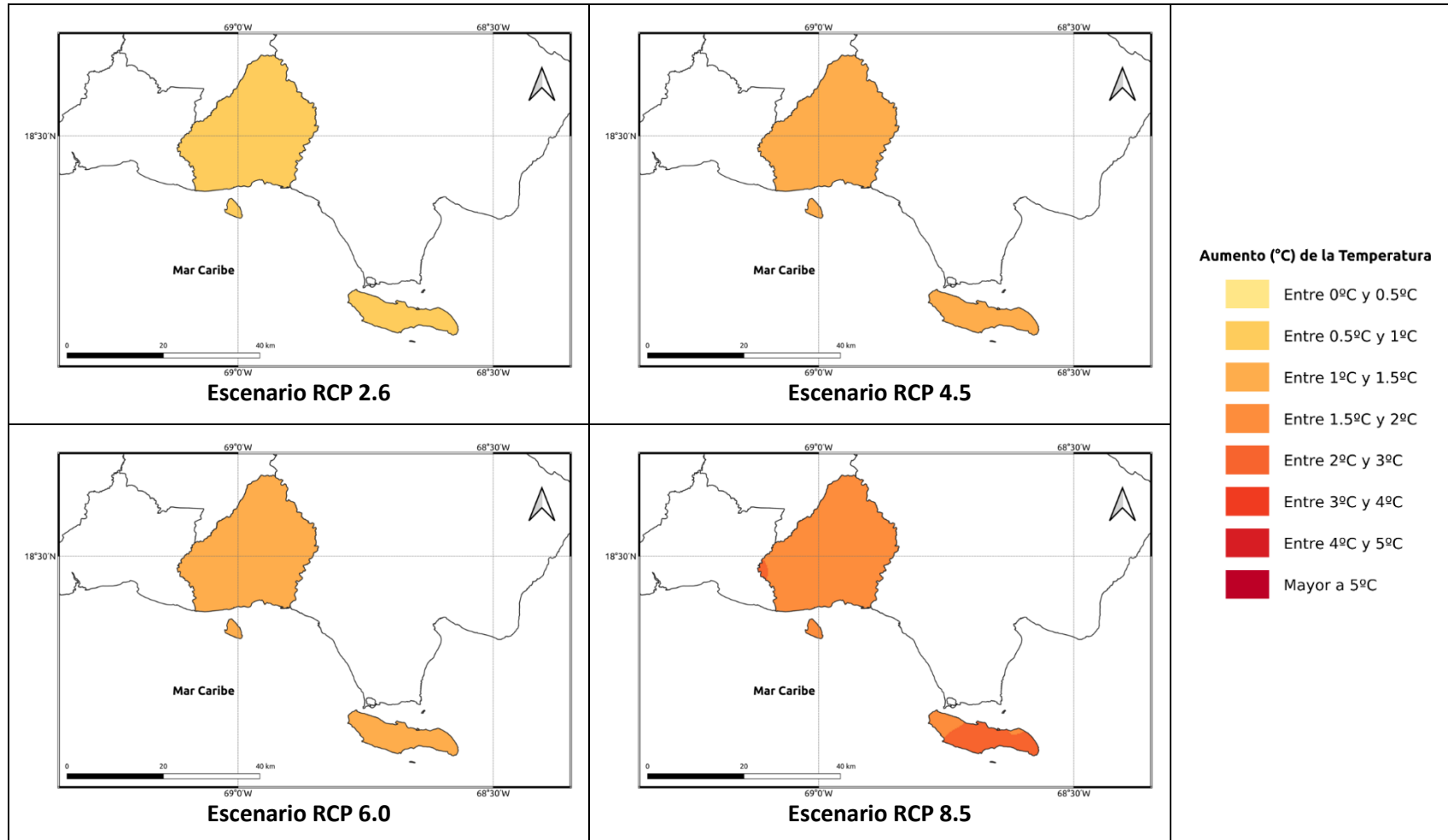


Figura 1.14-11. Cambios proyectados en la temperatura mínima (°C) por el ensamble multimodelo bajo los 4 escenarios RCP en el periodo 2061-2080 para la provincia La Romana.

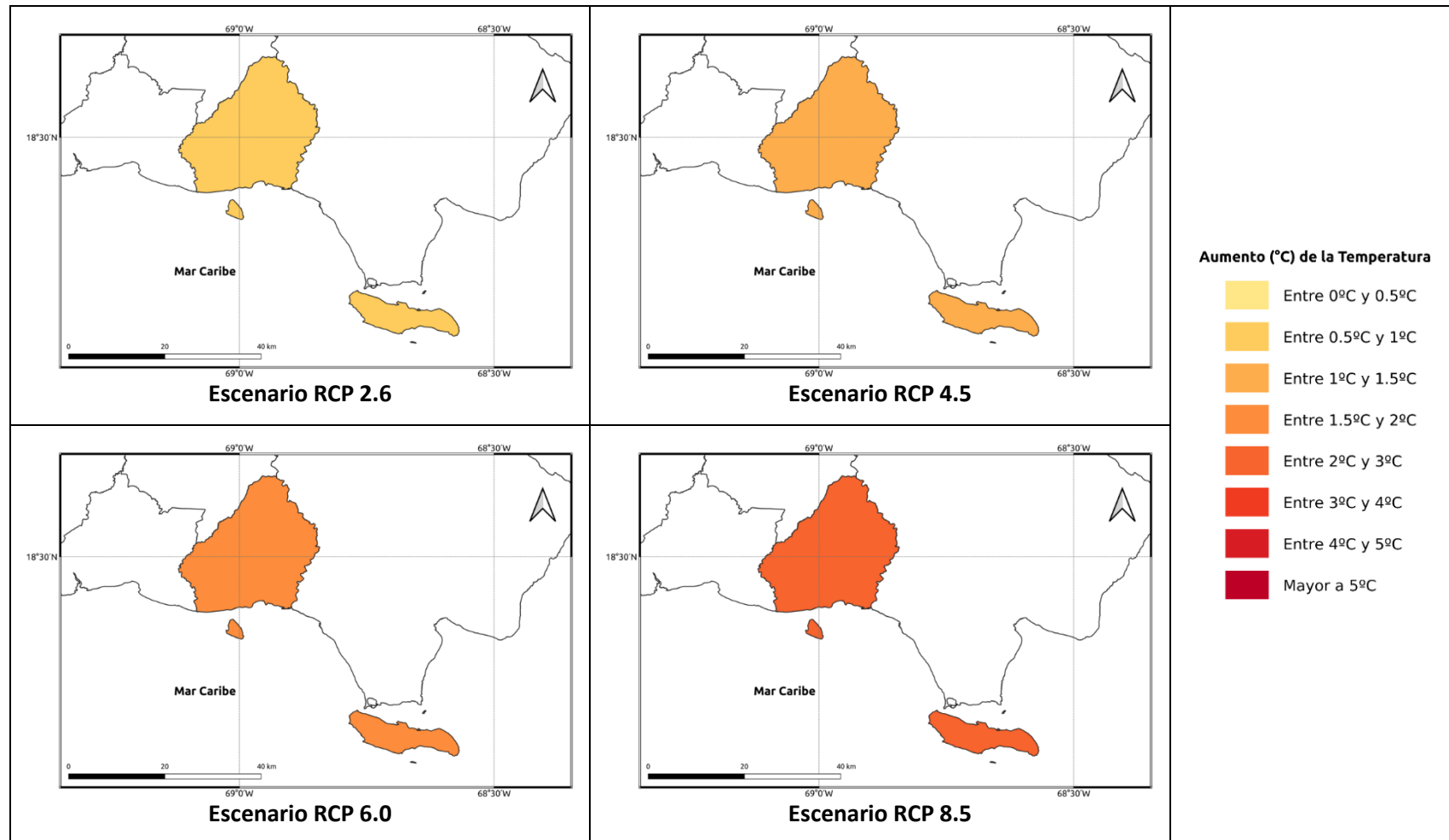


Figura 1.1.14-12. Cambios proyectados en la temperatura mínima (°C) por el ensamble multimodelo bajo los 4 escenarios RCP en el periodo 2081-2100 para la provincia La Romana.

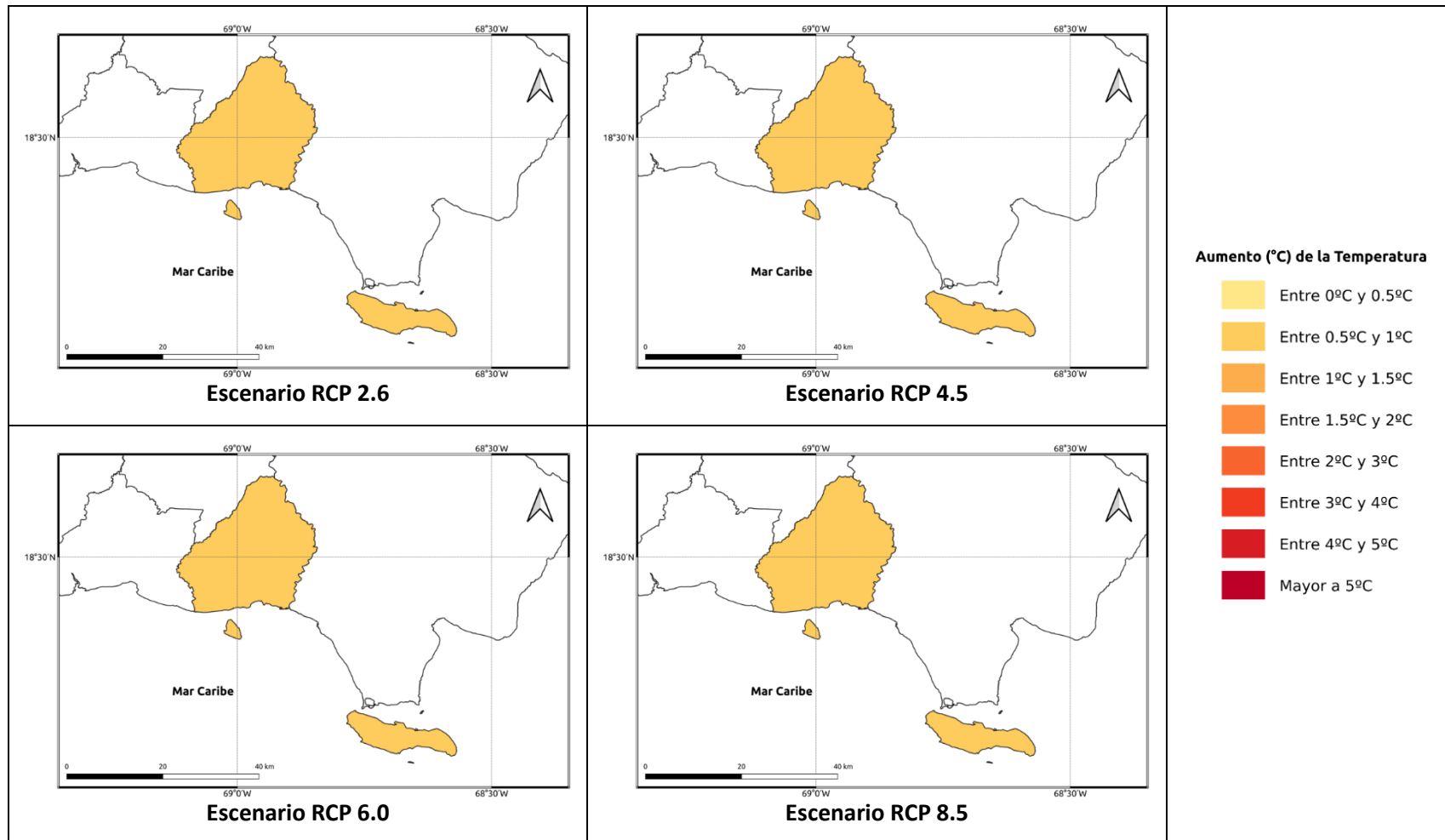
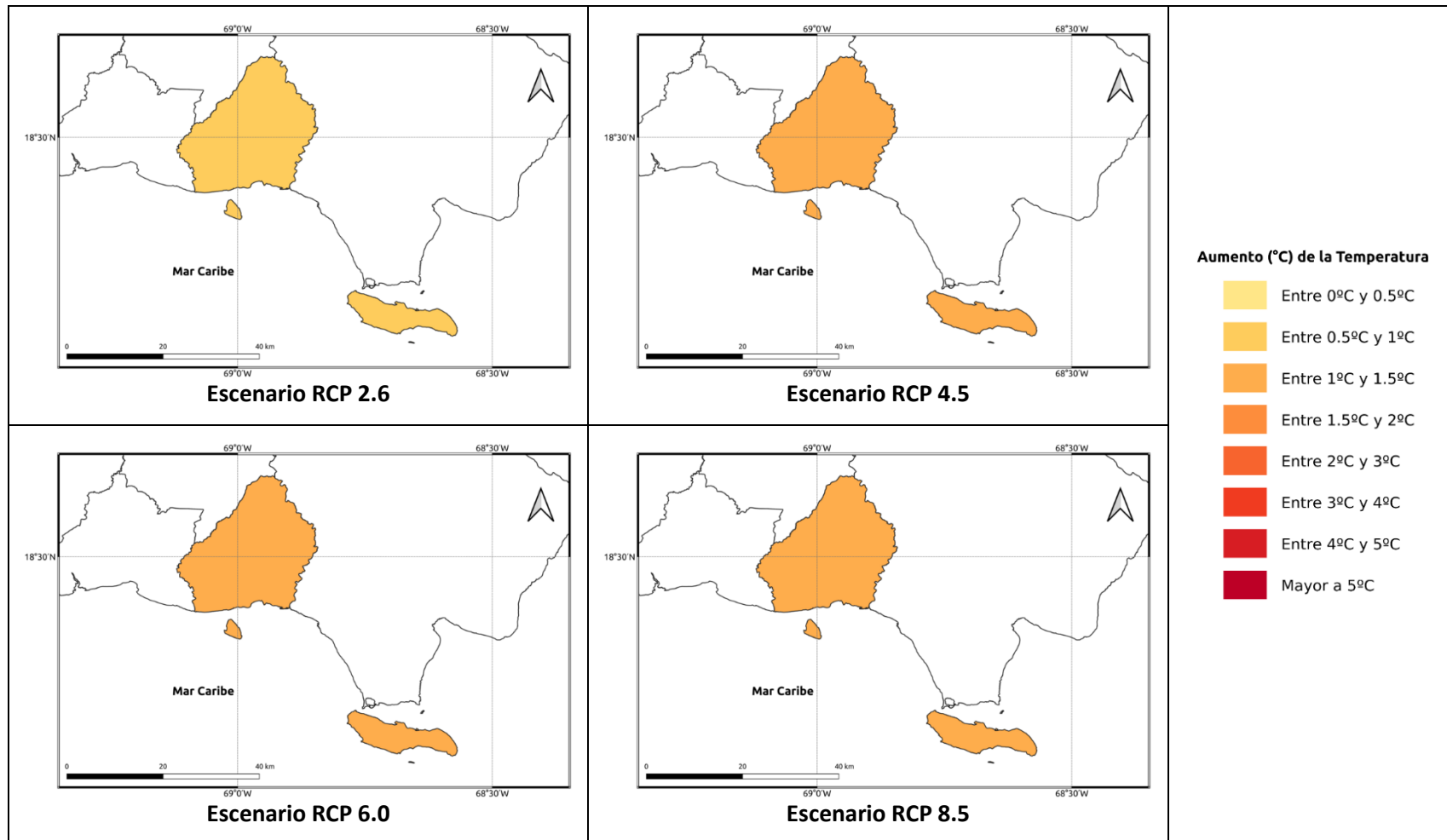


Figura 1.1.14-13. Cambios proyectados en la temperatura media (°C) por el ensamble multimodelo bajo los 4 escenarios RCP en el periodo 2021-2040 para la provincia La Romana.



**Figura 1.1.14-14. Cambios proyectados en la temperatura media (°C) por el ensamble multimodelo bajo los 4 escenarios RCP en el periodo 2041-2060 para la provincia La Romana.**

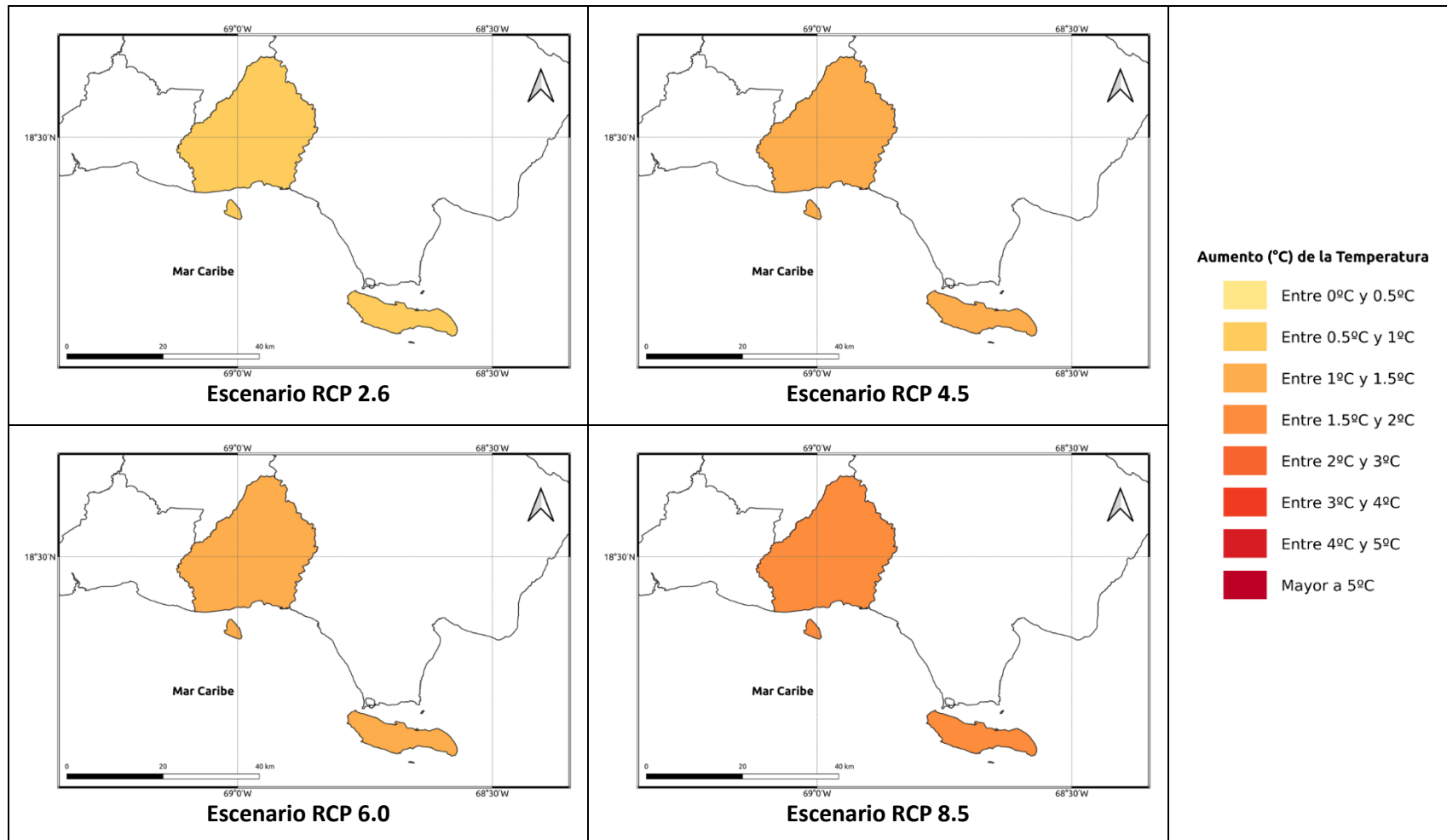
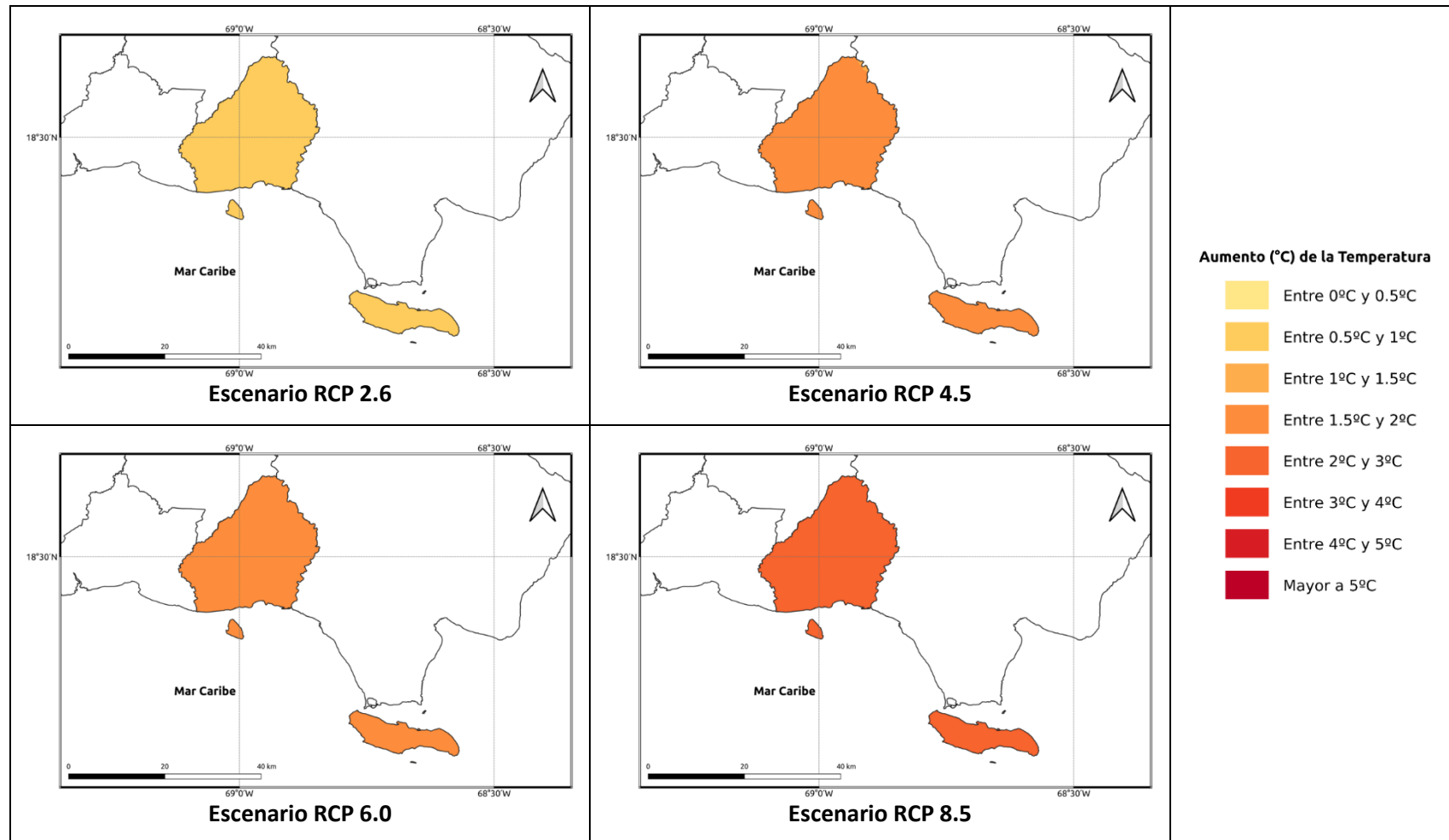


Figura 1.1.14-15. Cambios proyectados en la temperatura media (°C) por el ensamble multimodelo bajo los 4 escenarios RCP en el periodo 2061-2080 para la provincia La Romana.



**Figura 1.1.14-16. Cambios proyectados en la temperatura media (°C) por el ensamble multimodelo bajo los 4 escenarios RCP en el periodo 2081-2100 para la provincia La Romana.**

### **1.1.15 PROVINCIA LA VEGA**

A continuación, se presenta el análisis espacial de los cambios de las variables climáticas a nivel anual para la provincia **La Vega**. Los cambios a nivel estacional (trimestral) se pueden consultar en el Anexo 16.

#### **Precipitación**

Para esta variable, en el periodo de corto plazo 2021-2040 se esperarían cambios dentro del rango normal de variabilidad (del orden del 5%), con aumentos de esta magnitud bajo los escenarios RCP 2.6 y 6.0, y reducciones bajo los escenarios RCP 4.5 y 8.5, y dándose bajo este último disminuciones del orden del 8% hacia el sur de la provincia (Figura 1.1.15-1). Para el siguiente periodo (2041-2060), bajo el RCP 2.6 se mantiene el aumento de la precipitación del orden del 5% en la mayor parte de la provincia, y en los demás escenarios la tendencia sería a la reducción de la precipitación entre un 4-9% (Figura 1.1.15-2). Para el periodo 2061-2080, en el RCP 2.6 se mantendrían los incrementos del 5% en la mayor parte de la provincia y las reducciones de la misma magnitud hacia el occidente de la misma. Bajo los otros escenarios se darían reducciones de la precipitación, del orden del 9-15% bajo el RCP 4.5, entre 4-9% bajo el RCP 6.0 y del 14-19% bajo el RCP 8.5, con las disminuciones más altas en el suroccidente de la provincia (Figura 1.1.15-3). Por último, para finales de siglo bajo los 4 escenarios se presentarían reducciones de la precipitación, siendo las de menor magnitud bajo el RCP 2.6 (entre 6-8%) y las más altas bajo el RCP 8.5, con reducciones entre 25 y 28% en la mayor parte de la provincia, y de más del 30% en el suroccidente de la misma (Figura 1.1.15-4).

#### **Temperatura Máxima**

La temperatura máxima presentaría incrementos bajo los 4 RCP en todos los periodos analizados. En el periodo de corto plazo (2021-2040) la temperatura aumentaría entre 0.7 y 1.3°C, con aumentos de más de 1°C bajo el RCP 8.5 en la parte norte de la provincia (Figura 1.1.15-5). Para 2041-2060, los aumentos serían de 0.7 a 1.4°C bajo los primeros 3 RCP (2.6, 4.5 y 6.0), y de 1.5 a 1.8°C bajo el RCP 8.5 (Figura 1.1.15-6). En el periodo 2061-2080 los aumentos serían de 0.7 a 2.4°C, manteniéndose el incremento de 0.7 a 1.4°C bajo el RCP 2.6, siendo de 1.4 a 1.8°C bajo los RCP 4.5 y 6.0 y de 2.6°C bajo el RCP 8.5 (Figura 1.1.15-7). Para finales de siglo, los aumentos serían de 0.7 a 1.2°C bajo el RCP 2.6, de 1.4 a 1.7°C bajo el RCP 4.5, de 1.8 a 2.4°C bajo el RCP 6.0 y de 2.9 a 3.5°C bajo el RCP 8.5 (Figura 1.1.15-8).

#### **Temperatura Mínima**

En el primer periodo (2021-2040), ésta se incrementaría de 0.3 a 0.8°C en los 4 escenarios RCP (Figura 1.1.15-9). Para 2041-2060 aumentaría de 0.7 a 0.9°C en los 3



primeros escenarios, y bajo el RCP 8.5 habría aumentos entre 0.9 y 1.3°C (Figura 1.1.15-10). En el periodo 2061-2080 la temperatura mínima se incrementaría entre 0.4 y 0.8°C bajo el RCP 2.6, entre 0.9 y 1.2°C bajo los RCP 4.5 y 6.0 y entre 1.4 y 1.7°C bajo el RCP 8.5, dándose los mayores aumentos hacia el norte y centro de la provincia (Figura 1.1.15-11). Por último, para finales de siglo se mantendría un aumento de 0.8°C en el RCP 2.6, entre 0.9 y 1.3°C bajo el RCP 4.5, entre 1.6 y 1.8°C bajo el RCP 6.0 y de 1.9 a 2.4°C bajo el RCP 8.5 (Figura 1.1.15-12).

#### ***Temperatura Media***

La temperatura media se incrementaría entre 0.6 y 0.8°C en el periodo 2021-2040 bajo los 4 escenarios RCP (Figura 1.1.15-13). En el periodo 2041-2060 se mantendría este mismo rango bajo el RCP 2.6, y en los otros 3 escenarios aumentaría de 1.1 a 1.7°C (Figura 1.1.15-14). Para 2061-2080 la temperatura media aumentaría de 0.7 a 0.8°C bajo el RCP 2.6, de 1.3 a 1.5°C bajo los RCP 4.5 y 6.0 y de 1.7 a 1.9°C bajo el RCP 8.5 (Figura 1.1.15-15). Finalmente, para el periodo 2081-2100 la temperatura subiría entre 0.6 y 0.8°C bajo el RCP 2.6, entre 1.2 y 1.7°C bajo el RCP 4.5 (con los aumentos más altos hacia el norte y oriente de la provincia), de 1.6 a 1.9°C bajo el RCP 6.0 y de 2.4 a 2.8°C bajo el RCP 8.5 (Figura 1.1.15-16).



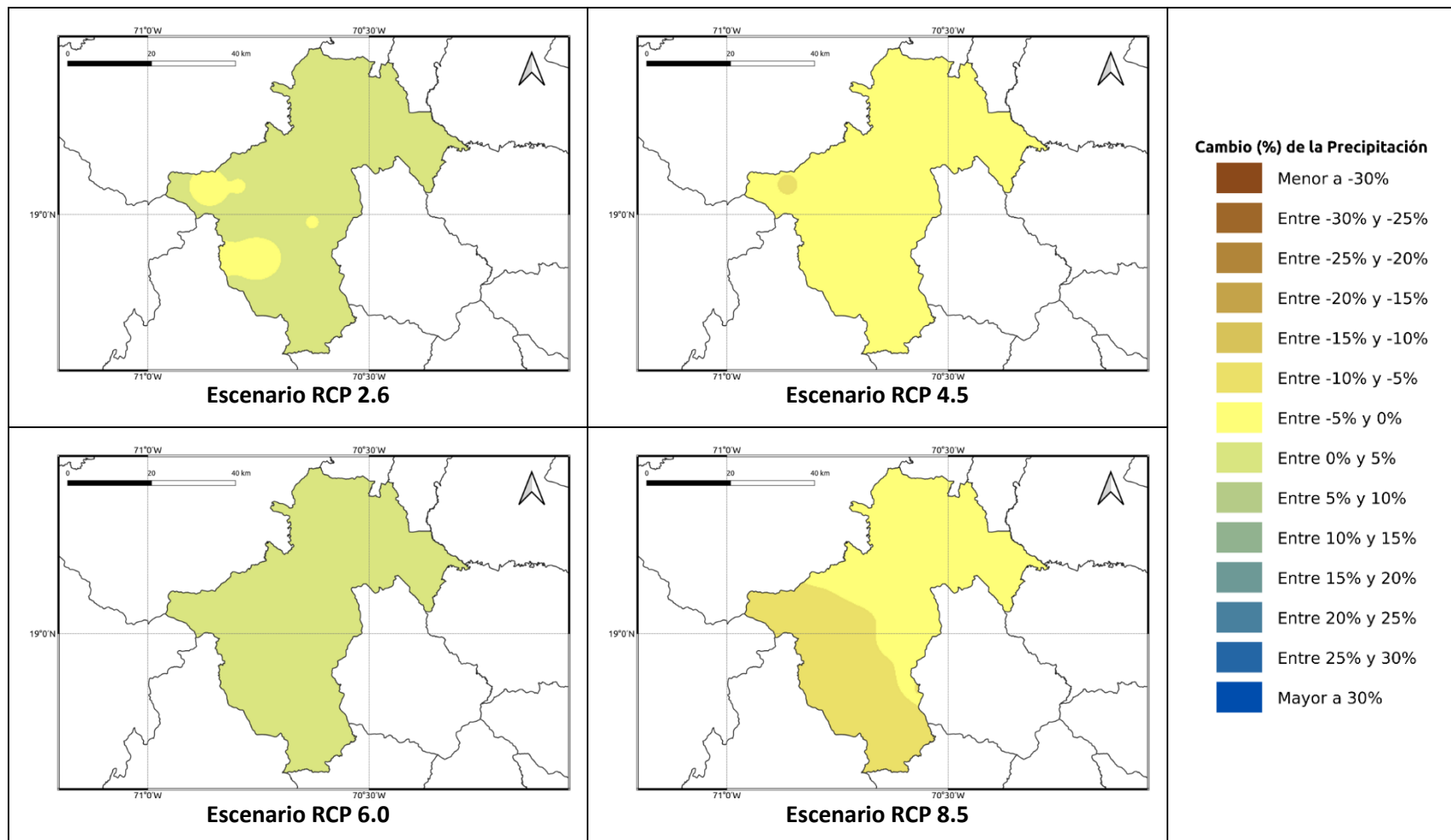


Figura 1.1.15-1. Cambios porcentuales de la precipitación (%) proyectados por el ensamble multimodelo bajo los 4 escenarios RCP en el periodo 2021-2040 para la provincia La Vega.

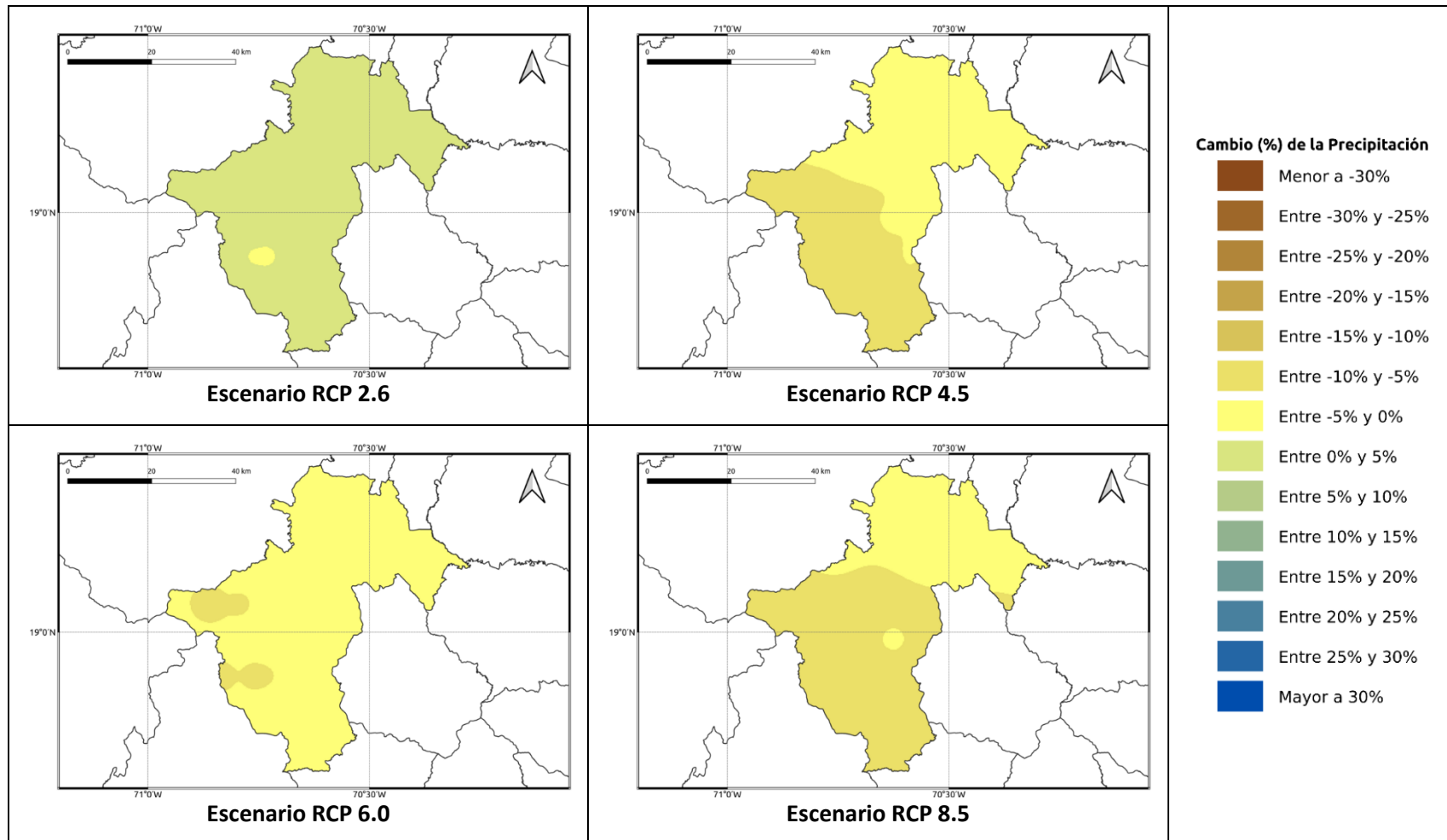


Figura 1.1.15-2. Cambios porcentuales de la precipitación (%) proyectados por el ensamble multimodelo bajo los 4 escenarios RCP en el periodo 2041-2060 para la provincia La Vega.

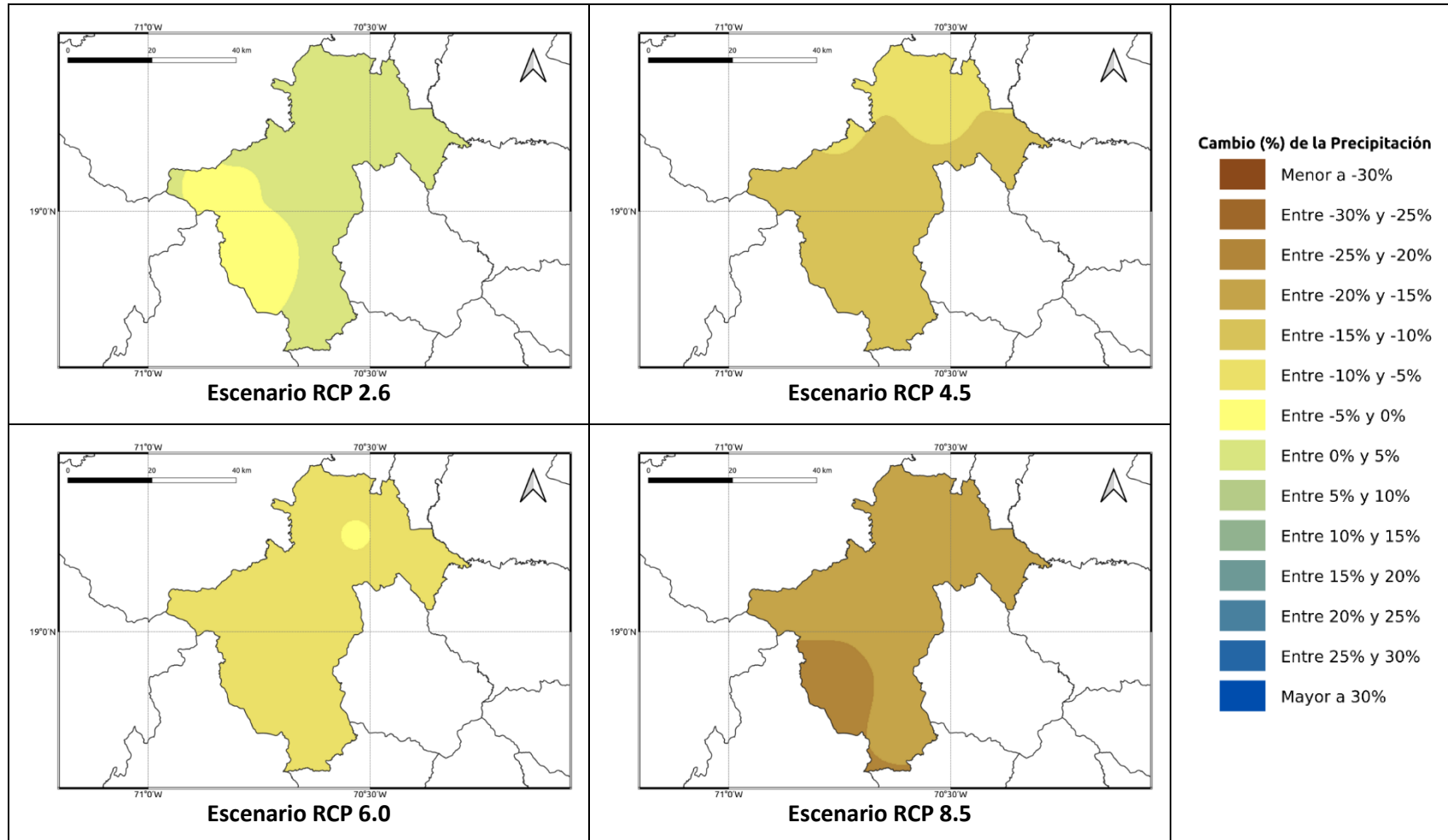


Figura 1.1.15-3. Cambios porcentuales de la precipitación (%) proyectados por el ensamble multimodelo bajo los 4 escenarios RCP en el periodo 2061-2080 para la provincia La Vega.

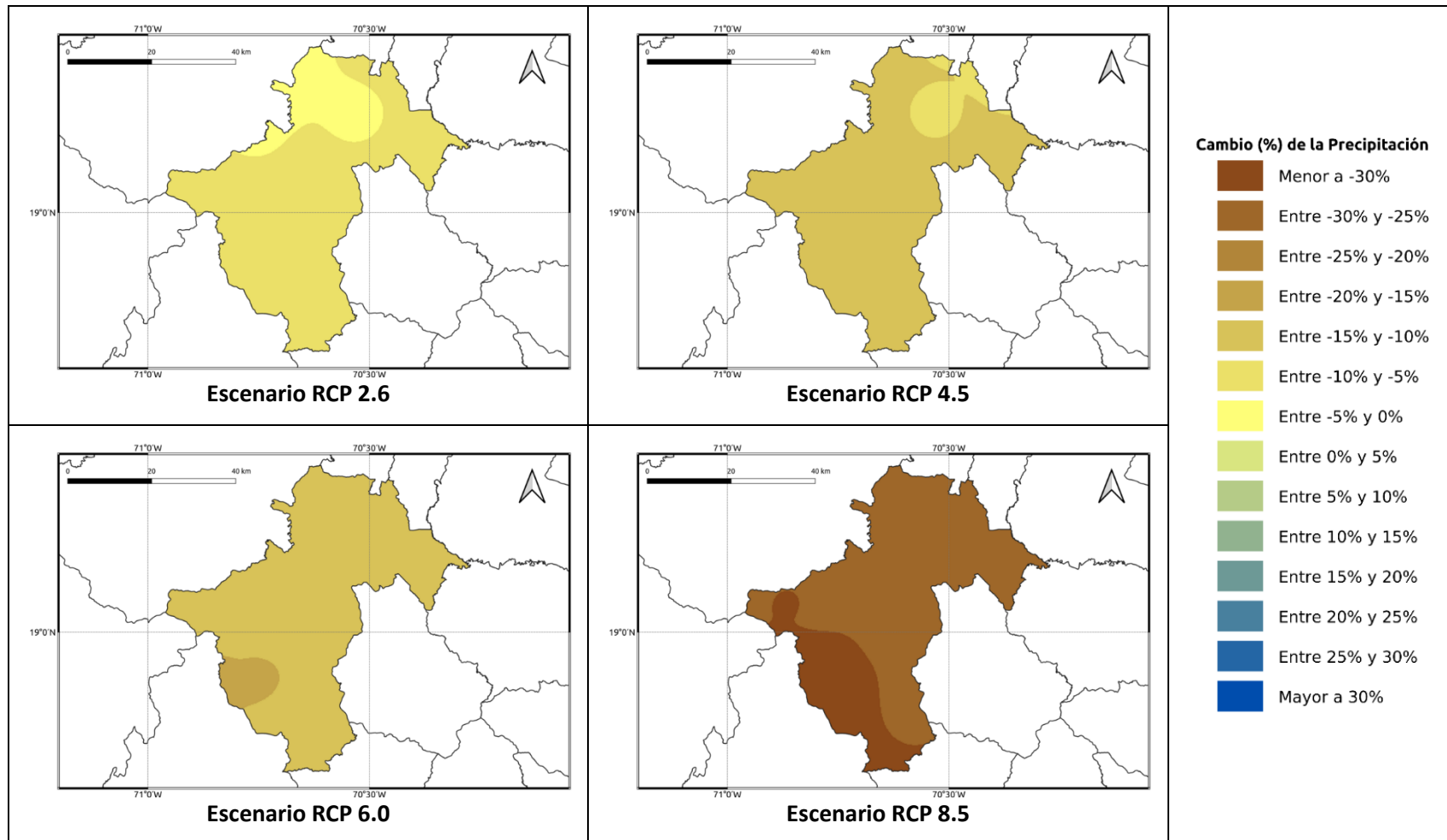


Figura 1.1.15-4. Cambios porcentuales de la precipitación (%) proyectados por el ensamble multimodelo bajo los 4 escenarios RCP en el periodo 2081-2100 para la provincia La Vega.

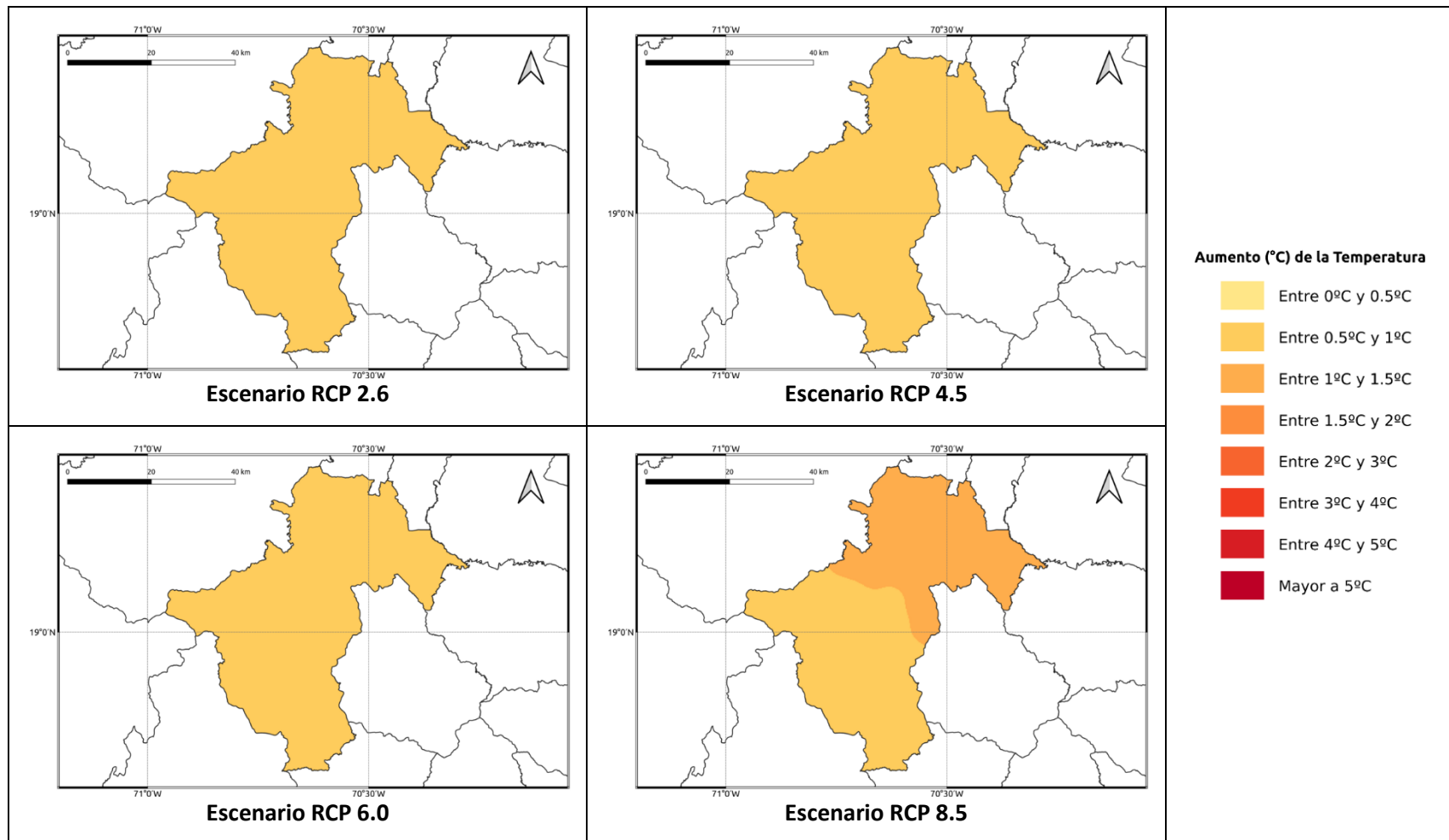


Figura 1.1.15-5. Cambios proyectados en la temperatura máxima (°C) por el ensamble multimodelo bajo los 4 escenarios RCP en el periodo 2021-2040 para la provincia La Vega.

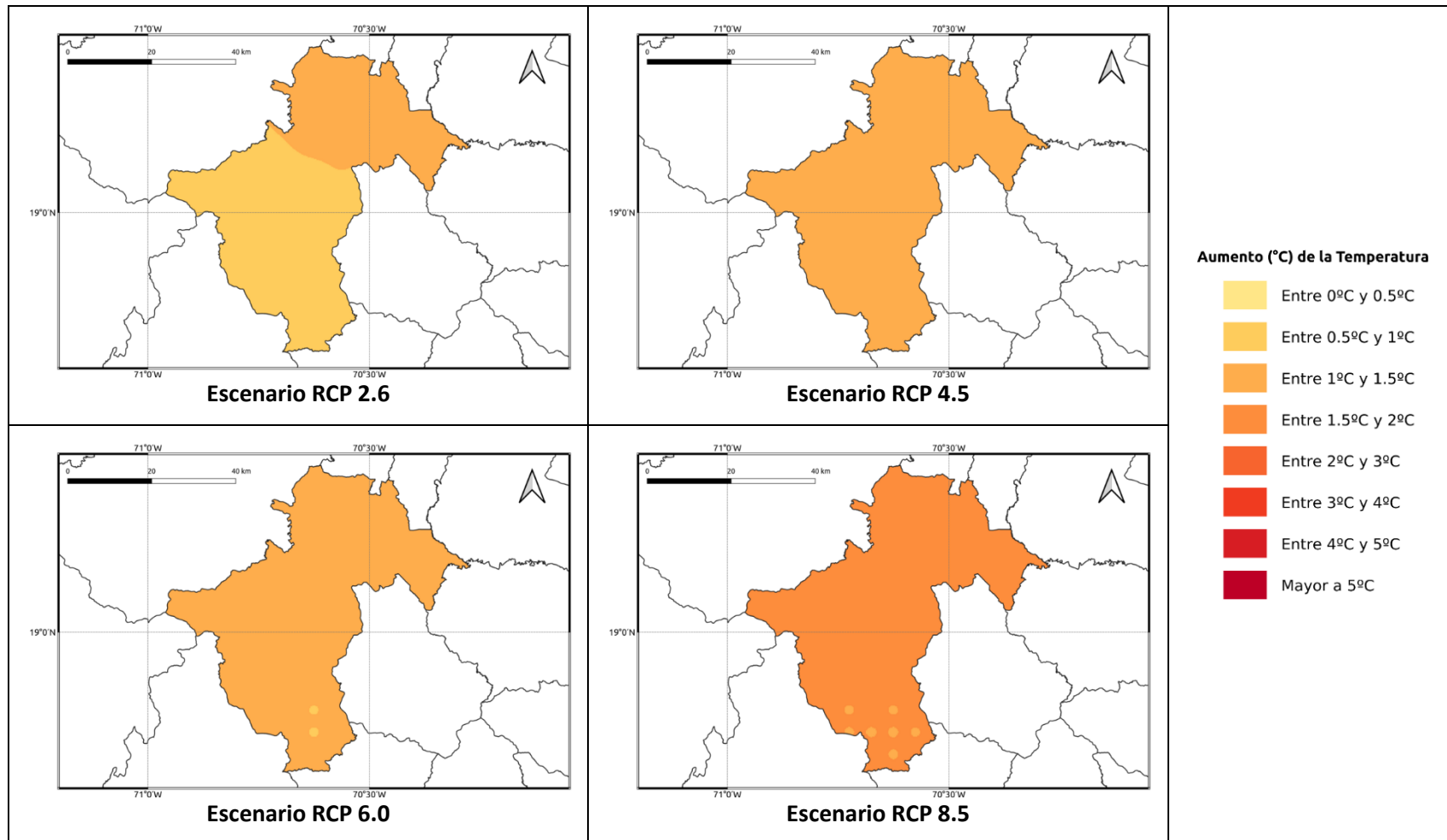


Figura 1.1.15-6. Cambios proyectados en la temperatura máxima (°C) por el ensamble multimodelo bajo los 4 escenarios RCP en el periodo 2041-2060 para la provincia La Vega.

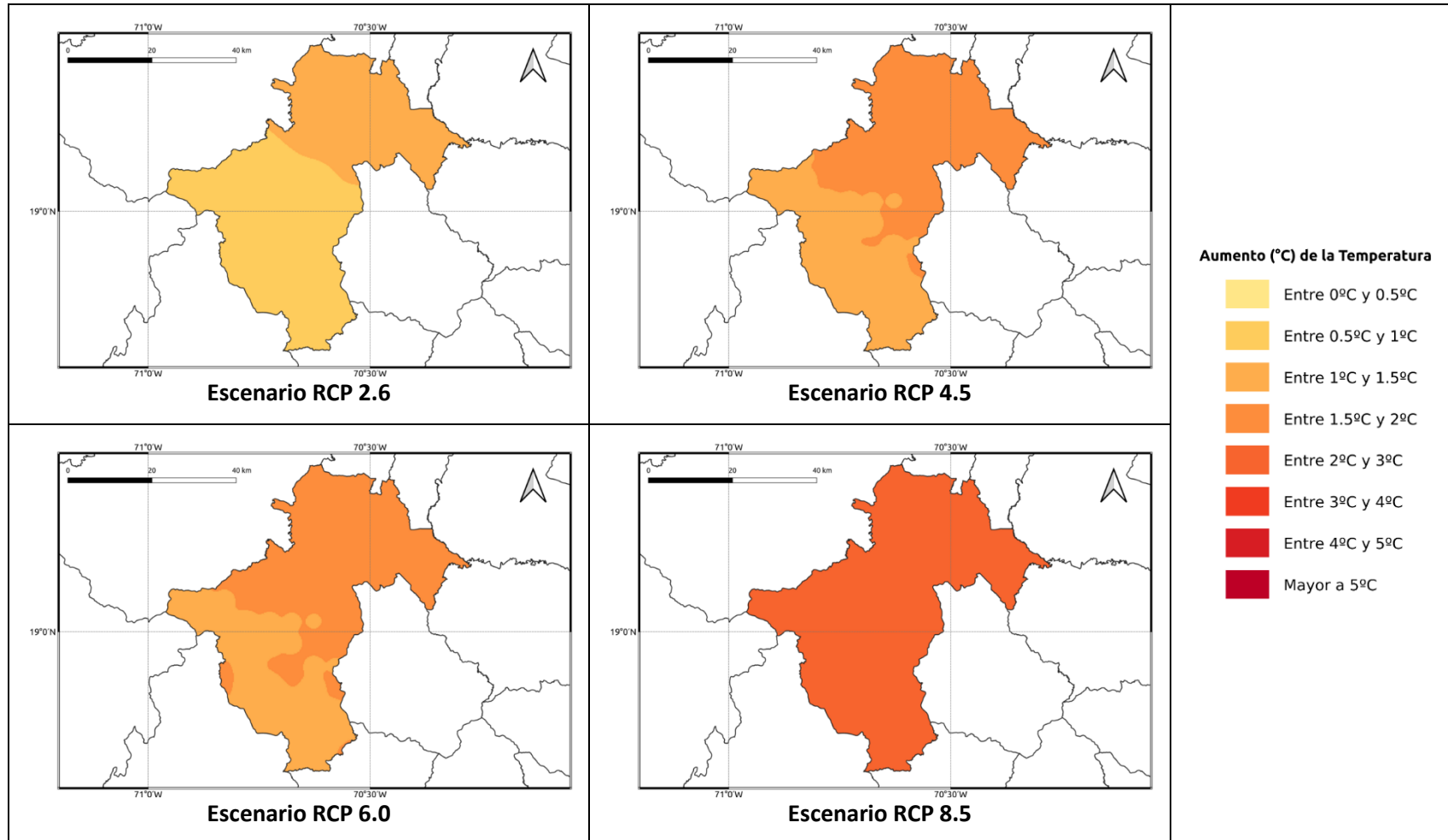


Figura 1.1.15-7. Cambios proyectados en la temperatura máxima (°C) por el ensamble multimodelo bajo los 4 escenarios RCP en el periodo 2061-2080 para la provincia La Vega.

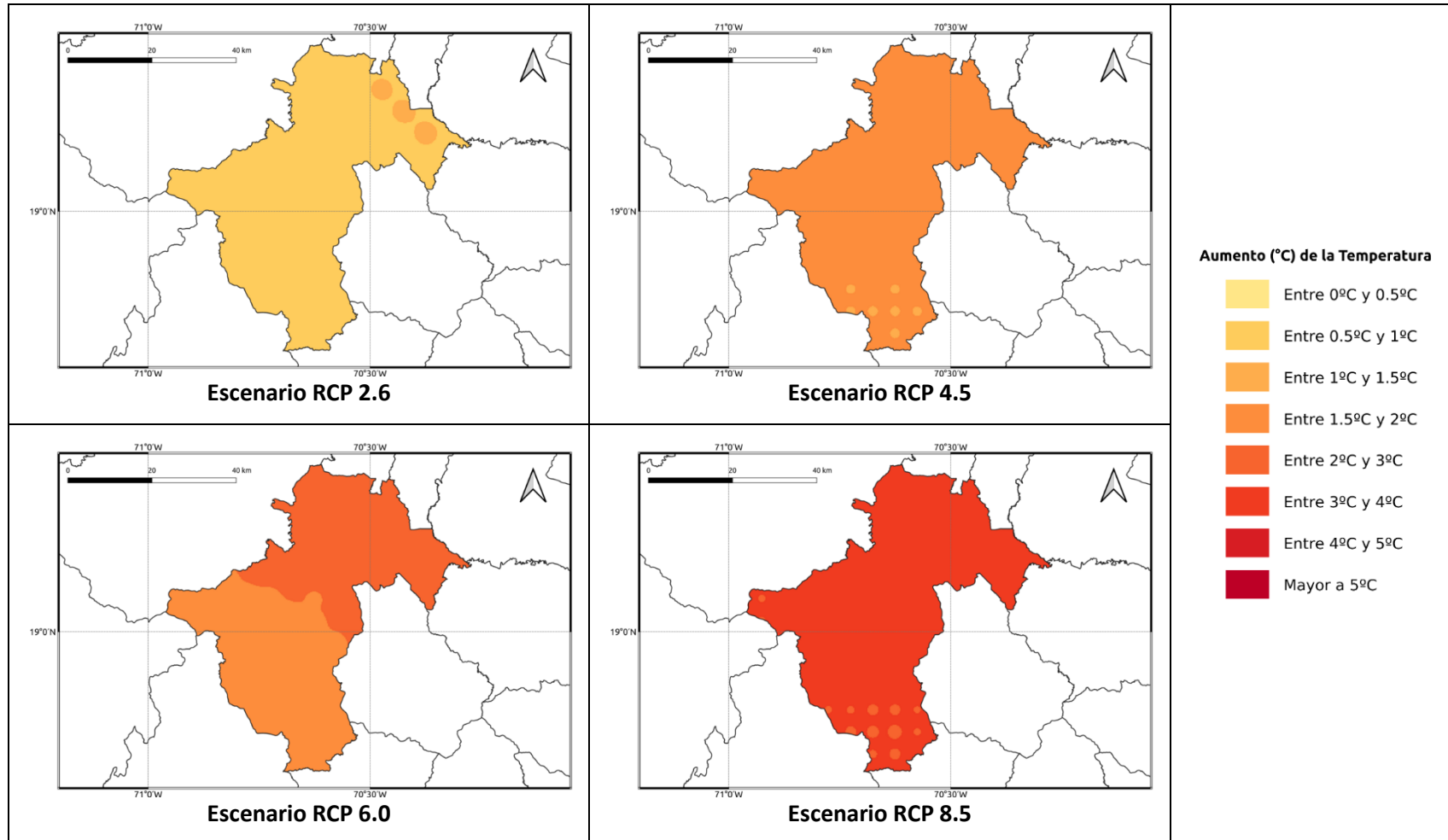


Figura 1.1.15-8. Cambios proyectados en la temperatura máxima (°C) por el ensamble multimodelo bajo los 4 escenarios RCP en el periodo 2081-2100 para la provincia La Vega.

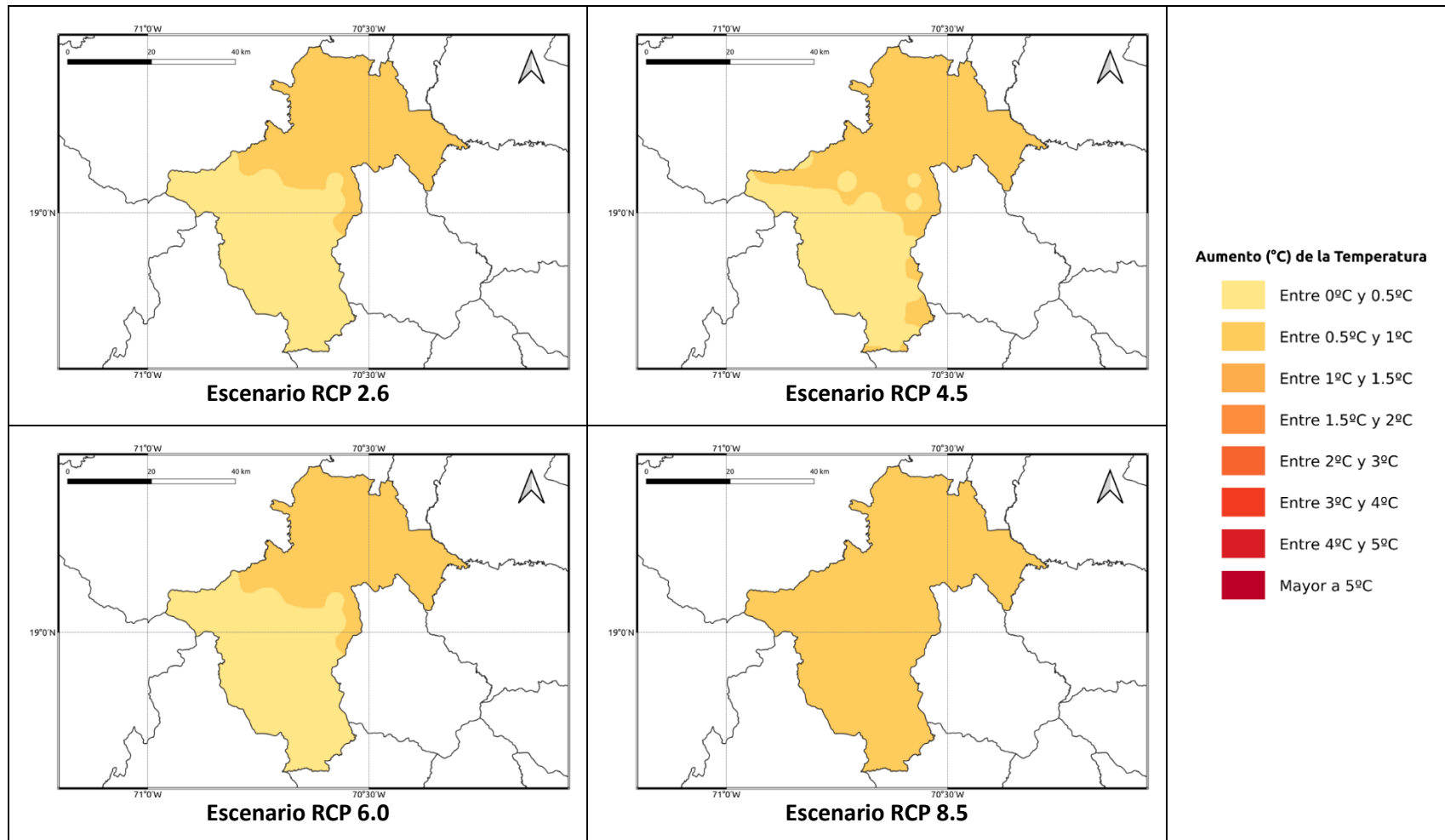


Figura 1.1.15-9. Cambios proyectados en la temperatura mínima (°C) por el ensamble multimodelo bajo los 4 escenarios RCP en el periodo 2021-2040 para la provincia La Vega.

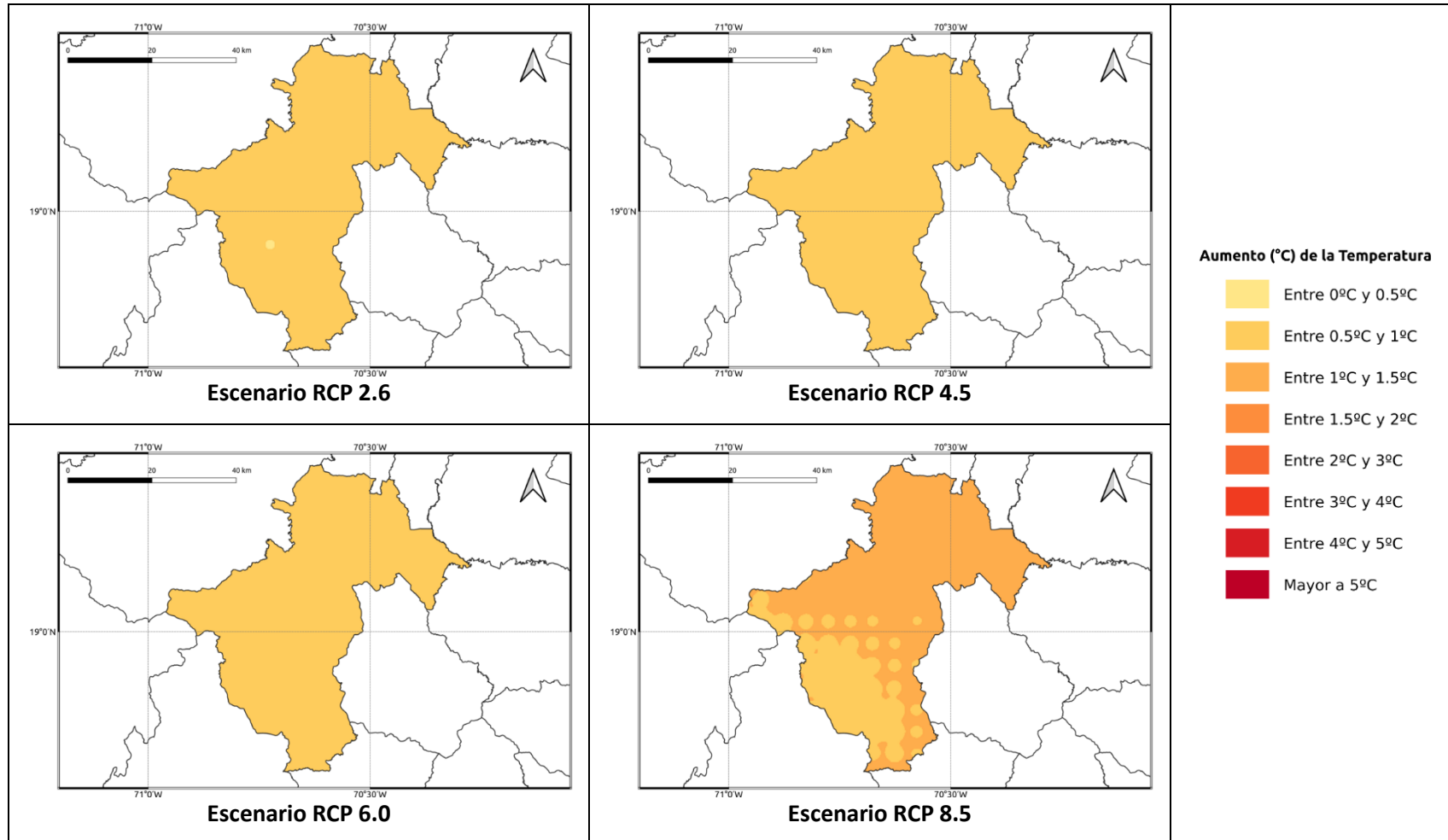


Figura 1.1.15-10. Cambios proyectados en la temperatura mínima (°C) por el ensamble multimodelo bajo los 4 escenarios RCP en el periodo 2041-2060 para la provincia La Vega.

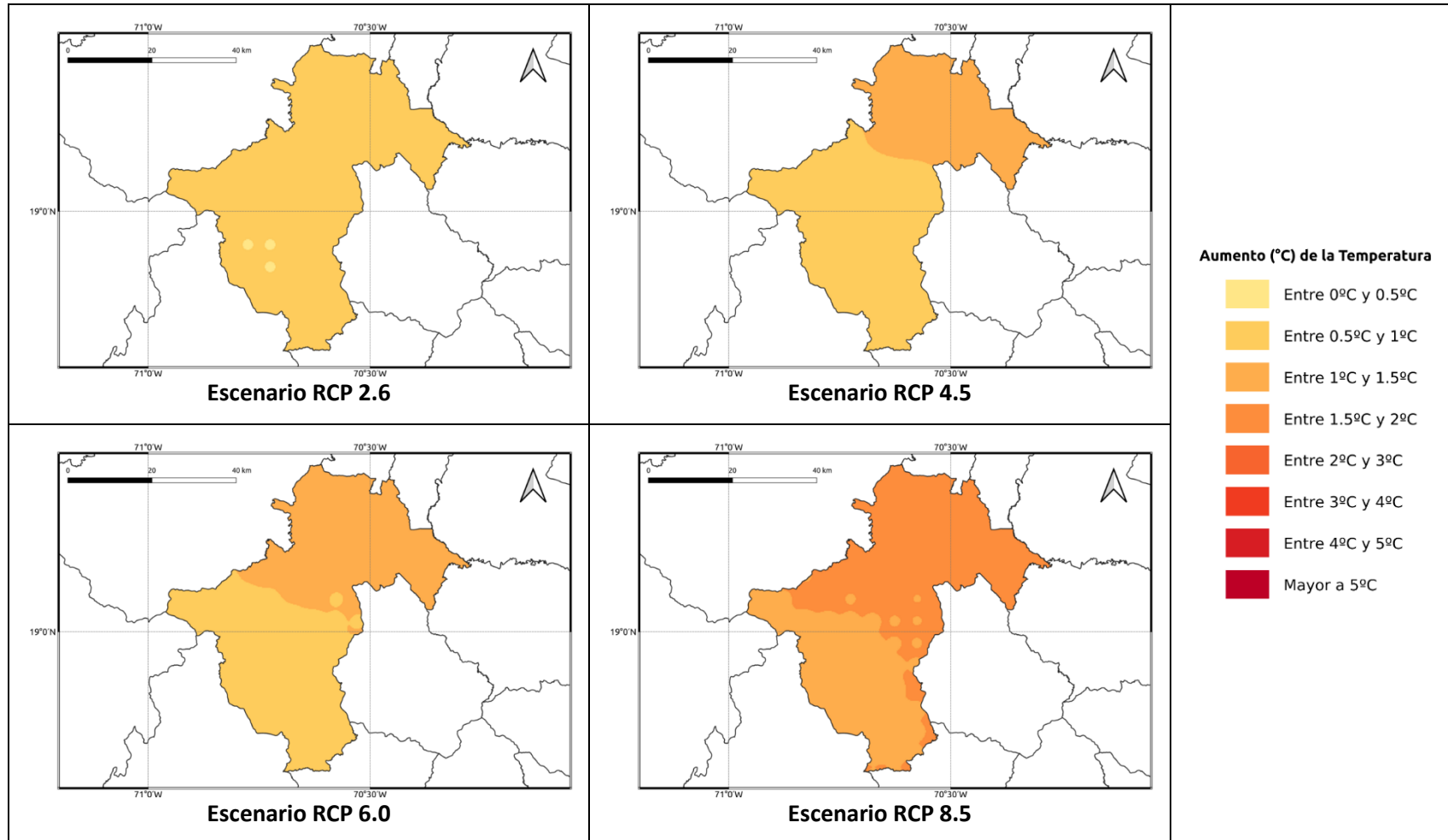


Figura 1.1.15-11. Cambios proyectados en la temperatura mínima (°C) por el ensamble multimodelo bajo los 4 escenarios RCP en el periodo 2061-2080 para la provincia La Vega.

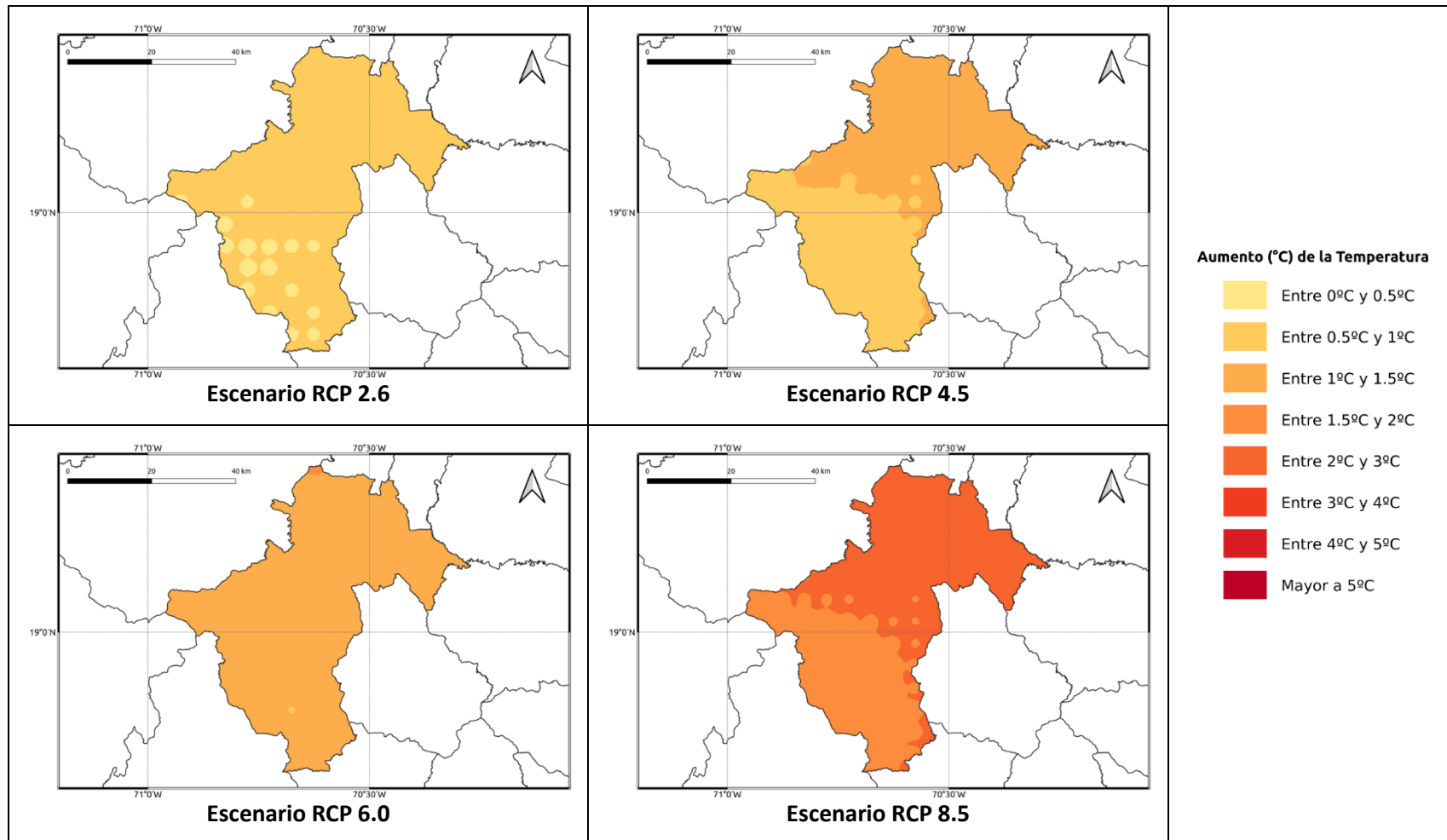


Figura 1.1.15-12. Cambios proyectados en la temperatura mínima (°C) por el ensamble multimodelo bajo los 4 escenarios RCP en el periodo 2081-2100 para la provincia La Vega.

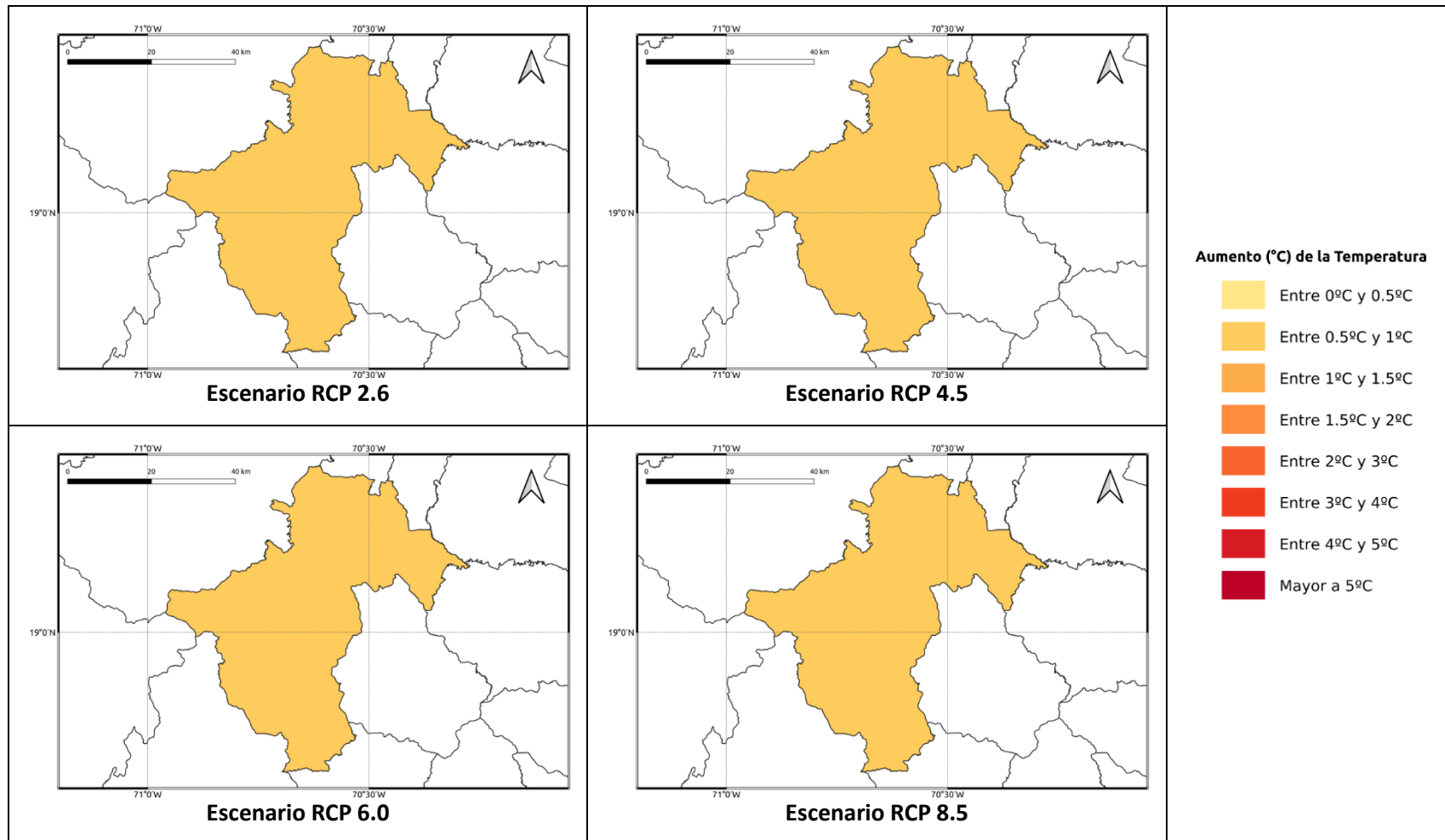


Figura 1.1.15-13. Cambios proyectados en la temperatura media (°C) por el ensamble multimodelo bajo los 4 escenarios RCP en el periodo 2021-2040 para la provincia La Vega.

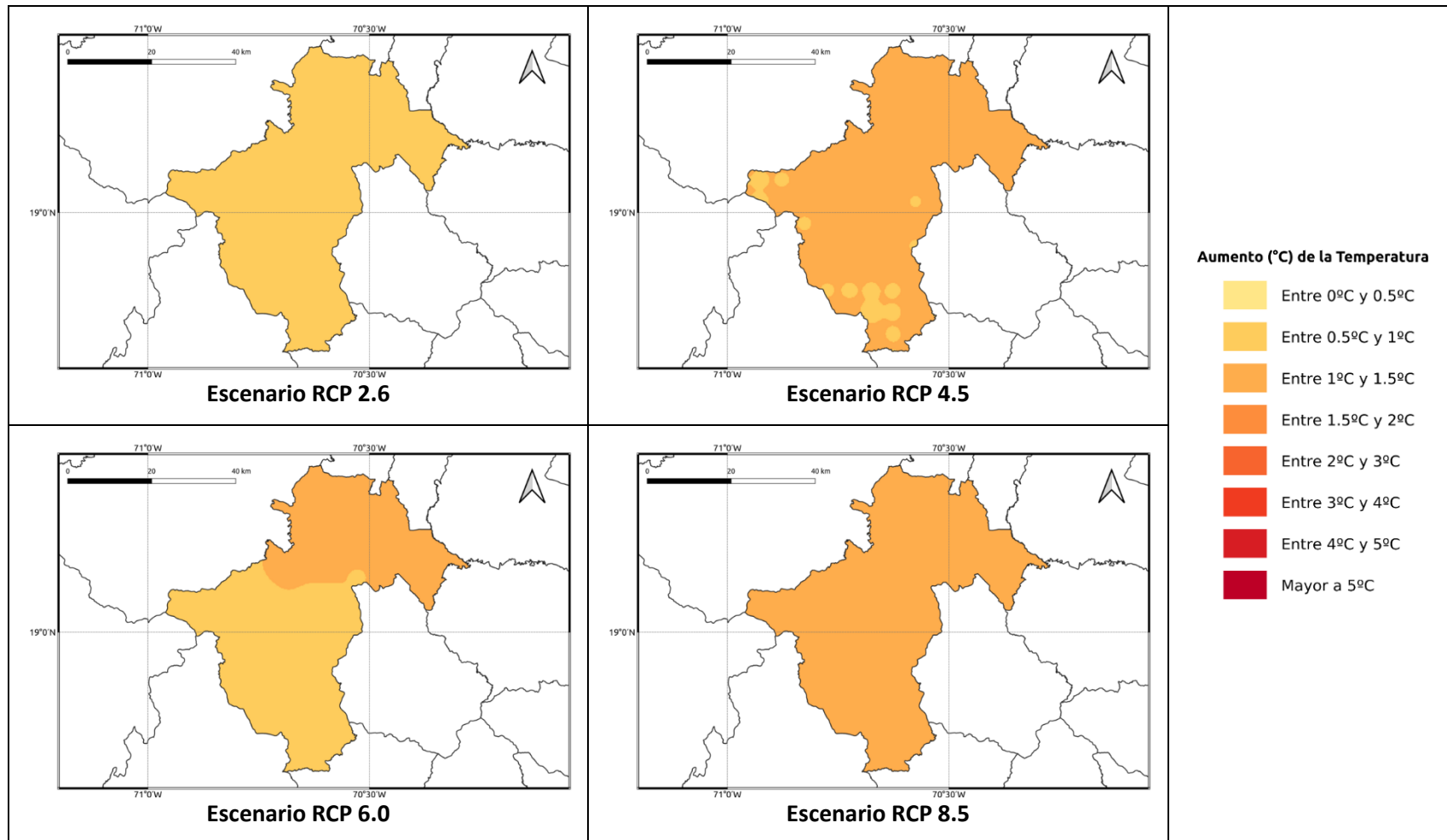
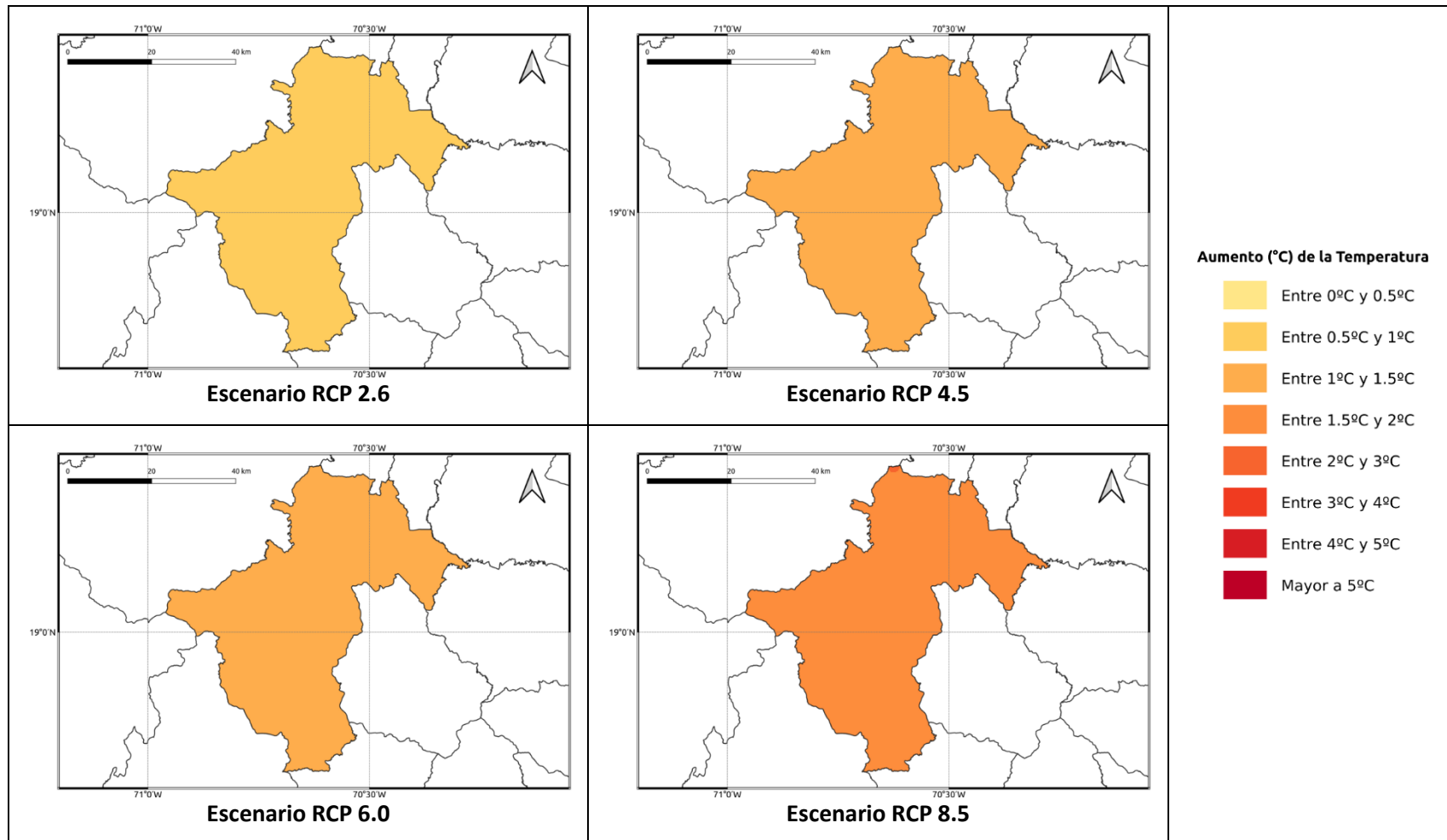
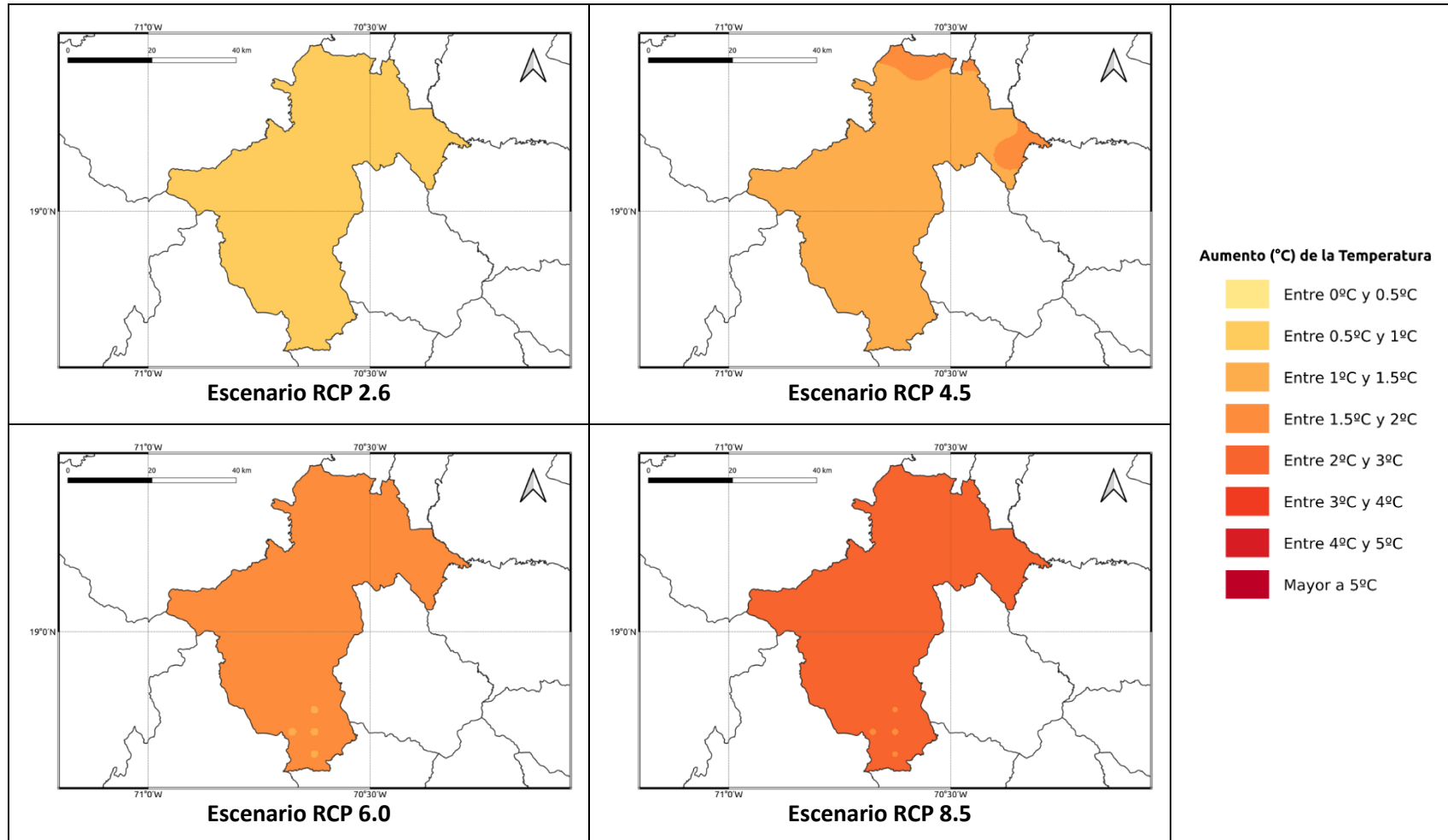


Figura 1.1.15-14. Cambios proyectados en la temperatura media (°C) por el ensamble multimodelo bajo los 4 escenarios RCP en el periodo 2041-2060 para la provincia La Vega.



**Figura 1.1.15-15. Cambios proyectados en la temperatura media (°C) por el ensamble multimodelo bajo los 4 escenarios RCP en el periodo 2061-2080 para la provincia La Vega.**



**Figura 1.1.15-16. Cambios proyectados en la temperatura media (°C) por el ensamble multimodelo bajo los 4 escenarios RCP en el periodo 2081-2100 para la provincia La Vega.**

## **1.1.16 PROVINCIA MARÍA TRINIDAD SÁNCHEZ**

A continuación, se presenta el análisis espacial de los cambios de las variables climáticas a nivel anual para la provincia **María Trinidad Sánchez**. Los cambios a nivel estacional (trimestral) se pueden consultar en el Anexo 17.

### **Precipitación**

Para esta variable, en el periodo de corto plazo 2021-2040 se presentarían cambios dentro del rango normal de variabilidad (del orden del 5%), con aumentos de esta magnitud bajo los escenarios RCP 2.6 y 6.0, y reducciones bajo los escenarios RCP 4.5 y 8.5, y dándose bajo este último disminuciones del orden del 8% hacia el sur de la provincia (Figura 1.1.16-1). Para el siguiente periodo (2041-2060), bajo el RCP 2.6 se mantiene el aumento de la precipitación del orden del 5-7%, y en los demás escenarios la tendencia sería a la reducción de la precipitación entre un 3-8% (Figura 1.1.16-2). Para el periodo 2061-2080, en el RCP 2.6 se mantendrían los incrementos del 5%, y bajo los otros escenarios se darían reducciones de la precipitación, del orden del 11-15% bajo el RCP 4.5, entre 7-9% bajo el RCP 6.0 y del 16-19% bajo el RCP 8.5 (Figura 1.1.16-3). Por último, para finales de siglo bajo los 4 escenarios se presentarían reducciones de la precipitación, siendo las de menor magnitud bajo el RCP 2.6 (entre 6-8%) y las más altas bajo el RCP 8.5, con reducciones entre 26 y 29% (Figura 1.1.16-4).

### **Temperatura Máxima**

La temperatura máxima presentaría incrementos bajo los 4 RCP en todos los periodos analizados. En el periodo de corto plazo (2021-2040) la temperatura aumentaría entre 0.7 y 1.3°C, con aumentos de más de 1°C bajo el RCP 8.5 (Figura 1.1.16-5). Para 2041-2060, los aumentos serían de 1.1 a 1.4°C bajo los primeros 3 RCP (2.6, 4.5 y 6.0), y de 1.5 a 1.8°C bajo el RCP 8.5 (Figura 1.1.16-6). En el periodo 2061-2080 los aumentos serían de 1.1 a 2.6°C, manteniéndose el incremento de 1.1 a 1.4°C bajo el RCP 2.6, siendo de 1.4 a 1.8°C bajo los RCP 4.5 y 6.0 y de 2.6°C bajo el RCP 8.5 (Figura 1.1.16-7). Para finales de siglo, los aumentos serían de 0.7 a 1.1°C bajo el RCP 2.6, de 1.7 a 1.9°C bajo el RCP 4.5, de 2.2 a 2.4°C bajo el RCP 6.0 y de 3.2 a 3.8°C bajo el RCP 8.5 (Figura 1.1.16-8).

### **Temperatura Mínima**

En el primer periodo (2021-2040), ésta se incrementaría de 0.6 a 0.8°C en los 4 escenarios RCP (Figura 1.1.16-9). Para 2041-2060 aumentaría de 0.7 a 1.1°C en los 3 primeros escenarios (dándose los mayores aumentos hacia el centro y norte de la provincia en el RCP 4.5), y bajo el RCP 8.5 habría aumentos de 1.3°C (Figura 1.1.16-10). En el periodo 2061-2080 la temperatura mínima se incrementaría entre 0.6 y



0.8°C bajo el RCP 2.6, entre 1.1 y 1.4°C bajo los RCP 4.5 y 6.0 y entre 1.7 y 2.2°C bajo el RCP 8.5 (Figura 1.1.16-11). Por último, para finales de siglo se mantendría un aumento de 0.8°C en el RCP 2.6, entre 1.1 y 1.4°C bajo el RCP 4.5, entre 1.6 y 1.8°C bajo el 6.0 y de 2.2 a 2.6°C bajo el RCP 8.5 (Figura 1.1.16-12).

#### ***Temperatura Media***

La temperatura media se incrementaría entre 0.6 y 0.8°C en el periodo 2021-2040 bajo los 4 escenarios RCP (Figura 1.1.16-13). En el periodo 2041-2060 se mantendría este mismo rango bajo el RCP 2.6, y en los otros 3 escenarios aumentaría de 1.1 a 1.7°C (Figura 1.1.16-14). Para 2061-2080 la temperatura media aumentaría de 0.7 a 0.8°C bajo el RCP 2.6, de 1.3 a 1.7°C bajo los RCP 4.5 y 6.0 y de 1.7 a 2.4°C bajo el RCP 8.5 (dándose los mayores aumentos en la mayoría de la provincia) (Figura 1.1.16-15). Finalmente, para el periodo 2081-2100 la temperatura subiría entre 0.6 y 0.8°C bajo el RCP 2.6, entre 1.7 y 1.9°C bajo los RCP 4.5 y 6.0 y de 2.4 a 2.8°C bajo el RCP 8.5 (Figura 1.1.16-16).



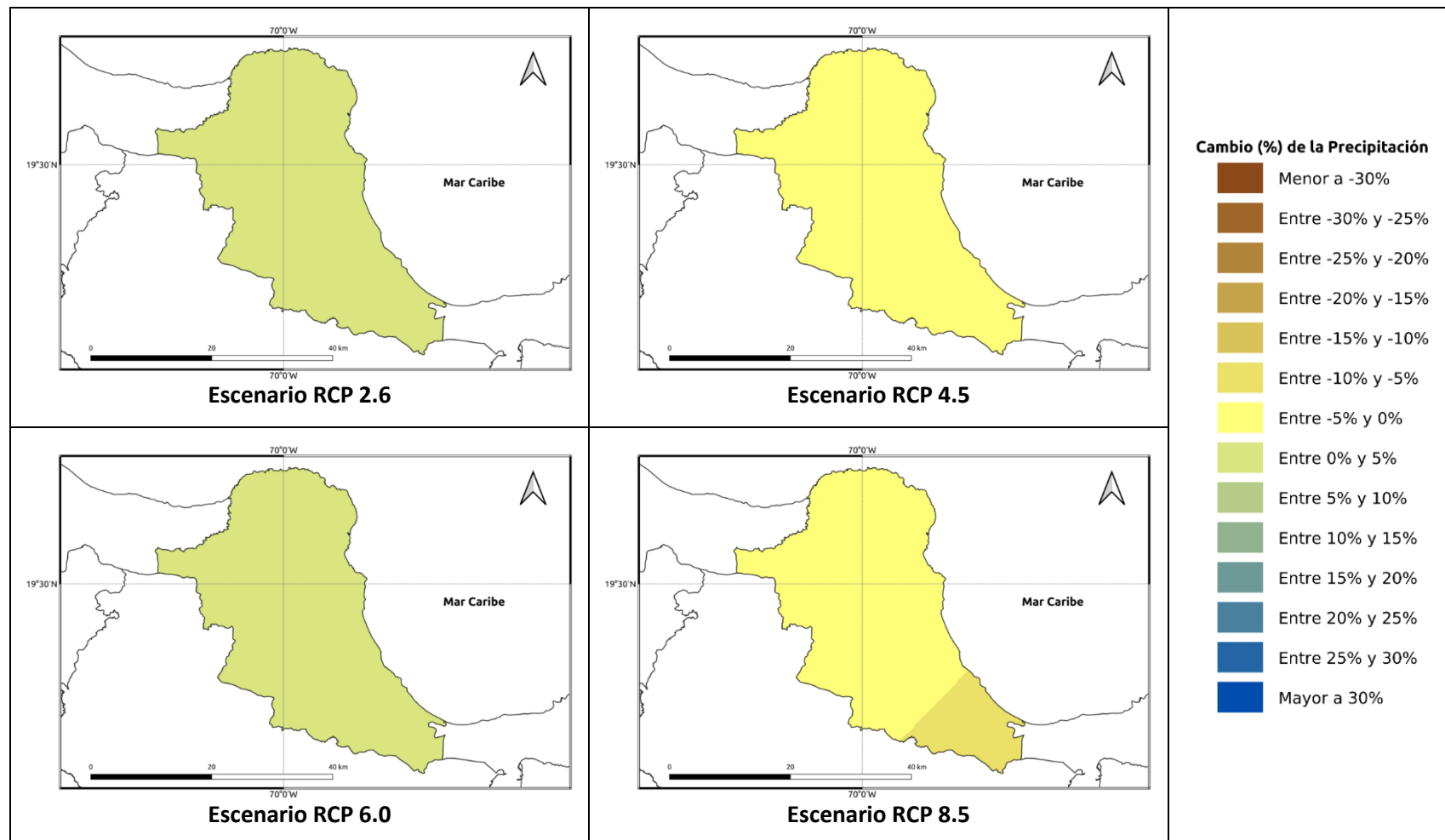


Figura 1.1.16-1. Cambios porcentuales de la precipitación (%) proyectados por el ensamble multimodelo bajo los 4 escenarios RCP en el periodo 2021-2040 para la provincia María Trinidad Sánchez.

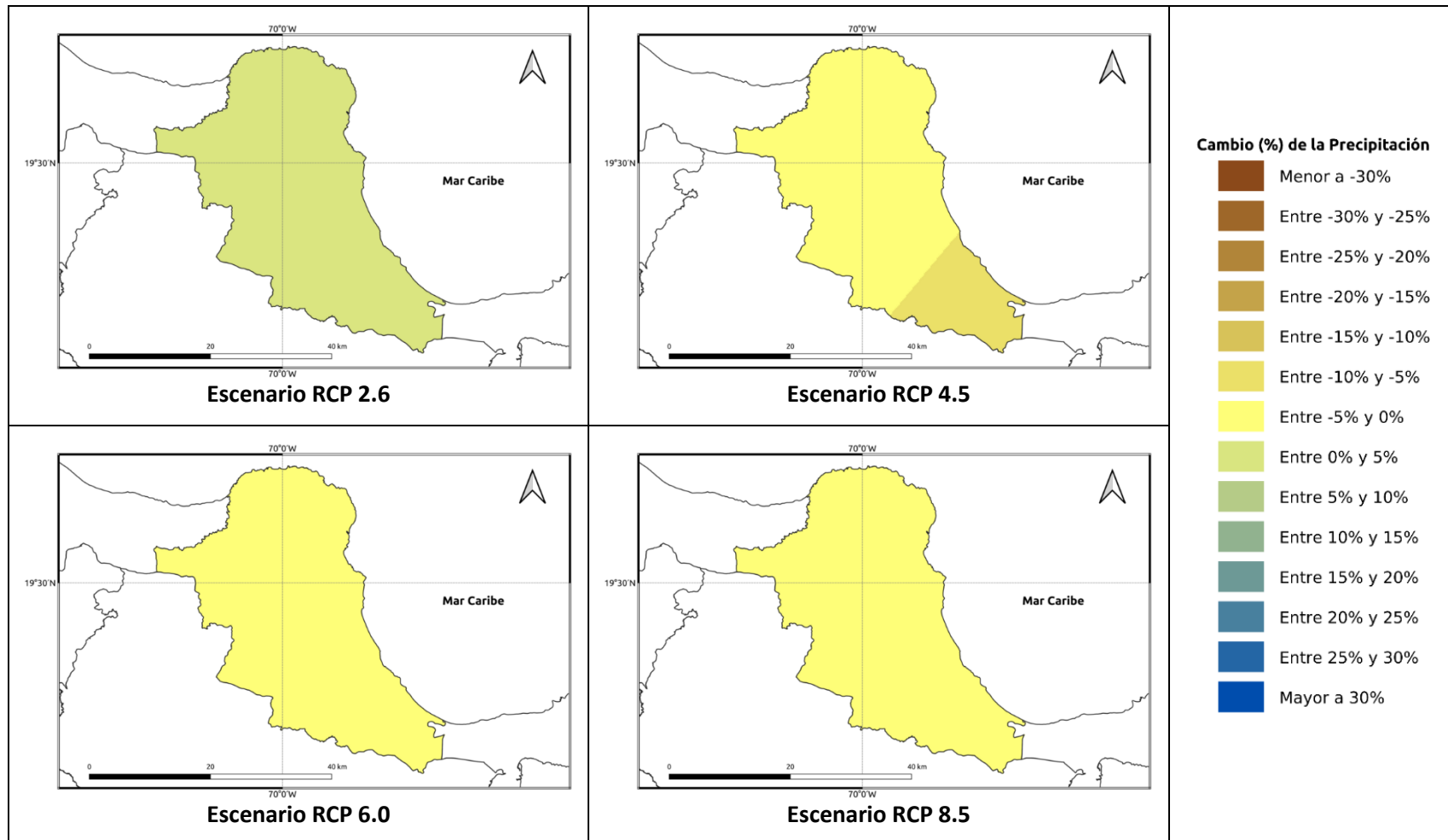


Figura 1.1.16-2. Cambios porcentuales de la precipitación (%) proyectados por el ensamble multimodelo bajo los 4 escenarios RCP en el periodo 2041-2060 para la provincia María Trinidad Sánchez.

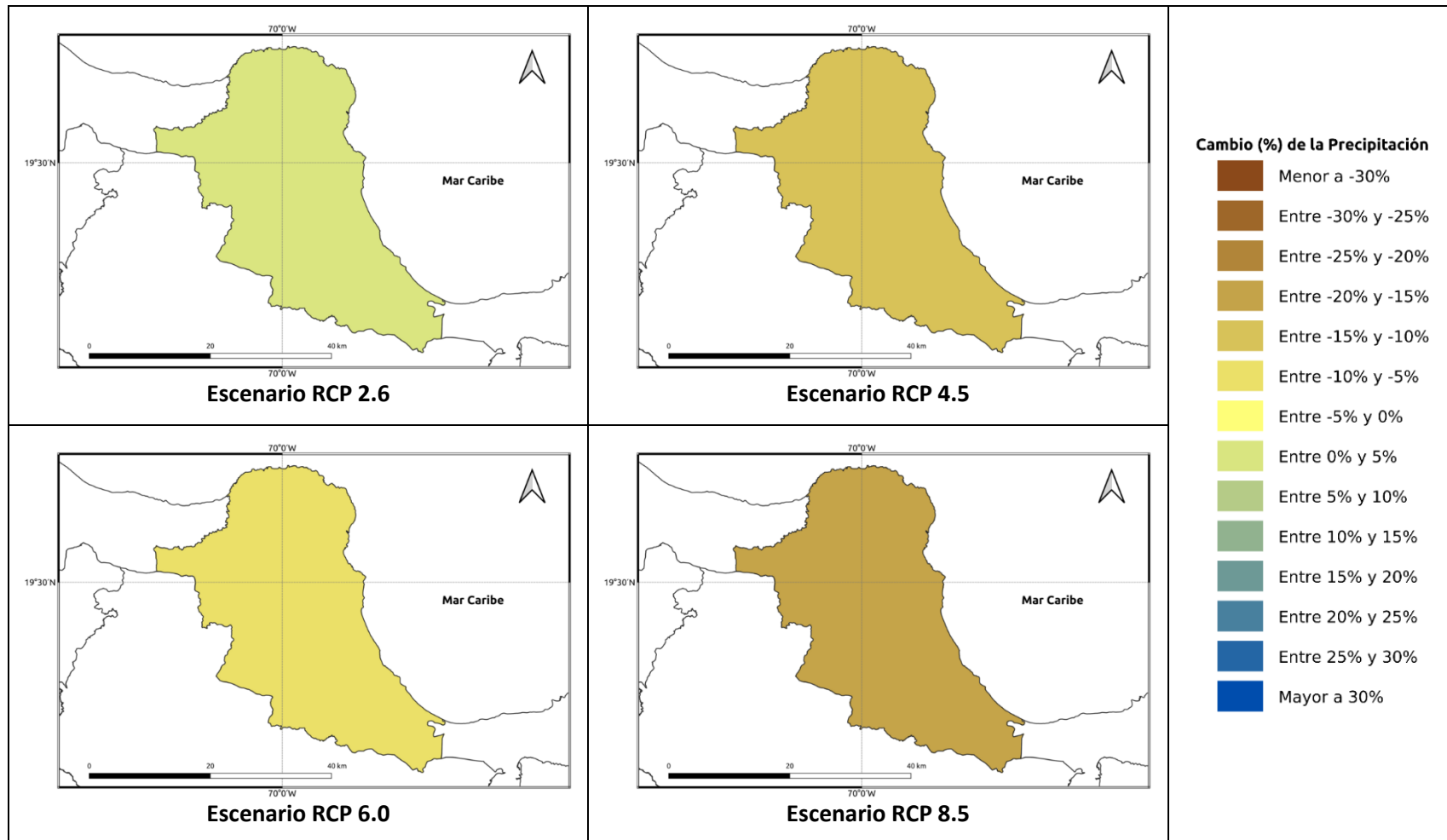


Figura 1.1.16-3. Cambios porcentuales de la precipitación (%) proyectados por el ensamble multimodelo bajo los 4 escenarios RCP en el periodo 2061-2080 para la provincia María Trinidad Sánchez.

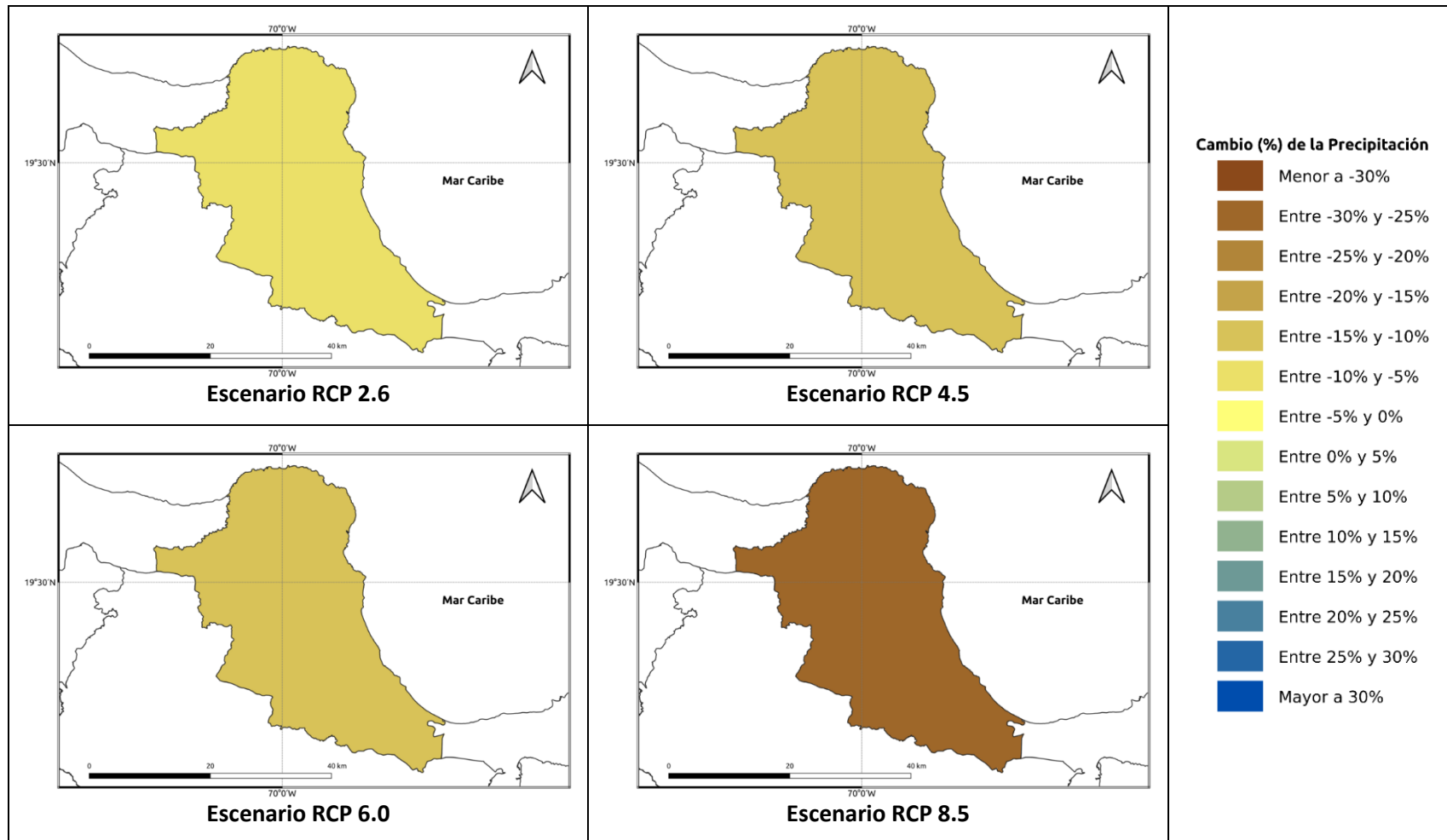


Figura 1.1.16-4. Cambios porcentuales de la precipitación (%) proyectados por el ensamble multimodelo bajo los 4 escenarios RCP en el periodo 2081-2100 para la provincia María Trinidad Sánchez.

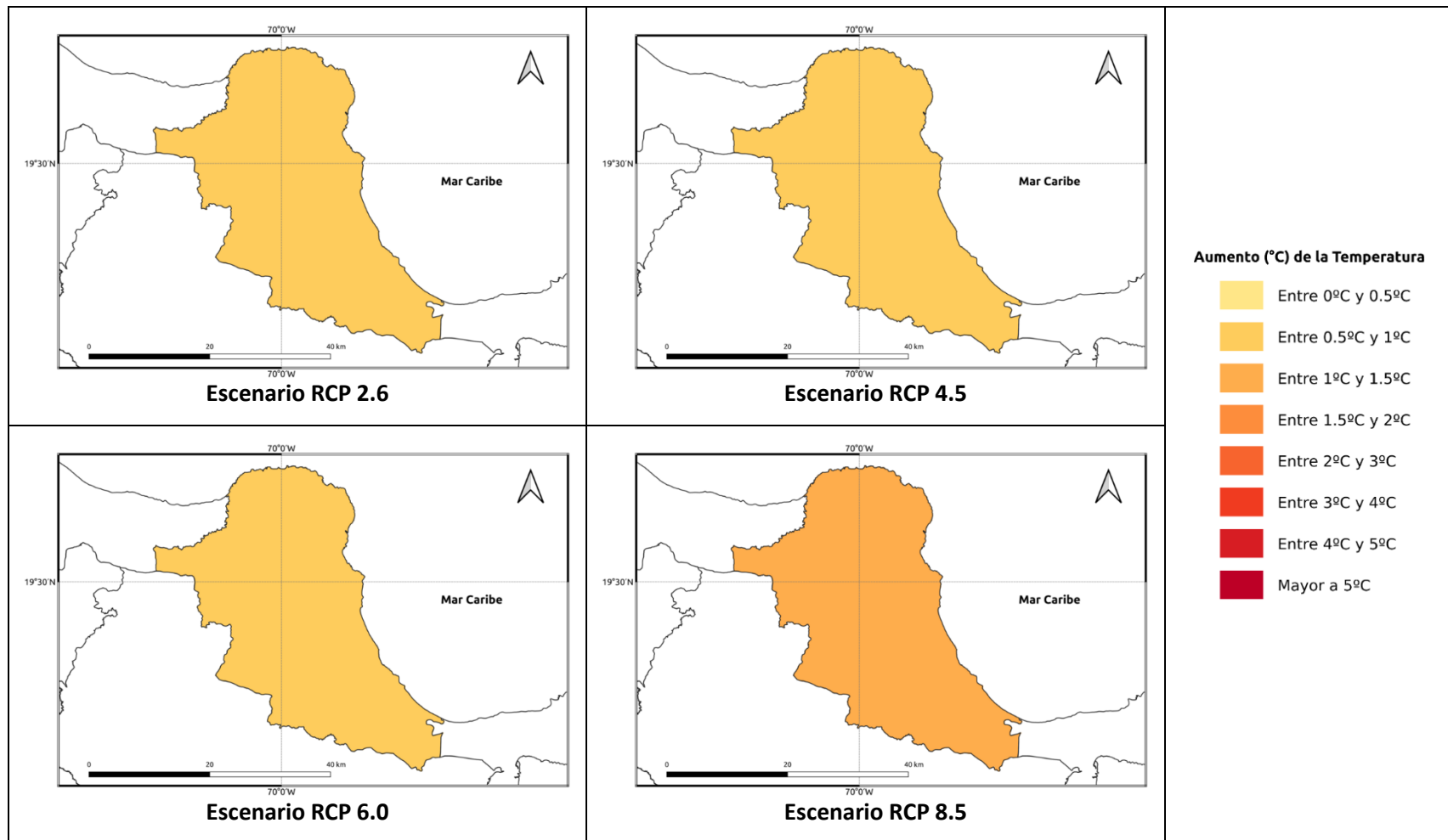
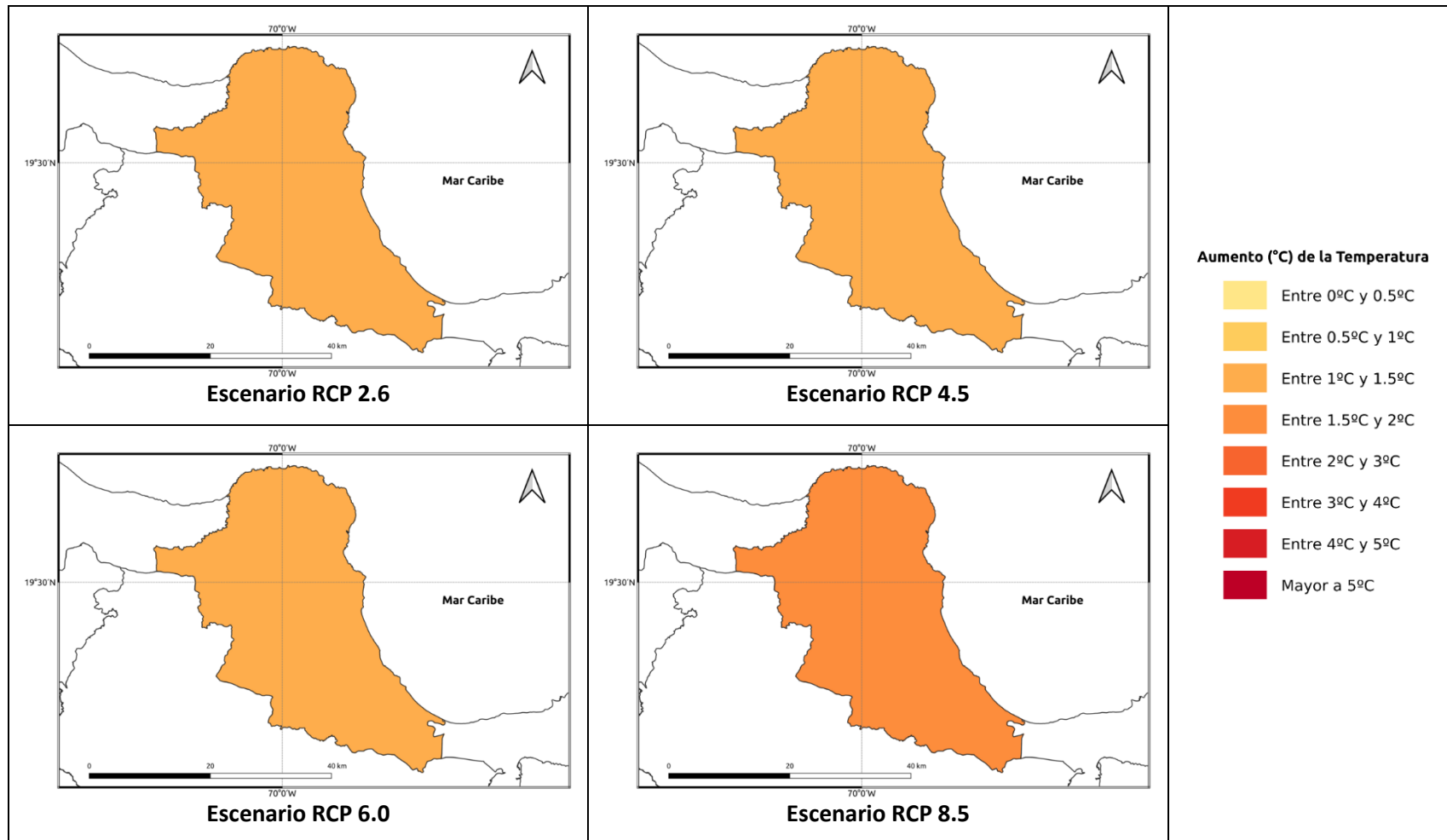


Figura 1.1.16-5. Cambios proyectados en la temperatura máxima ( $^{\circ}\text{C}$ ) por el ensamble multimodelo bajo los 4 escenarios RCP en el periodo 2021-2040 para la provincia María Trinidad Sánchez.



**Figura 1.1.16-6. Cambios proyectados en la temperatura máxima (°C) por el ensamble multimodelo bajo los 4 escenarios RCP en el periodo 2041-2060 para la provincia María Trinidad Sánchez.**

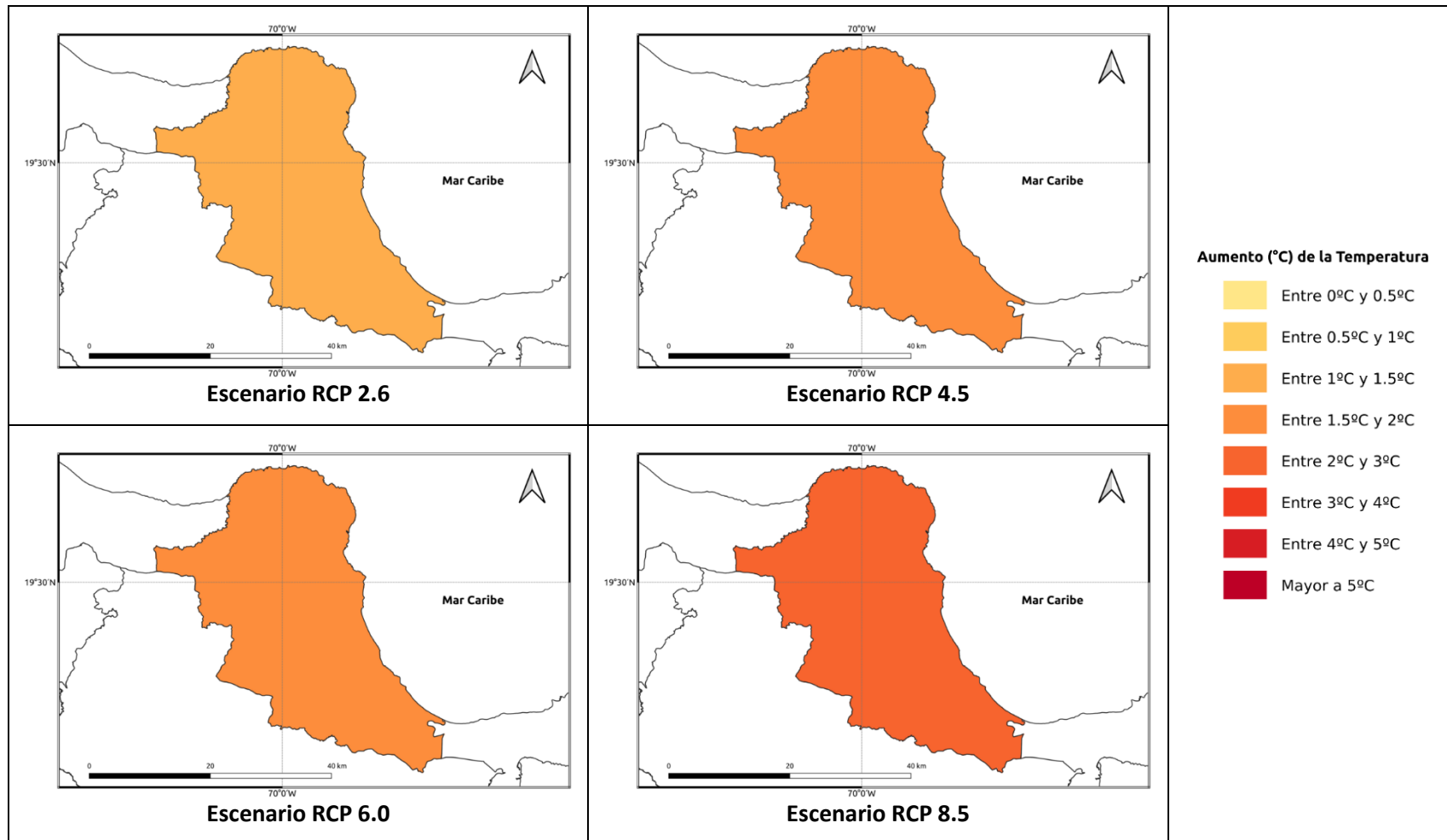


Figura 1.1.16-7. Cambios proyectados en la temperatura máxima (°C) por el ensamble multimodelo bajo los 4 escenarios RCP en el periodo 2061-2080 para la provincia María Trinidad Sánchez.

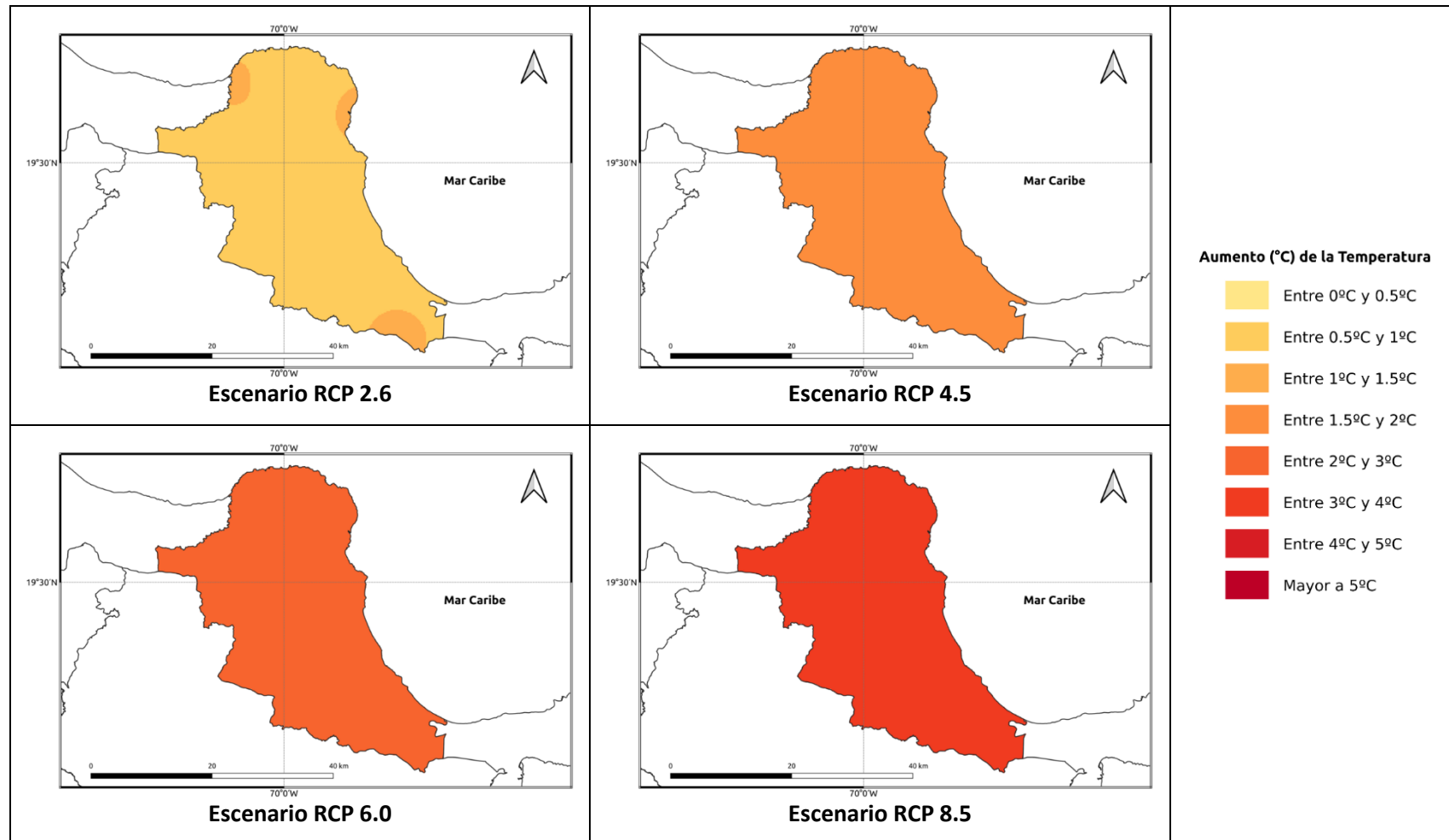


Figura 1.1.16-8. Cambios proyectados en la temperatura máxima (°C) por el ensamble multimodelo bajo los 4 escenarios RCP en el periodo 2081-2100 para la provincia María Trinidad Sánchez.

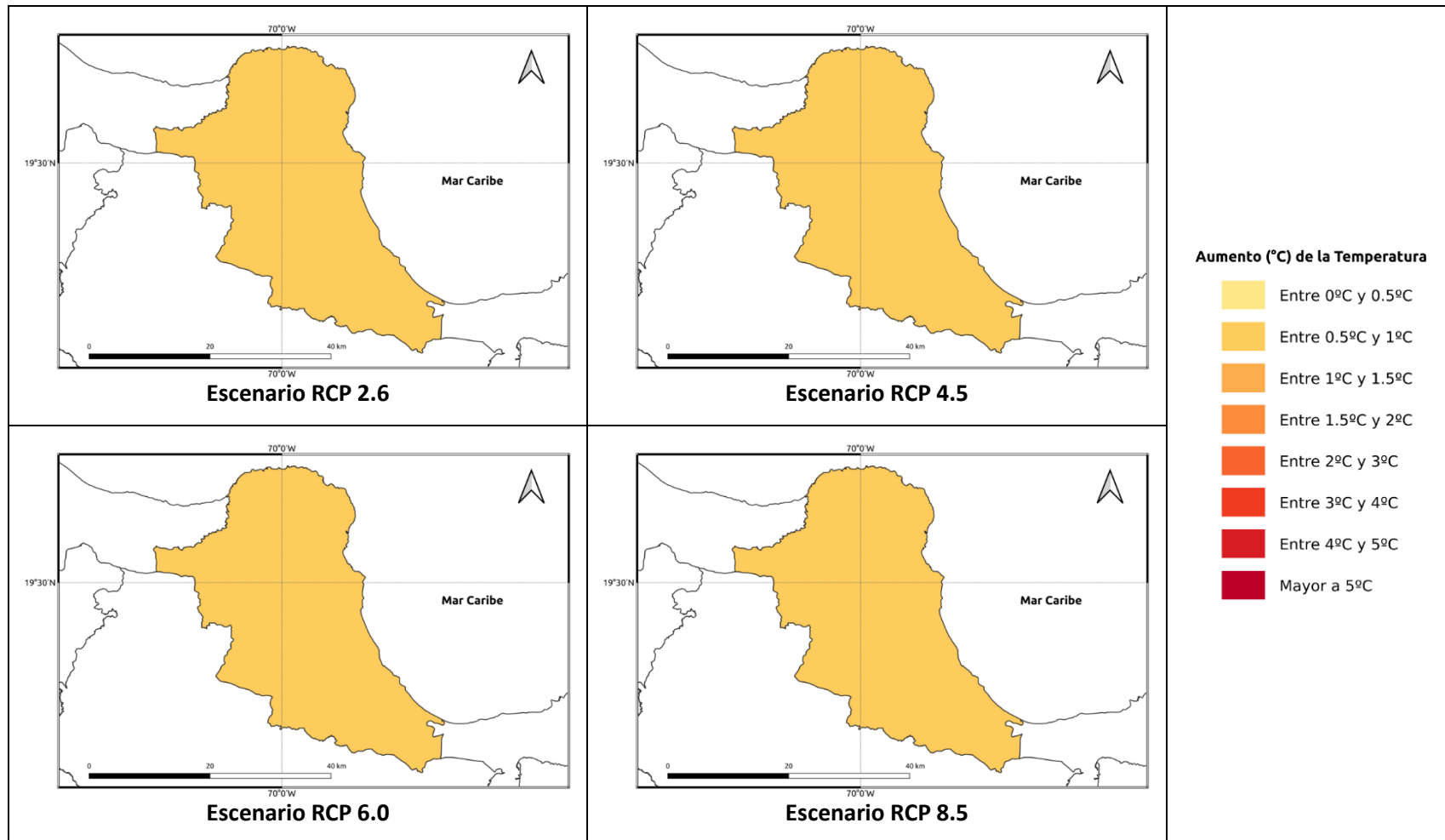


Figura 1.1.16-9. Cambios proyectados en la temperatura mínima (°C) por el ensamble multimodelo bajo los 4 escenarios RCP en el periodo 2021-2040 para la provincia María Trinidad Sánchez.

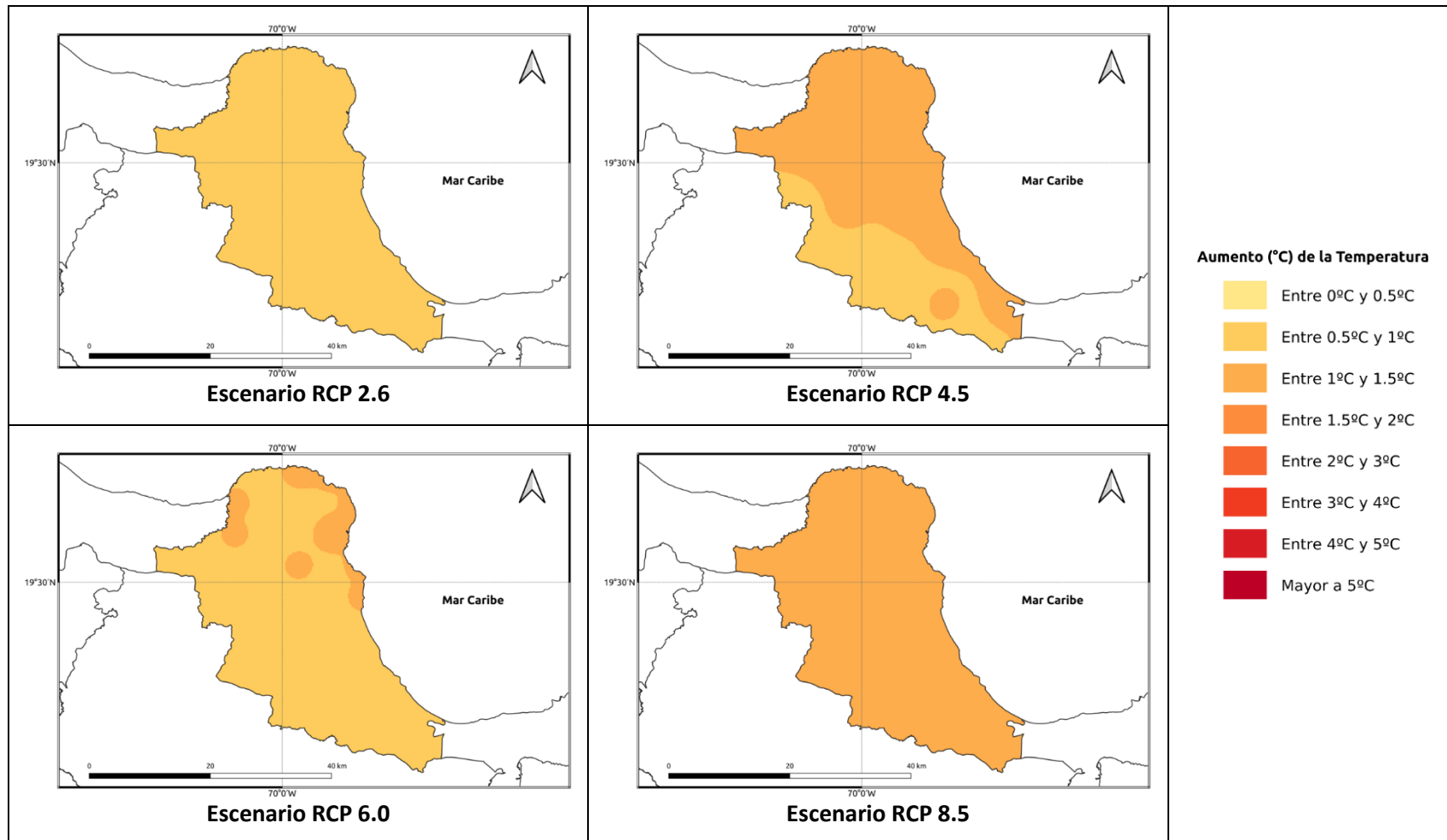


Figura 1.1.16-10. Cambios proyectados en la temperatura mínima (°C) por el ensamble multimodelo bajo los 4 escenarios RCP en el periodo 2041-2060 para la provincia María Trinidad Sánchez.

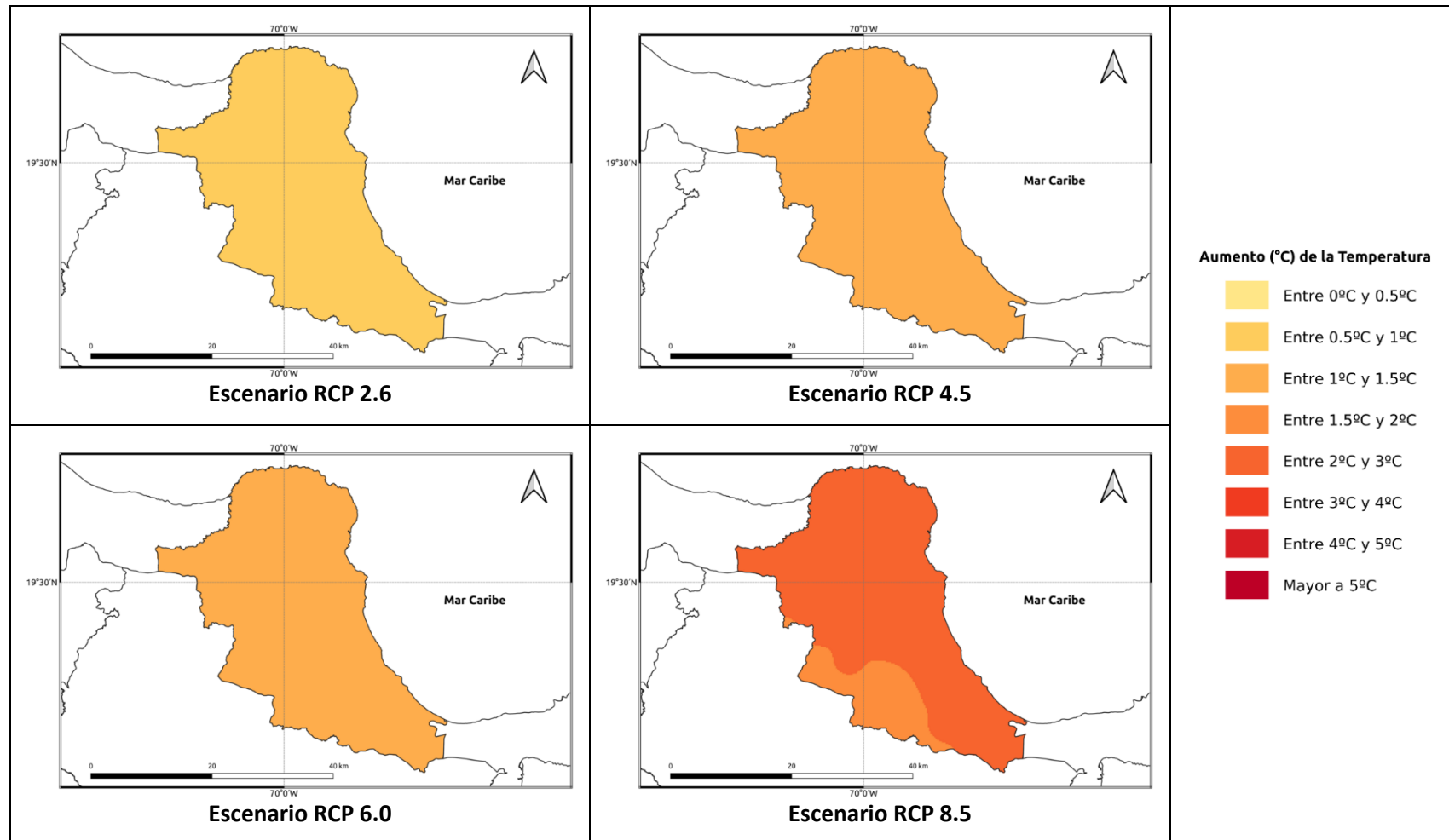


Figura 1.1.16-11. Cambios proyectados en la temperatura mínima (°C) por el ensamble multimodelo bajo los 4 escenarios RCP en el periodo 2061-2080 para la provincia María Trinidad Sánchez.

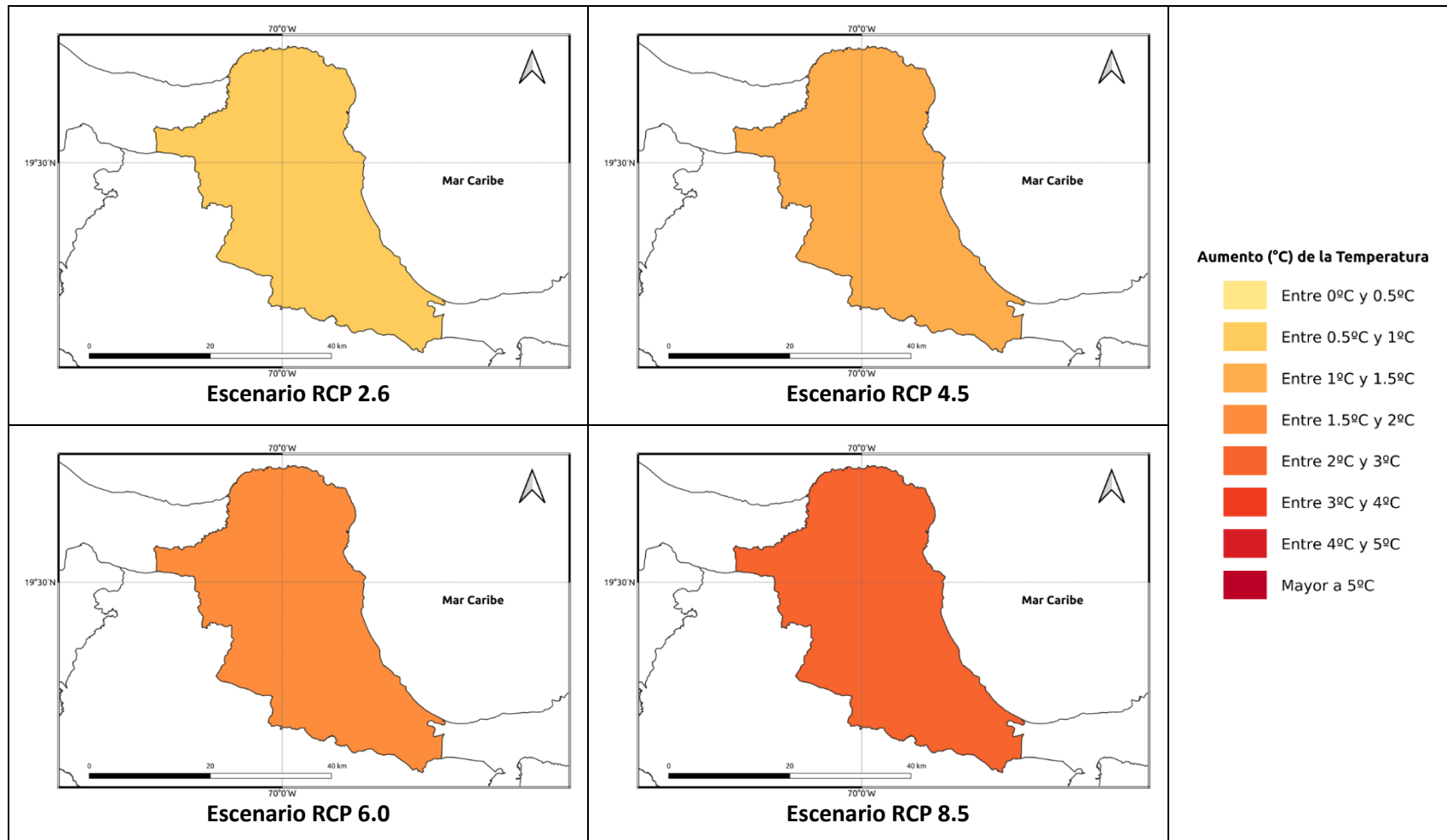


Figura 1.1.16-12. Cambios proyectados en la temperatura mínima (°C) por el ensamble multimodelo bajo los 4 escenarios RCP en el periodo 2081-2100 para la provincia María Trinidad Sánchez.

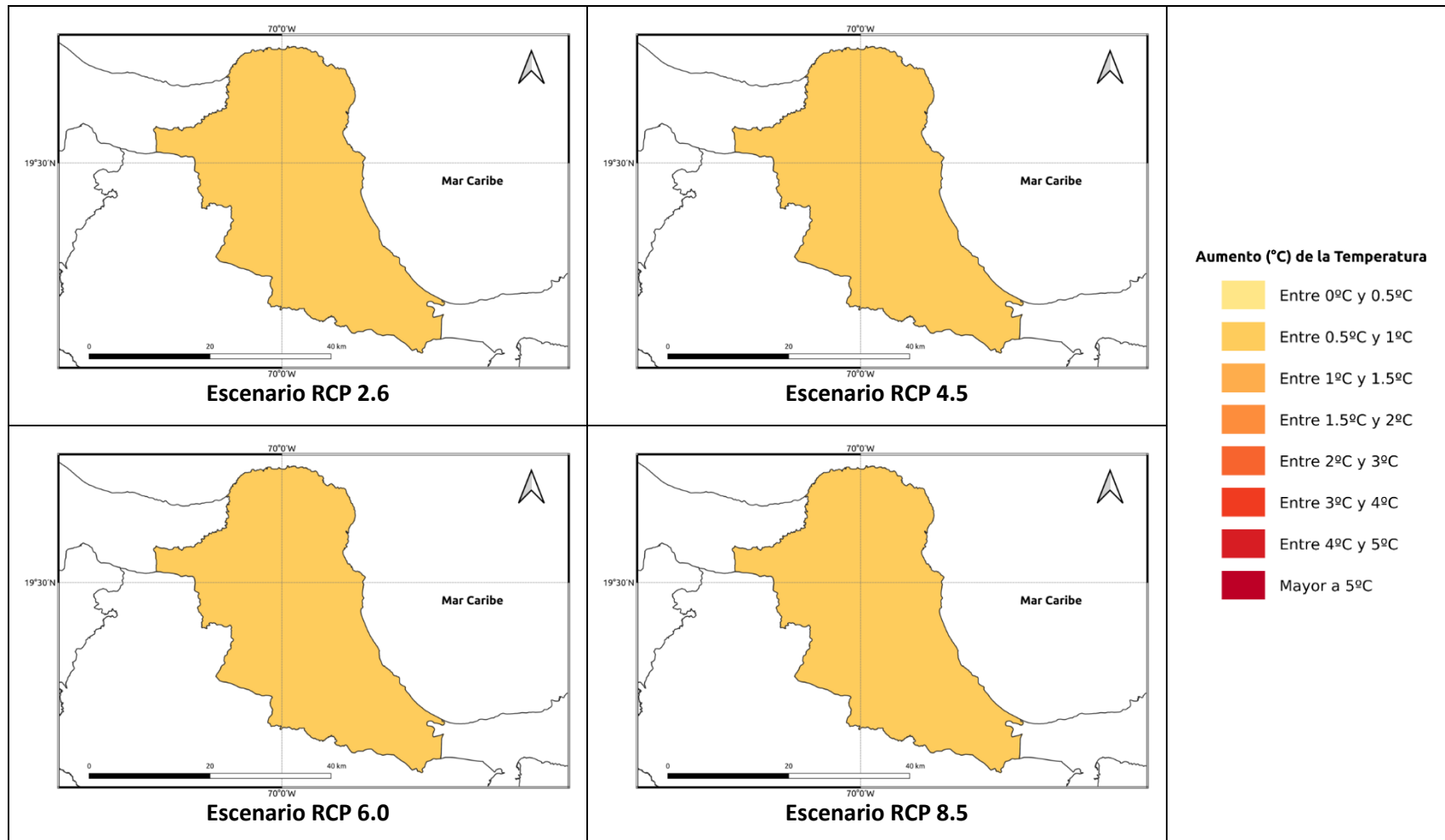


Figura 1.1.16-13. Cambios proyectados en la temperatura media (°C) por el ensamble multimodelo bajo los 4 escenarios RCP en el periodo 2021-2040 para la provincia María Trinidad Sánchez.

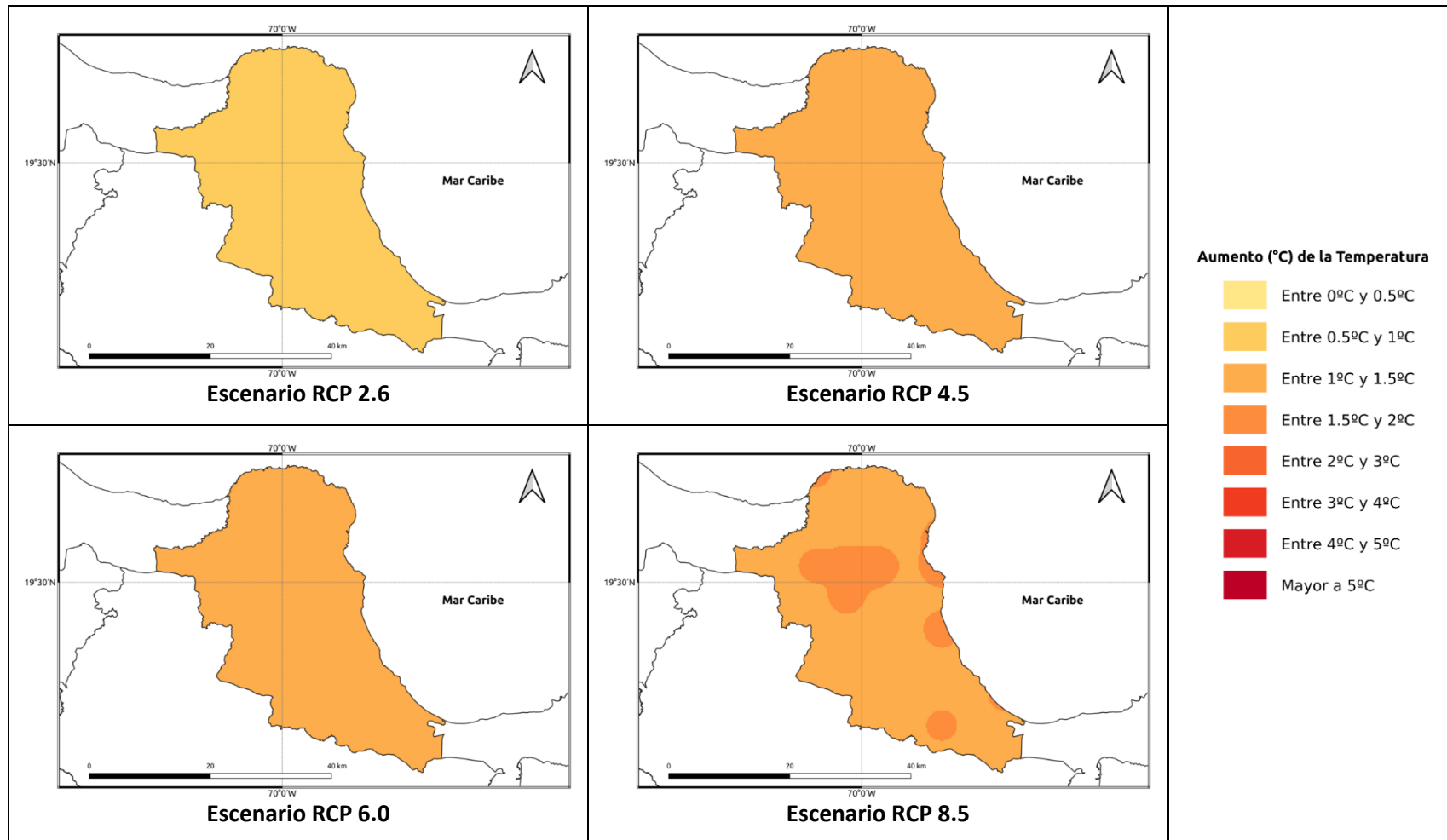


Figura 1.1.16-14. Cambios proyectados en la temperatura media (°C) por el ensamble multimodelo bajo los 4 escenarios RCP en el periodo 2041-2060 para la provincia María Trinidad Sánchez.

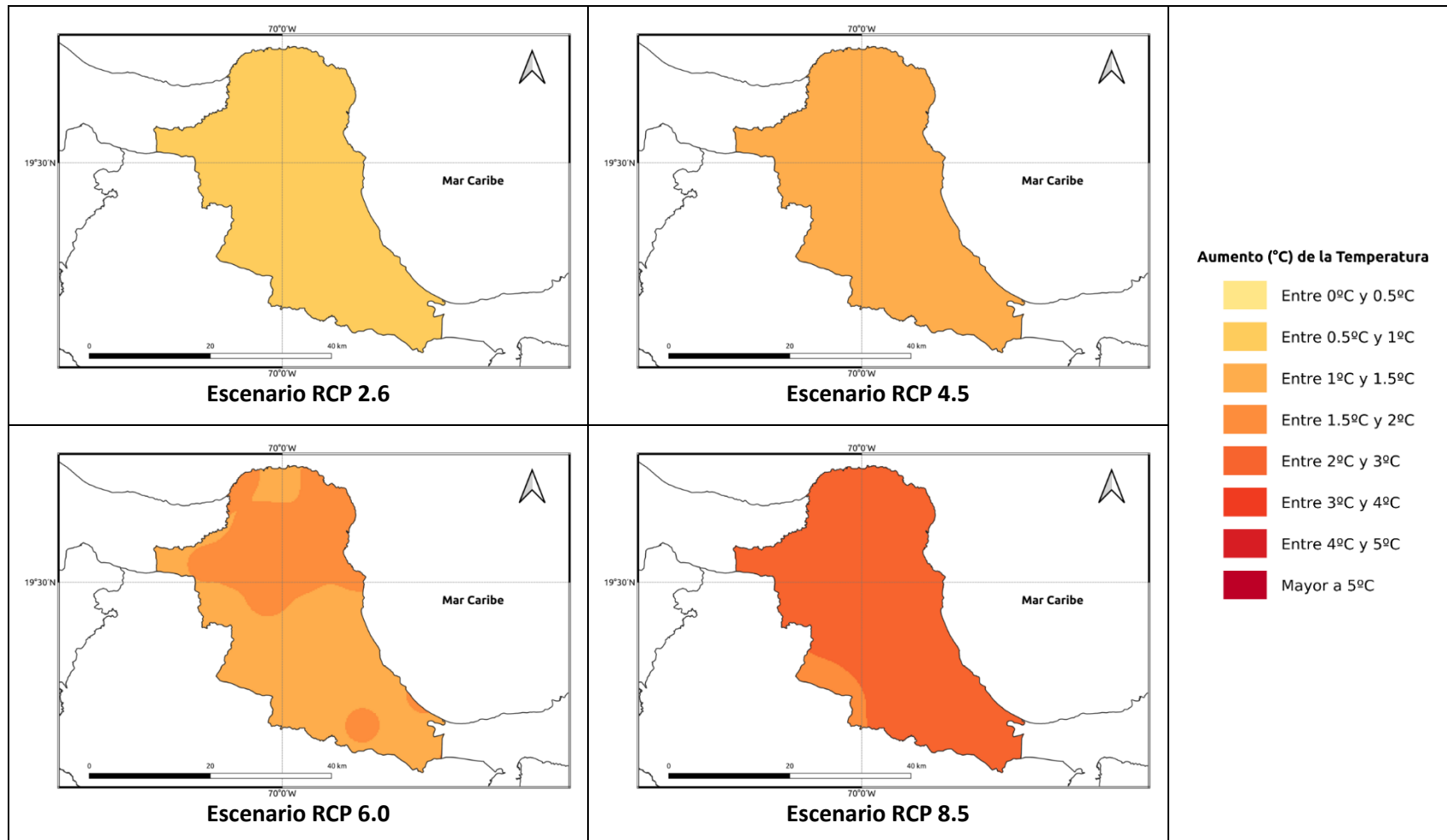


Figura 1.1.16-15. Cambios proyectados en la temperatura media (°C) por el ensamble multimodelo bajo los 4 escenarios RCP en el periodo 2061-2080 para la provincia María Trinidad Sánchez.

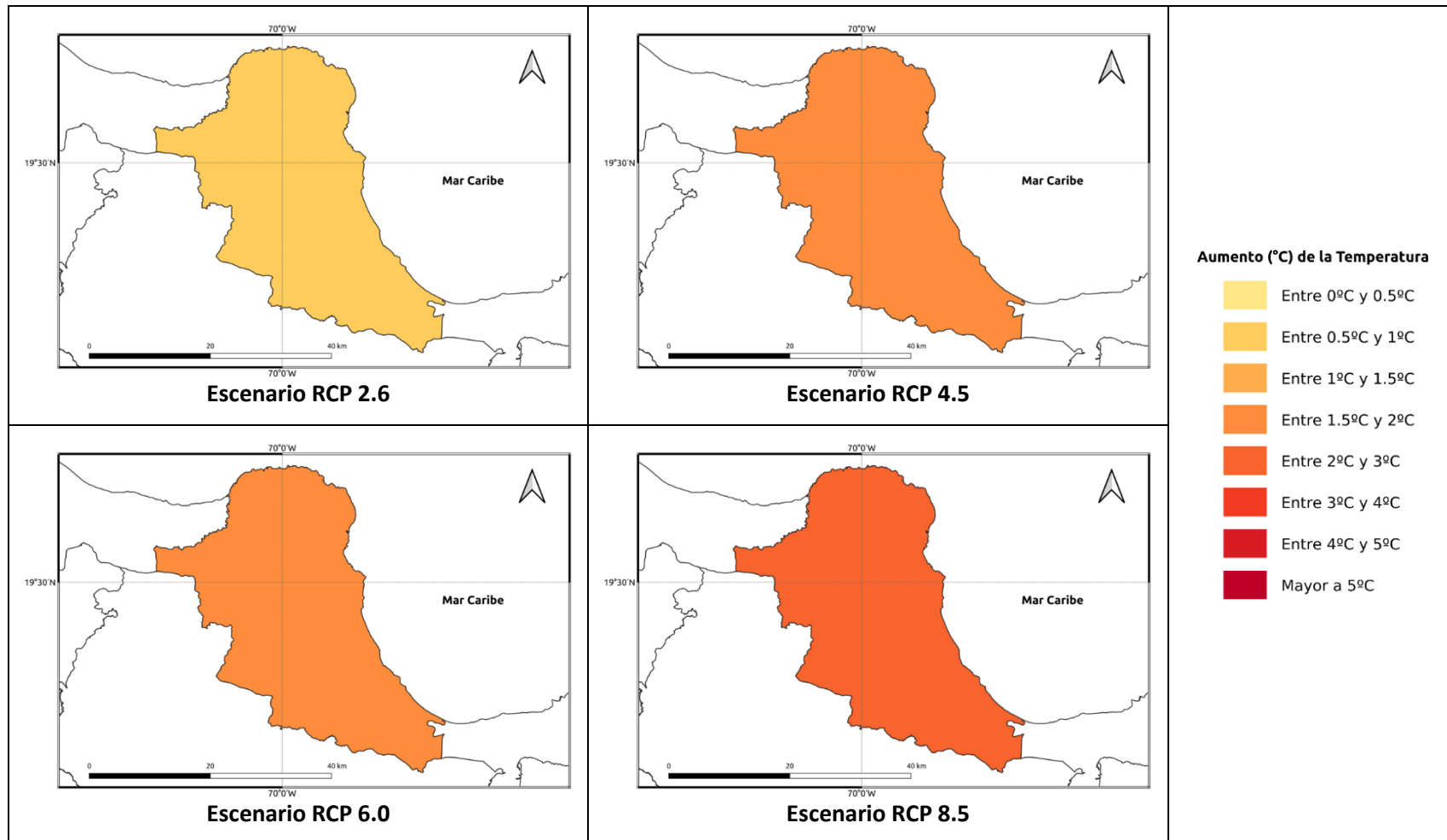


Figura 1.1.16-16. Cambios proyectados en la temperatura media (°C) por el ensamble multimodelo bajo los 4 escenarios RCP en el periodo 2081-2100 para la provincia María Trinidad Sánchez.

## **1.1.17 PROVINCIA MONSEÑOR NOUEL**

A continuación, se presenta el análisis espacial de los cambios de las variables climáticas a nivel anual para la provincia **Monseñor Nouel**. Los cambios a nivel estacional (trimestral) se pueden consultar en el Anexo 18.

### **Precipitación**

Para esta variable, en el periodo de corto plazo 2021-2040 se presentarían cambios dentro del rango normal de variabilidad (del orden del 5%), con aumentos de esta magnitud bajo los escenarios RCP 2.6 y 6.0, y reducciones bajo los escenarios RCP 4.5 y 8.5, y dándose bajo este último disminuciones del orden del 8% hacia el sur de la provincia (Figura 1.1.17-1). Para el siguiente periodo (2041-2060), bajo el RCP 2.6 se mantiene el aumento de la precipitación del orden del 5%, y en los demás escenarios la tendencia sería a la reducción de la precipitación entre un 4-9% (Figura 1.1.17-2). Para el periodo 2061-2080, en el RCP 2.6 se mantendrían los incrementos del 5%, y bajo los otros escenarios se darían reducciones de la precipitación, del orden del 11-15% bajo el RCP 4.5, entre 6-9% bajo el RCP 6.0 y del 14-19% bajo el RCP 8.5, con las disminuciones más altas en el sur de la provincia (Figura 1.1.17-3). Por último, para finales de siglo bajo los 4 escenarios se presentarían reducciones de la precipitación, siendo las de menor magnitud bajo el RCP 2.6 (entre 6-8%) y las más altas bajo el RCP 8.5, con reducciones entre 25 y 28% en la mayor parte de la provincia, y de más del 30% en el sur de la misma (Figura 1.1.17-4).

### **Temperatura Máxima**

La temperatura máxima presentaría incrementos bajo los 4 RCP en todos los periodos analizados. En el periodo de corto plazo (2021-2040) la temperatura aumentaría entre 0.7 y 1.3°C, con aumentos de más de 1°C bajo el RCP 8.5 en la mayor parte de la provincia (Figura 1.1.17-5). Para 2041-2060, los aumentos serían de 0.7 a 1.4°C bajo los primeros 3 RCP (2.6, 4.5 y 6.0), y de 1.5 a 1.8°C bajo el RCP 8.5 (Figura 1.1.17-6). En el periodo 2061-2080 los aumentos serían de 0.7 a 2.4°C, manteniéndose el incremento de 0.7 a 1.4°C bajo el RCP 2.6, siendo de 1.4 a 1.8°C bajo los RCP 4.5 y 6.0 y de 2.6°C bajo el RCP 8.5 (Figura 1.1.17-7). Para finales de siglo, los aumentos serían de 0.7 a 0.9°C bajo el RCP 2.6, de 1.4 a 1.7°C bajo el RCP 4.5, de 1.8 a 2.4°C bajo el RCP 6.0 y de 3.2 a 3.7°C bajo el RCP 8.5 (Figura 1.1.17-8).

### **Temperatura Mínima**

En el primer periodo (2021-2040), ésta se incrementaría de 0.3 a 0.8°C en los 4 escenarios RCP (Figura 1.1.17-9). Para 2041-2060 aumentaría de 0.7 a 0.9°C en los 3 primeros escenarios, y bajo el RCP 8.5 habría aumentos entre 1.1 y 1.3°C (Figura 1.1.17-10). En el periodo 2061-2080 la temperatura mínima se incrementaría entre



0.4 y 0.8°C bajo el RCP 2.6, entre 0.9 y 1.2°C bajo los RCP 4.5 y 6.0 y entre 1.4 y 1.7°C bajo el RCP 8.5 (Figura 1.1.17-11). Por último, para finales de siglo se mantendría un aumento de 0.8°C en el RCP 2.6, entre 0.9 y 1.3°C bajo el RCP 4.5, entre 1.1 y 1.4°C bajo el RCP 6.0 y de 1.9 a 2.4°C bajo el RCP 8.5 (Figura 1.1.17-12).

#### ***Temperatura Media***

La temperatura media se incrementaría entre 0.6 y 0.8°C en el periodo 2021-2040 bajo los 4 escenarios RCP (Figura 1.1.17-13). En el periodo 2041-2060 se mantendría este mismo rango bajo el RCP 2.6, y en los otros 3 escenarios aumentaría de 1.1 a 1.7°C (Figura 1.1.17-14). Para 2061-2080 la temperatura media aumentaría de 0.7 a 0.8°C bajo el RCP 2.6, de 1.3 a 1.5°C bajo los RCP 4.5 y 6.0 y de 1.7 a 1.9°C bajo el RCP 8.5 (Figura 1.1.17-15). Finalmente, para el periodo 2081-2100 la temperatura subiría entre 0.6 y 0.8°C bajo el RCP 2.6, entre 1.2 y 1.7°C bajo el RCP 4.5 (con los aumentos más altos hacia el oriente de la provincia), de 1.6 a 1.9°C bajo el RCP 6.0 y de 2.4 a 2.8°C bajo el RCP 8.5 (Figura 1.1.17-16).



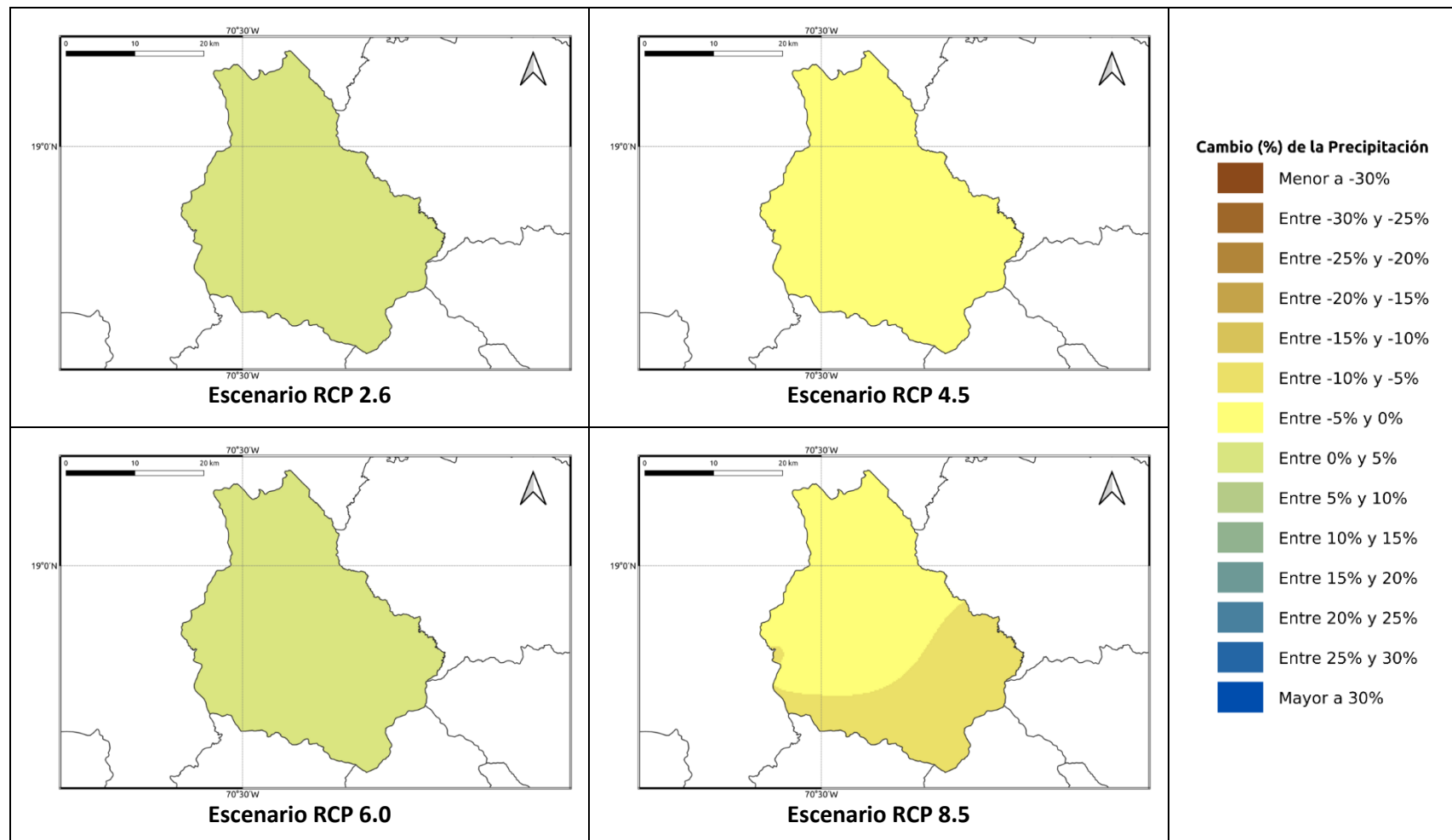
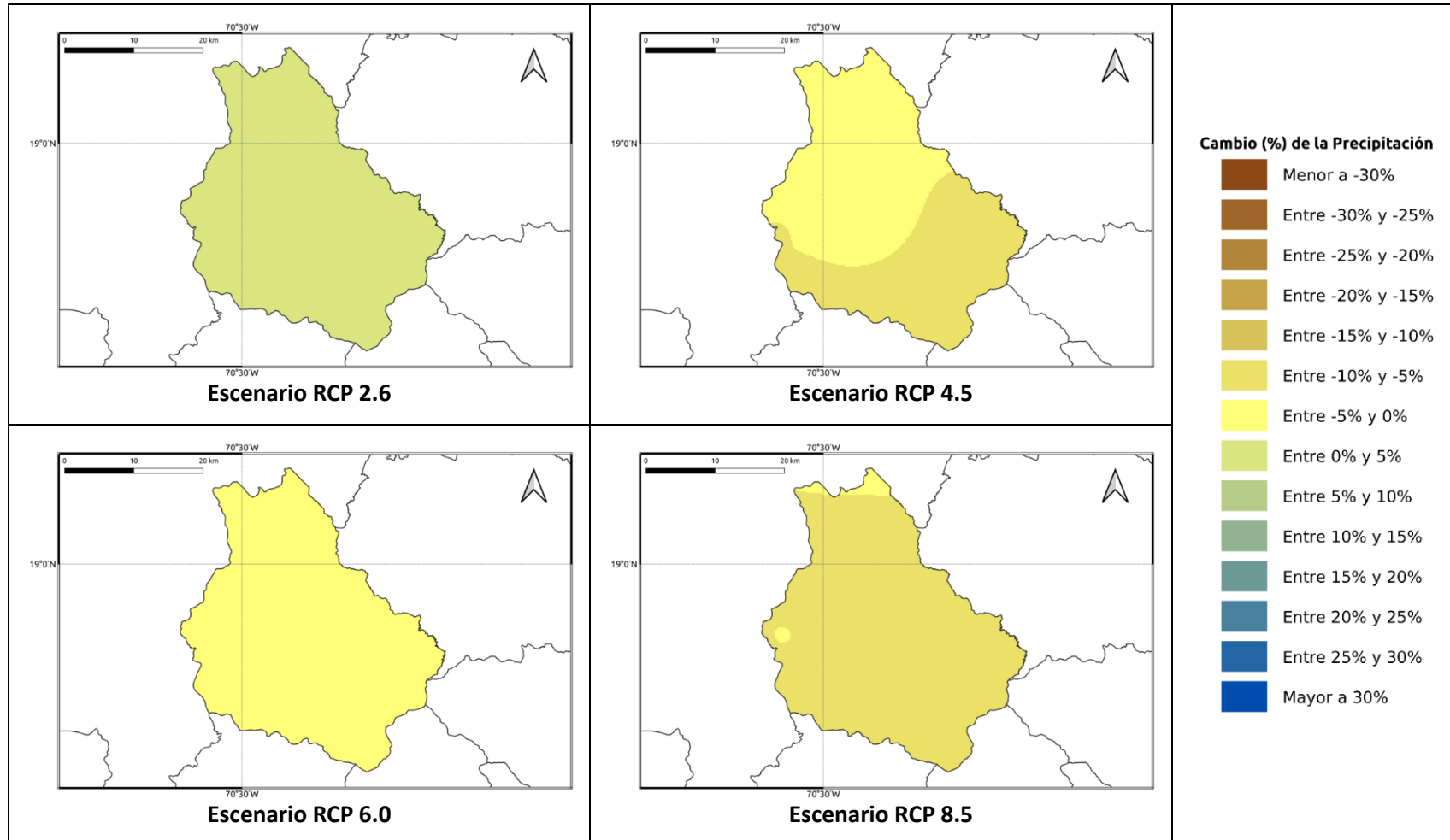
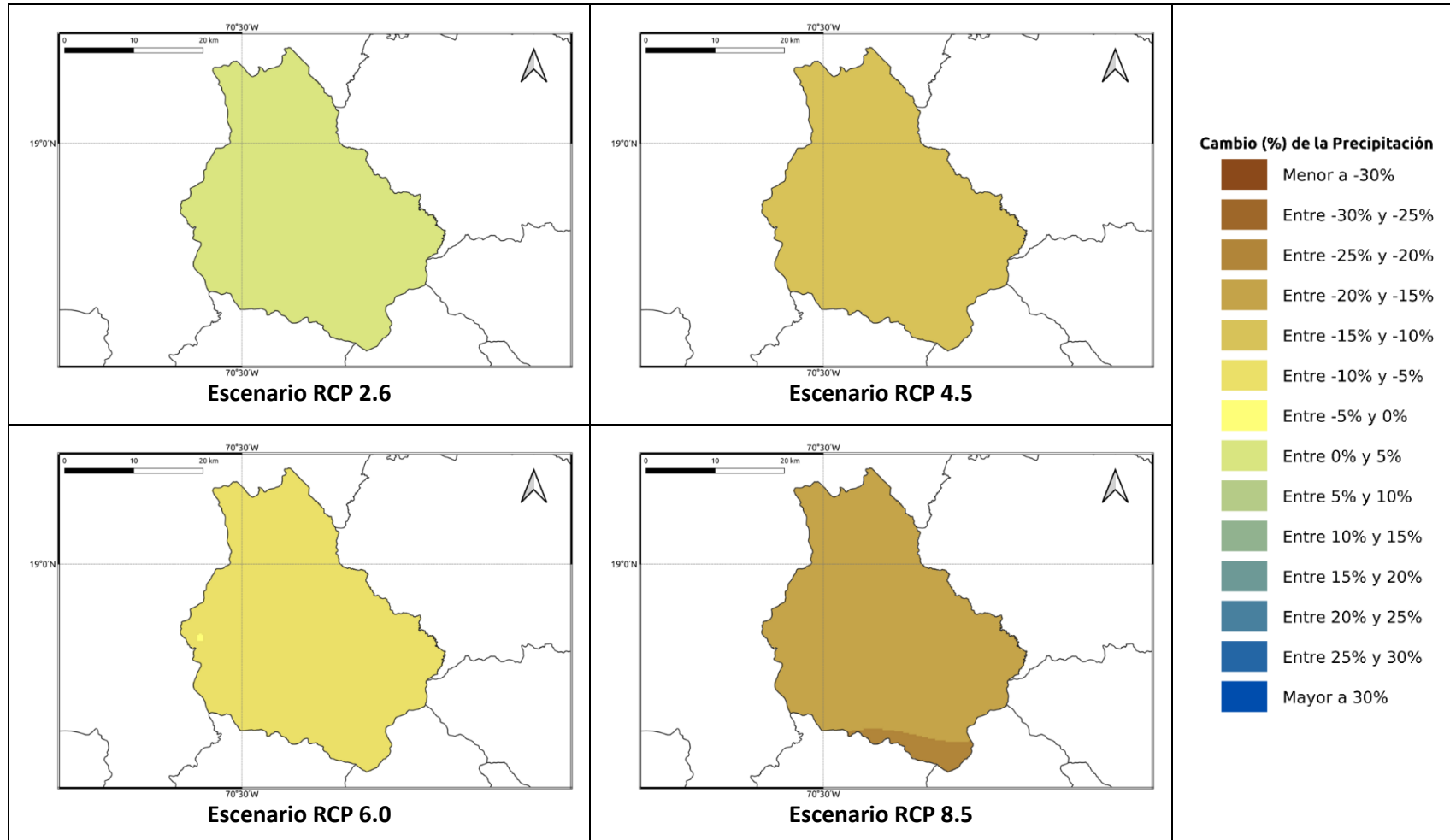


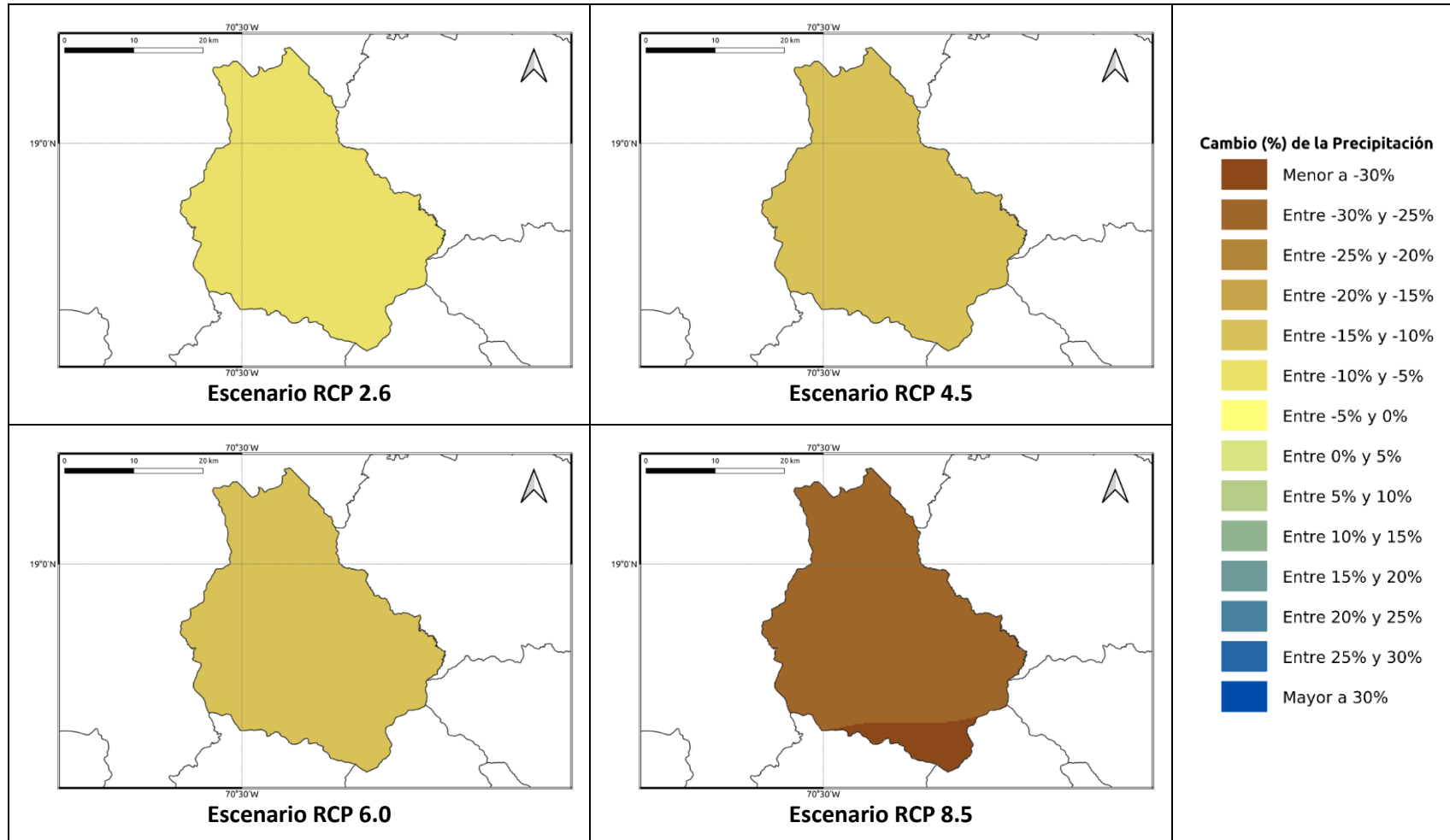
Figura 1.1.17-1. Cambios porcentuales de la precipitación (%) proyectados por el ensamble multimodelo bajo los 4 escenarios RCP en el periodo 2021-2040 para la provincia Monseñor Nouel.



**Figura 1.1.17-2. Cambios porcentuales de la precipitación (%) proyectados por el ensamble multimodelo bajo los 4 escenarios RCP en el periodo 2041-2060 para la provincia Monseñor Nouel.**



**Figura 1.1.17-3. Cambios porcentuales de la precipitación (%) proyectados por el ensamble multimodelo bajo los 4 escenarios RCP en el periodo 2061-2080 para la provincia Monseñor Nouel.**



**Figura 1.1.17-4. Cambios porcentuales de la precipitación (%) proyectados por el ensamble multimodelo bajo los 4 escenarios RCP en el periodo 2081-2100 para la provincia Monseñor Nouel.**

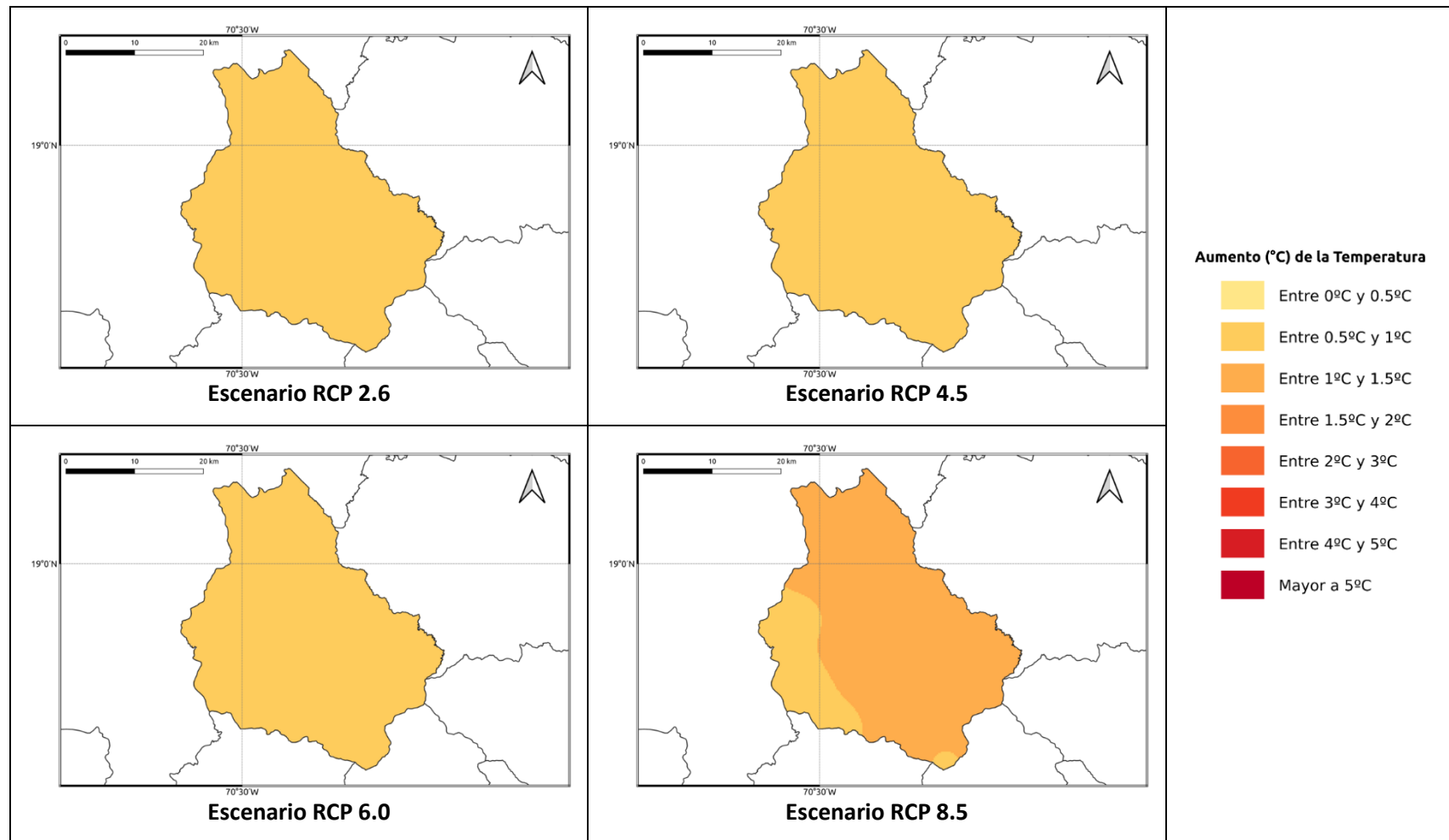
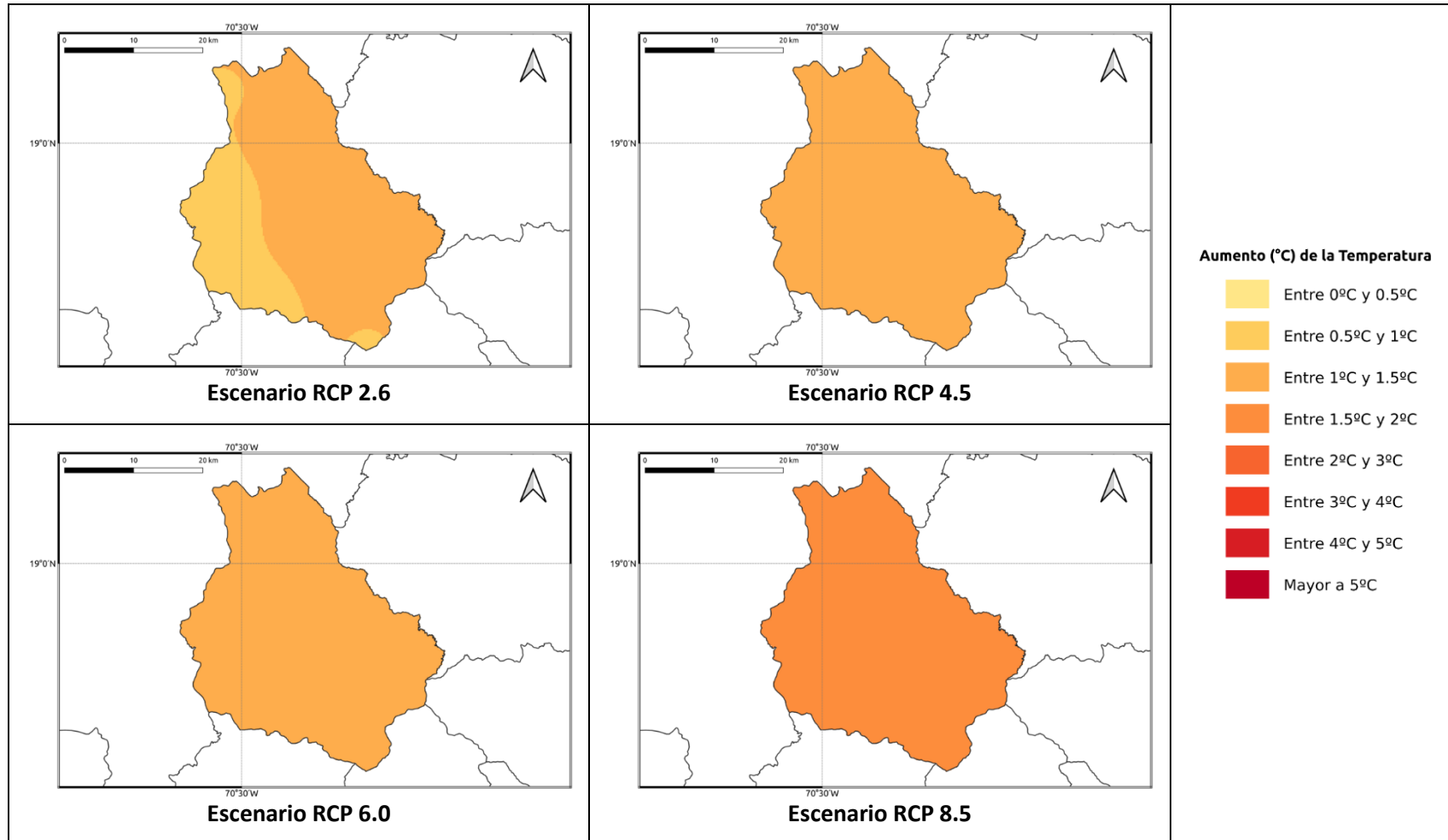
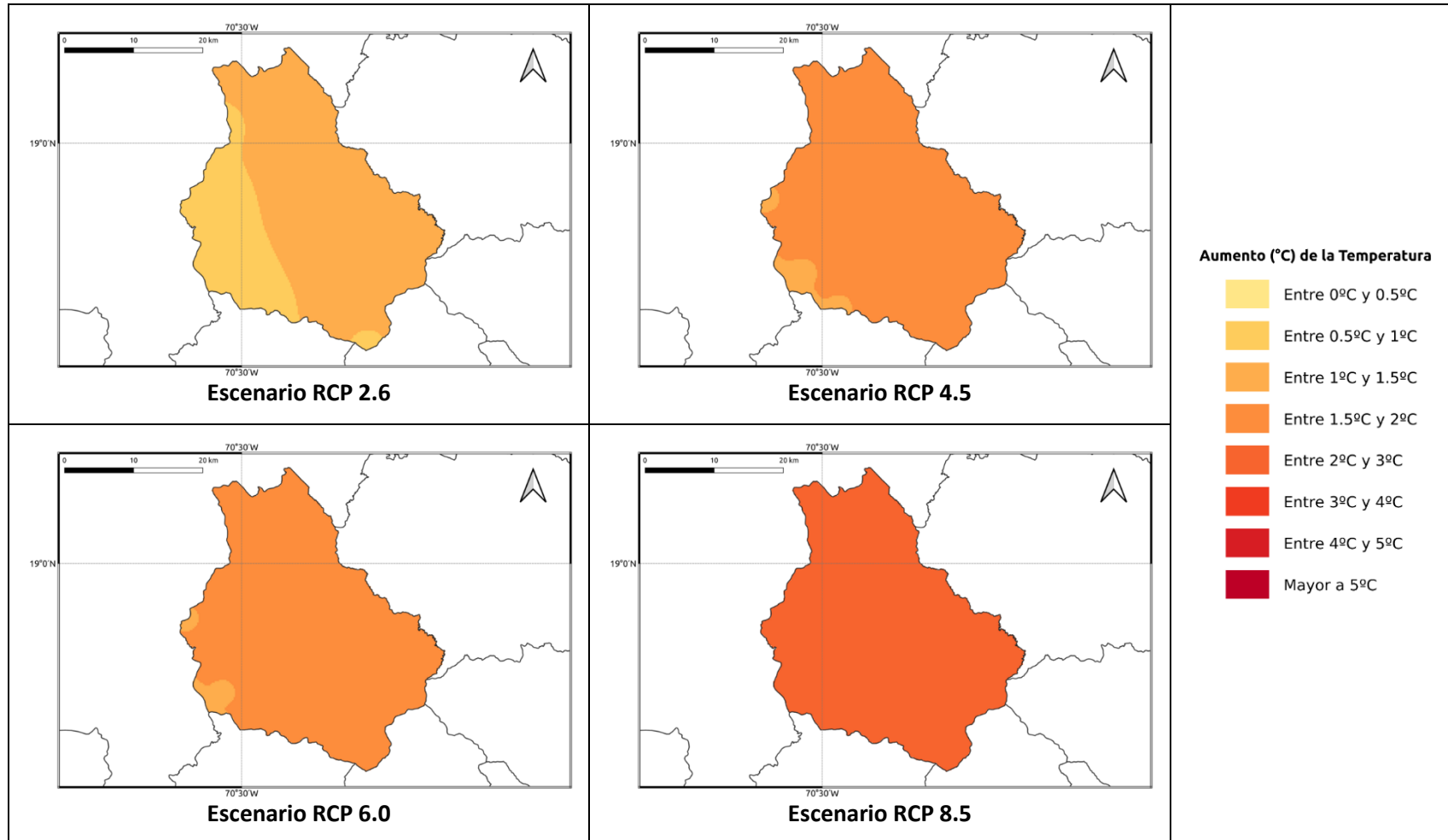


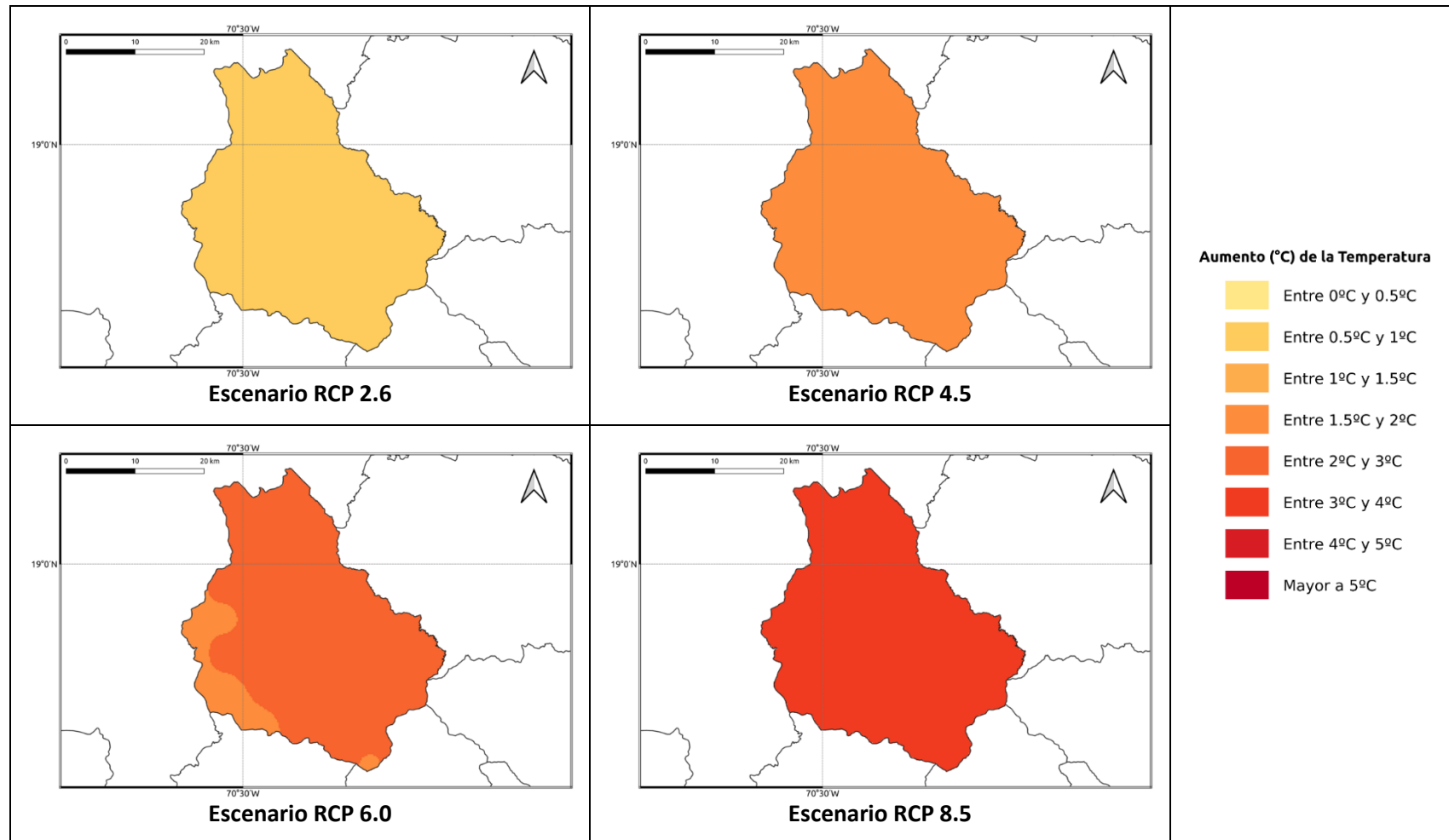
Figura 1.1.17-5. Cambios proyectados en la temperatura máxima ( $^{\circ}\text{C}$ ) por el ensamble multimodelo bajo los 4 escenarios RCP en el periodo 2021-2040 para la provincia Monseñor Nouel.



**Figura 1.1.17-6. Cambios proyectados en la temperatura máxima (°C) por el ensamble multimodelo bajo los 4 escenarios RCP en el periodo 2041-2060 para la provincia Monseñor Nouel.**



**Figura 1.1.17-7. Cambios proyectados en la temperatura máxima (°C) por el ensamble multimodelo bajo los 4 escenarios RCP en el periodo 2061-2080 para la provincia Monseñor Nouel.**



**Figura 1.1.17-8. Cambios proyectados en la temperatura máxima (°C) por el ensamble multimodelo bajo los 4 escenarios RCP en el periodo 2081-2100 para la provincia Monseñor Nouel.**

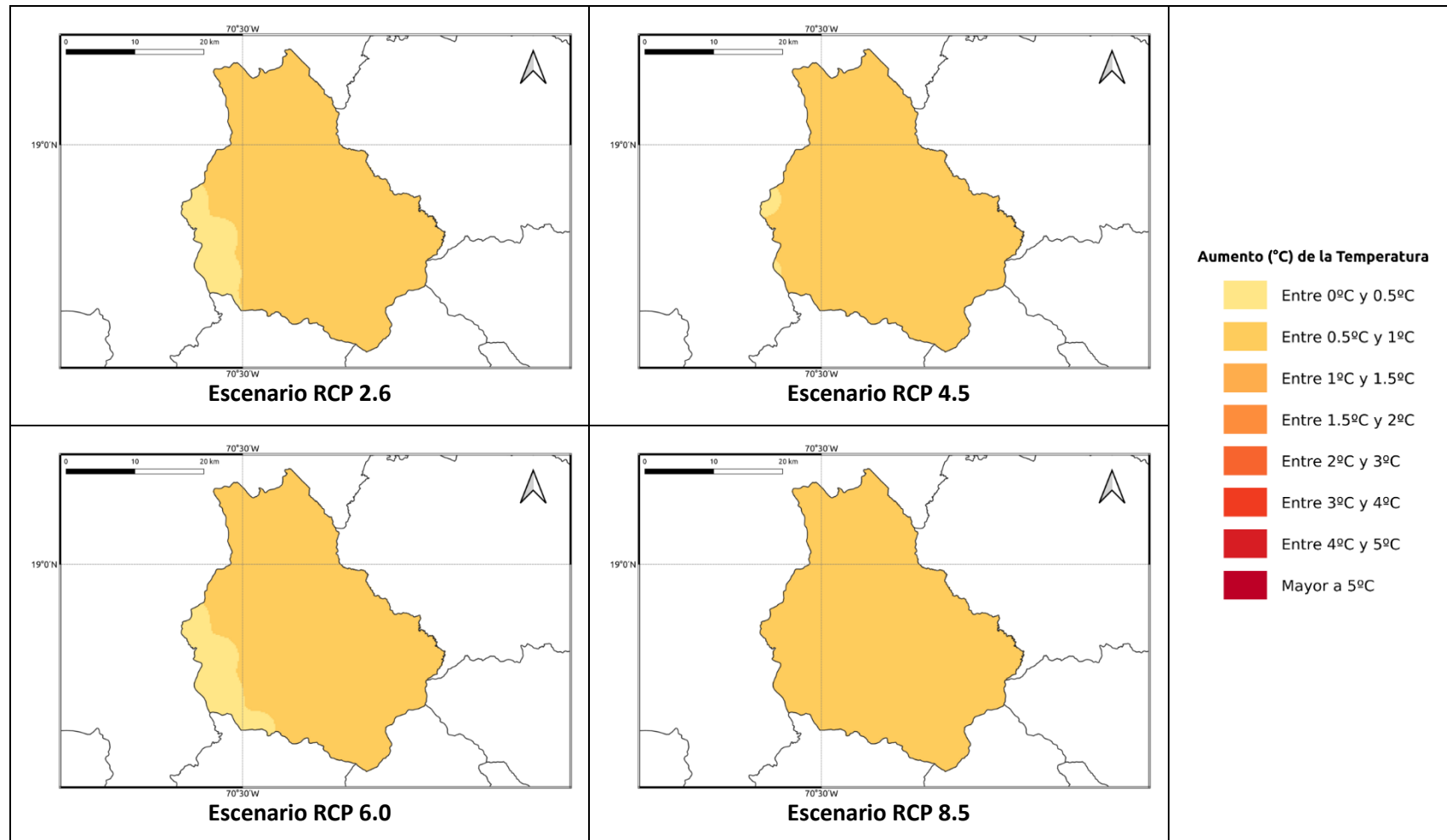


Figura 1.1.17-9. Cambios proyectados en la temperatura mínima (°C) por el ensamble multimodelo bajo los 4 escenarios RCP en el periodo 2021-2040 para la provincia Monseñor Nouel.

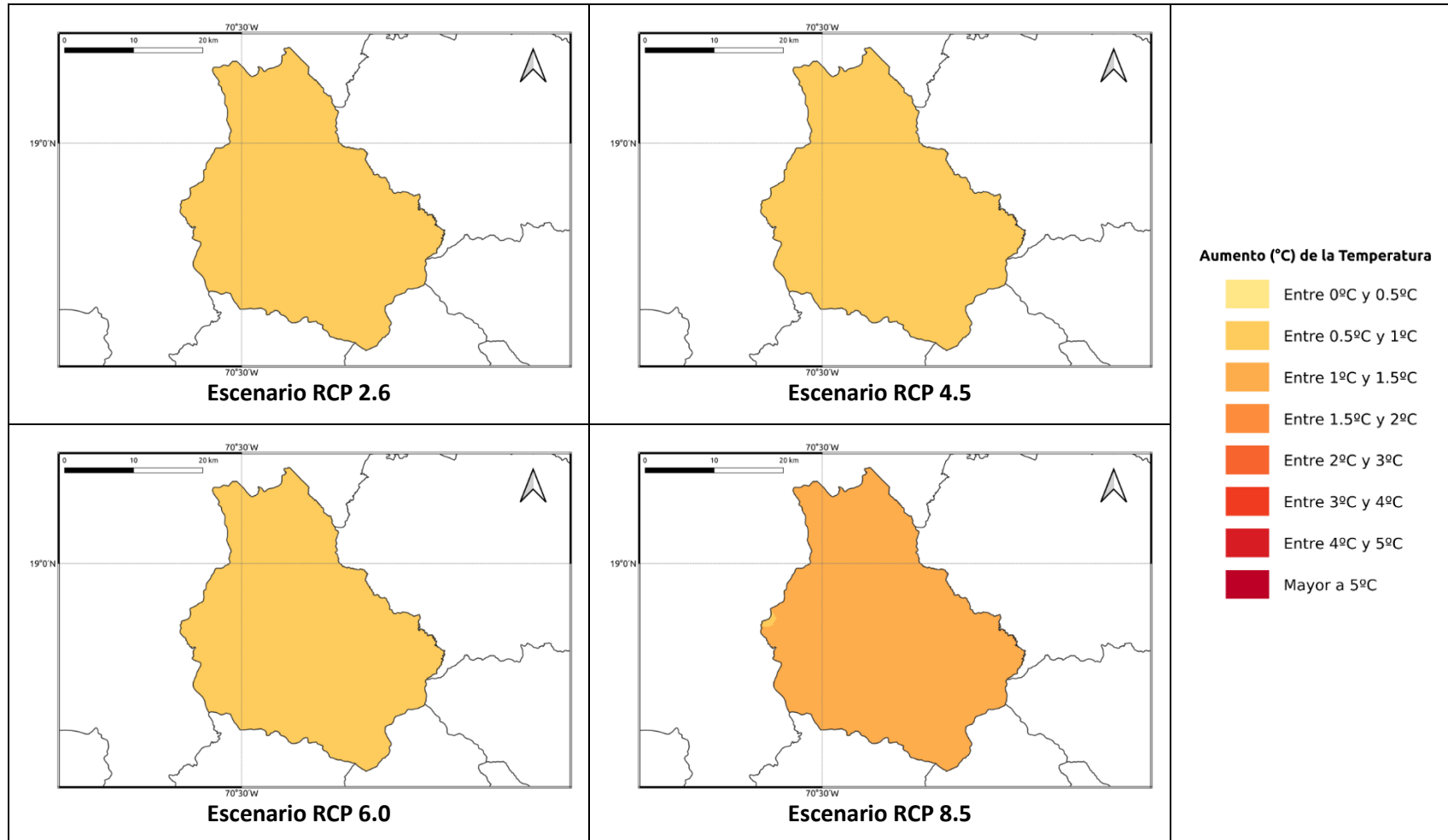


Figura 1.1.17-10. Cambios proyectados en la temperatura mínima (°C) por el ensamble multimodelo bajo los 4 escenarios RCP en el periodo 2041-2060 para la provincia Monseñor Nouel.

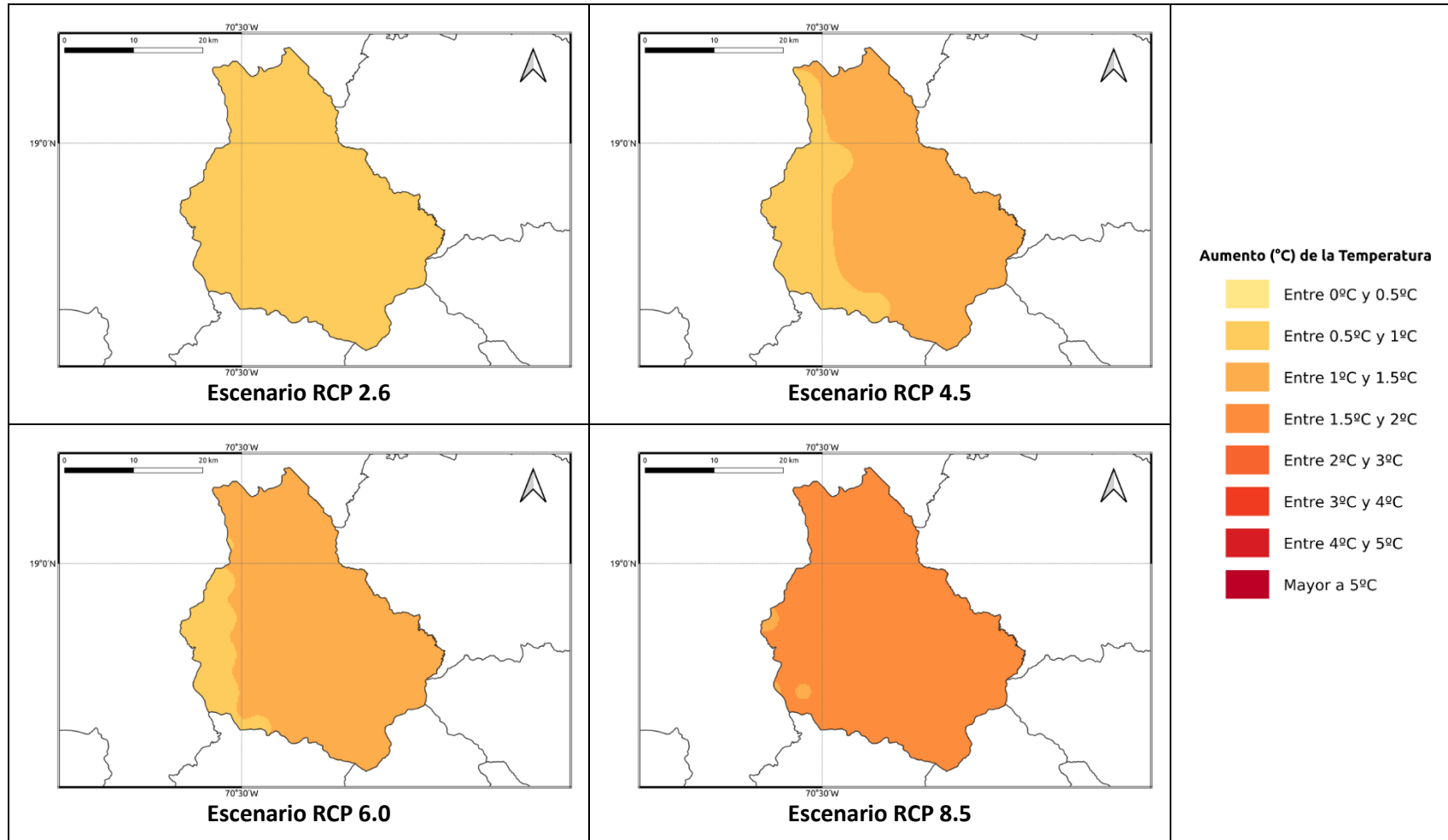


Figura 1.1.17-11. Cambios proyectados en la temperatura mínima (°C) por el ensamble multimodelo bajo los 4 escenarios RCP en el periodo 2061-2080 para la provincia Monseñor Nouel.

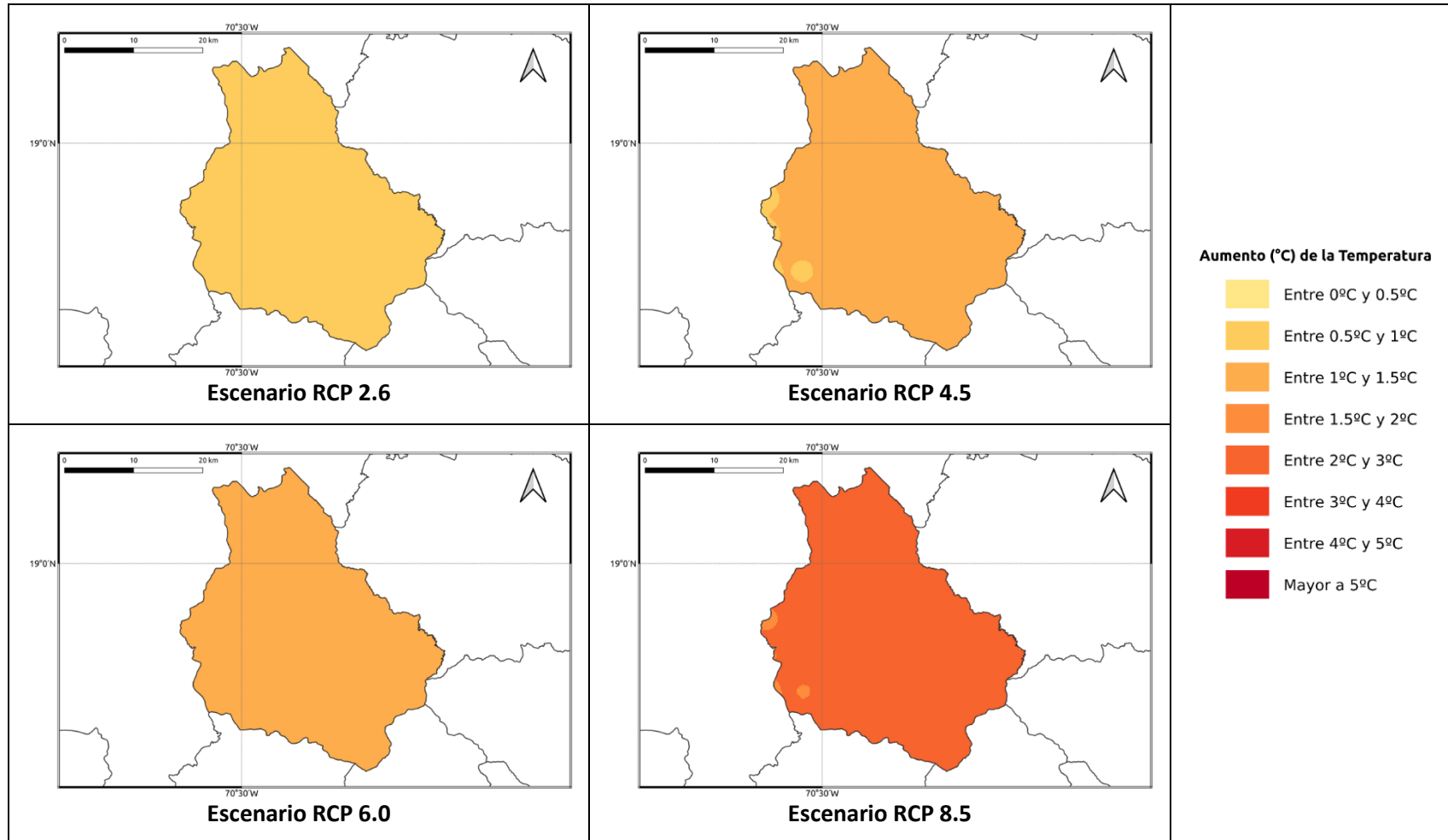


Figura 1.1.17-12. Cambios proyectados en la temperatura mínima (°C) por el ensamble multimodelo bajo los 4 escenarios RCP en el periodo 2081-2100 para la provincia Monseñor Nouel.

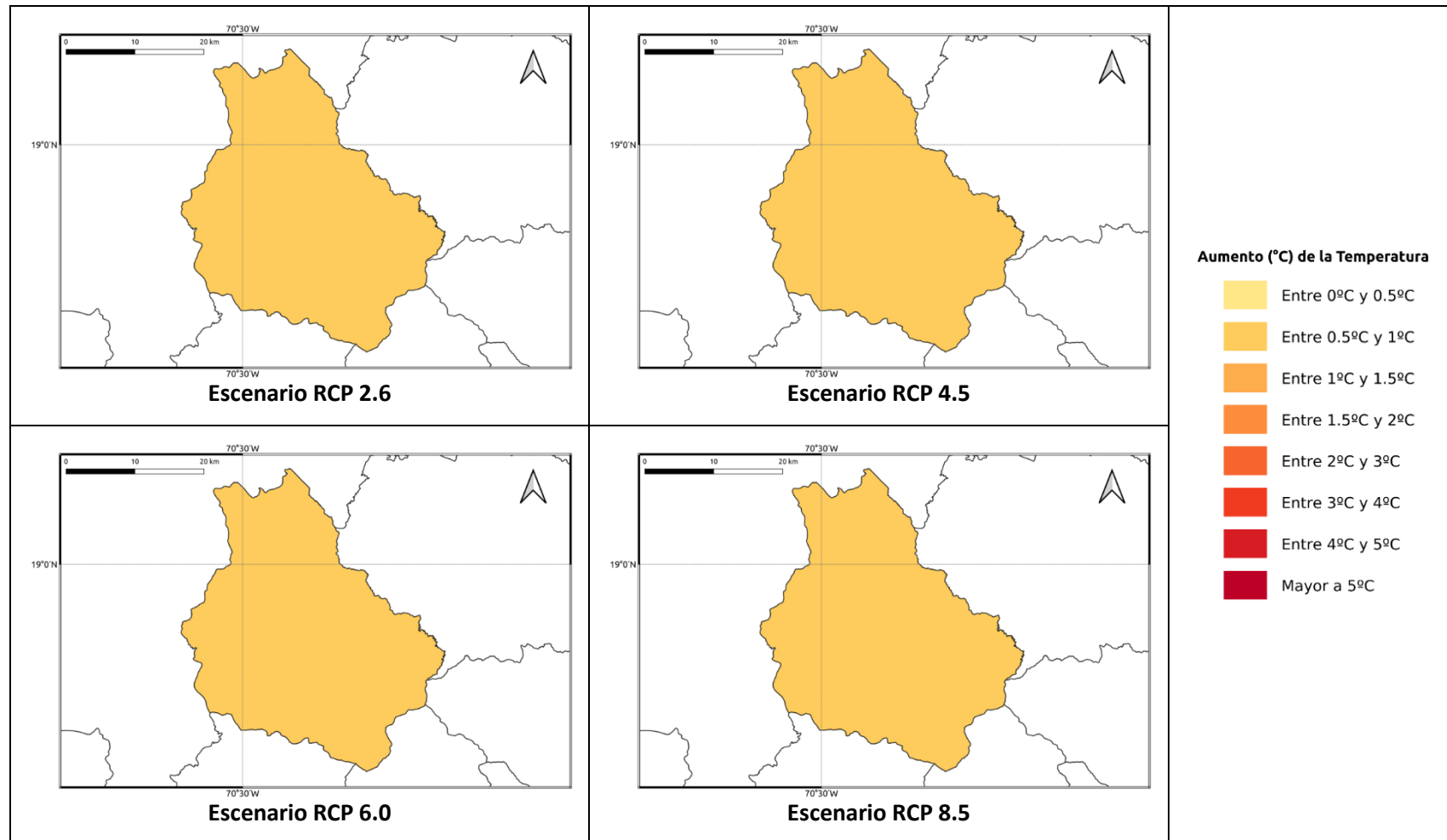
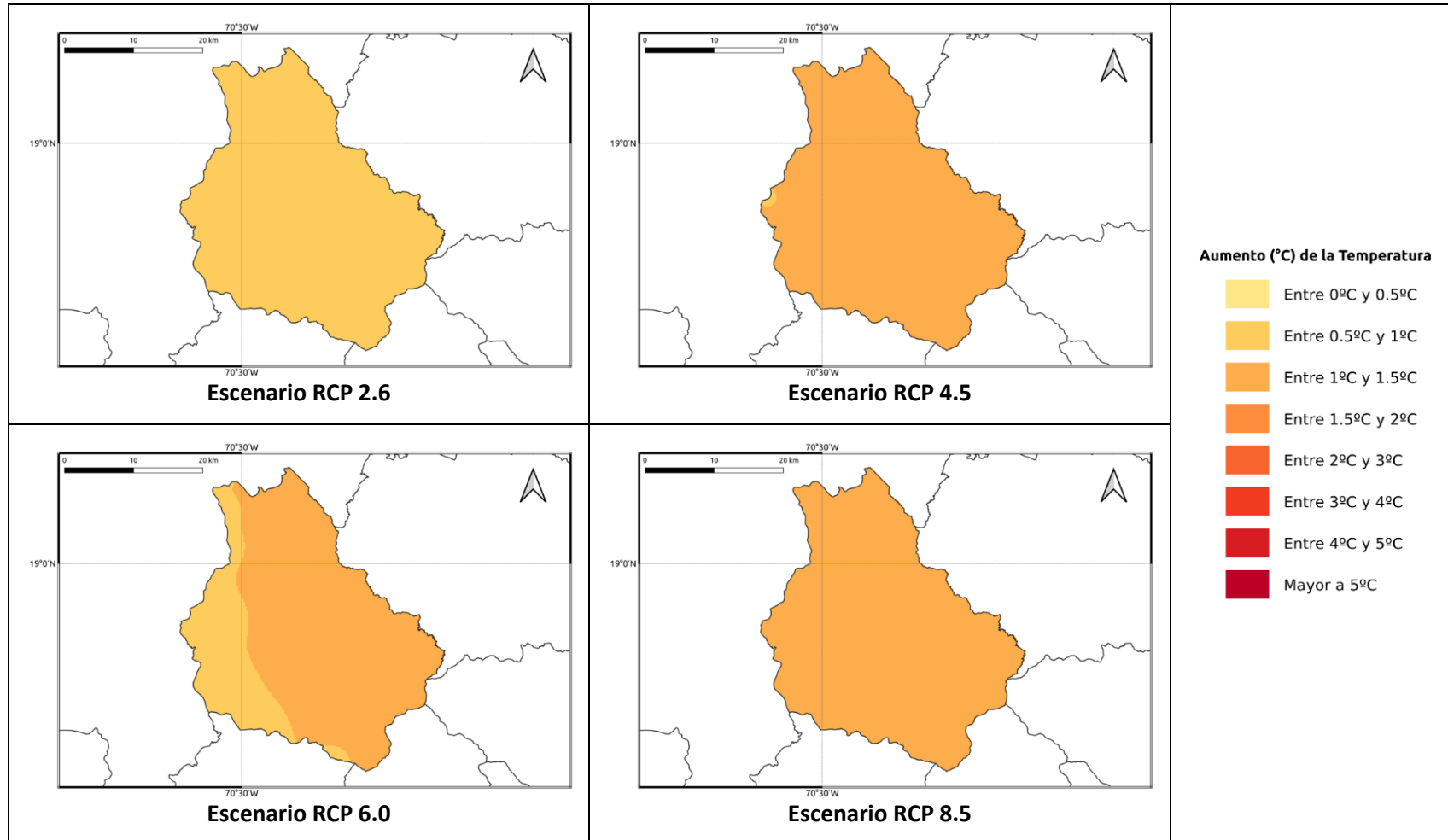
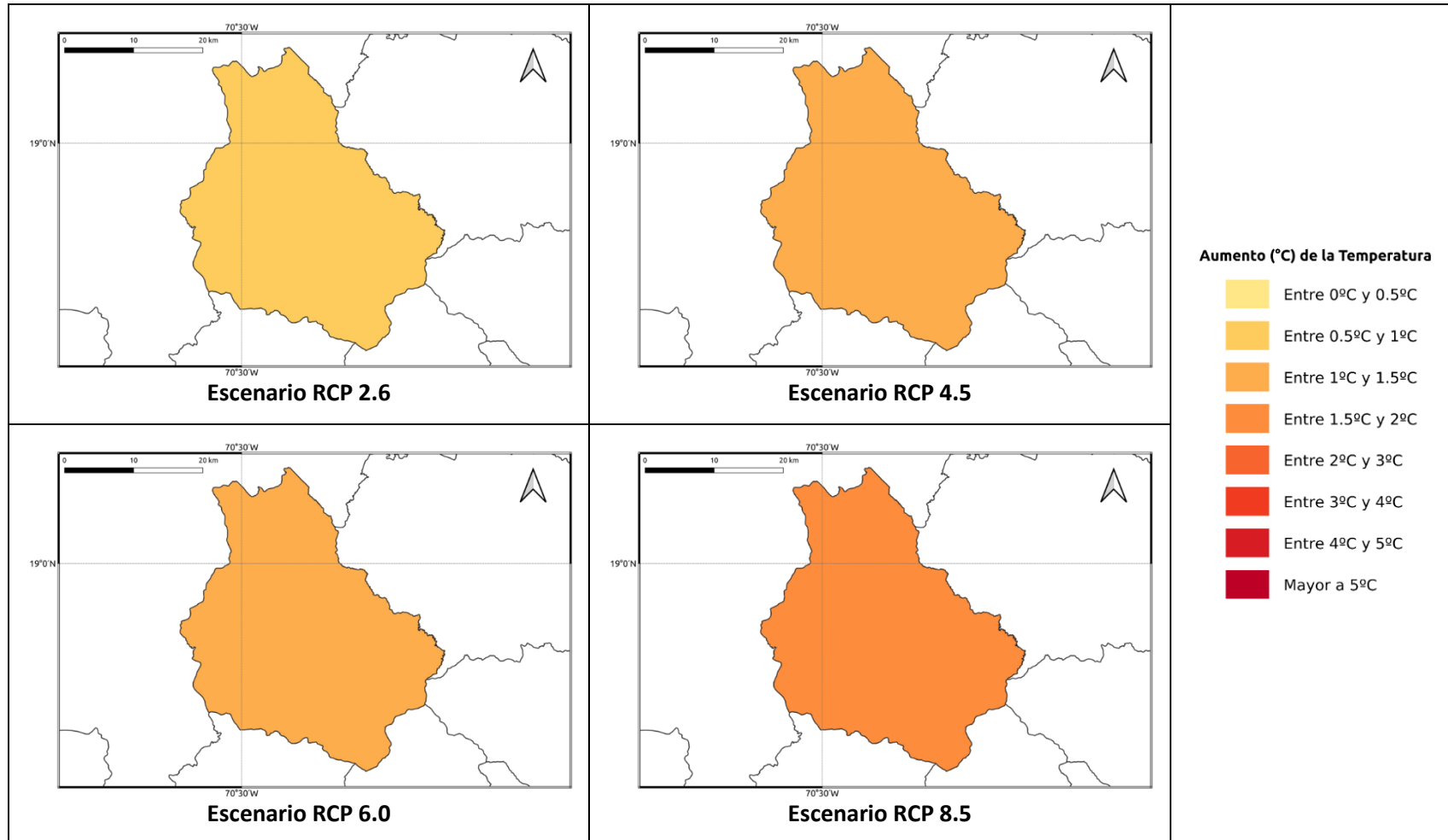


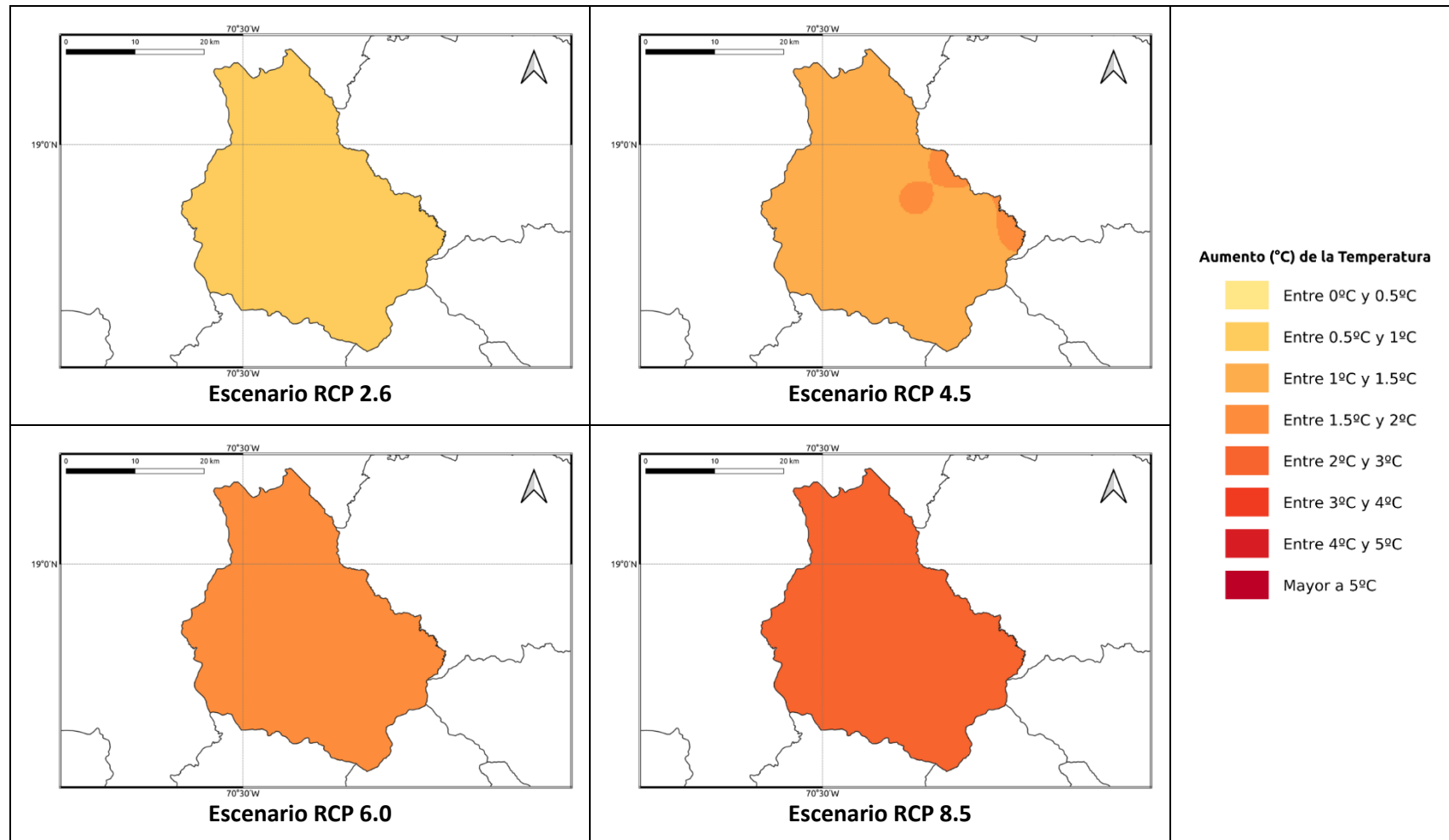
Figura 1.1.17-13. Cambios proyectados en la temperatura media (°C) por el ensamble multimodelo bajo los 4 escenarios RCP en el periodo 2021-2040 para la provincia Monseñor Nouel.



**Figura 1.1.17-14. Cambios proyectados en la temperatura media (°C) por el ensamble multimodelo bajo los 4 escenarios RCP en el periodo 2041-2060 para la provincia Monseñor Nouel.**



**Figura 1.1.17-15. Cambios proyectados en la temperatura media (°C) por el ensamble multimodelo bajo los 4 escenarios RCP en el periodo 2061-2080 para la provincia Monseñor Nouel.**



**Figura 1.1.17-16. Cambios proyectados en la temperatura media (°C) por el ensamble multimodelo bajo los 4 escenarios RCP en el periodo 2081-2100 para la provincia Monseñor Nouel.**

### **1.1.18 PROVINCIA MONTE CRISTI**

A continuación, se presenta el análisis espacial de los cambios de las variables climáticas a nivel anual para la provincia **Monte Cristi**. Los cambios a nivel estacional (trimestral) se pueden consultar en el Anexo 19.

#### *Precipitación*

Para esta variable, en el periodo de corto plazo 2021-2040 se presentarían cambios dentro del rango normal de variabilidad (del orden del 5%), con aumentos de esta magnitud bajo los escenarios RCP 2.6 y 6.0 en la mayor parte de la provincia, y reducciones en la zona central de la misma bajo el RCP 2.6. En los escenarios RCP 4.5 y 8.5 se darían reducciones de la misma magnitud, y dándose disminuciones del 8% en la parte suroccidental de la provincia bajo el último escenario (Figura 1.1.18-1). Para el siguiente periodo (2041-2060), bajo el RCP 2.6 se mantiene el aumento de la precipitación del orden del 5% en la mayor parte de la provincia, y en los demás escenarios la tendencia sería a la reducción de la precipitación entre un 4-9% (Figura 1.1.18-2). Para el periodo 2061-2080, en el RCP 2.6 se mantendrían los incrementos del 5%, y bajo los otros escenarios se darían reducciones de la precipitación, del orden del 12-17% bajo el RCP 4.5, entre 4-9% bajo el RCP 6.0 y del 14-19% bajo el RCP 8.5 (Figura 1.1.18-3). Por último, para finales de siglo bajo los 4 escenarios se presentarían reducciones de la precipitación, siendo las de menor magnitud bajo el RCP 2.6 (entre 6-8%) y las más altas bajo el RCP 8.5, con reducciones entre 25 y 28% (Figura 1.1.18-4).

#### *Temperatura Máxima*

La temperatura máxima presentaría incrementos bajo los 4 RCP en todos los periodos analizados. En el periodo de corto plazo (2021-2040) la temperatura aumentaría entre 0.7 y 1.3°C, con aumentos de más de 1°C bajo el RCP 8.5 (Figura 1.1.18-5). Para 2041-2060, los aumentos serían de 1.1 a 1.4°C bajo los primeros 3 RCP (2.6, 4.5 y 6.0), y de 1.5 a 1.8°C bajo el RCP 8.5 (Figura 1.1.18-6). En el periodo 2061-2080 los aumentos serían de 1.1 a 2.4°C, manteniéndose el incremento de 1.1 a 1.4°C bajo el RCP 2.6, siendo de 1.4 a 1.8°C bajo los RCP 4.5 y 6.0 y de 2.6°C bajo el RCP 8.5 (Figura 1.1.18-7). Para finales de siglo, los aumentos serían de 0.7 a 1.4°C bajo el RCP 2.6 (dándose los mayores aumentos al occidente de la provincia), de 1.7 a 1.9°C bajo el RCP 4.5, de 2.1 a 2.4°C bajo el RCP 6.0 y de 3.2 a 3.8°C bajo el RCP 8.5 (Figura 1.1.18-8).

#### *Temperatura Mínima*

En el primer periodo (2021-2040), ésta se incrementaría de 0.3 a 0.8°C en los 4 escenarios RCP (Figura 1.1.18-9). Para 2041-2060 aumentaría de 0.7 a 0.9°C en los 3



primeros escenarios (aunque bajo los RCP 4.5 y 6.0 habría incrementos de 1.1°C hacia el occidente de la provincia), y bajo el RCP 8.5 habría aumentos de 1.3°C (Figura 1.1.18-10). En el periodo 2061-2080 la temperatura mínima se incrementaría entre 0.6 y 0.8°C bajo el RCP 2.6, entre 1.1 y 1.4°C bajo los RCP 4.5 y 6.0 y entre 1.7 y 2.2°C bajo el RCP 8.5, dándose los mayores aumentos hacia el occidente de la provincia (Figura 1.1.18-11). Por último, para finales de siglo se mantendría un aumento de 0.8°C en el RCP 2.6, entre 1.1 y 1.4°C bajo el RCP 4.5, entre 1.4 y 1.8°C bajo el RCP 6.0 y de 2.2 a 2.6°C bajo el RCP 8.5 (Figura 1.1.18-12).

#### *Temperatura Media*

La temperatura media se incrementaría entre 0.6 y 0.8°C en el periodo 2021-2040 bajo los 4 escenarios RCP (Figura 1.1.18-13). En el periodo 2041-2060 se mantendría este mismo rango bajo el RCP 2.6, y en los otros 3 escenarios aumentaría de 1.1 a 1.7°C, con los mayores incrementos hacia el occidente de la provincia bajo el RCP 8.5 (Figura 1.1.18-14). Para 2061-2080 la temperatura media aumentaría de 0.7 a 0.8°C bajo el RCP 2.6, de 1.3 a 1.5°C bajo los RCP 4.5 y 6.0 y de 1.7 a 2.4°C bajo el RCP 8.5, con los incrementos más altos en el occidente de la provincia en estos últimos 3 escenarios (Figura 1.1.18-15). Finalmente, para el periodo 2081-2100 la temperatura subiría entre 0.6 y 0.8°C bajo el RCP 2.6, entre 1.5 y 1.7°C bajo el RCP 4.5, de 1.6 a 2.2°C bajo el RCP 6.0 (con los aumentos más altos hacia el occidente de la provincia), y de 2.4 a 2.8°C bajo el RCP 8.5 (Figura 1.1.18-16).

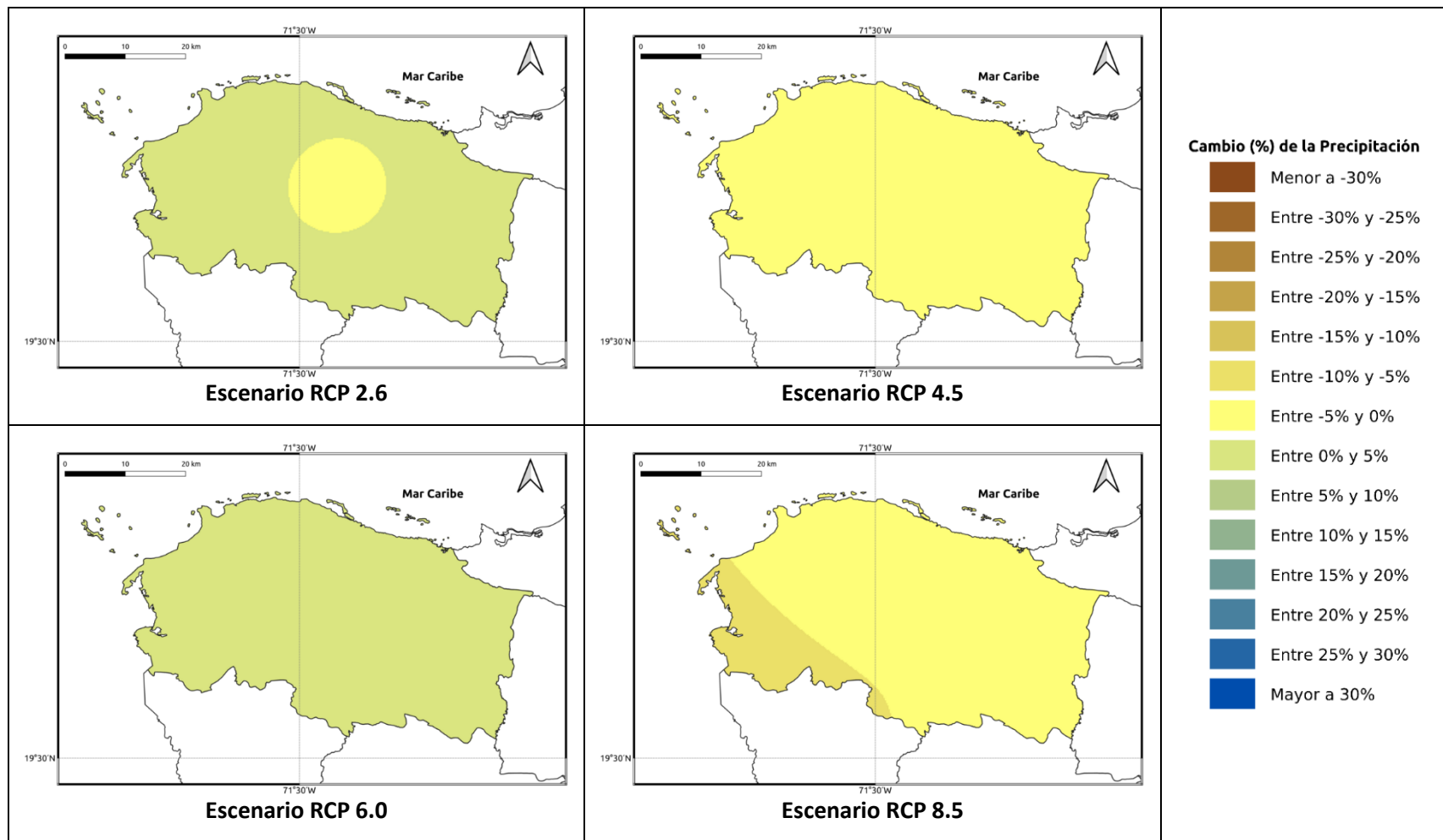


Figura 1.1.18-1. Cambios porcentuales de la precipitación (%) proyectados por el ensamble multimodelo bajo los 4 escenarios RCP en el periodo 2021-2040 para la provincia Monte Cristi.

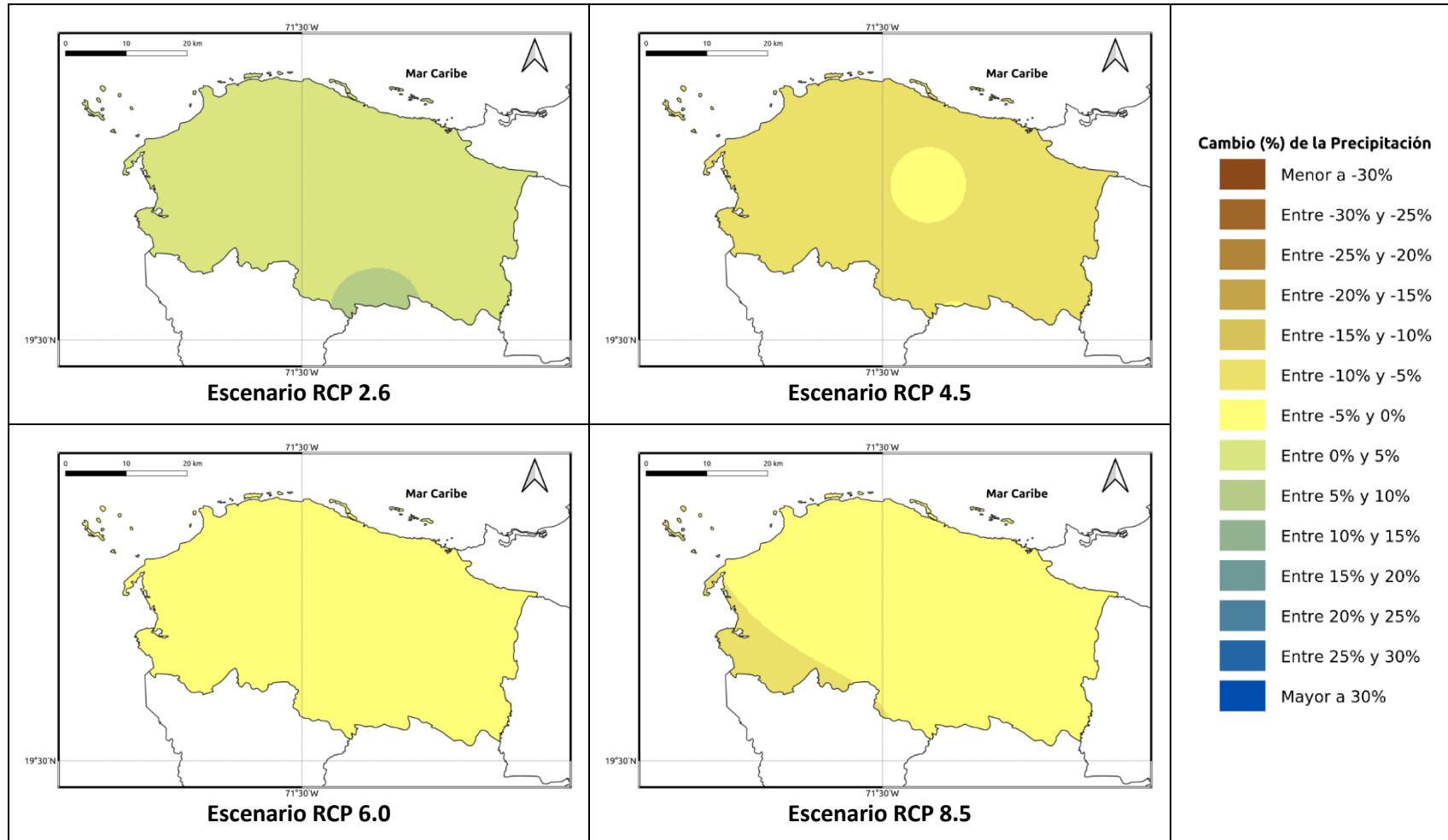


Figura 1.1.18-2. Cambios porcentuales de la precipitación (%) proyectados por el ensamble multimodelo bajo los 4 escenarios RCP en el periodo 2041-2060 para la provincia Monte Cristi.

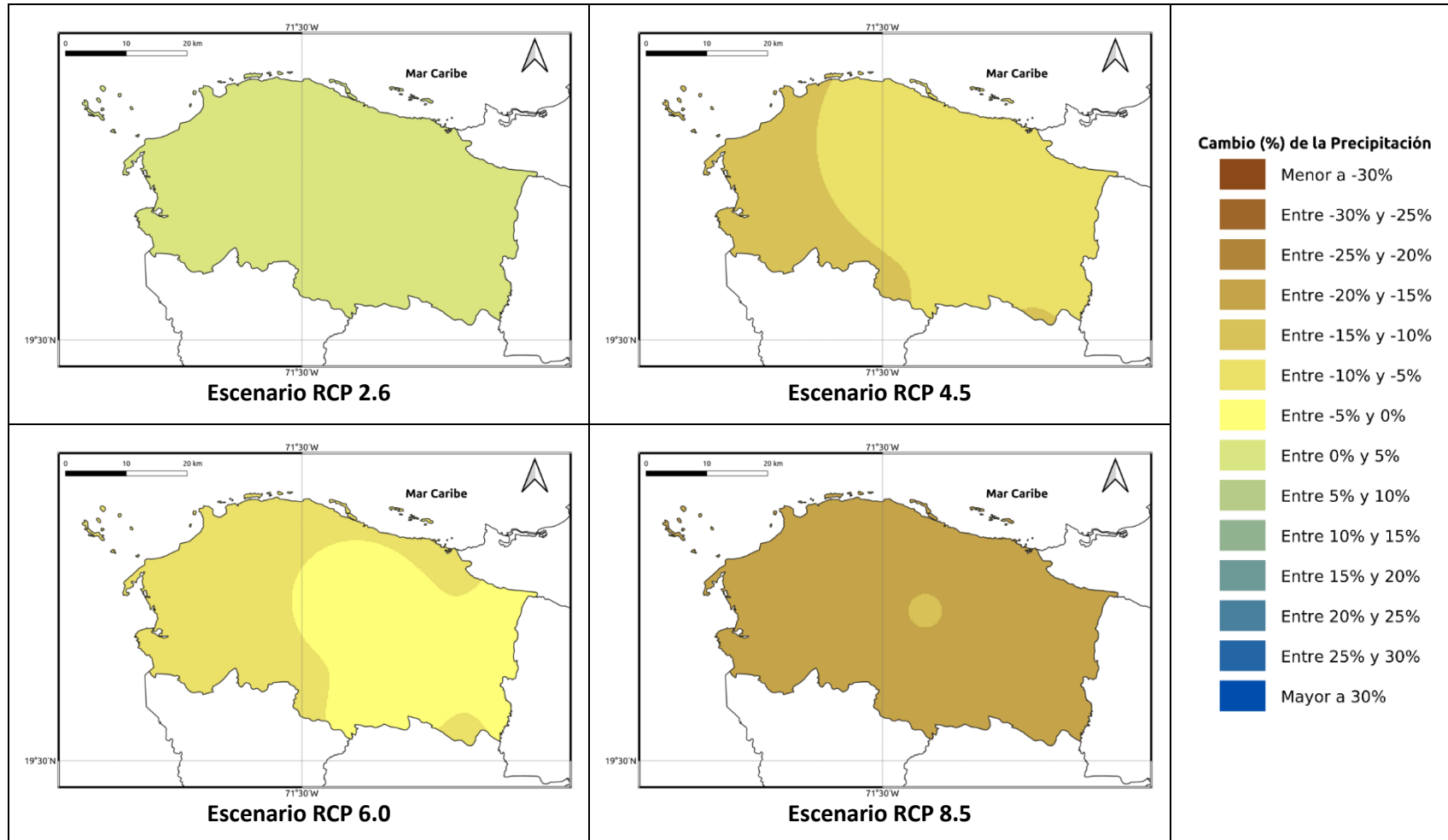


Figura 1.1.18-3. Cambios porcentuales de la precipitación (%) proyectados por el ensamble multimodelo bajo los 4 escenarios RCP en el periodo 2061-2080 para la provincia Monte Cristi.

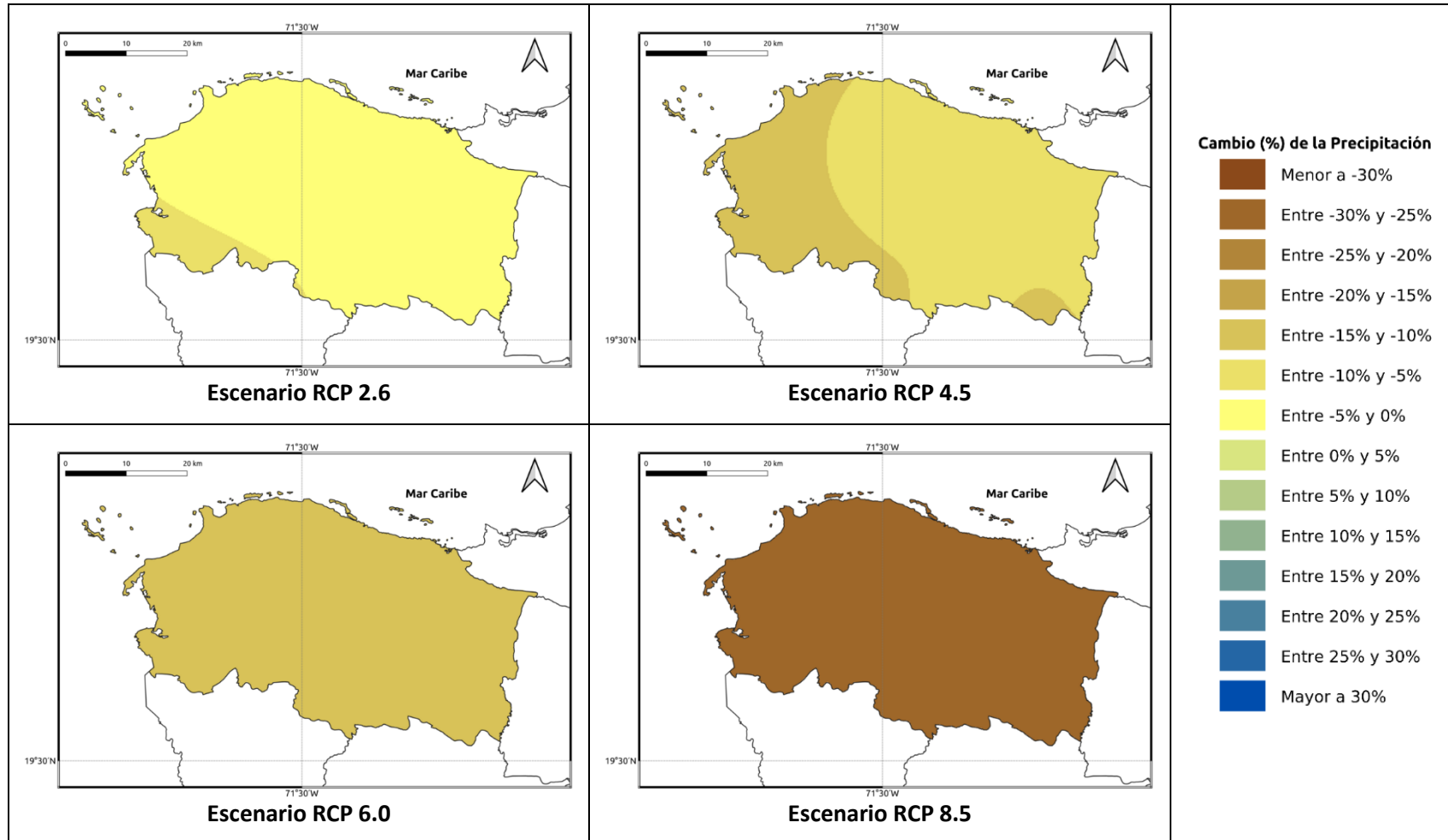


Figura 1.1.18-4. Cambios porcentuales de la precipitación (%) proyectados por el ensamble multimodelo bajo los 4 escenarios RCP en el periodo 2081-2100 para la provincia Monte Cristi.

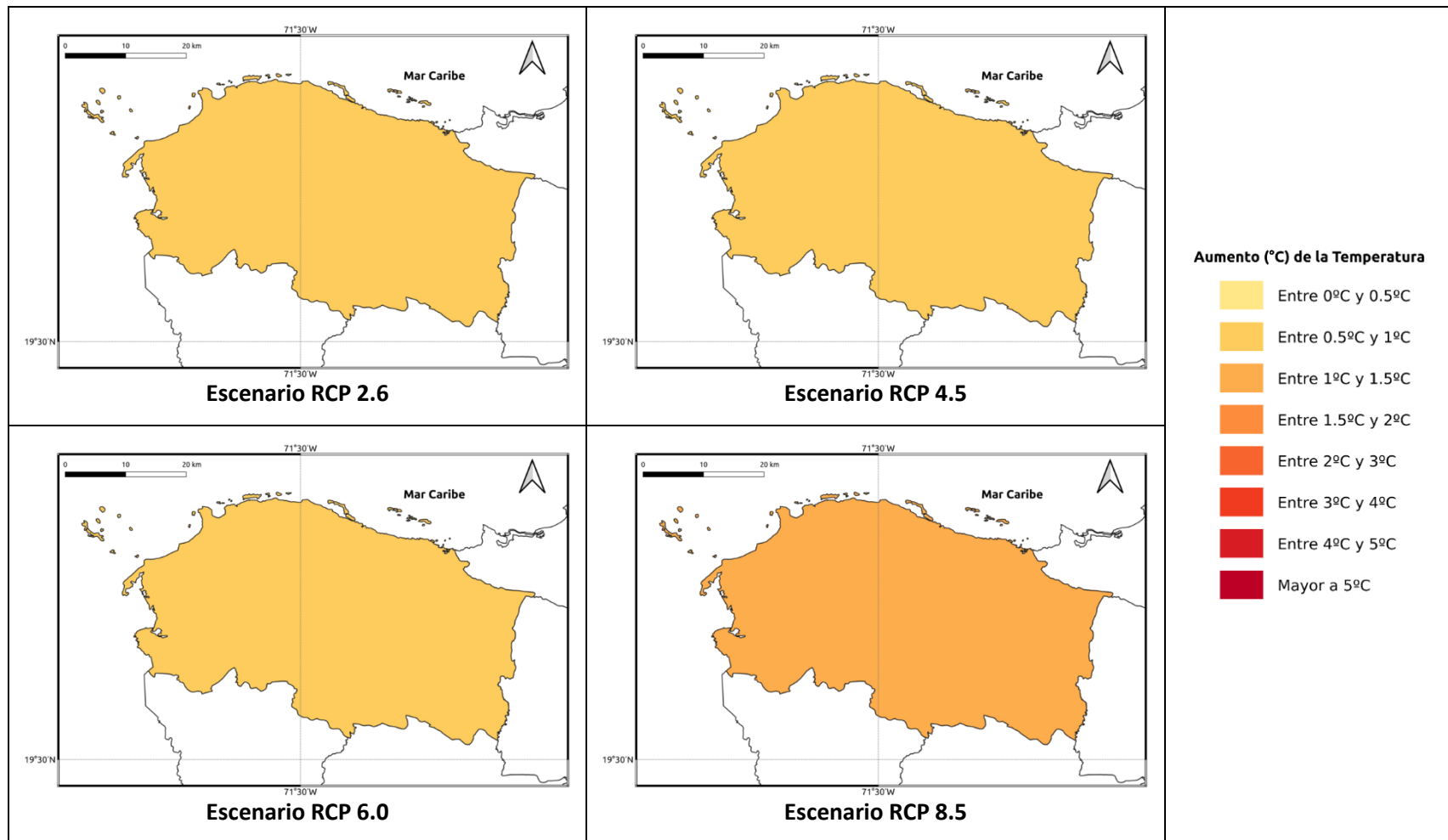


Figura 1.1.18-5. Cambios proyectados en la temperatura máxima (°C) por el ensamble multimodelo bajo los 4 escenarios RCP en el periodo 2021-2040 para la provincia Monte Cristi.

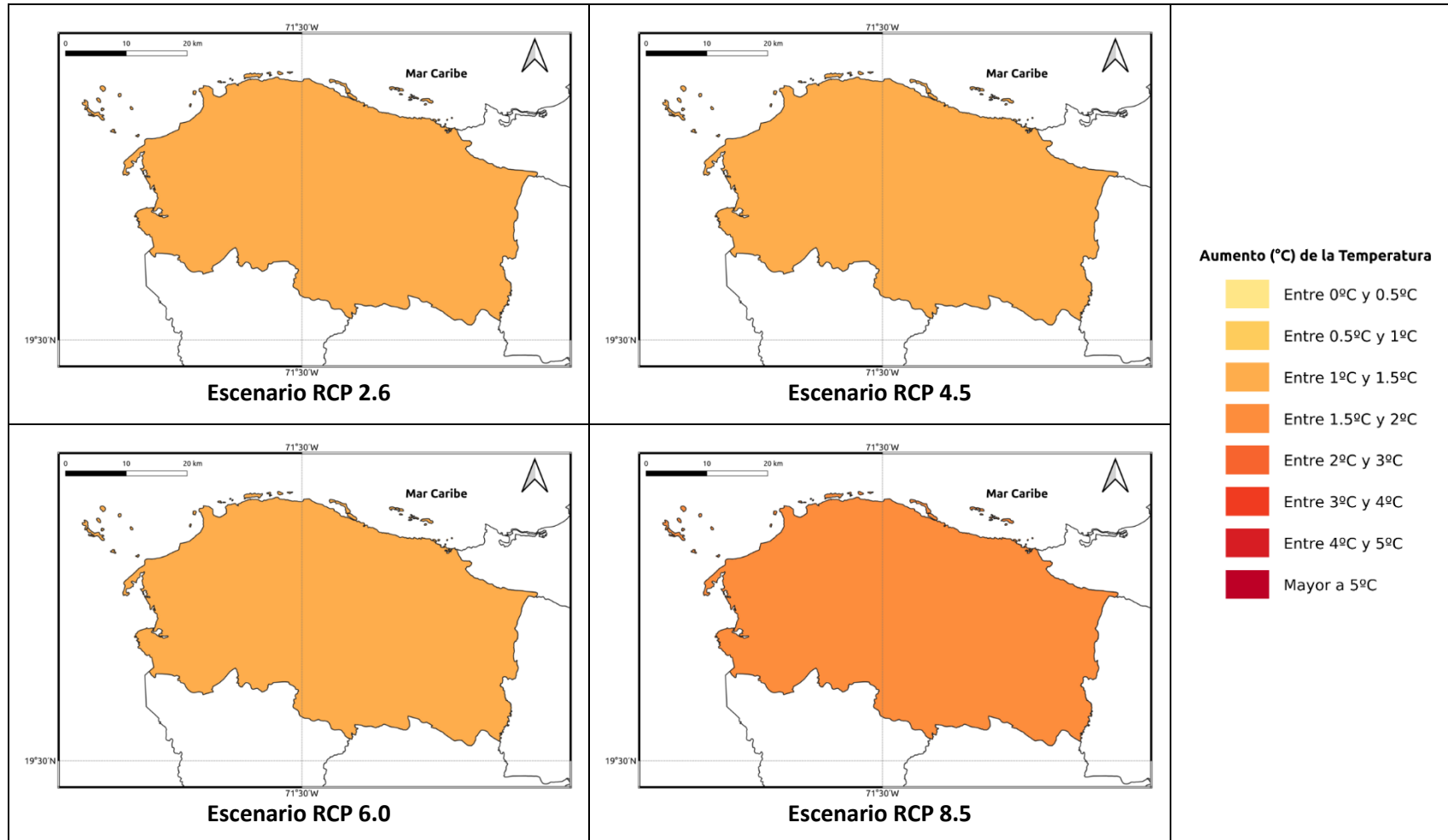


Figura 1.1.18-6. Cambios proyectados en la temperatura máxima (°C) por el ensamble multimodelo bajo los 4 escenarios RCP en el periodo 2041-2060 para la provincia Monte Cristi.

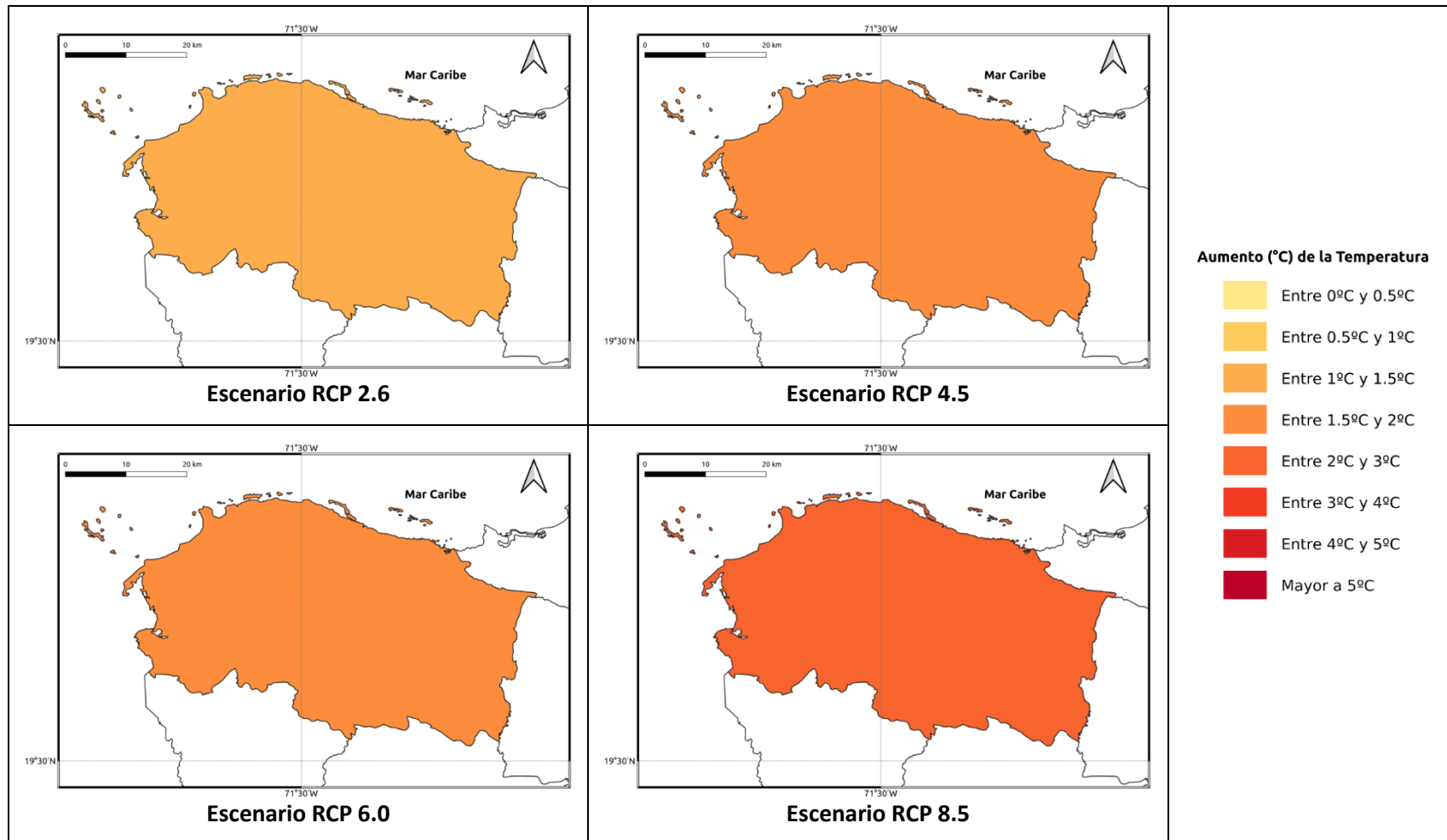


Figura 1.1.18-7. Cambios proyectados en la temperatura máxima (°C) por el ensamble multimodelo bajo los 4 escenarios RCP en el periodo 2061-2080 para la provincia Monte Cristi.

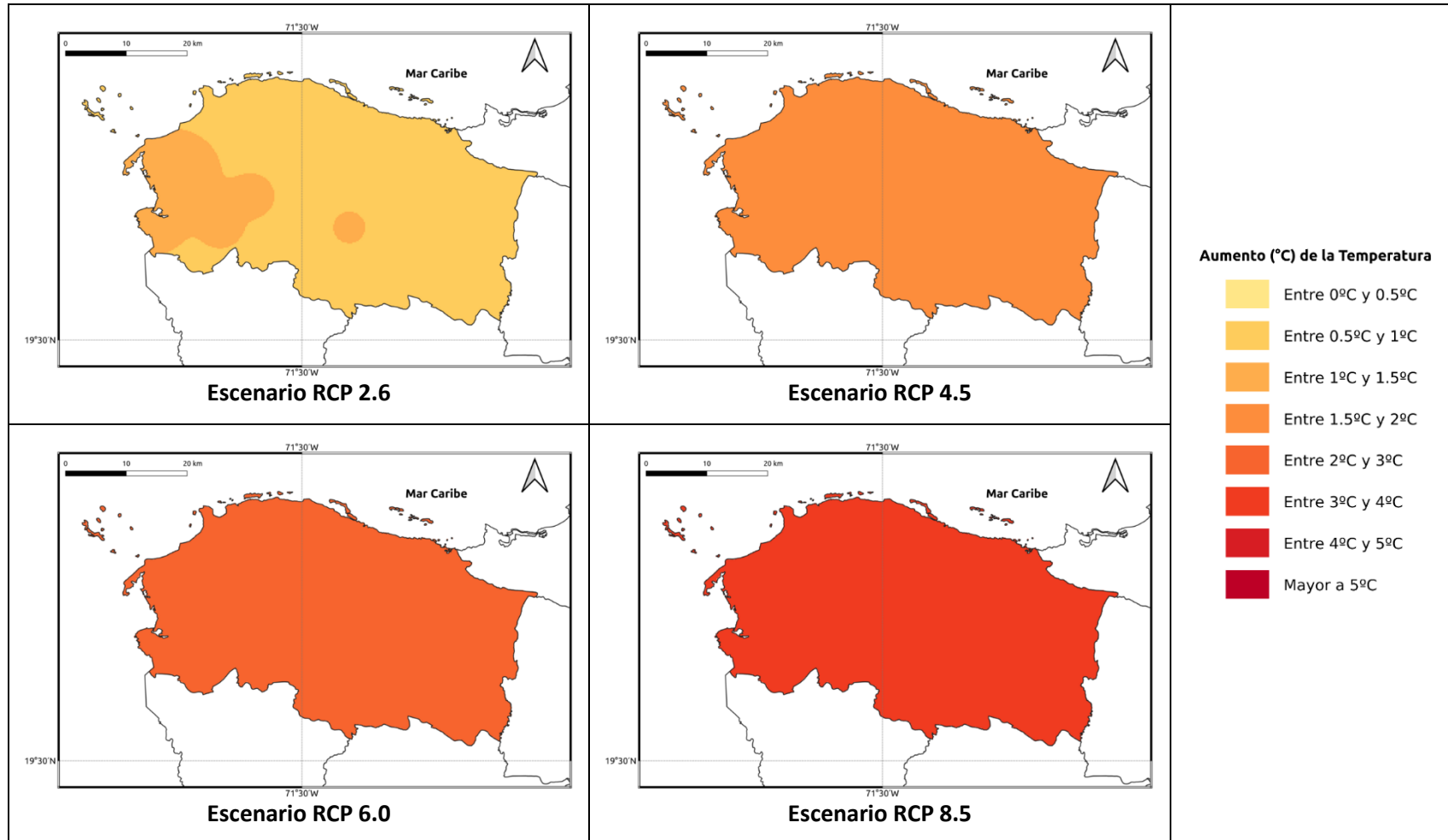


Figura 1.1.18-8. Cambios proyectados en la temperatura máxima (°C) por el ensamble multimodelo bajo los 4 escenarios RCP en el periodo 2081-2100 para la provincia Monte Cristi.

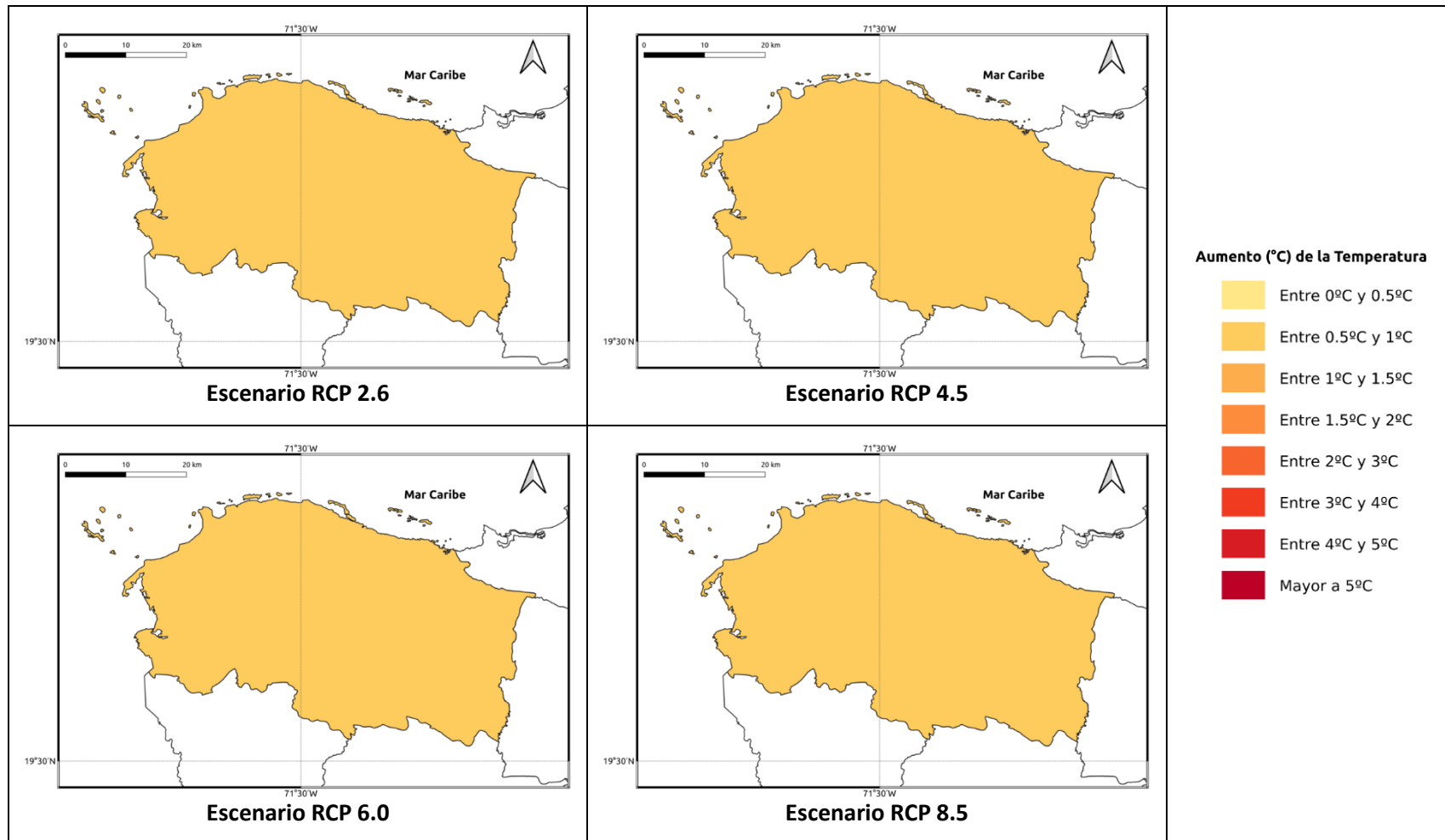


Figura 1.1.18-9. Cambios proyectados en la temperatura mínima (°C) por el ensamble multimodelo bajo los 4 escenarios RCP en el periodo 2021-2040 para la provincia Monte Cristi.

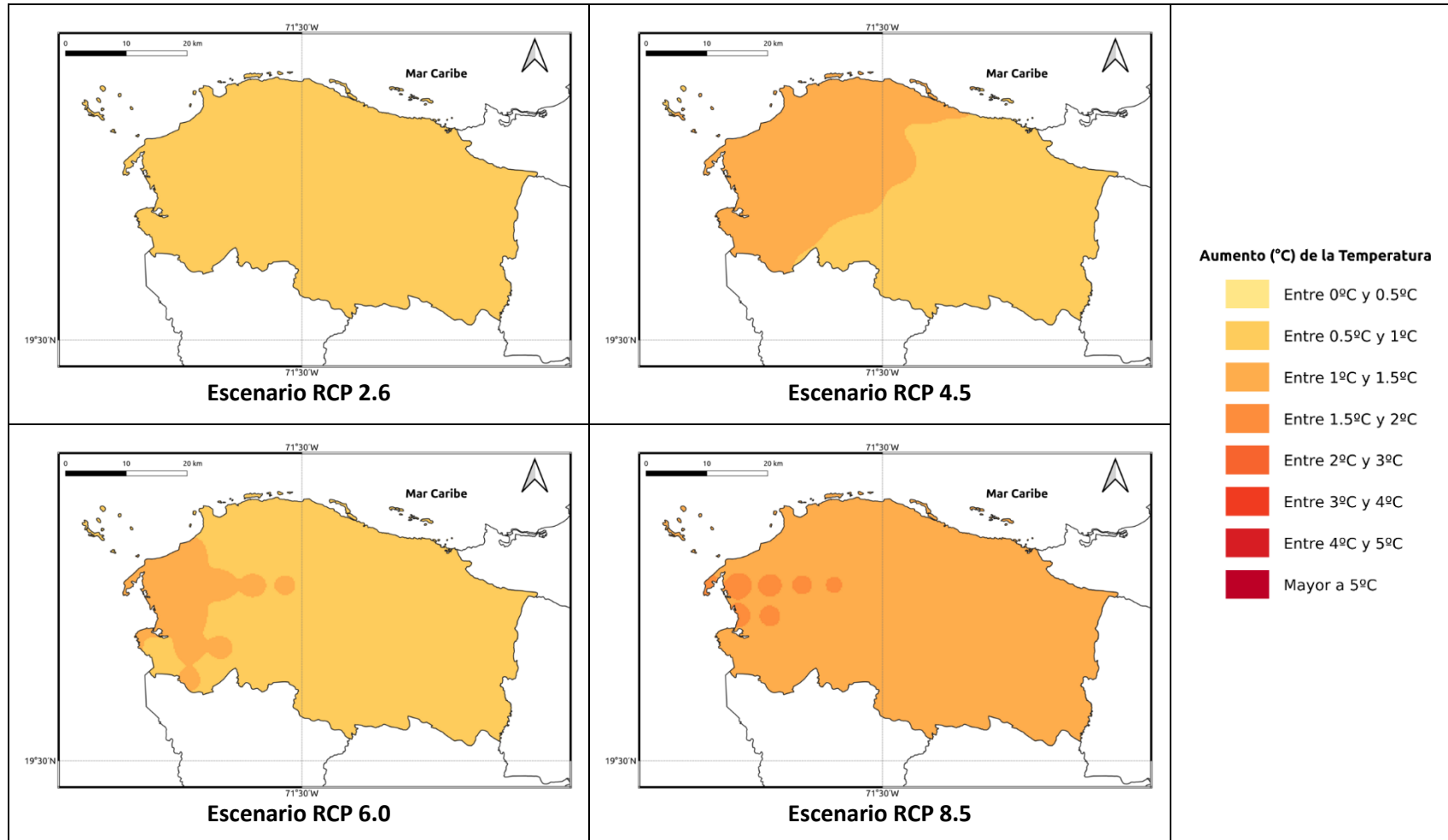


Figura 1.1.18-10. Cambios proyectados en la temperatura mínima (°C) por el ensamble multimodelo bajo los 4 escenarios RCP en el periodo 2041-2060 para la provincia Monte Cristi.

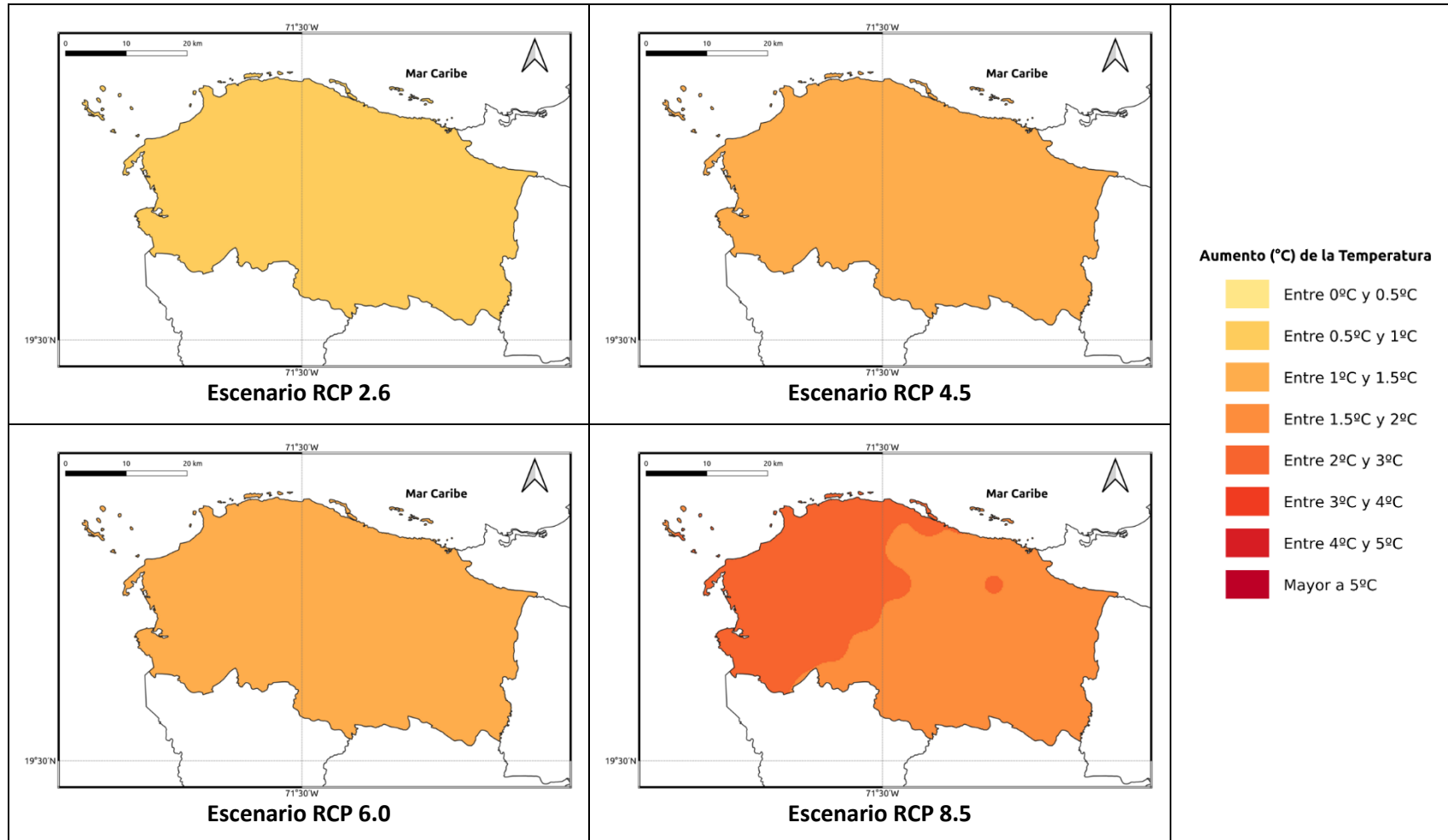


Figura 1.1.18-11. Cambios proyectados en la temperatura mínima (°C) por el ensamble multimodelo bajo los 4 escenarios RCP en el periodo 2061-2080 para la provincia Monte Cristi.

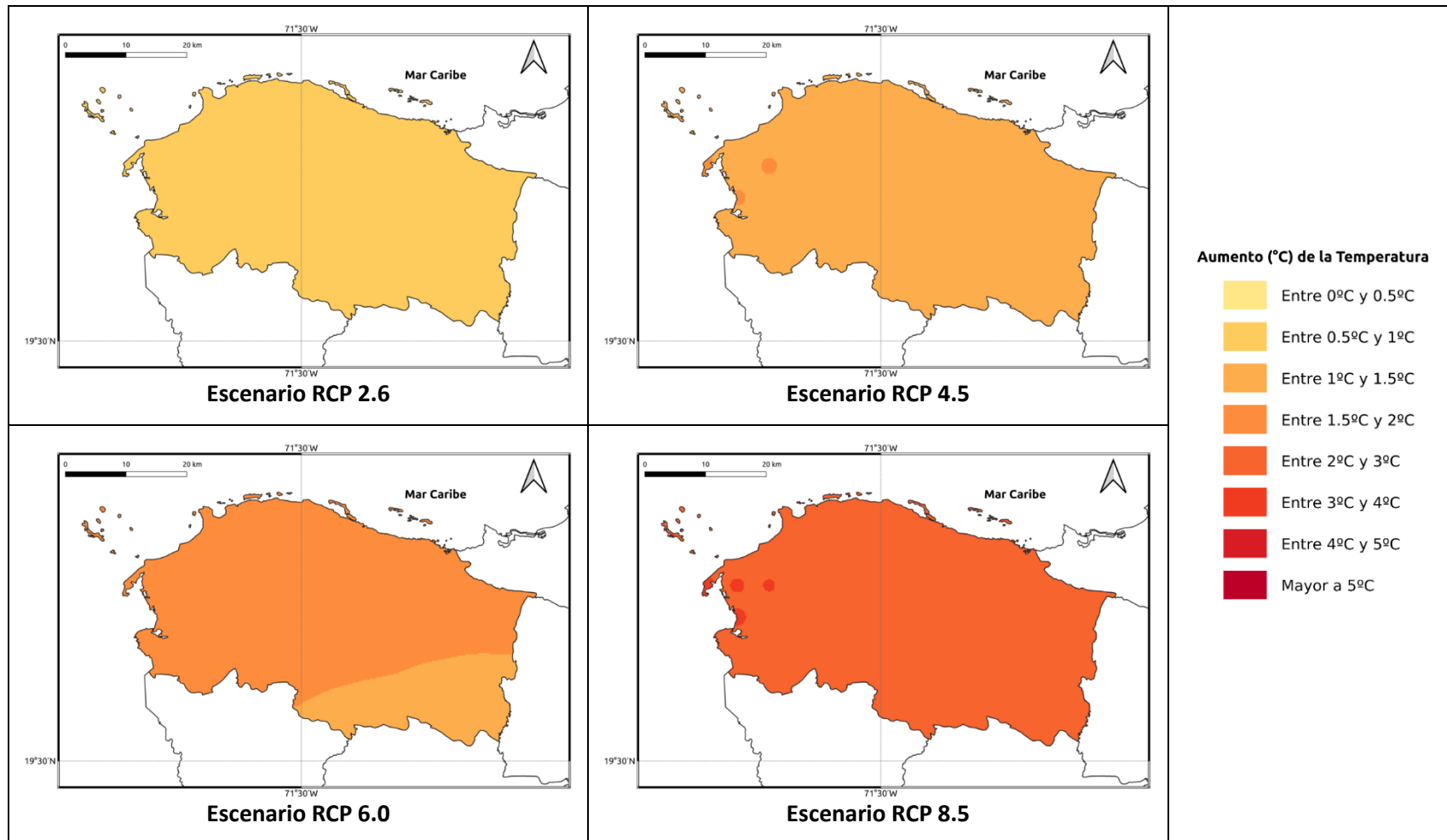


Figura 1.1.18-12. Cambios proyectados en la temperatura mínima (°C) por el ensamble multimodelo bajo los 4 escenarios RCP en el periodo 2081-2100 para la provincia Monte Cristi.

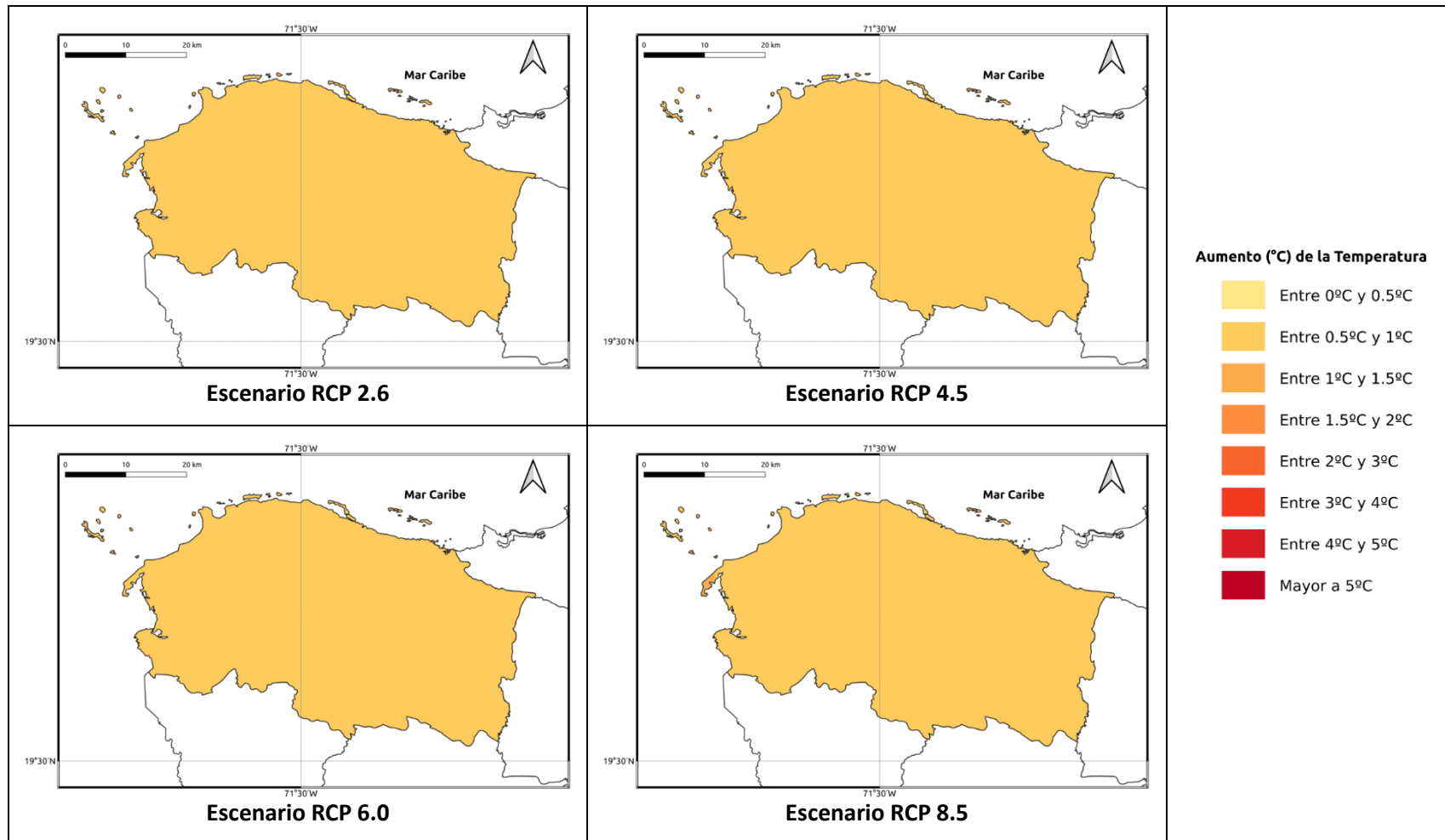


Figura 1.1.18-13. Cambios proyectados en la temperatura media (°C) por el ensamble multimodelo bajo los 4 escenarios RCP en el periodo 2021-2040 para la provincia Monte Cristi.

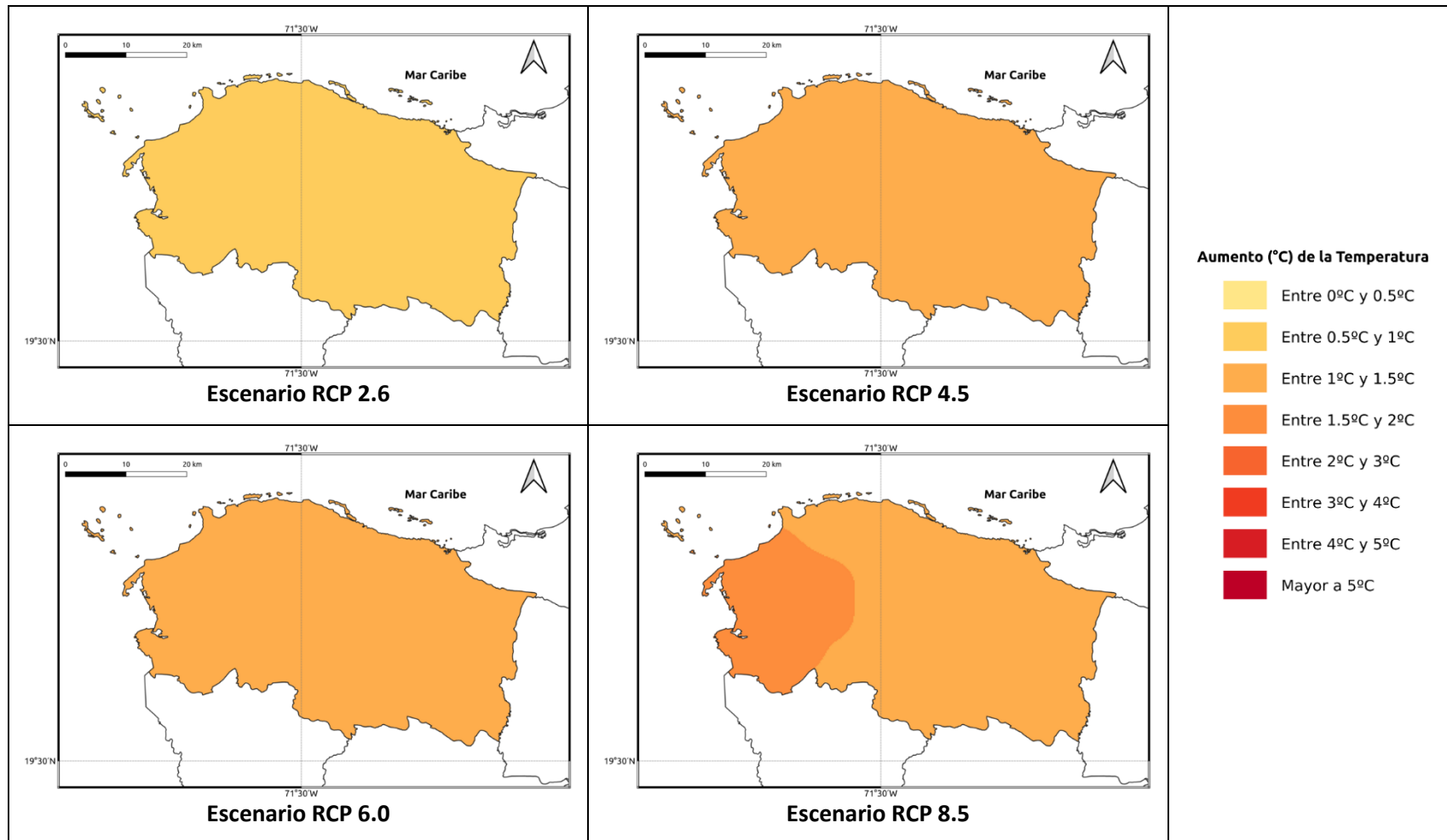


Figura 1.1.18-14. Cambios proyectados en la temperatura media ( $^{\circ}\text{C}$ ) por el ensamble multimodelo bajo los 4 escenarios RCP en el periodo 2041-2060 para la provincia Monte Cristi.

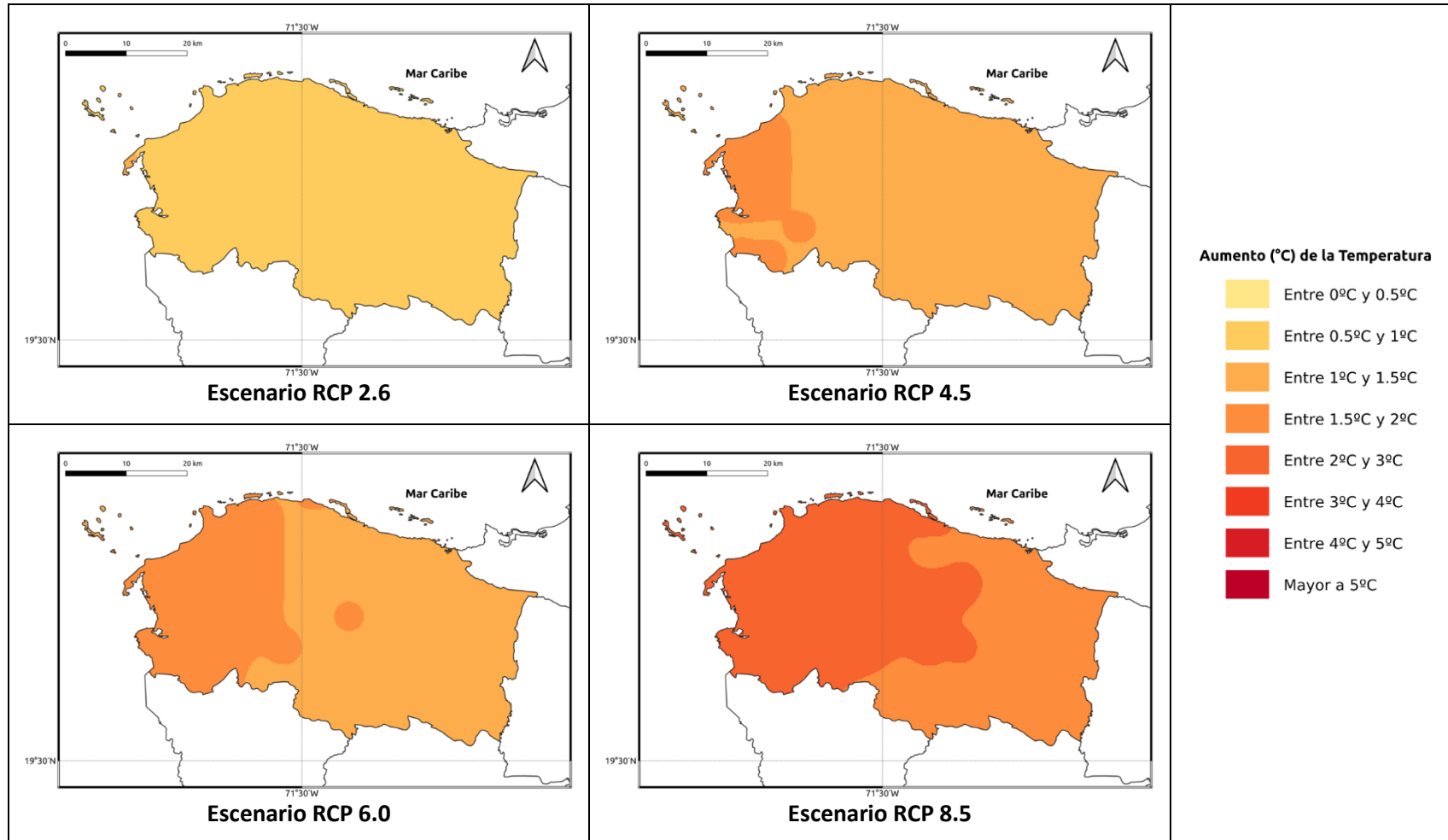


Figura 1.1.18-15. Cambios proyectados en la temperatura media (°C) por el ensamble multimodelo bajo los 4 escenarios RCP en el periodo 2061-2080 para la provincia Monte Cristi.

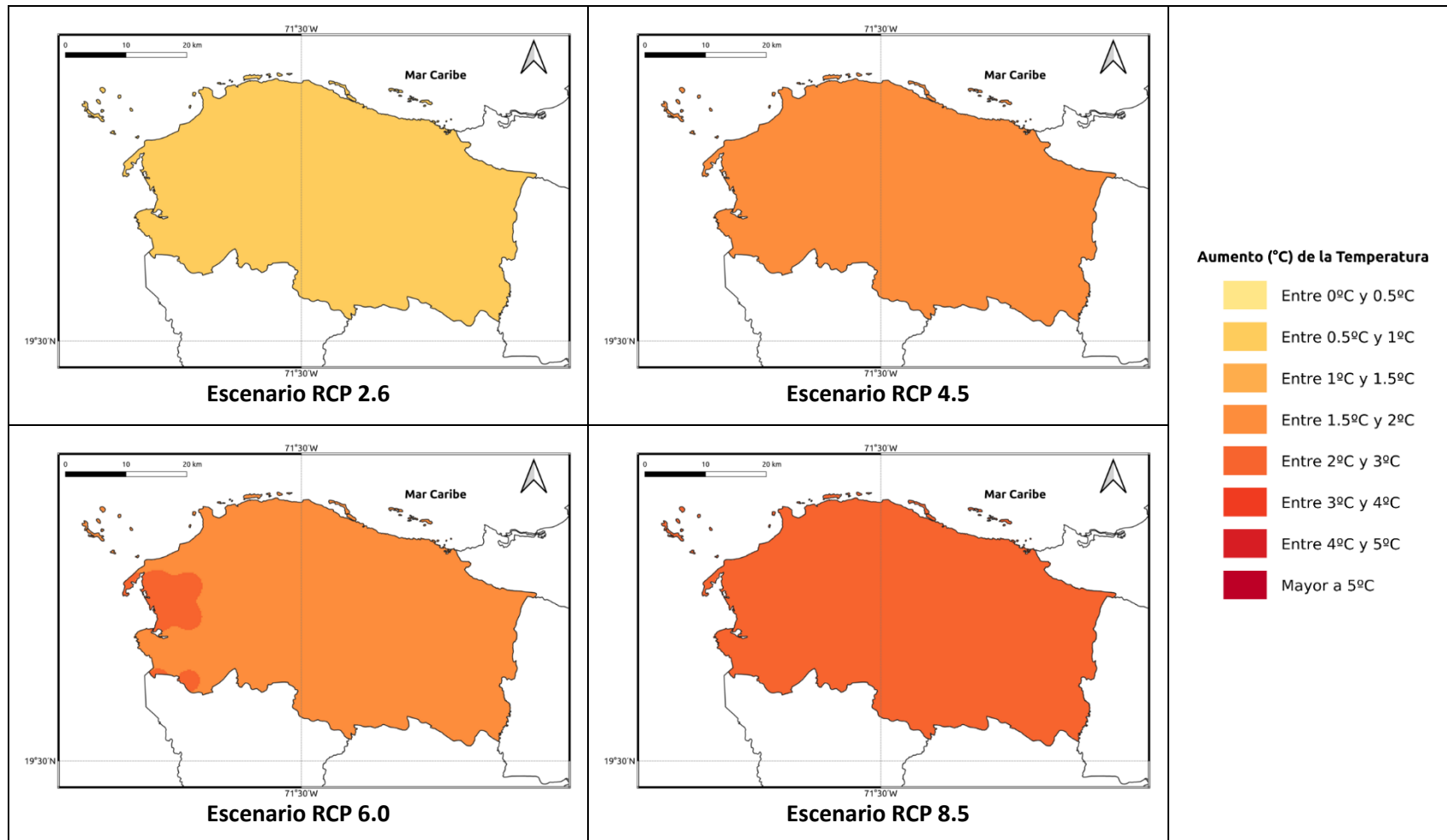


Figura 1.1.18-16. Cambios proyectados en la temperatura media ( $^{\circ}\text{C}$ ) por el ensamble multimodelo bajo los 4 escenarios RCP en el periodo 2081-2100 para la provincia Monte Cristi.

## **1.1.19 PROVINCIA MONTE PLATA**

A continuación, se presenta el análisis espacial de los cambios de las variables climáticas a nivel anual para la provincia **Monte Plata**. Los cambios a nivel estacional (trimestral) se pueden consultar en el Anexo 20.

### **Precipitación**

Para esta variable, en el periodo de corto plazo 2021-2040 se presentarían cambios dentro del rango normal de variabilidad (del orden del 5%), con aumentos de esta magnitud bajo los escenarios RCP 2.6 y 6.0, y reducciones bajo los escenarios RCP 4.5 y 8.5 (Figura 1.1.19-1). Para el siguiente periodo (2041-2060), bajo el RCP 2.6 se mantiene el aumento de la precipitación del orden del 5%, y en los demás escenarios la tendencia sería a la reducción de la precipitación entre un 4-9% (Figura 1.1.19-2). Para el periodo 2061-2080, en el RCP 2.6 se mantendrían los incrementos del 5%, y reducciones de la misma magnitud hacia el sur de la provincia. Bajo los otros escenarios se darían reducciones de la precipitación, del orden del 11-15% bajo el RCP 4.5, entre 6-9% bajo el RCP 6.0 y del 14-19% bajo el RCP 8.5, con las disminuciones más altas en la mayor parte de la provincia (Figura 1.1.19-3). Por último, para finales de siglo bajo los 4 escenarios se presentarían reducciones de la precipitación, siendo las de menor magnitud bajo el RCP 2.6 (entre 6-8%) y las más altas bajo el RCP 8.5, con reducciones entre 25 y 28% hacia el norte de la provincia, y de más del 30% en el resto de la misma (Figura 1.1.19-4).

### **Temperatura Máxima**

La temperatura máxima podría presentar incrementos bajo los 4 RCP en todos los periodos analizados. En el periodo de corto plazo (2021-2040) la temperatura aumentaría entre 0.7 y 1.3°C, con aumentos de más de 1°C bajo el RCP 8.5 (Figura 1.1.19-5). Para 2041-2060, los aumentos serían de 1.1 a 1.4°C bajo los primeros 3 RCP (2.6, 4.5 y 6.0), y de 1.5 a 1.8°C bajo el RCP 8.5 (Figura 1.1.19-6). En el periodo 2061-2080 los aumentos serían de 1.1 a 2.4°C, manteniéndose el incremento de 1.1 a 1.4°C bajo el RCP 2.6, siendo de 1.5 a 1.8°C bajo los RCP 4.5 y 6.0 y de 2.6°C bajo el RCP 8.5 (Figura 1.1.19-7). Para finales de siglo, los aumentos serían de 0.7 a 1.1°C bajo el RCP 2.6, de 1.5 a 1.7°C bajo el RCP 4.5, de 2.1 a 2.4°C bajo el RCP 6.0 y de 3.2 a 3.7°C bajo el RCP 8.5 (Figura 1.1.19-8).

### **Temperatura Mínima**

En el primer periodo (2021-2040), ésta se incrementaría de 0.3 a 0.8°C en los 4 escenarios RCP (Figura 1.1.19-9). Para 2041-2060 aumentaría de 0.7 a 0.9°C en los 3 primeros escenarios, y bajo el RCP 8.5 habría aumentos entre 1.1 y 1.3°C (Figura 1.1.19-10). En el periodo 2061-2080 la temperatura mínima se incrementaría entre



0.4 y 0.8°C bajo el RCP 2.6, entre 1.1 y 1.4°C bajo los RCP 4.5 y 6.0 y entre 1.5 y 1.8°C bajo el RCP 8.5 (Figura 1.1.19-11). Por último, para finales de siglo se mantendría un aumento de 0.8°C en el RCP 2.6, entre 1.1 y 1.4°C bajo el RCP 4.5, entre 1.4 y 1.7°C bajo el RCP 6.0 y de 1.9 a 2.4°C bajo el RCP 8.5 (Figura 1.1.19-12).

#### ***Temperatura Media***

La temperatura media se incrementaría entre 0.6 y 0.8°C en el periodo 2021-2040 bajo los 4 escenarios RCP (Figura 1.1.19-13). En el periodo 2041-2060 se mantendría este mismo rango bajo el RCP 2.6, y en los otros 3 escenarios aumentaría de 1.1 a 1.7°C (Figura 1.1.19-14). Para 2061-2080 la temperatura media aumentaría de 0.7 a 0.8°C bajo el RCP 2.6, de 1.3 a 1.5°C bajo los RCP 4.5 y 6.0 y de 1.7 a 2.1°C bajo el RCP 8.5 (Figura 1.1.19-15). Finalmente, para el periodo 2081-2100 la temperatura subiría entre 0.6 y 0.8°C bajo el RCP 2.6, entre 1.2 y 1.7°C bajo el RCP 4.5 (con los aumentos más bajos hacia el occidente de la provincia), de 1.6 a 1.9°C bajo el RCP 6.0 y de 2.4 a 2.8°C bajo el RCP 8.5 (Figura 1.1.19-16).



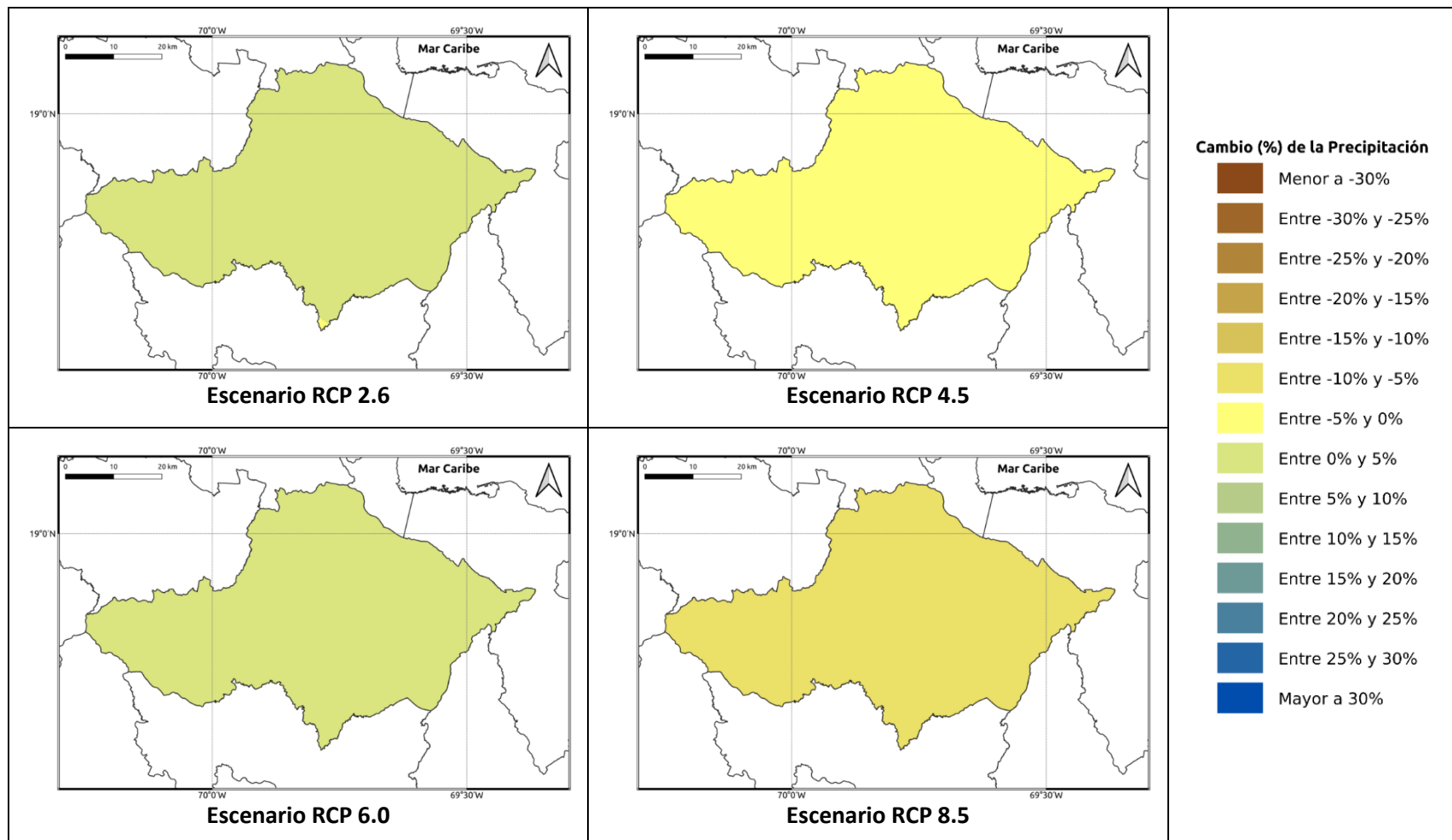


Figura 1.1.19-1. Cambios porcentuales de la precipitación (%) proyectados por el ensamble multimodelo bajo los 4 escenarios RCP en el periodo 2021-2040 para la provincia Monte Plata.

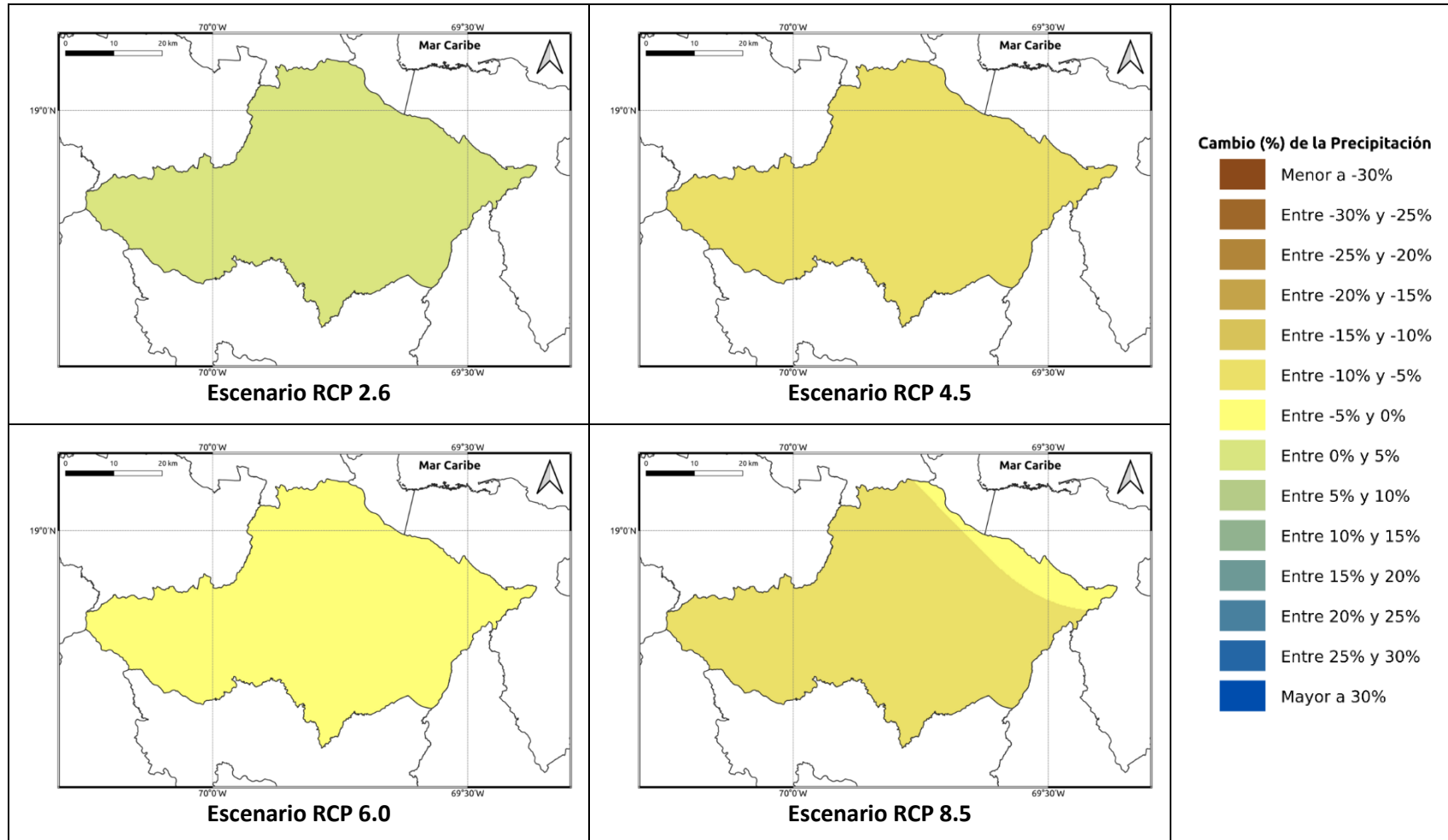


Figura 1.1.19-2. Cambios porcentuales de la precipitación (%) proyectados por el ensamble multimodelo bajo los 4 escenarios RCP en el periodo 2041-2060 para la provincia Monte Plata.

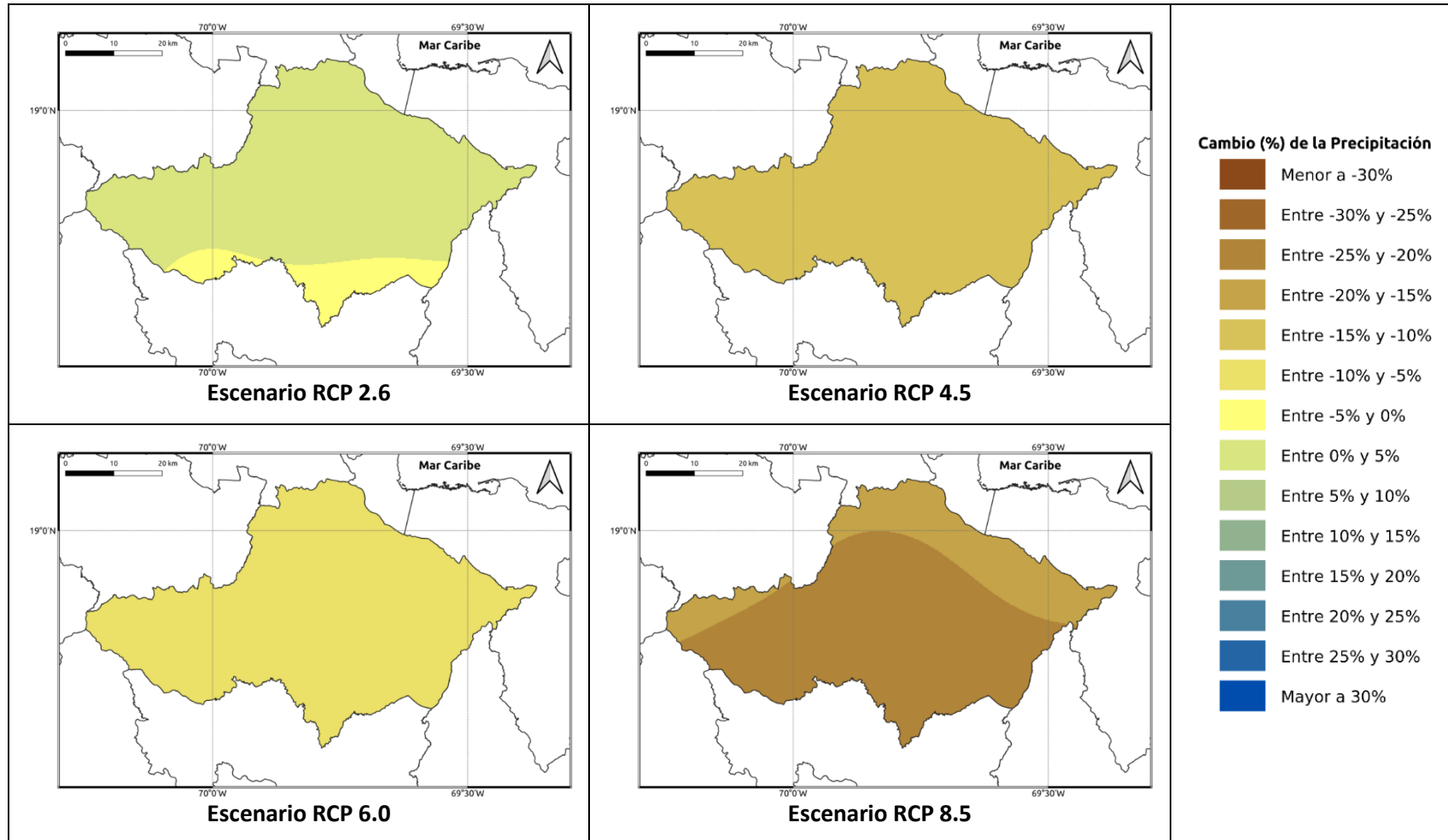


Figura 1.1.19-3. Cambios porcentuales de la precipitación (%) proyectados por el ensamble multimodelo bajo los 4 escenarios RCP en el periodo 2061-2080 para la provincia Monte Plata.

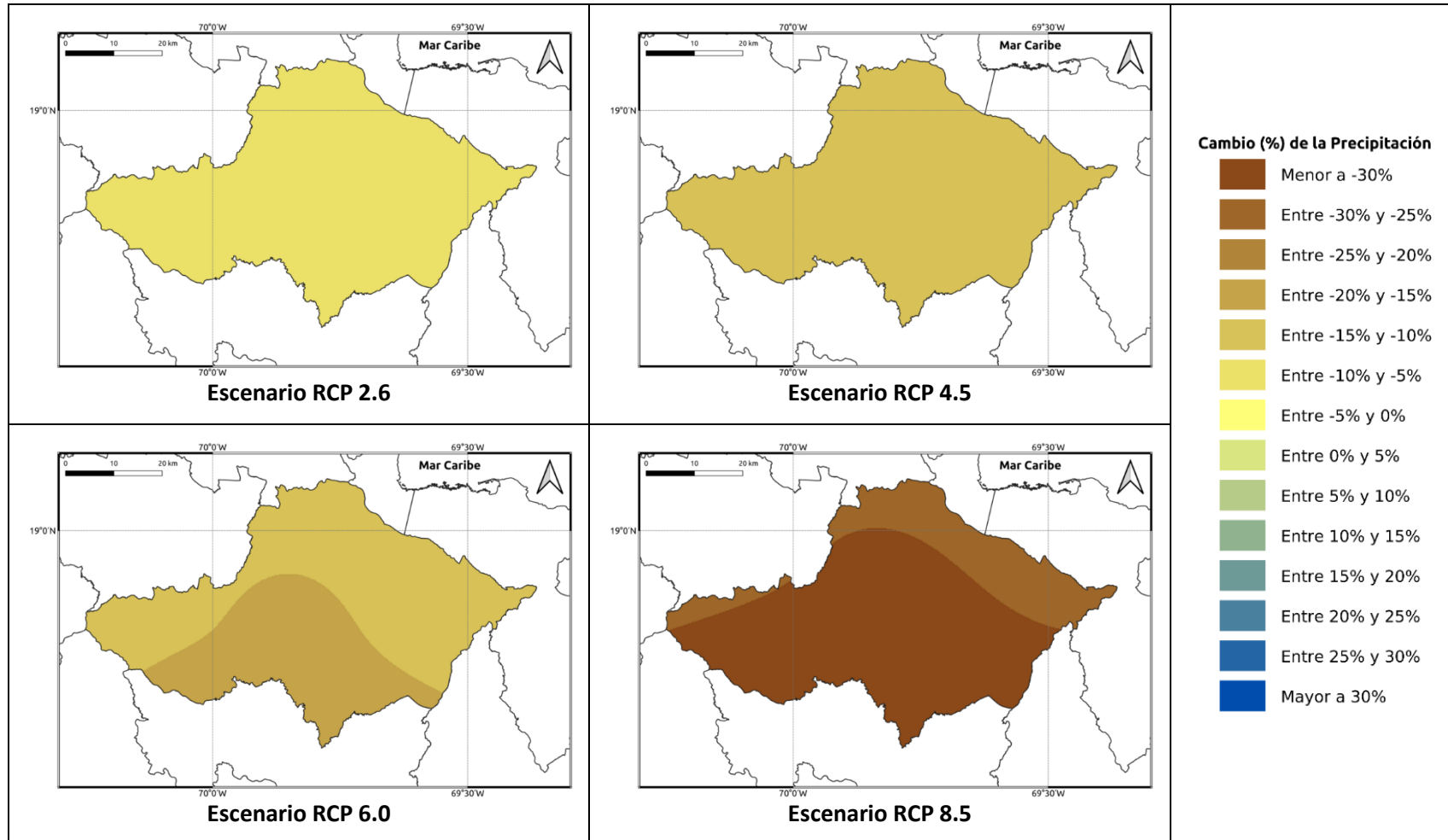


Figura 1.1.19-4. Cambios porcentuales de la precipitación (%) proyectados por el ensamble multimodelo bajo los 4 escenarios RCP en el periodo 2081-2100 para la provincia Monte Plata.

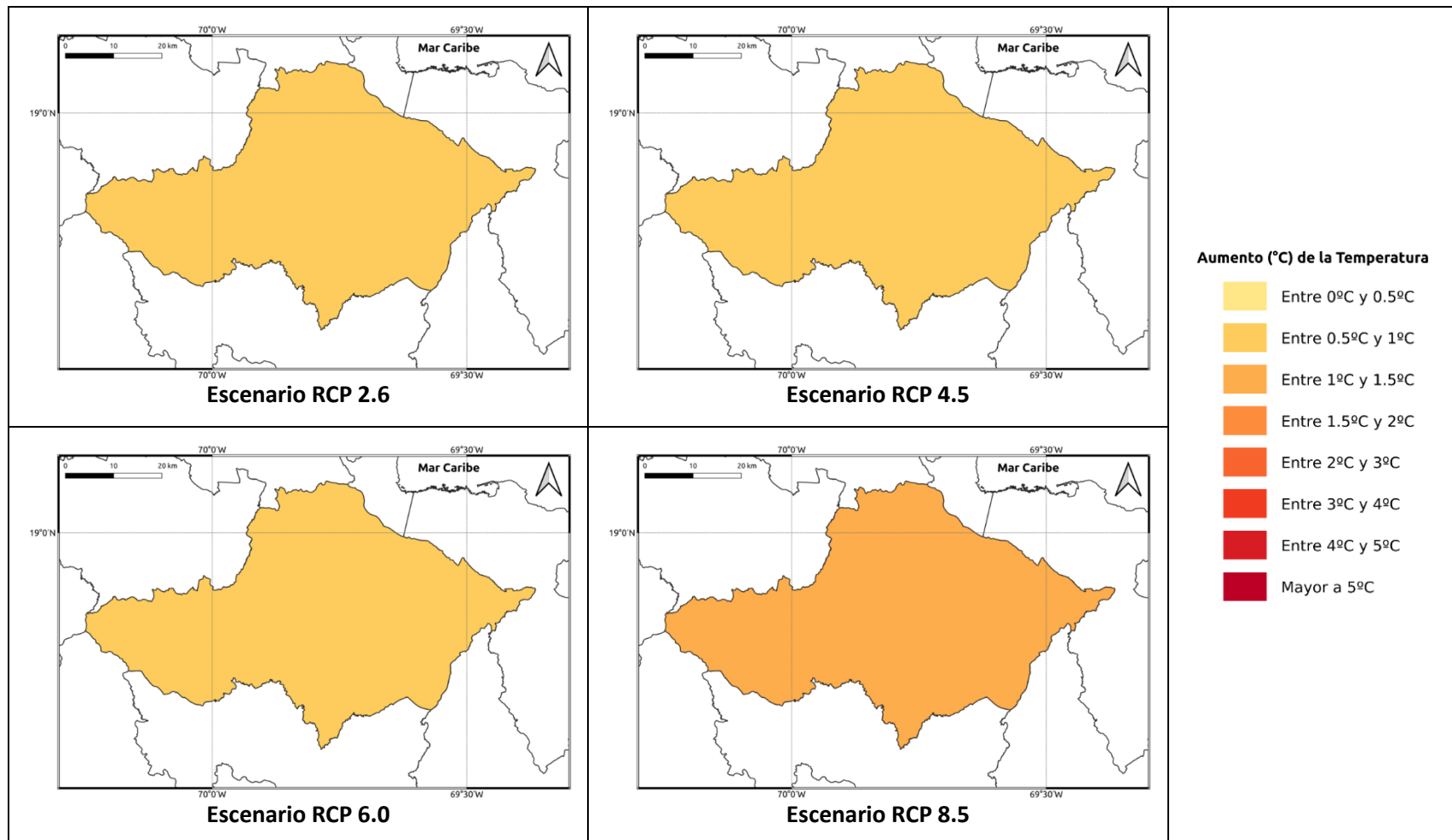


Figura 1.1.19-5. Cambios proyectados en la temperatura máxima (°C) por el ensamble multimodelo bajo los 4 escenarios RCP en el periodo 2021-2040 para la provincia Monte Plata.

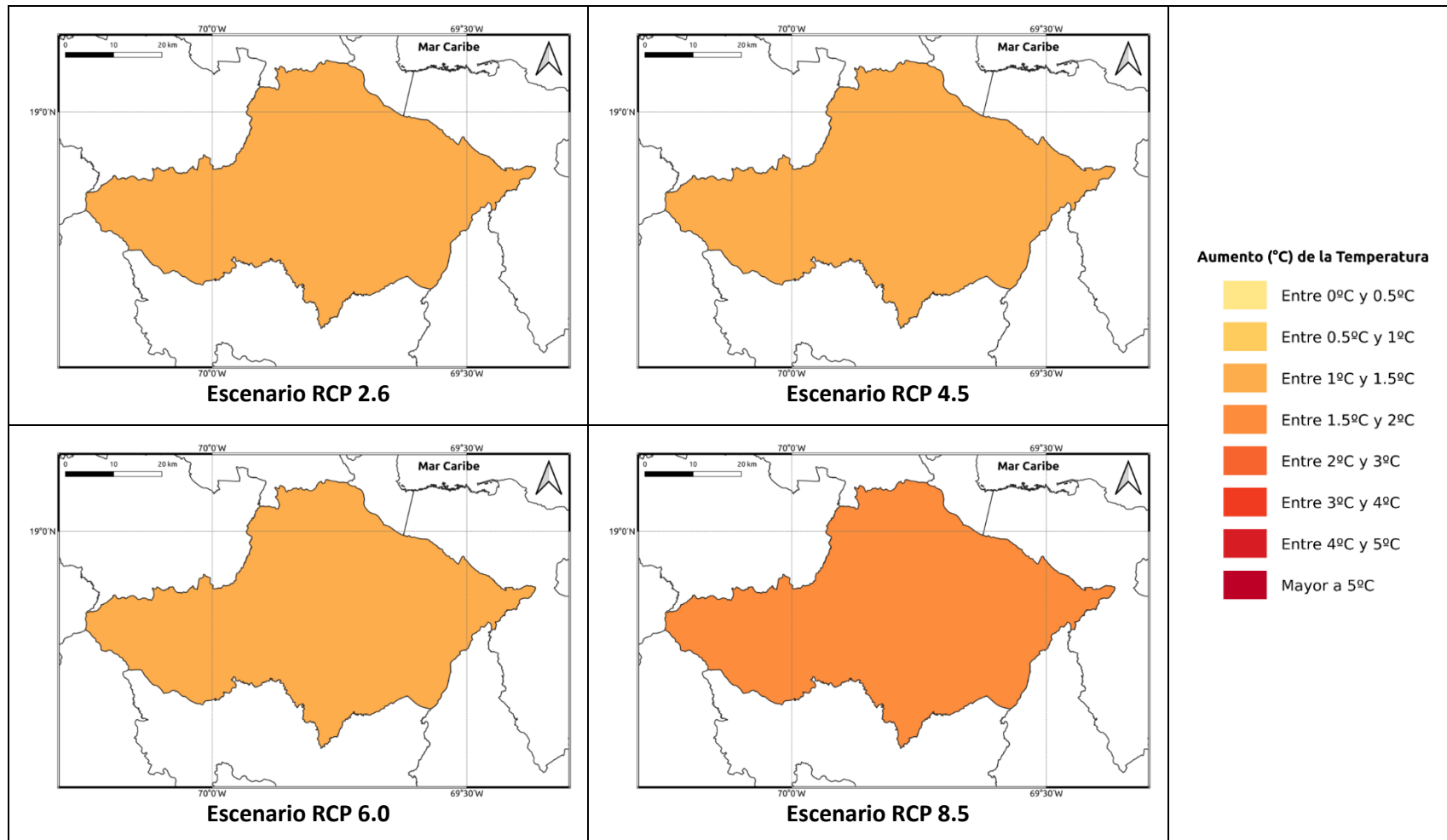
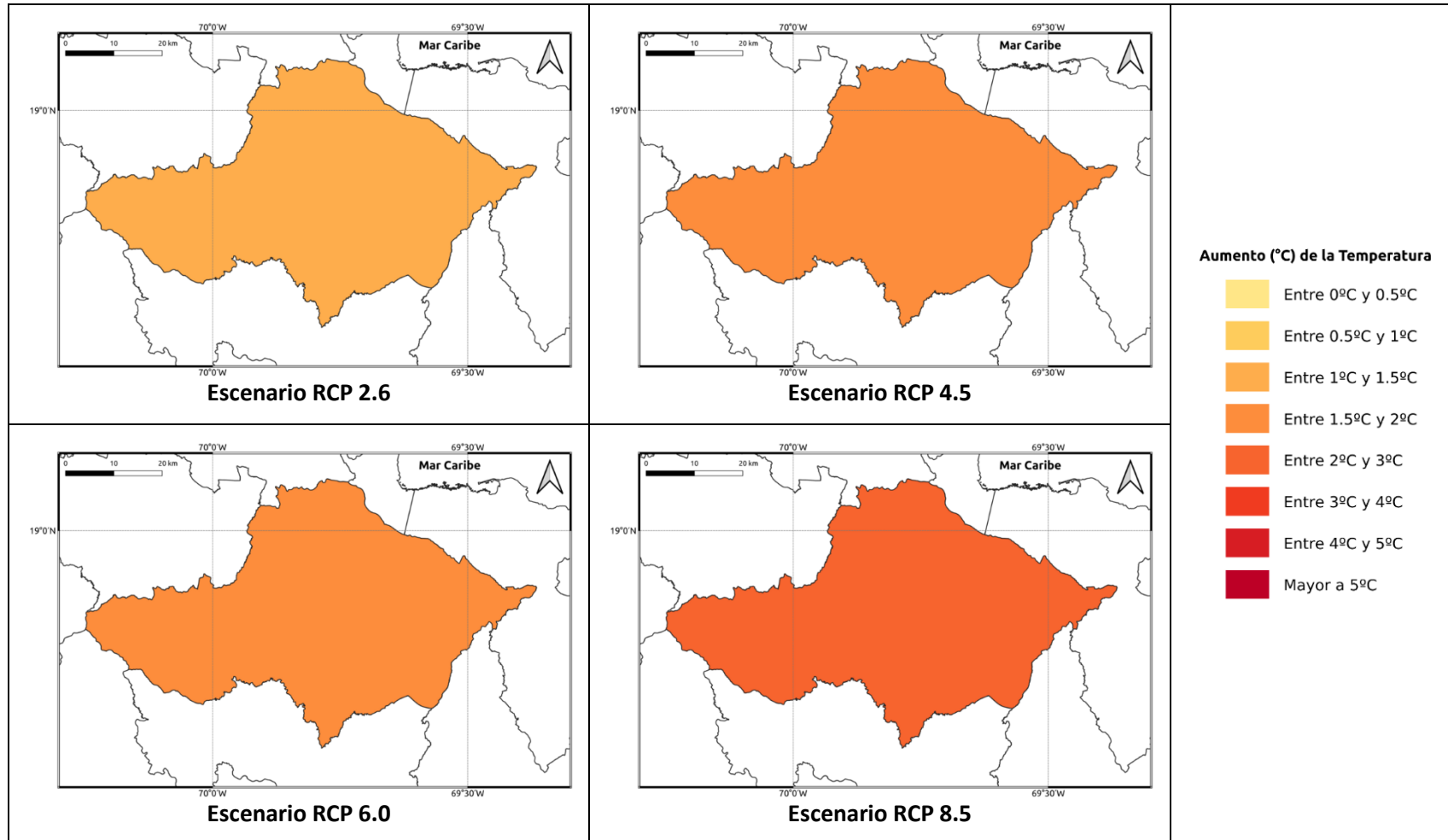
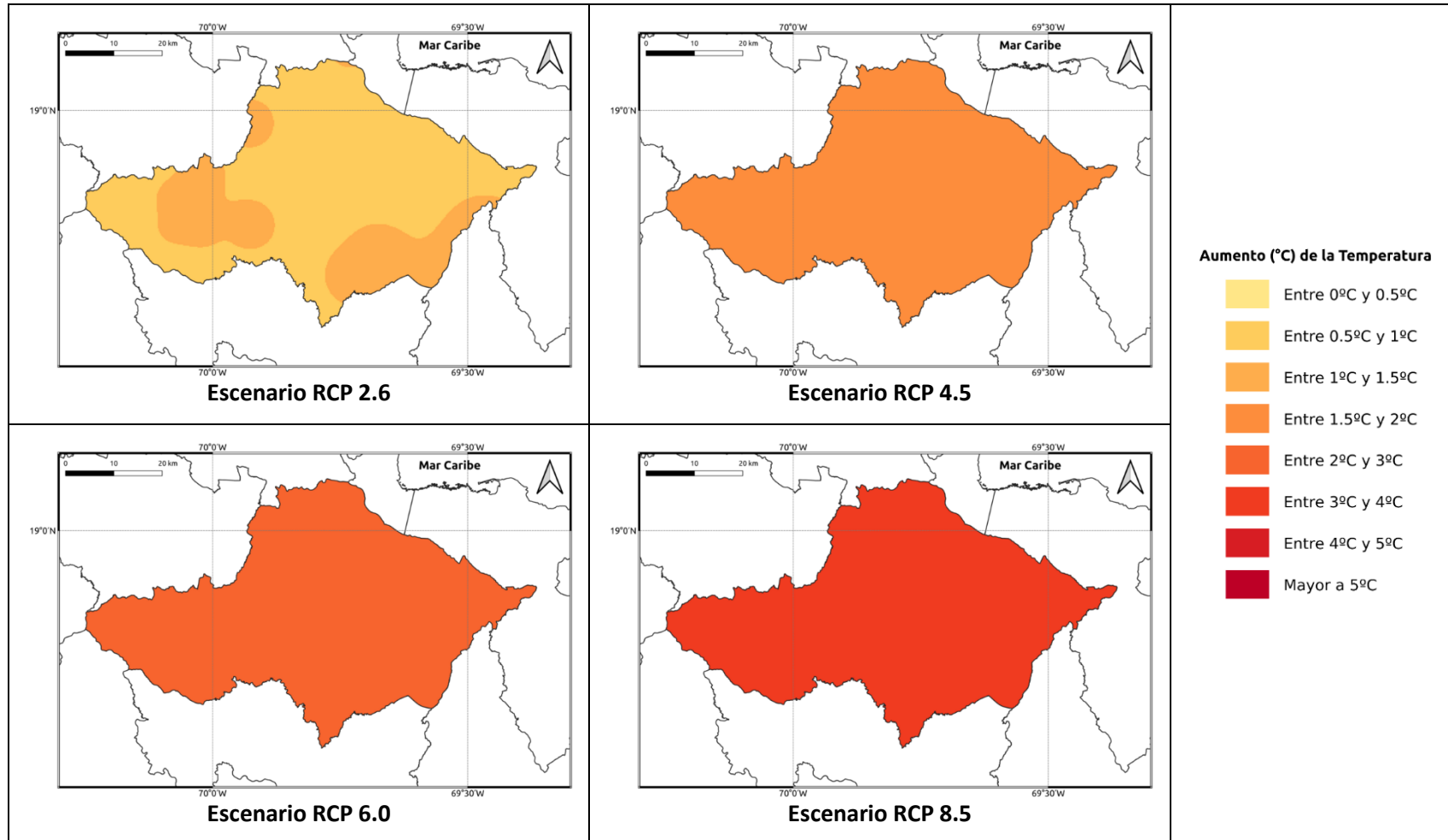


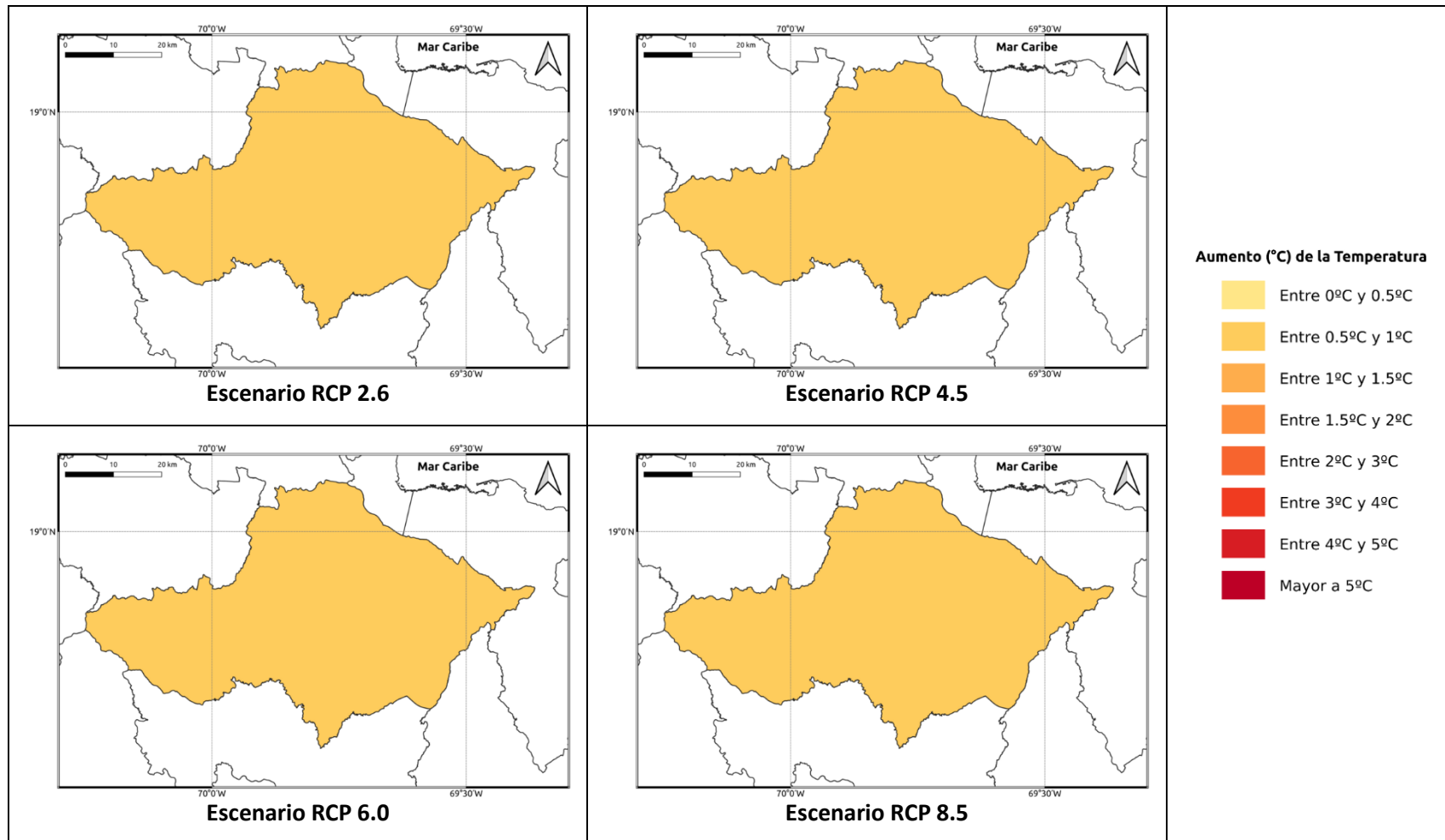
Figura 1.1.19-6. Cambios proyectados en la temperatura máxima (°C) por el ensamble multimodelo bajo los 4 escenarios RCP en el periodo 2041-2060 para la provincia Monte Plata.



**Figura 1.1.19-7. Cambios proyectados en la temperatura máxima (°C) por el ensamble multimodelo bajo los 4 escenarios RCP en el periodo 2061-2080 para la provincia Monte Plata.**



**Figura 1.1.19-8. Cambios proyectados en la temperatura máxima (°C) por el ensamble multimodelo bajo los 4 escenarios RCP en el periodo 2081-2100 para la provincia Monte Plata.**



**Figura 1.1.19-9. Cambios proyectados en la temperatura mínima (°C) por el ensamble multimodelo bajo los 4 escenarios RCP en el periodo 2021-2040 para la provincia Monte Plata.**

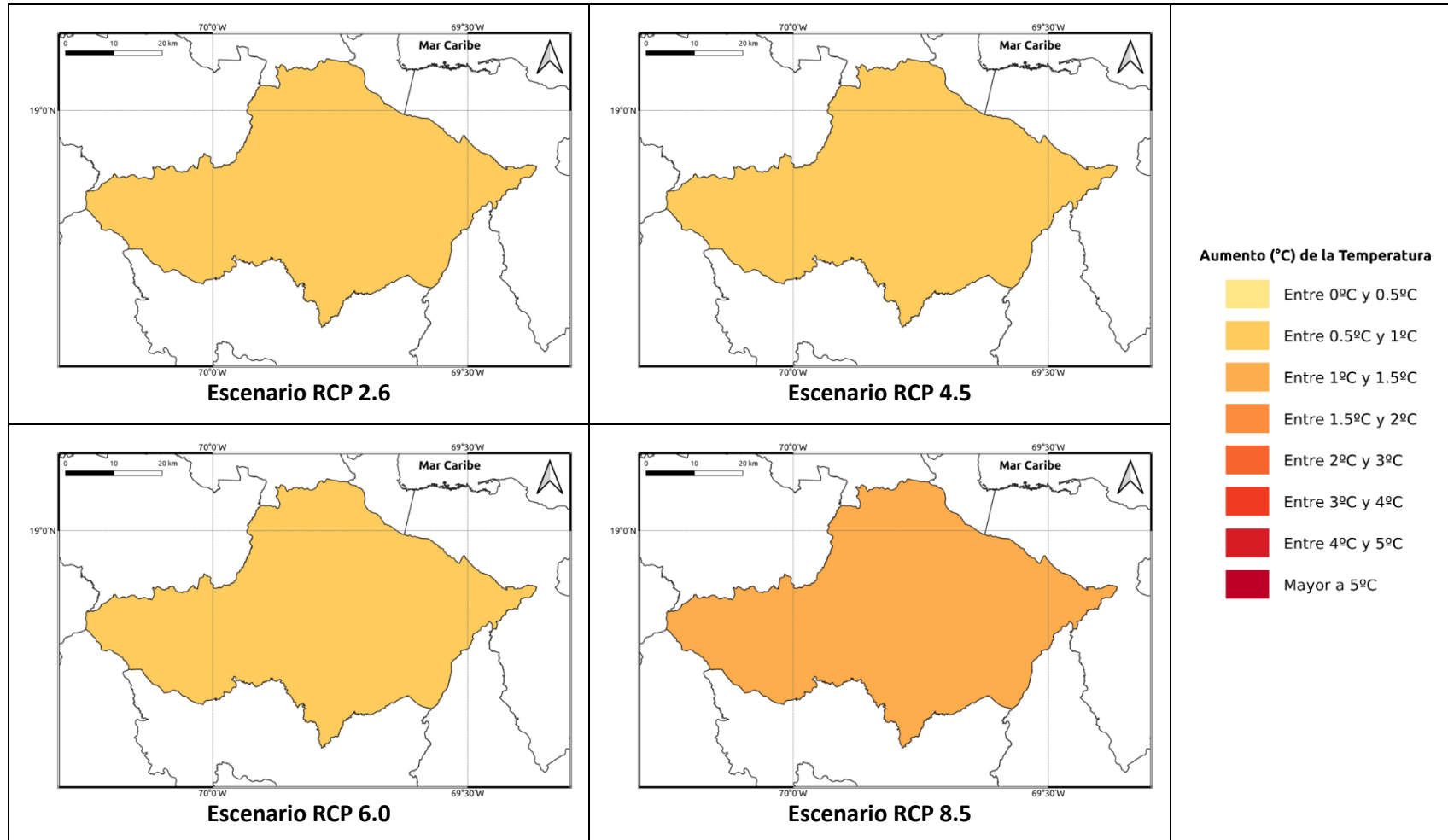
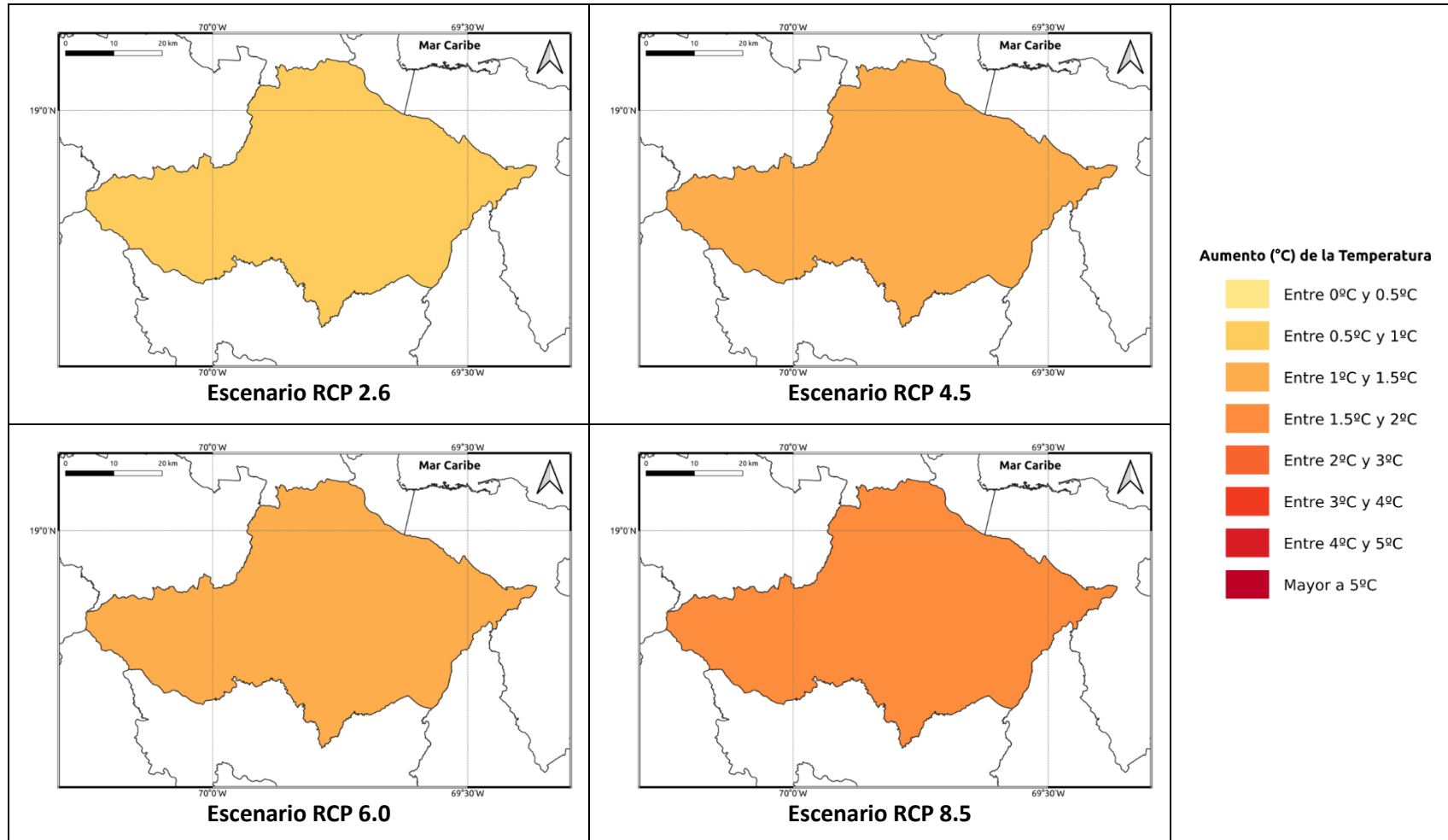


Figura 1.1.19-10. Cambios proyectados en la temperatura mínima (°C) por el ensamble multimodelo bajo los 4 escenarios RCP en el periodo 2041-2060 para la provincia Monte Plata.



**Figura 1.1.19-11. Cambios proyectados en la temperatura mínima (°C) por el ensamble multimodelo bajo los 4 escenarios RCP en el periodo 2061-2080 para la provincia Monte Plata.**

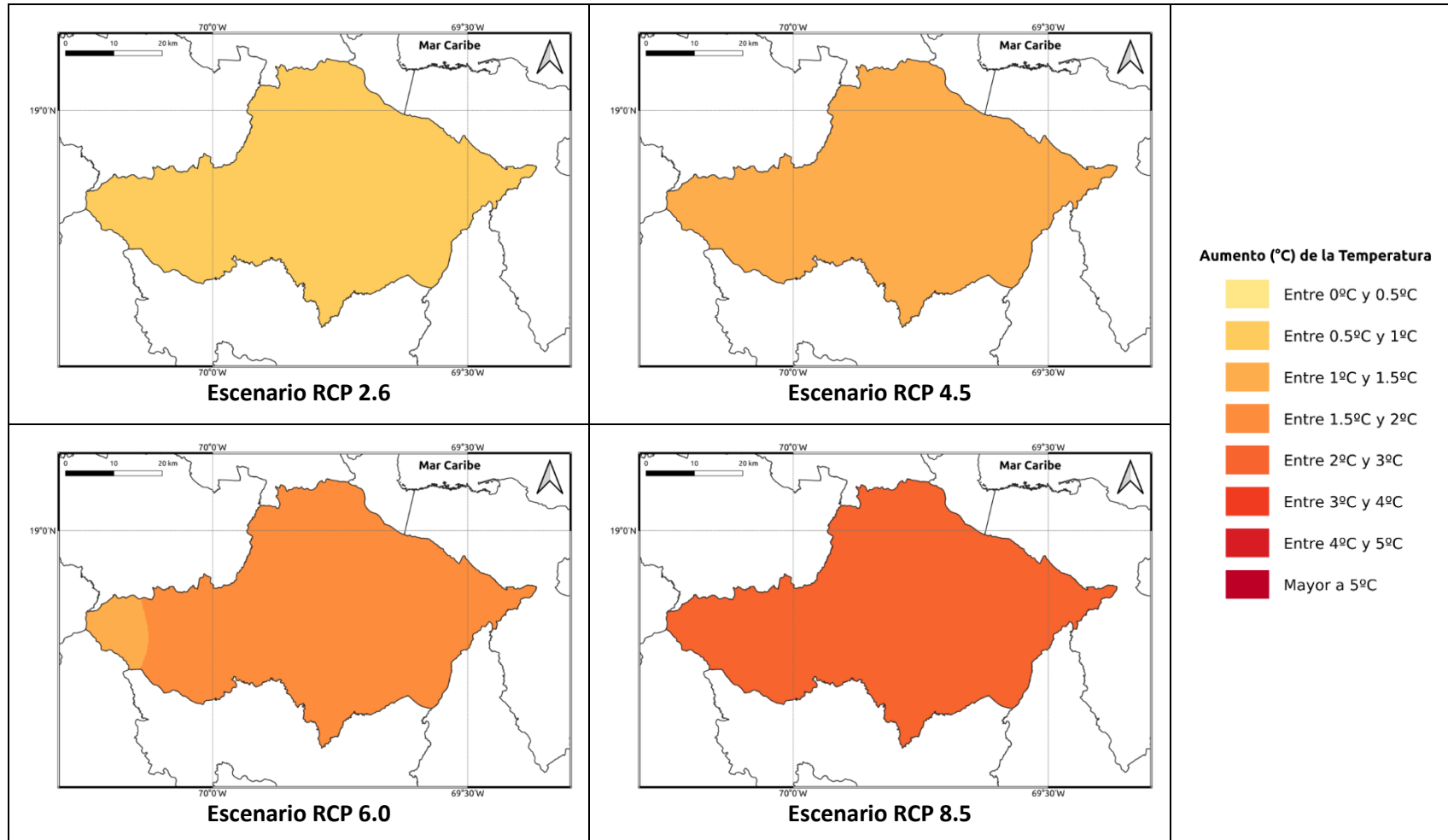


Figura 1.1.19-12. Cambios proyectados en la temperatura mínima (°C) por el ensamble multimodelo bajo los 4 escenarios RCP en el periodo 2081-2100 para la provincia Monte Plata.

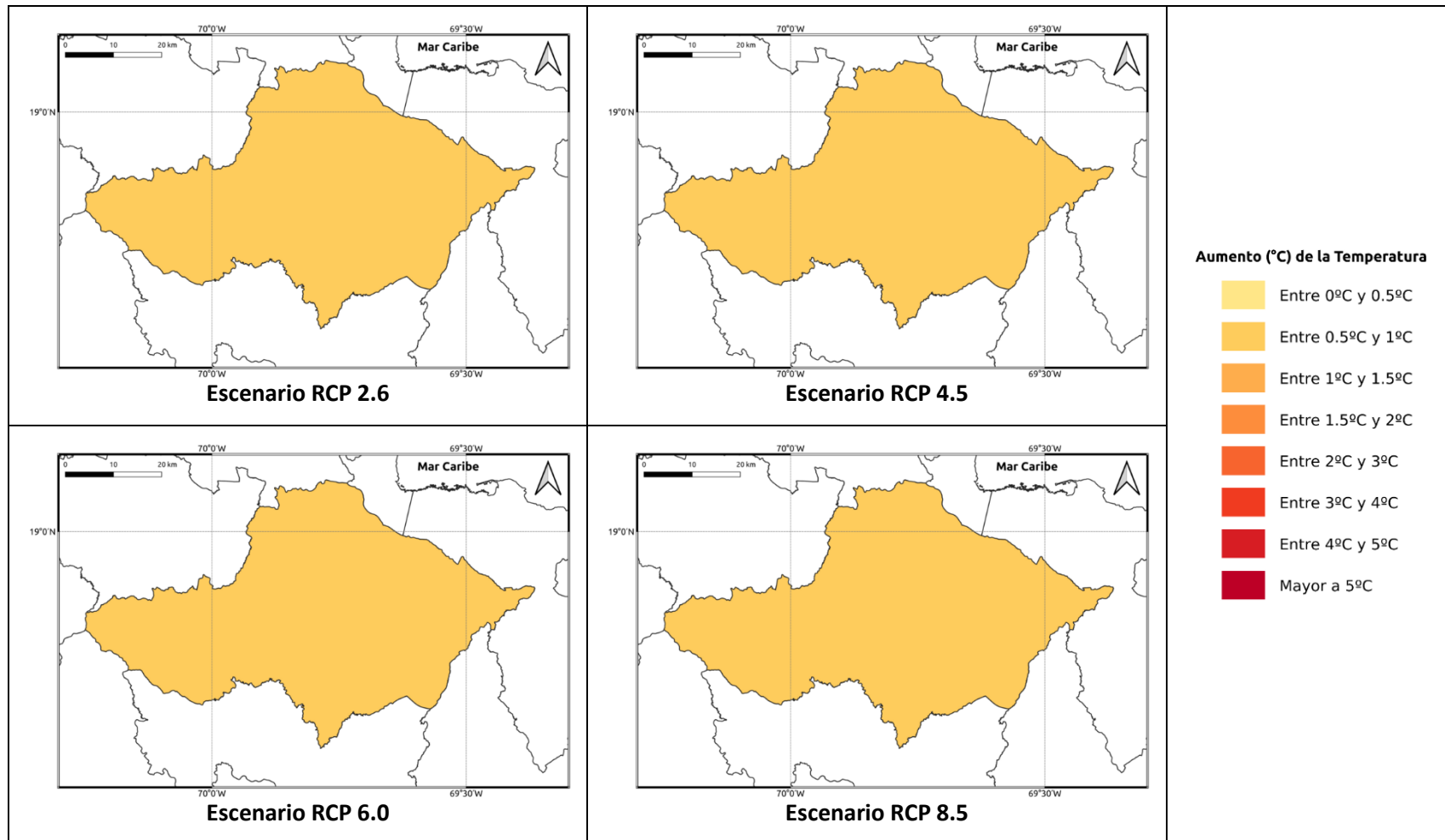


Figura 1.1.19-13. Cambios proyectados en la temperatura media (°C) por el ensamble multimodelo bajo los 4 escenarios RCP en el periodo 2021-2040 para la provincia Monte Plata.

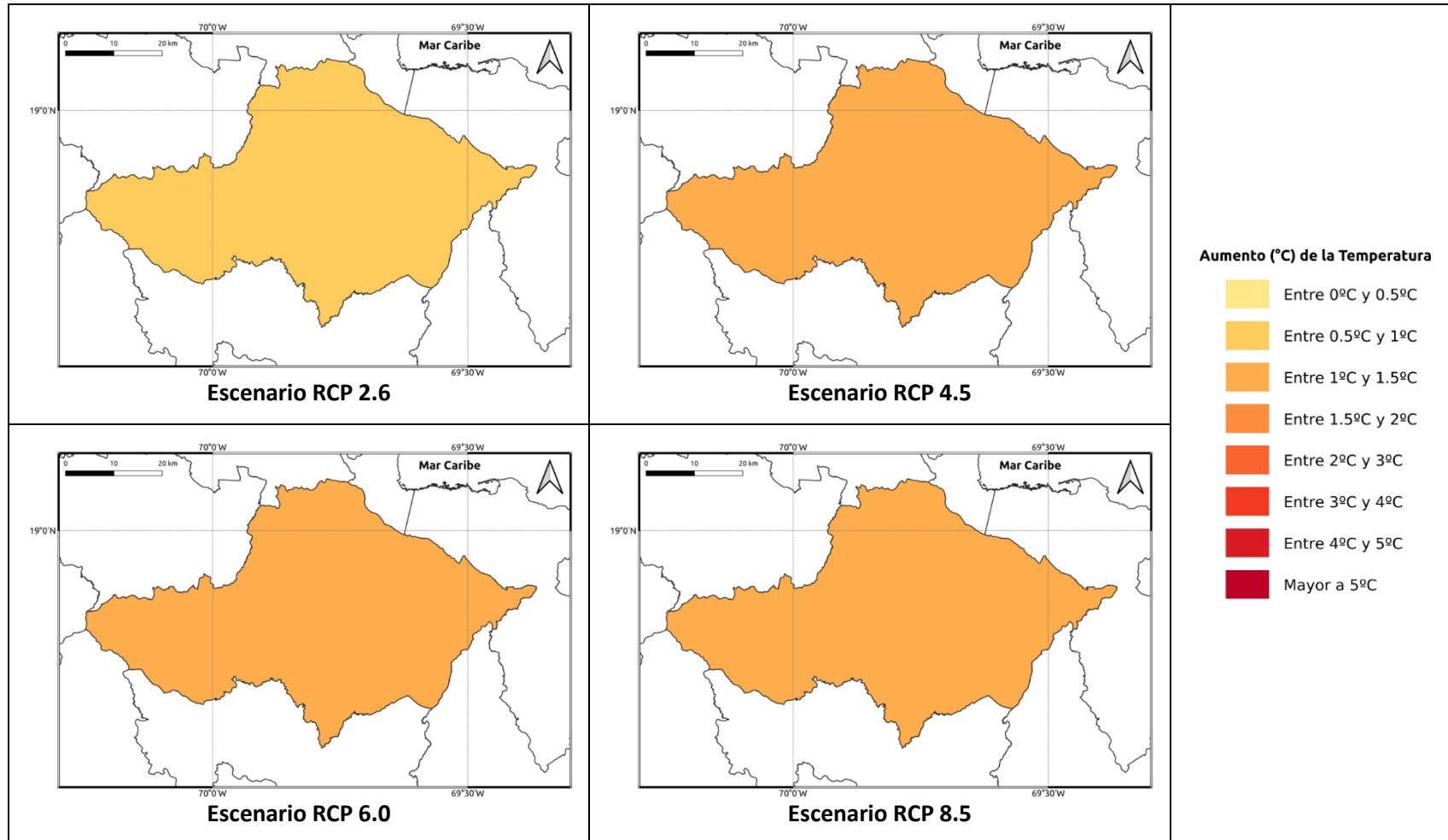
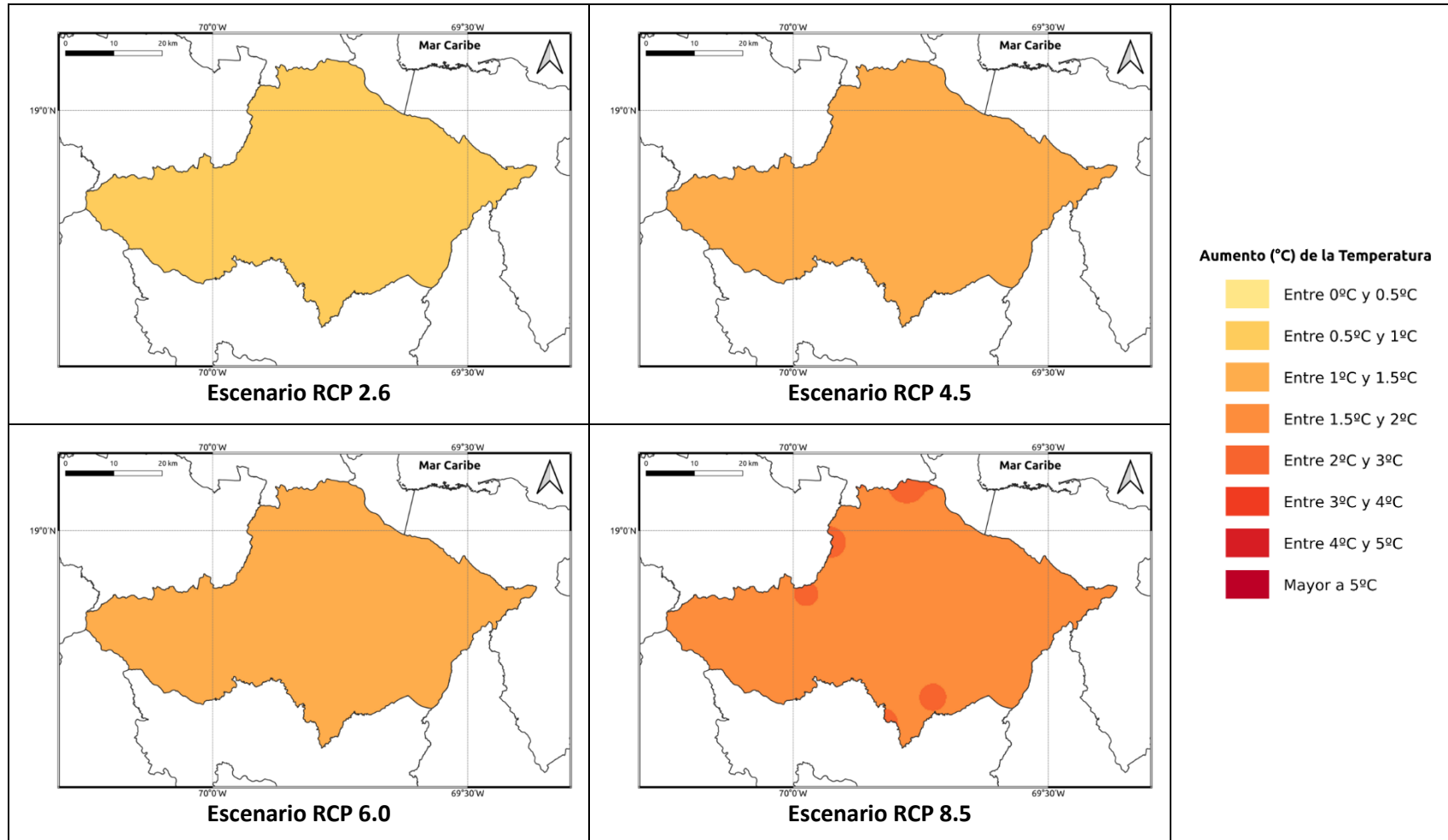
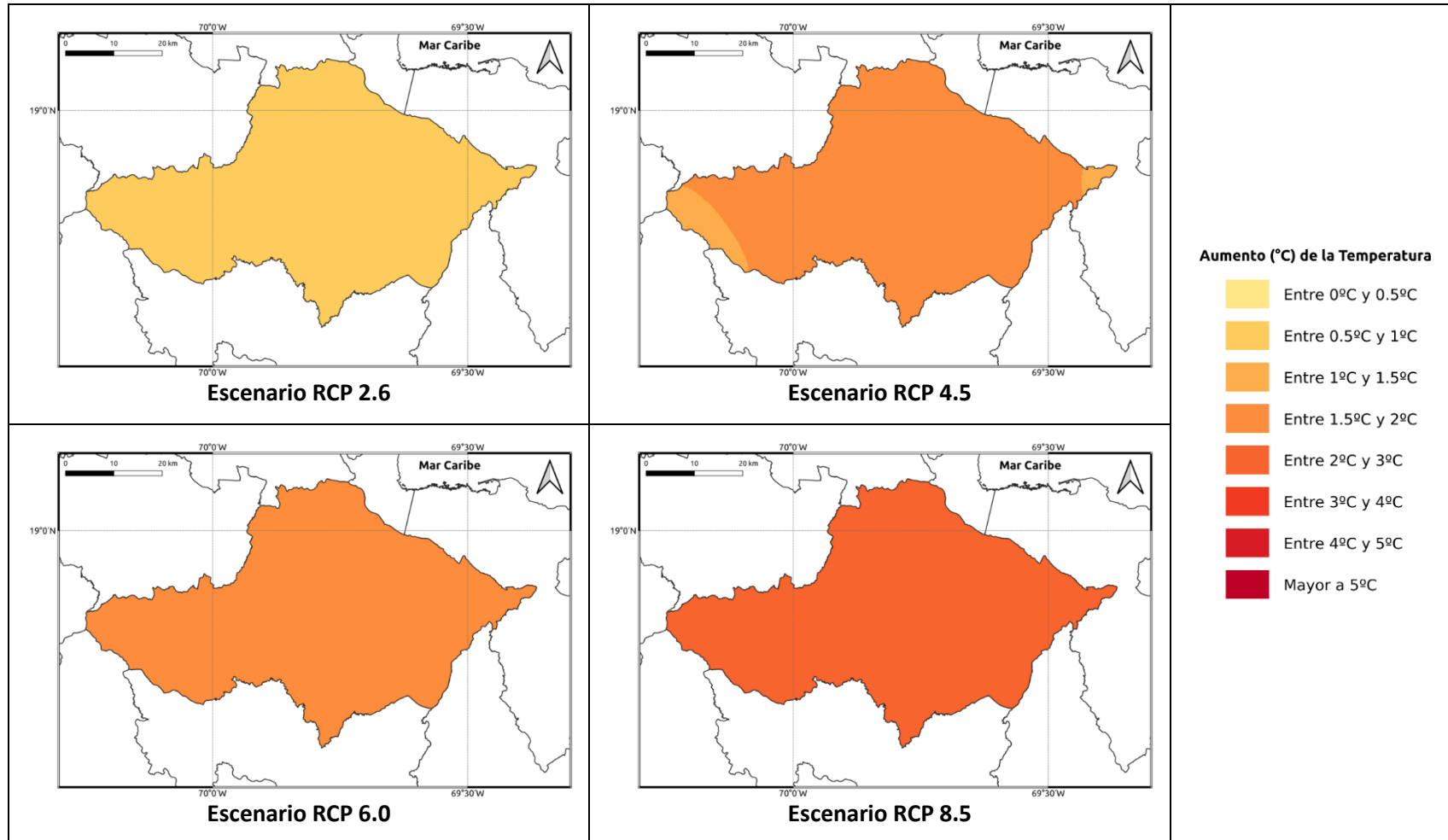


Figura 1.1.19-14. Cambios proyectados en la temperatura media (°C) por el ensamble multimodelo bajo los 4 escenarios RCP en el periodo 2041-2060 para la provincia Monte Plata.



**Figura 1.1.19-15. Cambios proyectados en la temperatura media (°C) por el ensamble multimodelo bajo los 4 escenarios RCP en el periodo 2061-2080 para la provincia Monte Plata.**



**Figura 1.1.19-16. Cambios proyectados en la temperatura media (°C) por el ensamble multimodelo bajo los 4 escenarios RCP en el periodo 2081-2100 para la provincia Monte Plata.**

## **1.1.20 PROVINCIA PEDERNALES**

A continuación, se presenta el análisis espacial de los cambios de las variables climáticas a nivel anual para la provincia **Pedernales**. Los cambios a nivel estacional (trimestral) se pueden consultar en el Anexo 21.

### **Precipitación**

Para esta variable, en el periodo de corto plazo 2021-2040 se presentarían cambios dentro del rango normal de variabilidad (del orden del 5%), con aumentos de esta magnitud bajo los escenarios RCP 2.6 y 6.0 y reducciones en los escenarios RCP 4.5 y 8.5, siendo en este último del orden del 8% (Figura 1.1.20-1). Para el siguiente periodo (2041-2060), bajo el RCP 2.6 se mantiene el aumento de la precipitación del orden del 5%, y en los demás escenarios la tendencia sería a la reducción de la precipitación entre un 4-9% (Figura 1.1.20-2). Para el periodo 2061-2080, en el RCP 2.6 se mantendrían los incrementos del 5%, y bajo los otros escenarios se darían reducciones de la precipitación, del orden del 12-15% bajo el RCP 4.5, entre 7-10% bajo el RCP 6.0 y del 17-19% bajo el RCP 8.5 (Figura 1.1.20-3). Por último, para finales de siglo bajo los 4 escenarios se presentarían reducciones de la precipitación, siendo las de menor magnitud bajo el RCP 2.6 (entre 6-8%) y las más altas bajo el RCP 8.5, con reducciones de más del 30% (Figura 1.1.20-4).

### **Temperatura Máxima**

La temperatura máxima presentaría incrementos bajo los 4 RCP en todos los periodos analizados. En el periodo de corto plazo (2021-2040) la temperatura aumentaría entre 0.7 y 1.3°C, con aumentos de más de 1°C bajo el RCP 8.5 en la mayor parte de la provincia (Figura 1.1.20-5). Para 2041-2060, los aumentos serían de 0.9 a 1.4°C bajo los primeros 3 RCP (2.6, 4.5 y 6.0), y de 1.5 a 1.8°C bajo el RCP 8.5 (Figura 1.1.20-6). En el periodo 2061-2080 los aumentos serían de 0.9 a 2.4°C, manteniéndose el incremento de 0.9 a 1.4°C bajo el RCP 2.6, siendo de 1.4 a 1.8°C bajo los RCP 4.5 y 6.0 y de 2.6°C bajo el RCP 8.5 (Figura 1.1.20-7). Para finales de siglo, los aumentos serían de 0.7 a 1.2°C bajo el RCP 2.6, de 1.7 a 1.9°C bajo el RCP 4.5, de 1.8 a 2.4°C bajo el RCP 6.0 y de 3.2 a 3.8°C bajo el RCP 8.5 (Figura 1.1.20-8).

### **Temperatura Mínima**

En el primer periodo (2021-2040), ésta se incrementaría de 0.3 a 0.8°C en los 4 escenarios RCP (Figura 1.1.20-9). Para 2041-2060 aumentaría de 0.7 a 0.9°C en los 3 primeros escenarios (aunque bajo los RCP 4.5 y 6.0 habría incrementos de 1.1°C hacia el sur de la provincia), y bajo el RCP 8.5 habría aumentos de 1.3°C (Figura 1.1.20-10). En el periodo 2061-2080 la temperatura mínima se incrementaría entre 0.6 y 0.8°C bajo el RCP 2.6, entre 0.9 y 1.4°C bajo los RCP 4.5 y 6.0 y entre 1.7 y 2.2°C



bajo el RCP 8.5, dándose los mayores aumentos hacia el sur de la provincia (Figura 1.1.20-11). Por último, para finales de siglo se mantendría un aumento de 0.8°C en el RCP 2.6, entre 0.9 y 1.4°C bajo el RCP 4.5, entre 1.4 y 1.8°C bajo el RCP 6.0 y de 2.2 a 2.6°C bajo el RCP 8.5 (Figura 1.1.20-12).

#### ***Temperatura Media***

La temperatura media se incrementaría entre 0.6 y 0.8°C en el periodo 2021-2040 bajo los 4 escenarios RCP (Figura 1.1.20-13). En el periodo 2041-2060 se mantendría este mismo rango bajo el RCP 2.6, y en los otros 3 escenarios aumentaría de 0.9 a 1.4°C (Figura 1.1.20-14). Para 2061-2080 la temperatura media aumentaría de 0.7 a 0.8°C bajo el RCP 2.6, de 1.3 a 1.7°C bajo los RCP 4.5 y 6.0 y de 1.7 a 2.4°C bajo el RCP 8.5 (Figura 1.1.20-15). Finalmente, para el periodo 2081-2100 la temperatura subiría entre 0.6 y 0.8°C bajo el RCP 2.6, entre 1.4 y 1.7°C bajo los RCP 4.5 y 6.0 y de 2.4 a 2.8°C bajo el RCP 8.5 (Figura 1.1.20-16).

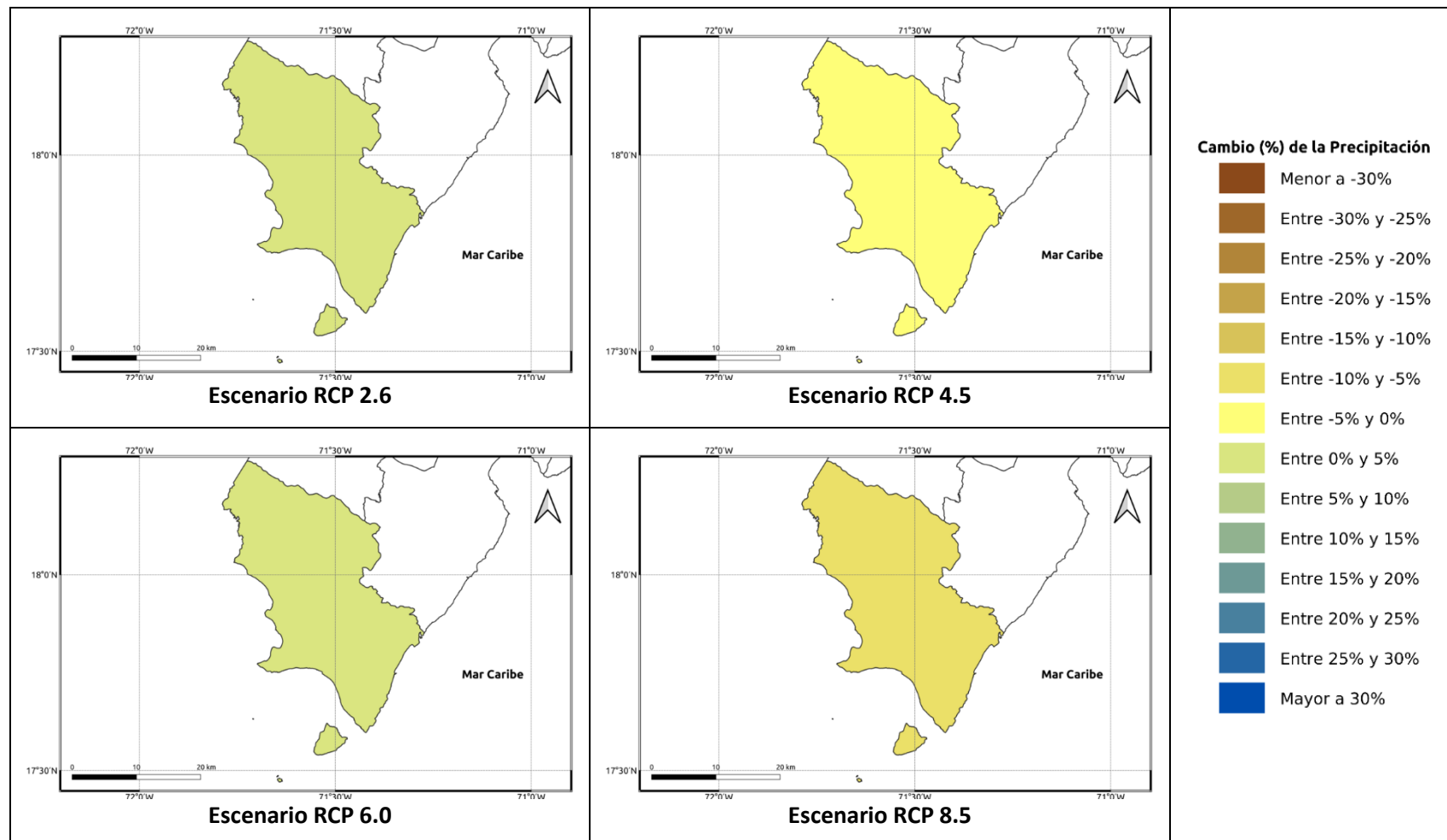


Figura 1.1.20-1. Cambios porcentuales de la precipitación (%) proyectados por el ensamble multimodelo bajo los 4 escenarios RCP en el periodo 2021-2040 para la provincia Pedernales.

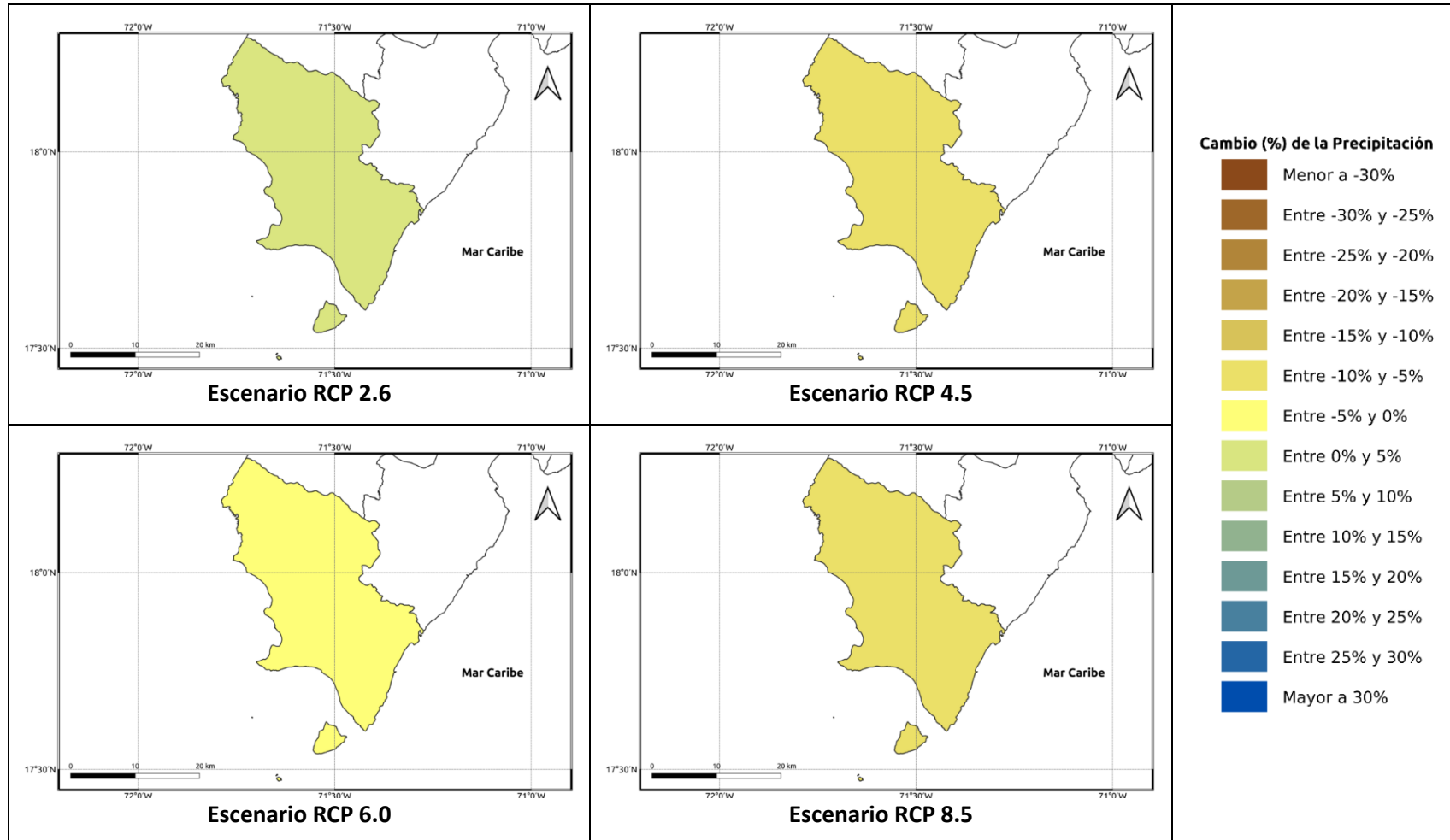


Figura 1.1.20-2. Cambios porcentuales de la precipitación (%) proyectados por el ensamble multimodelo bajo los 4 escenarios RCP en el periodo 2041-2060 para la provincia Pedernales.

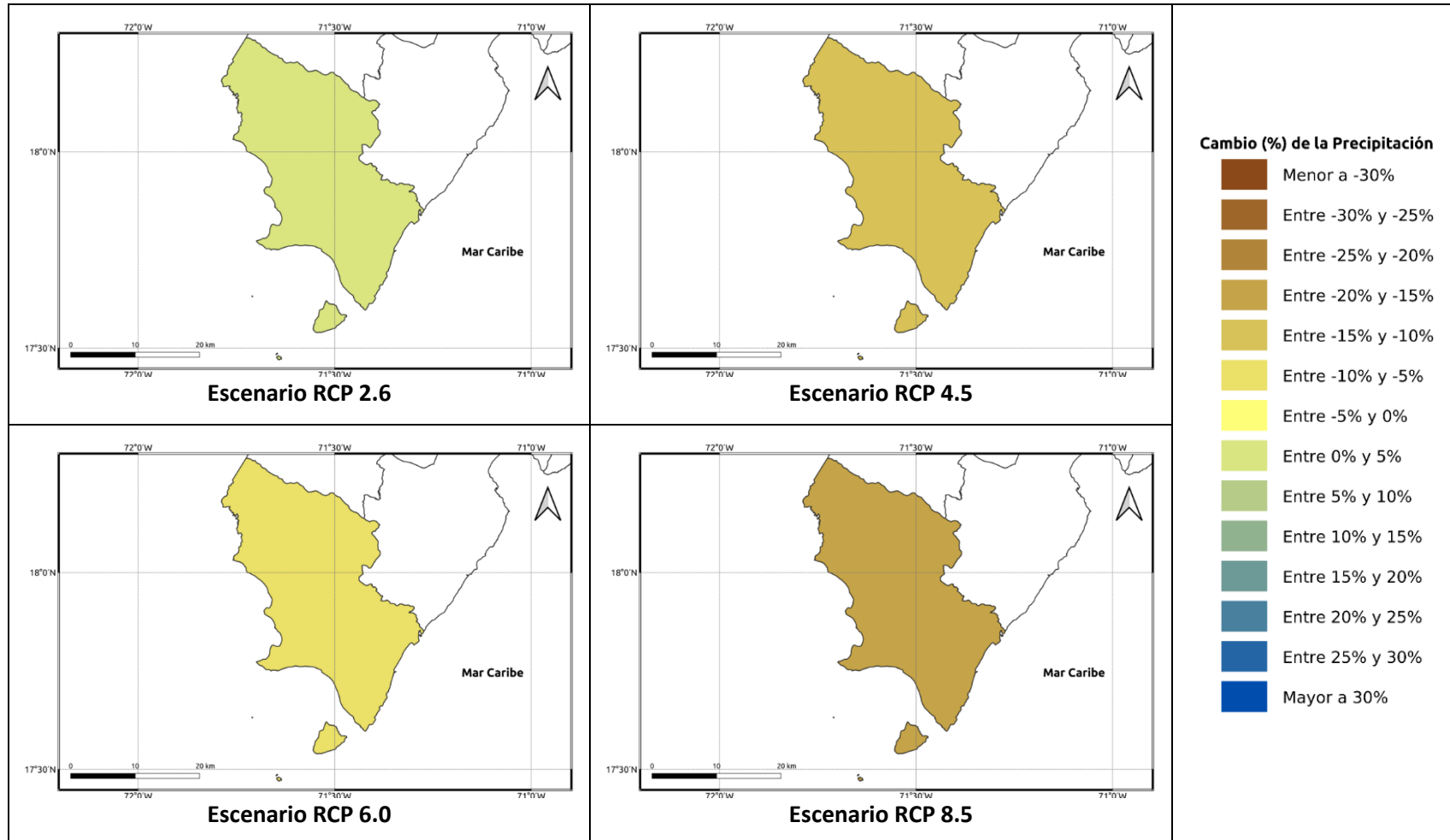


Figura 1.1.20-3. Cambios porcentuales de la precipitación (%) proyectados por el ensamble multimodelo bajo los 4 escenarios RCP en el periodo 2061-2080 para la provincia Pedernales.

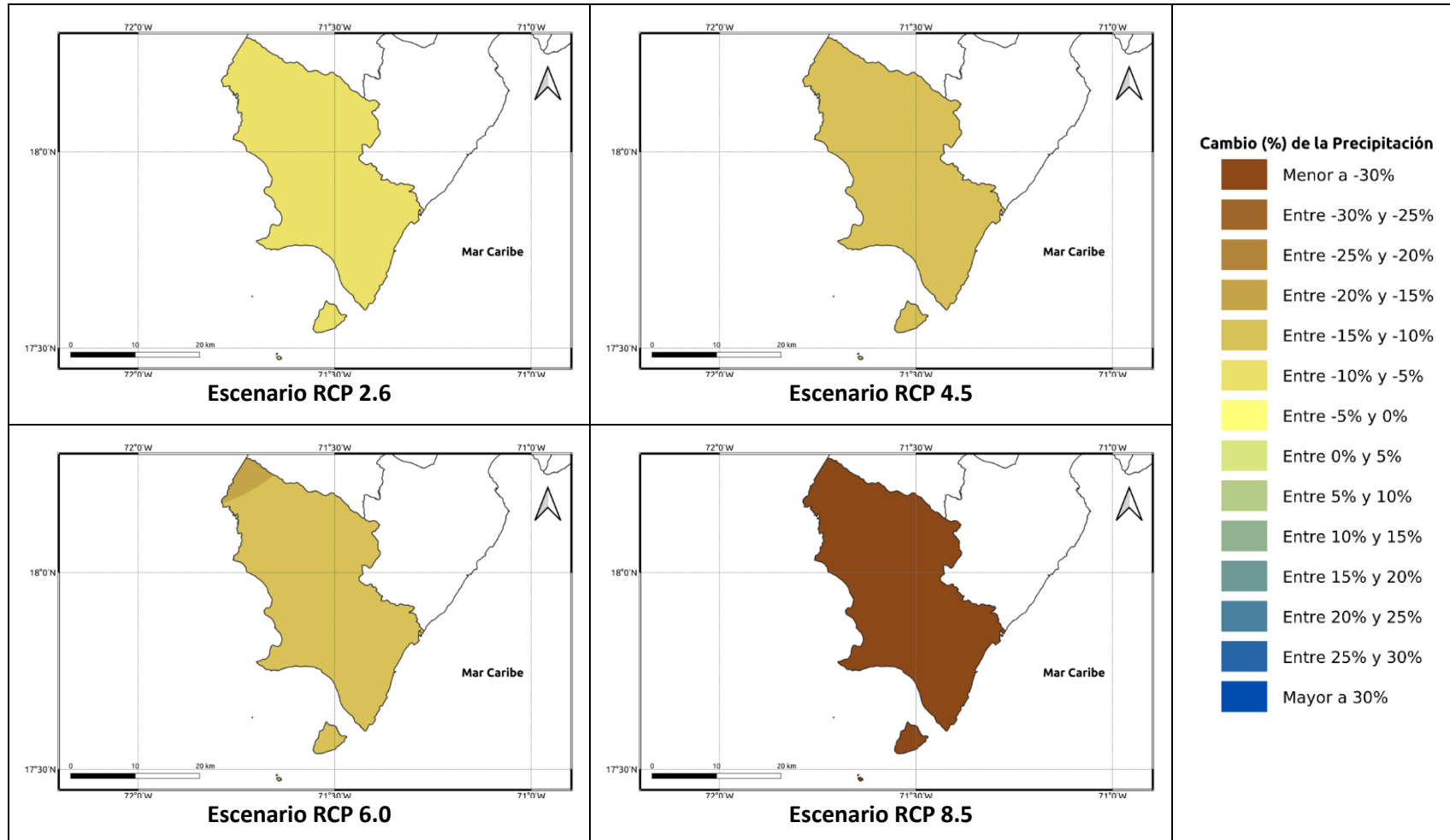


Figura 1.1.20-4. Cambios porcentuales de la precipitación (%) proyectados por el ensamble multimodelo bajo los 4 escenarios RCP en el periodo 2081-2100 para la provincia Pedernales.

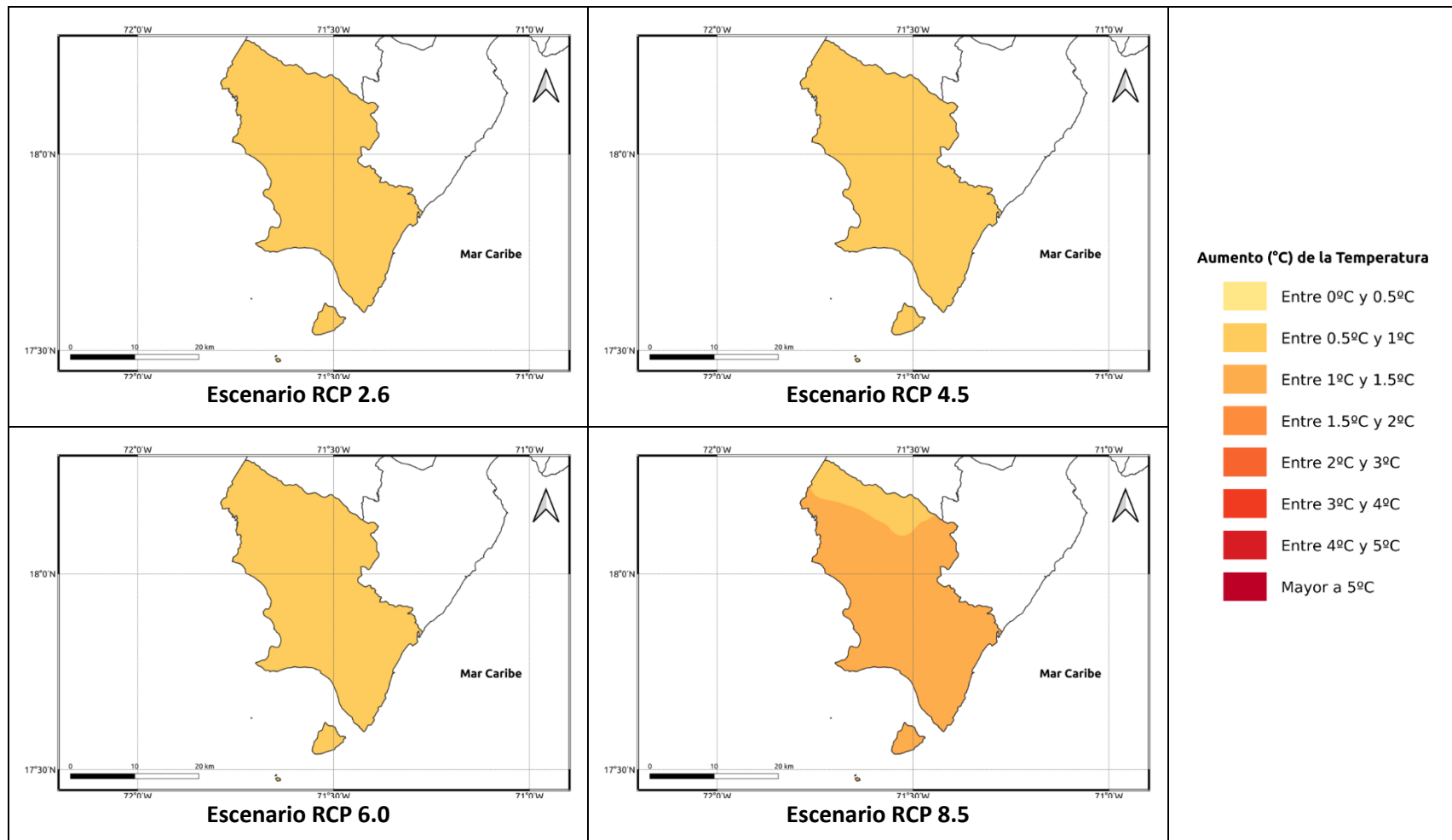
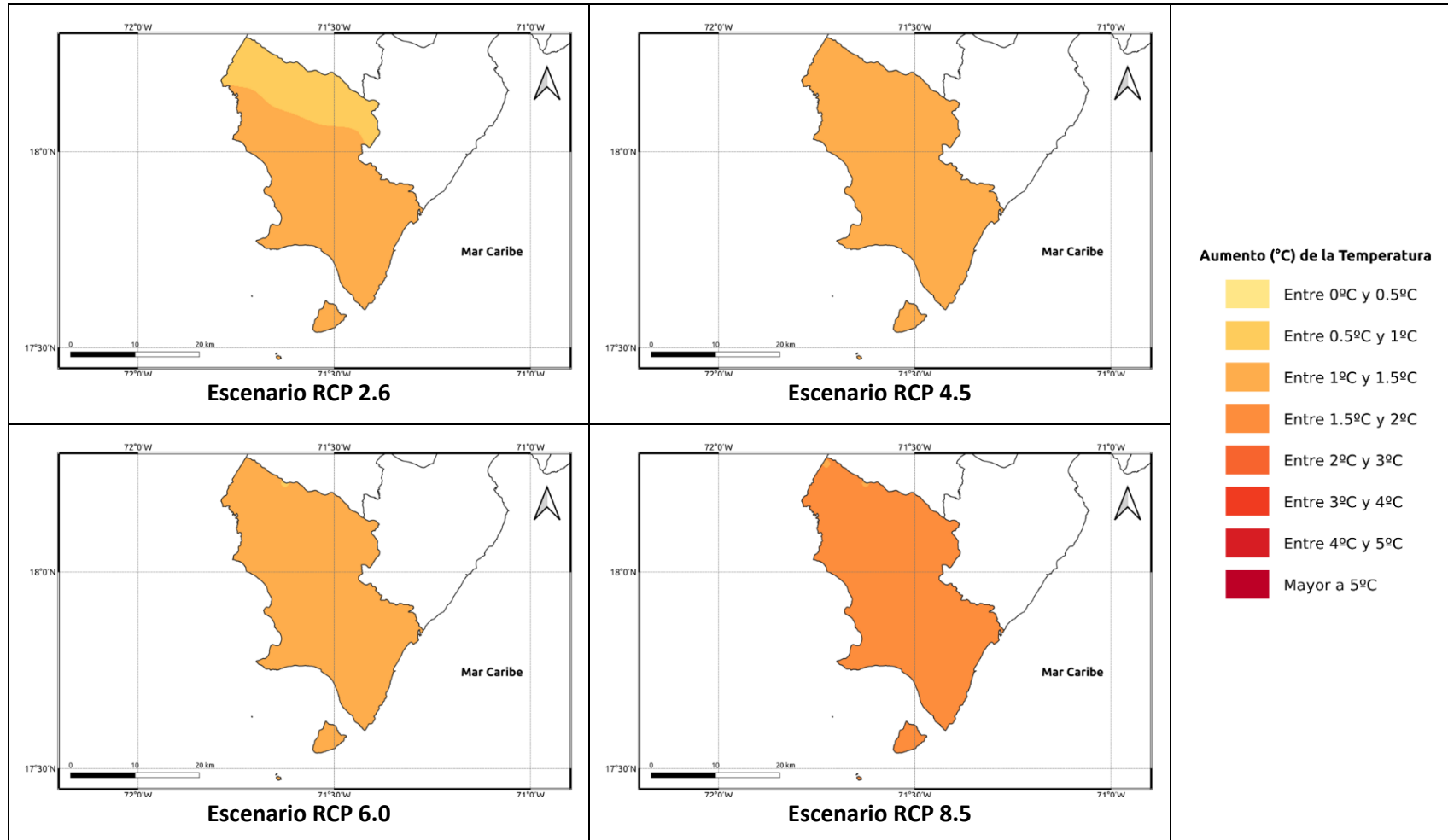
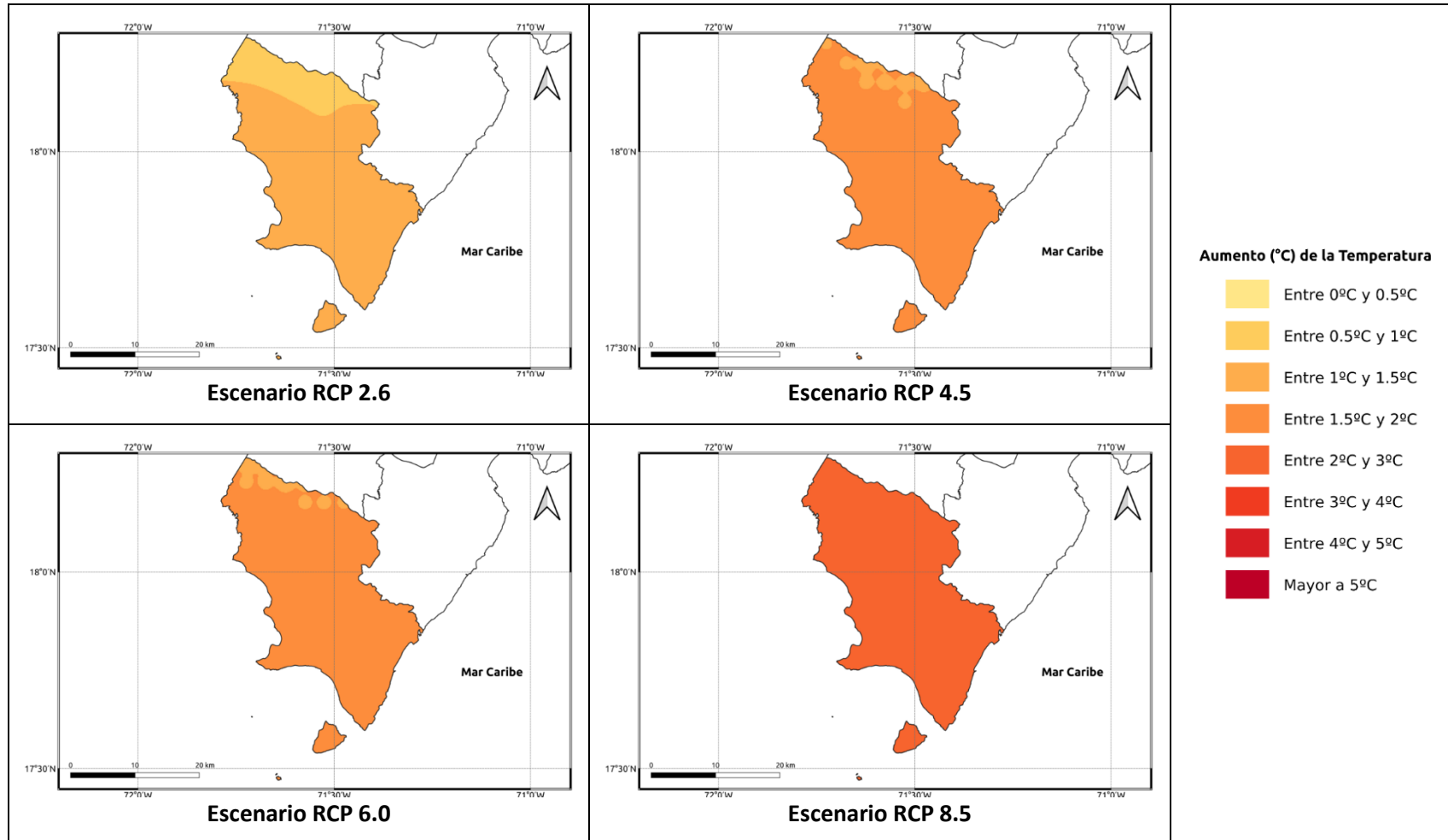


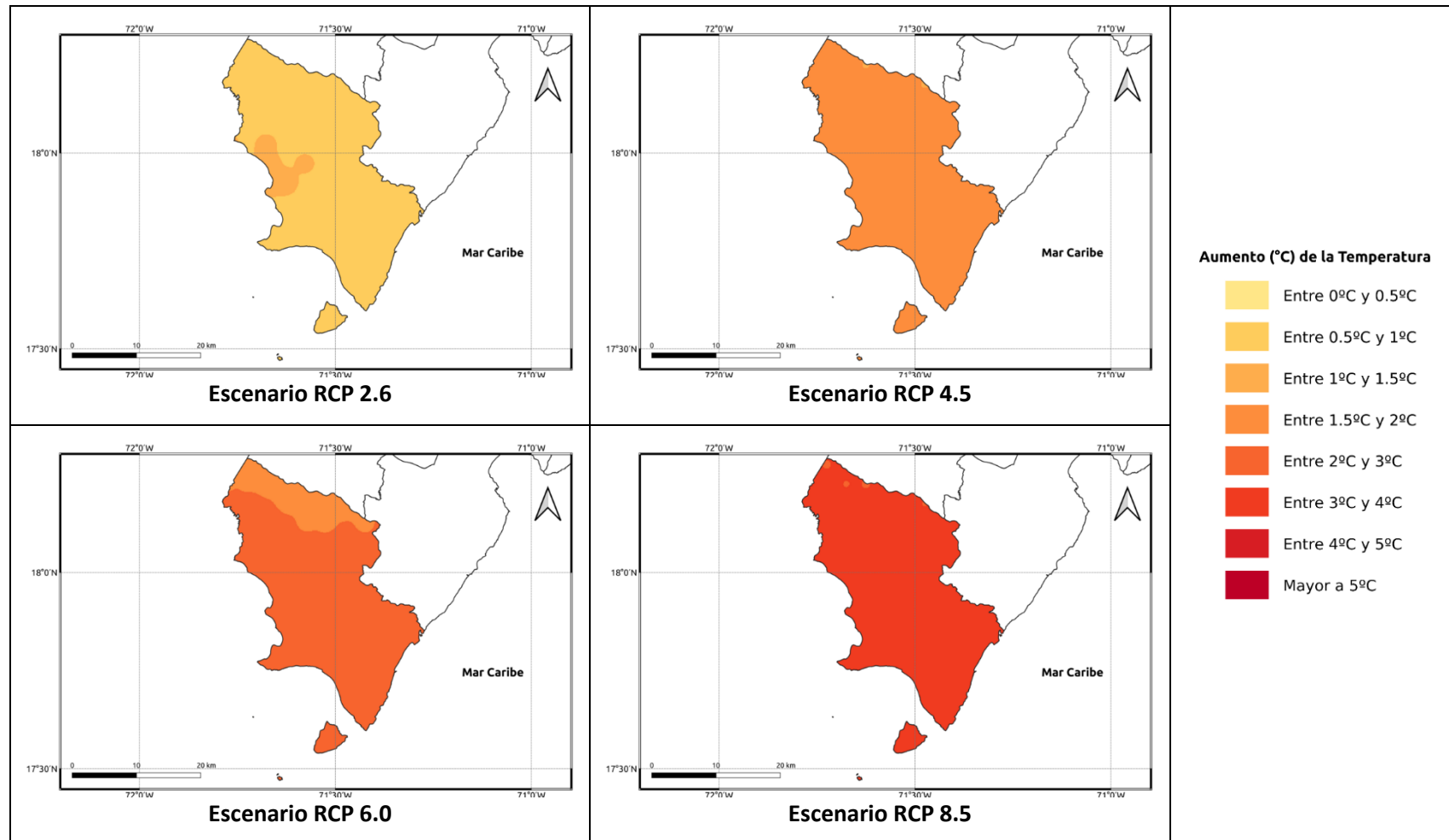
Figura 1.1.20-5. Cambios proyectados en la temperatura máxima (°C) por el ensamble multimodelo bajo los 4 escenarios RCP en el periodo 2021-2040 para la provincia Pedernales.



**Figura 1.1.20-6. Cambios proyectados en la temperatura máxima (°C) por el ensamble multimodelo bajo los 4 escenarios RCP en el periodo 2041-2060 para la provincia Pedernales.**



**Figura 1.1.20-7. Cambios proyectados en la temperatura máxima (°C) por el ensamble multimodelo bajo los 4 escenarios RCP en el periodo 2061-2080 para la provincia Pedernales.**



**Figura 1.1.20-8. Cambios proyectados en la temperatura máxima (°C) por el ensamble multimodelo bajo los 4 escenarios RCP en el periodo 2081-2100 para la provincia Pedernales.**

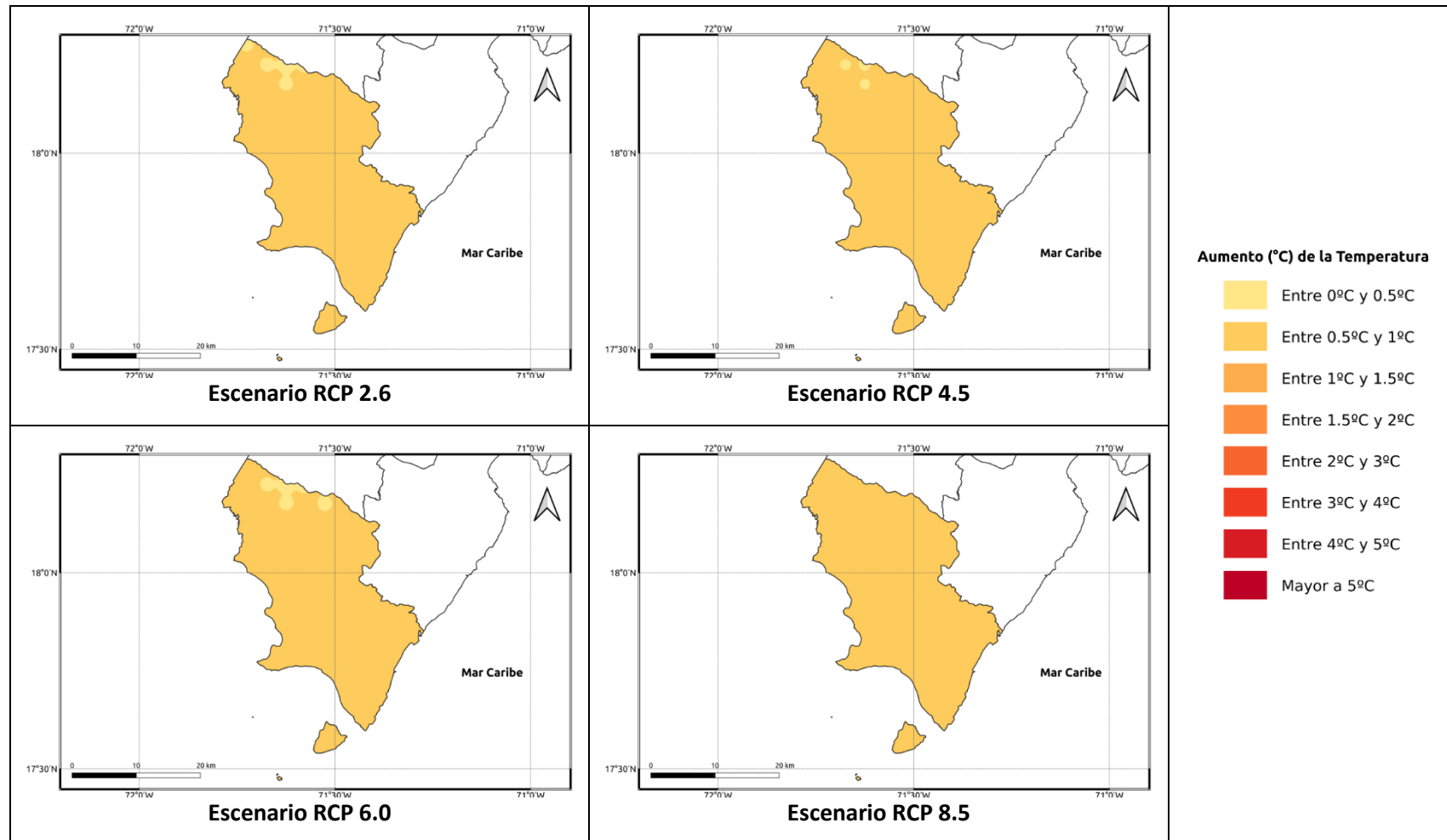


Figura 1.1.20-9. Cambios proyectados en la temperatura mínima (°C) por el ensamble multimodelo bajo los 4 escenarios RCP en el periodo 2021-2040 para la provincia Pedernales.

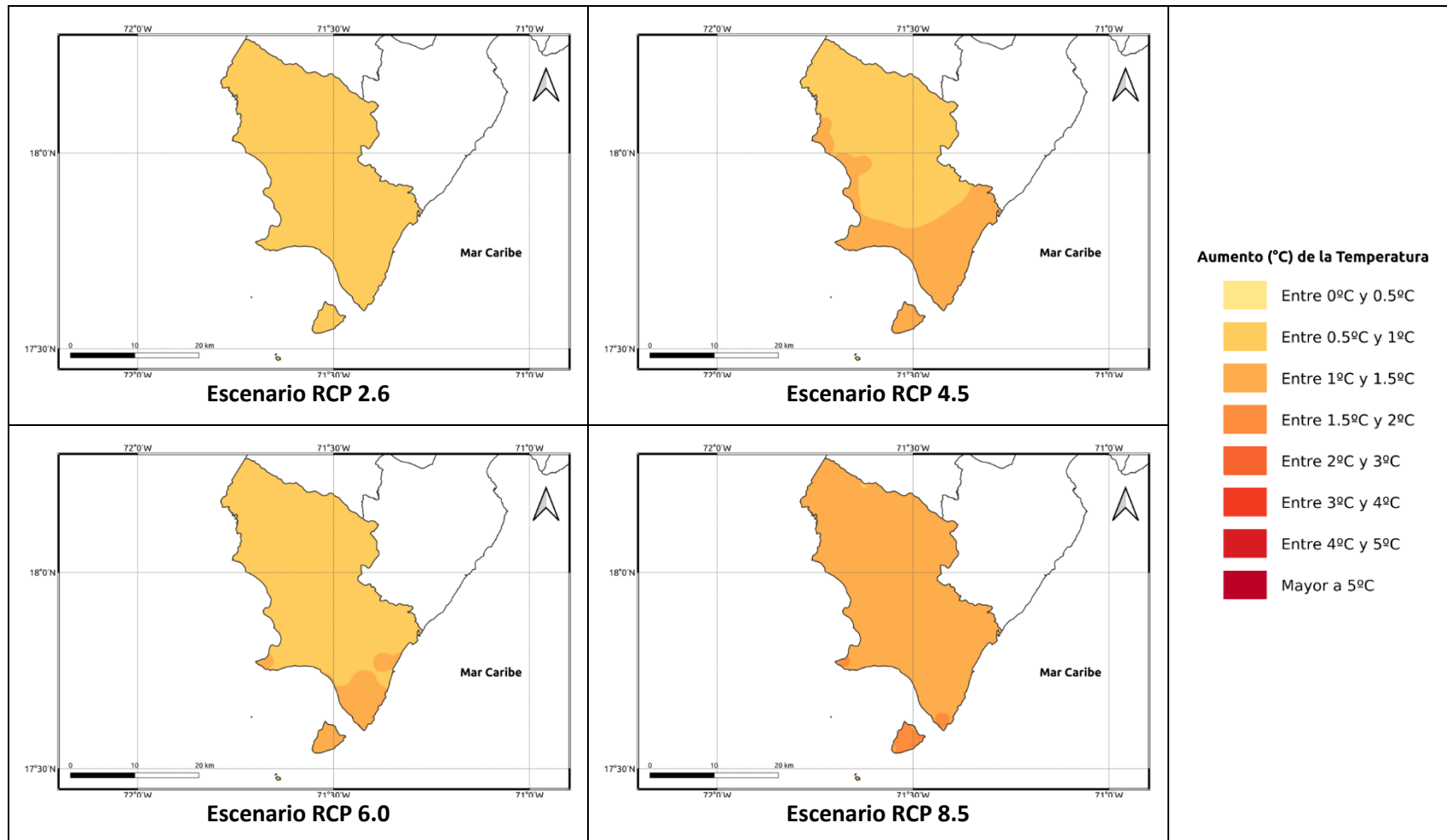
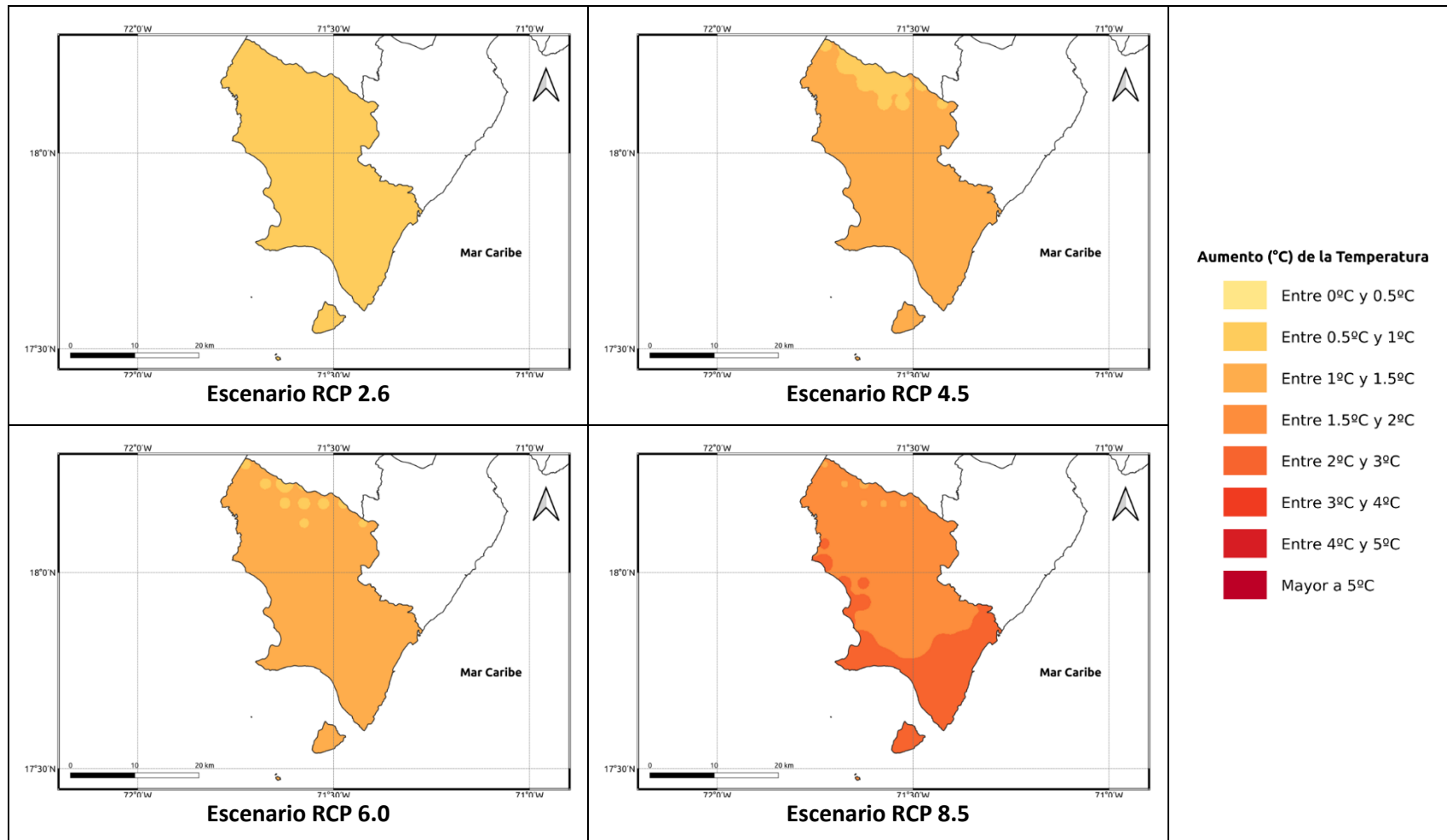


Figura 1.1.20-10. Cambios proyectados en la temperatura mínima (°C) por el ensamble multimodelo bajo los 4 escenarios RCP en el periodo 2041-2060 para la provincia Pedernales.



**Figura 1.1.20-11. Cambios proyectados en la temperatura mínima (°C) por el ensamble multimodelo bajo los 4 escenarios RCP en el periodo 2061-2080 para la provincia Pedernales.**

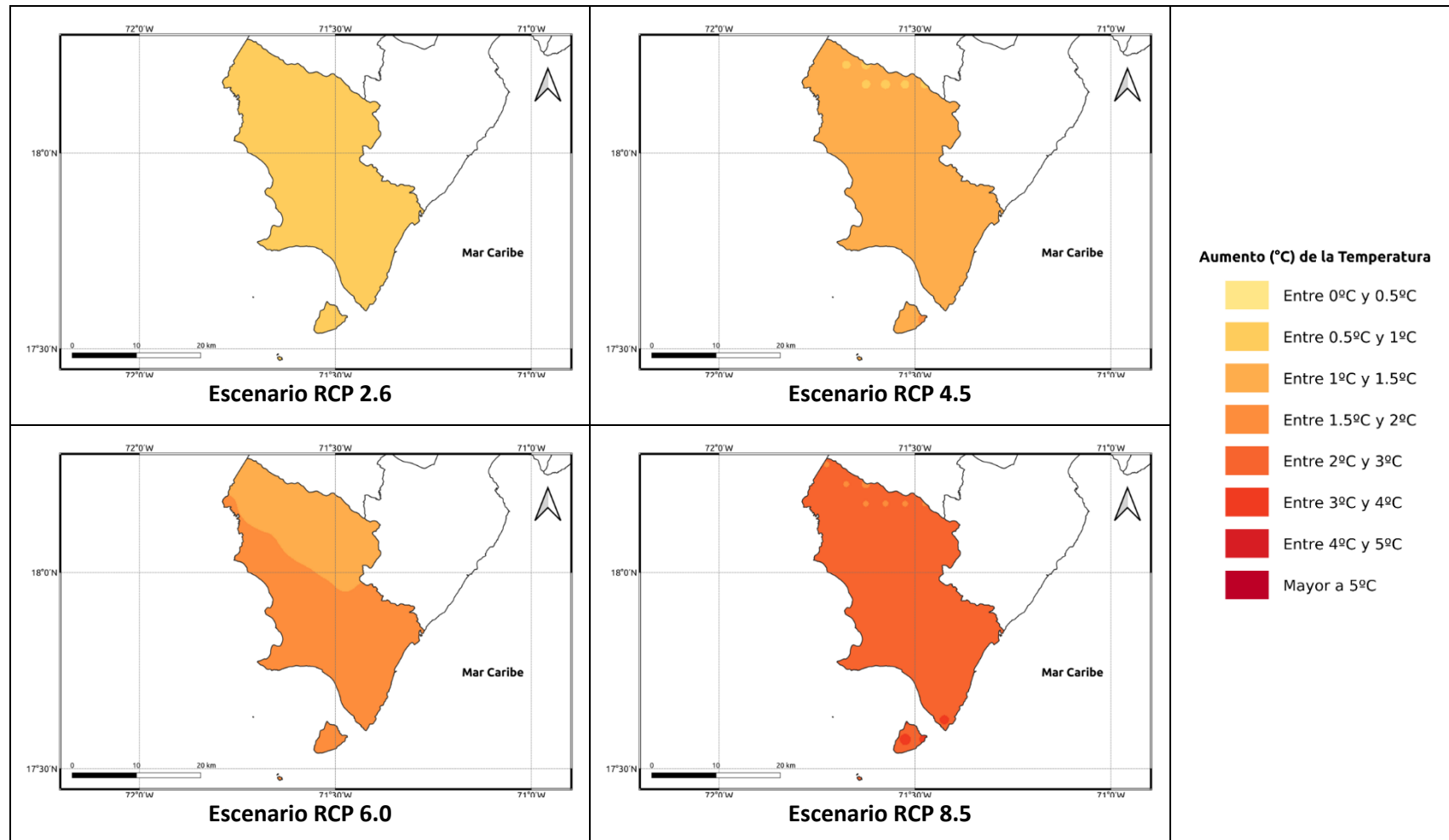


Figura 1.1.20-12. Cambios proyectados en la temperatura mínima (°C) por el ensamble multimodelo bajo los 4 escenarios RCP en el periodo 2081-2100 para la provincia Pedernales.

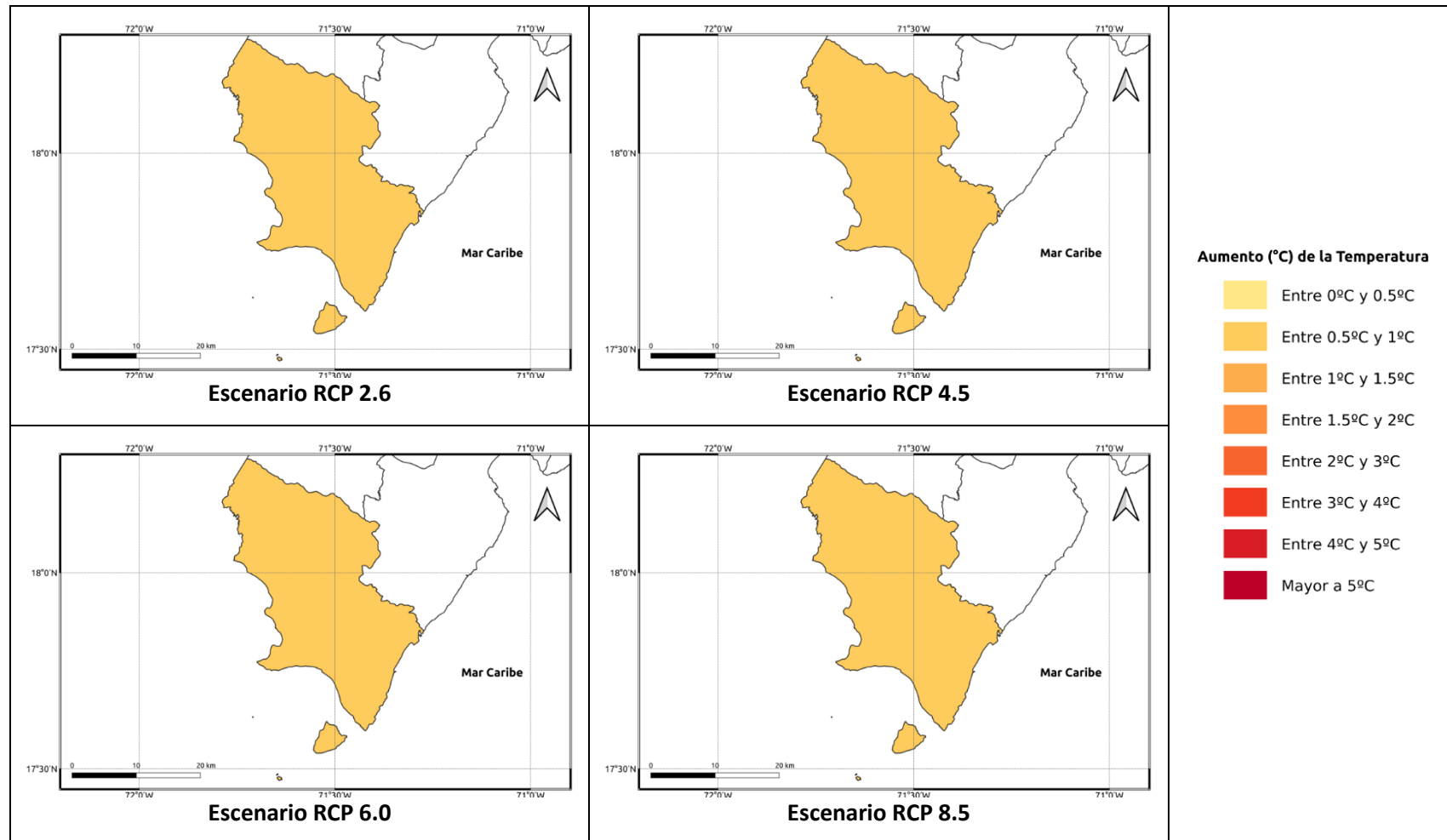
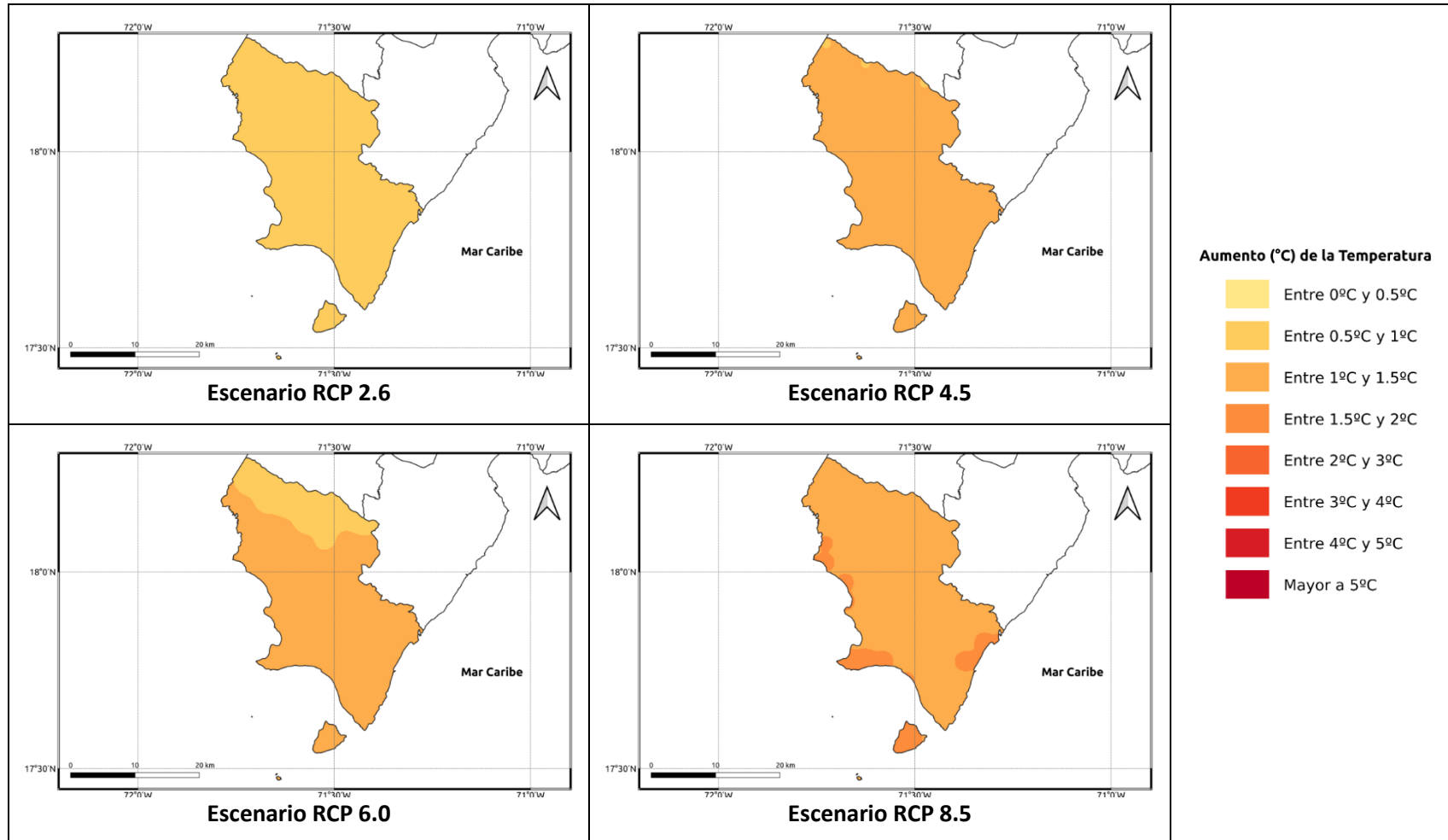
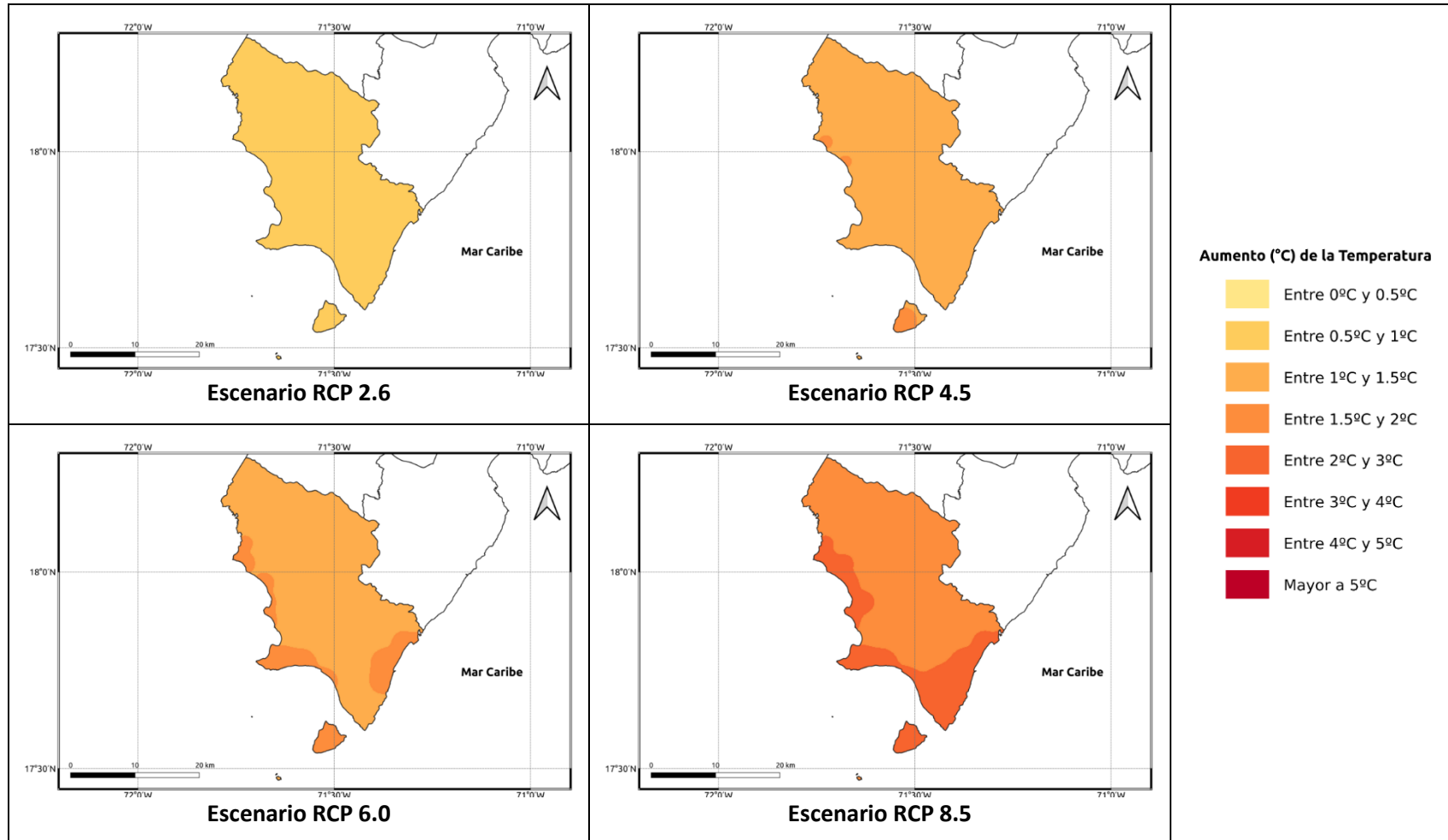


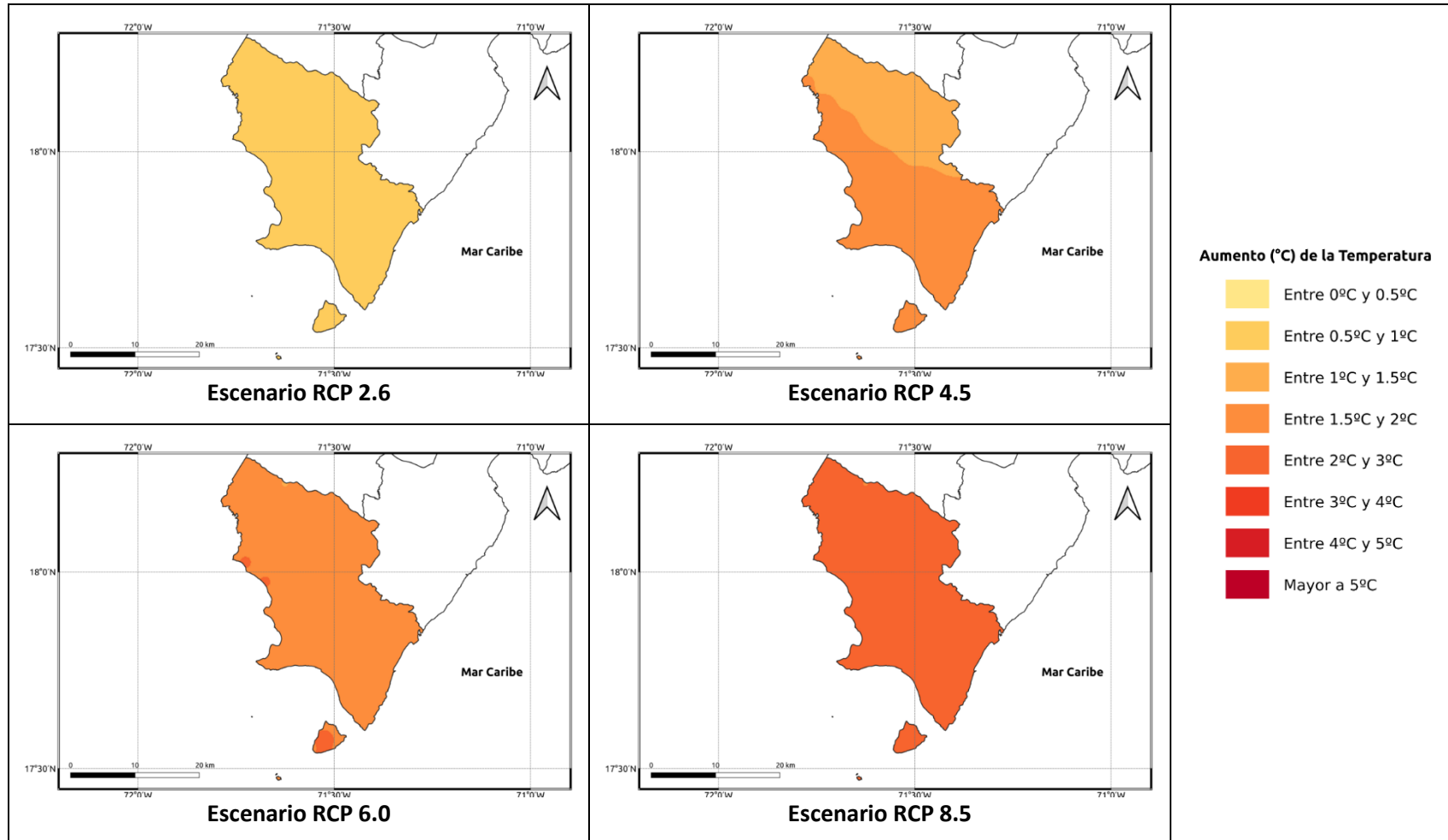
Figura 1.1.20-13. Cambios proyectados en la temperatura media (°C) por el ensamble multimodelo bajo los 4 escenarios RCP en el periodo 2021-2040 para la provincia Pedernales.



**Figura 1.1.20-14. Cambios proyectados en la temperatura media (°C) por el ensamble multimodelo bajo los 4 escenarios RCP en el periodo 2041-2060 para la provincia Pedernales.**



**Figura 1.1.20-15. Cambios proyectados en la temperatura media (°C) por el ensamble multimodelo bajo los 4 escenarios RCP en el periodo 2061-2080 para la provincia Pedernales.**



**Figura 1.1.20-16. Cambios proyectados en la temperatura media (°C) por el ensamble multimodelo bajo los 4 escenarios RCP en el periodo 2081-2100 para la provincia Pedernales.**

### **1.1.21 PROVINCIA PERAVIA**

A continuación, se presenta el análisis espacial de los cambios de las variables climáticas a nivel anual para la provincia **Peravia**. Los cambios a nivel estacional (trimestral) se pueden consultar en el Anexo 22.

#### **Precipitación**

Para esta variable, en el periodo de corto plazo 2021-2040 se presentarían cambios dentro del rango normal de variabilidad (del orden del 5%), con aumentos de esta magnitud bajo los escenarios RCP 2.6 y 6.0 en la mayor parte de la provincia, y reducciones en la zona central de la misma bajo el RCP 2.6. En los escenarios RCP 4.5 y 8.5 se darían reducciones de la misma magnitud, y dándose disminuciones del 8% bajo el último escenario (Figura 1.1.21-1). Para el siguiente periodo (2041-2060), bajo el RCP 2.6 se mantiene el aumento de la precipitación del orden del 5% en la mayor parte de la provincia, y en los demás escenarios la tendencia sería a la reducción de la precipitación entre un 4-9% (Figura 1.1.21-2). Para el periodo 2061-2080 los 4 escenarios presentarían reducciones, del orden del 5% bajo el RCP 2.6, entre 12-14% bajo el RCP 4.5, entre 7-9% bajo el RCP 6.0 y del 21-24% bajo el RCP 8.5 (Figura 1.1.21-3). Por último, para finales de siglo bajo los 4 escenarios también se presentarían reducciones de la precipitación, siendo las de menor magnitud bajo el RCP 2.6 (entre 6-8%) y las más altas bajo el RCP 8.5, con reducciones de más del 30% (Figura 1.1.21-4).

#### **Temperatura Máxima**

La temperatura máxima presentaría incrementos bajo los 4 RCP en todos los periodos analizados. En el periodo de corto plazo (2021-2040) la temperatura aumentaría entre 0.7 y 1.3°C, con aumentos de más de 1°C bajo el RCP 8.5 (Figura 1.1.21-5). Para 2041-2060, los aumentos serían de 0.7 a 1.4°C bajo los primeros 3 RCP (2.6, 4.5 y 6.0), y de 1.5 a 1.8°C bajo el RCP 8.5 (Figura 1.1.21-6). En el periodo 2061-2080 los aumentos serían de 0.7 a 2.4°C, manteniéndose el incremento de 0.7 a 1.4°C bajo el RCP 2.6, siendo de 1.4 a 1.8°C bajo los RCP 4.5 y 6.0 y de 2.6°C bajo el RCP 8.5 (Figura 1.1.21-7). Para finales de siglo, los aumentos serían de 0.7 a 0.9°C bajo el RCP 2.6, de 1.6 a 1.9°C bajo el RCP 4.5, de 1.9 a 2.4°C bajo el RCP 6.0 y de 3.2 a 3.8°C bajo el RCP 8.5 (Figura 1.1.21-8).

#### **Temperatura Mínima**

En el primer periodo (2021-2040), ésta se incrementaría de 0.3 a 0.8°C en los 4 escenarios RCP (Figura 1.1.21-9). Para 2041-2060 aumentaría de 0.7 a 0.9°C en los 3 primeros escenarios (aunque bajo los RCP 4.5 y 6.0 habría incrementos de 1.1°C hacia el sur de la provincia), y bajo el RCP 8.5 habría aumentos de 1.3°C (Figura



1.1.21-10). En el periodo 2061-2080 la temperatura mínima se incrementaría entre 0.6 y 0.8°C bajo el RCP 2.6, entre 1.1 y 1.4°C bajo los RCP 4.5 y 6.0 y entre 1.7 y 2.2°C bajo el RCP 8.5, dándose los mayores aumentos hacia el sur de la provincia (Figura 1.1.21-11). Por último, para finales de siglo se mantendría un aumento de 0.8°C en el RCP 2.6, entre 1.1 y 1.4°C bajo el RCP 4.5, entre 1.4 y 1.8°C bajo el RCP 6.0 y de 2.2 a 2.6°C bajo el RCP 8.5 (Figura 1.1.21-12).

#### ***Temperatura Media***

La temperatura media se incrementaría entre 0.6 y 0.8°C en el periodo 2021-2040 bajo los 4 escenarios RCP (Figura 1.1.21-13). En el periodo 2041-2060 se mantendría este mismo rango bajo el RCP 2.6, y en los otros 3 escenarios aumentaría de 1.1 a 1.5°C (Figura 1.1.21-14). Para 2061-2080 la temperatura media aumentaría de 0.7 a 0.8°C bajo el RCP 2.6, de 1.3 a 1.6°C bajo los RCP 4.5 y 6.0 y de 1.7 a 2.4°C bajo el RCP 8.5, con los incrementos más altos en el suroccidente de la provincia (Figura 1.1.21-15). Finalmente, para el periodo 2081-2100 la temperatura subiría entre 0.6 y 0.8°C bajo el RCP 2.6, entre 1.4 y 1.7°C bajo el RCP 4.5, de 1.6 a 1.9°C bajo el RCP 6.0 y de 2.4 a 2.8°C bajo el RCP 8.5 (Figura 1.1.21-16).

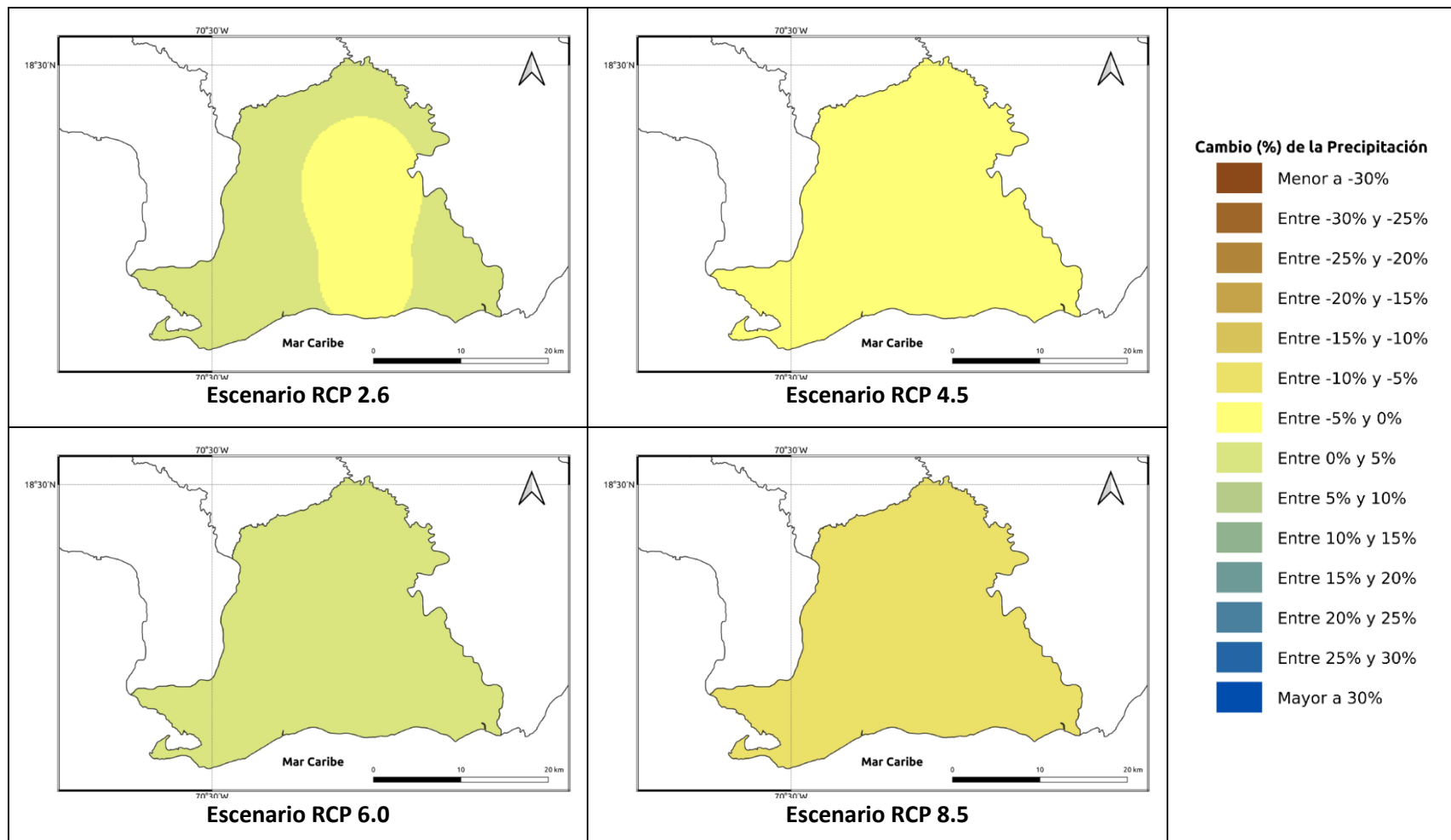


Figura 1.1.21-1. Cambios porcentuales de la precipitación (%) proyectados por el ensamble multimodelo bajo los 4 escenarios RCP en el periodo 2021-2040 para la provincia Peravia.

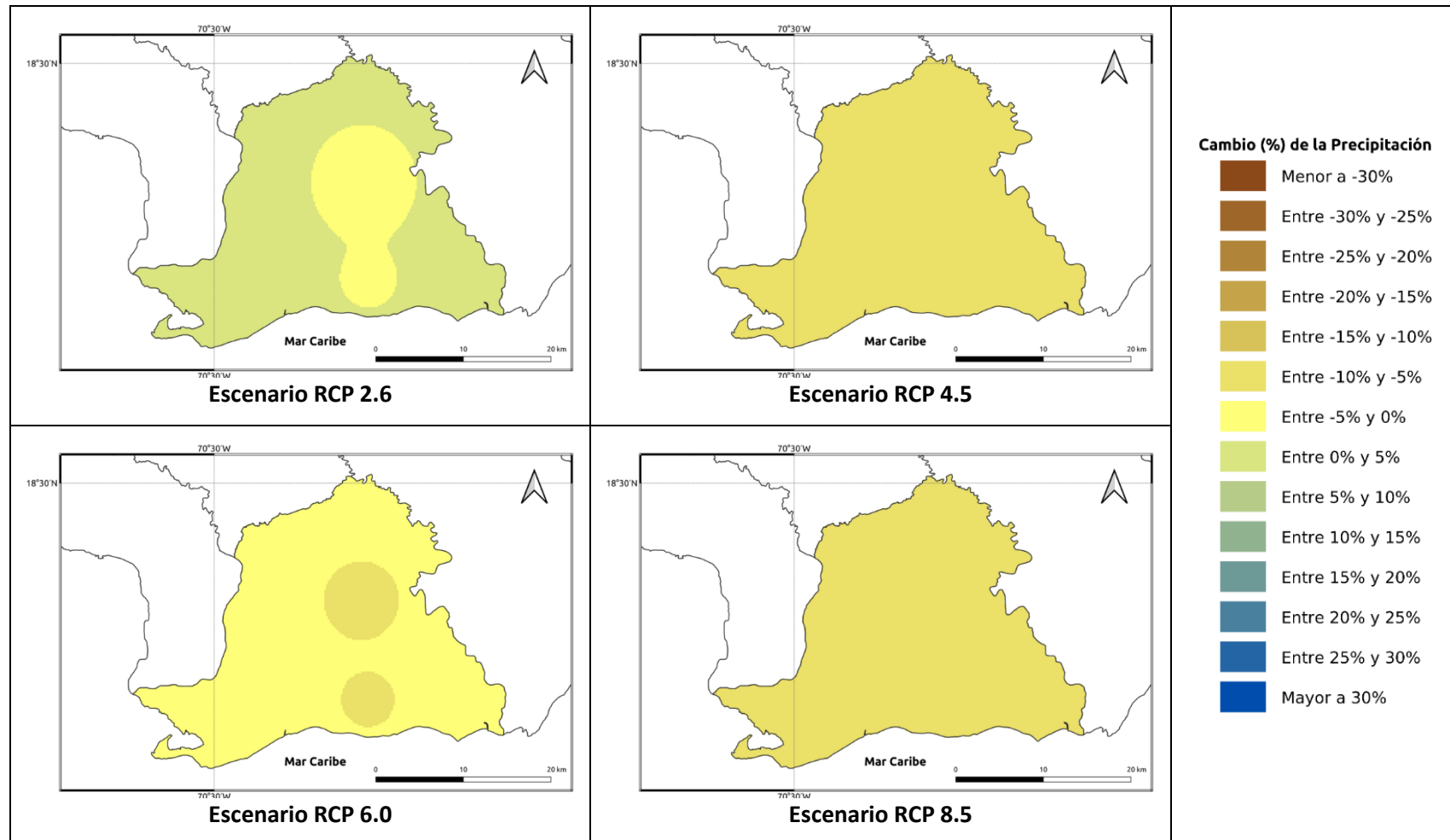


Figura 1.1.21-2. Cambios porcentuales de la precipitación (%) proyectados por el ensamble multimodelo bajo los 4 escenarios RCP en el periodo 2041-2060 para la provincia Peravia.

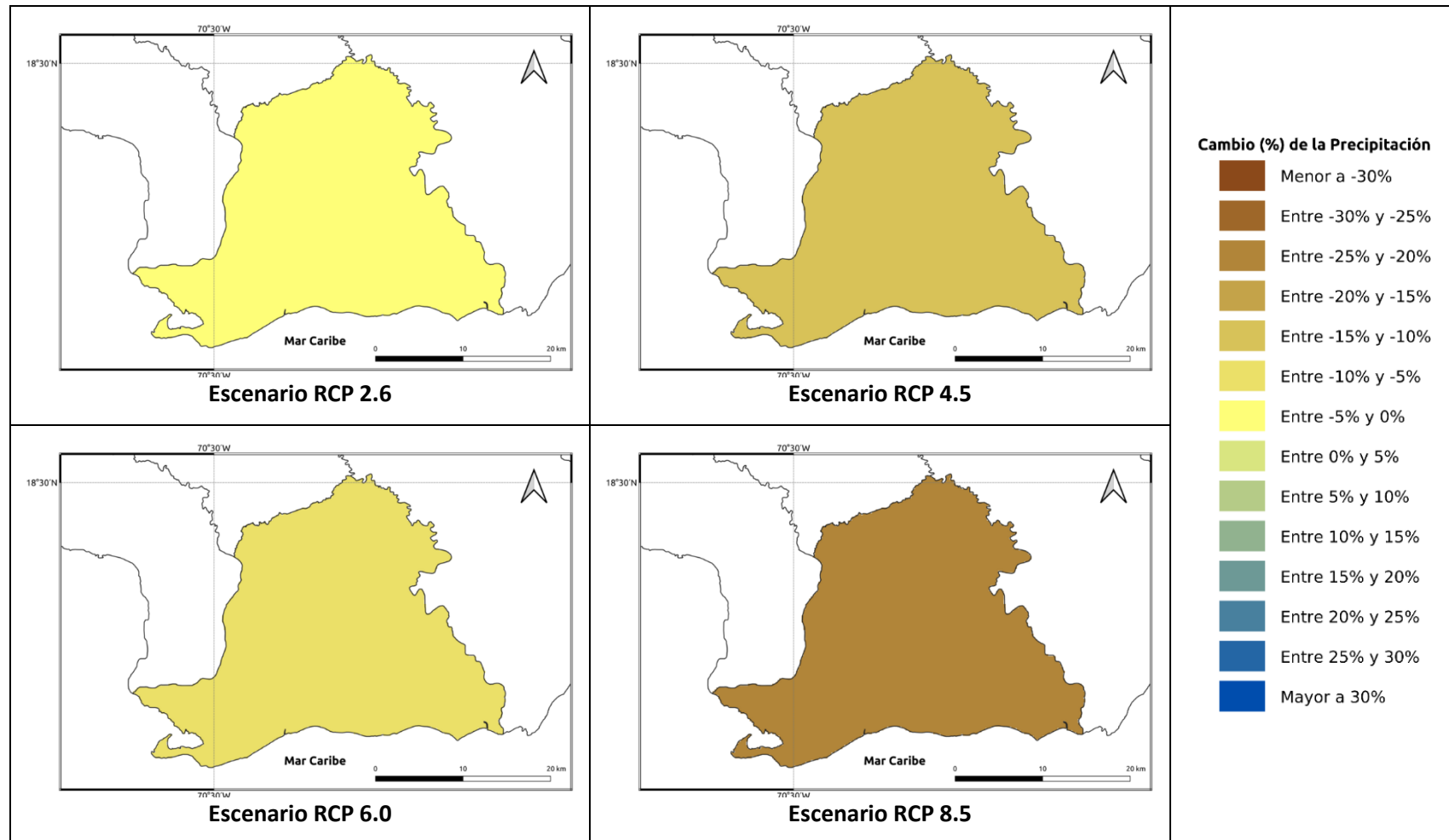


Figura 1.1.21-3. Cambios porcentuales de la precipitación (%) proyectados por el ensamble multimodelo bajo los 4 escenarios RCP en el periodo 2061-2080 para la provincia Peravia.

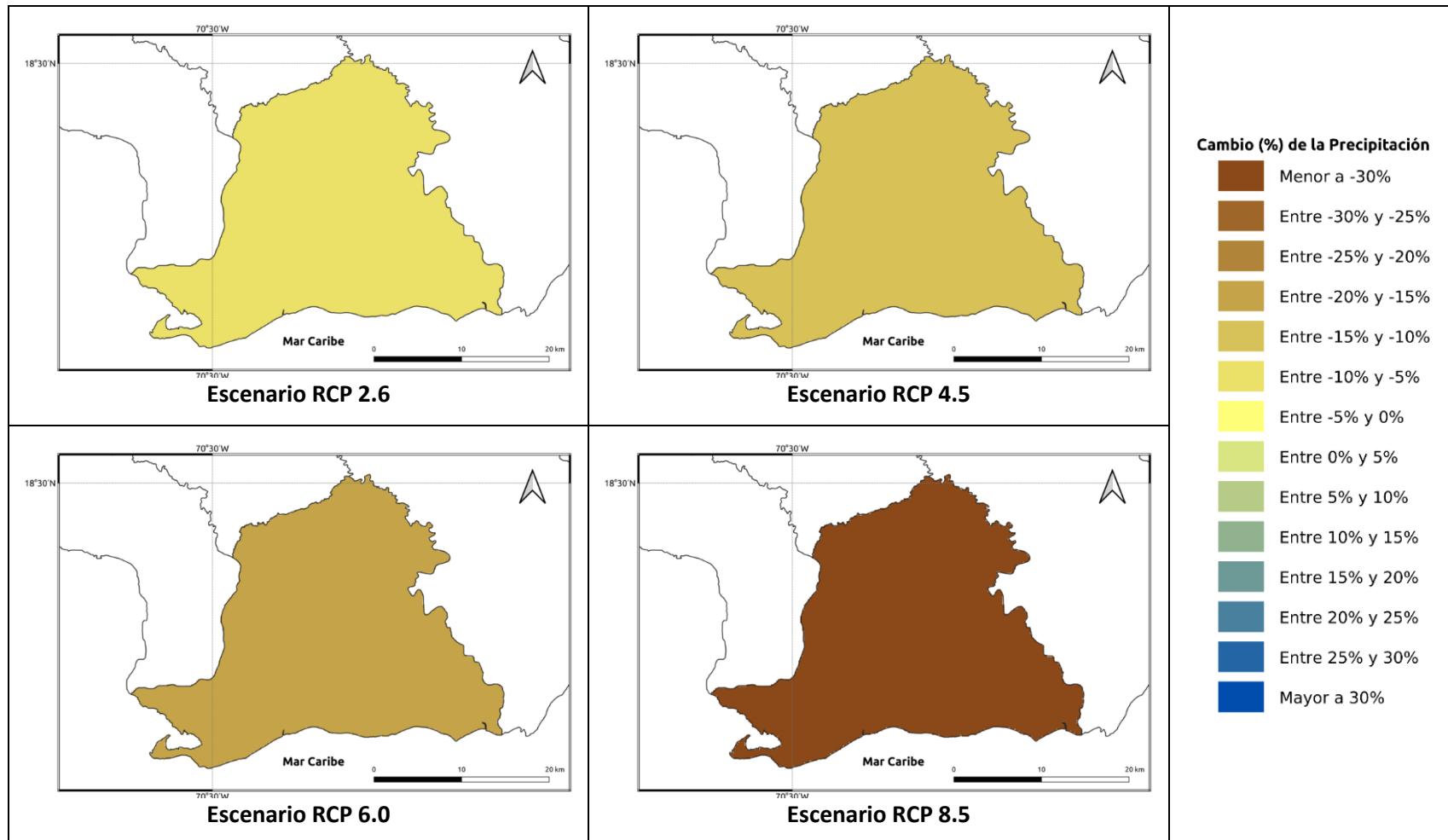
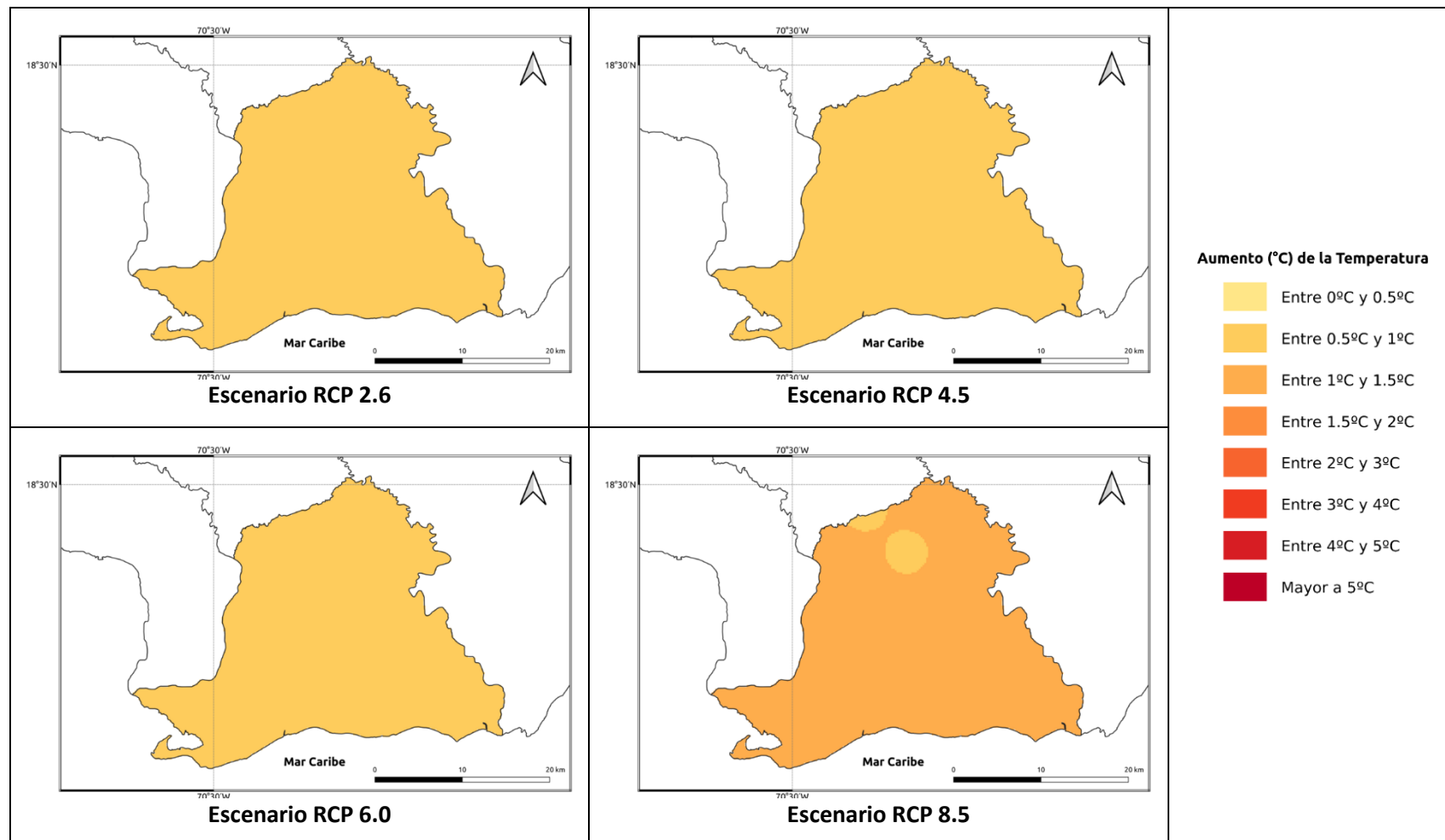


Figura 1.1.21-4. Cambios porcentuales de la precipitación (%) proyectados por el ensamble multimodelo bajo los 4 escenarios RCP en el periodo 2081-2100 para la provincia Peravia.



**Figura 1.1.21-5. Cambios proyectados en la temperatura máxima (°C) por el ensamble multimodelo bajo los 4 escenarios RCP en el periodo 2021-2040 para la provincia Peravia.**

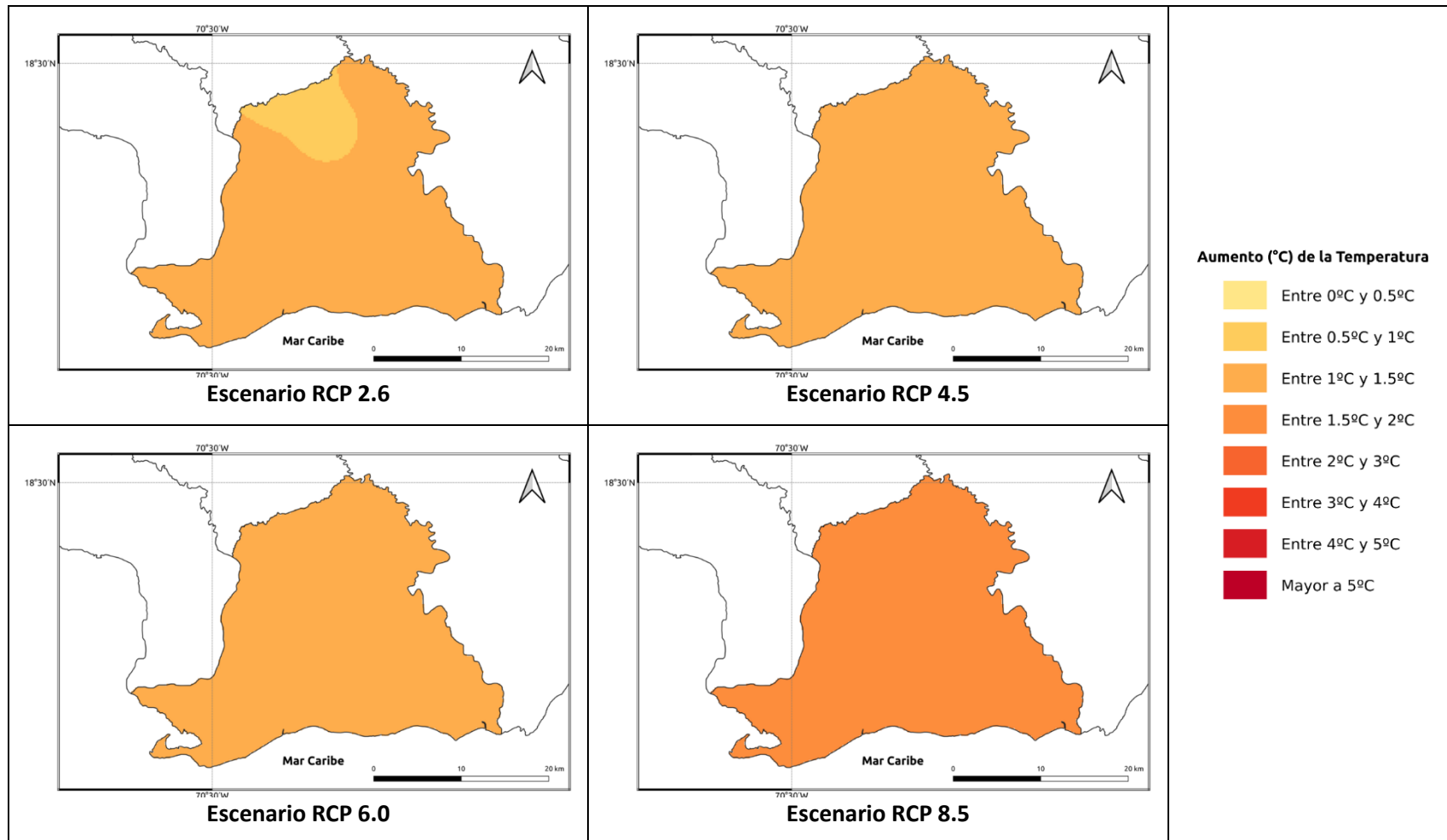
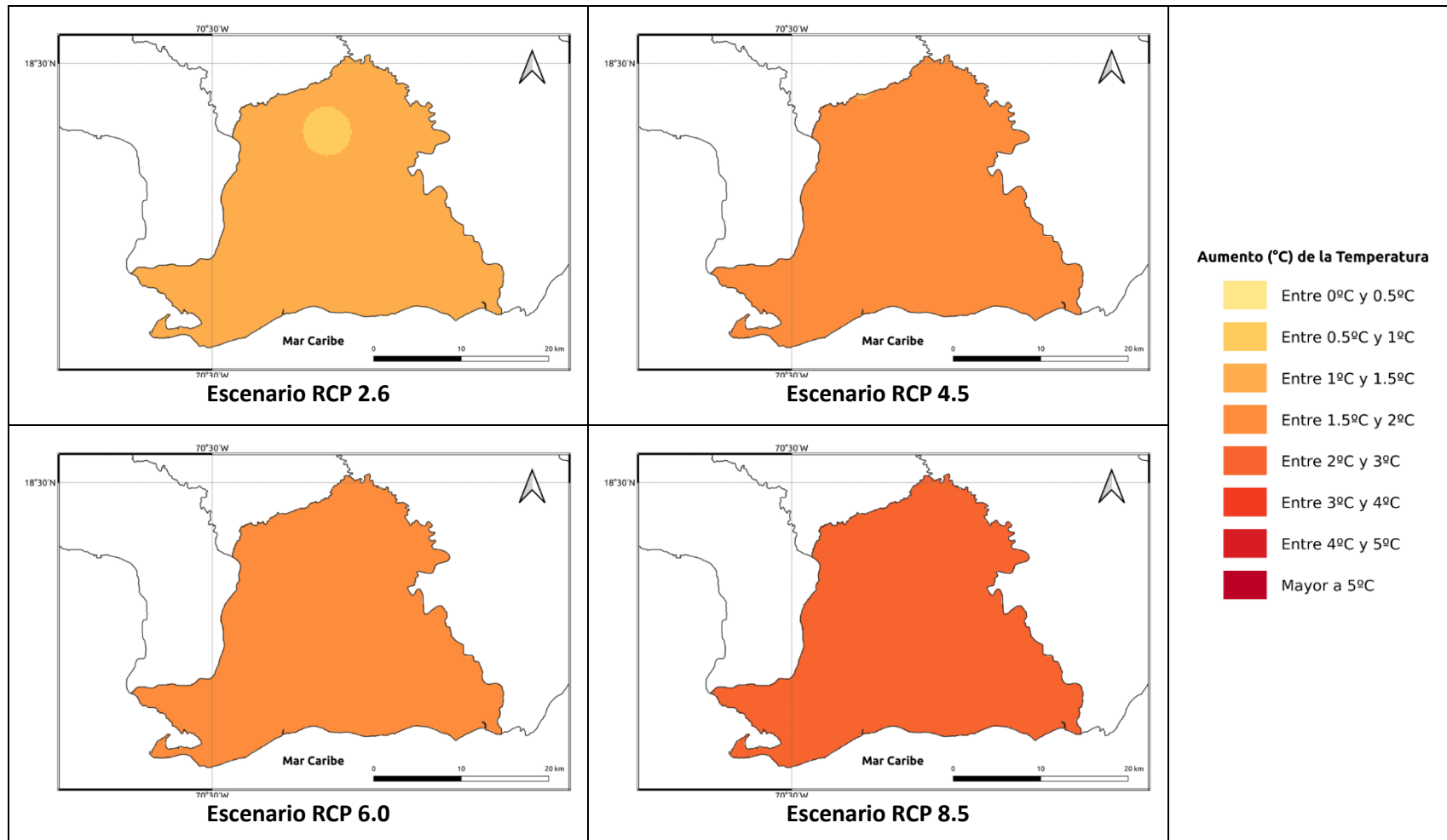
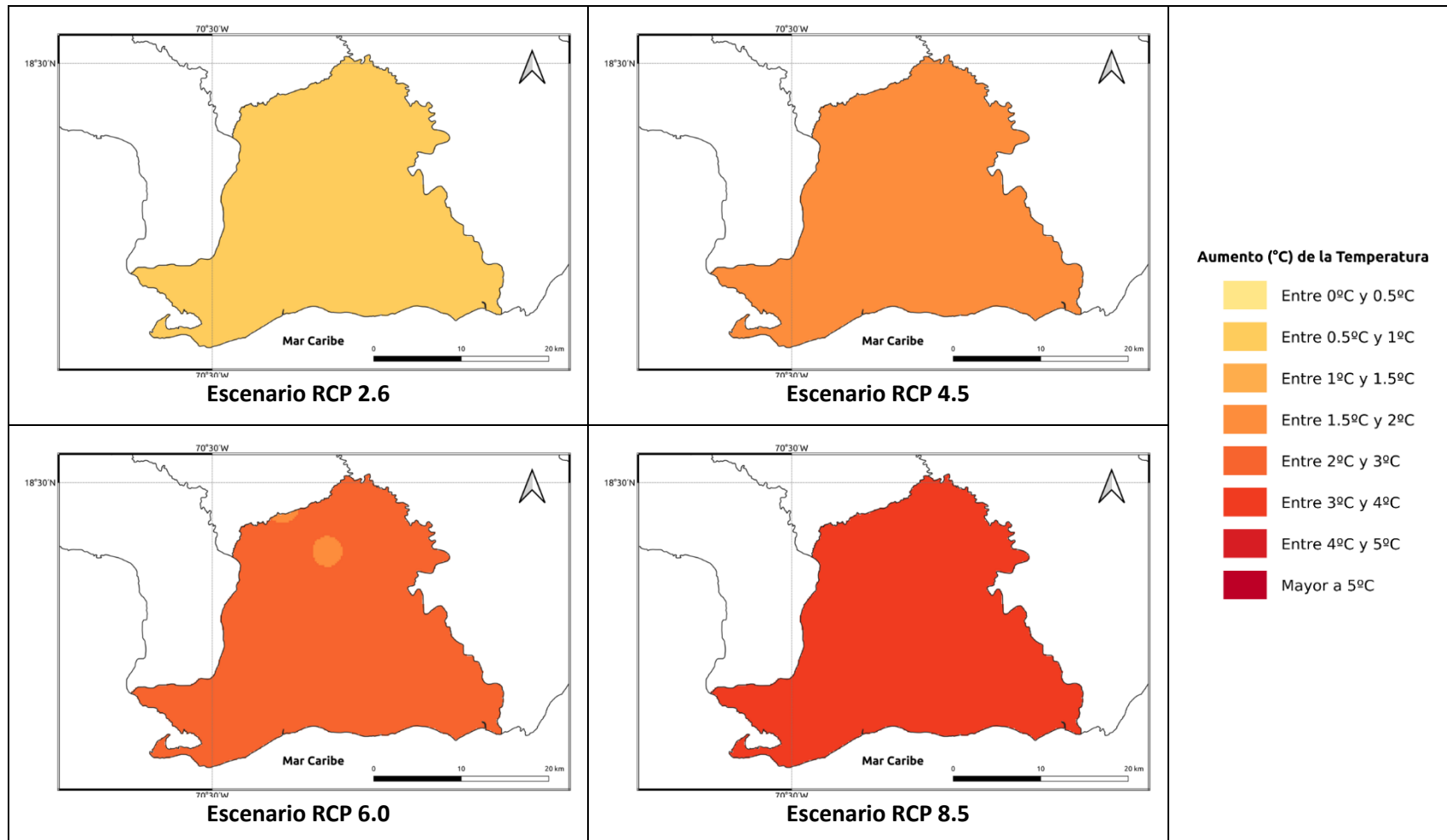


Figura 1.1.21-6. Cambios proyectados en la temperatura máxima (°C) por el ensamble multimodelo bajo los 4 escenarios RCP en el periodo 2041-2060 para la provincia Peravia.



**Figura 1.1.21-7. Cambios proyectados en la temperatura máxima (°C) por el ensamble multimodelo bajo los 4 escenarios RCP en el periodo 2061-2080 para la provincia Peravia.**



**Figura 1.1.21-8. Cambios proyectados en la temperatura máxima (°C) por el ensamble multimodelo bajo los 4 escenarios RCP en el periodo 2081-2100 para la provincia Peravia.**

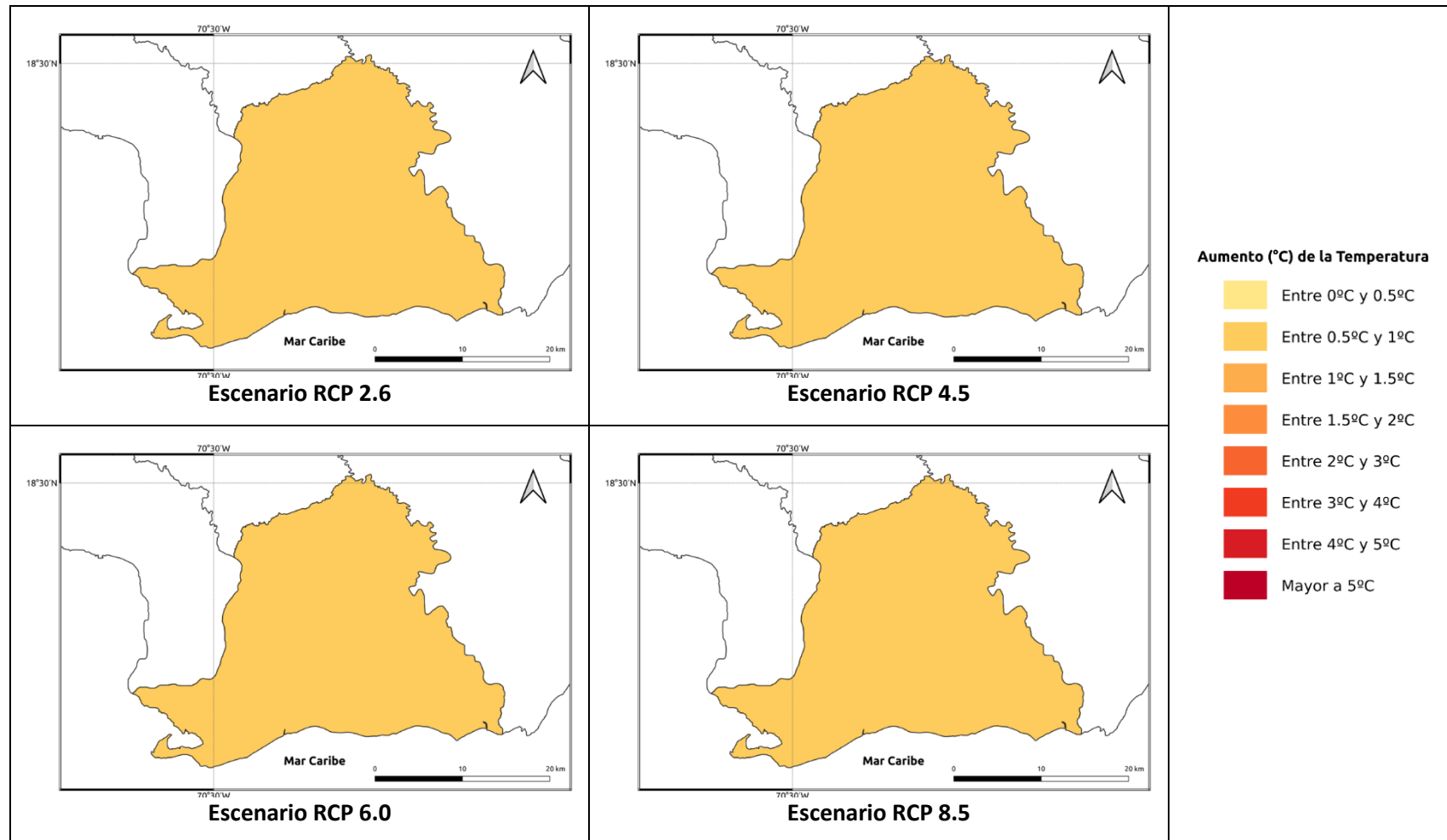


Figura 1.1.21-9. Cambios proyectados en la temperatura mínima (°C) por el ensamble multimodelo bajo los 4 escenarios RCP en el periodo 2021-2040 para la provincia Peravia.

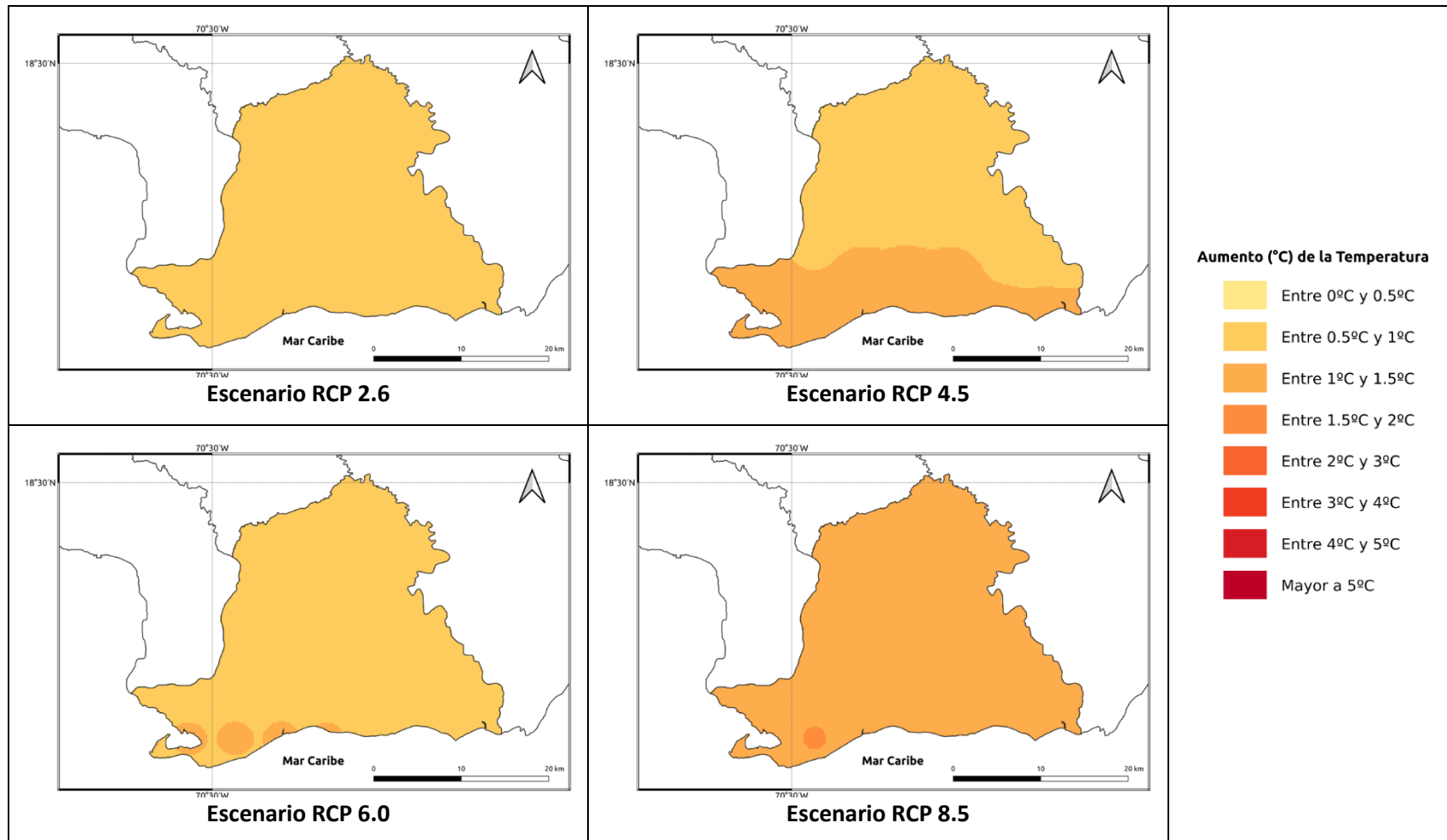
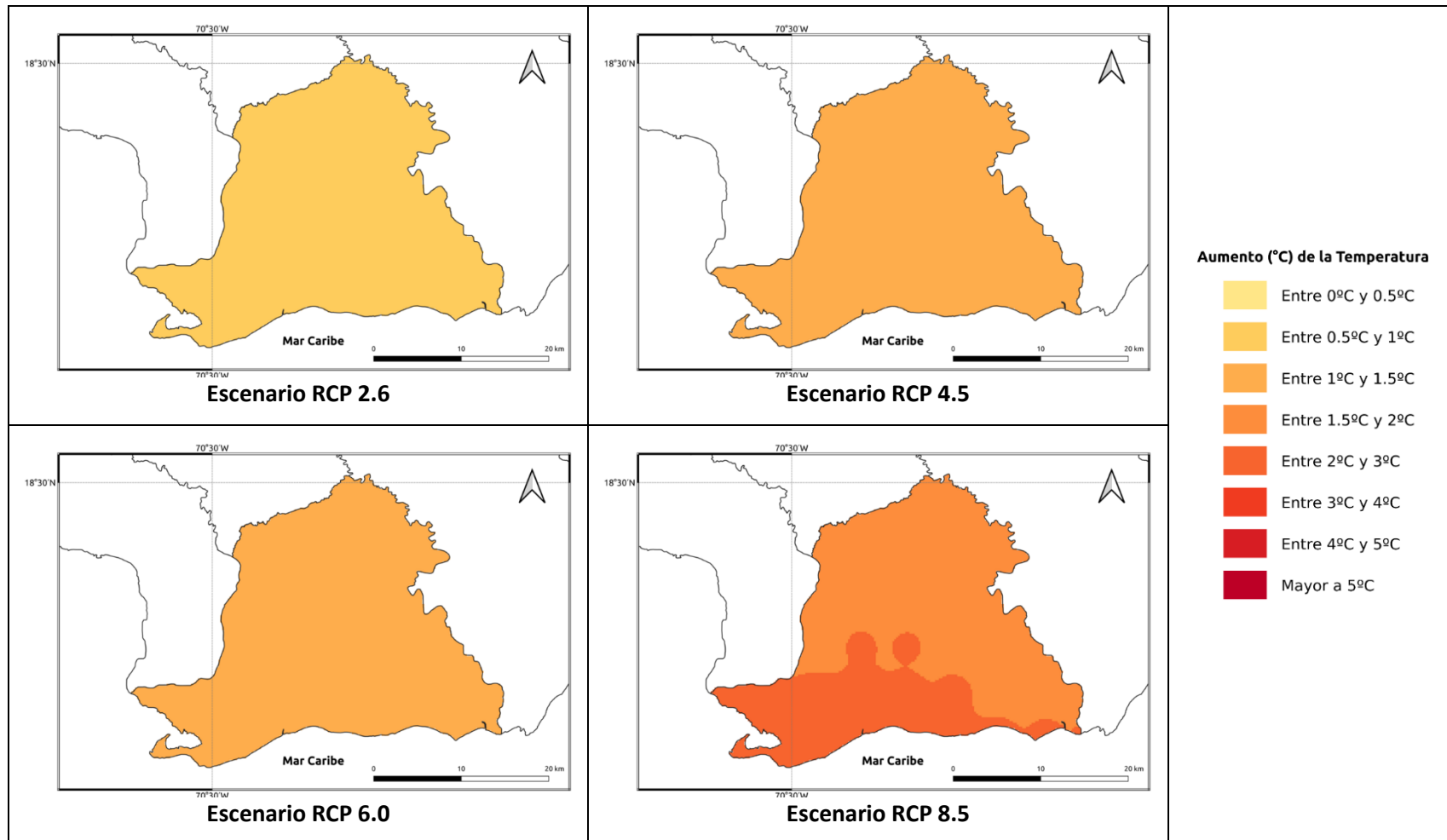


Figura 1.1.21-10. Cambios proyectados en la temperatura mínima (°C) por el ensamble multimodelo bajo los 4 escenarios RCP en el periodo 2041-2060 para la provincia Peravia.



**Figura 1.1.21-11. Cambios proyectados en la temperatura mínima (°C) por el ensamble multimodelo bajo los 4 escenarios RCP en el periodo 2061-2080 para la provincia Peravia.**

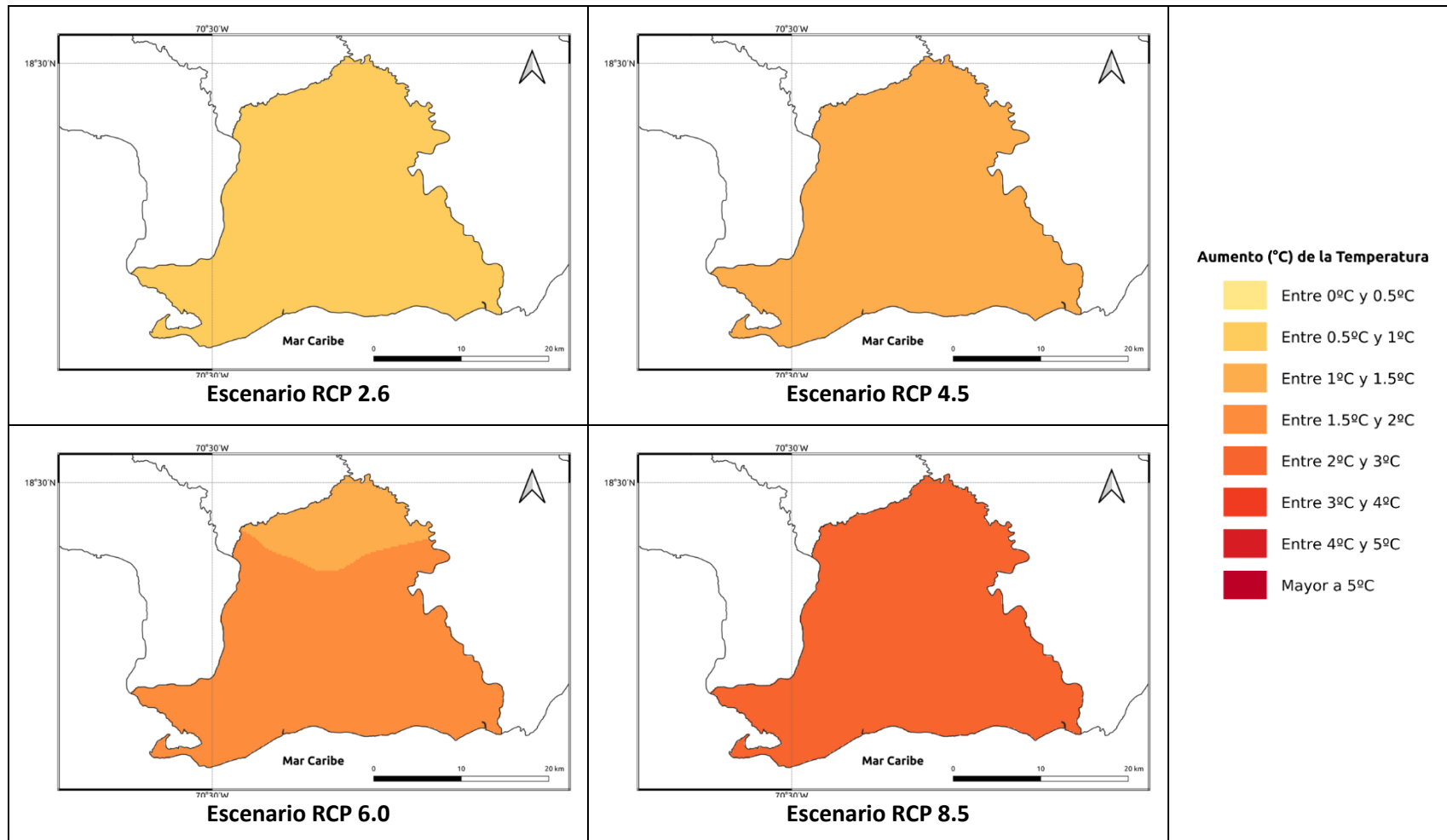


Figura 1.1.21-12. Cambios proyectados en la temperatura mínima (°C) por el ensamble multimodelo bajo los 4 escenarios RCP en el periodo 2081-2100 para la provincia Peravia.

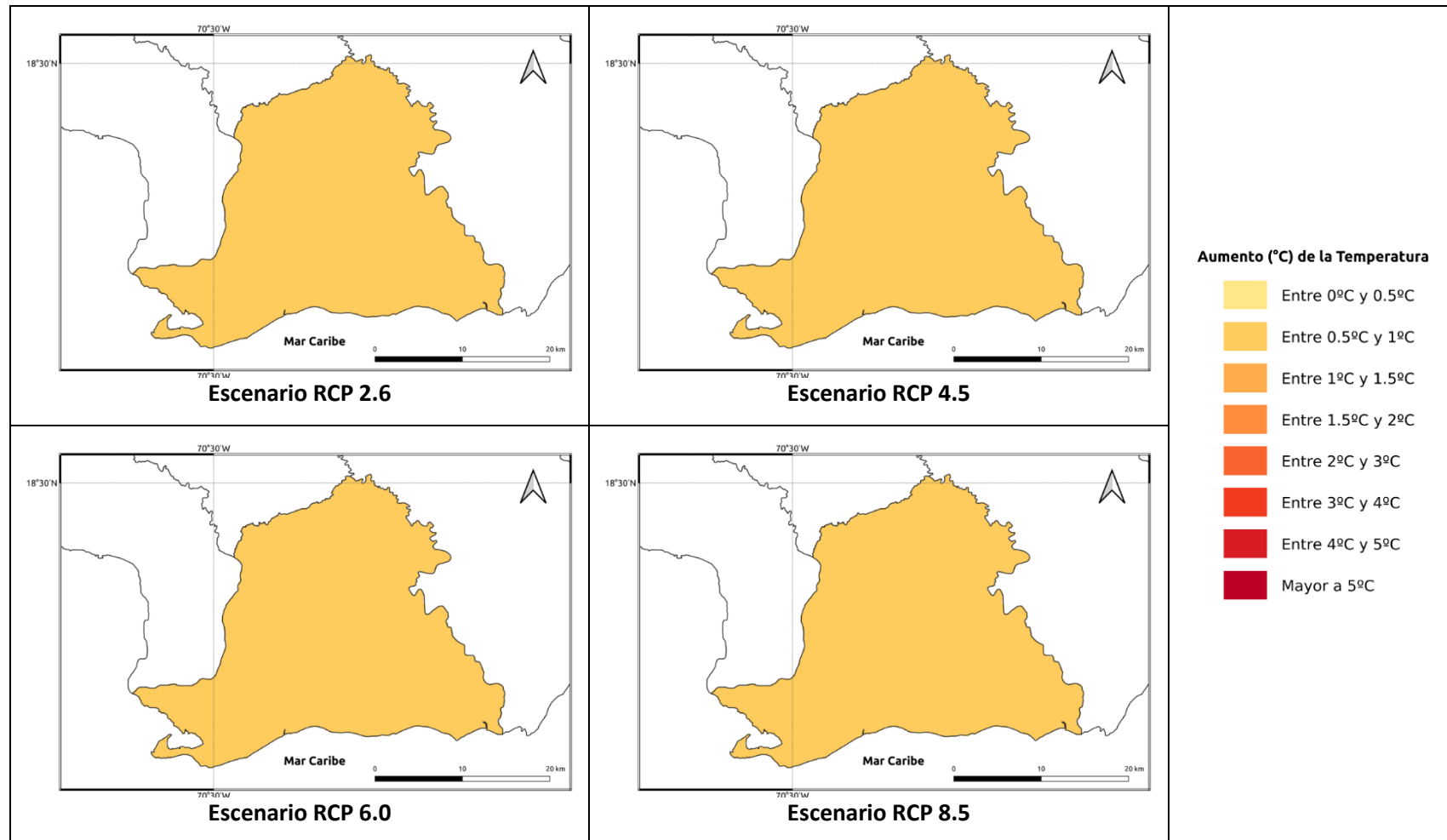


Figura 1.1.21-13. Cambios proyectados en la temperatura media (°C) por el ensamble multimodelo bajo los 4 escenarios RCP en el periodo 2021-2040 para la provincia Peravia.

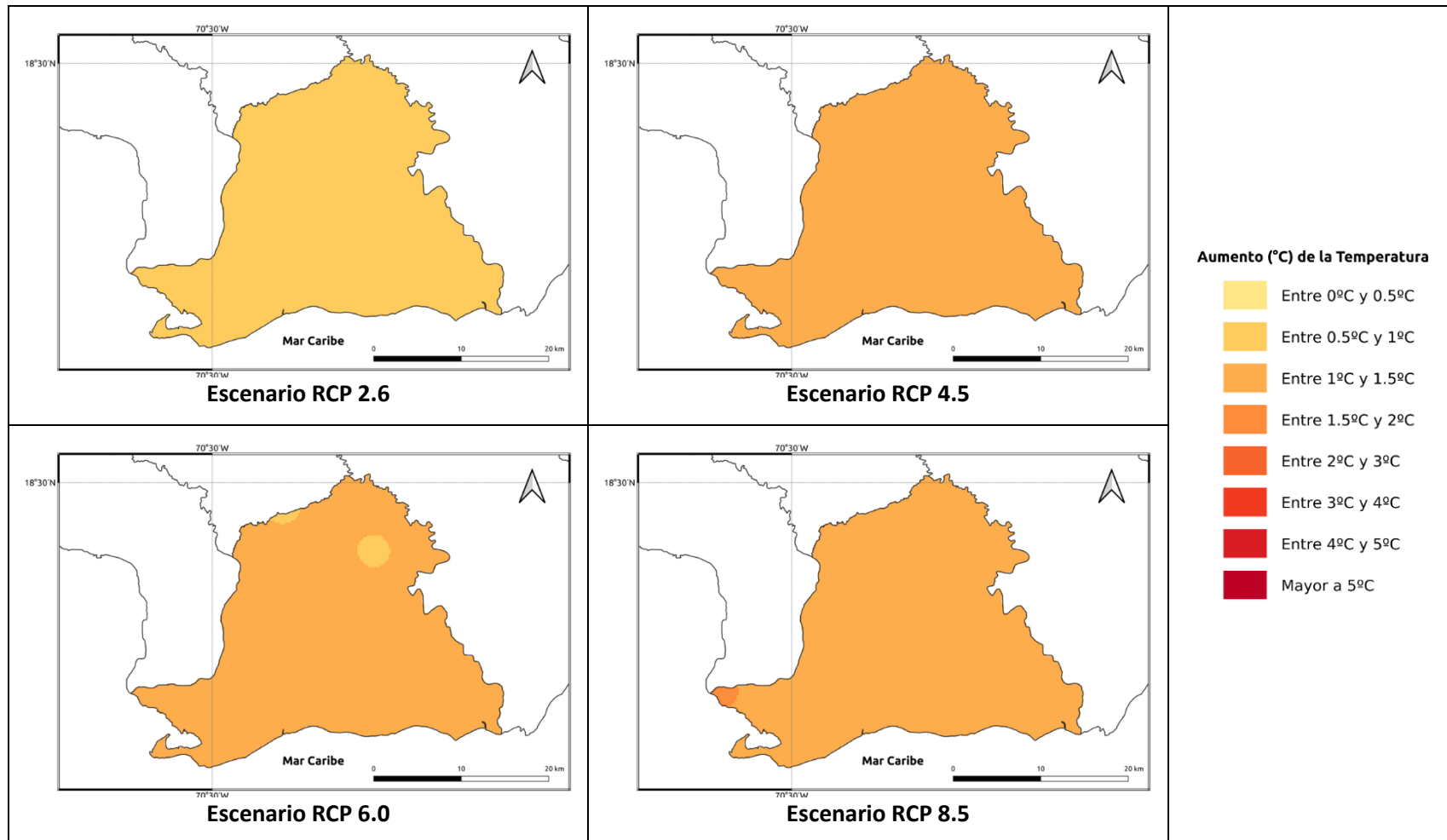


Figura 1.1.21-14. Cambios proyectados en la temperatura media (°C) por el ensamble multimodelo bajo los 4 escenarios RCP en el periodo 2041-2060 para la provincia Peravia.

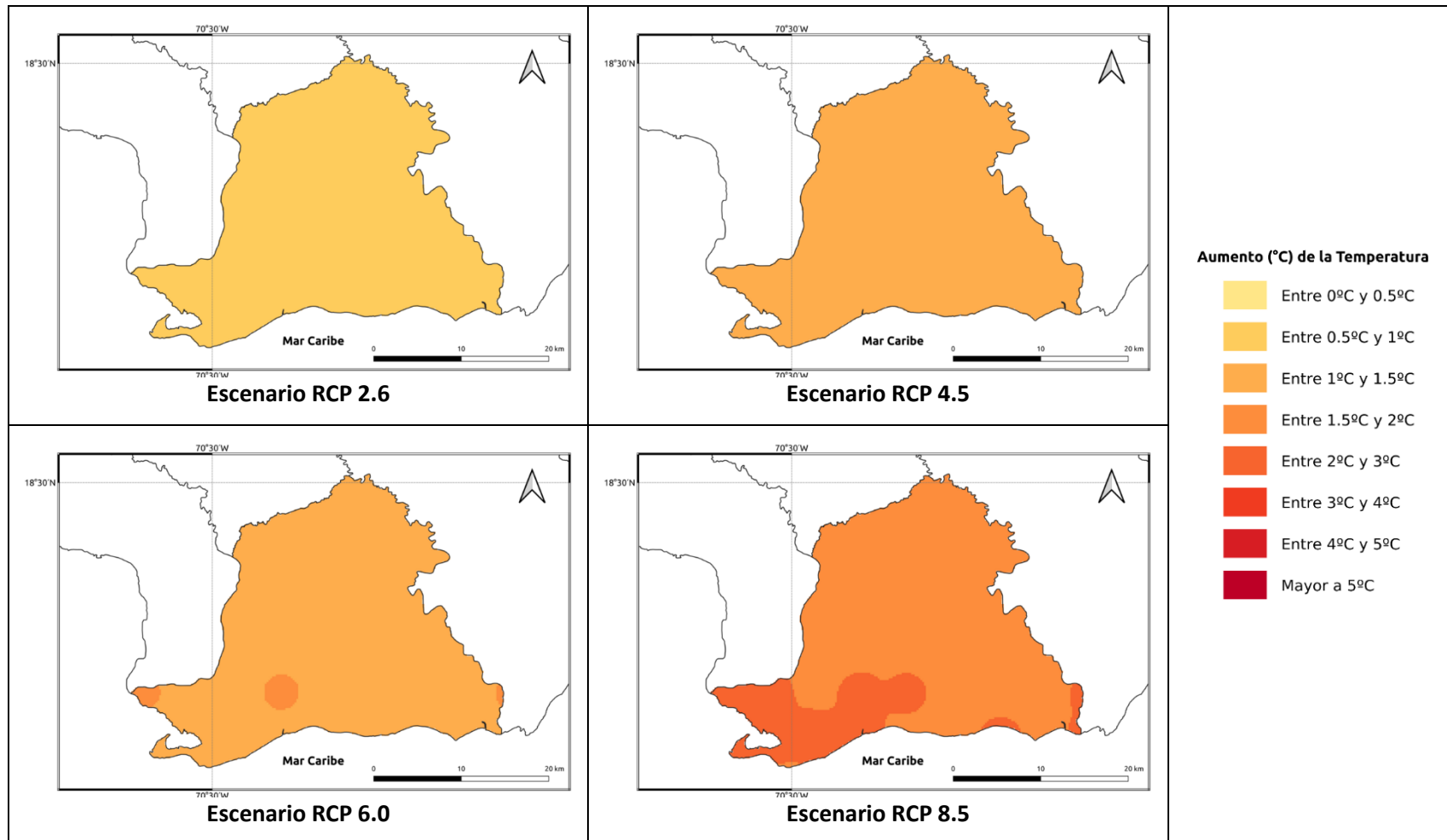
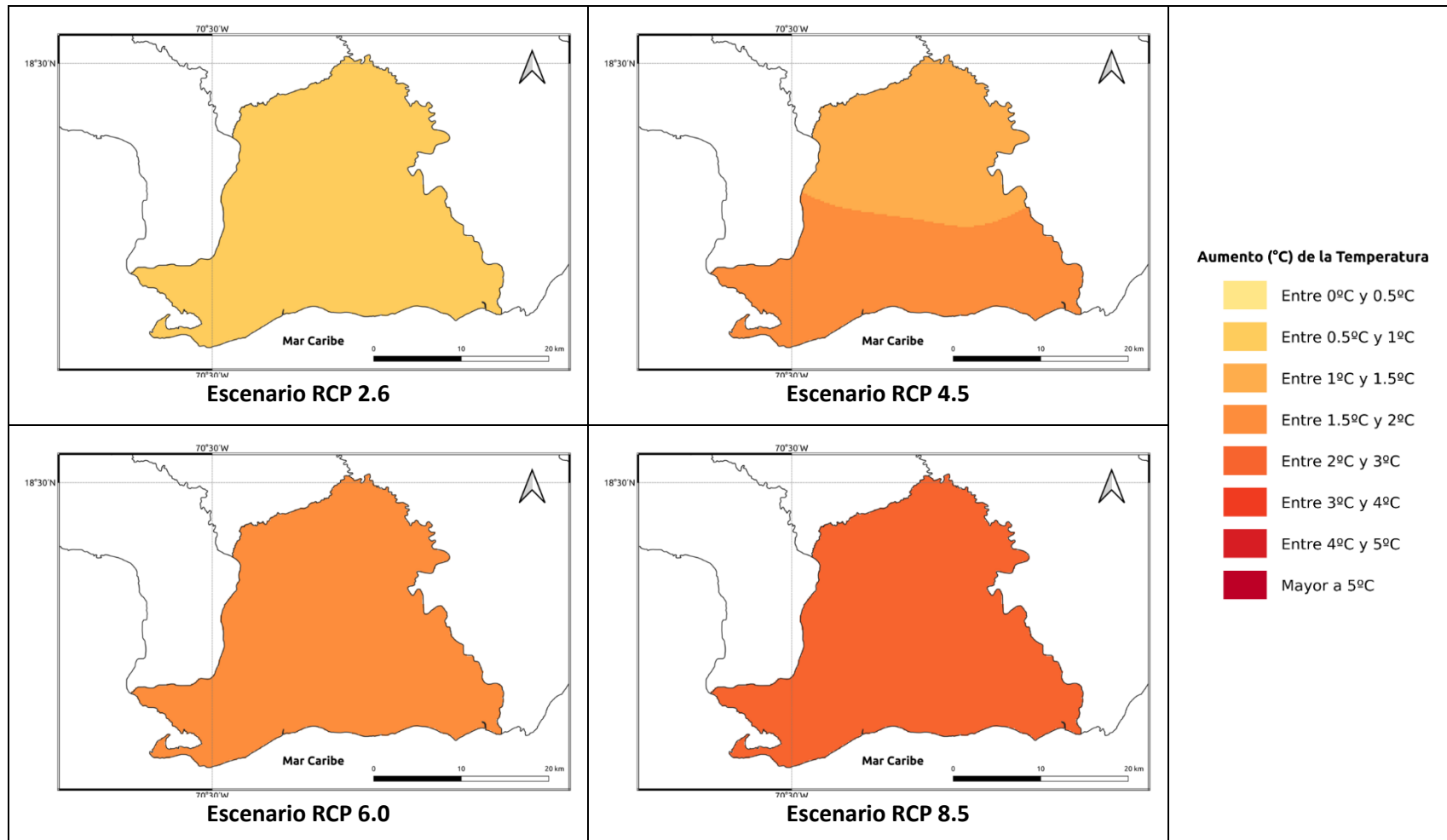


Figura 1.1.21-15. Cambios proyectados en la temperatura media (°C) por el ensamble multimodelo bajo los 4 escenarios RCP en el periodo 2061-2080 para la provincia Peravia.



**Figura 1.1.21-16. Cambios proyectados en la temperatura media (°C) por el ensamble multimodelo bajo los 4 escenarios RCP en el periodo 2081-2100 para la provincia Peravia.**

## 1.1.22 PROVINCIA PUERTO PLATA

A continuación, se presenta el análisis espacial de los cambios de las variables climáticas a nivel anual para la provincia **Puerto Plata**. Los cambios a nivel estacional (trimestral) se pueden consultar en el Anexo 23.

### *Precipitación*

Para esta variable, en el periodo de corto plazo 2021-2040 se presentarían cambios dentro del rango normal de variabilidad (del orden del 5%), con aumentos de esta magnitud bajo los escenarios RCP 2.6 y 6.0, y reducciones del mismo orden bajo los escenarios RCP 4.5 y 8.5 (Figura 1.1.22-1). Para el siguiente periodo (2041-2060), bajo el RCP 2.6 se mantiene el aumento de la precipitación del orden del 5%, y en los demás escenarios la tendencia sería a la reducción de la precipitación entre un 3-6% (Figura 1.1.22-2). Para el periodo 2061-2080, en el RCP 2.6 se mantendrían incrementos del 5-7%, y bajo los otros escenarios se darían reducciones de la precipitación, del orden del 4-9% bajo los RCP 4.5 y 6.0 y del 16-22% bajo el RCP 8.5 (Figura 1.1.22-3). Por último, para finales de siglo bajo los 4 escenarios se presentarían reducciones de la precipitación, siendo las de menor magnitud bajo el RCP 2.6 (entre 3-5%) y las más altas bajo el RCP 8.5, con reducciones entre 24 y 29% (Figura 1.1.22-4).

### *Temperatura Máxima*

La temperatura máxima presentaría incrementos bajo los 4 RCP en todos los periodos analizados. En el periodo de corto plazo (2021-2040) la temperatura aumentaría entre 0.7 y 1.3°C, con aumentos de más de 1°C bajo el RCP 8.5 (Figura 1.1.22-5). Para 2041-2060, los aumentos serían de 1.1 a 1.4°C bajo los primeros 3 RCP (2.6, 4.5 y 6.0), y de 1.5 a 1.8°C bajo el RCP 8.5 (Figura 1.1.22-6). En el periodo 2061-2080 los aumentos serían de 1.1 a 2.6°C, manteniéndose el incremento de 1.1 a 1.4°C bajo el RCP 2.6, siendo de 1.4 a 1.8°C bajo los RCP 4.5 y 6.0 y de 2.6°C bajo el RCP 8.5 (Figura 1.1.22-7). Para finales de siglo, los aumentos serían de 0.7 a 1.1°C bajo el RCP 2.6, de 1.7 a 1.9°C bajo el RCP 4.5, de 2.2 a 2.4°C bajo el RCP 6.0 y de 3.2 a 3.8°C bajo el RCP 8.5 (Figura 1.1.22-8).

### *Temperatura Mínima*

En el primer periodo (2021-2040), ésta se incrementaría de 0.6 a 0.8°C en los 4 escenarios RCP (Figura 1.1.22-9). Para 2041-2060 aumentaría de 0.7 a 1.1°C en los 3 primeros escenarios, y bajo el RCP 8.5 habría aumentos de 1.3°C (Figura 1.1.22-10). En el periodo 2061-2080 la temperatura mínima se incrementaría entre 0.6 y 0.8°C bajo el RCP 2.6, entre 1.1 y 1.4°C bajo los RCP 4.5 y 6.0 y entre 1.7 y 2.2°C bajo el RCP 8.5 (dándose los mayores aumentos hacia el norte y oriente de la provincia) (Figura



1.1.22-11). Por último, para finales de siglo se mantendría un aumento de 0.8°C en el RCP 2.6, entre 1.1 y 1.4°C bajo el RCP 4.5, entre 1.5 y 1.7°C bajo el 6.0 y de 2.2 a 2.6°C bajo el RCP 8.5 (Figura 1.1.22-12).

### ***Temperatura Media***

La temperatura media se incrementaría entre 0.6 y 0.8°C en el periodo 2021-2040 bajo los 4 escenarios RCP (Figura 1.1.22-13). En el periodo 2041-2060 se mantendría este mismo rango bajo el RCP 2.6, y en los otros 3 escenarios aumentaría de 1.1 a 1.3°C (Figura 1.1.22-14). Para 2061-2080 la temperatura media aumentaría de 0.7 a 0.8°C bajo el RCP 2.6, de 1.3 a 1.7°C bajo los RCP 4.5 y 6.0 y de 1.7 a 2.4°C bajo el RCP 8.5 (dándose los mayores aumentos hacia el centro, norte y oriente de la provincia) (Figura 1.1.22-15). Finalmente, para el periodo 2081-2100 la temperatura subiría entre 0.6 y 0.8°C bajo el RCP 2.6, entre 1.6 y 1.9°C bajo los RCP 4.5 y 6.0 y de 2.4 a 2.8°C bajo el RCP 8.5 (Figura 1.1.22-16).



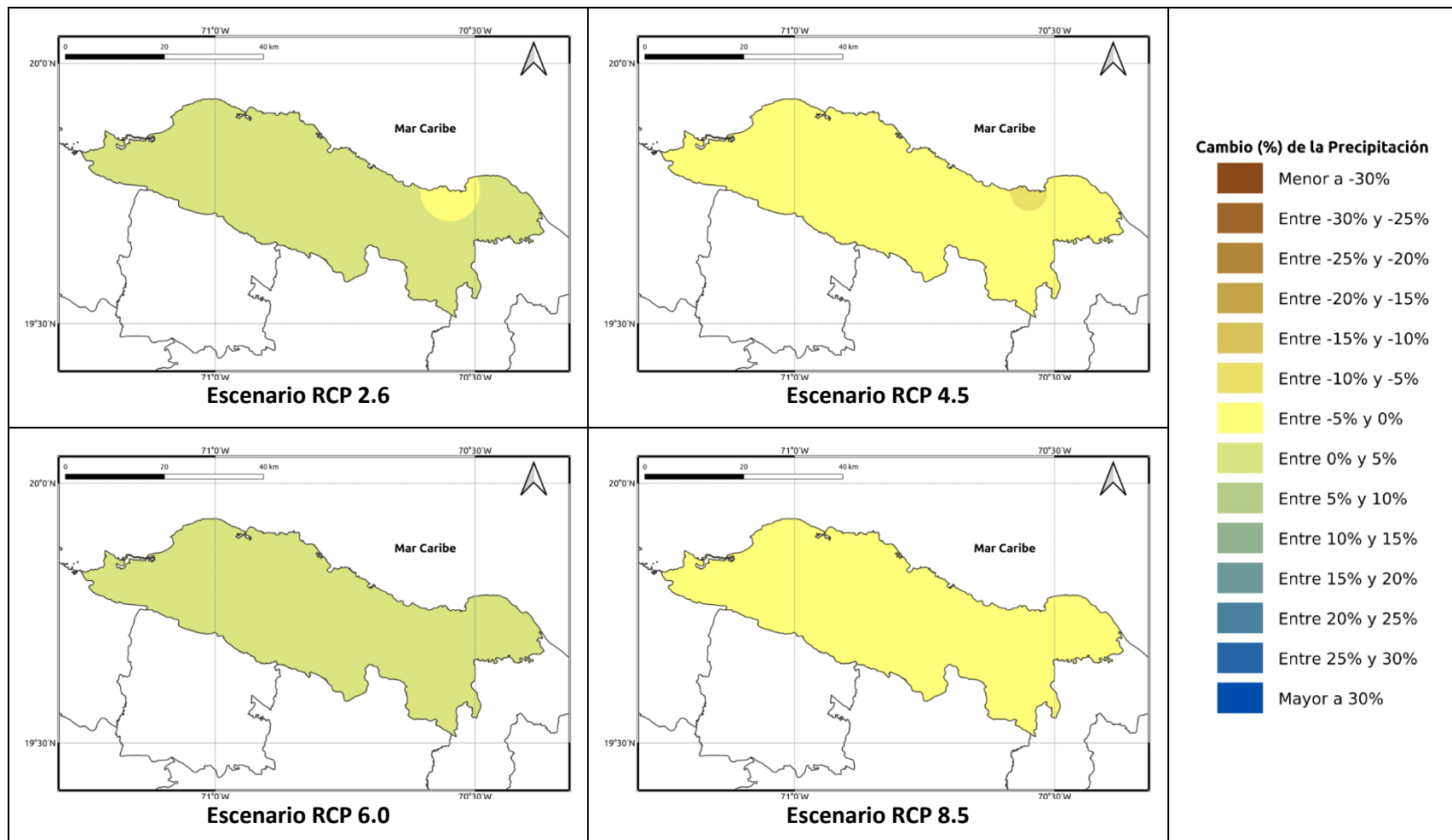


Figura 1.1.22-1. Cambios porcentuales de la precipitación (%) proyectados por el ensamble multimodelo bajo los 4 escenarios RCP en el periodo 2021-2040 para la provincia Puerto Plata.

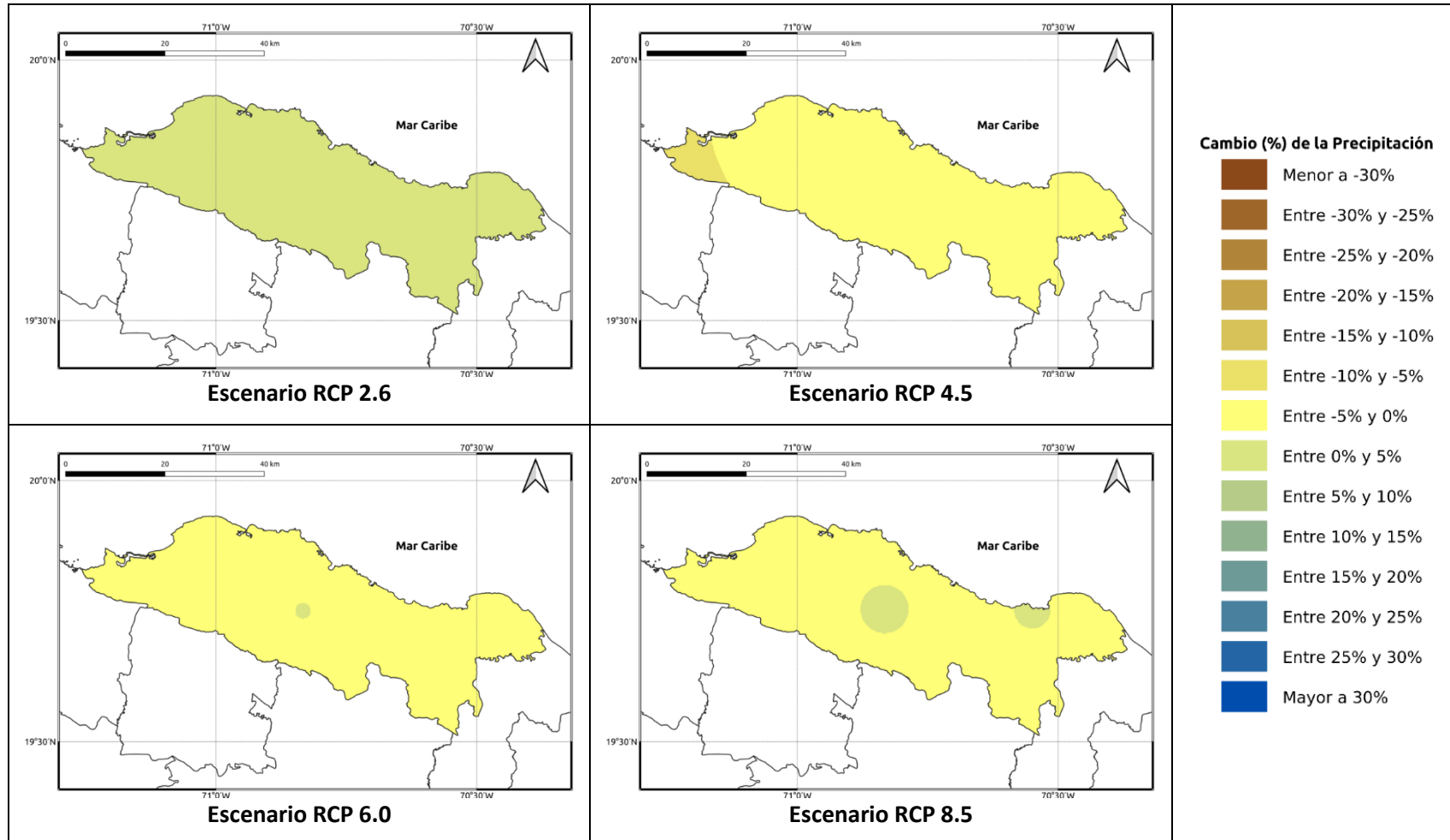


Figura 1.1.22-2. Cambios porcentuales de la precipitación (%) proyectados por el ensamble multimodelo bajo los 4 escenarios RCP en el periodo 2041-2060 para la provincia Puerto Plata.

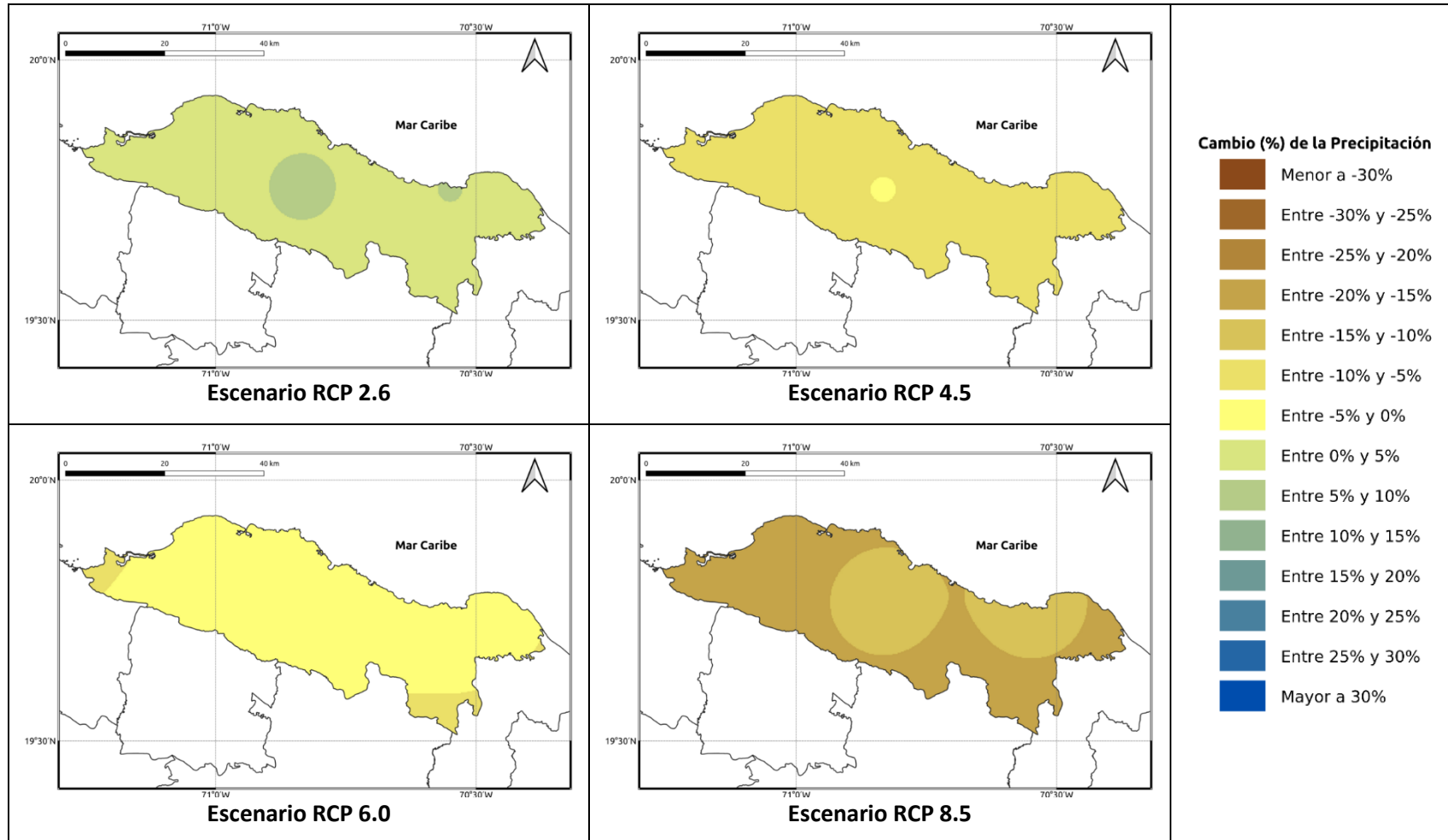


Figura 1.1.22-3. Cambios porcentuales de la precipitación (%) proyectados por el ensamble multimodelo bajo los 4 escenarios RCP en el periodo 2061-2080 para la provincia Puerto Plata.

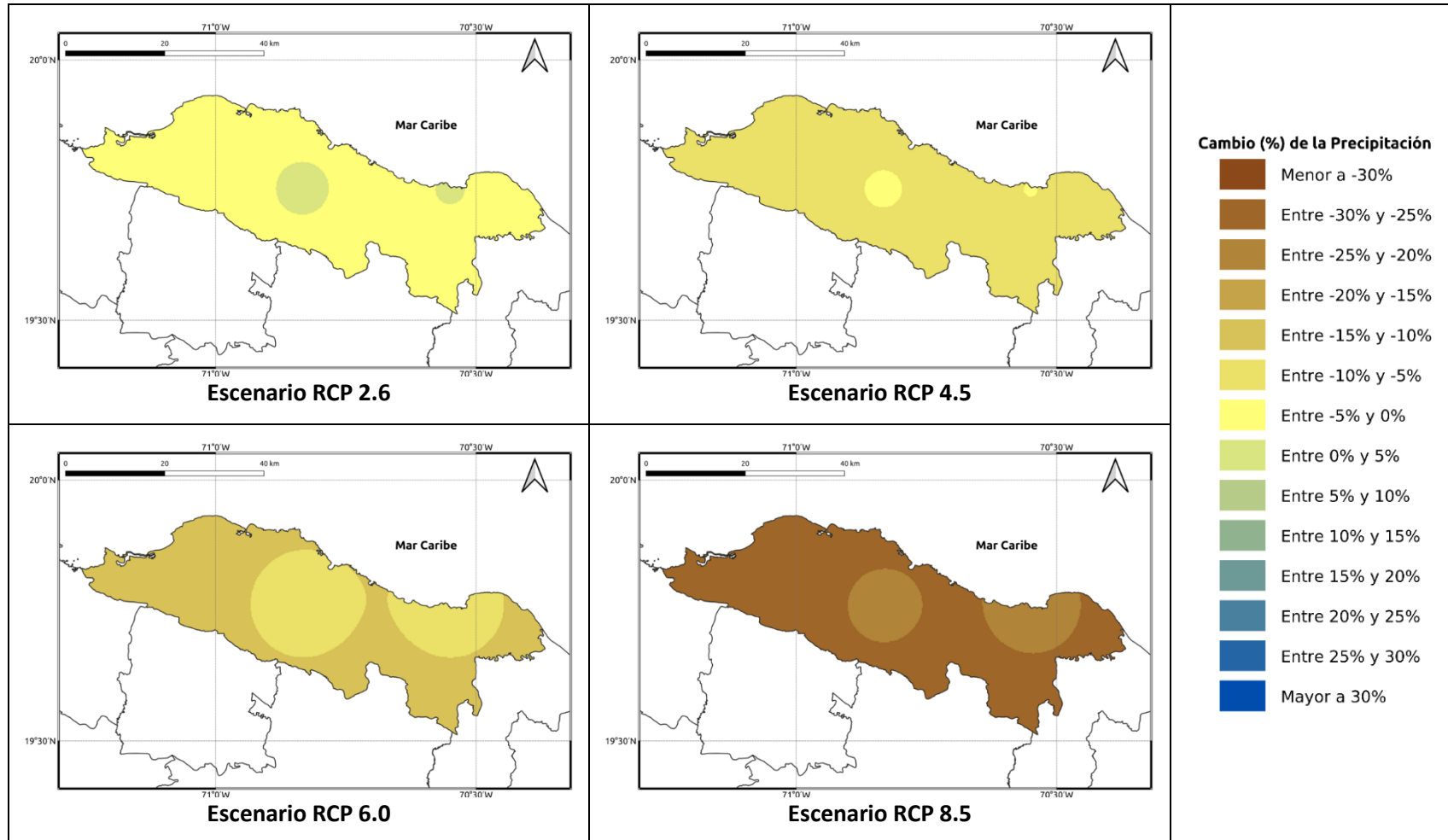


Figura 1.1.22-4. Cambios porcentuales de la precipitación (%) proyectados por el ensamble multimodelo bajo los 4 escenarios RCP en el periodo 2081-2100 para la provincia Puerto Plata.

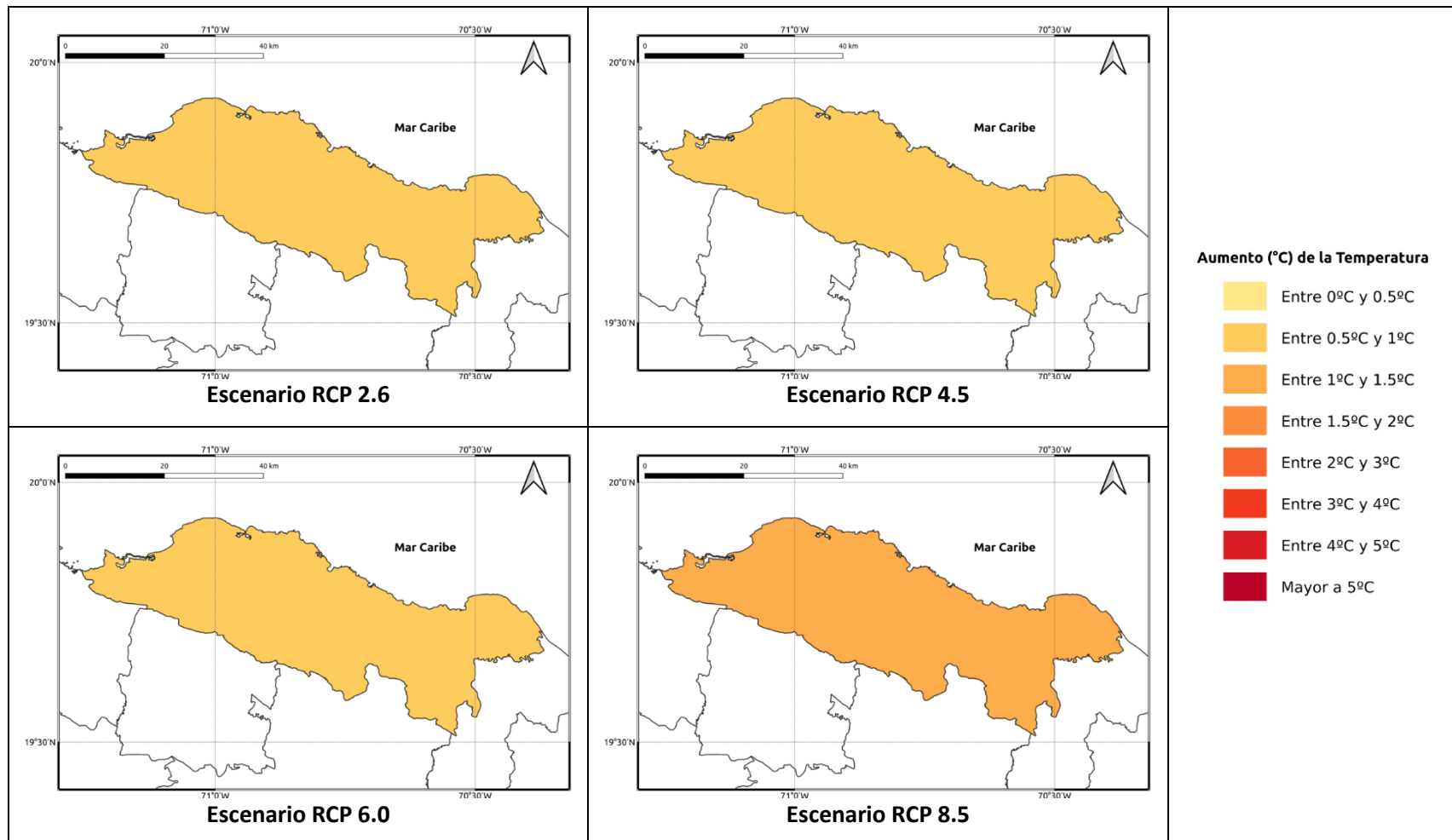
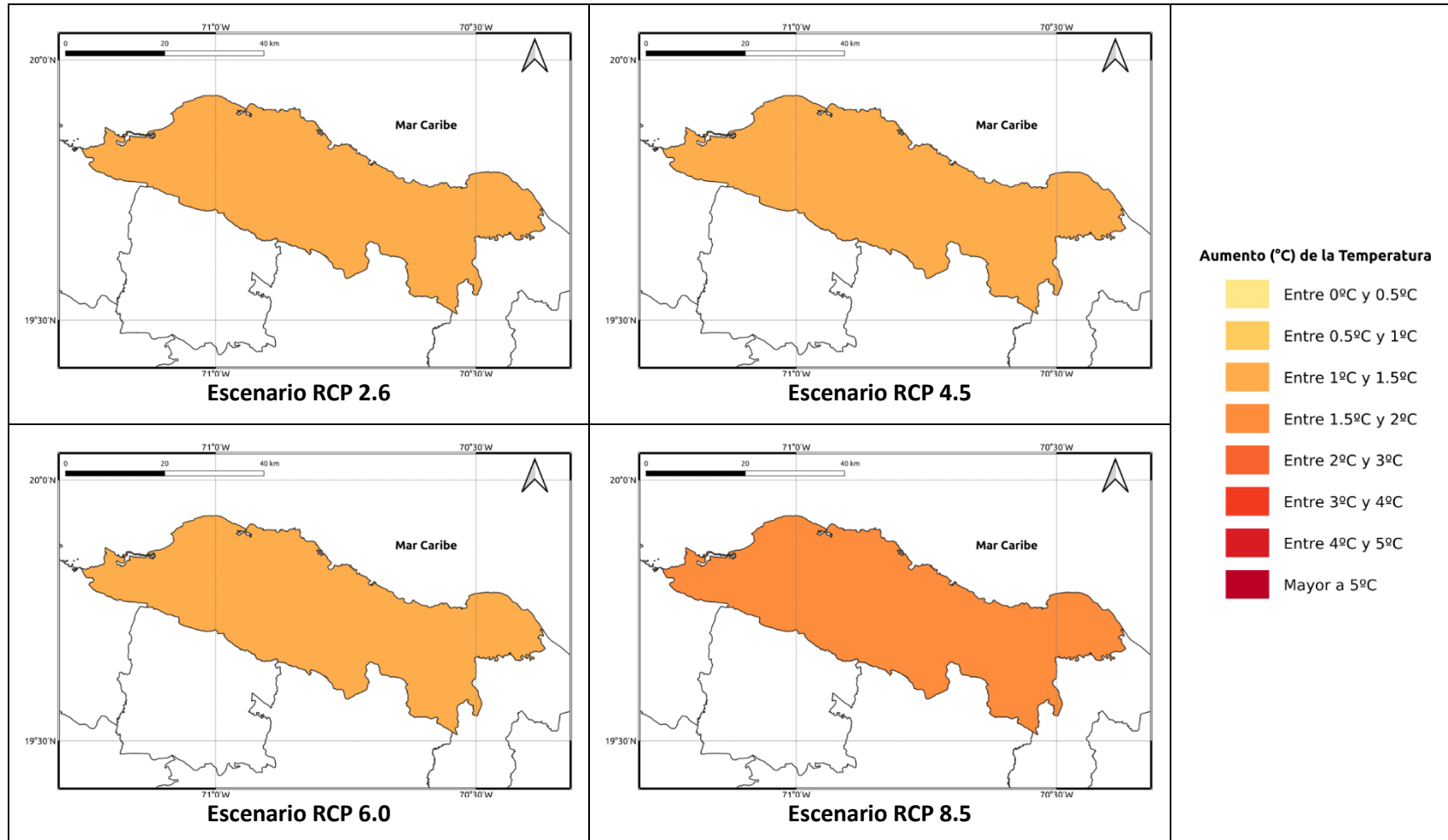
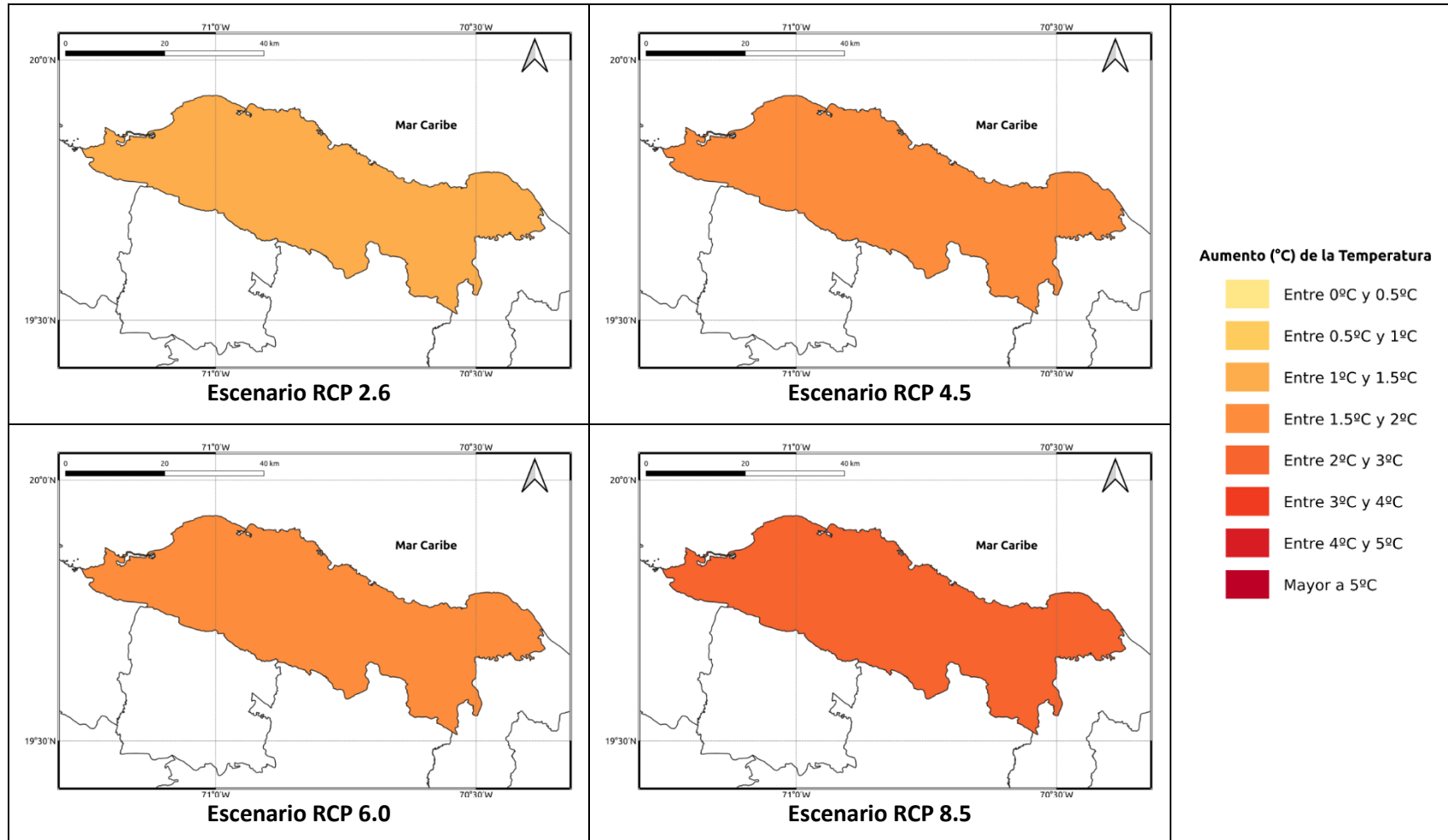


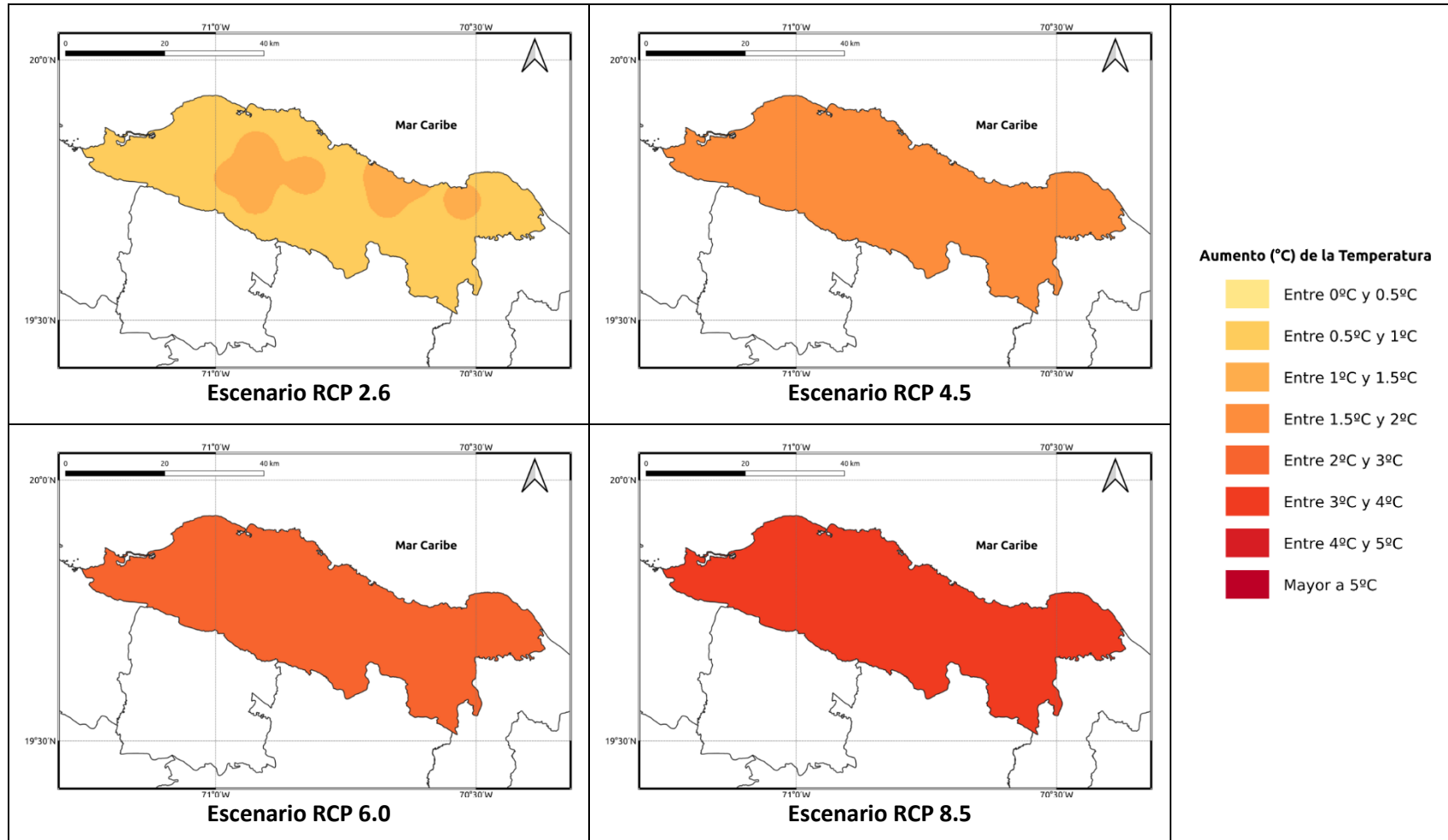
Figura 1.1.22-5. Cambios proyectados en la temperatura máxima (°C) por el ensamble multimodelo bajo los 4 escenarios RCP en el periodo 2021-2040 para la provincia Puerto Plata.



**Figura 1.1.22-6. Cambios proyectados en la temperatura máxima (°C) por el ensamble multimodelo bajo los 4 escenarios RCP en el periodo 2041-2060 para la provincia Puerto Plata.**



**Figura 1.1.22-7. Cambios proyectados en la temperatura máxima (°C) por el ensamble multimodelo bajo los 4 escenarios RCP en el periodo 2061-2080 para la provincia Puerto Plata.**



**Figura 1.1.22-8. Cambios proyectados en la temperatura máxima (°C) por el ensamble multimodelo bajo los 4 escenarios RCP en el periodo 2081-2100 para la provincia Puerto Plata.**

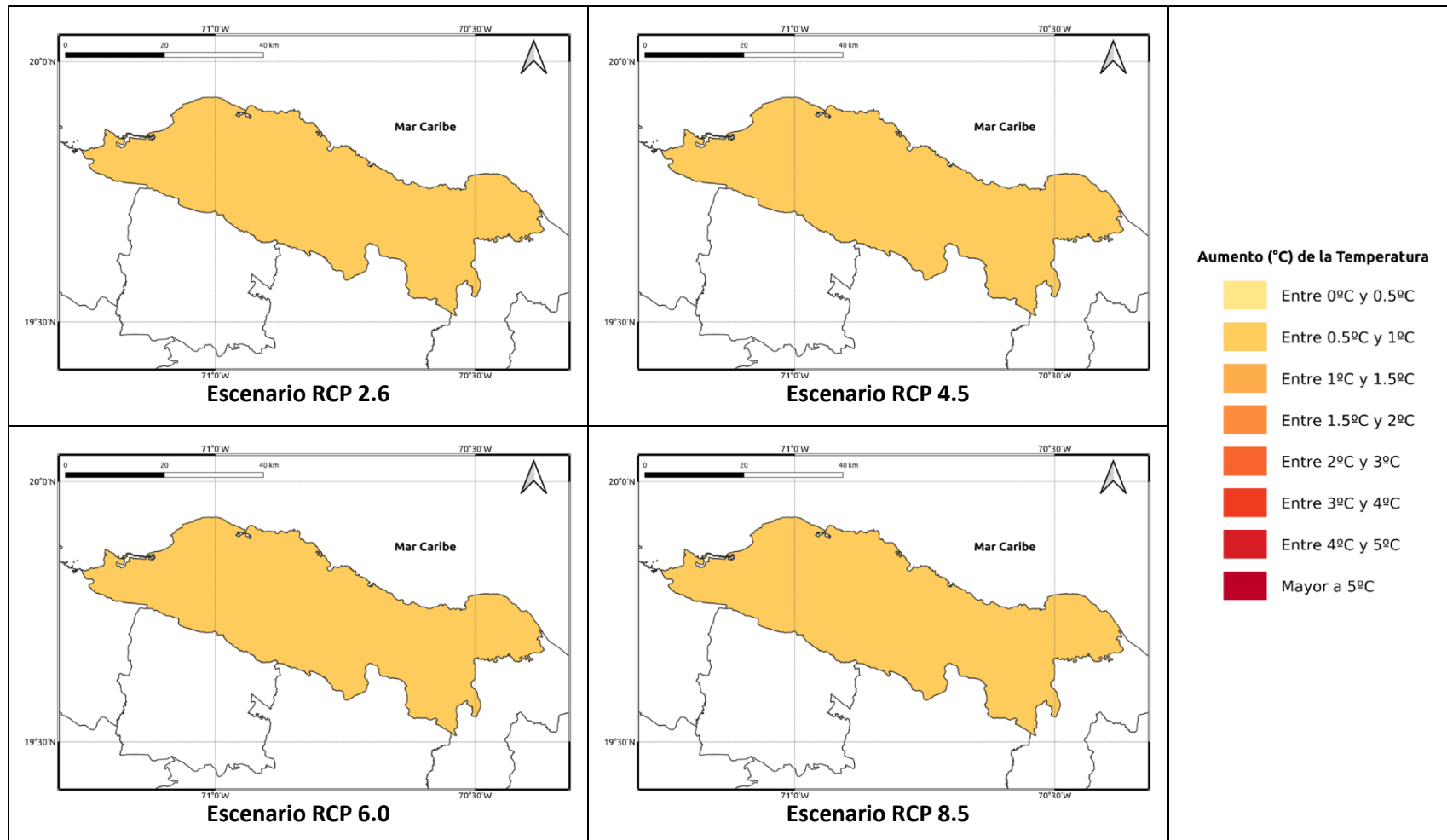
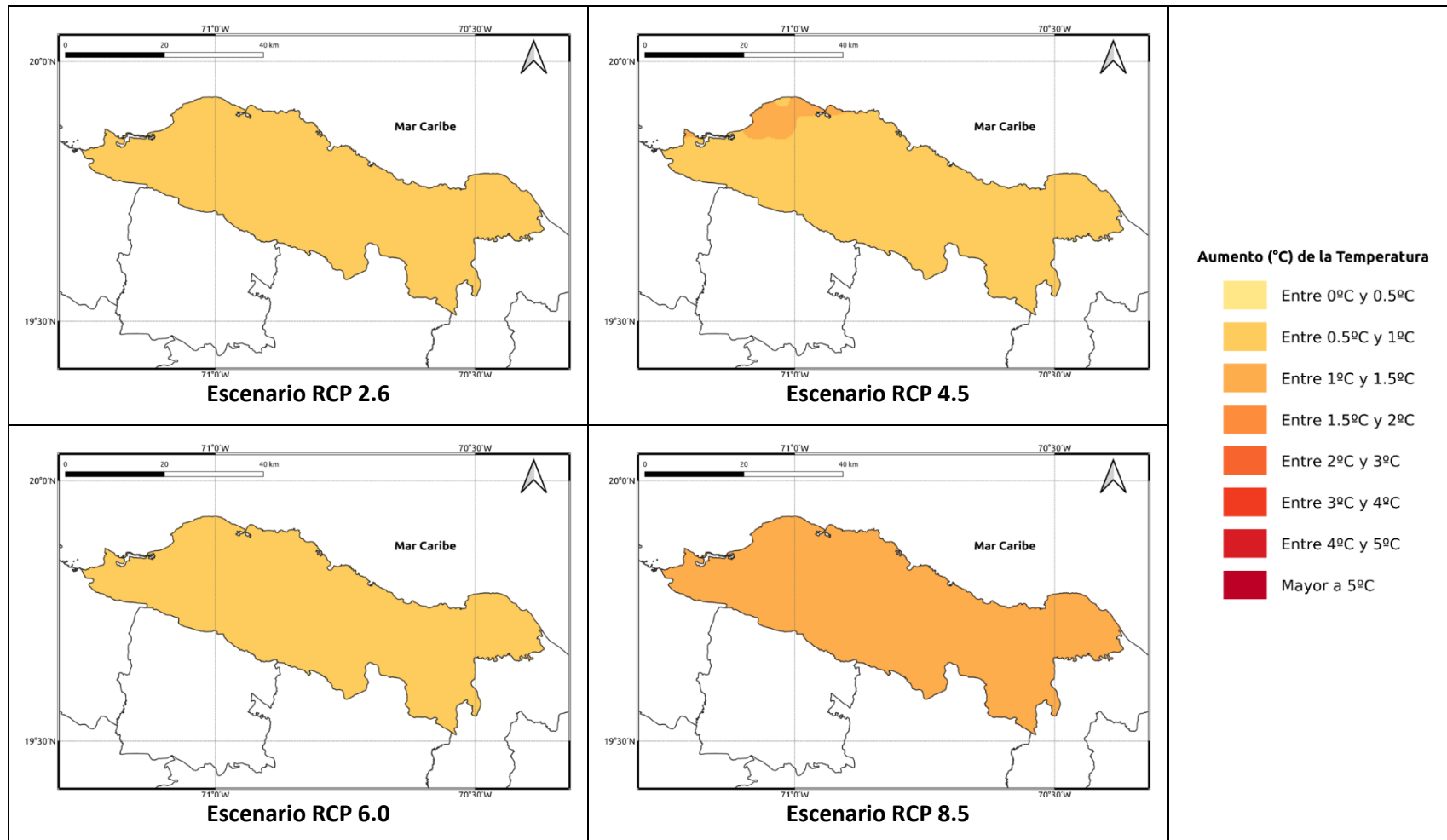


Figura 1.1.22-9. Cambios proyectados en la temperatura mínima (°C) por el ensamble multimodelo bajo los 4 escenarios RCP en el periodo 2021-2040 para la provincia Puerto Plata.



**Figura 1.1.22-10. Cambios proyectados en la temperatura mínima (°C) por el ensamble multimodelo bajo los 4 escenarios RCP en el periodo 2041-2060 para la provincia Puerto Plata.**

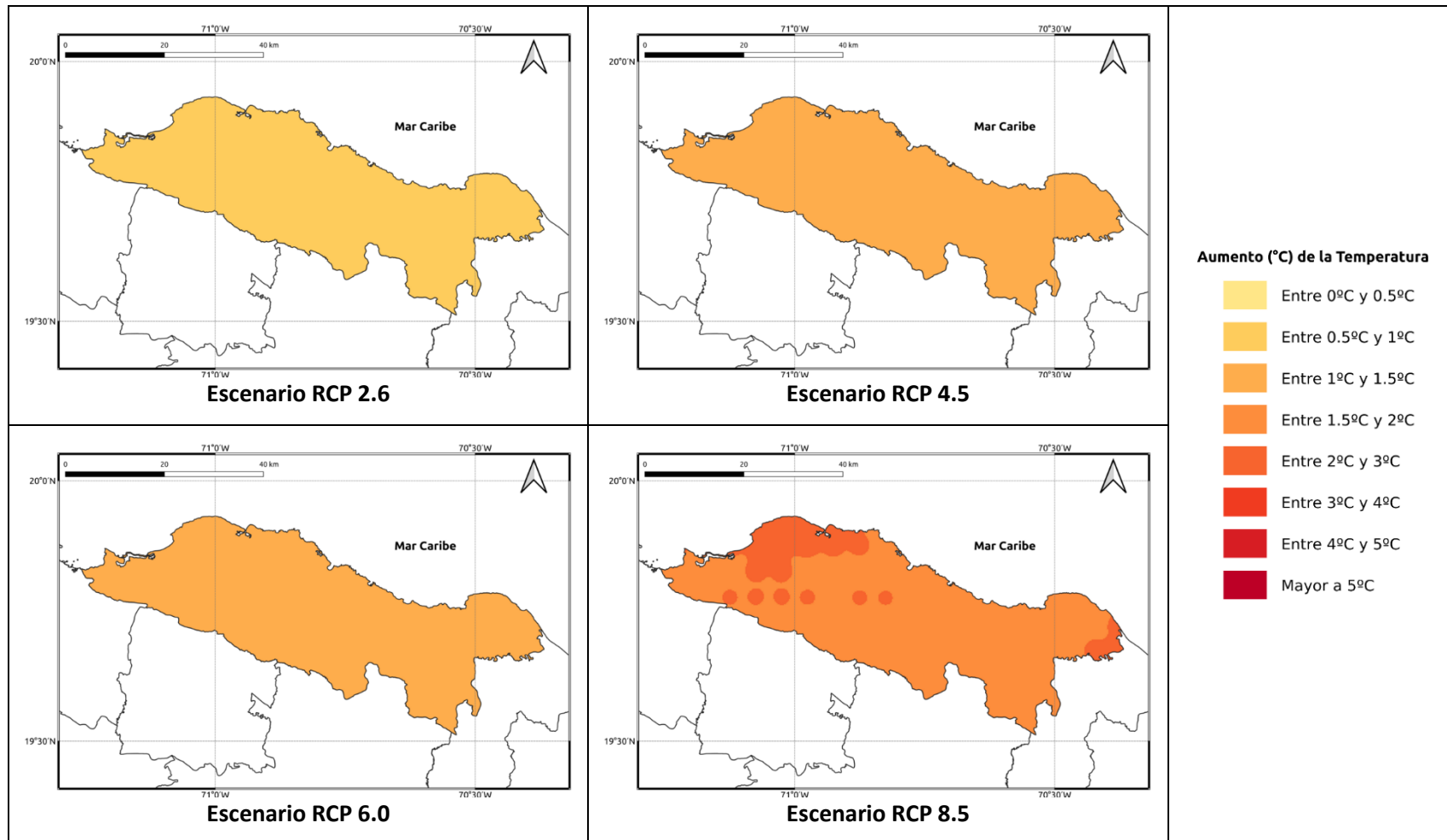


Figura 1.1.22-11. Cambios proyectados en la temperatura mínima (°C) por el ensamble multimodelo bajo los 4 escenarios RCP en el periodo 2061-2080 para la provincia Puerto Plata.

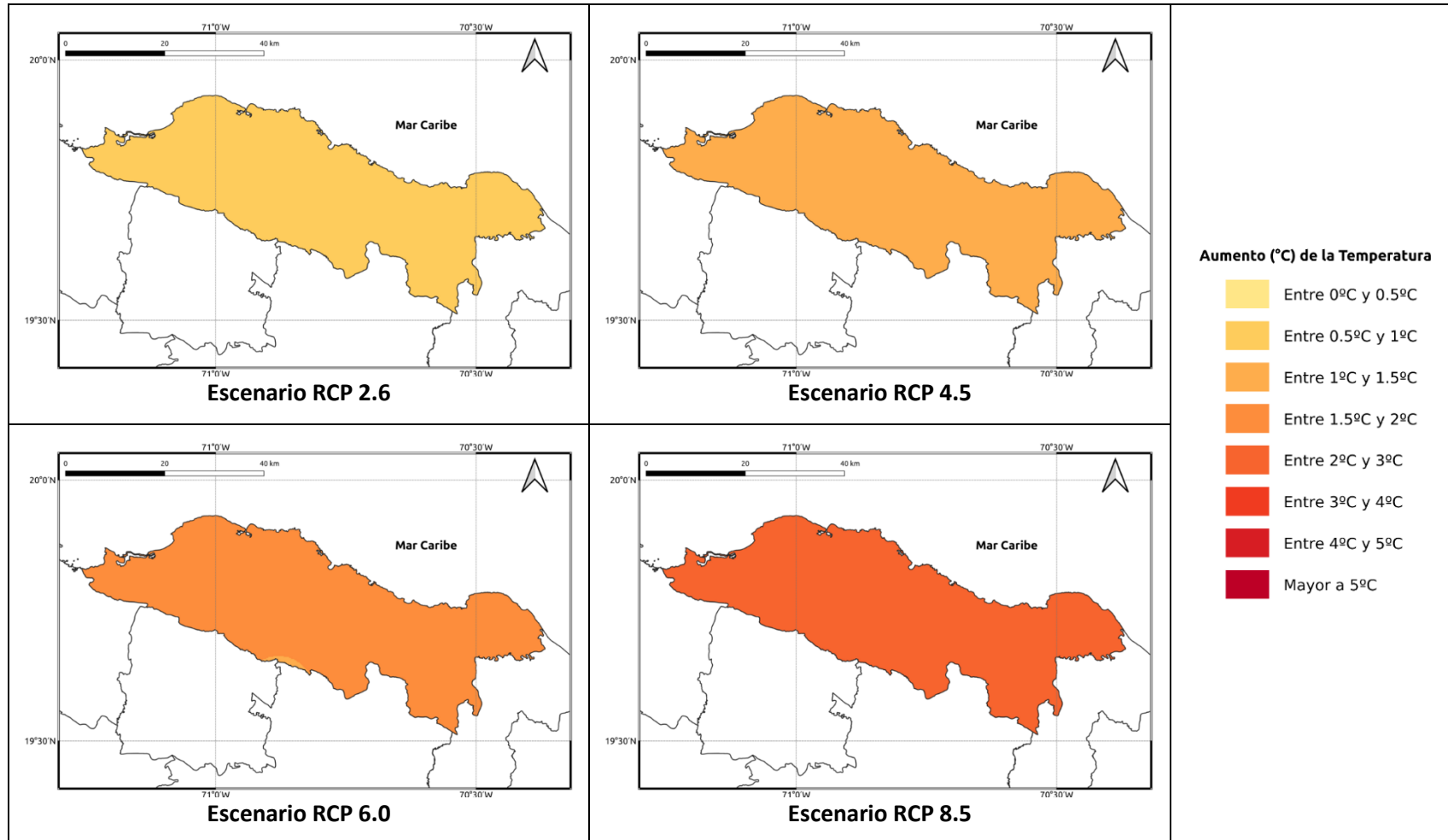
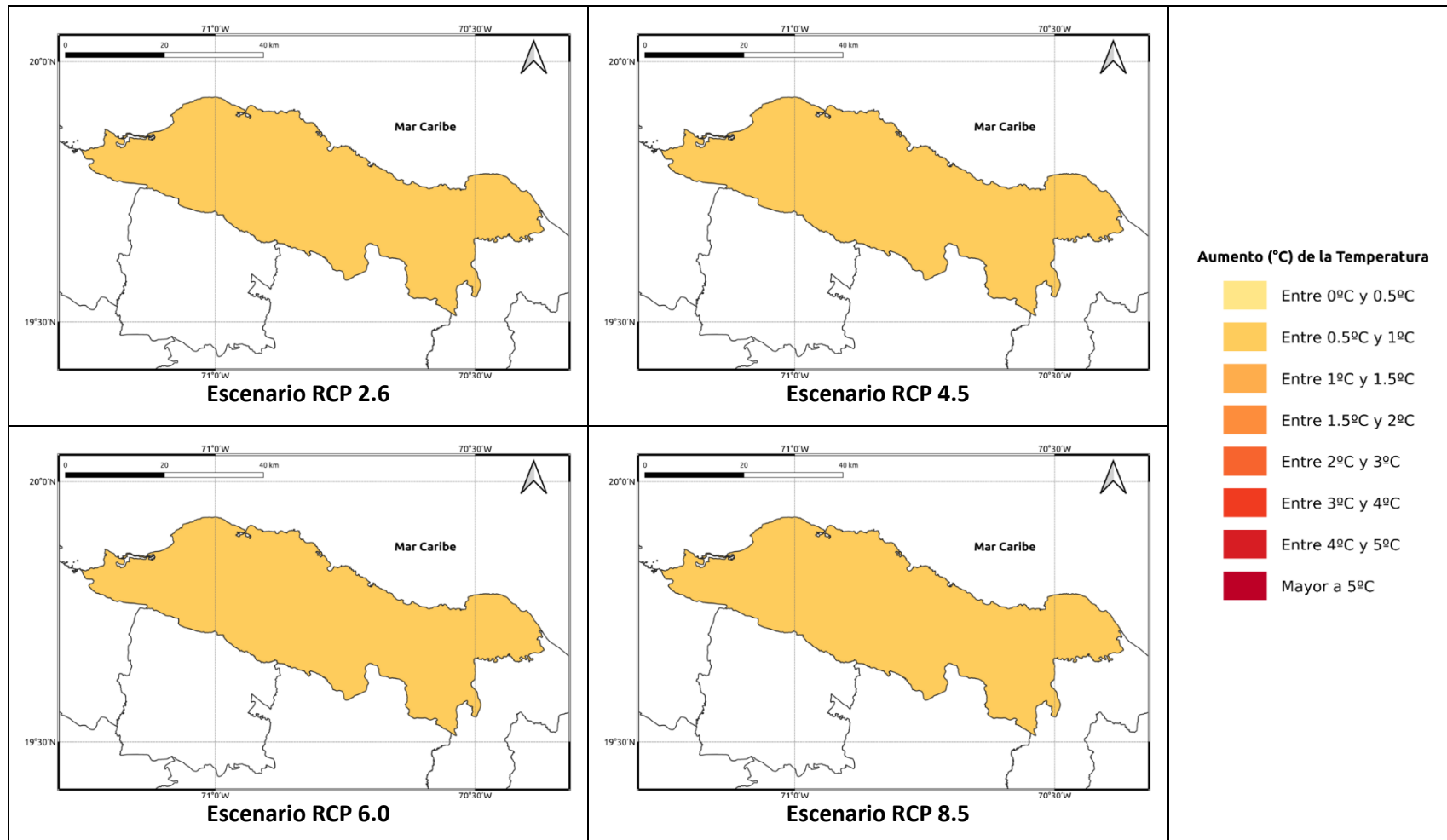
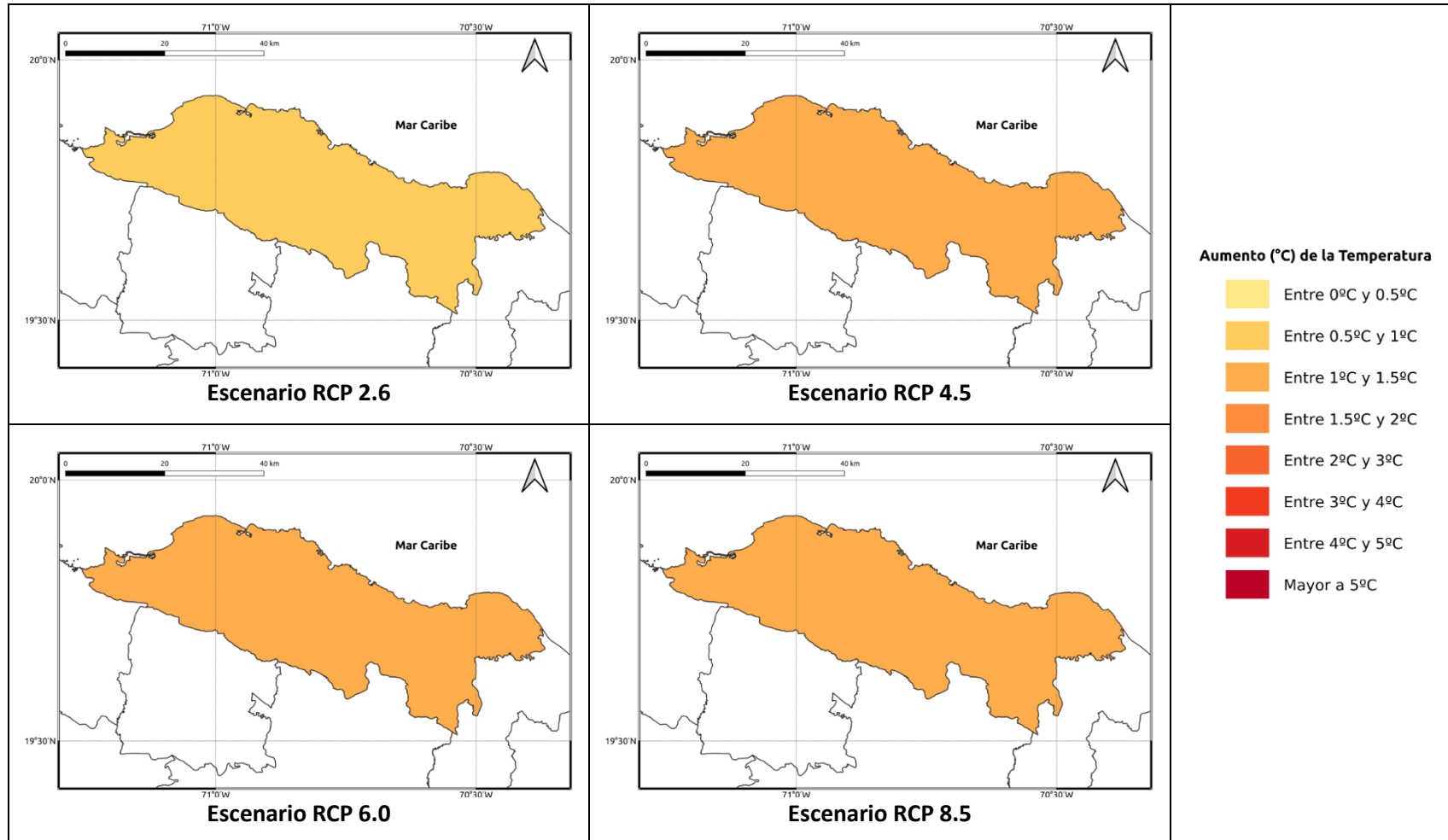


Figura 1.1.22-12. Cambios proyectados en la temperatura mínima (°C) por el ensamble multimodelo bajo los 4 escenarios RCP en el periodo 2081-2100 para la provincia Puerto Plata.



**Figura 1.1.22-13. Cambios proyectados en la temperatura media (°C) por el ensamble multimodelo bajo los 4 escenarios RCP en el periodo 2021-2040 para la provincia Puerto Plata.**



**Figura 1.1.22-14. Cambios proyectados en la temperatura media (°C) por el ensamble multimodelo bajo los 4 escenarios RCP en el periodo 2041-2060 para la provincia Puerto Plata.**

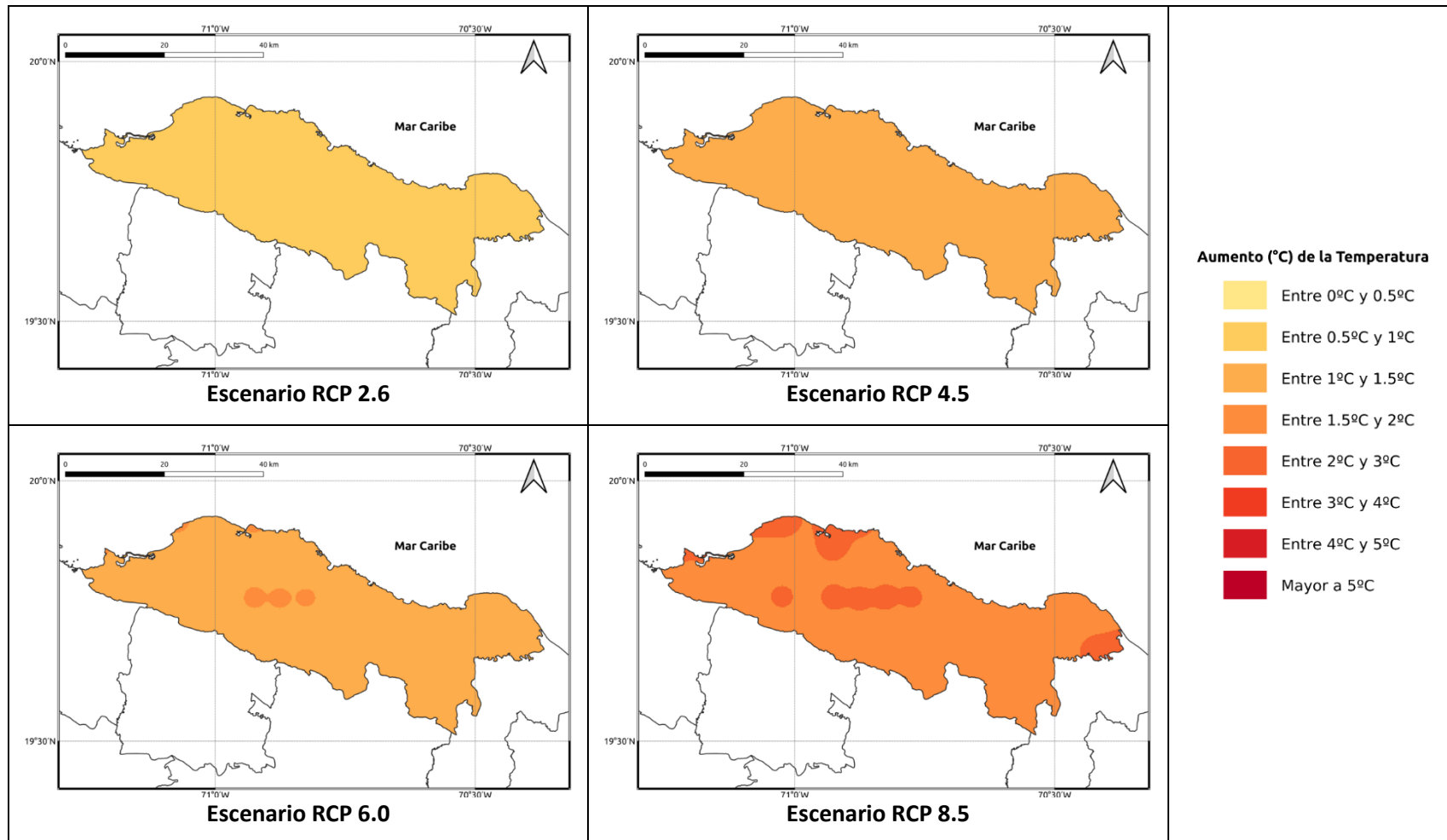
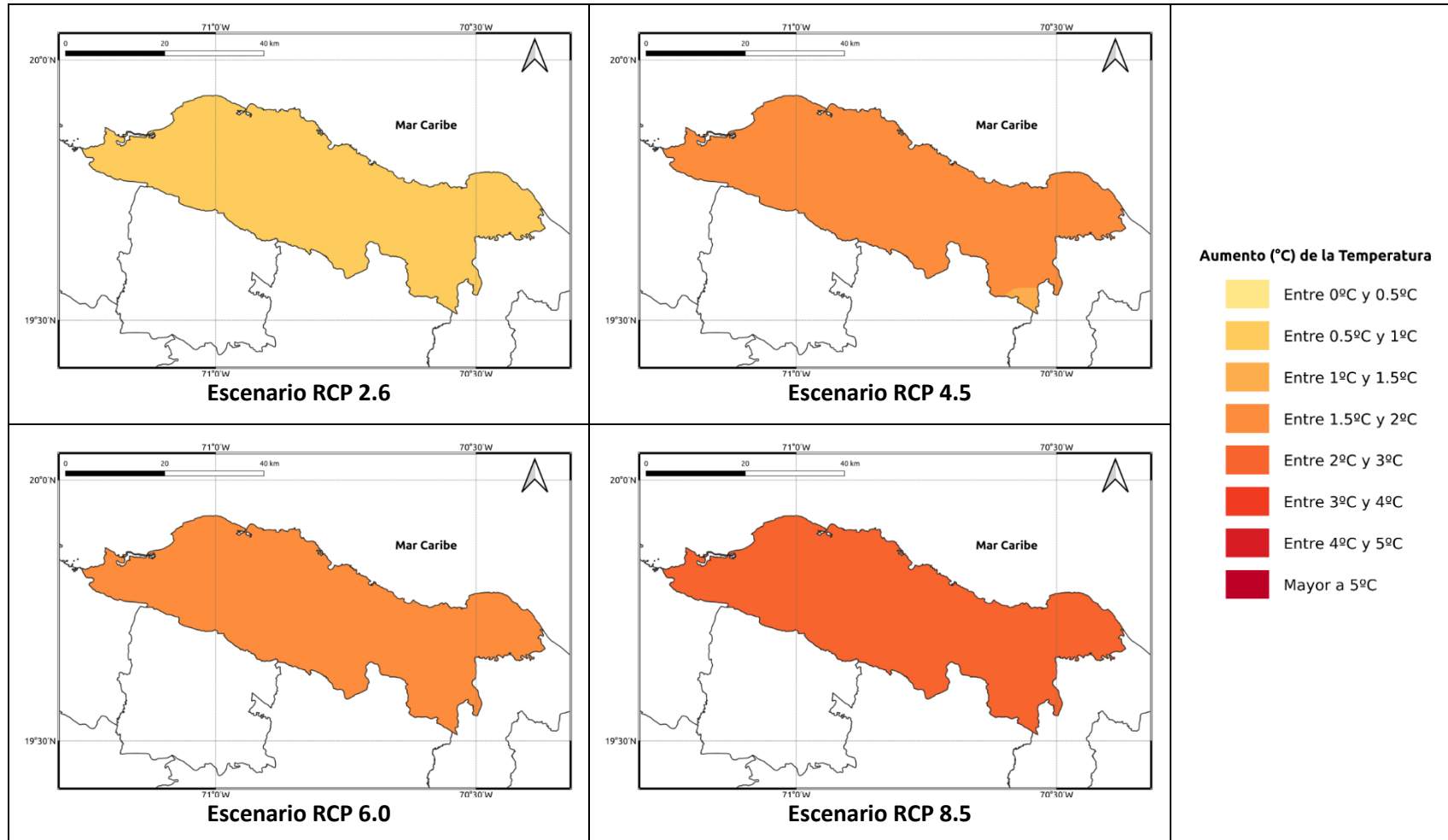


Figura 1.1.22-15. Cambios proyectados en la temperatura media (°C) por el ensamble multimodelo bajo los 4 escenarios RCP en el periodo 2061-2080 para la provincia Puerto Plata.



**Figura 1.1.22-16. Cambios proyectados en la temperatura media (°C) por el ensamble multimodelo bajo los 4 escenarios RCP en el periodo 2081-2100 para la provincia Puerto Plata.**

## **1.1.23 PROVINCIA SAMANÁ**

A continuación, se presenta el análisis espacial de los cambios de las variables climáticas a nivel anual para la provincia **Samaná**. Los cambios a nivel estacional (trimestral) se pueden consultar en el Anexo 24.

### **Precipitación**

Para esta variable, en el periodo de corto plazo 2021-2040 se presentarían cambios dentro del rango normal de variabilidad (del orden del 5%), con aumentos de esta magnitud bajo los escenarios RCP 2.6 y 6.0, y reducciones del mismo orden bajo los escenarios RCP 4.5 y 8.5, dándose en este último escenario disminuciones del orden del 8% hacia el occidente de la provincia (Figura 1.1.23-1). Para el siguiente periodo (2041-2060), bajo el RCP 2.6 se mantiene el aumento de la precipitación del orden del 5%, y en los demás escenarios la tendencia sería a la reducción de la precipitación entre un 3-6% (Figura 1.1.23-2). Para el periodo 2061-2080, en el RCP 2.6 se mantendrían incrementos del 5%, y bajo los otros escenarios se darían reducciones de la precipitación, del orden del 4-11% bajo los RCP 4.5 y 6.0 y del 16-19% bajo el RCP 8.5 (Figura 1.1.23-3). Por último, para finales de siglo bajo los 4 escenarios se presentarían reducciones de la precipitación, siendo las de menor magnitud bajo el RCP 2.6 (entre 7-9%) y las más altas bajo el RCP 8.5, con reducciones entre 24 y 29% (Figura 1.1.23-4).

### **Temperatura Máxima**

La temperatura máxima presentaría incrementos bajo los 4 RCP en todos los periodos analizados. En el periodo de corto plazo (2021-2040) la temperatura aumentaría entre 0.7 y 1.3°C, con aumentos de más de 1°C bajo el RCP 8.5 (Figura 1.1.23-5). Para 2041-2060, los aumentos serían de 1.1 a 1.4°C bajo los primeros 3 RCP (2.6, 4.5 y 6.0), y de 1.5 a 1.8°C bajo el RCP 8.5 (Figura 1.1.23-6). En el periodo 2061-2080 los aumentos serían de 1.1 a 2.6°C, manteniéndose el incremento de 1.1 a 1.4°C bajo el RCP 2.6, siendo de 1.4 a 1.8°C bajo los RCP 4.5 y 6.0 y de 2.6°C bajo el RCP 8.5 (Figura 1.1.23-7). Para finales de siglo, los aumentos serían de 0.7 a 1.1°C bajo el RCP 2.6, de 1.7 a 1.9°C bajo el RCP 4.5, de 2.2 a 2.4°C bajo el RCP 6.0 y de 3.2 a 3.8°C bajo el RCP 8.5 (Figura 1.1.23-8).

### **Temperatura Mínima**

En el primer periodo (2021-2040), ésta se incrementaría de 0.6 a 0.8°C en los 4 escenarios RCP (Figura 1.1.23-9). Para 2041-2060 aumentaría de 0.7 a 1.1°C en los 3 primeros escenarios, y bajo el RCP 8.5 habría aumentos de 1.3°C (Figura 1.1.23-10). En el periodo 2061-2080 la temperatura mínima se incrementaría entre 0.6 y 0.8°C bajo el RCP 2.6, entre 1.1 y 1.4°C bajo los RCP 4.5 y 6.0 y entre 1.7 y 2.2°C bajo el RCP



8.5 (dándose los mayores aumentos en la mayor parte de la provincia) (Figura 1.1.23-11). Por último, para finales de siglo se mantendría un aumento de 0.8°C en el RCP 2.6, entre 1.1 y 1.4°C bajo el RCP 4.5, entre 1.5 y 1.7°C bajo el 6.0 y de 2.2 a 2.6°C bajo el RCP 8.5 (Figura 1.1.23-12).

#### ***Temperatura Media***

La temperatura media se incrementaría entre 0.6 y 0.8°C en el periodo 2021-2040 bajo los 4 escenarios RCP (Figura 1.1.23-13). En el periodo 2041-2060 se mantendría este mismo rango bajo el RCP 2.6, y en los otros 3 escenarios aumentaría de 1.1 a 1.6°C (Figura 1.1.23-14). Para 2061-2080 la temperatura media aumentaría de 0.7 a 0.8°C bajo el RCP 2.6, de 1.3 a 1.7°C bajo los RCP 4.5 y 6.0 y de 1.7 a 2.4°C bajo el RCP 8.5 (dándose los mayores aumentos hacia el centro y occidente de la provincia) (Figura 1.1.23-15). Finalmente, para el periodo 2081-2100 la temperatura subiría entre 0.6 y 0.8°C bajo el RCP 2.6, entre 1.6 y 1.9°C bajo los RCP 4.5 y 6.0 y de 2.4 a 2.8°C bajo el RCP 8.5 (Figura 1.1.23-16).



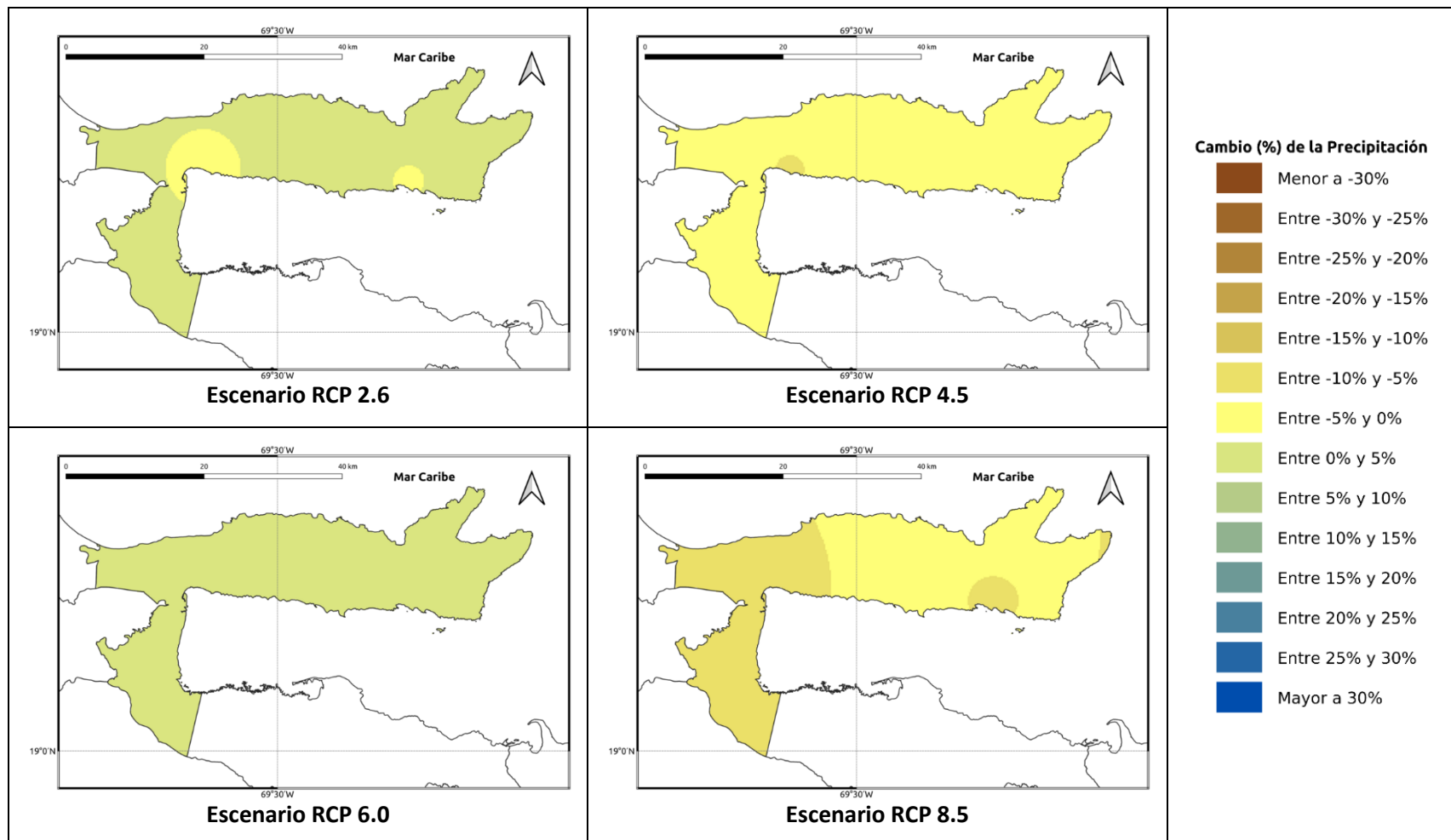
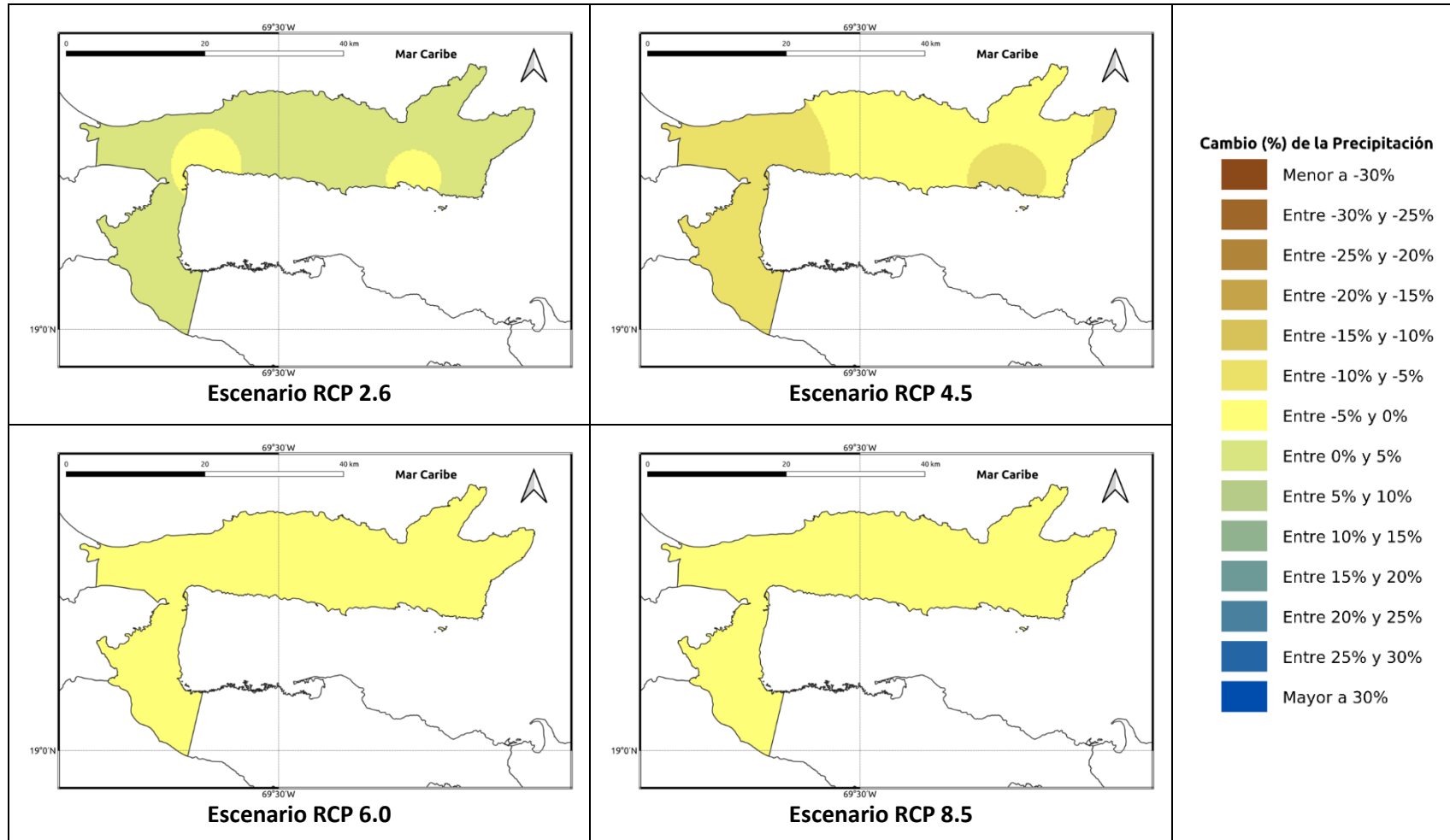
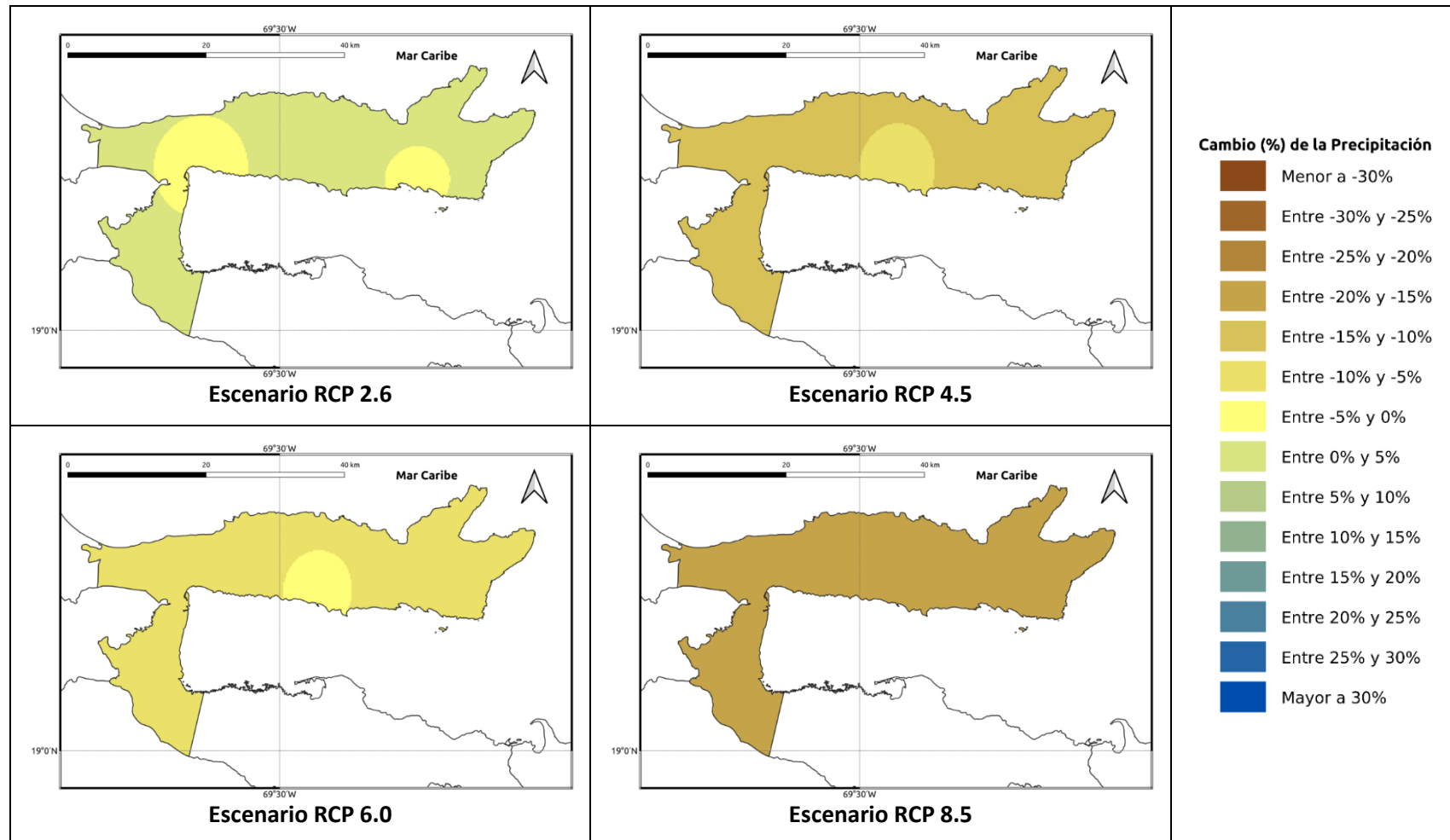


Figura 1.1.23-1. Cambios porcentuales de la precipitación (%) proyectados por el ensamble multimodelo bajo los 4 escenarios RCP en el periodo 2021-2040 para la provincia Samaná.



**Figura 1.1.23-2. Cambios porcentuales de la precipitación (%) proyectados por el ensamble multimodelo bajo los 4 escenarios RCP en el periodo 2041-2060 para la provincia Samaná.**



**Figura 1.1.23-3. Cambios porcentuales de la precipitación (%) proyectados por el ensamble multimodelo bajo los 4 escenarios RCP en el periodo 2061-2080 para la provincia Samaná.**

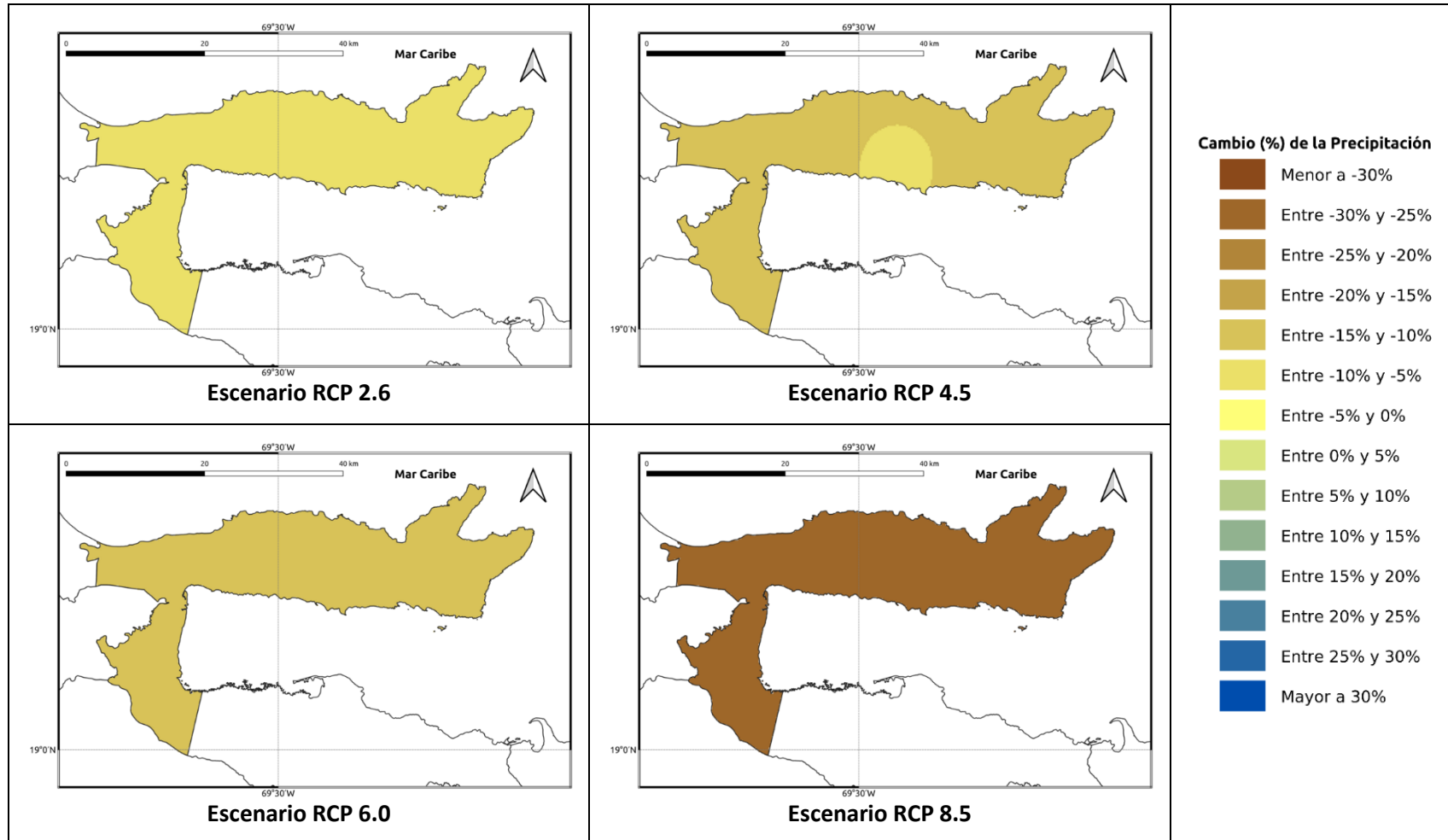


Figura 1.1.23-4. Cambios porcentuales de la precipitación (%) proyectados por el ensamble multimodelo bajo los 4 escenarios RCP en el periodo 2081-2100 para la provincia Samaná.

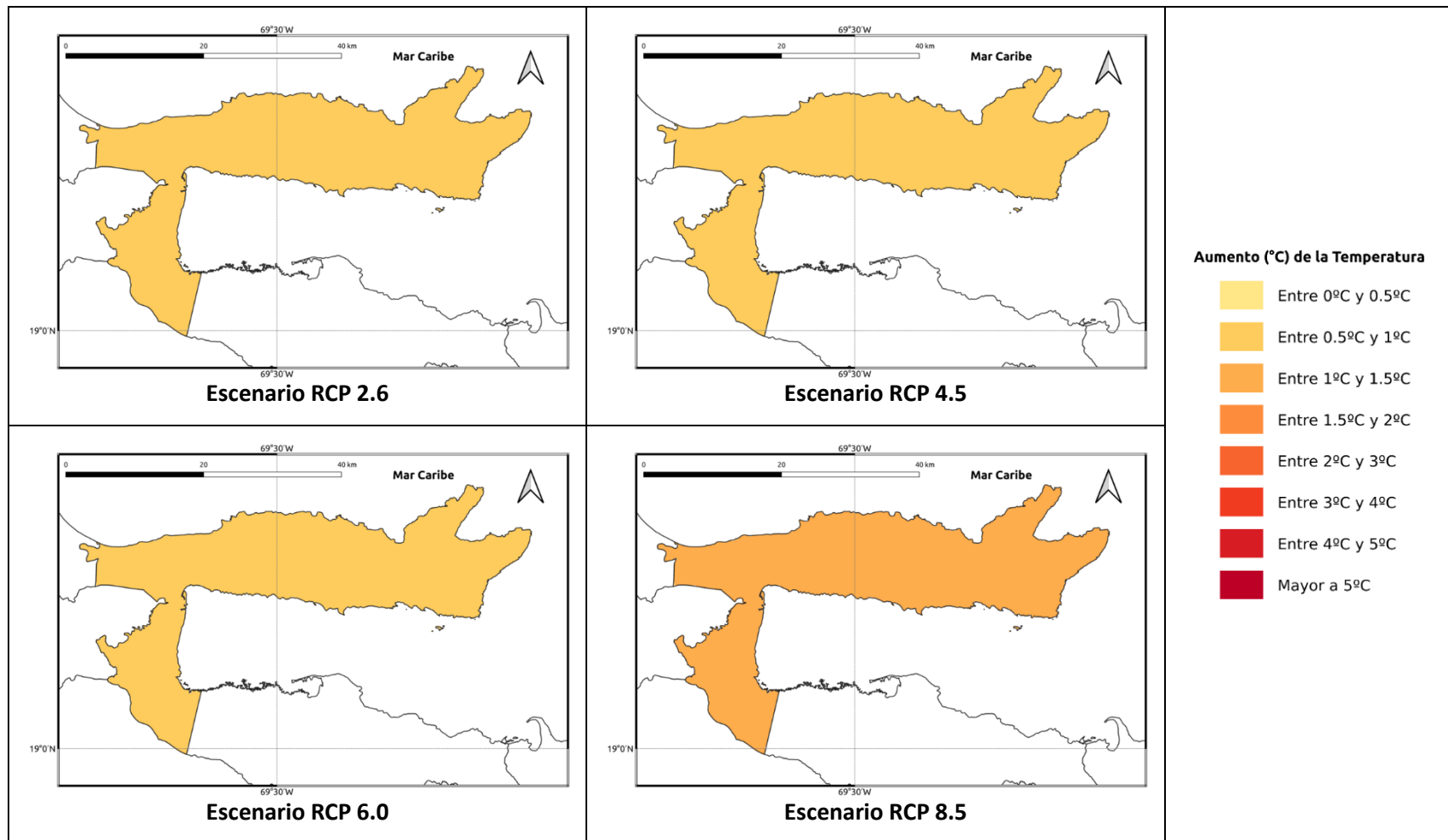
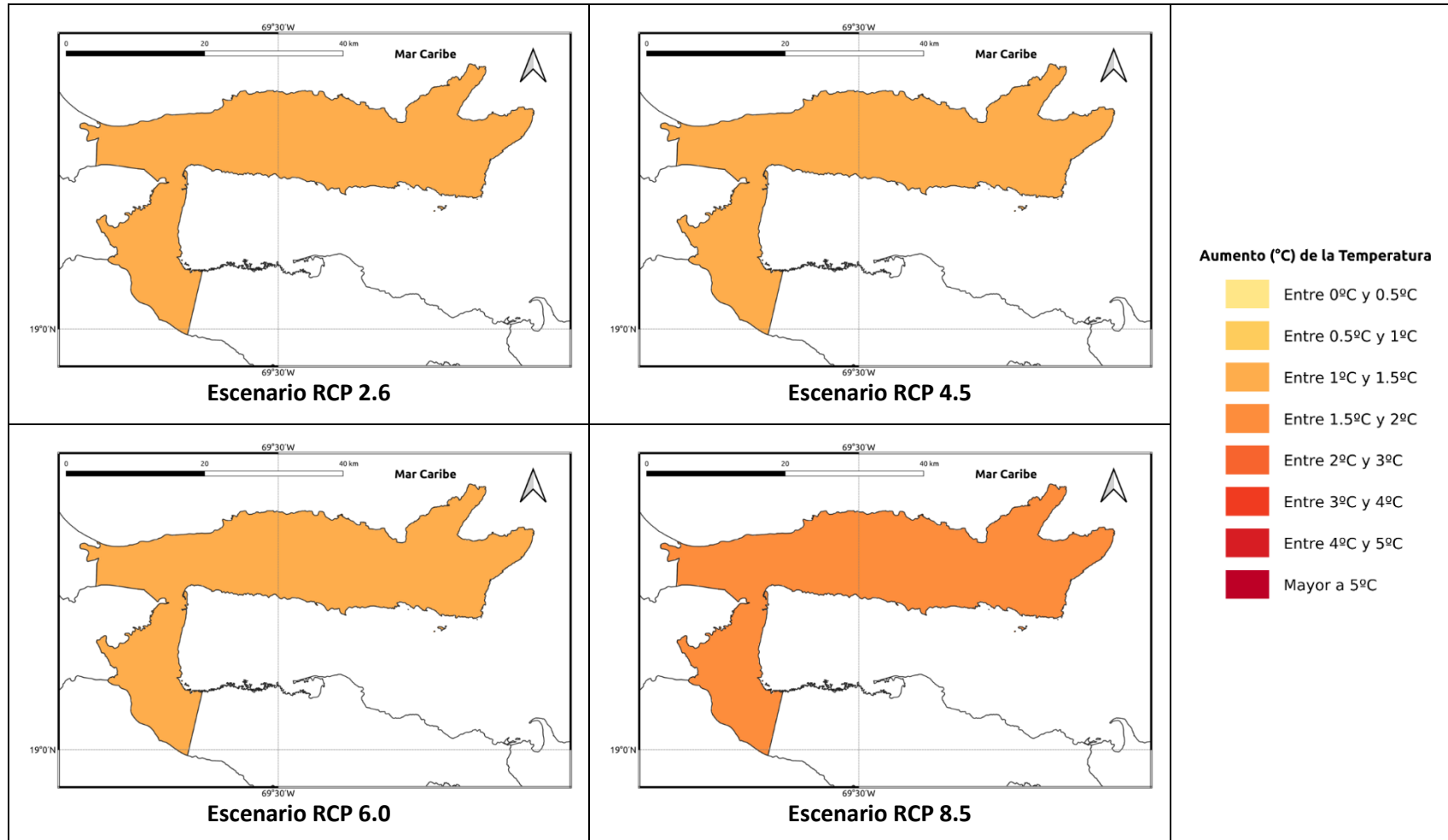
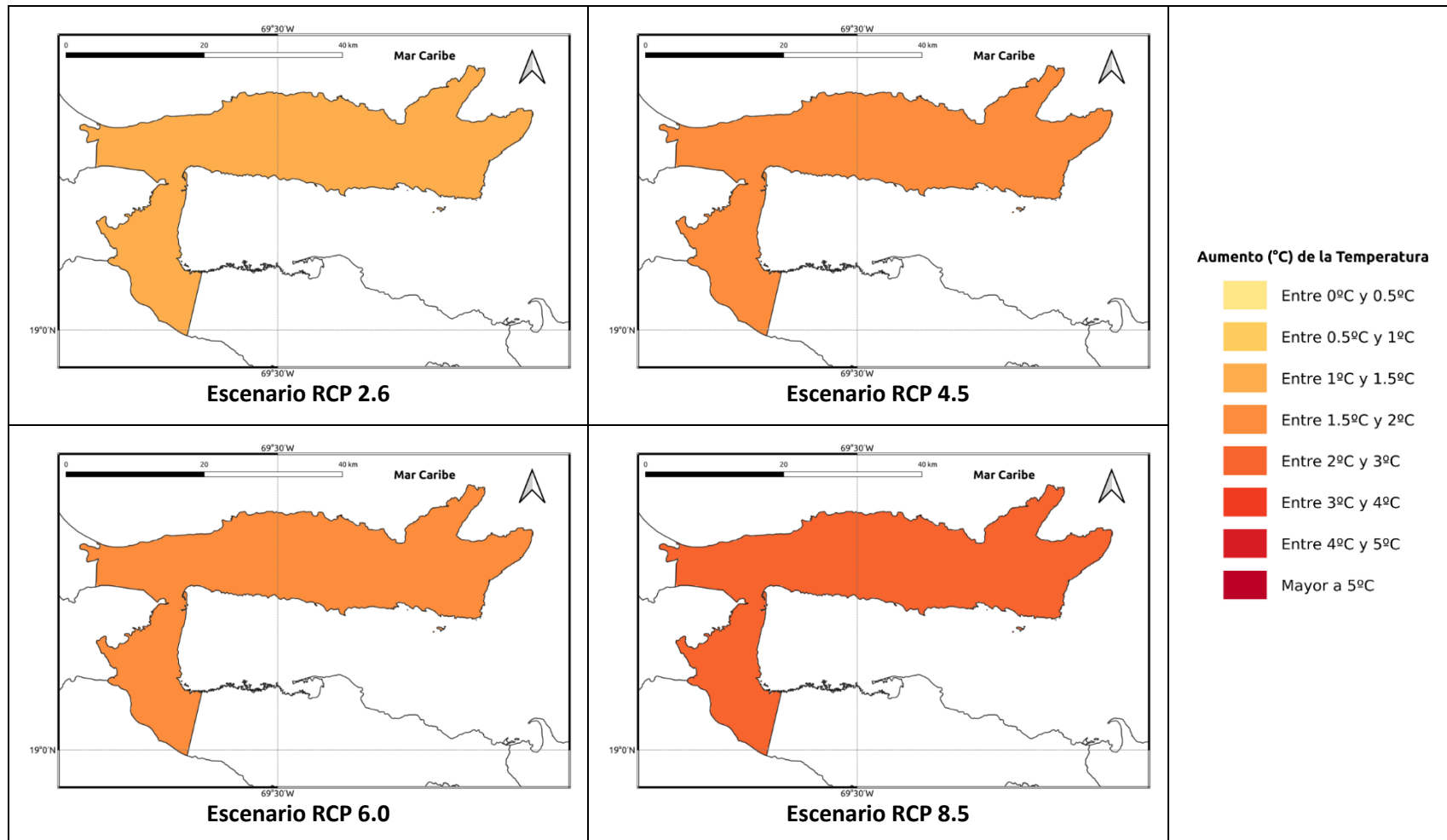


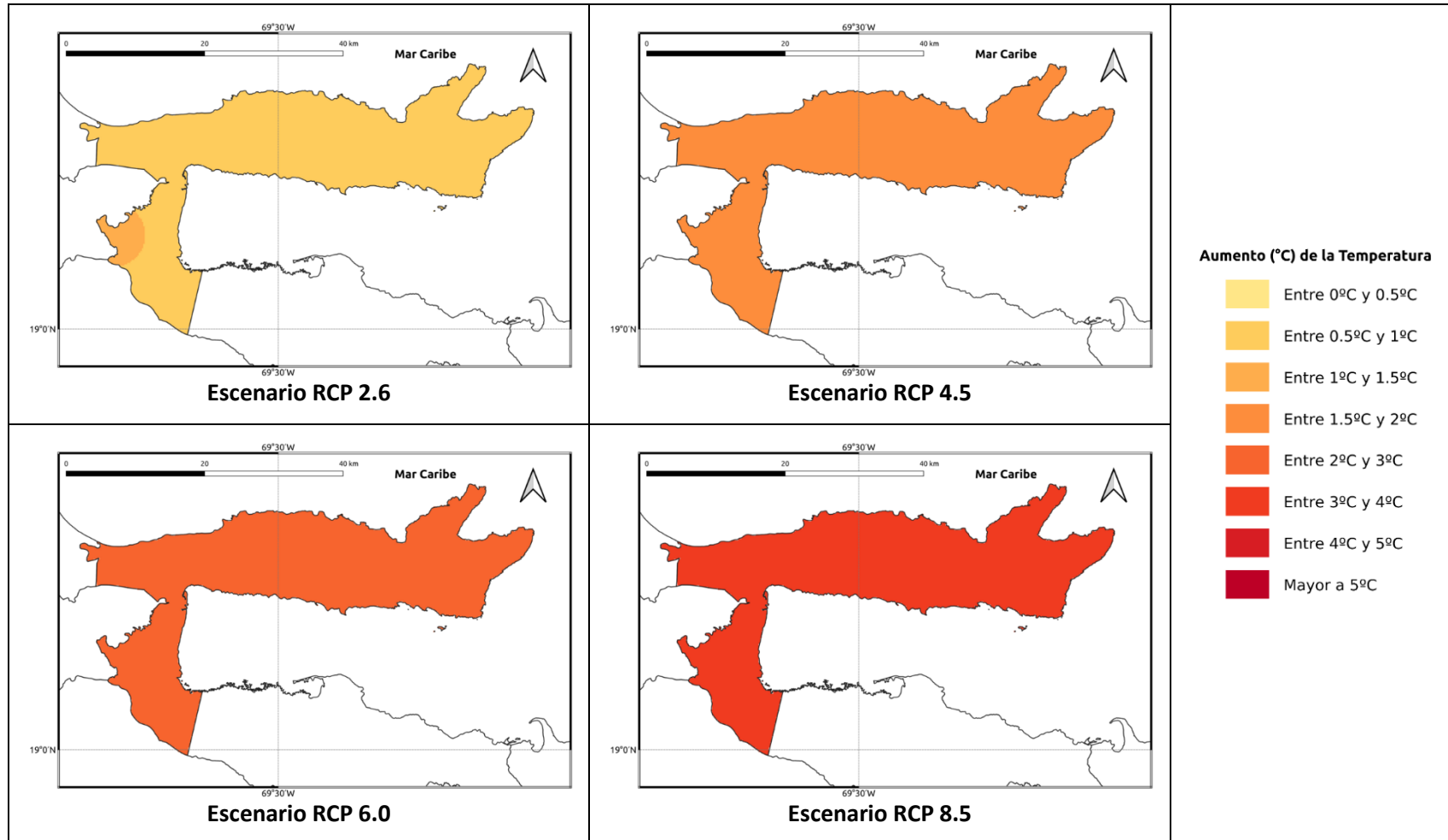
Figura 1.1.23-5. Cambios proyectados en la temperatura máxima ( $^{\circ}\text{C}$ ) por el ensamble multimodelo bajo los 4 escenarios RCP en el periodo 2021-2040 para la provincia Samaná.



**Figura 1.1.23-6. Cambios proyectados en la temperatura máxima (°C) por el ensamble multimodelo bajo los 4 escenarios RCP en el periodo 2041-2060 para la provincia Samaná.**



**Figura 1.1.23-7. Cambios proyectados en la temperatura máxima (°C) por el ensamble multimodelo bajo los 4 escenarios RCP en el periodo 2061-2080 para la provincia Samaná.**



**Figura 1.1.23-8. Cambios proyectados en la temperatura máxima (°C) por el ensamble multimodelo bajo los 4 escenarios RCP en el periodo 2081-2100 para la provincia Samaná.**

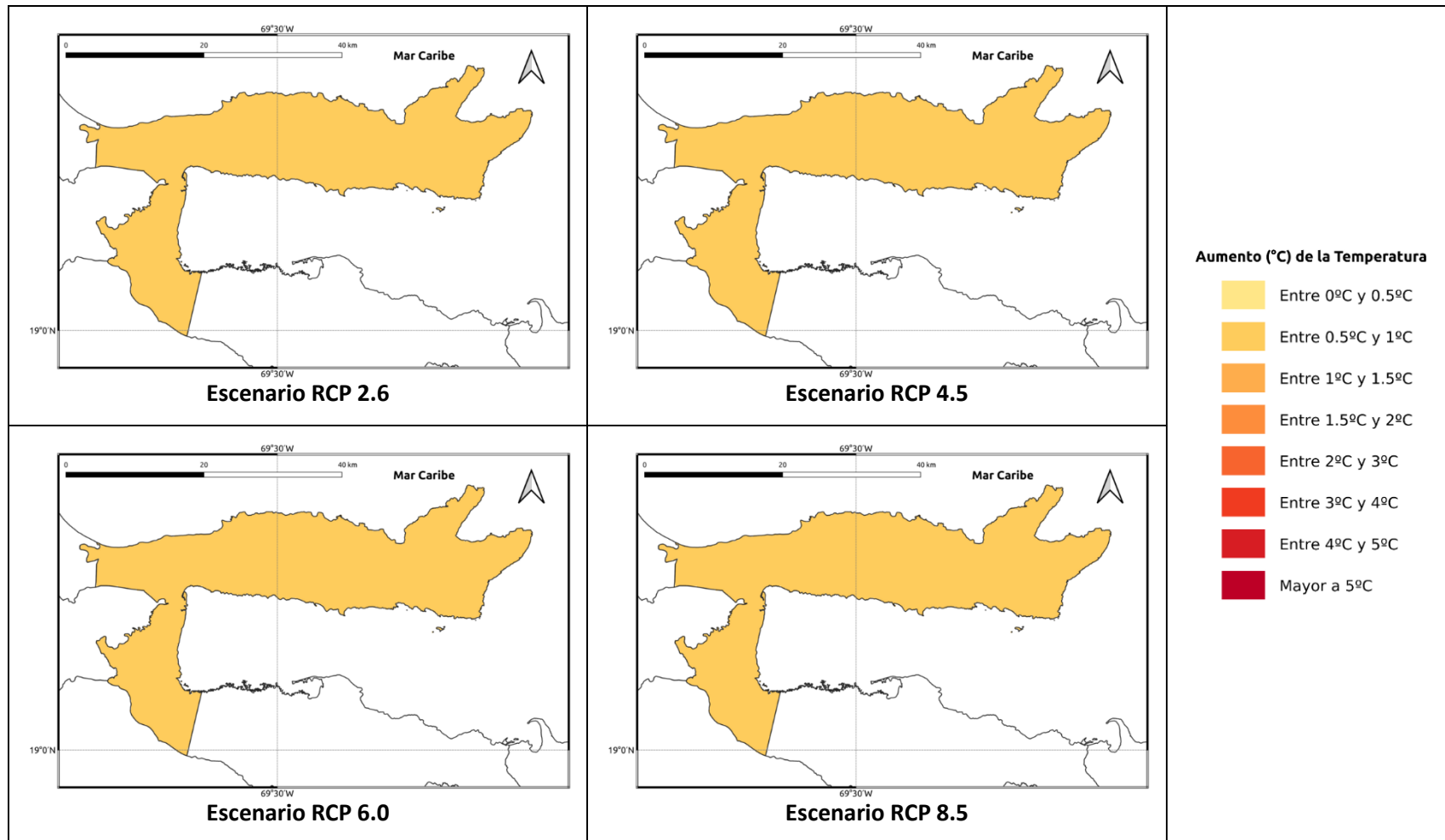
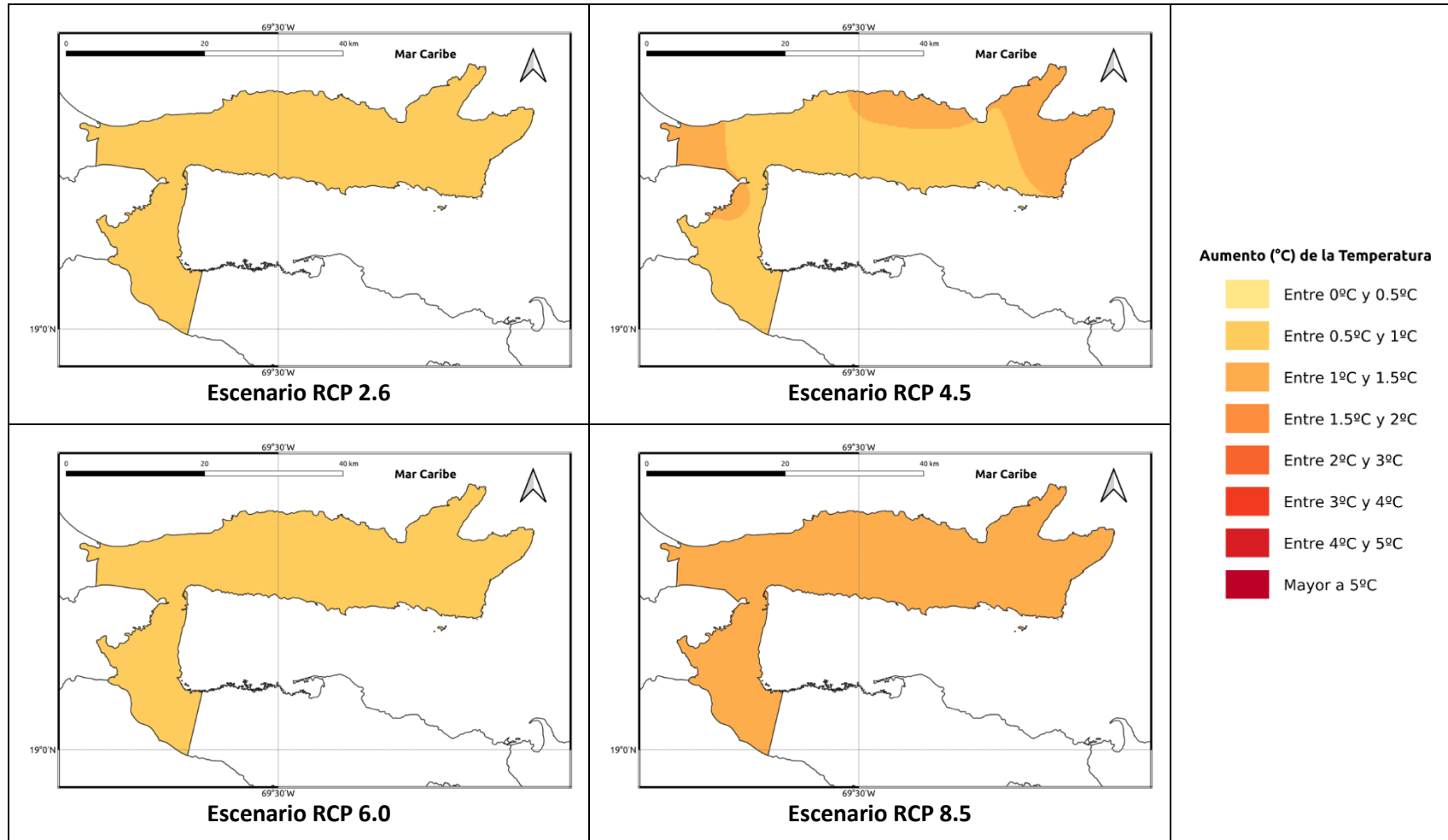
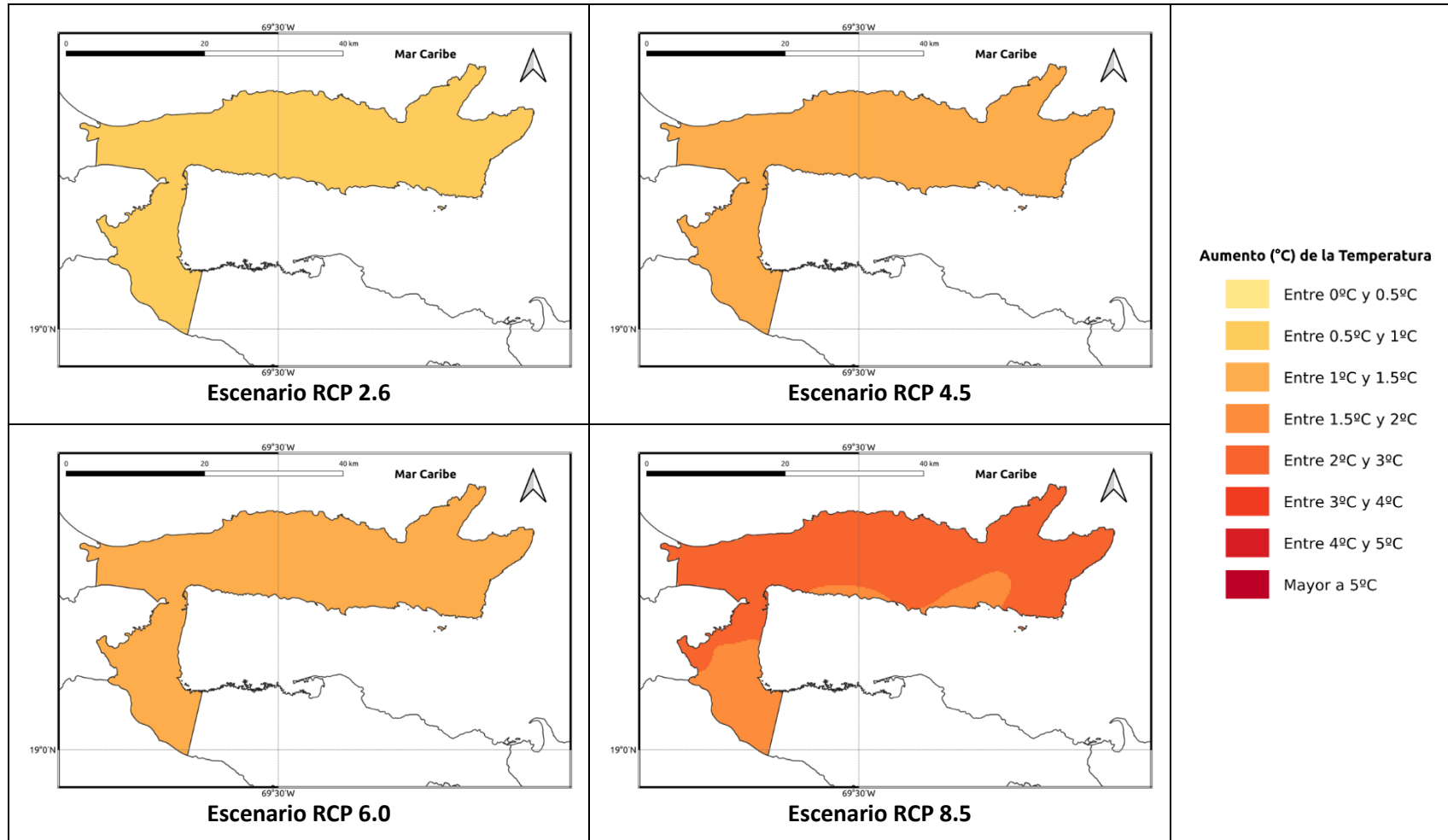


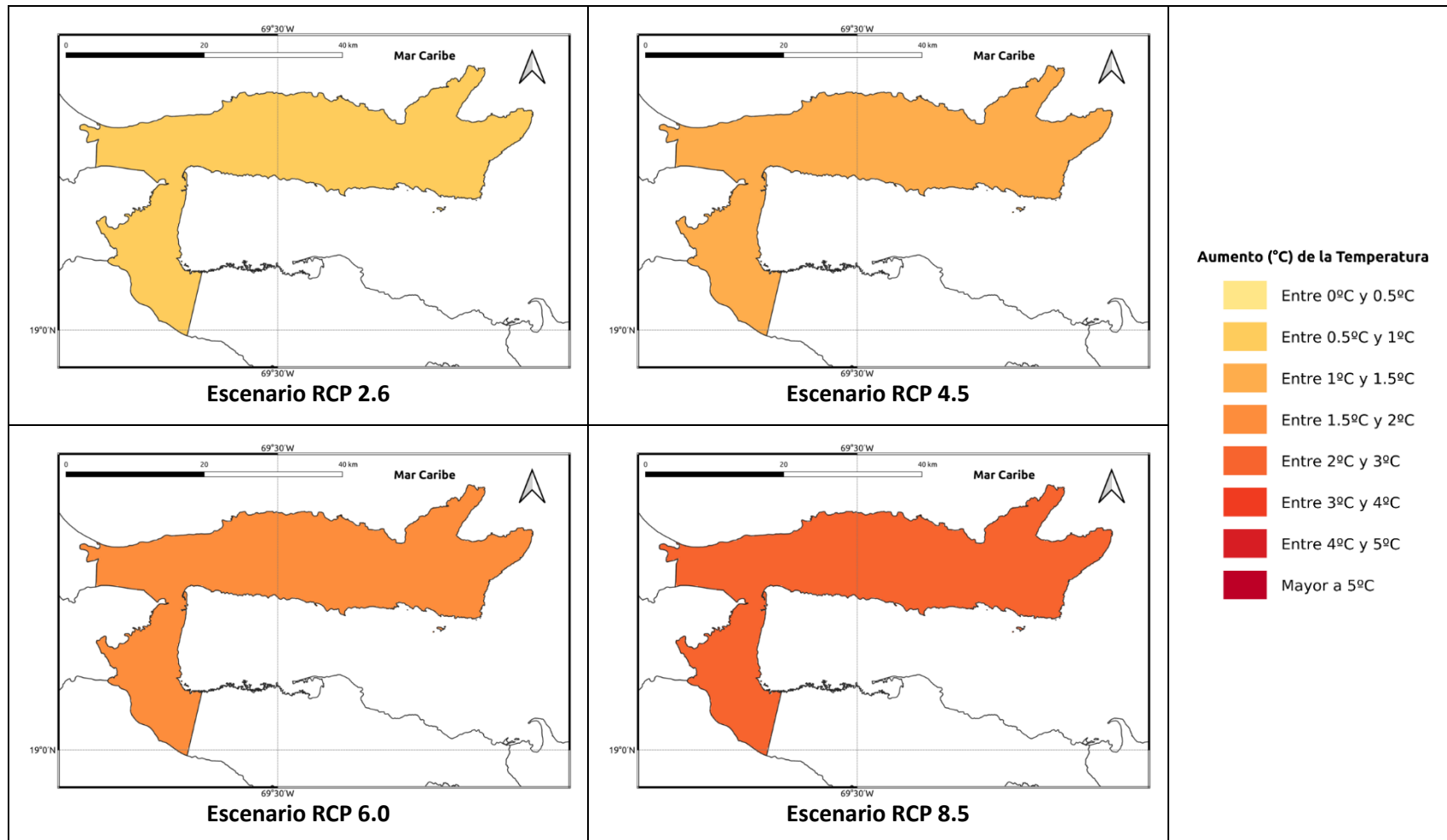
Figura 1.1.23-9. Cambios proyectados en la temperatura mínima (°C) por el ensamble multimodelo bajo los 4 escenarios RCP en el periodo 2021-2040 para la provincia Samaná.



**Figura 1.1.23-10. Cambios proyectados en la temperatura mínima (°C) por el ensamble multimodelo bajo los 4 escenarios RCP en el periodo 2041-2060 para la provincia Samaná.**



**Figura 1.1.23-11. Cambios proyectados en la temperatura mínima (°C) por el ensamble multimodelo bajo los 4 escenarios RCP en el periodo 2061-2080 para la provincia Samaná.**



**Figura 1.1.23-12. Cambios proyectados en la temperatura mínima (°C) por el ensamble multimodelo bajo los 4 escenarios RCP en el periodo 2081-2100 para la provincia Samaná.**

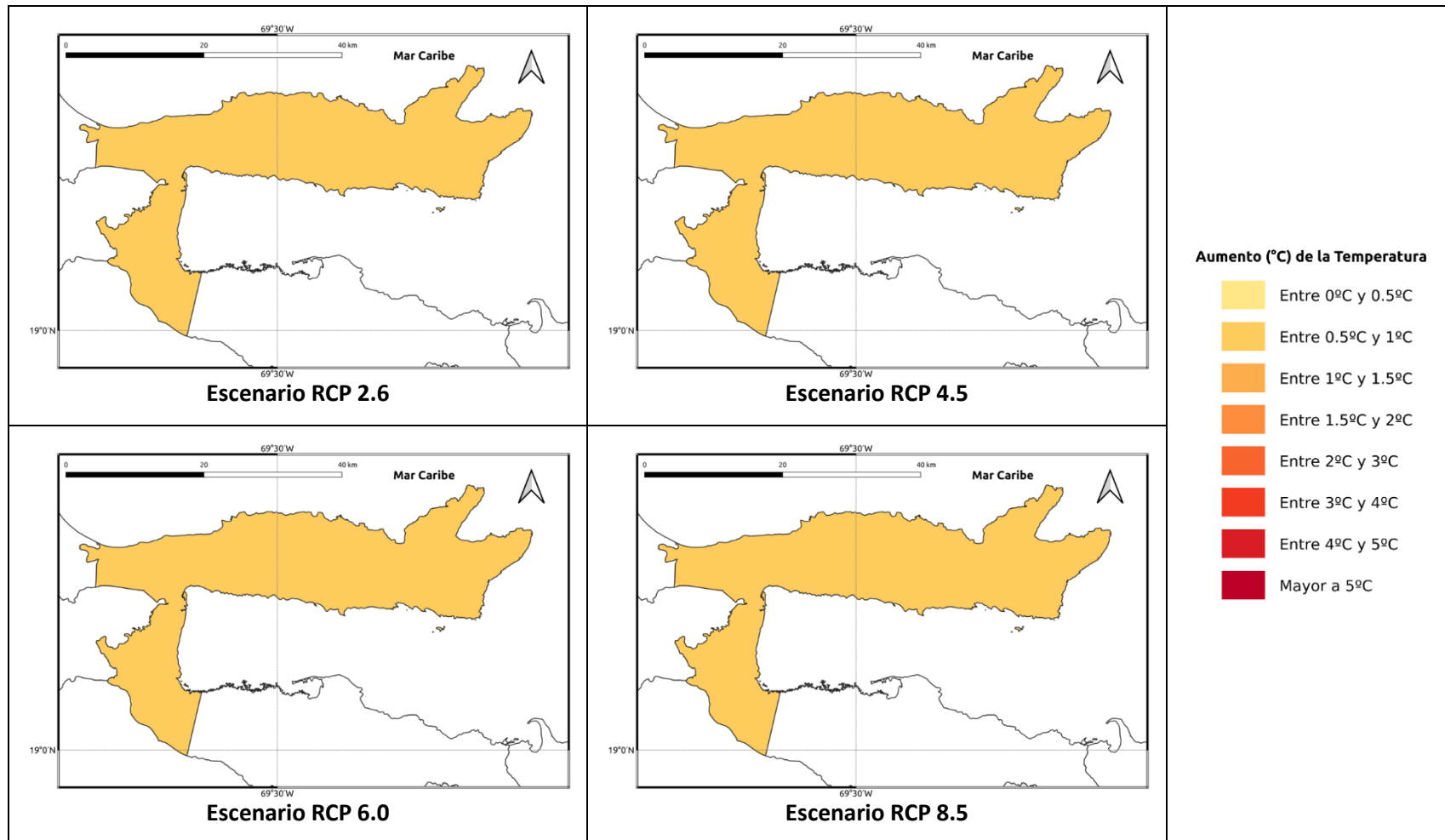
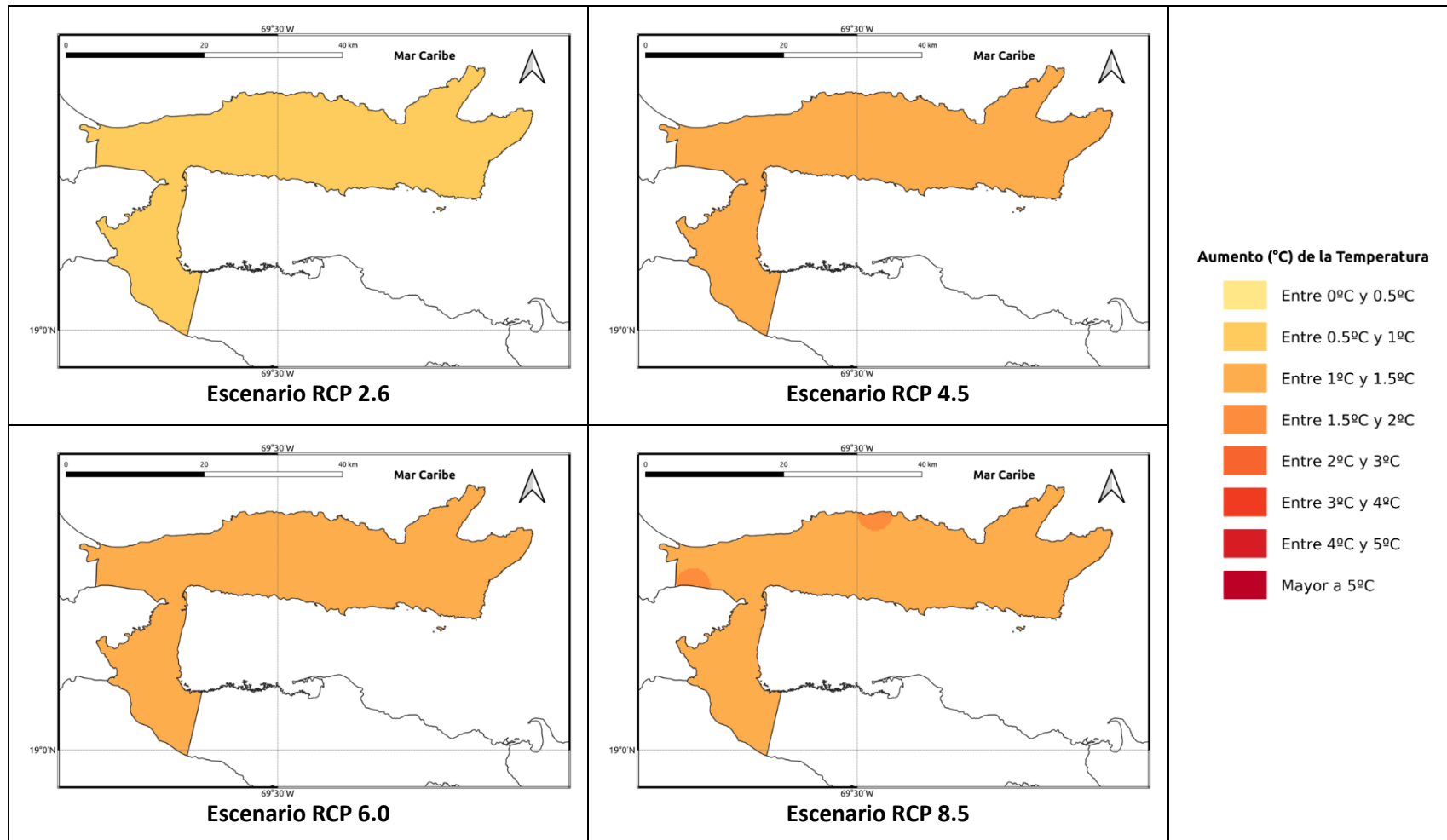
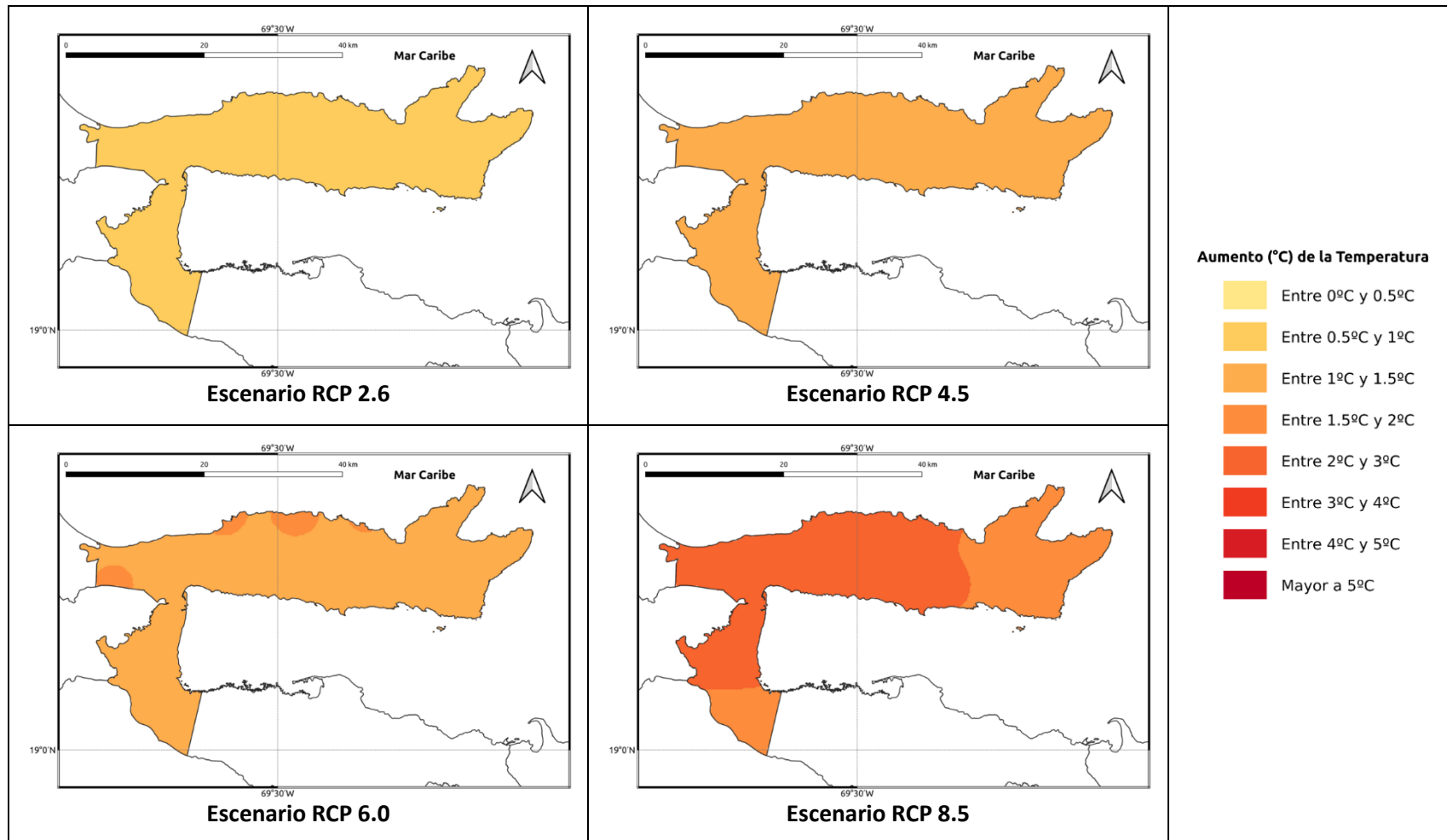


Figura 1.1.23-13. Cambios proyectados en la temperatura media (°C) por el ensamble multimodelo bajo los 4 escenarios RCP en el periodo 2021-2040 para la provincia Samaná.



**Figura 1.1.23-14. Cambios proyectados en la temperatura media (°C) por el ensamble multimodelo bajo los 4 escenarios RCP en el periodo 2041-2060 para la provincia Samaná.**



**Figura 1.1.23-15. Cambios proyectados en la temperatura media (°C) por el ensamble multimodelo bajo los 4 escenarios RCP en el periodo 2061-2080 para la provincia Samaná.**

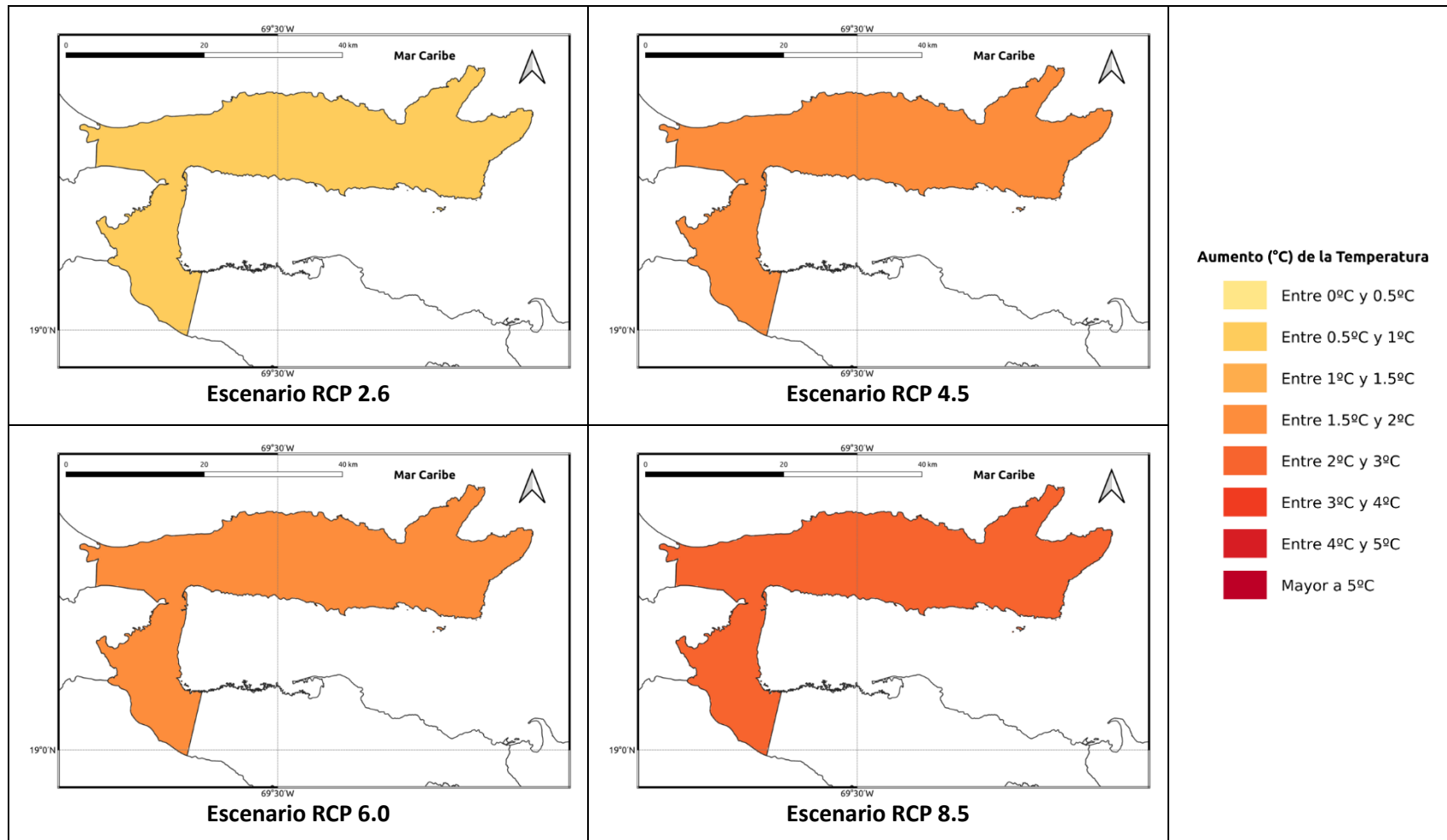


Figura 1.1.23-16. Cambios proyectados en la temperatura media (°C) por el ensamble multimodelo bajo los 4 escenarios RCP en el periodo 2081-2100 para la provincia Samaná.

## **1.1.24 PROVINCIA SAN CRISTÓBAL**

A continuación, se presenta el análisis espacial de los cambios de las variables climáticas a nivel anual para la provincia **San Cristóbal**. Los cambios a nivel estacional (trimestral) se pueden consultar en el Anexo 25.

### **Precipitación**

Para esta variable, en el periodo de corto plazo 2021-2040 se presentarían cambios dentro del rango normal de variabilidad (del orden del 5%), con aumentos de esta magnitud bajo los escenarios RCP 2.6 y 6.0, y reducciones bajo los escenarios RCP 4.5 y 8.5, dándose en este último escenario disminuciones del orden del 8% (Figura 1.1.24-1). Para el siguiente periodo (2041-2060), bajo el RCP 2.6 se mantiene el aumento de la precipitación del orden del 5%, y en los demás escenarios la tendencia sería a la reducción de la precipitación entre un 4-9% (Figura 1.1.24-2). Para el periodo 2061-2080, en el RCP 2.6 se mantendrían los incrementos del 5%, y reducciones del mismo orden en el occidente de la provincia. Bajo los otros escenarios se darían disminuciones de la precipitación, del orden del 11-14% bajo el RCP 4.5, entre 6-9% bajo el RCP 6.0 y del 19-23% bajo el RCP 8.5 (Figura 1.1.24-3). Por último, para finales de siglo bajo los 4 escenarios se esperarían reducciones de la precipitación, siendo las de menor magnitud bajo el RCP 2.6 (entre 7-9%) y las más altas bajo el RCP 8.5, con reducciones de más del 30% (Figura 1.1.24-4).

### **Temperatura Máxima**

La temperatura máxima experimentaría incrementos bajo los 4 RCP en todos los periodos analizados. En el periodo de corto plazo (2021-2040) la temperatura aumentaría entre 0.7 y 1.3°C, con aumentos de más de 1°C bajo el RCP 8.5 (Figura 1.1.24-5). Para 2041-2060, los aumentos serían de 0.9 a 1.4°C bajo los primeros 3 RCP (2.6, 4.5 y 6.0), y de 1.6 a 1.8°C bajo el RCP 8.5 (Figura 1.1.24-6). En el periodo 2061-2080 los aumentos serían de 0.9 a 2.6°C, manteniéndose el incremento de 0.9 a 1.4°C bajo el RCP 2.6, siendo de 1.4 a 1.8°C bajo los RCP 4.5 y 6.0 y de 2.6°C bajo el RCP 8.5 (Figura 1.1.24-7). Para finales de siglo, los aumentos serían de 0.7 a 0.9°C bajo el RCP 2.6, de 1.6 a 1.8°C bajo el RCP 4.5, de 1.9 a 2.6°C bajo el RCP 6.0 y de 3.2 a 3.8°C bajo el RCP 8.5 (Figura 1.1.24-8).

### **Temperatura Mínima**

En el primer periodo (2021-2040), ésta se incrementaría de 0.6 a 0.8°C en los 4 escenarios RCP (Figura 1.1.24-9). Para 2041-2060 aumentaría de 0.7 a 0.9°C en los RCP 2.6 y 6.0, y bajo los RCP 4.5 y 8.5 habría aumentos de 0.9 a 1.3°C (Figura 1.1.24-10). En el periodo 2061-2080 la temperatura mínima se incrementaría entre 0.6 y 0.8°C bajo el RCP 2.6, entre 1.1 y 1.4°C bajo los RCP 4.5 y 6.0 y entre 1.9 y 2.2°C bajo



el RCP 8.5 (Figura 1.1.24-11). Por último, para finales de siglo se mantendría un aumento de 0.8°C en el RCP 2.6, entre 1.1 y 1.4°C bajo el RCP 4.5, entre 1.4 y 1.8°C bajo el 6.0 y de 2.2 a 2.6°C bajo el RCP 8.5 (Figura 1.1.24-12).

### ***Temperatura Media***

La temperatura media se incrementaría entre 0.6 y 0.8°C en el periodo 2021-2040 bajo los 4 escenarios RCP (Figura 1.1.24-13). En el periodo 2041-2060 se mantendría este mismo rango bajo el RCP 2.6, y en los otros 3 escenarios aumentaría de 1.1 a 1.4°C (Figura 1.1.24-14). Para 2061-2080 la temperatura media aumentaría de 0.7 a 0.8°C bajo el RCP 2.6, de 1.3 a 1.5°C bajo los RCP 4.5 y 6.0 y de 1.7 a 2.1°C bajo el RCP 8.5 (Figura 1.1.24-15). Finalmente, para el periodo 2081-2100 la temperatura subiría entre 0.6 y 0.8°C bajo el RCP 2.6, entre 1.2 y 1.7°C bajo el RCP 4.5, de 1.6 a 1.9°C bajo el RCP 6.0 y de 2.4 a 2.8°C bajo el RCP 8.5 (Figura 1.1.24-16).



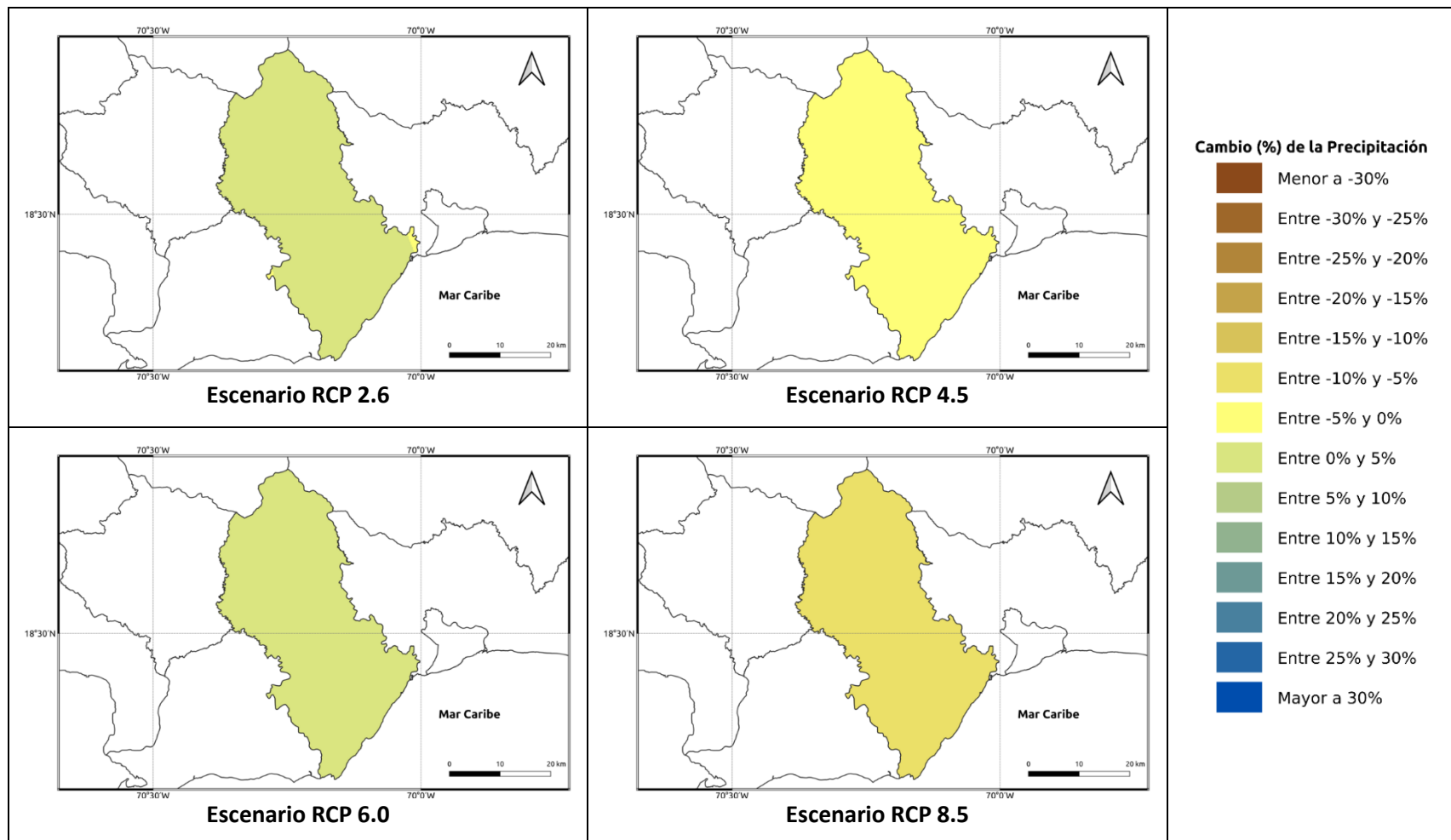


Figura 1.1.24-1. Cambios porcentuales de la precipitación (%) proyectados por el ensamble multimodelo bajo los 4 escenarios RCP en el periodo 2021-2040 para la provincia San Cristóbal.

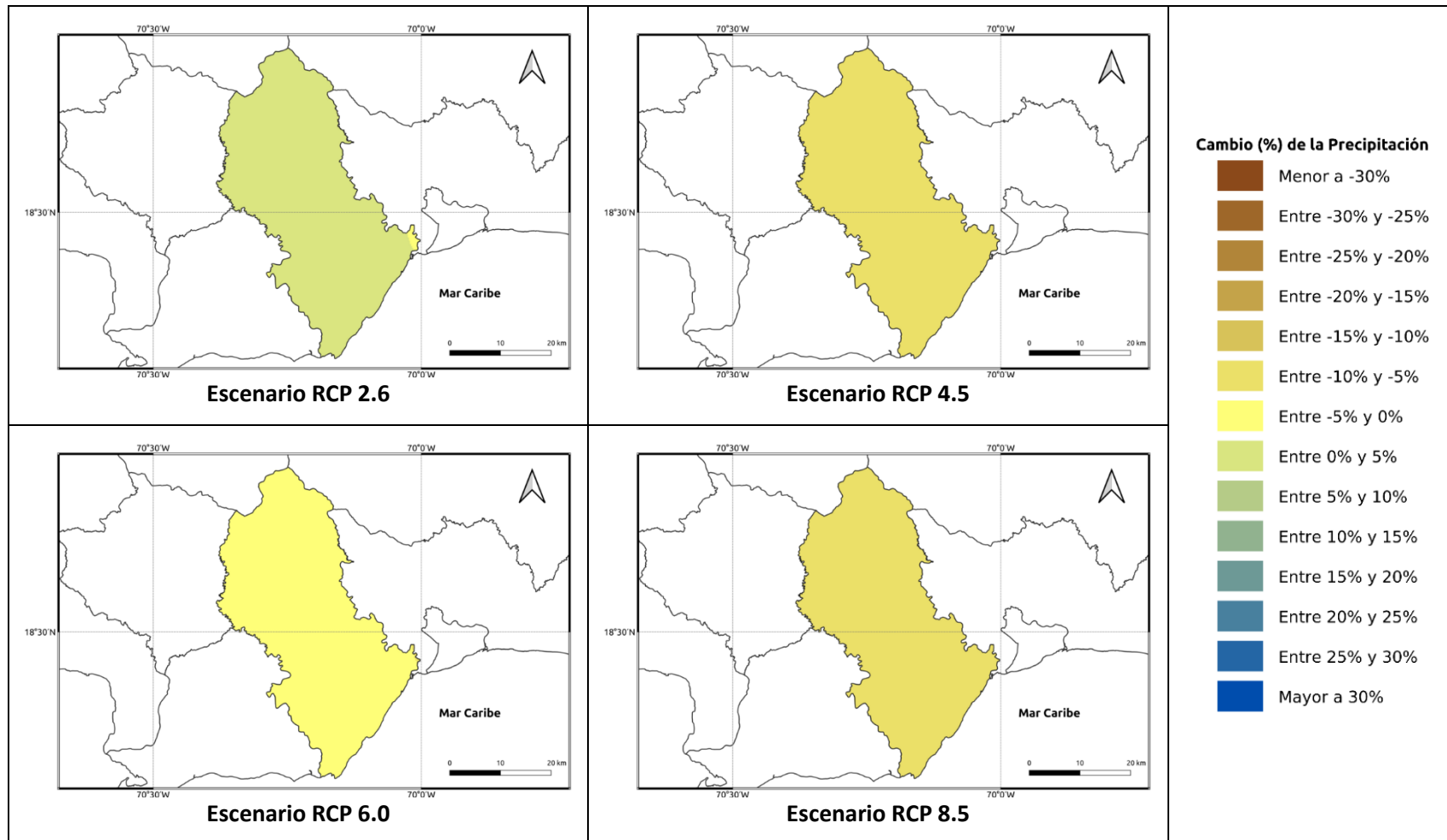


Figura 1.1.24-2. Cambios porcentuales de la precipitación (%) proyectados por el ensamble multimodelo bajo los 4 escenarios RCP en el periodo 2041-2060 para la provincia San Cristóbal.

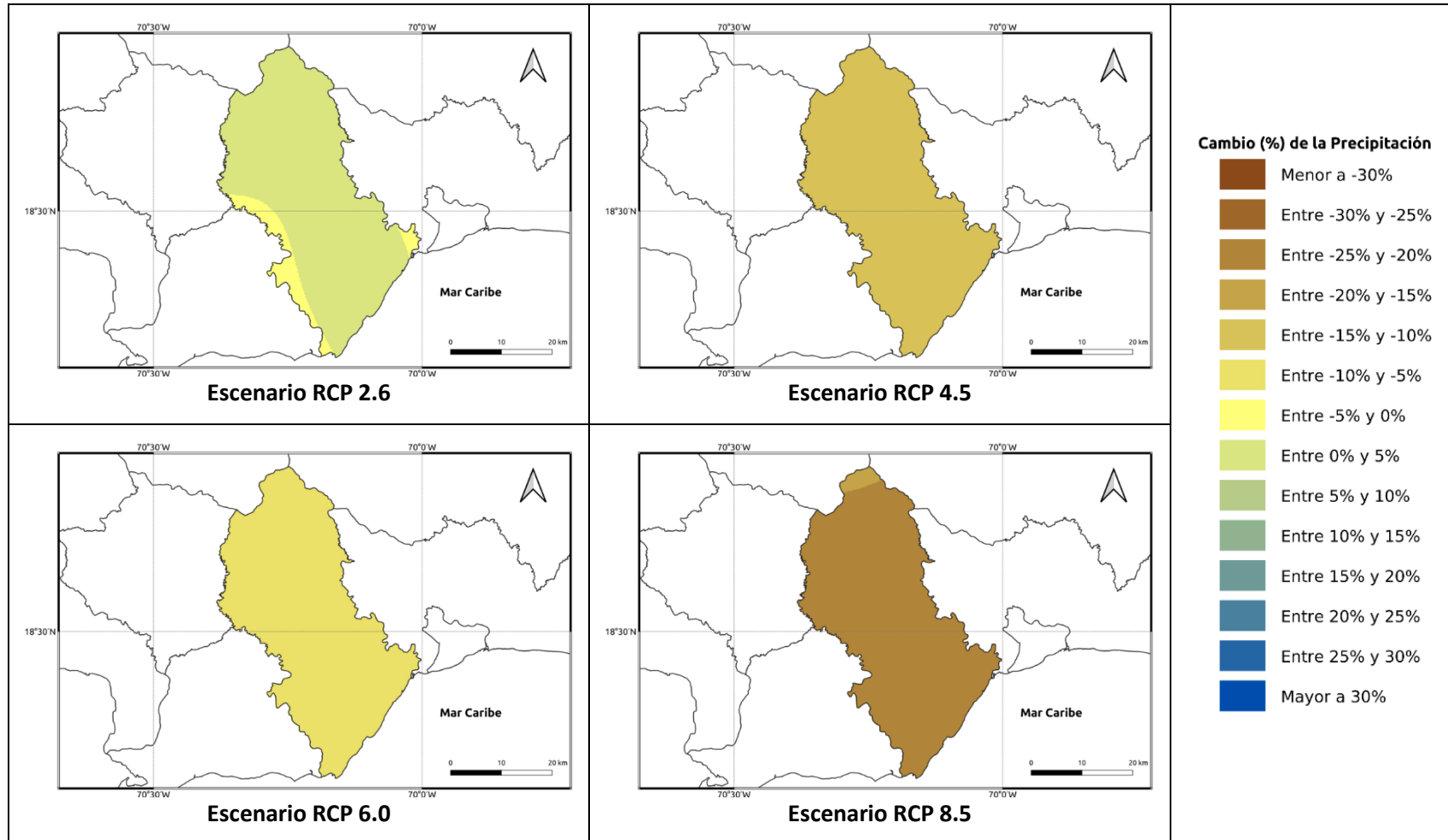


Figura 1.1.24-3. Cambios porcentuales de la precipitación (%) proyectados por el ensamble multimodelo bajo los 4 escenarios RCP en el periodo 2061-2080 para la provincia San Cristóbal.

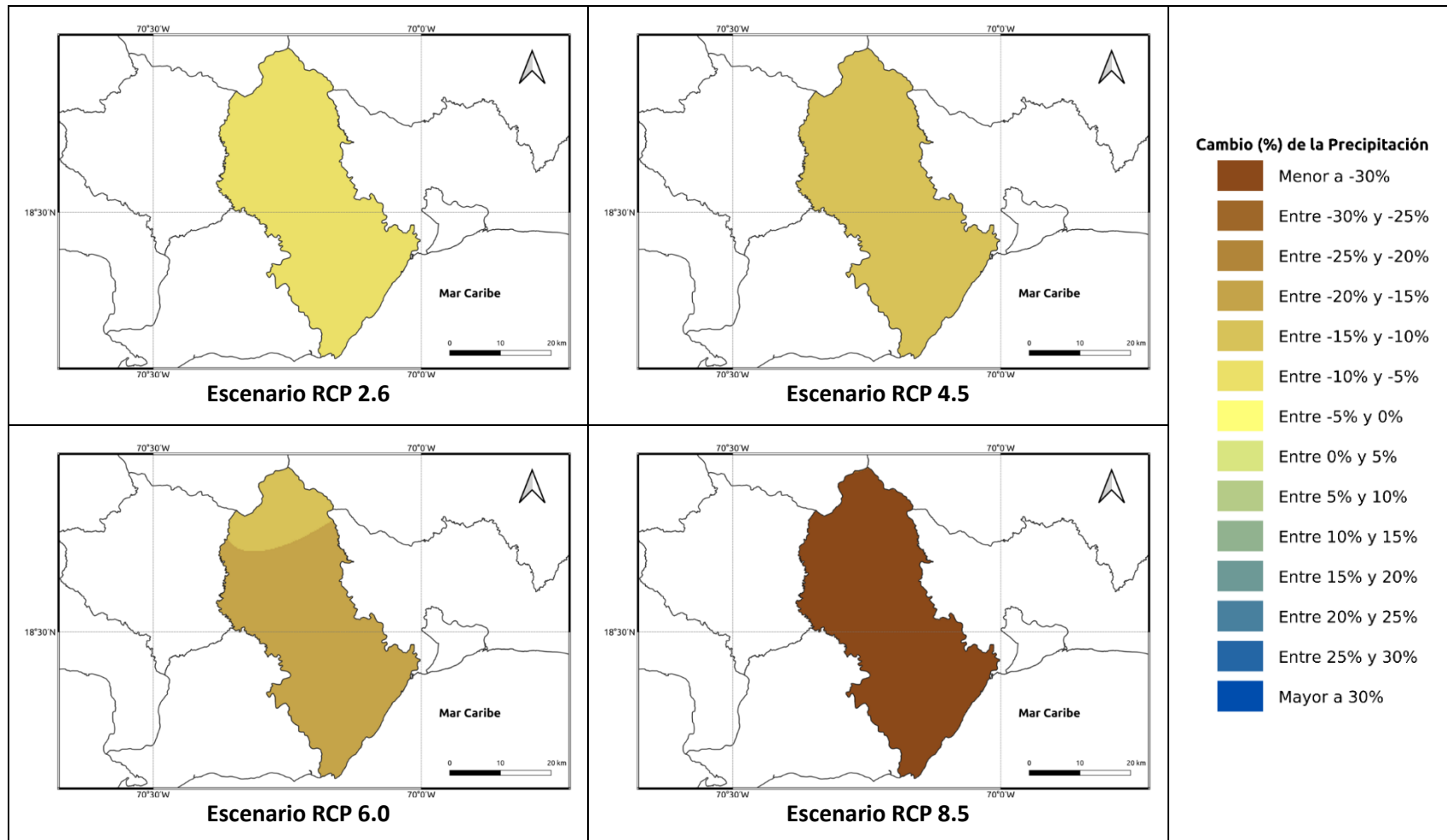


Figura 1.1.24-4. Cambios porcentuales de la precipitación (%) proyectados por el ensamble multimodelo bajo los 4 escenarios RCP en el periodo 2081-2100 para la provincia San Cristóbal.

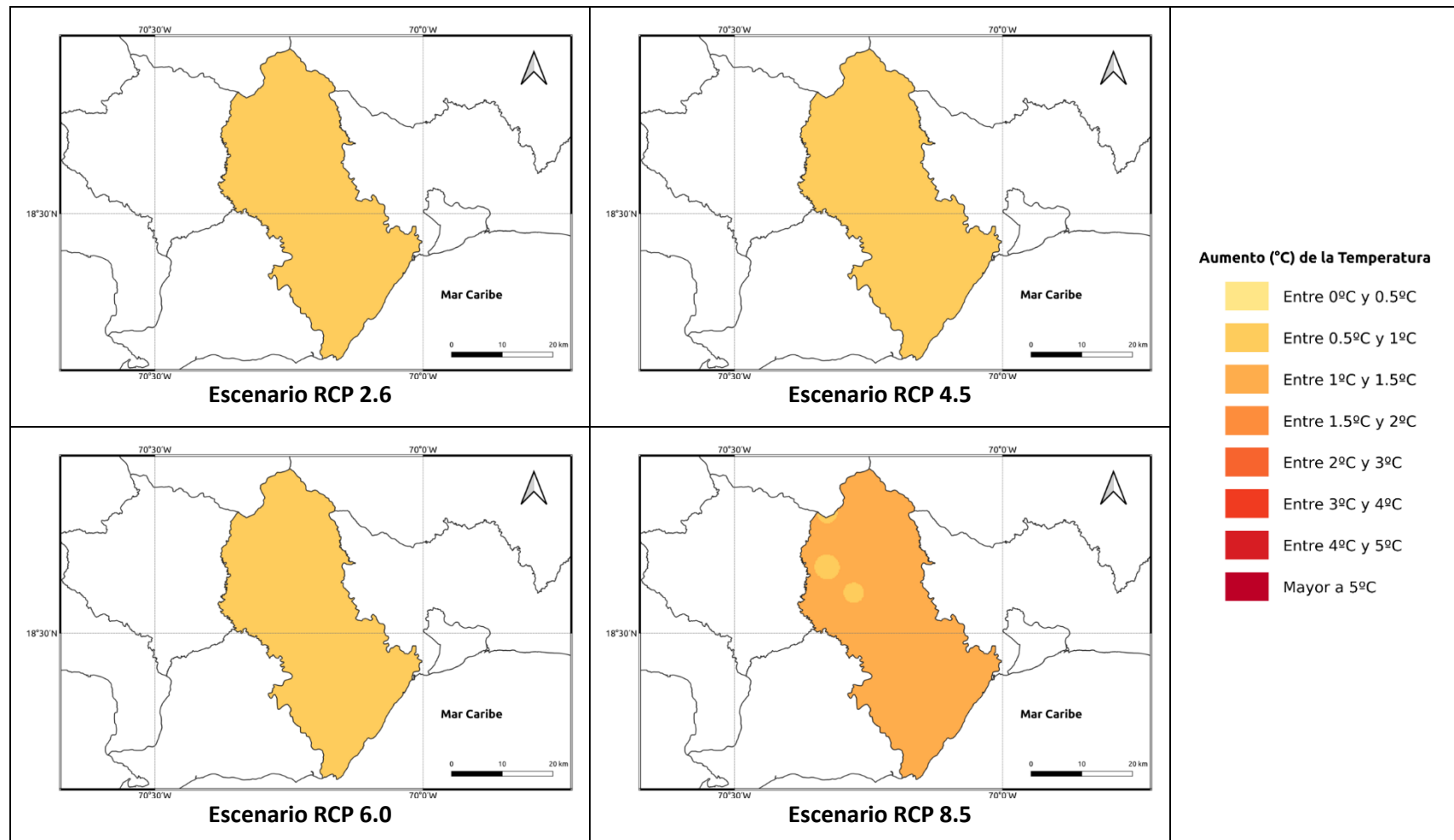


Figura 1.1.24-5. Cambios proyectados en la temperatura máxima (°C) por el ensamble multimodelo bajo los 4 escenarios RCP en el periodo 2021-2040 para la provincia San Cristóbal.

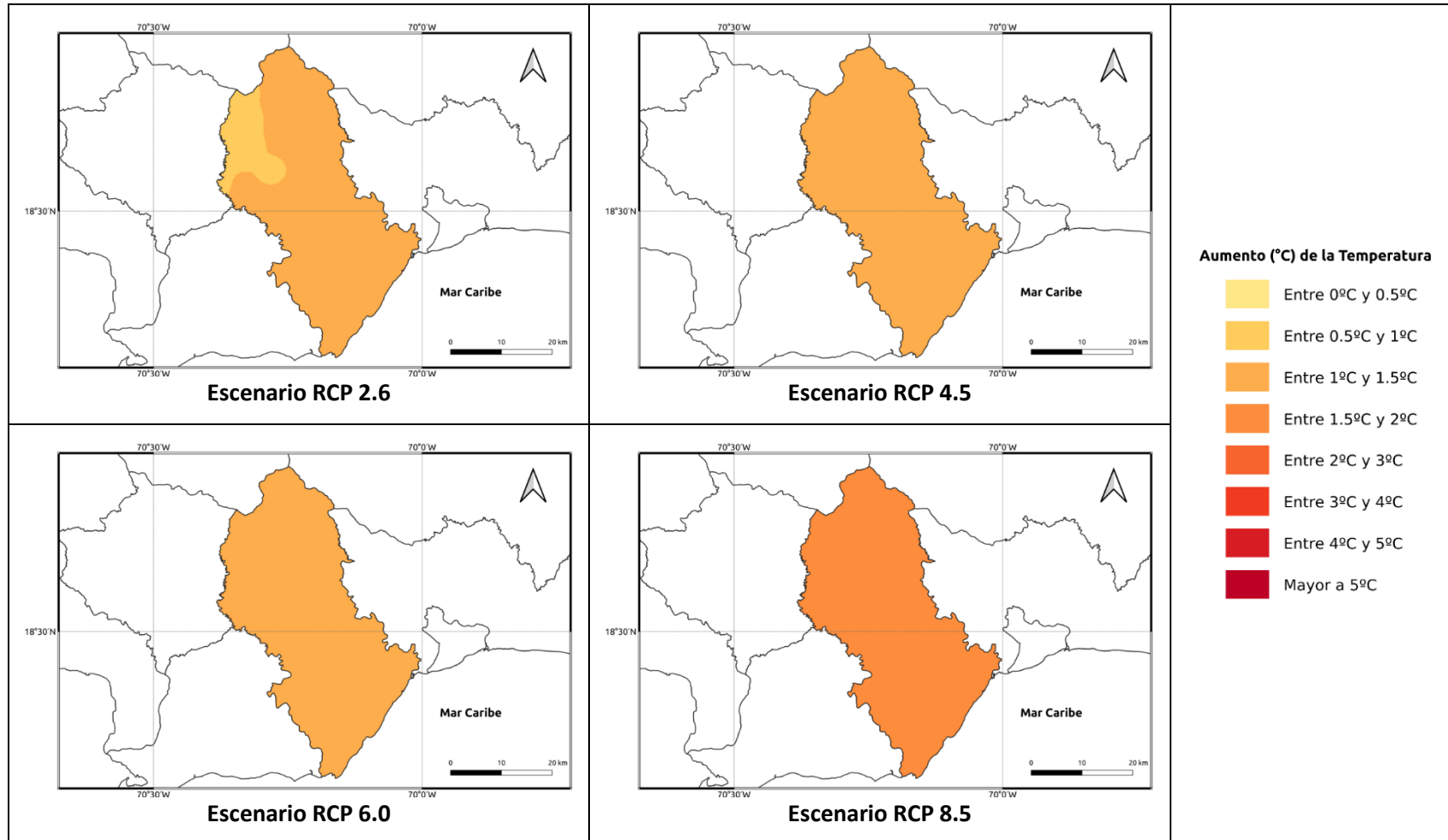


Figura 1.1.24-6. Cambios proyectados en la temperatura máxima (°C) por el ensamble multimodelo bajo los 4 escenarios RCP en el periodo 2041-2060 para la provincia San Cristóbal.

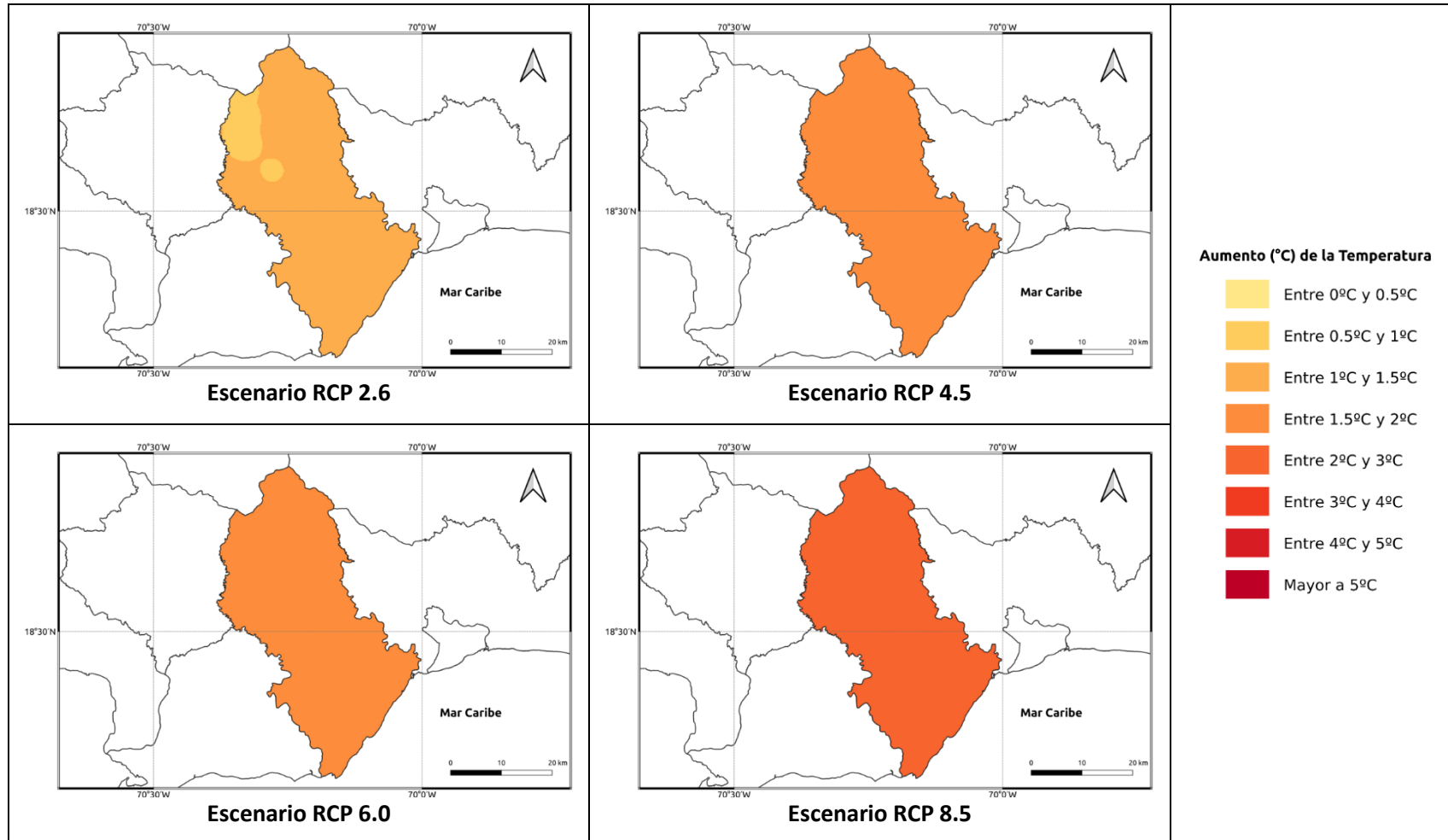


Figura 1.1.24-7. Cambios proyectados en la temperatura máxima (°C) por el ensamble multimodelo bajo los 4 escenarios RCP en el periodo 2061-2080 para la provincia San Cristóbal.

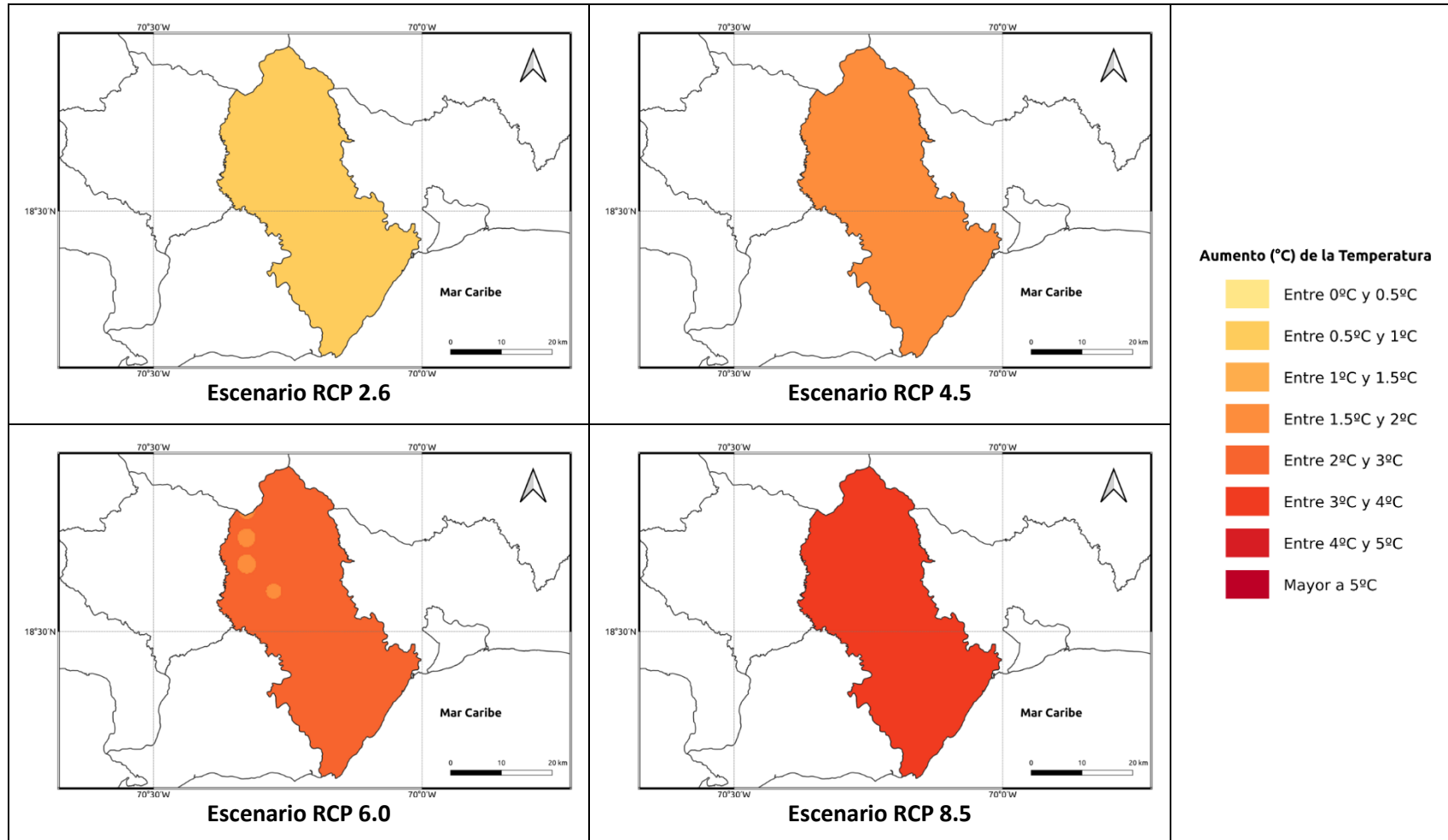


Figura 1.1.24-8. Cambios proyectados en la temperatura máxima (°C) por el ensamble multimodelo bajo los 4 escenarios RCP en el periodo 2081-2100 para la provincia San Cristóbal.

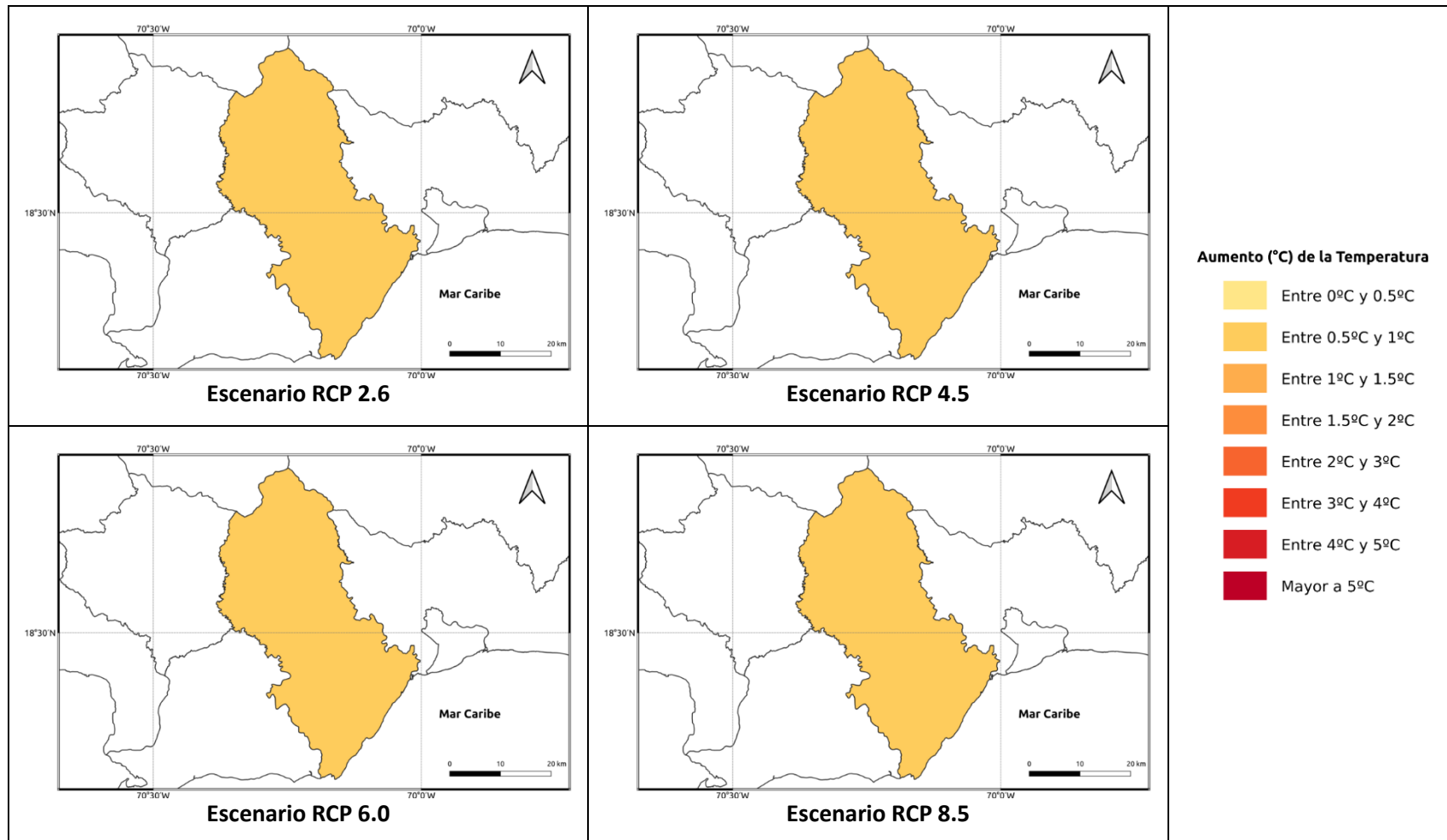


Figura 1.1.24-9. Cambios proyectados en la temperatura mínima (°C) por el ensamble multimodelo bajo los 4 escenarios RCP en el periodo 2021-2040 para la provincia San Cristóbal.

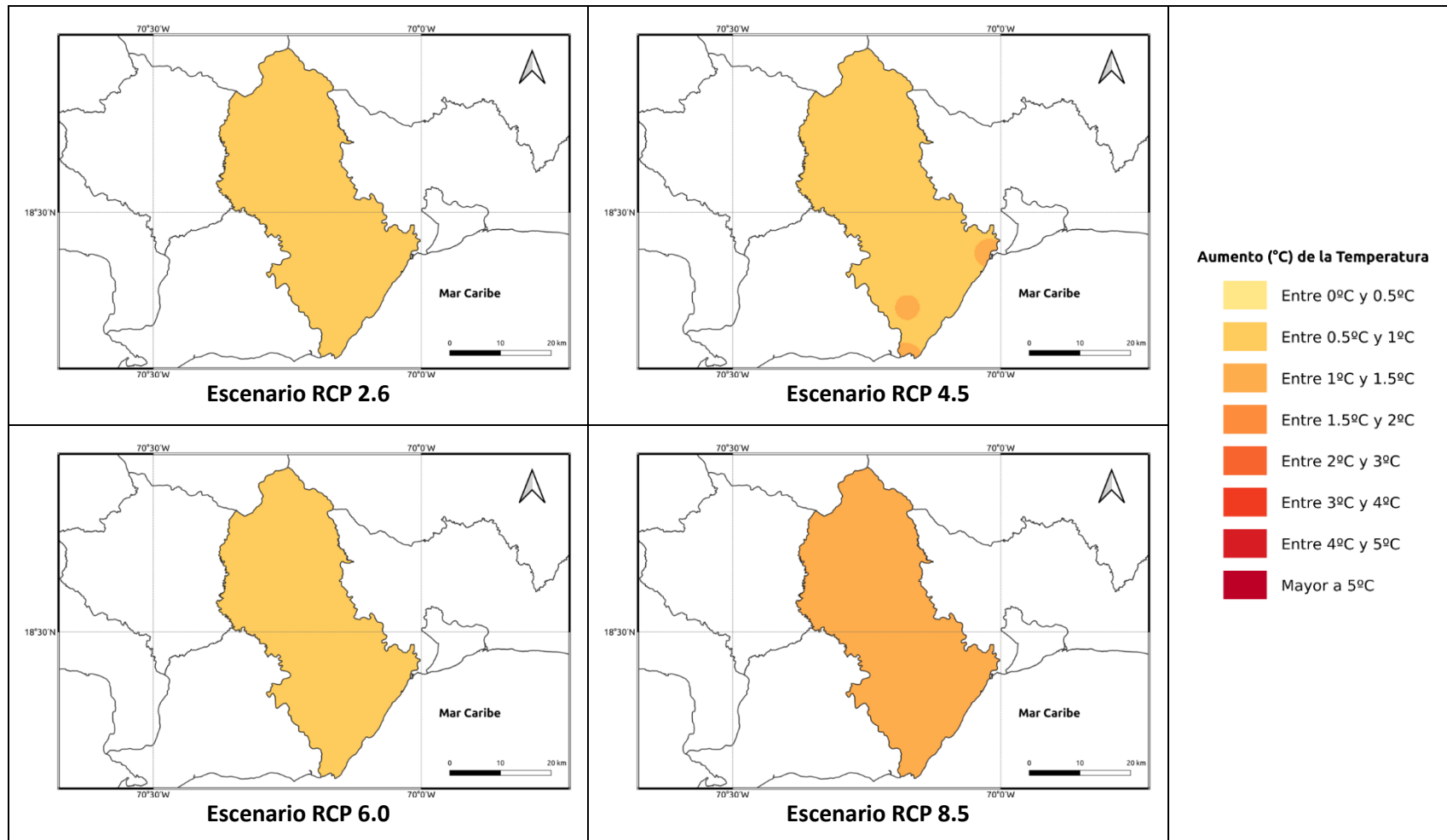


Figura 1.1.24-10. Cambios proyectados en la temperatura mínima (°C) por el ensamble multimodelo bajo los 4 escenarios RCP en el periodo 2041-2060 para la provincia San Cristóbal.

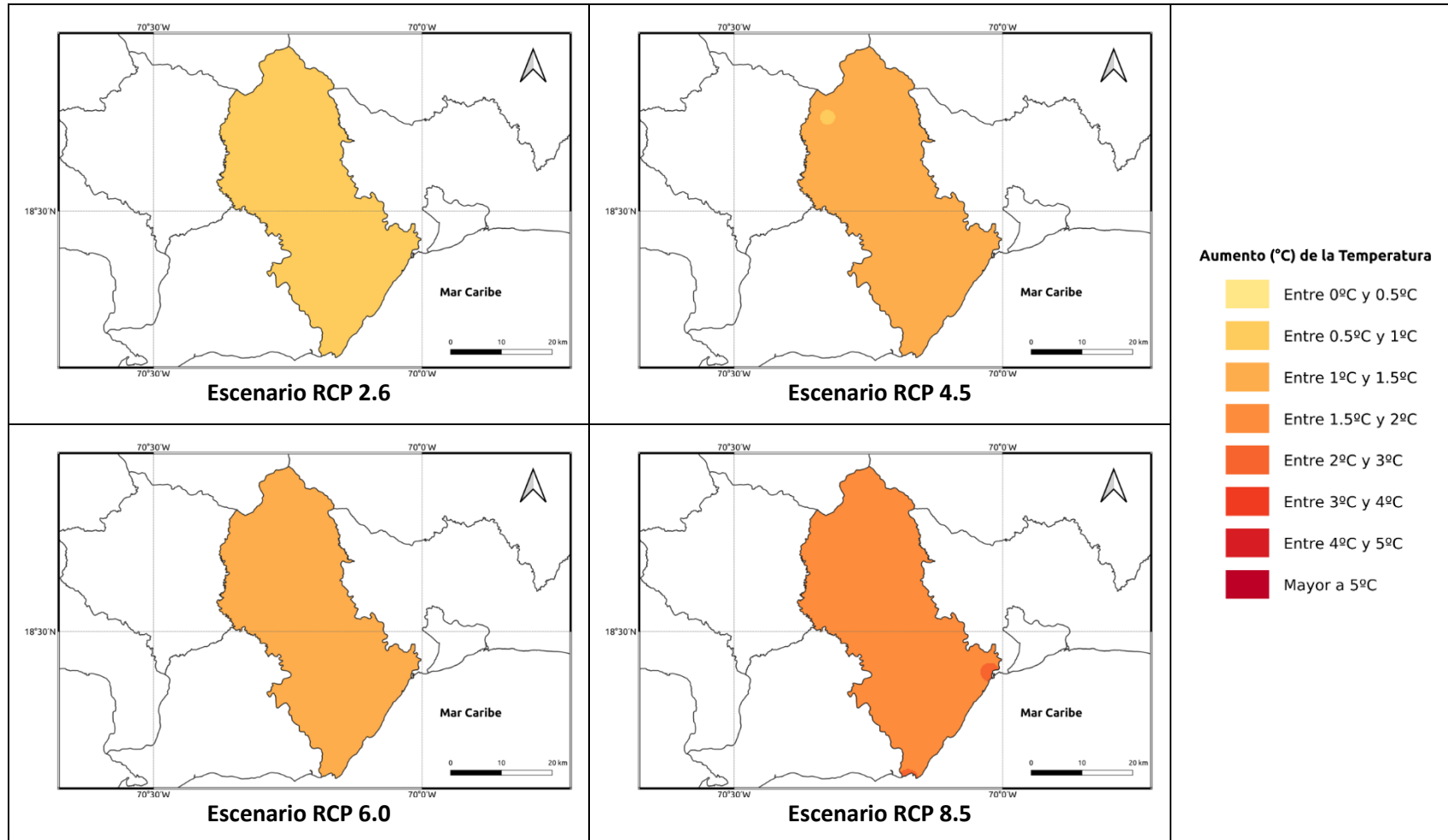
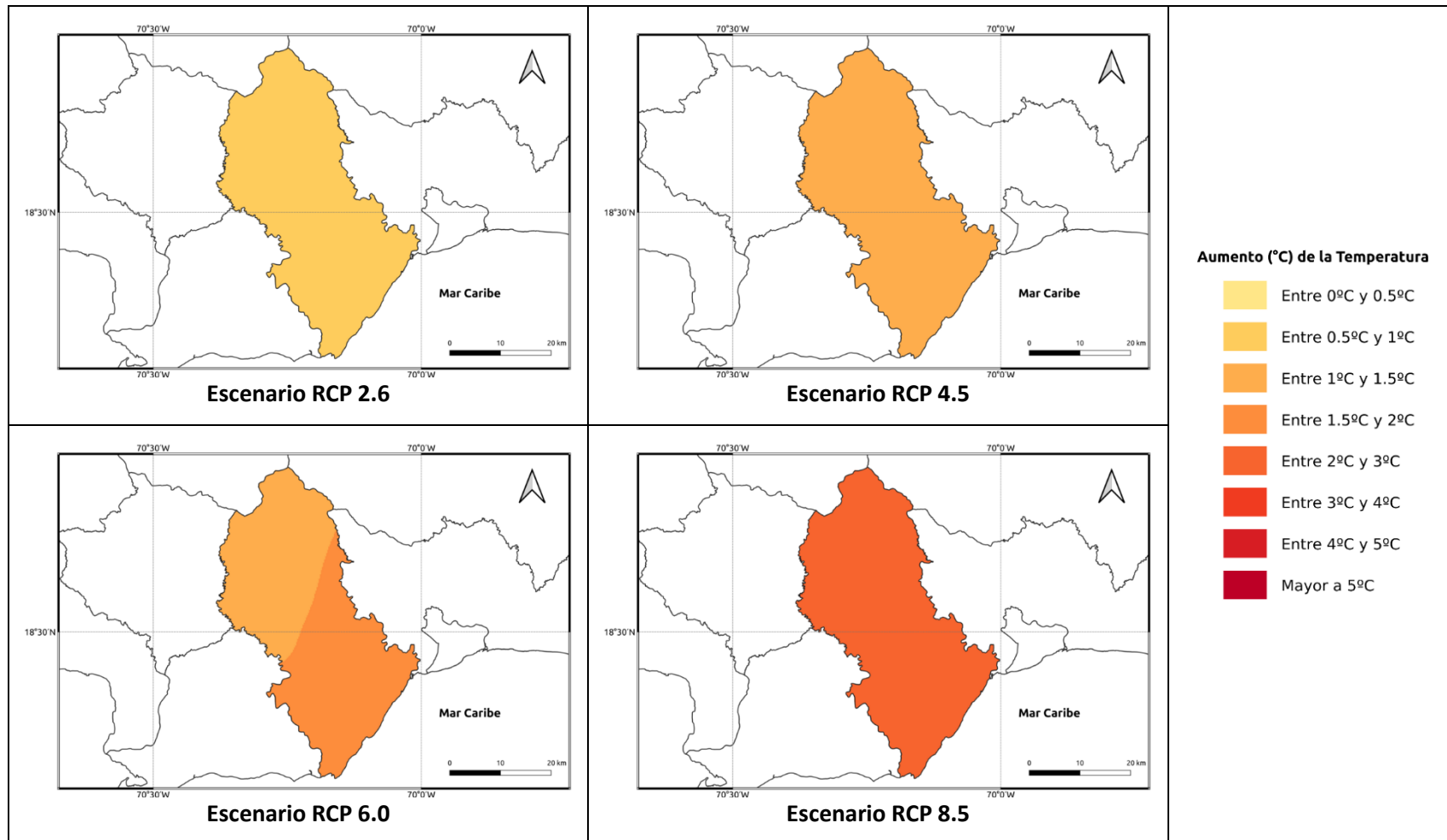
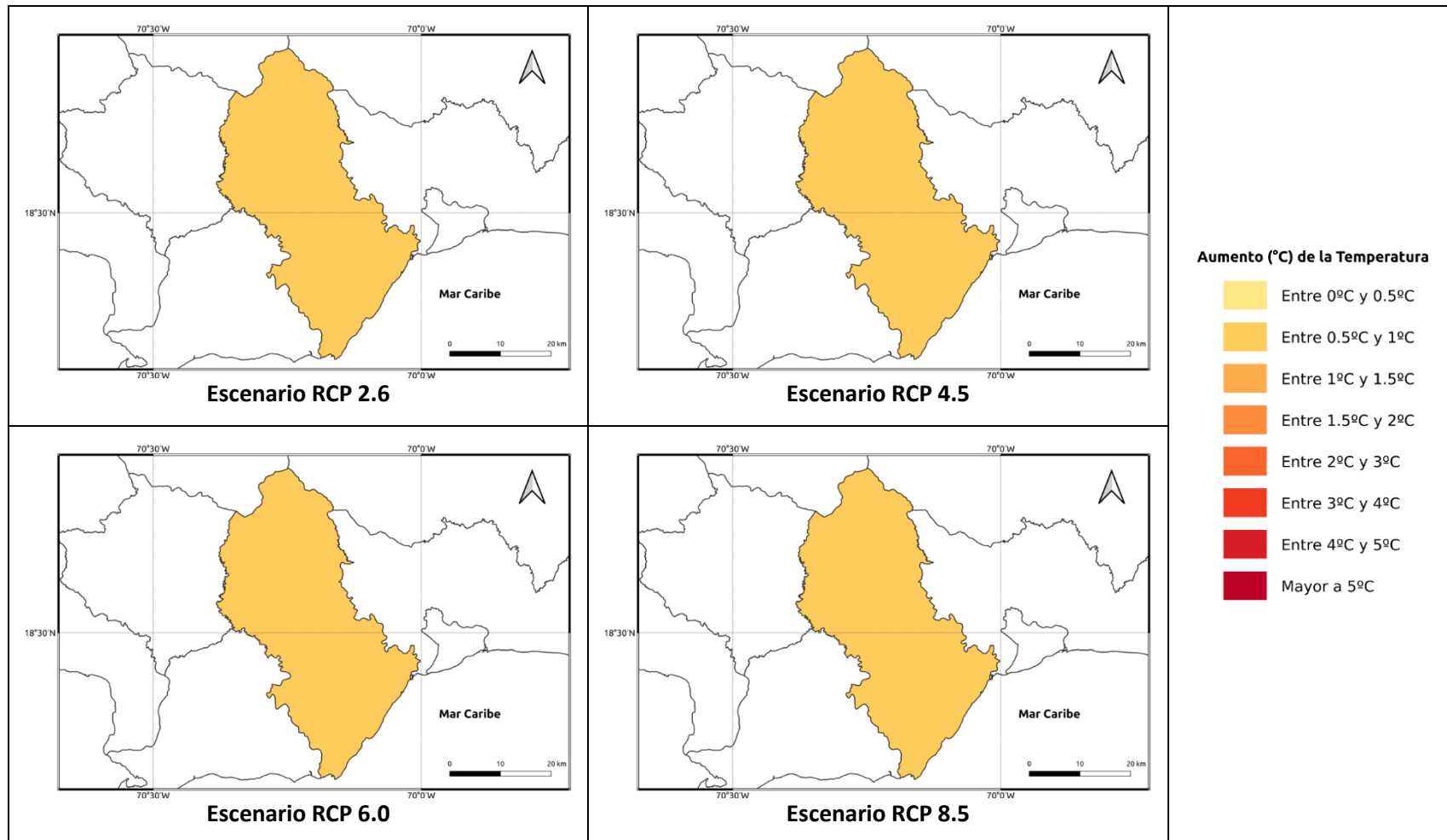


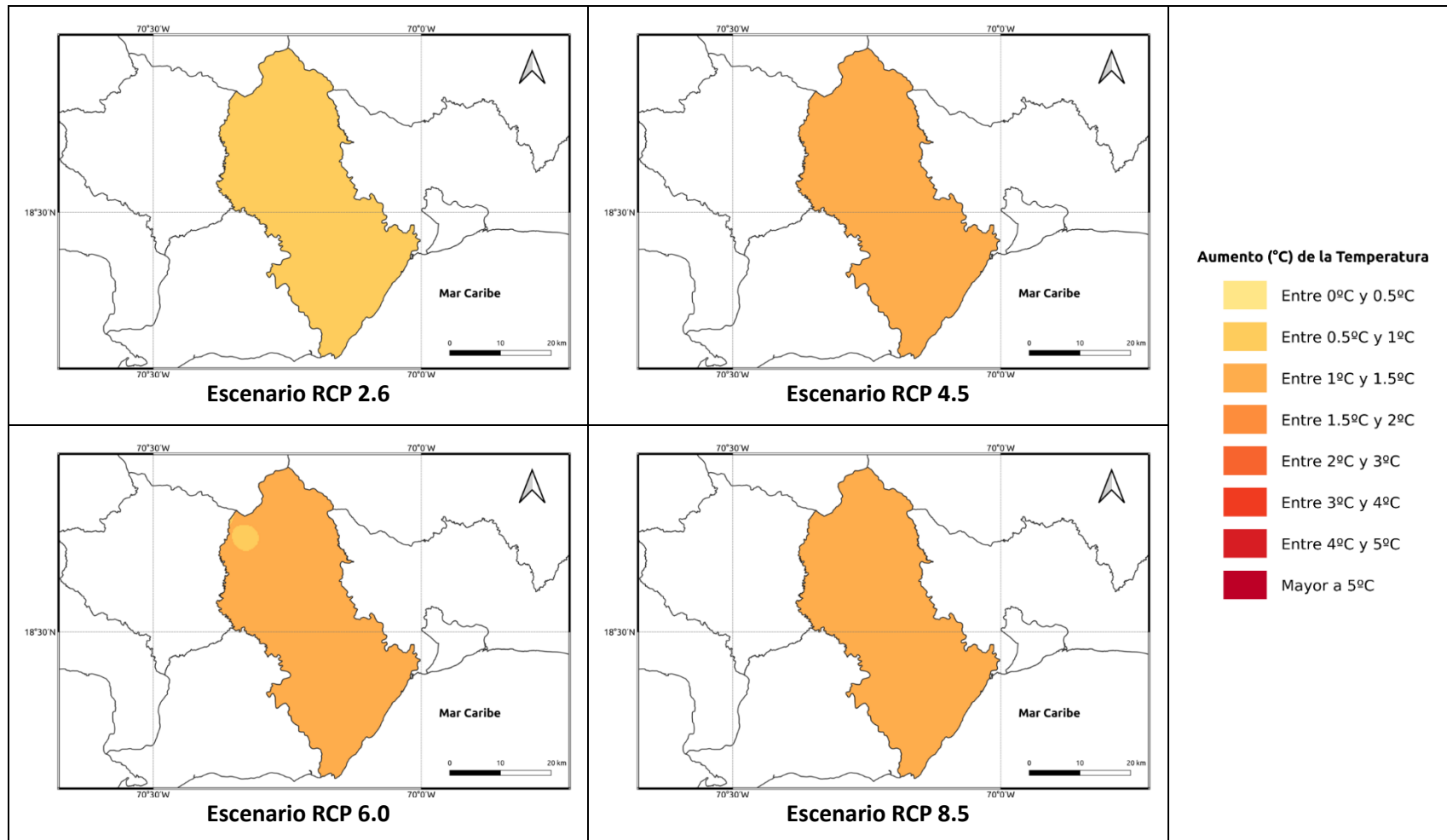
Figura 1.1.24-11. Cambios proyectados en la temperatura mínima (°C) por el ensamble multimodelo bajo los 4 escenarios RCP en el periodo 2061-2080 para la provincia San Cristóbal.



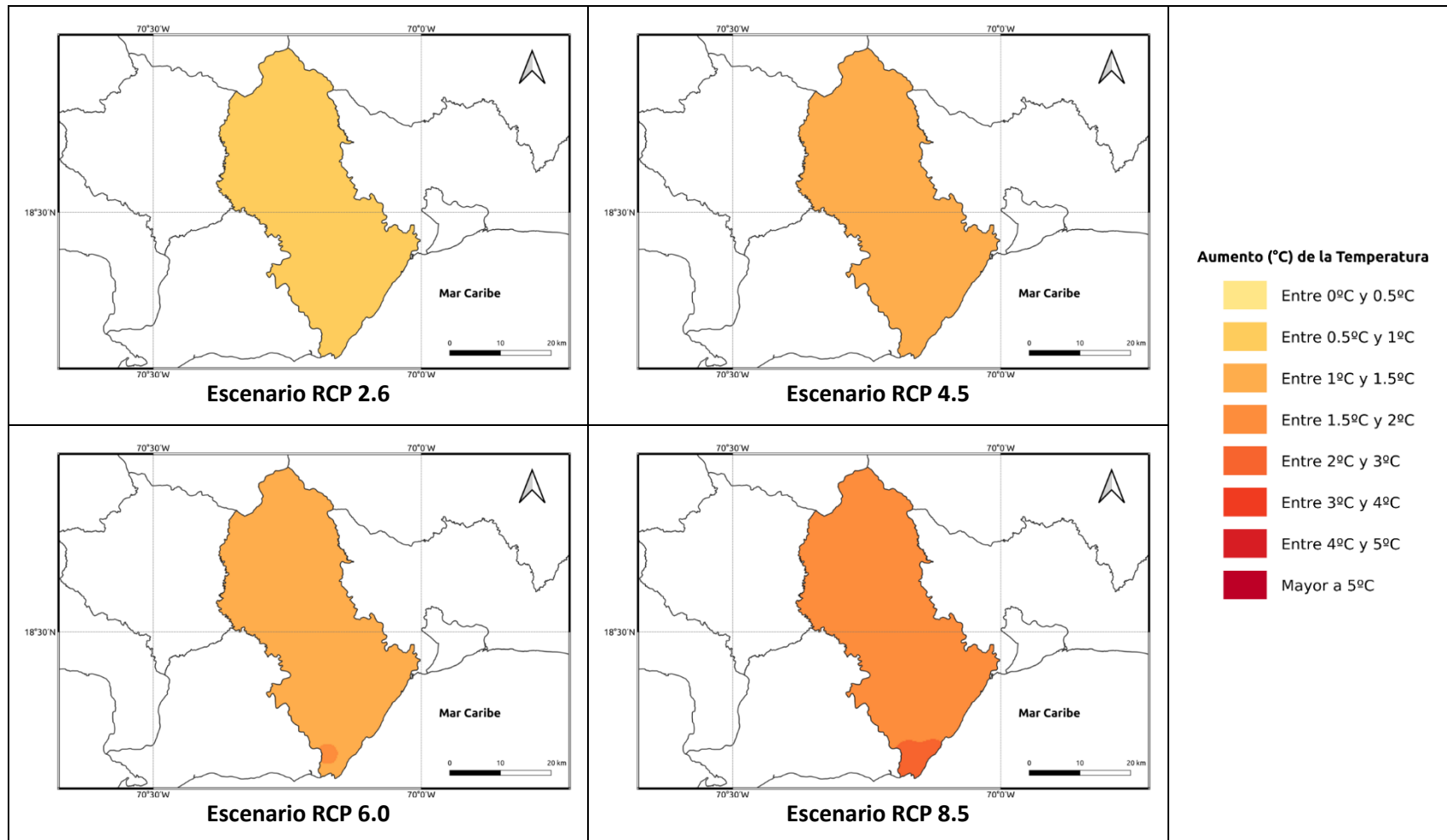
**Figura 1.1.24-12. Cambios proyectados en la temperatura mínima (°C) por el ensamble multimodelo bajo los 4 escenarios RCP en el periodo 2081-2100 para la provincia San Cristóbal.**



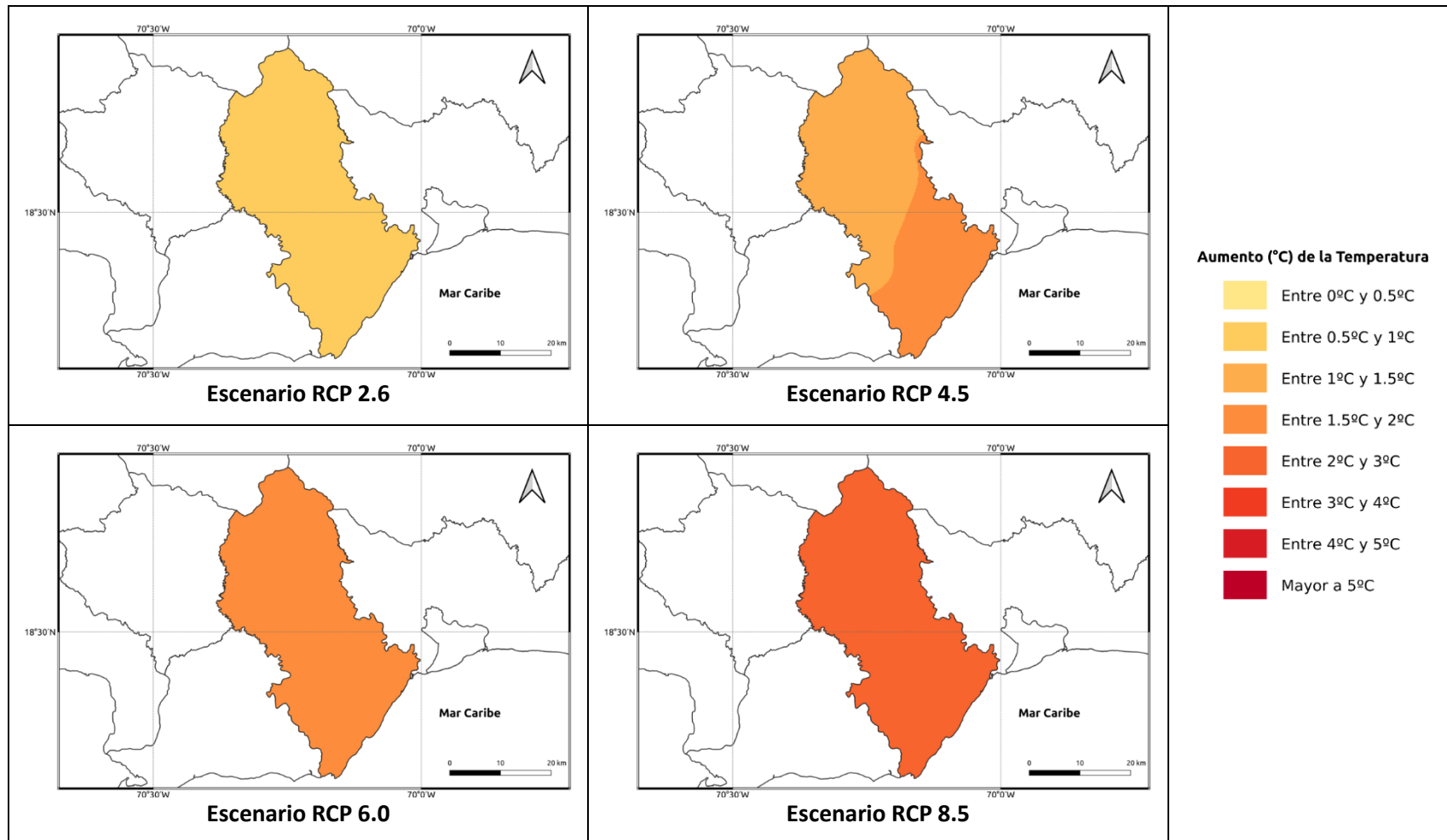
**Figura 1.1.24-13. Cambios proyectados en la temperatura media (°C) por el ensamble multimodelo bajo los 4 escenarios RCP en el periodo 2021-2040 para la provincia San Cristóbal.**



**Figura 1.1.24-14. Cambios proyectados en la temperatura media (°C) por el ensamble multimodelo bajo los 4 escenarios RCP en el periodo 2041-2060 para la provincia San Cristóbal.**



**Figura 1.1.24-15. Cambios proyectados en la temperatura media (°C) por el ensamble multimodelo bajo los 4 escenarios RCP en el periodo 2061-2080 para la provincia San Cristóbal.**



**Figura 1.1.24-16. Cambios proyectados en la temperatura media (°C) por el ensamble multimodelo bajo los 4 escenarios RCP en el periodo 2081-2100 para la provincia San Cristóbal.**

## **1.1.25 PROVINCIA SAN JOSÉ DE OCOA**

Esta sección presenta el análisis espacial de los cambios de las variables climáticas a nivel anual para la provincia **San José de Ocoa**. Los cambios a nivel estacional (trimestral) se pueden consultar en el Anexo 26.

### **Precipitación**

Para esta variable, en el periodo de corto plazo 2021-2040 se presentarían cambios dentro del rango normal de variabilidad (del orden del 5%), con aumentos de esta magnitud bajo los escenarios RCP 2.6 y 6.0, y reducciones bajo los escenarios RCP 4.5 y 8.5, dándose en este último escenario disminuciones del orden del 8% (Figura 1.1.25-1). Para el siguiente periodo (2041-2060), bajo el RCP 2.6 se mantiene el aumento de la precipitación del orden del 5%, y en los demás escenarios la tendencia sería a la reducción de la precipitación entre un 4-9% (Figura 1.1.25-2). Para el periodo 2061-2080, en el RCP 2.6 se mantendrían los incrementos del 5%, y reducciones del mismo orden en el sur de la provincia. Bajo los otros escenarios se darían disminuciones de la precipitación, del orden del 11-14% bajo el RCP 4.5, entre 6-9% bajo el RCP 6.0 y del 19-23% bajo el RCP 8.5 (Figura 1.1.25-3). Por último, para finales de siglo bajo los 4 escenarios se presentarían reducciones de la precipitación, siendo las de menor magnitud bajo el RCP 2.6 (entre 7-9%) y las más altas bajo el RCP 8.5, con reducciones de más del 30% (Figura 1.1.25-4).

### **Temperatura Máxima**

La temperatura máxima presentaría incrementos bajo los 4 RCP en todos los periodos analizados. En el periodo de corto plazo (2021-2040) la temperatura aumentaría entre 0.7 y 1.3°C, con aumentos de más de 1°C bajo el RCP 8.5 en el sur y oriente de la provincia (Figura 1.1.25-5). Para 2041-2060, los aumentos serían de 0.9 a 1.4°C bajo los primeros 3 RCP (2.6, 4.5 y 6.0), y de 1.6 a 1.8°C bajo el RCP 8.5 (Figura 1.1.25-6). En el periodo 2061-2080 los aumentos serían de 0.9 a 2.6°C, manteniéndose el incremento de 0.9 a 1.4°C bajo el RCP 2.6, siendo de 1.4 a 1.8°C bajo los RCP 4.5 y 6.0 y de 2.6°C bajo el RCP 8.5 (Figura 1.1.25-7). Para finales de siglo, los aumentos serían de 0.7 a 0.9°C bajo el RCP 2.6, de 1.6 a 1.8°C bajo el RCP 4.5, de 1.9 a 2.6°C bajo el RCP 6.0 (dándose los mayores aumentos hacia el sur y oriente de la provincia) y de 3.2 a 3.8°C bajo el RCP 8.5 (Figura 1.1.25-8).

### **Temperatura Mínima**

En el primer periodo (2021-2040), ésta se incrementaría de 0.6 a 1.1°C en los 4 escenarios RCP (Figura 1.1.25-9). Para 2041-2060 aumentaría de 0.7 a 0.9°C en los RCP 2.6, 4.5 y 6.0, y bajo el RCP 8.5 habría aumentos de 0.9 a 1.3°C (Figura 1.1.25-10). En el periodo 2061-2080 la temperatura mínima se incrementaría entre 0.6 y



0.8°C bajo el RCP 2.6, entre 0.9 y 1.4°C bajo los RCP 4.5 y 6.0 y entre 1.9 y 2.2°C bajo el RCP 8.5 (Figura 1.1.25-11). Por último, para finales de siglo se mantendría un aumento de 0.8°C en el RCP 2.6, entre 0.9 y 1.4°C bajo el RCP 4.5, entre 1.4 y 1.8°C bajo el 6.0 y de 1.9 a 2.4°C bajo el RCP 8.5 (Figura 1.1.25-12).

#### ***Temperatura Media***

La temperatura media se incrementaría entre 0.6 y 0.8°C en el periodo 2021-2040 bajo los 4 escenarios RCP (Figura 1.1.25-13). En el periodo 2041-2060 se mantendría este mismo rango bajo el RCP 2.6, y en los otros 3 escenarios aumentaría de 0.9 a 1.4°C (Figura 1.1.25-14). Para 2061-2080 la temperatura media aumentaría de 0.7 a 0.8°C bajo el RCP 2.6, de 1.3 a 1.5°C bajo los RCP 4.5 y 6.0 y de 1.7 a 1.9°C bajo el RCP 8.5 (Figura 1.1.25-15). Finalmente, para el periodo 2081-2100 la temperatura subiría entre 0.6 y 0.8°C bajo el RCP 2.6, entre 1.2 y 1.4°C bajo el RCP 4.5, de 1.6 a 1.9°C bajo el RCP 6.0 y de 2.4 a 2.8°C bajo el RCP 8.5 (Figura 1.1.25-16).



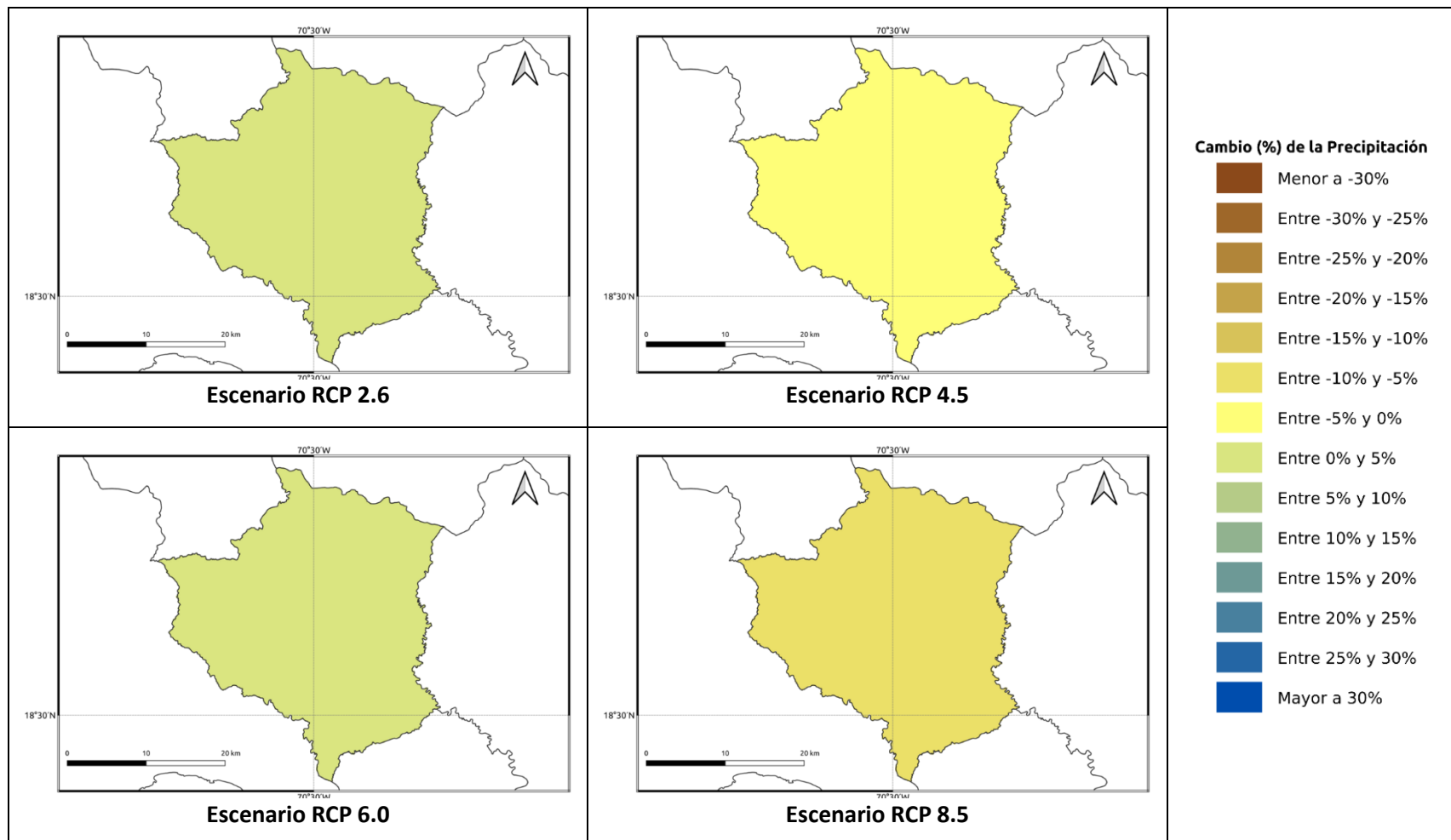


Figura 1.1.25-1. Cambios porcentuales de la precipitación (%) proyectados por el ensamble multimodelo bajo los 4 escenarios RCP en el periodo 2021-2040 para la provincia San José de Ocoa.

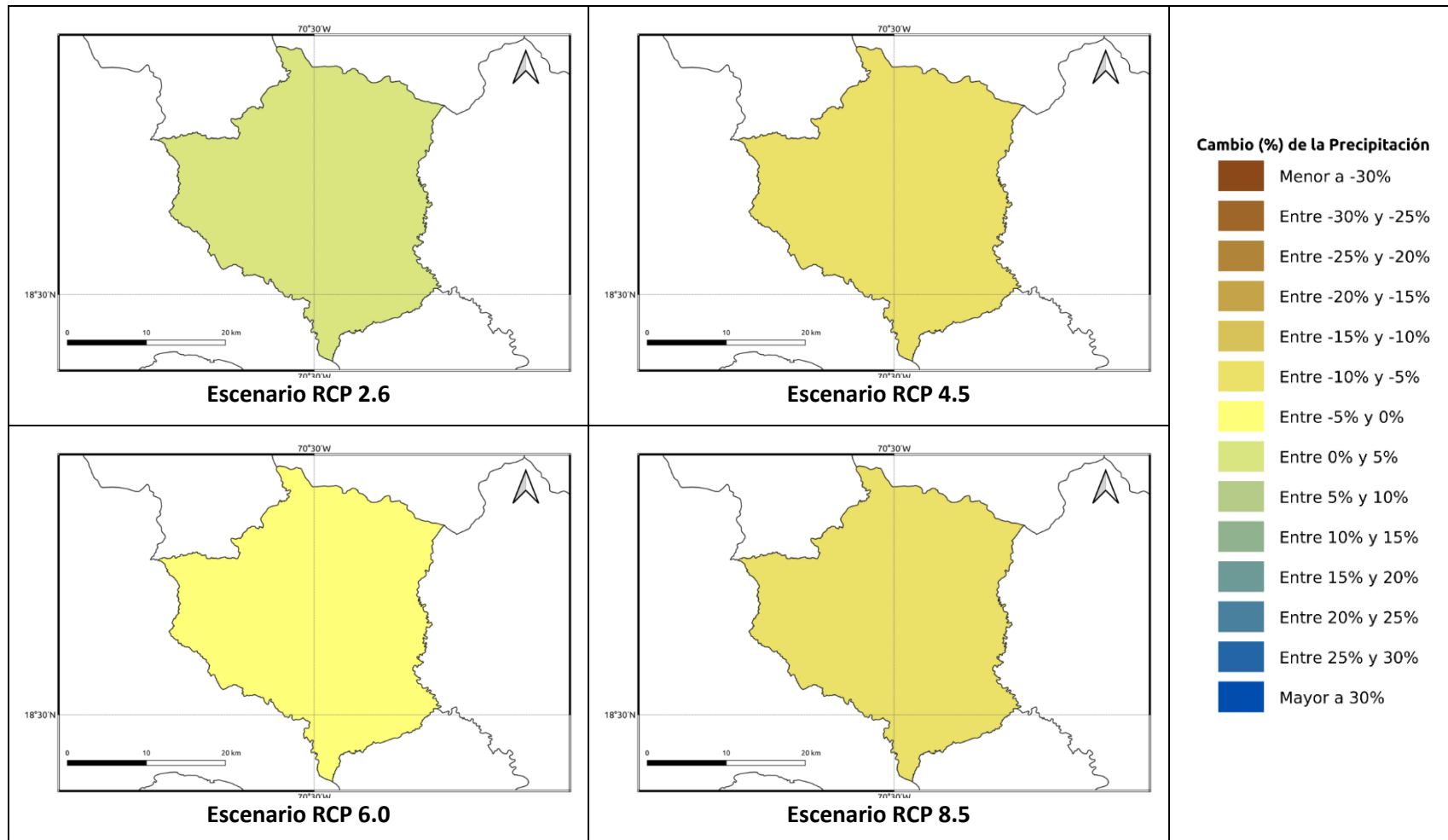


Figura 1.1.25-2. Cambios porcentuales de la precipitación (%) proyectados por el ensamble multimodelo bajo los 4 escenarios RCP en el periodo 2041-2060 para la provincia San José de Ocoa.

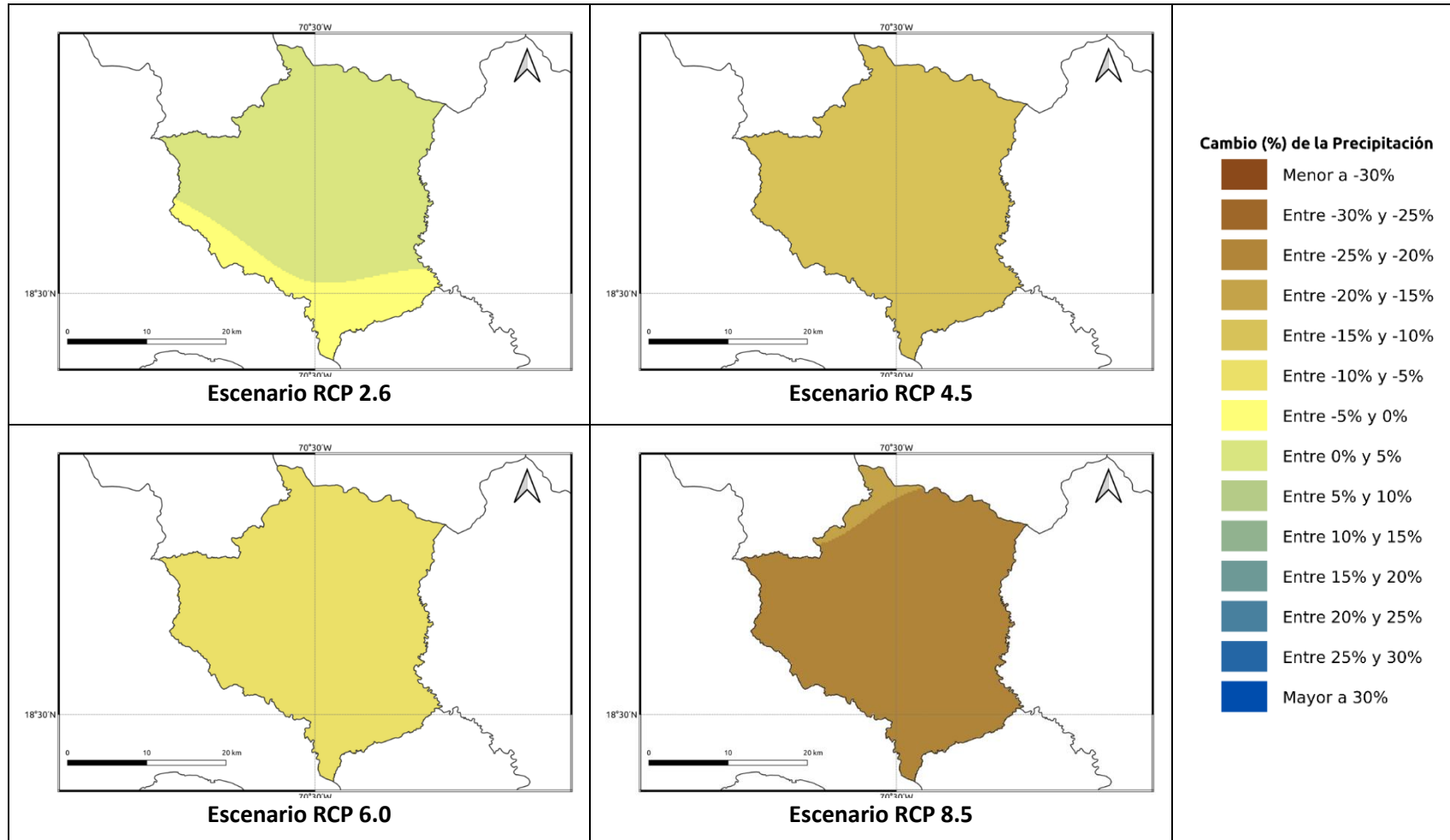


Figura 1.1.25-3. Cambios porcentuales de la precipitación (%) proyectados por el ensamble multimodelo bajo los 4 escenarios RCP en el periodo 2061-2080 para la provincia San José de Ocoa.

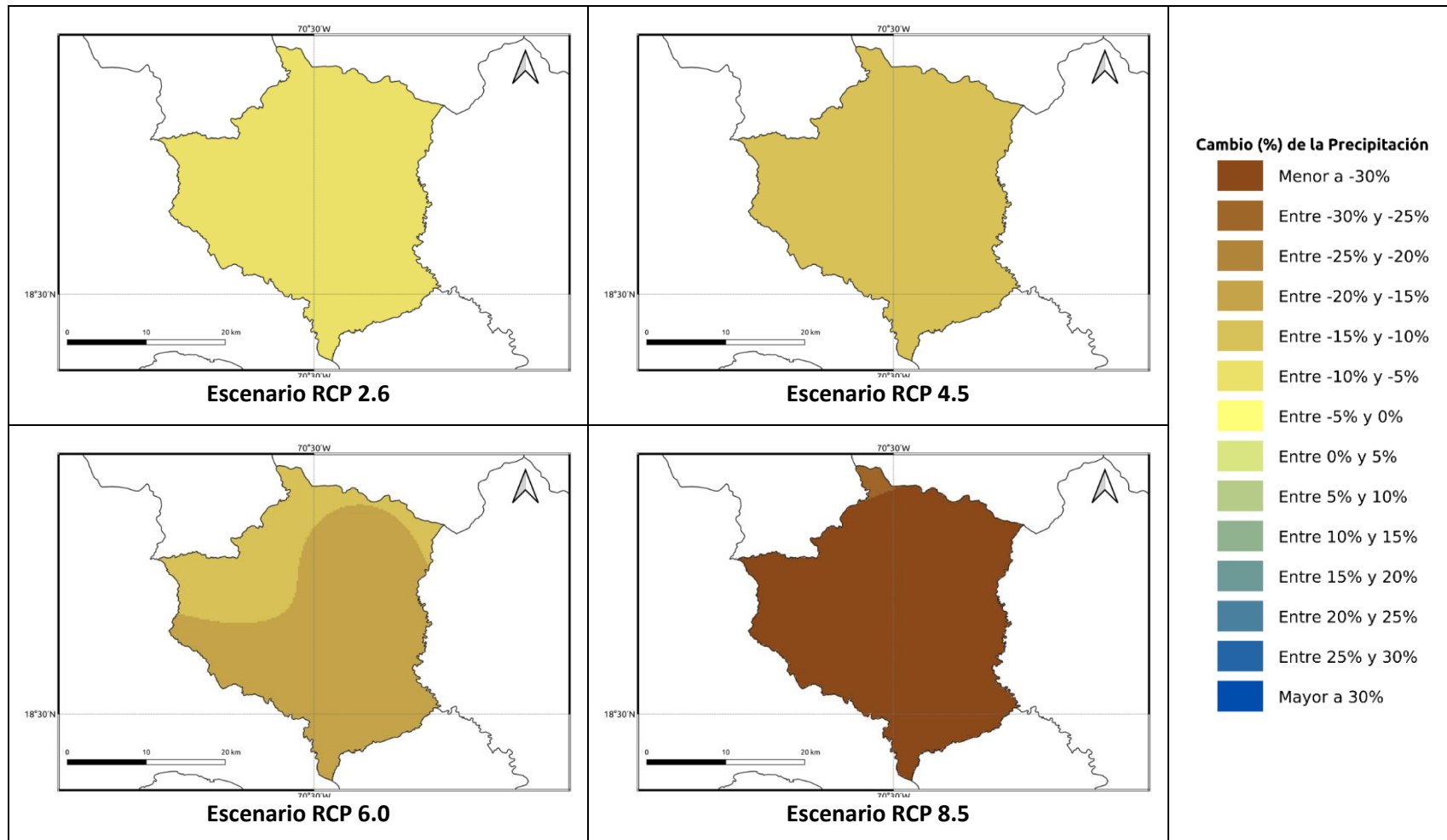


Figura 1.1.25-4. Cambios porcentuales de la precipitación (%) proyectados por el ensamble multimodelo bajo los 4 escenarios RCP en el periodo 2081-2100 para la provincia San José de Ocoa.

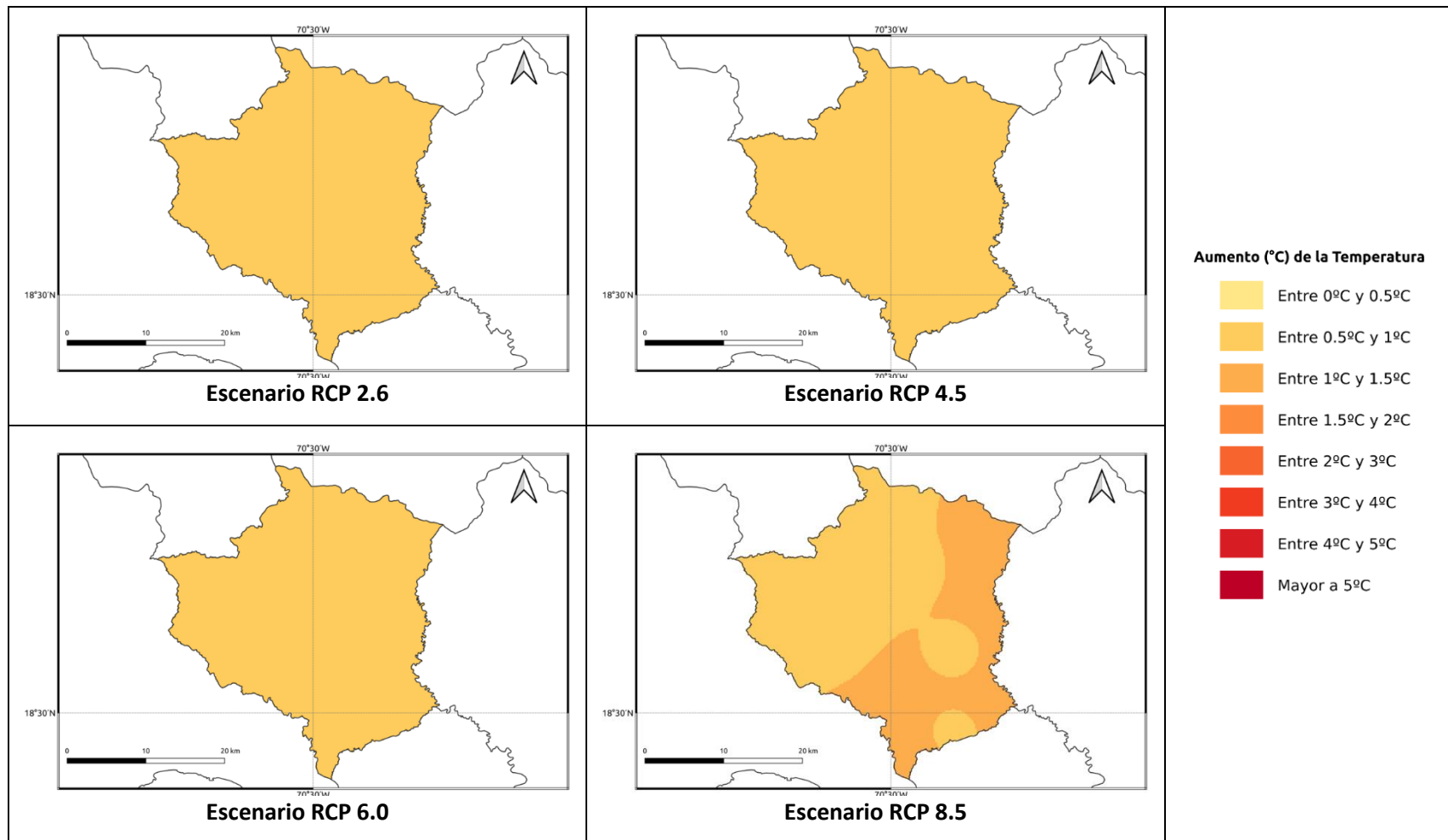


Figura 1.1.25-5. Cambios proyectados en la temperatura máxima ( $^{\circ}\text{C}$ ) por el ensamble multimodelo bajo los 4 escenarios RCP en el periodo 2021-2040 para la provincia San José de Ocoa.

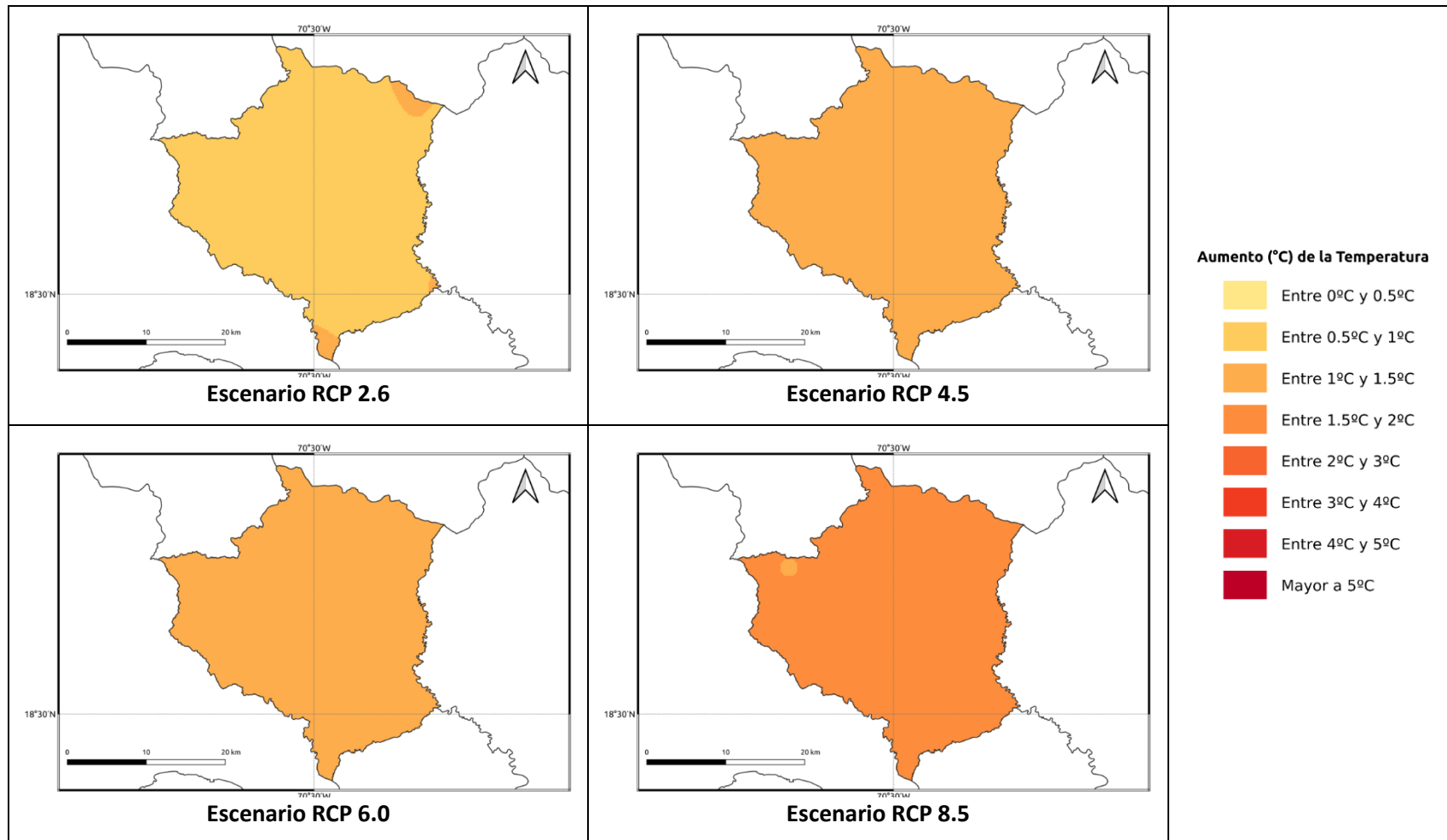
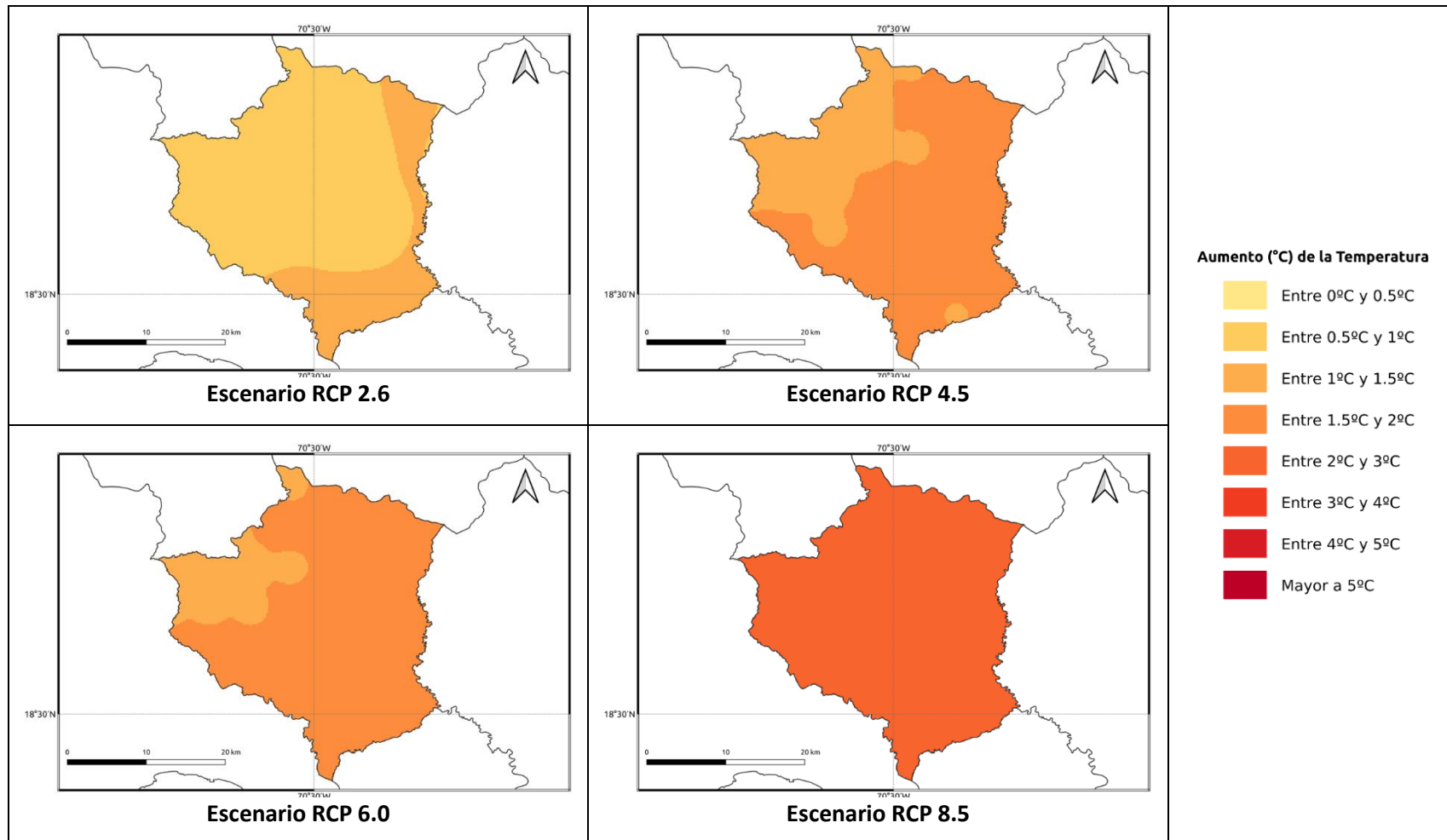


Figura 1.1.25-6. Cambios proyectados en la temperatura máxima (°C) por el ensamble multimodelo bajo los 4 escenarios RCP en el periodo 2041-2060 para la provincia San José de Ocoa.



**Figura 1.1.25-7. Cambios proyectados en la temperatura máxima (°C) por el ensamble multimodelo bajo los 4 escenarios RCP en el periodo 2061-2080 para la provincia San José de Ocoa.**

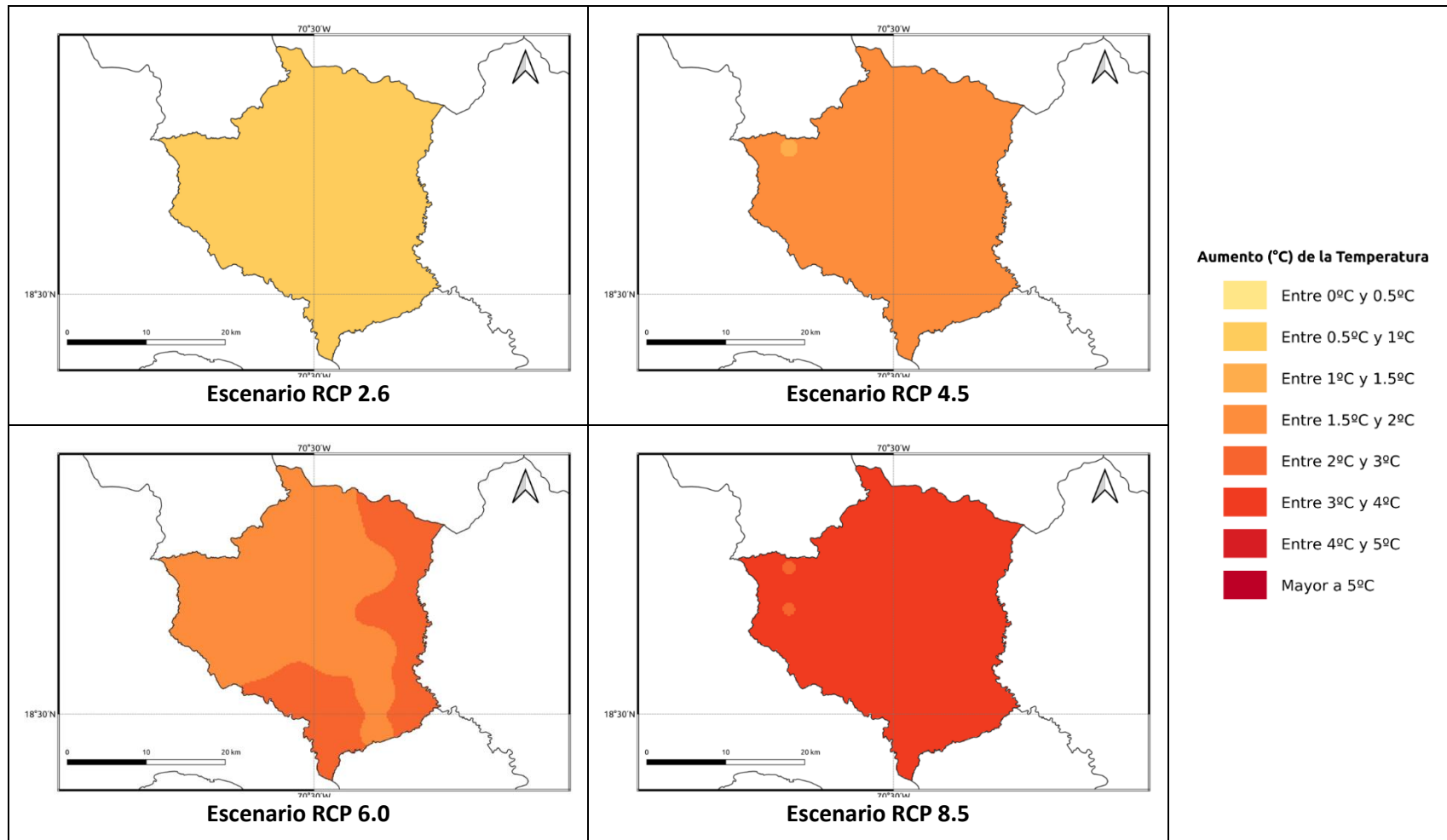
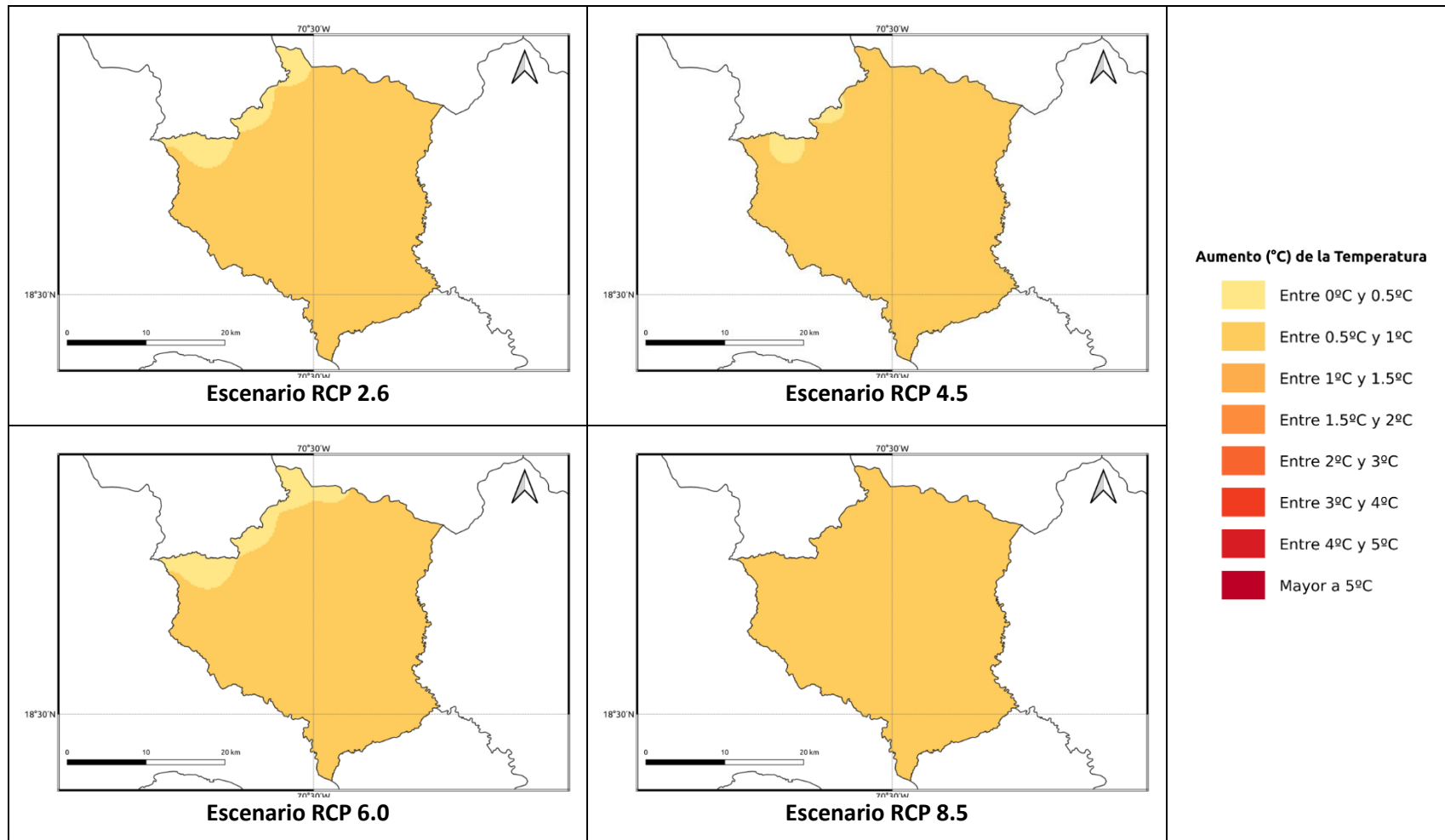


Figura 1.1.25-8. Cambios proyectados en la temperatura máxima (°C) por el ensamble multimodelo bajo los 4 escenarios RCP en el periodo 2081-2100 para la provincia San José de Ocoa.



**Figura 1.1.25-9. Cambios proyectados en la temperatura mínima (°C) por el ensamble multimodelo bajo los 4 escenarios RCP en el periodo 2021-2040 para la provincia San José de Ocoa.**

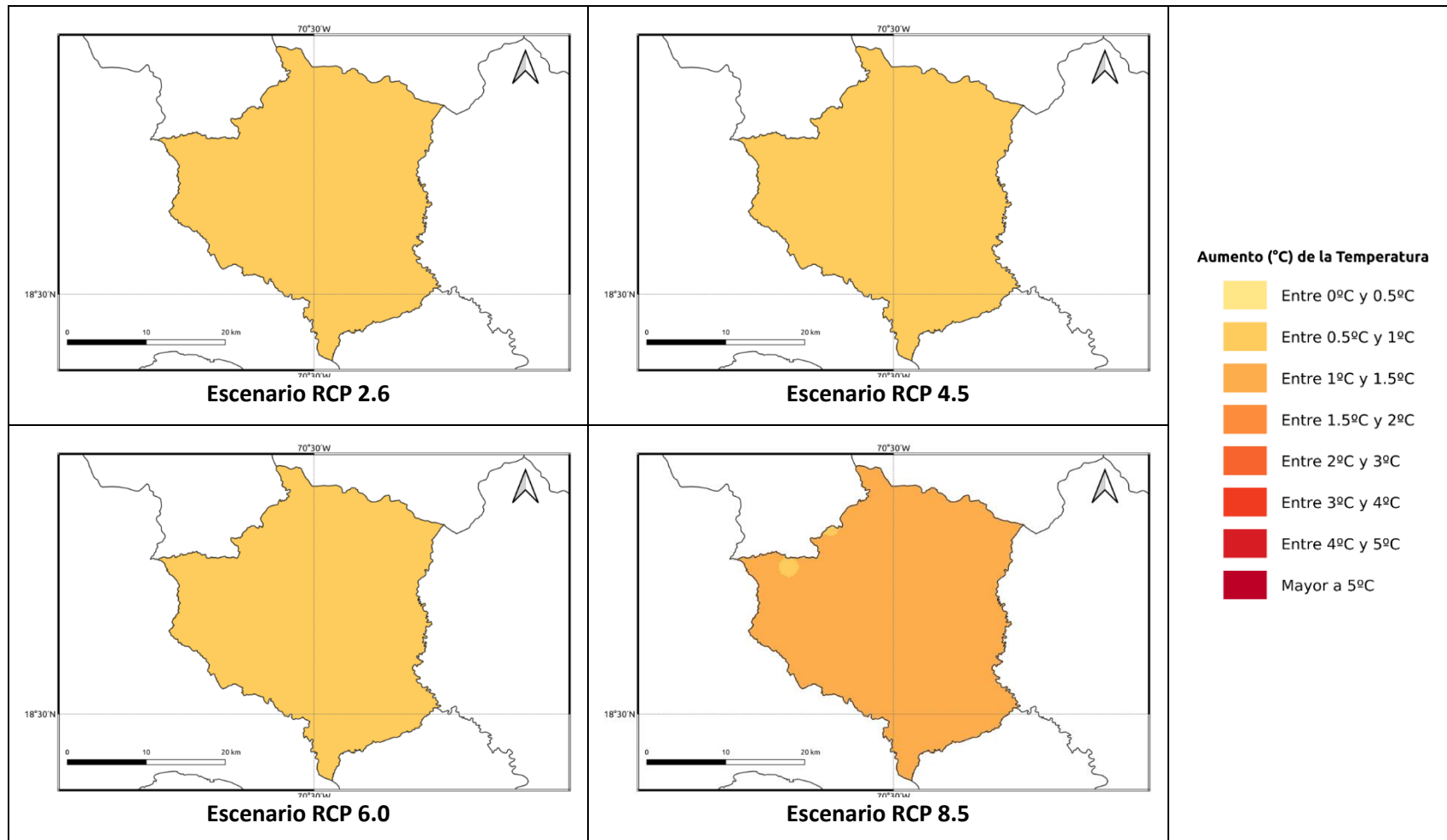


Figura 1.1.25-10. Cambios proyectados en la temperatura mínima (°C) por el ensamble multimodelo bajo los 4 escenarios RCP en el periodo 2041-2060 para la provincia San José de Ocoa.

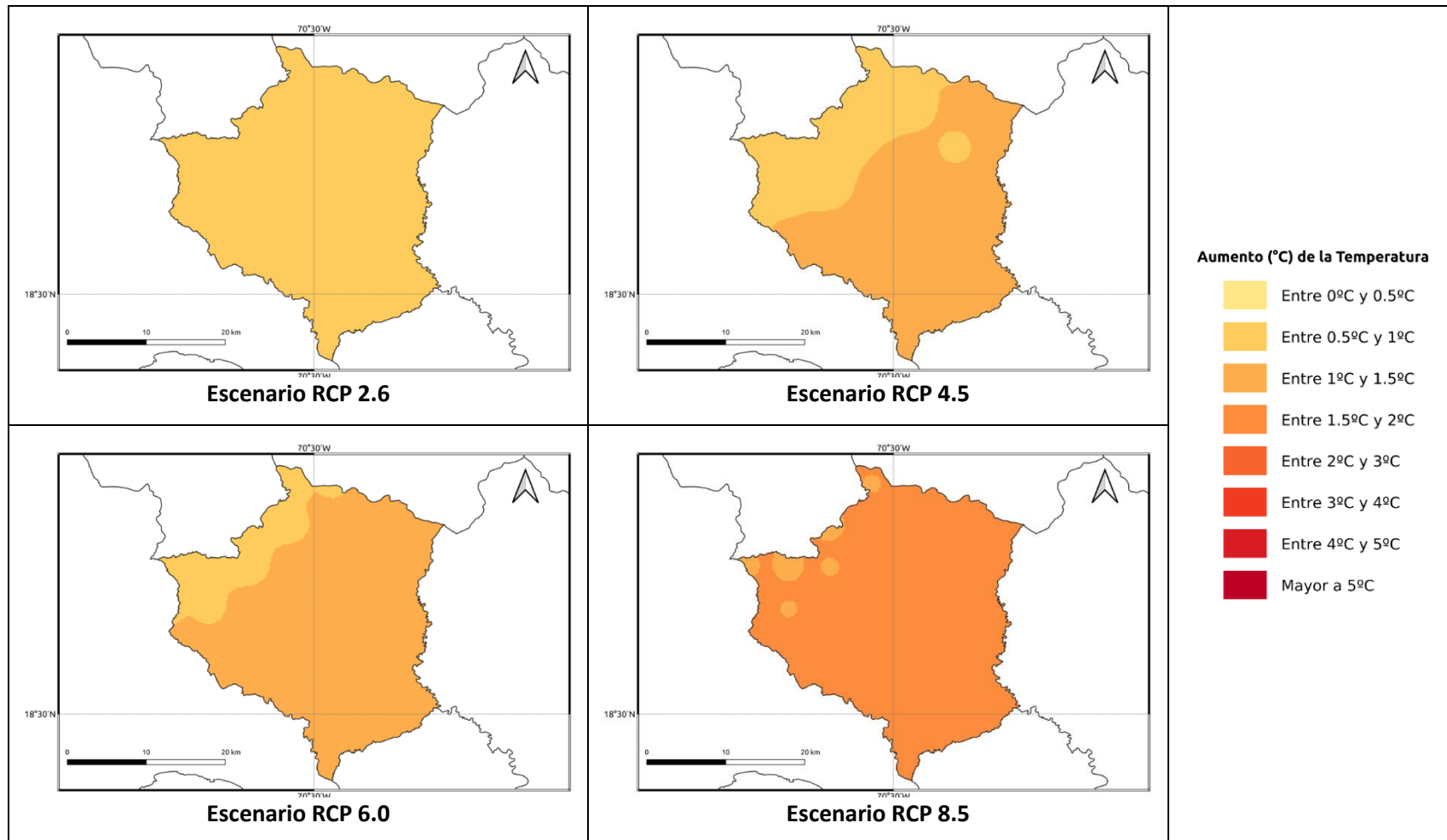


Figura 1.1.25-11. Cambios proyectados en la temperatura mínima (°C) por el ensamble multimodelo bajo los 4 escenarios RCP en el periodo 2061-2080 para la provincia San José de Ocoa.

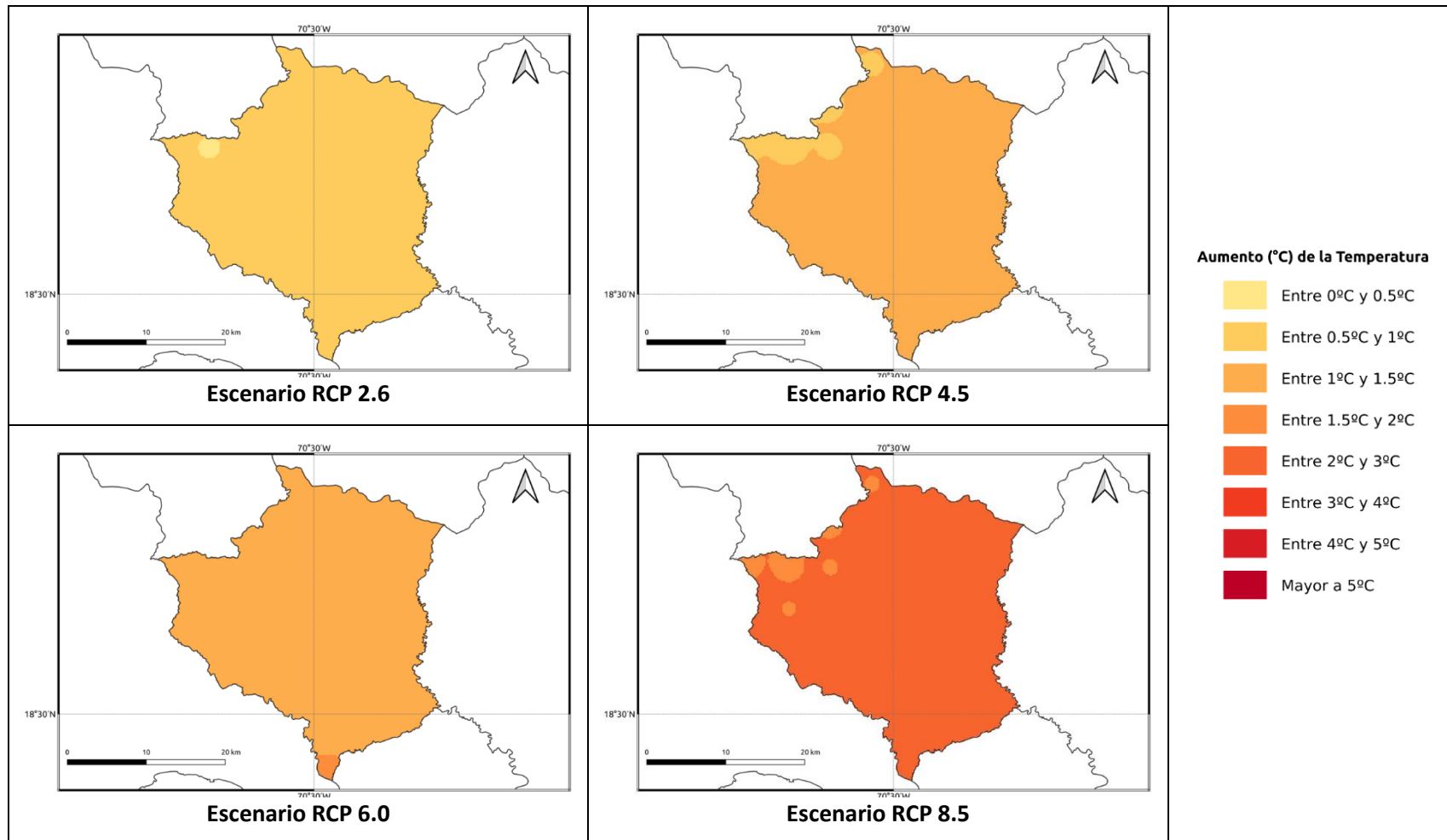
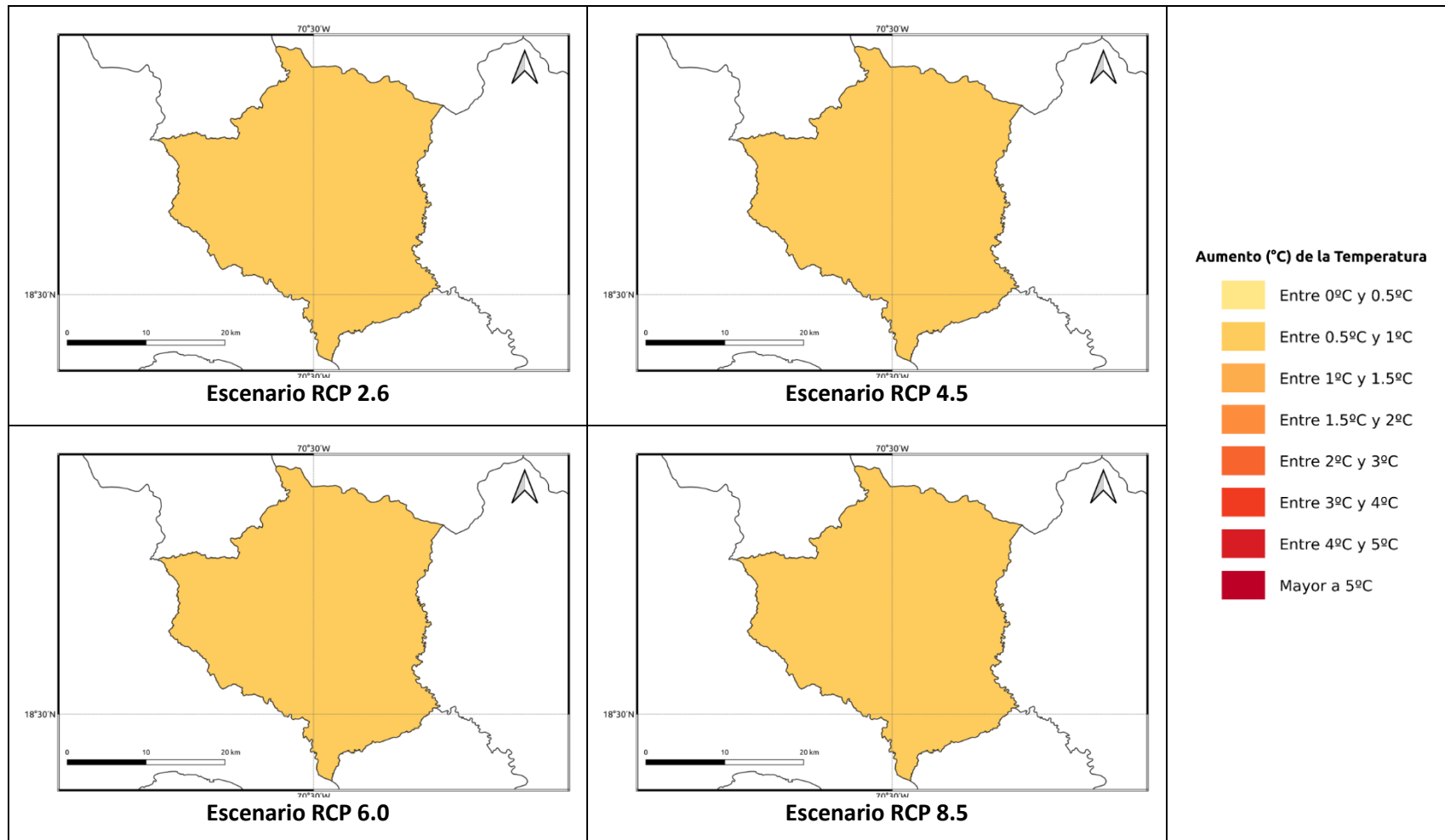
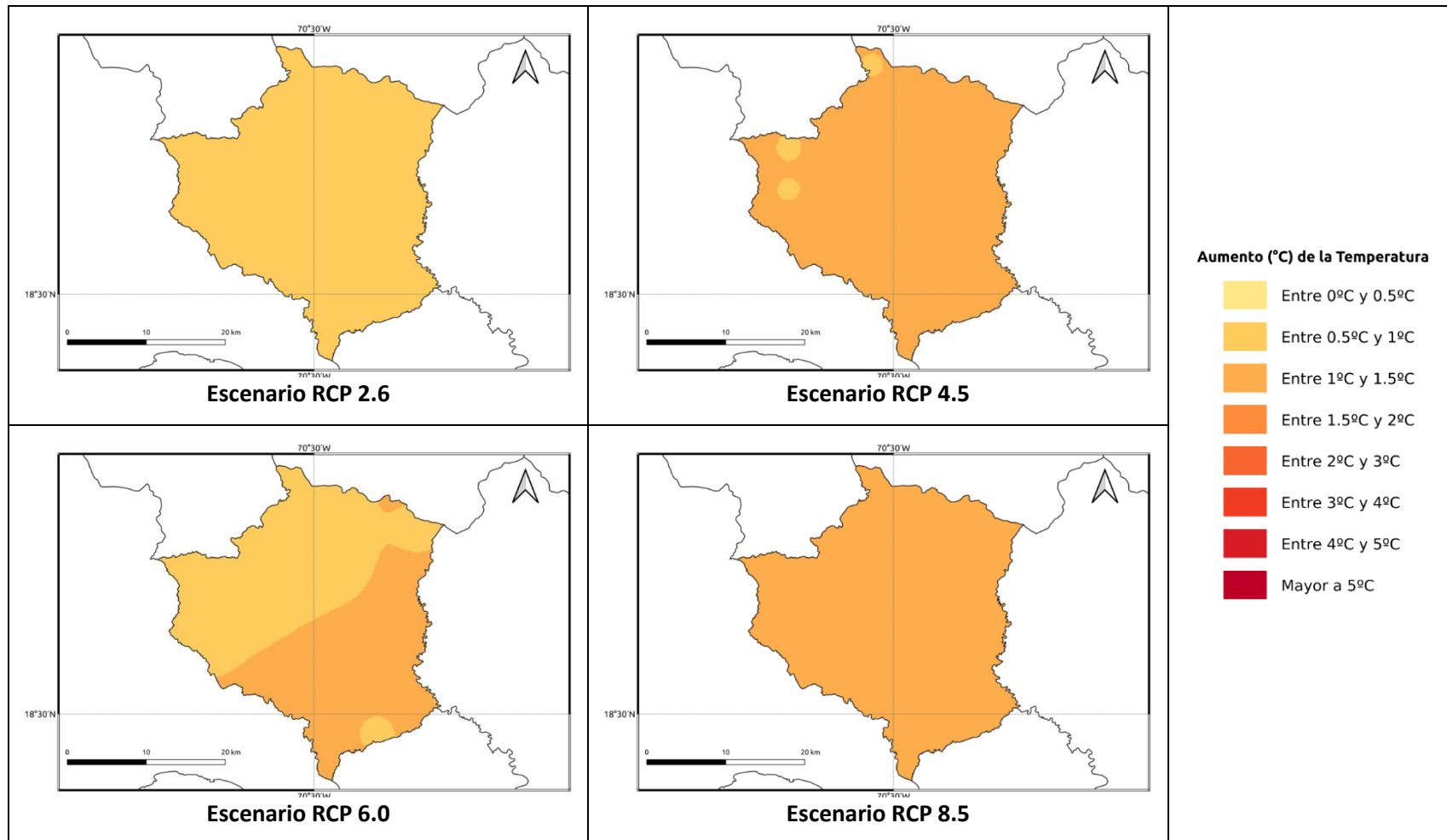


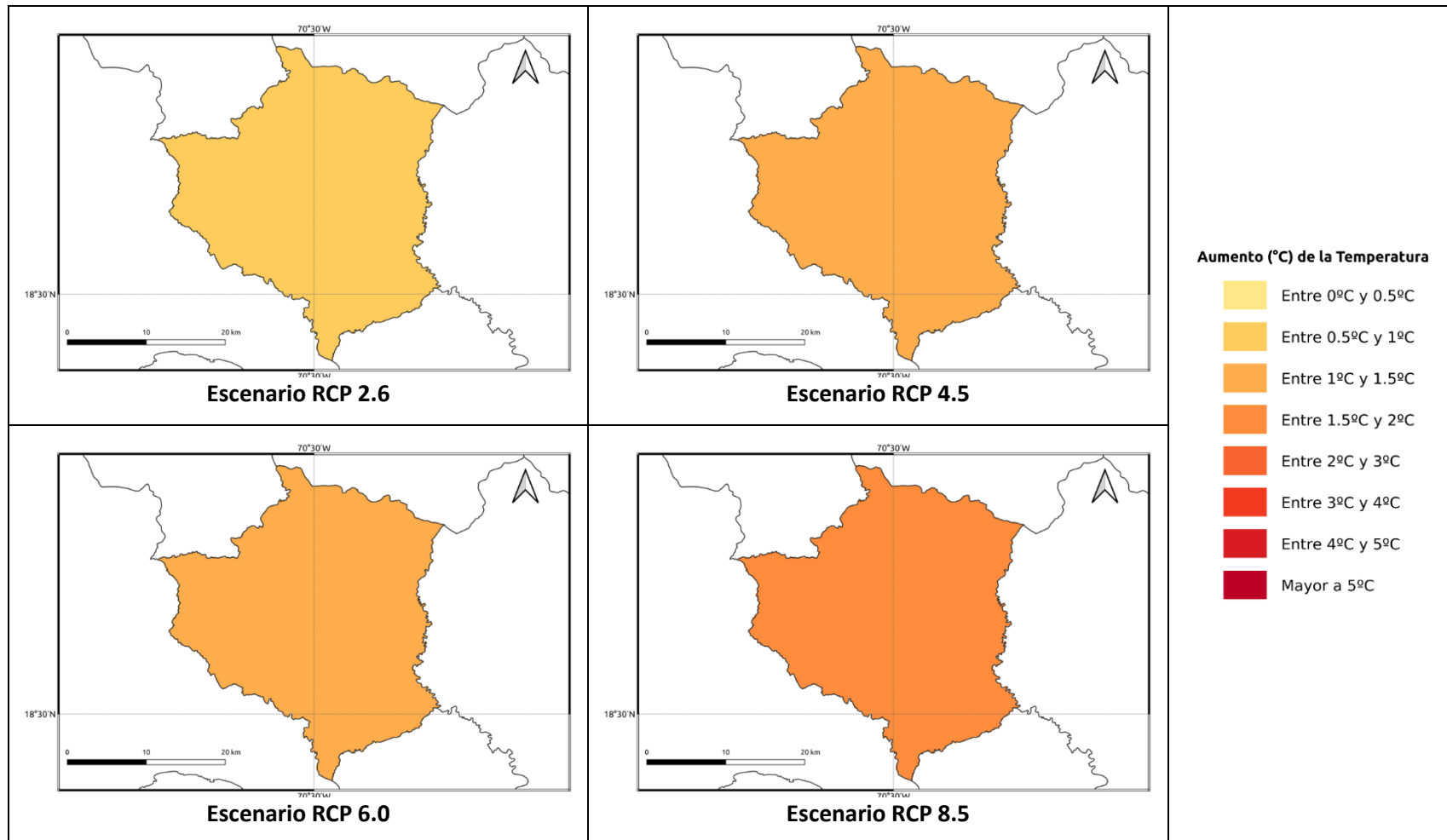
Figura 1.1.25-12. Cambios proyectados en la temperatura mínima (°C) por el ensamble multimodelo bajo los 4 escenarios RCP en el periodo 2081-2100 para la provincia San José de Ocoa.



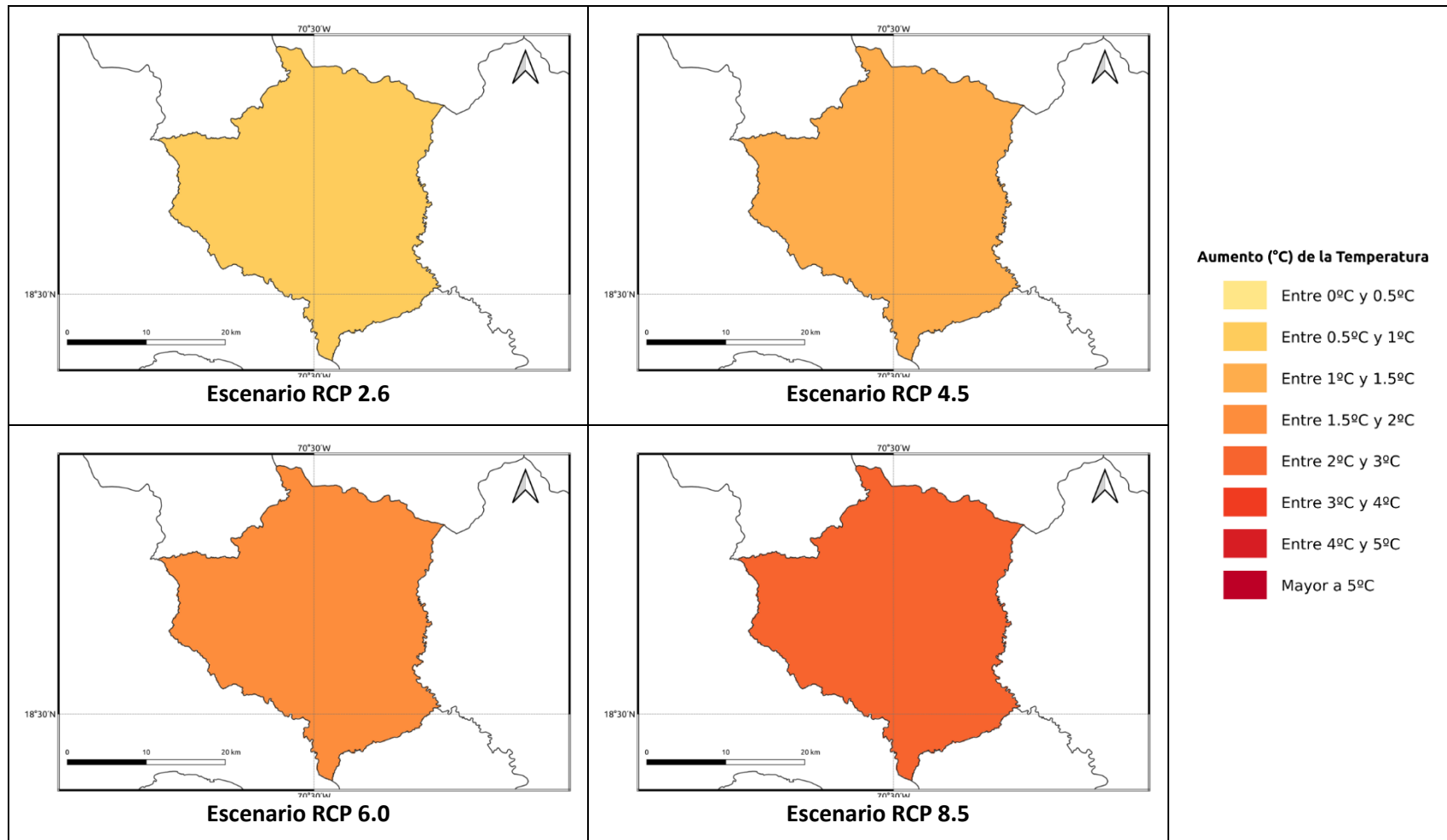
**Figura 1.1.25-13. Cambios proyectados en la temperatura media (°C) por el ensamble multimodelo bajo los 4 escenarios RCP en el periodo 2021-2040 para la provincia San José de Ocoa.**



**Figura 1.1.25-14. Cambios proyectados en la temperatura media (°C) por el ensamble multimodelo bajo los 4 escenarios RCP en el periodo 2041-2060 para la provincia San José de Ocoa.**



**Figura 1.1.25-15. Cambios proyectados en la temperatura media (°C) por el ensamble multimodelo bajo los 4 escenarios RCP en el periodo 2061-2080 para la provincia San José de Ocoa.**



**Figura 1.1.25-16. Cambios proyectados en la temperatura media (°C) por el ensamble multimodelo bajo los 4 escenarios RCP en el periodo 2081-2100 para la provincia San José de Ocoa.**

## 1.1.26 PROVINCIA SAN JUAN

A continuación, se presenta el análisis espacial de los cambios de las variables climáticas a nivel anual para la provincia **San Juan**. Los cambios a nivel estacional (trimestral) se pueden consultar en el Anexo 27.

### Precipitación

Para esta variable, en el periodo de corto plazo 2021-2040 se presentarían cambios dentro del rango normal de variabilidad (del orden del 5-7%), con aumentos de esta magnitud bajo los escenarios RCP 2.6 y 6.0, y reducciones bajo los escenarios RCP 4.5 y 8.5, dándose en este último escenario disminuciones del orden del 8% (Figura 1.1.26-1). Para el siguiente periodo (2041-2060), bajo el RCP 2.6 se mantiene el aumento de la precipitación del orden del 5%, y en los demás escenarios la tendencia sería a la reducción de la precipitación entre un 4-9% (Figura 1.1.26-2). Para el periodo 2061-2080, en el RCP 2.6 se mantendrían los incrementos del 5% en la mayor parte de la provincia, y reducciones del mismo orden en el noroccidente de la provincia. Bajo los otros escenarios se darían disminuciones de la precipitación, del orden del 11-14% bajo el RCP 4.5, entre 4-9% bajo el RCP 6.0 y del 19-23% bajo el RCP 8.5 (Figura 1.1.26-3). Por último, para finales de siglo bajo los 4 escenarios se presentarían reducciones de la precipitación, siendo las de menor magnitud bajo el RCP 2.6 (entre 4-9%) y las más altas bajo el RCP 8.5, con reducciones entre 26 y 32%, dándose las mayores reducciones en la mayor parte de la provincia (Figura 1.1.26-4).

### Temperatura Máxima

La temperatura máxima presentaría incrementos bajo los 4 RCP en todos los periodos analizados. En el periodo de corto plazo (2021-2040) la temperatura aumentaría entre 0.7 y 1.3°C, con aumentos de más de 1°C bajo el RCP 8.5 en el sur y occidente de la provincia (Figura 1.1.26-5). Para 2041-2060, los aumentos serían de 0.7 a 1.4°C bajo los primeros 3 RCP (2.6, 4.5 y 6.0), y de 1.6 a 1.8°C bajo el RCP 8.5 (Figura 1.1.26-6). En el periodo 2061-2080 los aumentos serían de 0.9 a 2.6°C, con el incremento de 0.7 a 0.9°C bajo el RCP 2.6, y siendo de 1.4 a 1.8°C bajo los RCP 4.5 y 6.0 y de 2.6°C bajo el RCP 8.5 (Figura 1.1.26-7). Para finales de siglo, los aumentos serían de 0.7 a 0.9°C bajo el RCP 2.6, de 1.4 a 1.8°C bajo el RCP 4.5, de 1.9 a 2.6°C bajo el RCP 6.0 (dándose los menores aumentos hacia el norte y sur de la provincia) y de 2.9 a 3.6°C bajo el RCP 8.5 (Figura 1.1.26-8).

### Temperatura Mínima

En el primer periodo (2021-2040), ésta se incrementaría de 0.6 a 1.1°C en los 4 escenarios RCP (Figura 1.1.26-9). Para 2041-2060 aumentaría de 0.7 a 0.9°C en los



RCP 2.6, 4.5 y 6.0, y bajo el RCP 8.5 habría aumentos de 0.9 a 1.3°C (Figura 1.1.26-10). En el periodo 2061-2080 la temperatura mínima se incrementaría entre 0.6 y 0.8°C bajo el RCP 2.6, entre 0.9 y 1.4°C bajo los RCP 4.5 y 6.0 y entre 1.9 y 2.2°C bajo el RCP 8.5 (Figura 1.1.26-11). Por último, para finales de siglo se mantendría un aumento entre 0.8 y 1.1°C en el RCP 2.6, entre 1.3 y 1.6°C bajo el RCP 4.5, entre 1.7 y 1.9°C bajo el 6.0 y de 1.9 a 2.4°C bajo el RCP 8.5 (Figura 1.1.26-12).

#### ***Temperatura Media***

La temperatura media se incrementaría entre 0.6 y 0.8°C en el periodo 2021-2040 bajo los 4 escenarios RCP (Figura 1.1.26-13). En el periodo 2041-2060 se mantendría este mismo rango bajo el RCP 2.6, y en los otros 3 escenarios aumentaría de 0.9 a 1.4°C (Figura 1.1.26-14). Para 2061-2080 la temperatura media aumentaría de 0.7 a 0.8°C bajo el RCP 2.6, de 1.3 a 1.5°C bajo los RCP 4.5 y 6.0 y de 1.7 a 1.9°C bajo el RCP 8.5 (Figura 1.1.26-15). Finalmente, para el periodo 2081-2100 la temperatura subiría entre 0.6 y 0.8°C bajo el RCP 2.6, entre 1.2 y 1.6°C bajo el RCP 4.5, de 1.4 a 1.9°C bajo el RCP 6.0 y de 1.9 a 2.6°C bajo el RCP 8.5 (Figura 1.1.26-16).

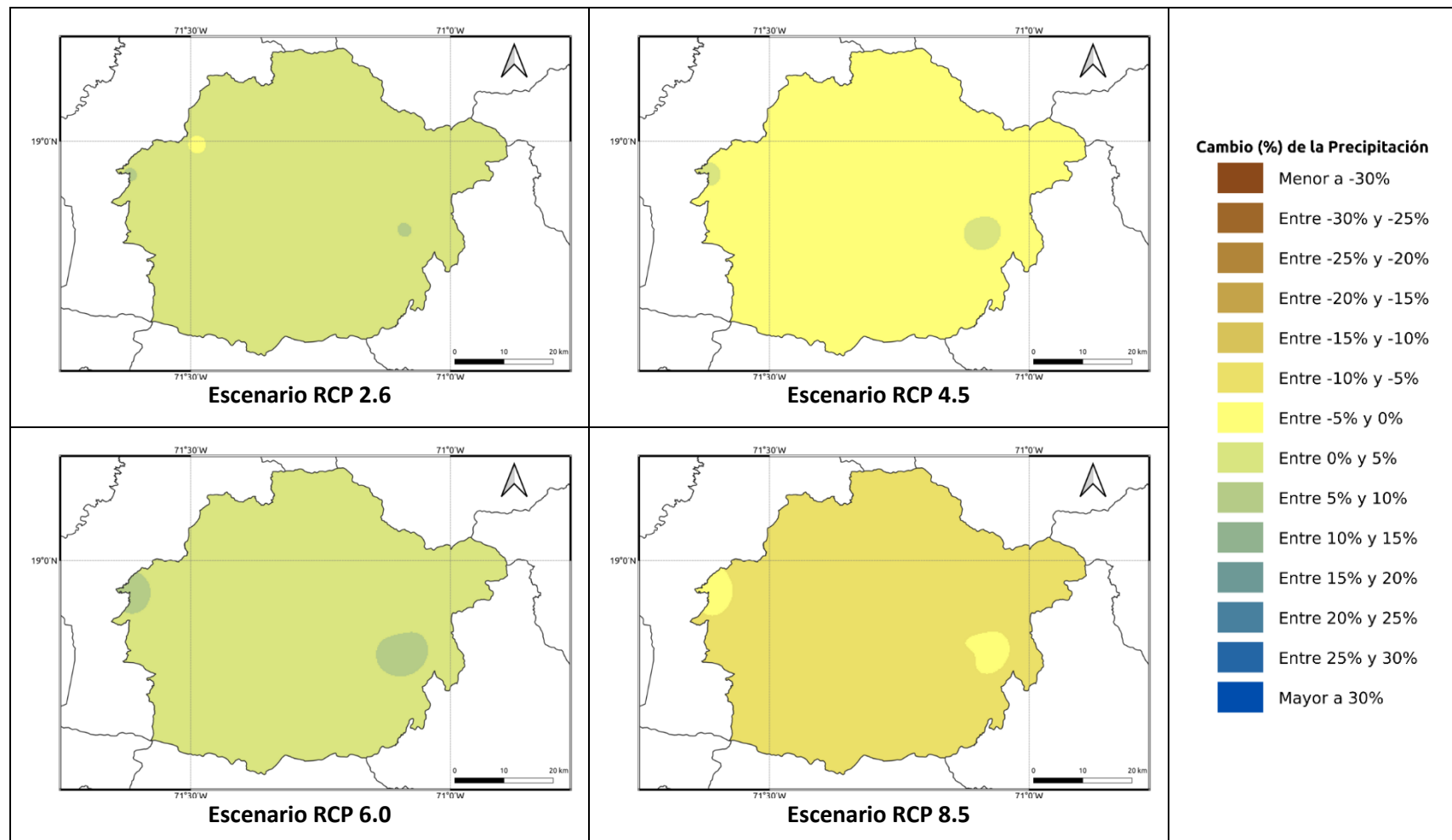
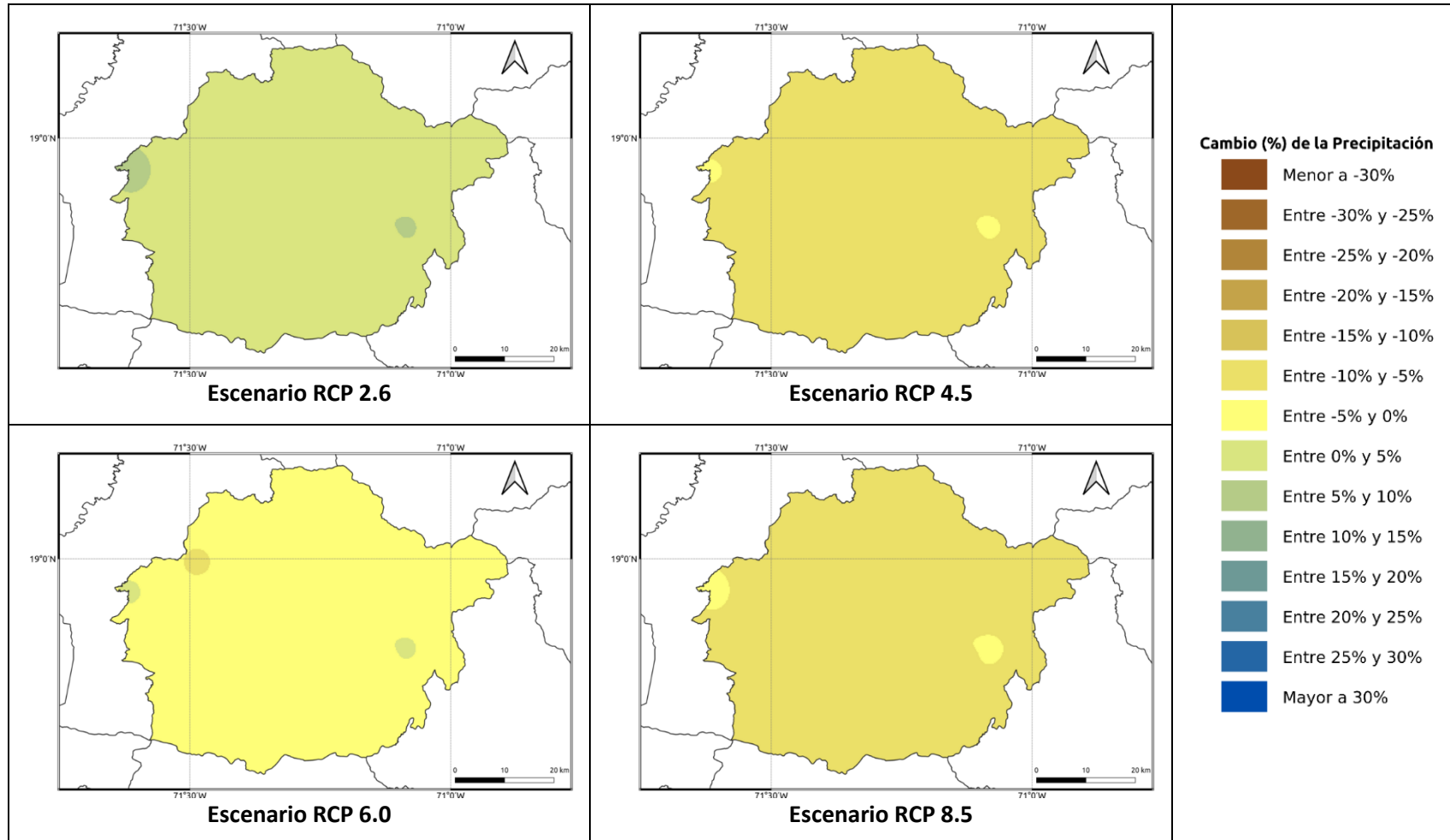


Figura 1.1.26-1. Cambios porcentuales de la precipitación (%) proyectados por el ensamble multimodelo bajo los 4 escenarios RCP en el periodo 2021-2040 para la provincia San Juan.



**Figura 1.1.26-2. Cambios porcentuales de la precipitación (%) proyectados por el ensamble multimodelo bajo los 4 escenarios RCP en el periodo 2041-2060 para la provincia San Juan.**

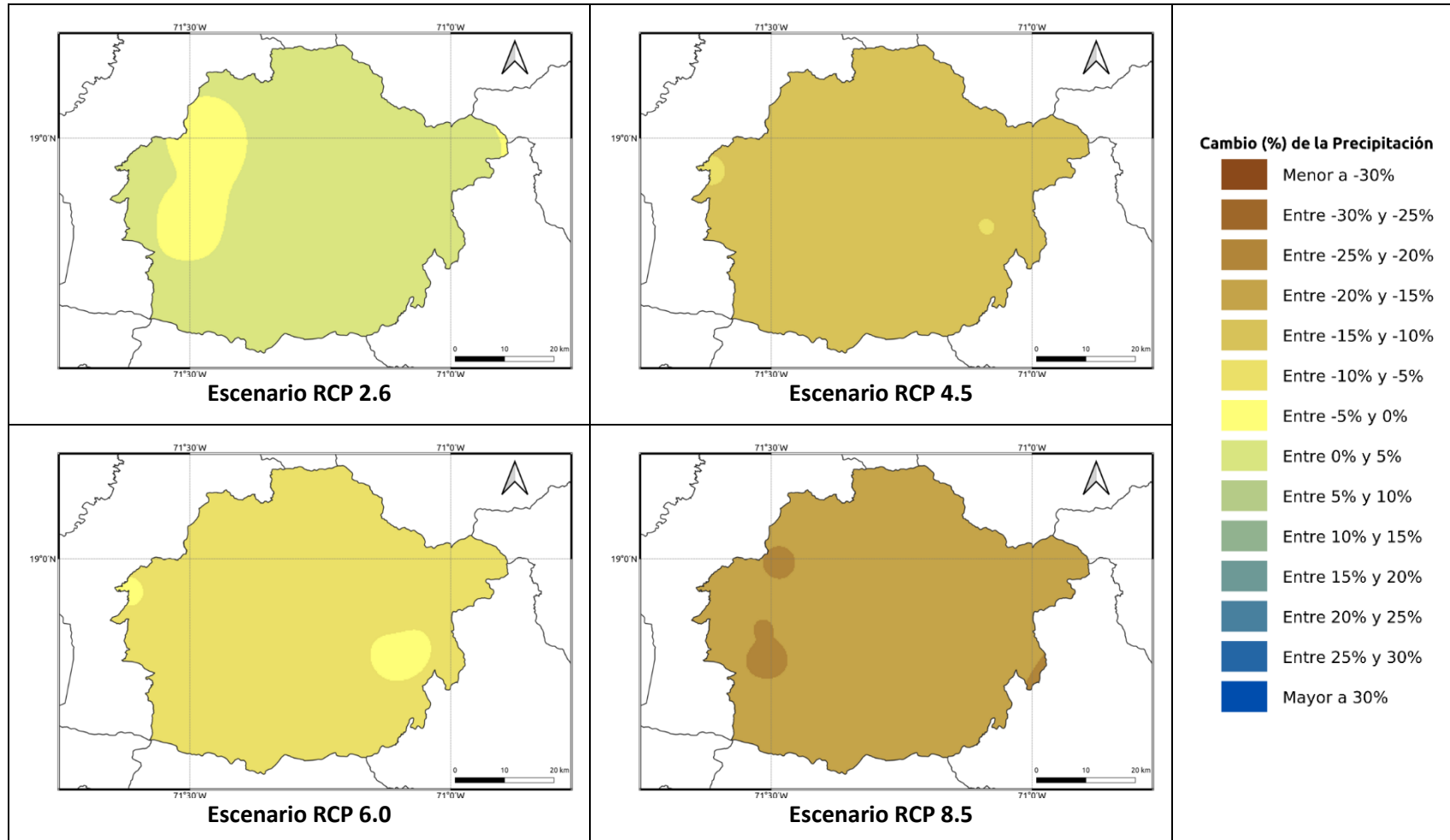


Figura 1.1.26-3. Cambios porcentuales de la precipitación (%) proyectados por el ensamble multimodelo bajo los 4 escenarios RCP en el periodo 2061-2080 para la provincia San Juan.

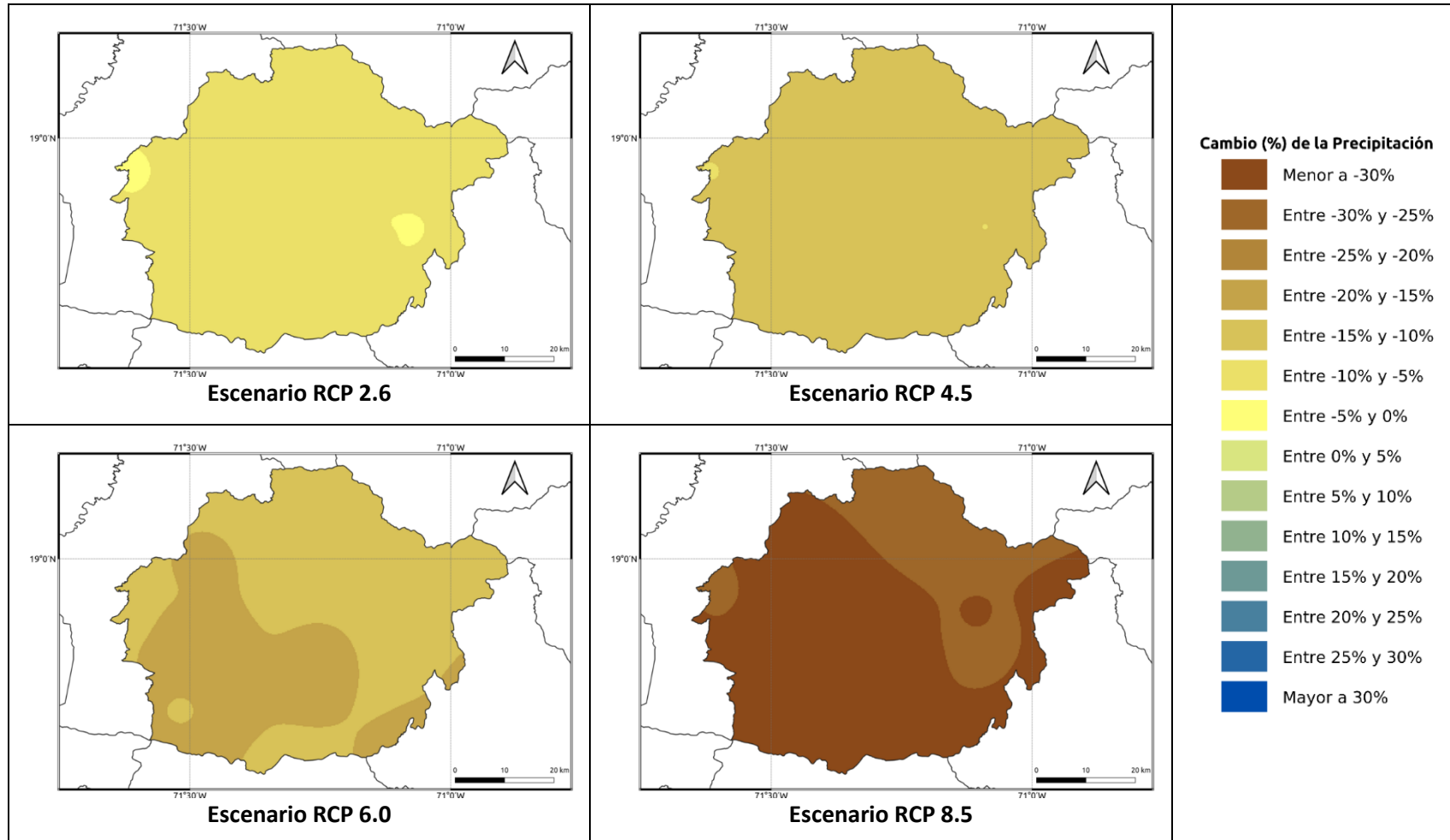


Figura 1.1.26-4. Cambios porcentuales de la precipitación (%) proyectados por el ensamble multimodelo bajo los 4 escenarios RCP en el periodo 2081-2100 para la provincia San Juan.

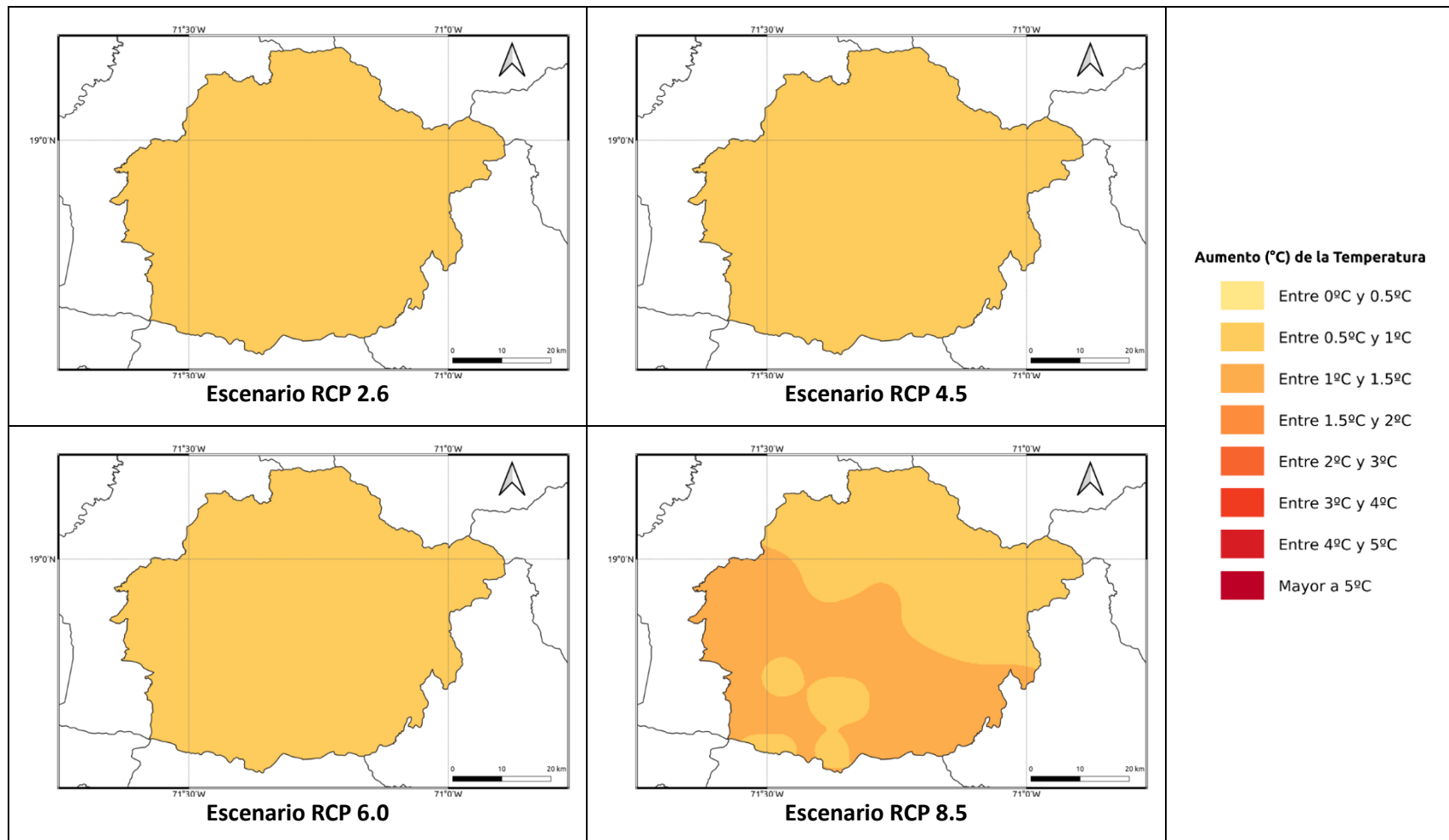
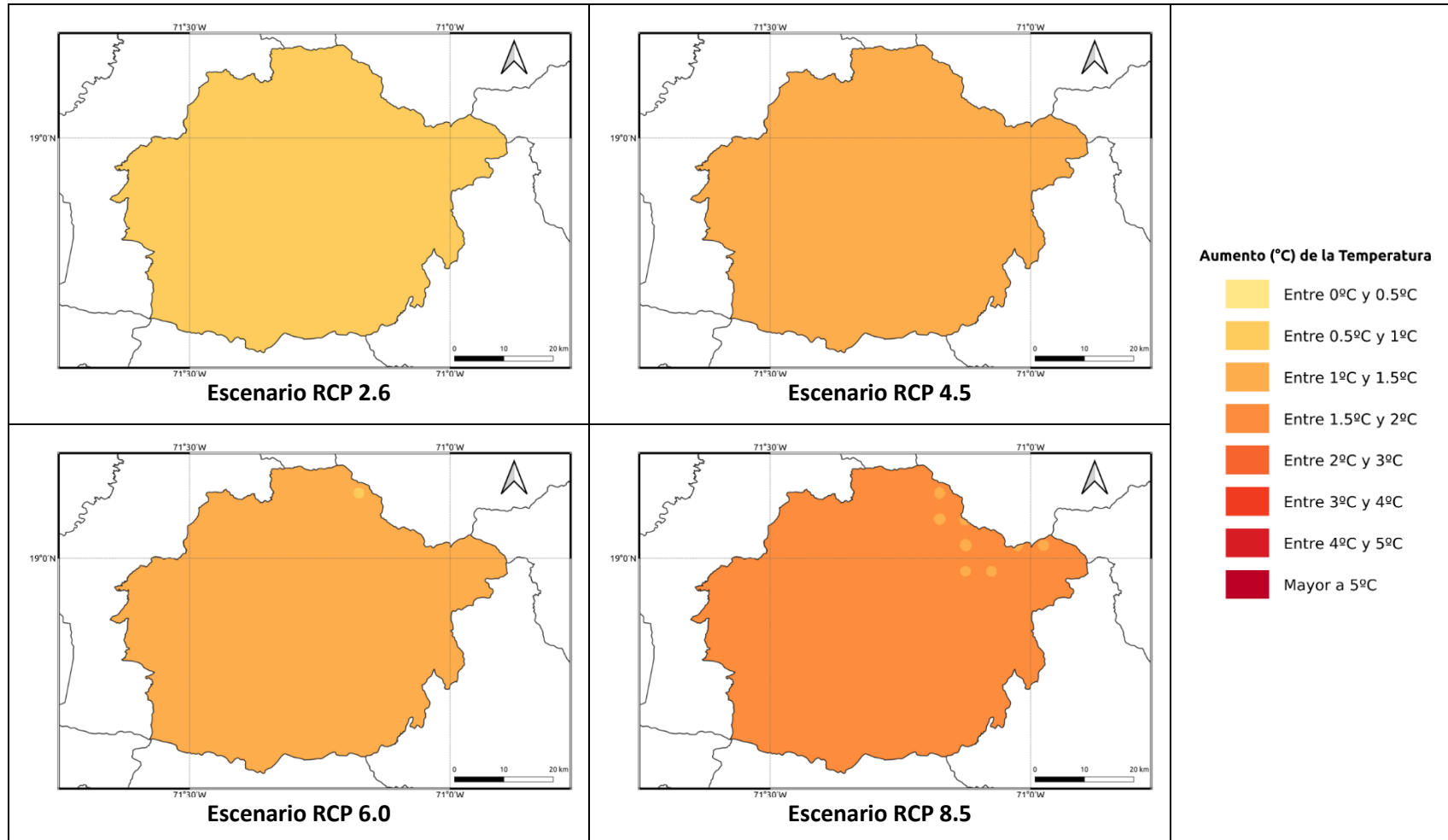


Figura 1.1.26-5. Cambios proyectados en la temperatura máxima (°C) por el ensamble multimodelo bajo los 4 escenarios RCP en el periodo 2021-2040 para la provincia San Juan.



**Figura 1.1.26-6. Cambios proyectados en la temperatura máxima (°C) por el ensamble multimodelo bajo los 4 escenarios RCP en el periodo 2041-2060 para la provincia San Juan.**

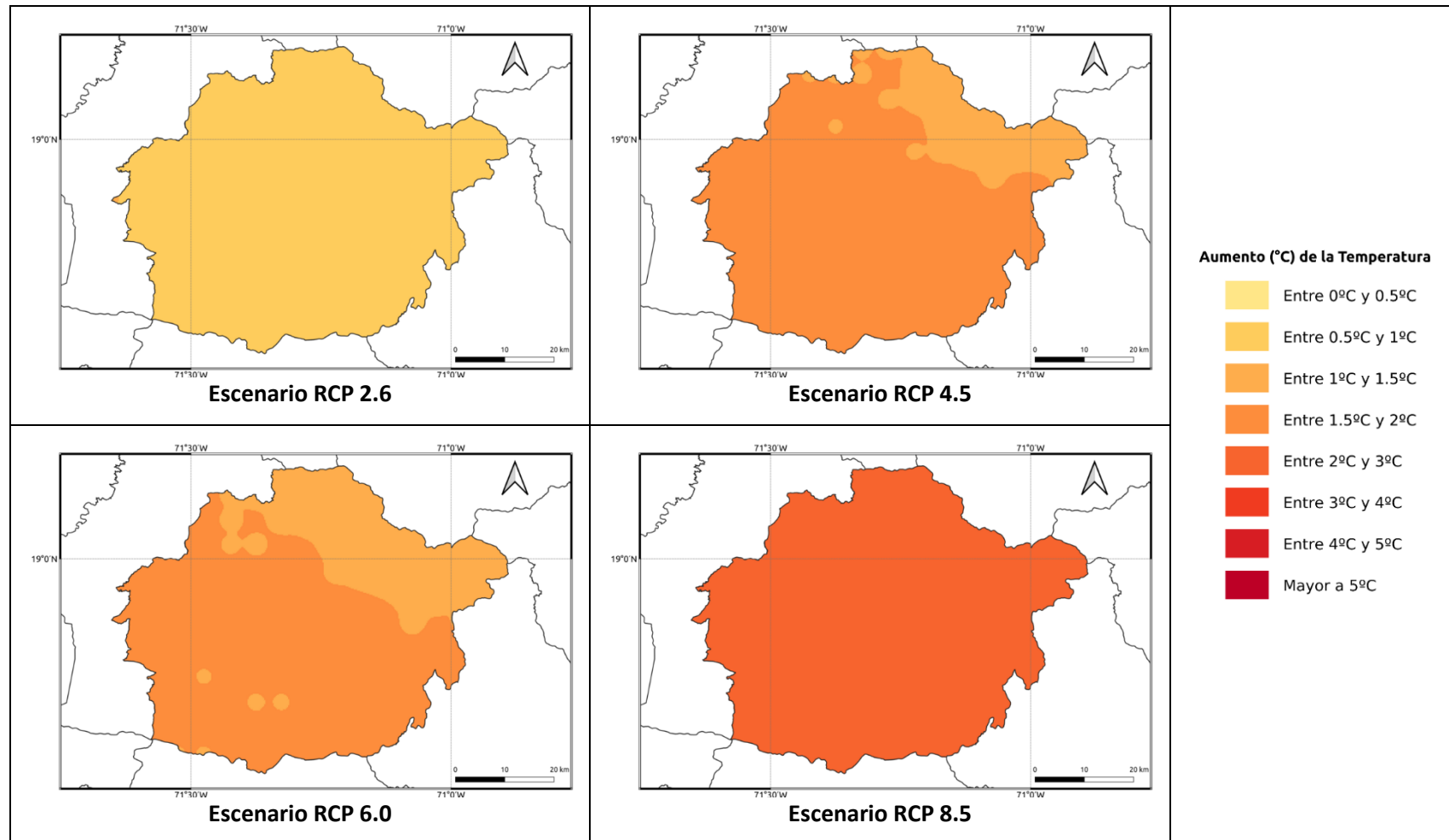
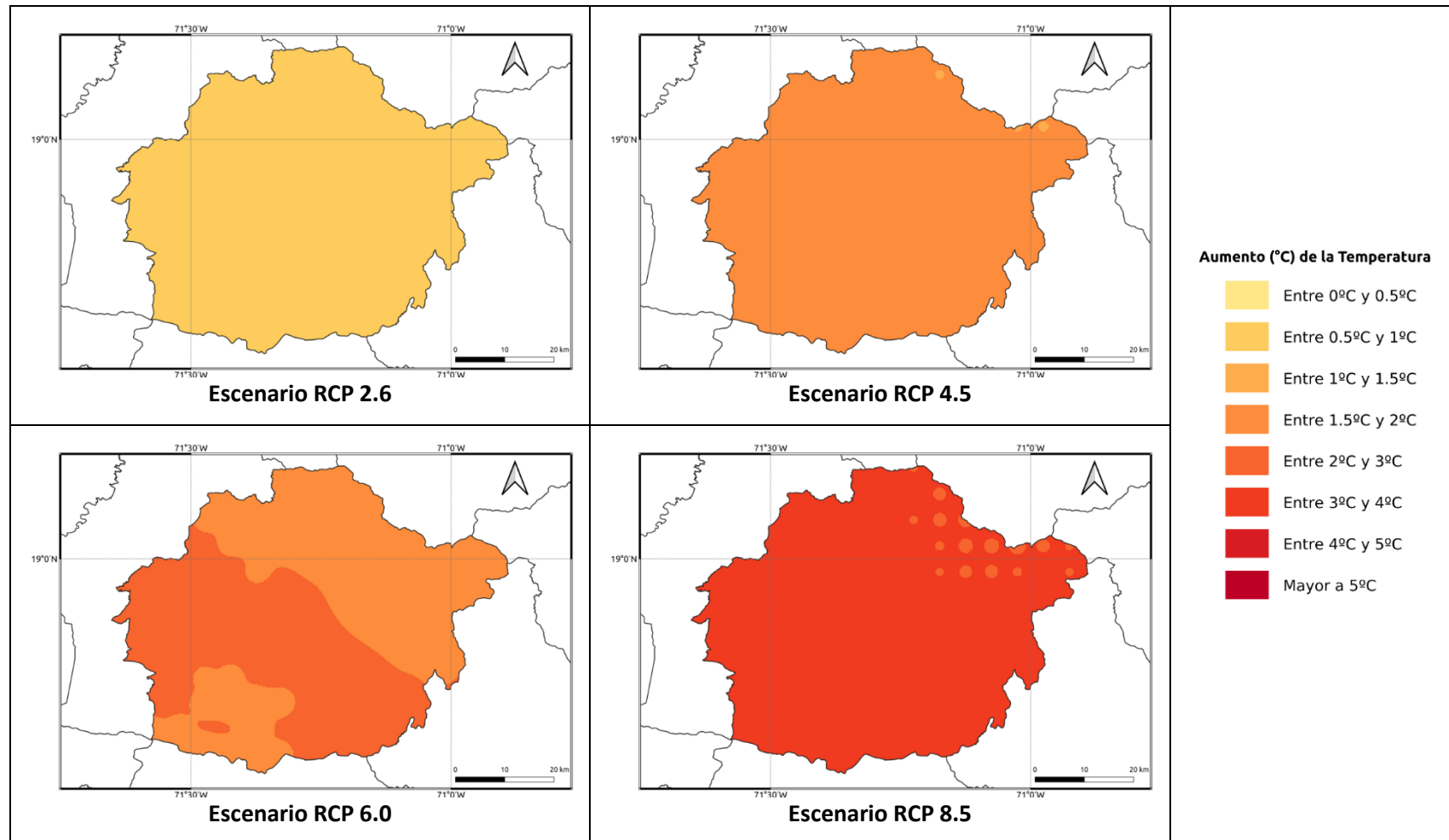


Figura 1.1.26-7. Cambios proyectados en la temperatura máxima (°C) por el ensamble multimodelo bajo los 4 escenarios RCP en el periodo 2061-2080 para la provincia San Juan.



**Figura 1.1.26-8. Cambios proyectados en la temperatura máxima (°C) por el ensamble multimodelo bajo los 4 escenarios RCP en el periodo 2081-2100 para la provincia San Juan.**

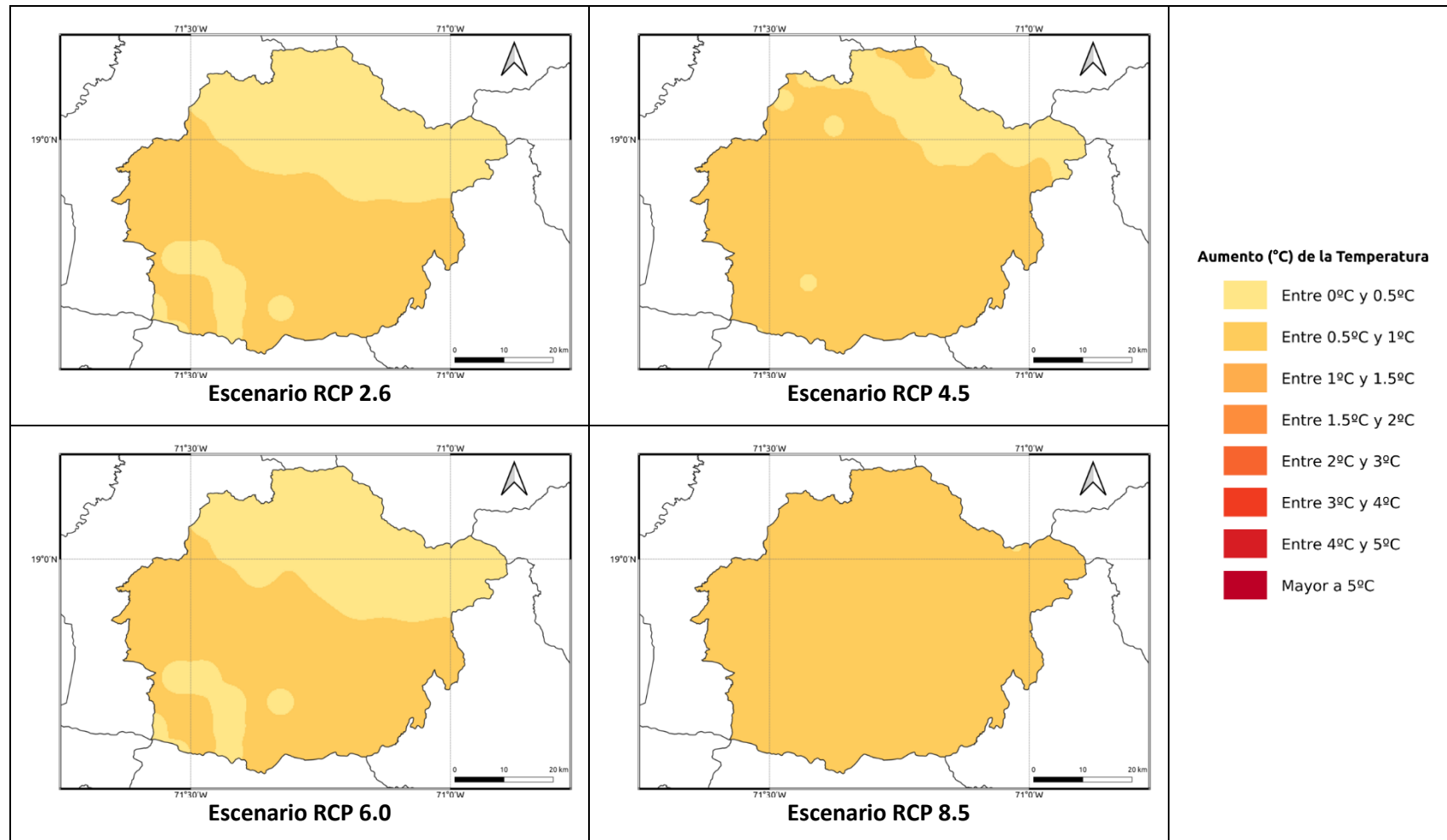


Figura 1.1.26-9. Cambios proyectados en la temperatura mínima (°C) por el ensamble multimodelo bajo los 4 escenarios RCP en el periodo 2021-2040 para la provincia San Juan.

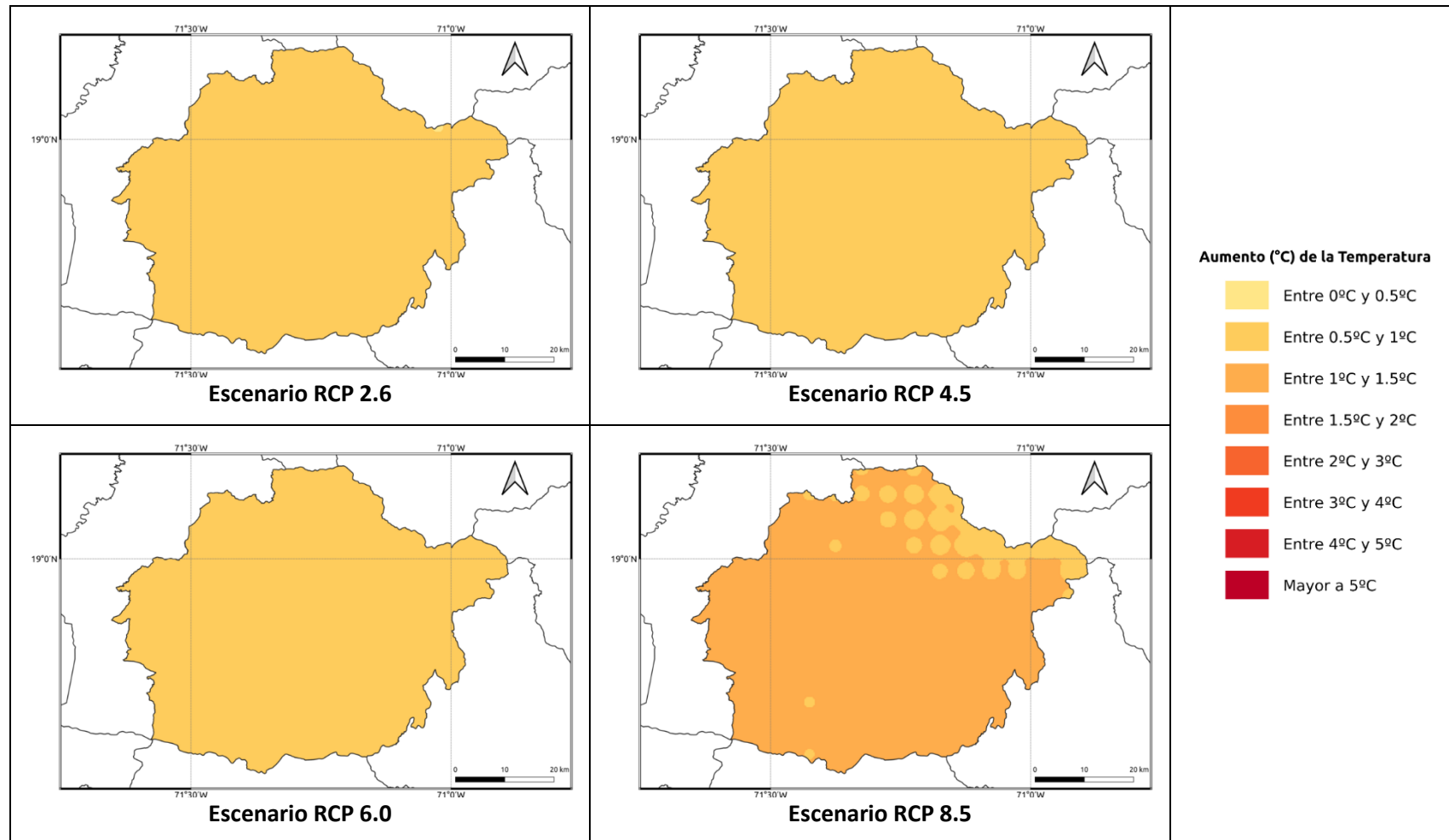
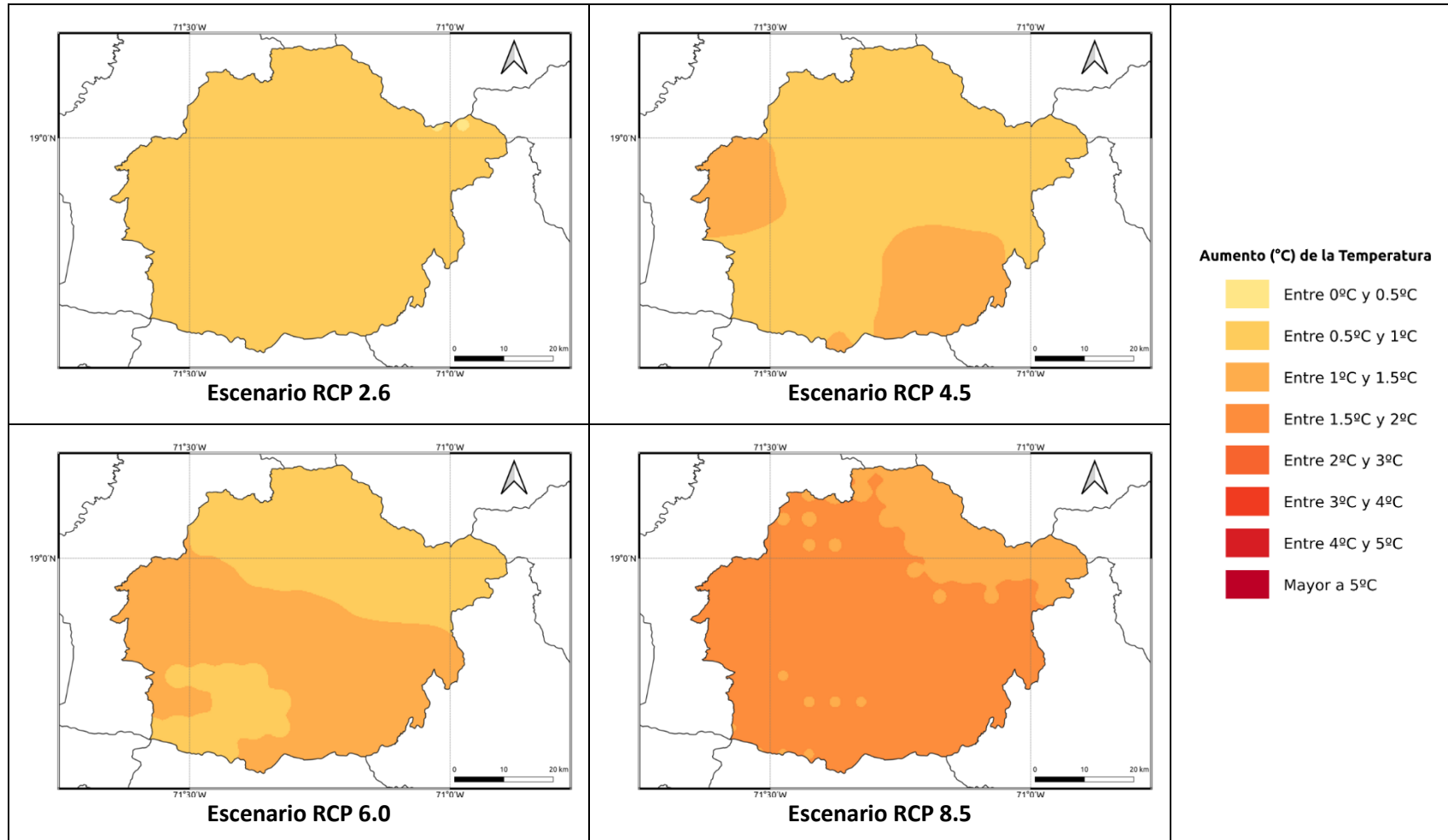
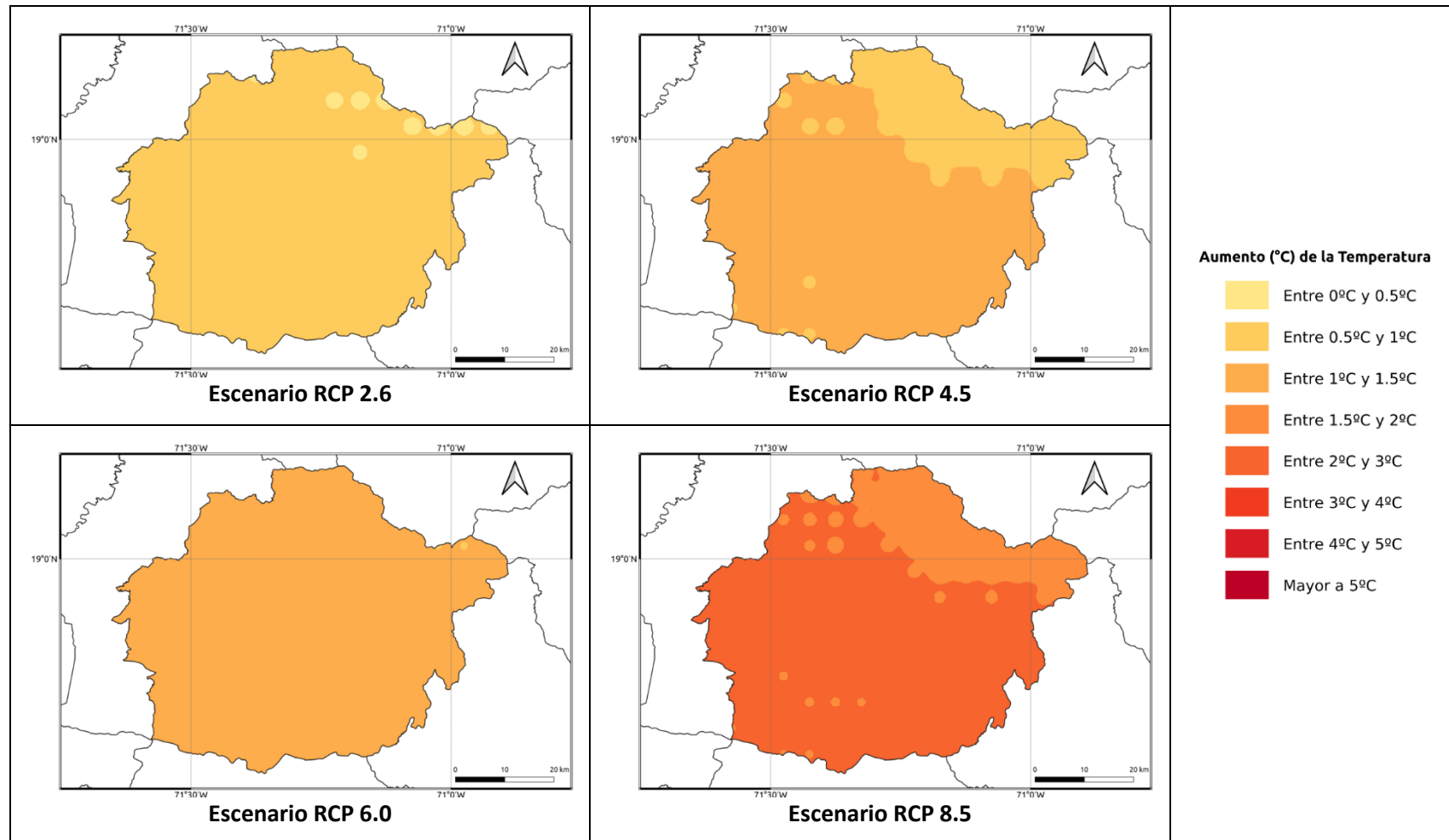


Figura 1.1.26-10. Cambios proyectados en la temperatura mínima (°C) por el ensamble multimodelo bajo los 4 escenarios RCP en el periodo 2041-2060 para la provincia San Juan.



**Figura 1.1.26-11. Cambios proyectados en la temperatura mínima (°C) por el ensamble multimodelo bajo los 4 escenarios RCP en el periodo 2061-2080 para la provincia San Juan.**



**Figura 1.1.26-12. Cambios proyectados en la temperatura mínima (°C) por el ensamble multimodelo bajo los 4 escenarios RCP en el periodo 2081-2100 para la provincia San Juan.**

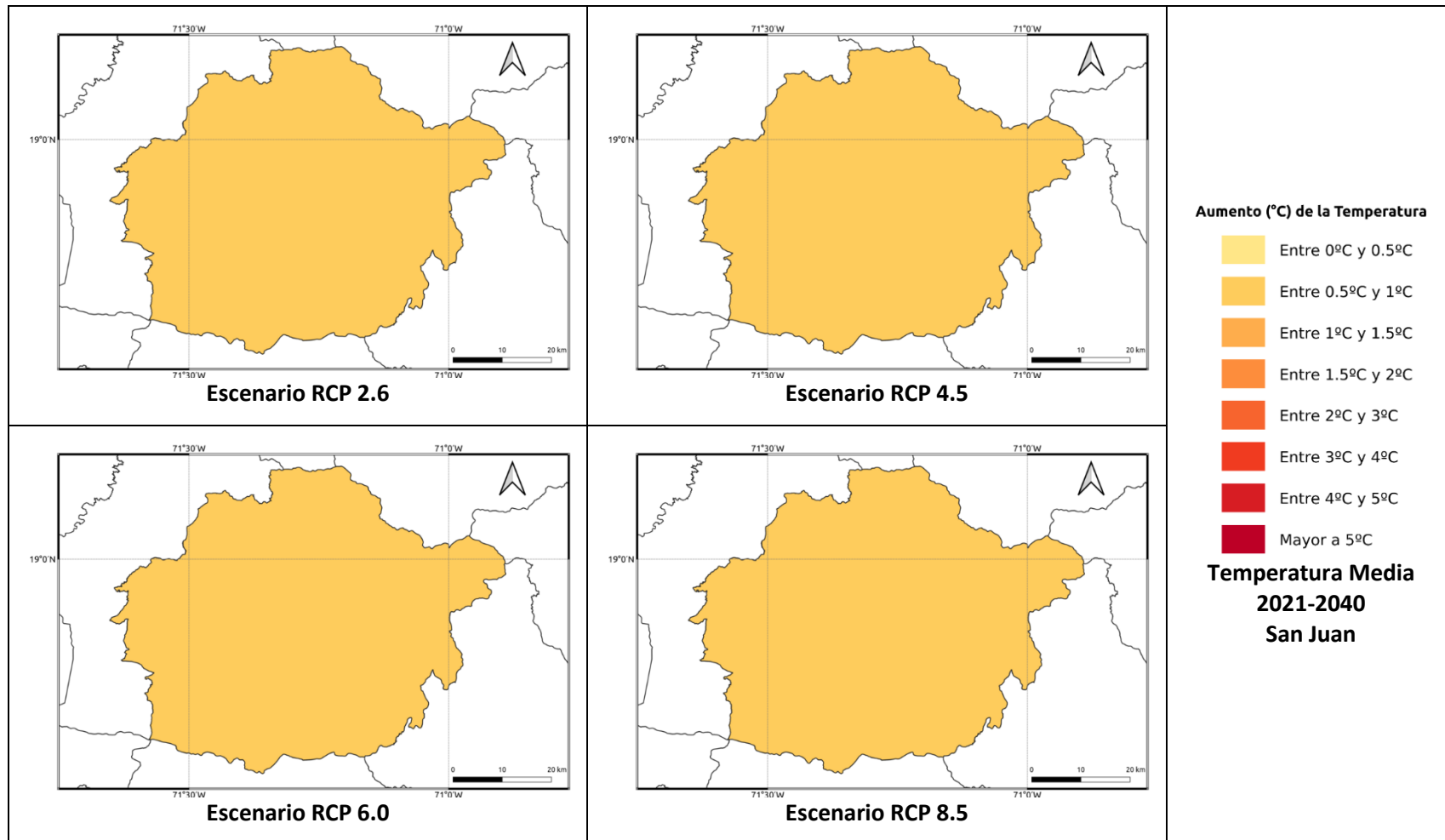


Figura 1.1.26-13. Cambios proyectados en la temperatura media (°C) por el ensamble multimodelo bajo los 4 escenarios RCP en el periodo 2021-2040 para la provincia San Juan.

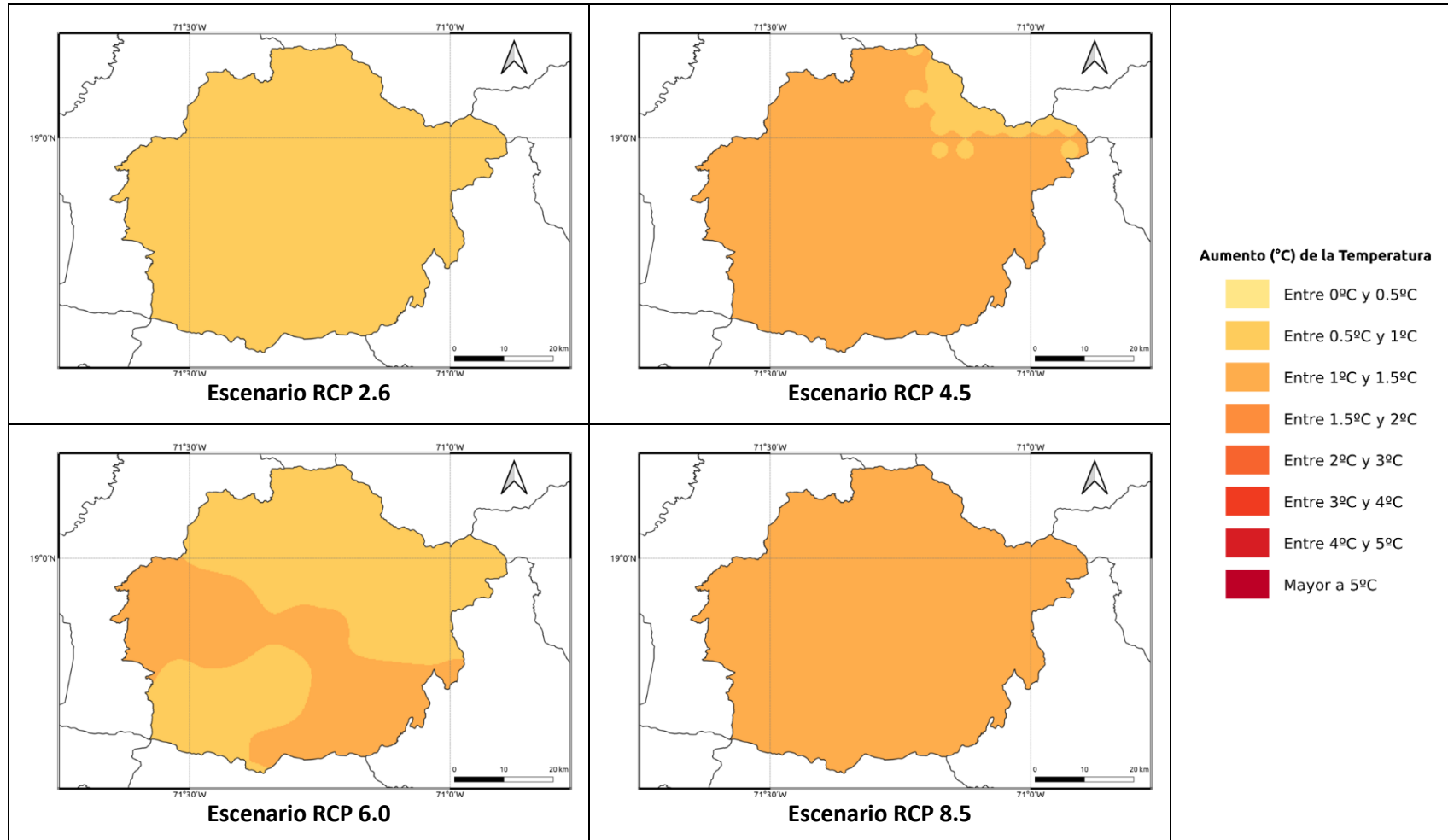


Figura 1.1.26-14. Cambios proyectados en la temperatura media (°C) por el ensamble multimodelo bajo los 4 escenarios RCP en el periodo 2041-2060 para la provincia San Juan.

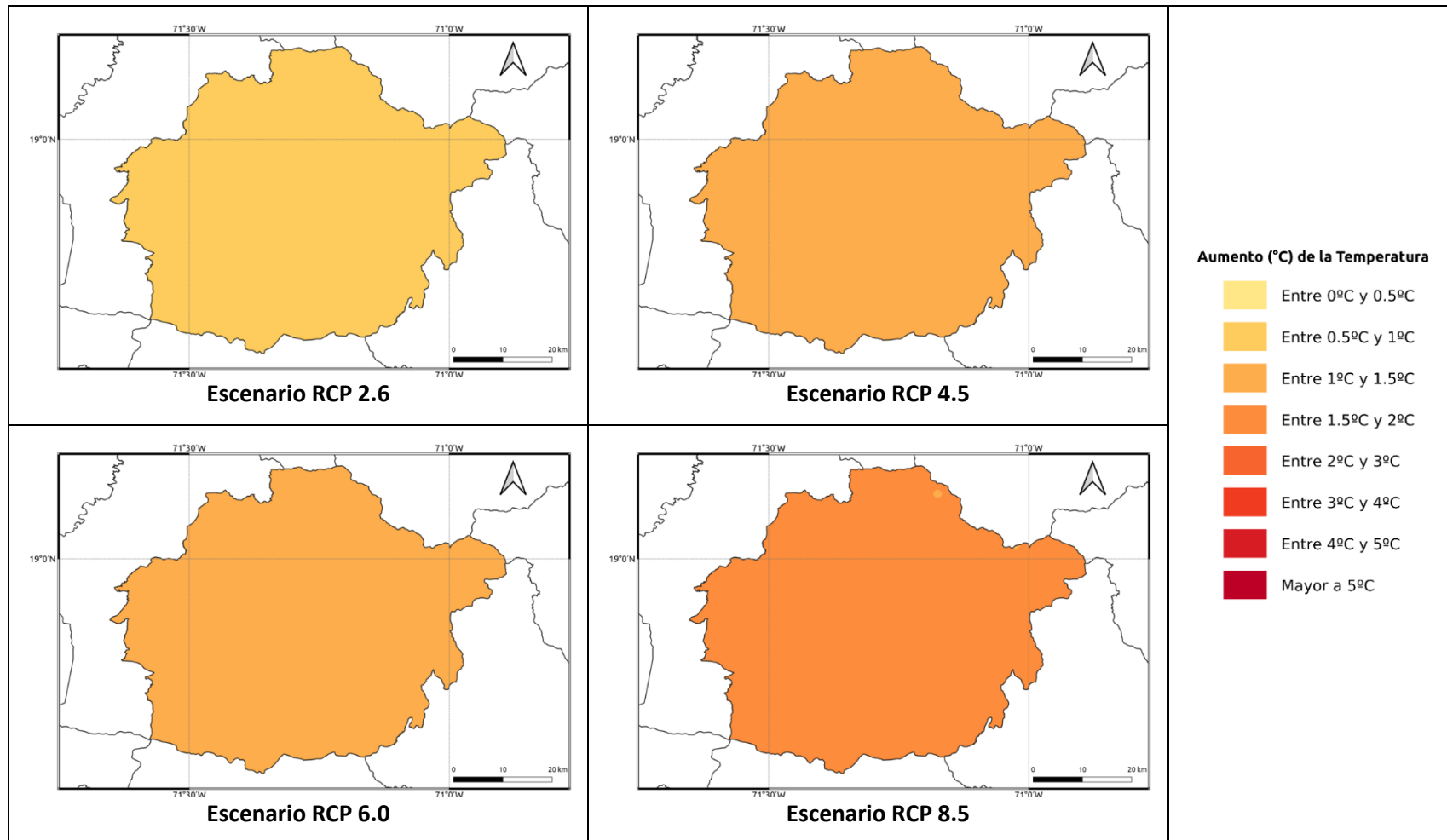
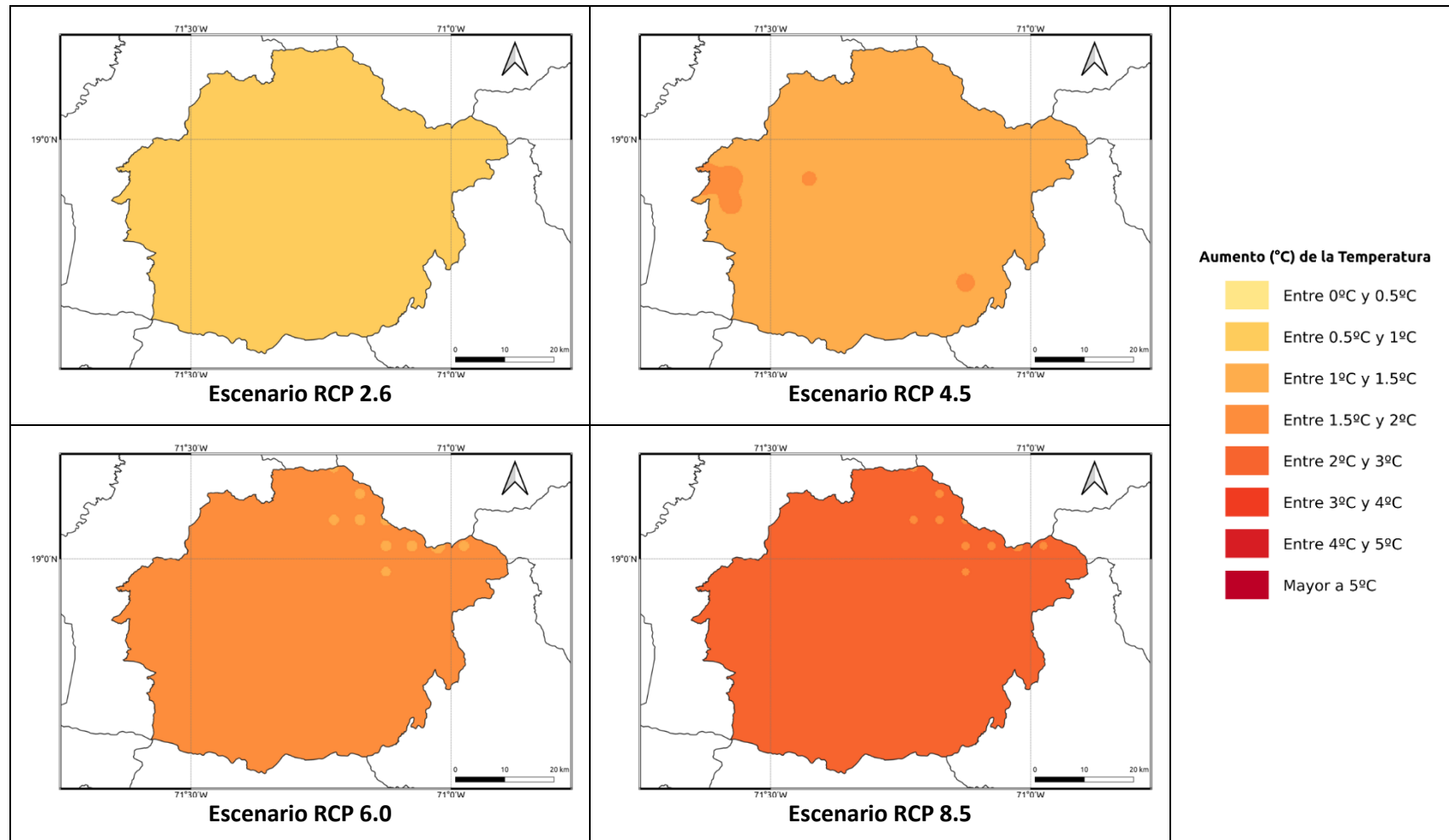


Figura 1.1.26-15. Cambios proyectados en la temperatura media (°C) por el ensamble multimodelo bajo los 4 escenarios RCP en el periodo 2061-2080 para la provincia San Juan.



**Figura 1.1.26-16. Cambios proyectados en la temperatura media (°C) por el ensamble multimodelo bajo los 4 escenarios RCP en el periodo 2081-2100 para la provincia San Juan.**

## 1.1.27 PROVINCIA SAN PEDRO DE MACORÍS

A continuación, se presenta el análisis espacial de los cambios de las variables climáticas a nivel anual para la provincia **San Pedro de Macorís**. Los cambios a nivel estacional (trimestral) se pueden consultar en el Anexo 28.

### Precipitación

Para esta variable, en el periodo de corto plazo 2021-2040 se presentarían cambios dentro del rango normal de variabilidad (del orden del 5%), con aumentos de esta magnitud bajo los escenarios RCP 2.6 y 6.0 en la mayor parte de la provincia, y reducciones en una zona al oriente de la misma bajo el RCP 2.6. En los escenarios RCP 4.5 y 8.5 se darían reducciones de la misma magnitud, y dándose disminuciones del 8% bajo el último escenario (Figura 1.1.27-1). Para el siguiente periodo (2041-2060), bajo el RCP 2.6 se mantiene el aumento de la precipitación del orden del 5% en la mayor parte de la provincia (y la reducción de la misma magnitud al oriente de la misma), y en los demás escenarios la tendencia sería a la reducción de la precipitación entre un 4-9% (Figura 1.1.27-2). Para el periodo 2061-2080 los 4 escenarios presentarían reducciones (aunque bajo el RCP 2.6 aún se presenta una tendencia al aumento de la precipitación hacia el norte de la provincia), del orden del 5% bajo el RCP 2.6, entre 12-14% bajo el RCP 4.5, entre 7-9% bajo el RCP 6.0 y del 21-24% bajo el RCP 8.5 (Figura 1.1.27-3). Por último, para finales de siglo bajo los 4 escenarios también se presentarían reducciones de la precipitación, siendo las de menor magnitud bajo el RCP 2.6 (entre 6-8%) y las más altas bajo el RCP 8.5, con reducciones de más del 30% (Figura 1.1.27-4).

### Temperatura Máxima

La temperatura máxima presentaría incrementos bajo los 4 RCP en todos los periodos analizados. En el periodo de corto plazo (2021-2040) la temperatura aumentaría entre 0.7 y 1.3°C, con aumentos de más de 1°C bajo el RCP 8.5 (Figura 1.1.27-5). Para 2041-2060, los aumentos serían de 1.1 a 1.4°C bajo los primeros 3 RCP (2.6, 4.5 y 6.0), y de 1.5 a 1.8°C bajo el RCP 8.5 (Figura 1.1.27-6). En el periodo 2061-2080 los aumentos serían de 1.1 a 2.4°C, manteniéndose el incremento de 1.1 a 1.4°C bajo el RCP 2.6, siendo de 1.5 a 1.8°C bajo los RCP 4.5 y 6.0 y de 2.6°C bajo el RCP 8.5 (Figura 1.1.27-7). Para finales de siglo, los aumentos serían de 0.7 a 1.1°C bajo el RCP 2.6, de 1.6 a 1.9°C bajo el RCP 4.5, de 2.1 a 2.4°C bajo el RCP 6.0 y de 3.2 a 3.8°C bajo el RCP 8.5 (Figura 1.1.27-8).

### Temperatura Mínima

En el primer periodo (2021-2040), ésta se incrementaría de 0.3 a 0.8°C en los 4 escenarios RCP (Figura 1.1.27-9). Para 2041-2060 aumentaría de 0.7 a 0.9°C en los 3



primeros escenarios (aunque bajo el RCP 4.5 habría incrementos de 1.1°C hacia el sur de la provincia), y bajo el RCP 8.5 habría aumentos de 1.3°C (Figura 1.1.27-10). En el periodo 2061-2080 la temperatura mínima se incrementaría entre 0.6 y 0.8°C bajo el RCP 2.6, entre 1.1 y 1.4°C bajo los RCP 4.5 y 6.0 y entre 1.7 y 2.2°C bajo el RCP 8.5, dándose los mayores aumentos hacia el sur de la provincia (Figura 1.1.27-11). Por último, para finales de siglo se mantendría un aumento de 0.8°C en el RCP 2.6, entre 1.1 y 1.4°C bajo el RCP 4.5, entre 1.5 y 1.8°C bajo el RCP 6.0 y de 2.2 a 2.6°C bajo el RCP 8.5 (Figura 1.1.27-12).

### ***Temperatura Media***

La temperatura media se incrementaría entre 0.6 y 0.8°C en el periodo 2021-2040 bajo los 4 escenarios RCP (Figura 1.1.27-13). En el periodo 2041-2060 se mantendría este mismo rango bajo el RCP 2.6, y en los otros 3 escenarios aumentaría de 1.1 a 1.5°C (Figura 1.1.27-14). Para 2061-2080 la temperatura media aumentaría de 0.7 a 0.8°C bajo el RCP 2.6, de 1.3 a 1.6°C bajo los RCP 4.5 y 6.0 y de 1.7 a 2.4°C bajo el RCP 8.5, con los incrementos más altos en el sur de la provincia (Figura 1.1.27-15). Finalmente, para el periodo 2081-2100 la temperatura subiría entre 0.6 y 0.8°C bajo el RCP 2.6, entre 1.5 y 1.9°C bajo los RCP 4.5 y 6.0 y de 2.4 a 2.8°C bajo el RCP 8.5 (Figura 1.1.27-16).



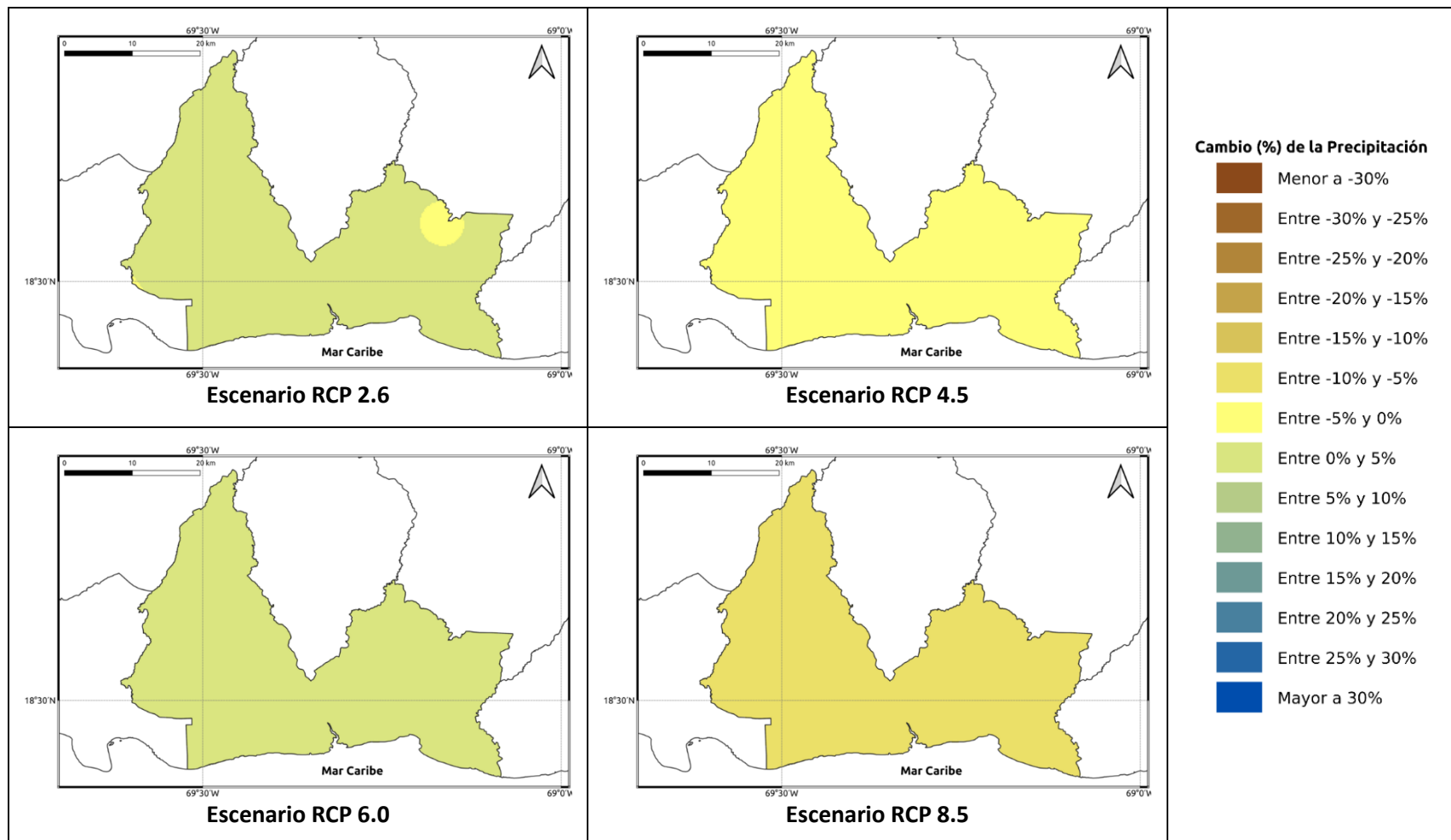


Figura 1.1.27-1. Cambios porcentuales de la precipitación (%) proyectados por el ensamble multimodelo bajo los 4 escenarios RCP en el periodo 2021-2040 para la provincia San Pedro de Macorís.

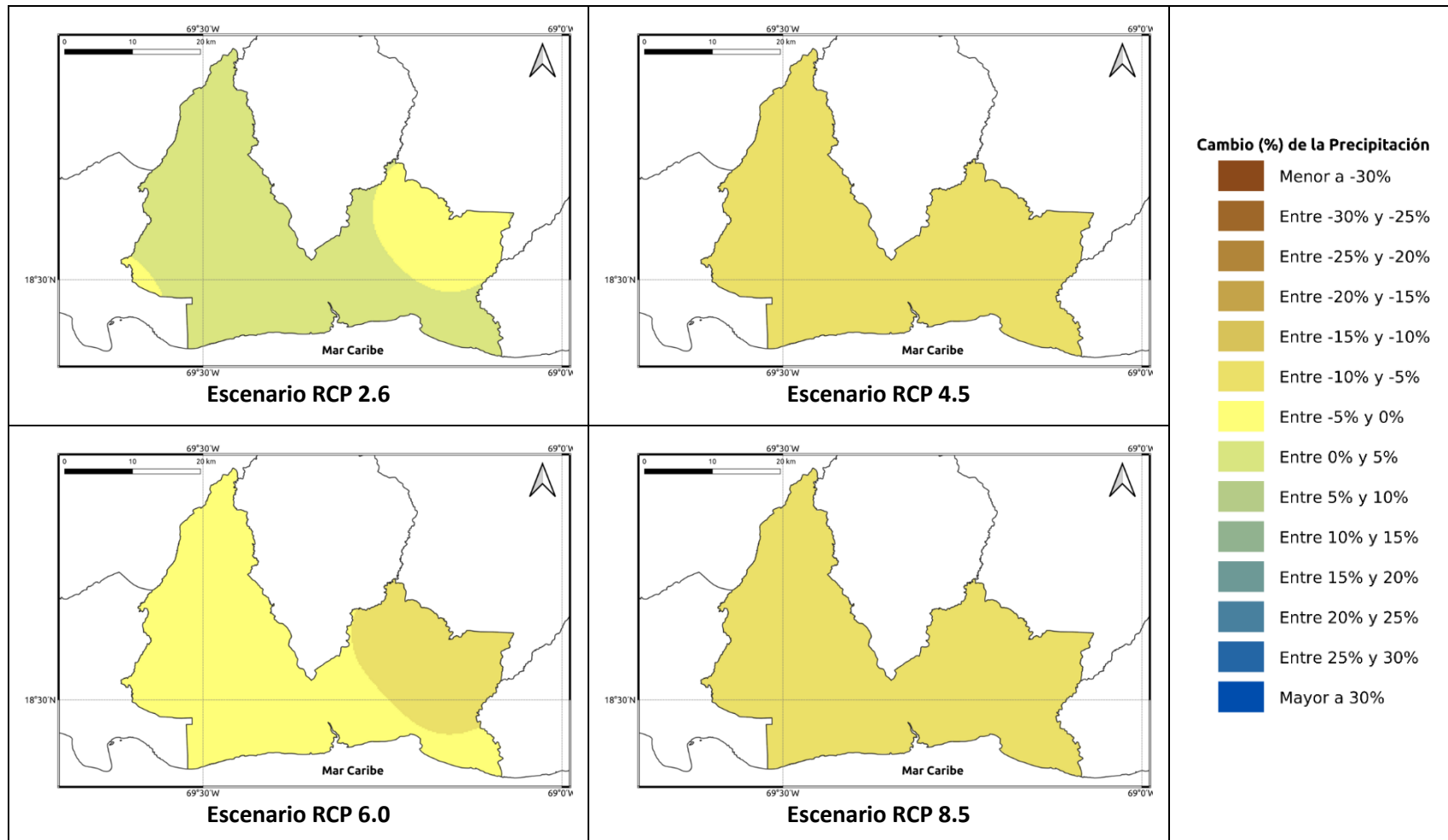


Figura 1.1.27-2. Cambios porcentuales de la precipitación (%) proyectados por el ensamble multimodelo bajo los 4 escenarios RCP en el periodo 2041-2060 para la provincia San Pedro de Macorís.

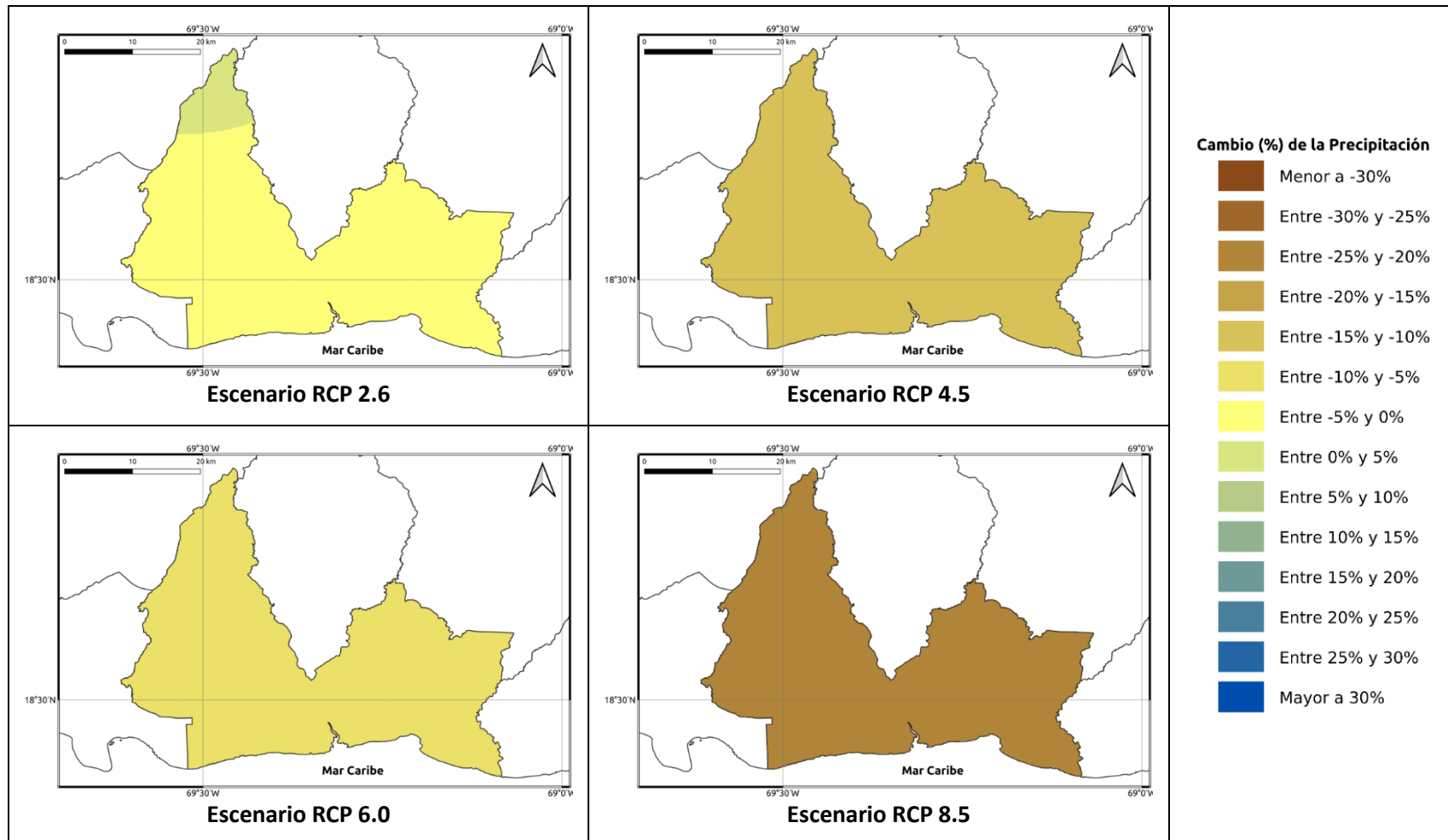
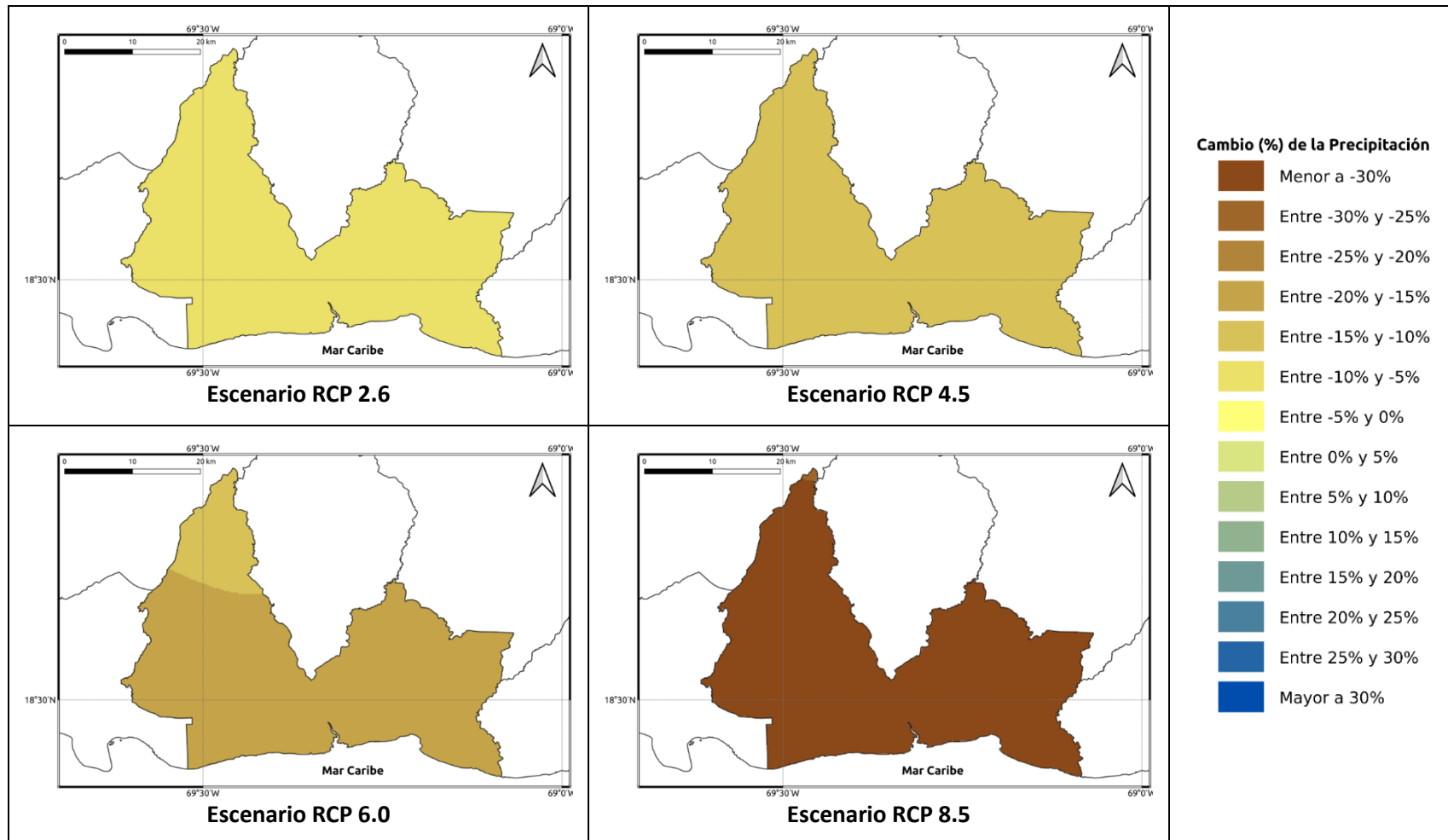


Figura 1.1.27-3. Cambios porcentuales de la precipitación (%) proyectados por el ensamble multimodelo bajo los 4 escenarios RCP en el periodo 2061-2080 para la provincia San Pedro de Macorís.



**Figura 1.1.27-4. Cambios porcentuales de la precipitación (%) proyectados por el ensamble multimodelo bajo los 4 escenarios RCP en el periodo 2081-2100 para la provincia San Pedro de Macorís.**

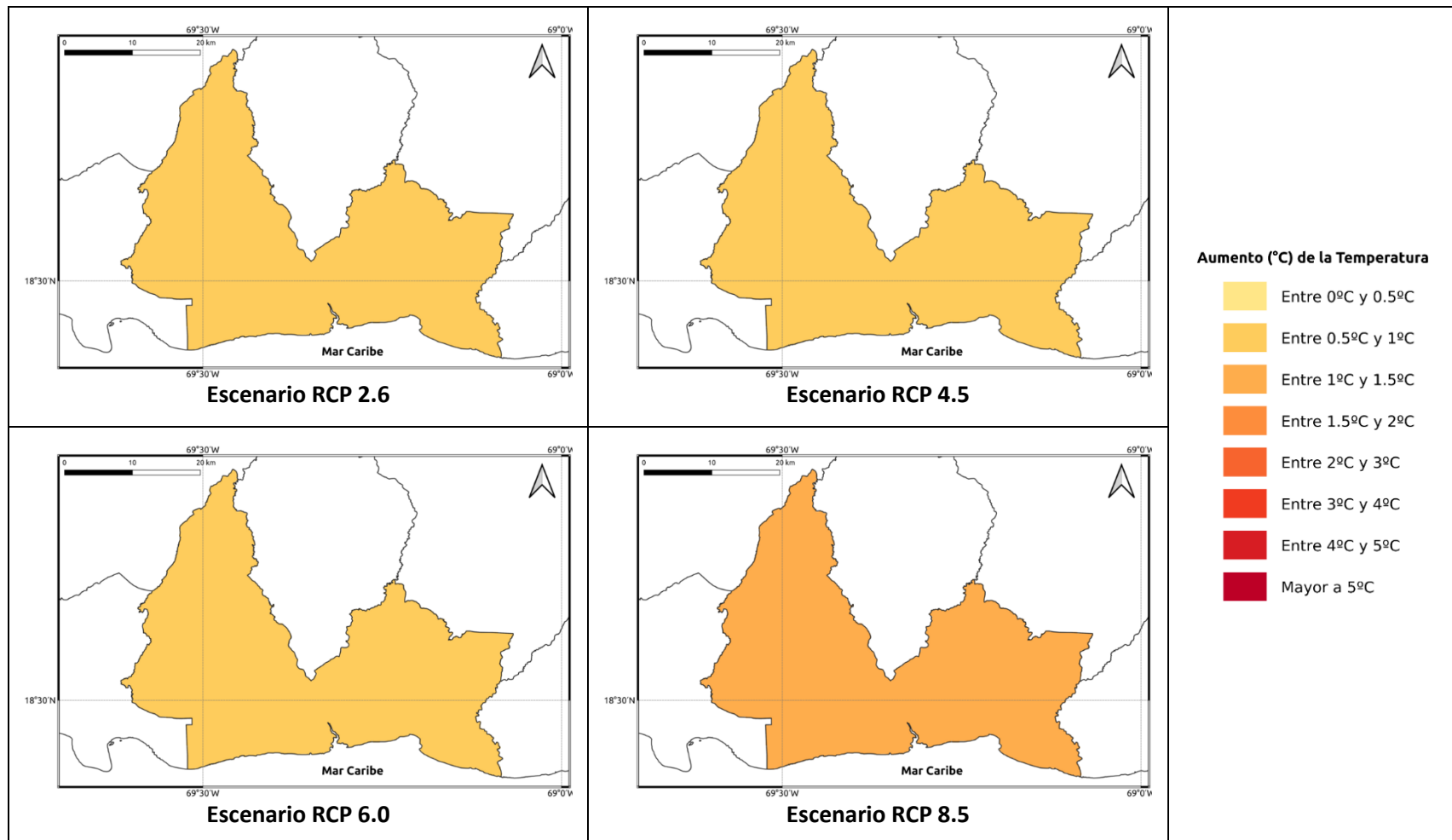
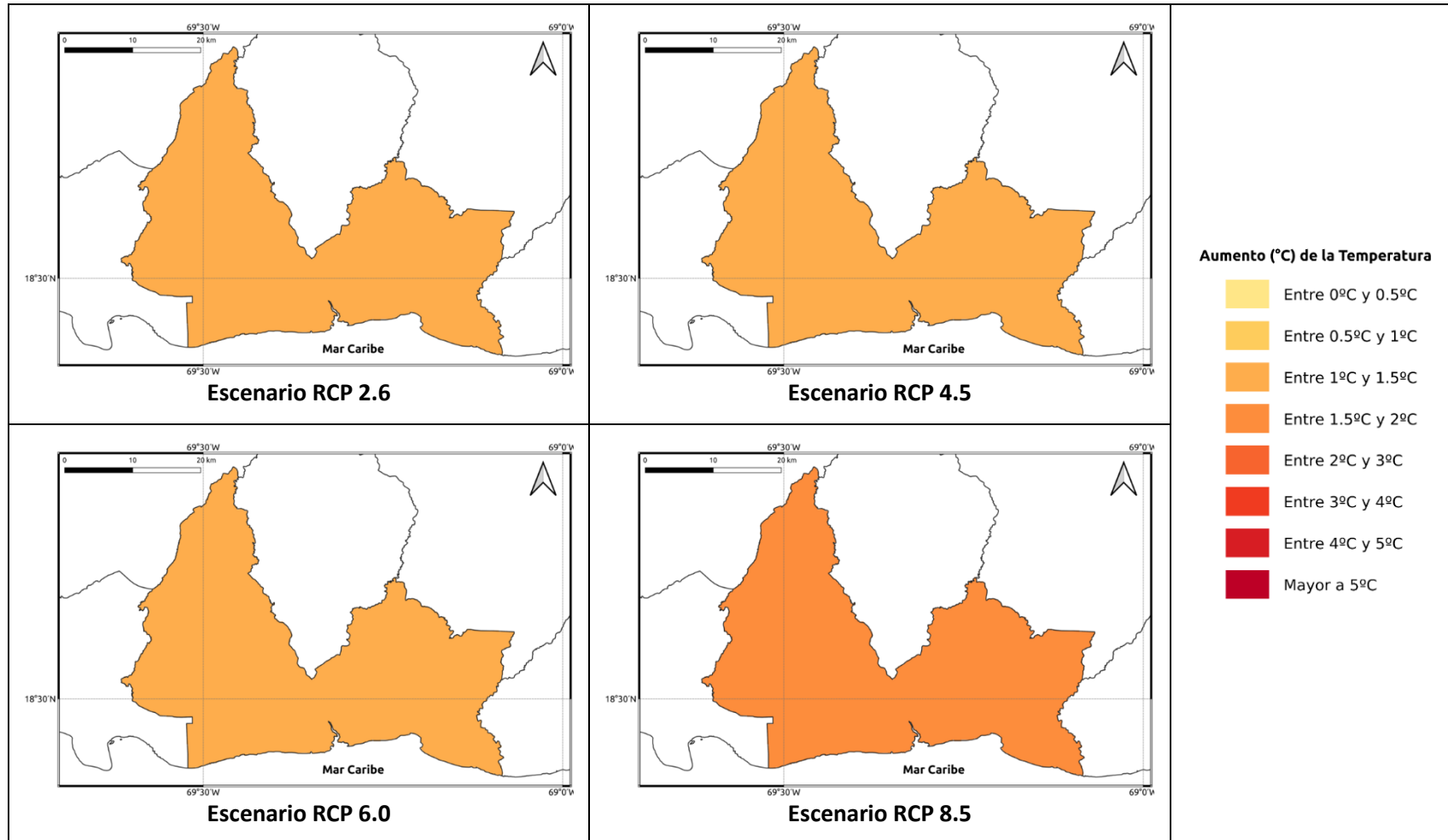
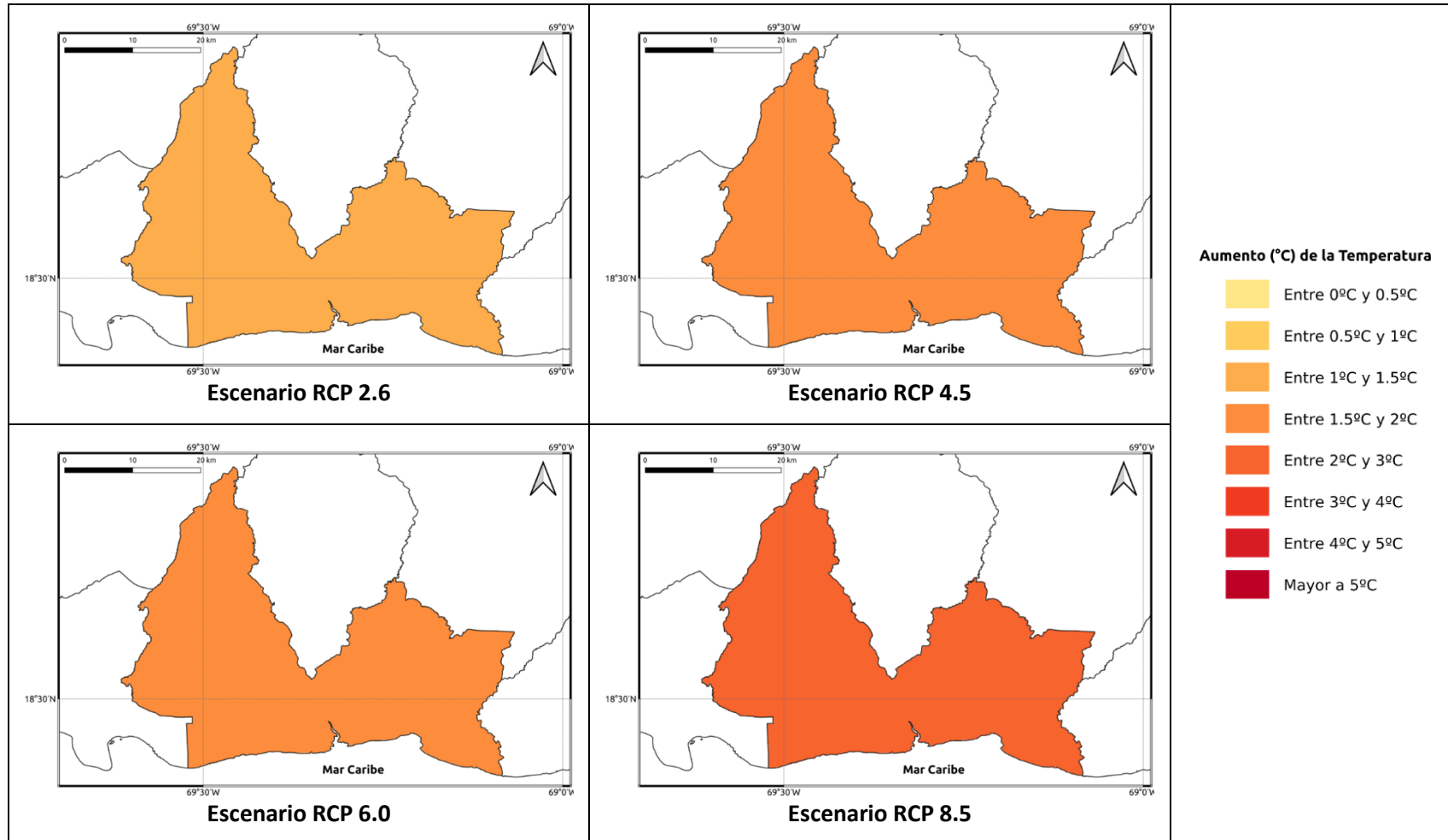


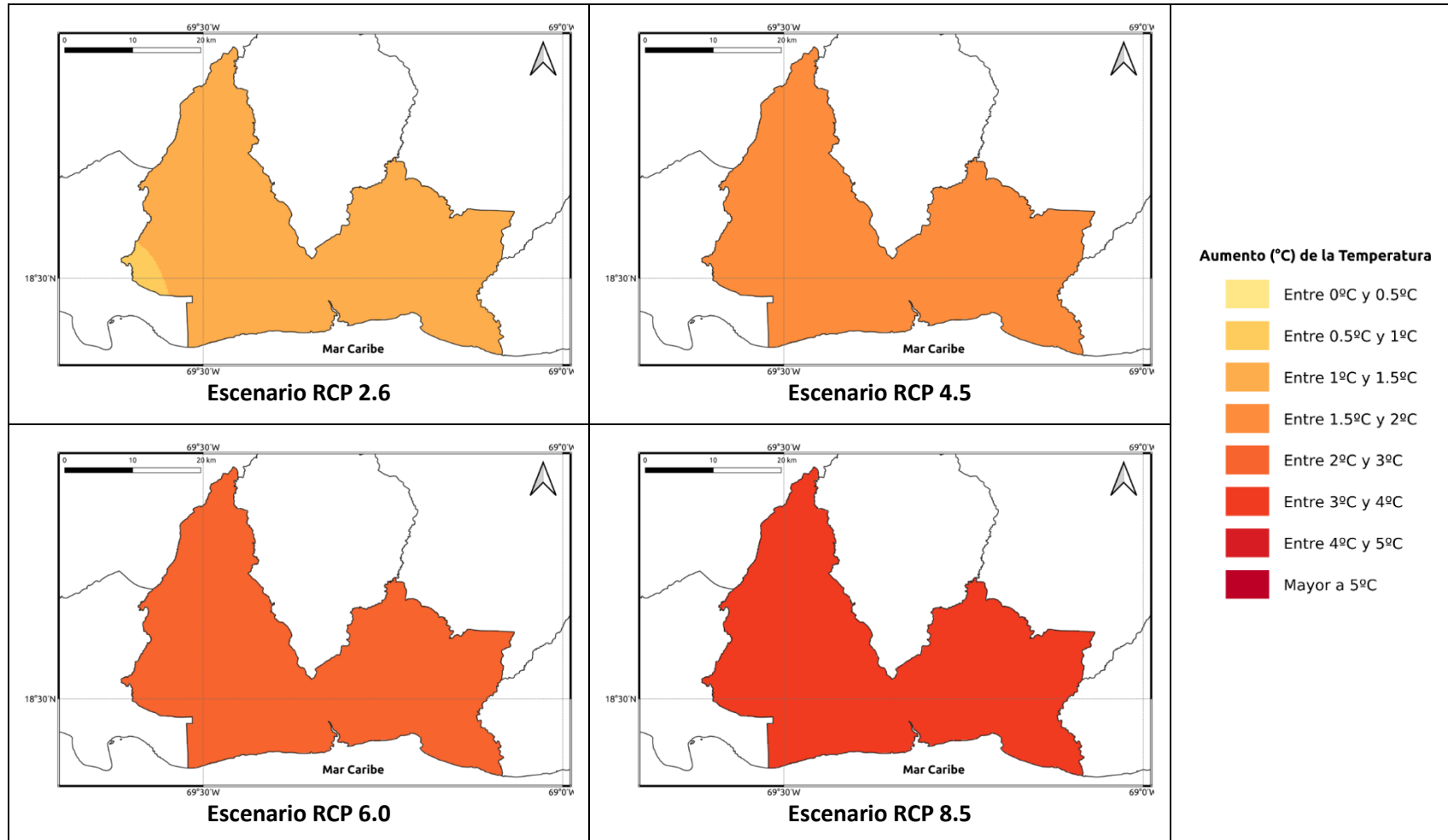
Figura 1.1.27-5. Cambios proyectados en la temperatura máxima (°C) por el ensamble multimodelo bajo los 4 escenarios RCP en el periodo 2021-2040 para la provincia San Pedro de Macorís.



**Figura 1.1.27-6. Cambios proyectados en la temperatura máxima (°C) por el ensamble multimodelo bajo los 4 escenarios RCP en el periodo 2041-2060 para la provincia San Pedro de Macorís.**



**Figura 1.1.27-7. Cambios proyectados en la temperatura máxima (°C) por el ensamble multimodelo bajo los 4 escenarios RCP en el periodo 2061-2080 para la provincia San Pedro de Macorís.**



**Figura 1.1.27-8. Cambios proyectados en la temperatura máxima (°C) por el ensamble multimodelo bajo los 4 escenarios RCP en el periodo 2081-2100 para la provincia San Pedro de Macorís.**

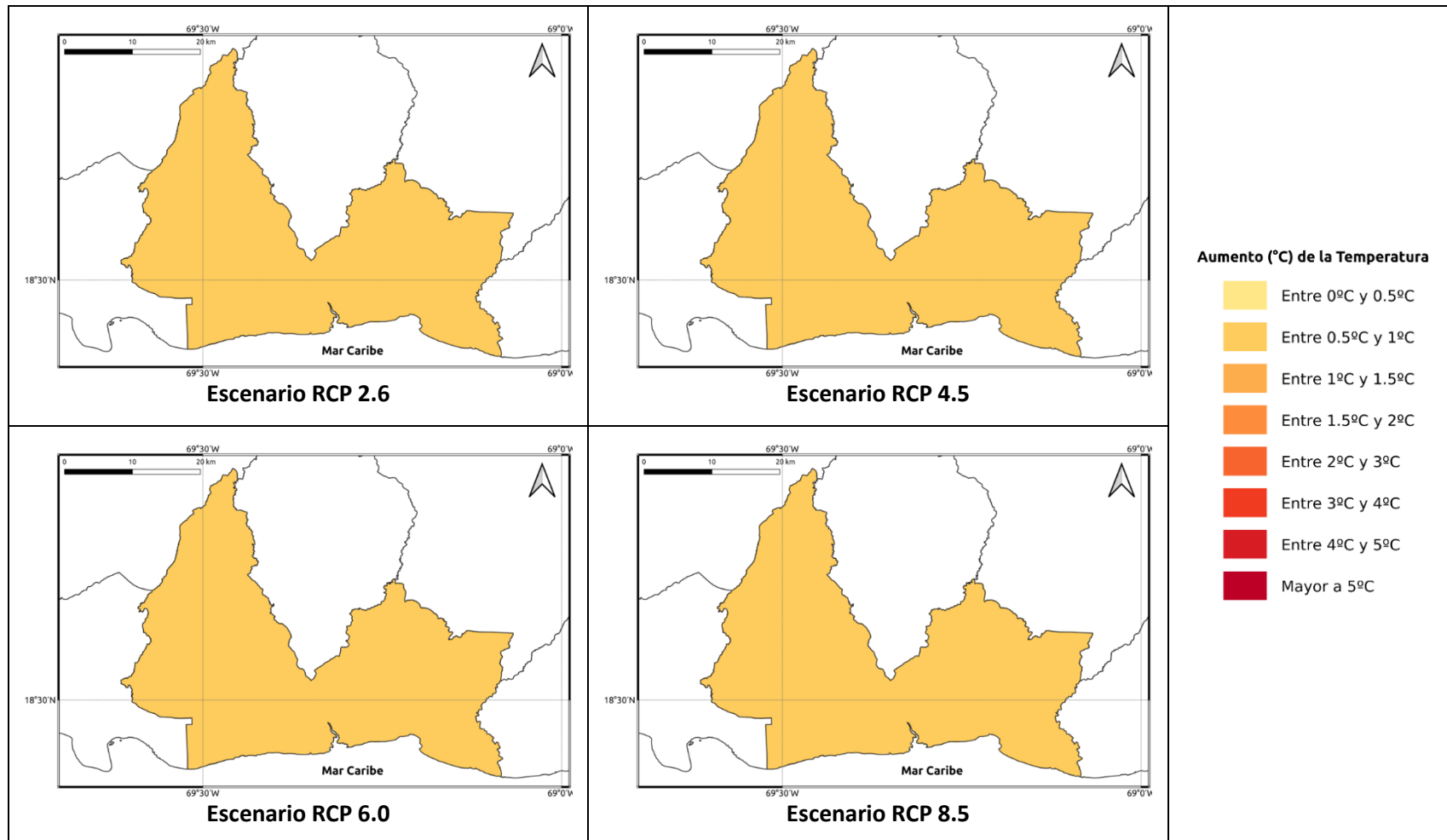
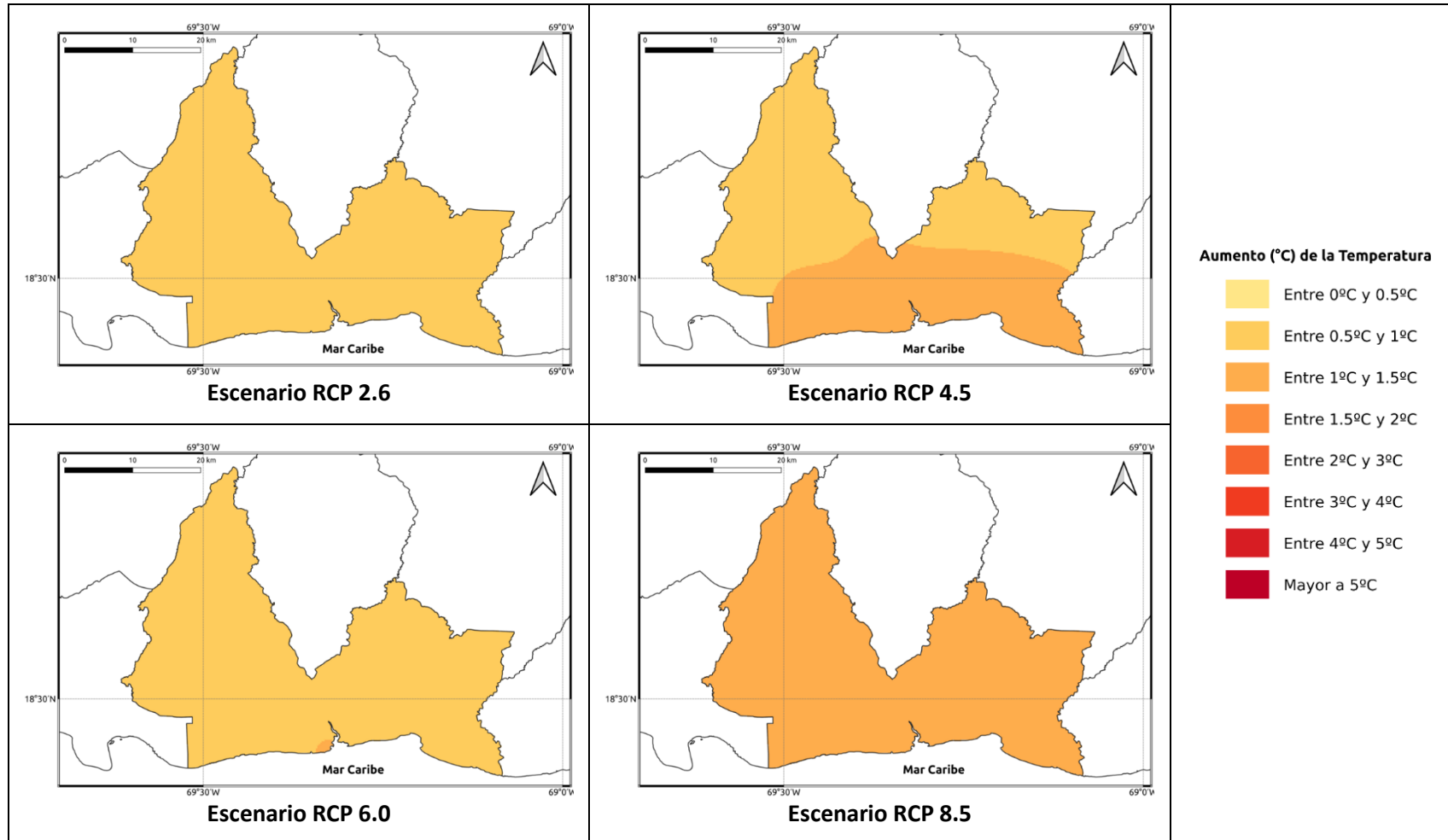
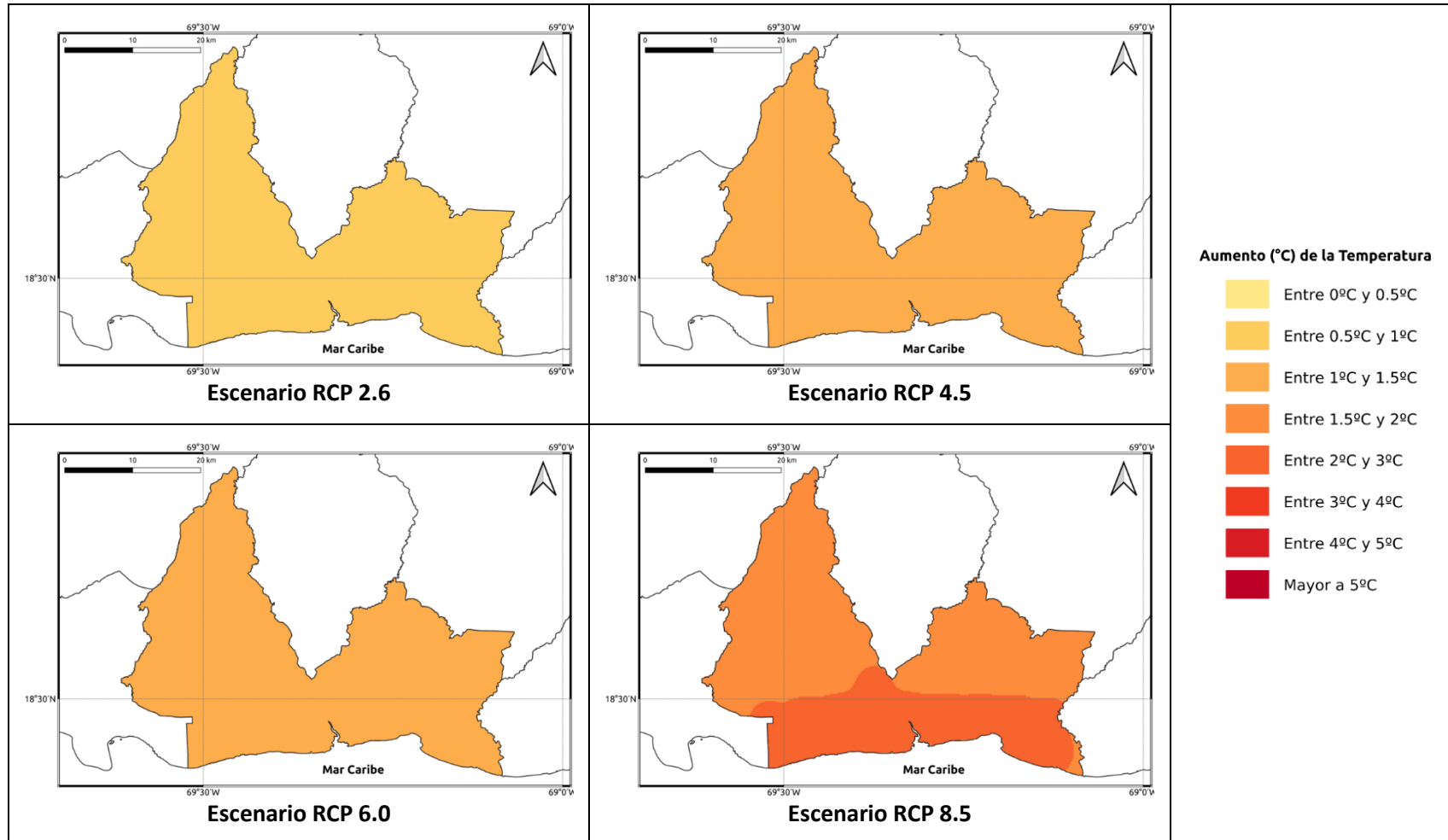


Figura 1.1.27-9. Cambios proyectados en la temperatura mínima (°C) por el ensamble multimodelo bajo los 4 escenarios RCP en el periodo 2021-2040 para la provincia San Pedro de Macorís.



**Figura 1.1.27-10. Cambios proyectados en la temperatura mínima (°C) por el ensamble multimodelo bajo los 4 escenarios RCP en el periodo 2041-2060 para la provincia San Pedro de Macorís.**



**Figura 1.1.27-11. Cambios proyectados en la temperatura mínima (°C) por el ensamble multimodelo bajo los 4 escenarios RCP en el periodo 2061-2080 para la provincia San Pedro de Macorís.**

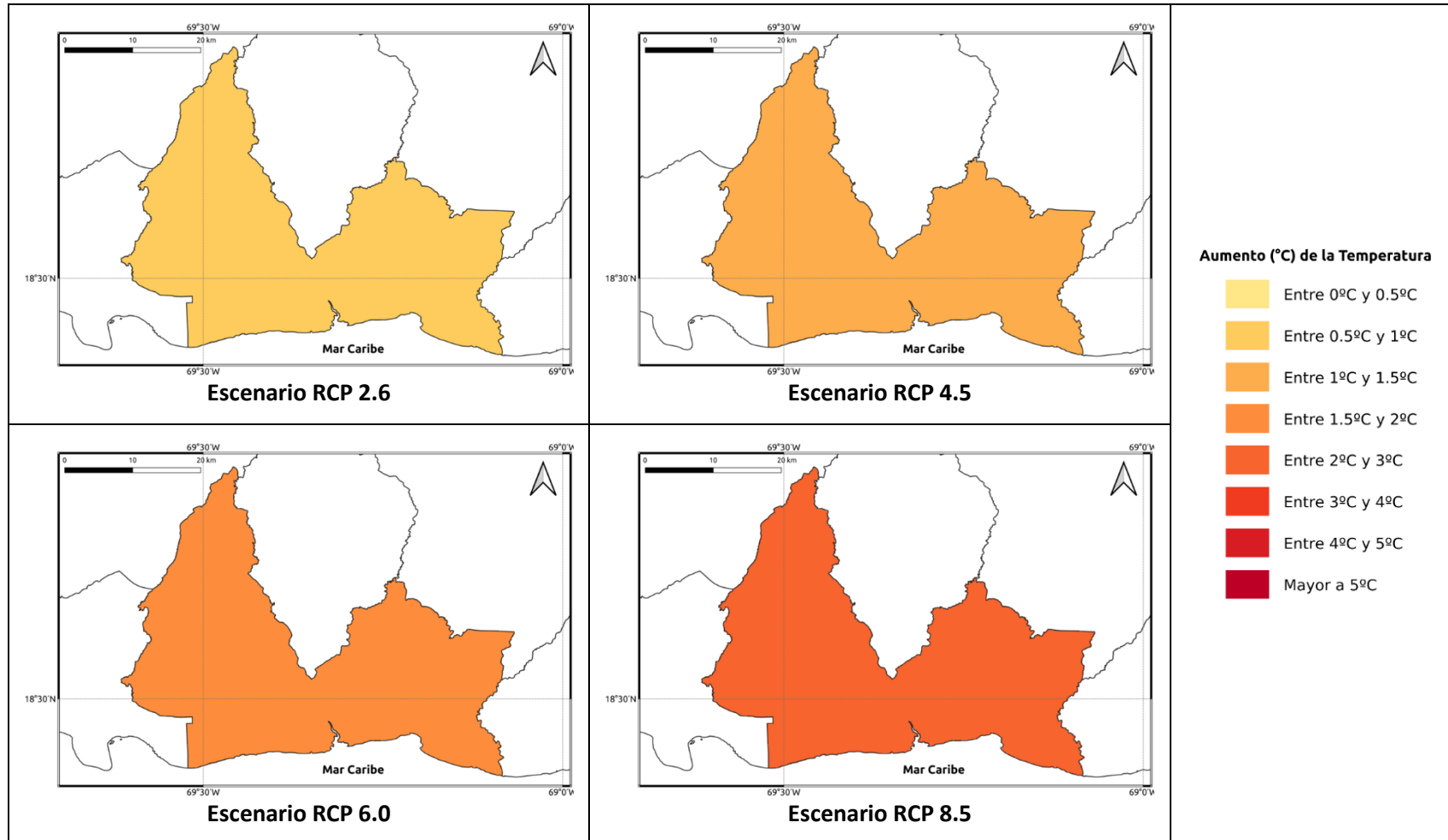


Figura 1.1.27-12. Cambios proyectados en la temperatura mínima (°C) por el ensamble multimodelo bajo los 4 escenarios RCP en el periodo 2081-2100 para la provincia San Pedro de Macorís.

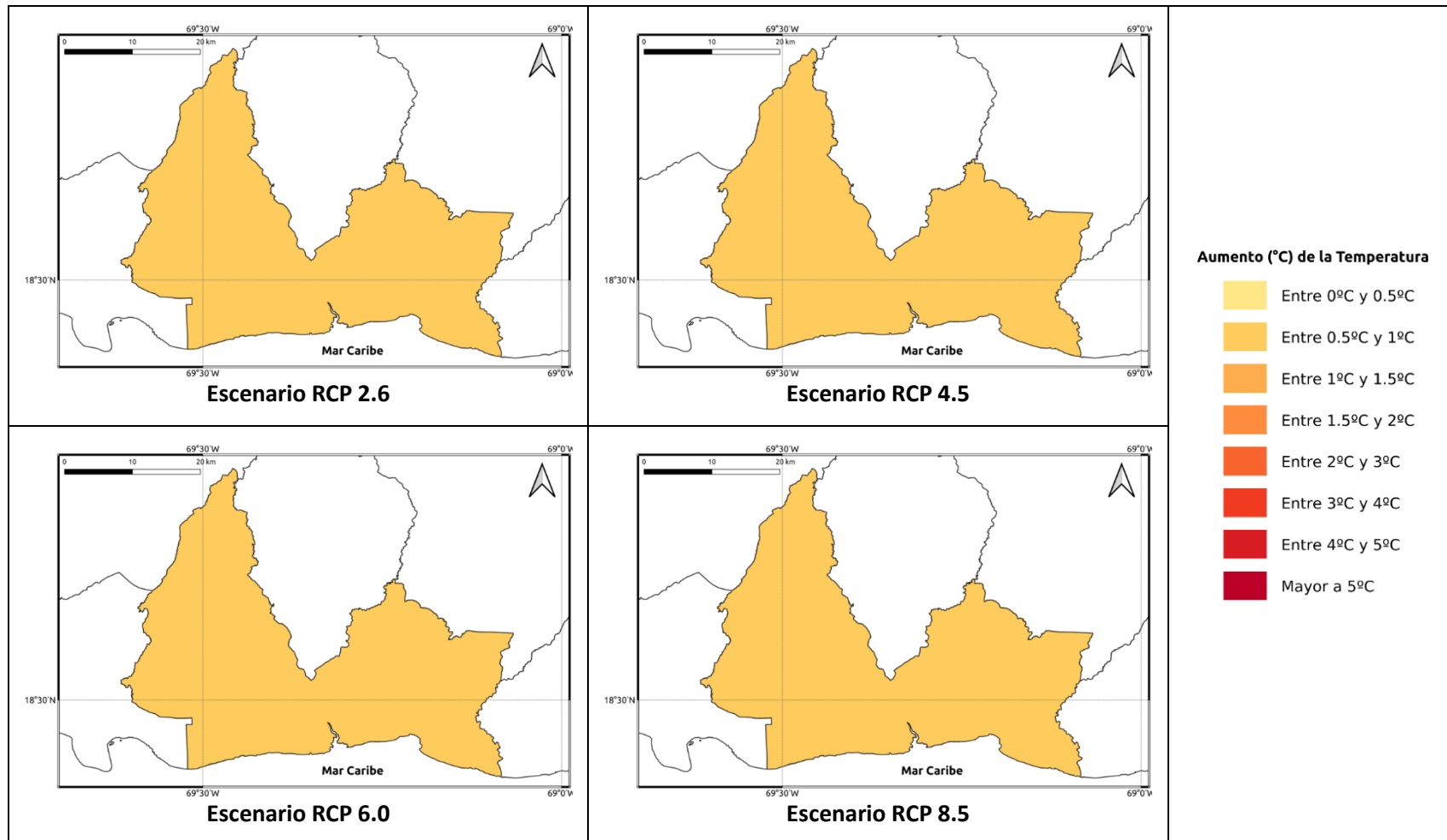
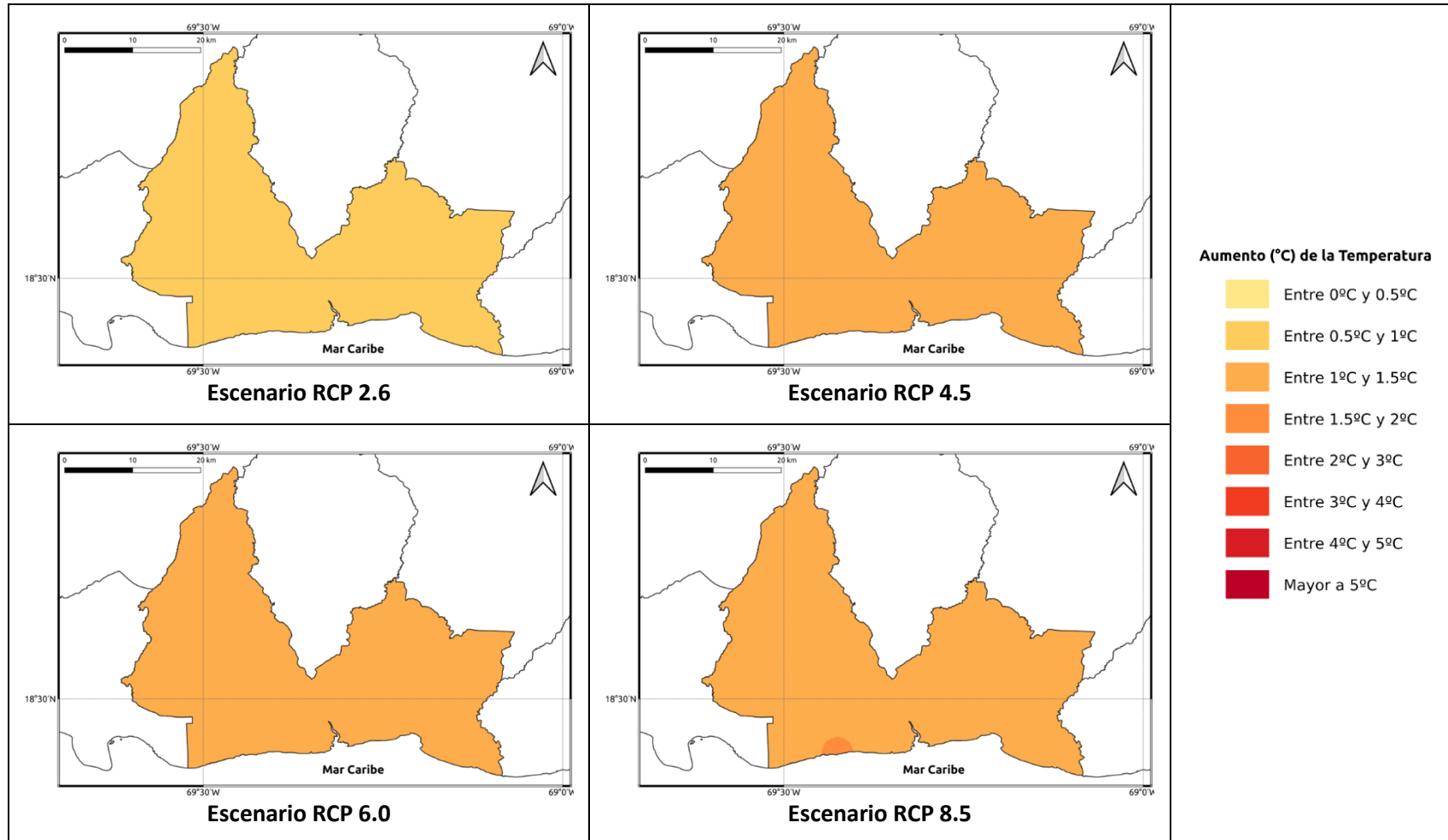
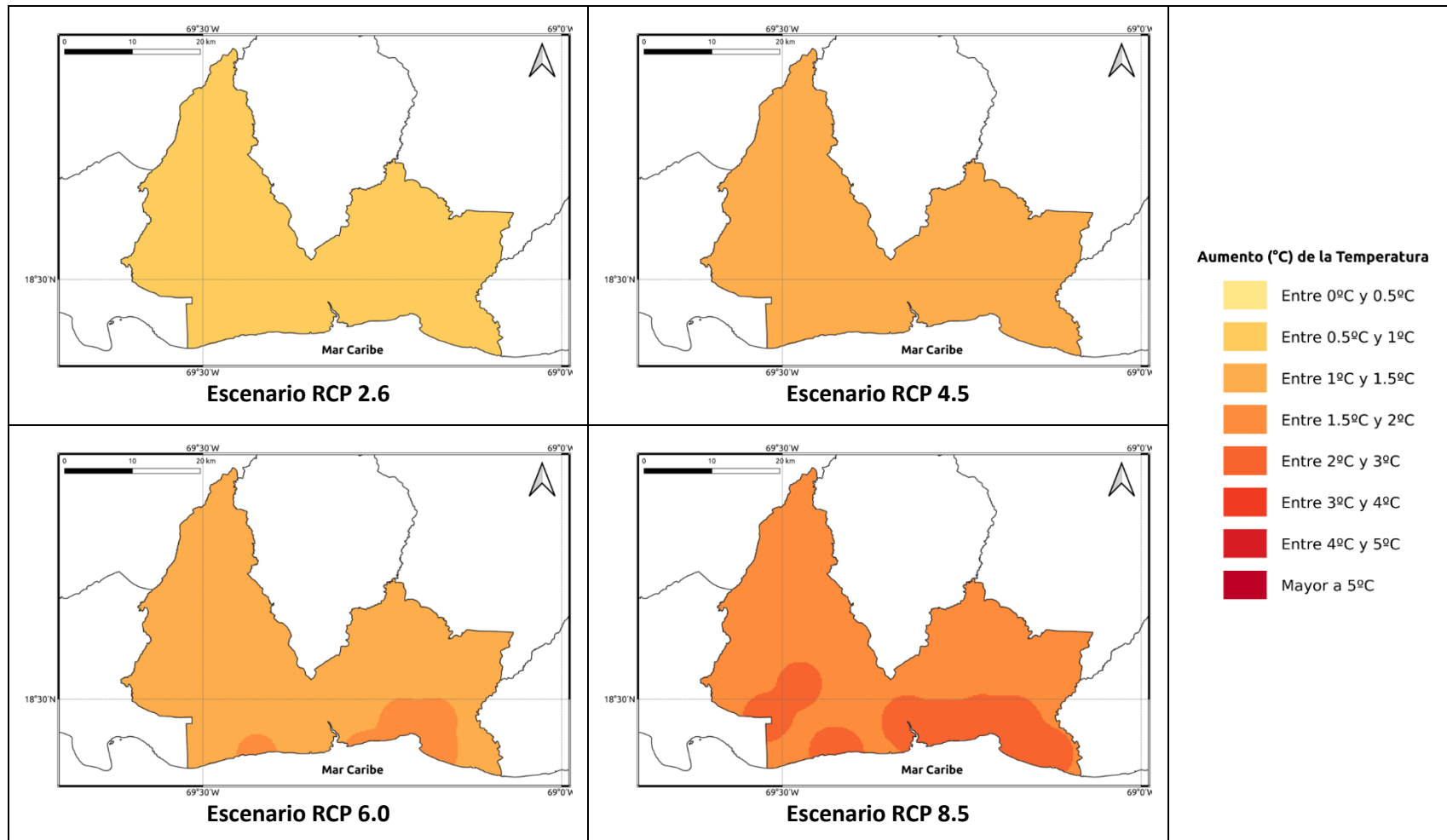


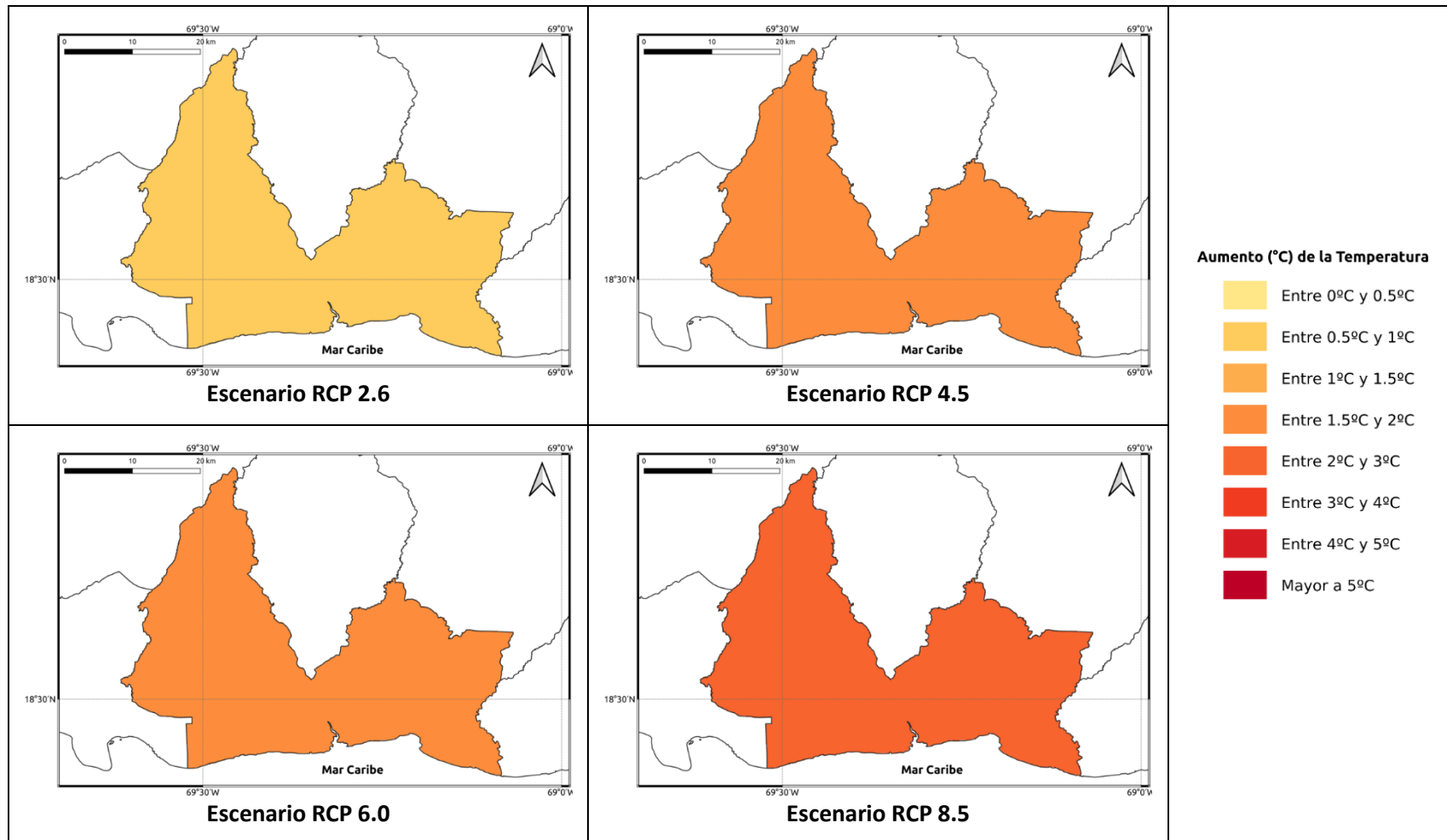
Figura 1.1.27-13. Cambios proyectados en la temperatura media (°C) por el ensamble multimodelo bajo los 4 escenarios RCP en el periodo 2021-2040 para la provincia San Pedro de Macorís.



**Figura 1.1.27-14. Cambios proyectados en la temperatura media (°C) por el ensamble multimodelo bajo los 4 escenarios RCP en el periodo 2041-2060 para la provincia San Pedro de Macorís.**



**Figura 1.1.27-15. Cambios proyectados en la temperatura media (°C) por el ensamble multimodelo bajo los 4 escenarios RCP en el periodo 2061-2080 para la provincia San Pedro de Macorís.**



**Figura 1.1.27-16. Cambios proyectados en la temperatura media (°C) por el ensamble multimodelo bajo los 4 escenarios RCP en el periodo 2081-2100 para la provincia San Pedro de Macorís.**

## **1.1.28 PROVINCIA SÁNCHEZ RAMÍREZ**

En esta sección se presenta el análisis espacial de los cambios de las variables climáticas a nivel anual para la provincia **Sánchez Ramírez**. Los cambios a nivel estacional (trimestral) se pueden consultar en el Anexo 29.

### **Precipitación**

Para esta variable, en el periodo de corto plazo 2021-2040 se presentarían cambios dentro del rango normal de variabilidad (del orden del 5%), con aumentos de esta magnitud bajo los escenarios RCP 2.6 y 6.0 en la mayor parte de la provincia, y reducciones en la zona central de la misma bajo el RCP 2.6. En los escenarios RCP 4.5 y 8.5 se darían reducciones de la misma magnitud, y dándose disminuciones del 8% bajo el último escenario hacia el sur y oriente de la provincia (Figura 1.1.28-1). Para el siguiente periodo (2041-2060), bajo el RCP 2.6 se mantiene el aumento de la precipitación del orden del 5%, y en los demás escenarios la tendencia sería a la reducción de la precipitación entre un 4-9% (Figura 1.1.28-2). Para el periodo 2061-2080 bajo el RCP 2.6 se mantendrían los incrementos del 5%, y reducciones de la misma magnitud hacia el centro de la provincia. Bajo los otros escenarios se presentarían disminuciones, entre 12-14% bajo el RCP 4.5, entre 7-9% bajo el RCP 6.0 y del 21-26% bajo el RCP 8.5 (Figura 1.1.28-3). Por último, para finales de siglo bajo los 4 escenarios también se presentarían reducciones de la precipitación, siendo las de menor magnitud bajo el RCP 2.6 (entre 6-8%) y las más altas bajo el RCP 8.5, con reducciones entre 25 y 28% en la mayor parte de la provincia, y de más del 30% en el suroriental de la misma (Figura 1.1.28-4).

### **Temperatura Máxima**

La temperatura máxima presentaría incrementos bajo los 4 RCP en todos los periodos analizados. En el periodo de corto plazo (2021-2040) la temperatura aumentaría entre 0.7 y 1.3°C, con aumentos de más de 1°C bajo el RCP 8.5 (Figura 1.1.28-5). Para 2041-2060, los aumentos serían de 1.1 a 1.4°C bajo los primeros 3 RCP (2.6, 4.5 y 6.0), y de 1.5 a 1.8°C bajo el RCP 8.5 (Figura 1.1.28-6). En el periodo 2061-2080 los aumentos serían de 1.1 a 2.4°C, manteniéndose el incremento de 1.1 a 1.4°C bajo el RCP 2.6, siendo de 1.7 a 1.9°C bajo los RCP 4.5 y 6.0 y de 2.6°C bajo el RCP 8.5 (Figura 1.1.28-7). Para finales de siglo, los aumentos serían de 0.7 a 1.1°C bajo el RCP 2.6, de 1.6 a 1.9°C bajo el RCP 4.5, de 2.1 a 2.4°C bajo el RCP 6.0 y de 3.2 a 3.8°C bajo el RCP 8.5 (Figura 1.1.28-8).

### **Temperatura Mínima**

En el primer periodo (2021-2040), ésta se incrementaría de 0.3 a 0.8°C en los 4 escenarios RCP (Figura 1.1.28-9). Para 2041-2060 aumentaría de 0.7 a 0.9°C en los 3



primeros escenarios, y bajo el RCP 8.5 habría aumentos de 1.3°C (Figura 1.1.28-10). En el periodo 2061-2080 la temperatura mínima se incrementaría entre 0.6 y 0.8°C bajo el RCP 2.6, entre 1.1 y 1.4°C bajo los RCP 4.5 y 6.0 y entre 1.7 y 1.9°C bajo el RCP 8.5 (Figura 1.1.28-11). Por último, para finales de siglo se mantendría un aumento de 0.8°C en el RCP 2.6, entre 1.1 y 1.4°C bajo el RCP 4.5, entre 1.4 y 1.8°C bajo el RCP 6.0 y de 2.2 a 2.6°C bajo el RCP 8.5 (Figura 1.1.28-12).

### ***Temperatura Media***

La temperatura media se incrementaría entre 0.6 y 0.8°C en el periodo 2021-2040 bajo los 4 escenarios RCP (Figura 1.1.28-13). En el periodo 2041-2060 se mantendría este mismo rango bajo el RCP 2.6, y en los otros 3 escenarios aumentaría de 1.1 a 1.5°C (Figura 1.1.28-14). Para 2061-2080 la temperatura media aumentaría de 0.7 a 0.8°C bajo el RCP 2.6, de 1.2 a 1.4°C bajo los RCP 4.5 y 6.0 y de 1.7 a 2.4°C bajo el RCP 8.5, con los incrementos más altos en zonas del oriente de la provincia (Figura 1.1.28-15). Finalmente, para el periodo 2081-2100 la temperatura subiría entre 0.6 y 0.8°C bajo el RCP 2.6, entre 1.4 y 1.7°C bajo el RCP 4.5, de 1.6 a 1.9°C bajo el RCP 6.0 y de 2.4 a 2.8°C bajo el RCP 8.5 (Figura 1.1.28-16).

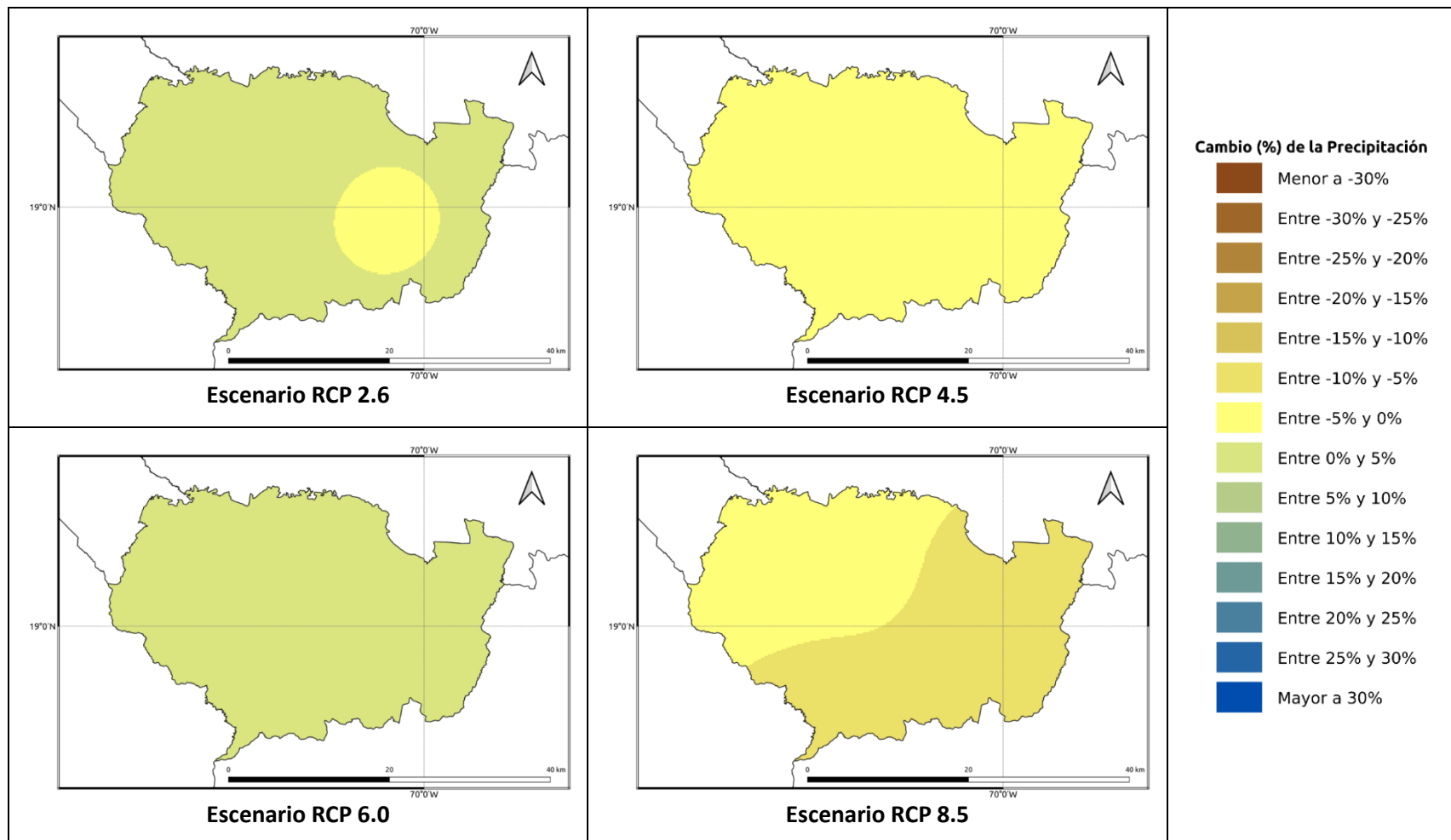


Figura 1.1.28-1. Cambios porcentuales de la precipitación (%) proyectados por el ensamble multimodelo bajo los 4 escenarios RCP en el periodo 2021-2040 para la provincia Sánchez Ramírez.

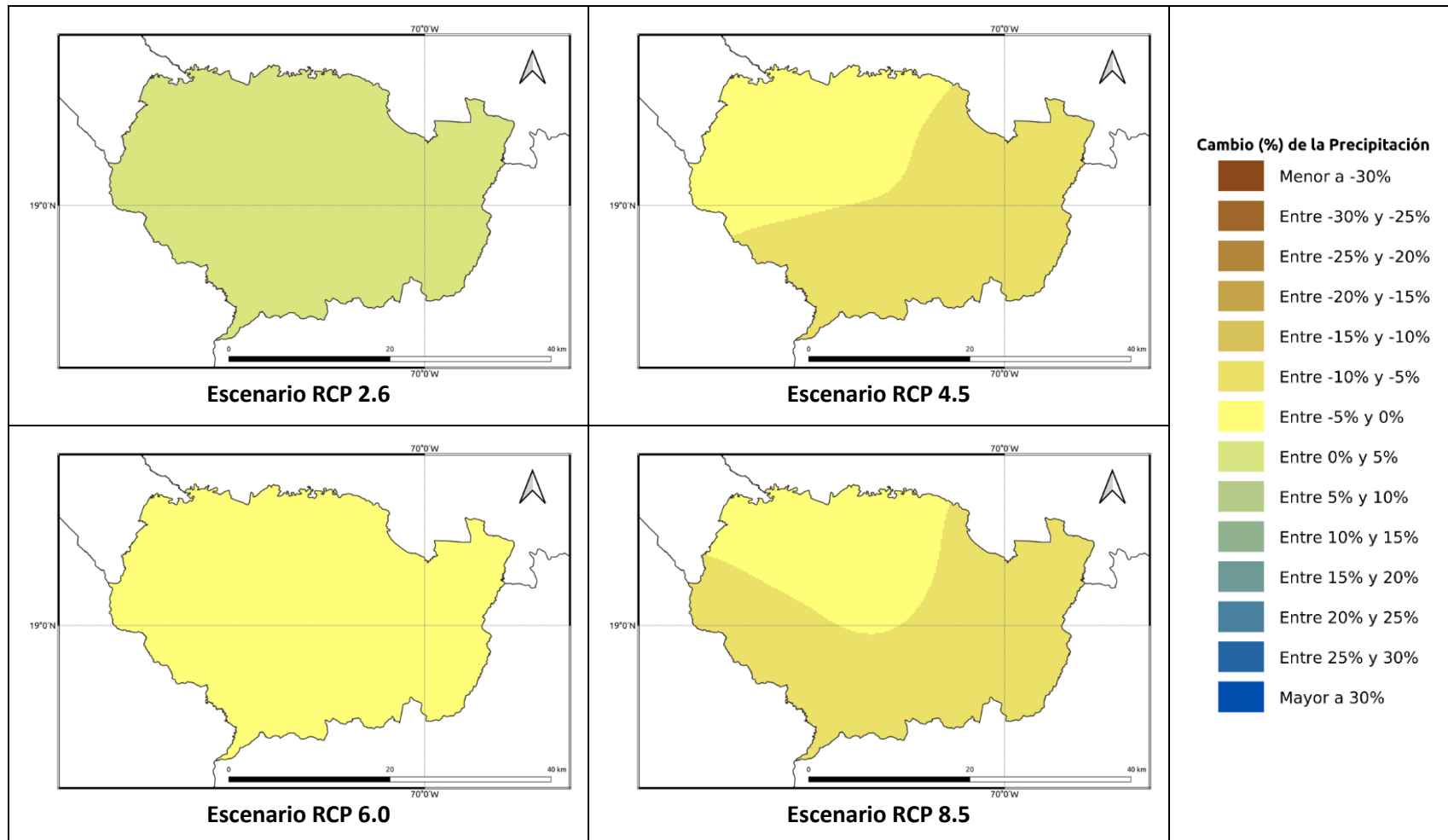


Figura 1.1.28-2. Cambios porcentuales de la precipitación (%) proyectados por el ensamble multimodelo bajo los 4 escenarios RCP en el periodo 2041-2060 para la provincia Sánchez Ramírez.

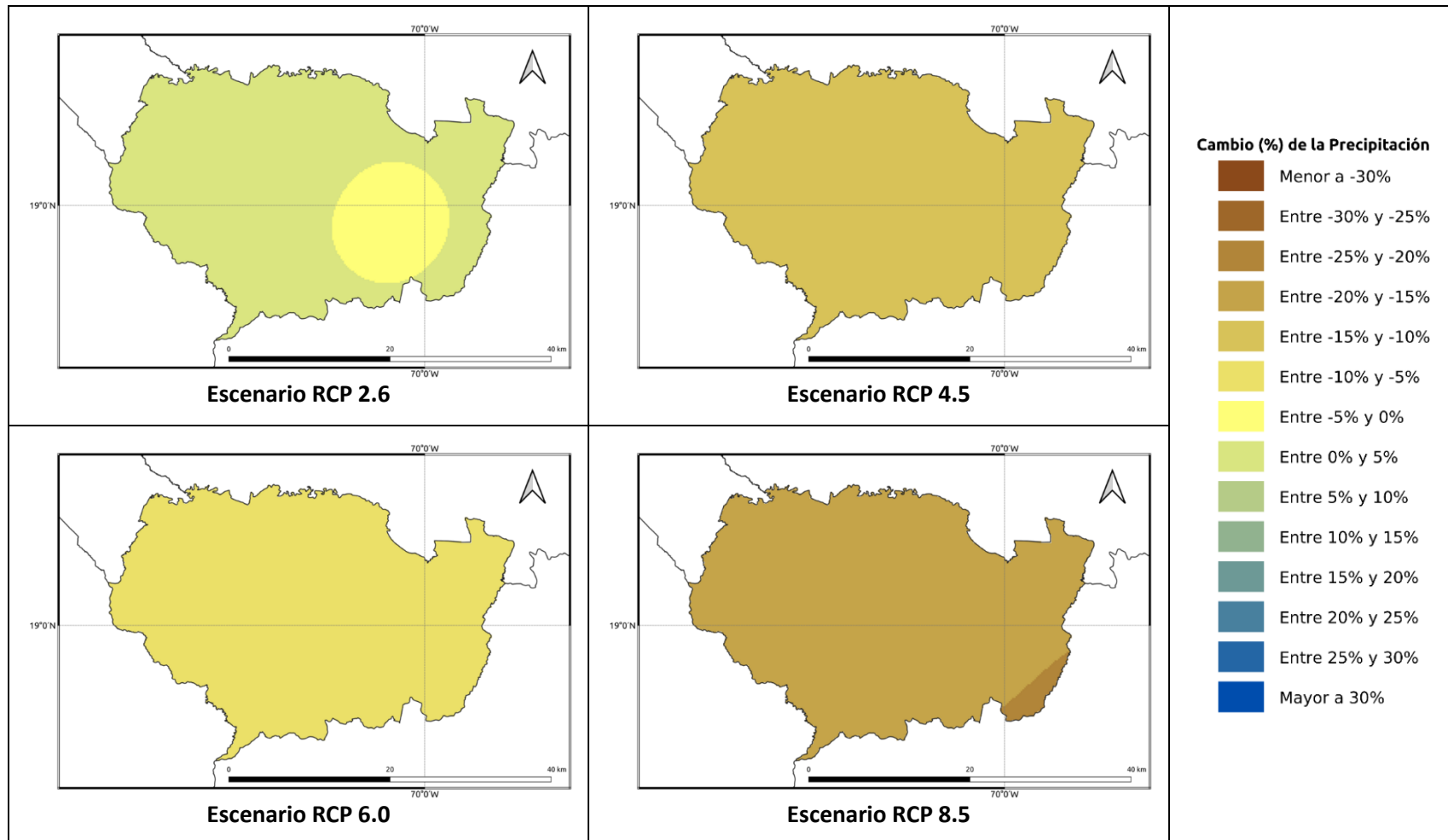


Figura 1.1.28-3. Cambios porcentuales de la precipitación (%) proyectados por el ensamble multimodelo bajo los 4 escenarios RCP en el periodo 2061-2080 para la provincia Sánchez Ramírez.

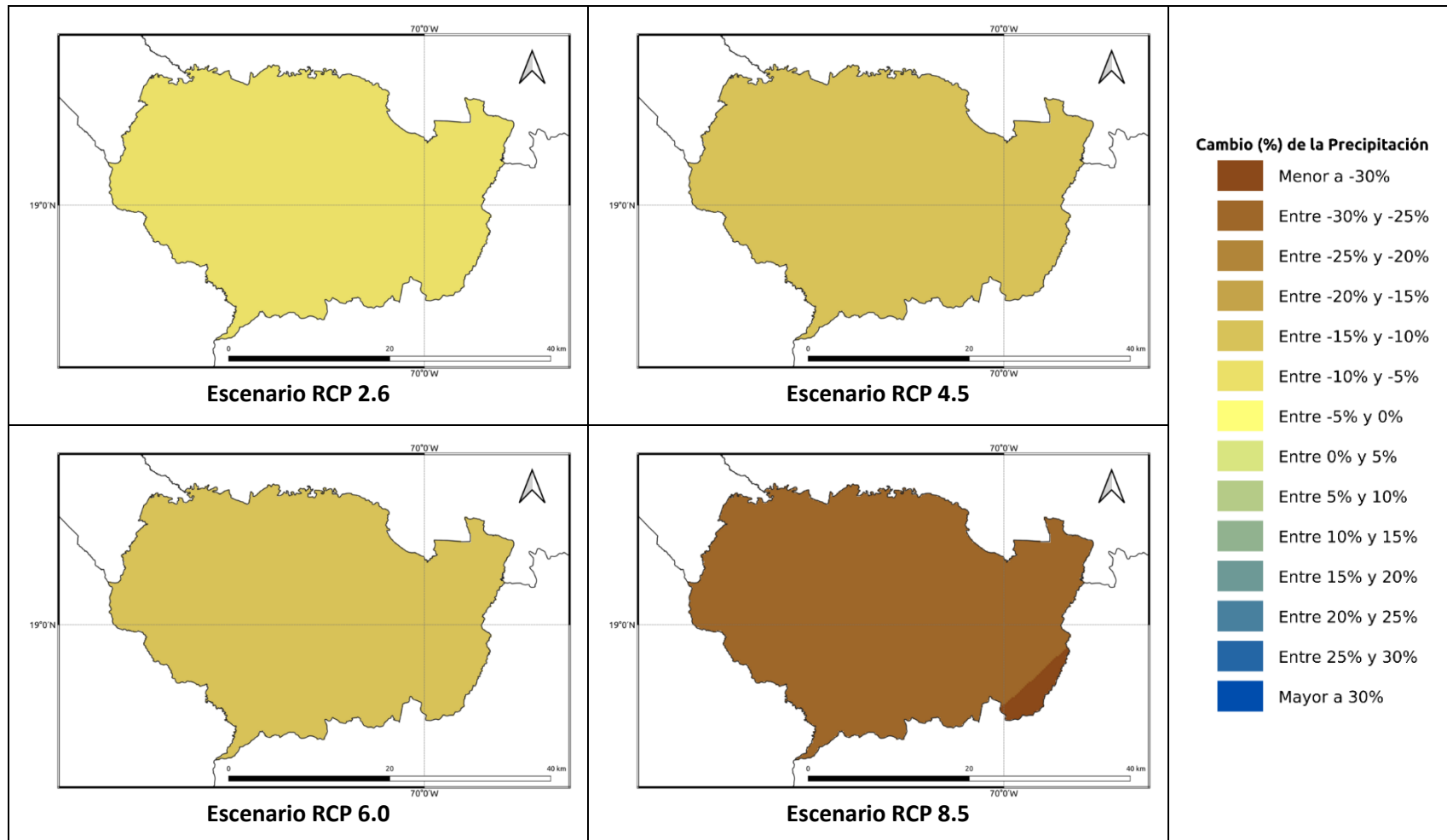


Figura 1.1.28-4. Cambios porcentuales de la precipitación (%) proyectados por el ensamble multimodelo bajo los 4 escenarios RCP en el periodo 2081-2100 para la provincia Sánchez Ramírez.

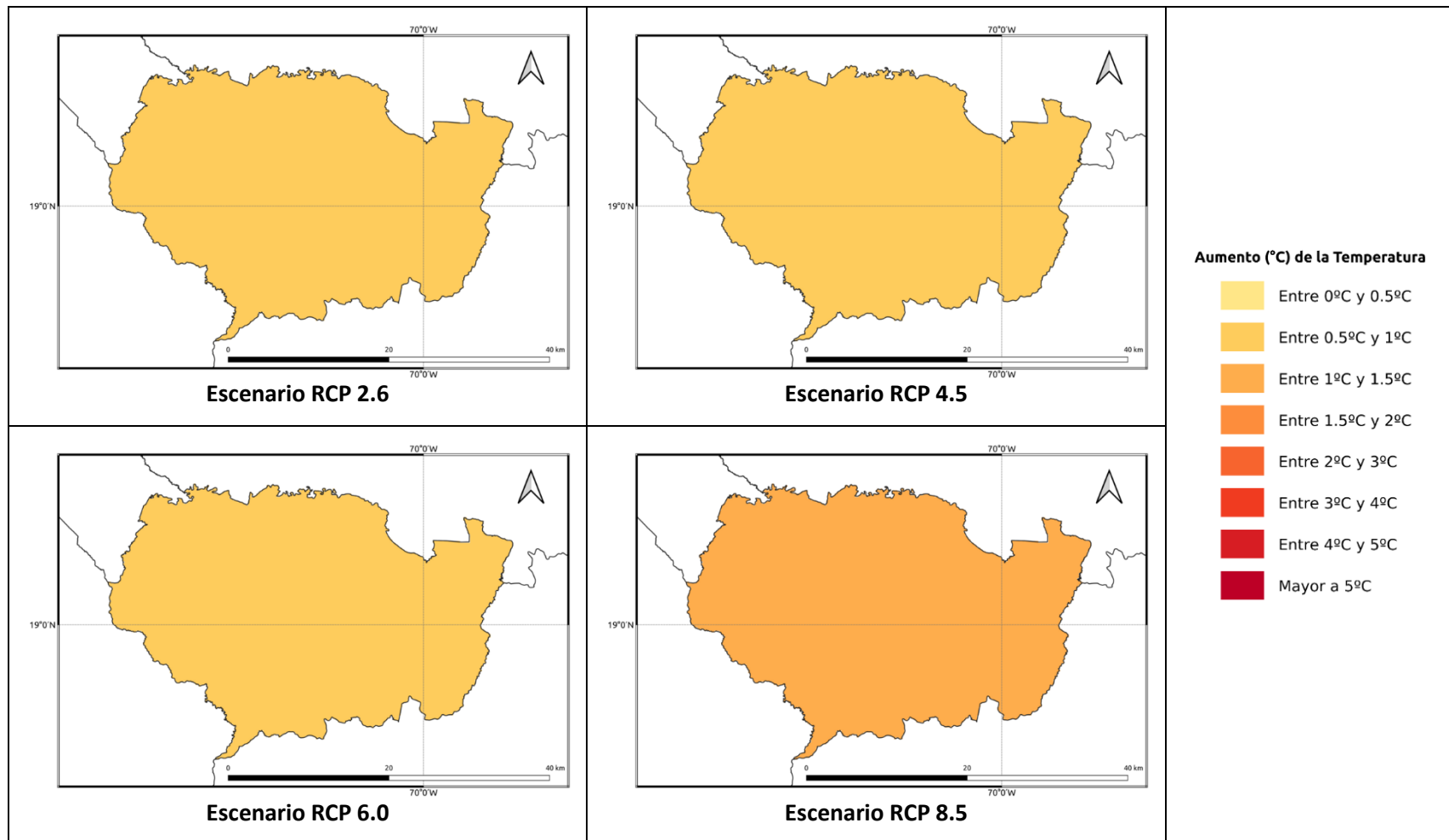


Figura 1.1.28-5. Cambios proyectados en la temperatura máxima ( $^{\circ}\text{C}$ ) por el ensamble multimodelo bajo los 4 escenarios RCP en el periodo 2021-2040 para la provincia Sánchez Ramírez.

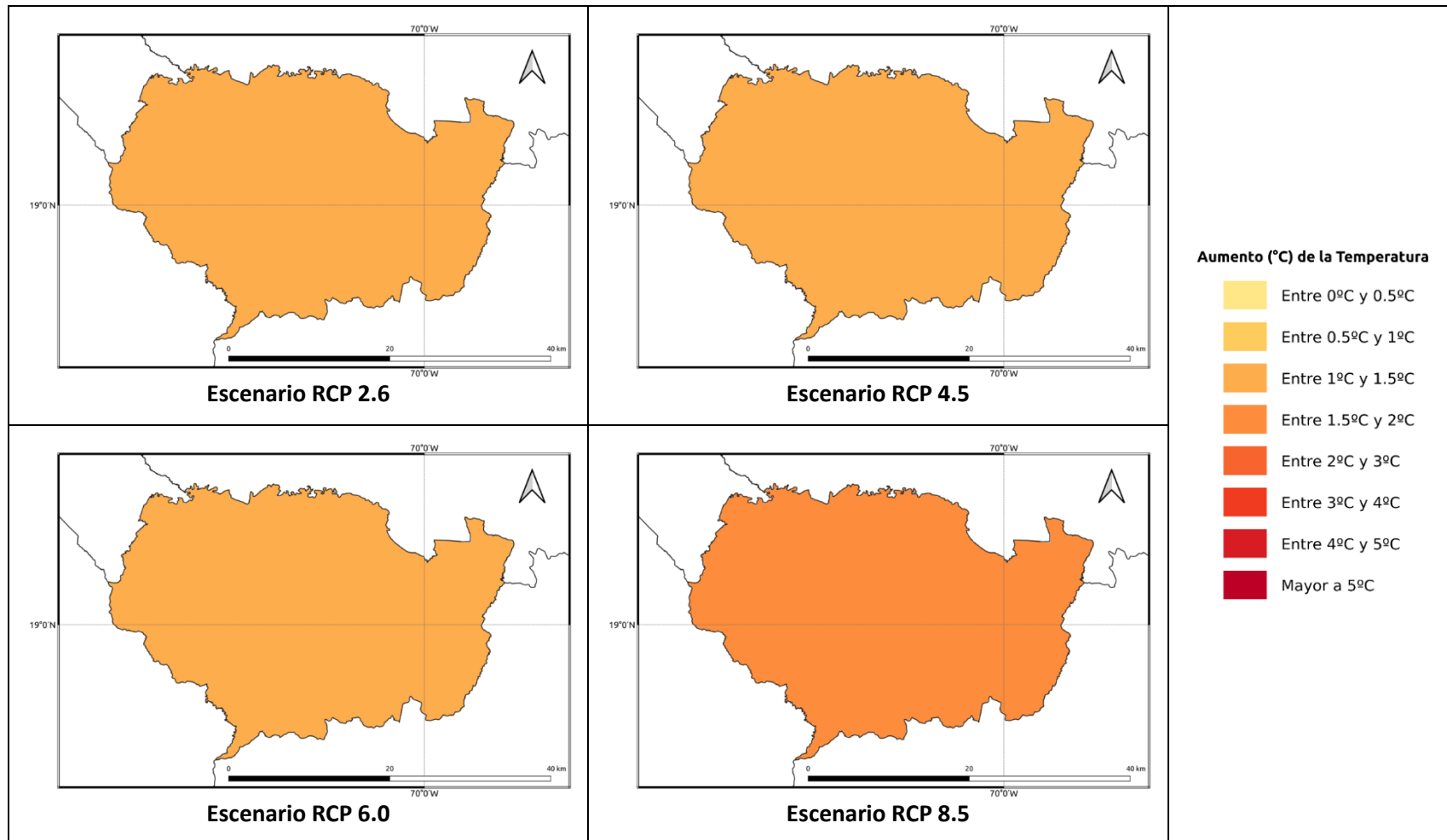


Figura 1.1.28-6. Cambios proyectados en la temperatura máxima (°C) por el ensamble multimodelo bajo los 4 escenarios RCP en el periodo 2041-2060 para la provincia Sánchez Ramírez.

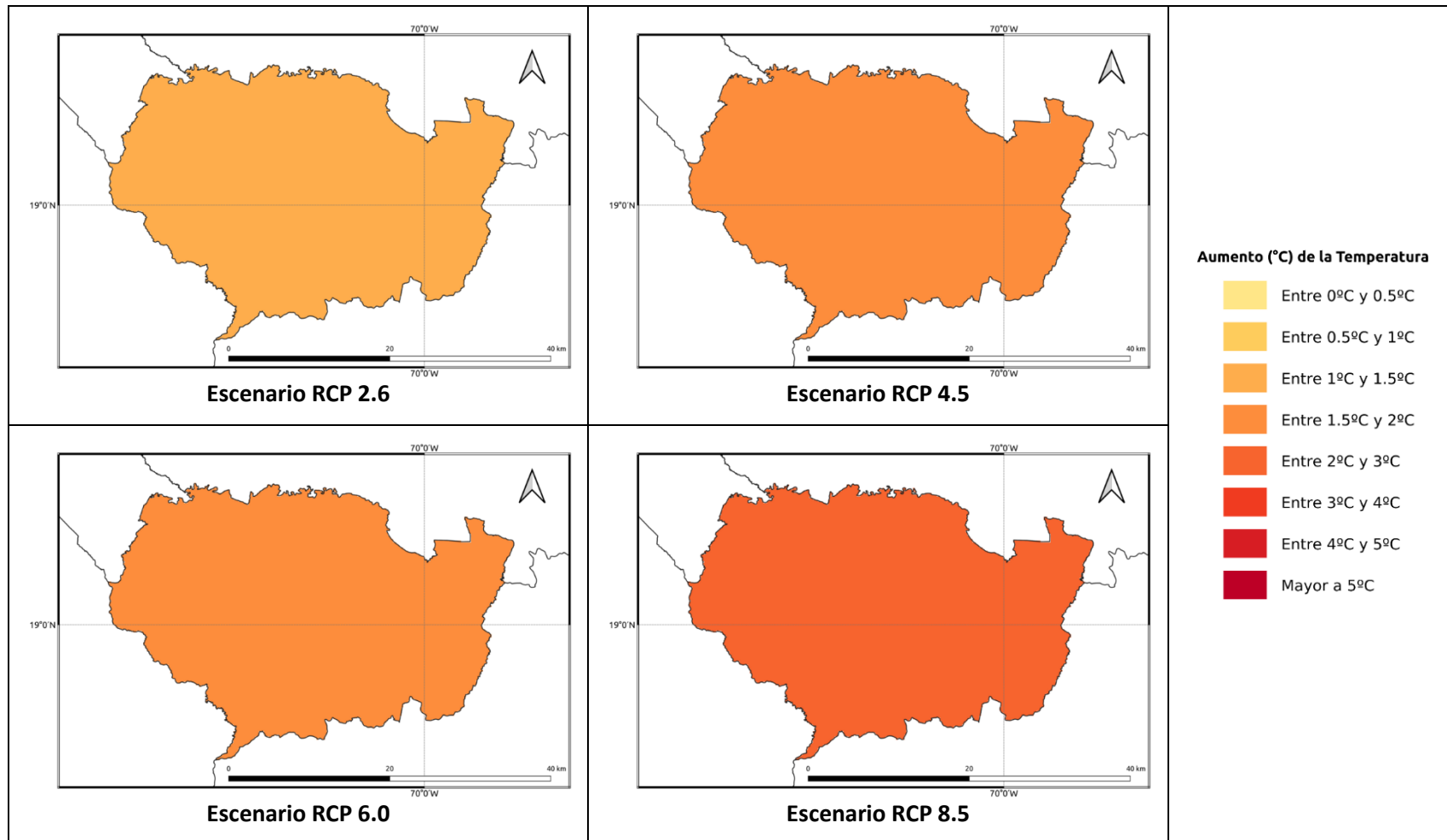
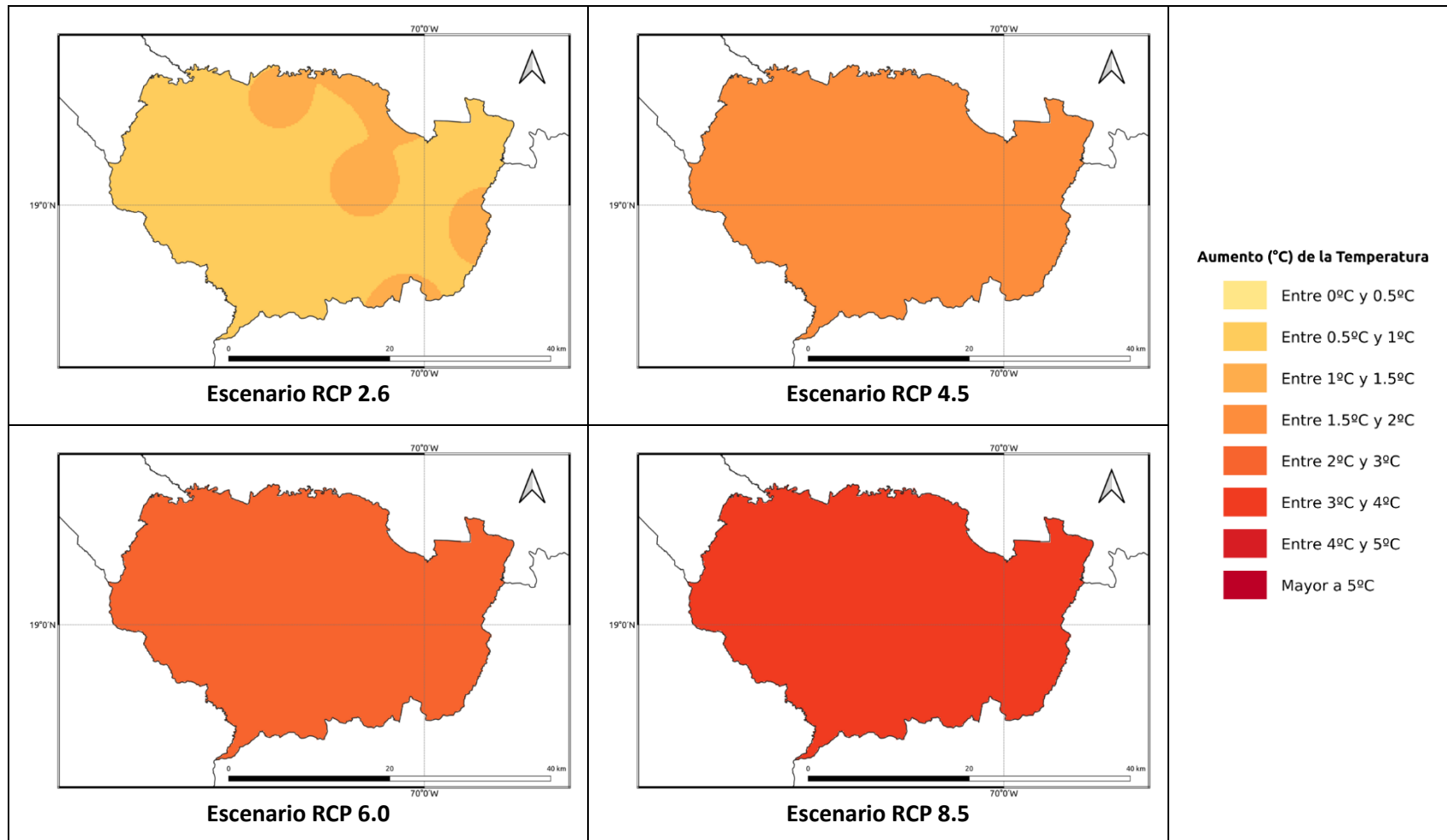


Figura 1.1.28-7. Cambios proyectados en la temperatura máxima (°C) por el ensamble multimodelo bajo los 4 escenarios RCP en el periodo 2061-2080 para la provincia Sánchez Ramírez.



**Figura 1.1.28-8. Cambios proyectados en la temperatura máxima (°C) por el ensamble multimodelo bajo los 4 escenarios RCP en el periodo 2081-2100 para la provincia Sánchez Ramírez.**

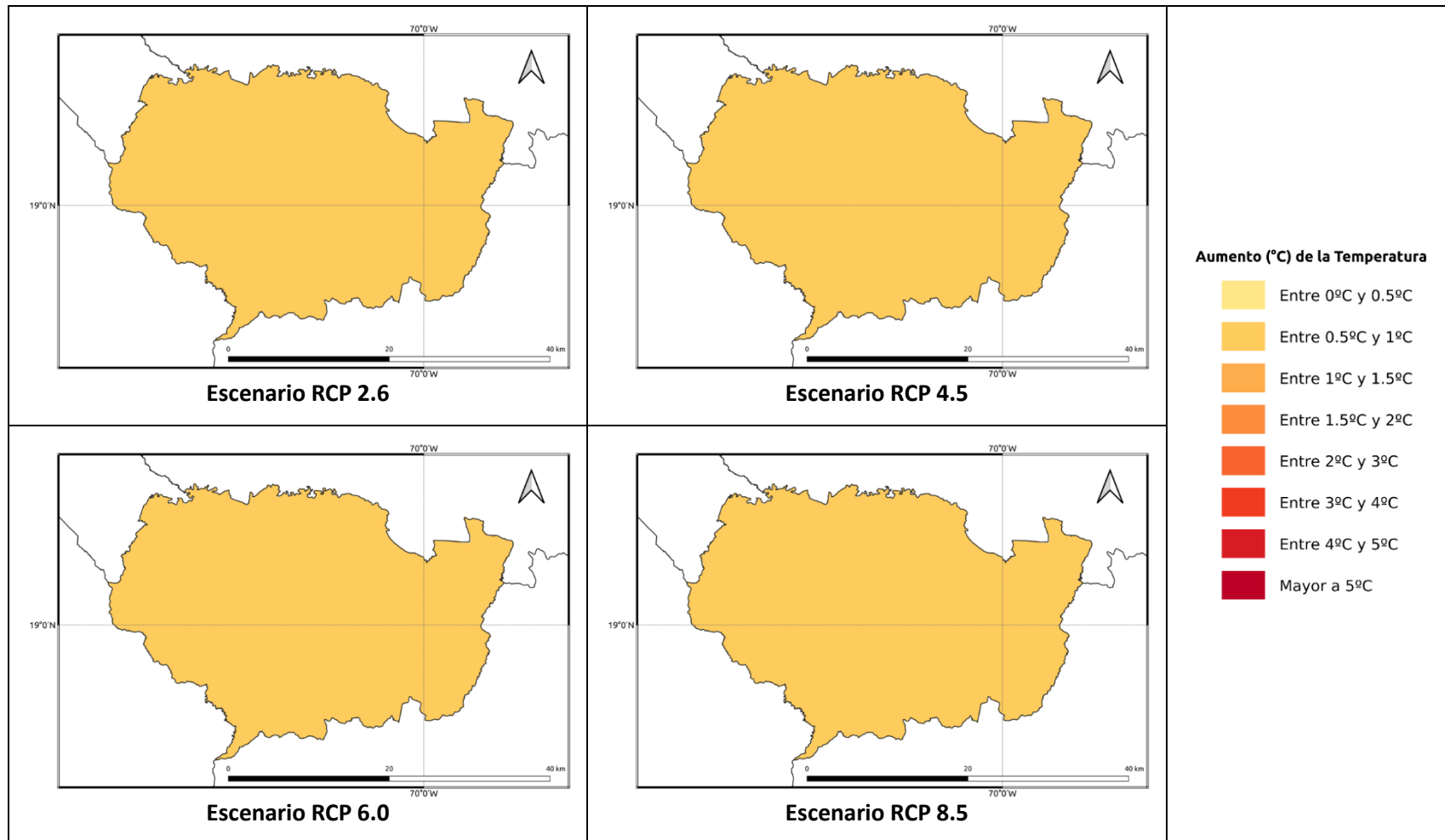


Figura 1.1.28-9. Cambios proyectados en la temperatura mínima (°C) por el ensamble multimodelo bajo los 4 escenarios RCP en el periodo 2021-2040 para la provincia Sánchez Ramírez.

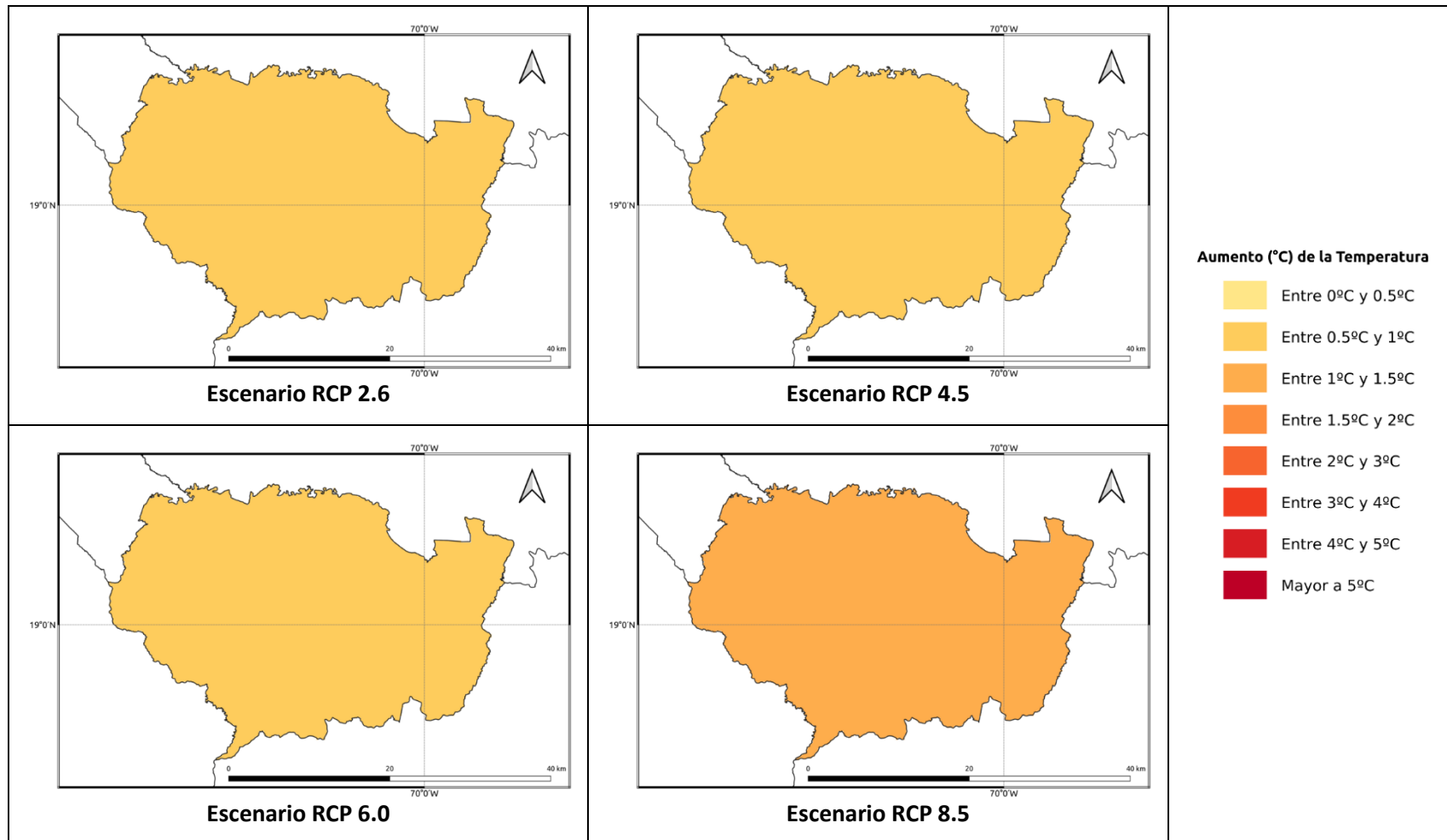


Figura 1.1.28-10. Cambios proyectados en la temperatura mínima (°C) por el ensamble multimodelo bajo los 4 escenarios RCP en el periodo 2041-2060 para la provincia Sánchez Ramírez.

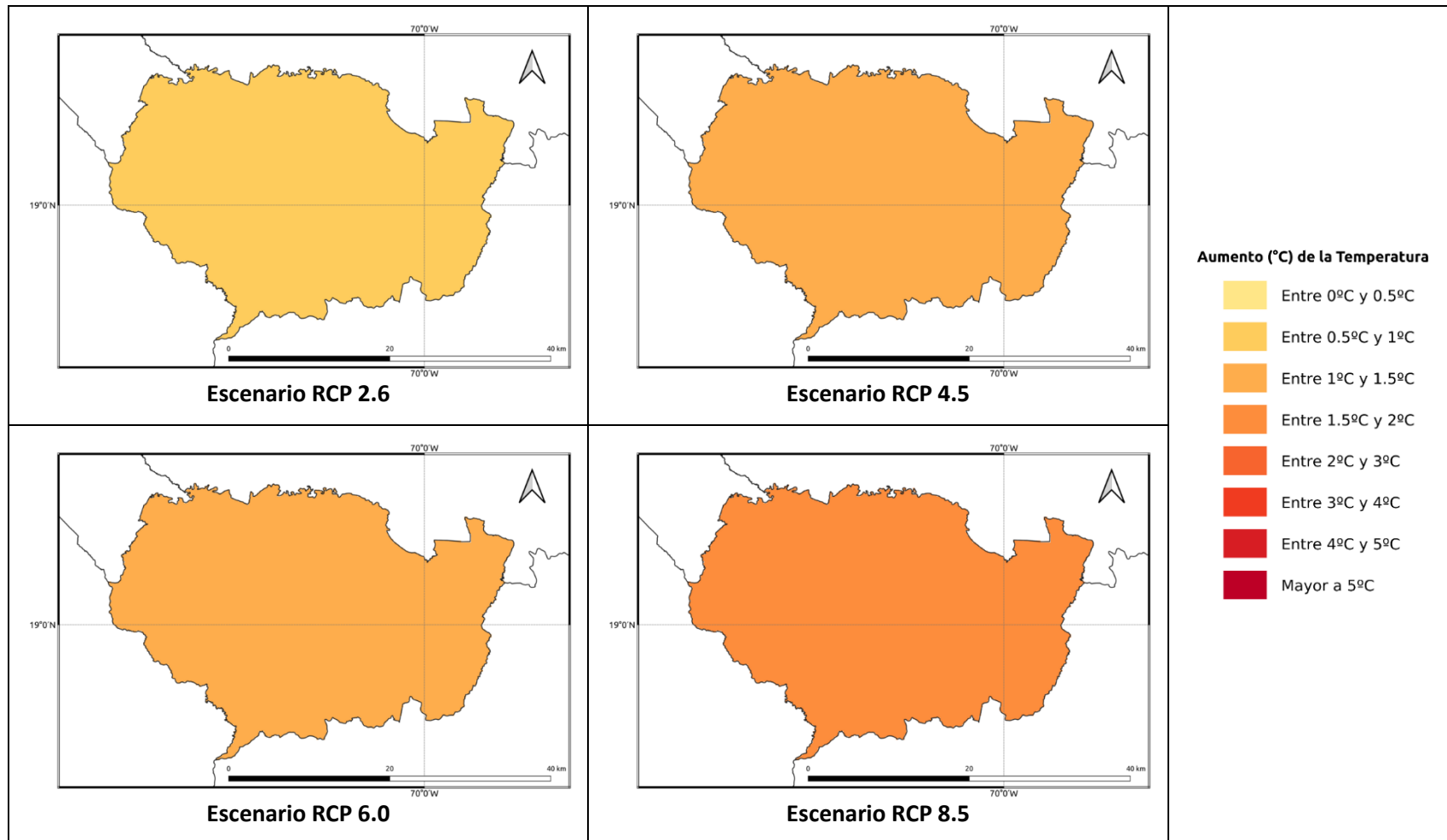


Figura 1.1.28-11. Cambios proyectados en la temperatura mínima (°C) por el ensamble multimodelo bajo los 4 escenarios RCP en el periodo 2061-2080 para la provincia Sánchez Ramírez.

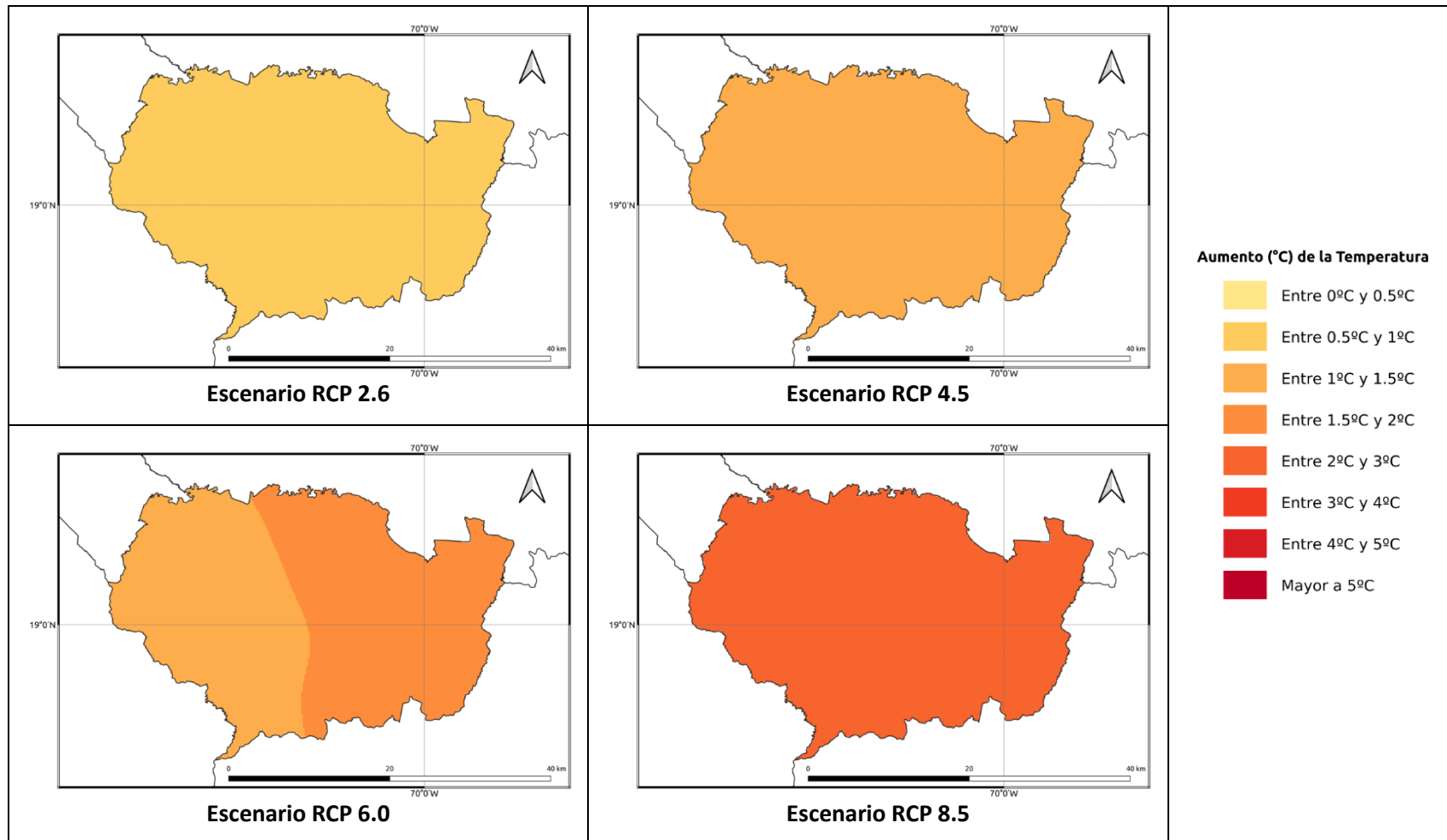


Figura 1.1.28-12. Cambios proyectados en la temperatura mínima (°C) por el ensamble multimodelo bajo los 4 escenarios RCP en el periodo 2081-2100 para la provincia Sánchez Ramírez.

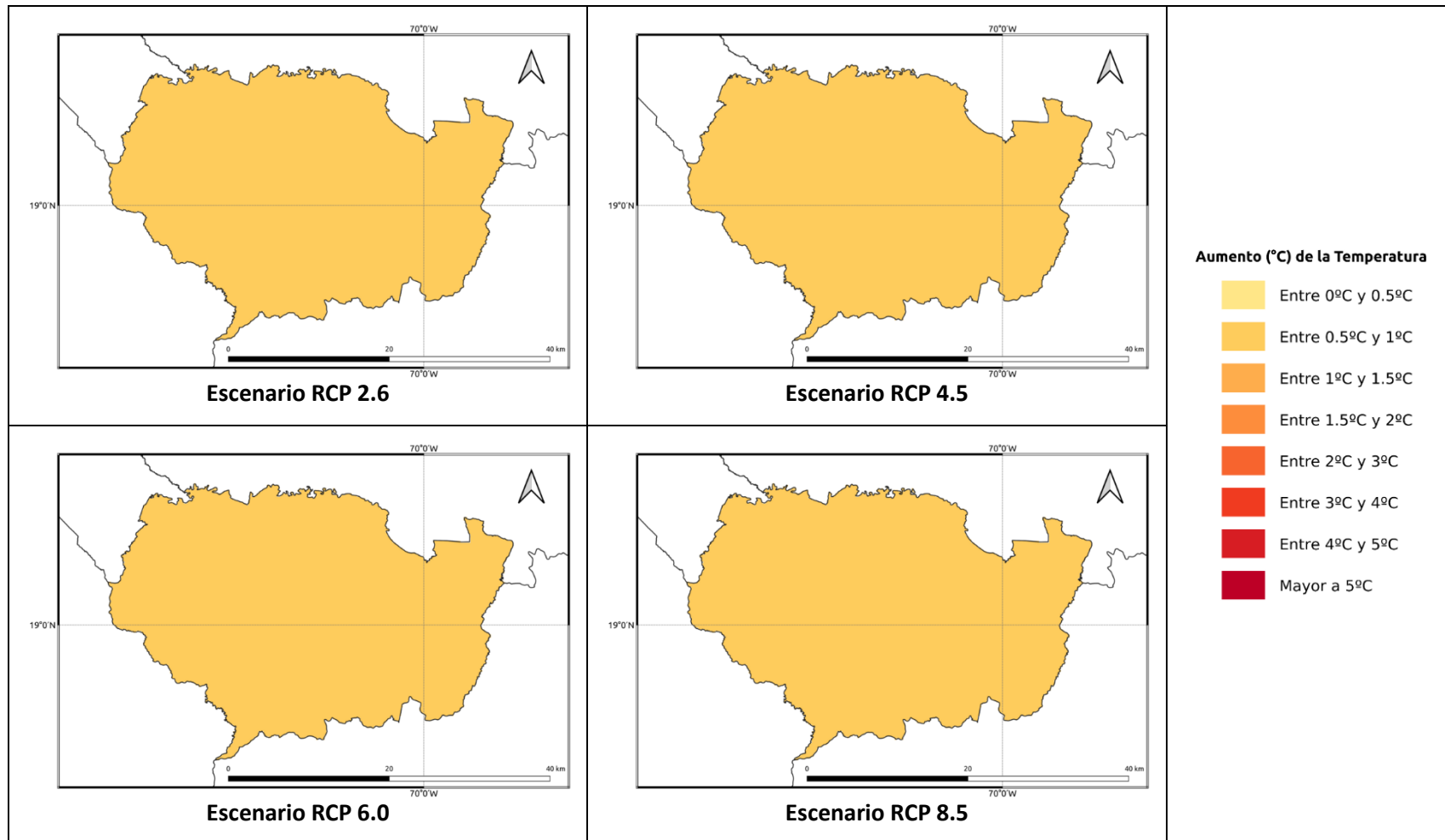


Figura 1.1.28-13. Cambios proyectados en la temperatura media (°C) por el ensamble multimodelo bajo los 4 escenarios RCP en el periodo 2021-2040 para la provincia Sánchez Ramírez.

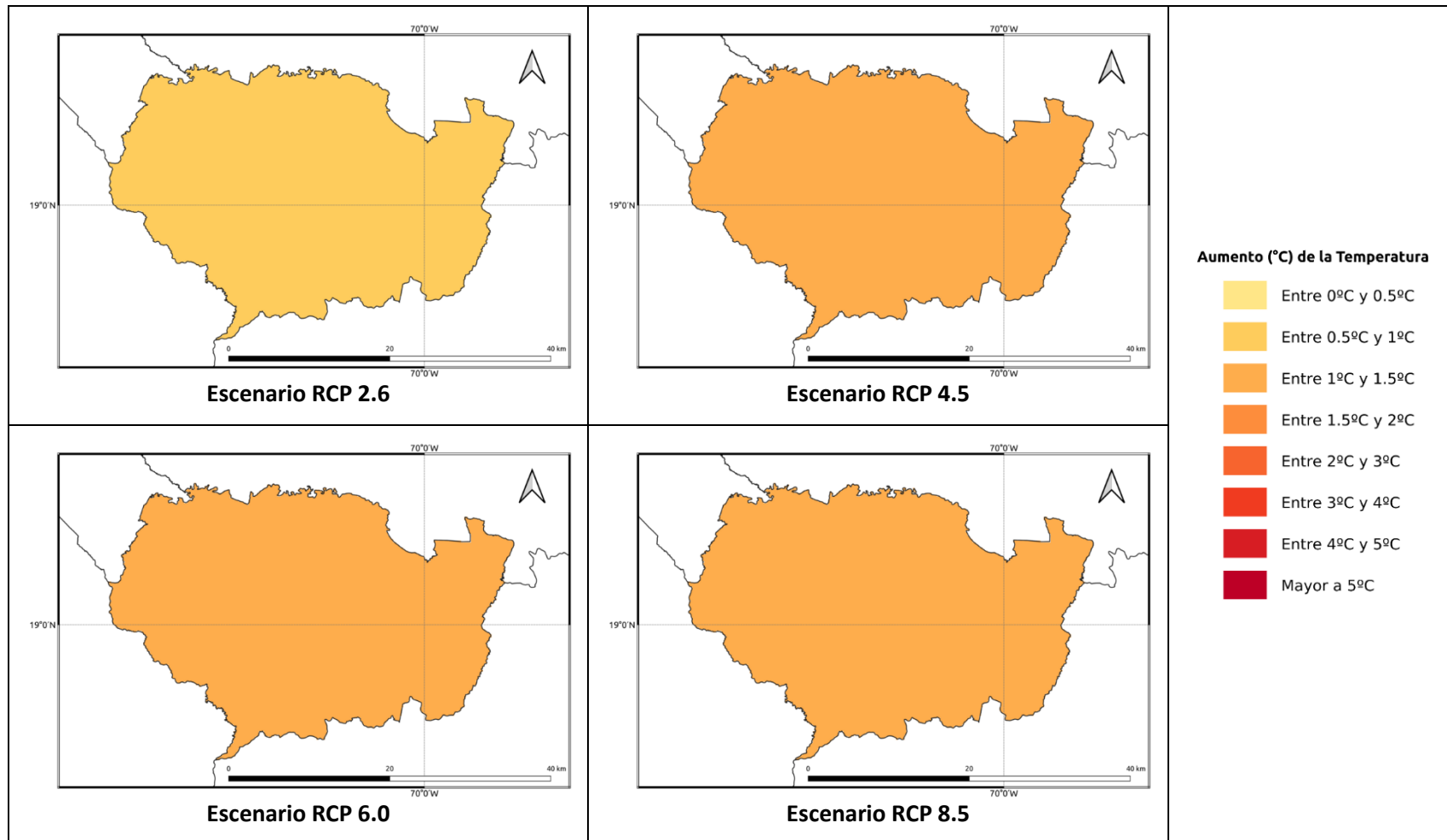


Figura 1.1.28-14. Cambios proyectados en la temperatura media ( $^{\circ}\text{C}$ ) por el ensamble multimodelo bajo los 4 escenarios RCP en el periodo 2041-2060 para la provincia Sánchez Ramírez.

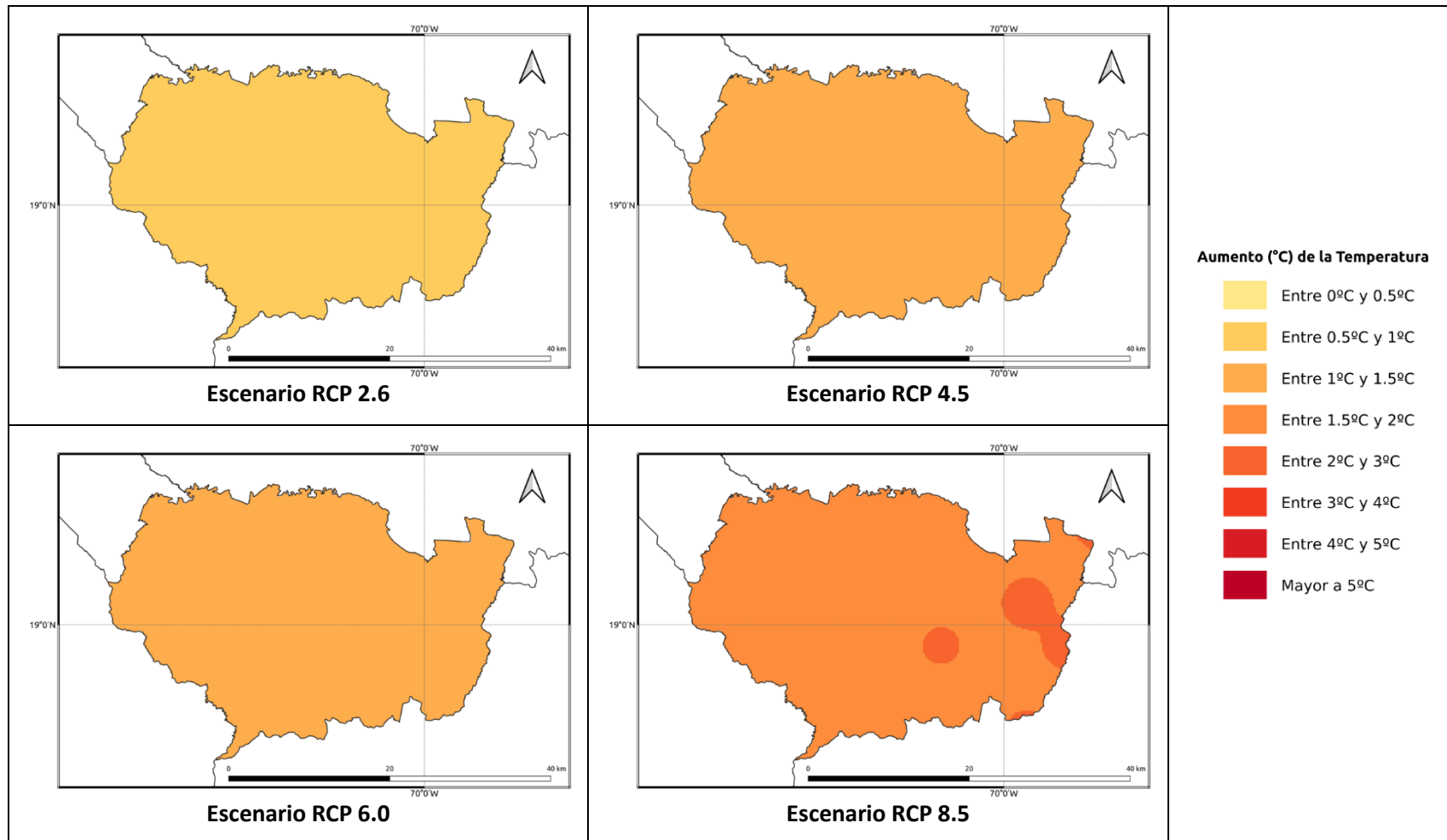


Figura 1.1.28-15. Cambios proyectados en la temperatura media (°C) por el ensamble multimodelo bajo los 4 escenarios RCP en el periodo 2061-2080 para la provincia Sánchez Ramírez.

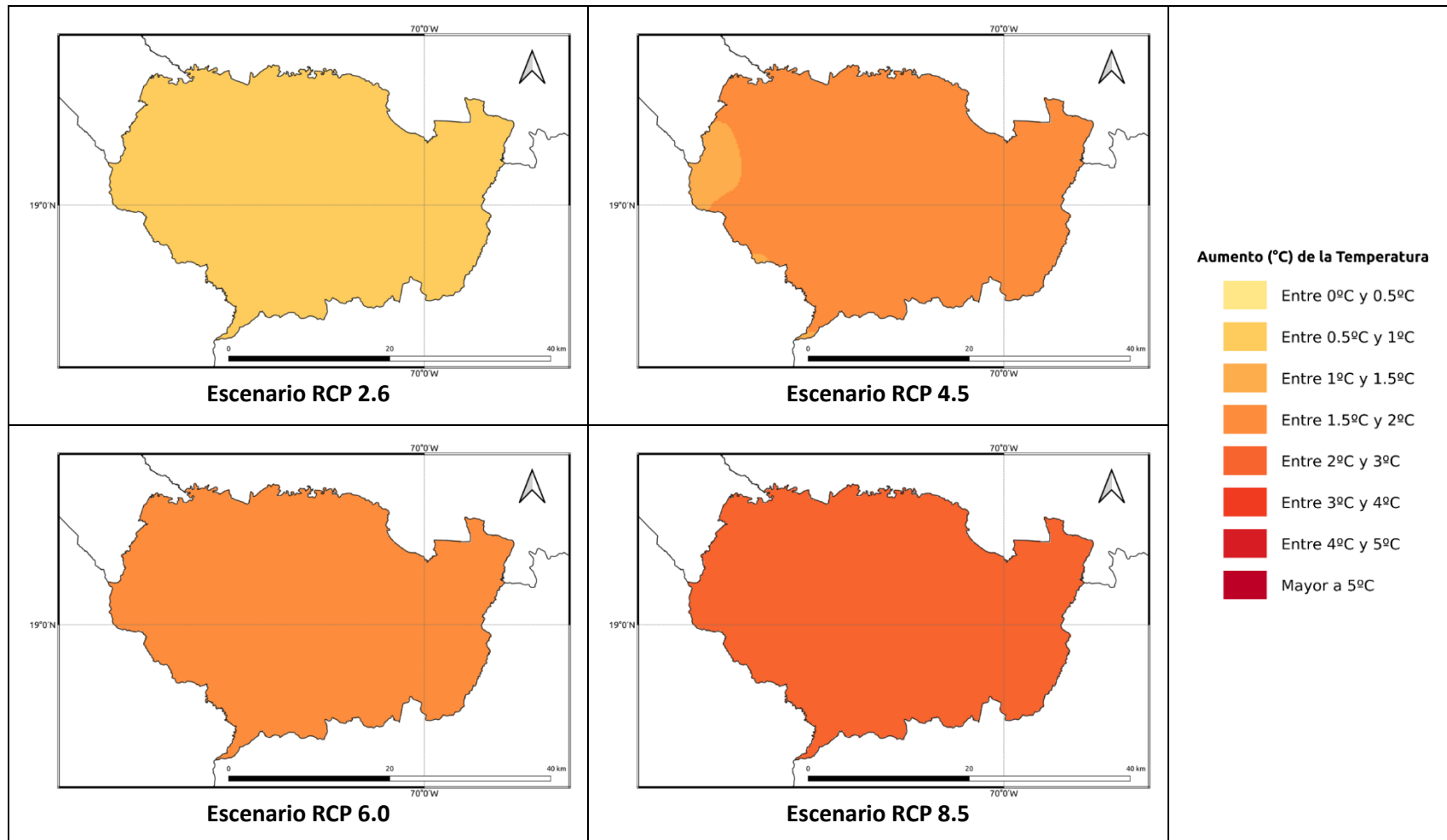


Figura 1.1.28-16. Cambios proyectados en la temperatura media (°C) por el ensamble multimodelo bajo los 4 escenarios RCP en el periodo 2081-2100 para la provincia Sánchez Ramírez.

## 1.1.29 PROVINCIA SANTIAGO

A continuación, se presenta el análisis espacial de los cambios de las variables climáticas a nivel anual para la provincia **Santiago**. Los cambios a nivel estacional (trimestral) se pueden consultar en el Anexo 30.

### Precipitación

Para esta variable, en el periodo de corto plazo 2021-2040 se presentarían cambios dentro del rango normal de variabilidad (del orden del 5%), con aumentos de esta magnitud bajo los escenarios RCP 2.6 y 6.0, y reducciones bajo los escenarios RCP 4.5 y 8.5, y dándose bajo este último disminuciones del orden del 8% hacia el sur de la provincia (Figura 1.1.29-1). Para el siguiente periodo (2041-2060), bajo el RCP 2.6 se mantiene el aumento de la precipitación del orden del 5%, y en los demás escenarios la tendencia sería a la reducción de la precipitación entre un 4-9% (Figura 1.1.29-2). Para el periodo 2061-2080, en el RCP 2.6 se mantendrían los incrementos del 5%, y bajo los otros escenarios se darían reducciones de la precipitación, del orden del 9-13% bajo el RCP 4.5, entre 4-9% bajo el RCP 6.0 y del 15-19% bajo el RCP 8.5 (Figura 1.1.29-3). Por último, para finales de siglo bajo los 4 escenarios se presentarían reducciones de la precipitación, siendo las de menor magnitud bajo el RCP 2.6 (entre 6-8%) y las más altas bajo el RCP 8.5, con reducciones entre 25 y 28% (Figura 1.1.29-4).

### Temperatura Máxima

La temperatura máxima presentaría incrementos bajo los 4 RCP en todos los periodos analizados. En el periodo de corto plazo (2021-2040) la temperatura aumentaría entre 0.7 y 1.3°C, con aumentos de más de 1°C bajo el RCP 8.5 en la parte norte y centro de la provincia (Figura 1.1.29-5). Para 2041-2060, los aumentos serían de 0.7 a 1.4°C bajo los primeros 3 RCP (2.6, 4.5 y 6.0), y de 1.5 a 1.8°C bajo el RCP 8.5 (Figura 1.1.29-6). En el periodo 2061-2080 los aumentos serían de 0.7 a 2.4°C, manteniéndose el incremento de 0.7 a 1.4°C bajo el RCP 2.6, siendo de 1.4 a 1.8°C bajo los RCP 4.5 y 6.0 y de 2.6°C bajo el RCP 8.5 (Figura 1.1.29-7). Para finales de siglo, los aumentos serían de 0.7 a 1.1°C bajo el RCP 2.6, de 1.4 a 1.7°C bajo el RCP 4.5, de 1.8 a 2.4°C bajo el RCP 6.0 y de 2.9 a 3.5°C bajo el RCP 8.5 (Figura 1.1.29-8).

### Temperatura Mínima

En el primer periodo (2021-2040), ésta se incrementaría de 0.3 a 0.8°C en los 4 escenarios RCP (Figura 1.1.29-9). Para 2041-2060 aumentaría de 0.7 a 0.9°C en los 3 primeros escenarios, y bajo el RCP 8.5 habría aumentos entre 0.9 y 1.3°C (Figura 1.1.29-10). En el periodo 2061-2080 la temperatura mínima se incrementaría entre 0.4 y 0.8°C bajo el RCP 2.6, entre 0.9 y 1.2°C bajo los RCP 4.5 y 6.0 y entre 1.4 y 1.7°C



bajo el RCP 8.5, dándose los menores aumentos hacia el sur de la provincia (Figura 1.1.29-11). Por último, para finales de siglo se mantendría un aumento de 0.8°C en el RCP 2.6, entre 0.9 y 1.3°C bajo el RCP 4.5, entre 1.4 y 1.8°C bajo el RCP 6.0 y de 1.9 a 2.4°C bajo el RCP 8.5 (Figura 1.1.29-12).

#### ***Temperatura Media***

La temperatura media se incrementaría entre 0.6 y 0.8°C en el periodo 2021-2040 bajo los 4 escenarios RCP (Figura 1.1.29-13). En el periodo 2041-2060 se mantendría este mismo rango bajo el RCP 2.6, y en los otros 3 escenarios aumentaría de 0.8 a 1.4°C (Figura 1.1.29-14). Para 2061-2080 la temperatura media aumentaría de 0.7 a 0.8°C bajo el RCP 2.6, de 1.3 a 1.5°C bajo los RCP 4.5 y 6.0 y de 1.7 a 2.1°C bajo el RCP 8.5 (Figura 1.1.29-15). Finalmente, para el periodo 2081-2100 la temperatura subiría entre 0.6 y 0.8°C bajo el RCP 2.6, entre 1.2 y 1.7°C bajo el RCP 4.5 (con los aumentos más altos hacia el nororiente de la provincia), de 1.6 a 1.9°C bajo el RCP 6.0 y de 2.4 a 2.8°C bajo el RCP 8.5 (Figura 1.1.29-16).



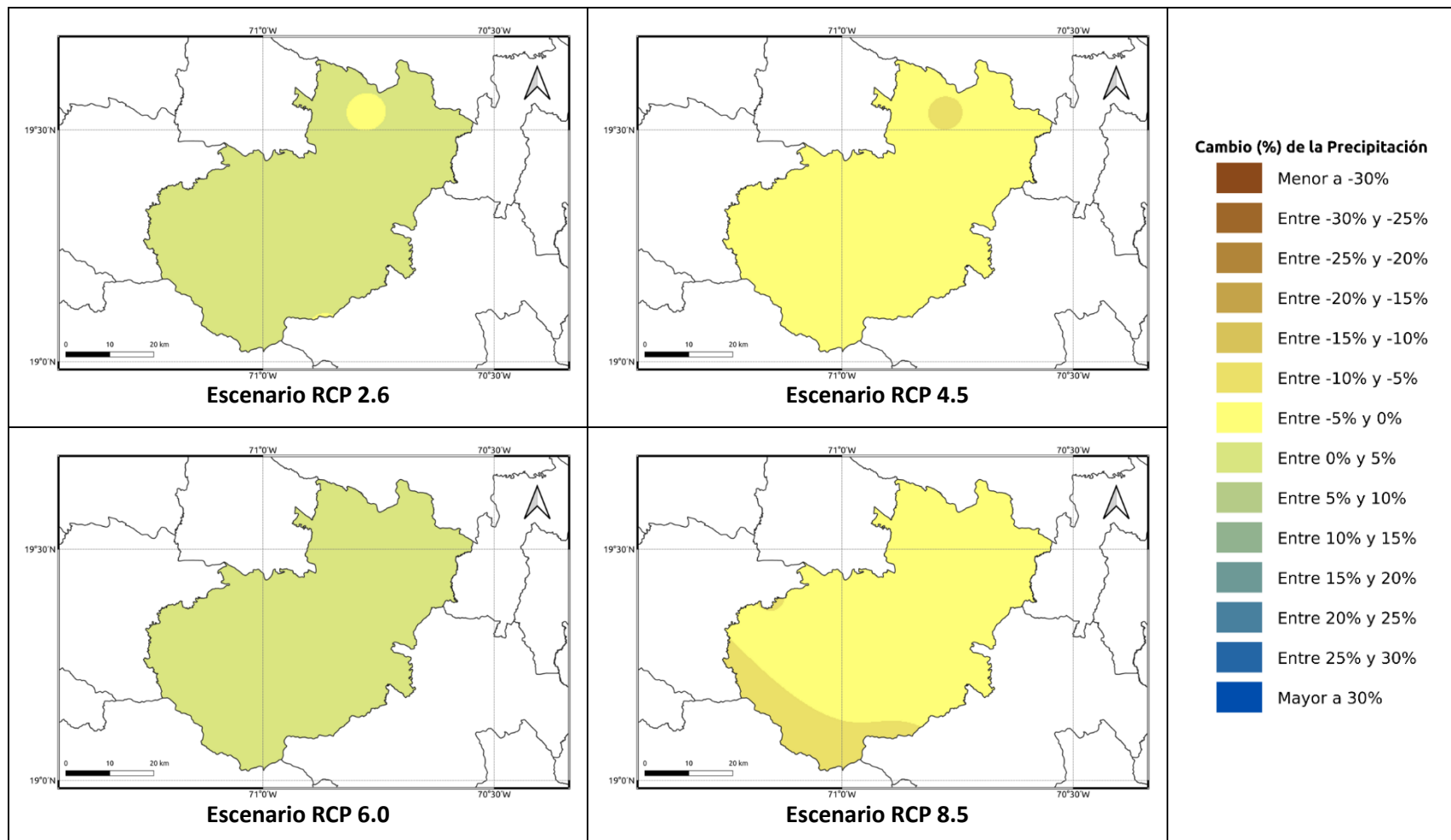


Figura 1.1.29-1. Cambios porcentuales de la precipitación (%) proyectados por el ensamble multimodelo bajo los 4 escenarios RCP en el periodo 2021-2040 para la provincia Santiago.

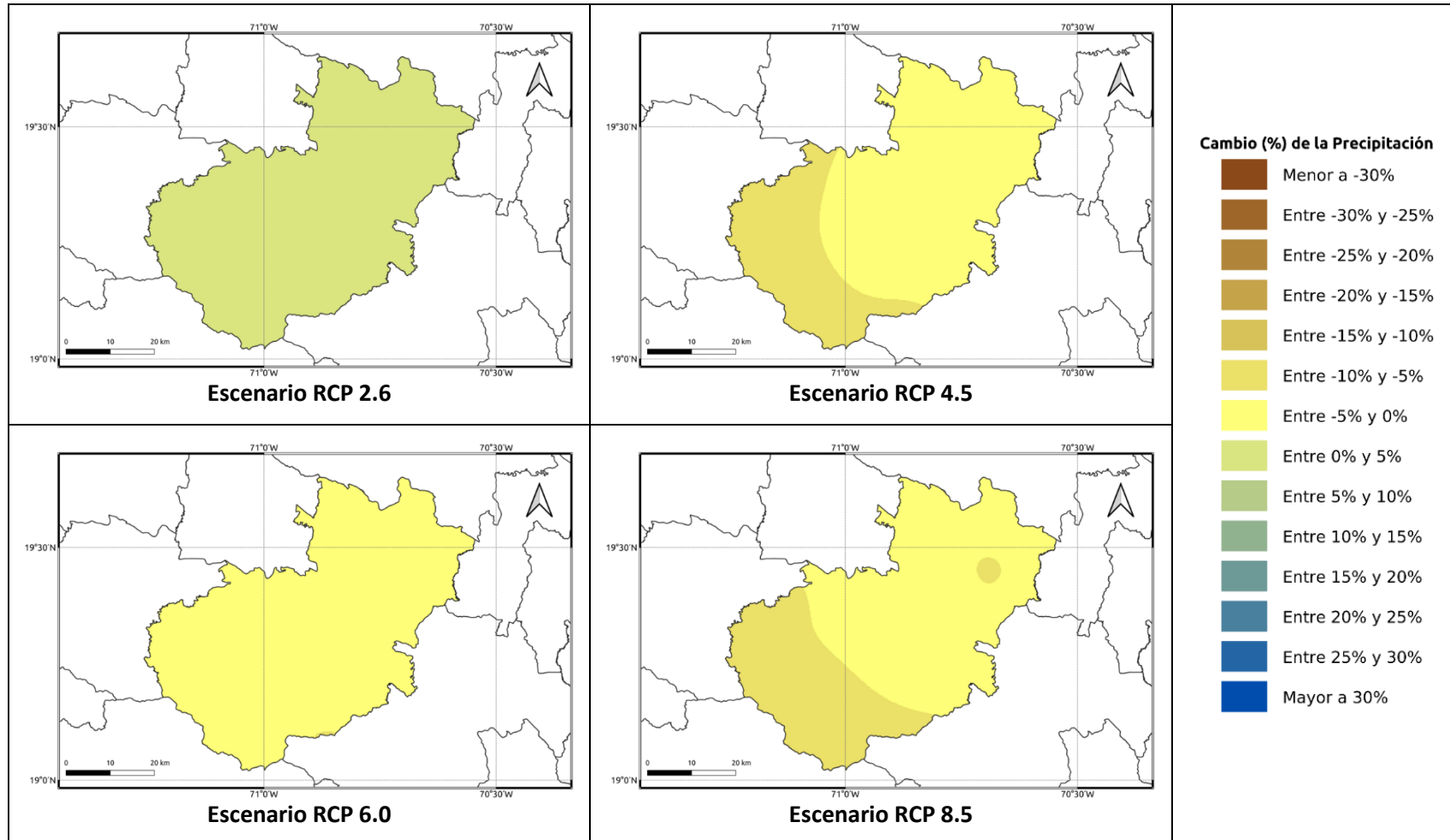


Figura 1.1.29-2. Cambios porcentuales de la precipitación (%) proyectados por el ensamble multimodelo bajo los 4 escenarios RCP en el periodo 2041-2060 para la provincia Santiago.

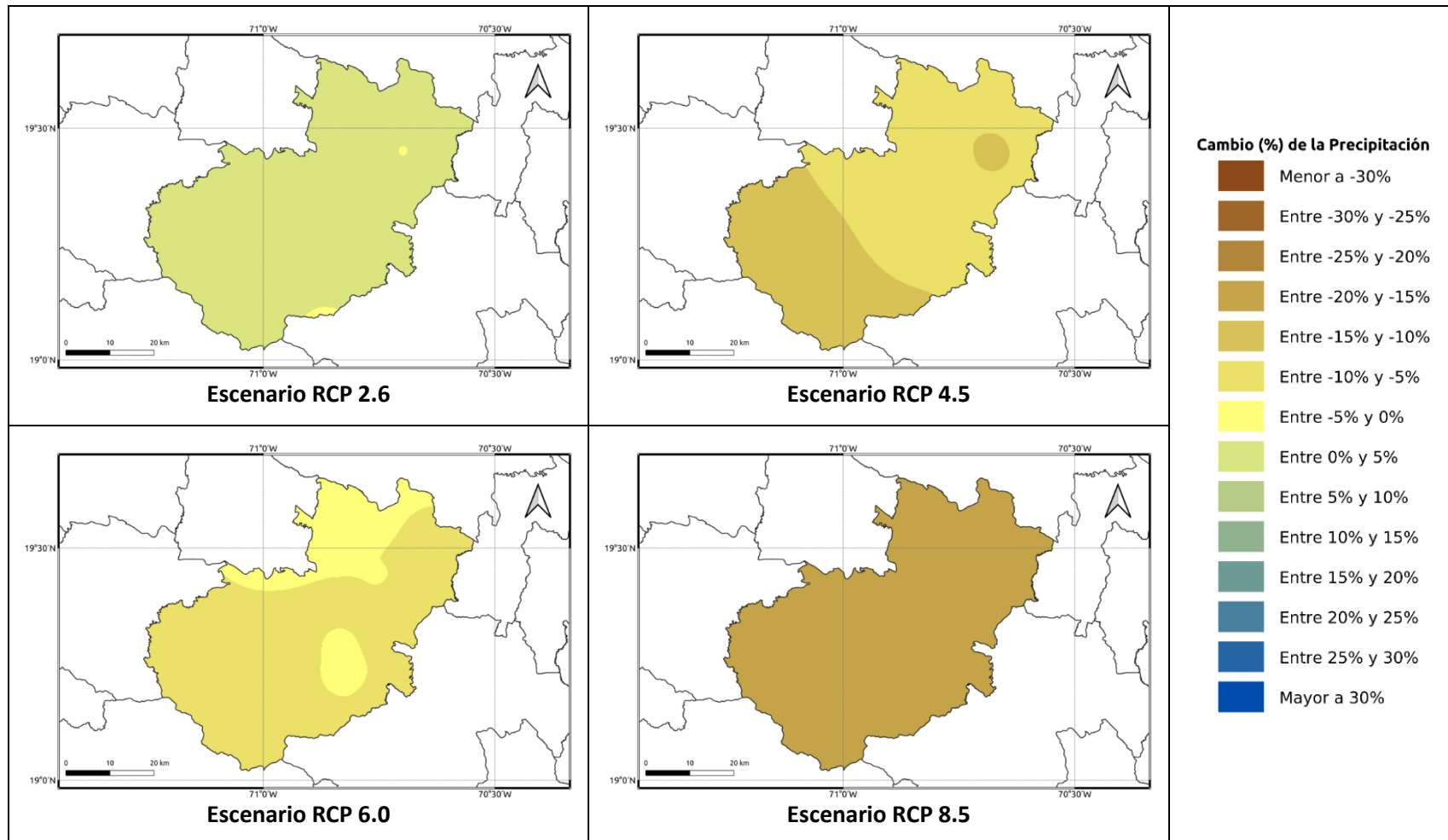


Figura 1.1.29-3. Cambios porcentuales de la precipitación (%) proyectados por el ensamble multimodelo bajo los 4 escenarios RCP en el periodo 2061-2080 para la provincia Santiago.

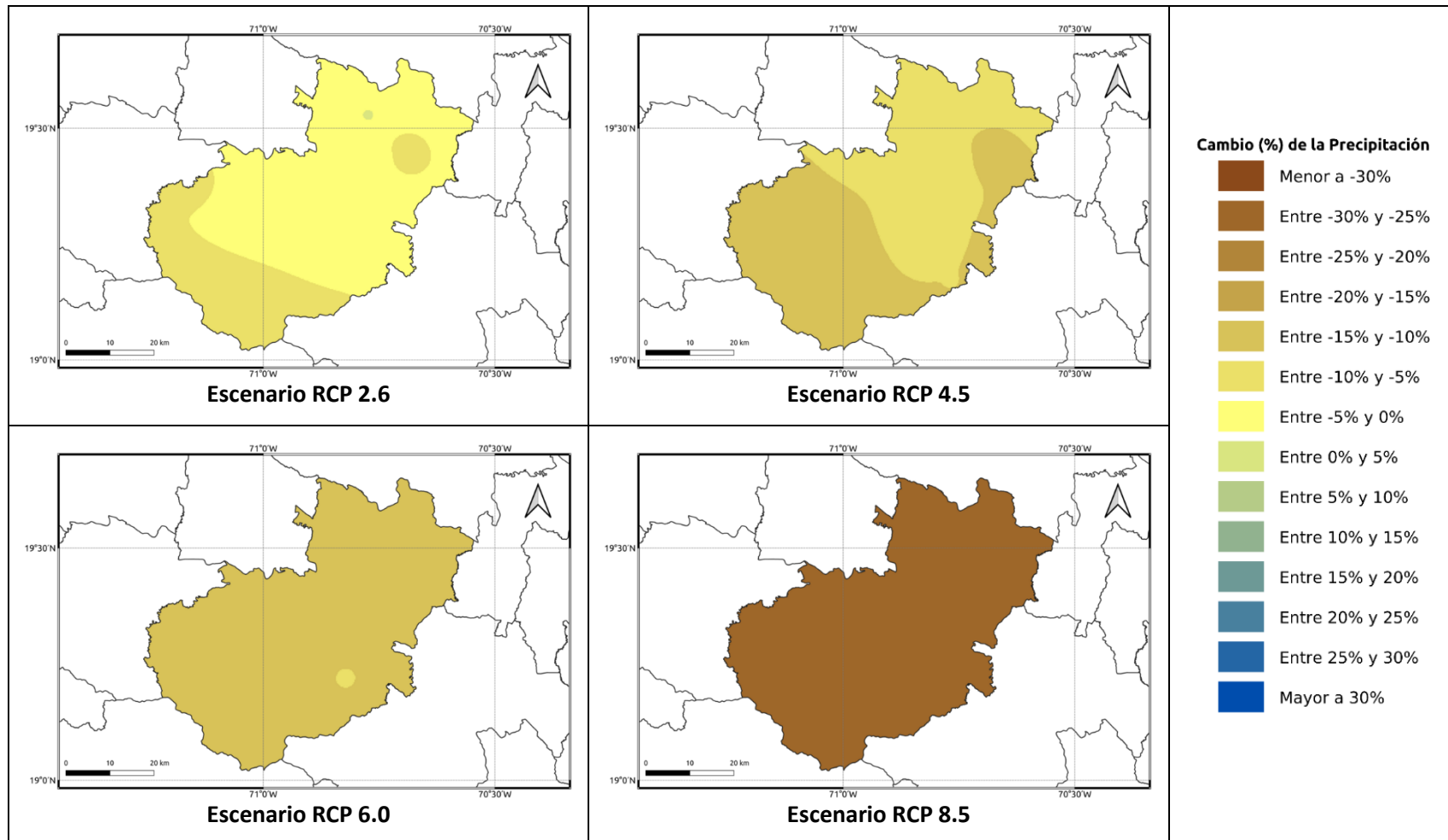


Figura 1.1.29-4. Cambios porcentuales de la precipitación (%) proyectados por el ensamble multimodelo bajo los 4 escenarios RCP en el periodo 2081-2100 para la provincia Santiago.

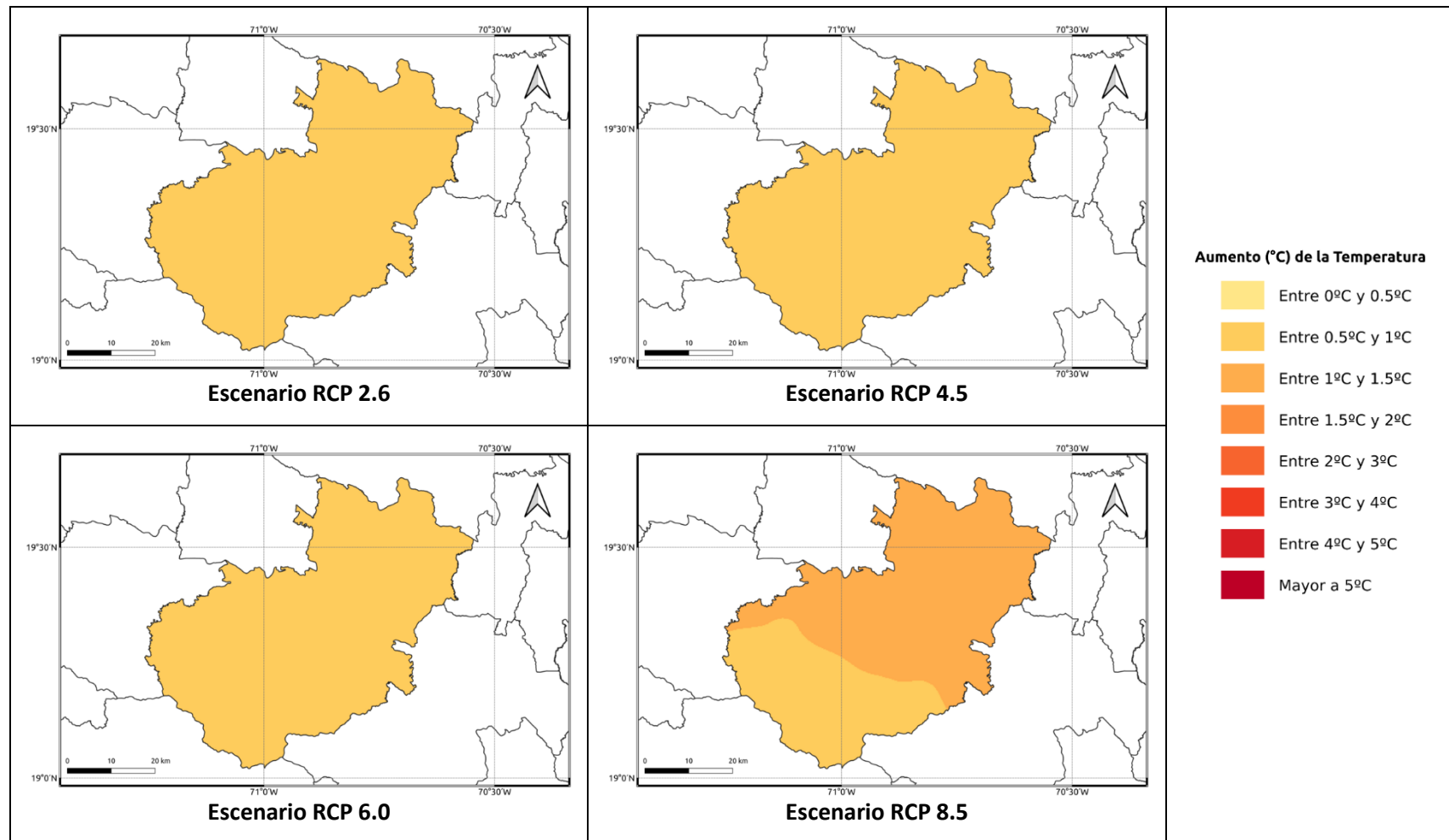


Figura 1.1.29-5. Cambios proyectados en la temperatura máxima (°C) por el ensamble multimodelo bajo los 4 escenarios RCP en el periodo 2021-2040 para la provincia Santiago.

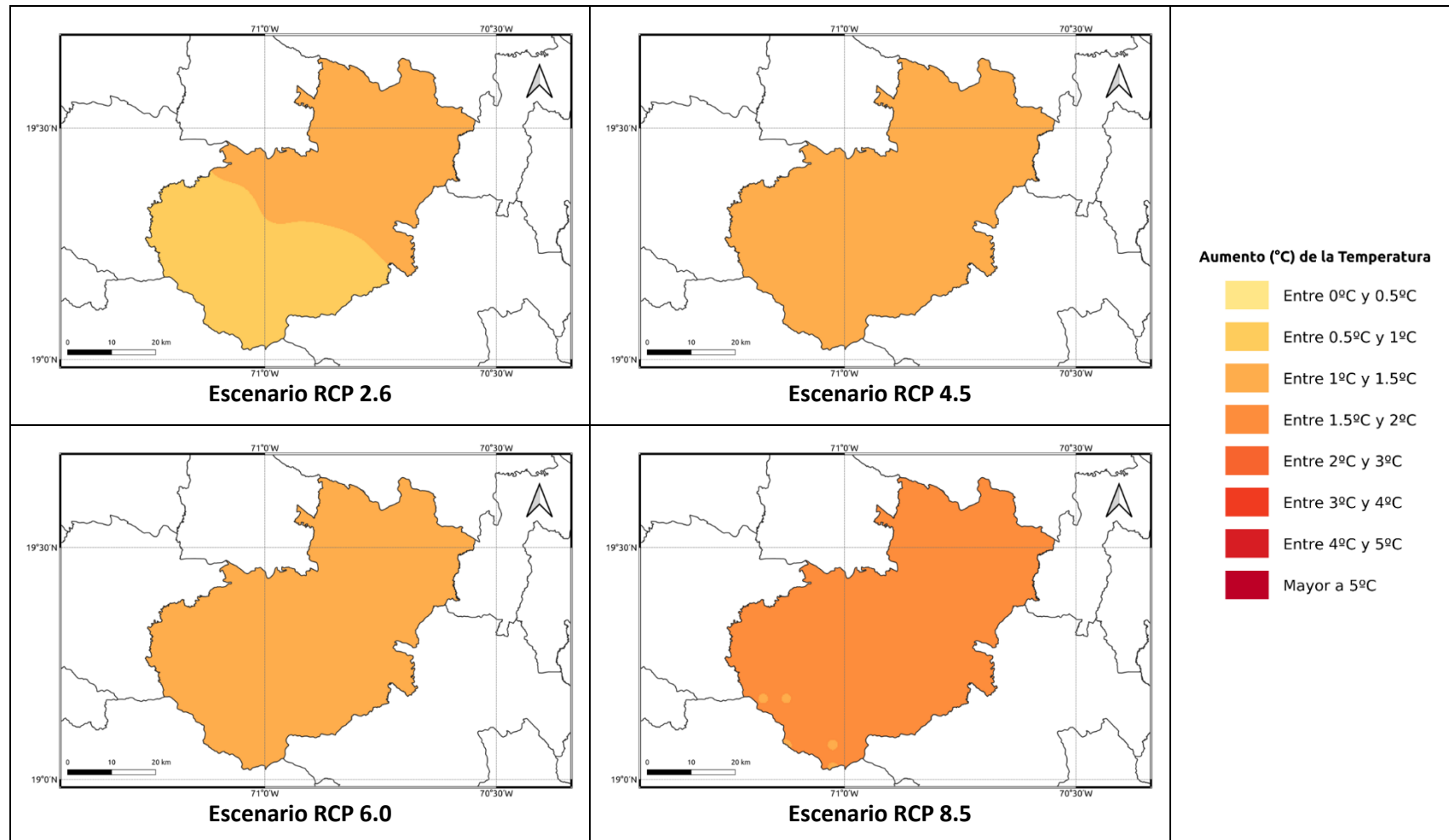


Figura 1.1.29-6. Cambios proyectados en la temperatura máxima (°C) por el ensamble multimodelo bajo los 4 escenarios RCP en el periodo 2041-2060 para la provincia Santiago.

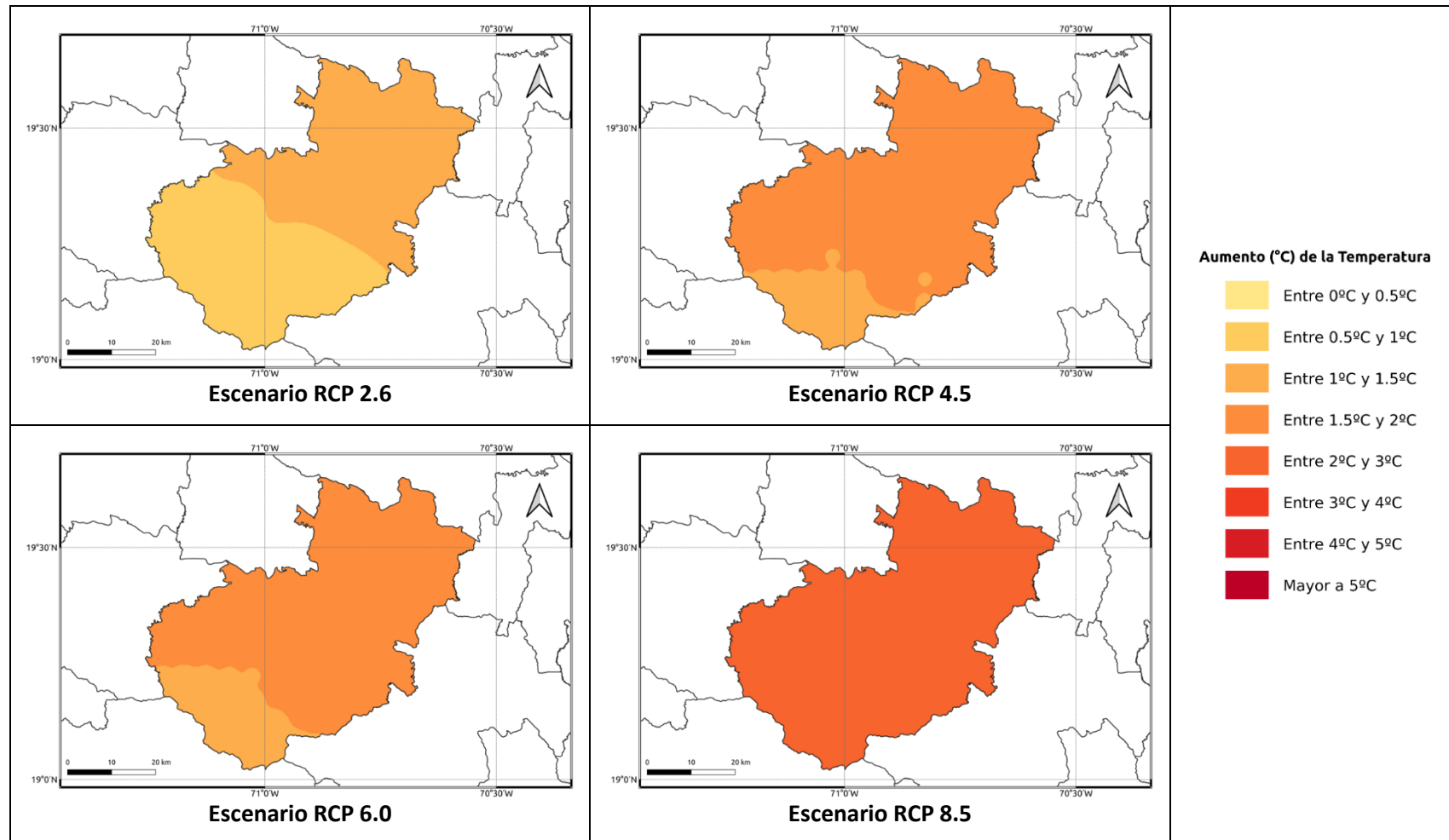
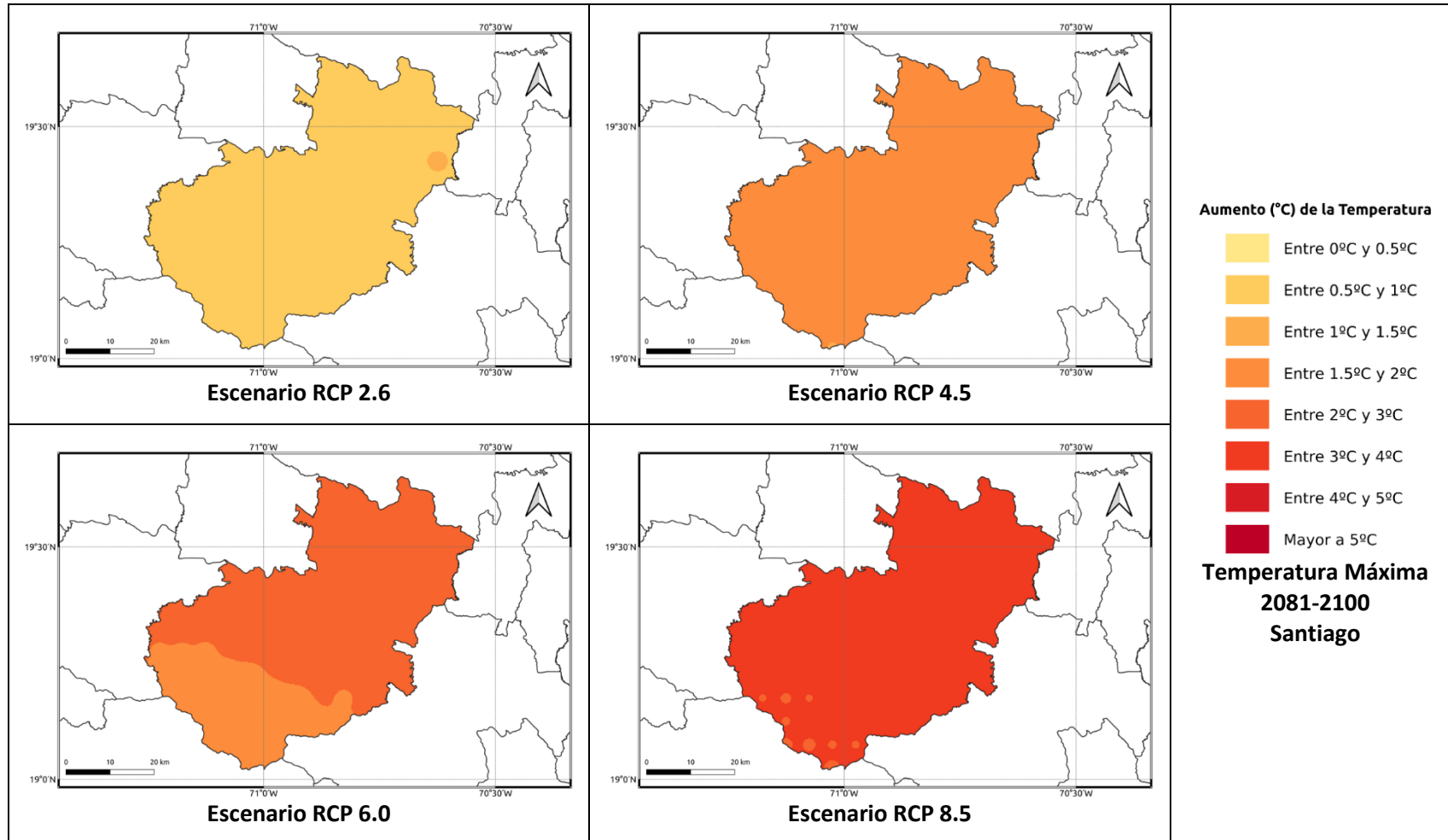


Figura 1.1.29-7. Cambios proyectados en la temperatura máxima (°C) por el ensamble multimodelo bajo los 4 escenarios RCP en el periodo 2061-2080 para la provincia Santiago.



**Figura 1.1.29-8. Cambios proyectados en la temperatura máxima (°C) por el ensamble multimodelo bajo los 4 escenarios RCP en el periodo 2081-2100 para la provincia Santiago.**

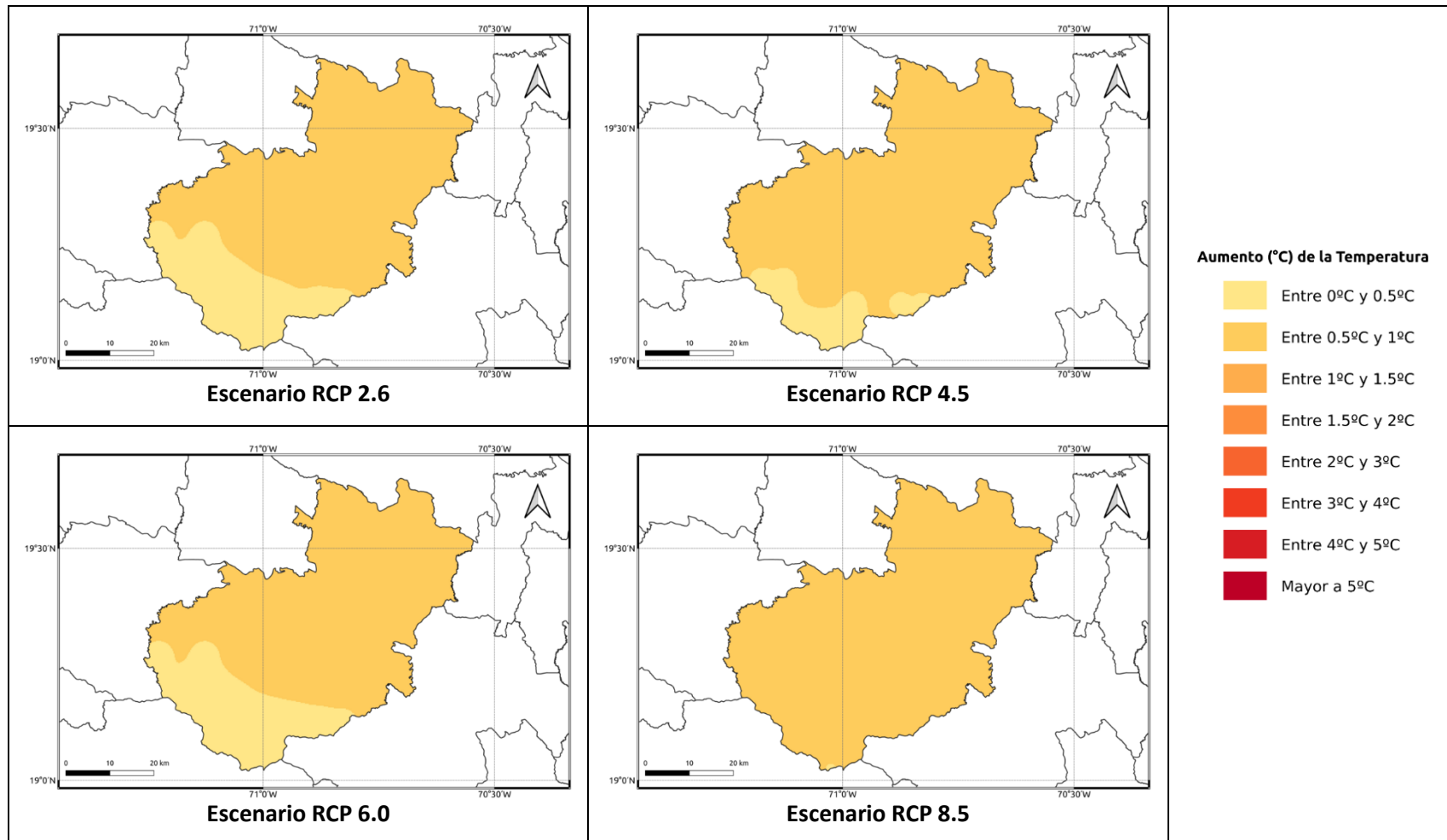


Figura 1.1.29-9. Cambios proyectados en la temperatura mínima (°C) por el ensamble multimodelo bajo los 4 escenarios RCP en el periodo 2021-2040 para la provincia Santiago.

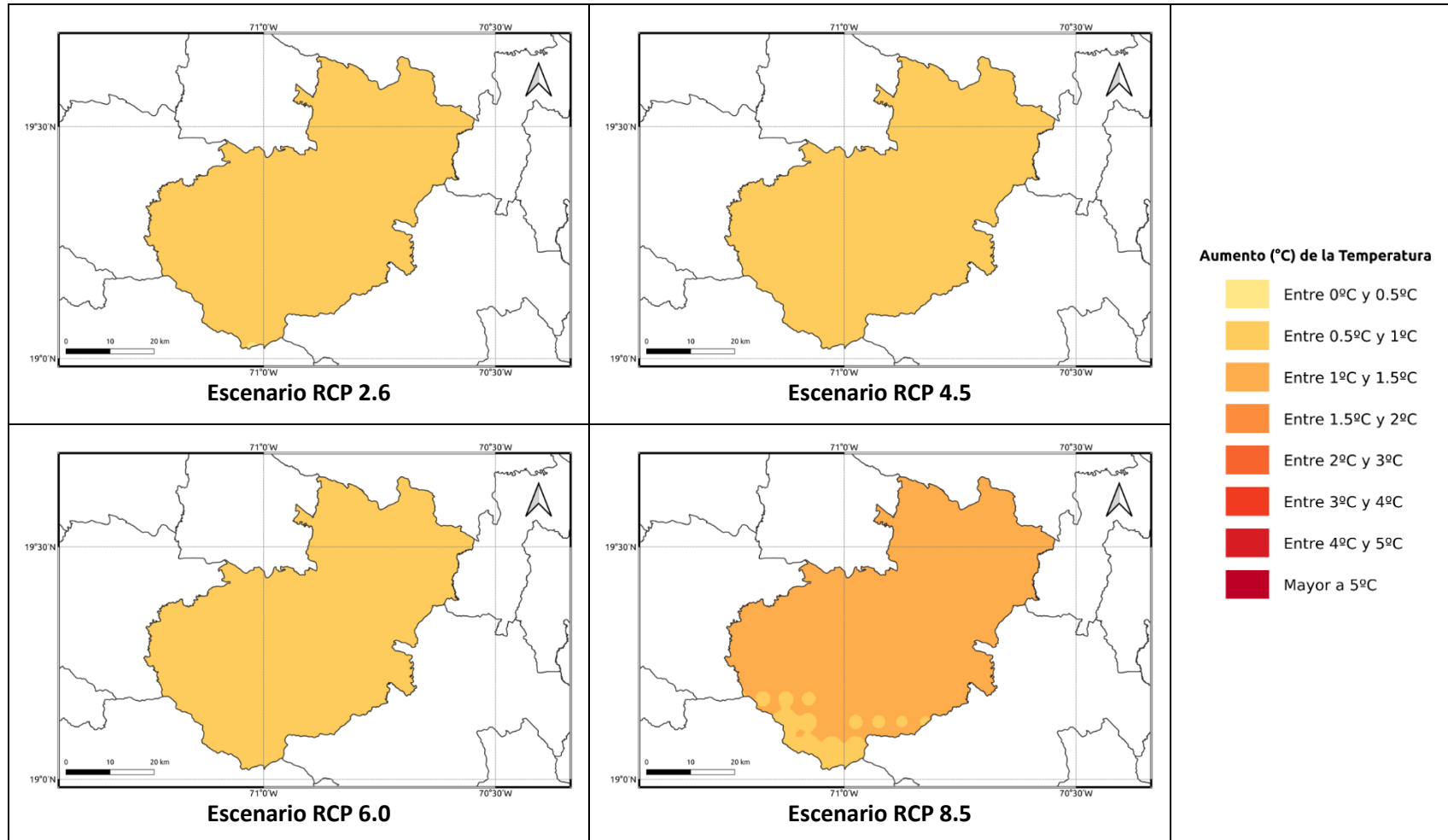


Figura 1.1.29-10. Cambios proyectados en la temperatura mínima (°C) por el ensamble multimodelo bajo los 4 escenarios RCP en el periodo 2041-2060 para la provincia Santiago.

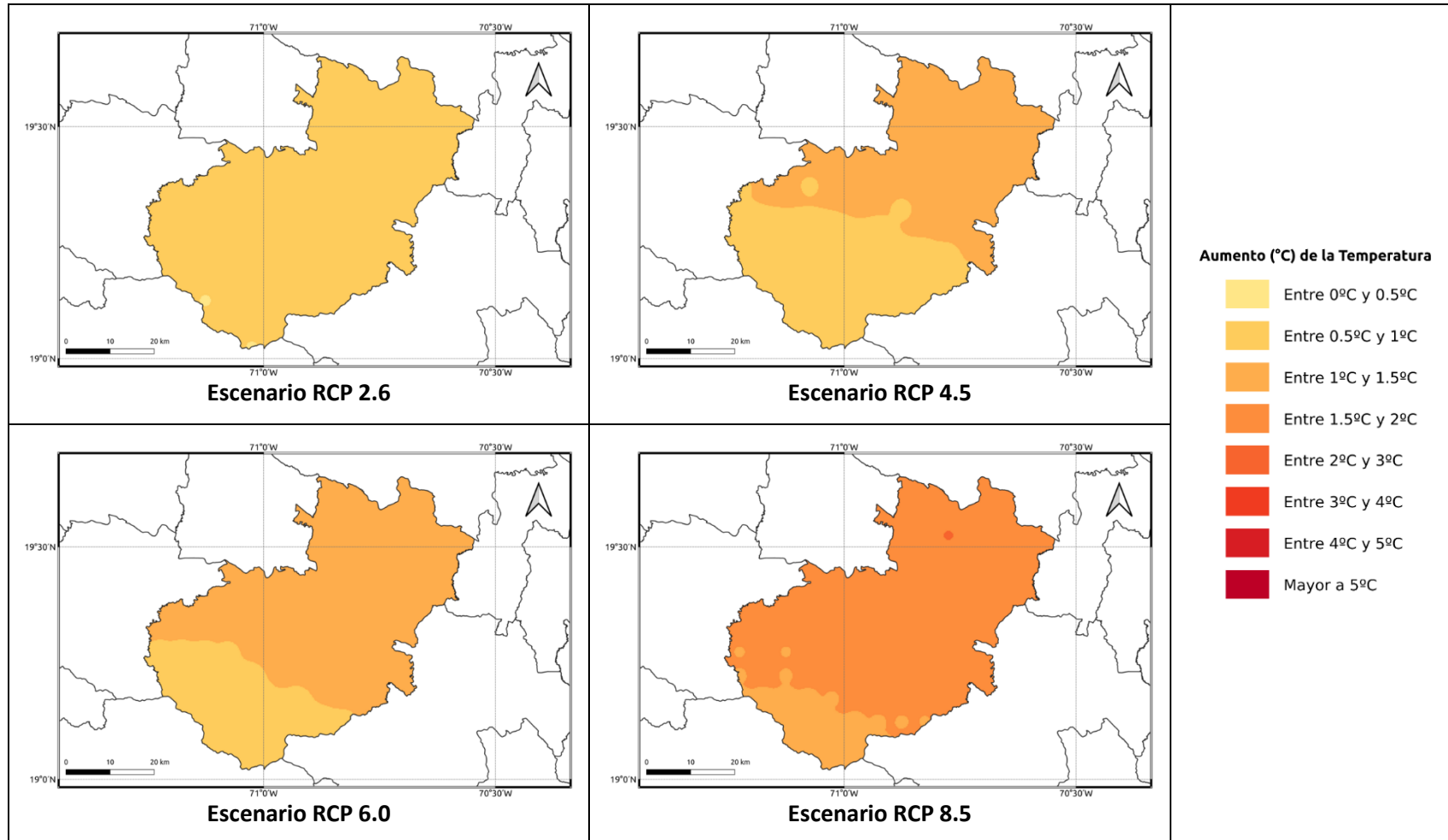
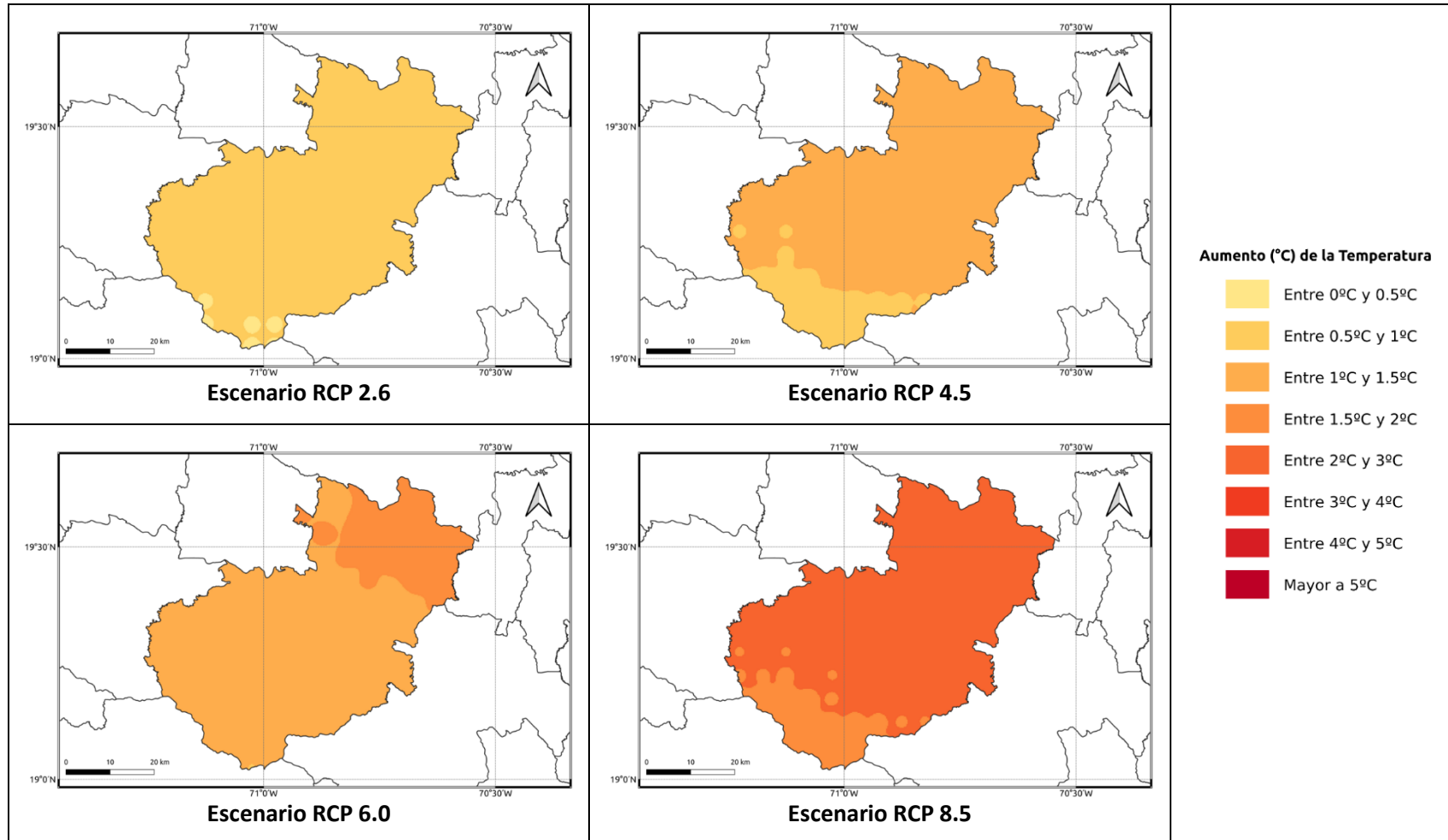


Figura 1.1.29-11. Cambios proyectados en la temperatura mínima (°C) por el ensamble multimodelo bajo los 4 escenarios RCP en el periodo 2061-2080 para la provincia Santiago.



**Figura 1.1.29-12. Cambios proyectados en la temperatura mínima (°C) por el ensamble multimodelo bajo los 4 escenarios RCP en el periodo 2081-2100 para la provincia Santiago.**

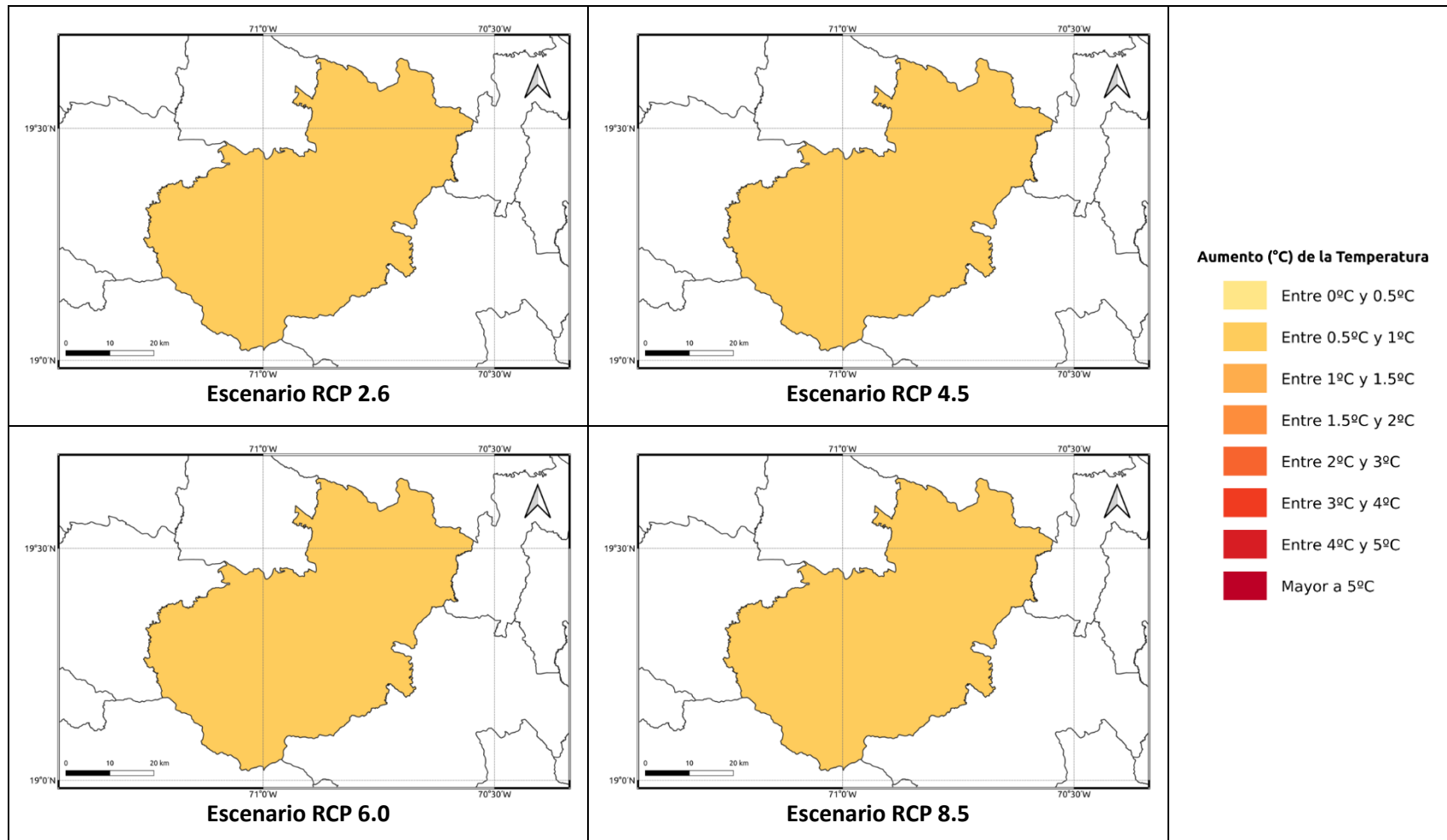


Figura 1.1.29-13. Cambios proyectados en la temperatura media (°C) por el ensamble multimodelo bajo los 4 escenarios RCP en el periodo 2021-2040 para la provincia Santiago.

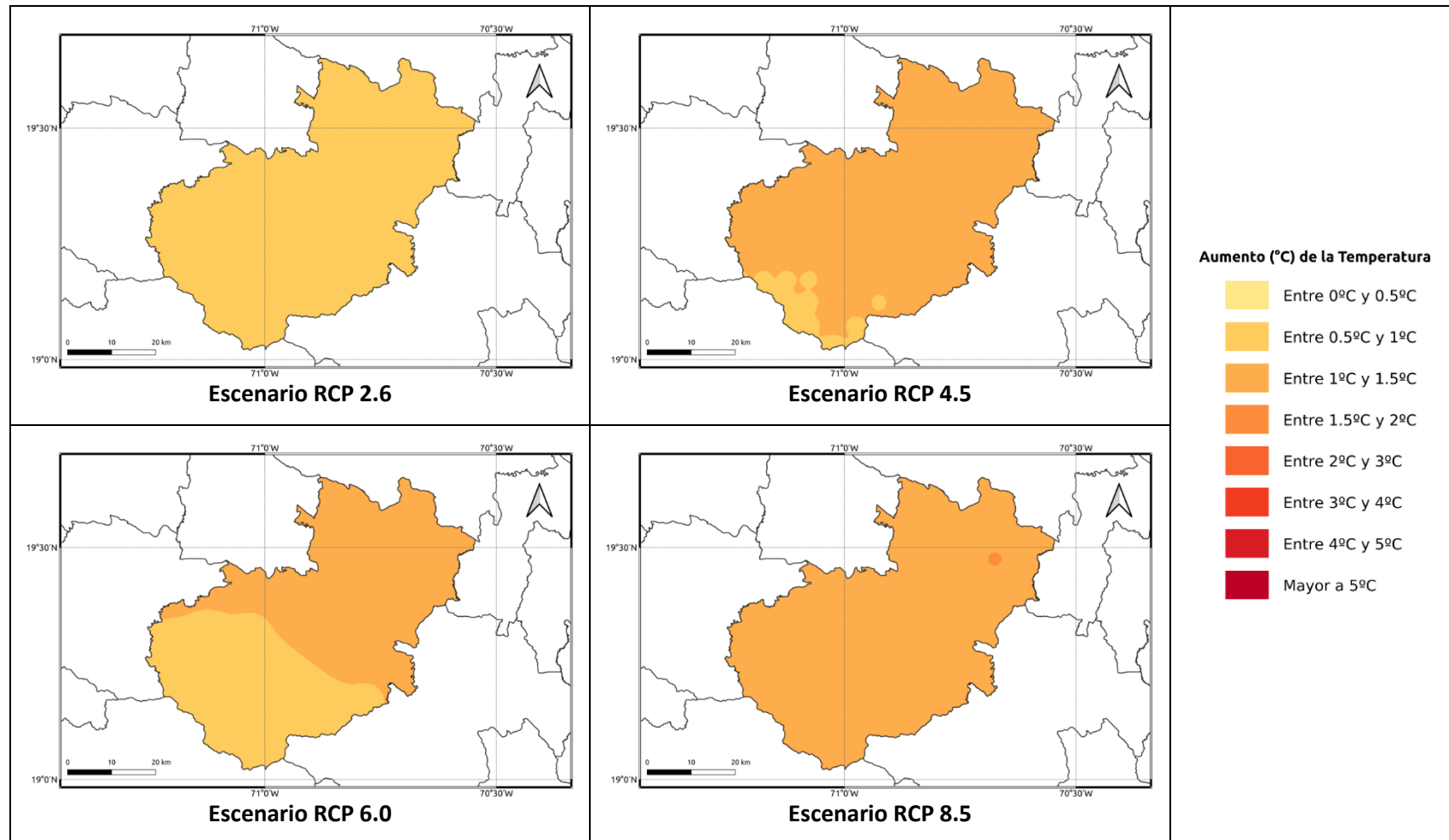
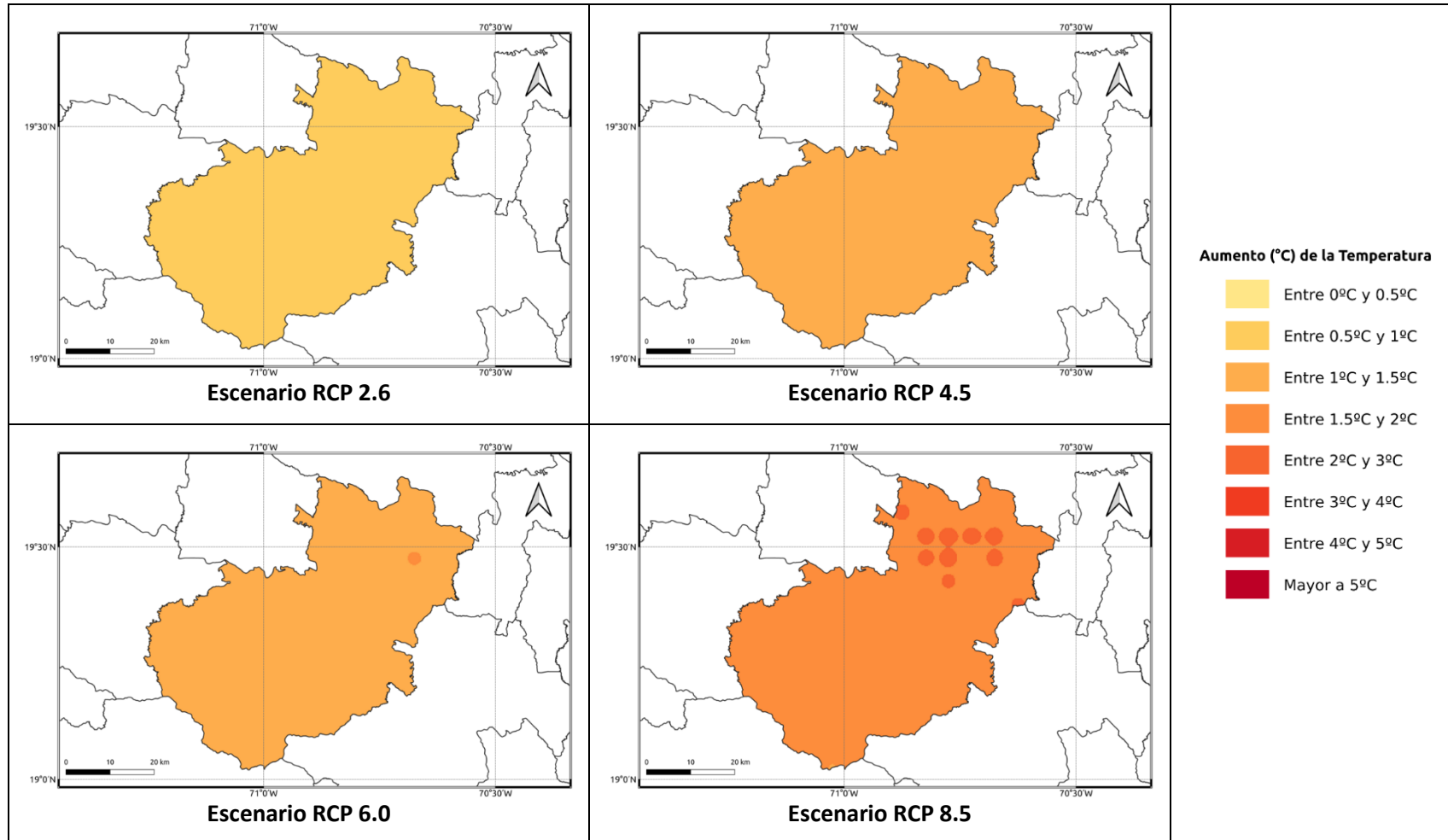
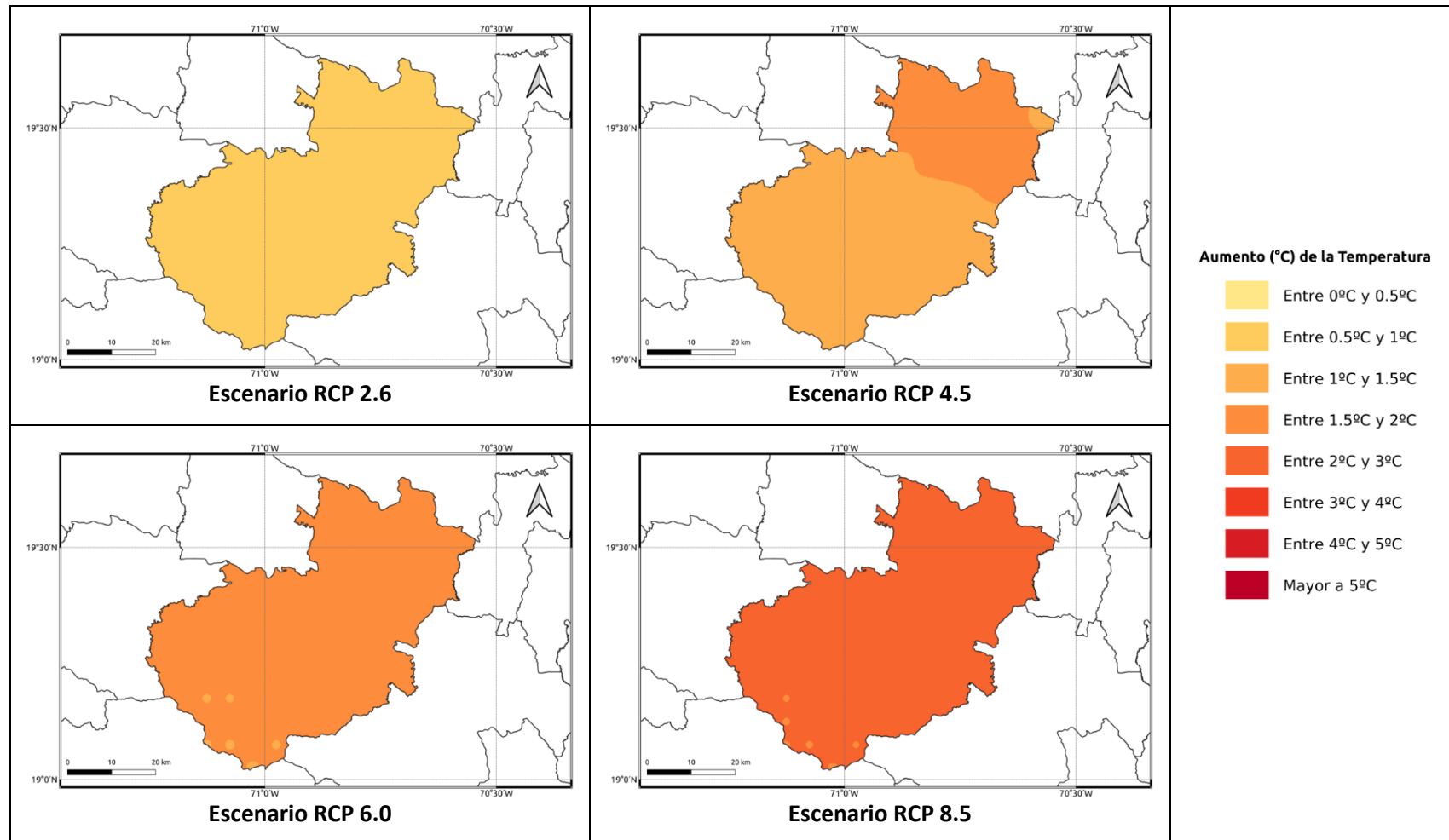


Figura 1.1.29-14. Cambios proyectados en la temperatura media (°C) por el ensamble multimodelo bajo los 4 escenarios RCP en el periodo 2041-2060 para la provincia Santiago.



**Figura 1.1.29-15. Cambios proyectados en la temperatura media (°C) por el ensamble multimodelo bajo los 4 escenarios RCP en el periodo 2061-2080 para la provincia Santiago.**



**Figura 1.1.29-16. Cambios proyectados en la temperatura media (°C) por el ensamble multimodelo bajo los 4 escenarios RCP en el periodo 2081-2100 para la provincia Santiago.**

### **1.1.30 PROVINCIA SANTIAGO RODRÍGUEZ**

A continuación, se presenta el análisis espacial de los cambios de las variables climáticas a nivel anual para la provincia **Santiago Rodríguez**. Los cambios a nivel estacional (trimestral) se pueden consultar en el Anexo 31.

#### **Precipitación**

Para esta variable, en el periodo de corto plazo 2021-2040 se presentarían cambios dentro del rango normal de variabilidad (del orden del 5%), con aumentos de esta magnitud bajo los escenarios RCP 2.6 y 6.0, y reducciones bajo los escenarios RCP 4.5 y 8.5, dándose en este último escenario disminuciones del orden del 8% (Figura 1.1.30-1). Para el siguiente periodo (2041-2060), bajo el RCP 2.6 se mantiene el aumento de la precipitación del orden del 5-7%, y en los demás escenarios la tendencia sería a la reducción de la precipitación entre un 4-9% (Figura 1.1.30-2). Para el periodo 2061-2080, en el RCP 2.6 se mantendrían los incrementos del 5%, y bajo los otros escenarios se darían reducciones de la precipitación, del orden del 9-14% bajo el RCP 4.5, entre 4-9% bajo el RCP 6.0 y del 17-19% bajo el RCP 8.5 (Figura 1.1.30-3). Por último, para finales de siglo bajo los 4 escenarios se presentarían reducciones de la precipitación, siendo las de menor magnitud bajo el RCP 2.6 (entre 4-8%) y las más altas bajo el RCP 8.5, con reducciones entre 26 y 28% (Figura 1.1.30-4).

#### **Temperatura Máxima**

La temperatura máxima presentaría incrementos bajo los 4 RCP en todos los periodos analizados. En el periodo de corto plazo (2021-2040) la temperatura aumentaría entre 0.7 y 1.3°C, con aumentos de más de 1°C bajo el RCP 8.5 (Figura 1.1.30-5). Para 2041-2060, los aumentos serían de 0.7 a 1.4°C bajo los primeros 3 RCP (2.6, 4.5 y 6.0), y de 1.5 a 1.8°C bajo el RCP 8.5 (Figura 1.1.30-6). En el periodo 2061-2080 los aumentos serían de 0.7 a 2.6°C, manteniéndose el incremento de 0.7 a 1.4°C bajo el RCP 2.6 (con los aumentos más altos hacia el norte de la provincia), siendo de 1.4 a 1.8°C bajo los RCP 4.5 y 6.0 y de 2.6°C bajo el RCP 8.5 (Figura 1.1.30-7). Para finales de siglo, los aumentos serían de 0.7 a 0.9°C bajo el RCP 2.6, de 1.7 a 1.9°C bajo el RCP 4.5, de 1.8 a 2.4°C bajo el RCP 6.0 y de 3.2 a 3.8°C bajo el RCP 8.5 (Figura 1.1.30-8).

#### **Temperatura Mínima**

En el primer periodo (2021-2040), ésta se incrementaría de 0.4 a 0.8°C en los 4 escenarios RCP (Figura 1.1.30-9). Para 2041-2060 aumentaría de 0.7 a 1.1°C en los 3 primeros escenarios, y bajo el RCP 8.5 habría aumentos de 1.3°C (Figura 1.1.30-10). En el periodo 2061-2080 la temperatura mínima se incrementaría entre 0.6 y 0.8°C

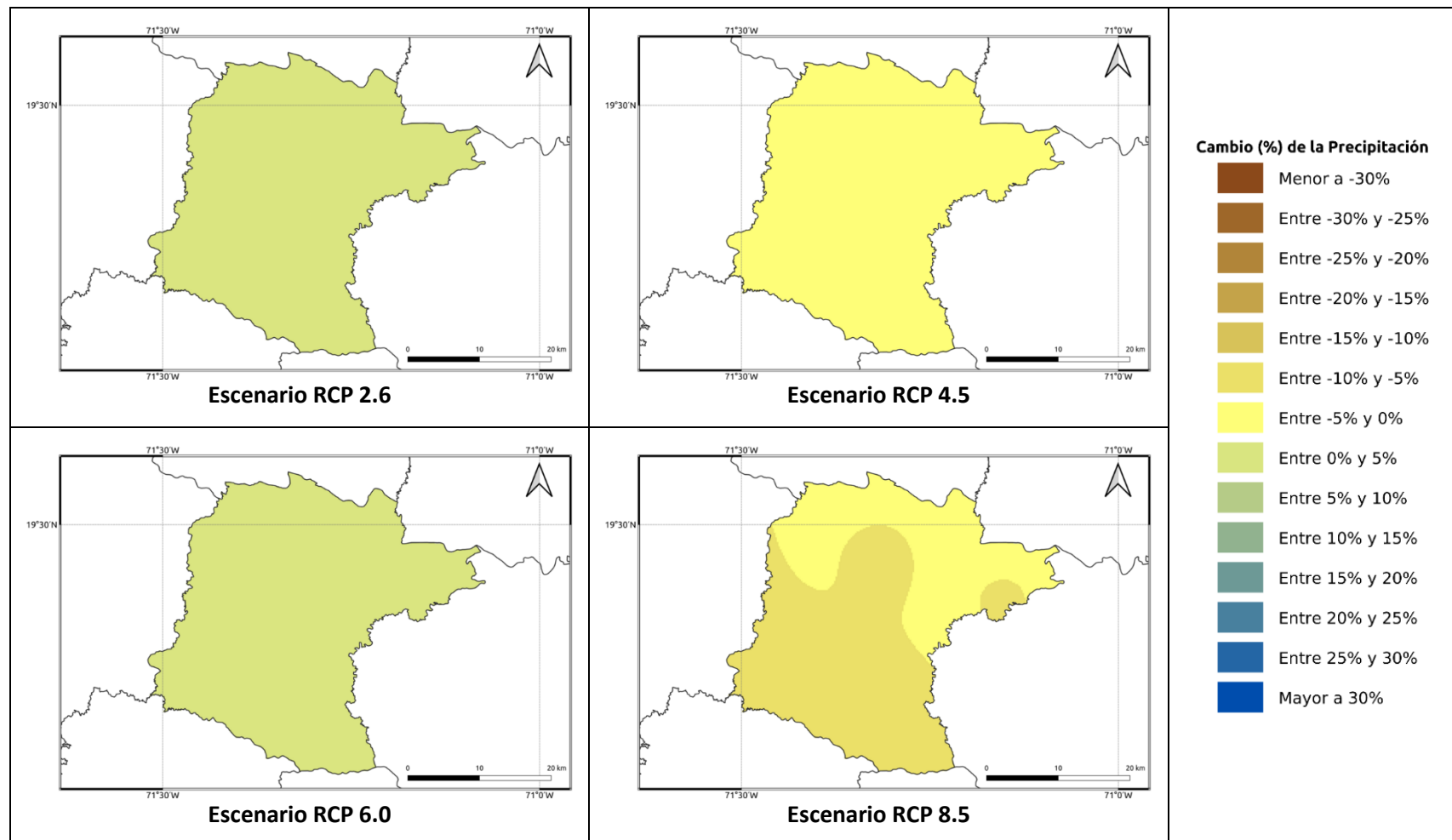


bajo el RCP 2.6, entre 0.9 y 1.4°C bajo los RCP 4.5 y 6.0 y entre 1.7 y 2.2°C bajo el RCP 8.5 (Figura 1.1.30-11). Por último, para finales de siglo se mantendría un aumento de 0.8°C en el RCP 2.6, entre 1.1 y 1.7°C bajo los RCP 4.5 y 6.0 y de 1.9 a 2.4°C bajo el RCP 8.5 (Figura 1.1.30-12).

#### ***Temperatura Media***

La temperatura media se incrementaría entre 0.6 y 0.8°C en el periodo 2021-2040 bajo los 4 escenarios RCP (Figura 1.1.30-13). En el periodo 2041-2060 se mantendría este mismo rango bajo el RCP 2.6, y en los otros 3 escenarios aumentaría de 0.9 a 1.4°C (Figura 1.1.30-14). Para 2061-2080 la temperatura media aumentaría de 0.7 a 0.8°C bajo el RCP 2.6, de 1.2 a 1.4°C bajo los RCP 4.5 y 6.0 y de 1.7 a 1.9°C bajo el RCP 8.5 (Figura 1.1.30-15). Finalmente, para el periodo 2081-2100 la temperatura subiría entre 0.6 y 0.8°C bajo el RCP 2.6, entre 1.2 y 1.7°C bajo el RCP 4.5 (con los mayores aumentos hacia el norte de la provincia), de 1.6 a 1.9°C bajo el RCP 6.0 y de 2.4 a 2.8°C bajo el RCP 8.5 (Figura 1.1.30-16).





**Figura 1.1.30-1. Cambios porcentuales de la precipitación (%) proyectados por el ensamble multimodelo bajo los 4 escenarios RCP en el periodo 2021-2040 para la provincia Santiago Rodríguez.**

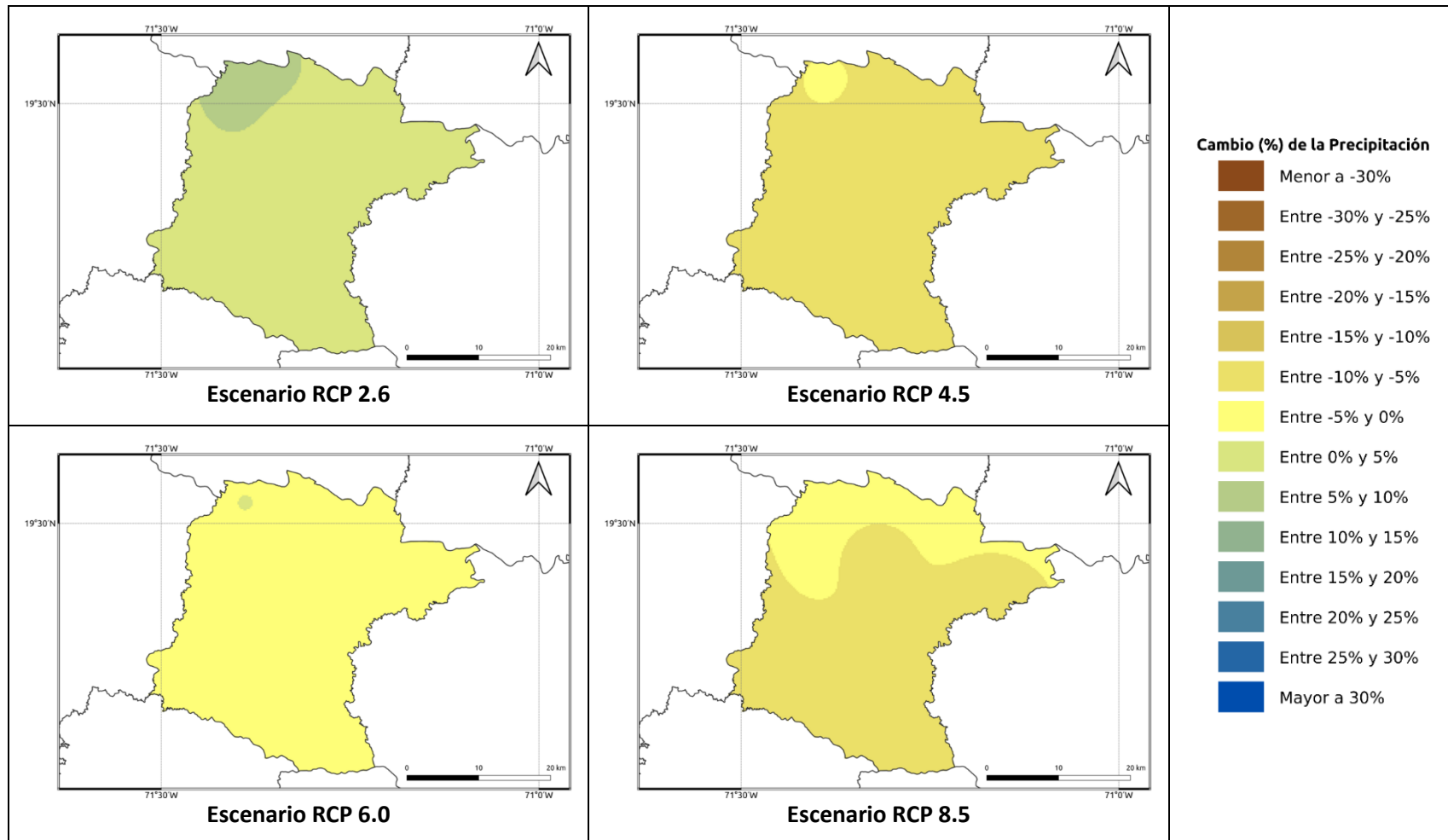


Figura 1.1.30-2. Cambios porcentuales de la precipitación (%) proyectados por el ensamble multimodelo bajo los 4 escenarios RCP en el periodo 2041-2060 para la provincia Santiago Rodríguez.

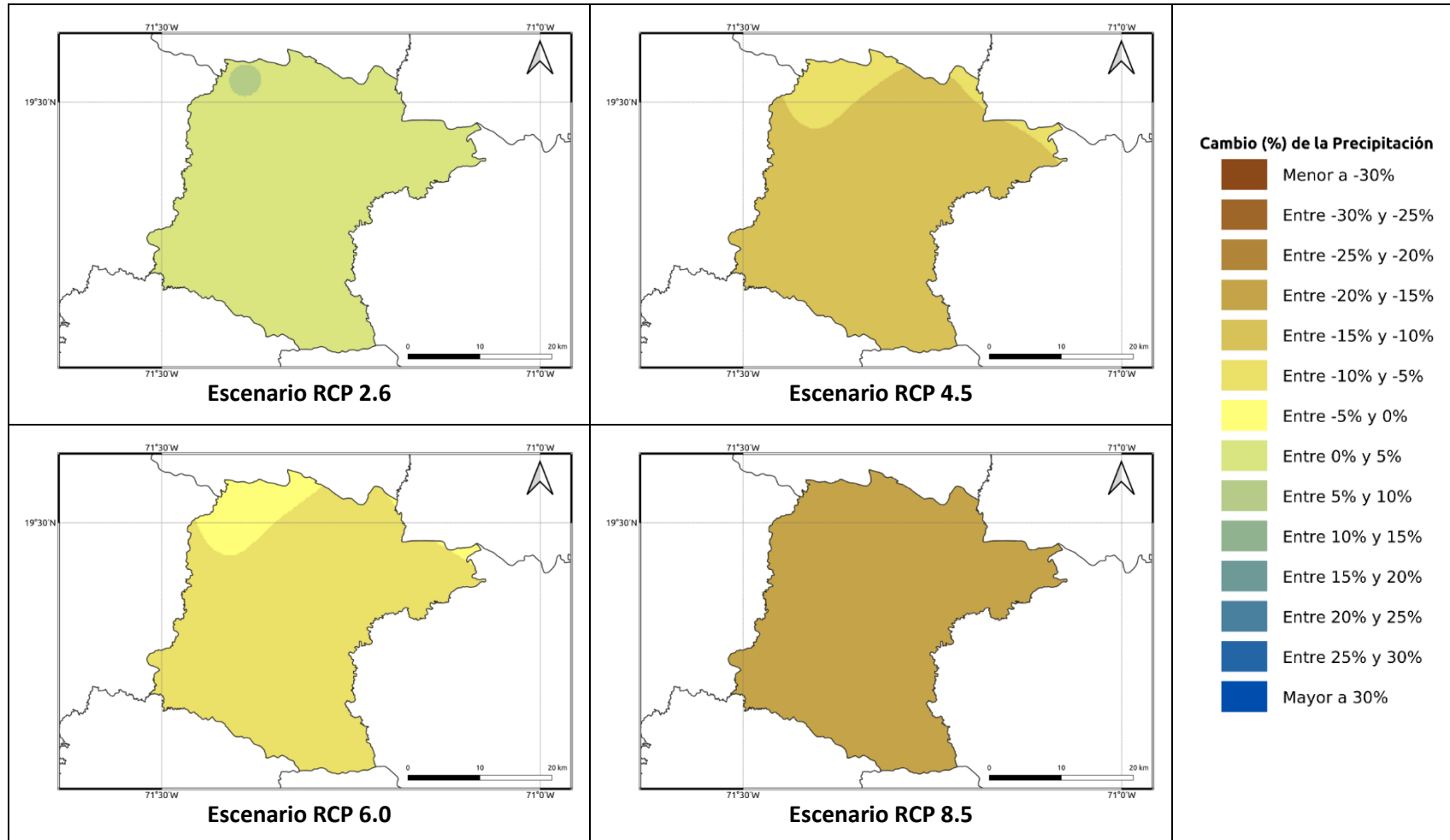


Figura 1.1.30-3. Cambios porcentuales de la precipitación (%) proyectados por el ensamble multimodelo bajo los 4 escenarios RCP en el periodo 2061-2080 para la provincia Santiago Rodríguez.

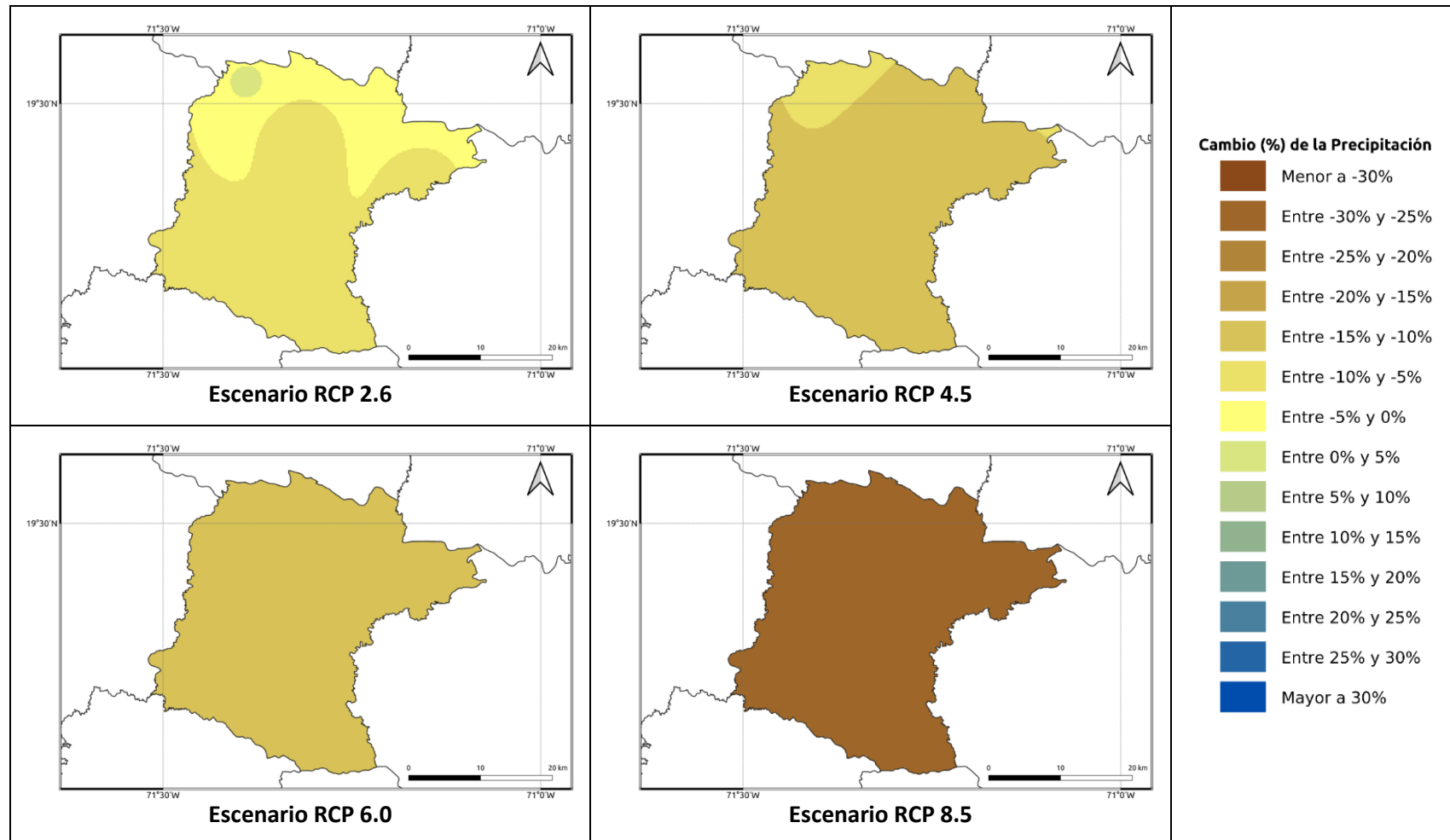


Figura 1.1.30-4. Cambios porcentuales de la precipitación (%) proyectados por el ensamble multimodelo bajo los 4 escenarios RCP en el periodo 2081-2100 para la provincia Santiago Rodríguez.

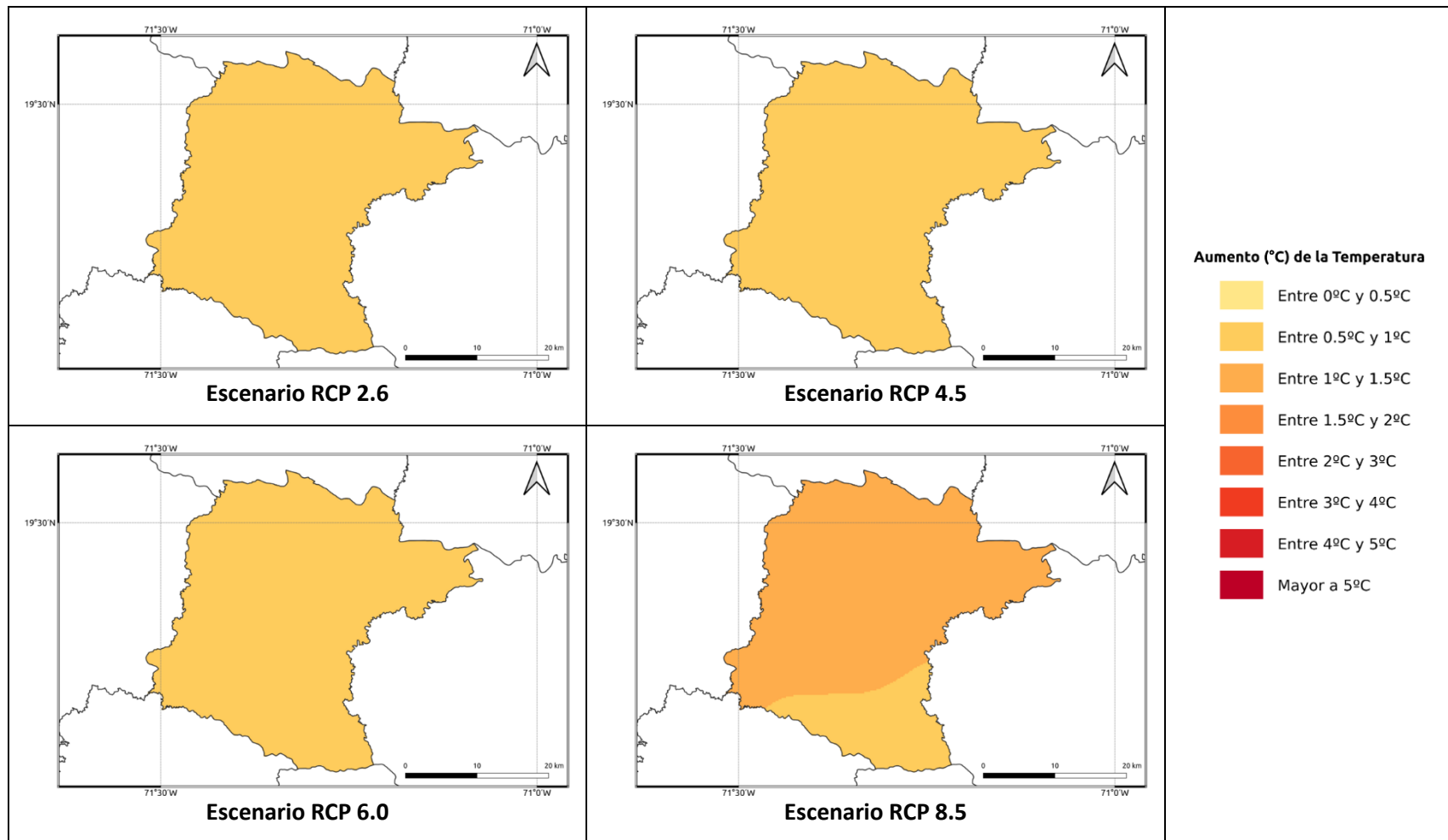


Figura 1.1.30-5. Cambios proyectados en la temperatura máxima (°C) por el ensamble multimodelo bajo los 4 escenarios RCP en el periodo 2021-2040 para la provincia Santiago Rodríguez.

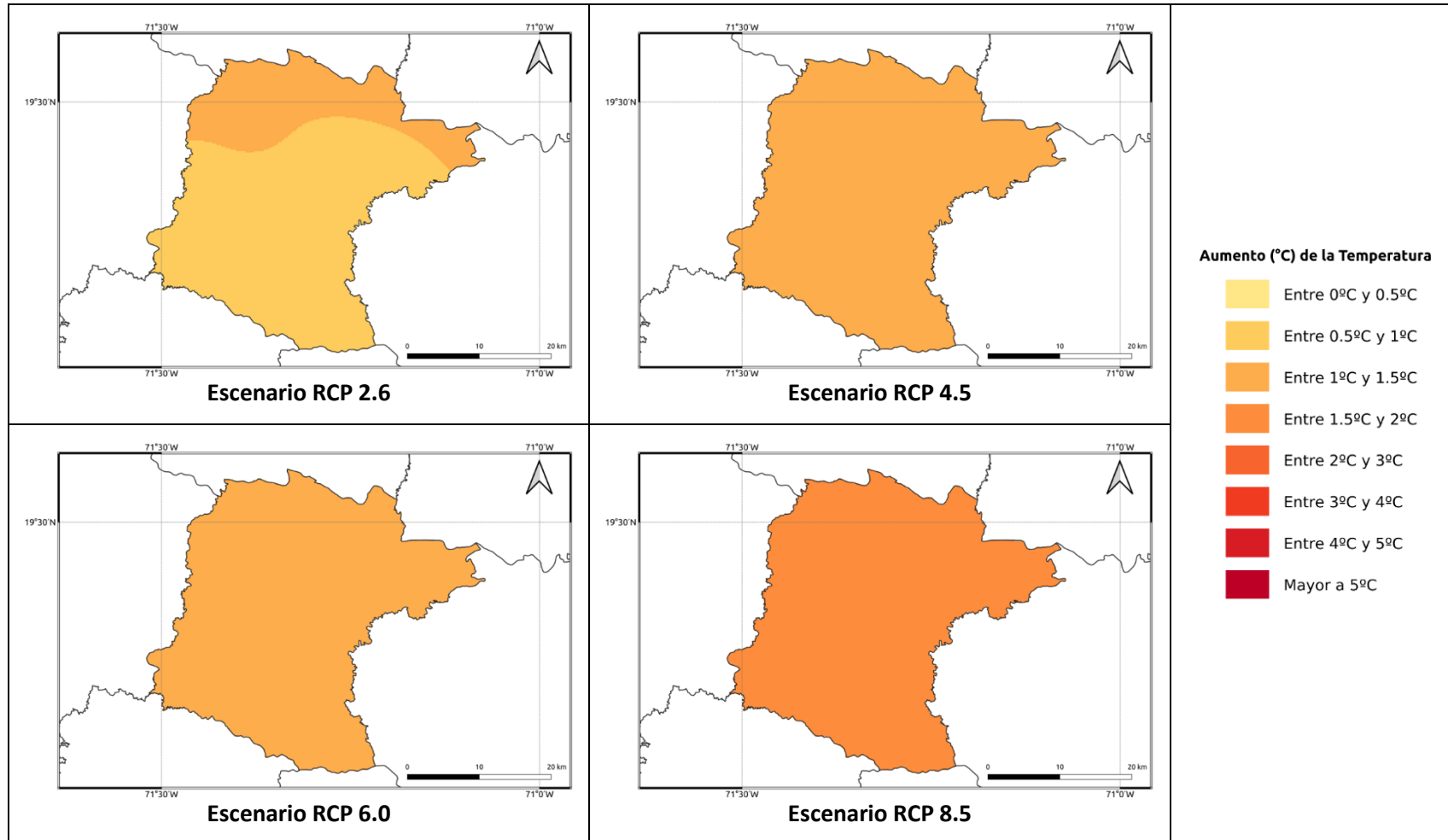


Figura 1.1.30-6. Cambios proyectados en la temperatura máxima (°C) por el ensamble multimodelo bajo los 4 escenarios RCP en el periodo 2041-2060 para la provincia Santiago Rodríguez.

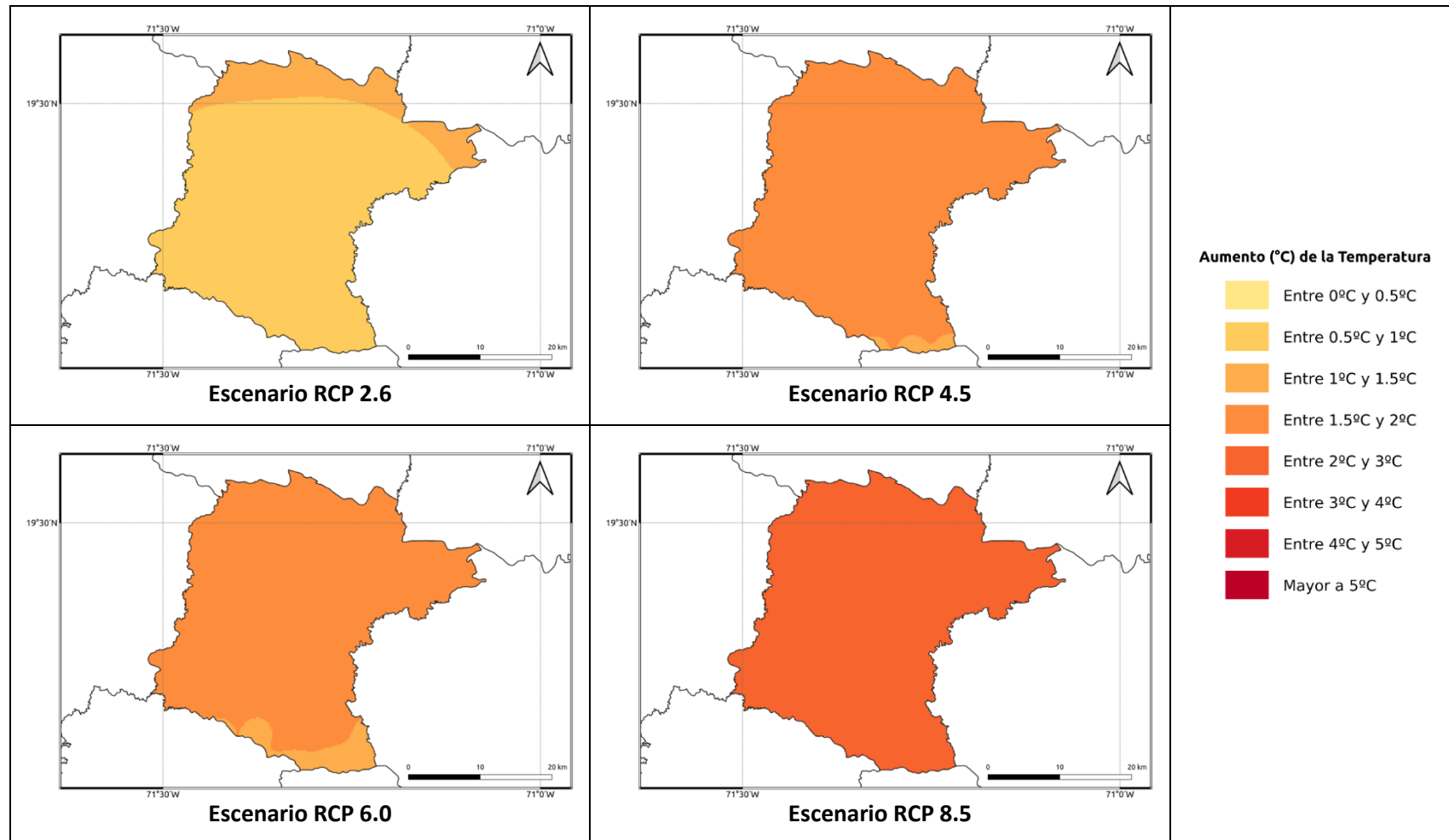


Figura 1.1.30-7. Cambios proyectados en la temperatura máxima (°C) por el ensamble multimodelo bajo los 4 escenarios RCP en el periodo 2061-2080 para la provincia Santiago Rodríguez.

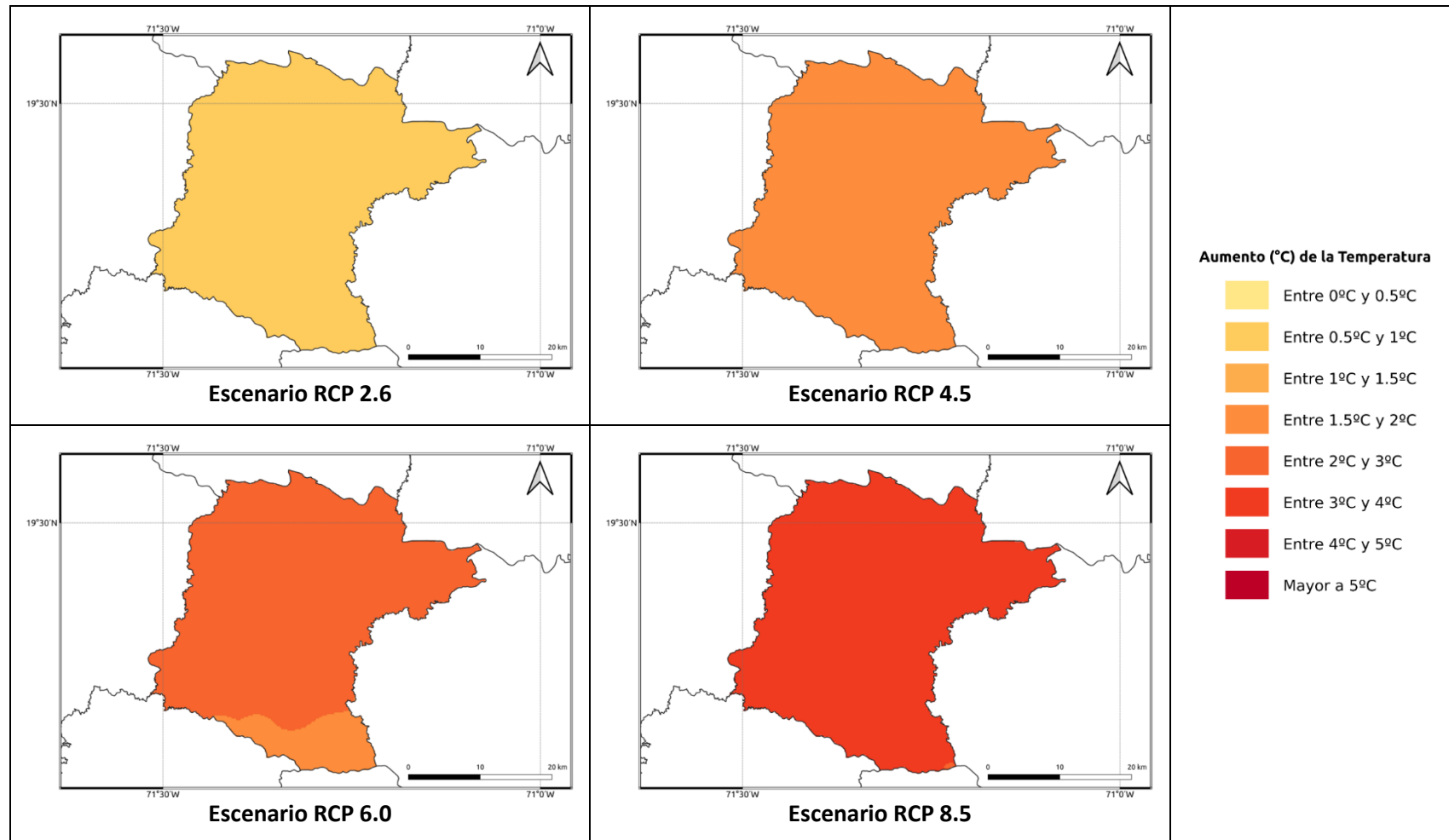
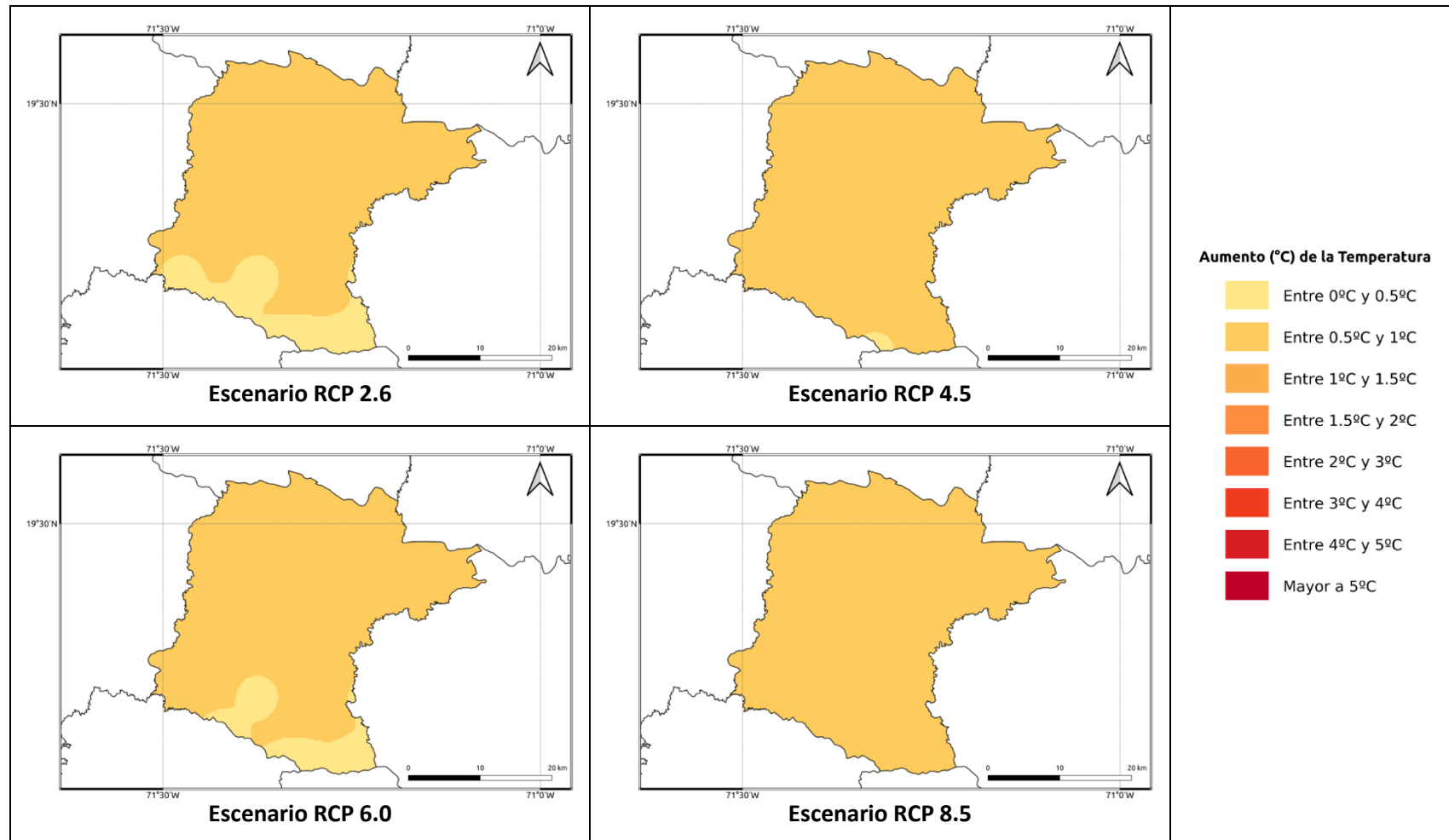


Figura 1.1.30-8. Cambios proyectados en la temperatura máxima (°C) por el ensamble multimodelo bajo los 4 escenarios RCP en el periodo 2081-2100 para la provincia Santiago Rodríguez.



**Figura 1.1.30-9. Cambios proyectados en la temperatura mínima (°C) por el ensamble multimodelo bajo los 4 escenarios RCP en el periodo 2021-2040 para la provincia Santiago Rodríguez.**

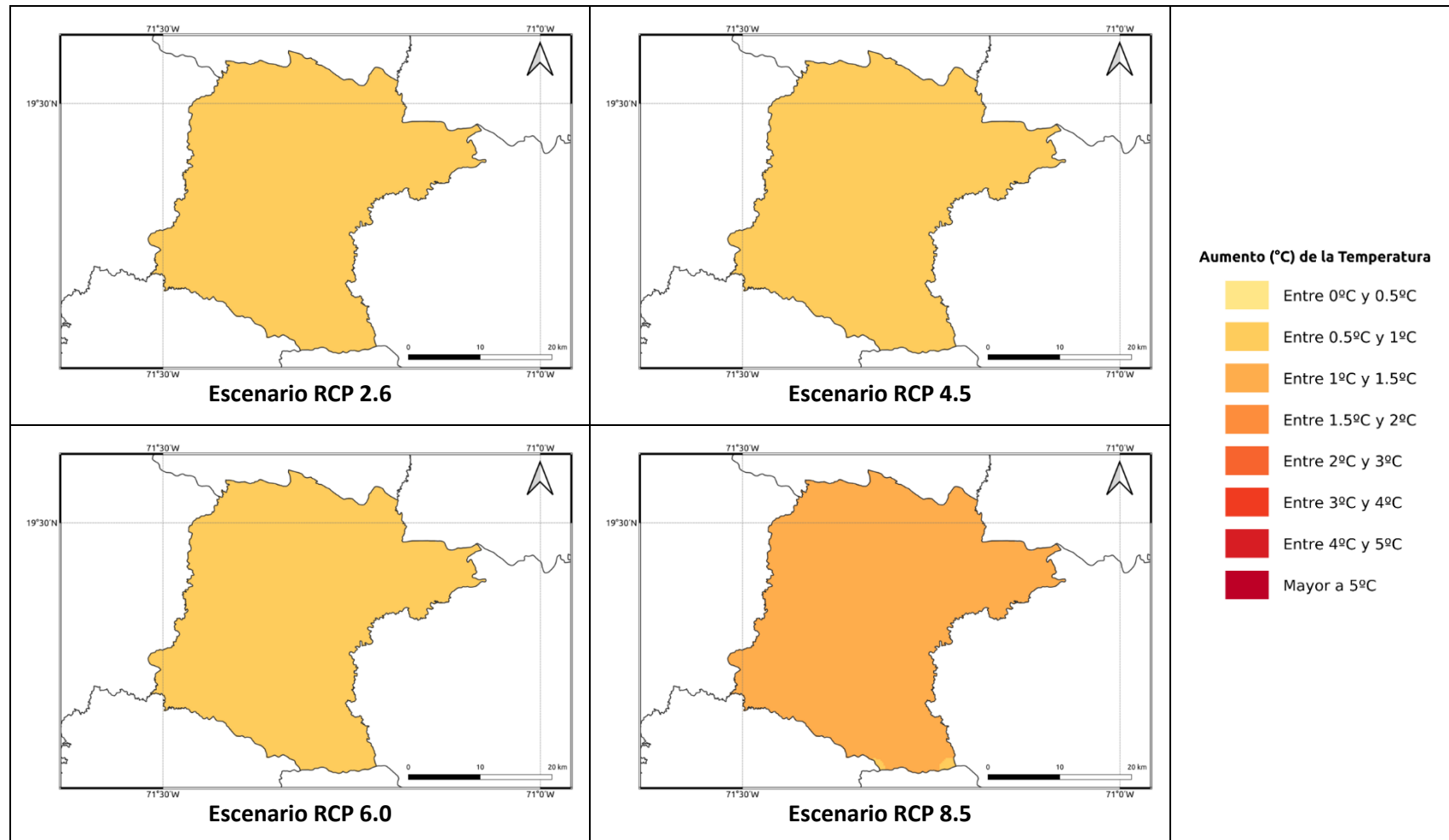


Figura 1.1.30-10. Cambios proyectados en la temperatura mínima (°C) por el ensamble multimodelo bajo los 4 escenarios RCP en el periodo 2041-2060 para la provincia Santiago Rodríguez.

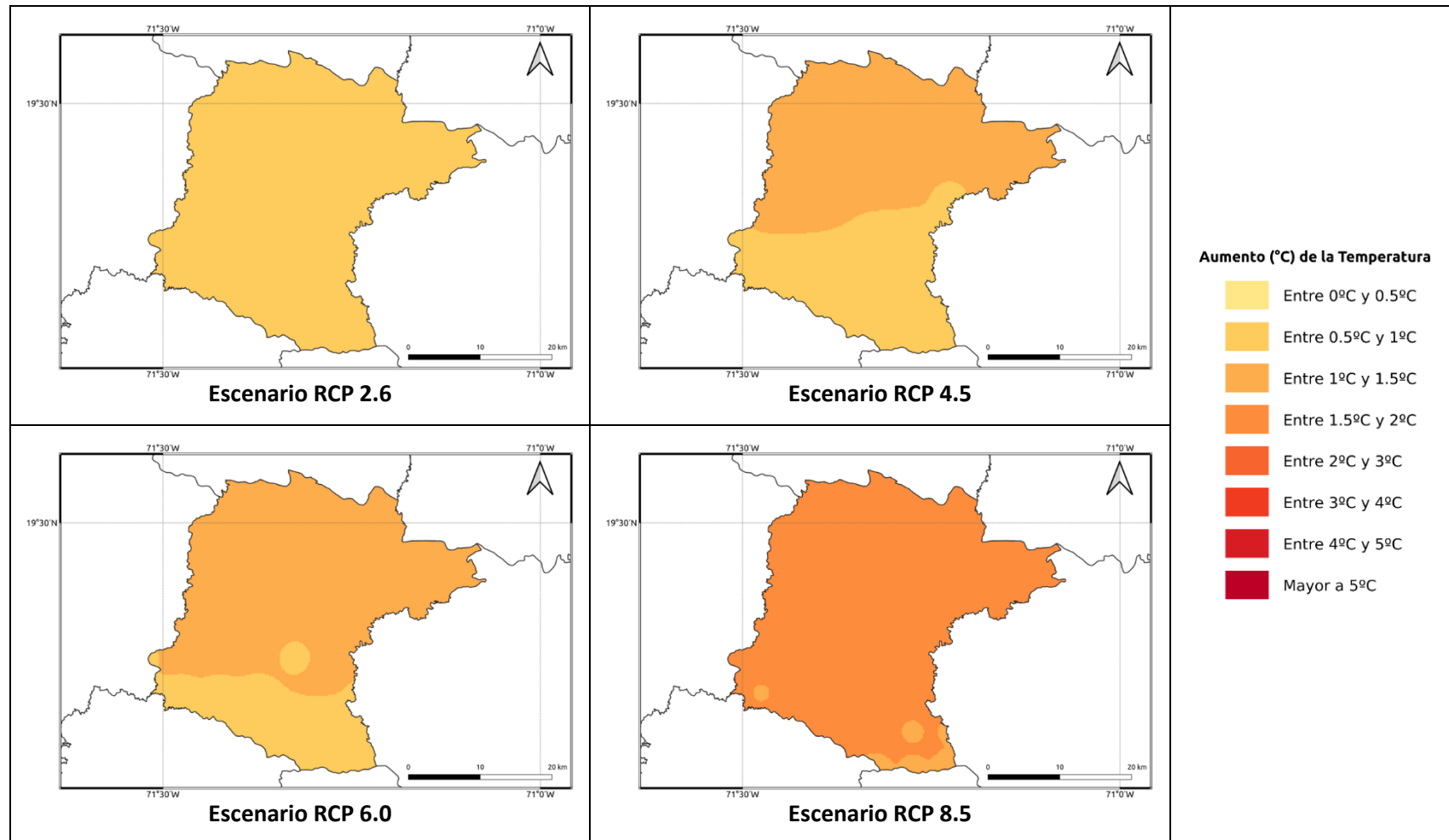


Figura 1.1.30-11. Cambios proyectados en la temperatura mínima (°C) por el ensamble multimodelo bajo los 4 escenarios RCP en el periodo 2061-2080 para la provincia Santiago Rodríguez.

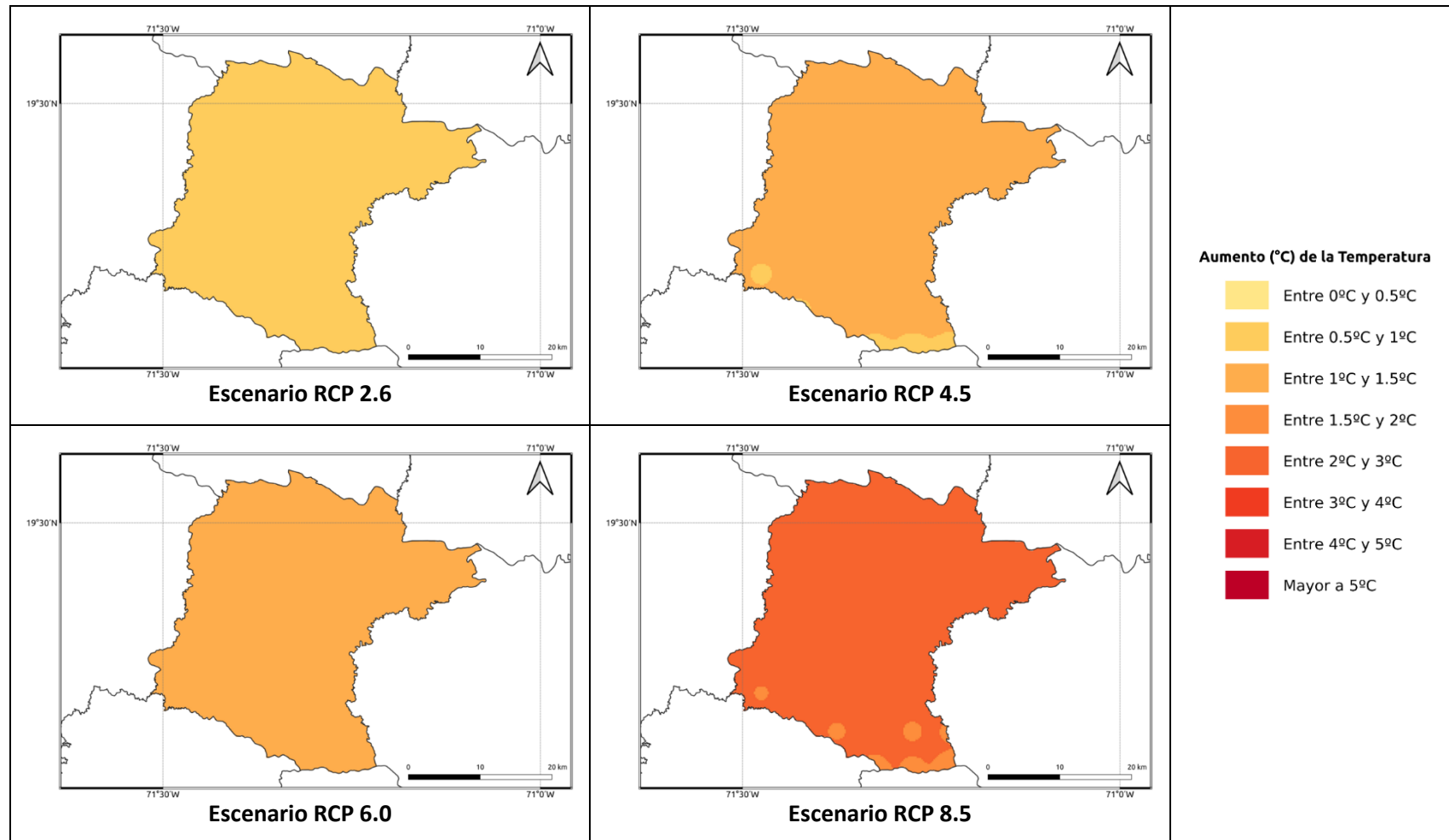
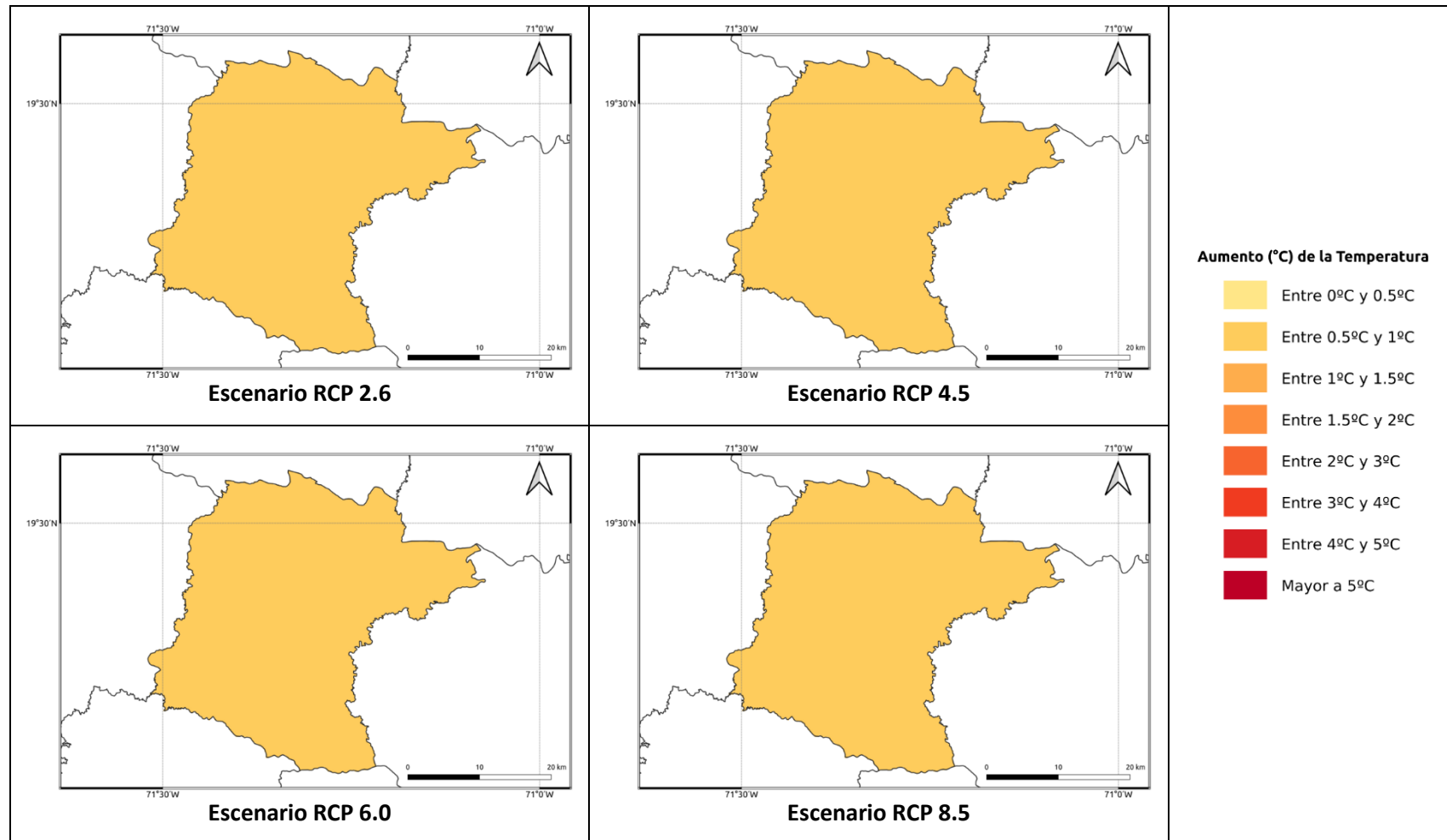
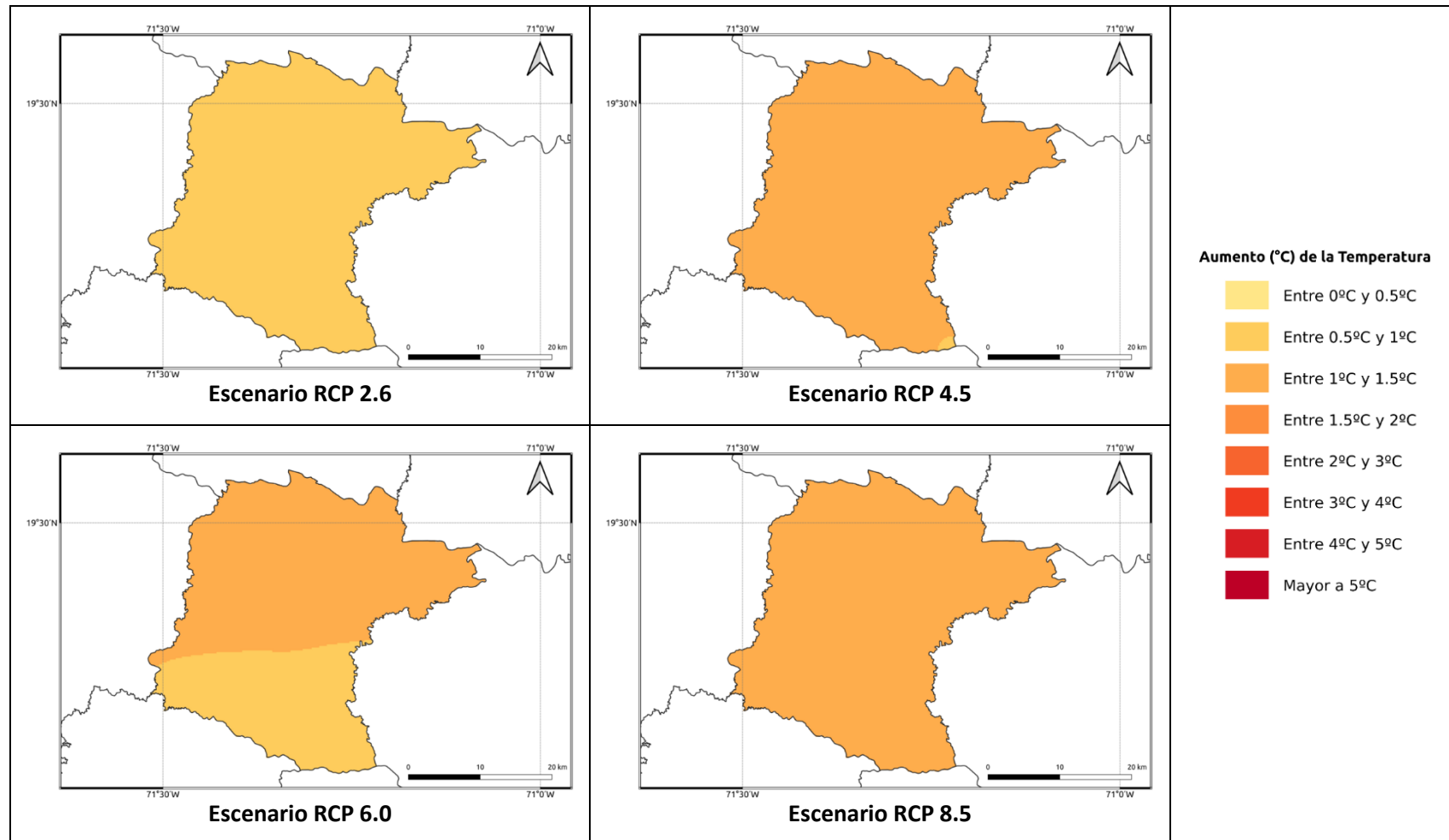


Figura 1.1.30-12. Cambios proyectados en la temperatura mínima (°C) por el ensamble multimodelo bajo los 4 escenarios RCP en el periodo 2081-2100 para la provincia Santiago Rodríguez.



**Figura 1.1.30-13. Cambios proyectados en la temperatura media (°C) por el ensamble multimodelo bajo los 4 escenarios RCP en el periodo 2021-2040 para la provincia Santiago Rodríguez.**



**Figura 1.1.30-14. Cambios proyectados en la temperatura media (°C) por el ensamble multimodelo bajo los 4 escenarios RCP en el periodo 2041-2060 para la provincia Santiago Rodríguez.**

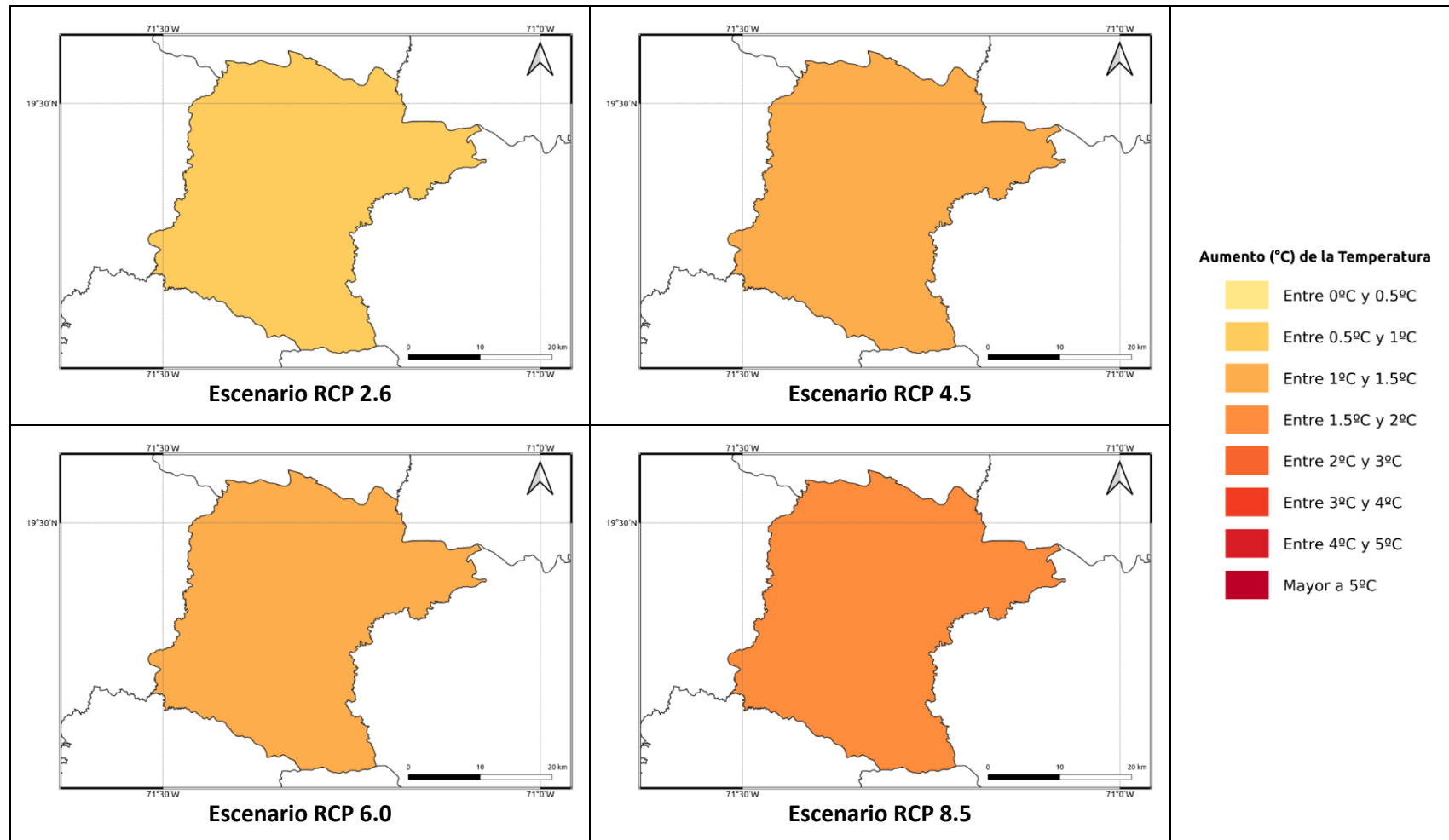


Figura 1.1.30-15. Cambios proyectados en la temperatura media (°C) por el ensamble multimodelo bajo los 4 escenarios RCP en el periodo 2061-2080 para la provincia Santiago Rodríguez.

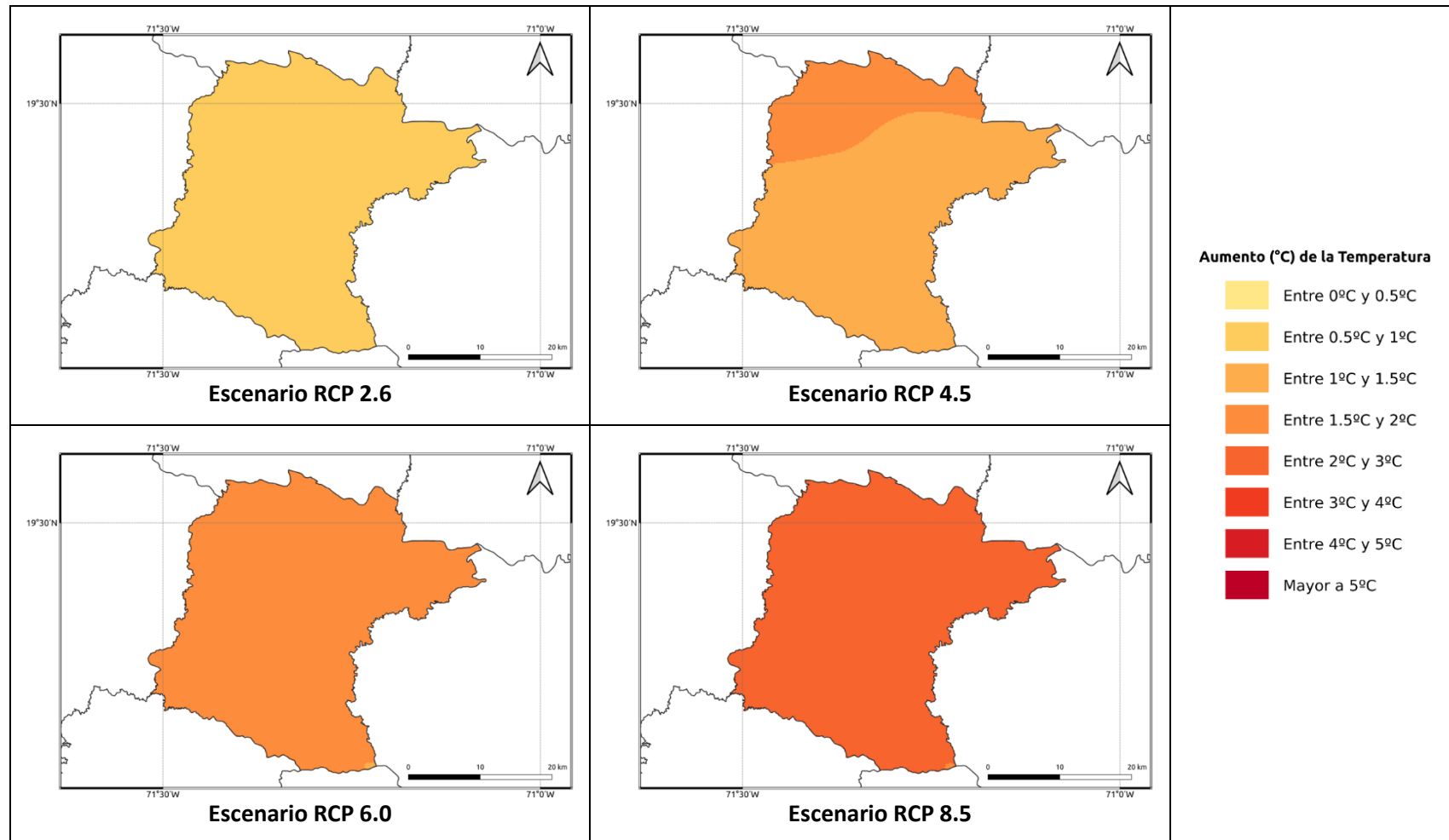


Figura 1.1.30-16. Cambios proyectados en la temperatura media (°C) por el ensamble multimodelo bajo los 4 escenarios RCP en el periodo 2081-2100 para la provincia Santiago Rodríguez.

### **1.1.31 PROVINCIA SANTO DOMINGO**

A continuación, se presenta el análisis espacial de los cambios de las variables climáticas a nivel anual para la provincia **Santo Domingo**. Los cambios a nivel estacional (trimestral) se pueden consultar en el Anexo 32.

#### **Precipitación**

Para esta variable, en el periodo de corto plazo 2021-2040 se presentarían cambios dentro del rango normal de variabilidad (del orden del 5%), con aumentos de esta magnitud bajo los escenarios RCP 2.6 y 6.0 en la mayor parte de la provincia, y reducciones en el centro de la misma bajo el RCP 2.6. En los escenarios RCP 4.5 y 8.5 se darían reducciones de la misma magnitud, y dándose disminuciones del 8% bajo el último escenario (Figura 1.1.31-1). Para el siguiente periodo (2041-2060), bajo el RCP 2.6 se mantiene el aumento de la precipitación del orden del 5% en la mayor parte de la provincia (y la reducción de la misma magnitud al centro de la misma), y en los demás escenarios la tendencia sería a la reducción de la precipitación entre un 4-9% (Figura 1.1.31-2). Para el periodo 2061-2080 los 4 escenarios presentarían reducciones (aunque bajo el RCP 2.6 aún se presenta una tendencia al aumento de la precipitación hacia el occidente de la provincia), del orden del 5% bajo el RCP 2.6, entre 12-14% bajo el RCP 4.5, entre 7-9% bajo el RCP 6.0 y del 21-24% bajo el RCP 8.5 (Figura 1.1.31-3). Por último, para finales de siglo bajo los 4 escenarios también se presentarían reducciones de la precipitación, siendo las de menor magnitud bajo el RCP 2.6 (entre 6-8%) y las más altas bajo el RCP 8.5, con reducciones de más del 30% (Figura 1.1.31-4).

#### **Temperatura Máxima**

La temperatura máxima presentaría incrementos bajo los 4 RCP en todos los periodos analizados. En el periodo de corto plazo (2021-2040) la temperatura aumentaría entre 0.7 y 1.3°C, con aumentos de más de 1°C bajo el RCP 8.5 (Figura 1.1.31-5). Para 2041-2060, los aumentos serían de 1.1 a 1.4°C bajo los primeros 3 RCP (2.6, 4.5 y 6.0), y de 1.5 a 1.8°C bajo el RCP 8.5 (Figura 1.1.31-6). En el periodo 2061-2080 los aumentos serían de 1.1 a 2.4°C, manteniéndose el incremento de 1.1 a 1.4°C bajo el RCP 2.6, siendo de 1.5 a 1.8°C bajo los RCP 4.5 y 6.0 y de 2.6°C bajo el RCP 8.5 (Figura 1.1.31-7). Para finales de siglo, los aumentos serían de 0.7 a 1.1°C bajo el RCP 2.6, de 1.6 a 1.9°C bajo el RCP 4.5, de 2.1 a 2.4°C bajo el RCP 6.0 y de 3.2 a 3.8°C bajo el RCP 8.5 (Figura 1.1.31-8).

#### **Temperatura Mínima**

En el primer periodo (2021-2040), ésta se incrementaría de 0.3 a 0.8°C en los 4 escenarios RCP (Figura 1.1.31-9). Para 2041-2060 aumentaría de 0.7 a 0.9°C en los 3



primeros escenarios (aunque bajo el RCP 4.5 habría incrementos de 1.1°C en algunas zonas del centro y sur de la provincia), y bajo el RCP 8.5 habría aumentos de 1.3°C (Figura 1.1.31-10). En el periodo 2061-2080 la temperatura mínima se incrementaría entre 0.6 y 0.8°C bajo el RCP 2.6, entre 1.1 y 1.4°C bajo los RCP 4.5 y 6.0 y entre 1.7 y 2.2°C bajo el RCP 8.5, dándose los mayores aumentos hacia el sur de la provincia (Figura 1.1.31-11). Por último, para finales de siglo se mantendría un aumento de 0.8°C en el RCP 2.6, entre 1.1 y 1.4°C bajo el RCP 4.5, entre 1.5 y 1.8°C bajo el RCP 6.0 y de 2.2 a 2.6°C bajo el RCP 8.5 (Figura 1.1.31-12).

#### ***Temperatura Media***

La temperatura media se incrementaría entre 0.6 y 0.8°C en el periodo 2021-2040 bajo los 4 escenarios RCP (Figura 1.1.31-13). En el periodo 2041-2060 se mantendría este mismo rango bajo el RCP 2.6, y en los otros 3 escenarios aumentaría de 1.1 a 1.5°C (Figura 1.1.31-14). Para 2061-2080 la temperatura media aumentaría de 0.7 a 0.8°C bajo el RCP 2.6, de 1.2 a 1.4°C bajo los RCP 4.5 y 6.0 y de 1.7 a 2.4°C bajo el RCP 8.5, con los incrementos más altos en algunas zonas del centro y oriente de la provincia (Figura 1.1.31-15). Finalmente, para el periodo 2081-2100 la temperatura subiría entre 0.6 y 0.8°C bajo el RCP 2.6, entre 1.4 y 1.9°C bajo los RCP 4.5 y 6.0 y de 2.4 a 2.8°C bajo el RCP 8.5 (Figura 1.1.31-16).

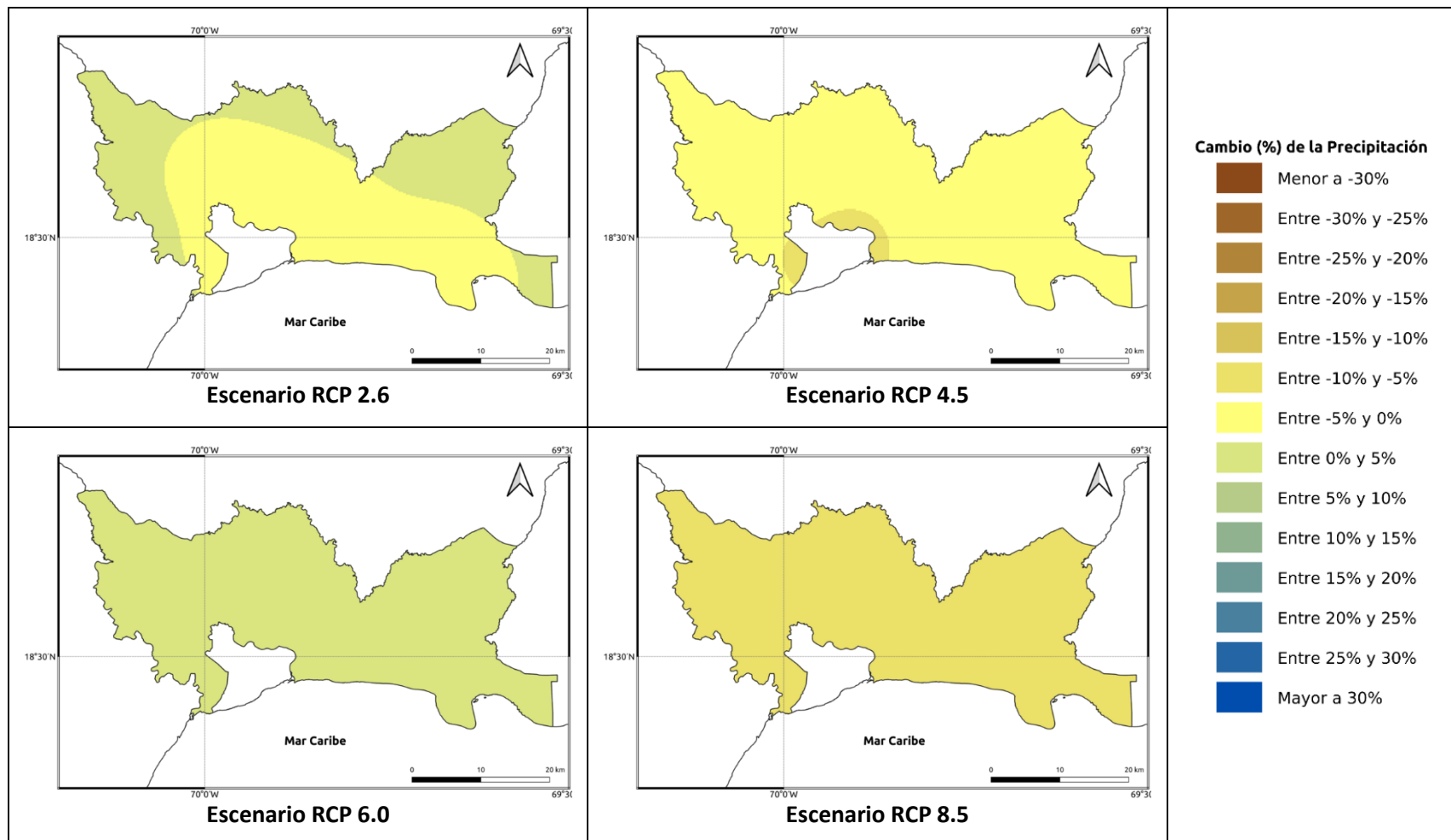


Figura 1.1.31-1. Cambios porcentuales de la precipitación (%) proyectados por el ensamble multimodelo bajo los 4 escenarios RCP en el periodo 2021-2040 para la provincia Santo Domingo.

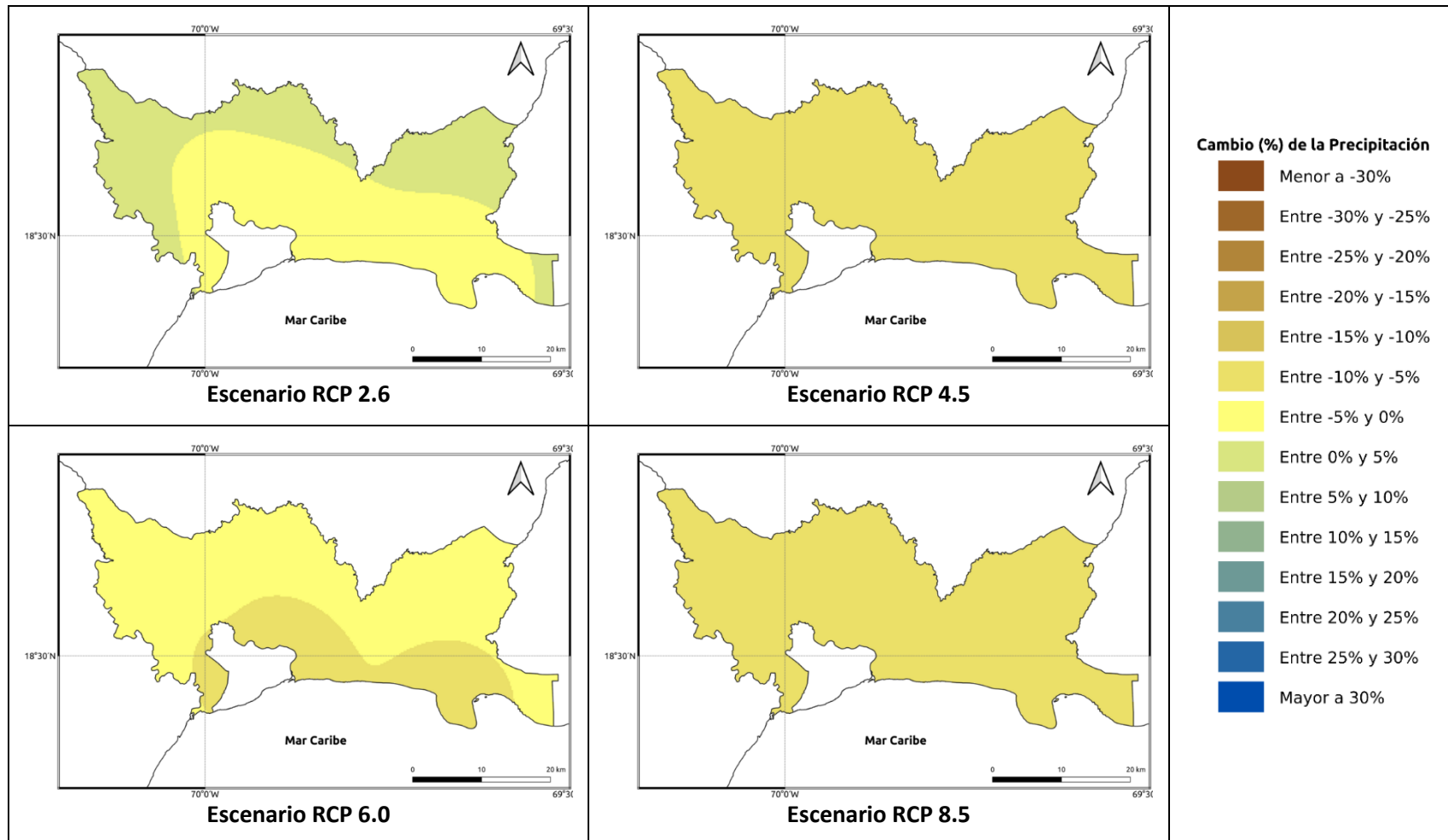
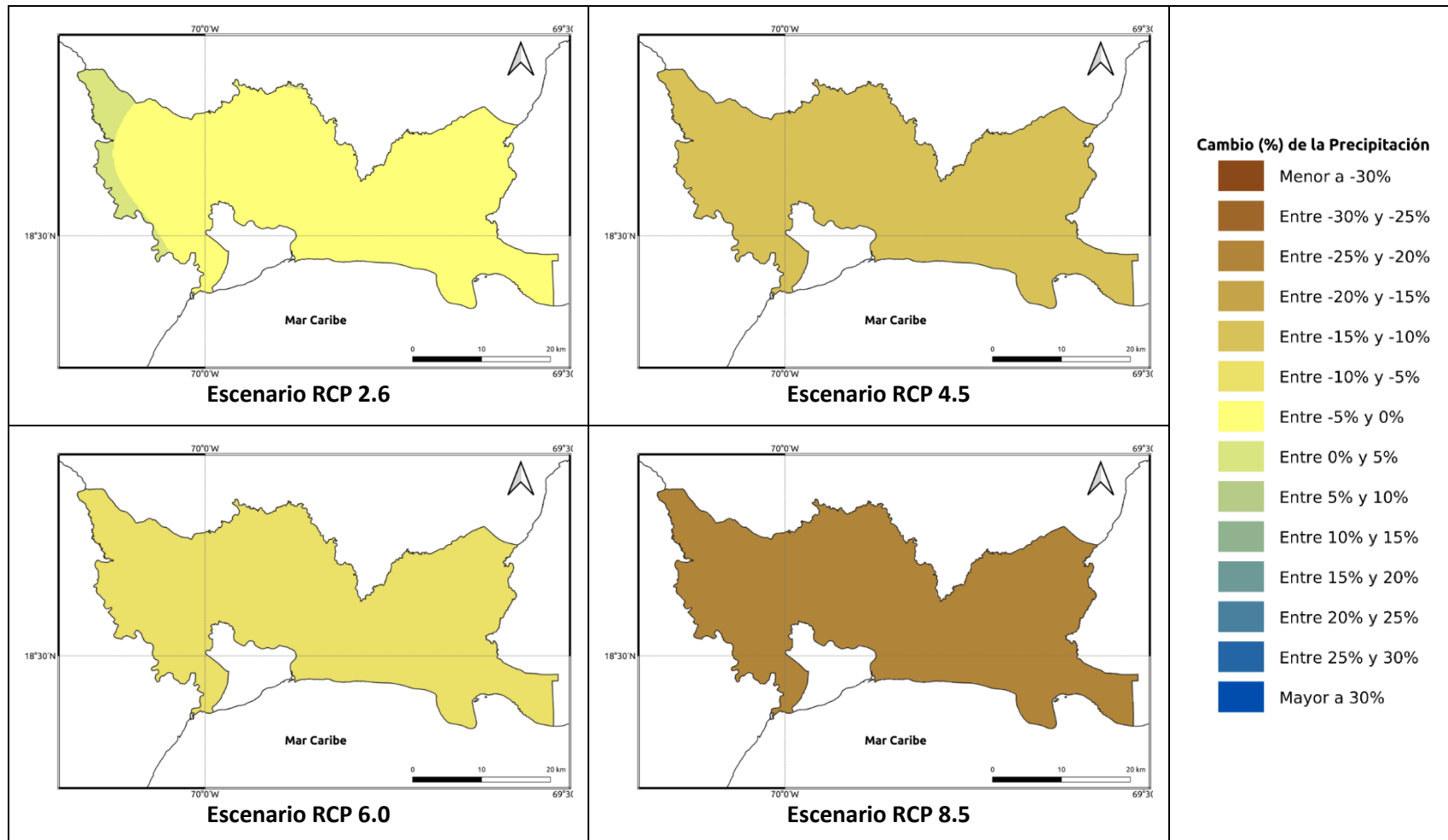
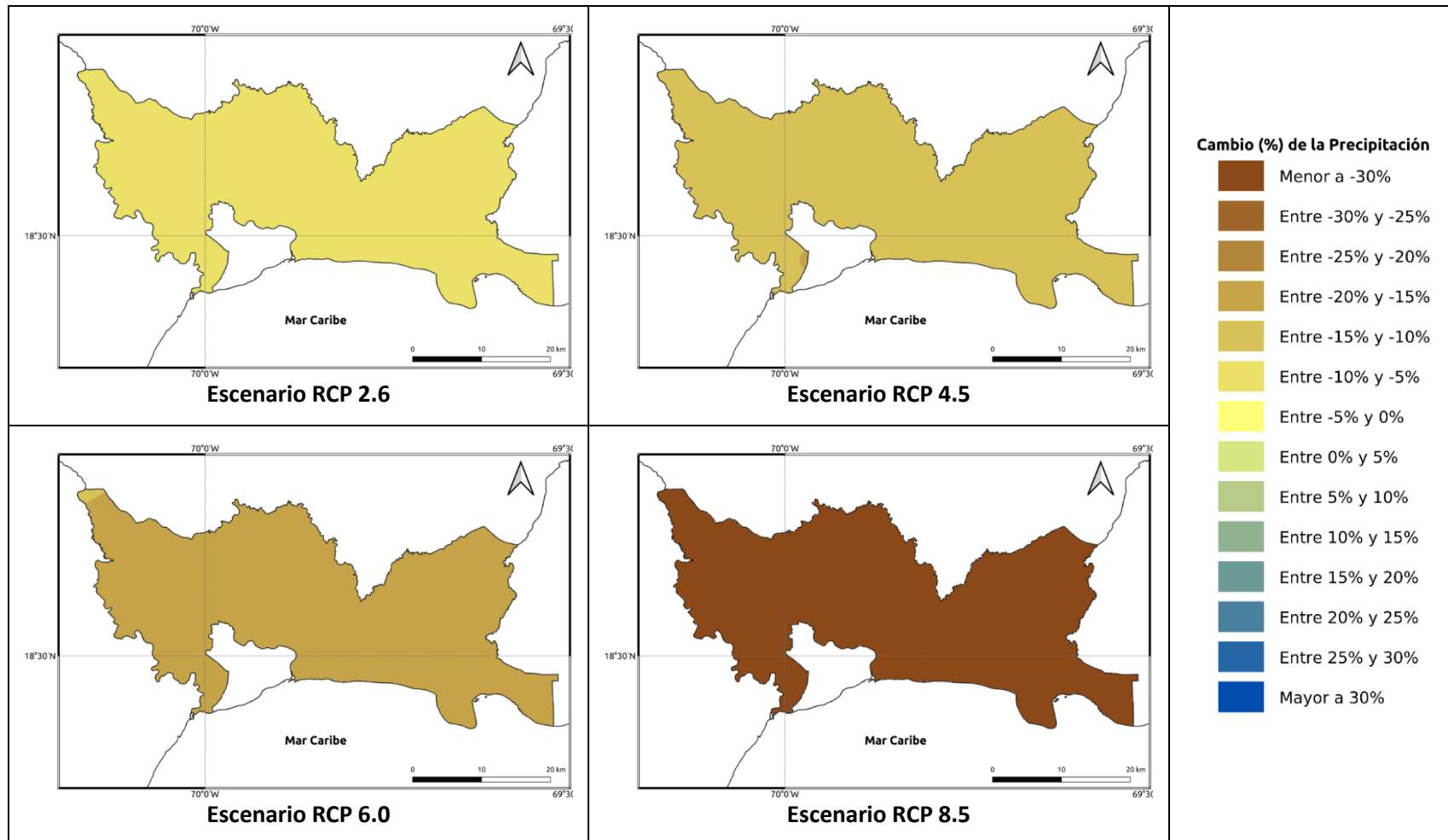


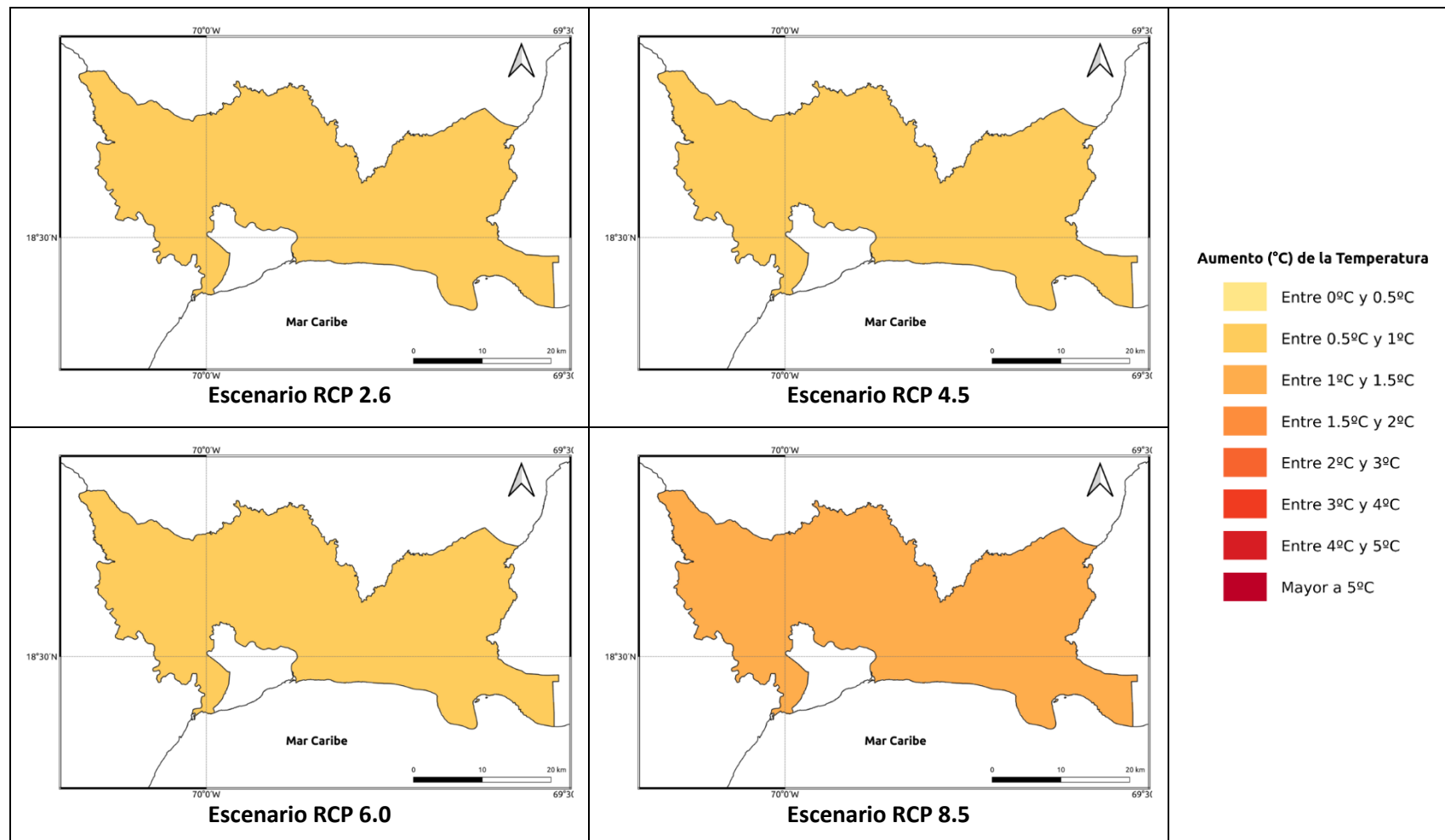
Figura 1.1.31-2. Cambios porcentuales de la precipitación (%) proyectados por el ensamble multimodelo bajo los 4 escenarios RCP en el periodo 2041-2060 para la provincia Santo Domingo.



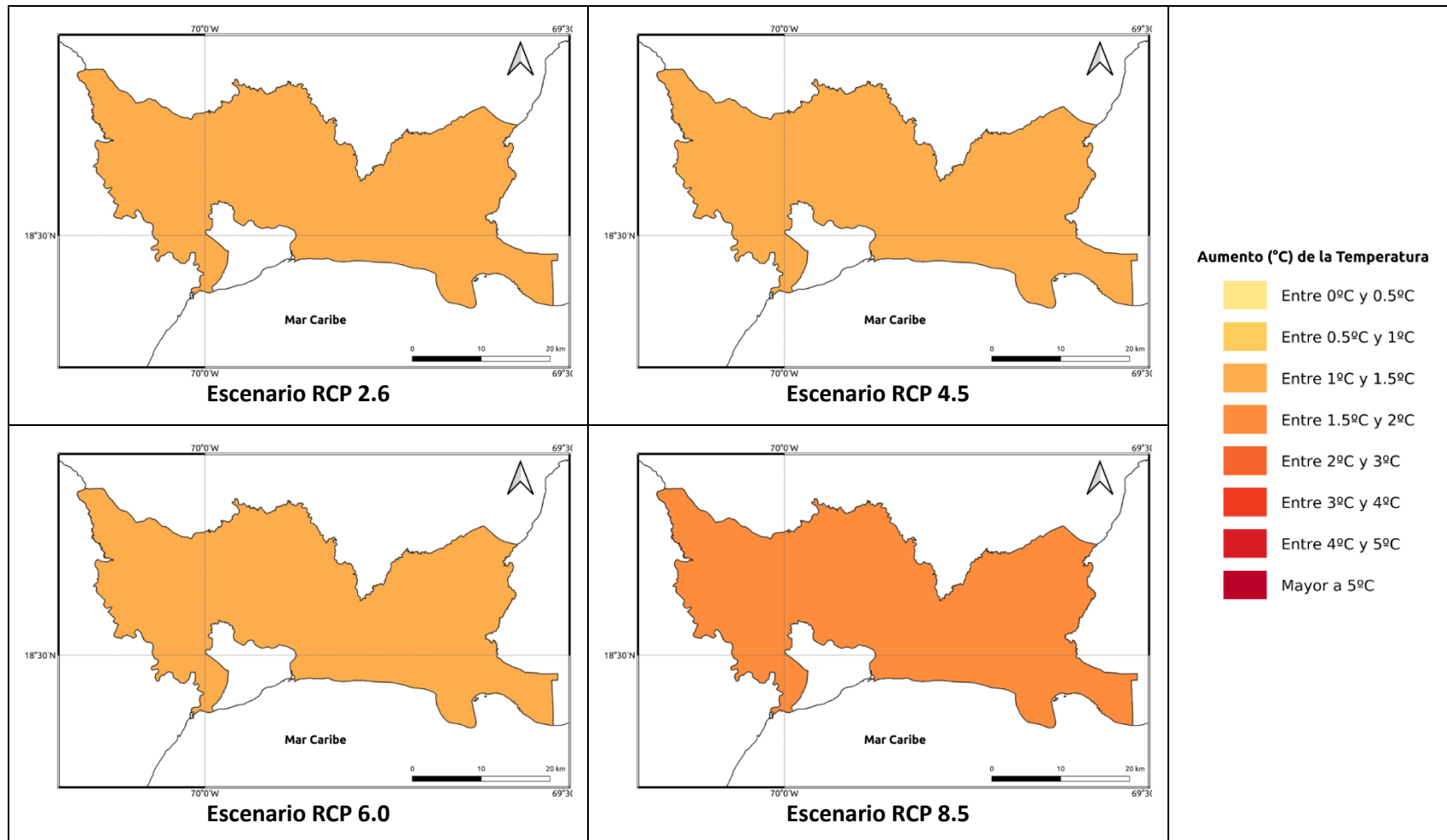
**Figura 1.1.31-3. Cambios porcentuales de la precipitación (%) proyectados por el ensamble multimodelo bajo los 4 escenarios RCP en el periodo 2061-2080 para la provincia Santo Domingo.**



**Figura 1.1.31-4. Cambios porcentuales de la precipitación (%) proyectados por el ensamble multimodelo bajo los 4 escenarios RCP en el periodo 2081-2100 para la provincia Santo Domingo.**



**Figura 1.1.31-5. Cambios proyectados en la temperatura máxima (°C) por el ensamble multimodelo bajo los 4 escenarios RCP en el periodo 2021-2040 para la provincia Santo Domingo.**



**Figura 1.1.31-6. Cambios proyectados en la temperatura máxima (°C) por el ensamble multimodelo bajo los 4 escenarios RCP en el periodo 2041-2060 para la provincia Santo Domingo.**

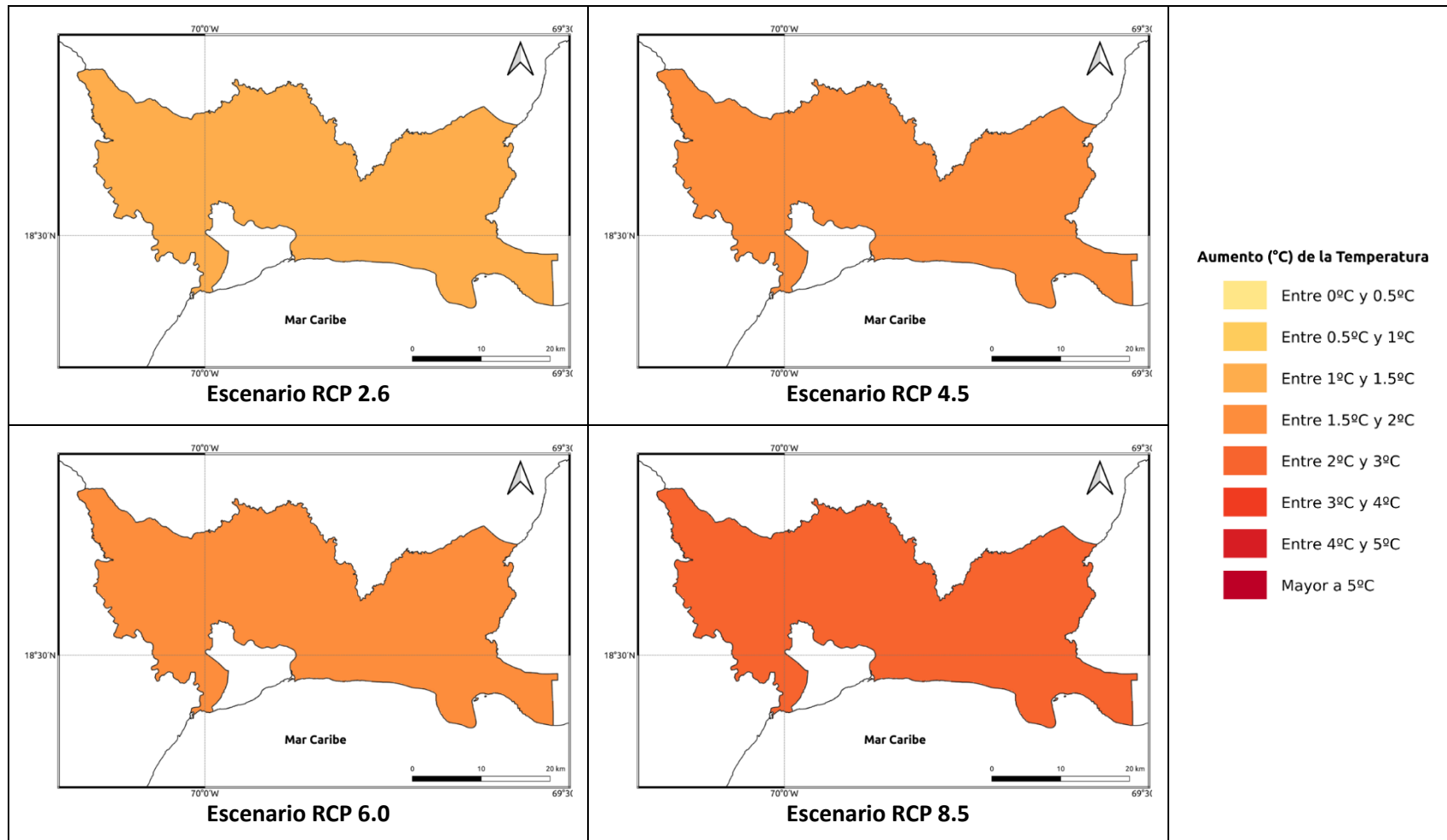
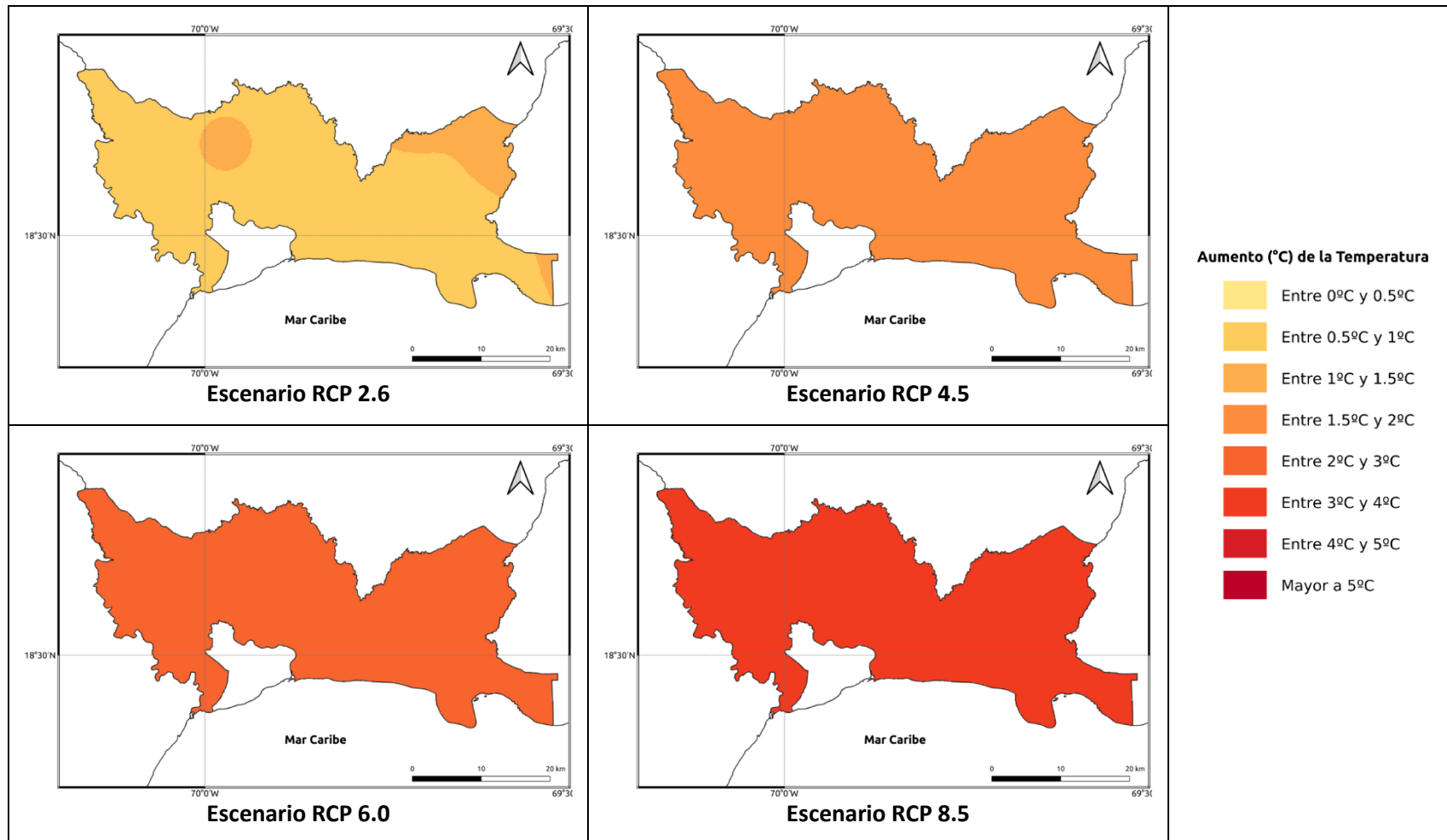


Figura 1.1.31-7. Cambios proyectados en la temperatura máxima (°C) por el ensamble multimodelo bajo los 4 escenarios RCP en el periodo 2061-2080 para la provincia Santo Domingo.



**Figura 1.1.31-8. Cambios proyectados en la temperatura máxima (°C) por el ensamble multimodelo bajo los 4 escenarios RCP en el periodo 2081-2100 para la provincia Santo Domingo.**

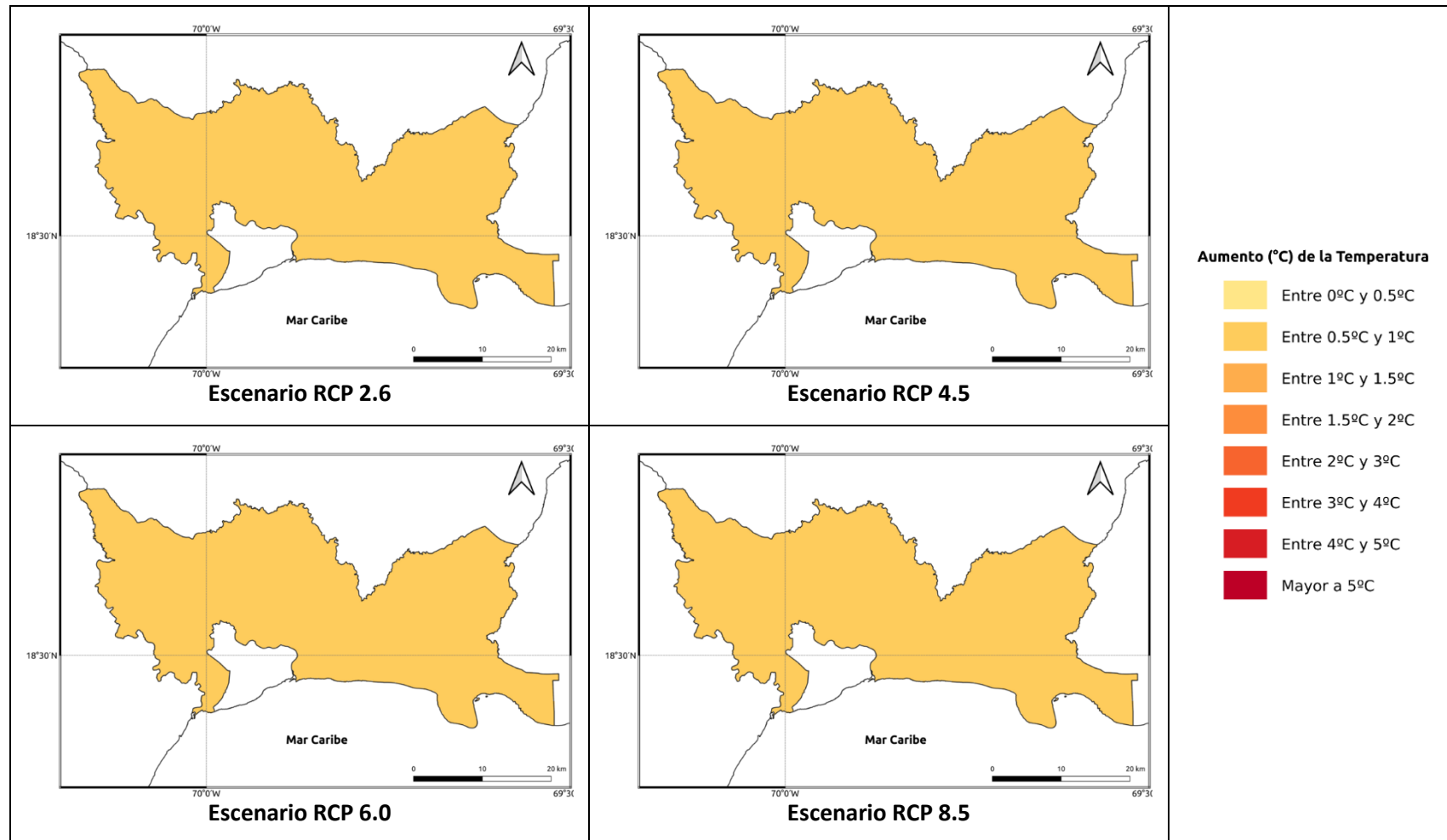
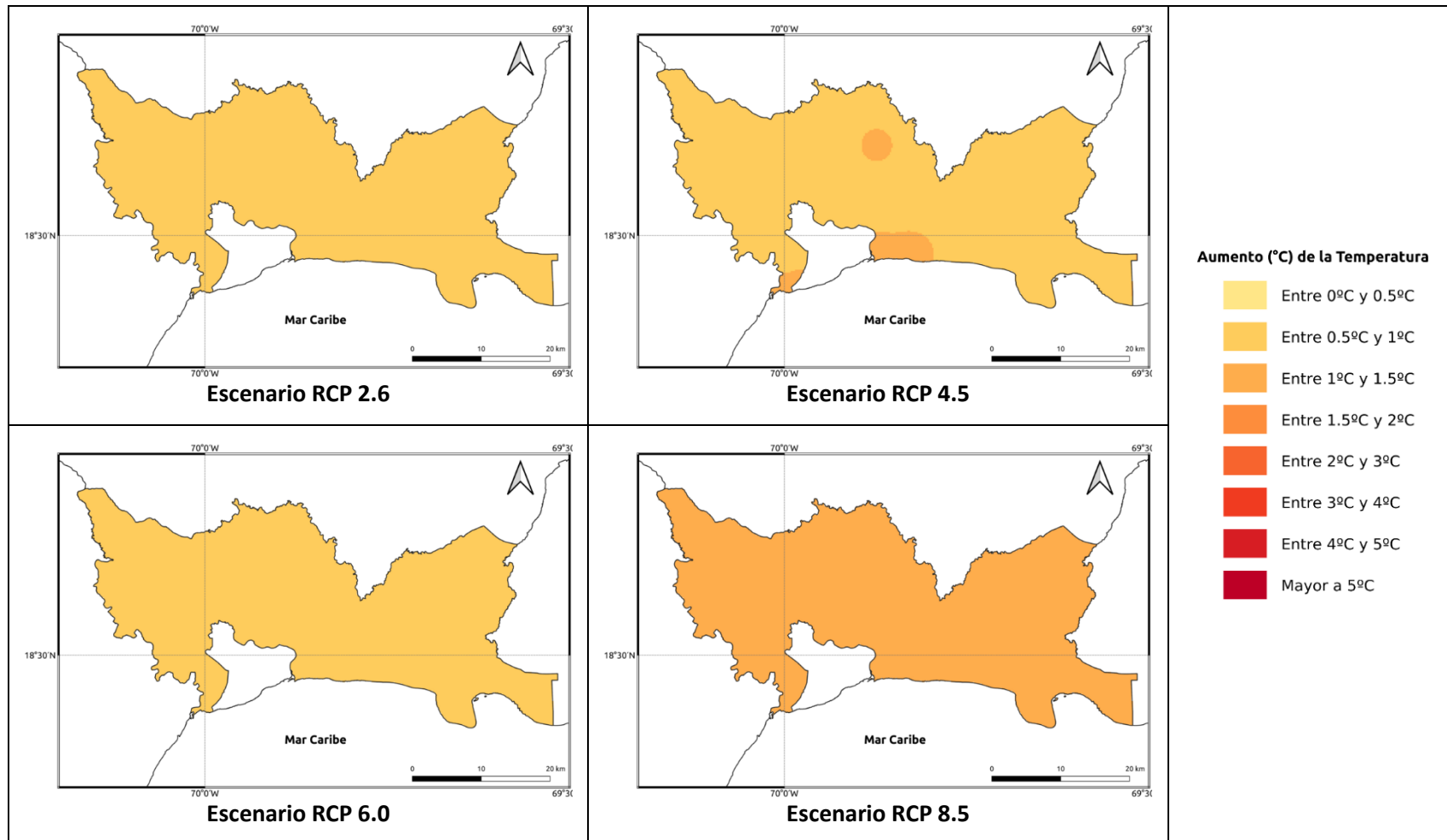
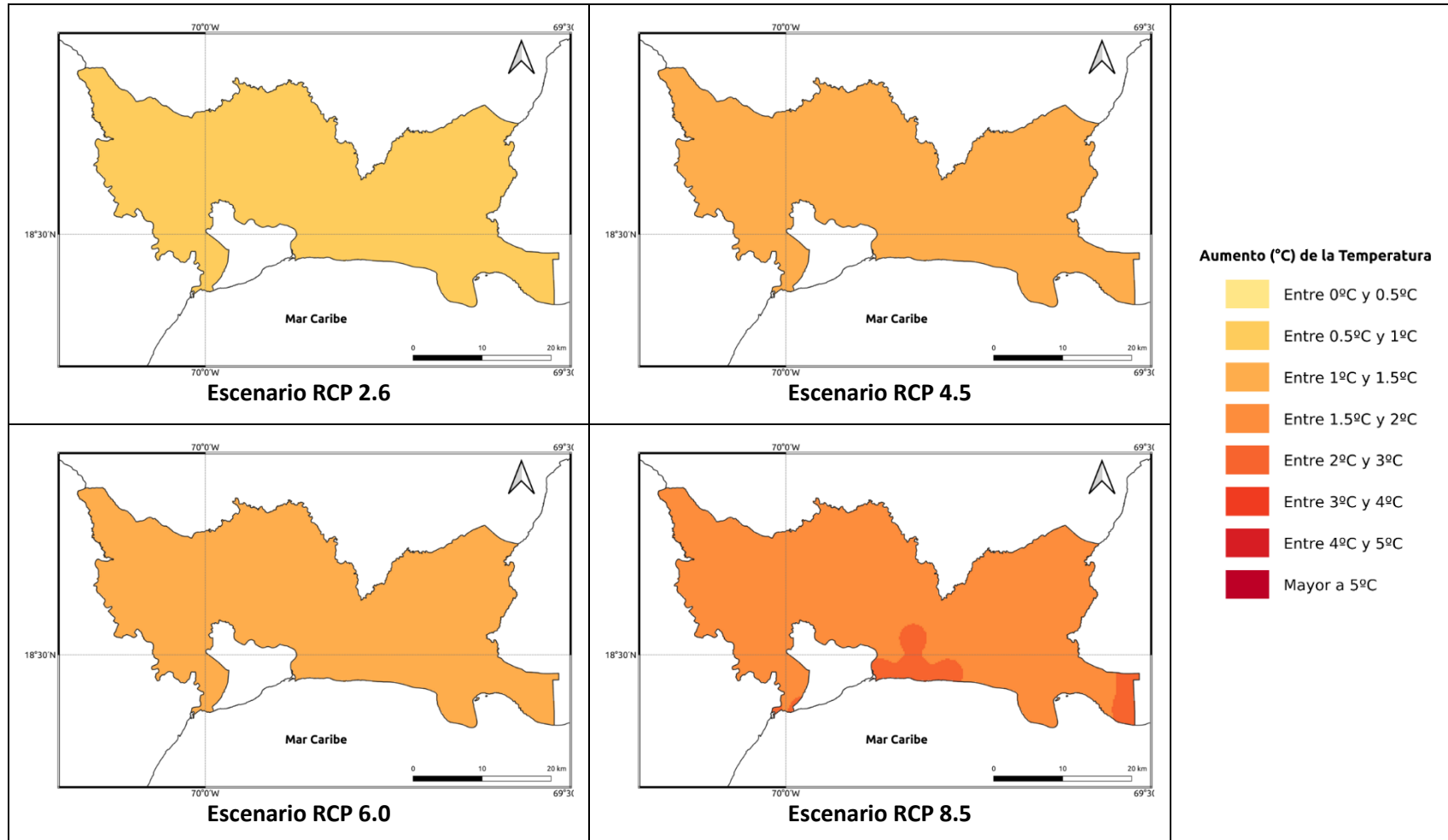


Figura 1.1.31-9. Cambios proyectados en la temperatura mínima (°C) por el ensamble multimodelo bajo los 4 escenarios RCP en el periodo 2021-2040 para la provincia Santo Domingo.



**Figura 1.1.31-10. Cambios proyectados en la temperatura mínima (°C) por el ensamble multimodelo bajo los 4 escenarios RCP en el periodo 2041-2060 para la provincia Santo Domingo.**



**Figura 1.1.31-11. Cambios proyectados en la temperatura mínima (°C) por el ensamble multimodelo bajo los 4 escenarios RCP en el periodo 2061-2080 para la provincia Santo Domingo.**

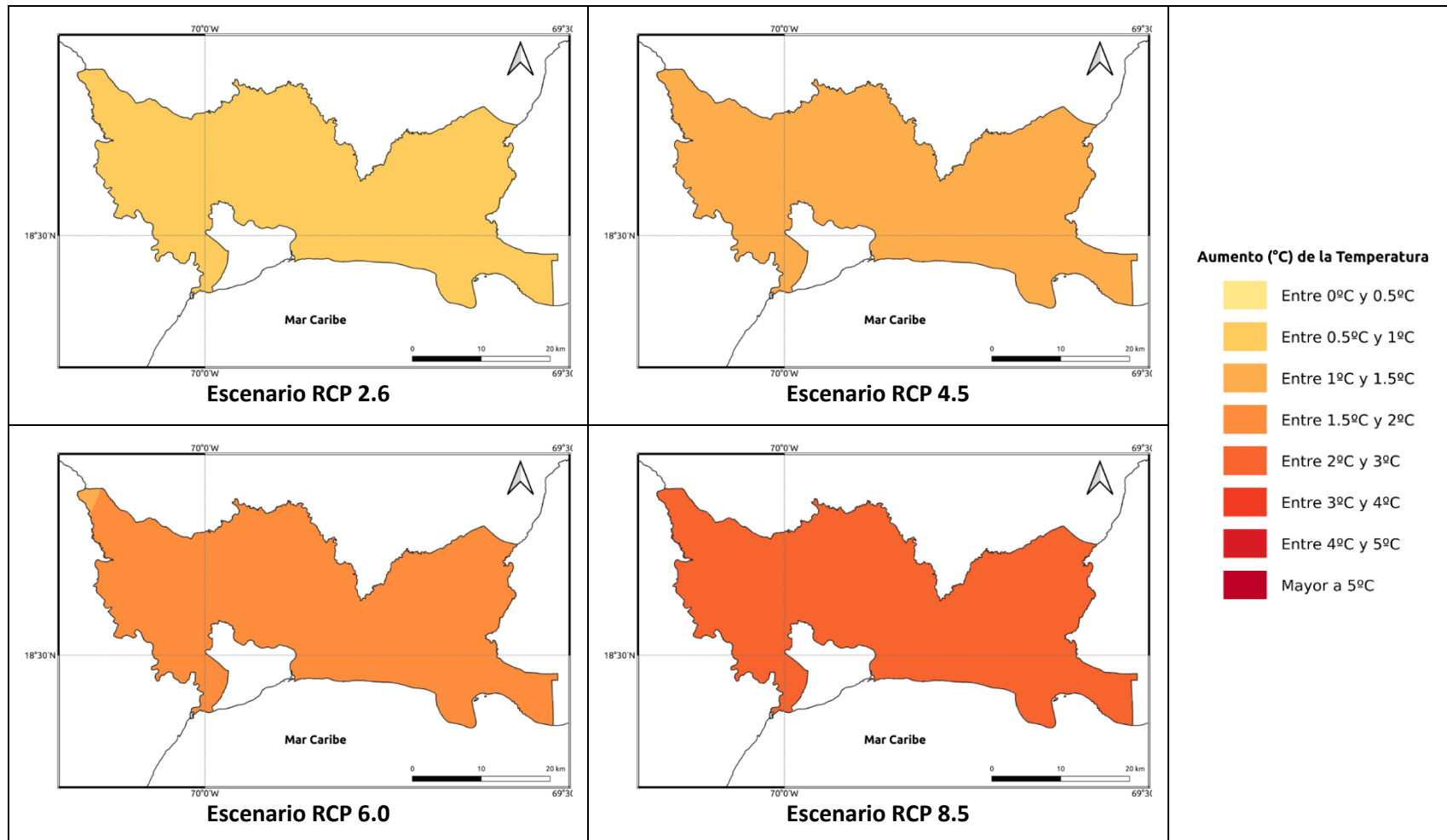


Figura 1.1.31-12. Cambios proyectados en la temperatura mínima (°C) por el ensamble multimodelo bajo los 4 escenarios RCP en el periodo 2081-2100 para la provincia Santo Domingo.

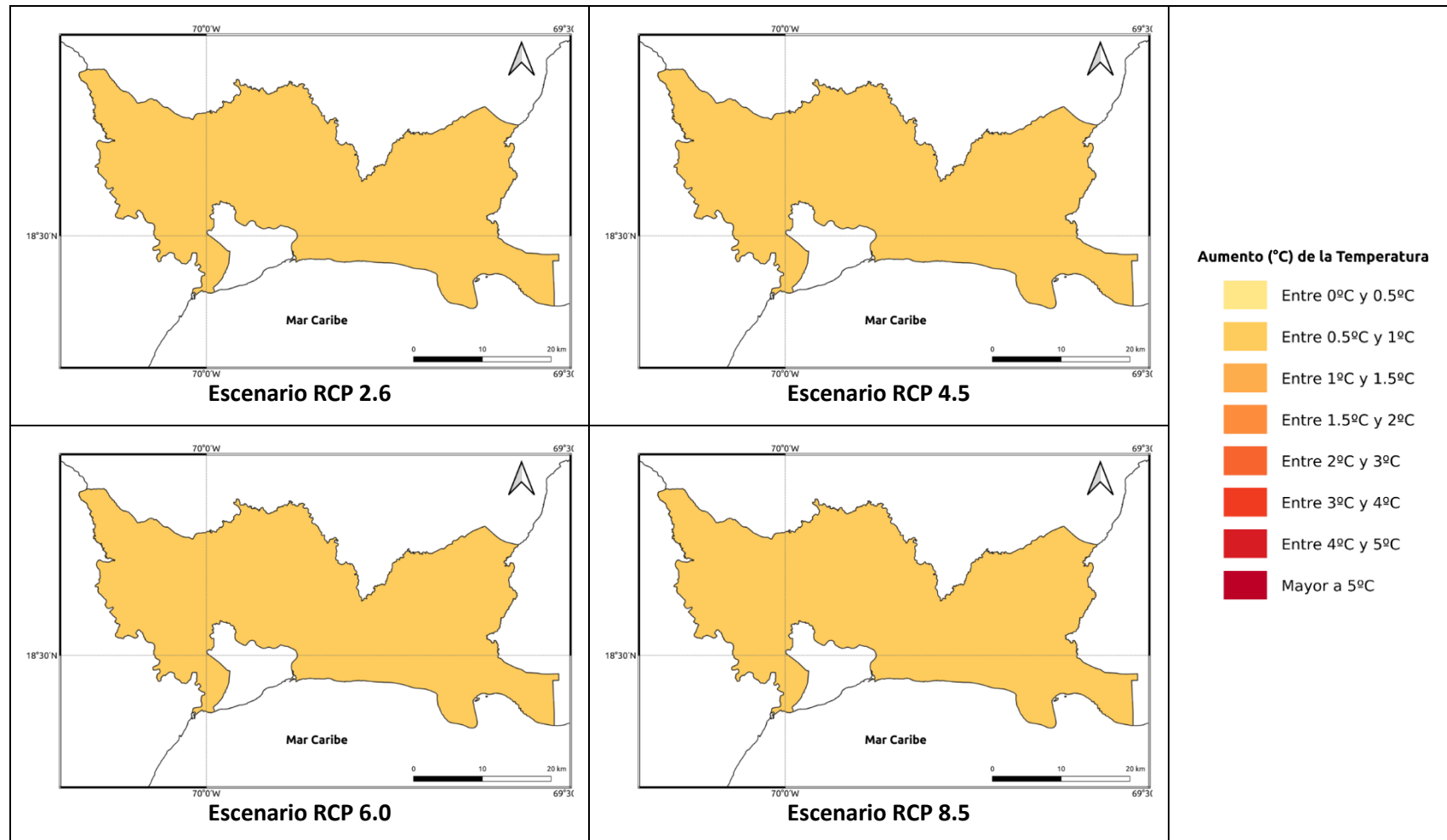


Figura 1.1.31-13. Cambios proyectados en la temperatura media (°C) por el ensamble multimodelo bajo los 4 escenarios RCP en el periodo 2021-2040 para la provincia Santo Domingo.

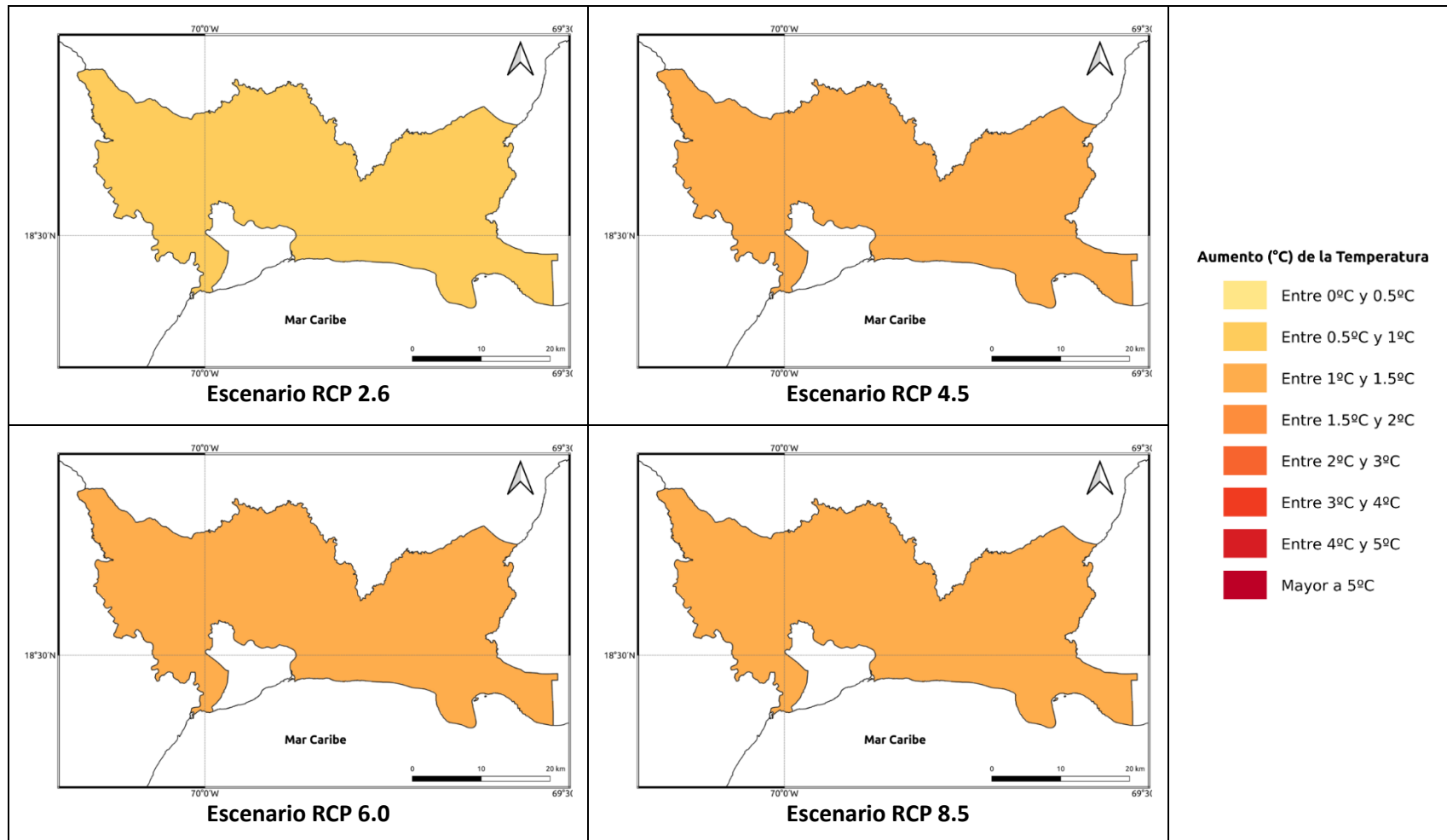


Figura 1.1.31-14. Cambios proyectados en la temperatura media (°C) por el ensamble multimodelo bajo los 4 escenarios RCP en el periodo 2041-2060 para la provincia Santo Domingo.

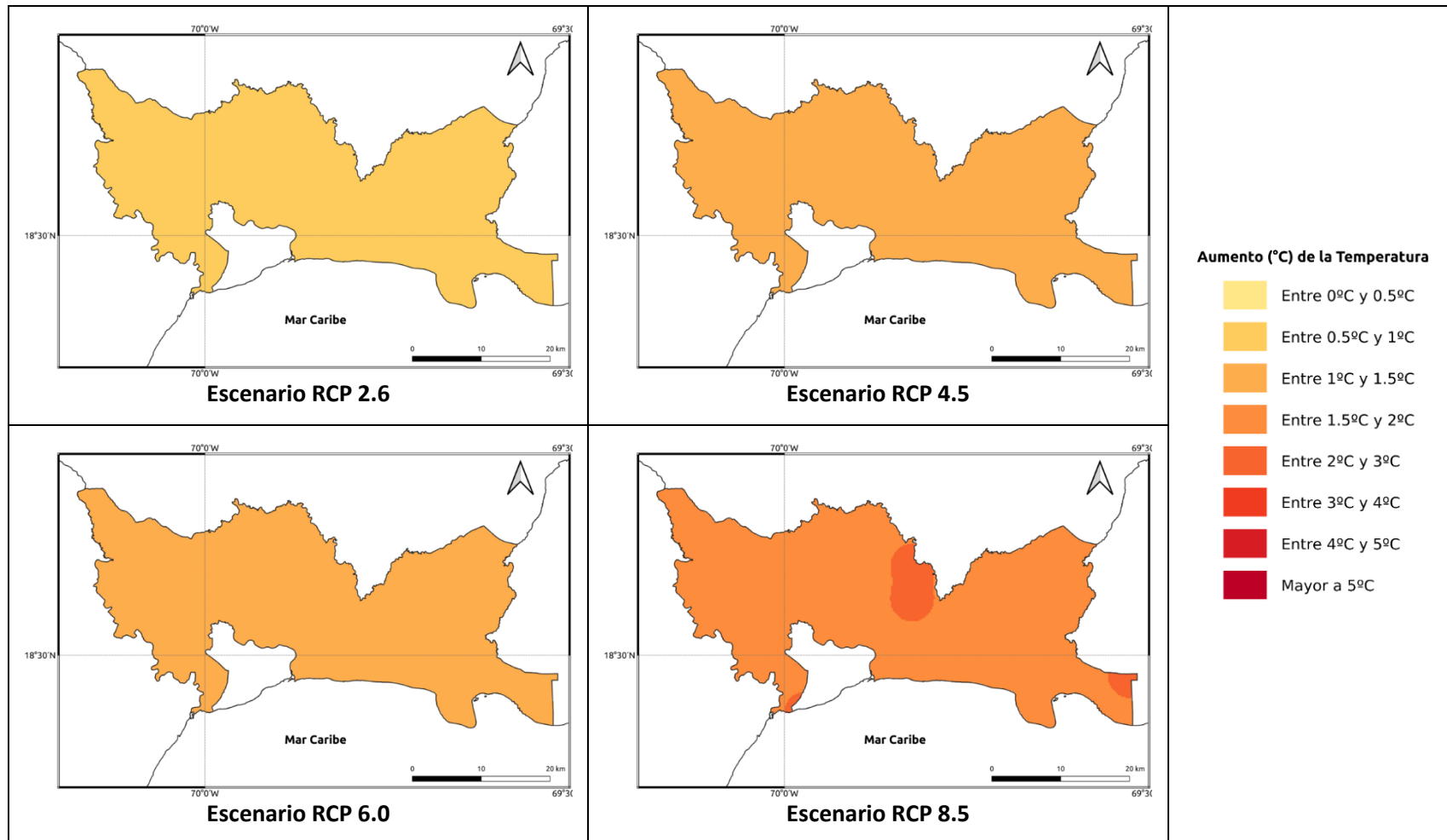
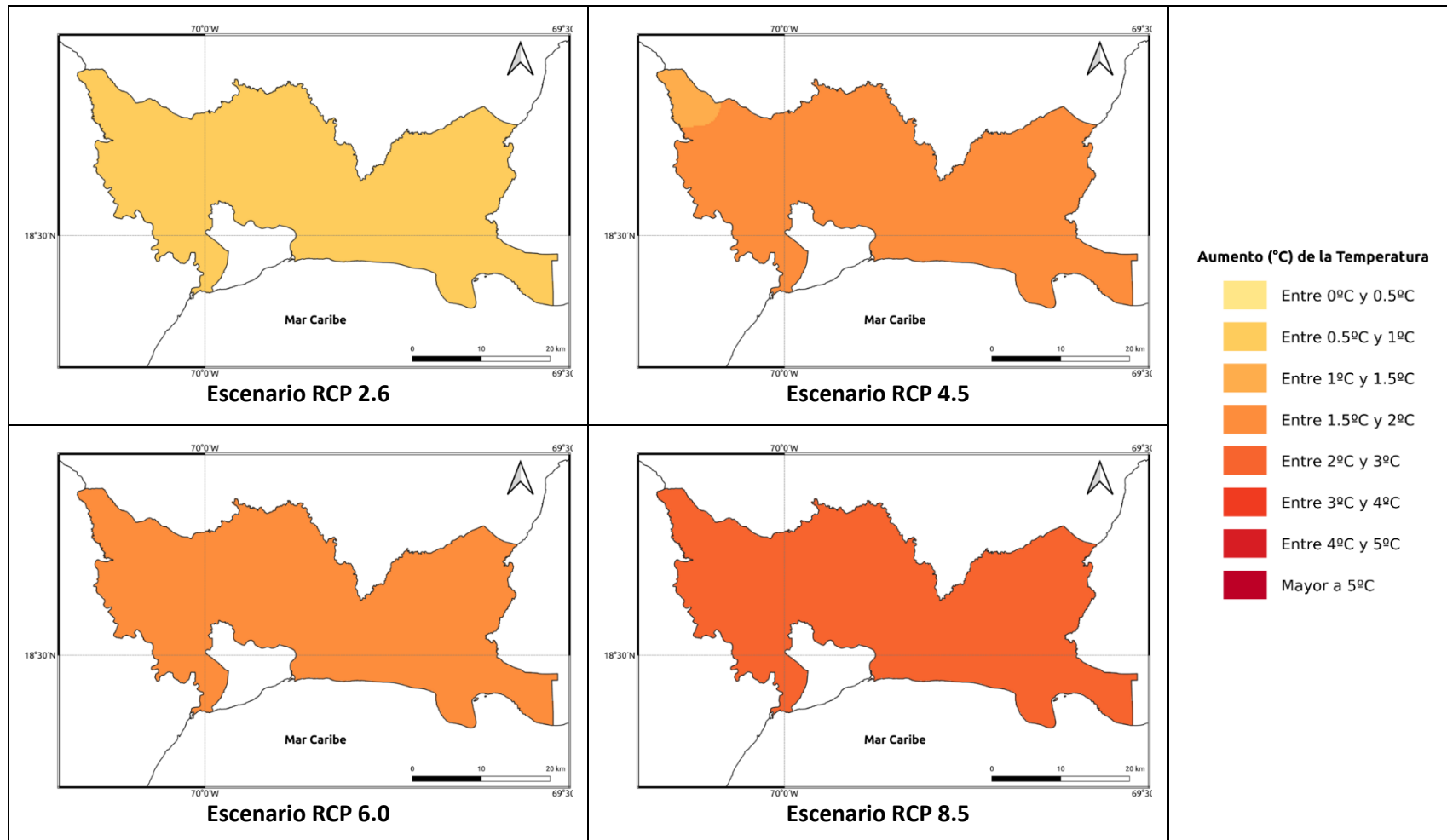


Figura 1.1.31-15. Cambios proyectados en la temperatura media (°C) por el ensamble multimodelo bajo los 4 escenarios RCP en el periodo 2061-2080 para la provincia Santo Domingo.



**Figura 1.1.31-16. Cambios proyectados en la temperatura media (°C) por el ensamble multimodelo bajo los 4 escenarios RCP en el periodo 2081-2100 para la provincia Santo Domingo.**

### **1.1.32 PROVINCIA VALVERDE**

A continuación, se presenta el análisis espacial de los cambios de las variables climáticas a nivel anual para la provincia **Valverde**. Los cambios a nivel estacional (trimestral) se pueden consultar en el Anexo 33.

#### **Precipitación**

Para esta variable, en el periodo de corto plazo 2021-2040 se esperarían cambios dentro del rango de la variabilidad natural (del orden del 5%), con aumentos de esta magnitud bajo los escenarios RCP 2.6 y 6.0 en la mayor parte de la provincia, y reducciones en la zona central de la misma bajo el RCP 2.6. En los escenarios RCP 4.5 y 8.5 se darían reducciones de la misma magnitud, y dándose disminuciones del 8% en la parte central de la provincia bajo el RCP 4.5 (Figura 1.1.32-1). Para el siguiente periodo (2041-2060), bajo el RCP 2.6 se mantiene el aumento de la precipitación del orden del 5-7%, y en los demás escenarios la tendencia sería a la reducción de la precipitación entre un 4-9% (Figura 1.1.32-2). Para el periodo 2061-2080, en el RCP 2.6 se mantendrían los incrementos del 5%, y bajo los otros escenarios se darían reducciones de la precipitación, del orden del 7-9% bajo el RCP 4.5, entre 3-4% bajo el RCP 6.0 y del 14-19% bajo el RCP 8.5 (Figura 1.1.32-3). Por último, para finales de siglo bajo los 4 escenarios se presentarían reducciones de la precipitación, siendo las de menor magnitud bajo el RCP 2.6 (entre 6-8%) y las más altas bajo el RCP 8.5, con reducciones entre 25 y 28% (Figura 1.1.32-4).

#### **Temperatura Máxima**

La temperatura máxima presentaría incrementos bajo los 4 RCP en todos los periodos analizados. En el periodo de corto plazo (2021-2040) la temperatura aumentaría entre 0.7 y 1.3°C, con aumentos de más de 1°C bajo el RCP 8.5 (Figura 1.1.32-5). Para 2041-2060, los aumentos serían de 1.1 a 1.4°C bajo los primeros 3 RCP (2.6, 4.5 y 6.0), y de 1.5 a 1.8°C bajo el RCP 8.5 (Figura 1.1.32-6). En el periodo 2061-2080 los aumentos serían de 1.1 a 2.4°C, manteniéndose el incremento de 1.1 a 1.4°C bajo el RCP 2.6, siendo de 1.4 a 1.8°C bajo los RCP 4.5 y 6.0 y de 2.6°C bajo el RCP 8.5 (Figura 1.1.32-7). Para finales de siglo, los aumentos serían de 0.7 a 1.4°C bajo el RCP 2.6, de 1.7 a 1.9°C bajo el RCP 4.5, de 2.1 a 2.4°C bajo el RCP 6.0 y de 3.2 a 3.8°C bajo el RCP 8.5 (Figura 1.1.32-8).

#### **Temperatura Mínima**

En el primer periodo (2021-2040), ésta se incrementaría de 0.3 a 0.8°C en los 4 escenarios RCP (Figura 1.1.32-9). Para 2041-2060 aumentaría de 0.7 a 0.9°C en los 3 primeros escenarios, y bajo el RCP 8.5 habría aumentos de 1.3°C (Figura 1.1.32-10). En el periodo 2061-2080 la temperatura mínima se incrementaría entre 0.6 y 0.8°C



bajo el RCP 2.6, entre 1.1 y 1.4°C bajo los RCP 4.5 y 6.0 y entre 1.6 y 1.9°C bajo el RCP 8.5 (Figura 1.1.32-11). Por último, para finales de siglo se mantendría un aumento de 0.8°C en el RCP 2.6, entre 1.1 y 1.4°C bajo el RCP 4.5, entre 1.4 y 1.8°C bajo el RCP 6.0 y de 2.2 a 2.6°C bajo el RCP 8.5 (Figura 1.1.32-12).

#### *Temperatura Media*

La temperatura media es probable que se incremente entre 0.6 y 0.8°C en el periodo 2021-2040 bajo los 4 escenarios RCP (Figura 1.1.32-13). En el periodo 2041-2060 se mantendría este mismo rango bajo el RCP 2.6, y en los otros 3 escenarios aumentaría de 1.1 a 1.4°C (Figura 1.1.32-14). Para 2061-2080 la temperatura media aumentaría de 0.7 a 0.8°C bajo el RCP 2.6, de 1.3 a 1.5°C bajo los RCP 4.5 y 6.0 y de 1.7 a 2.4°C bajo el RCP 8.5 (Figura 1.1.32-15). Finalmente, para el periodo 2081-2100 la temperatura subiría entre 0.6 y 0.8°C bajo el RCP 2.6, entre 1.4 y 1.7°C bajo el RCP 4.5, de 1.6 a 2.2°C bajo el RCP 6.0, y de 2.4 a 2.8°C bajo el RCP 8.5 (Figura 1.1.32-16).



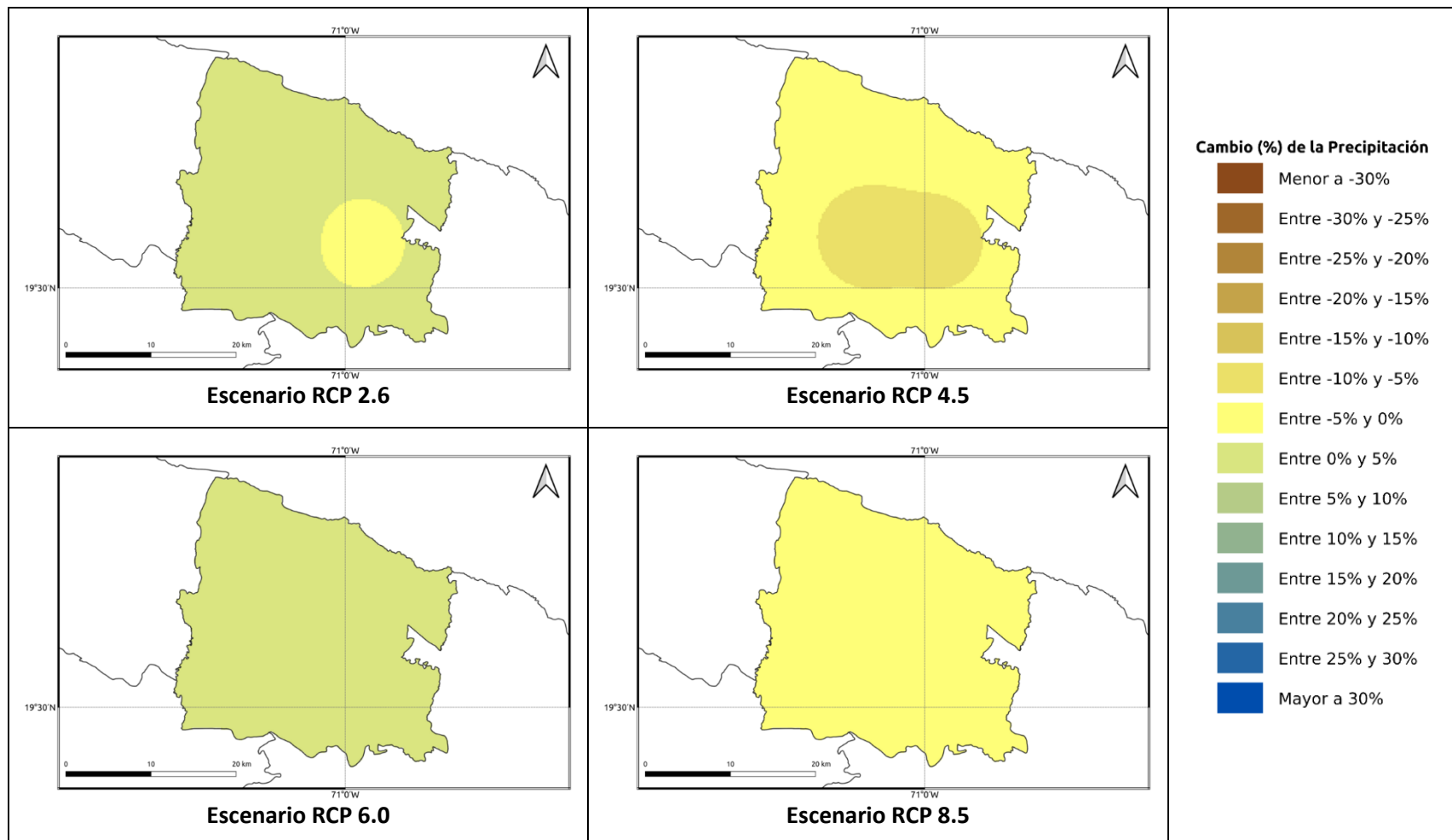


Figura 1.1.32-1. Cambios porcentuales de la precipitación (%) proyectados por el ensamble multimodelo bajo los 4 escenarios RCP en el periodo 2021-2040 para la provincia Valverde.

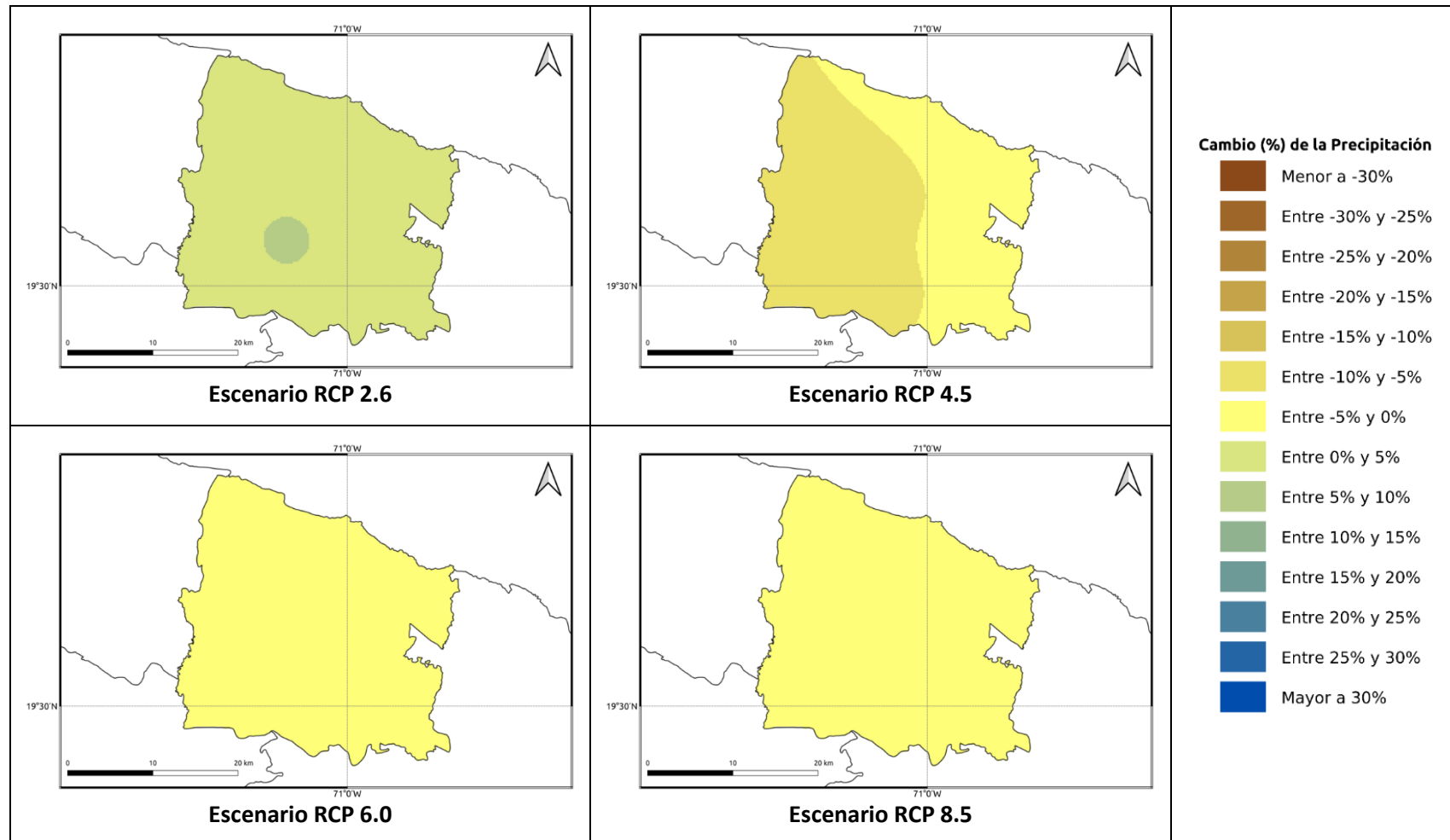


Figura 1.1.32-2. Cambios porcentuales de la precipitación (%) proyectados por el ensamble multimodelo bajo los 4 escenarios RCP en el periodo 2041-2060 para la provincia Valverde.

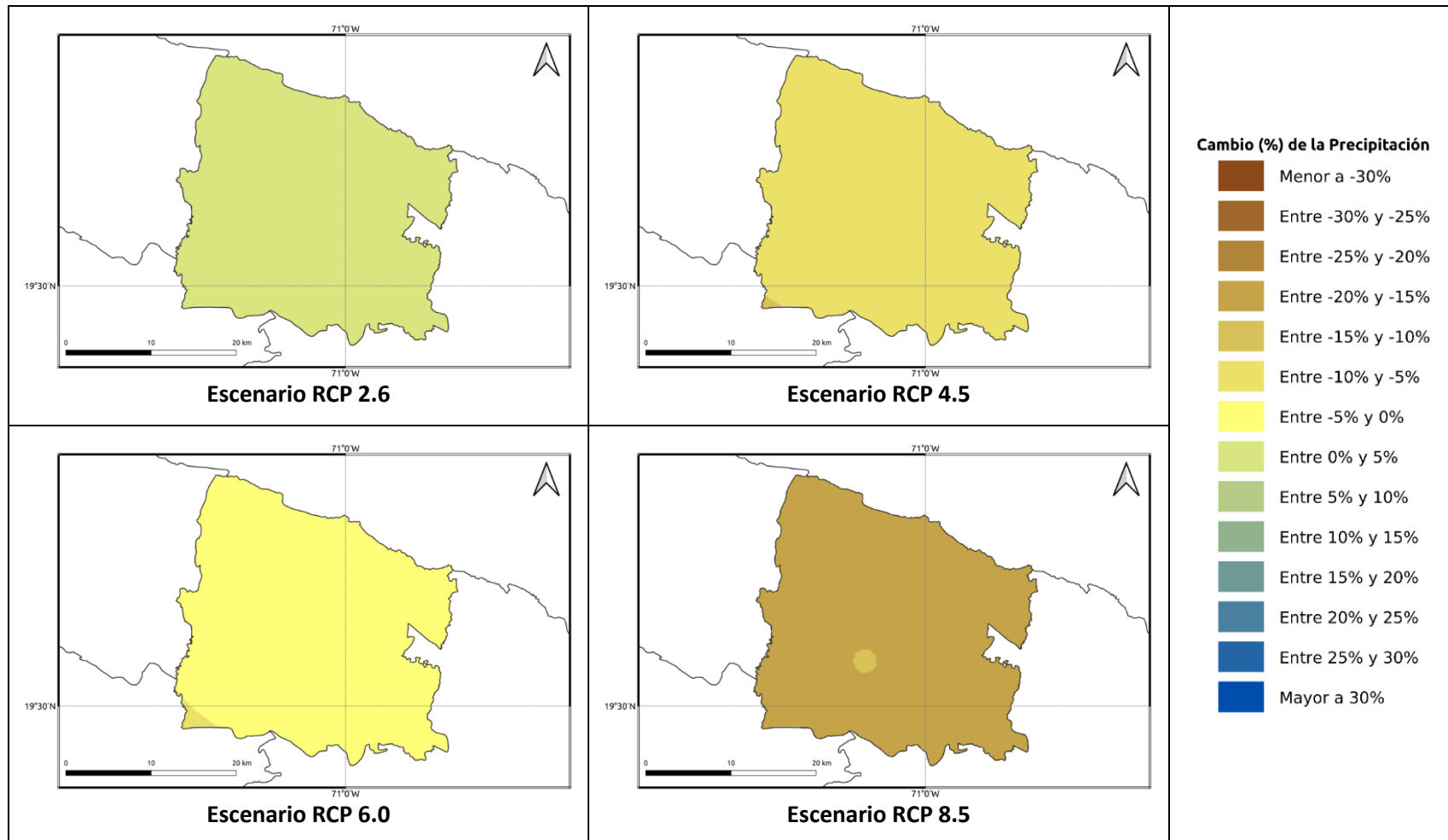


Figura 1.1.32-3. Cambios porcentuales de la precipitación (%) proyectados por el ensamble multimodelo bajo los 4 escenarios RCP en el periodo 2061-2080 para la provincia Valverde.

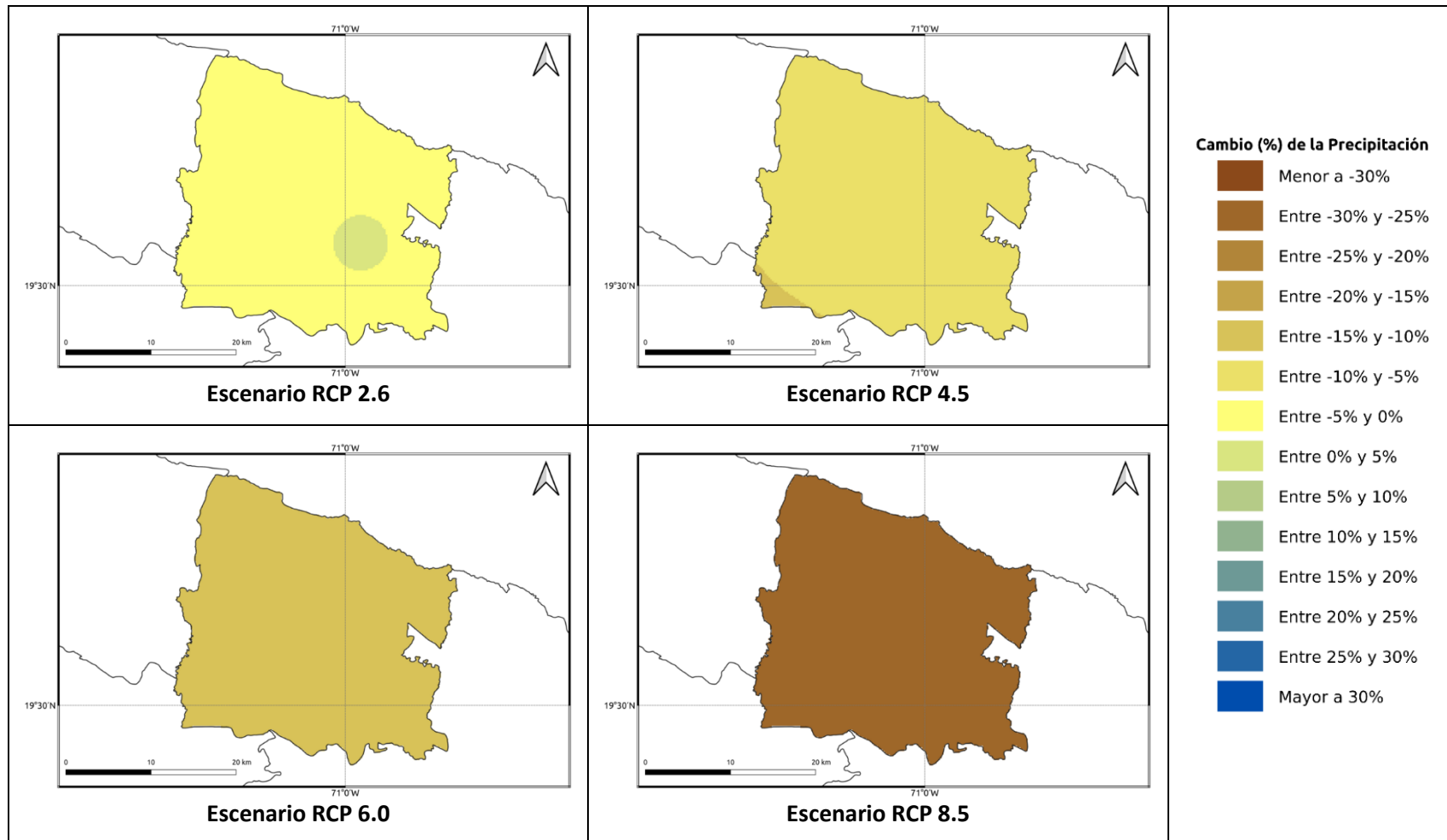


Figura 1.1.32-4. Cambios porcentuales de la precipitación (%) proyectados por el ensamble multimodelo bajo los 4 escenarios RCP en el periodo 2081-2100 para la provincia Valverde.

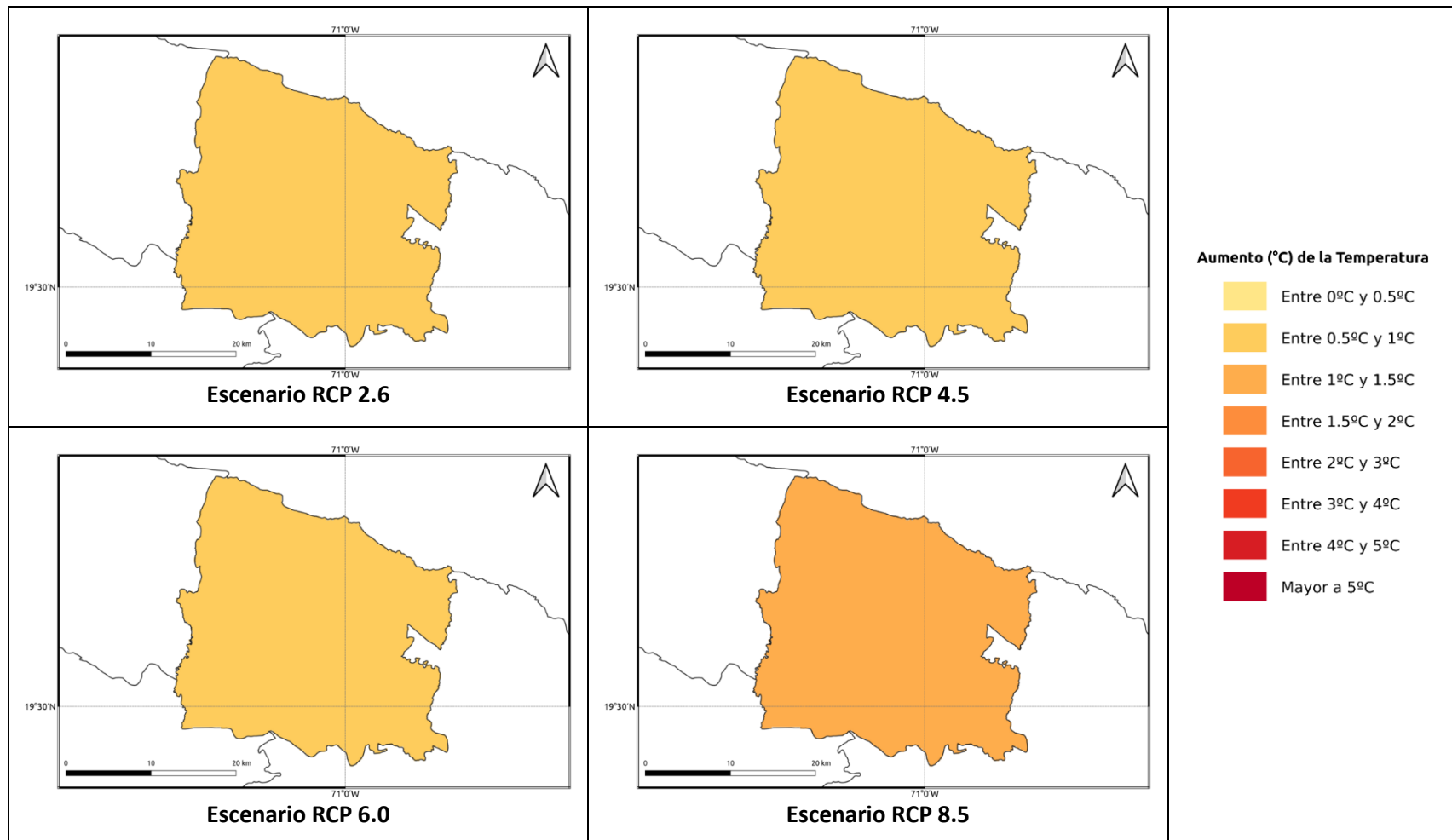
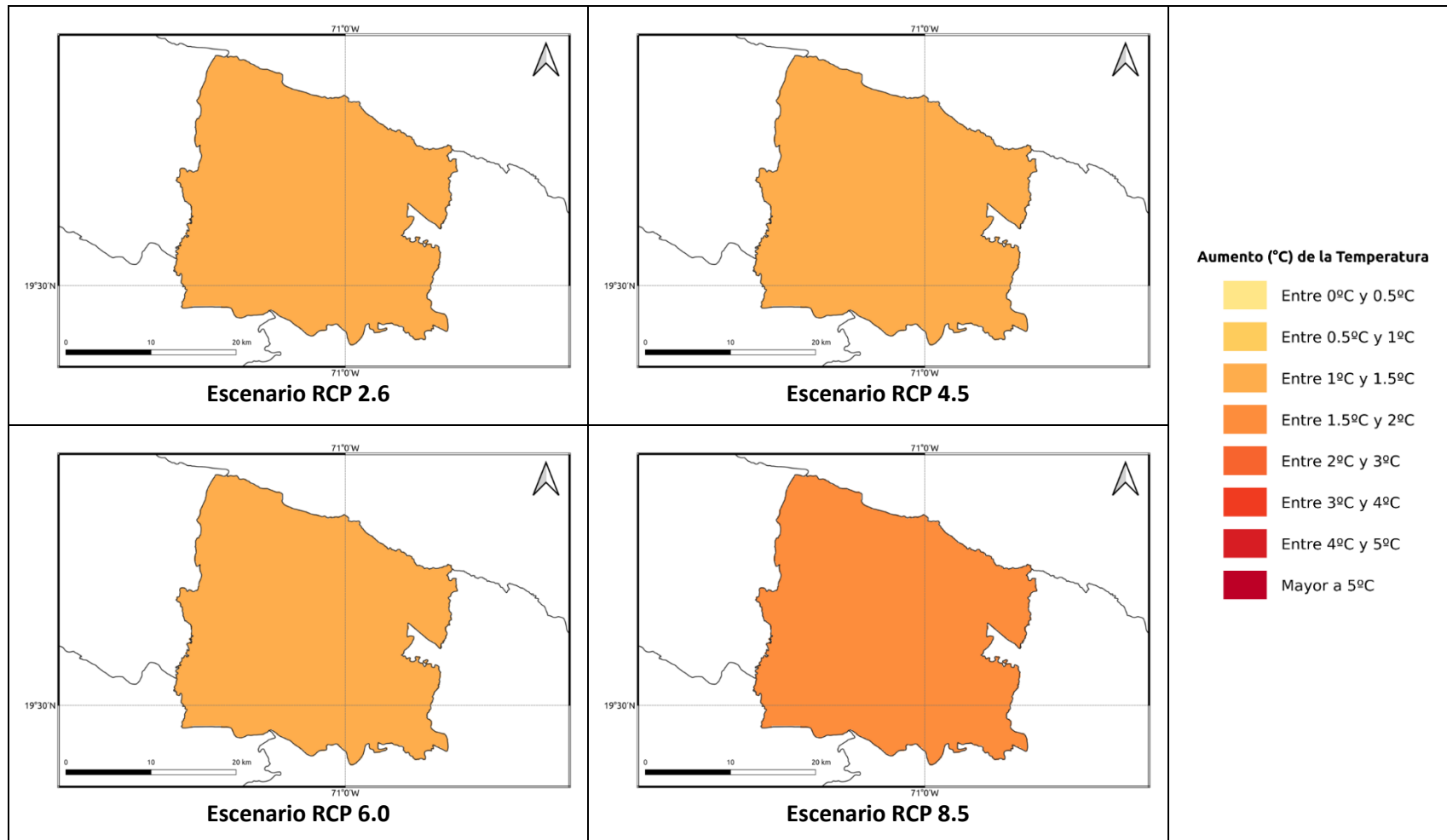
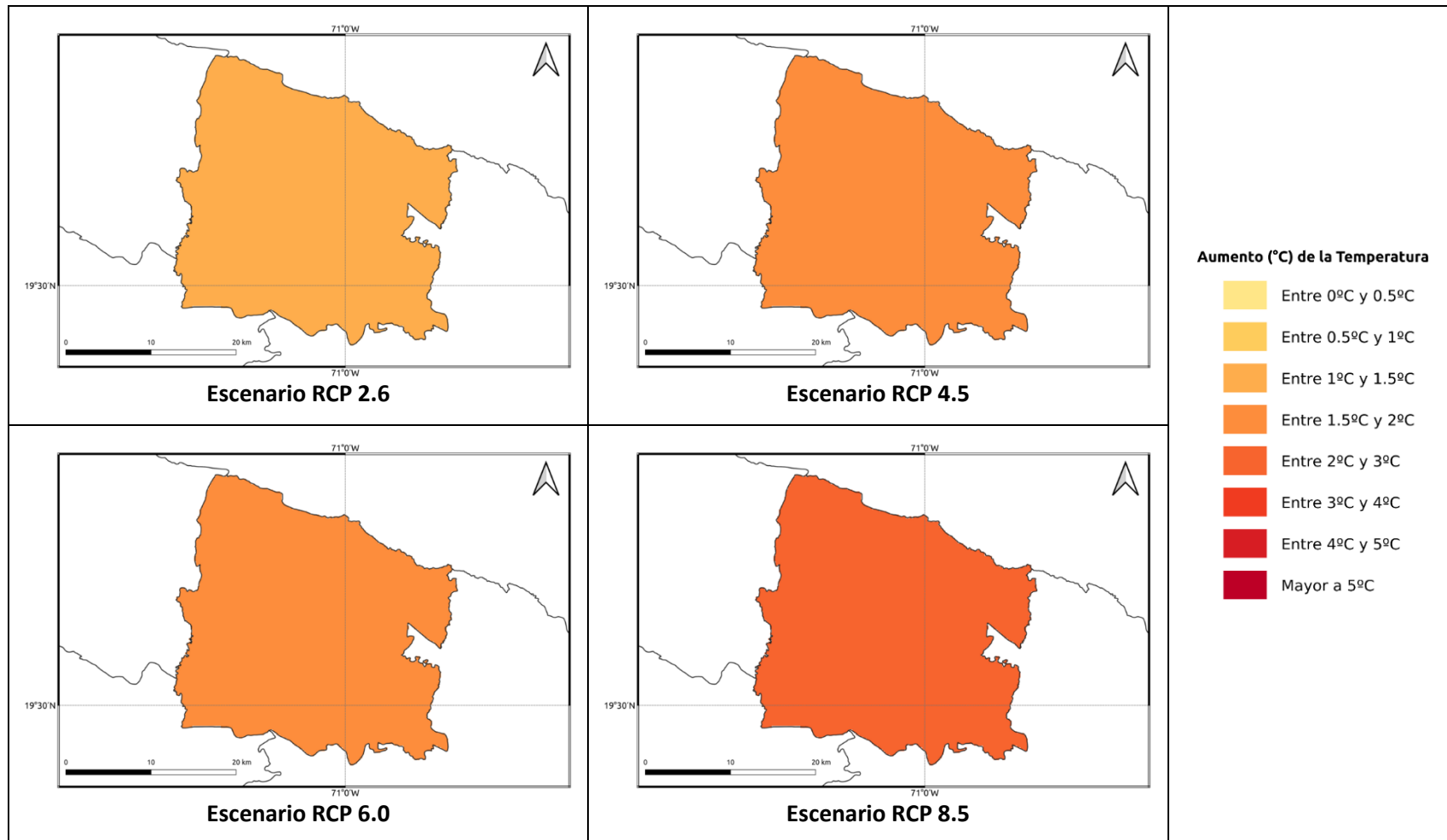


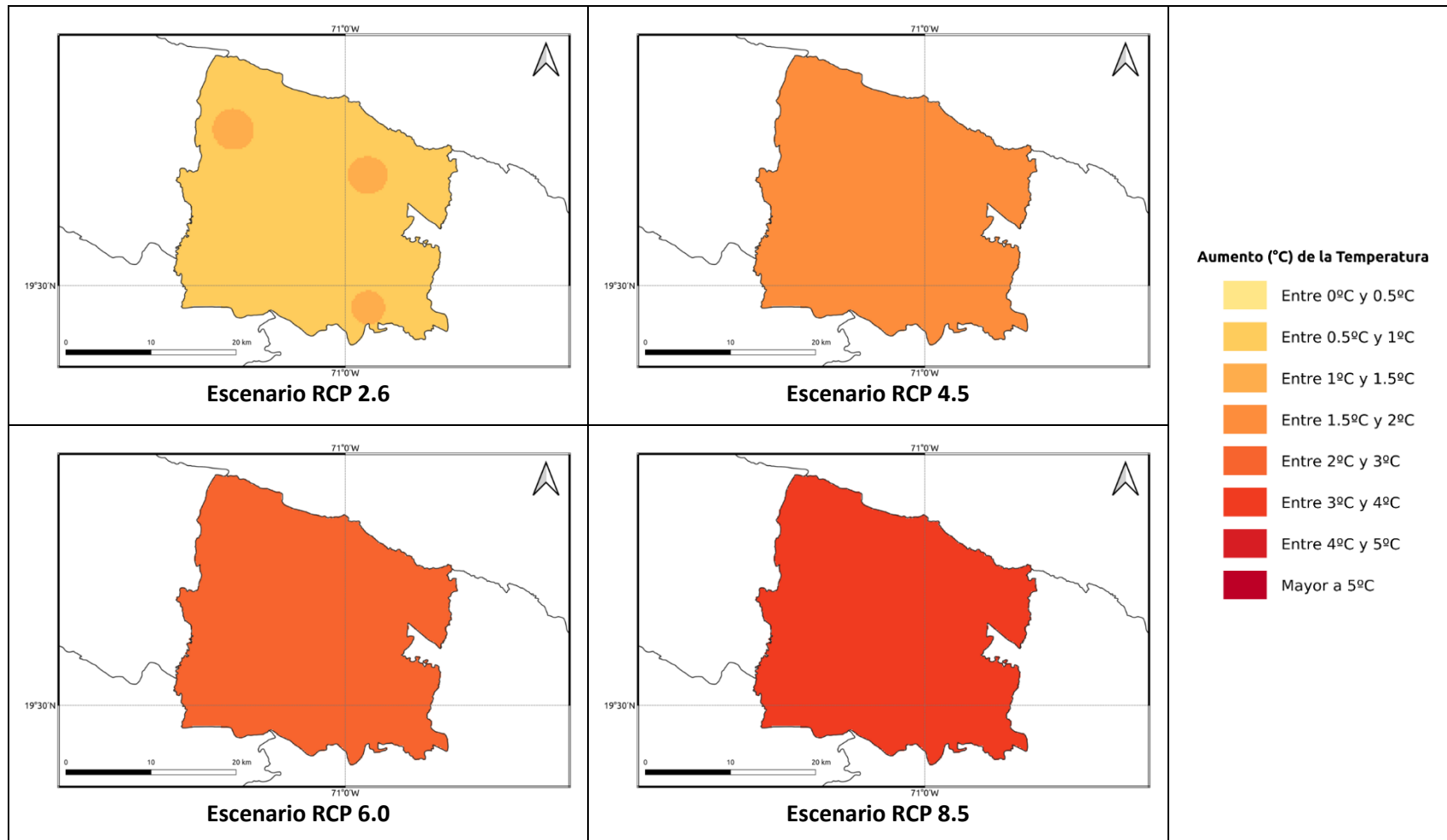
Figura 1.1.32-5. Cambios proyectados en la temperatura máxima (°C) por el ensamble multimodelo bajo los 4 escenarios RCP en el periodo 2021-2040 para la provincia Valverde.



**Figura 1.1.32-6. Cambios proyectados en la temperatura máxima (°C) por el ensamble multimodelo bajo los 4 escenarios RCP en el periodo 2041-2060 para la provincia Valverde.**



**Figura 1.1.32-7. Cambios proyectados en la temperatura máxima (°C) por el ensamble multimodelo bajo los 4 escenarios RCP en el periodo 2061-2080 para la provincia Valverde.**



**Figura 1.1.32-8. Cambios proyectados en la temperatura máxima (°C) por el ensamble multimodelo bajo los 4 escenarios RCP en el periodo 2081-2100 para la provincia Valverde.**

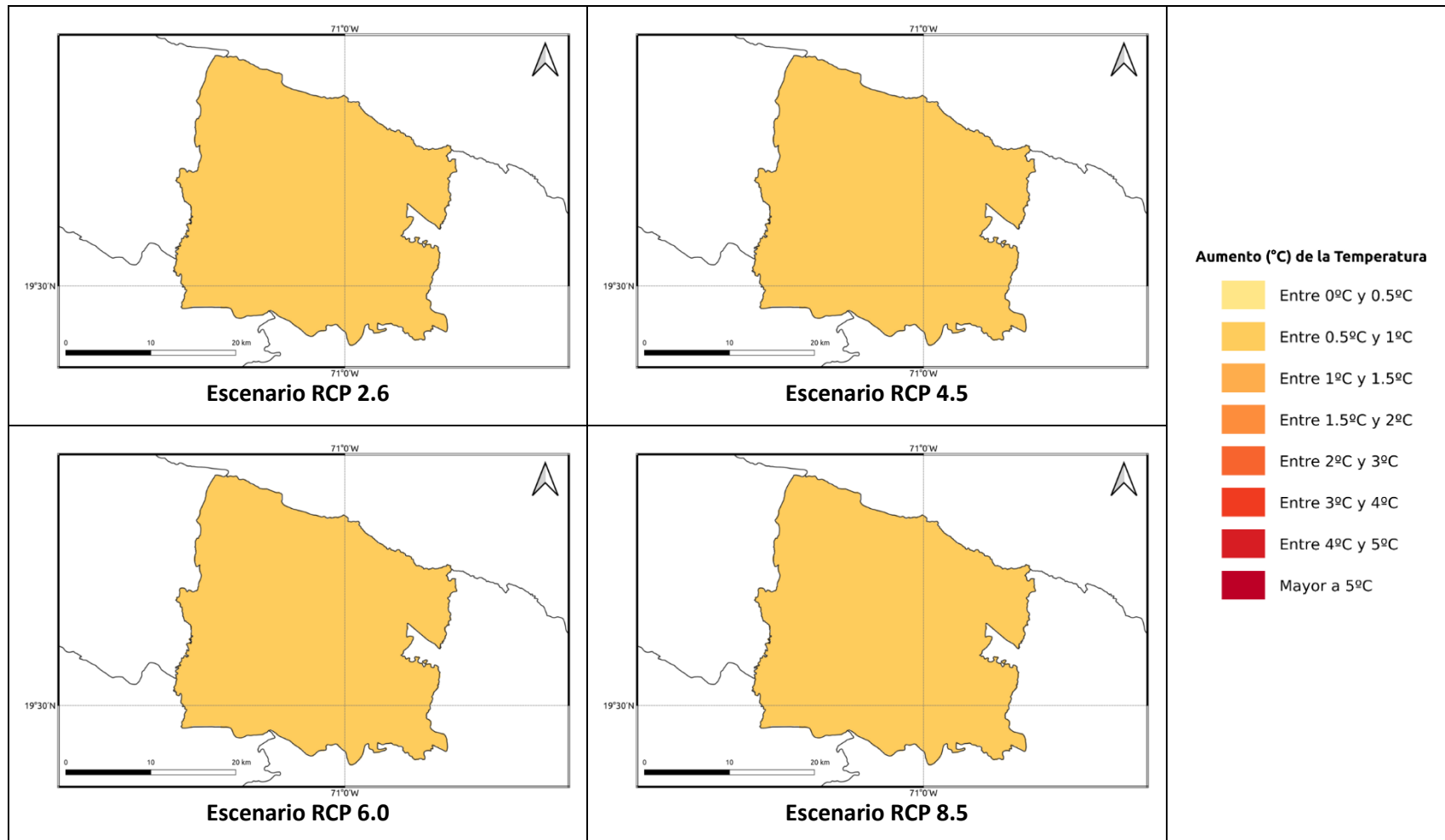
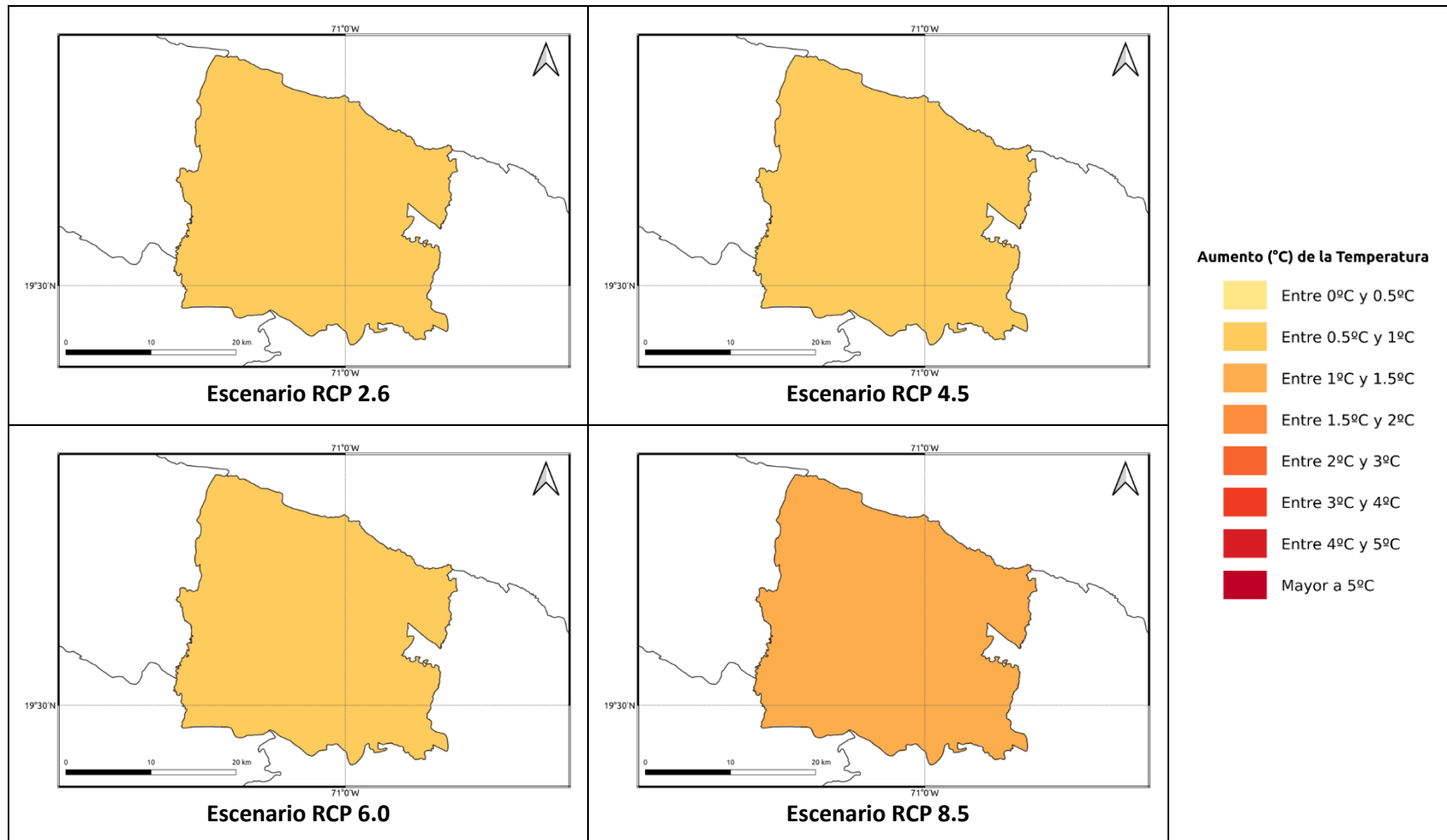
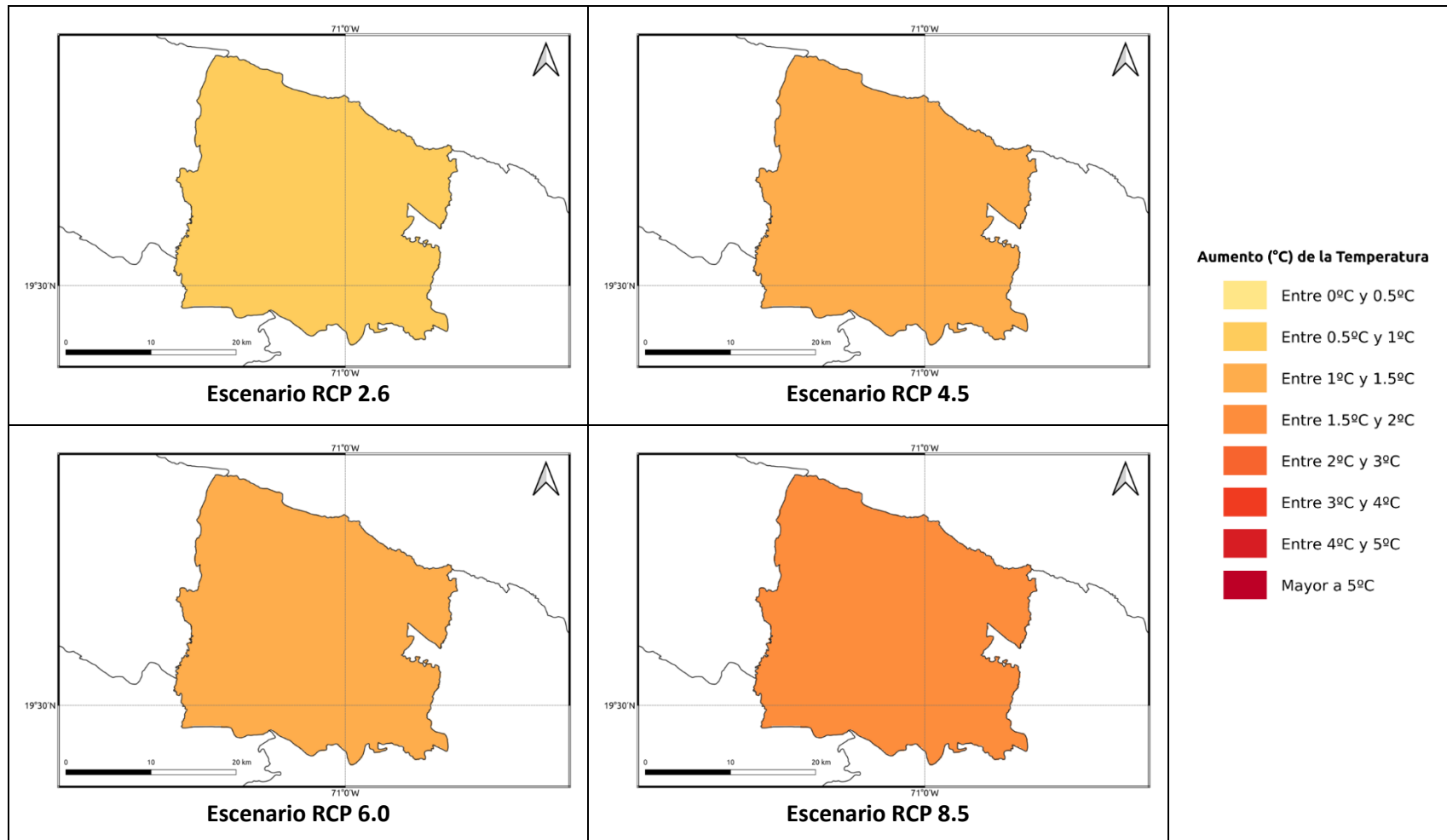


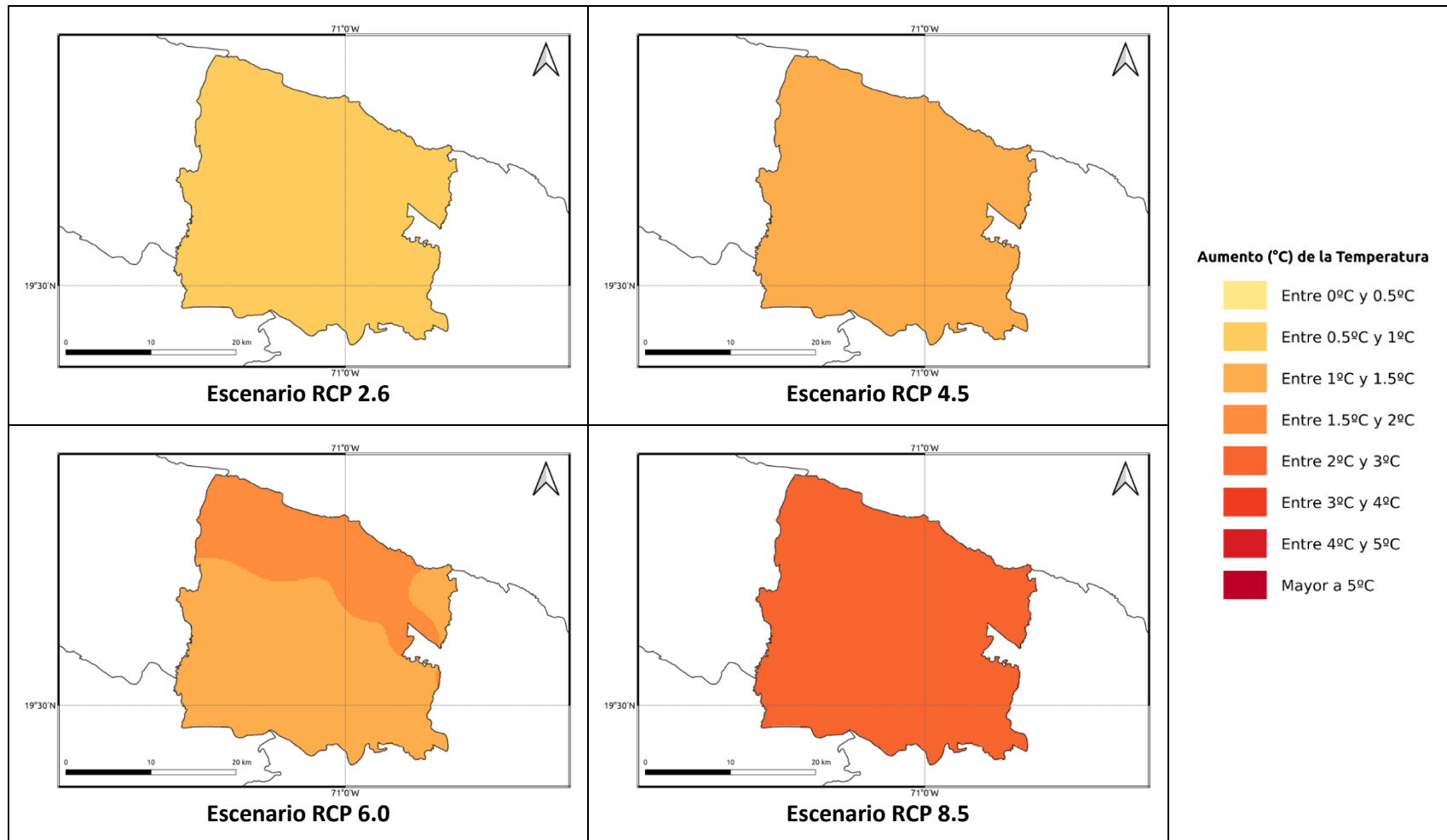
Figura 1.1.32-9. Cambios proyectados en la temperatura mínima (°C) por el ensamble multimodelo bajo los 4 escenarios RCP en el periodo 2021-2040 para la provincia Valverde.



**Figura 1.1.32-10. Cambios proyectados en la temperatura mínima (°C) por el ensamble multimodelo bajo los 4 escenarios RCP en el periodo 2041-2060 para la provincia Valverde.**



**Figura 1.1.32-11. Cambios proyectados en la temperatura mínima (°C) por el ensamble multimodelo bajo los 4 escenarios RCP en el periodo 2061-2080 para la provincia Valverde.**



**Figura 1.1.32-12. Cambios proyectados en la temperatura mínima (°C) por el ensamble multimodelo bajo los 4 escenarios RCP en el periodo 2081-2100 para la provincia Valverde.**

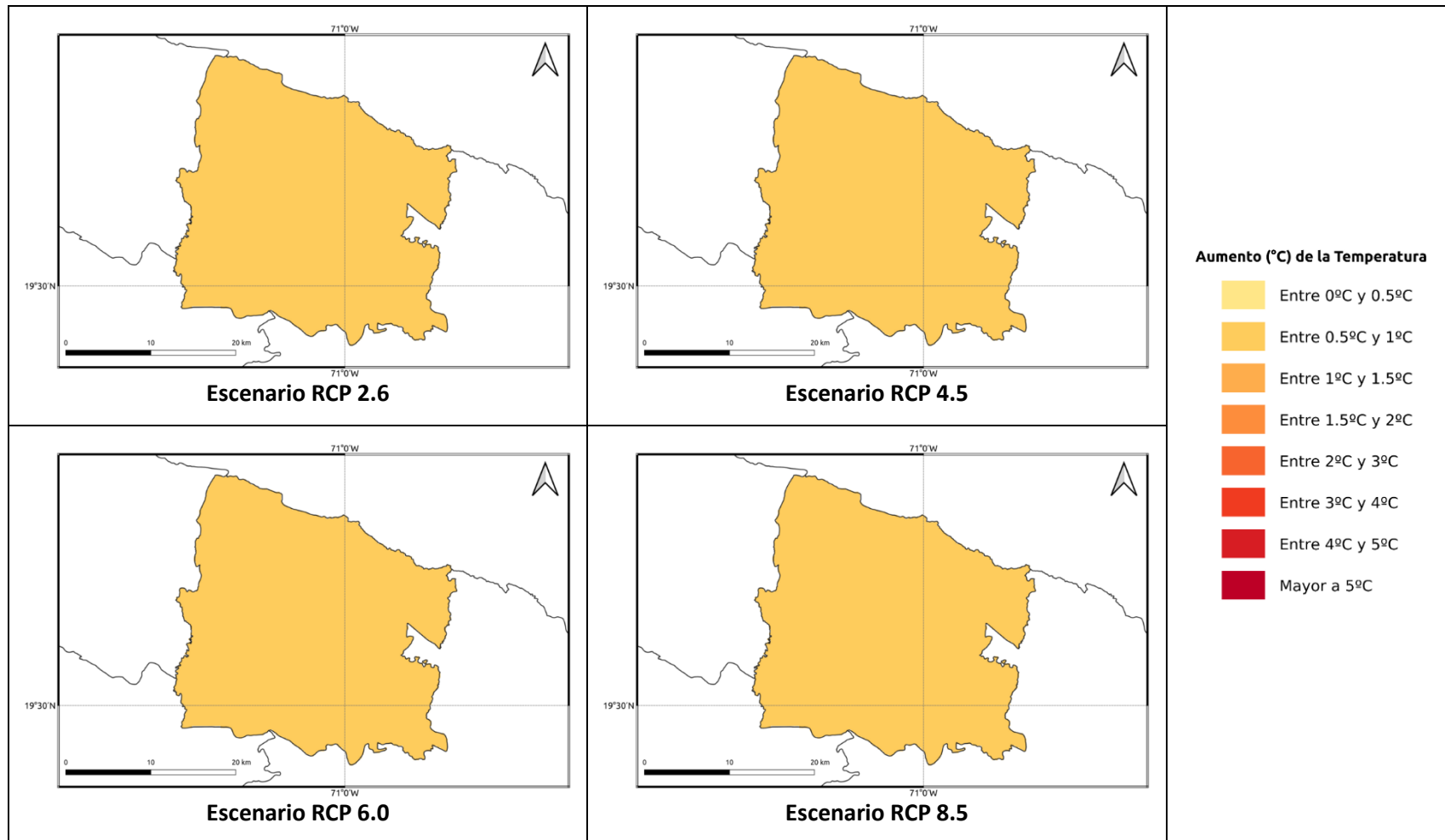
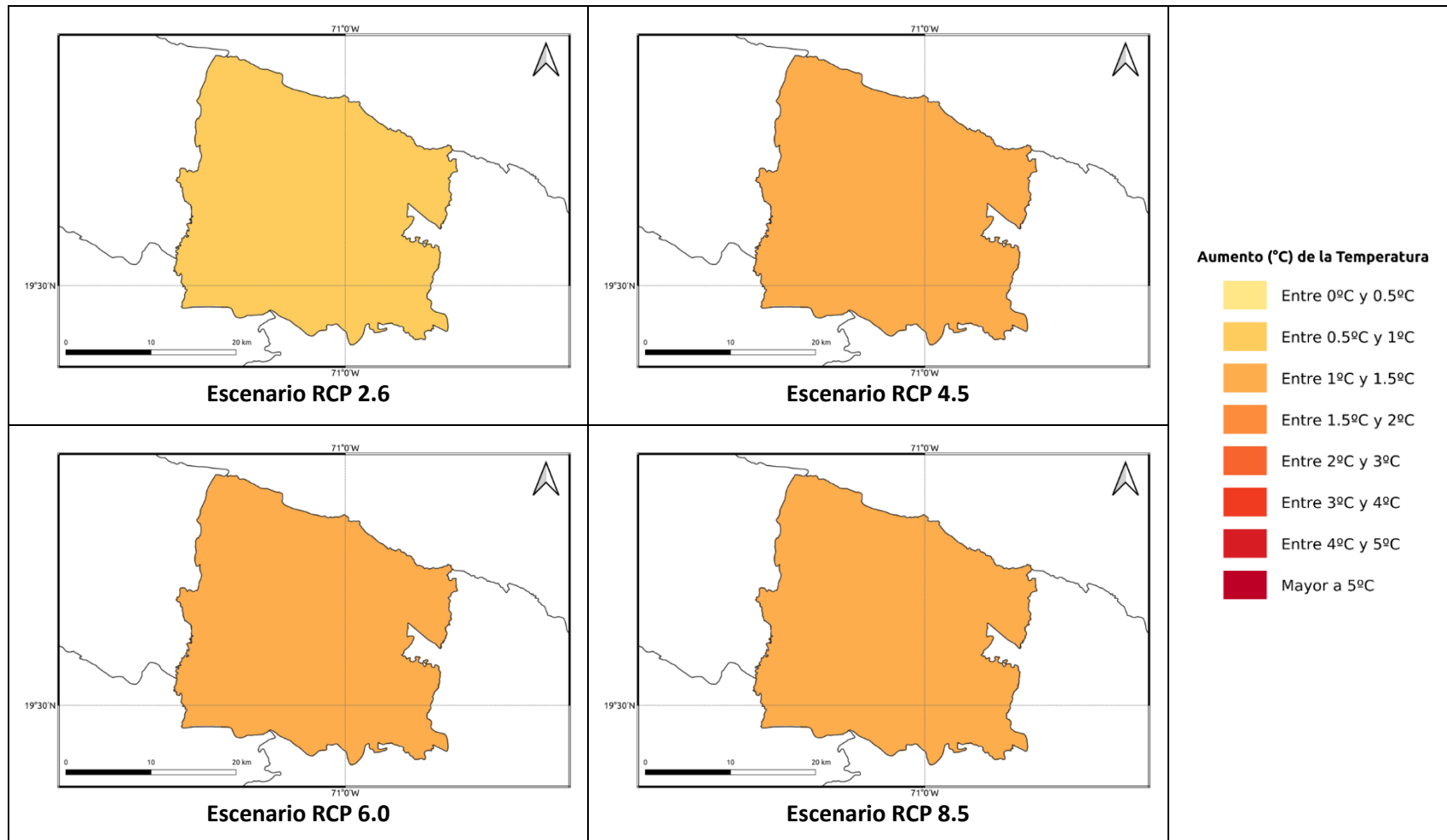
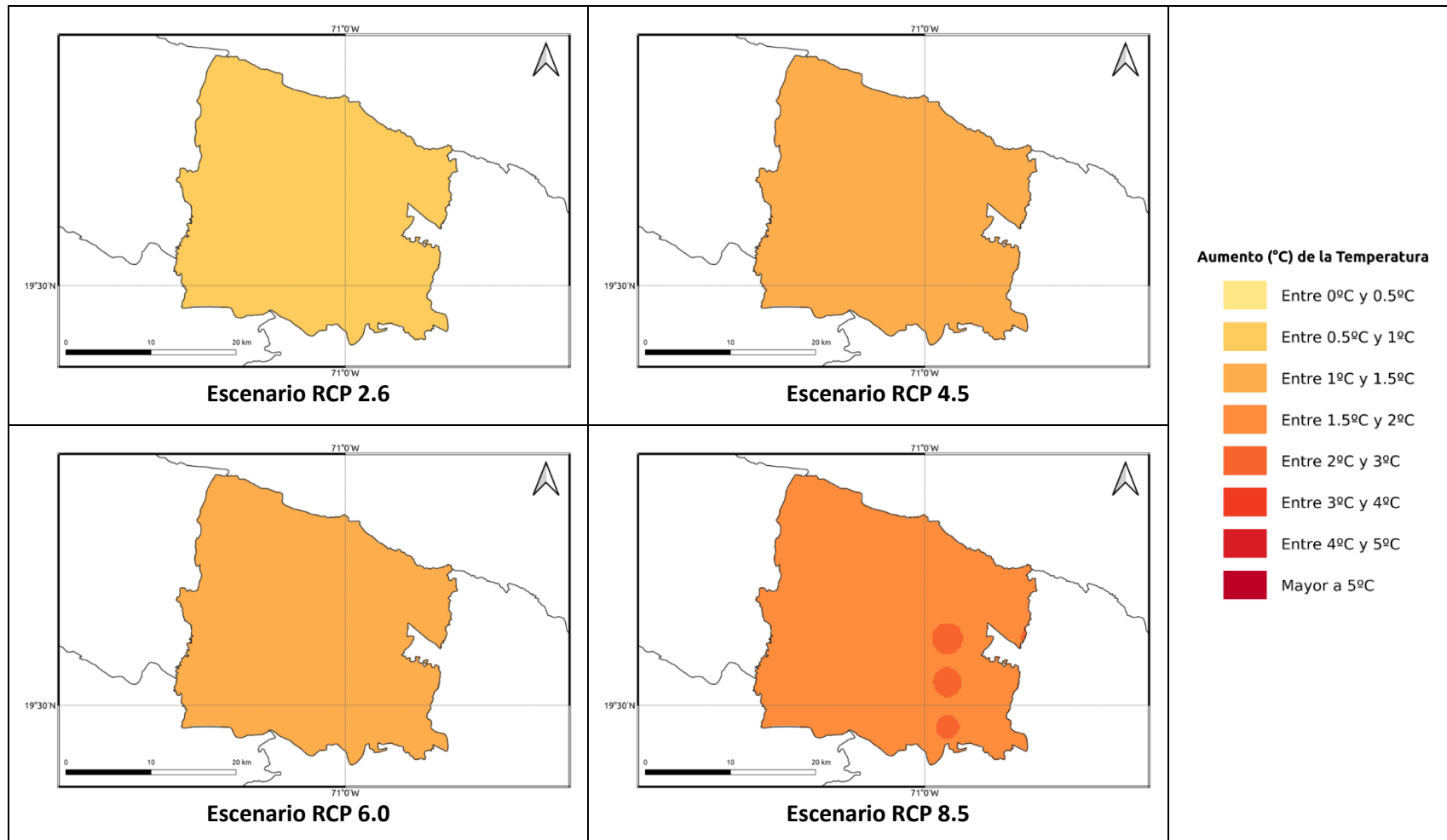


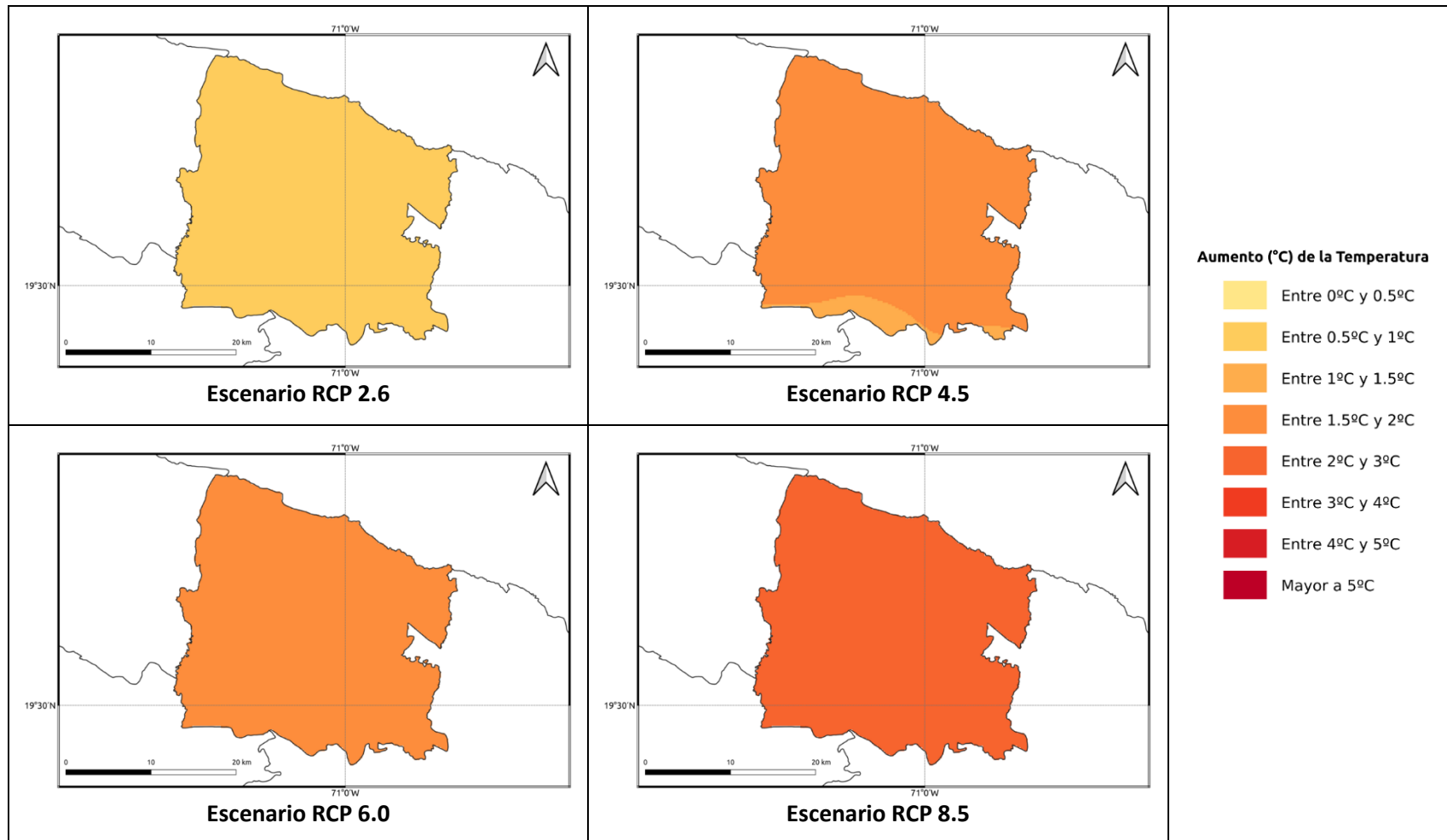
Figura 1.1.32-13. Cambios proyectados en la temperatura media (°C) por el ensamble multimodelo bajo los 4 escenarios RCP en el periodo 2021-2040 para la provincia Valverde.



**Figura 1.1.32-14. Cambios proyectados en la temperatura media (°C) por el ensamble multimodelo bajo los 4 escenarios RCP en el periodo 2041-2060 para la provincia Valverde.**



**Figura 1.1.32-15. Cambios proyectados en la temperatura media (°C) por el ensamble multimodelo bajo los 4 escenarios RCP en el periodo 2061-2080 para la provincia Valverde.**



**Figura 1.1.32-16. Cambios proyectados en la temperatura media (°C) por el ensamble multimodelo bajo los 4 escenarios RCP en el periodo 2081-2100 para la provincia Valverde.**

## **1.2 ANÁLISIS DE LOS CAMBIOS PROYECTADOS DEL AUMENTO DEL NIVEL DEL MAR**

En este acápite se presenta el análisis de los resultados de las proyecciones de aumento del nivel del mar para República Dominicana y las 16 provincias costeras del país en los períodos 2021-2040, 2041-2060, 2061-2080 y 2081-2100. Estas proyecciones muestran, en general, aumentos entre 0.4 y 0.5 centímetros por año en el corto plazo, y de 1 a 3 centímetros por año para finales del siglo XXI, con relación al nivel observado en el periodo 1993-2019.

### **1.2.1 PROVINCIA AZUA**

Las proyecciones de los modelos indican que el nivel del mar aumentaría entre 0.2 y 0.5 centímetros por año en las costas de la provincia en el corto plazo (2021-2040) bajo los 4 escenarios RCP (Figura 1.2.1-1). Para el periodo 2041-2060 el incremento del nivel sería entre 0.5 y 0.8 centímetros por año, dándose los más altos bajo los RCP 4.5 y 8.5 (Figura 1.2.1-2). En el periodo 2061-2080 el aumento sería entre 0.8 y 1.2 centímetros por año bajo el RCP 2.6, dándose los incrementos superiores a 1 centímetro hacia el sur y centro de la costa de la provincia Azua. Bajo los demás escenarios el aumento sería entre 1.3 y 1.7 centímetros por año, siendo los más altos bajo el RCP 8.5 (Figura 1.2.1-3). Finalmente, para el periodo 2081-2100 el nivel del mar sería 1.2 centímetros por año más alto bajo el RCP 2.6, en comparación al nivel observado en el periodo 1993-2019; y sería 1.5 centímetros por año mayor bajo el RCP 4.5, 1.6 centímetros por año mayor bajo el RCP 6.0 y 2.9 centímetros por año más alto bajo el RCP 8.5 (Figura 1.2.1-4).

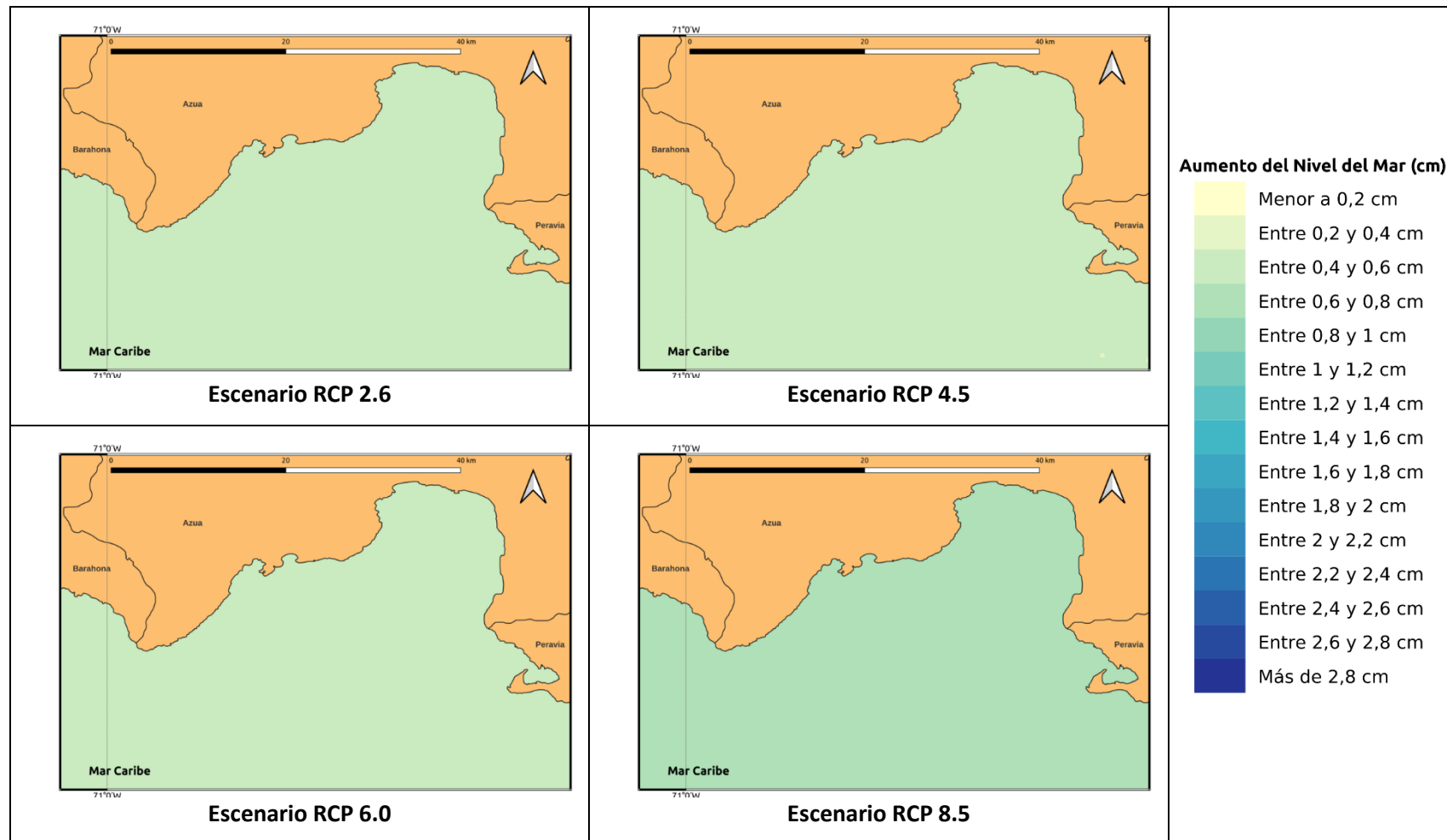


Figura 1.2.1-1. Aumento del nivel del mar (cm por año) proyectado por el ensamble multimodelo bajo los 4 escenarios RCP en el periodo 2021-2040 para la provincia Azua.

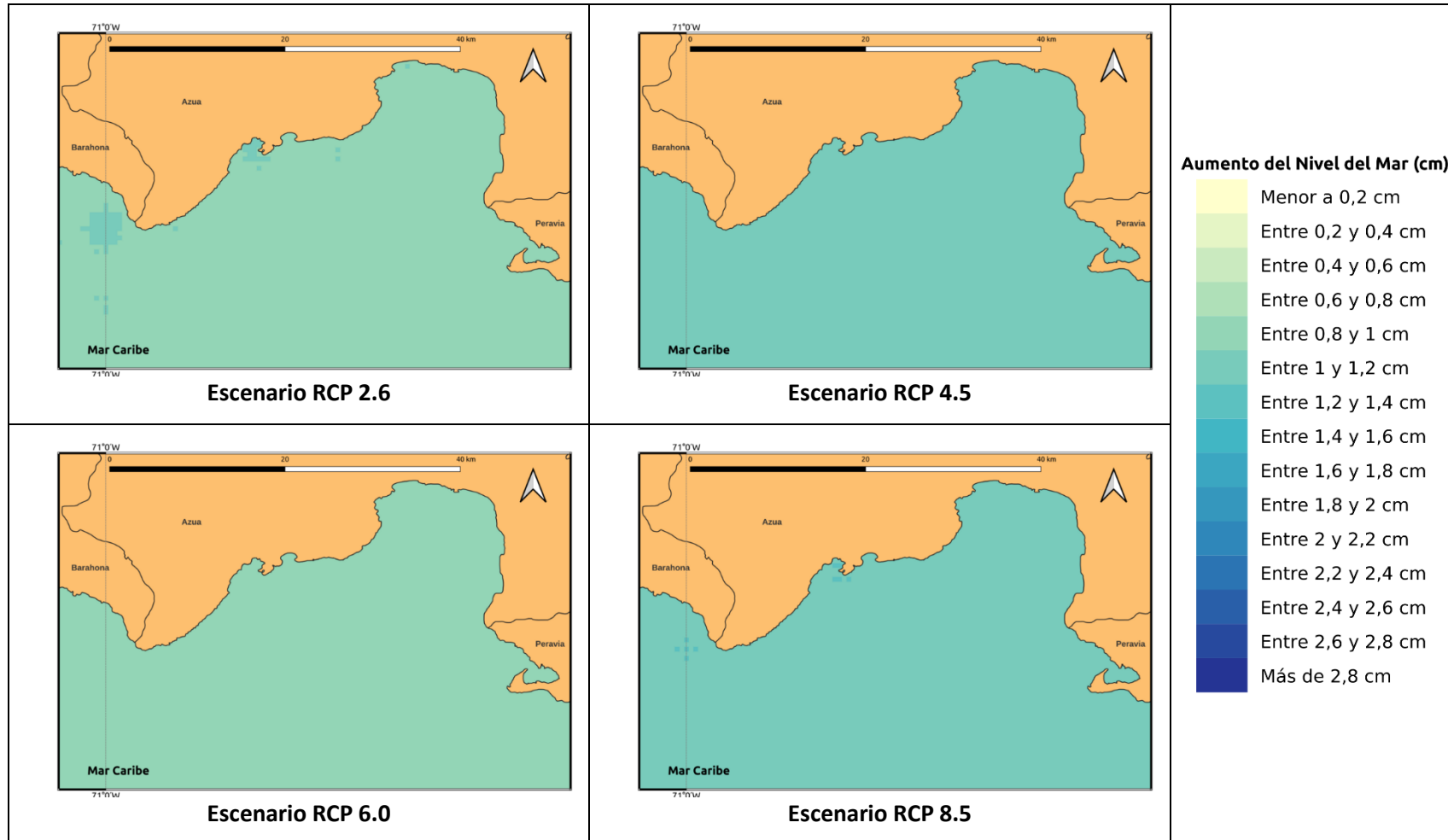


Figura 1.2.1-2. Aumento del nivel del mar (cm por año) proyectado por el ensamble multimodelo bajo los 4 escenarios RCP en el periodo 2041-2060 para la provincia Azua.

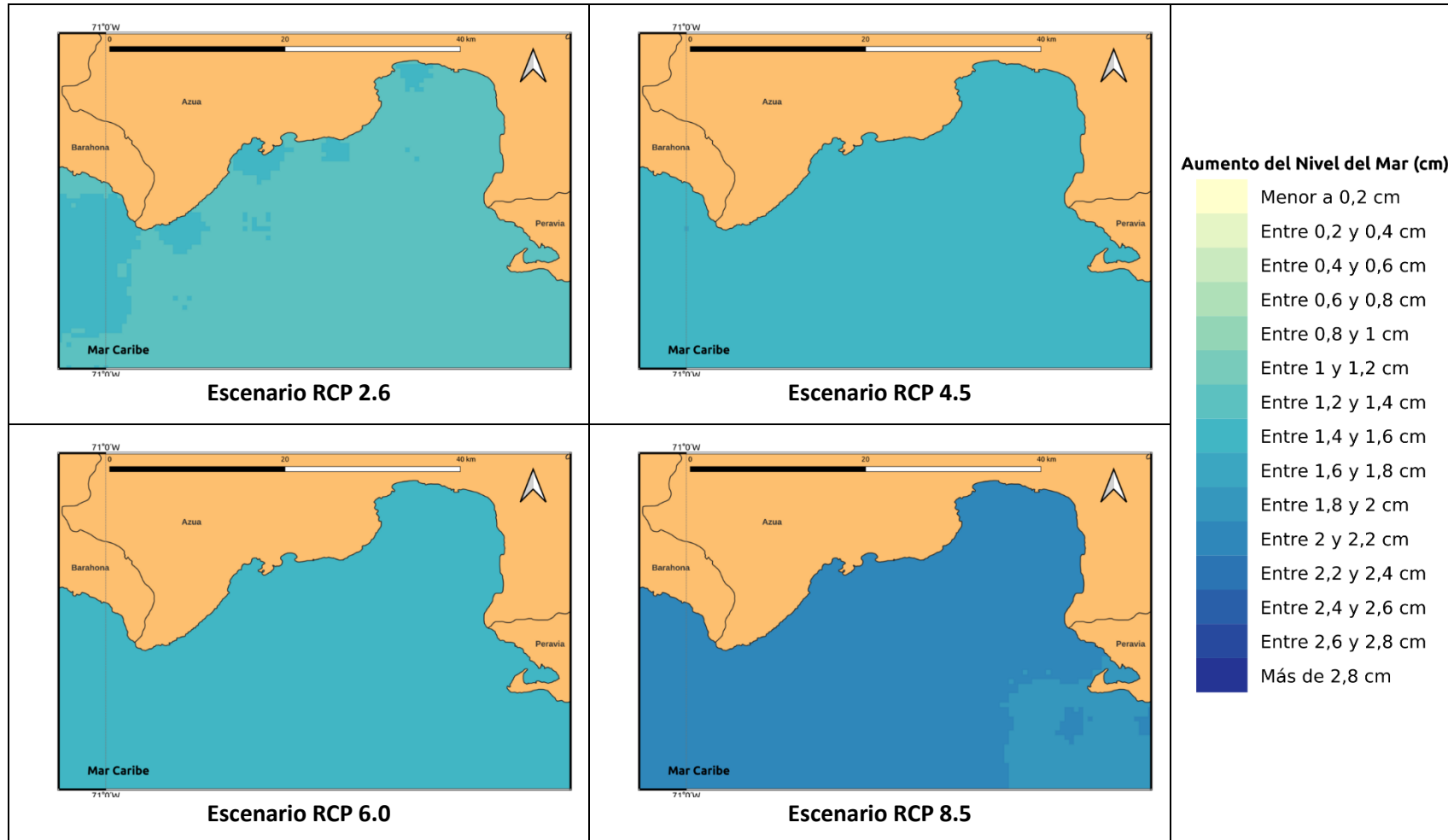


Figura 1.2.1-3. Aumento del nivel del mar (cm por año) proyectado por el ensamble multimodelo bajo los 4 escenarios RCP en el periodo 2061-2080 para la provincia Azua.

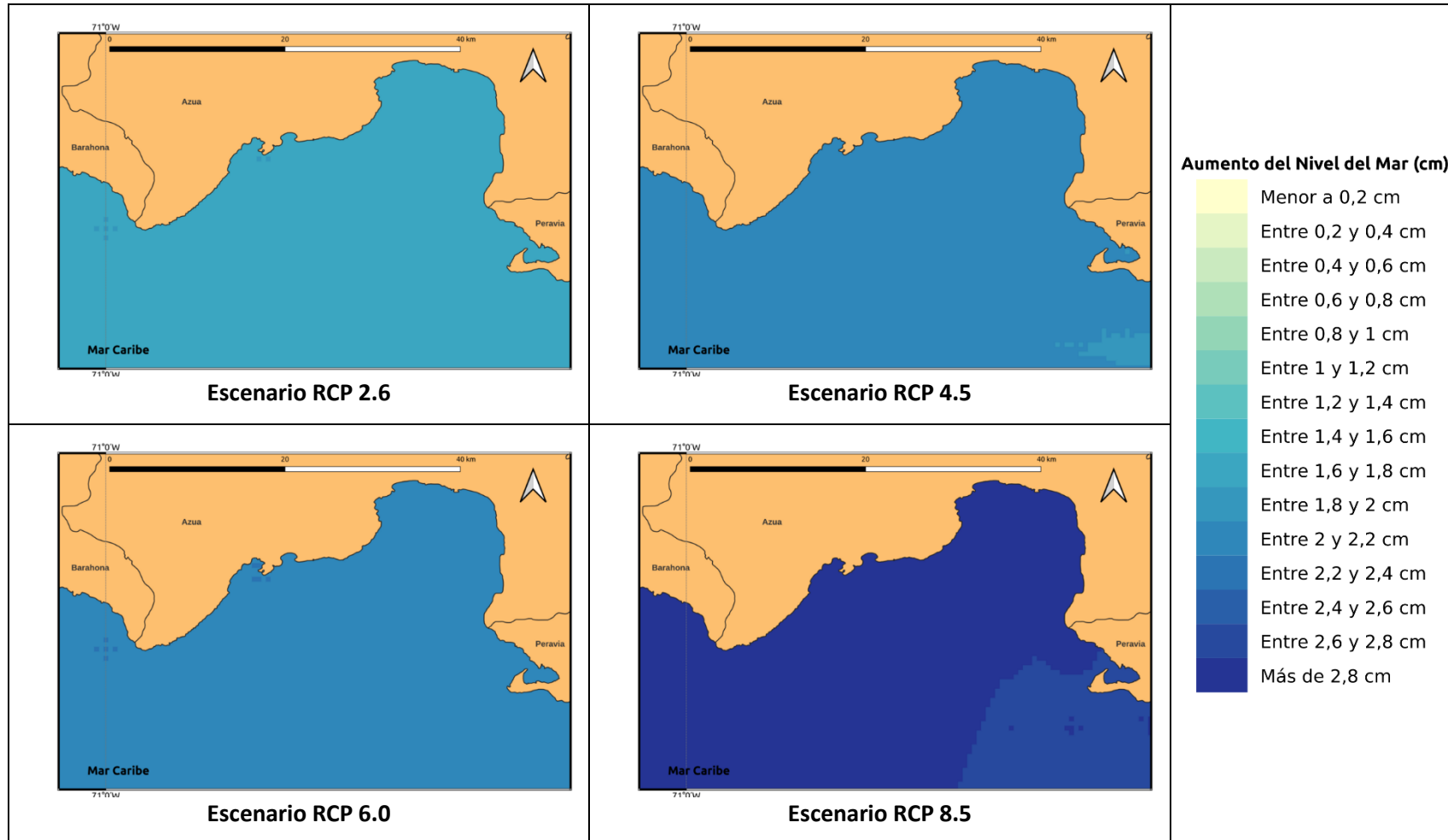
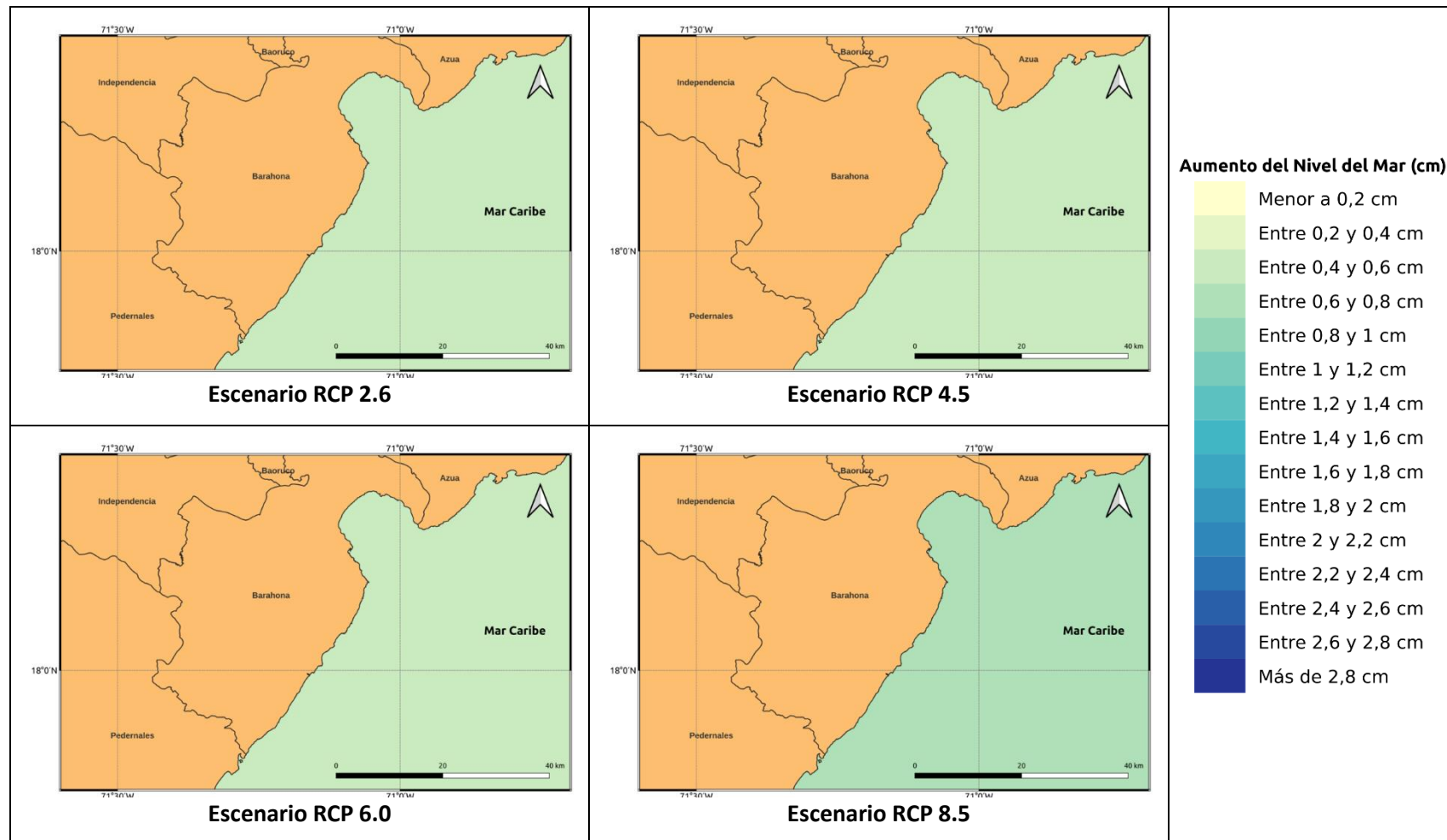


Figura 1.2.1-4. Aumento del nivel del mar (cm por año) proyectado por el ensamble multimodelo bajo los 4 escenarios RCP en el periodo 2081-2100 para la Provincia Azua.

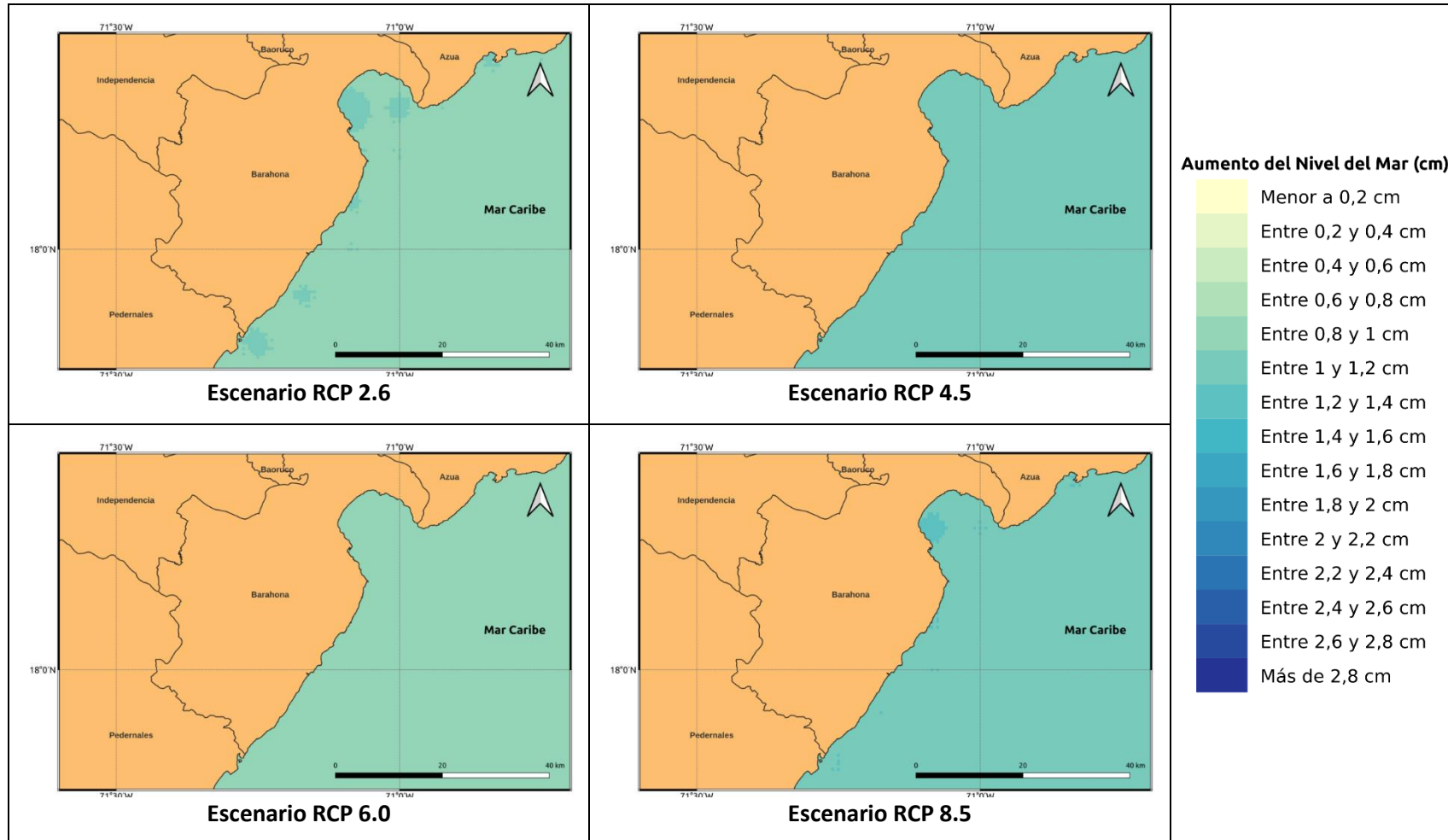
## 1.2.2 PROVINCIA BARAHONA

El nivel del mar aumentaría entre 0.2 y 0.4 centímetros por año en las costas de la provincia en el corto plazo (2021-2040) bajo los 3 primeros escenarios RCP, y entre 0.4 y 0.5 centímetros por año bajo el RCP 8.5 (Figura 1.2.2-1). Para el periodo 2041-2060 el incremento del nivel sería entre 0.8 y 1.1 centímetros por año, dándose los más altos bajo los RCP 4.5 y 8.5 (Figura 1.2.2-2). En el periodo 2061-2080 el aumento sería entre 1 y 1.4 centímetros por año bajo el RCP 2.6, dándose los incrementos superiores a 1.2 centímetros por año en la Bahía de Neiba y al sur de la provincia. Bajo los demás escenarios el aumento sería entre 1.3 y 2 centímetros por año, siendo los más altos bajo el RCP 8.5 (Figura 1.2.2-3). Finalmente, para el periodo 2081-2100 el nivel del mar sería 1.5 centímetros por año más alto bajo el RCP 2.6, en comparación al nivel observado en el periodo 1993-2019; y sería 2 centímetros por año mayor bajo el RCP 4.5, 2.2 centímetros por año mayor bajo el RCP 6.0 y 2.9 centímetros por año más alto bajo el RCP 8.5 (Figura 1.2.2-4).

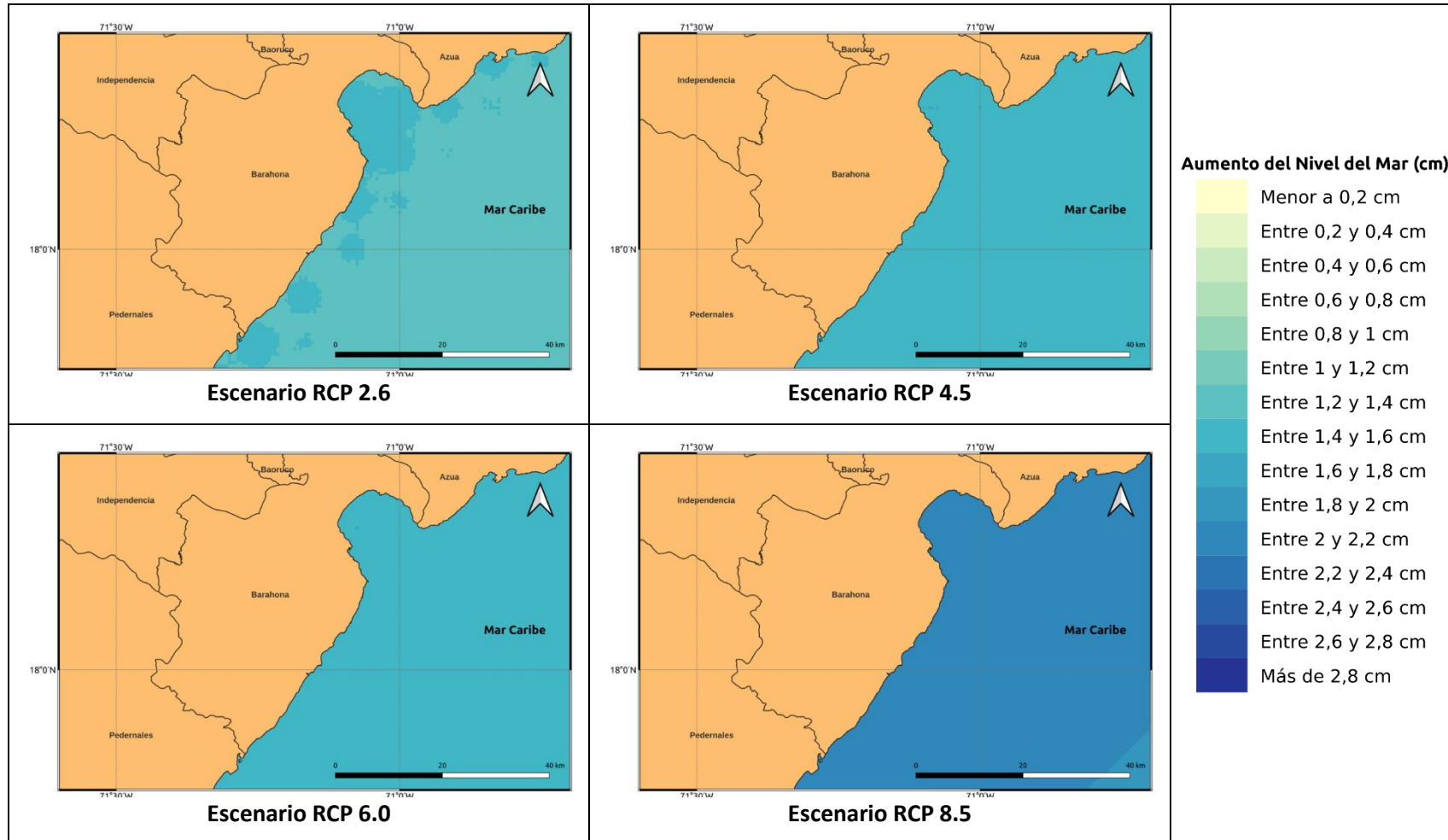




**Figura 1.2.2-1. Aumento del nivel del mar (cm por año) proyectado por el ensamble multimodelo bajo los 4 escenarios RCP en el periodo 2021-2040 para la provincia Barahona.**



**Figura 1.2.2-2. Aumento del nivel del mar (cm por año) proyectado por el ensamble multimodelo bajo los 4 escenarios RCP en el periodo 2041-2060 para la provincia Barahona.**



**Figura 1.2.2-3. Aumento del nivel del mar (cm por año) proyectado por el ensamble multimodelo bajo los 4 escenarios RCP en el periodo 2061-2080 para la provincia Barahona.**

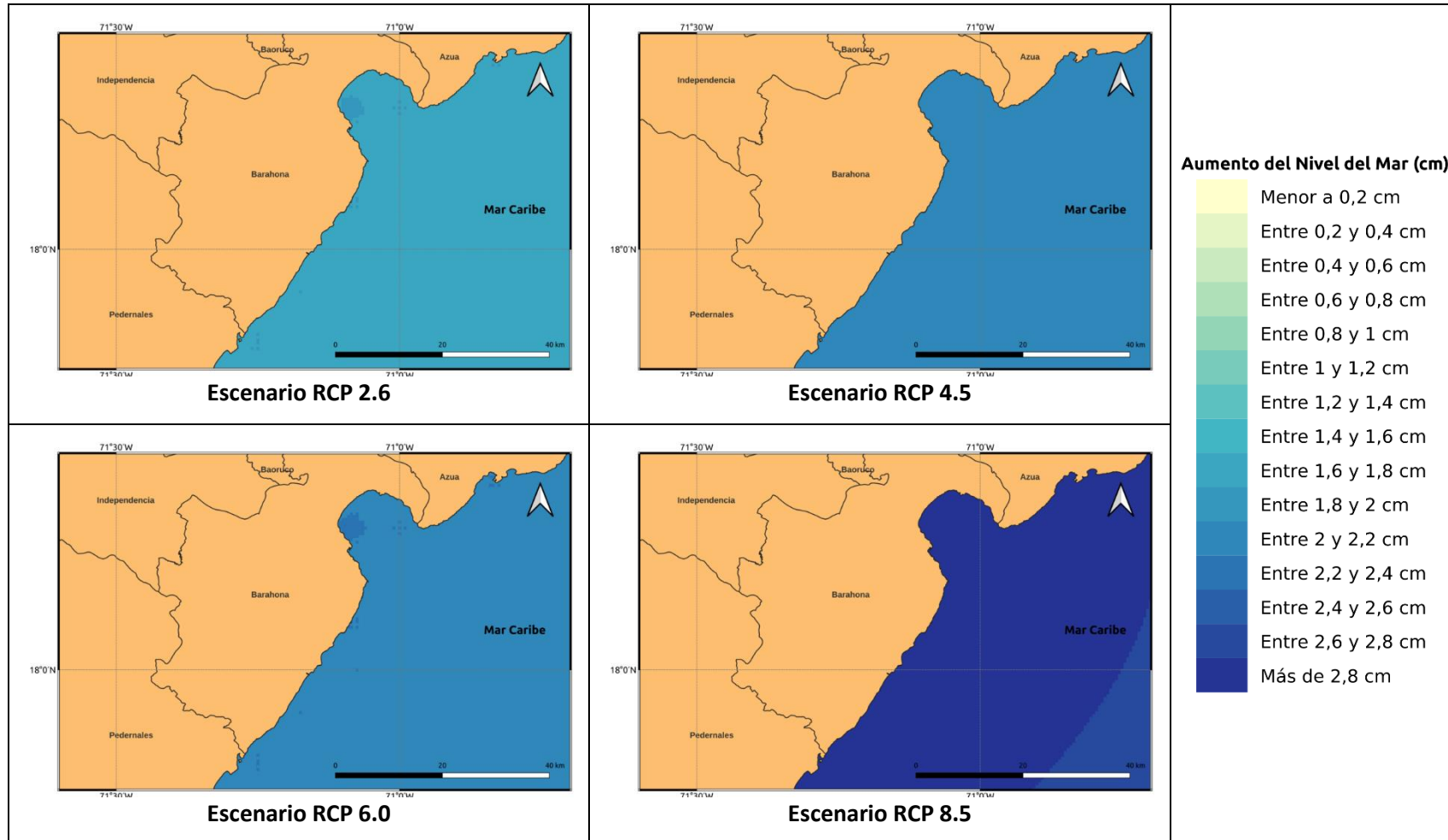


Figura 1.2.2-4. Aumento del nivel del mar (cm por año) proyectado por el ensamble multimodelo bajo los 4 escenarios RCP en el periodo 2081-2100 para la provincia Barahona.

### **1.2.3 PROVINCIA EL SEIBO**

El nivel del mar aumentaría entre 0.2 y 0.5 centímetros por año en las costas de la provincia en el corto plazo (2021-2040) bajo los 4 escenarios RCP (Figura 1.2.3-1). Para el periodo 2041-2060 el incremento del nivel sería entre 0.4 y 0.8 centímetros por año, dándose los más altos bajo los RCP 4.5 y 8.5 (Figura 1.2.3-2). En el periodo 2061-2080 el aumento sería entre 1 y 1.3 centímetros por año bajo el RCP 2.6, dándose los incrementos más altos hacia el occidente de la provincia. Bajo los demás escenarios el aumento sería entre 1.5 y 2 centímetros por año, siendo los más altos bajo el RCP 8.5 (Figura 1.2.3-3). Finalmente, para el periodo 2081-2100 el nivel del mar sería 1.4 centímetros por año más alto bajo el RCP 2.6, en comparación al nivel observado en el periodo 1993-2019; y sería 1.8 centímetros por año mayor bajo los RCP 4.5 y 6.0, y 2.9 centímetros por año más alto bajo el RCP 8.5 (Figura 1.2.3-4).



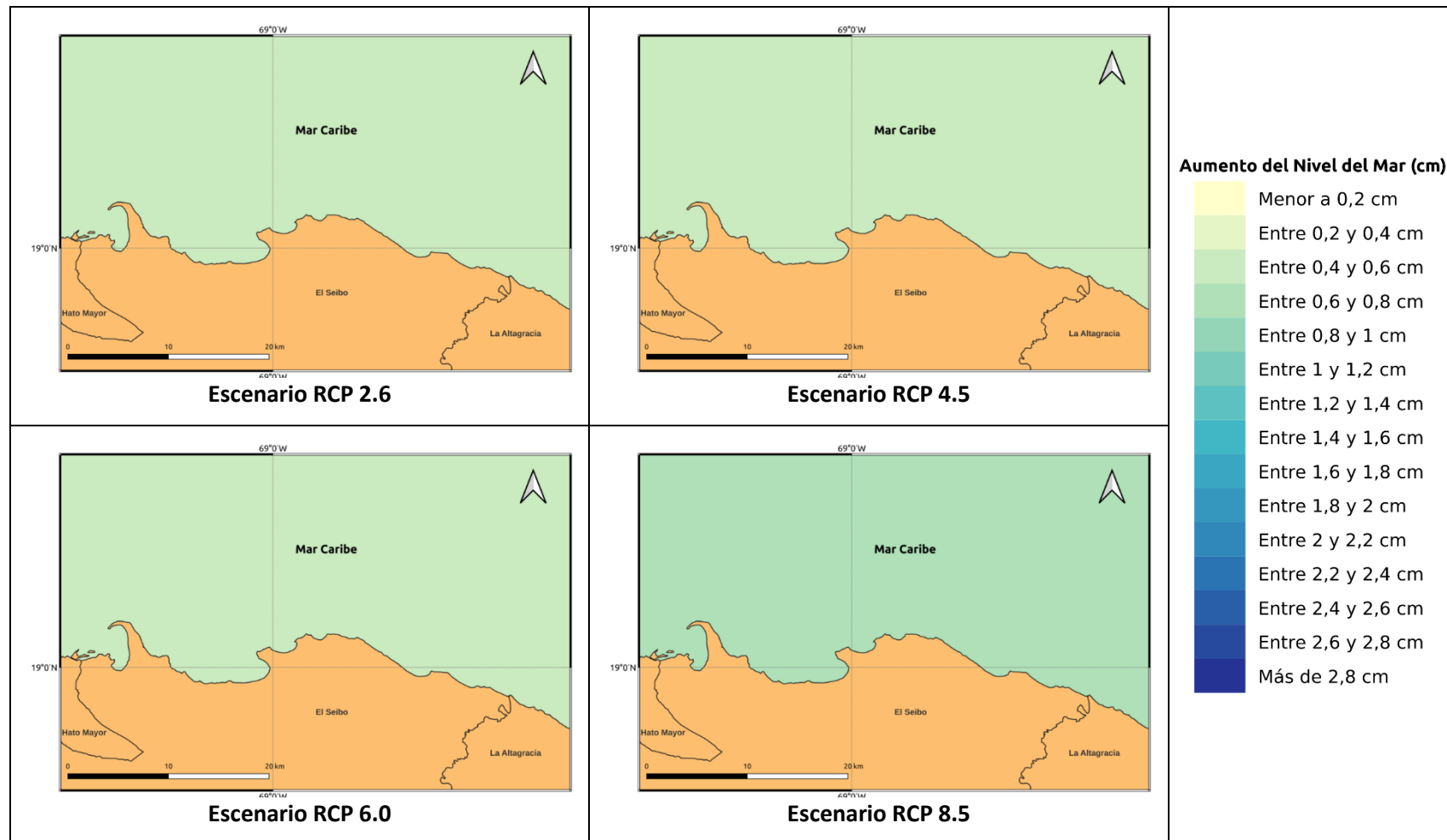
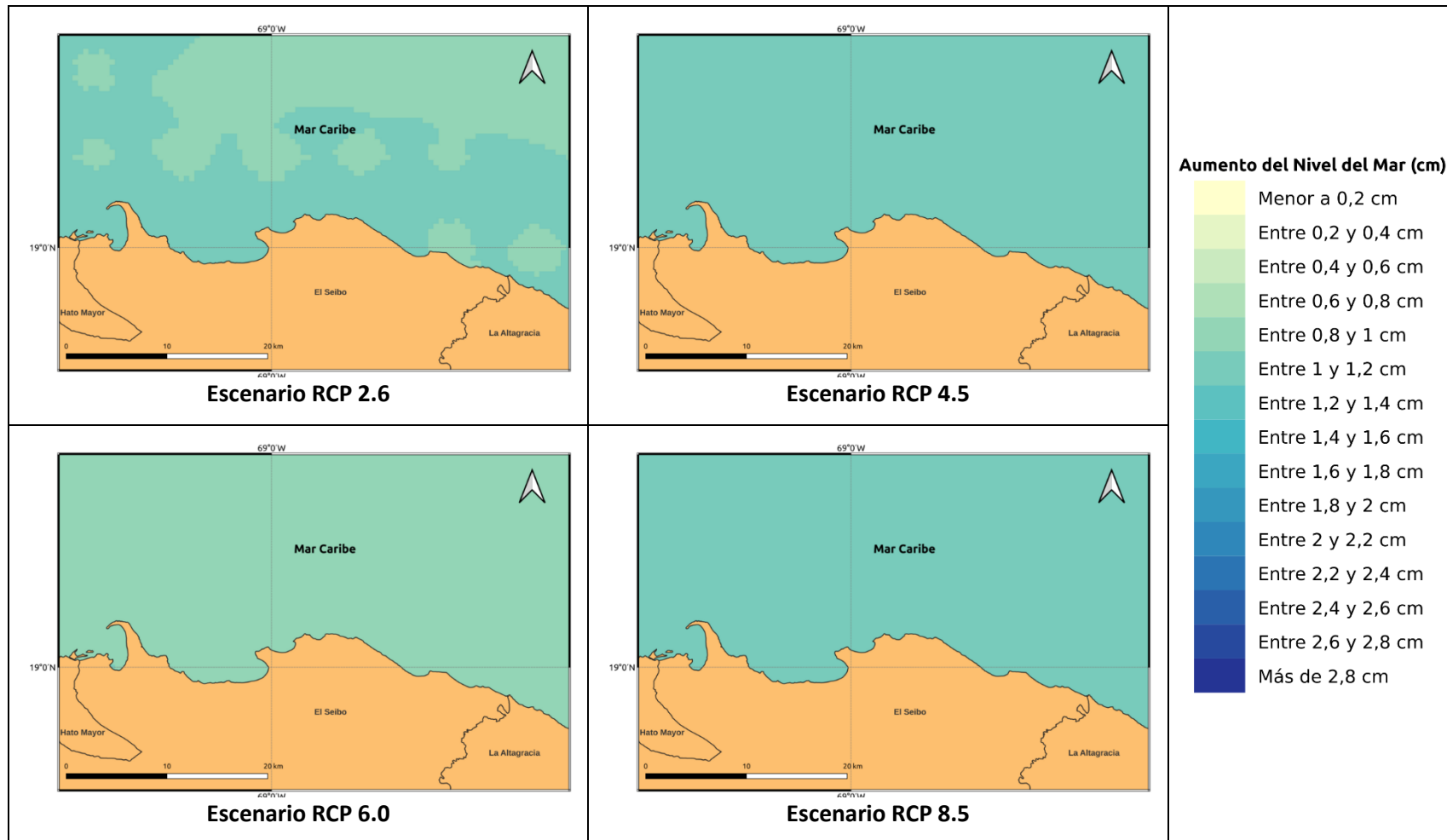


Figura 1.2.3-1. Aumento del nivel del mar (cm por año) proyectado por el ensamble multimodelo bajo los 4 escenarios RCP en el periodo 2021-2040 para la provincia El Seibo.



**Figura 1.2.3-2. Aumento del nivel del mar (cm por año) proyectado por el ensamble multimodelo bajo los 4 escenarios RCP en el periodo 2041-2060 para la provincia El Seibo.**

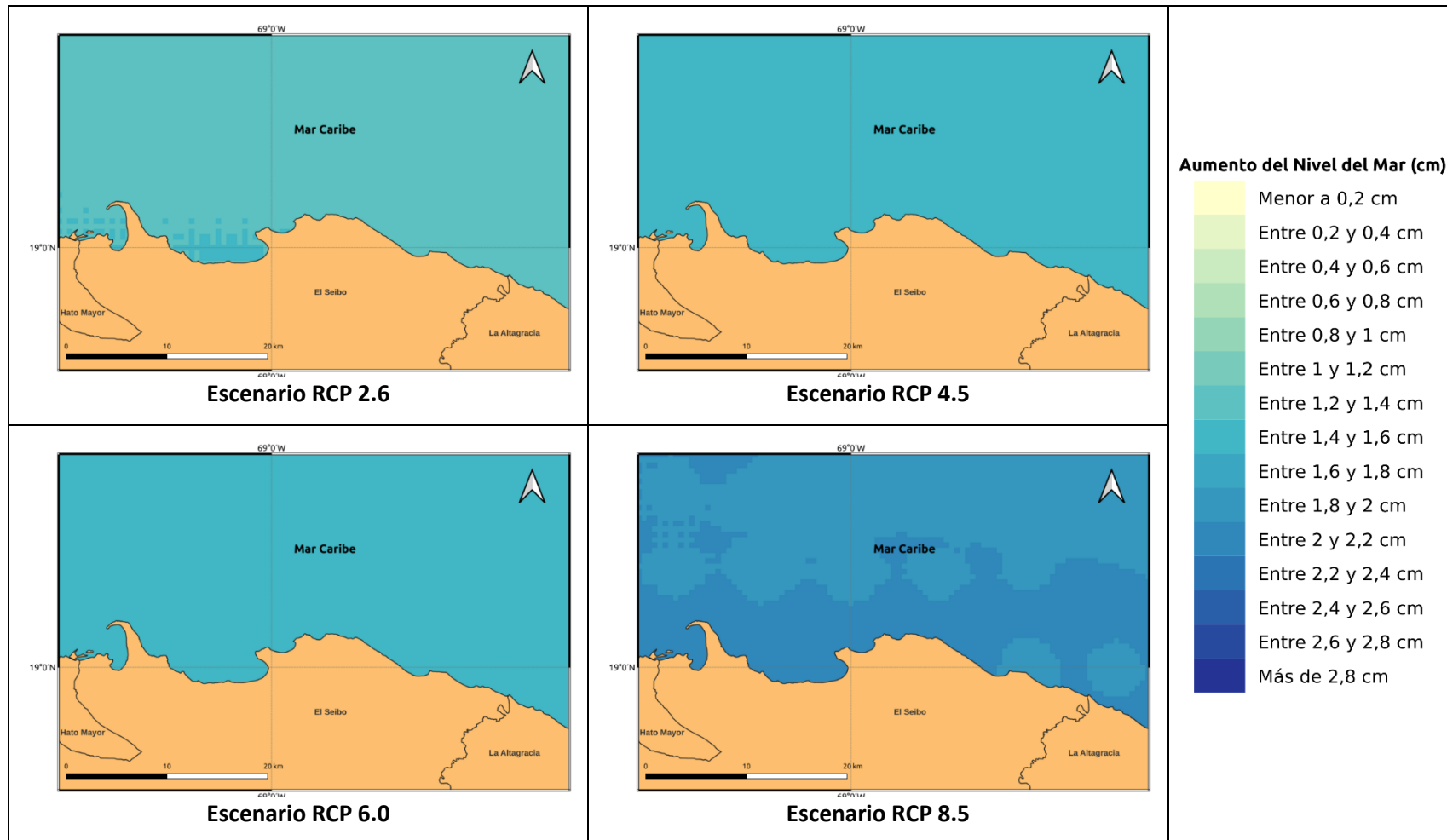


Figura 1.2.3-3. Aumento del nivel del mar (cm por año) proyectado por el ensamble multimodelo bajo los 4 escenarios RCP en el periodo 2061-2080 para la provincia El Seibo.

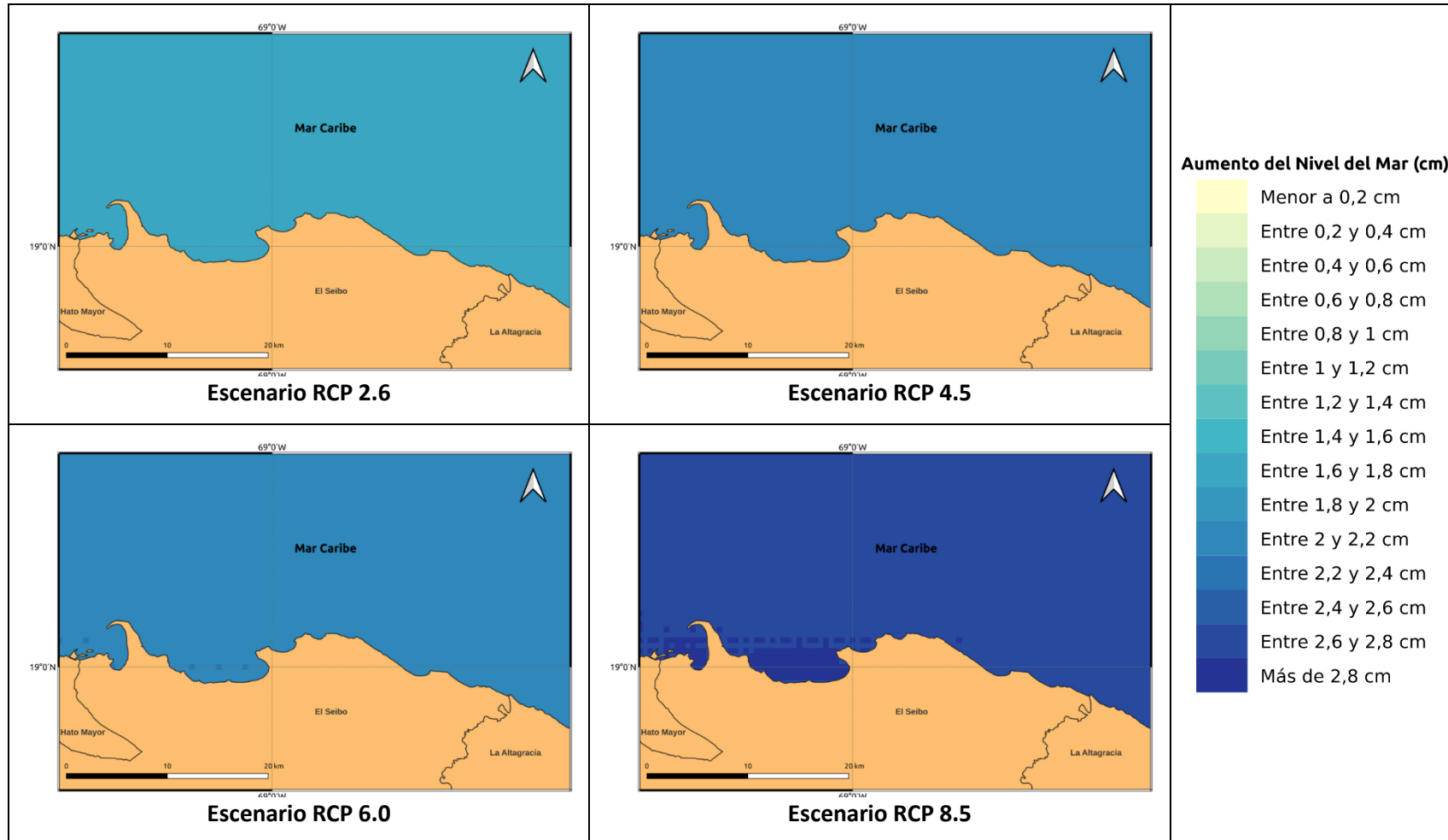


Figura 1.2.3-4. Aumento del nivel del mar (cm por año) proyectado por el ensamble multimodelo bajo los 4 escenarios RCP en el periodo 2081-2100 para la provincia El Seibo.

#### **1.2.4 PROVINCIA ESPAILLAT**

Se espera que el nivel del mar aumentaría entre 0.4 y 0.5 centímetros por año en las costas de la provincia en el corto plazo (2021-2040) bajo los 3 primeros RCP (2.6, 4.5 y 6.0), y entre 0.6 y 0.7 centímetros por año mayor bajo el RCP 8.5 (Figura 1.2.4-1). Para el periodo 2041-2060 el incremento del nivel sería entre 0.8 y 1.2 centímetros por año, dándose los más altos bajo los RCP 4.5 y 8.5 (Figura 1.2.4-2). En el periodo 2061-2080 el aumento sería entre 1 y 1.2 centímetros por año bajo el RCP 2.6, y bajo los demás escenarios el aumento sería entre 1.5 y 1.9 centímetros por año, siendo los más altos bajo el RCP 8.5 (Figura 1.2.4-3). Finalmente, para el periodo 2081-2100 el nivel del mar sería 1.2 centímetros por año más alto bajo el RCP 2.6, en comparación al nivel observado en el periodo 1993-2019; y sería 1.6 centímetros por año mayor bajo el RCP 4.5, 1.8 centímetros por año mayor bajo el RCP 6.0 y 2.3 centímetros por año más alto bajo el RCP 8.5 (Figura 1.2.4-4).



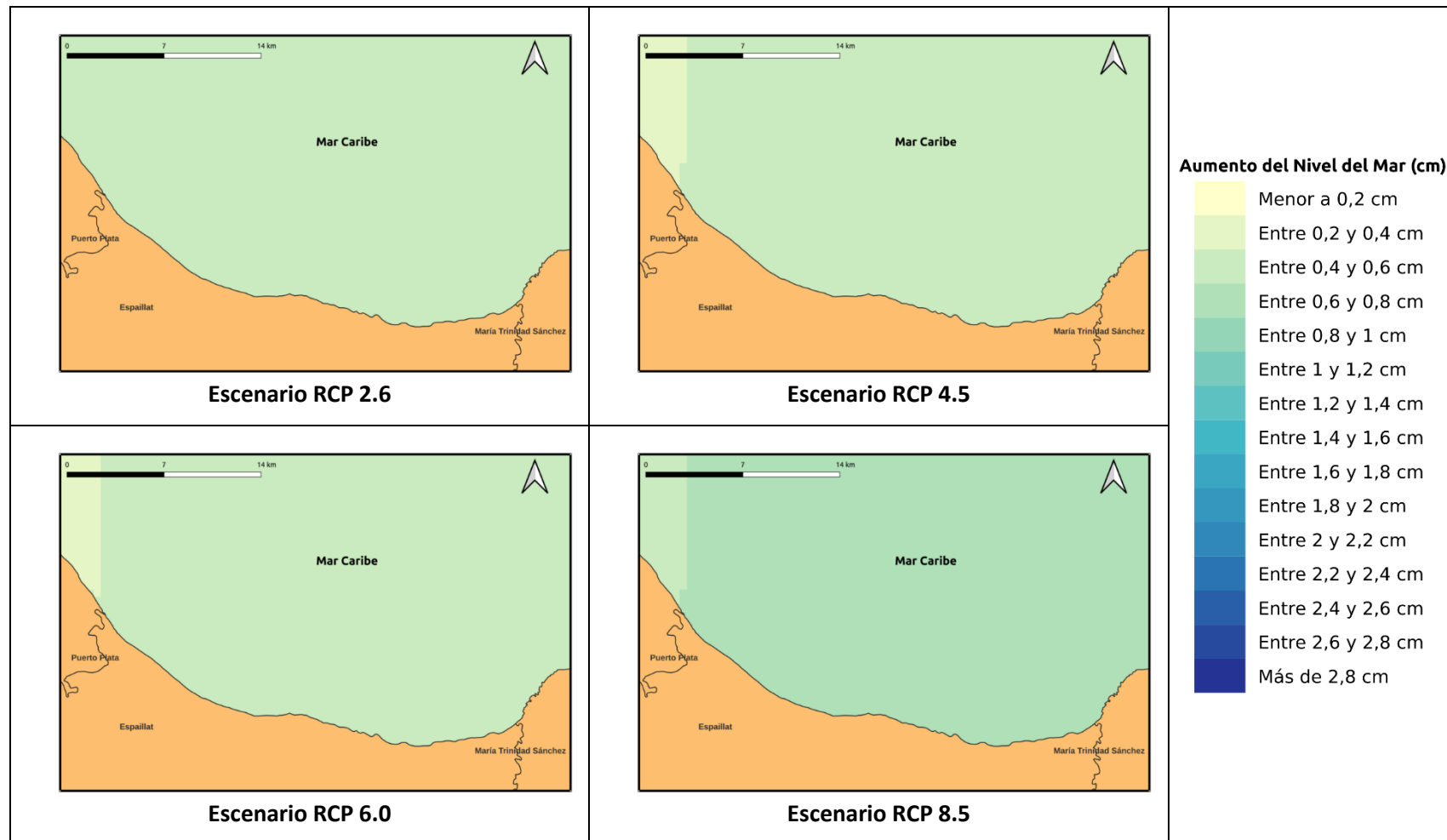


Figura 1.2.4-1. Aumento del nivel del mar (cm por año) proyectado por el ensamble multimodelo bajo los 4 escenarios RCP en el periodo 2021-2040 para la provincia Espaillat.

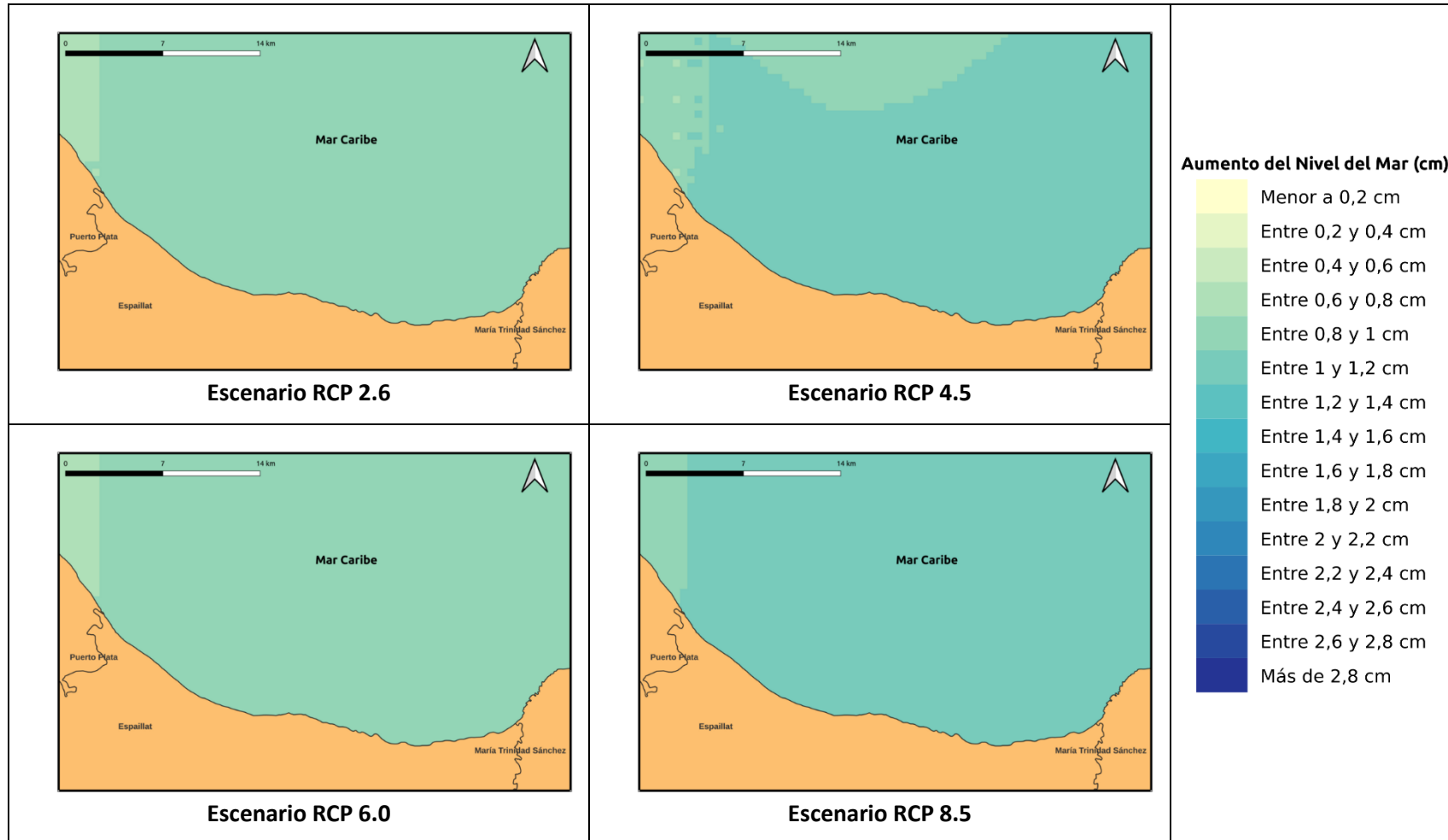


Figura 1.2.4-2. Aumento del nivel del mar (cm por año) proyectado por el ensamble multimodelo bajo los 4 escenarios RCP en el periodo 2041-2060 para la provincia Espaillat.

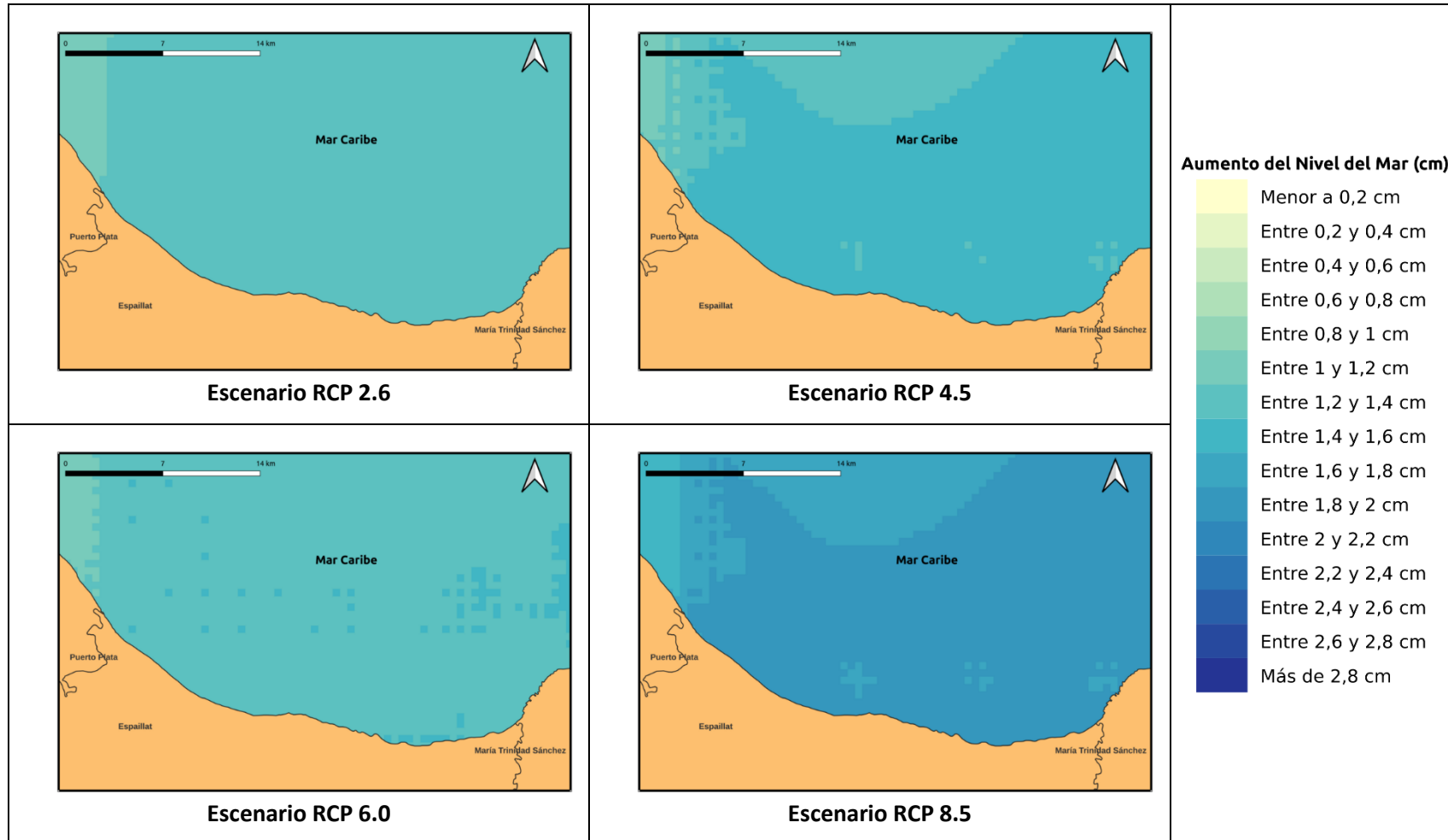


Figura 1.2.4-3. Aumento del nivel del mar (cm por año) proyectado por el ensamble multimodelo bajo los 4 escenarios RCP en el periodo 2061-2080 para la provincia Espaillat.

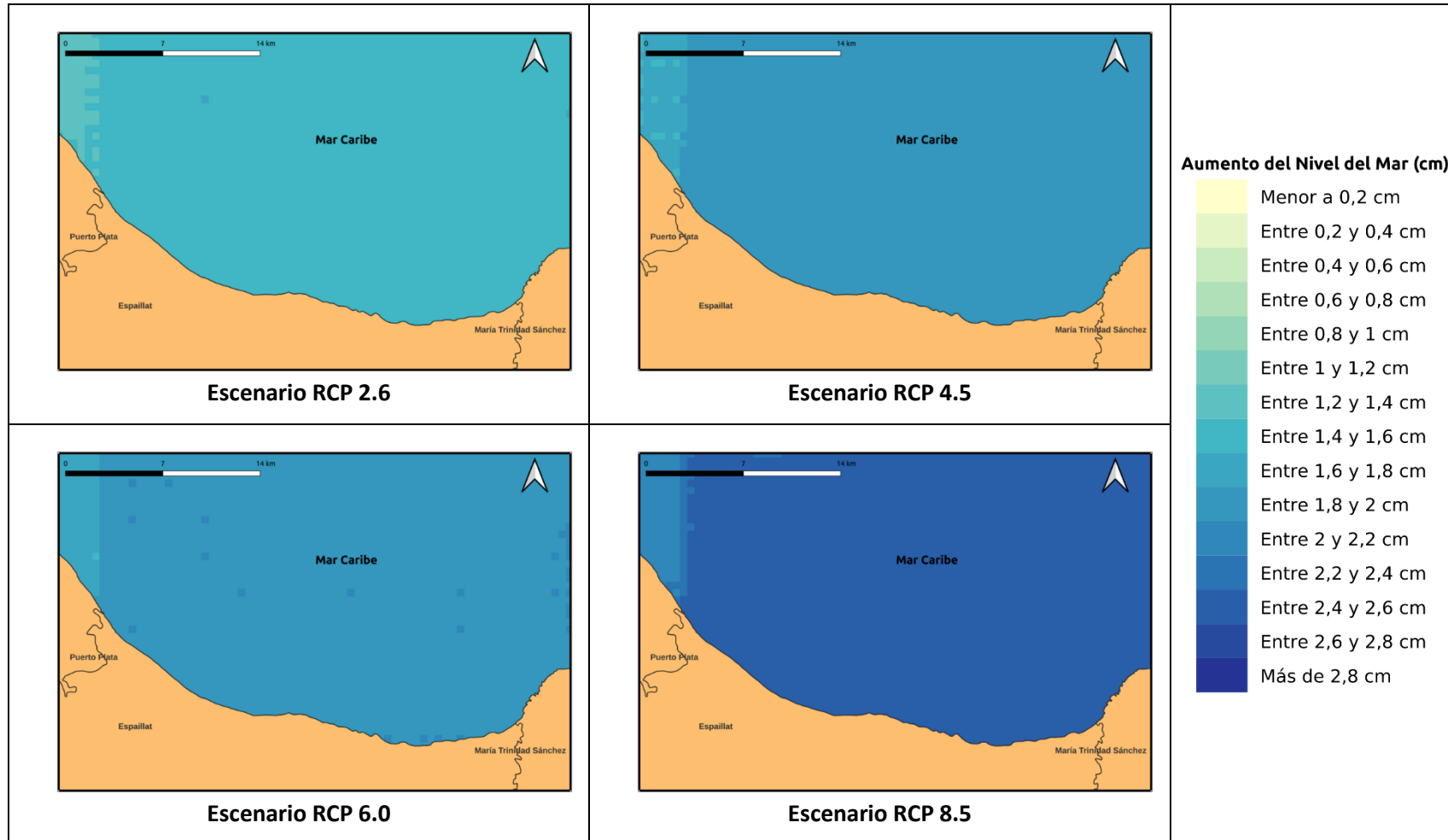
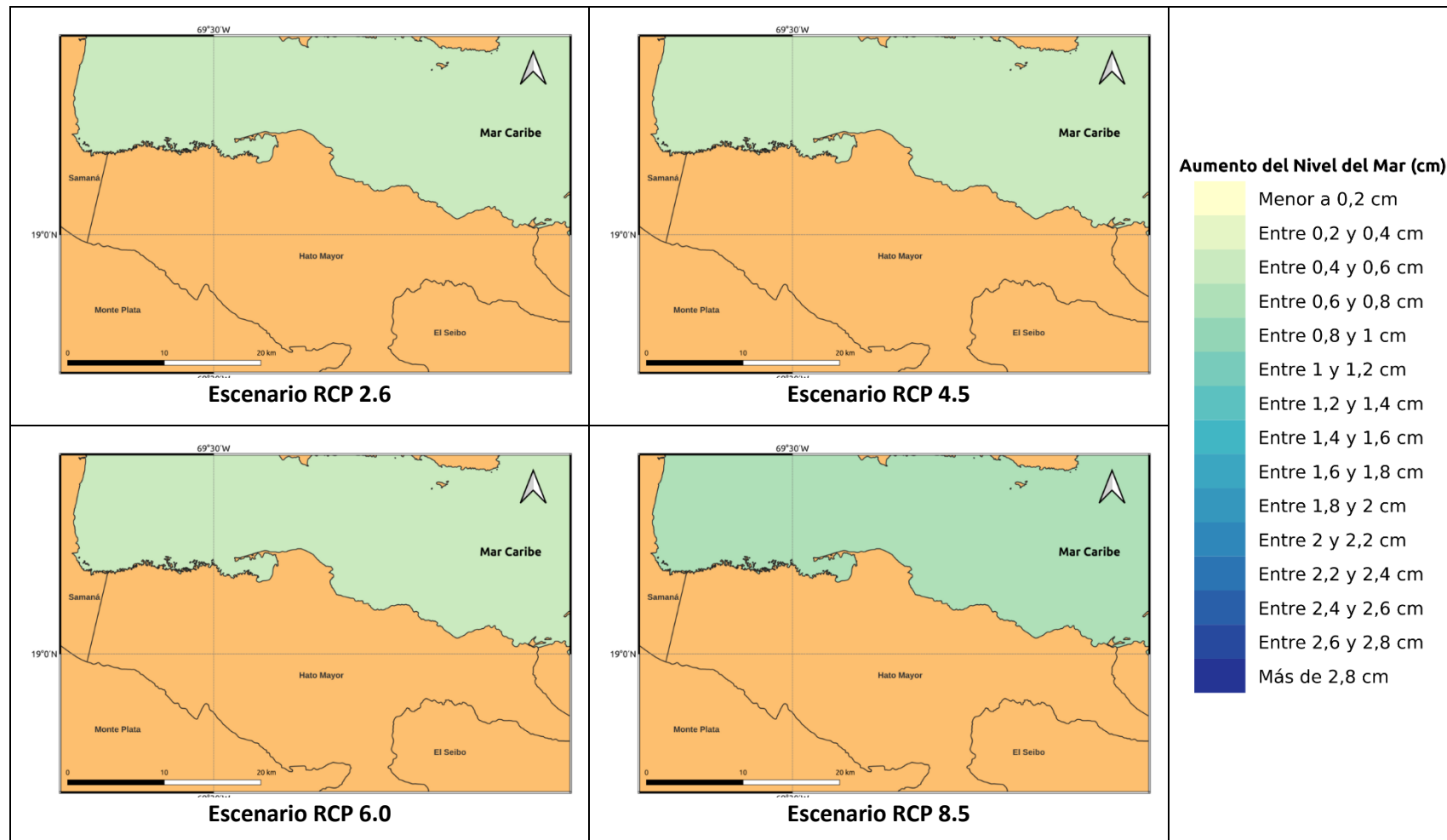


Figura 1.2.4-4. Aumento del nivel del mar (cm por año) proyectado por el ensamble multimodelo bajo los 4 escenarios RCP en el periodo 2081-2100 para la provincia Espaillat.

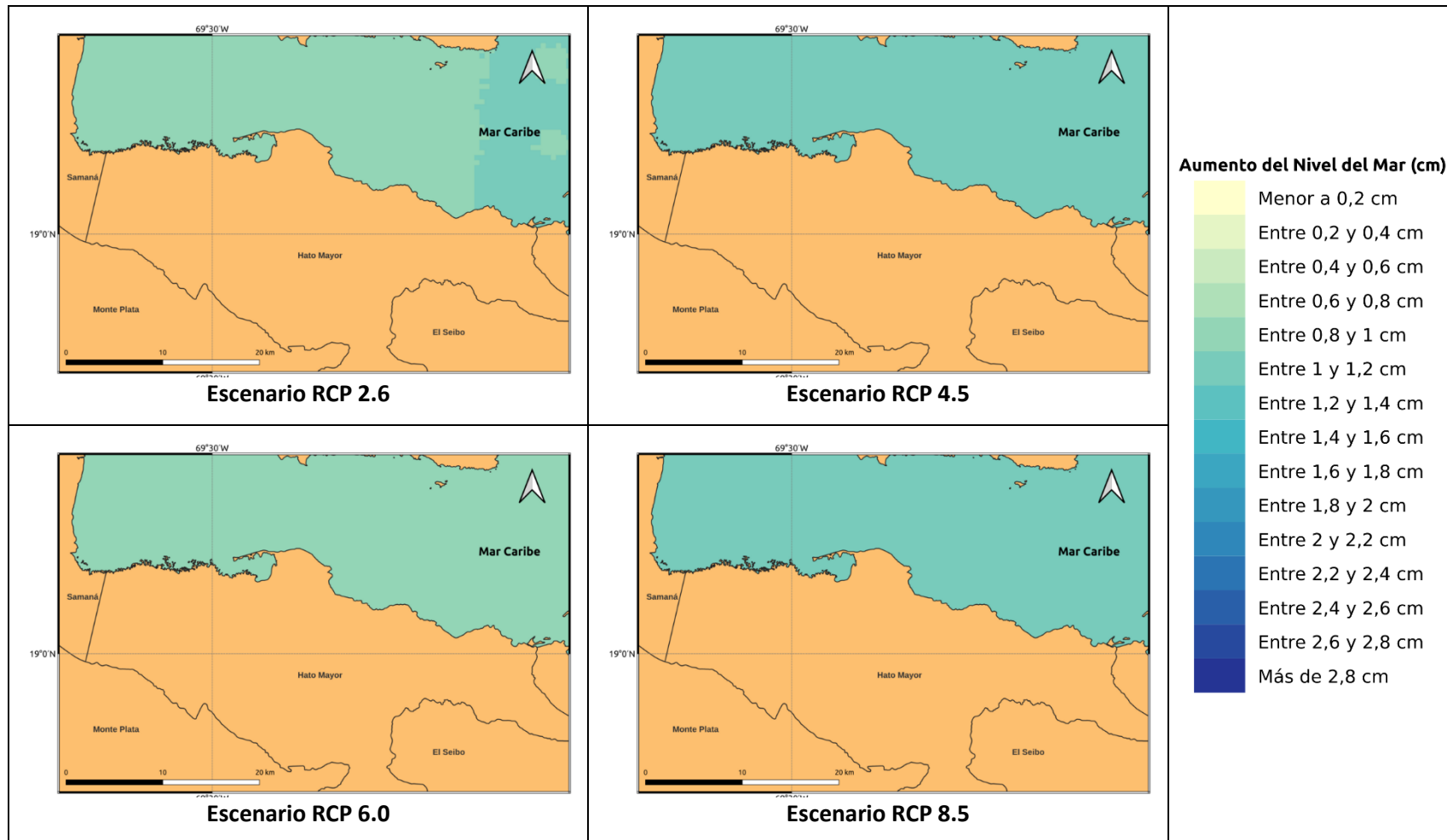
## 1.2.5 PROVINCIA HATO MAYOR

El nivel del mar aumentaría entre 0.2 y 0.5 centímetros por año en las costas de la provincia en el corto plazo (2021-2040) bajo los 4 escenarios RCP (Figura 1.2.5-1). Para el periodo 2041-2060 el incremento del nivel sería entre 0.6 y 0.9 centímetros por año, dándose los más altos bajo los RCP 4.5 y 8.5 (Figura 1.2.5-2). En el periodo 2061-2080 el aumento sería entre 1 y 1.2 centímetros por año bajo el RCP 2.6, y bajo los demás escenarios el aumento sería entre 1.3 y 1.9 centímetros por año, siendo los más altos bajo el RCP 8.5 hacia el oriente de las costas de la provincia (Figura 1.2.5-3). Finalmente, para el periodo 2081-2100 el nivel del mar sería 1.4 centímetros por año más alto bajo el RCP 2.6, en comparación al nivel observado en el periodo 1993-2019; y sería entre 1.6 y 1.9 centímetros por año mayor bajo el RCP 4.5, 2.1 centímetros por año mayor bajo el RCP 6.0 y entre 2.4 y 2.7 centímetros por año más alto bajo el RCP 8.5, dándose los mayores incrementos al oriente y occidente de las costas de la provincia (Figura 1.2.5-4).

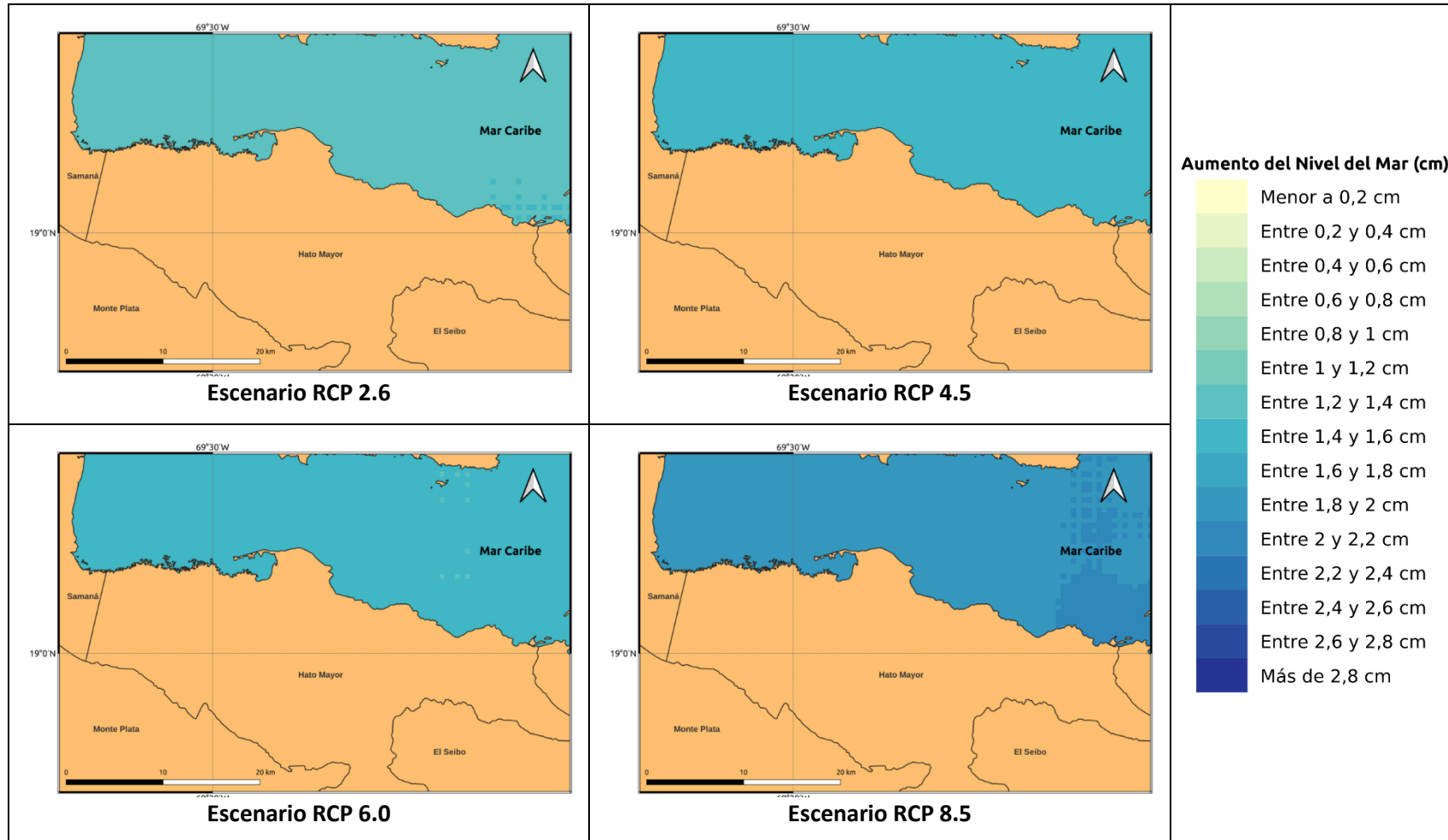




**Figura 1.2.5-1. Aumento del nivel del mar (cm por año) proyectado por el ensamble multimodelo bajo los 4 escenarios RCP en el periodo 2021-2040 para la provincia Hato Mayor.**



**Figura 1.2.5-2. Aumento del nivel del mar (cm por año) proyectado por el ensamble multimodelo bajo los 4 escenarios RCP en el periodo 2041-2060 para la provincia Hato Mayor.**



**Figura 1.2.5-3. Aumento del nivel del mar (cm por año) proyectado por el ensamble multimodelo bajo los 4 escenarios RCP en el periodo 2061-2080 para la provincia Hato Mayor.**

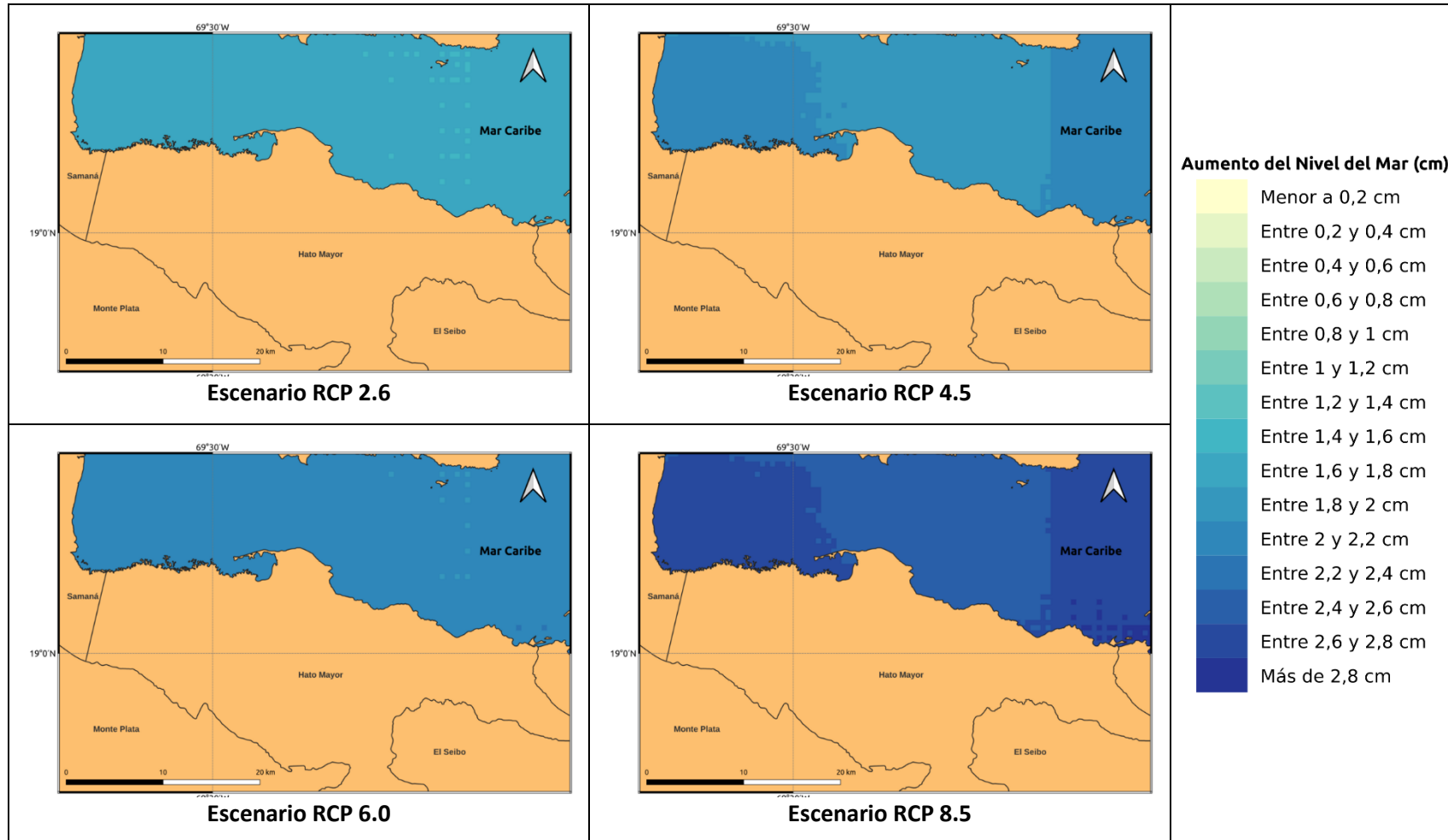


Figura 1.2.5-4. Aumento del nivel del mar (cm por año) proyectado por el ensamble multimodelo bajo los 4 escenarios RCP en el periodo 2081-2100 para la provincia Hato Mayor.

## 1.2.6 PROVINCIA LA ALTAGRACIA

Se espera que el nivel del mar aumentaría entre 0.1 y 0.5 centímetros por año en las costas de la provincia en el corto plazo (2021-2040) bajo los 4 escenarios RCP (Figura 1.2.6-1). Para el periodo 2041-2060 el incremento del nivel sería entre 0.6 y 0.9 centímetros por año, dándose los más altos bajo los RCP 4.5 y 8.5 (Figura 1.2.6-2). En el periodo 2061-2080 el aumento sería entre 1 y 1.3 centímetros por año bajo el RCP 2.6, y bajo los demás escenarios el aumento sería entre 1.5 y 1.9 centímetros por año, siendo los más altos bajo el RCP 8.5 en la parte central y sur de las costas de la provincia (Figura 1.2.6-3). Finalmente, para el periodo 2081-2100 el nivel del mar sería 1.6 centímetros por año más alto bajo el RCP 2.6, en comparación al nivel observado en el periodo 1993-2019; y sería 1.9 centímetros por año mayor bajo el RCP 4.5, 2 centímetros por año mayor bajo el RCP 6.0 y entre 2.4 y 2.7 centímetros por año más alto bajo el RCP 8.5, dándose los mayores aumentos hacia el sur de las costas de la provincia (Figura 1.2.6-4).



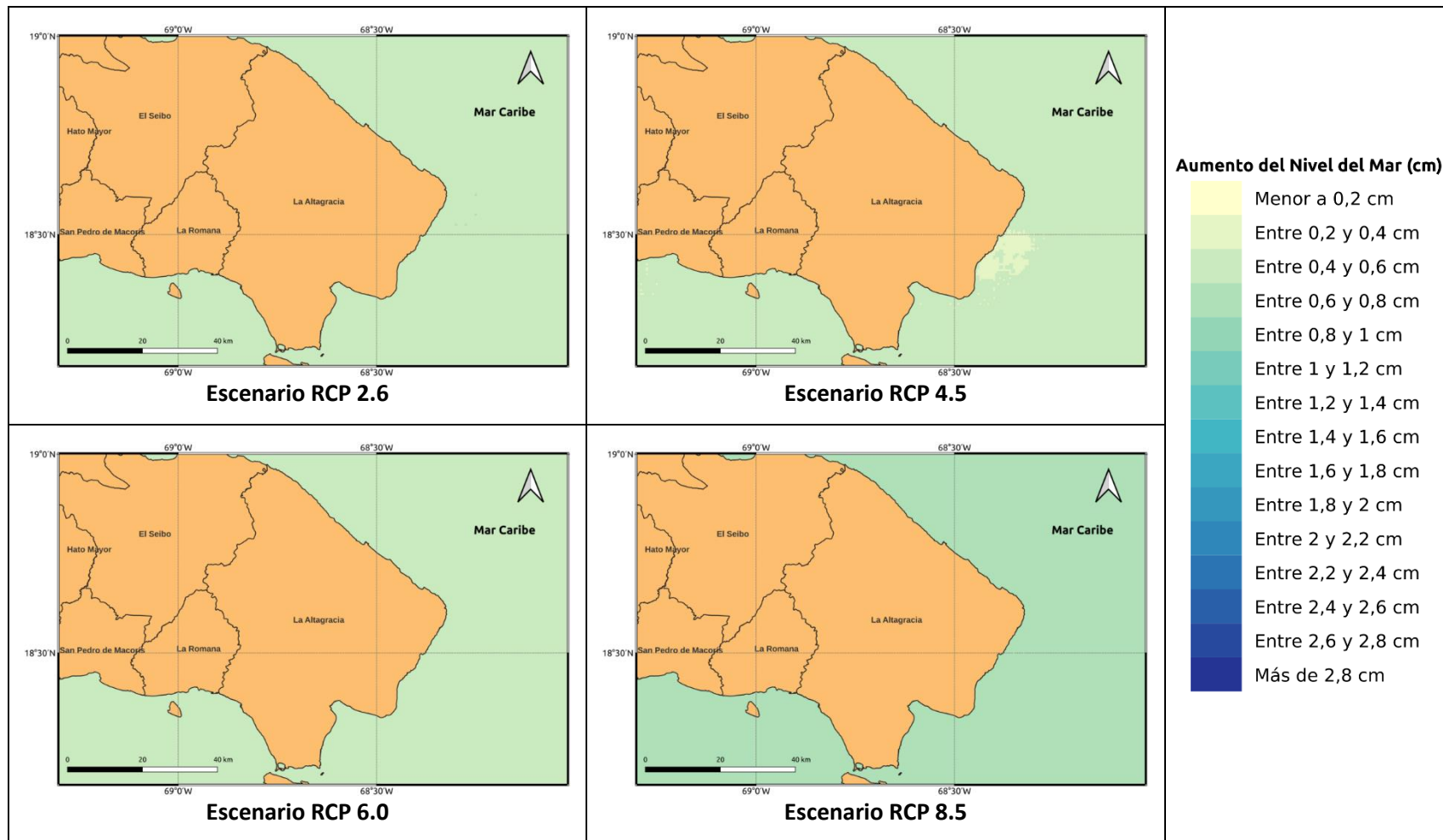
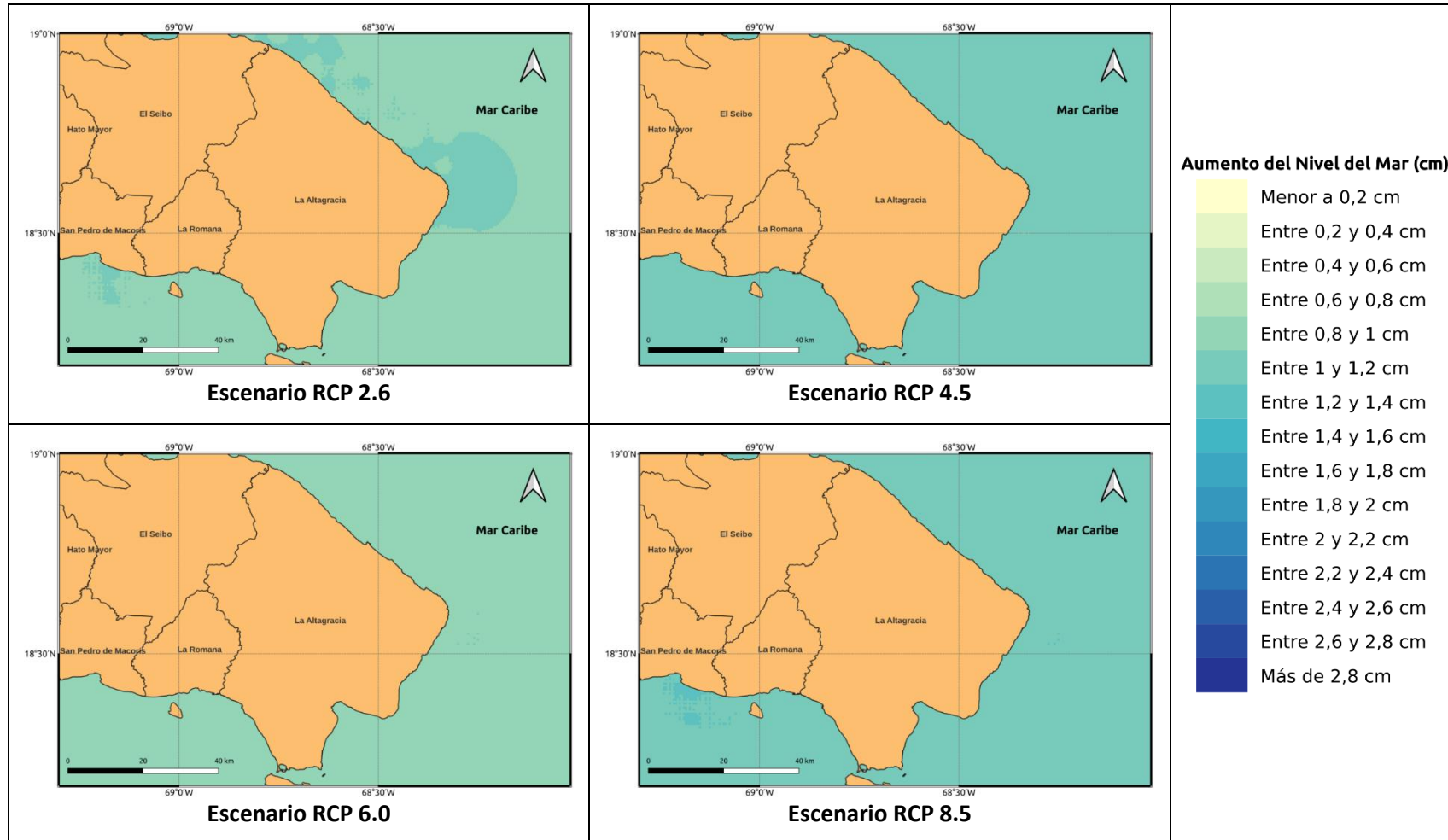
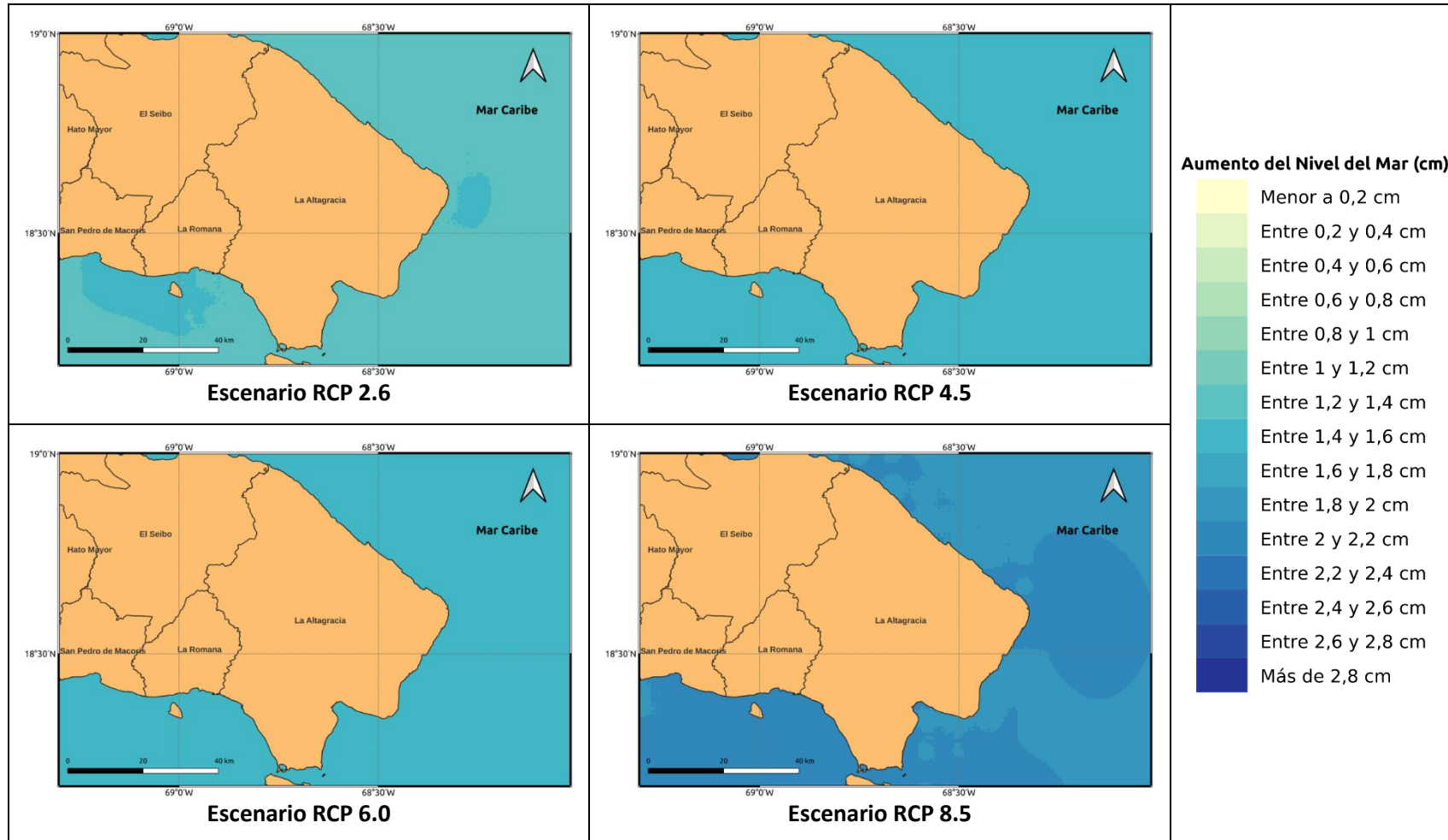


Figura 1.2.6-1. Aumento del nivel del mar (cm por año) proyectado por el ensamble multimodelo bajo los 4 escenarios RCP en el periodo 2021-2040 para la provincia La Altagracia.



**Figura 1.2.6-2. Aumento del nivel del mar (cm por año) proyectado por el ensamble multimodelo bajo los 4 escenarios RCP en el periodo 2041-2060 para la provincia La Altagracia.**



**Figura 1.2.6-3. Aumento del nivel del mar (cm por año) proyectado por el ensamble multimodelo bajo los 4 escenarios RCP en el periodo 2061-2080 para la provincia La Altagracia.**

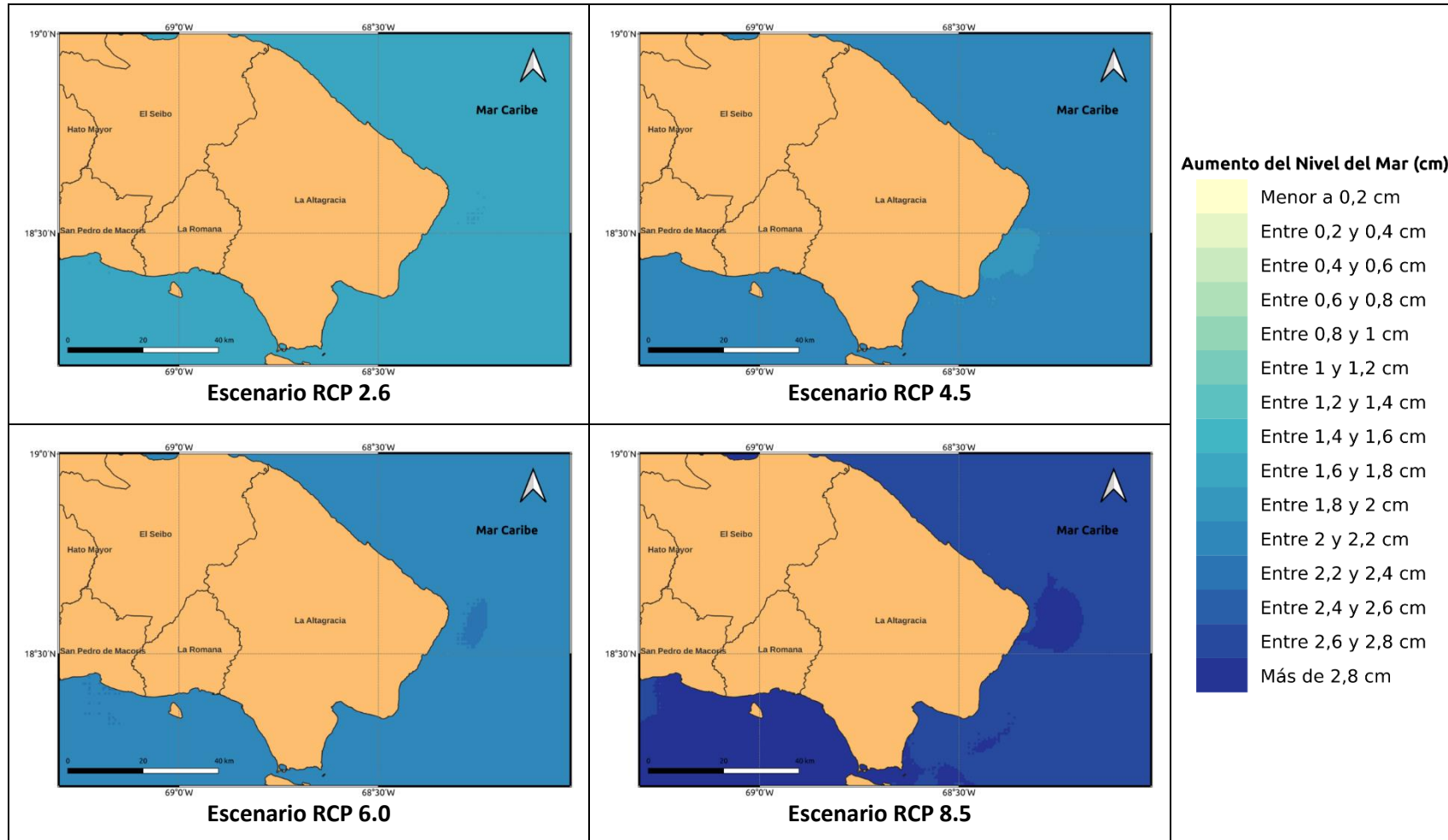
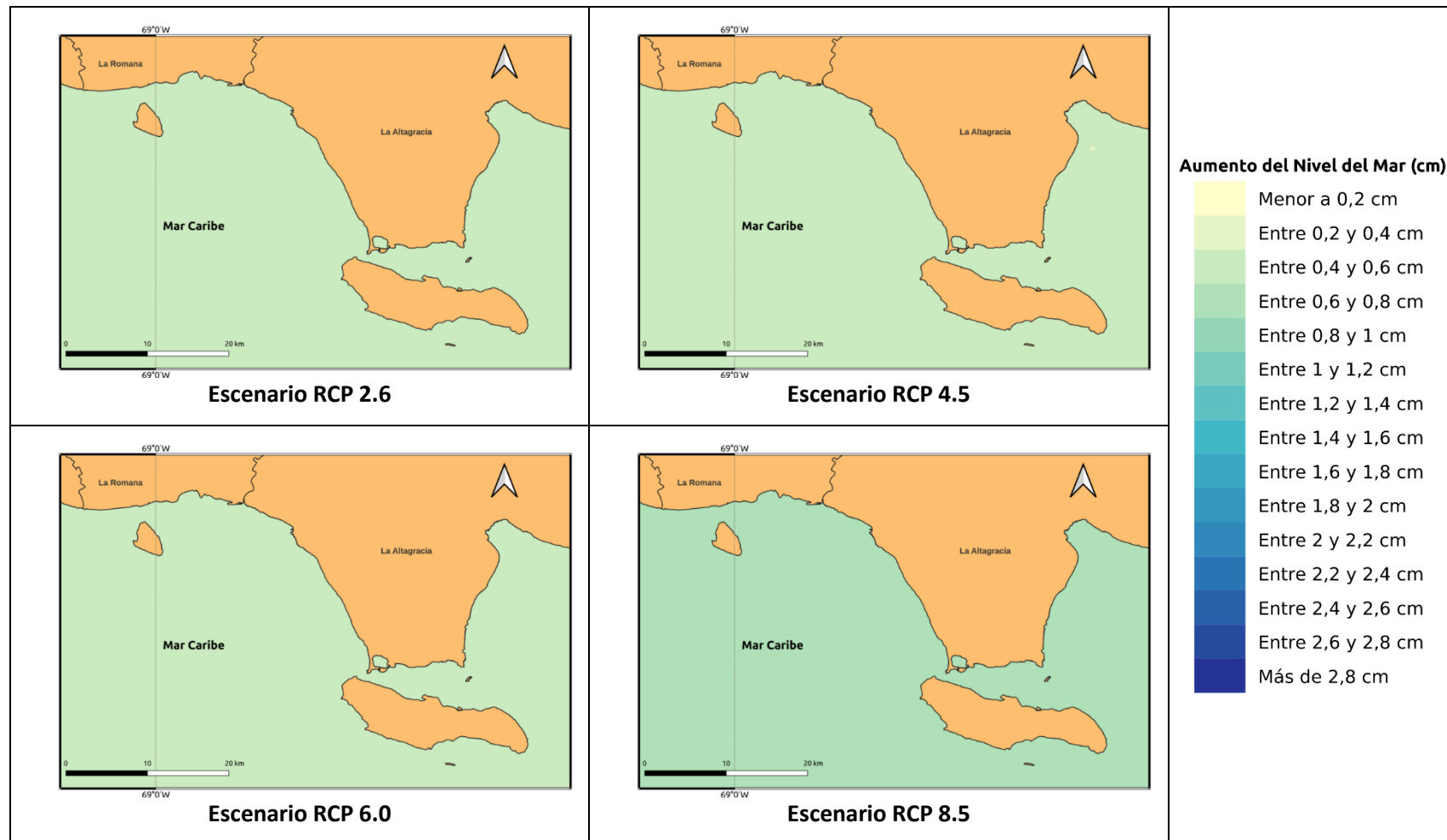


Figura 1.2.6-4. Aumento del nivel del mar (cm por año) proyectado por el ensamble multimodelo bajo los 4 escenarios RCP en el periodo 2081-2100 para la provincia La Altagracia.

### **1.2.7 PROVINCIA LA ROMANA**

El nivel del mar aumentaría entre 0.2 y 0.5 centímetros por año en las costas de la provincia en el corto plazo (2021-2040) bajo los 4 escenarios RCP (Figura 1.2.7-1). Para el periodo 2041-2060 el incremento del nivel sería entre 0.7 y 1 centímetros por año, dándose los más altos bajo los RCP 4.5 y 8.5 (Figura 1.2.7-2). En el periodo 2061-2080 el aumento sería entre 0.8 y 1.2 centímetros por año bajo el RCP 2.6, dándose los incrementos superiores a 1 centímetro hacia el occidente de la costa de la provincia y en la Isla Catalina. Bajo los demás escenarios el aumento sería entre 1.3 y 1.9 centímetros por año, siendo los más altos bajo el RCP 8.5 (Figura 1.2.7-3). Finalmente, para el periodo 2081-2100 el nivel del mar sería 1.4 centímetros por año más alto bajo el RCP 2.6, en comparación al nivel observado en el periodo 1993-2019; y sería 2 centímetros por año mayor bajo el RCP 4.5, 2.2 centímetros por año mayor bajo el RCP 6.0 y 2.9 centímetros por año más alto bajo el RCP 8.5 (Figura 1.2.7-4).





**Figura 1.2.7-1. Aumento del nivel del mar (cm por año) proyectado por el ensamble multimodelo bajo los 4 escenarios RCP en el periodo 2021-2040 para la provincia La Romana.**

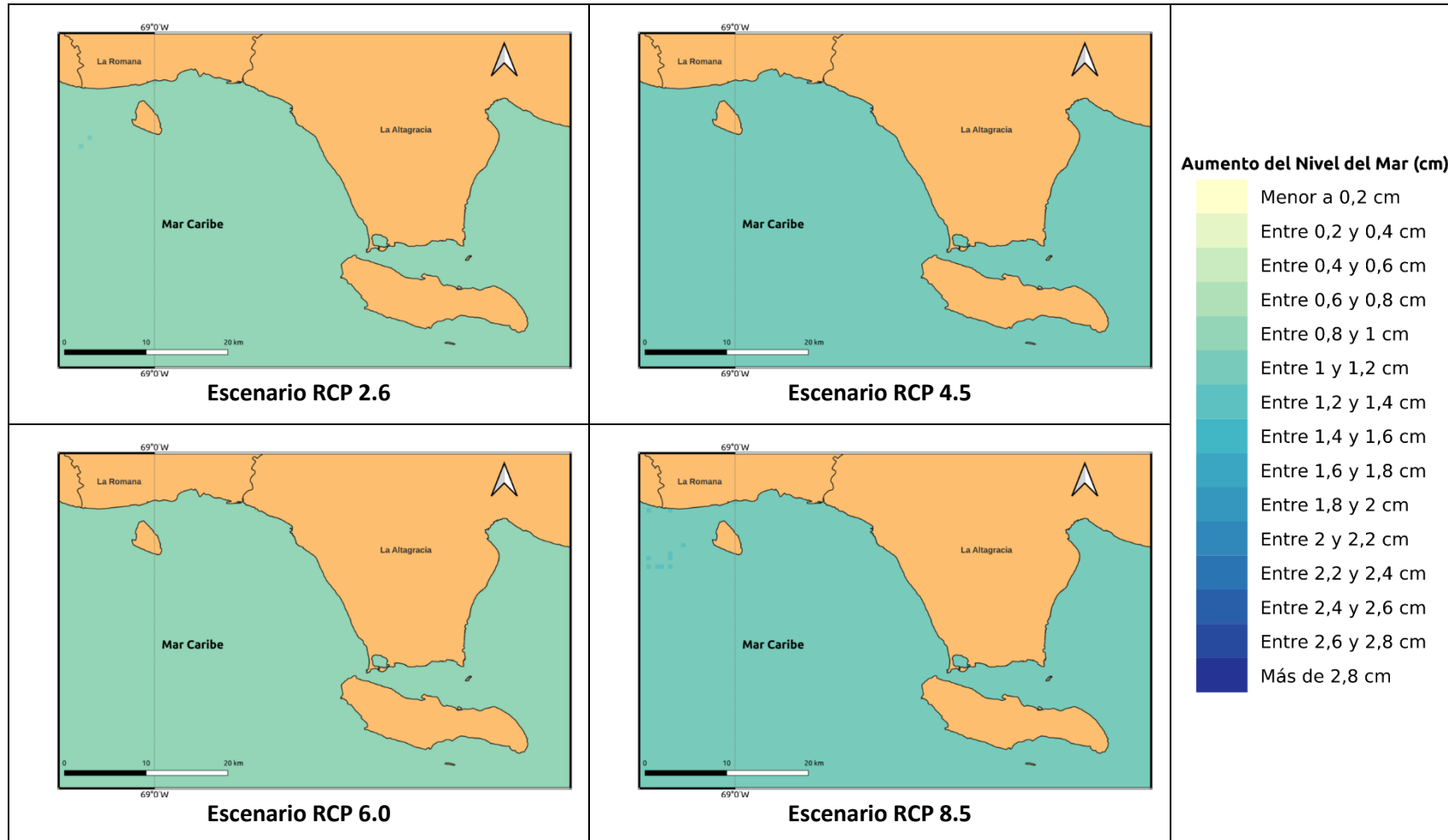


Figura 1.2.7-2. Aumento del nivel del mar (cm por año) proyectado por el ensamble multimodelo bajo los 4 escenarios RCP en el periodo 2041-2060 para la provincia La Romana.

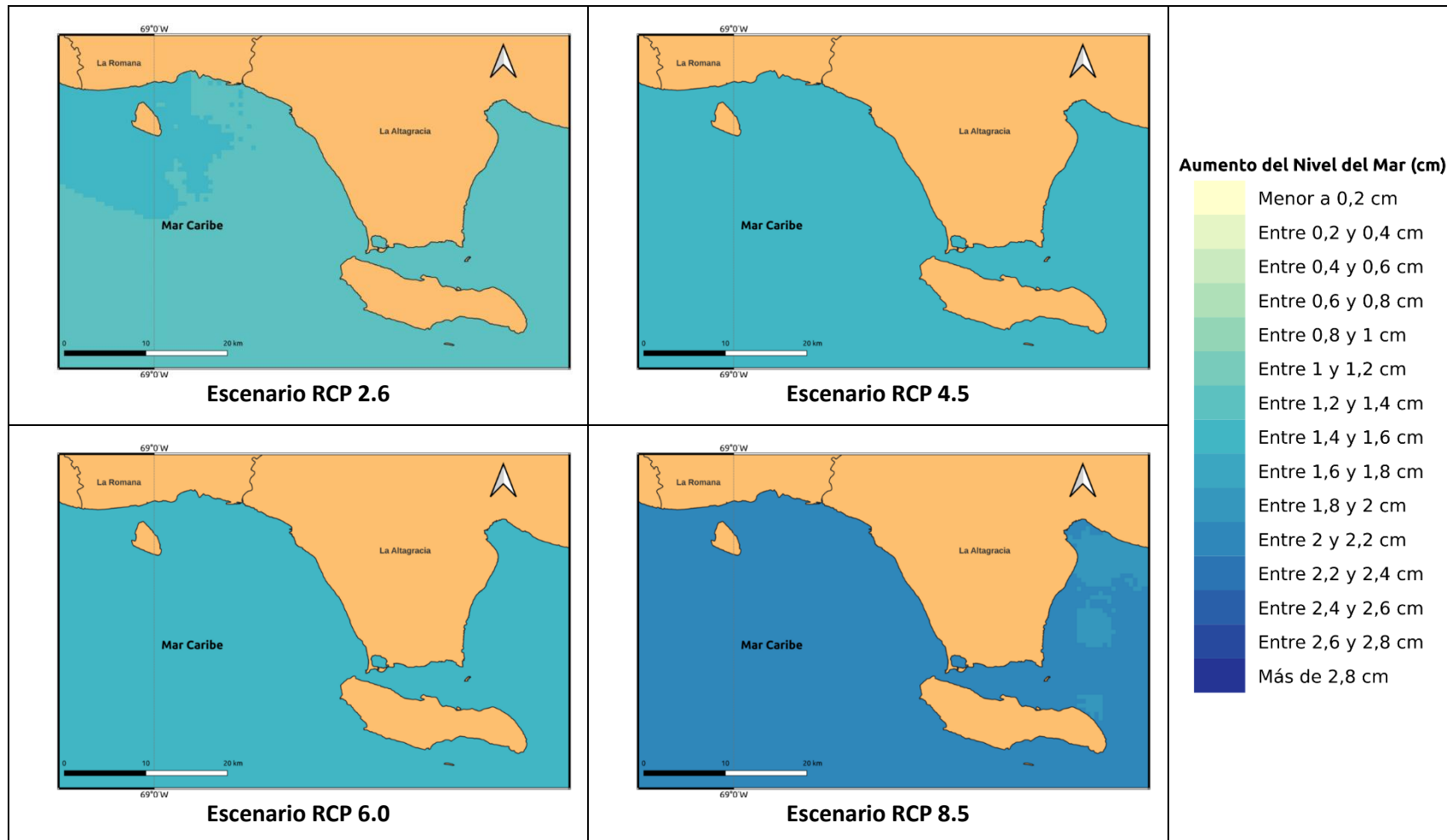


Figura 1.2.7-3. Aumento del nivel del mar (cm por año) proyectado por el ensamble multimodelo bajo los 4 escenarios RCP en el periodo 2061-2080 para la provincia La Romana.

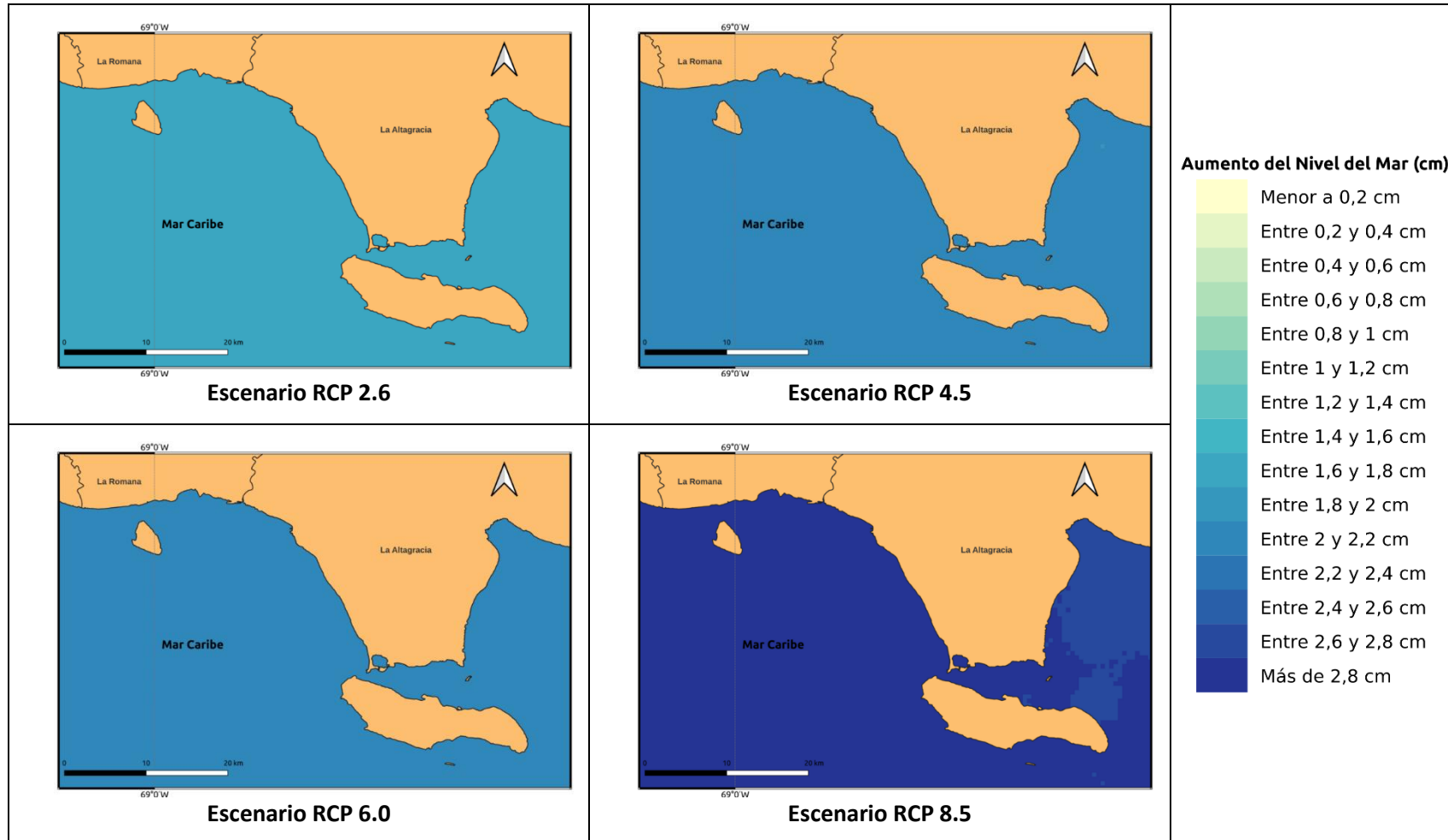
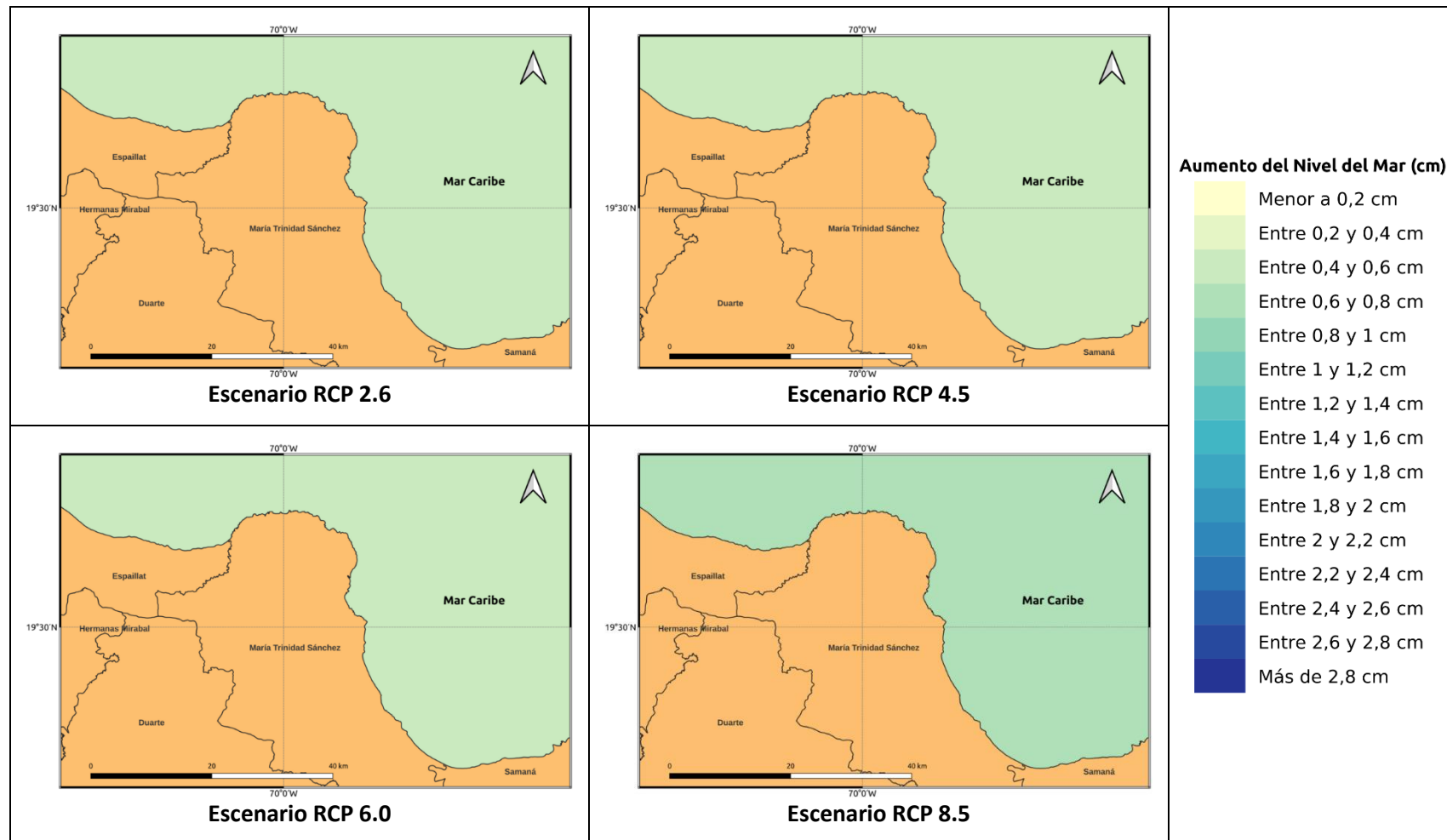


Figura 1.2.7-4. Aumento del nivel del mar (cm por año) proyectado por el ensamble multimodelo bajo los 4 escenarios RCP en el periodo 2081-2100 para la provincia La Romana.

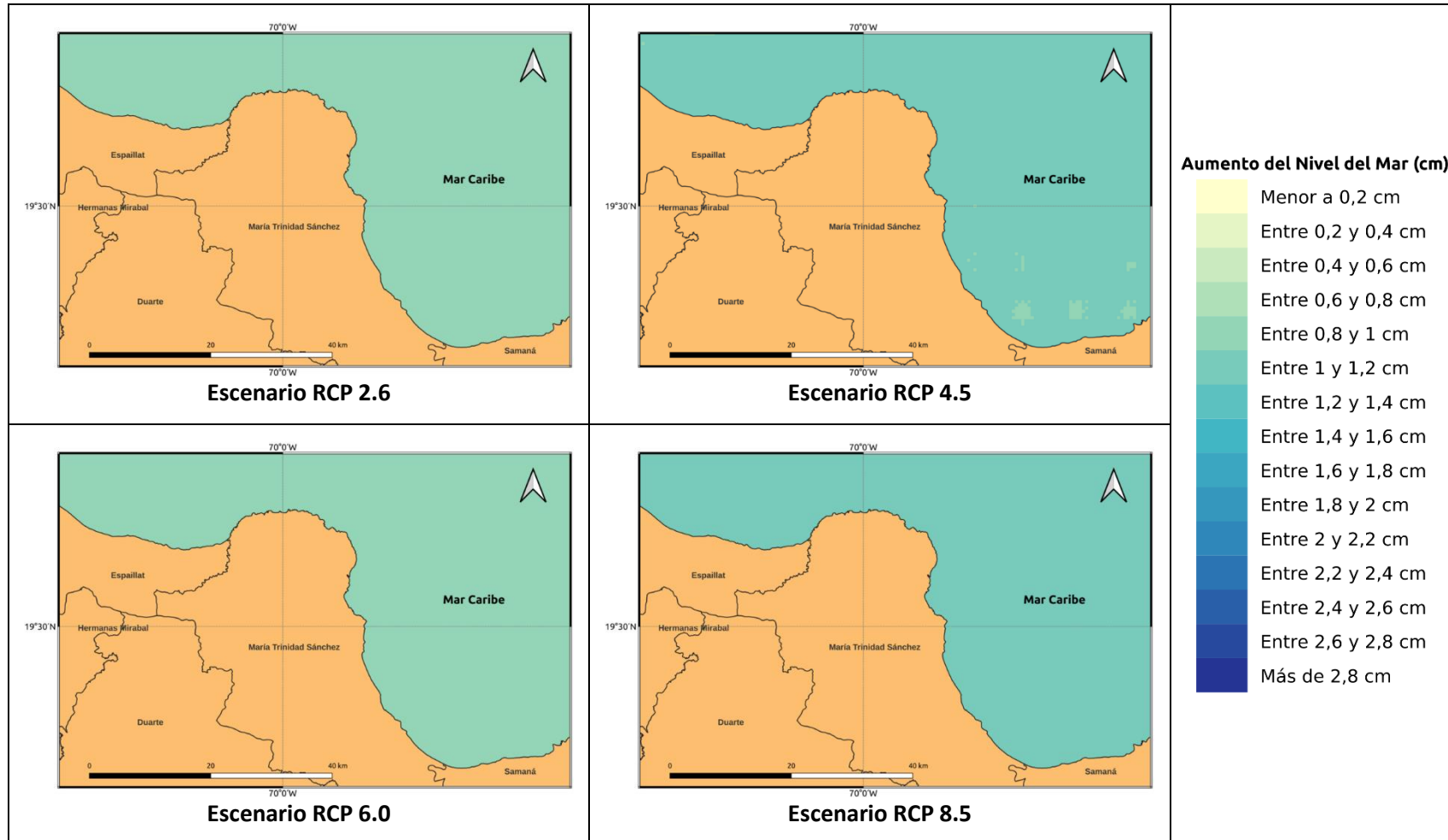
## 1.2.8 PROVINCIA MARÍA TRINIDAD SÁNCHEZ

Se espera que el nivel del mar aumentaría entre 0.4 y 0.7 centímetros por año en las costas de la provincia en el corto plazo (2021-2040) bajo los 4 escenarios RCP (Figura 1.2.8-1). Para el periodo 2041-2060 el incremento del nivel sería entre 0.5 y 0.8 centímetros por año, dándose los más altos bajo los RCP 4.5 y 8.5 (Figura 1.2.8-2). En el periodo 2061-2080 el aumento sería de 1.2 centímetros por año bajo el RCP 2.6, y bajo los demás escenarios el aumento sería entre 1.3 y 1.7 centímetros por año, siendo los más altos bajo el RCP 8.5 (Figura 1.2.8-3). Finalmente, para el periodo 2081-2100 el nivel del mar sería 1.2 centímetros por año más alto bajo el RCP 2.6, en comparación al nivel observado en el periodo 1993-2019; y sería 1.6 centímetros por año mayor bajo el RCP 4.5, 1.8 centímetros por año mayor bajo el RCP 6.0 y 2.5 centímetros por año más alto bajo el RCP 8.5 (Figura 1.2.8-4).

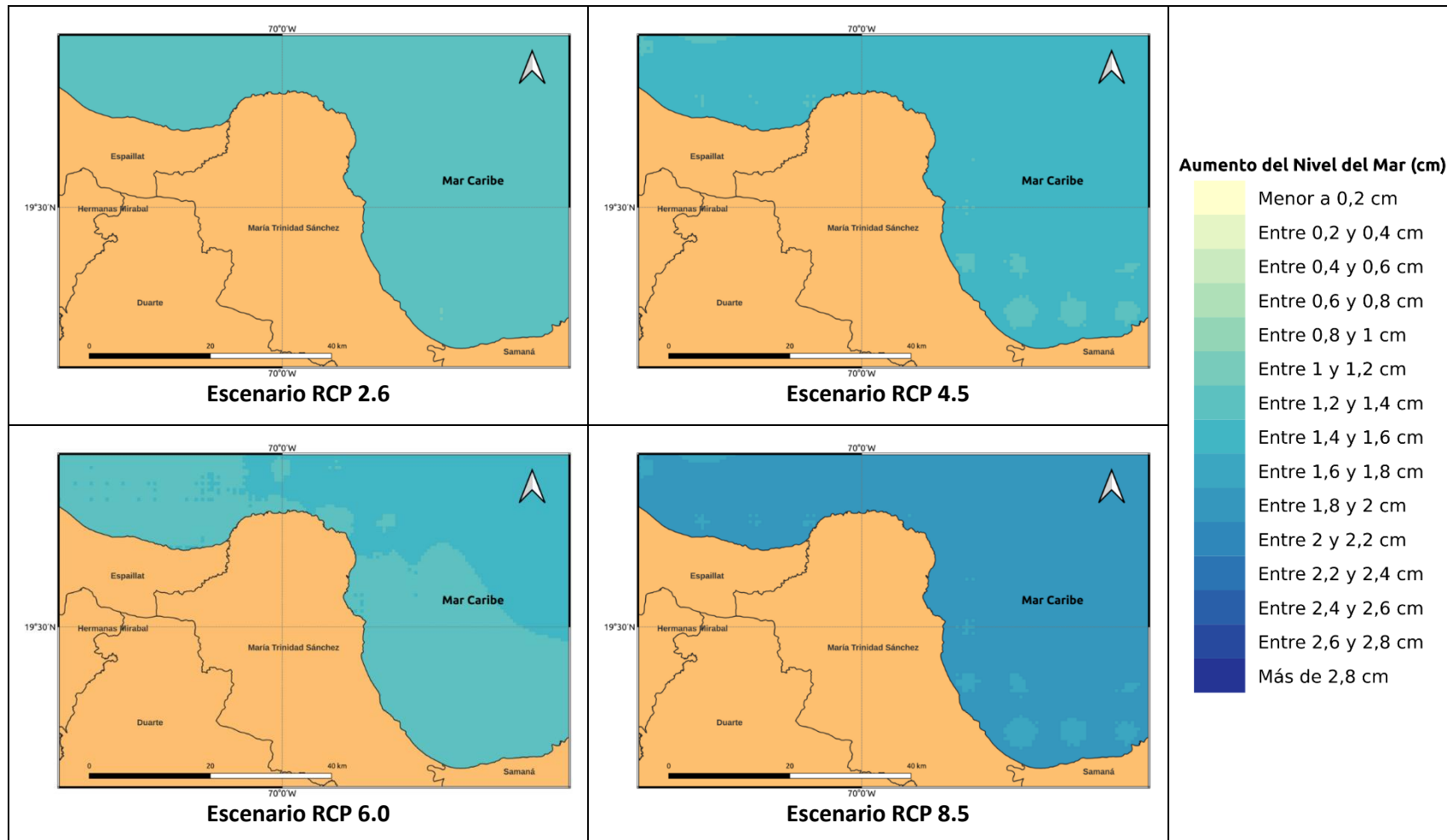




**Figura 1.2.8-1. Aumento del nivel del mar (cm por año) proyectado por el ensamble multimodelo bajo los 4 escenarios RCP en el periodo 2021-2040 para la provincia María Trinidad Sánchez.**



**Figura 1.2.8-2. Aumento del nivel del mar (cm por año) proyectado por el ensamble multimodelo bajo los 4 escenarios RCP en el periodo 2041-2060 para la provincia María Trinidad Sánchez.**



**Figura 1.2.8-3. Aumento del nivel del mar (cm por año) proyectado por el ensamble multimodelo bajo los 4 escenarios RCP en el periodo 2061-2080 para la provincia María Trinidad Sánchez.**

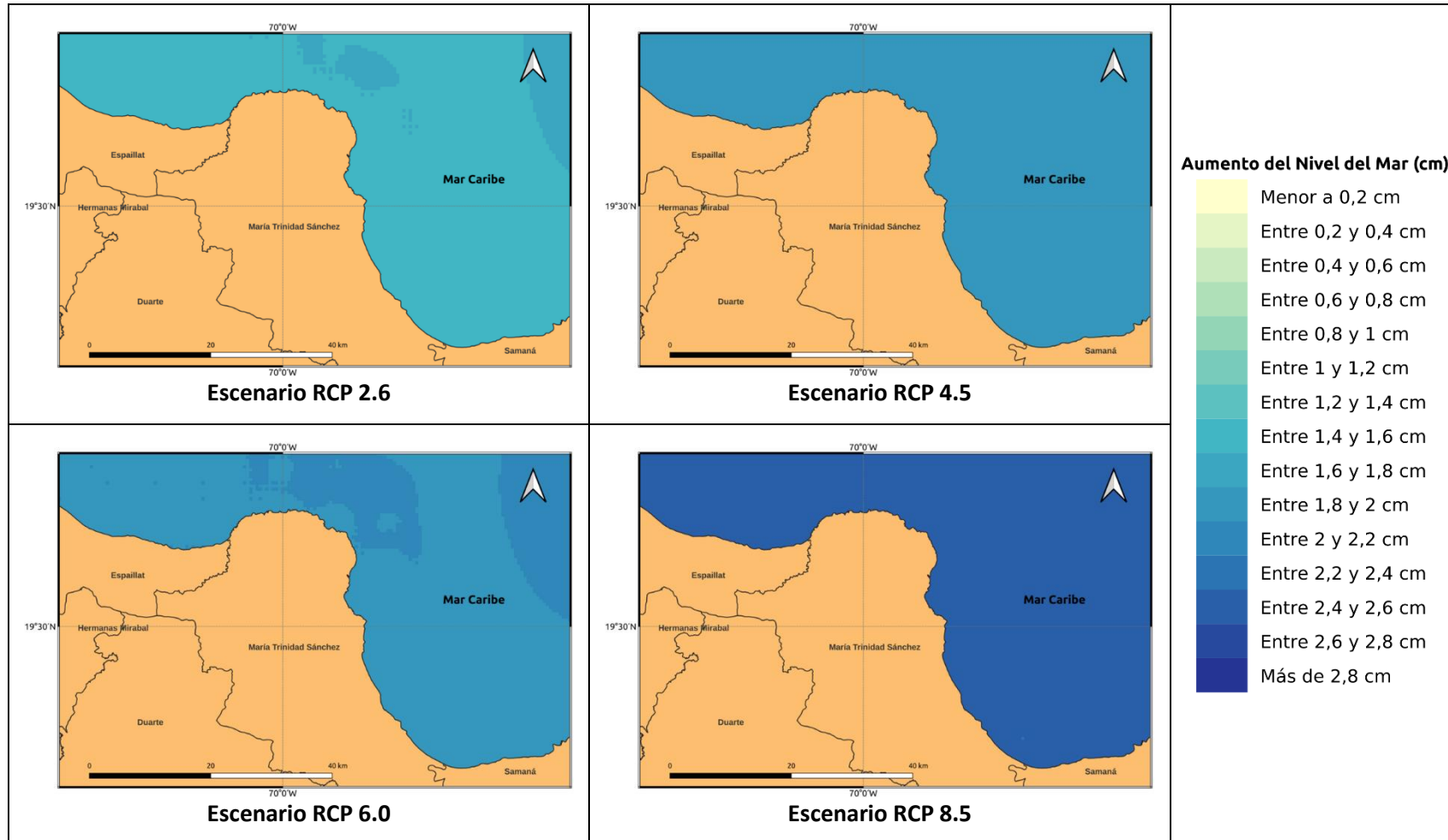


Figura 1.2.8-4. Aumento del nivel del mar (cm por año) proyectado por el ensamble multimodelo bajo los 4 escenarios RCP en el periodo 2081-2100 para la provincia María Trinidad Sánchez.

### **1.2.9 PROVINCIA MONTE CRISTI**

El nivel del mar aumentaría entre 0.1 y 0.5 centímetros por año en las costas de la provincia en el corto plazo (2021-2040) bajo los 4 escenarios RCP (Figura 1.2.9-1). Para el periodo 2041-2060 el incremento del nivel sería entre 0.5 y 0.9 centímetros por año, dándose los más altos bajo el RCP 8.5 (Figura 1.2.9-2). En el periodo 2061-2080 el aumento sería entre 0.8 y 1.2 centímetros por año bajo el RCP 2.6, dándose los incrementos superiores a 1 centímetro hacia el oriente y sur de la costa de la provincia. Bajo los demás escenarios el aumento sería entre 1.1 y 1.5 centímetros por año, siendo los más altos bajo el RCP 8.5 (Figura 1.2.9-3). Finalmente, para el periodo 2081-2100 el nivel del mar sería 1.2 centímetros por año más alto bajo el RCP 2.6, en comparación al nivel observado en el periodo 1993-2019; y sería entre 1.3 y 1.5 centímetros por año mayor bajo el RCP 4.5, entre 1.6 y 1.8 centímetros por año mayor bajo el RCP 6.0 y entre 1.7 y 2 centímetros por año más alto bajo el RCP 8.5 (Figura 1.2.9-4).



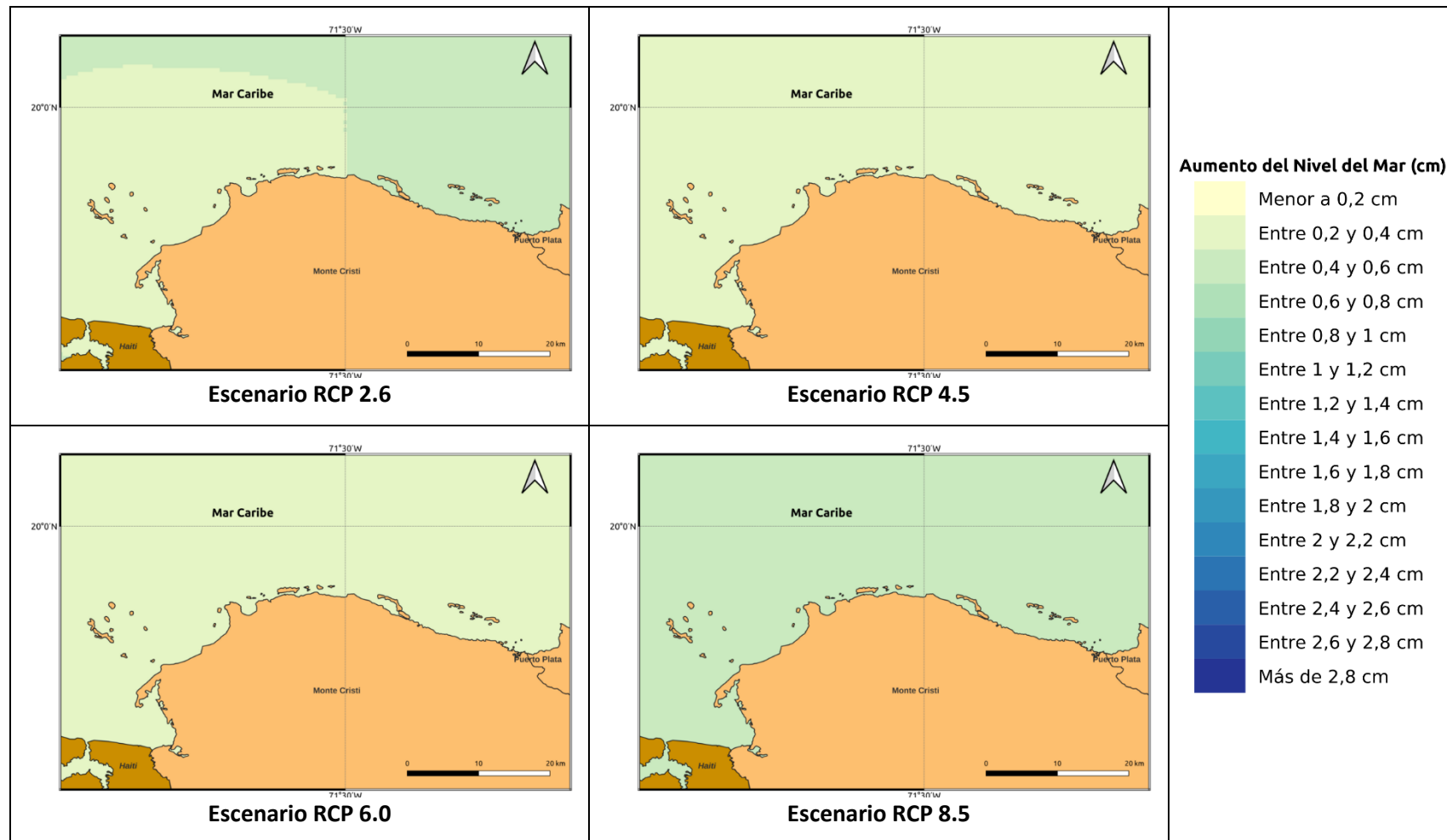
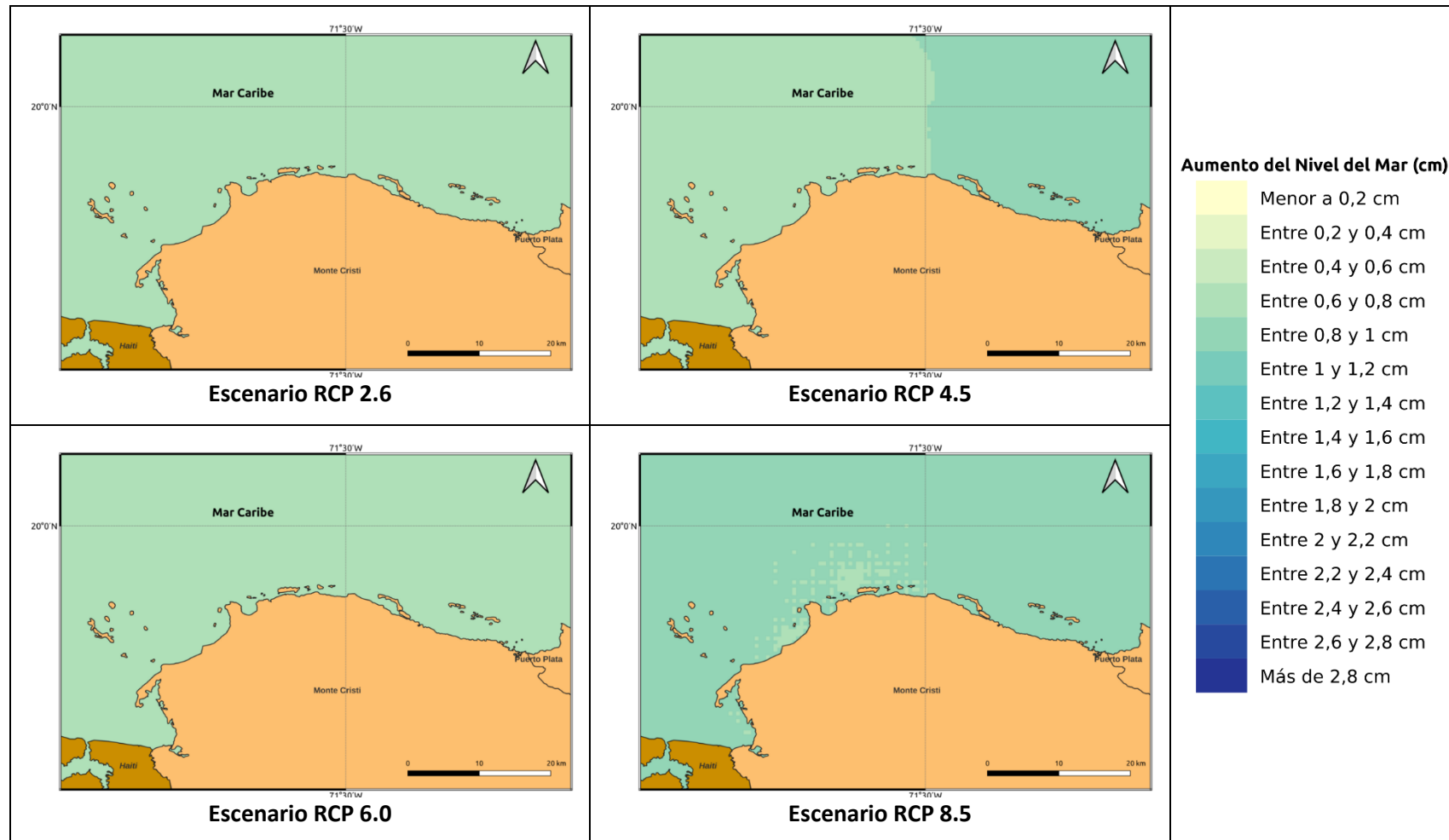


Figura 1.2.9-1. Aumento del nivel del mar (cm por año) proyectado por el ensamble multimodelo bajo los 4 escenarios RCP en el periodo 2021-2040 para la provincia Monte Cristi.



**Figura 1.2.9-2. Aumento del nivel del mar (cm por año) proyectado por el ensamble multimodelo bajo los 4 escenarios RCP en el periodo 2041-2060 para la provincia Monte Cristi.**

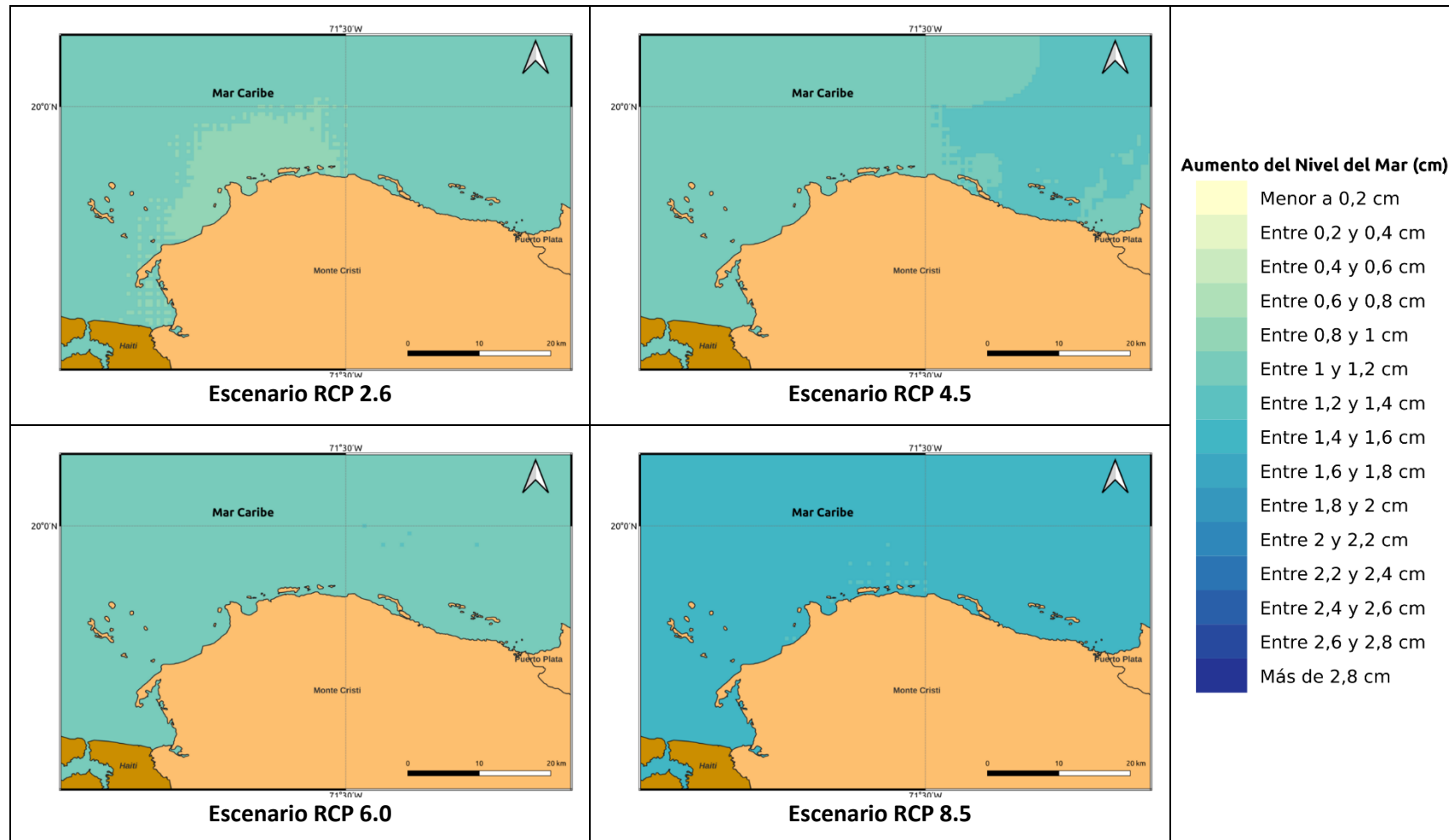
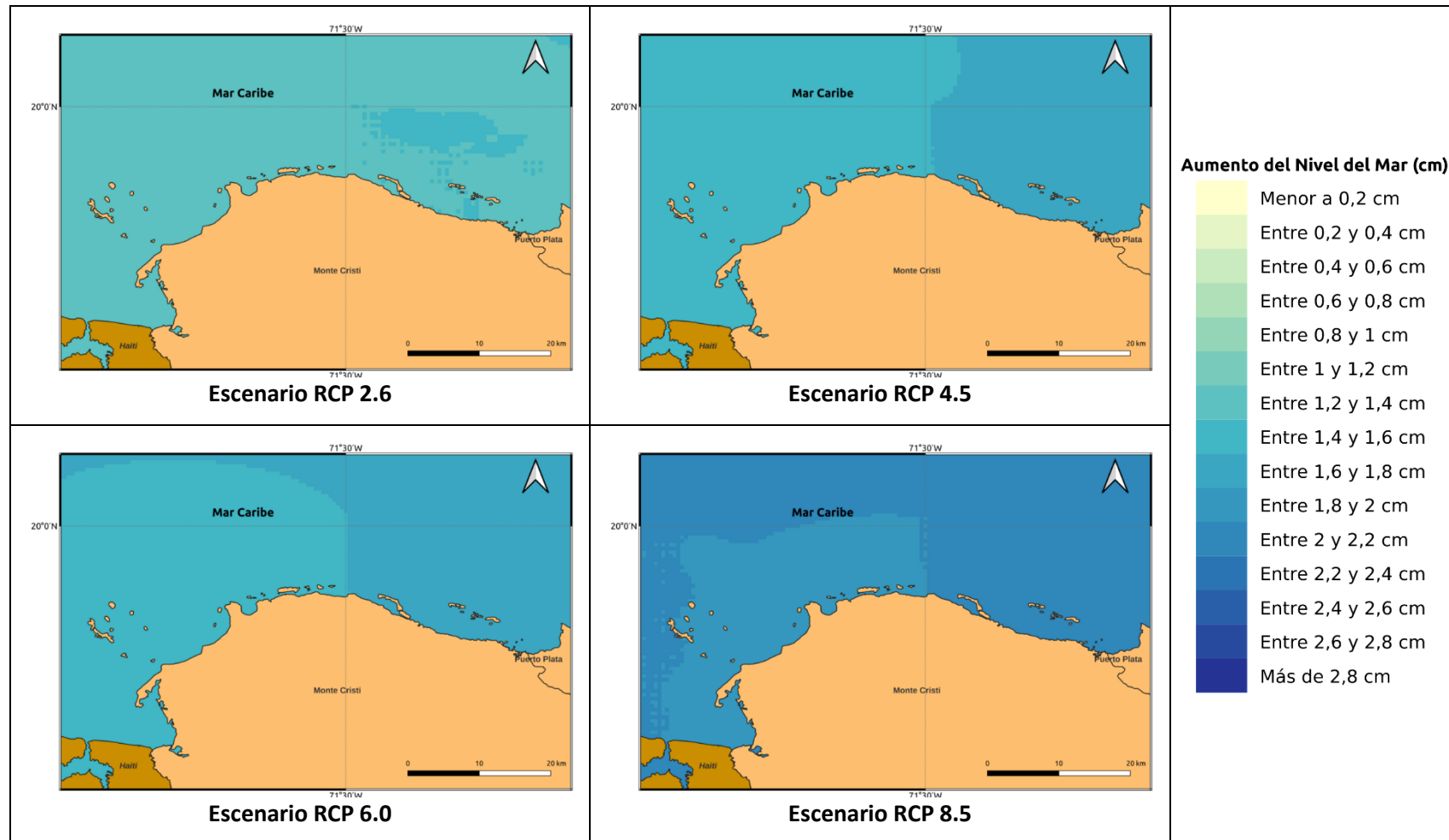


Figura 1.2.9-3. Aumento del nivel del mar (cm por año) proyectado por el ensamble multimodelo bajo los 4 escenarios RCP en el periodo 2061-2080 para la provincia Monte Cristi.



**Figura 1.2.9-4. Aumento del nivel del mar (cm por año) proyectado por el ensamble multimodelo bajo los 4 escenarios RCP en el periodo 2081-2100 para la provincia Monte Cristi.**

### **1.2.10 PROVINCIA PEDERNALES**

El nivel del mar aumentaría entre 0.2 y 0.5 centímetros por año en las costas de la provincia en el corto plazo (2021-2040) bajo los 4 escenarios RCP (Figura 1.2.10-1). Para el periodo 2041-2060 el incremento del nivel sería entre 0.5 y 0.8 centímetros por año, dándose los más altos bajo los RCP 4.5 y 8.5 (Figura 1.2.10-2). En el periodo 2061-2080 el aumento sería entre 1 y 1.4 centímetros por año bajo el RCP 2.6, dándose los incrementos superiores a 1.2 centímetros por año hacia el oriente de la costa de la provincia. Bajo los demás escenarios el aumento sería entre 1.3 y 2 centímetros por año, siendo los más altos bajo el RCP 8.5 (Figura 1.2.10-3). Finalmente, para el periodo 2081-2100 el nivel del mar sería 1.2 centímetros por año más alto bajo el RCP 2.6, en comparación al nivel observado en el periodo 1993-2019; y sería entre 1.5 y 1.7 centímetros por año mayor bajo el RCP 4.5, 1.8 centímetros por año mayor bajo el RCP 6.0 y entre 2.7 y 2.9 centímetros por año más alto bajo el RCP 8.5, dándose los mayores aumentos hacia el oriente de la costa de la provincia (Figura 1.2.10-4).



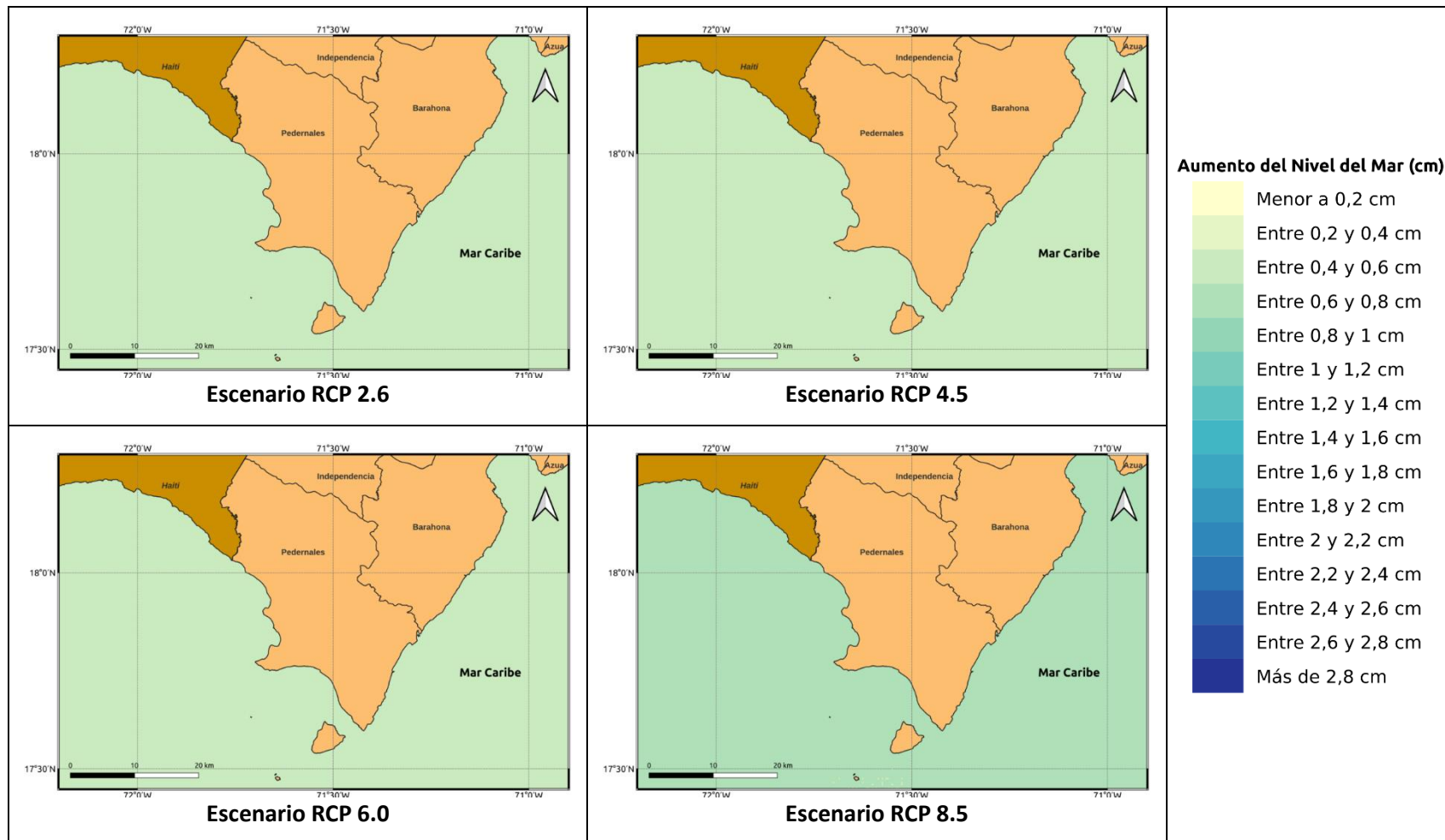


Figura 1.2.10-1. Aumento del nivel del mar (cm por año) proyectado por el ensamble multimodelo bajo los 4 escenarios RCP en el periodo 2021-2040 para la provincia Pedernales.

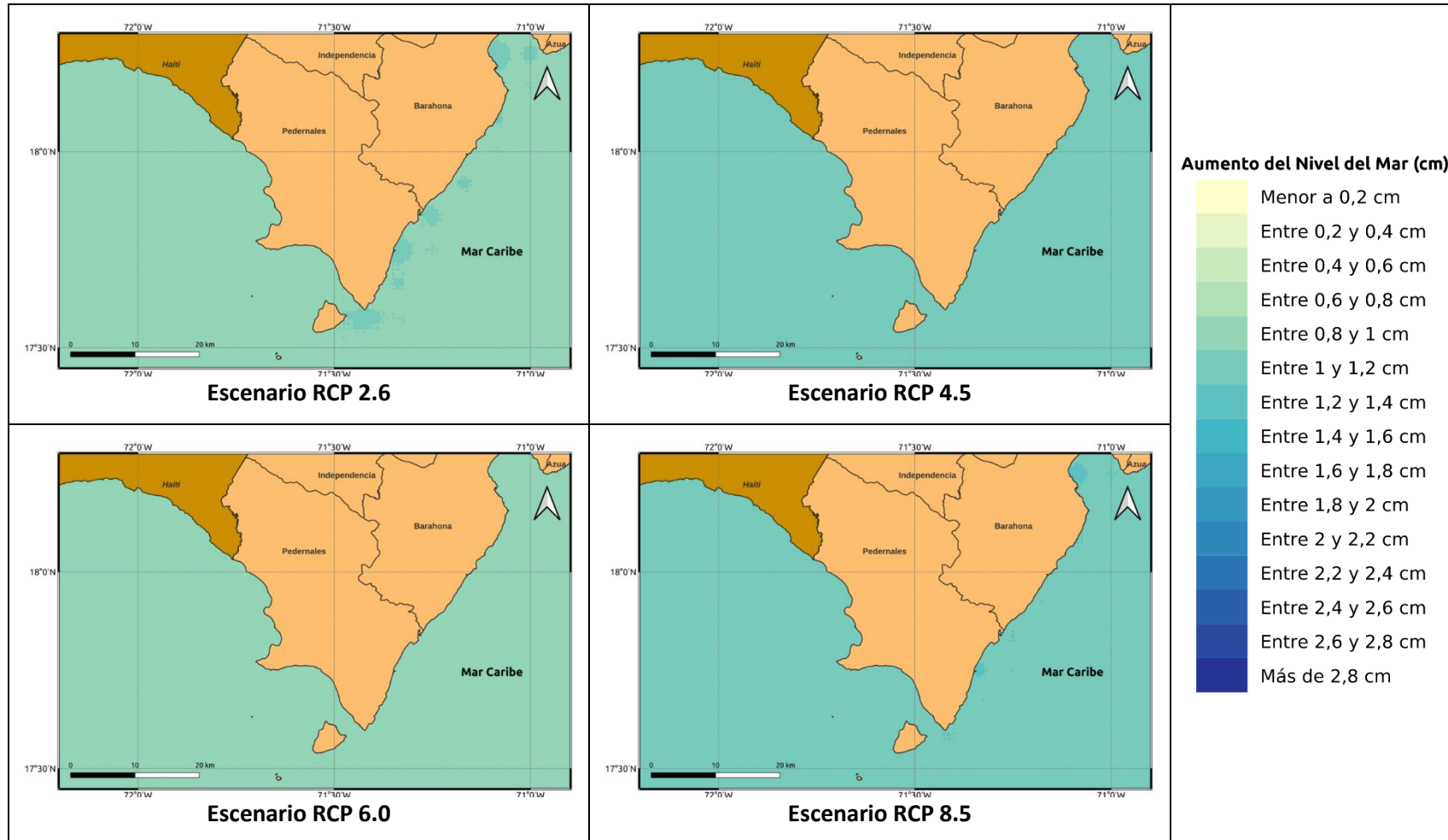


Figura 1.2.10-2. Aumento del nivel del mar (cm por año) proyectado por el ensamble multimodelo bajo los 4 escenarios RCP en el periodo 2041-2060 para la provincia Pedernales.

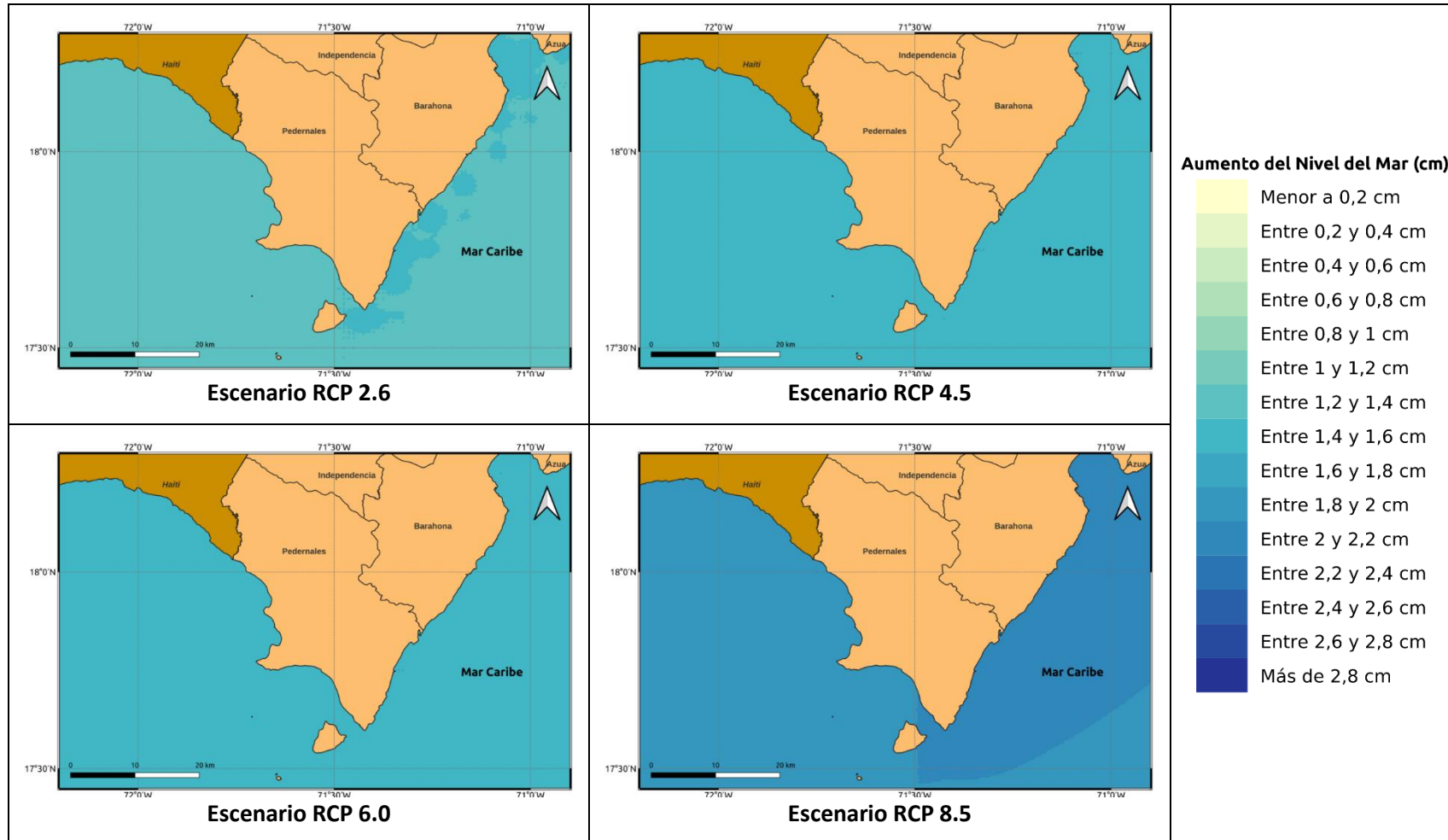


Figura 1.2.10-3. Aumento del nivel del mar (cm por año) proyectado por el ensamble multimodelo bajo los 4 escenarios RCP en el periodo 2061-2080 para la provincia Pedernales.

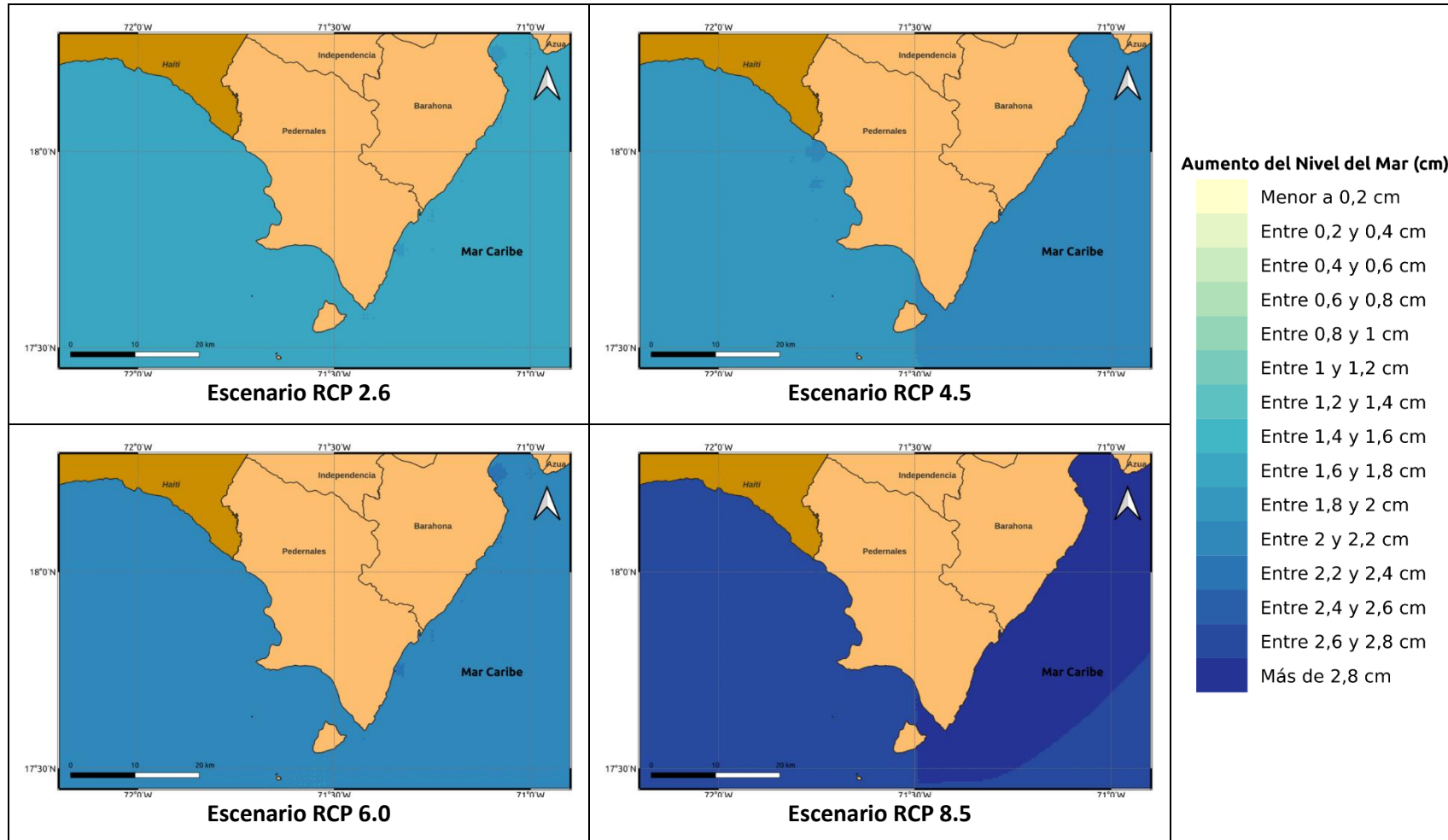


Figura 1.2.10-4. Aumento del nivel del mar (cm por año) proyectado por el ensamble multimodelo bajo los 4 escenarios RCP en el periodo 2081-2100 para la provincia Pedernales.

### **1.2.11 PROVINCIA PERAVIA**

El nivel del mar aumentaría entre 0.2 y 0.6 centímetros por año en las costas de la provincia en el corto plazo (2021-2040) bajo los 4 escenarios RCP (Figura 1.2.11-1). Para el periodo 2041-2060 el incremento del nivel sería entre 0.5 y 0.9 centímetros por año, dándose los más altos bajo los RCP 4.5 y 8.5 (Figura 1.2.11-2). En el periodo 2061-2080 el aumento sería entre 1 y 1.4 centímetros por año bajo el RCP 2.6, dándose los incrementos superiores a 1.2 centímetros por año hacia el oriente de la provincia. Bajo los demás escenarios el aumento sería entre 1.3 y 1.7 centímetros por año, siendo los más altos bajo el RCP 8.5 y hacia el oriente y parte del occidente de las costas de la provincia (Figura 1.2.11-3). Finalmente, para el periodo 2081-2100 el nivel del mar sería 1.5 centímetros por año más alto bajo el RCP 2.6, en comparación al nivel observado en el periodo 1993-2019; y sería entre 1.5 y 1.8 centímetros por año mayor bajo el RCP 4.5, 2.1 centímetros por año mayor bajo el RCP 6.0 y entre 2.4 y 2.7 centímetros por año más alto bajo el RCP 8.5 (Figura 1.2.11-4).



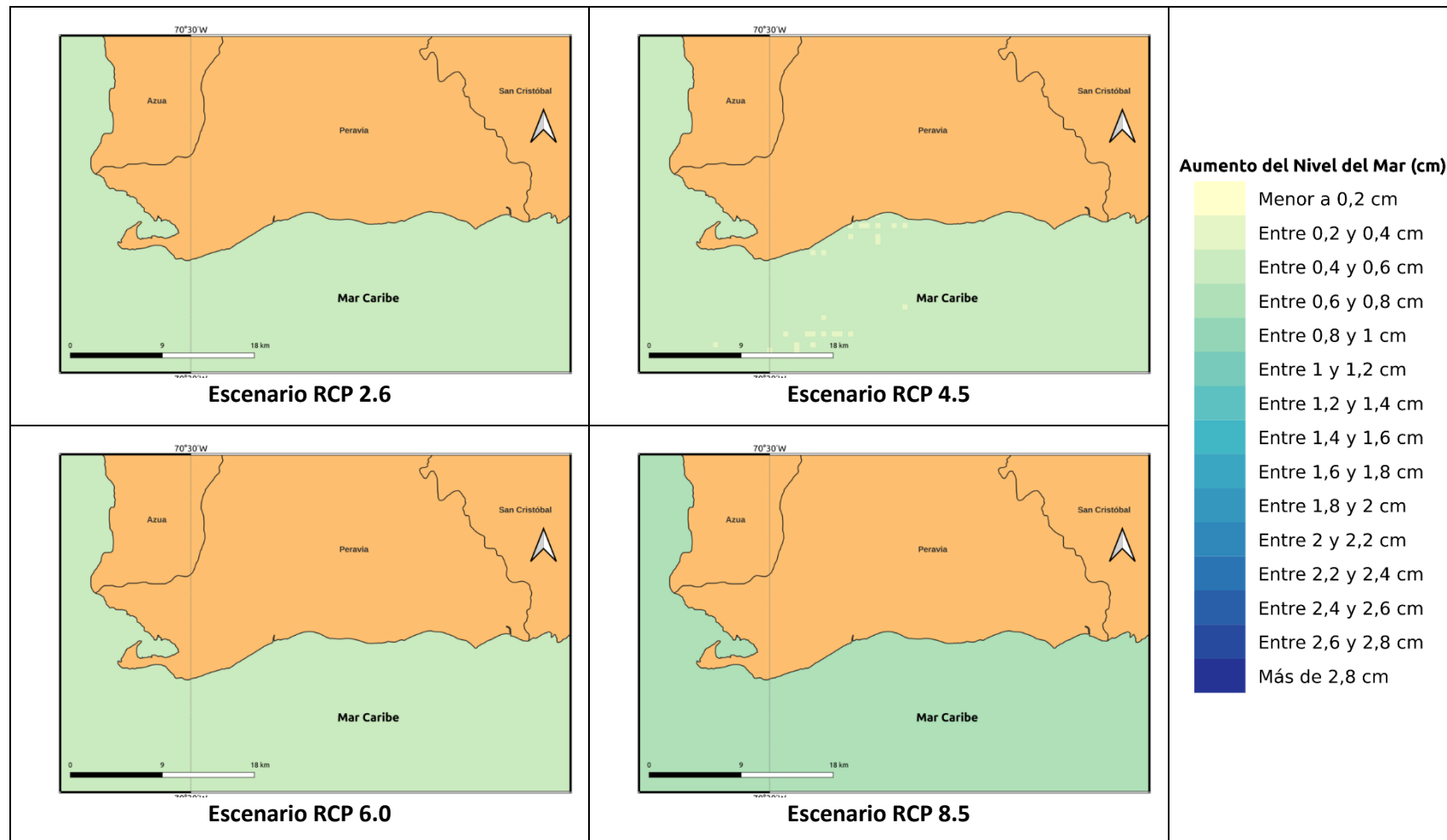


Figura 1.2.11-1. Aumento del nivel del mar (cm por año) proyectado por el ensamble multimodelo bajo los 4 escenarios RCP en el periodo 2021-2040 para la provincia Peravia.

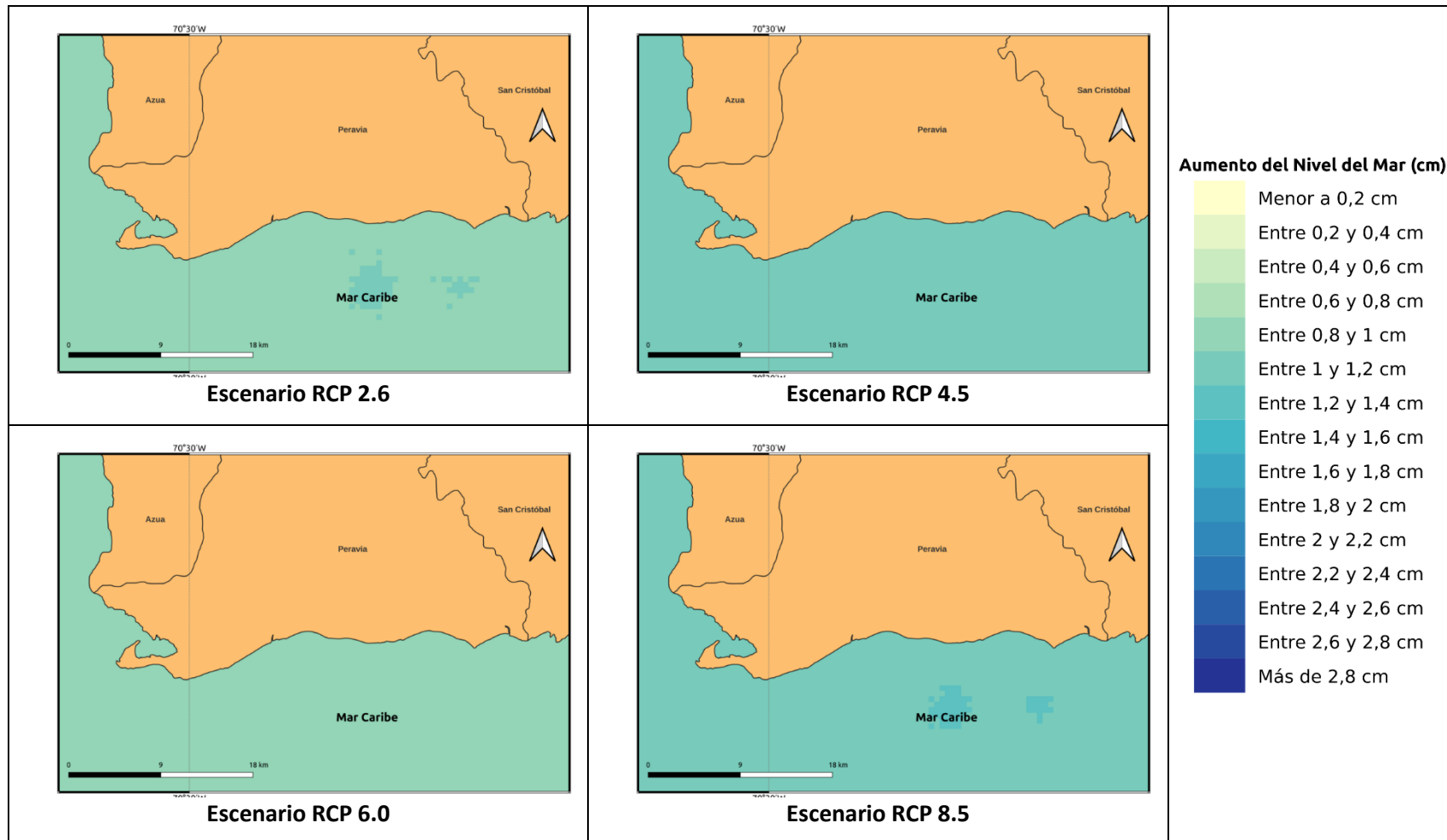


Figura 1.2.11-2. Aumento del nivel del mar (cm por año) proyectado por el ensamble multimodelo bajo los 4 escenarios RCP en el periodo 2041-2060 para la provincia Peravia.

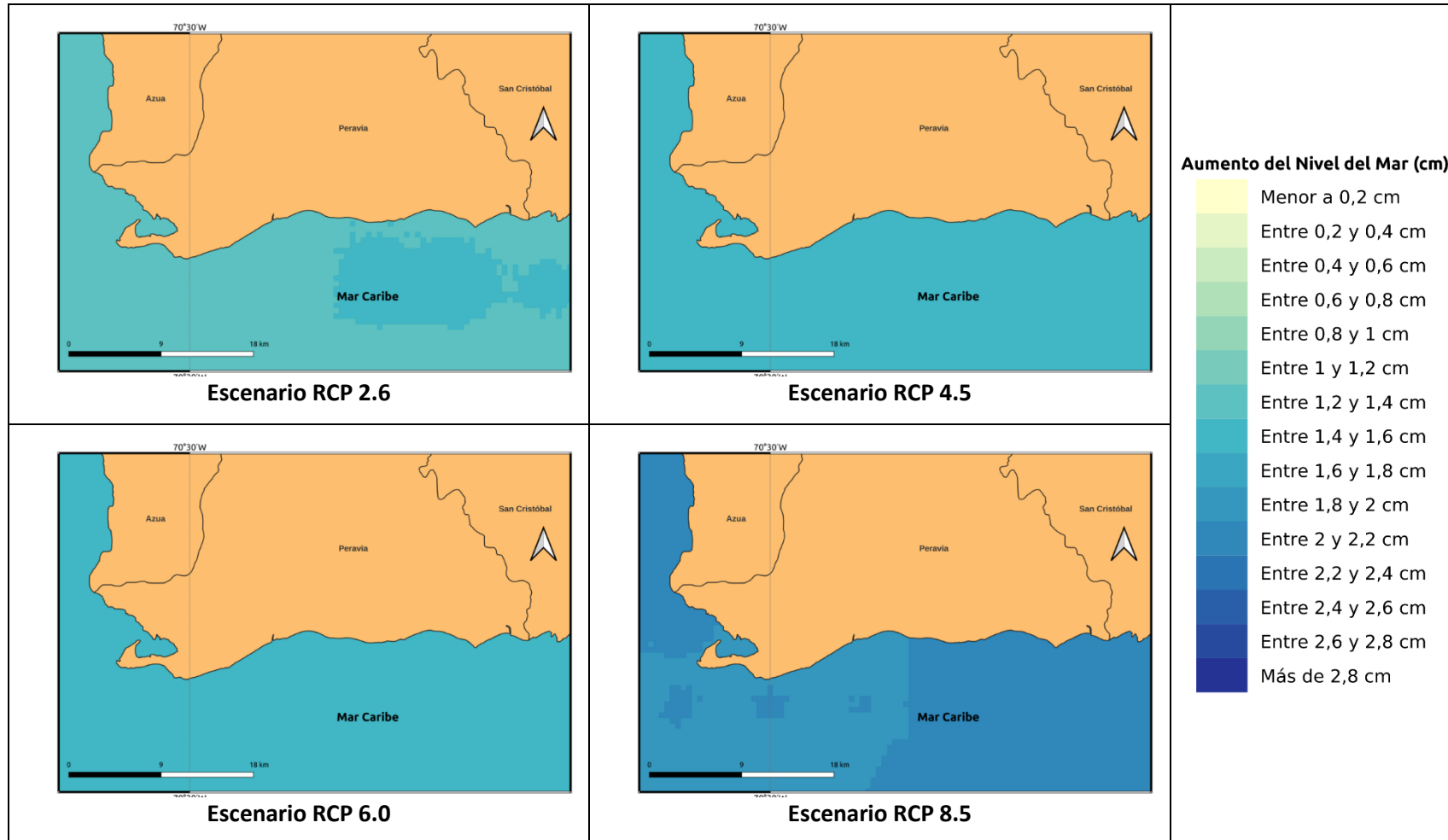


Figura 1.2.11-3. Aumento del nivel del mar (cm por año) proyectado por el ensamble multimodelo bajo los 4 escenarios RCP en el periodo 2061-2080 para la provincia Peravia.

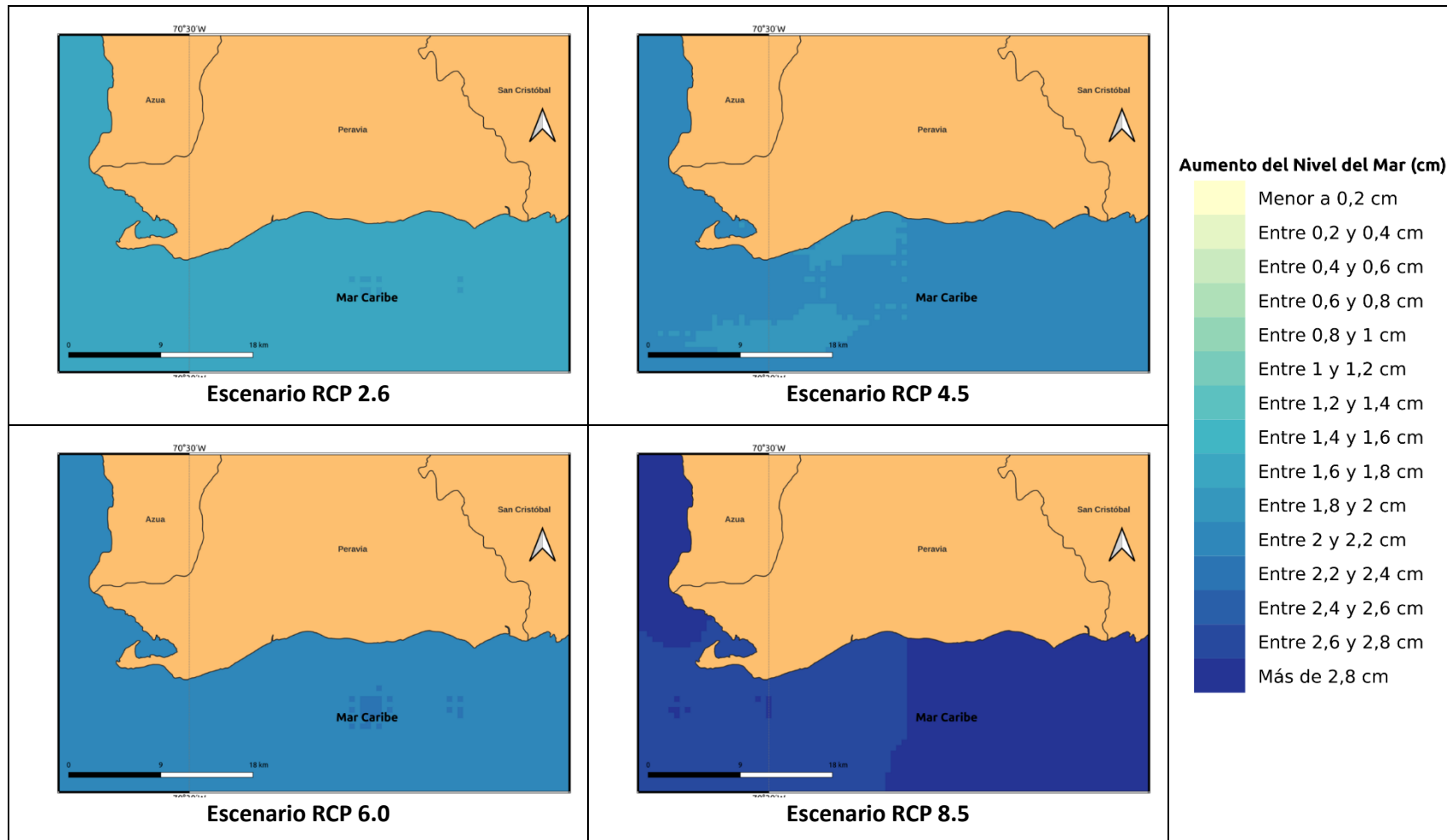


Figura 1.2.11-4. Aumento del nivel del mar (cm por año) proyectado por el ensamble multimodelo bajo los 4 escenarios RCP en el periodo 2081-2100 para la provincia Peravia.

### **1.2.12 PROVINCIA PUERTO PLATA**

Se espera que el nivel del mar aumentaría entre 0.1 y 0.5 centímetros por año en las costas de la provincia en el corto plazo (2021-2040) bajo los 4 escenarios RCP (Figura 1.2.12-1). Para el periodo 2041-2060 el incremento del nivel sería entre 0.5 y 0.8 centímetros por año, dándose los más altos bajo los RCP 4.5 y 8.5 (Figura 1.2.12-2). En el periodo 2061-2080 el aumento sería de 1.2 centímetros por año bajo el RCP 2.6, y bajo los demás escenarios el aumento sería entre 1.3 y 1.5 centímetros por año, siendo los más altos bajo el RCP 8.5 (Figura 1.2.12-3). Finalmente, para el periodo 2081-2100 el nivel del mar sería 1.2 centímetros por año más alto bajo el RCP 2.6, en comparación al nivel observado en el periodo 1993-2019; y sería entre 1.5 y 1.8 centímetros por año mayor bajo el RCP 4.5, 1.9 centímetros por año mayor bajo el RCP 6.0 y 2 centímetros por año más alto bajo el RCP 8.5 (Figura 1.2.12-4).



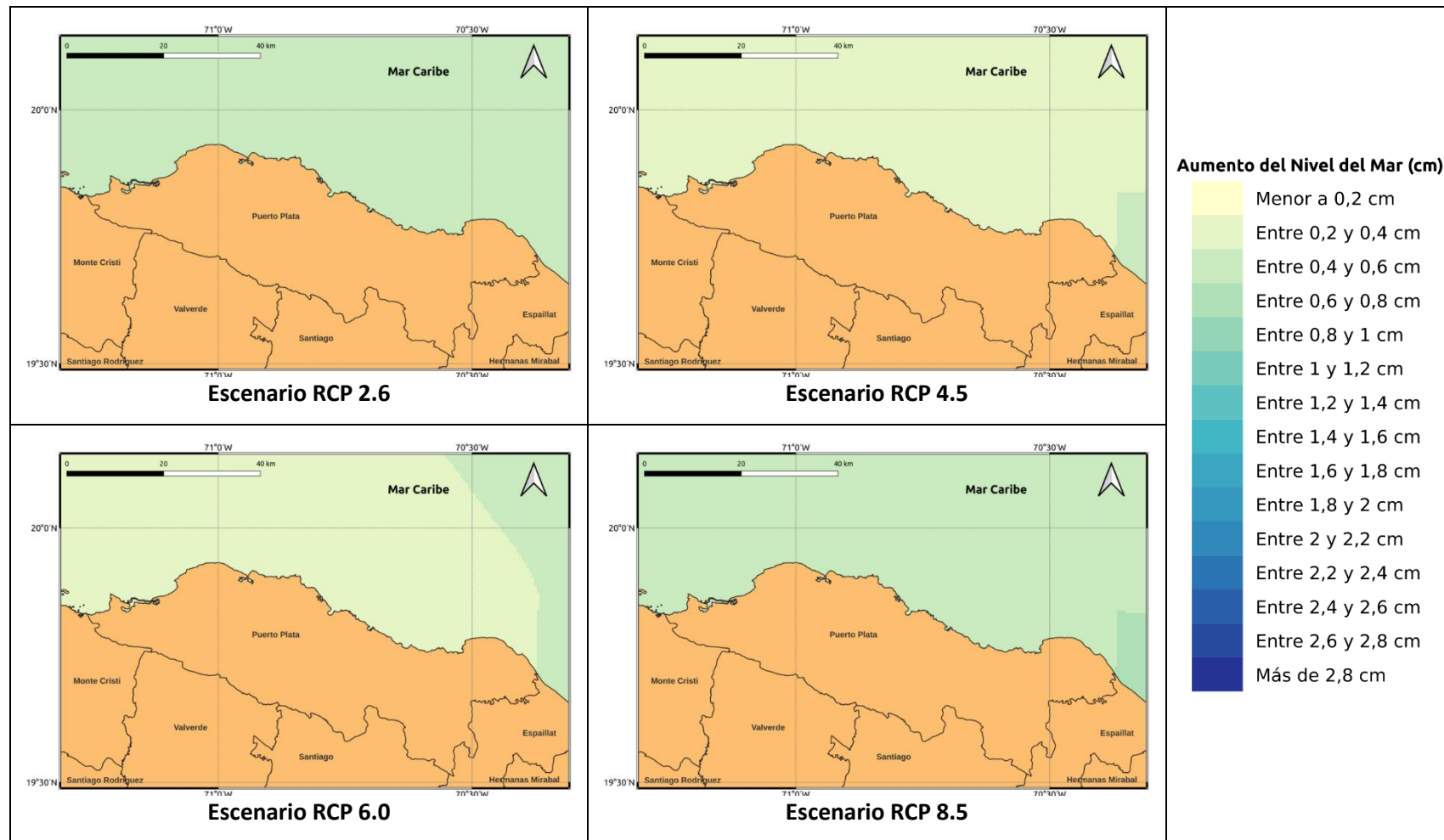
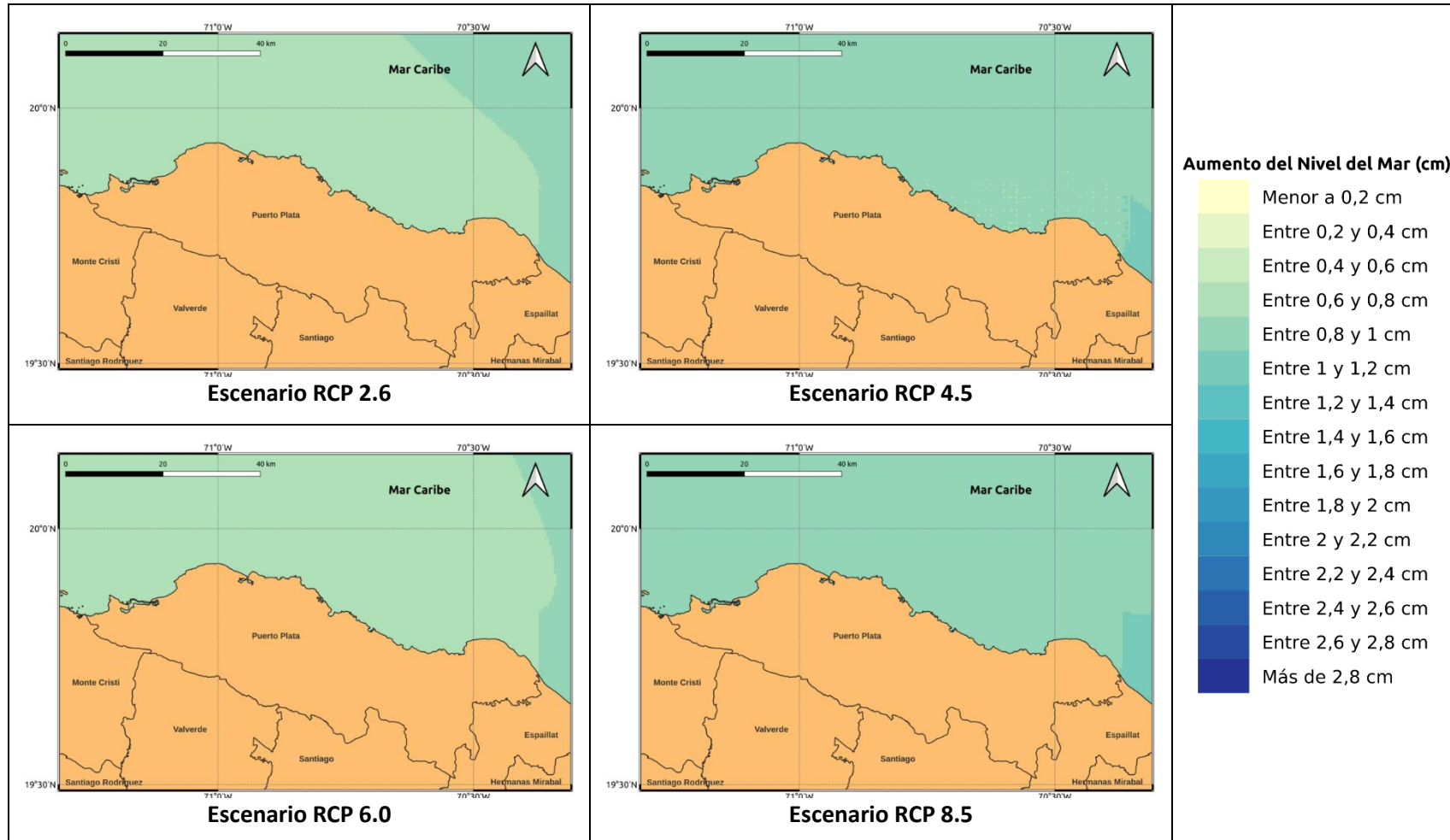
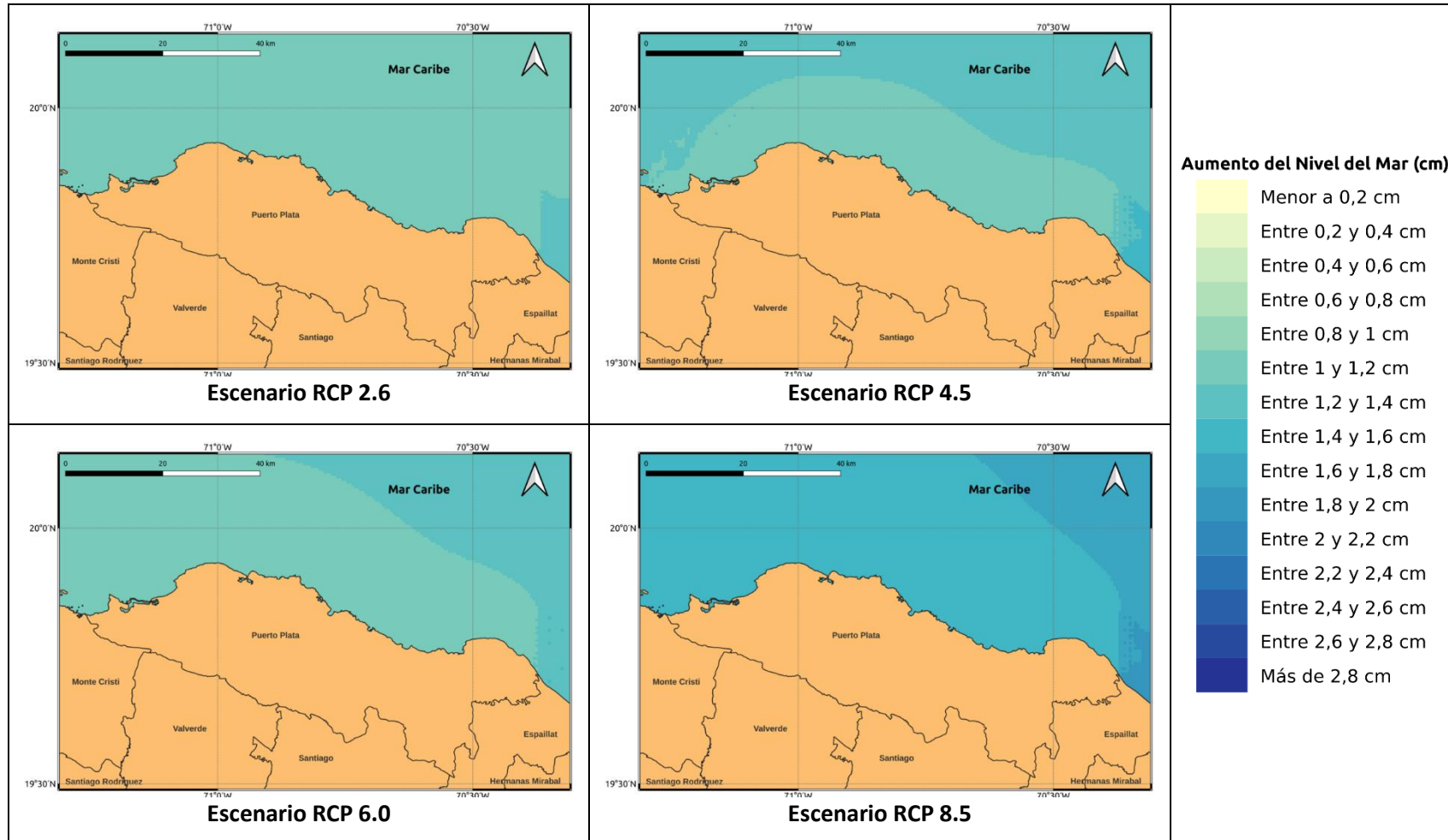


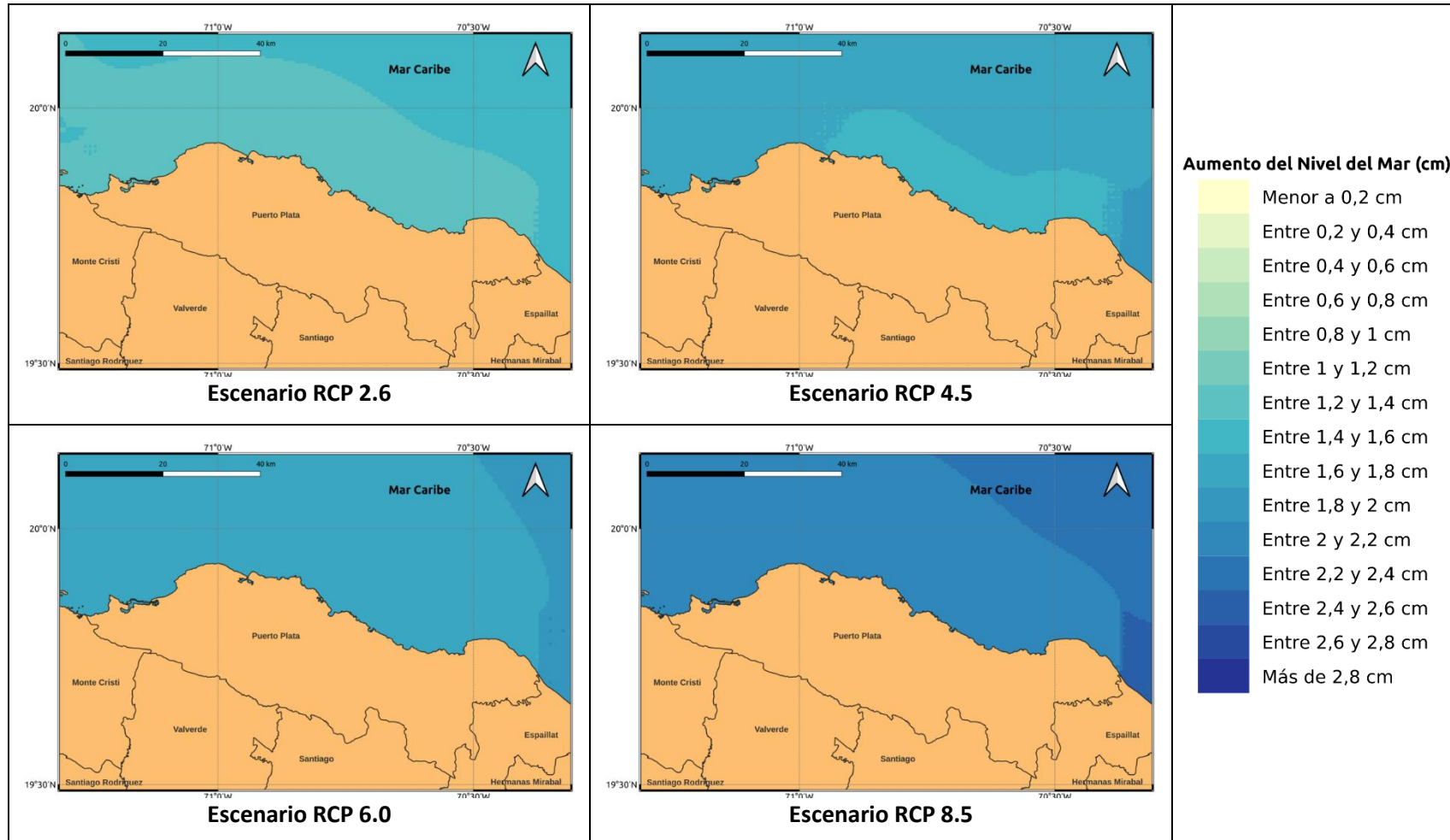
Figura 1.2.12-1. Aumento del nivel del mar (cm por año) proyectado por el ensamble multimodelo bajo los 4 escenarios RCP en el periodo 2021-2040 para la provincia Puerto Plata.



**Figura 1.2.12-2. Aumento del nivel del mar (cm por año) proyectado por el ensamble multimodelo bajo los 4 escenarios RCP en el periodo 2041-2060 para la provincia Puerto Plata.**



**Figura 1.2.12-3. Aumento del nivel del mar (cm por año) proyectado por el ensamble multimodelo bajo los 4 escenarios RCP en el periodo 2061-2080 para la provincia Puerto Plata.**



**Figura 1.2.12-4. Aumento del nivel del mar (cm por año) proyectado por el ensamble multimodelo bajo los 4 escenarios RCP en el periodo 2081-2100 para la provincia Puerto Plata.**

### **1.2.13 PROVINCIA SAMANÁ**

Las proyecciones indican que el nivel del mar aumentaría entre 0.2 y 0.5 centímetros por año en las costas de la provincia en el corto plazo (2021-2040) bajo los 4 escenarios RCP (Figura 1.2.13-1). Para el periodo 2041-2060 el incremento del nivel sería entre 0.6 y 0.9 centímetros por año, dándose los más altos bajo los RCP 4.5 y 8.5 (Figura 1.2.13-2). En el periodo 2061-2080 el aumento sería entre 1 y 1.2 centímetros por año bajo el RCP 2.6, y bajo los demás escenarios el aumento sería entre 1.3 y 1.9 centímetros por año, siendo los más altos bajo el RCP 8.5 hacia el oriente de la provincia (Figura 1.2.13-3). Finalmente, para el periodo 2081-2100 el nivel del mar sería entre 1.2 y 1.4 centímetros por año más alto bajo el RCP 2.6, en comparación al nivel observado en el periodo 1993-2019; y sería entre 1.5 y 1.7 centímetros por año mayor bajo los RCP 4.5 y 6.0, y entre 2.5 y 2.8 centímetros por año más alto bajo el RCP 8.5 (Figura 1.2.13-4).



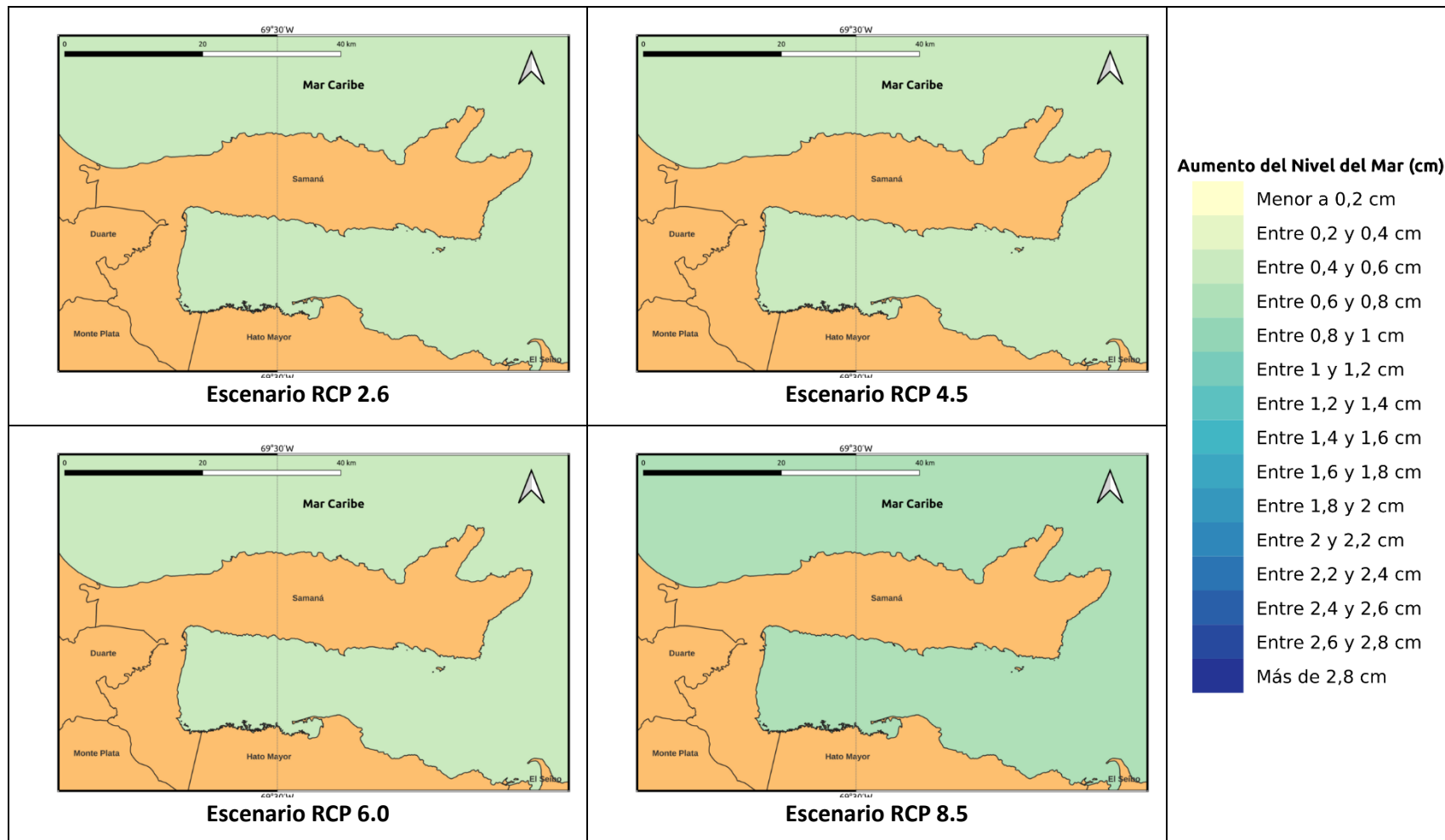


Figura 1.2.13-1. Aumento del nivel del mar (cm por año) proyectado por el ensamble multimodelo bajo los 4 escenarios RCP en el periodo 2021-2040 para la provincia Samaná.

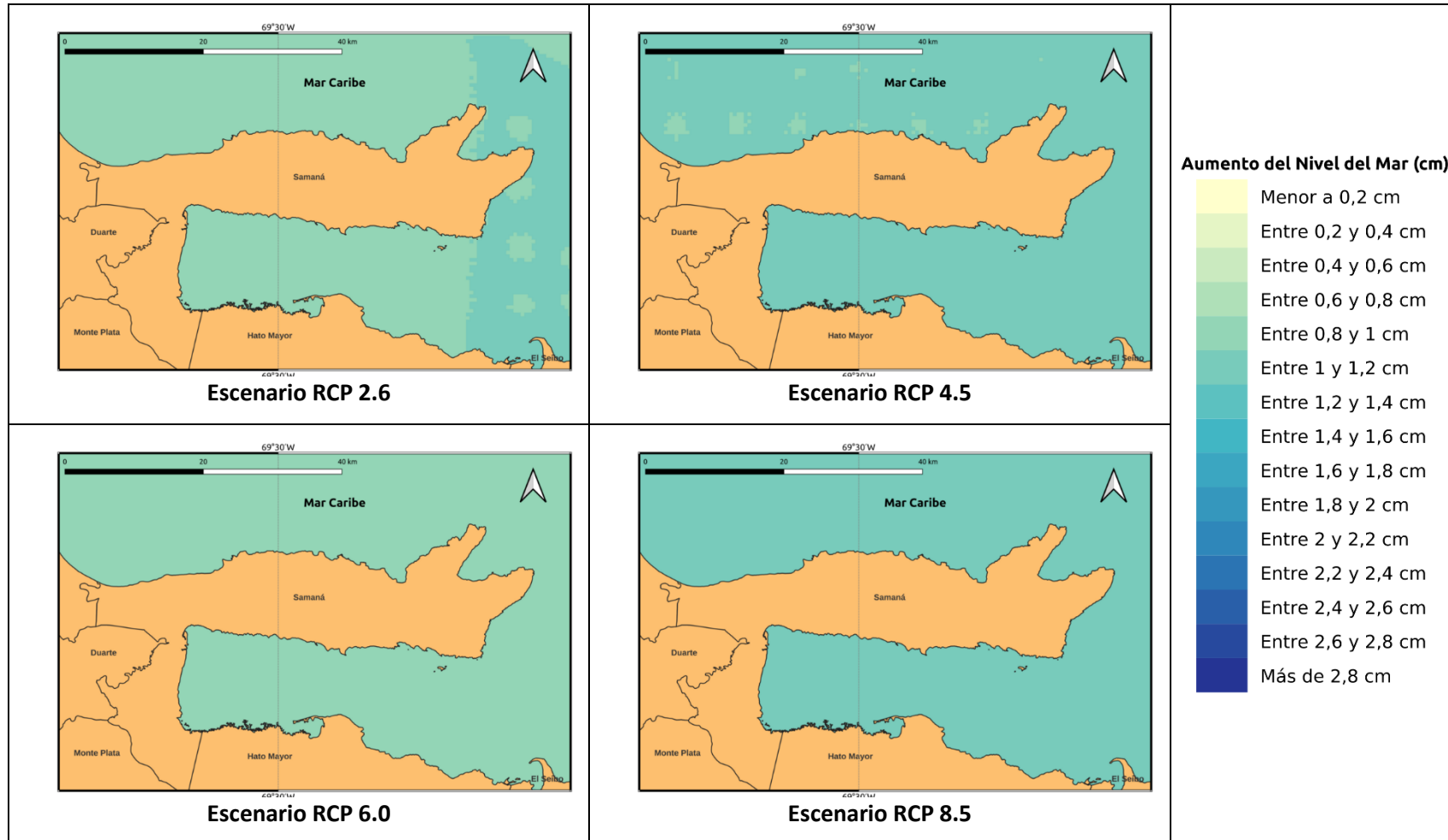


Figura 1.2.13-2. Aumento del nivel del mar (cm por año) proyectado por el ensamble multimodelo bajo los 4 escenarios RCP en el periodo 2041-2060 para la provincia Samaná.

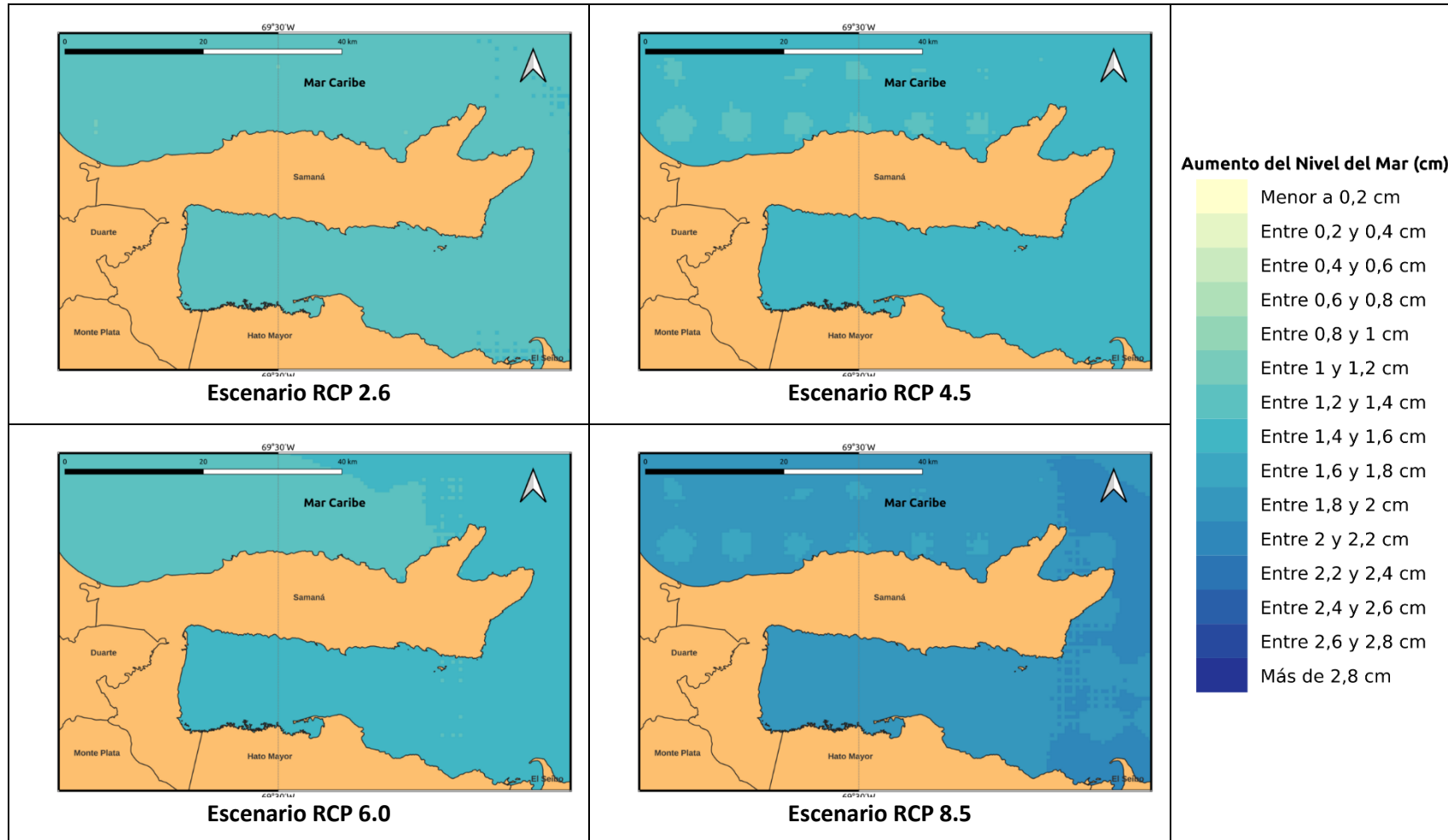


Figura 1.2.13-3. Aumento del nivel del mar (cm por año) proyectado por el ensamble multimodelo bajo los 4 escenarios RCP en el periodo 2061-2080 para la provincia Samaná.

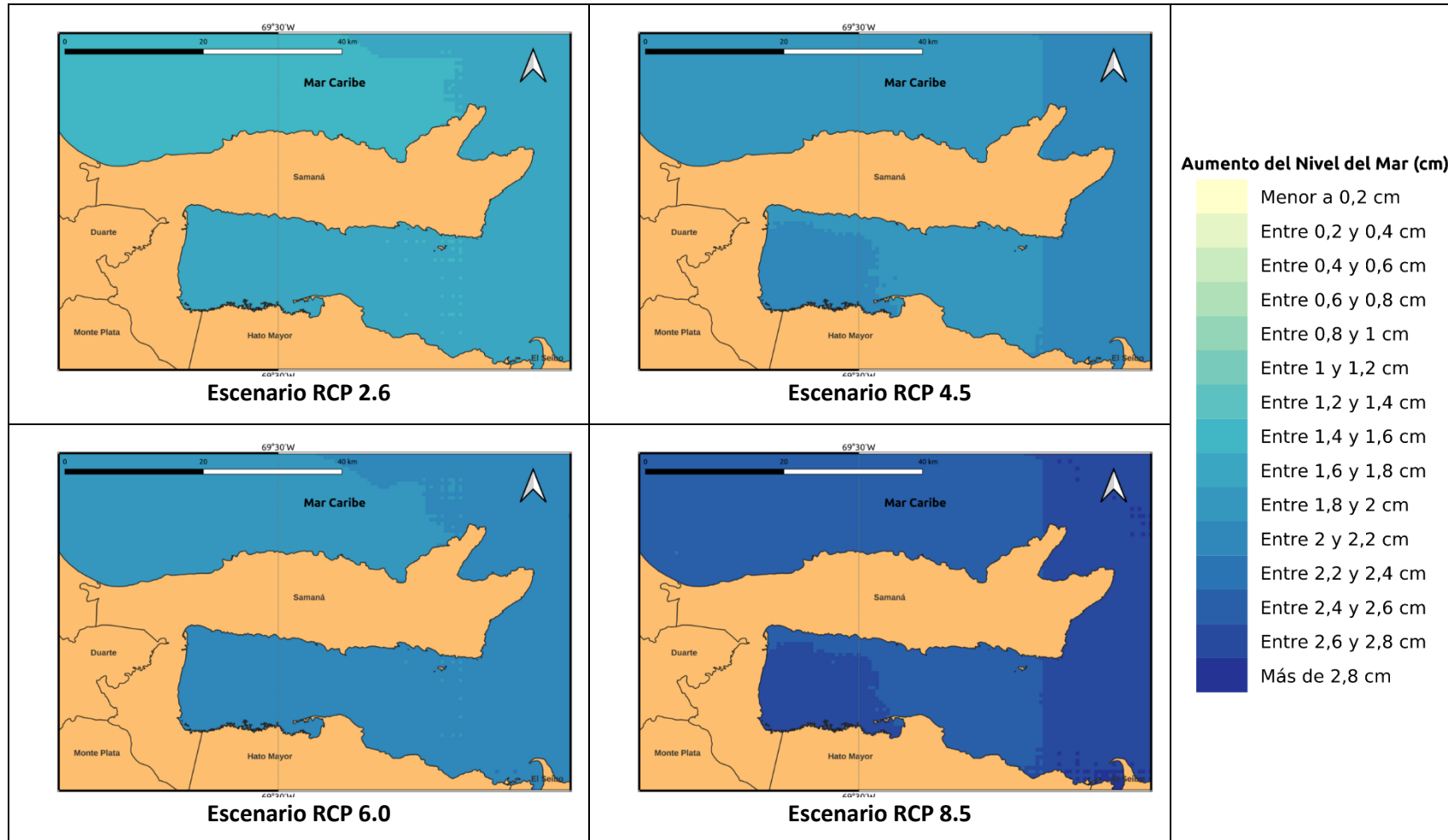


Figura 1.2.13-4. Aumento del nivel del mar (cm por año) proyectado por el ensamble multimodelo bajo los 4 escenarios RCP en el periodo 2081-2100 para la provincia Samaná.

### **1.2.14 PROVINCIA SAN CRISTÓBAL**

El nivel del mar aumentaría entre 0.2 y 0.5 centímetros por año en las costas de la provincia en el corto plazo (2021-2040) bajo los 4 escenarios RCP (Figura 1.2.14-1). Para el periodo 2041-2060 el incremento del nivel sería entre 0.5 y 1 centímetros por año, dándose los más altos bajo los RCP 4.5 y 8.5 (Figura 1.2.14-2). En el periodo 2061-2080 el aumento sería entre 1 y 1.4 centímetros por año bajo el RCP 2.6, dándose los incrementos superiores a 1.2 centímetros por año hacia el centro de la costa de la provincia. Bajo los demás escenarios el aumento sería entre 1.4 y 2 centímetros por año, siendo los más altos bajo el RCP 8.5 (Figura 1.2.14-3). Finalmente, para el periodo 2081-2100 el nivel del mar sería 1.4 centímetros por año más alto bajo el RCP 2.6, en comparación al nivel observado en el periodo 1993-2019; y sería 2 centímetros por año mayor bajo el RCP 4.5, 2.2 centímetros por año mayor bajo el RCP 6.0 y 2.9 centímetros por año más alto bajo el RCP 8.5 (Figura 1.2.14-4).



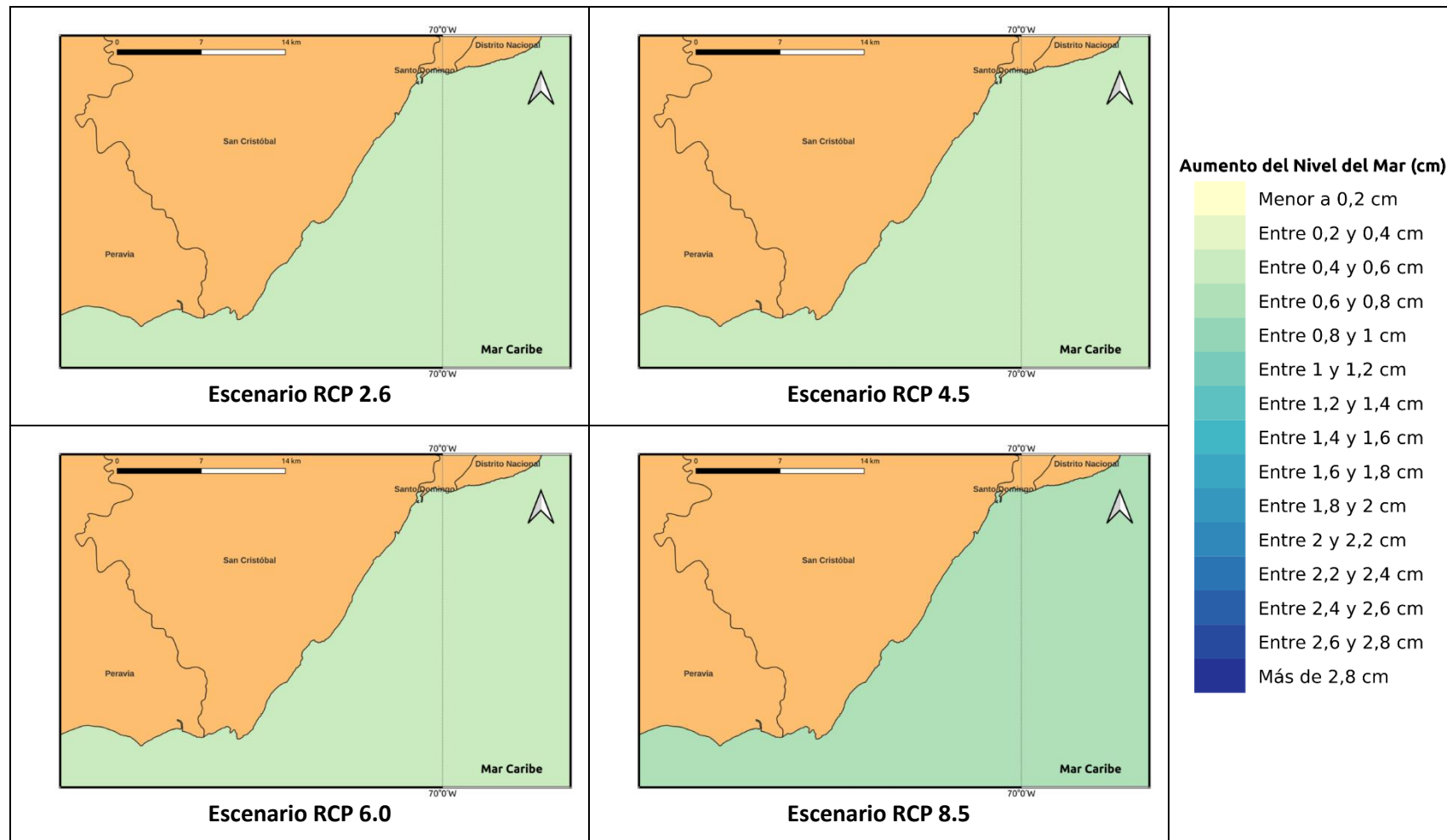


Figura 1.2.14-1. Aumento del nivel del mar (cm por año) proyectado por el ensamble multimodelo bajo los 4 escenarios RCP en el periodo 2021-2040 para la provincia San Cristóbal.

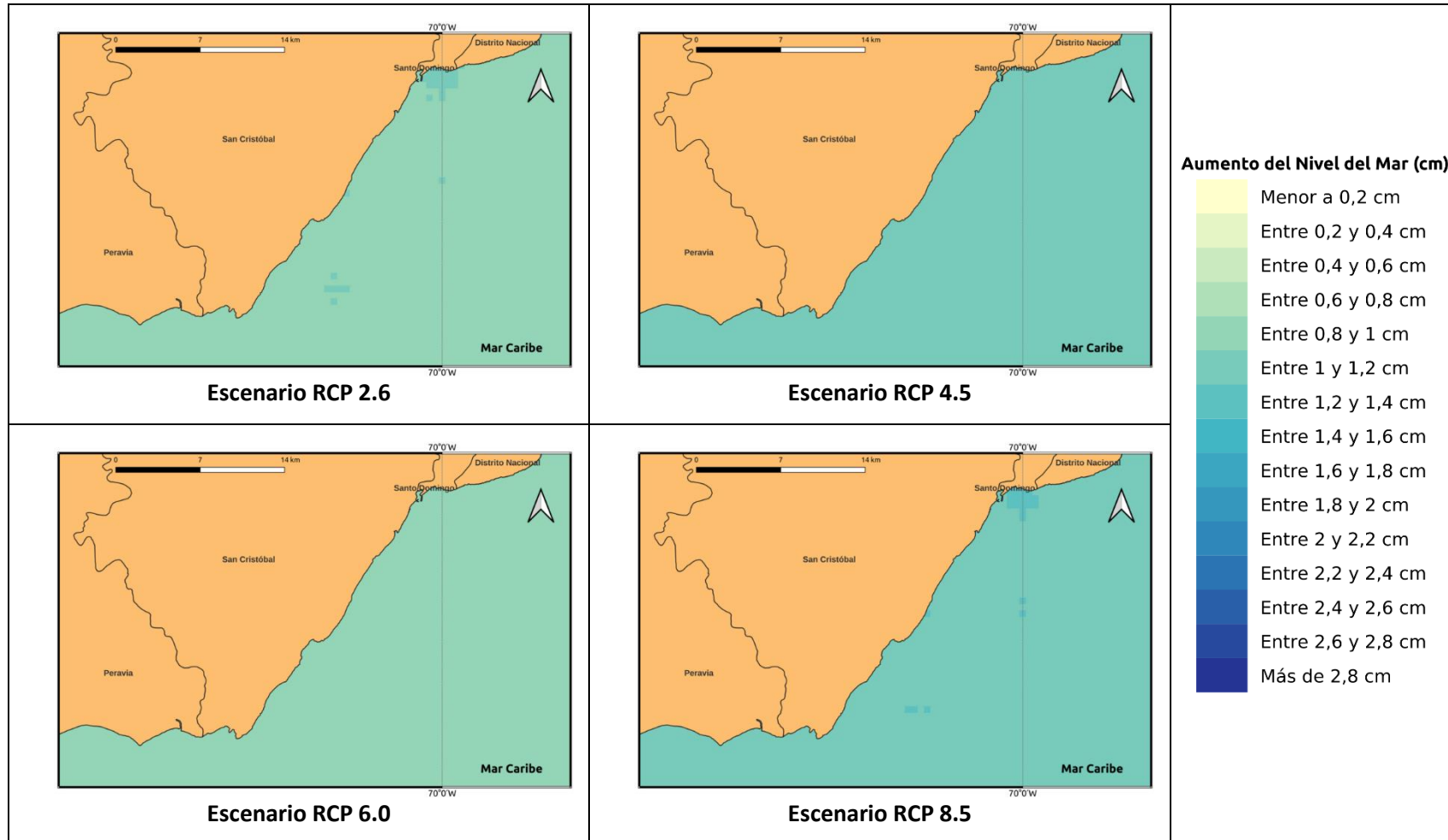


Figura 1.2.14-2. Aumento del nivel del mar (cm por año) proyectado por el ensamble multimodelo bajo los 4 escenarios RCP en el periodo 2041-2060 para la provincia San Cristóbal.

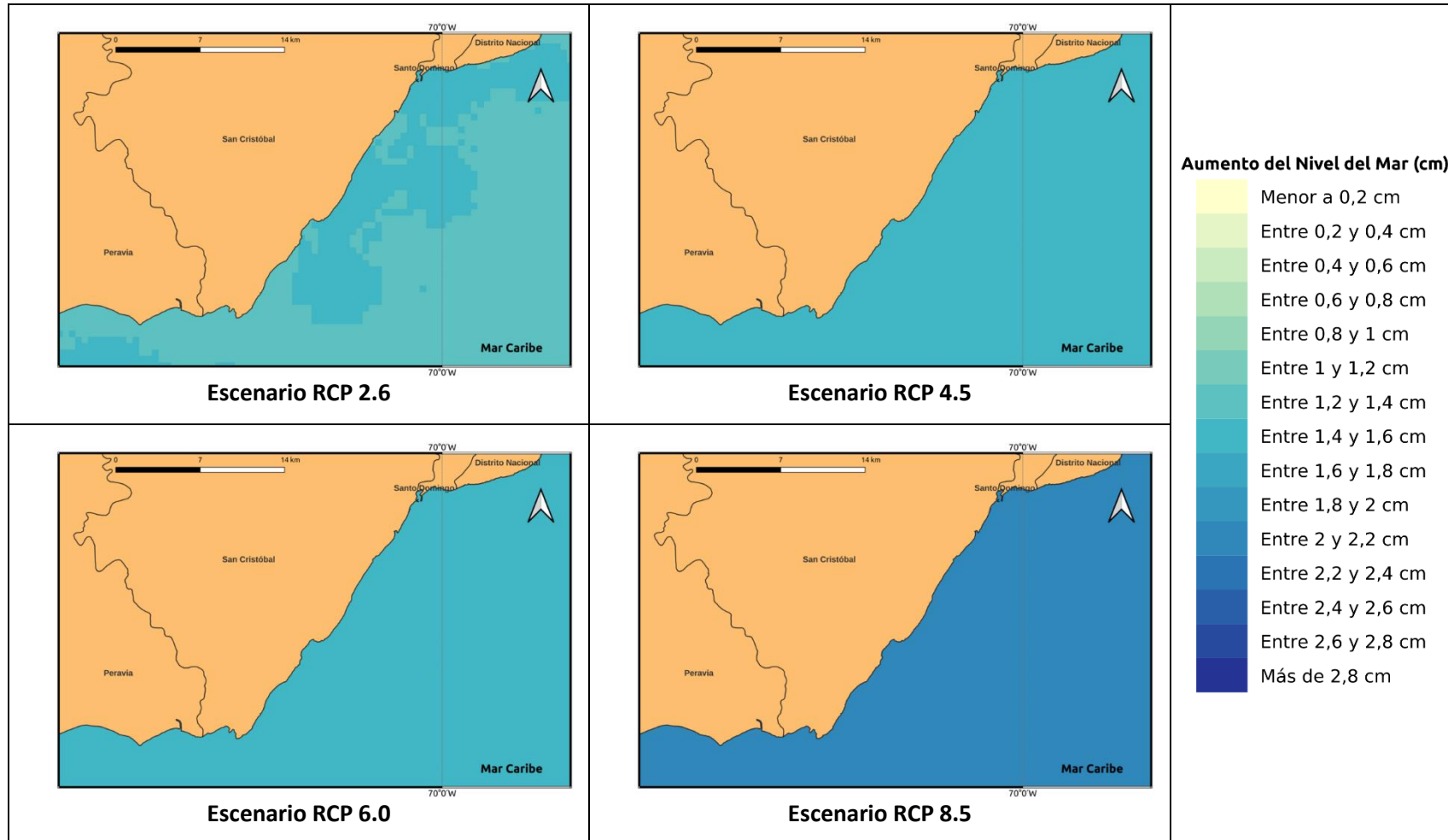


Figura 1.2.14-3. Aumento del nivel del mar (cm por año) proyectado por el ensamble multimodelo bajo los 4 escenarios RCP en el periodo 2061-2080 para la provincia San Cristóbal.

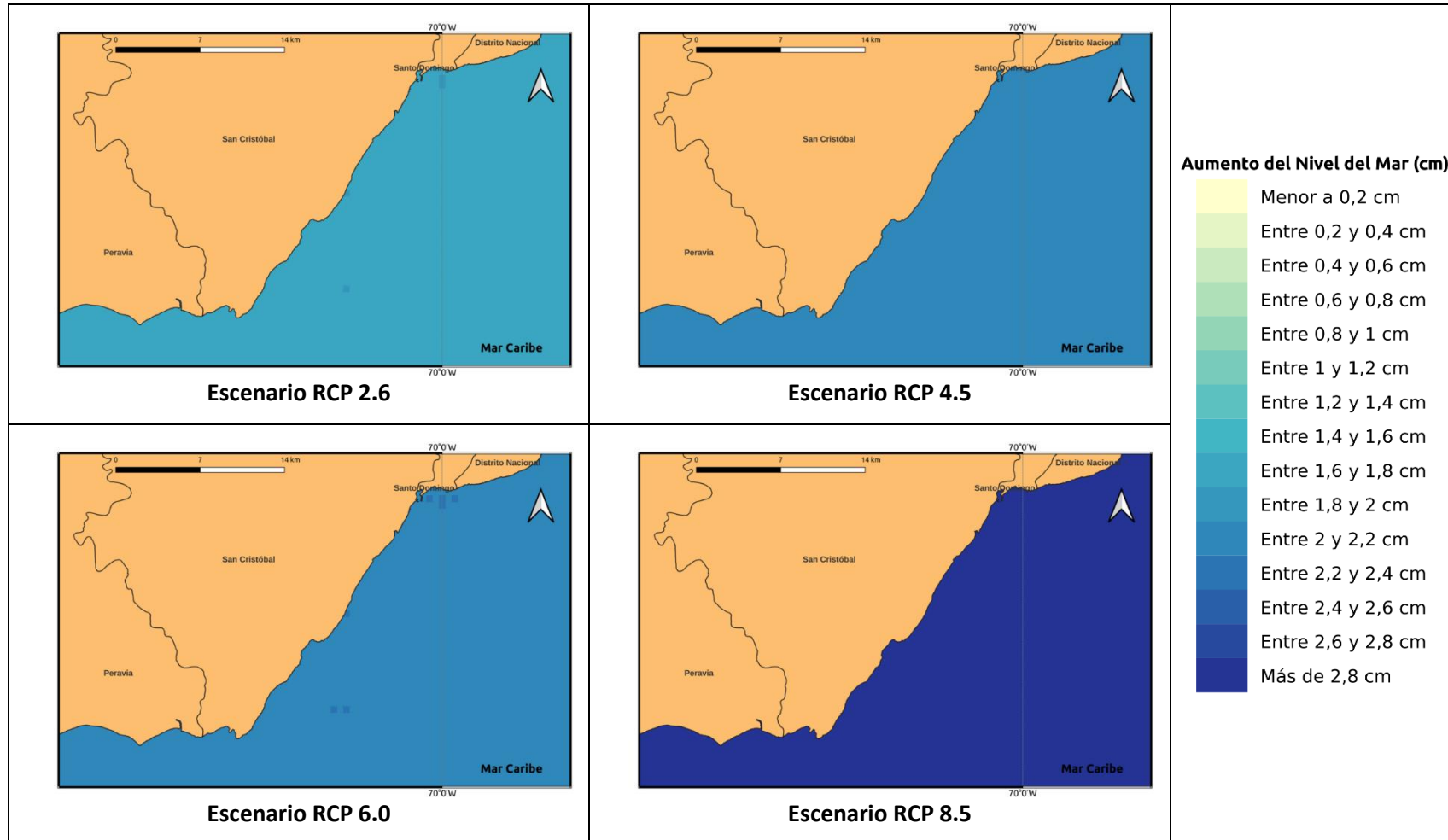


Figura 1.2.14-4. Aumento del nivel del mar (cm por año) proyectado por el ensamble multimodelo bajo los 4 escenarios RCP en el periodo 2081-2100 para la provincia San Cristóbal.

### **1.2.15 PROVINCIA SAN PEDRO DE MACORÍS**

Se espera que el nivel del mar aumentaría entre 0.1 y 0.5 centímetros por año en las costas de la provincia en el corto plazo (2021-2040) bajo los 4 escenarios RCP (Figura 1.2.15-1). Para el periodo 2041-2060 el incremento del nivel sería entre 0.5 y 1 centímetros por año, dándose los más altos bajo los RCP 4.5 y 8.5 (Figura 1.2.15-2). En el periodo 2061-2080 el aumento sería entre 1 y 1.5 centímetros por año bajo el RCP 2.6, dándose los incrementos inferiores a 1.2 centímetros por año hacia el centro de la costa de la provincia. Bajo los demás escenarios el aumento sería entre 1.3 y 1.9 centímetros por año, siendo los más altos bajo el RCP 8.5 (Figura 1.2.15-3). Finalmente, para el periodo 2081-2100 el nivel del mar sería 1.4 centímetros por año más alto bajo el RCP 2.6, en comparación al nivel observado en el periodo 1993-2019; y sería 1.9 centímetros por año mayor bajo el RCP 4.5, 2.2 centímetros por año mayor bajo el RCP 6.0 y entre 2.7 y 2.9 centímetros por año más alto bajo el RCP 8.5, dándose los menores incrementos hacia el centro de las costas de la provincia bajo este escenario (Figura 1.2.15-4).

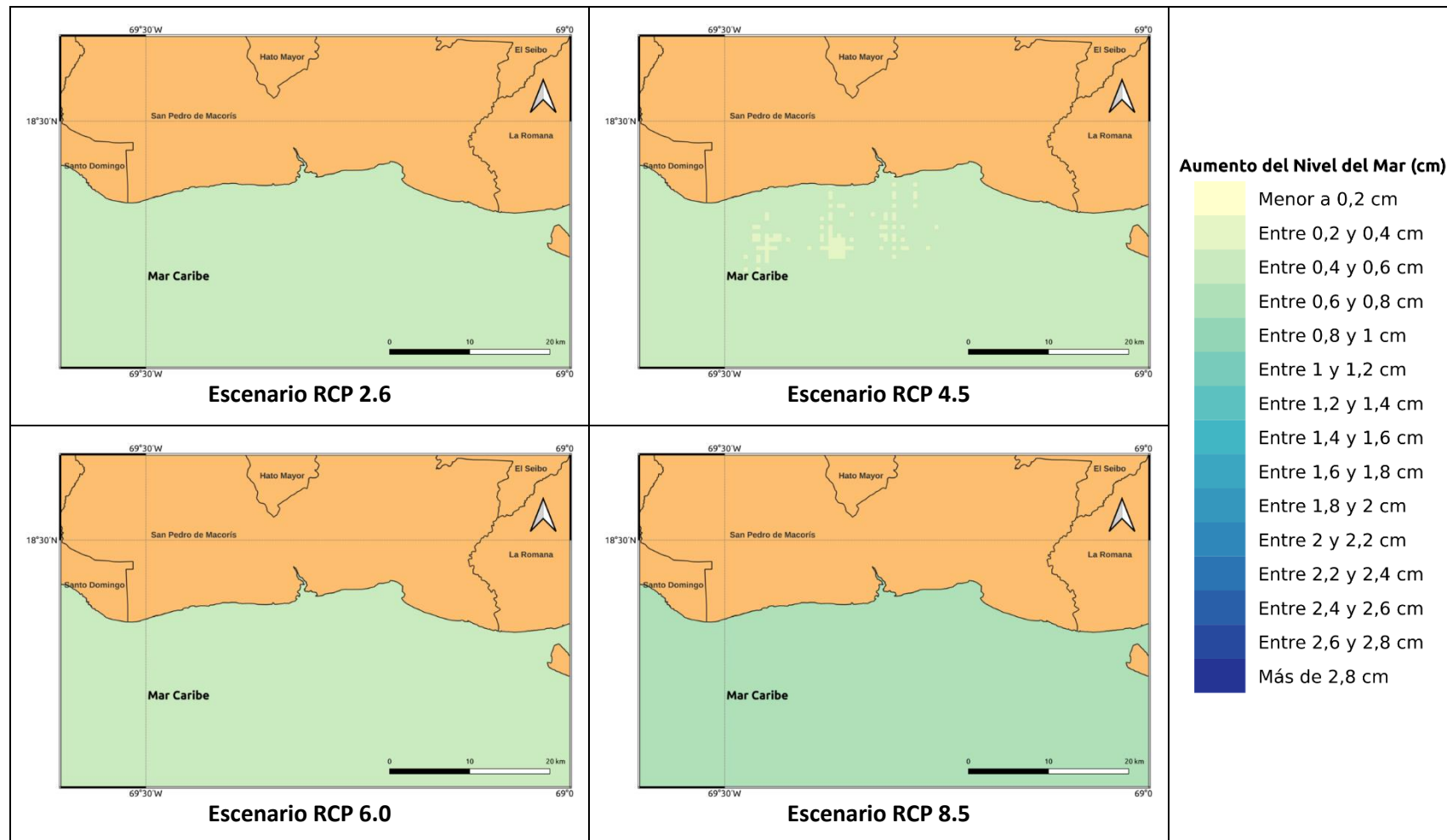
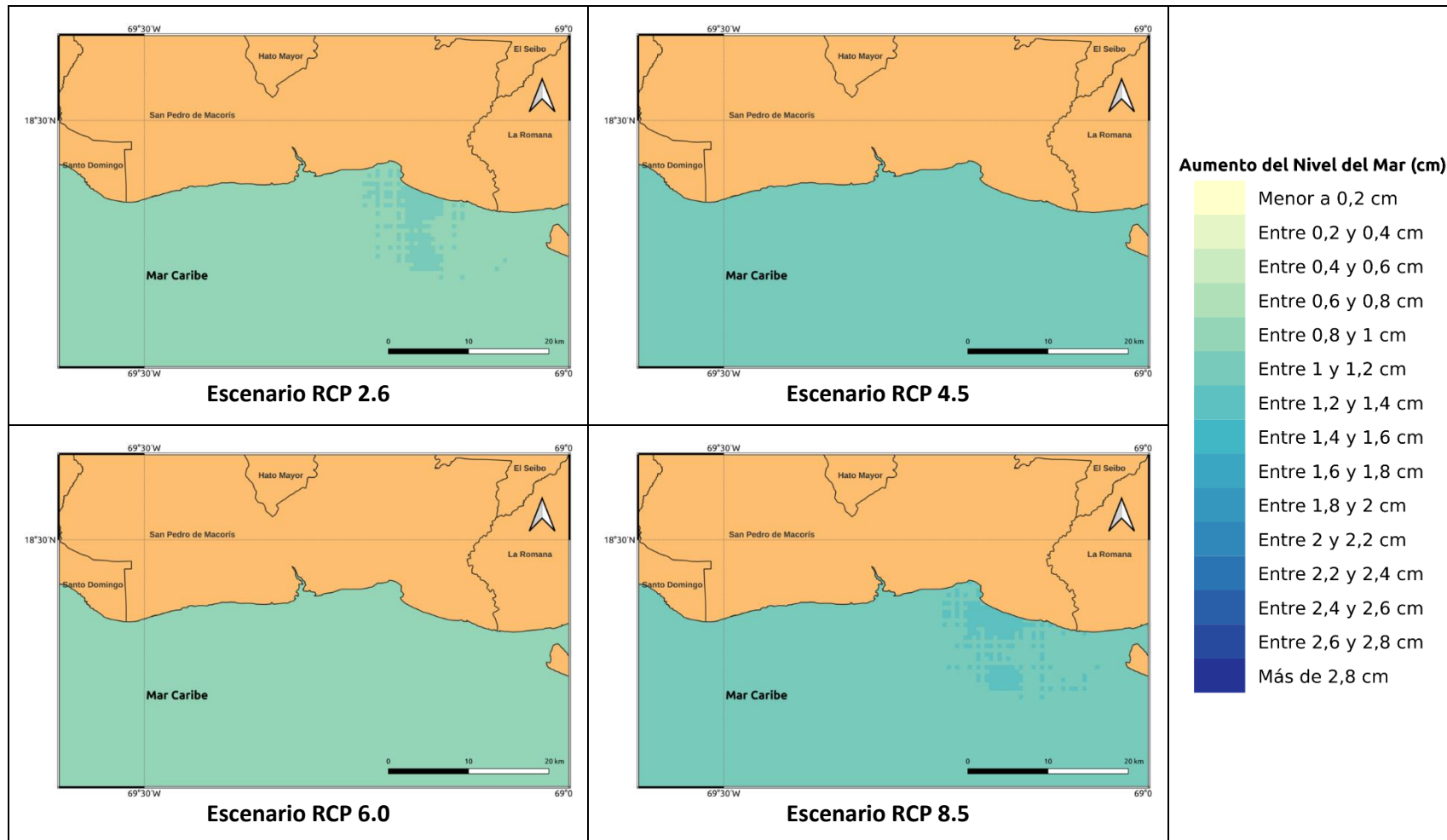


Figura 1.2.15-1. Aumento del nivel del mar (cm por año) proyectado por el ensamble multimodelo bajo los 4 escenarios RCP en el periodo 2021-2040 para la provincia San Pedro de Macorís.



**Figura 1.2.15-2. Aumento del nivel del mar (cm por año) proyectado por el ensamble multimodelo bajo los 4 escenarios RCP en el periodo 2041-2060 para la provincia San Pedro de Macorís.**

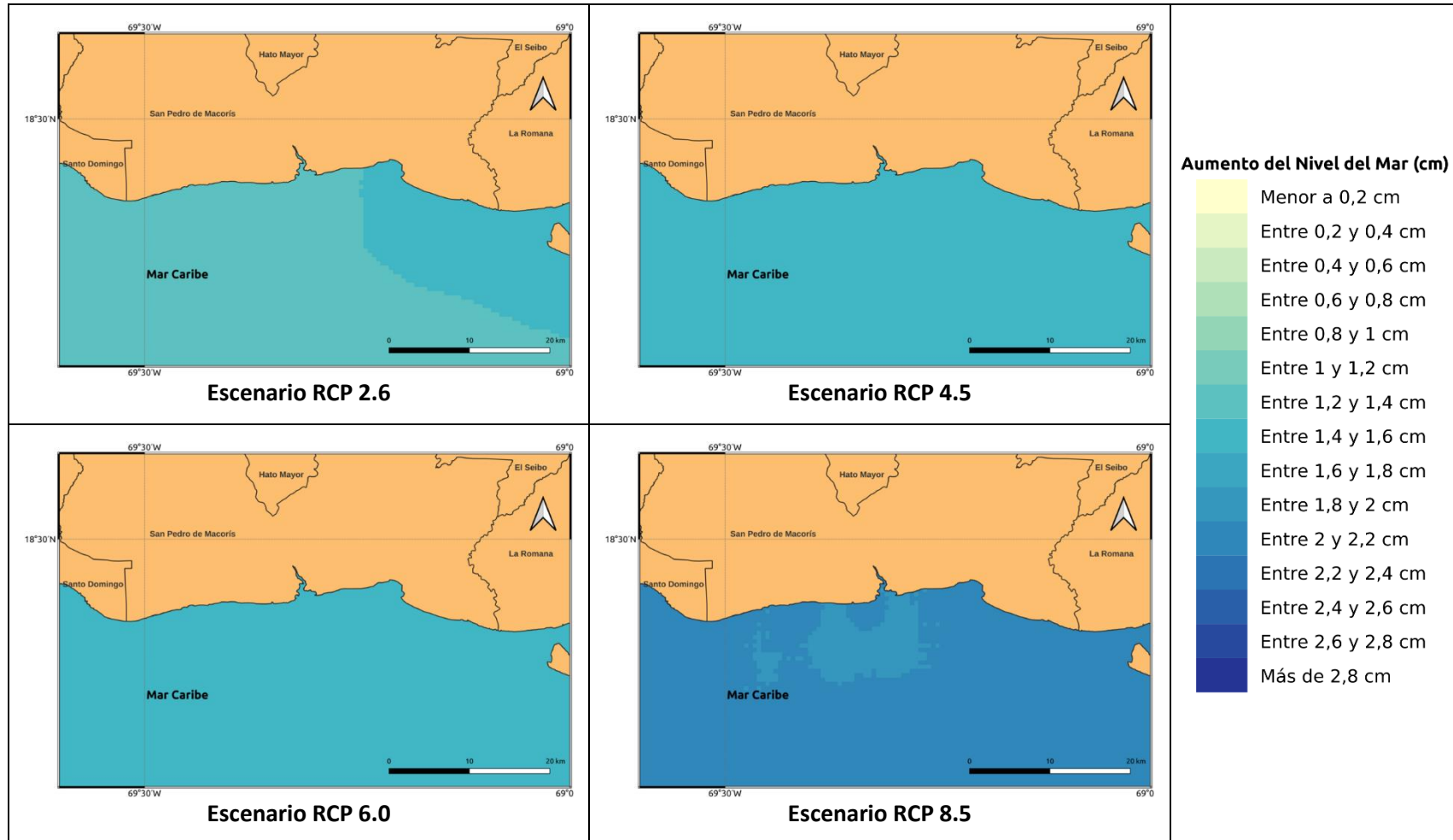
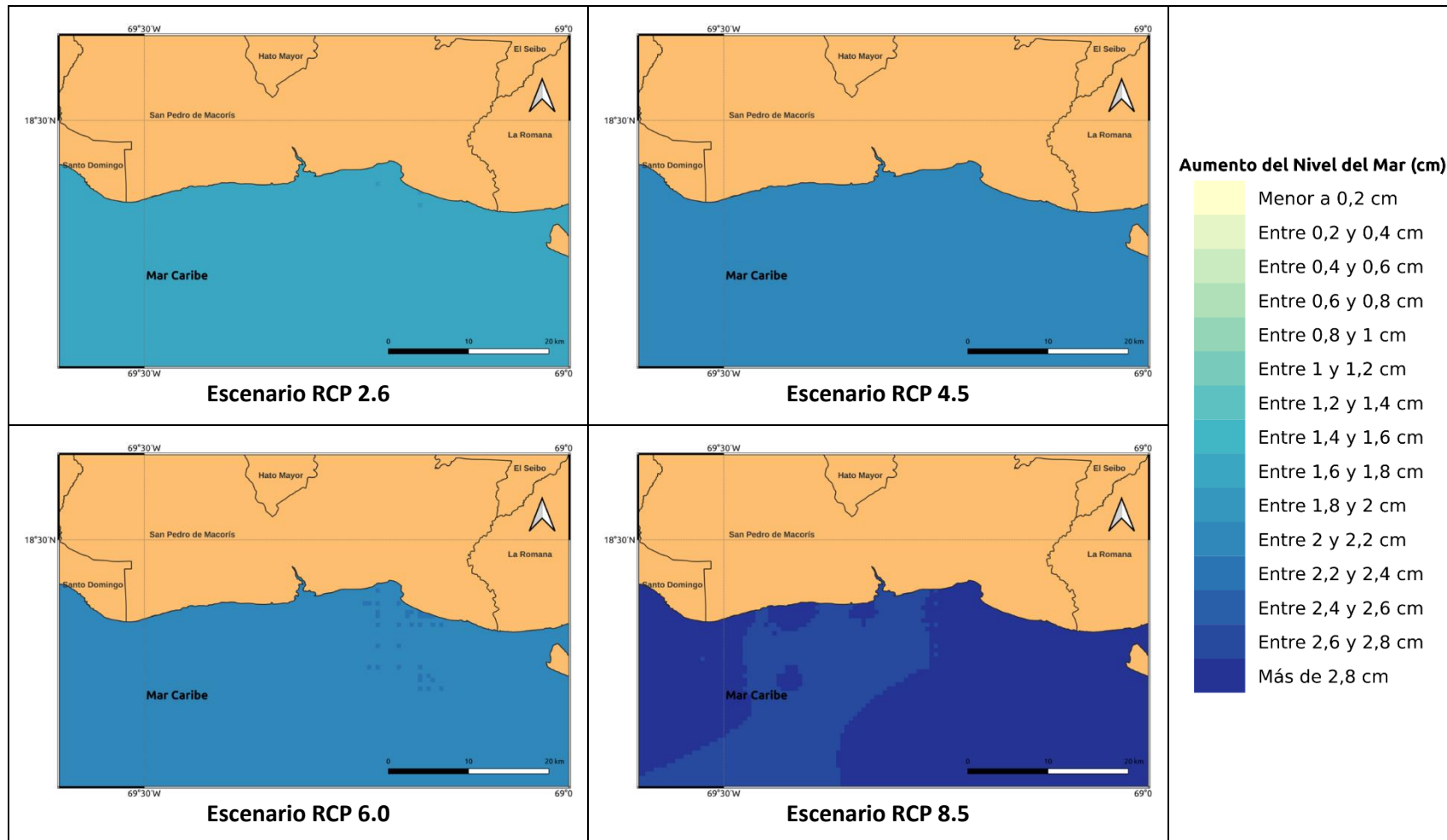


Figura 1.2.15-3. Aumento del nivel del mar (cm por año) proyectado por el ensamble multimodelo bajo los 4 escenarios RCP en el periodo 2061-2080 para la provincia San Pedro de Macorís.



**Figura 1.2.15-4. Aumento del nivel del mar (cm por año) proyectado por el ensamble multimodelo bajo los 4 escenarios RCP en el periodo 2081-2100 para la provincia San Pedro de Macorís.**

### **1.2.16 PROVINCIA SANTO DOMINGO**

El nivel del mar aumentaría entre 0.2 y 0.5 centímetros por año en las costas de la provincia en el corto plazo (2021-2040) bajo los 4 escenarios RCP (Figura 3.3.17-1). Para el periodo 2041-2060 el incremento del nivel sería entre 0.5 y 0.9 centímetros por año, dándose los más altos bajo los RCP 4.5 y 8.5 (Figura 3.317-2). En el periodo 2061-2080 el aumento sería entre 1 y 1.3 centímetros por año bajo el RCP 2.6, dándose los incrementos superiores a 1.1 centímetros por año hacia las costas de Distrito Nacional. Bajo los demás escenarios el aumento sería entre 1.3 y 1.9 centímetros por año, siendo los más altos bajo el RCP 8.5 (Figura 3.3.17-3). Finalmente, para el periodo 2081-2100 el nivel del mar sería 1.5 centímetros por año más alto bajo el RCP 2.6, en comparación al nivel observado en el periodo 1993-2019; y sería 1.9 centímetros por año mayor bajo el RCP 4.5, 2.2 centímetros por año mayor bajo el RCP 6.0 y 2.9 centímetros por año más alto bajo el RCP 8.5 (Figura 3.3.17-4).



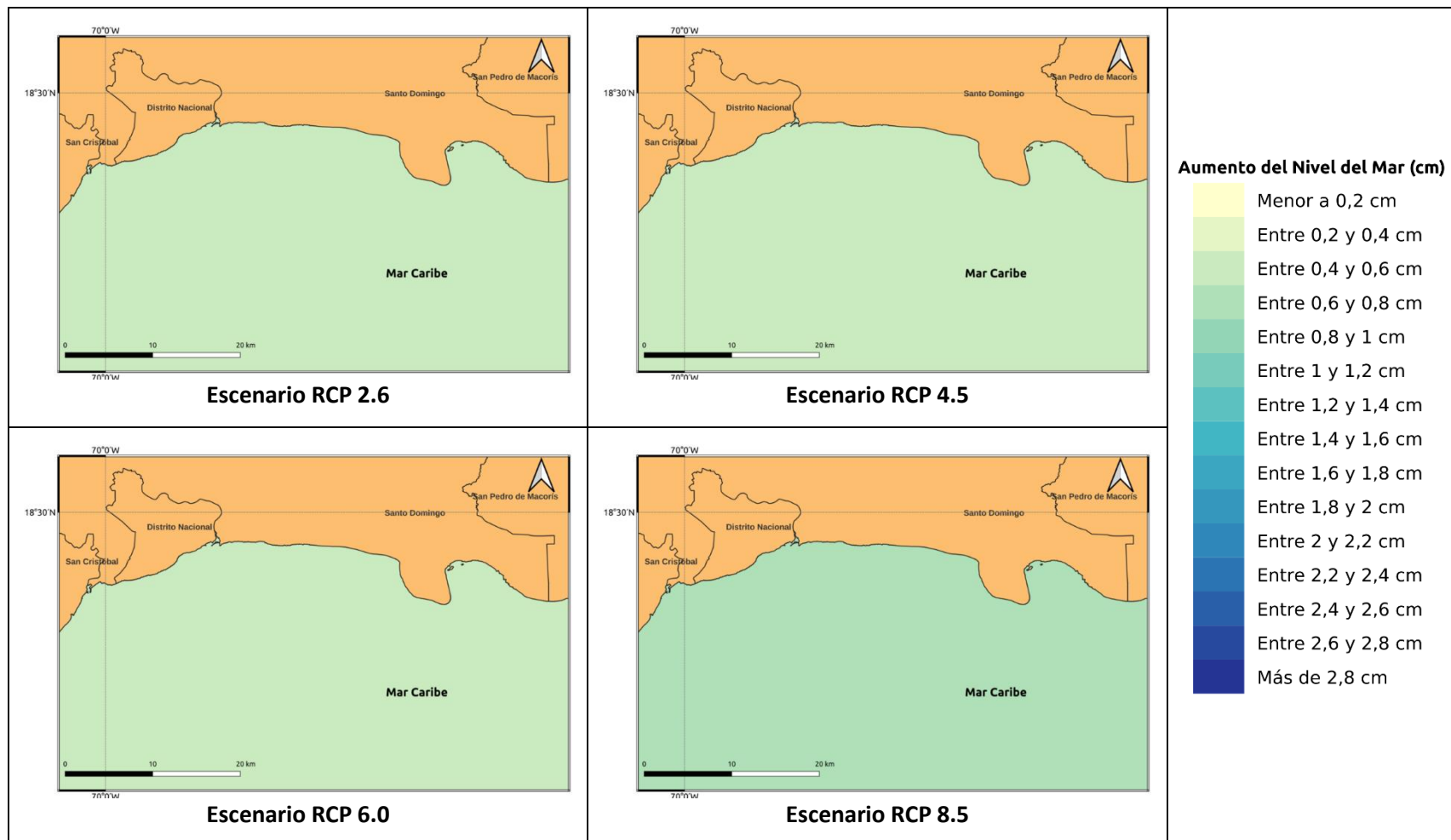


Figura 1.2.16-1. Aumento del nivel del mar (cm por año) proyectado por el ensamble multimodelo bajo los 4 escenarios RCP en el periodo 2021-2040 para la provincia Santo Domingo.

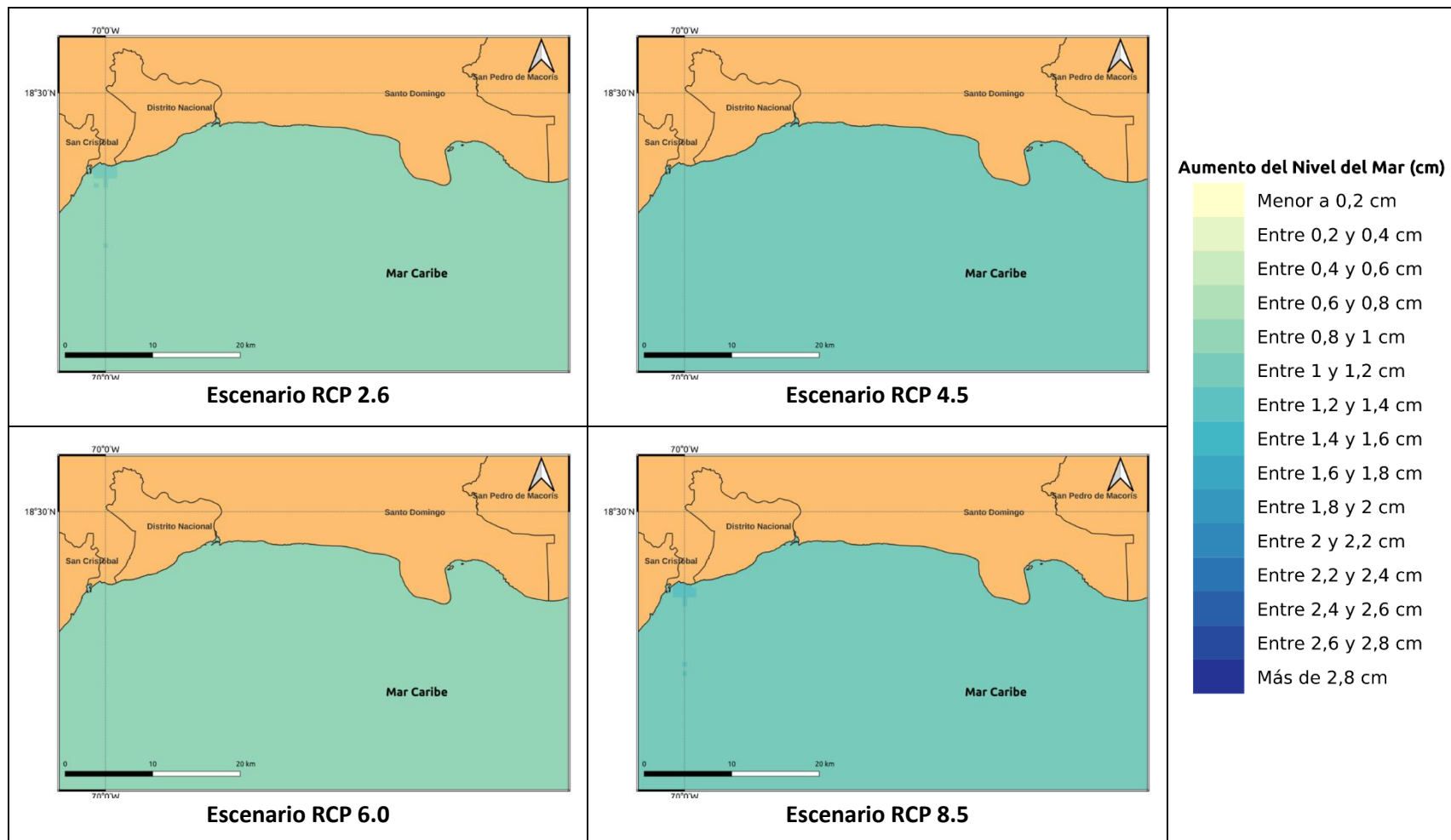


Figura 1.2.16-2. Aumento del nivel del mar (cm por año) proyectado por el ensamble multimodelo bajo los 4 escenarios RCP en el periodo 2041-2060 para la provincia Santo Domingo.

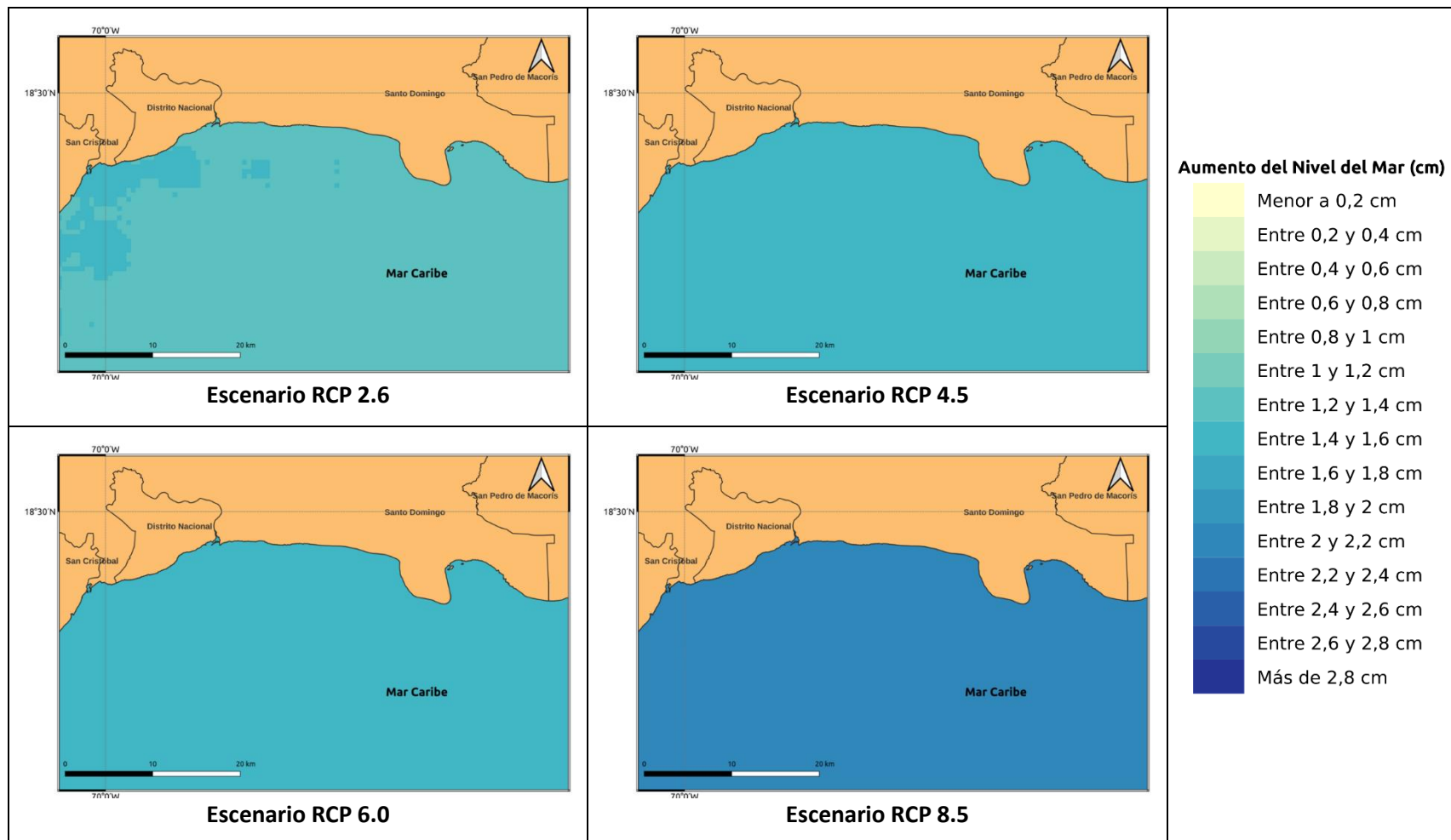


Figura 1.2.16-3. Aumento del nivel del mar (cm por año) proyectado por el ensamble multimodelo bajo los 4 escenarios RCP en el periodo 2061-2080 para la provincia Santo Domingo.

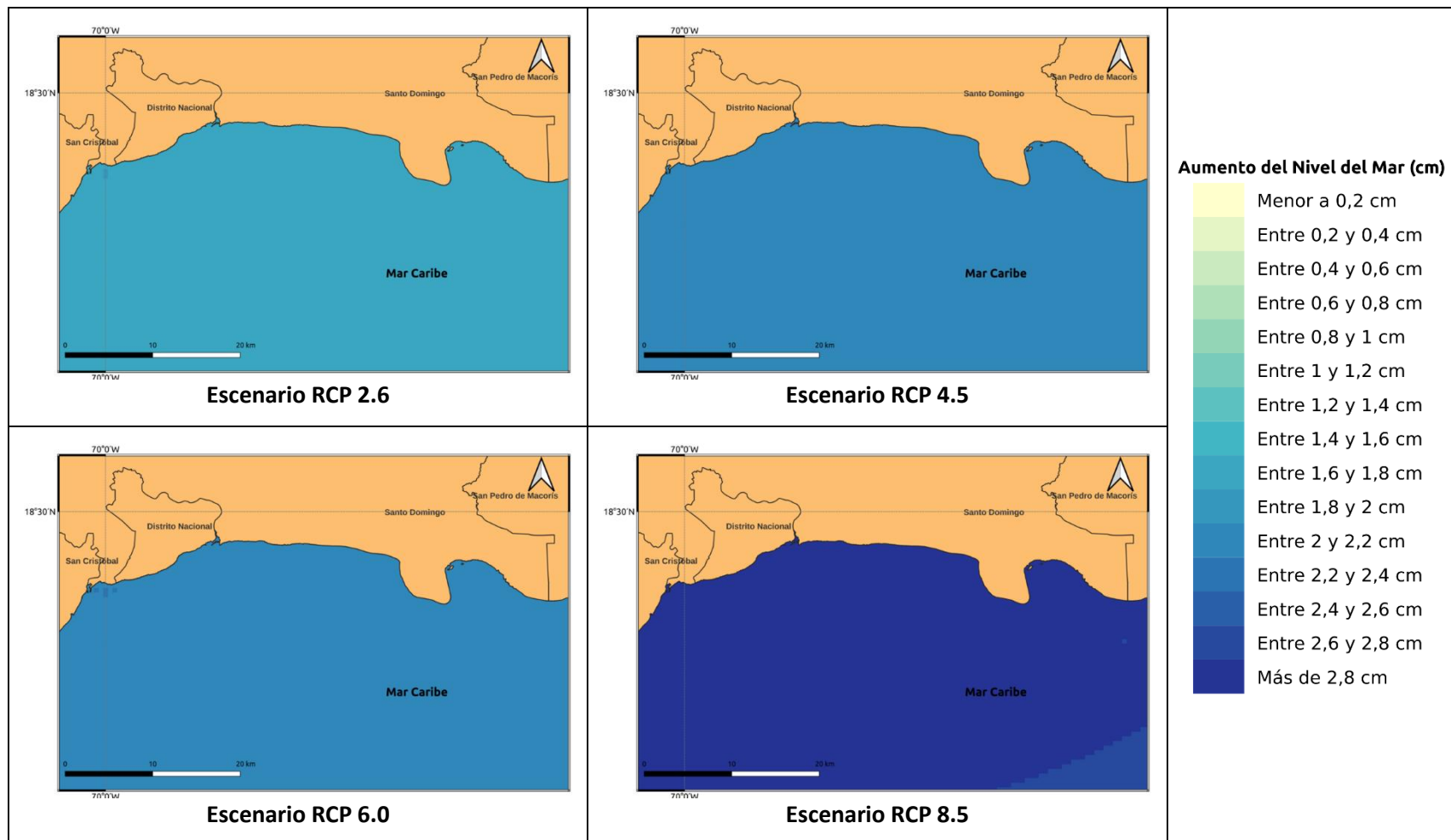


Figura 1.2.16-4. Aumento del nivel del mar (cm por año) proyectado por el ensamble multimodelo bajo los 4 escenarios RCP en el periodo 2081-2100 para la provincia Santo Domingo.